

FRANK H. NETTER, MD



Atlas de **Anatomía Humana**

4.ª Edición

F. Netter





Consulting editors

Jennifer K. Brueckner, PhD

Assistant Professor
Department of Anatomy and Neurobiology
University of Kentucky College of Medicine
Lexington, Kentucky

Stephen W. Carmichael, PhD, DSc

Professor
Departments of Anatomy and Orthopedic Surgery
Mayo Clinic
Rochester, Minnesota

Thomas R. Gest, PhD

Associate Professor
Division of Anatomical Sciences and Department
of Medical Education
University of Michigan Medical School
Ann Arbor, Michigan

Noelle A. Granger, PhD

Professor
Department of Cell and Developmental Biology
University of North Carolina School of Medicine
Chapel Hill, North Carolina

John T. Hansen, PhD

Professor of Neurobiology and Anatomy
Associate Dean for Admissions
University of Rochester School of Medicine and Dentistry
Rochester, Nueva York

Anil H. Walji, MD, PhD

Professor and Director, Division of Anatomy
Professor of Radiology and Diagnostic Imaging
Professor of Surgery
Faculty of Medicine and Dentistry
University of Alberta
Edmonton, Alberta, Canadá

Atlas de **Anatomía Humana**



Cuarta edición

Frank H. Netter, MD



Ámsterdam Barcelona Beijing Boston Filadelfia Londres Madrid
México Milán Múnich Orlando París Roma Sídney Tokio Toronto



Edición en español de la 4.^a ed. de la obra original en inglés
Atlas of Human Anatomy

Copyright © MMVI by Saunders, an imprint of Elsevier Inc.

Traducción y revisión científica

Dr. Víctor Götzens García

Profesor Titular de Anatomía Humana,
Facultad de Medicina, Universitat de Barcelona

Primera edición	1996
Reimpresiones	1997, 1999
Segunda edición	1999
Reimpresiones	2000 (2), 2001 (2), 2002
Tercera edición	2003
Reimpresiones	2004, 2005, 2006, 2007



© 2007 Elsevier Doyma, S.L.

Es una publicación **MASSON**

Travessera de Gràcia 17-21 - 08021 Barcelona (España)

Fotocopiar es un delito (Art. 270 C.P.)

Para que existan libros es necesario el trabajo de un importante colectivo (autores, traductores, dibujantes, correctores, impresores, editores...). El principal beneficiario de ese esfuerzo es el lector que aprovecha su contenido.

Quien fotocopia un libro, en las circunstancias previstas por la ley, delinque y contribuye a la «no» existencia de nuevas ediciones. Además, a corto plazo, encarece el precio de las ya existentes.

Este libro está legalmente protegido por los derechos de propiedad intelectual. Cualquier uso fuera de los límites establecidos por la legislación vigente, sin el consentimiento del editor, es ilegal. Esto se aplica en particular a la reproducción, fotocopia, traducción, grabación o cualquier otro sistema de recuperación de almacenaje de información.

ISBN edición original: 978-0-8089-2379-4

ISBN edición española: 978-84-4581-759-9

Composición y compaginación: A. Parras

Advertencia

La medicina es un área en constante evolución. Aunque deben seguirse unas precauciones de seguridad estándar, a medida que aumenten nuestros conocimientos gracias a la investigación básica y clínica habrá que introducir cambios en los tratamientos y en los fármacos. En consecuencia, se recomienda a los lectores que analicen los últimos datos aportados por los fabricantes sobre cada fármaco para comprobar la dosis recomendada, la vía y duración de la administración y las contraindicaciones. Es responsabilidad ineludible del médico determinar las dosis y el tratamiento más indicado para cada paciente, en función de su experiencia y del conocimiento de cada caso concreto. Ni los editores ni los directores asumen responsabilidad alguna por los daños que pudieran generarse a personas o propiedades como consecuencia del contenido de esta obra.

El editor

A mi querida esposa, Vera

La cuarta edición del *Atlas de Anatomía Humana* de Frank H. Netter ha sido actualizada por nuestro equipo de *consulting editors*, formado por Jennifer K. Brueckner, Stephen W. Carmichael, Thomas R. Gest, Noelle A. Granger, John T. Hansen y Anil H. Walji. Cada uno de nosotros ha revisado, modificado y puesto al día una sección del *Atlas*. Se han incorporado imágenes de nuevas radiografías, tomografías computarizadas (TC), arteriografías mediante TC y resonancias magnéticas (RM), que reflejan la importancia del diagnóstico por la imagen en la anatomía y la medicina clínica. En esta edición se han revisado 45 láminas a fin de mostrar más adecuadamente las relaciones anatómicas, 290 láminas se han escrito de nuevo por lo que hace a las leyendas, y 17 láminas son completamente nuevas. Las nuevas y admirables ilustraciones que se incluyen en esta edición se deben a Carlos A. G. Machado, MD, que ha contribuido a las ilustraciones del fondo Netter desde hace más de 10 años. La nomenclatura anatómica ha sido actualizada, incluyéndose los términos clínicos y los epónimos de uso corriente entre paréntesis. La genialidad de las ilustraciones del Dr. Netter radica en que la anatomía es reflejada con claridad y realismo, de forma relevante a la práctica clínica y manteniendo el equilibrio entre la complejidad y el exceso de simplificación. Hemos intentado mantener estos principios en la concepción de las nuevas láminas de esta edición. Finalmente, algunas láminas se han cambiado de orden para facilitar las comparaciones, en páginas contiguas, de los elementos ilustrados más comunes. Esta cuarta edición debe mucho a los *consulting editors* de ediciones previas, los Dres. Sharon Colacino (Oberberg) (1.^a edición), Arthur F. Dalley II (2.^a edición) y John T. Hansen (3.^a edición), que demostraron gran pericia y profesionalidad en su tarea, haciendo la nuestra significativamente más fácil.

La cabeza y el cuello son un área especialmente difícil de dominar para los estudiantes, residentes y profesores, debido no sólo al gran número de estructuras que se concentran en esta región relativamente pequeña del cuerpo, sino también a la complejidad de su organización anatómica en las tres dimensiones. El viejo dicho de que «hay más anatomía por encima del hioides que por debajo» plantea un reto sin igual a cualquiera que trate de representar la anatomía de esa región de forma simple, visualmente atractiva y clínicamente relevante. A esa sección se han añadido más de 10 láminas nuevas. Por primera vez, el espectacular trabajo de Carlos Machado ilustra estructuras de importancia clínica como las articulaciones uncovertebrales de las vértebras cervicales, las venas vertebrales y la in-

trincada vasculatura del ojo, por mencionar algunas, con brillantez artística, precisión anatómica y atractivo visual insuperables. Esta sección incluye un conciso repaso del sistema nervioso central, incluyendo los nervios craneales y vías centrales importantes.

En la sección sobre el dorso, una lámina nueva ilustra la correcta administración de un agente anestésico epidural lumbar, así como la localización para una punción lumbar o «punción espinal». Los nervios autónomos han sido tradicionalmente un problema para muchos estudiantes: los nuevos y excelentes dibujos del Dr. Machado sobre el sistema nervioso autónomo les servirán como nuevo recurso educativo para comprender estos difíciles conceptos.

La sección sobre el tórax presenta pequeñas correcciones terminológicas y sutiles modificaciones artísticas para reflejar más adecuadamente las características anatómicas más comunes. Por ejemplo, la representación del patrón del sistema venoso ácigos se ha modificado para reflejar la distribución más frecuente de estas venas, que pueden presentar amplias variaciones. La inclusión de imágenes de secciones transversales del tórax al final de esta sección refuerza la importancia del conocimiento de la anatomía seccional en la interpretación de imágenes de secciones transversales de RM y TC.

La sección sobre el abdomen ha sido la más extensamente revisada por lo que hace a líneas y leyendas. Por petición popular, la lámina que muestra las variaciones más frecuentes en las ramas de la arteria celíaca, que aparecía en la primera edición, se ha vuelto a incluir de nuevo.

La anatomía de la pelvis es un área especialmente difícil de enseñar y, debido a la profundidad y compacta organización anatómica de las estructuras internas, difícil de ilustrar. Las imágenes de Netter de la anatomía de la pelvis destacan por la claridad de su presentación y su amplia cobertura. Se ha eliminado un número muy pequeño de láminas para permitir la inclusión de ilustraciones de la fascia pélvica, una visión parasagital del ligamento ancho e imágenes de técnicas diagnósticas no patológicas (radiografías masculina y femenina, cistouretrografías e histerosalpingografía). Las imágenes comparadas de la anatomía pélvica masculina y femenina se han reorganizado para permitir compararlas una al lado de otra.

Por primera vez, se han incluido TC de arteriografías en las secciones sobre miembro superior y miembro inferior. Esta tecnología no sólo demuestra con claridad los vasos sanguíneos, sino que revela gráficamente sus puntos de referencia óseos. Los ligamentos del carpo se han ilustrado con mayor detalle

Prólogo

para reflejar su creciente importancia en las técnicas artroscópicas y otras aplicaciones de nuevas tecnologías en esa articulación.

Esperamos que disfrute con esta nueva edición del *Atlas de Anatomía Humana* y la encuentre útil para el estudio y la práctica profesional. Para la edición estándar y para dar mayor valor a la edición internacional del *Atlas*, hemos incluido el acceso a la dirección web www.netteranatomy.com. Registrándose en esa dirección web, usted tendrá acceso a material suplementario que ha sido organizado para ayudarle a comprender mejor la

anatomía y su aplicación en la práctica clínica. Más información sobre la dirección web, que incluye el código PIN de acceso, puede encontrarse en la contracubierta de la portada del *Atlas*.

Jennifer K. Brueckner, PhD
Stephen W. Carmichael, PhD, Dsc
Thomas R. Gest, PhD
Noelle A. Granger, PhD
John T. Hansen, PhD
Anil H. Walji, MD, PhD

Agradecimientos

Ha sido un placer trabajar con los otros miembros del consejo editorial, Carlos Machado, MD, y el personal de Elsevier. Desearía expresar un especial agradecimiento a John Hansen, PhD, por darme la oportunidad de trabajar en este equipo editorial. Estoy en deuda con mi familia por el soporte y aliento que me han ofrecido.

Jennifer K. Brueckner, PhD

Quisiera dar las gracias a los especialistas de la Mayo Clinic que ayudaron a revisar las ilustraciones, especialmente Richard A. Berger, MD, PhD, Shawn W. O'Driscoll, MD, PhD, Enrique A. Sabater, MD, y Robert J. Spinner, MD.

Stephen W. Carmichael, PhD, DSc

Debo dar gracias a mi familia y especialmente a mi hija Madison y a mi hijo Taylor por su apoyo y comprensión durante el esfuerzo realizado en esta tarea editorial. Ha sido un placer trabajar con mis colegas del consejo editorial y con el personal de Elsevier. Ha sido un verdadero placer trabajar con el Dr. Carlos Machado en los cambios a las ilustraciones de esta 4.^a edición.

Thomas R. Gest, PhD

Estoy profundamente agradecida a mis colegas de la University of North Carolina School of Medicine: James Scatliff, MD, antiguo Chair del departamento de radiología, por su ayuda con las imágenes radiológicas, y O. W. Henson, PhD, Professor Emeritus of Anatomy, por sus sugerencias. Deseo expresar un especial agradecimiento a Carlos Machado, excepcional ilustrador cuyo talento hace que cualquier cambio requerido en las láminas originales sea al mismo tiempo impecable y bello.

Noelle A. Granger, PhD

Quisiera dar las gracias a Marybeth Thiel, *development editor*, a su extraordinario ilustrador médico el Dr. Carlos Machado y a todo el equipo editorial, de producción, diseño, ilustración y marketing de Elsevier por cuidar esta edición hasta el final. A todos nuestros estudiantes, pasados, presentes y futuros: este *Atlas* es para ellos. Finalmente a mi esposa, Paula, gracias por su amor y apoyo a lo largo de los años.

John T. Hansen, PhD

Quisiera dar las gracias a mi esposa, Parviz, y a mis hijas, Amreen y Farah, por su paciencia y constante apoyo y aliento durante mi implicación en este proyecto. Mi agradecimiento especial al Dr. Carlos Machado, a quien profeso la mayor admiración por su brillante trabajo artístico y con quien trabajar ha sido un enorme placer. También quisiera expresar mi sincero agradecimiento a todo el excelente personal de Elsevier, en particular a Linda Belfus por su ejemplar capacidad de liderazgo y a Anne Lenehan, Marybeth Thiel y Cecelia Bayruns por su arduo trabajo, paciencia y dedicación, sin los cuales este *Atlas* no habría sido posible. Finalmente, quisiera dar las gracias a mis compañeros coeditores y a todos los colegas que han ayudado en la revisión de las láminas, en particular a Pierre Lemelin, PhD, y Daniel Livy, PhD, cuyo examen meticuloso de la ilustración ha ayudado en gran parte a asegurar la precisión de la sección de cabeza y cuello de esta edición.

Anil H. Walji, MD, PhD

Prefacio a la primera edición

A menudo he dicho que mi carrera como artista de la medicina durante casi 50 años ha sido una forma de «cumplimiento de una orden», en el sentido de que se ha desarrollado en respuesta a los deseos y necesidades de la profesión médica. Durante todos estos años he realizado casi 4.000 ilustraciones, mayoritariamente para la *Colección CIBA* (ahora *Netter*) de *Ilustraciones Médicas*, pero también para *Clinical Symposia*. Estos dibujos están relacionados con la variedad de subdivisiones del conocimiento médico, como la anatomía macroscópica, histología, embriología, fisiología, patología, métodos diagnósticos, técnicas quirúrgicas y terapéuticas, y manifestaciones clínicas de una gran variedad de enfermedades. Sin embargo, con el paso de los años ha habido más y más peticiones de médicos y estudiantes para que realizase un atlas puramente de anatomía macroscópica. Así se ha originado este *Atlas*, no gracias a mi inspiración, sino, al igual que la mayoría de mis trabajos anteriores, para cumplir los deseos de la profesión médica.

Ello ha implicado volver atrás y repasar todas las ilustraciones que durante tantos años había realizado, seleccionar las referentes a anatomía macroscópica, clasificarlas y organizarlas por sistemas o regiones, adaptarlas al tamaño de las páginas y ordenarlas con una secuencia lógica. La anatomía, por supuesto, no cambia, pero nuestra comprensión de la anatomía y su significación clínica sí lo hacen, al igual que la terminología y la nomenclatura anatómicas. Todo ello requirió, por tanto, una gran adaptación de muchos de los dibujos más antiguos e incluso la revisión de gran número de éstos, a fin de hacerlos más adecuados a la visión actual siempre en expansión de la prác-

tica médica y quirúrgica. Además, encontré que había vacíos en la representación gráfica del conocimiento médico, tal y como lo había dibujado en las ilustraciones anteriores, lo que precisó que realizase un número de dibujos nuevos que se incluyen en este volumen.

Al crear un atlas como éste, es importante conseguir un equilibrio adecuado entre la complejidad y la simplificación. Si los dibujos son demasiado complejos, pueden resultar difíciles y confusos al leerlos; si se sobresimplifican, es posible que no resulten definidos adecuadamente o sean incluso engañosos. Por tanto, he apostado por un término medio de realismo sin la confusión de las minuciosidades. Espero que los estudiantes y miembros de las profesiones médicas y paramédicas encontrarán las ilustraciones fácilmente comprensibles, a la vez que instructivas y útiles.

En un momento determinado, el editor y yo pensamos que sería interesante incluir un prólogo de un anatomista realmente sobresaliente y de prestigio, pero hay tantos en esta categoría, muchos de los cuales han colaborado conmigo en el pasado o se hallan ya citados en algún lugar de este volumen, que no pudimos llegar a elegir a uno. Pensamos en hombres como Vesalio, Leonardo da Vinci, William Hunter y Henry Gray, quienes, por supuesto, son desgraciadamente inaccesibles, aunque realmente me pregunto cuáles hubieran sido sus comentarios sobre este ATLAS.

FRANK H. NETTER, M.D.
(1906-1991)



Frank H. Netter nació en la ciudad de Nueva York en 1906. Estudió arte en la Art Student's League y en la National Academy of Design antes de entrar en la Facultad de Medicina de la Universidad de Nueva York, donde se licenció en medicina en 1931. Durante sus años de estudiante, los esquemas de los apuntes del Dr. Netter atrajeron la atención de los profesores de la facultad y de otros médicos, lo cual le permitió aumentar sus ingresos ilustrando artículos y libros de texto. Después de establecer una clínica quirúrgica en 1933, continuó dibujando como actividad paralela, pero finalmente optó por dejar la práctica de la cirugía y dedicarse al arte a tiempo completo. Tras servir en el ejército estadounidense durante la Segunda Guerra Mundial, el Dr. Netter empezó su larga colaboración con la compañía farmacéutica CIBA (actualmente Novartis Pharmaceuticals). Esta asociación duró 45 años y dio como resultado una extraordinaria colección de ilustraciones bien conocidas por los médicos y otros profesionales de la salud del mundo entero.

Icon Learning Systems adquirió la Colección Netter en julio de 2000 y continuó poniendo al día la obra original del Dr. Netter, así como añadiendo nuevos dibujos encargados a artistas entrenados en el mismo estilo. En 2005, Elsevier Inc. compró la Colección Netter y todas las publicaciones de Icon Learning Systems. Existen actualmente más de 50 publicaciones de Elsevier Inc. en que figuran ilustraciones del Dr. Netter.

Los trabajos del Dr. Netter se encuentran entre los más bellos ejemplos del uso de la ilustración en la enseñanza de los conceptos médicos. Los 13 libros de la Colección Netter de ilustraciones médicas, que incluyen la mayor parte de los más de 20.000 dibujos creados por el Dr. Netter, fueron y siguen siendo uno de los trabajos médicos más famosos hasta ahora publicados. El Atlas de Anatomía Humana de Netter, publicado por primera vez en 1989, muestra los dibujos anatómicos de la Colección Netter. Traducido a 11 idiomas, es el atlas de anatomía de elección entre los estudiantes de medicina y los profesionales sanitarios de todo el mundo.

Estas ilustraciones se aprecian no sólo por sus cualidades estéticas sino, lo que es más importante, por su contenido intelectual. Como escribió el Dr. Netter en 1949, «... la clarificación de un tema constituye el objetivo y finalidad de la ilustración. No importa la belleza de la pintura, ni cuán delicada y sutil sea la representación del tema, ya que tendrá poco valor como ilustración médica si no sirve para esclarecer un determinado concepto». El planteamiento, concepción, punto de vista y enfoque del Dr. Netter son lo que da coherencia a sus dibujos y lo que los hace tan valiosos intelectualmente.

Frank H. Netter, MD, médico y artista, falleció en 1991.

Contenido

Sección 1 **Cabeza y cuello**

Anatomía de superficie	Lámina	1
Huesos y ligamentos	Láminas	2-22
Cara superficial	Láminas	23-26
Cuello	Láminas	27-35
Región nasal	Láminas	36-50
Región bucal	Láminas	51-62
Faringe	Láminas	63-73
Glándula tiroides y laringe	Láminas	74-80
Órbita y contenido	Láminas	81-91
Oído	Láminas	92-98
Meninges y encéfalo	Láminas	99-115
Nervios craneales y cervicales	Láminas	116-135
Vasculatura cerebral	Láminas	136-148
Exploraciones regionales	Láminas	149-151

Sección 2 **Dorso y médula espinal**

Anatomía de superficie	Lámina	152
Huesos y ligamentos	Láminas	153-159
Médula espinal	Láminas	160-173
Músculos y nervios	Láminas	174-180

Sección 3 **Tórax**

Anatomía de superficie	Lámina	181
Glándula mamaria	Láminas	182-184
Pared corporal	Láminas	185-195
Pulmones	Láminas	196-210
Corazón	Láminas	211-229
Mediastino	Láminas	230-241
Exploraciones regionales	Lámina	242
Anatomía seccional	Láminas	243-246

Sección 4 **Abdomen**

Anatomía de superficie	Lámina	247
Pared corporal	Láminas	248-267
Cavidad peritoneal	Láminas	268-274
Vísceras (intestino)	Láminas	275-285
Vísceras (órganos accesorios)	Láminas	286-299
Vasculatura visceral	Láminas	300-317
Inervación	Láminas	318-328
Riñones y glándulas suprarrenales	Láminas	329-347
Secciones abdominales	Láminas	348-349
Exploraciones regionales	Lámina	350

Sección 5 **Pelvis y periné**

Anatomía de superficie	Lámina	351
Huesos y ligamentos	Láminas	352-355
Suelo de la pelvis y contenido	Láminas	356-364
Vejiga urinaria	Láminas	365-368
Útero, vagina y estructuras de soporte	Láminas	369-375
Anatomía seccional	Lámina	376
Periné y genitales externos: mujer	Láminas	377-379
Periné y genitales externos: varón	Láminas	380-387
Estructuras homólogas de los genitales	Láminas	388-389
Testículo, epidídimo y conducto deferente	Lámina	390
Recto	Láminas	391-396
Exploraciones regionales	Lámina	397
Vasculatura	Láminas	398-408
Inervación	Láminas	409-417

Sección 6 **Miembro superior**

Anatomía de superficie	Lámina	418
Hombro y axila	Láminas	419-430
Brazo	Láminas	431-435
Codo y antebrazo	Láminas	436-451
Carpo y mano	Láminas	452-471
Inervación y vasculatura	Láminas	472-483
Exploraciones regionales	Lámina	484

Sección 7 **Miembro inferior**

Anatomía de superficie	Lámina	485
Cadera y muslo	Láminas	486-505
Rodilla	Láminas	506-512
Pierna	Láminas	513-522
Tobillo y pie	Láminas	523-537
Inervación y vasculatura	Láminas	538-546
Exploraciones regionales	Lámina	547

Sección 8 **Anatomía seccional**

Figuras clave para las secciones transversales	Lámina	548
Bibliografía		
Índice alfabético		

Contenido

Sección 1 **Cabeza y cuello**

Anatomía de superficie	Lámina	1
Huesos y ligamentos	Láminas	2-22
Cara superficial	Láminas	23-26
Cuello	Láminas	27-35
Región nasal	Láminas	36-50
Región bucal	Láminas	51-62
Faringe	Láminas	63-73
Glándula tiroides y laringe	Láminas	74-80
Órbita y contenido	Láminas	81-91
Oído	Láminas	92-98
Meninges y encéfalo	Láminas	99-115
Nervios craneales y cervicales	Láminas	116-135
Vasculatura cerebral	Láminas	136-148
Exploraciones regionales	Láminas	149-151

Sección 2 **Dorso y médula espinal**

Anatomía de superficie	Lámina	152
Huesos y ligamentos	Láminas	153-159
Médula espinal	Láminas	160-173
Músculos y nervios	Láminas	174-180

Sección 3 **Tórax**

Anatomía de superficie	Lámina	181
Glándula mamaria	Láminas	182-184
Pared corporal	Láminas	185-195
Pulmones	Láminas	196-210
Corazón	Láminas	211-229
Mediastino	Láminas	230-241
Exploraciones regionales	Lámina	242
Anatomía seccional	Láminas	243-246

Sección 4 **Abdomen**

Anatomía de superficie	Lámina	247
Pared corporal	Láminas	248-267
Cavidad peritoneal	Láminas	268-274
Vísceras (intestino)	Láminas	275-285
Vísceras (órganos accesorios)	Láminas	286-299
Vasculatura visceral	Láminas	300-317
Inervación	Láminas	318-328
Riñones y glándulas suprarrenales	Láminas	329-347
Secciones abdominales	Láminas	348-349
Exploraciones regionales	Lámina	350

Sección 5 **Pelvis y periné**

Anatomía de superficie	Lámina	351
Huesos y ligamentos	Láminas	352-355
Suelo de la pelvis y contenido	Láminas	356-364
Vejiga urinaria	Láminas	365-368
Útero, vagina y estructuras de soporte	Láminas	369-375
Anatomía seccional	Lámina	376
Periné y genitales externos: mujer	Láminas	377-379
Periné y genitales externos: varón	Láminas	380-387
Estructuras homólogas de los genitales	Láminas	388-389
Testículo, epidídimo y conducto deferente	Lámina	390
Recto	Láminas	391-396
Exploraciones regionales	Lámina	397
Vasculatura	Láminas	398-408
Inervación	Láminas	409-417

Sección 6 **Miembro superior**

Anatomía de superficie	Lámina	418
Hombro y axila	Láminas	419-430
Brazo	Láminas	431-435
Codo y antebrazo	Láminas	436-451
Carpo y mano	Láminas	452-471
Inervación y vasculatura	Láminas	472-483
Exploraciones regionales	Lámina	484

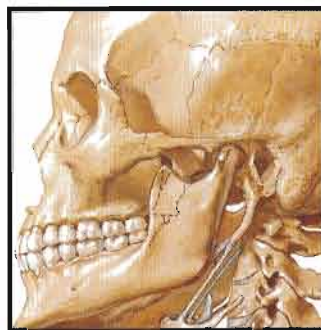
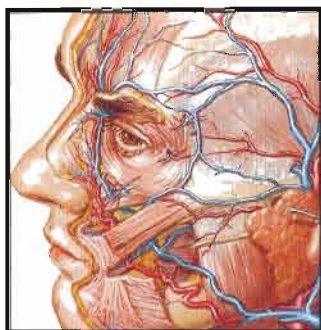
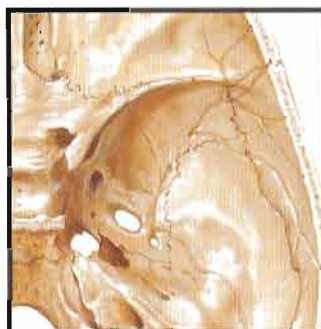
Sección 7 **Miembro inferior**

Anatomía de superficie	Lámina	485
Cadera y muslo	Láminas	486-505
Rodilla	Láminas	506-512
Pierna	Láminas	513-522
Tobillo y pie	Láminas	523-537
Inervación y vasculatura	Láminas	538-546
Exploraciones regionales	Lámina	547

Sección 8 **Anatomía seccional**

Figuras clave para las secciones transversales	Lámina	548
Bibliografía		
Índice alfabético		

Sección 1 Cabeza y cuello



Anatomía de superficie

Lámina 1

- 1 Cabeza y cuello

Huesos y ligamentos

Láminas 2-22

- 2 Cráneo: visión anterior
- 3 Cráneo: radiografía anteroposterior
- 4 Cráneo: visión lateral
- 5 Cráneo: radiografía lateral
- 6 Cráneo: sección sagital media
- 7 Calvaria
- 8 Base del cráneo: visión inferior
- 9 Huesos de la base del cráneo: visión superior
- 10 Agujeros de la base del cráneo: visión inferior
- 11 Agujeros de la base del cráneo: visión superior
- 12 Cráneo de recién nacido
- 13 Esqueleto óseo de cabeza y cuello
- 14 Base del cráneo: fosas pterigoideas
- 15 Mandíbula
- 16 Articulación temporomandibular
- 17 Vértebras cervicales: atlas y axis
- 18 Vértebras cervicales (*continuación*)
- 19 Vértebras cervicales: articulaciones uncovertebrales
- 20 Cambios degenerativos en vértebras cervicales
- 21 Ligamentos craneocervicales externos
- 22 Ligamentos craneocervicales internos

Cabeza y cuello

Cara superficial

Láminas 23–26

- 23 Arterias y venas superficiales de la cara y cuero cabelludo
- 24 Nervios cutáneos de la cabeza y cuello
- 25 Ramos del nervio facial y glándula parótida
- 26 Músculos de la expresión facial: visión lateral

Cuello

Láminas 27–35

- 27 Músculos del cuello: visión lateral
- 28 Músculos del cuello: visión anterior
- 29 Músculos suprahioideos e infrahioideos
- 30 Músculos escalenos y prevertebrales
- 31 Venas superficiales y nervios cutáneos del cuello
- 32 Plexo cervical in situ
- 33 Arteria subclavia
- 34 Arterias carótidas
- 35 Fascias del cuello

Región nasal

Láminas 36–50

- 36 Nariz
- 37 Pared lateral de la cavidad nasal
- 38 Pared lateral de la cavidad nasal (*continuación*)
- 39 Pared medial de la cavidad nasal (tabique nasal)
- 40 Arteria maxilar
- 41 Arterias de la cavidad nasal: tabique nasal reclinado hacia arriba
- 42 Nervios de la cavidad nasal: tabique nasal reclinado hacia arriba
- 43 Nervios de la cavidad nasal (*continuación*)
- 44 Inervación autónoma de la cavidad nasal
- 45 Nervios oftálmico (V₁) y maxilar (V₂)
- 46 Nervio mandibular (V₃)
- 47 Cavidad nasal y senos paranasales: sección transversal
- 48 Senos paranasales
- 49 Senos paranasales (*continuación*)
- 50 Senos paranasales: cambios con la edad

Región bucal

Láminas 51–62

- 51 Inspección de la cavidad bucal
- 52 Techo de la boca
- 53 Suelo de la boca
- 54 Músculos implicados en la masticación
- 55 Músculos implicados en la masticación (*continuación*)
- 56 Dientes
- 57 Dientes (*continuación*)
- 58 Lengua
- 59 Lengua (*continuación*)
- 60 Lengua y glándulas salivales: secciones
- 61 Glándulas salivales
- 62 Inervación aferente de la boca y faringe

Faringe

Láminas 63–73

- 63 Faringe: sección media (sagital)
- 64 Fauces
- 65 Músculos de la faringe: sección media (sagital)
- 66 Faringe: visión posterior abierta
- 67 Músculos de la faringe: visión posterior abierta parcialmente
- 68 Músculos de la faringe: visión lateral
- 69 Arterias de las regiones bucal y faríngea
- 70 Venas de las regiones bucal y faríngea
- 71 Nervios de las regiones bucal y faríngea
- 72 Vasos y nódulos linfáticos de la cabeza y cuello
- 73 Vasos y nódulos linfáticos de la faringe y lengua

Glándula tiroides y laringe

Láminas 74–80

- 74 Glándula tiroides: visión anterior
- 75 Glándula tiroides y faringe: visión posterior
- 76 Glándulas paratiroides
- 77 Cartílagos de la laringe
- 78 Músculos intrínsecos de la laringe
- 79 Acciones de los músculos intrínsecos de la laringe
- 80 Nervios de la laringe

Órbita y contenido

Láminas 81–91

- 81 Párpados
- 82 Aparato lagrimal
- 83 Fascias de la órbita y globo ocular
- 84 Músculos extrínsecos del ojo
- 85 Arterias y venas de la órbita y párpados
- 86 Nervios de la órbita
- 87 Globo ocular
- 88 Cámaras anterior y posterior del ojo
- 89 Lente y estructuras de soporte
- 90 Arterias y venas intrínsecas del ojo
- 91 Aporte vascular del ojo

Oído

Láminas 92–98

- 92 Vía de recepción del sonido
- 93 Oído externo y cavidad timpánica
- 94 Cavidad timpánica
- 95 Laberintos óseo y membranoso
- 96 Laberintos óseo y membranoso (*continuación*)
- 97 Orientación del laberinto en el cráneo
- 98 Trompa auditiva (faringotimpánica, de Eustaquio)

Meninges y encéfalo

Láminas 99–115

- 99 Meninges y venas diploicas
- 100 Arterias meníngeas
- 101 Hematoma epidural
- 102 Meninges y venas cerebrales superficiales
- 103 Senos venosos de la duramadre
- 104 Senos venosos de la duramadre (*continuación*)
- 105 Cerebro: visiones laterales
- 106 Cerebro: visiones mediales
- 107 Cerebro: visión inferior
- 108 Ventrículos del encéfalo
- 109 Circulación del líquido cerebroespinal (cefalorraquídeo)
- 110 Núcleos (ganglios) basales
- 111 Tálamo
- 112 Hipocampo y fórnix
- 113 Cerebelo
- 114 Tronco del encéfalo
- 115 Cuarto ventrículo y cerebelo

Nervios craneales y cervicales

Láminas 116–135

- 116 Núcleos de los nervios craneales en el tronco del encéfalo: esquema
- 117 Núcleos de los nervios craneales en el tronco del encéfalo: esquema (*continuación*)
- 118 Nervios craneales (distribución motora y sensitiva): esquema
- 119 Nervio olfatorio (I): esquema
- 120 Nervio óptico (II) (vía óptica): esquema
- 121 Nervios oculomotor (III), troclear (IV) y abducens (VI): esquema
- 122 Nervio trigémino (V): esquema
- 123 Nervio facial (VII): esquema
- 124 Nervio vestibulococlear (VIII): esquema
- 125 Nervio glossofaríngeo (IX): esquema
- 126 Nervio vago (X): esquema
- 127 Nervio accesorio (XI): esquema
- 128 Nervio hipogloso (XII): esquema
- 129 Plexo cervical: esquema

Cabeza y cuello

- 130 Nervios autónomos en el cuello
- 131 Nervios autónomos en la cabeza
- 132 Ganglio ciliar: esquema
- 133 Ganglios pterigopalatino y submandibular: esquema
- 134 Ganglio ótico: esquema
- 135 Vías gustativas: esquema

Vasculatura cerebral

Láminas 136-148

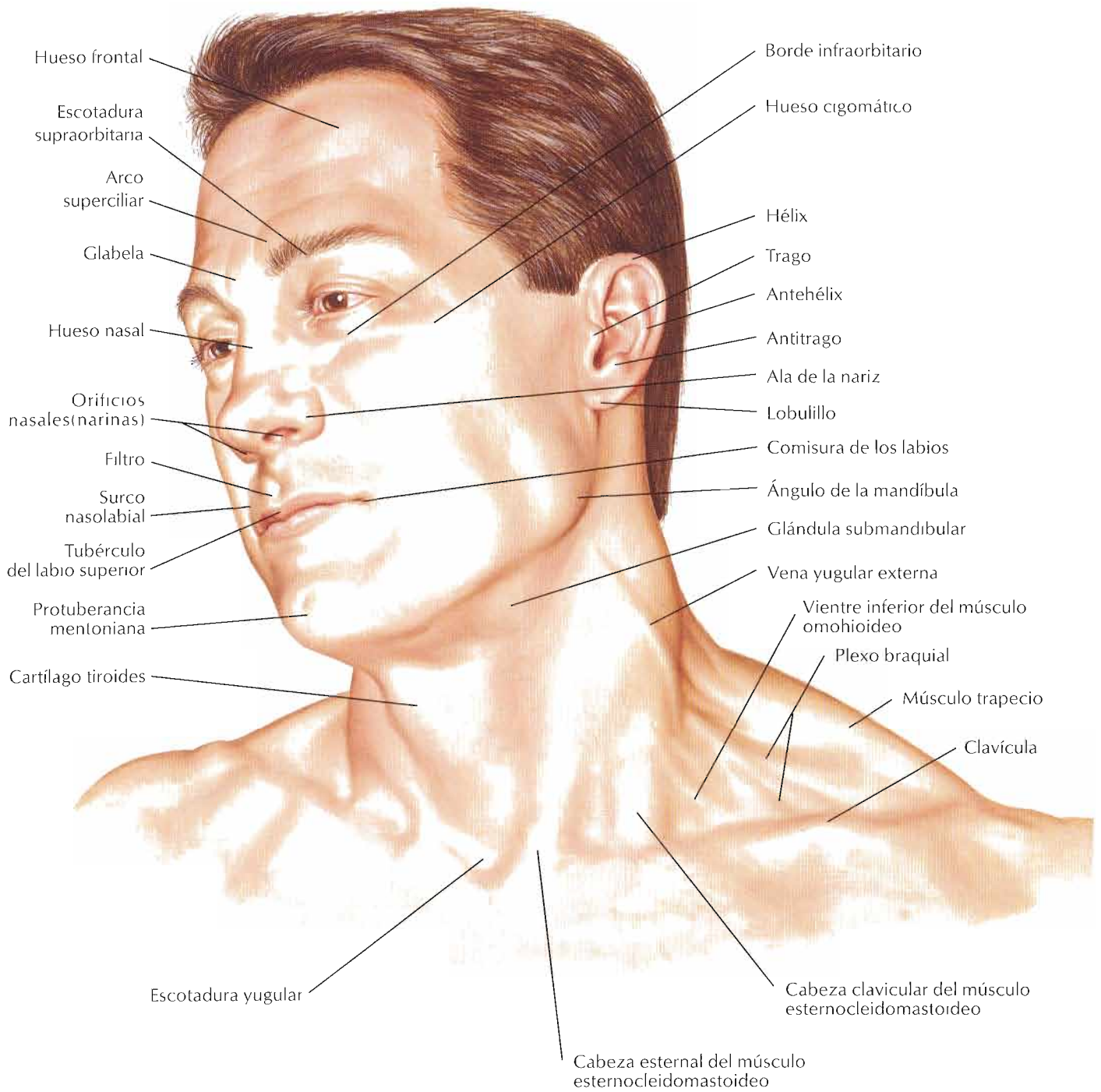
- 136 Arterias del encéfalo y meninges
- 137 Venas de la columna vertebral: venas vertebrales
- 138 Arterias del encéfalo: esquema
- 139 Arterias del encéfalo: visiones inferiores
- 140 Círculo arterial del cerebro (de Willis)

- 141 Arterias del encéfalo: visión y sección frontales
- 142 Arterias del encéfalo: visiones lateral y medial
- 143 Arterias de la fosa craneal posterior
- 144 Venas de la fosa craneal posterior
- 145 Venas profundas del encéfalo
- 146 Venas subependimarias del encéfalo
- 147 Hipotálamo e hipófisis
- 148 Arterias y venas de hipotálamo e hipófisis

Exploraciones regionales

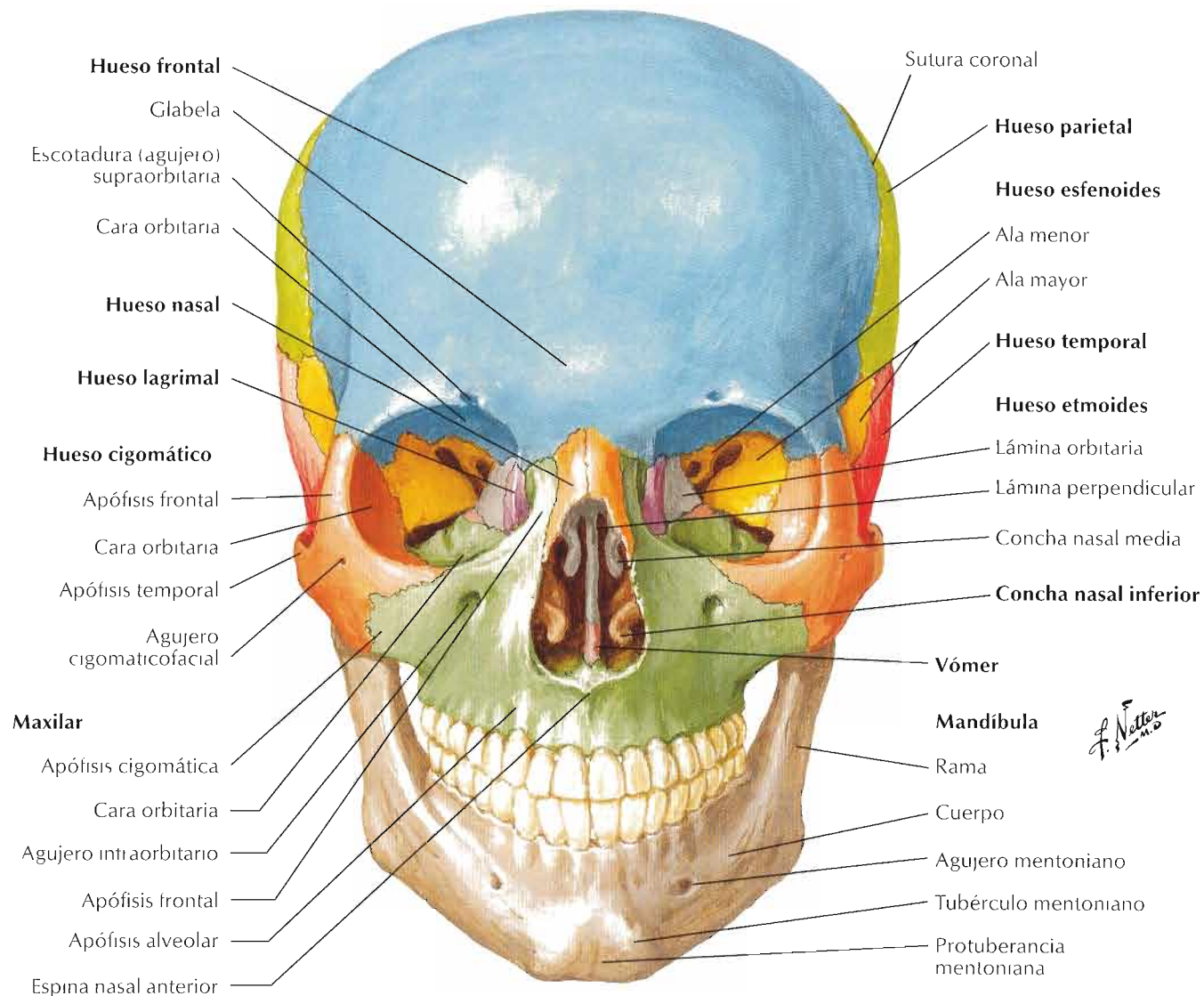
Láminas 149-151

- 149 Exploración de la cabeza: imágenes sagitales de RM
- 150 Exploración de la cabeza: imágenes axiales de TC
- 151 Exploración de la cabeza: imágenes coronales de TC



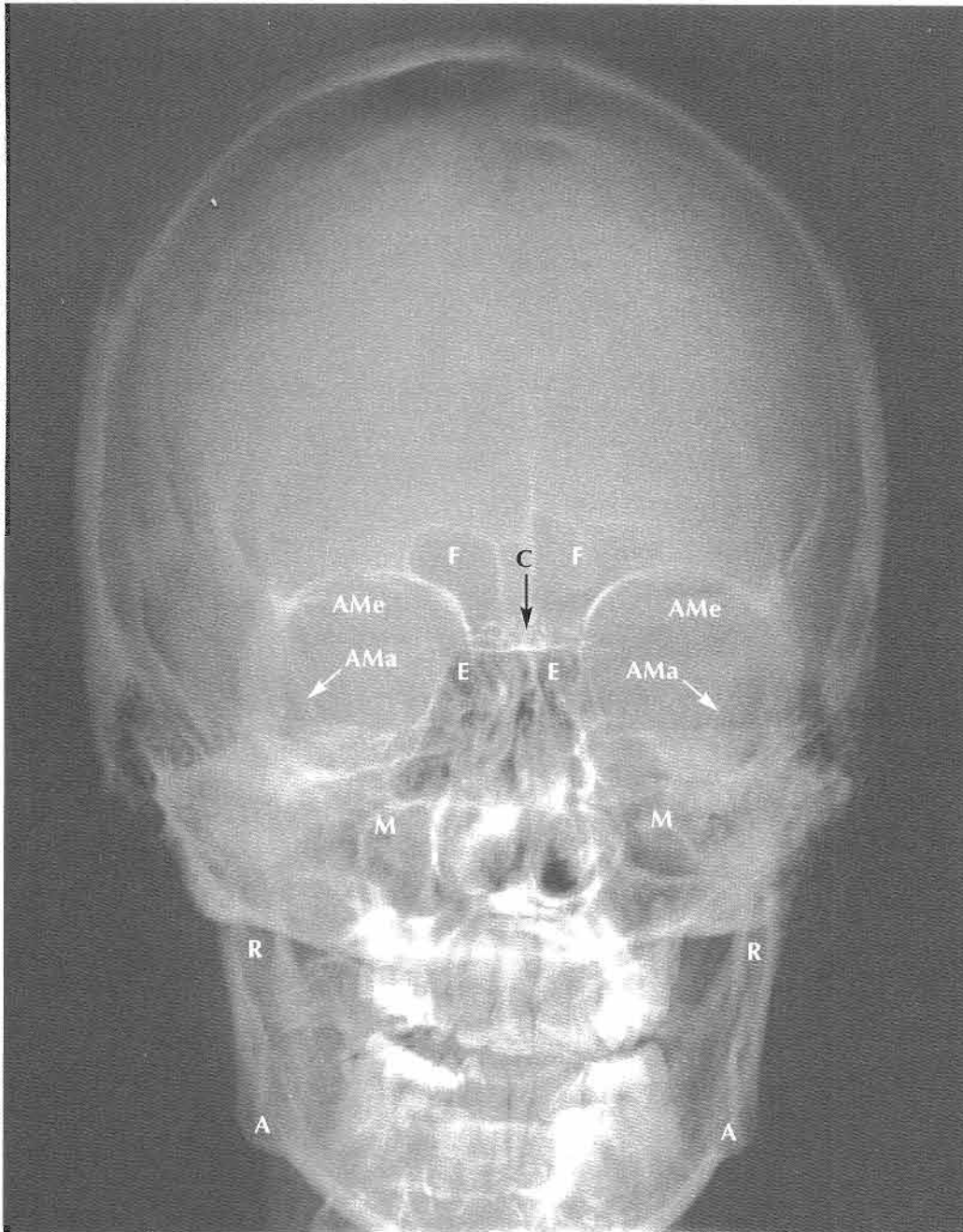
C. Machado
M.D.

1 Cráneo: visión anterior



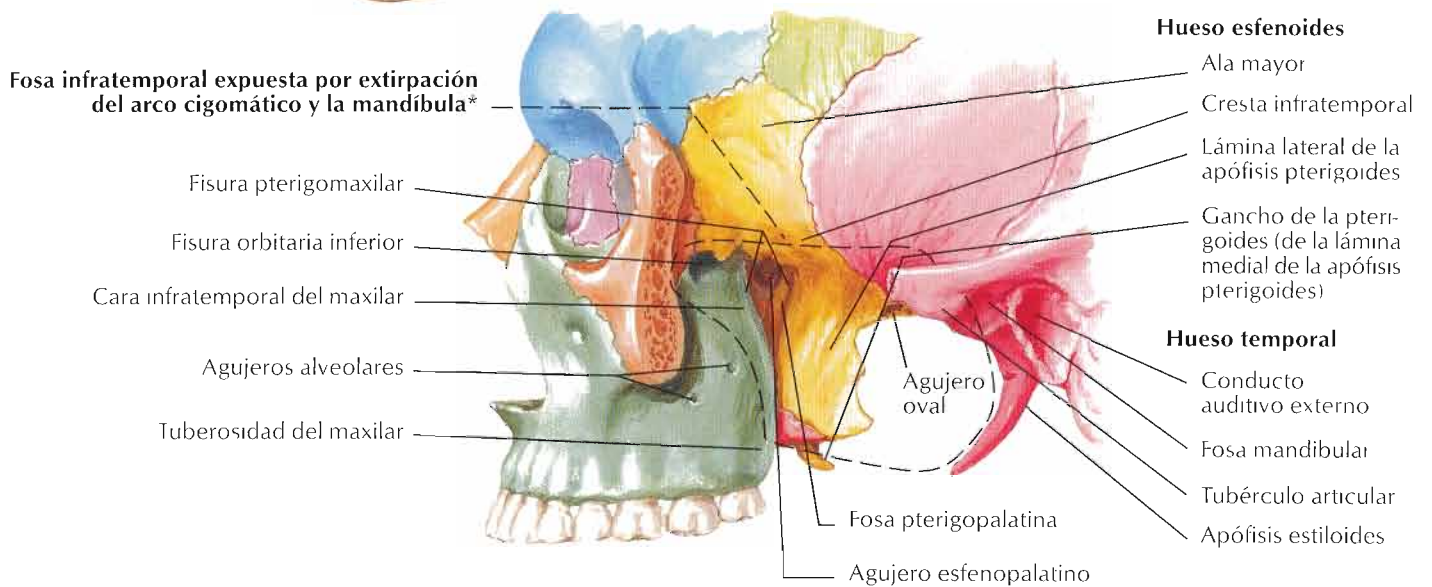
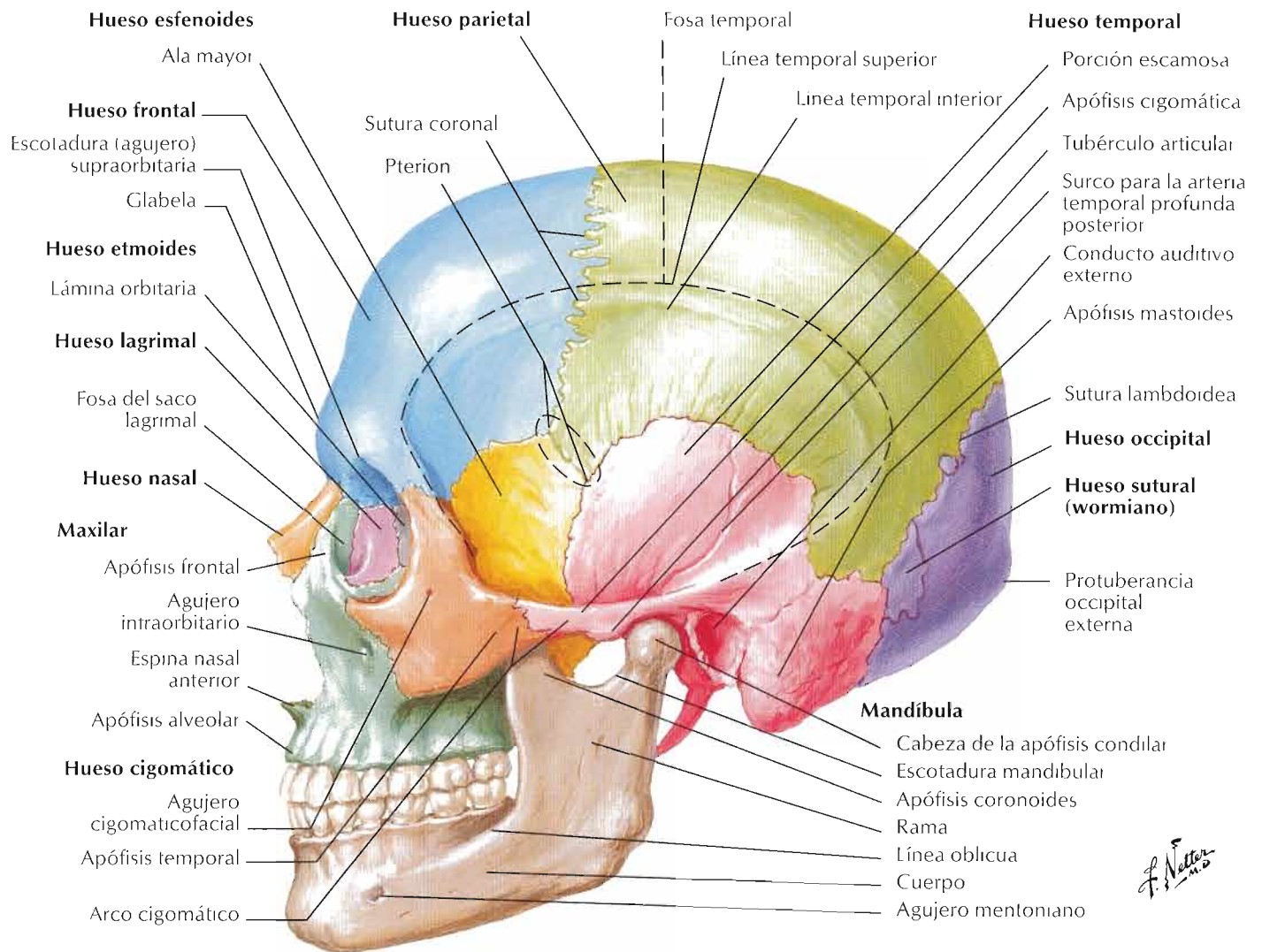
Órbita derecha: visión frontal y ligeramente lateral



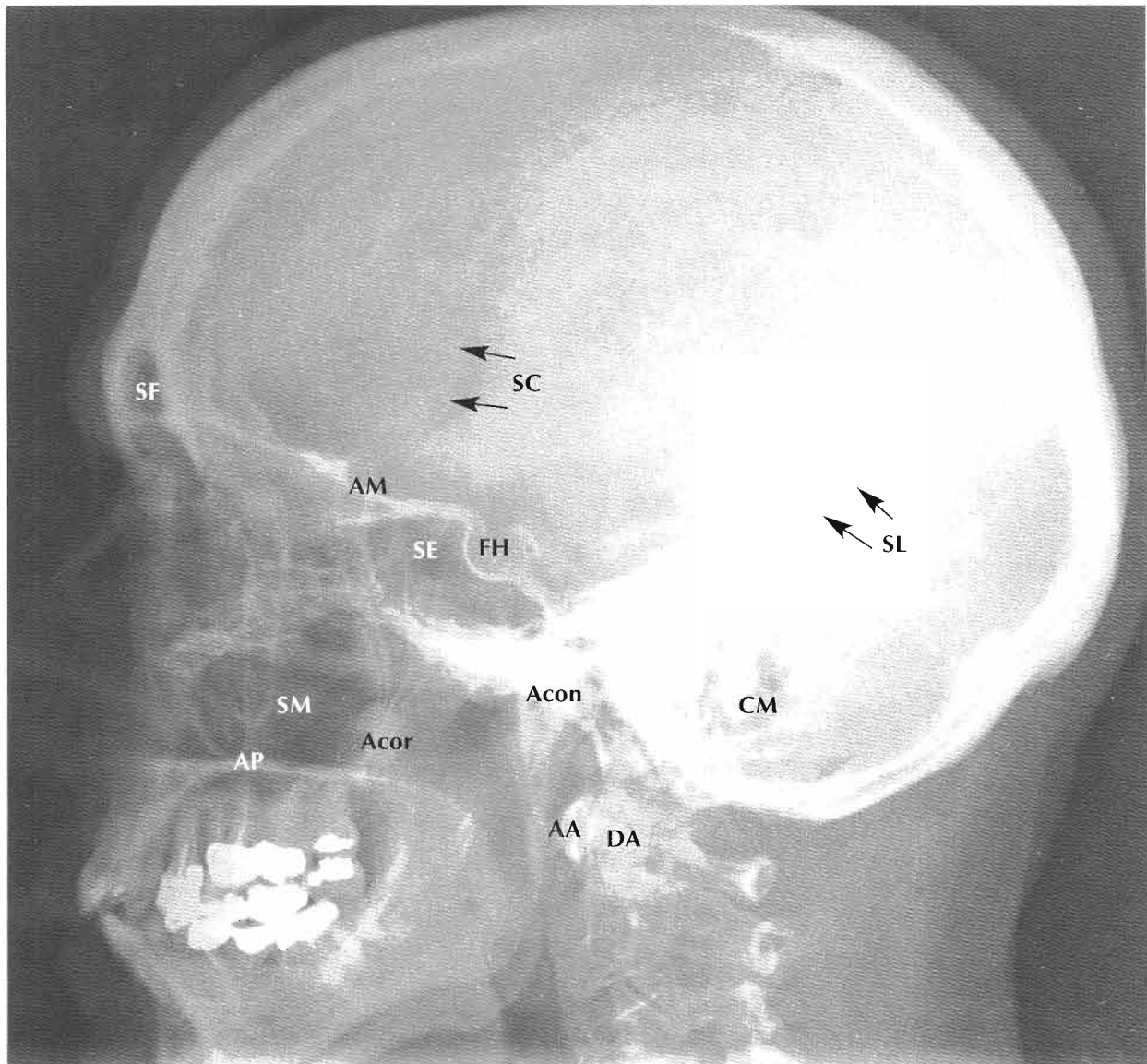


- A Ángulo de la mandíbula
- AMa Ala mayor del esfenoides
- AMe Ala menor del esfenoides
- C Crista galli
- E Celdas (senos) etmoidales
- F Seno frontal
- M Seno maxilar
- R Rama de la mandíbula

Cráneo: visión lateral

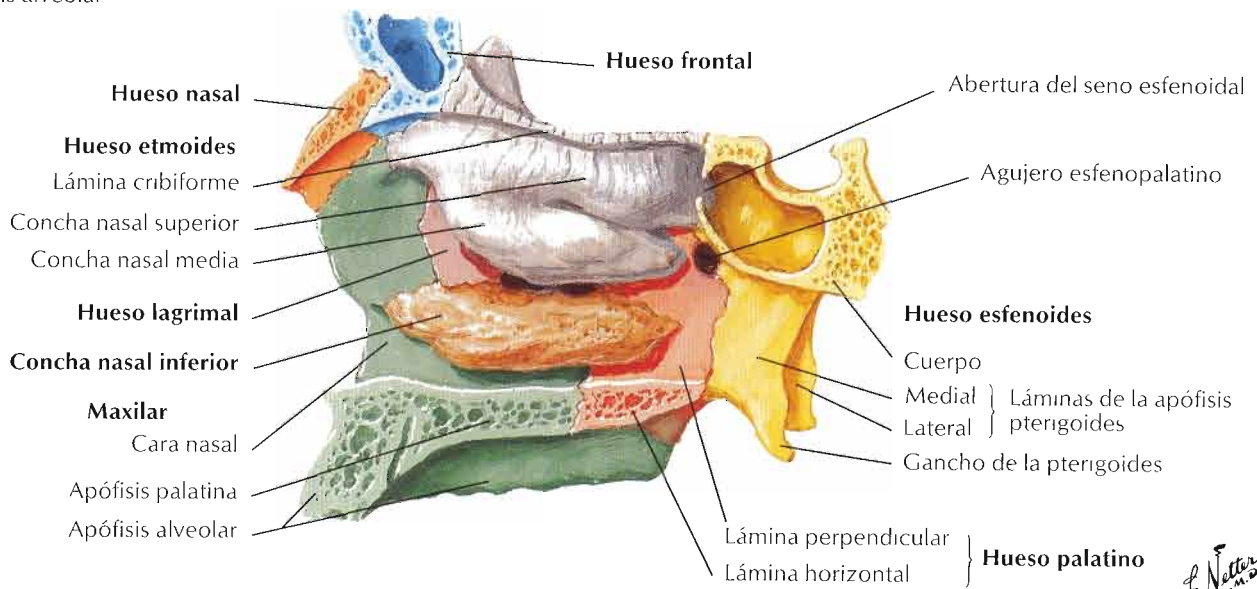
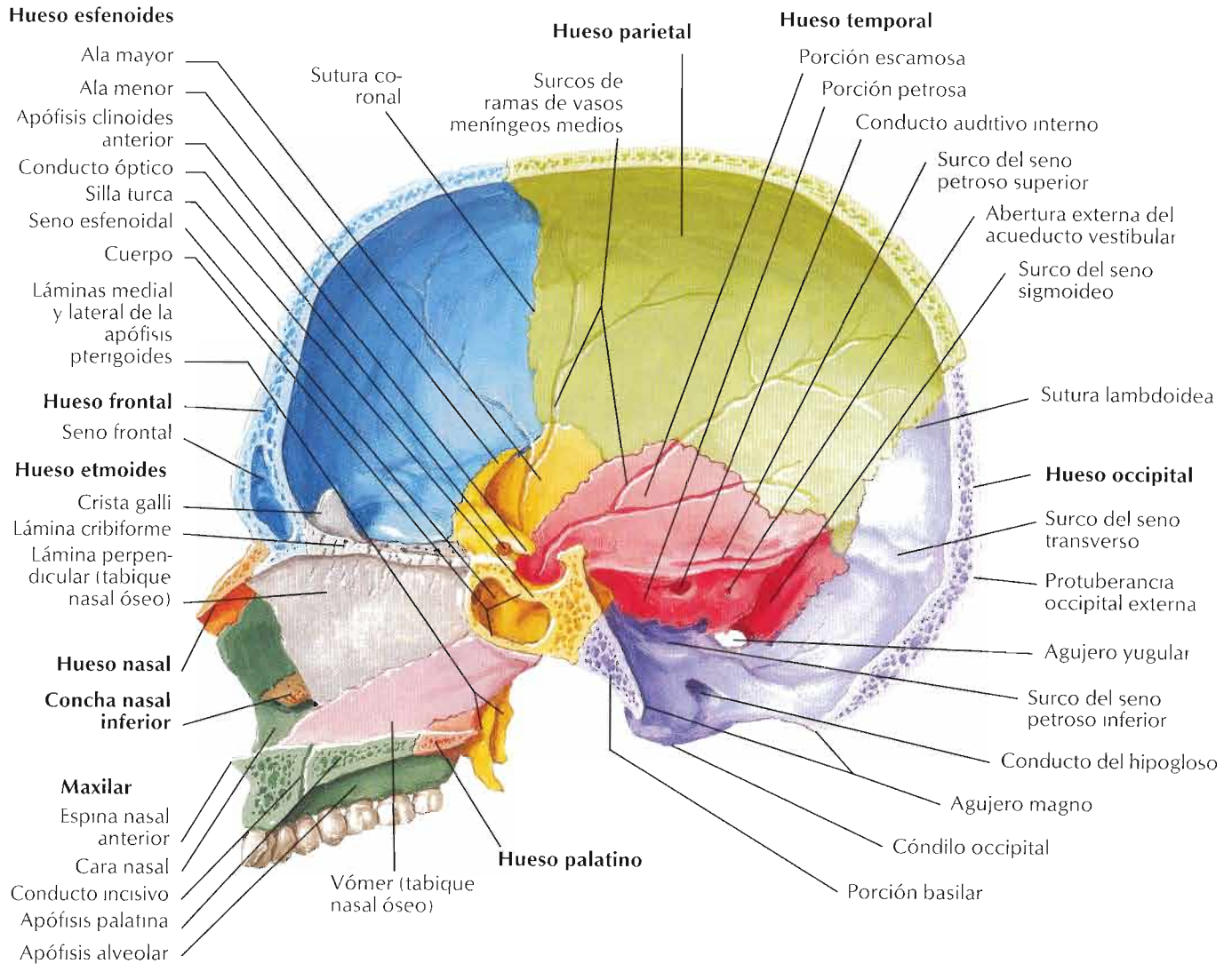


*Superficialmente, la apófisis mastoides forma el límite posterior



AA	Arco anterior del atlas (vértebra C1)	CM	Celdas mastoideas
Acon	Apófisis condilar de la mandíbula	DA	Diente del axis (vértebra C2)
Acor	Apófisis coronoides de la mandíbula	FH	Fosa hipofisaria (silla turca)
AM	Ala mayor del esfenoides	SC	Sutura coronal
AP	Apófisis palatina del maxilar	SE	Seno esfenoidal
		SF	Seno frontal
		SL	Sutura lambdoidea
		SM	Seno maxilar

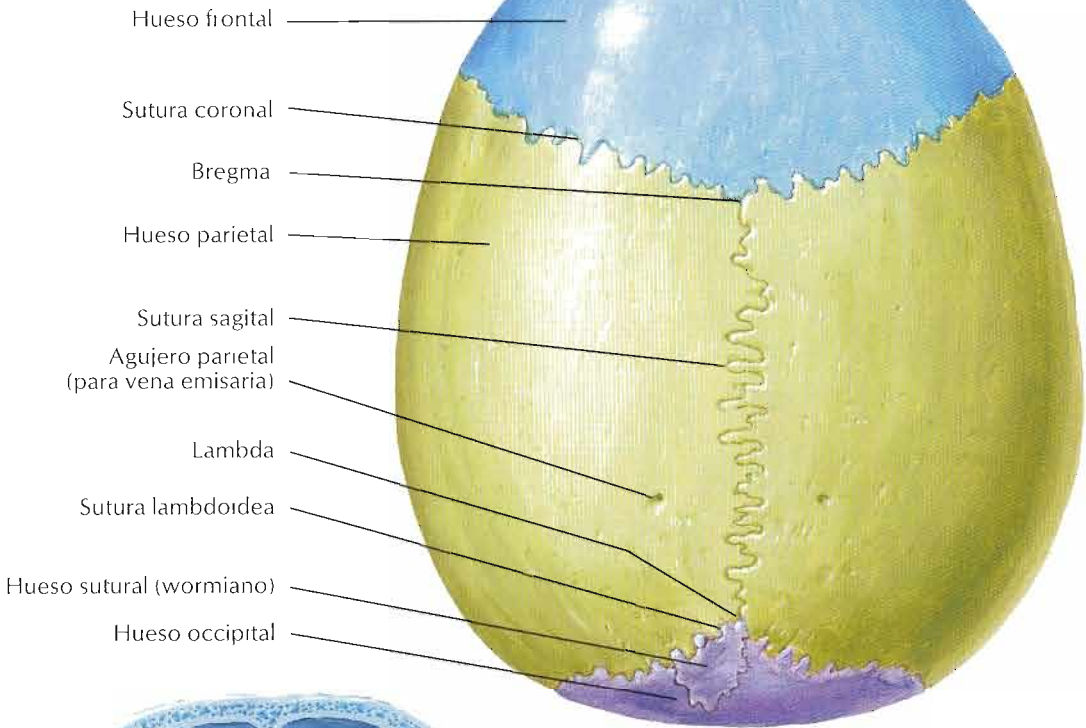
Cráneo: sección sagital media



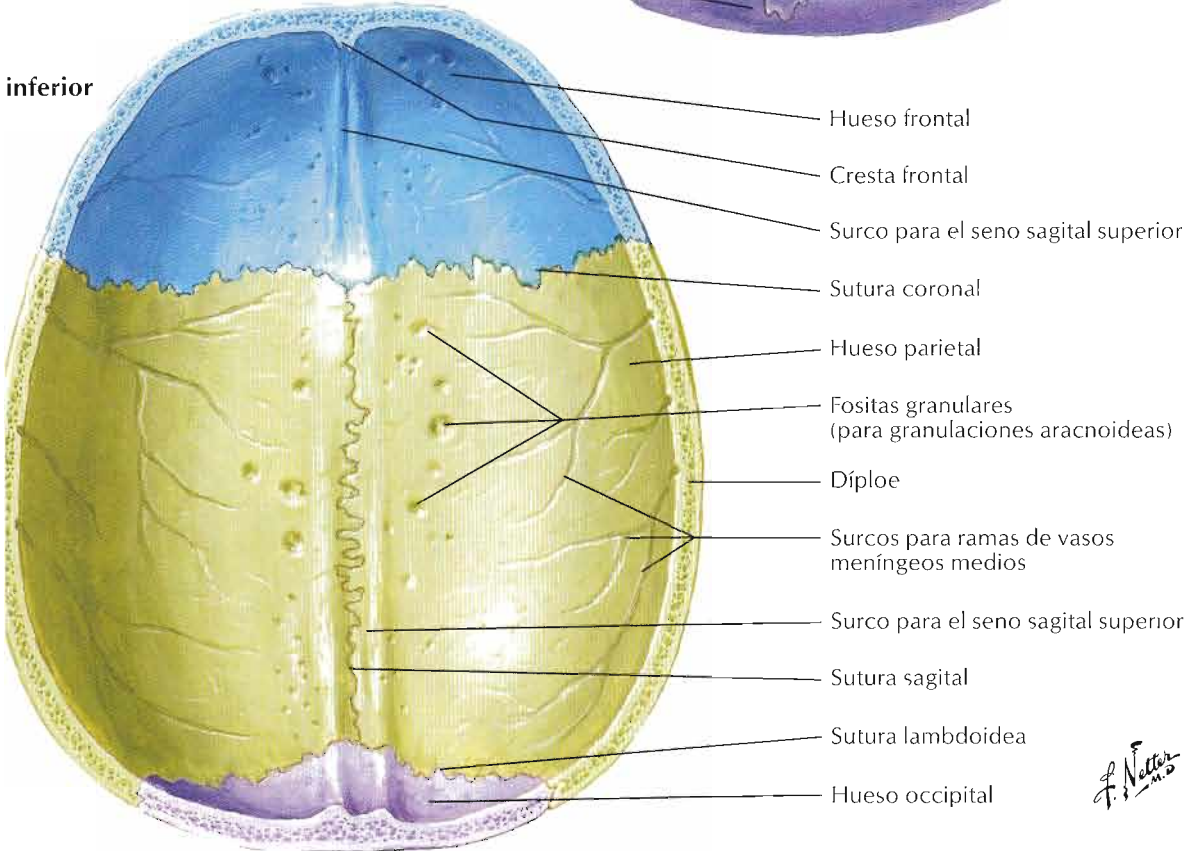
Visión de la pared nasal lateral con el tabique nasal extirpado

F. Netter M.D.

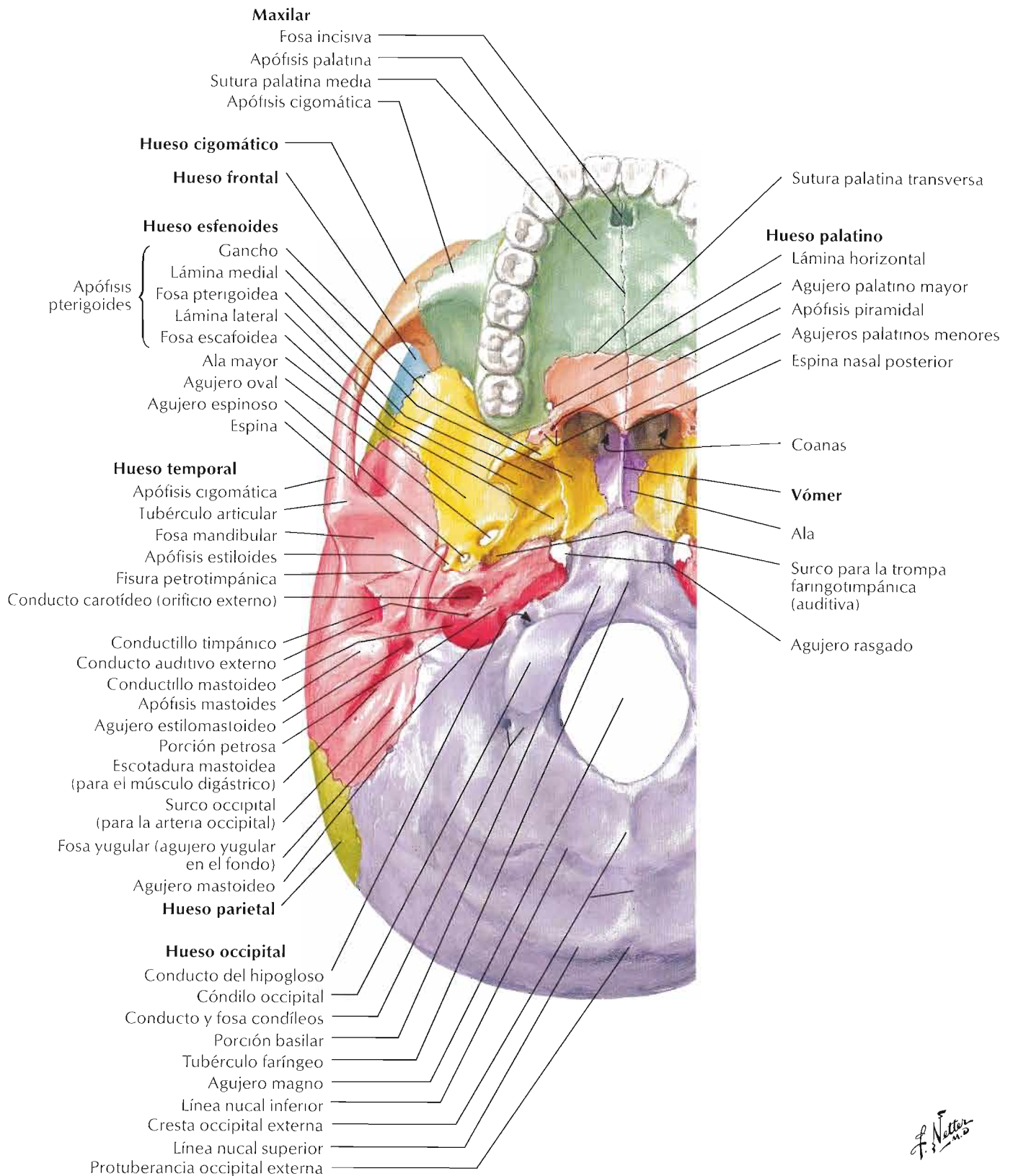
Visión superior



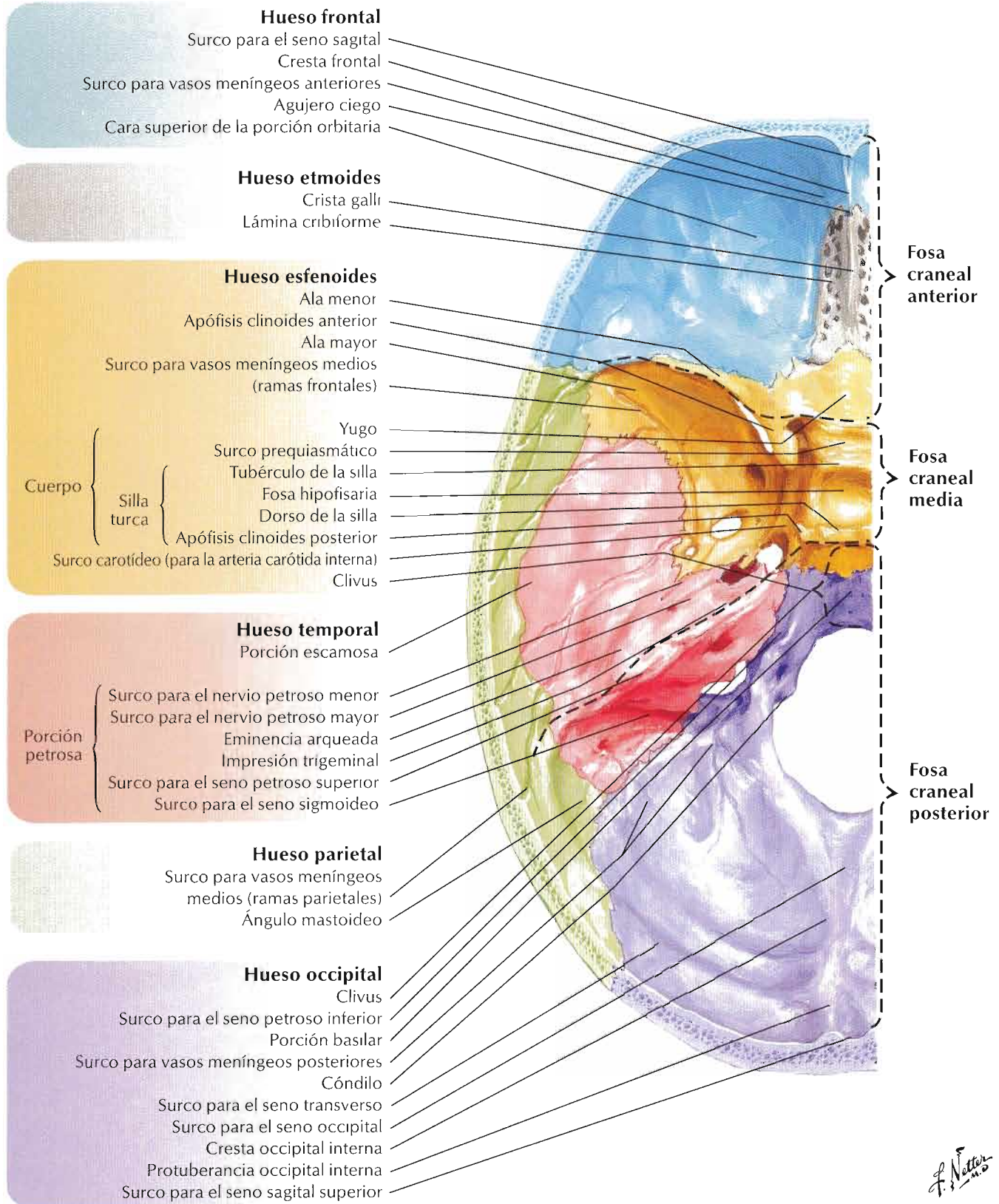
Visión inferior

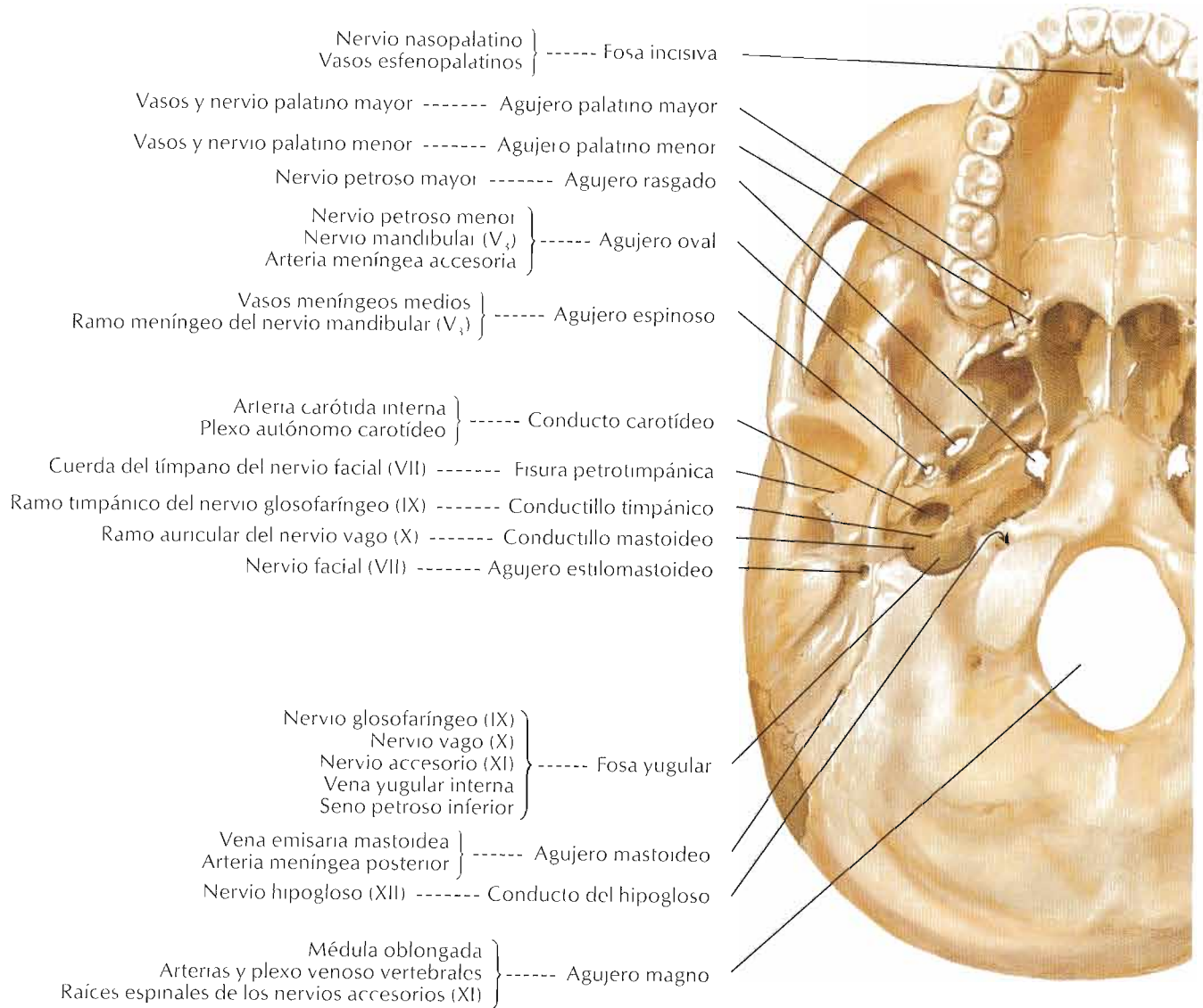


F. Netto

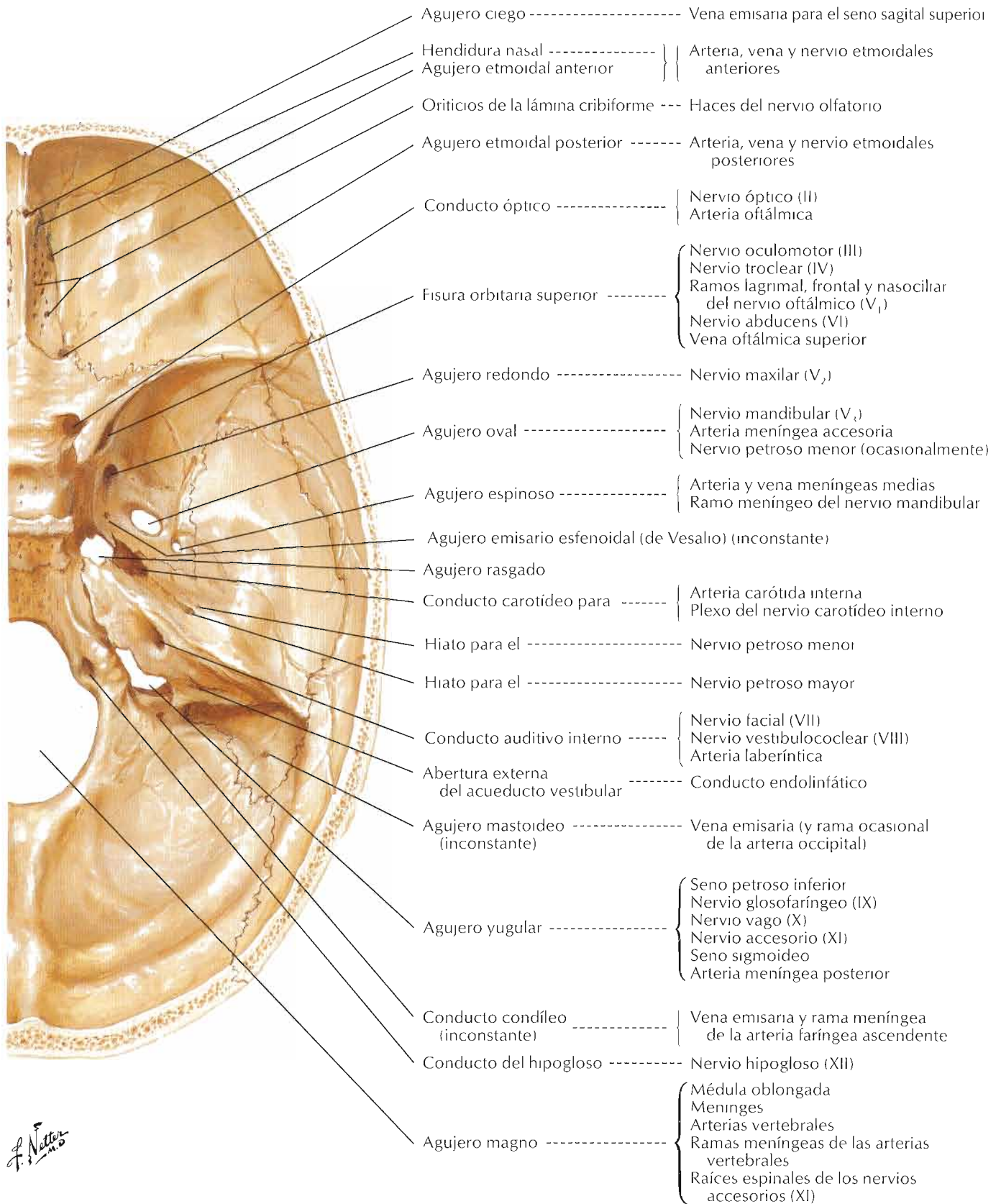


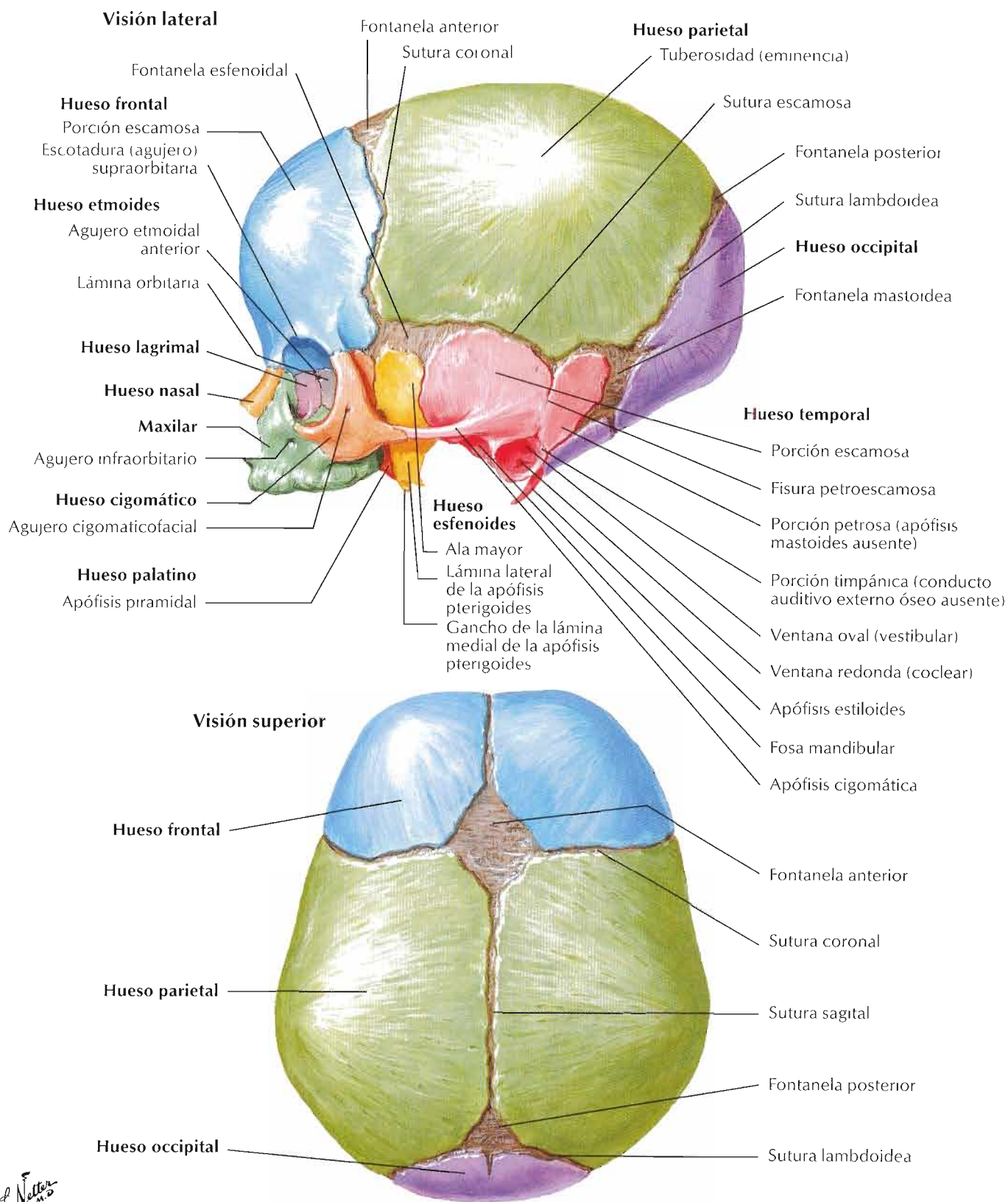
*F. Netter
M.D.*



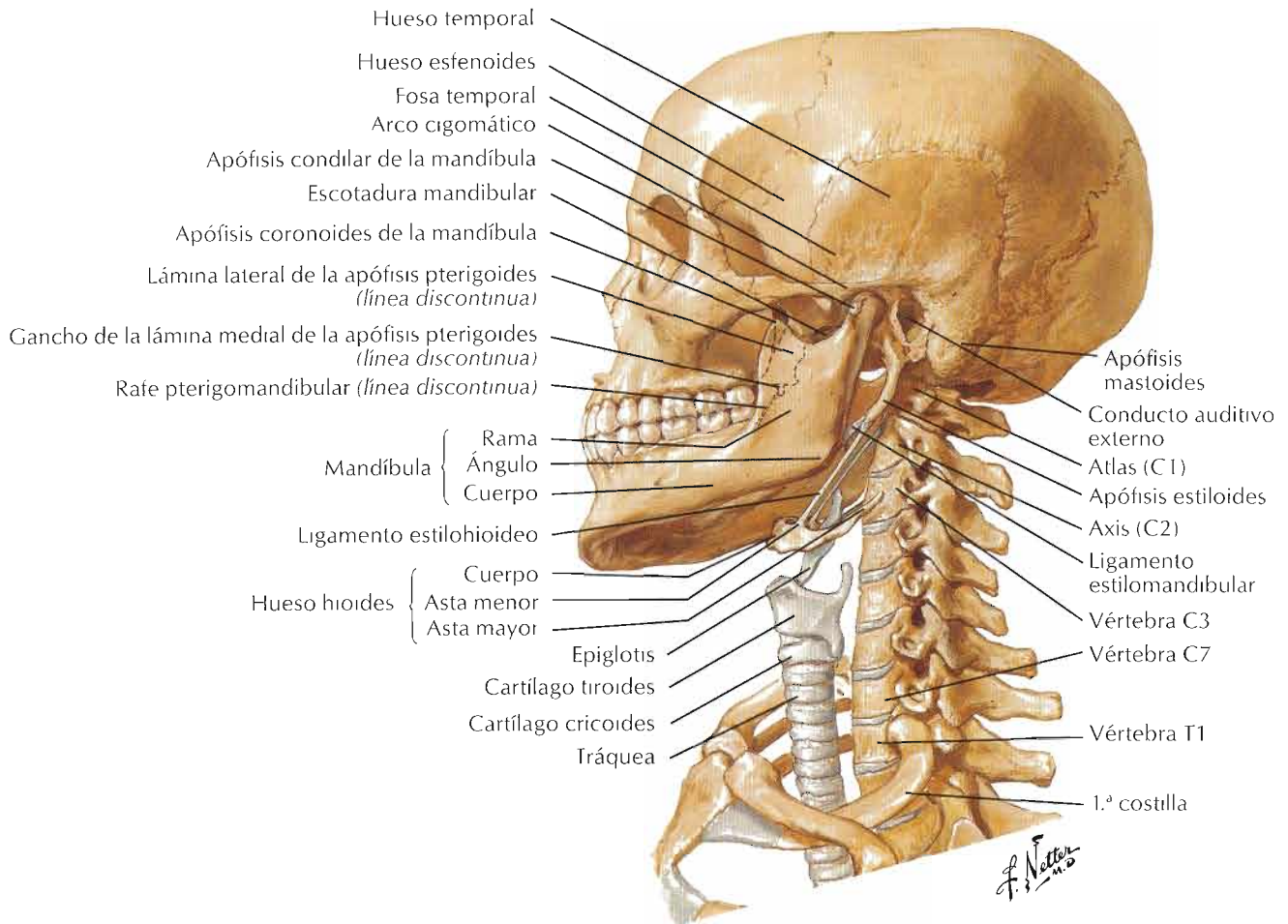


F. Netter

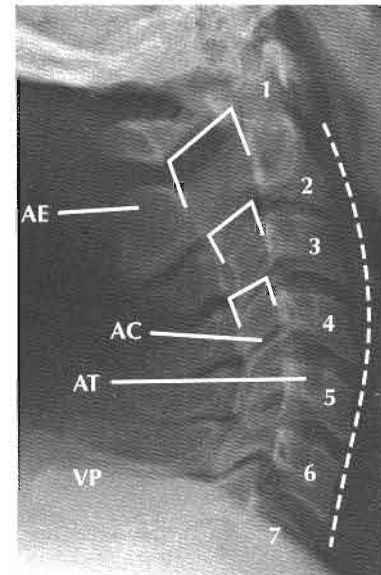
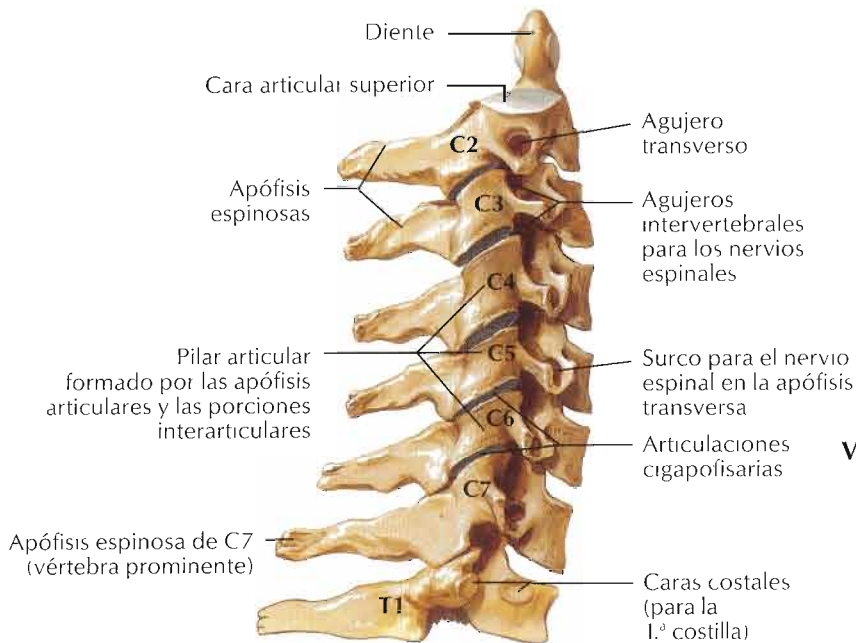




F. Nieto



Vértebras 2.ª cervical a 1.ª torácica: visión lateral derecha

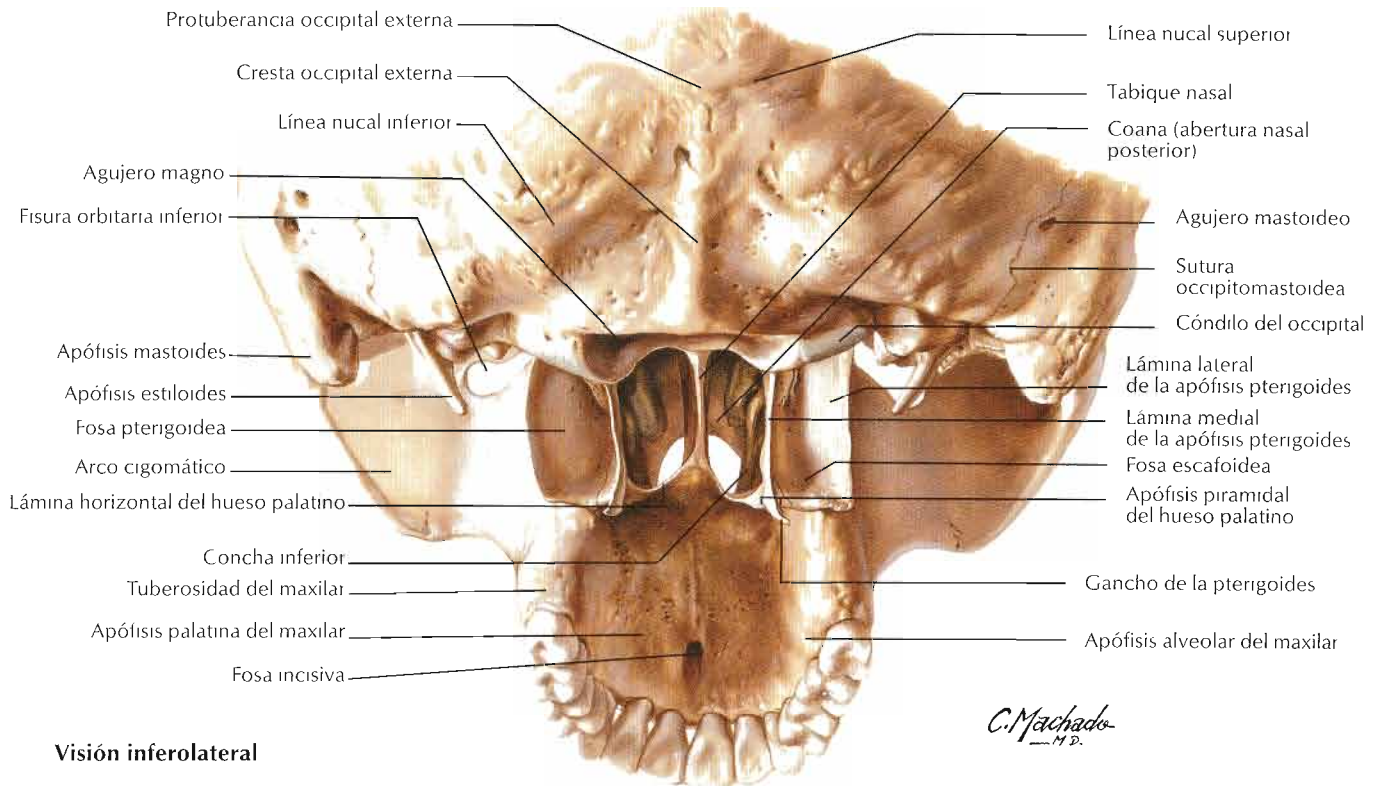


Vértebras cervicales: radiografía lateral

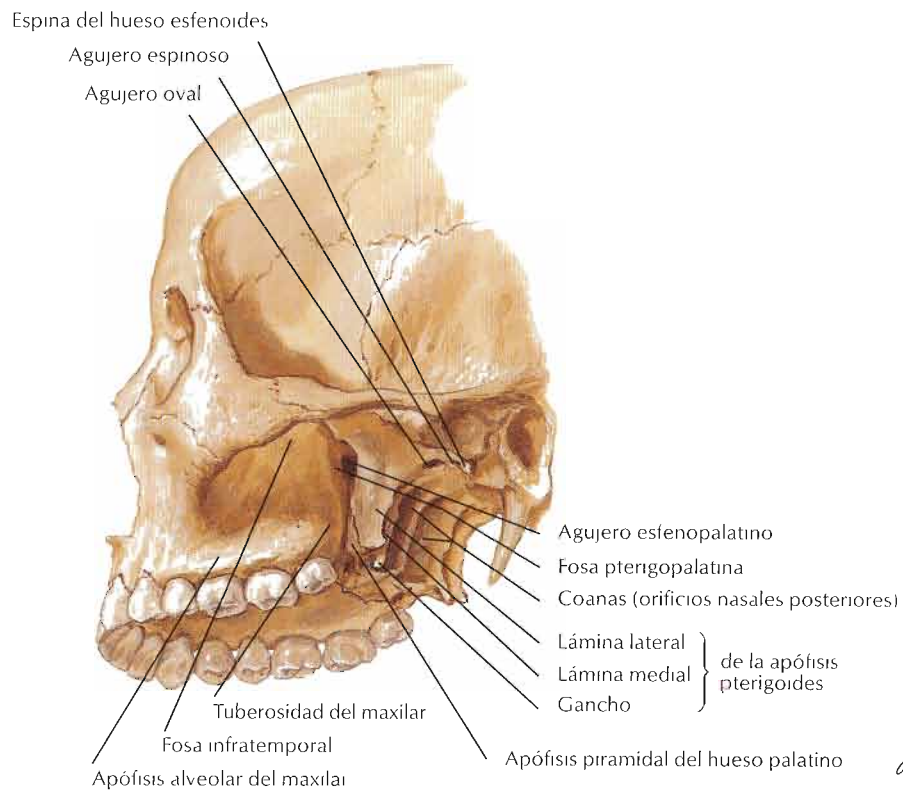
- AC Articulación (cara) cigapofisaria
- AE Apófisis espinosa (axis)
- AT Apófisis transversa
- VP Apófisis espinosa de C7 (vértebra prominente)
- 1-7 Cuerpos de vértebras cervicales
- ... Curvatura cervical
- Conducto vertebral

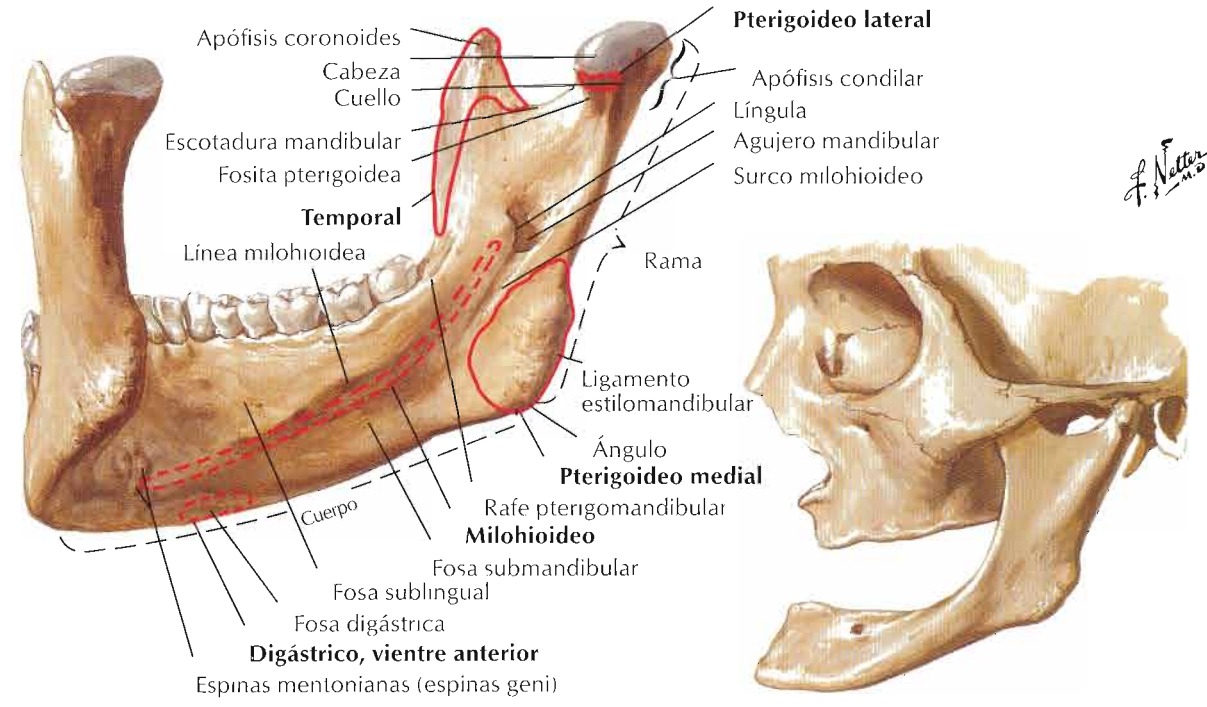
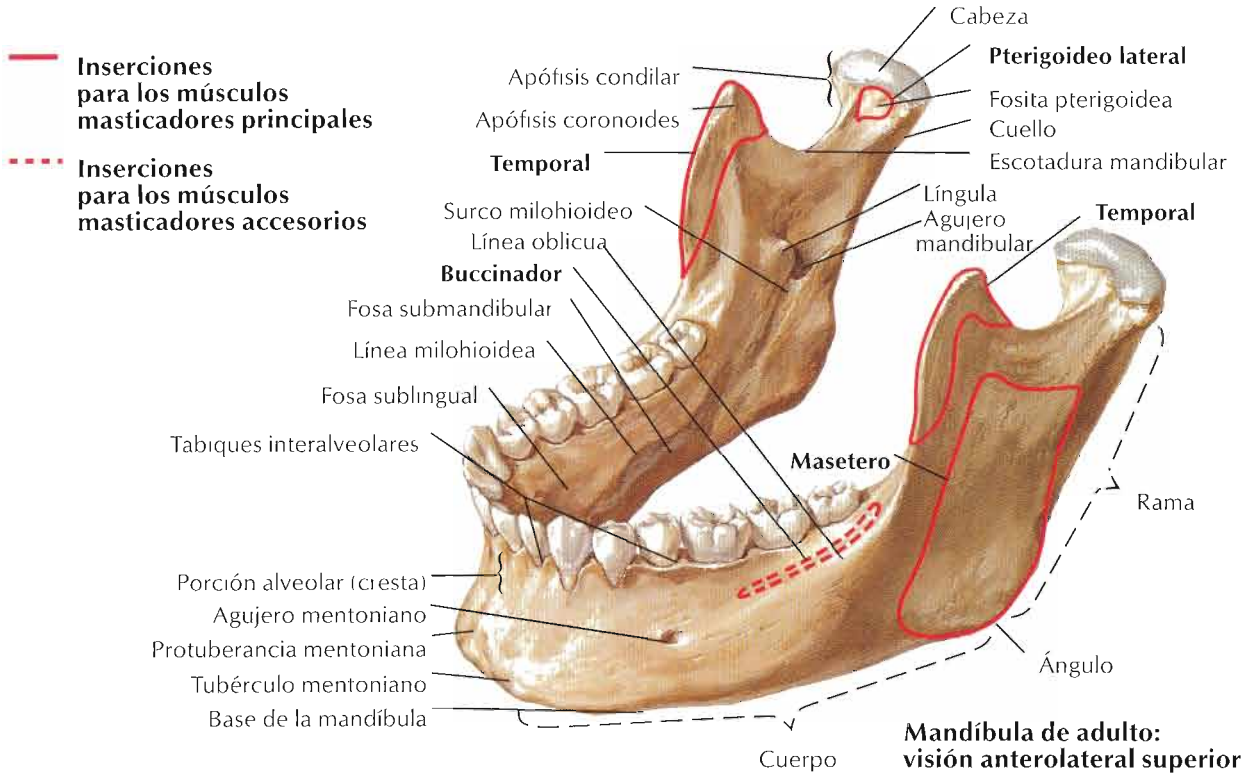
Base del cráneo: fosas pterigoideas

Visión posterior

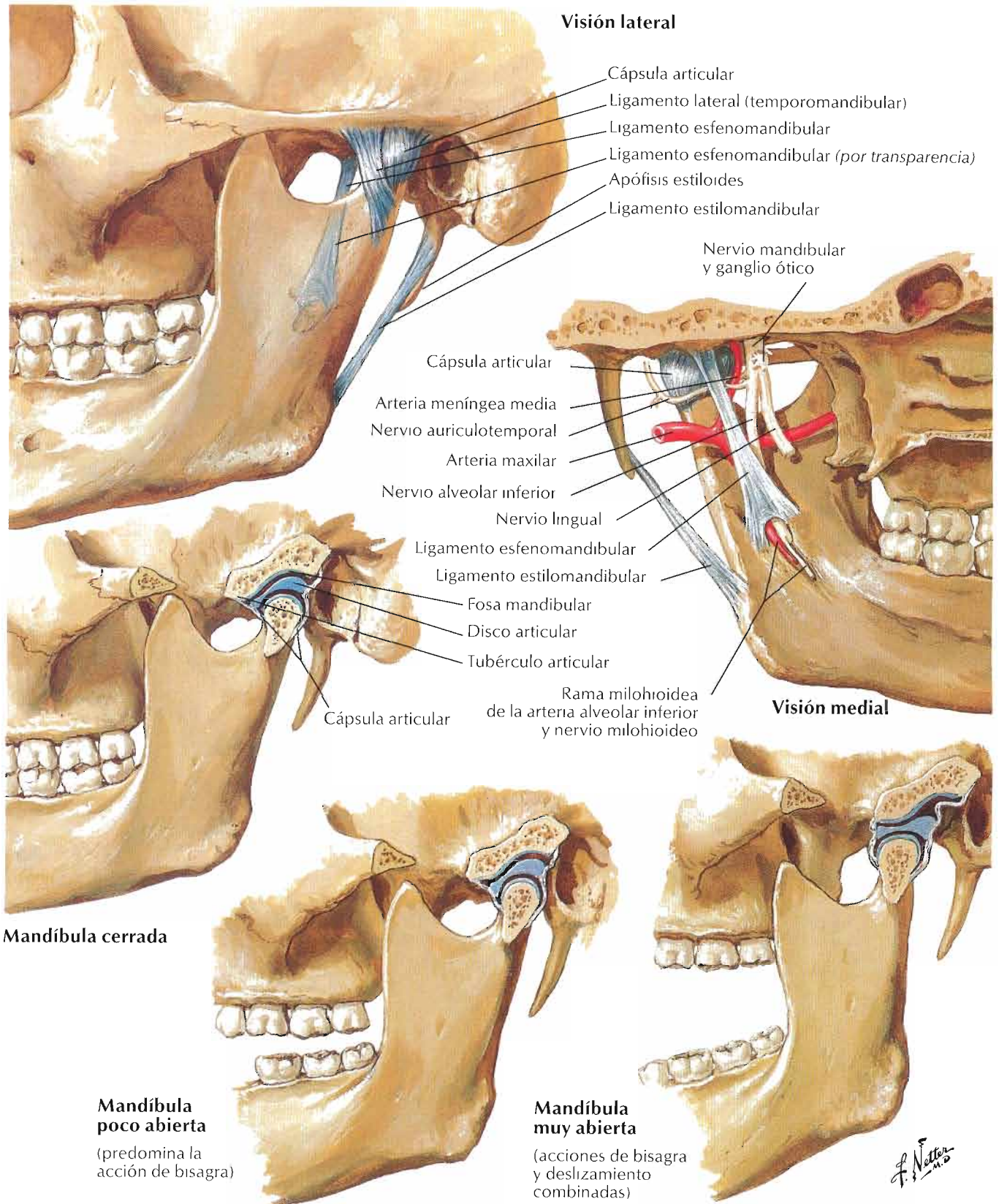


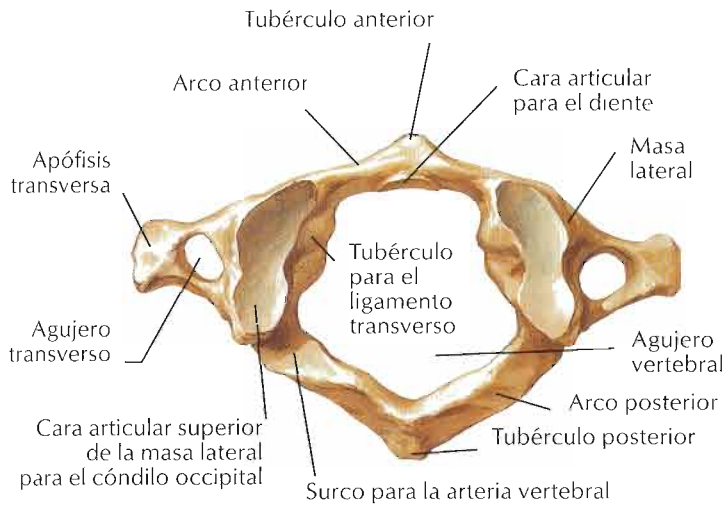
Visión inferolateral



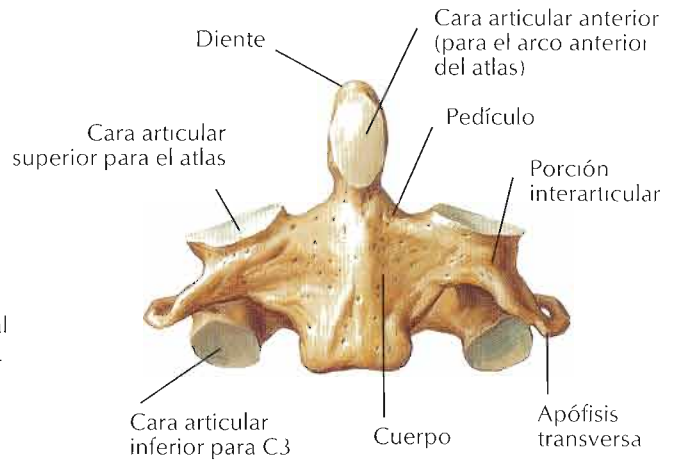


Articulación temporomandibular

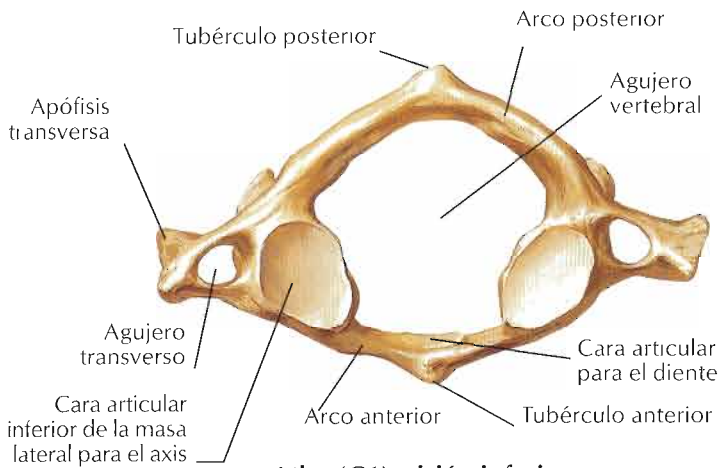




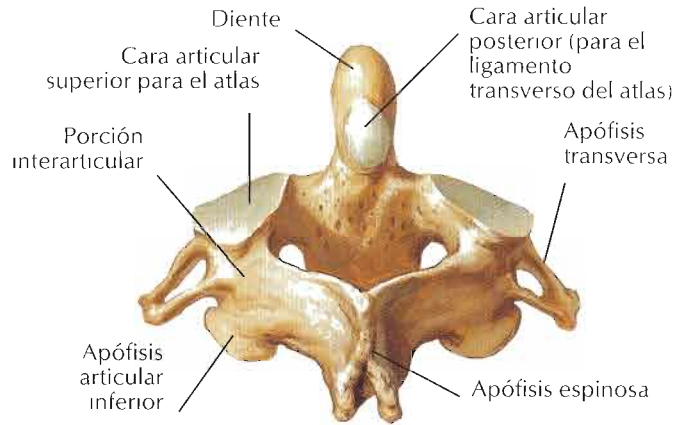
Atlas (C1): visión superior



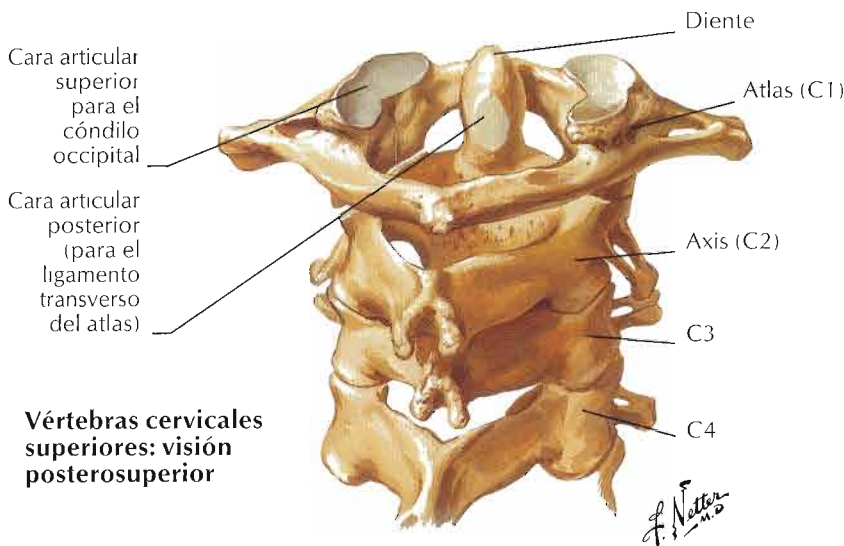
Axis (C2): visión anterior



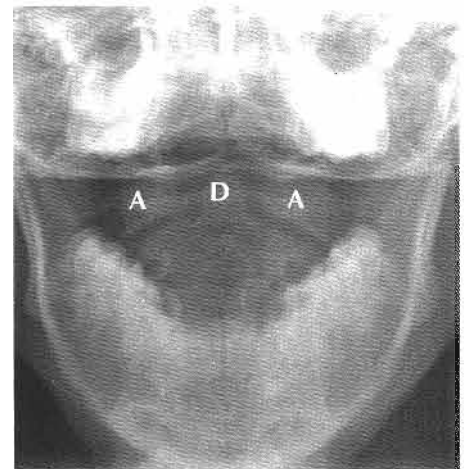
Atlas (C1): visión inferior



Axis (C2): visión posterosuperior



Vértebras cervicales superiores: visión posterosuperior

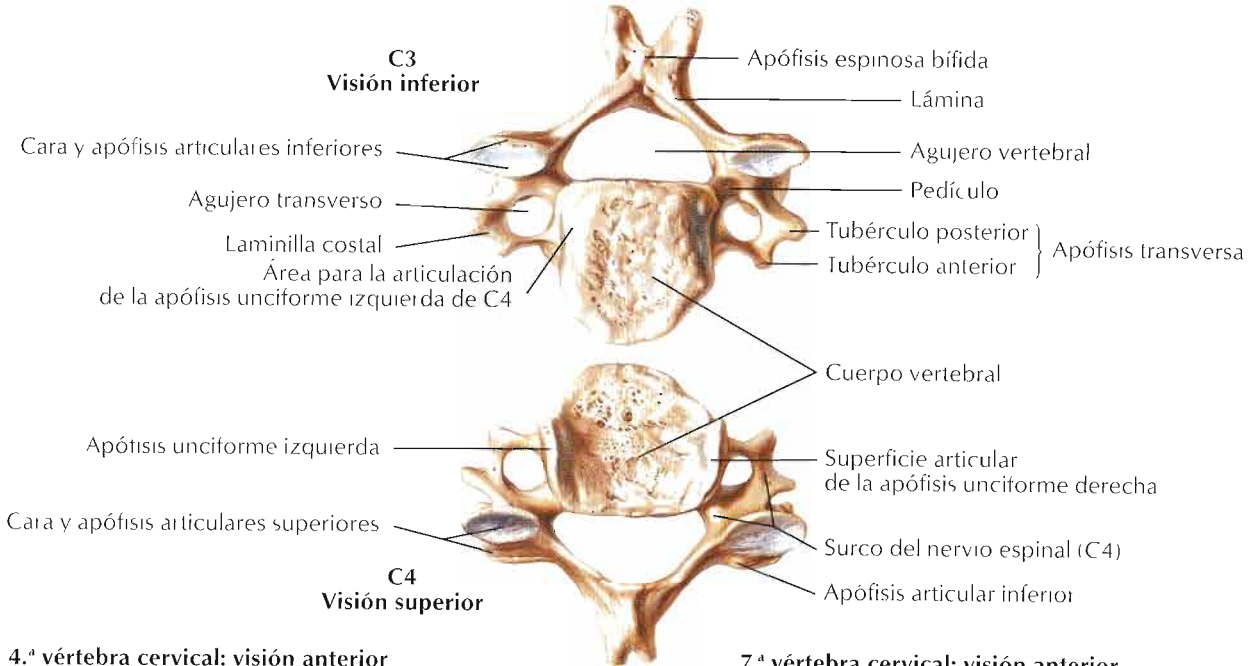


Radiografía de la articulación atlantoaxial (boca abierta, visión del diente del axis)

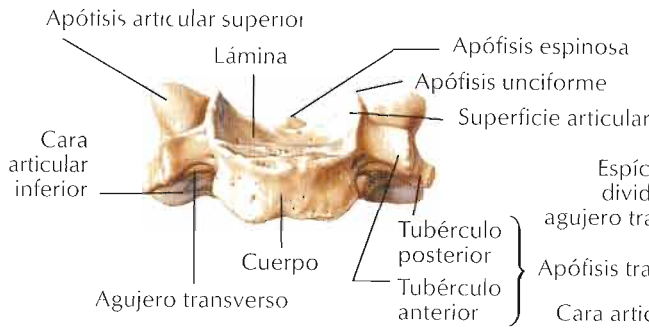
A Masas laterales del atlas (vértebra C1)
D Diente del axis (vértebra C2)

Véanse también láminas 13, 153

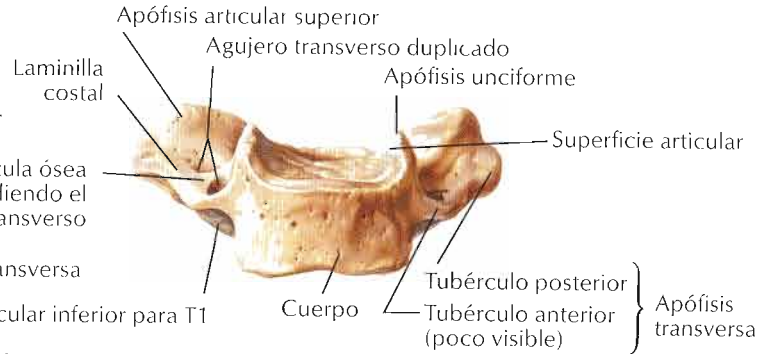
Visión inferior de C3 y superior de C4 mostrando las localizaciones de las caras articulares y articulaciones uncovertebrales



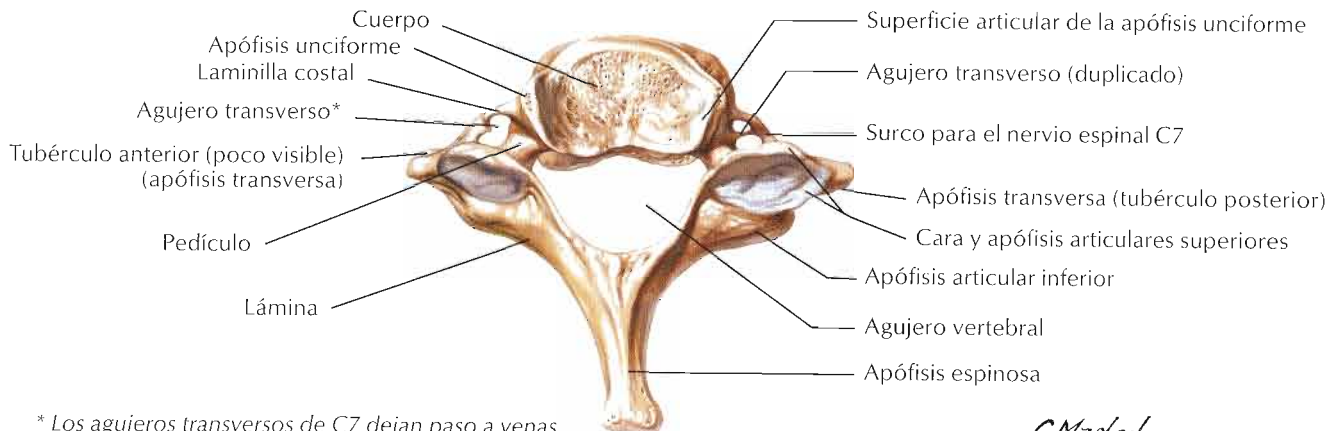
4.ª vértebra cervical: visión anterior



7.ª vértebra cervical: visión anterior



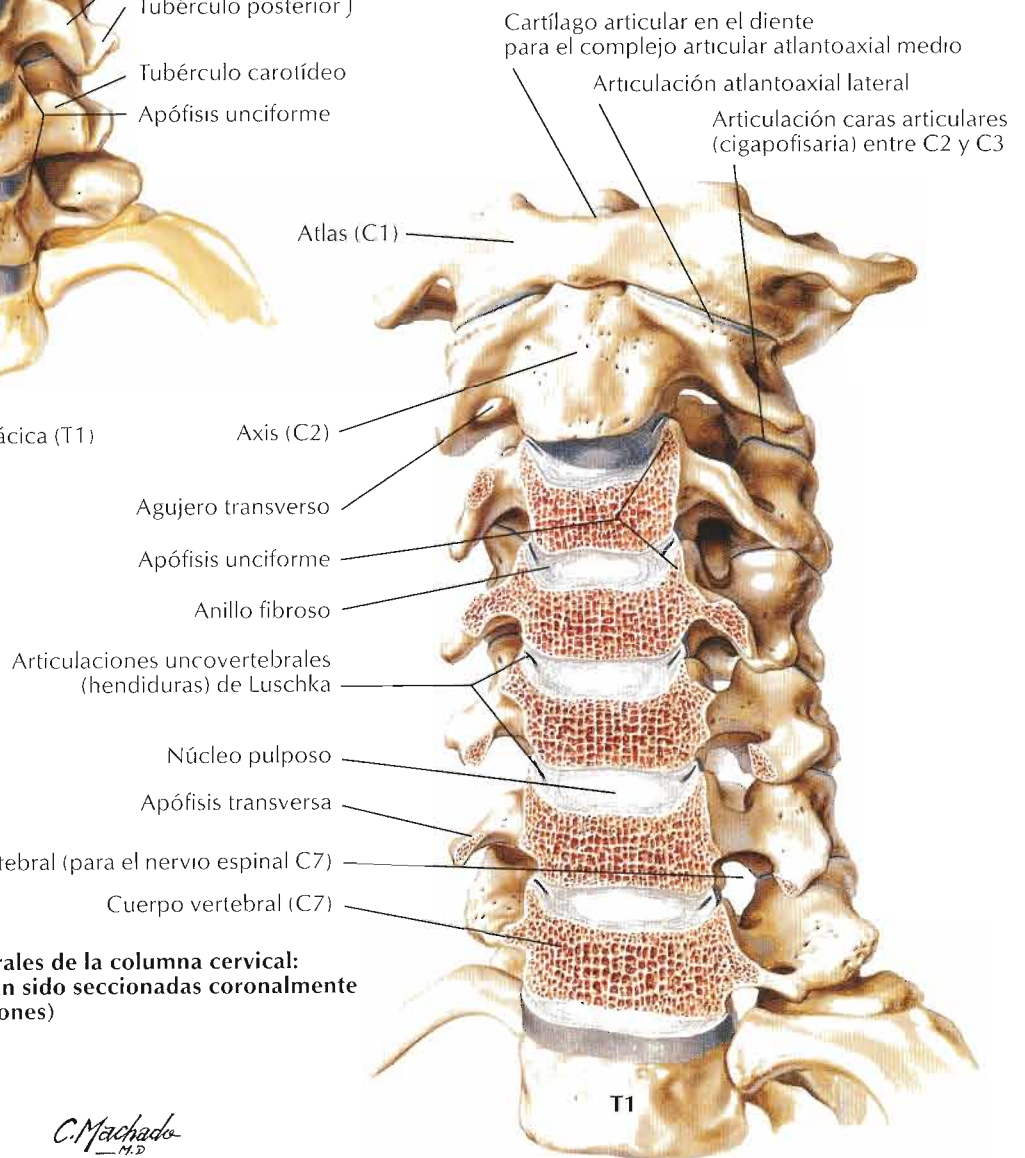
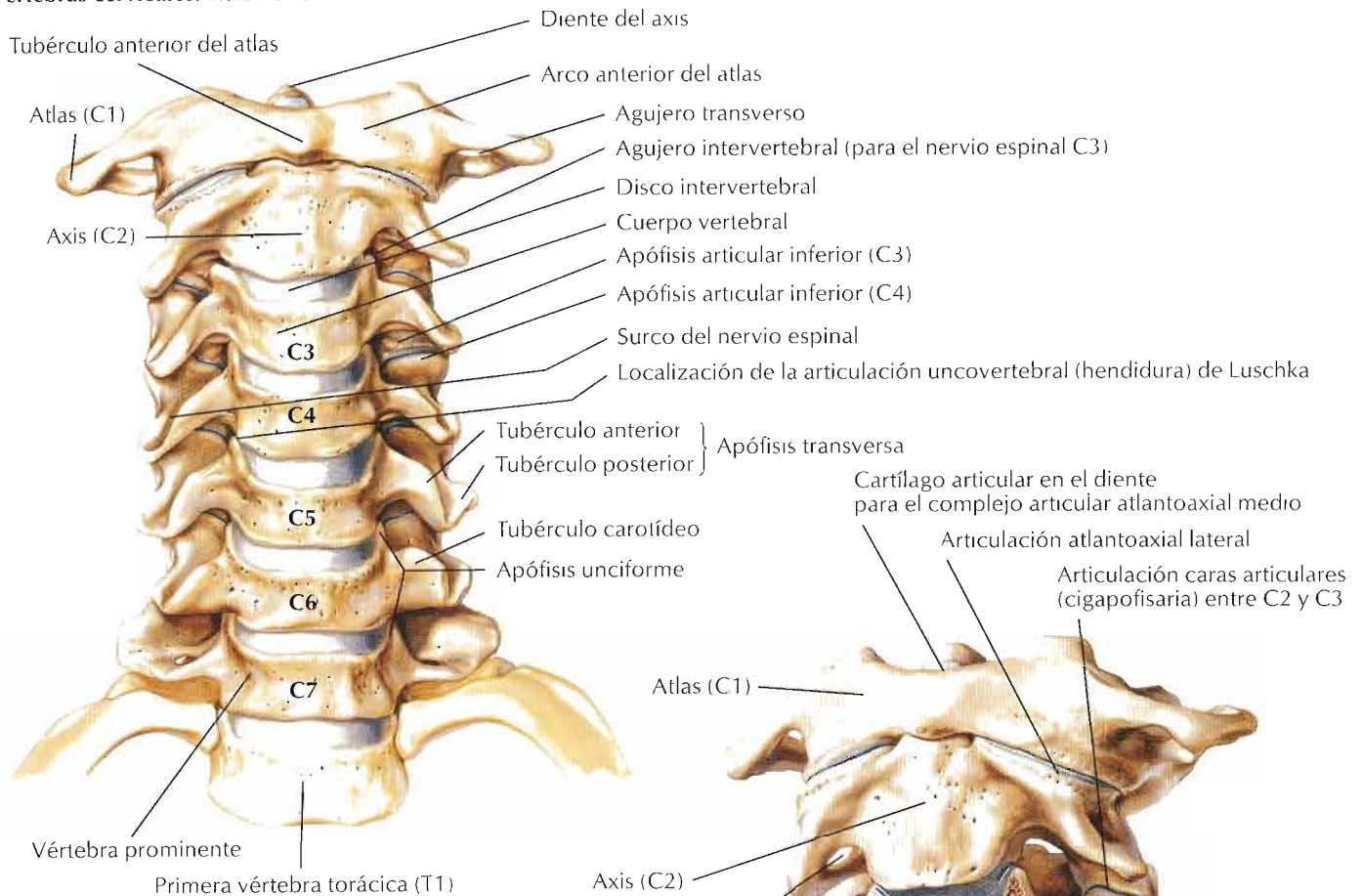
7.ª vértebra cervical (vértebra prominente): visión superior



* Los agujeros transversos de C7 dejan paso a venas vertebrales, pero no a la arteria vertebral; en este espécimen son asimétricos

C. Machado
—M.P.

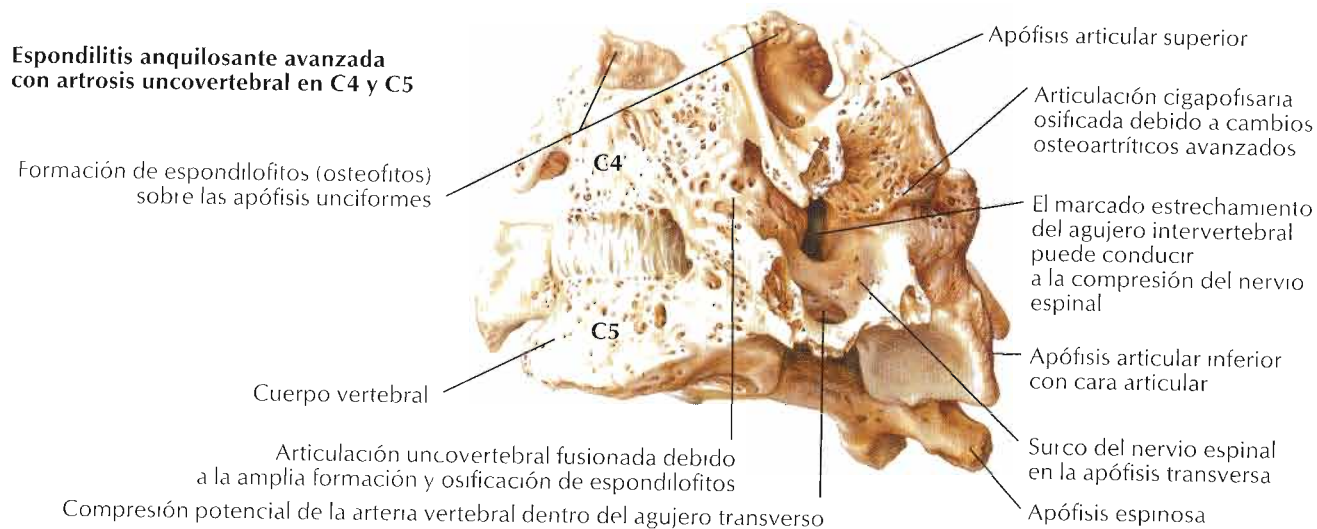
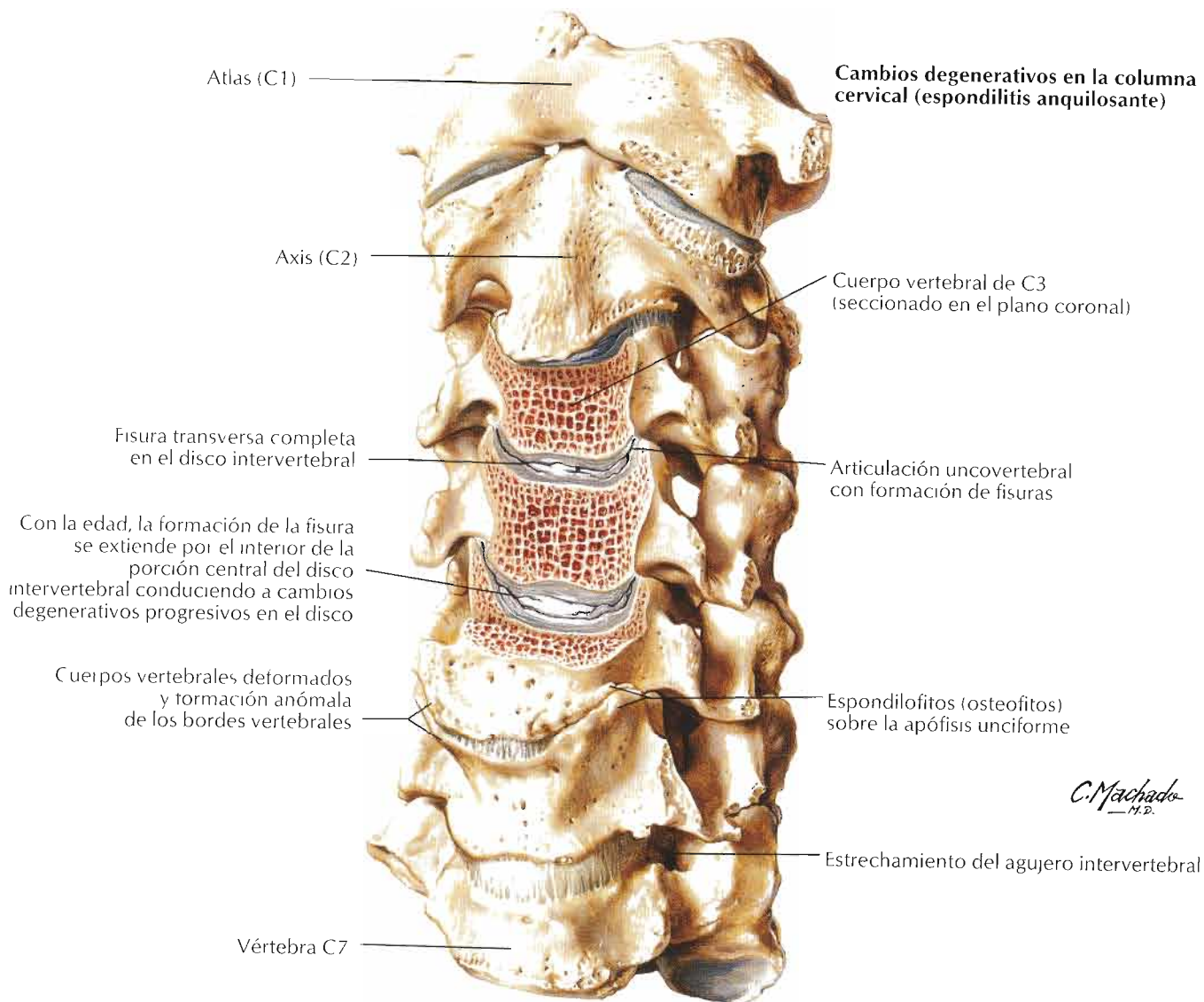
Vértebras cervicales: visión anterior

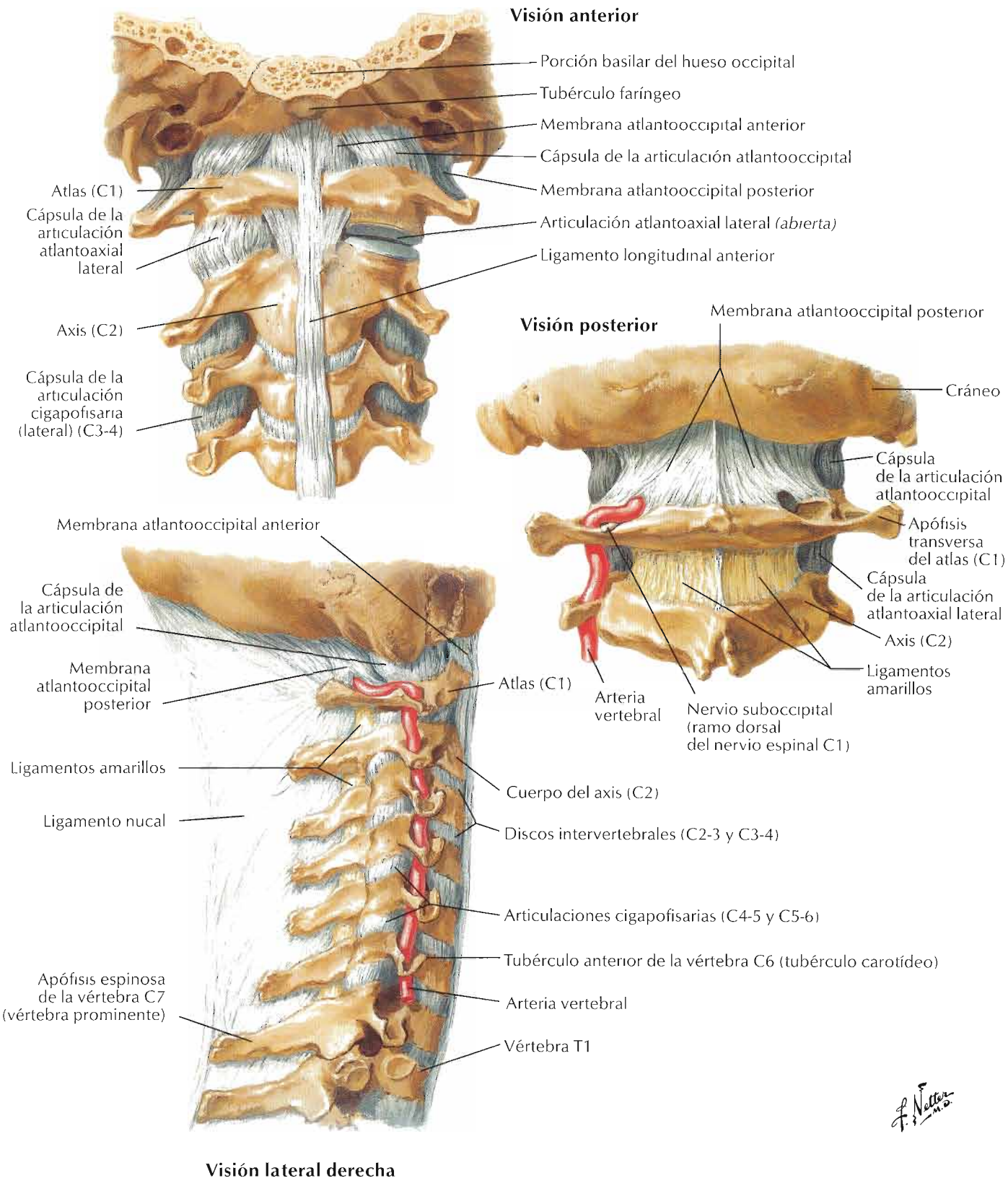


Articulaciones uncovertebrales de la columna cervical: visión anterior (C3 a C7 han sido seccionadas coronalmente para exponer las articulaciones)

C. Machado
M.D.

Cambios degenerativos en vértebras cervicales

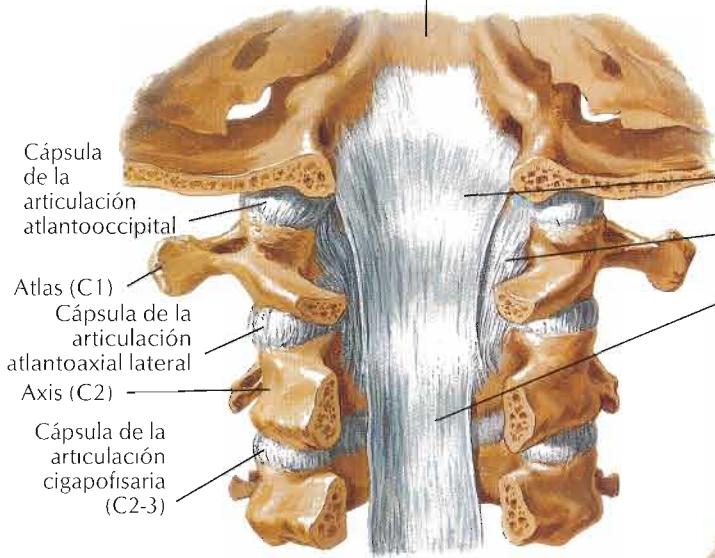




F. Netter M.D.

Ligamentos craneocervicales internos

Clivus (superficie característica) de la porción basilar del hueso occipital

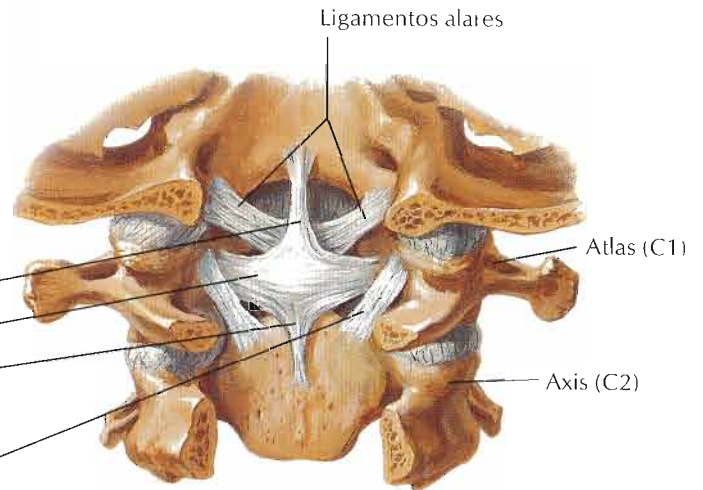


Parte superior del conducto vertebral con apófisis espinosas y parte de los arcos vertebrales extirpados para exponer los ligamentos posteriores de los cuerpos vertebrales: visión posterior

Cápsula de la articulación atlantooccipital
Atlas (C1)
Cápsula de la articulación atlantoaxial lateral
Axis (C2)
Cápsula de la articulación cigapofisaria (C2-3)

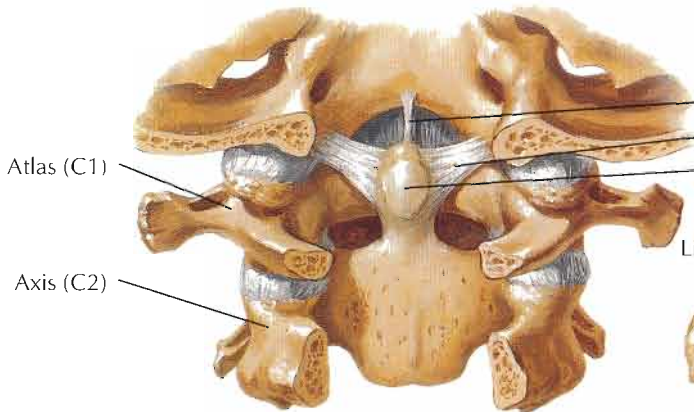
Membrana tectoria
Porción profunda (accesoria) de la membrana tectoria
Ligamento longitudinal posterior

Ligamento cruciforme { Banda longitudinal superior
Ligamento transverso del atlas
Banda longitudinal inferior



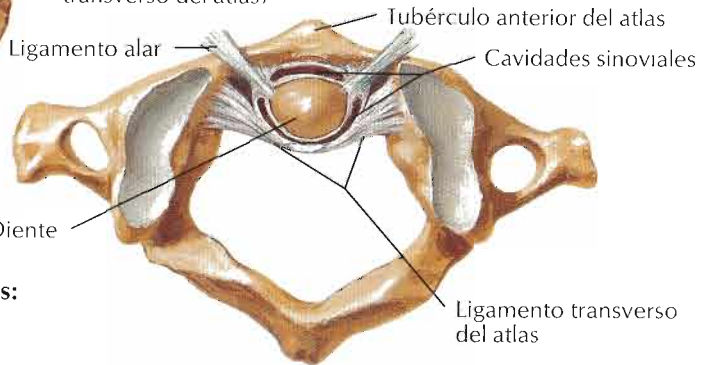
Porción profunda (accesoria) de la membrana tectoria

Porción principal de la membrana tectoria extirpada para exponer los ligamentos profundos: visión posterior



Ligamento cruciforme extirpado para mostrar los ligamentos más profundos: visión posterior

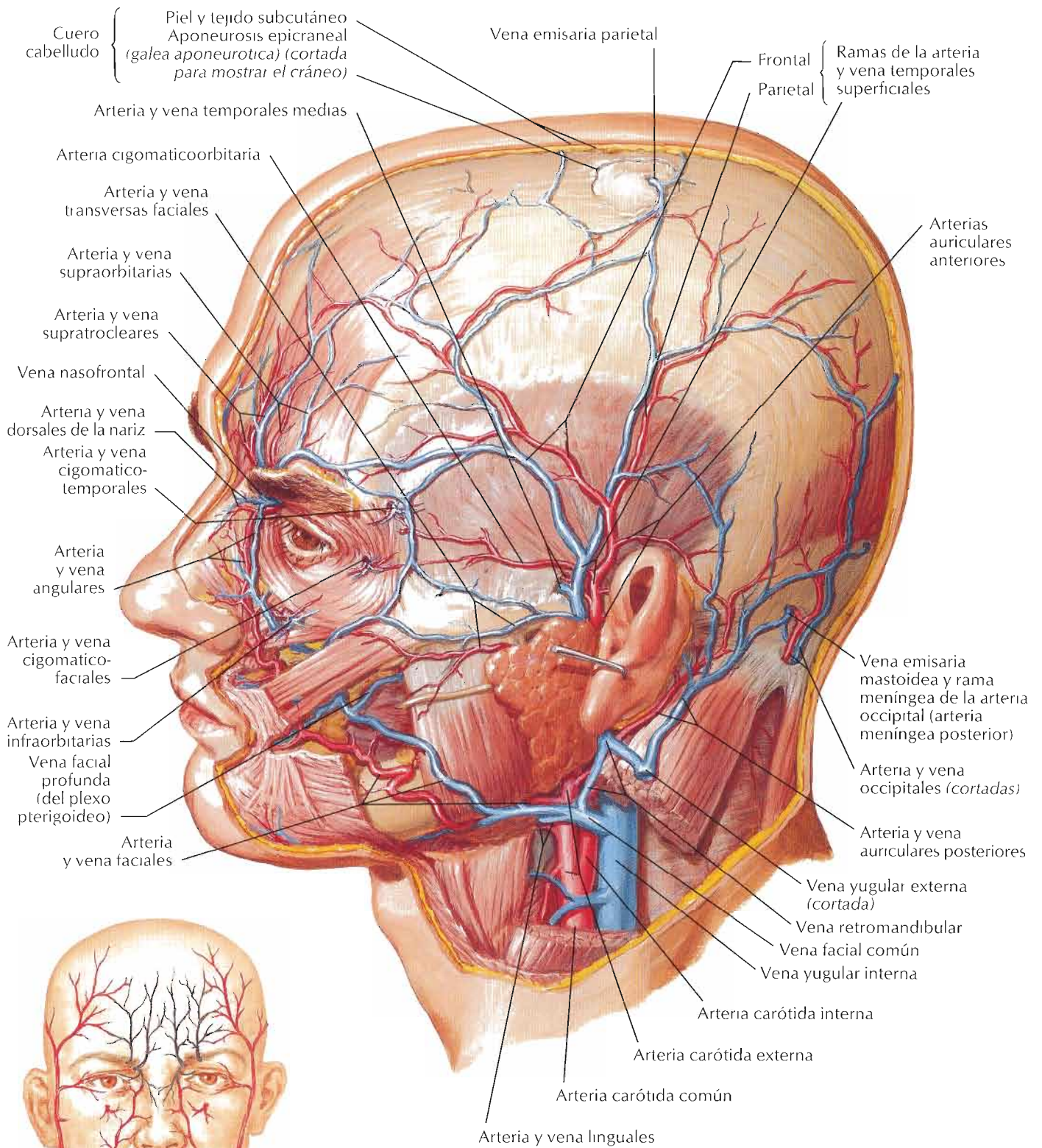
Ligamento del vértice del diente
Ligamento alar
Cara articular posterior del diente (para el ligamento transverso del atlas)



Articulación atlantoaxial media: visión superior

F. Netter M.D.

Véanse también láminas 34, 40, 69, 70, 85, 104



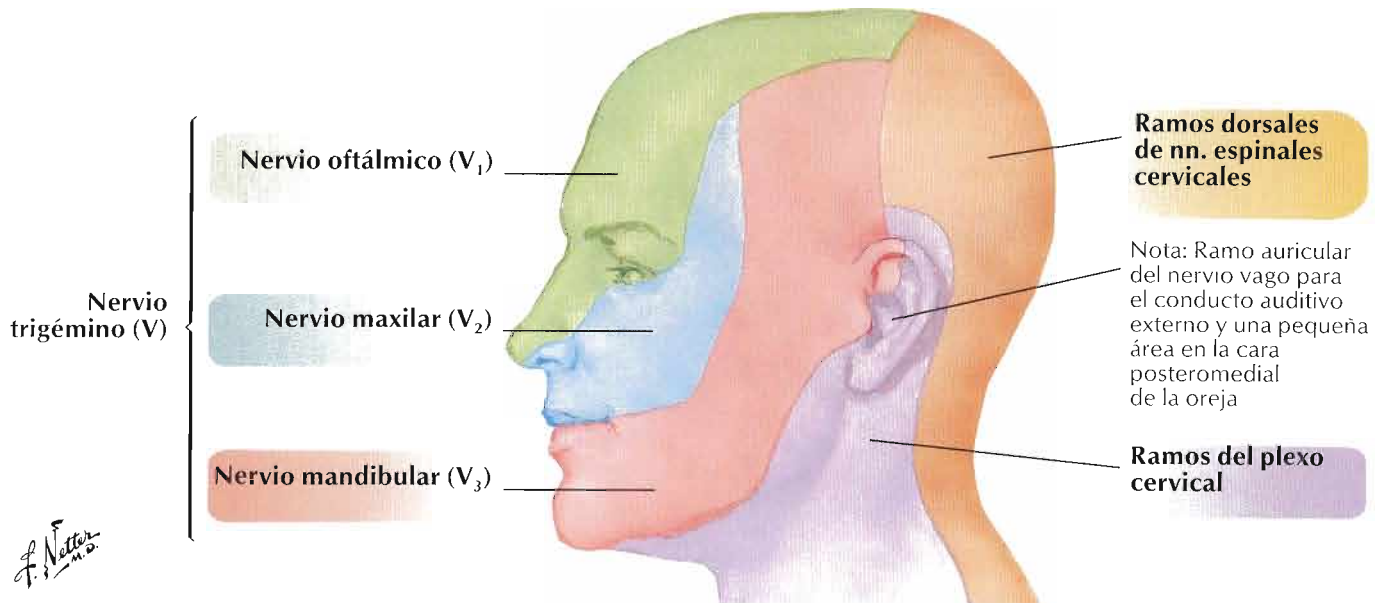
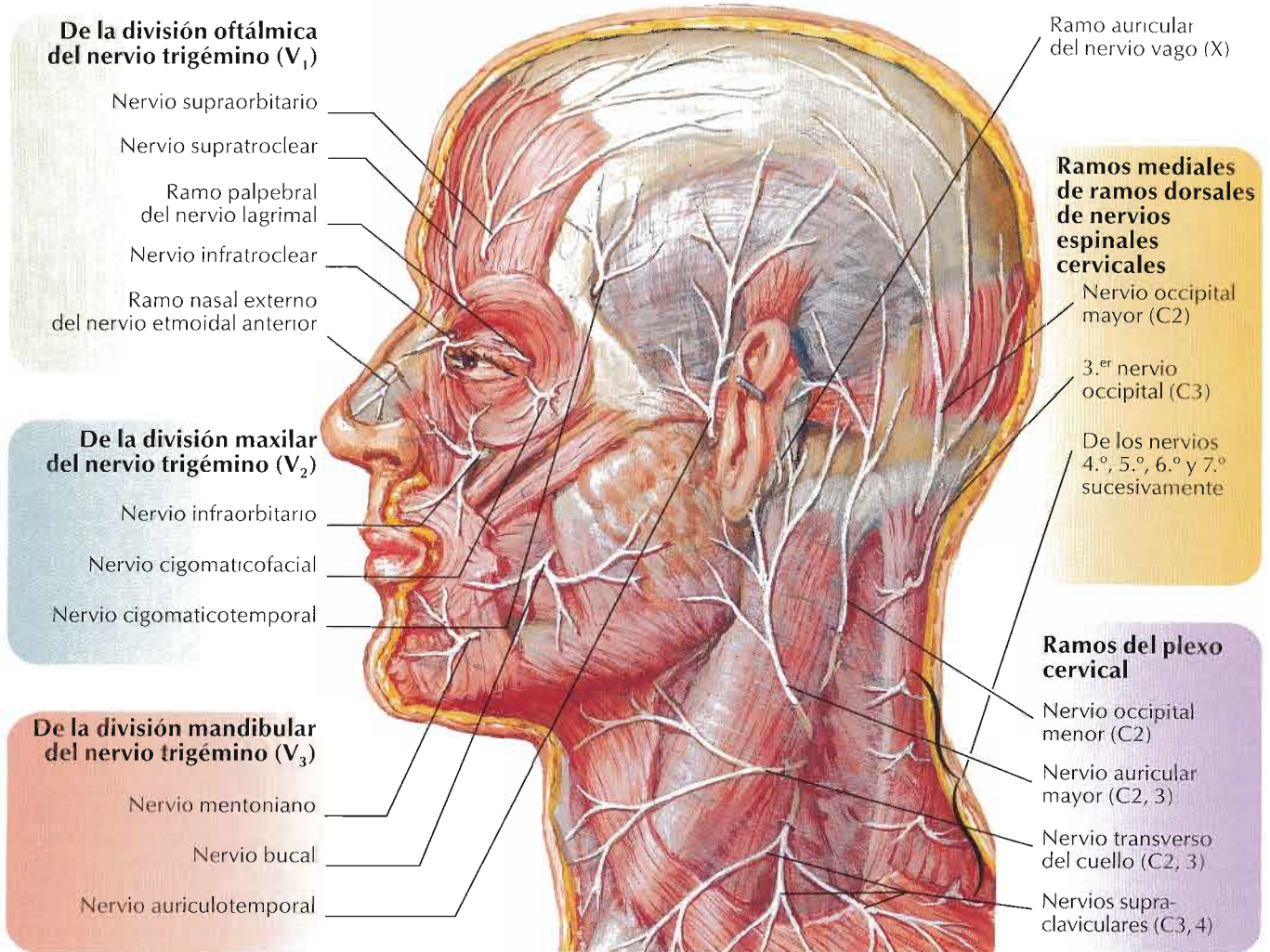
Vascularización arterial de la cara

Negro: de la arteria carótida interna (vía arteria oftálmica)
 Rojo: de la arteria carótida externa

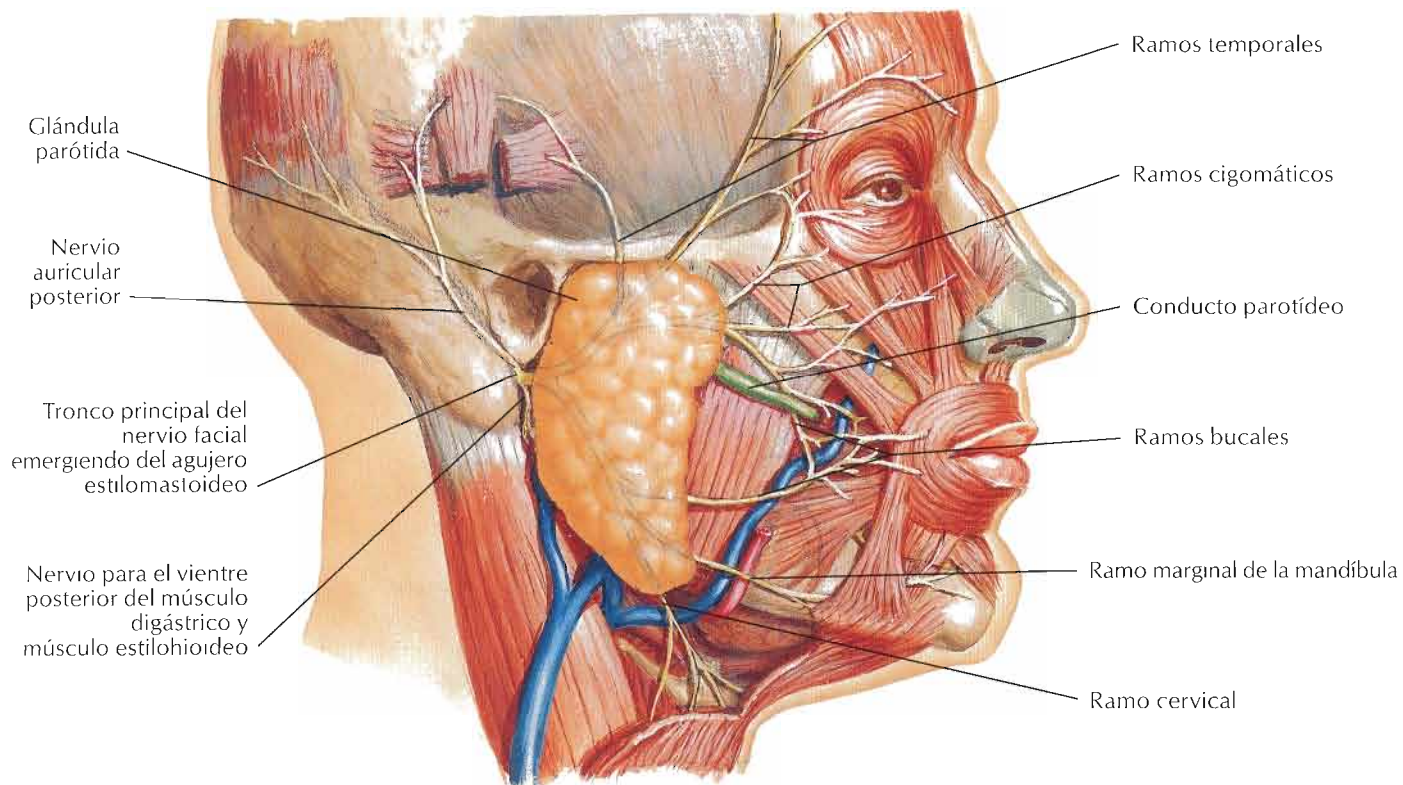
F. Netter M.D.

Nervios cutáneos de la cabeza y cuello

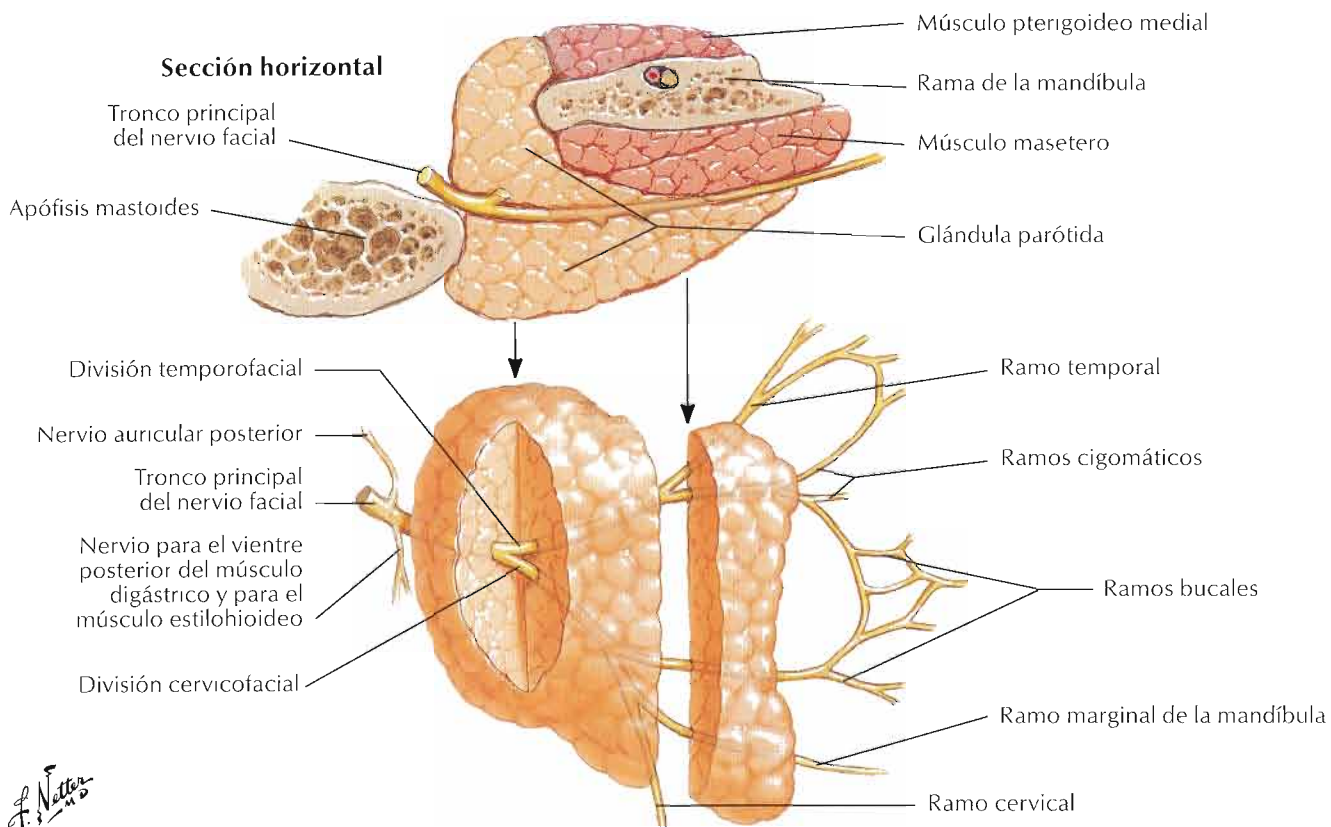
Véanse también láminas 32, 36, 45, 46, 122



F. Netter M.D.

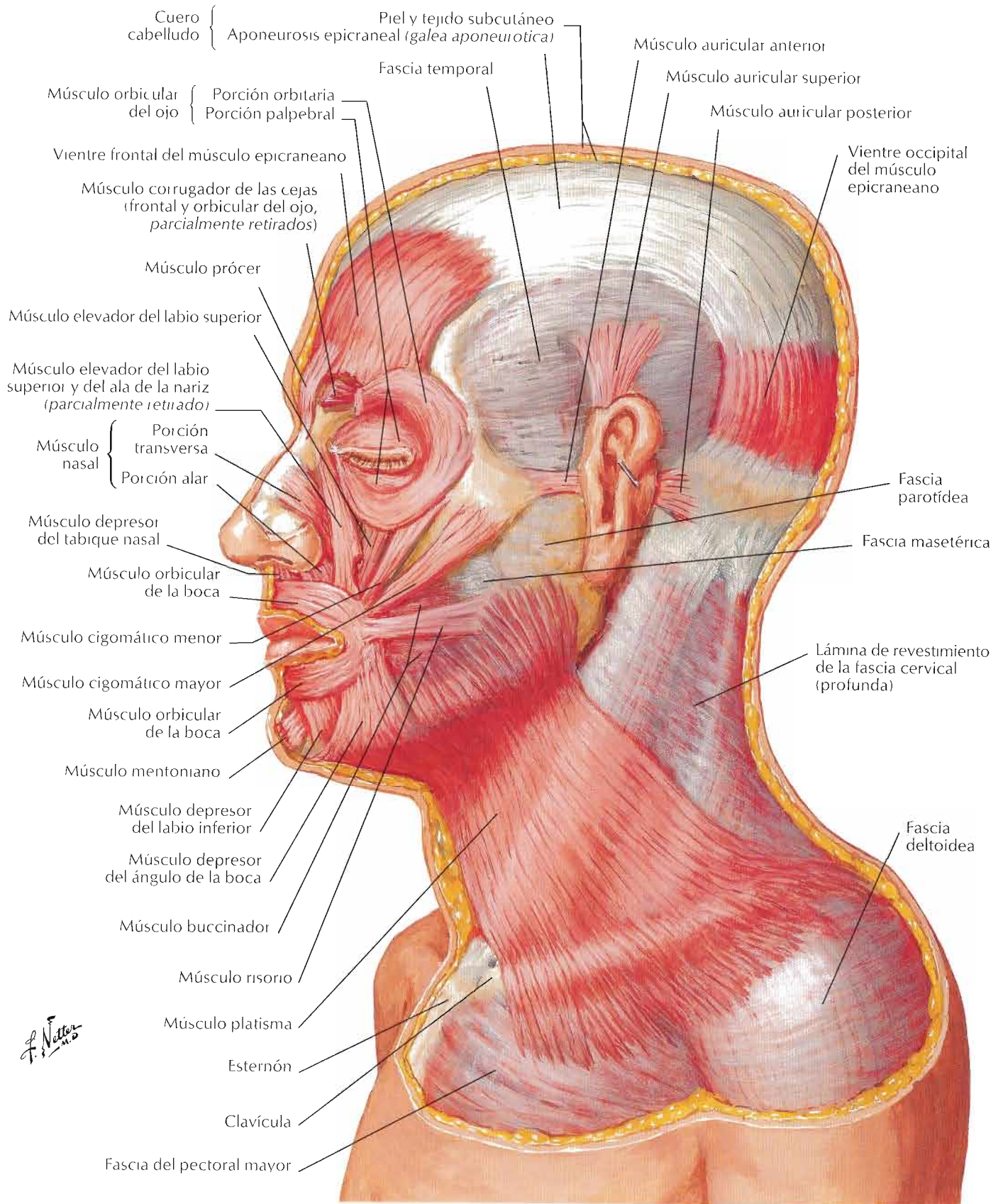


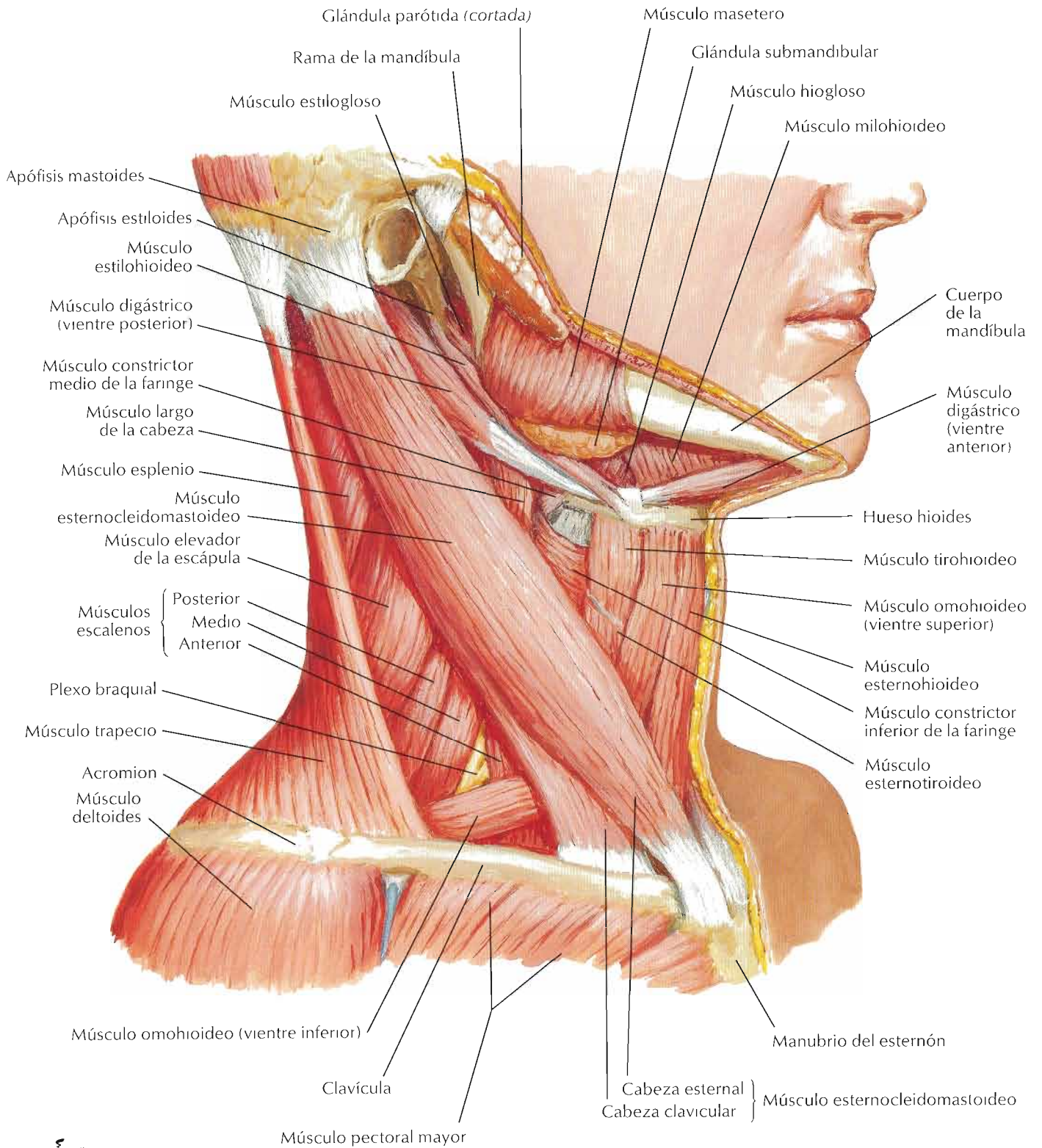
Sección horizontal



F. Netter

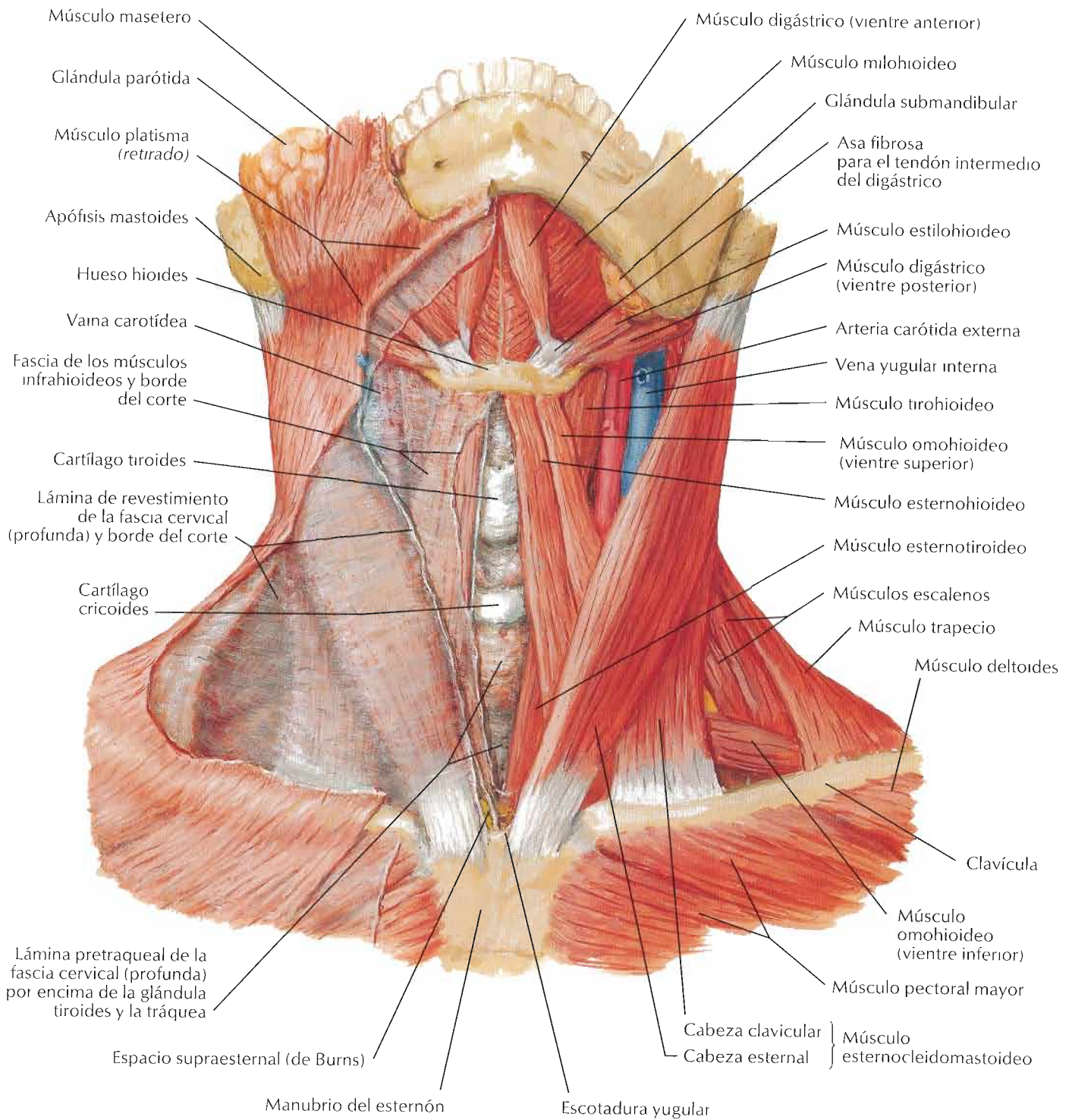
Músculos de la expresión facial: visión lateral



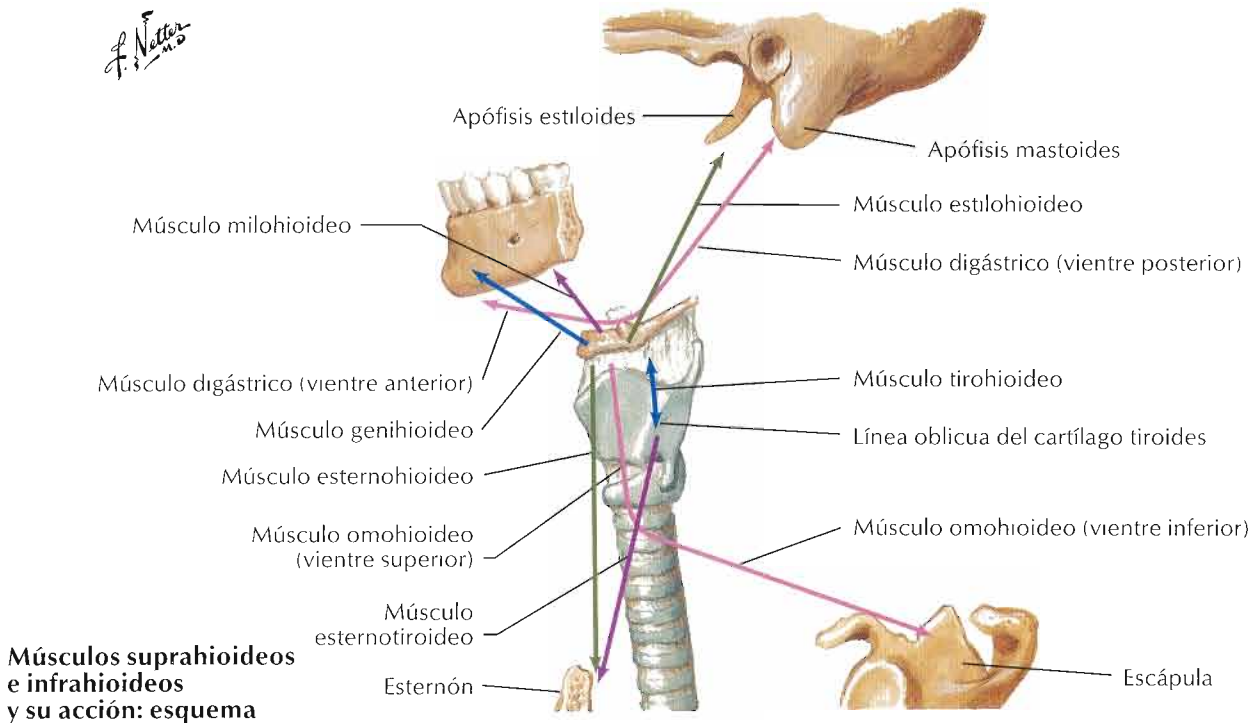
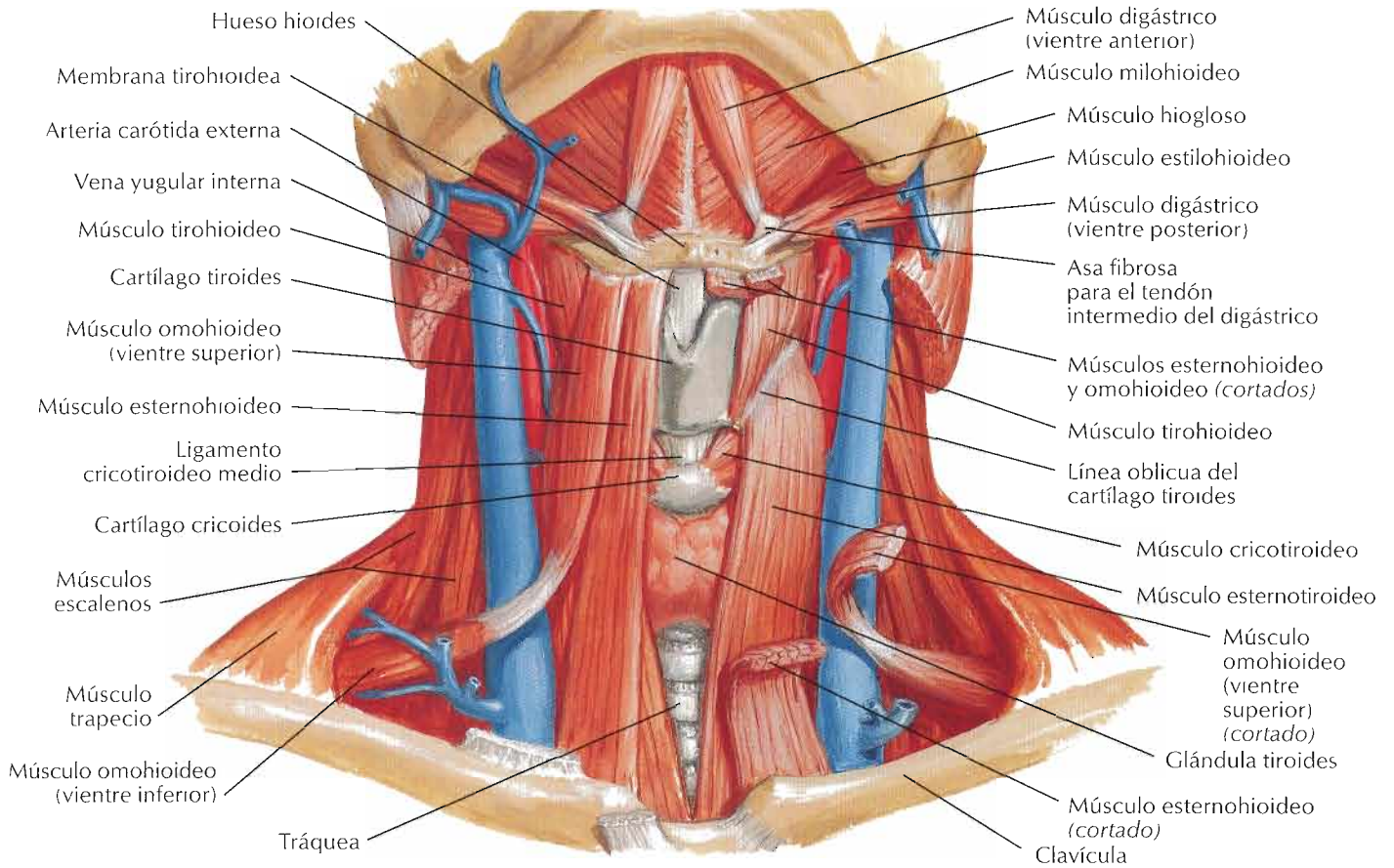


F. Netter M.D.

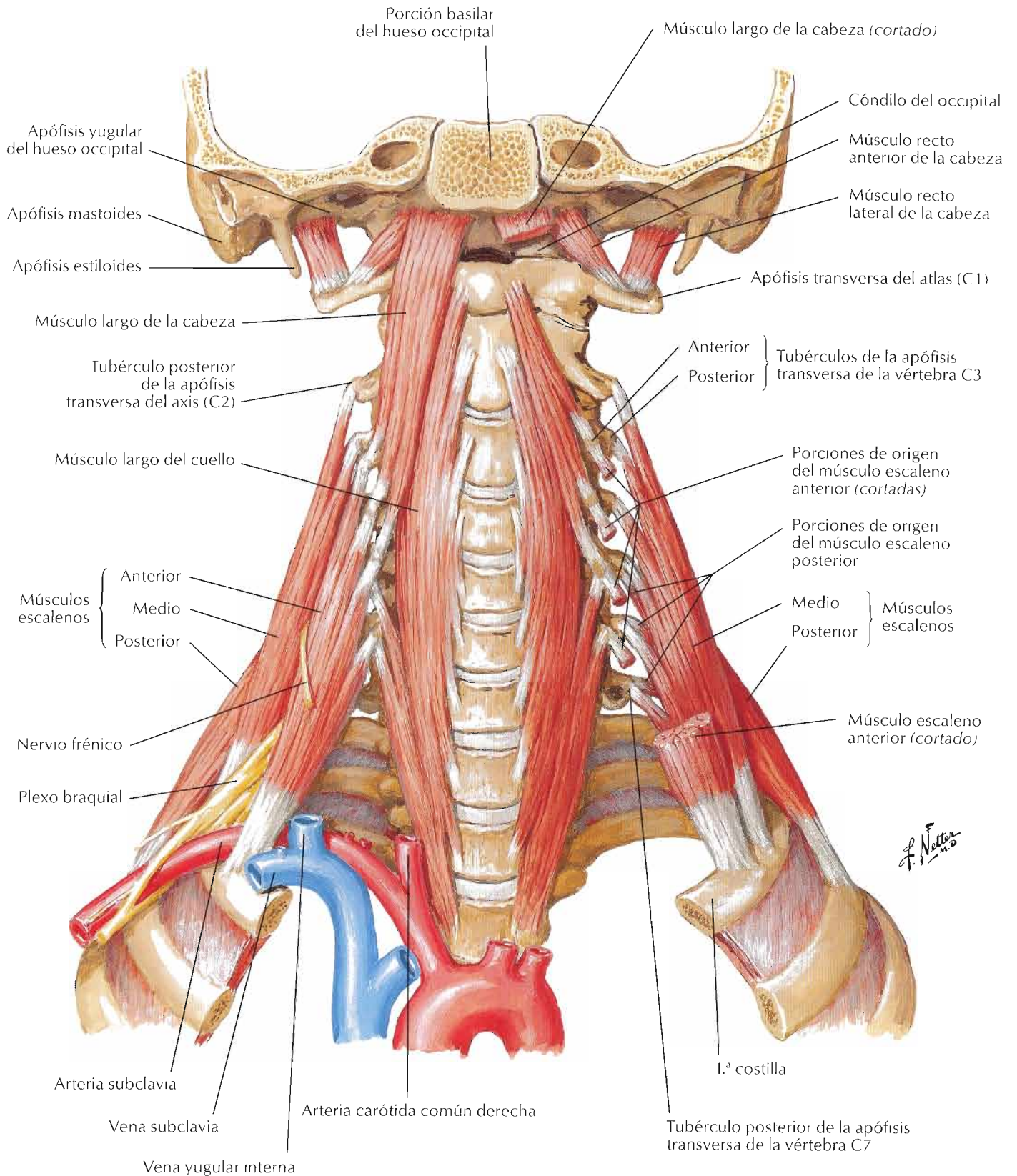
Músculos del cuello: visión anterior



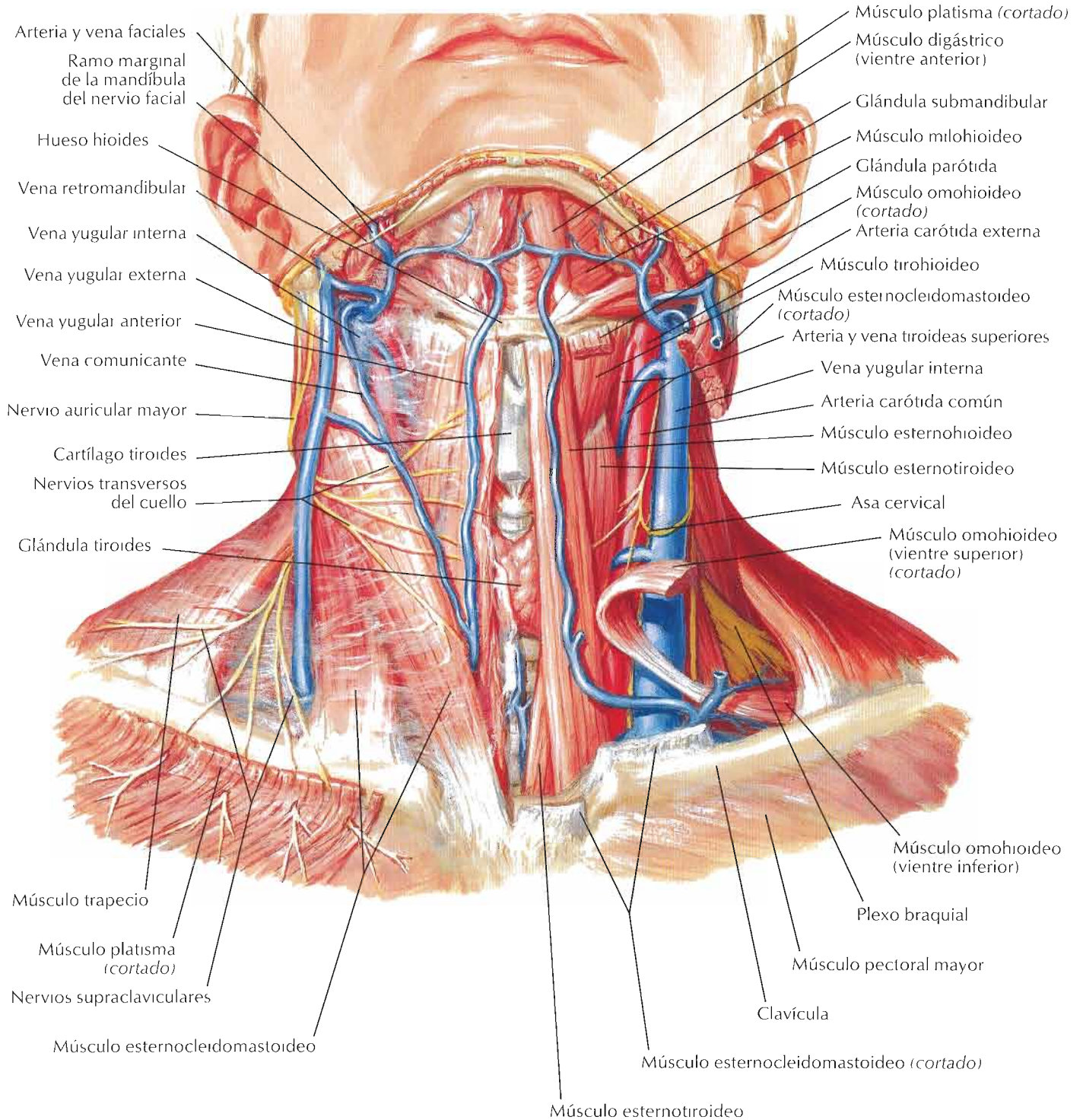
F. Netter M.D.



Músculos escalenos y prevertebrales



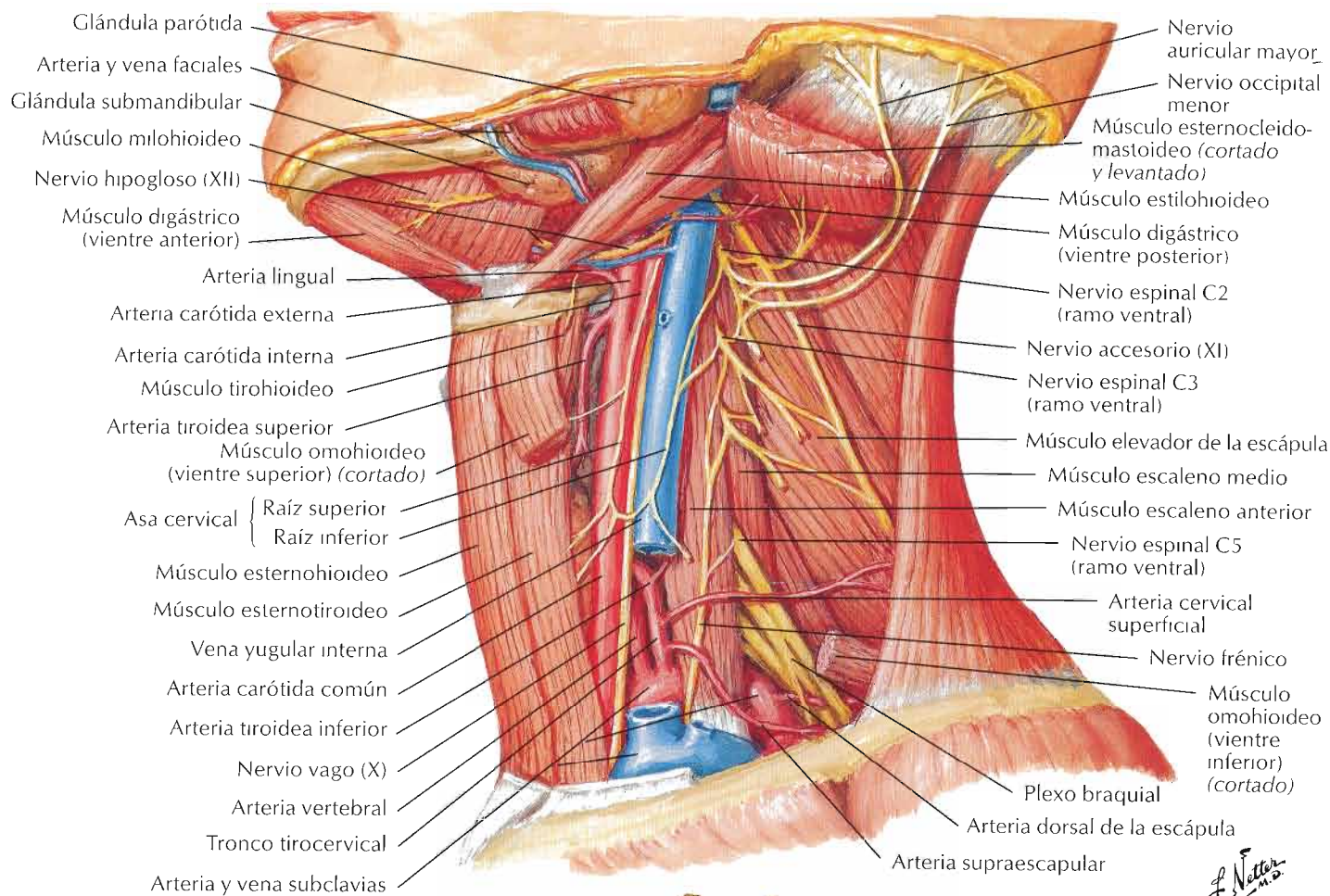
F. Netter M.D.



F. Netter M.D.

Plexo cervical in situ

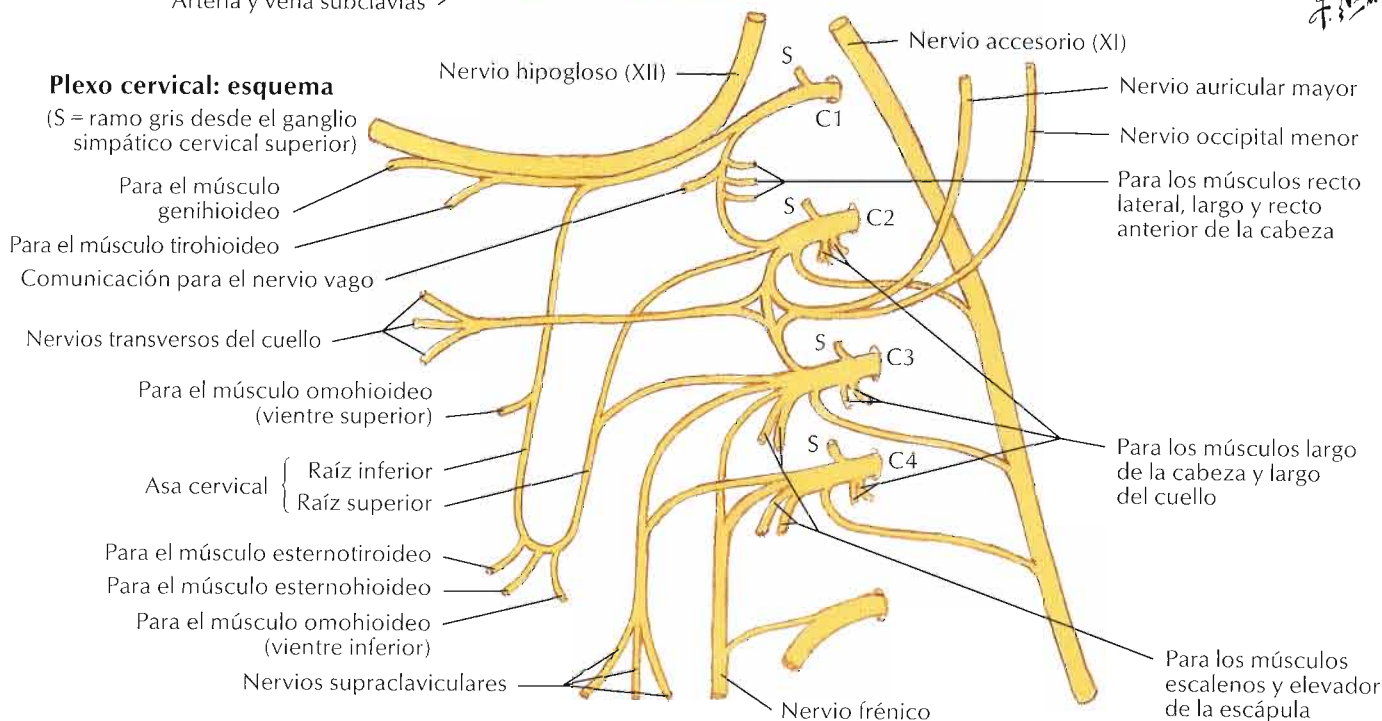
Véanse también láminas 127-129, 193



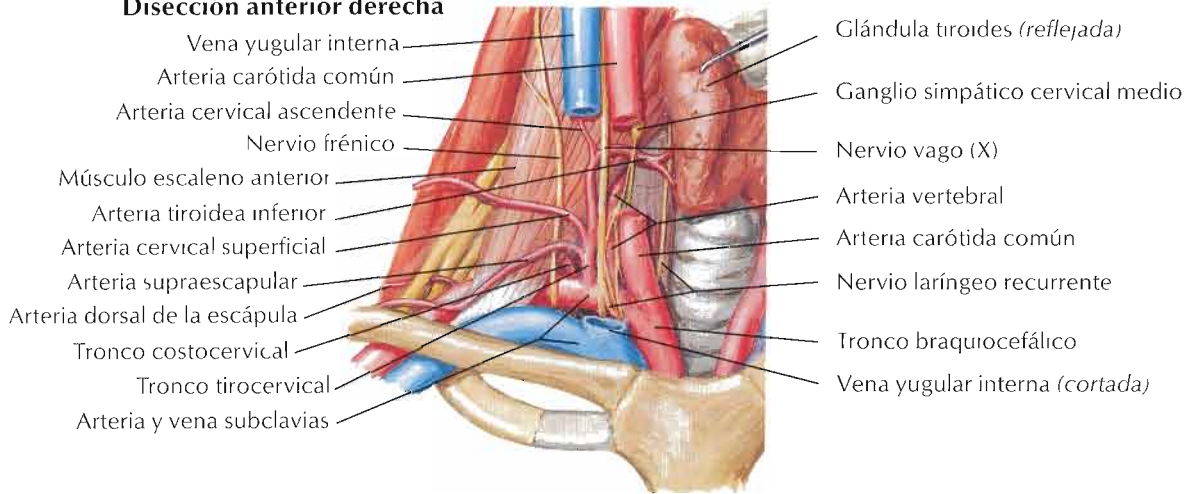
F. Netter M.D.

Plexo cervical: esquema

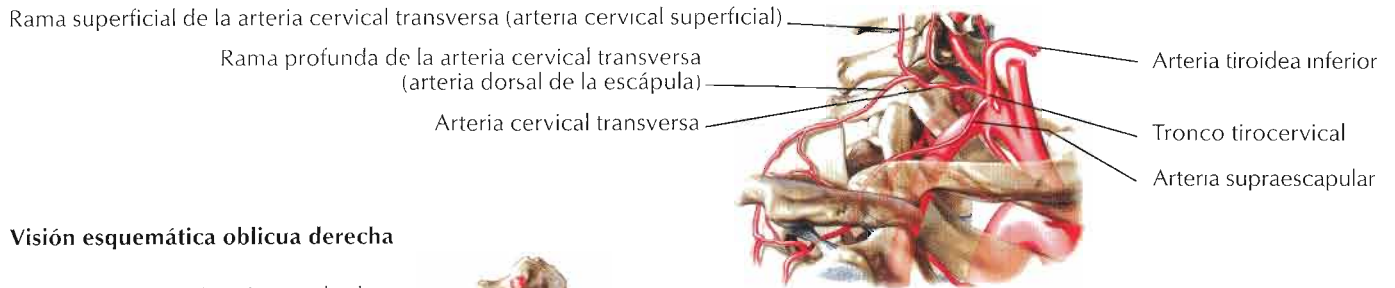
(S = ramo gris desde el ganglio simpático cervical superior)



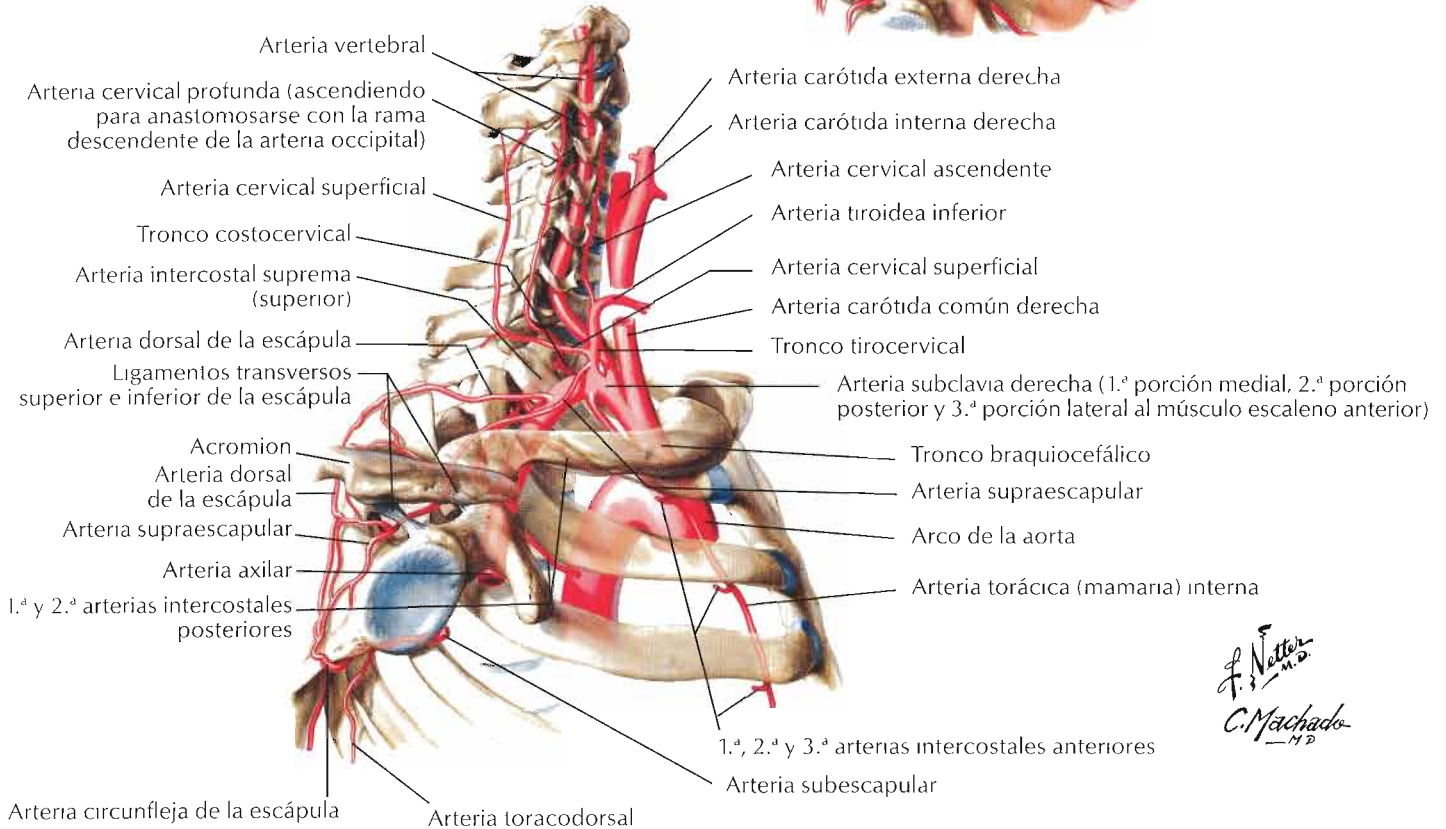
Disección anterior derecha



Origen común de las arterias cervical superficial y dorsal de la escápula de la arteria cervical transversa (~30%)



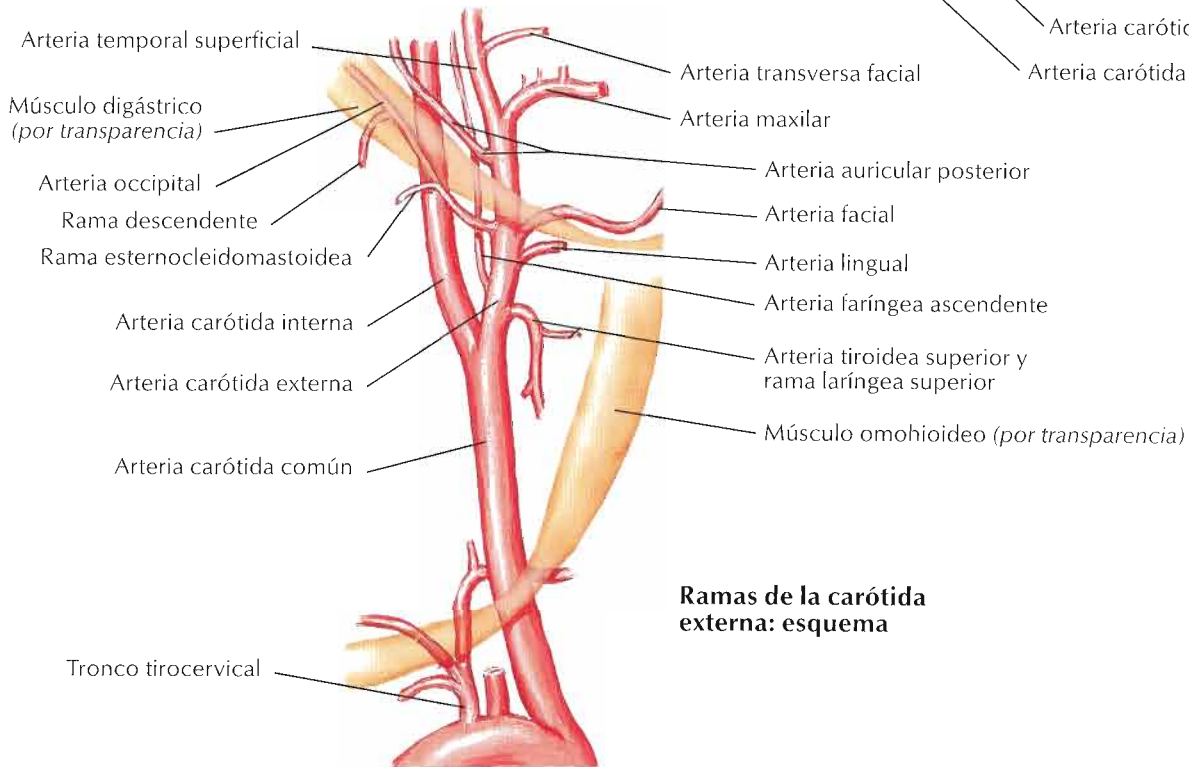
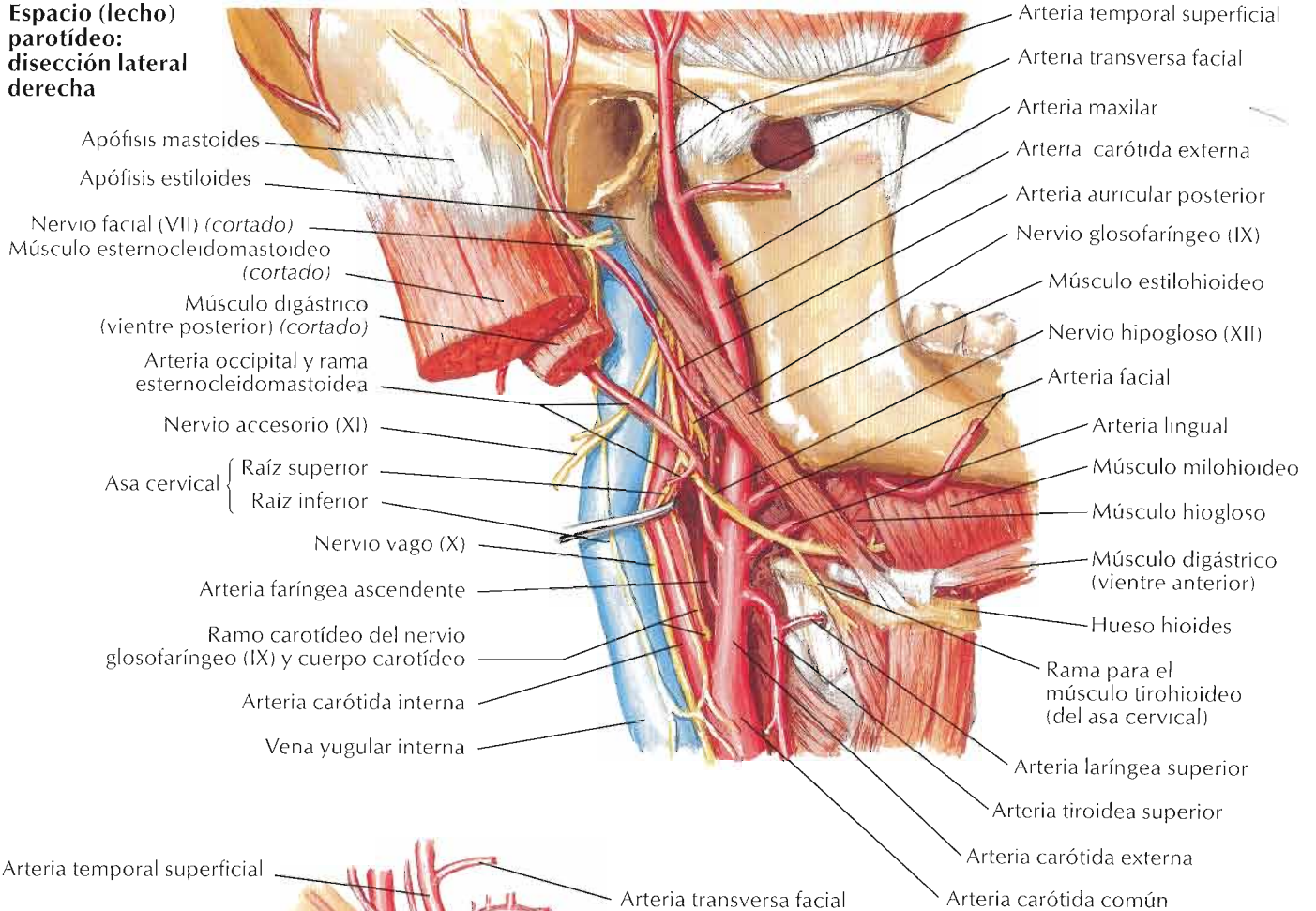
Visión esquemática oblicua derecha



F. Netto
C. Machado
-MD

Véanse también láminas 136, 138

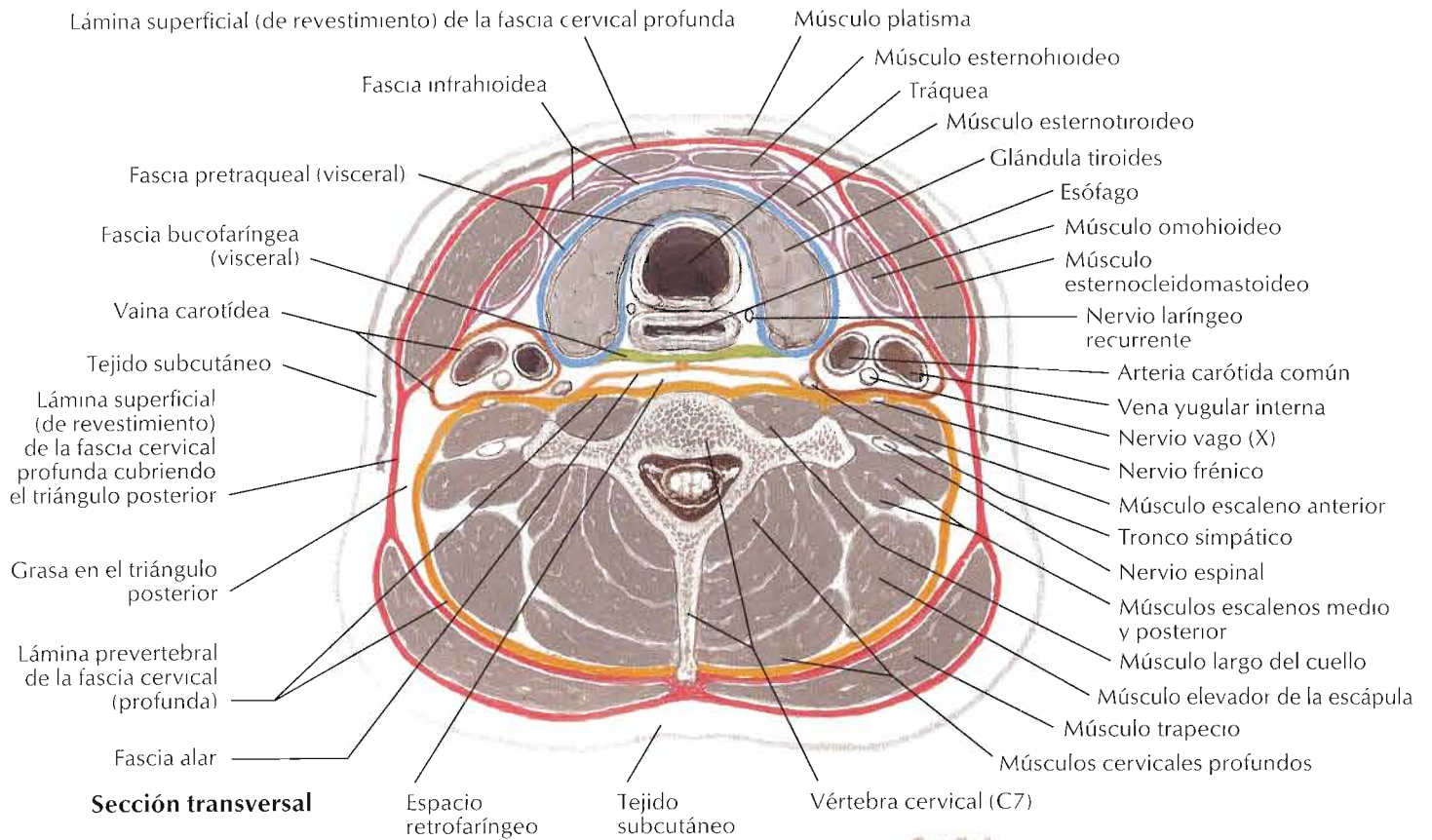
Espacio (lecho) parotídeo: disección lateral derecha



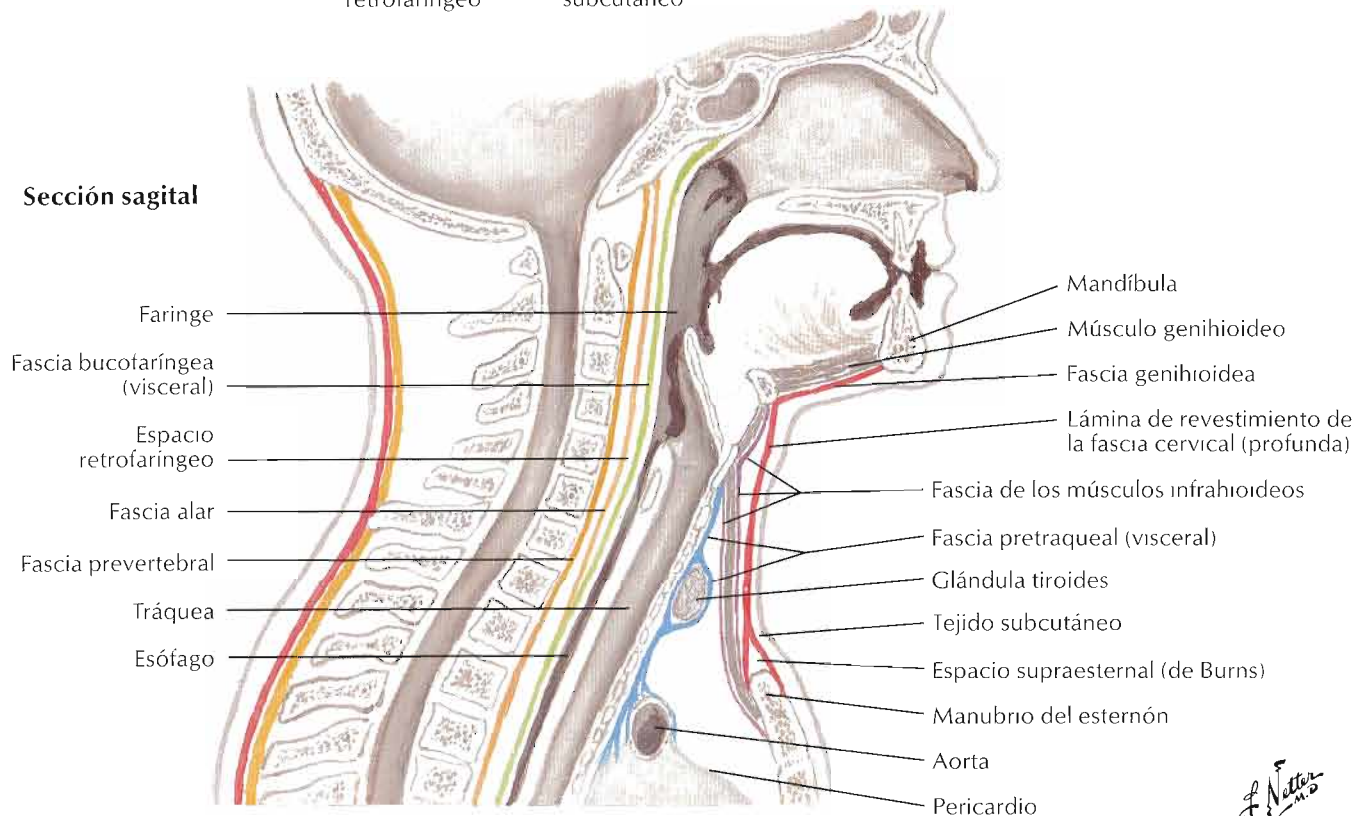
Ramas de la carótida externa: esquema

F. Netter M.D.

Para contenidos de la vaina carotídea véanse láminas 69-71

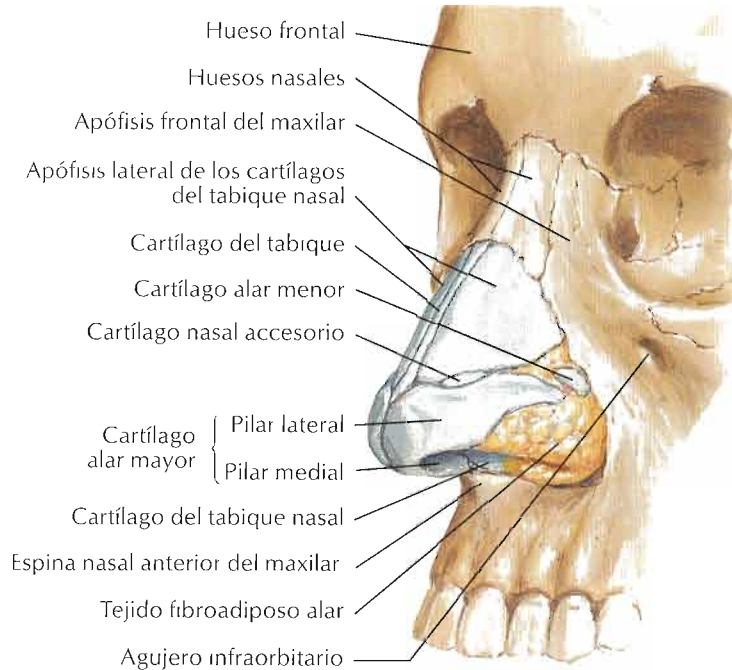


Sección sagital

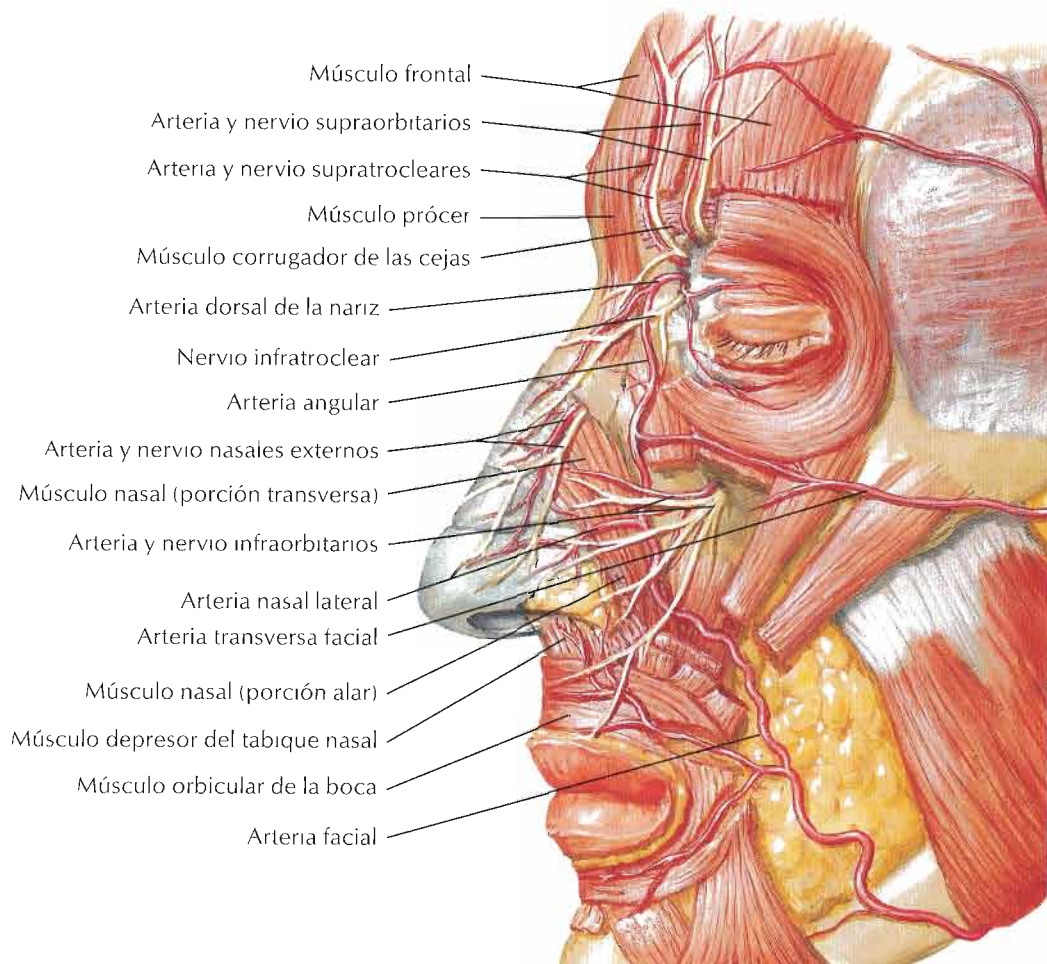
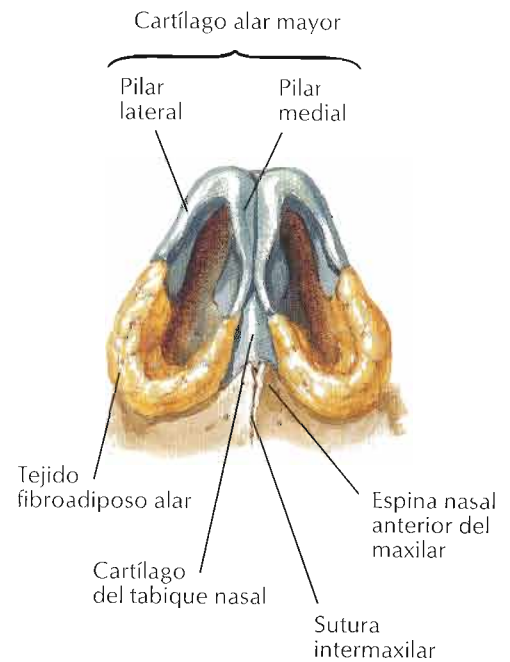


F. Netter M.D.

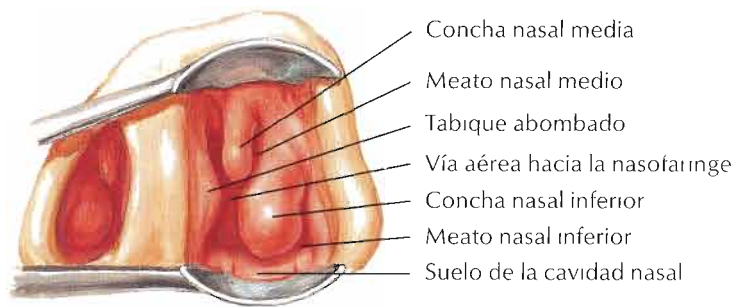
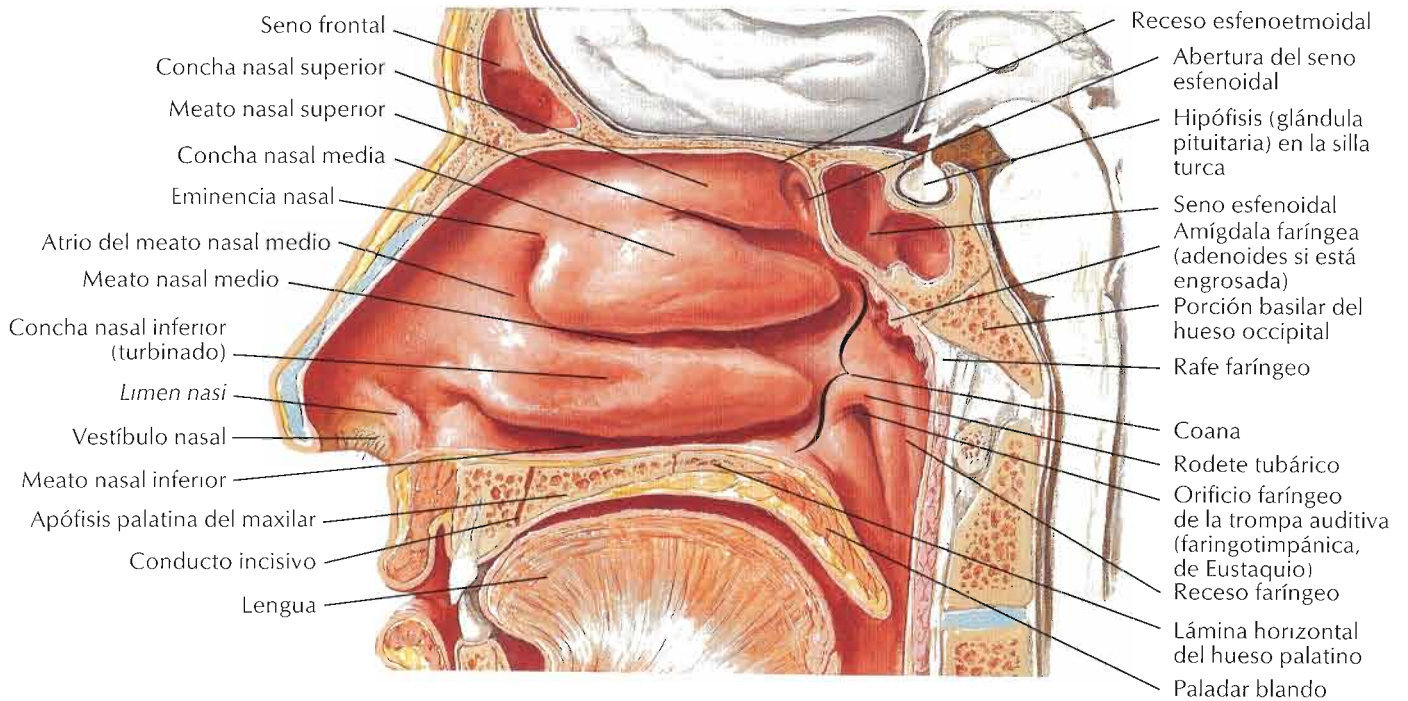
Visión anterolateral



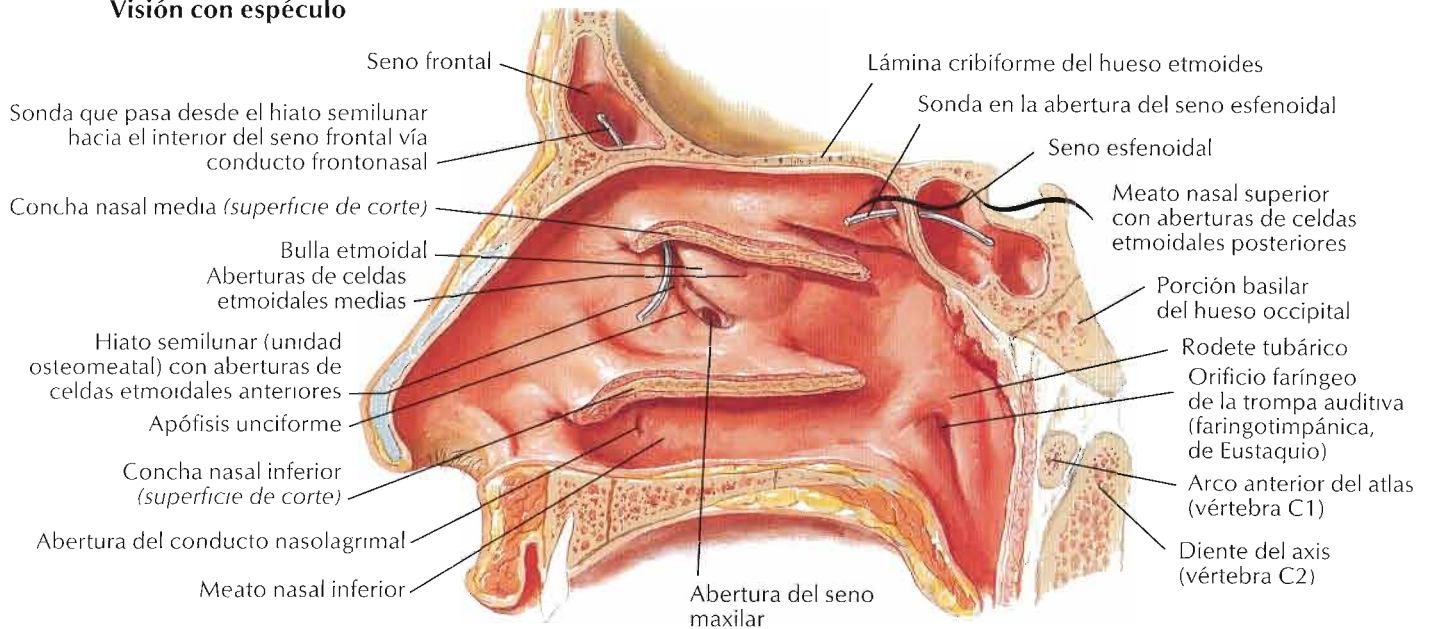
Visión inferior



F. Netter M.D.

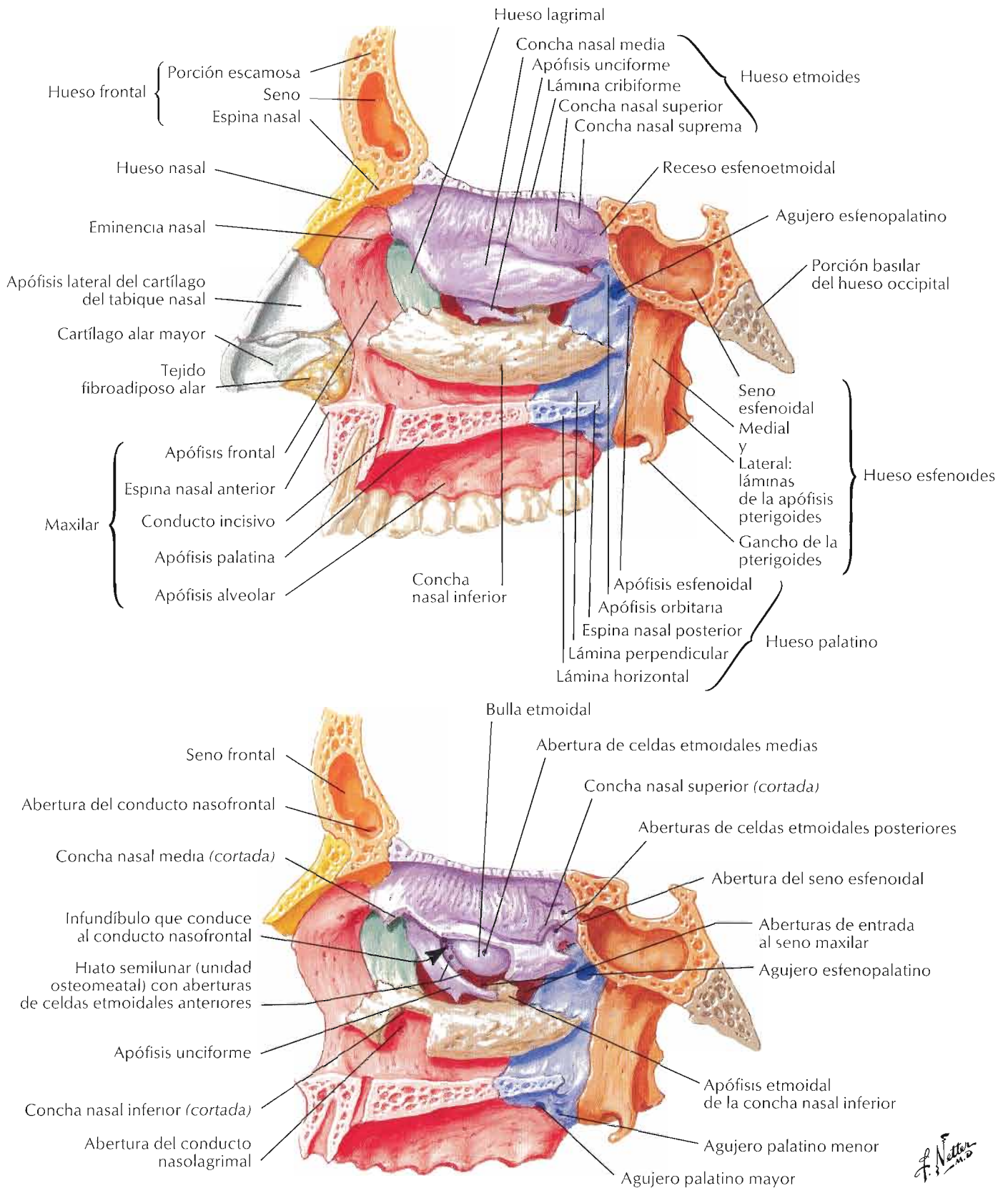


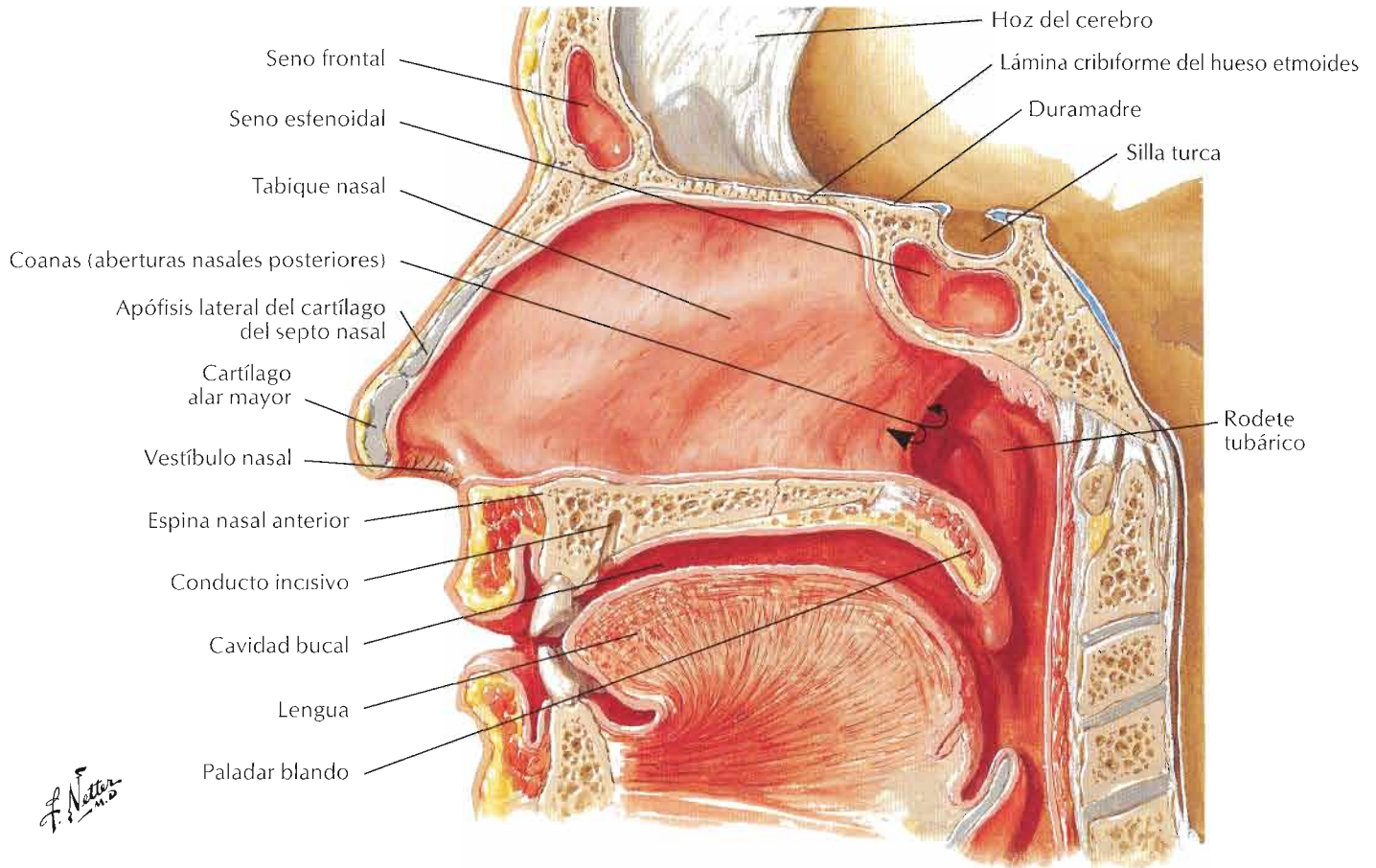
Visión con espéculo



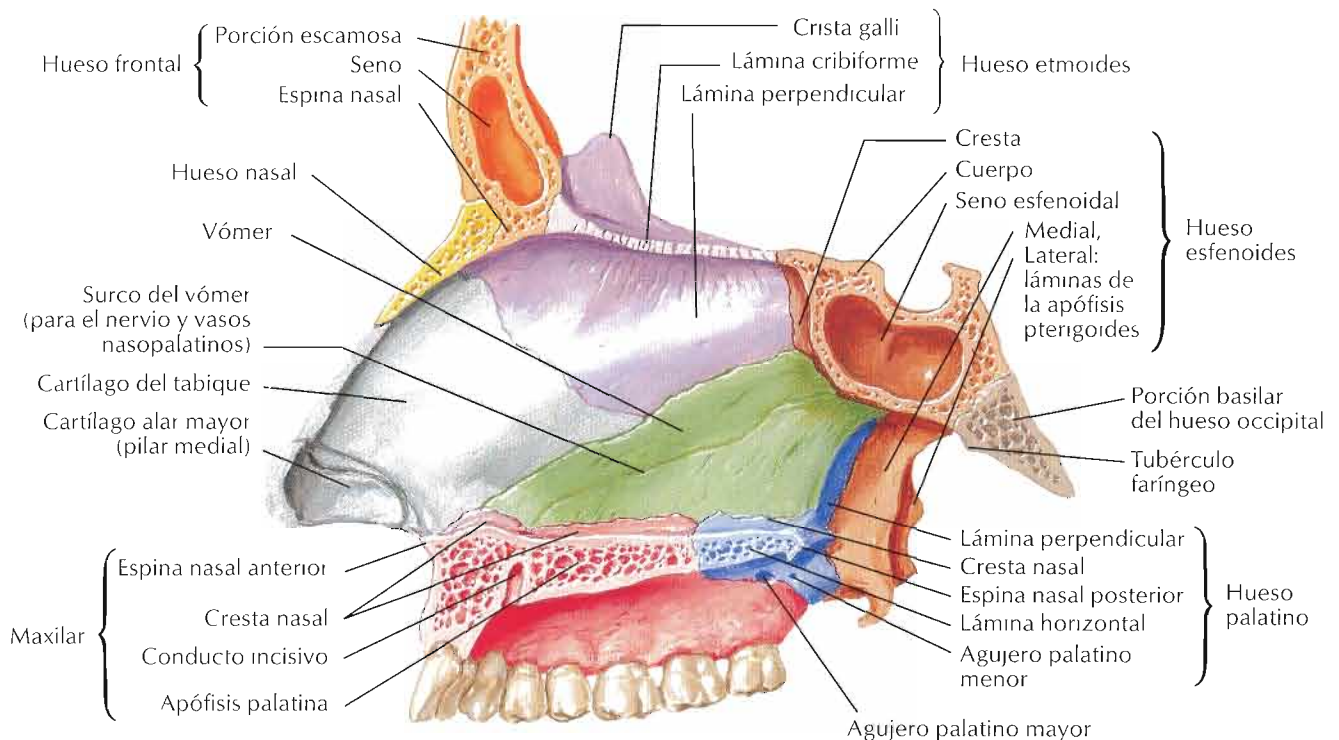
Pared lateral de la cavidad nasal (continuación)

Véase también lámina 6



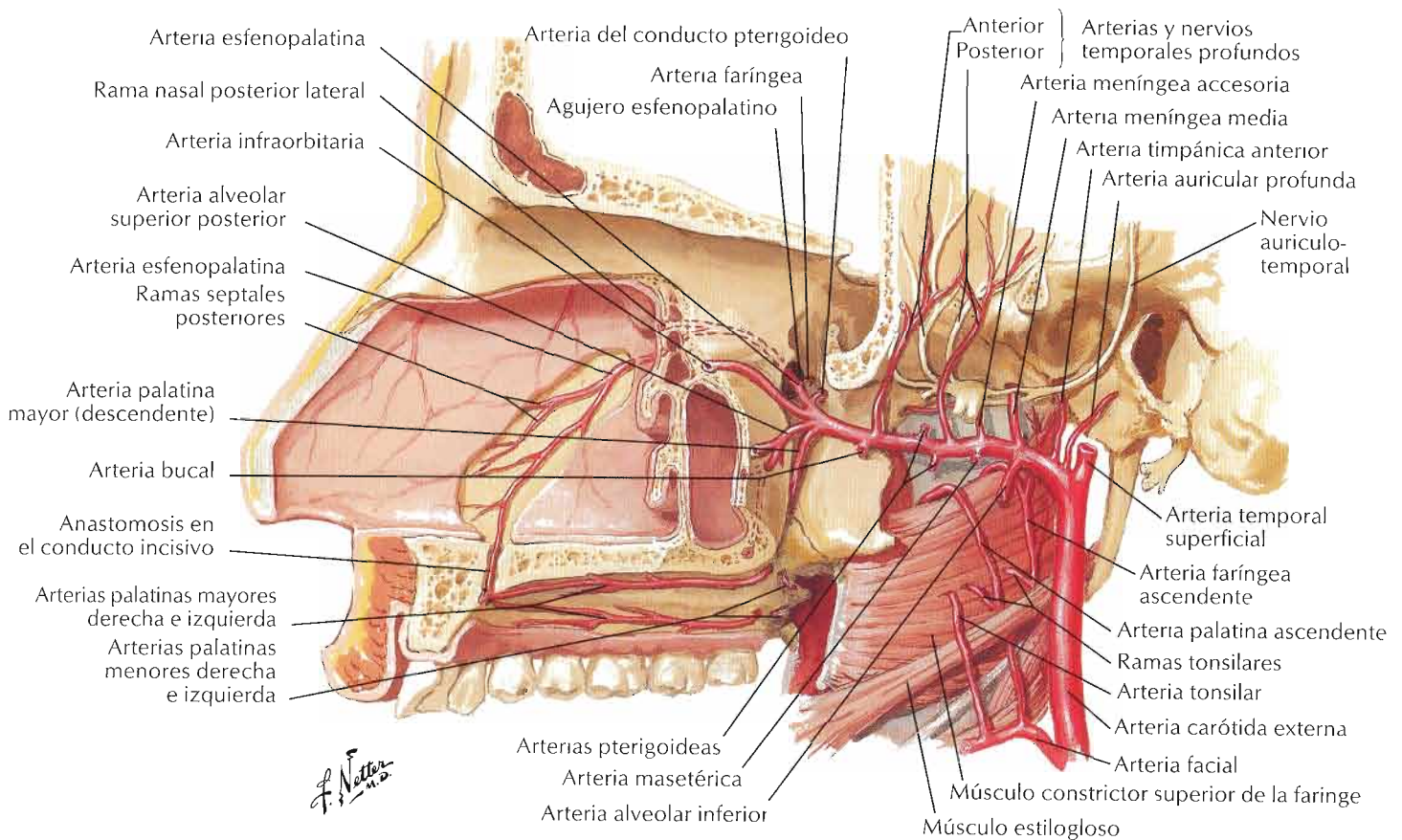
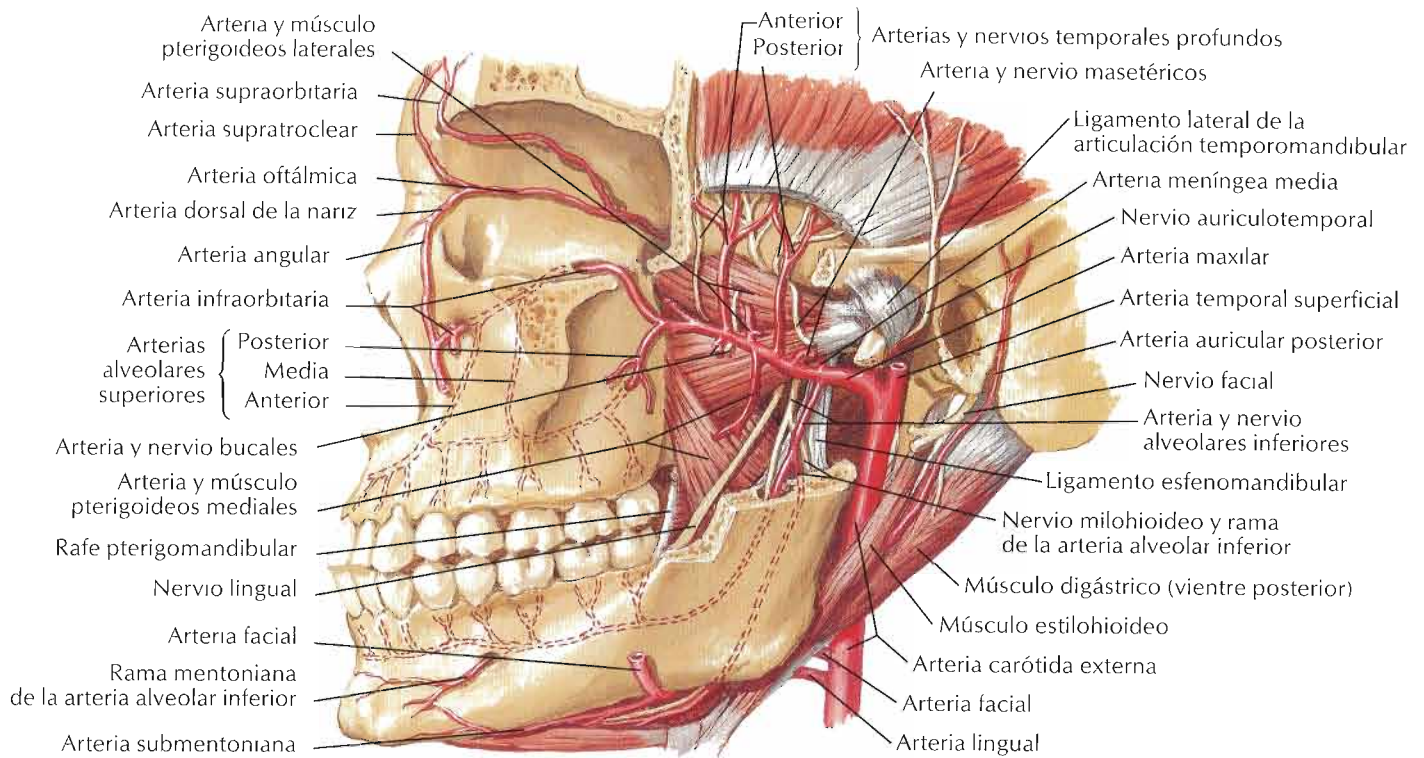


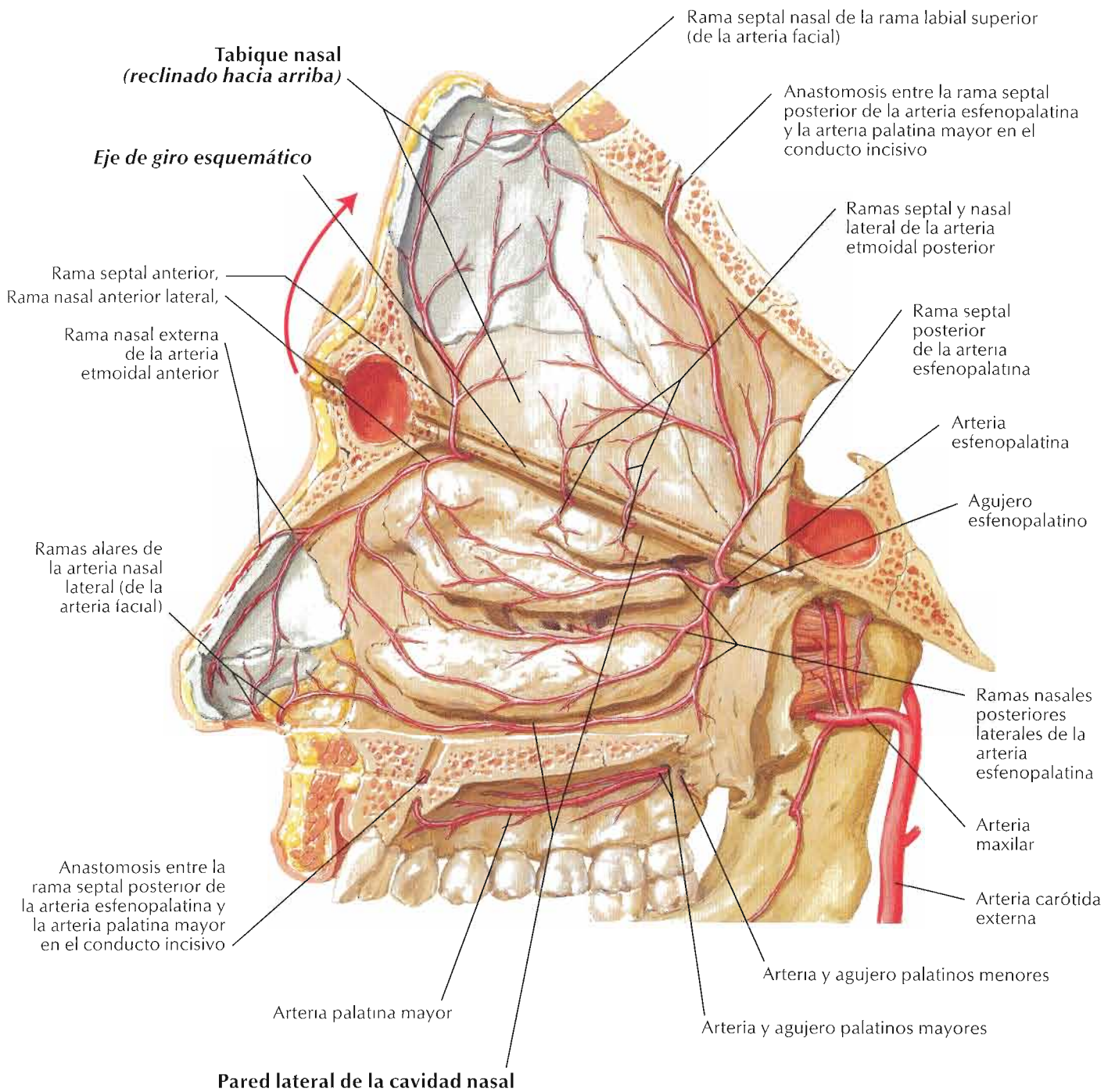
F. Netter M.D.



Arteria maxilar

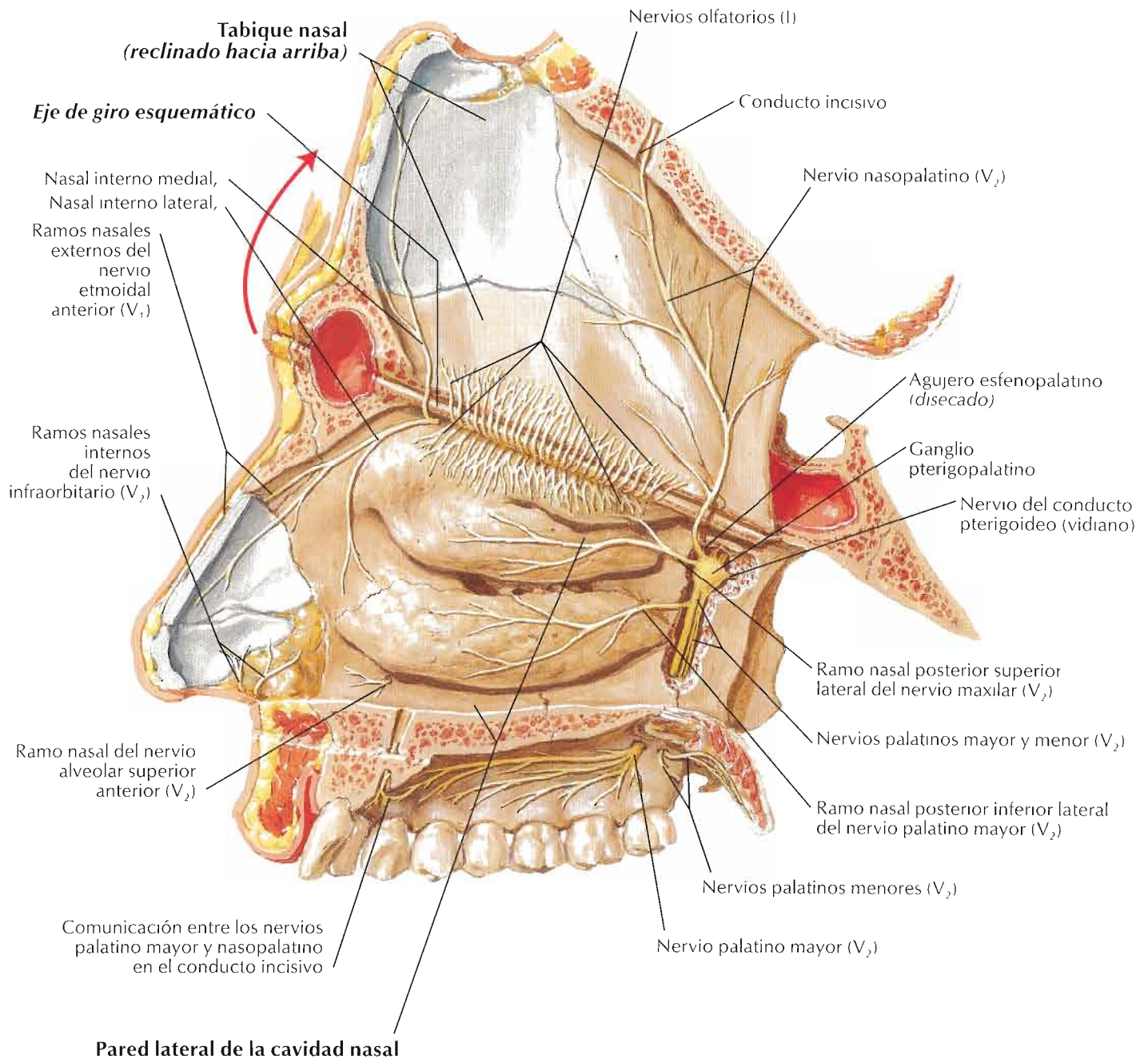
Véase también Lámina 34





F. Netter M.D.

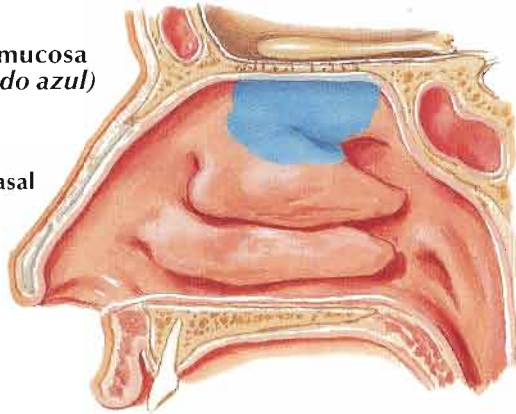
Véanse también láminas 44, 45, 119



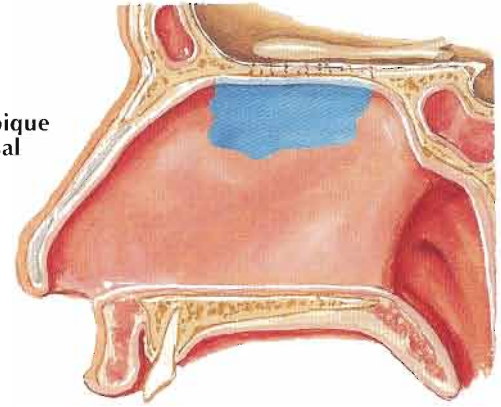
F. Netter M.D.

Distribución de la mucosa olfatoria (sombreado azul)

Pared lateral de la cavidad nasal



Tabique nasal



Ramo nasal externo del nervio etmoidal anterior (V_1)

Ramo nasal interno lateral del nervio etmoidal anterior (V_1)

Bulbo olfatorio

Lámina cribiforme del hueso etmoides

Tracto olfatorio

Ramos nasales posteriores superiores laterales del nervio maxilar (V_2)

Nervio maxilar (V_2) (agujero esfenopalatino disecado)

Ganglio pterigopalatino

Nervio petroso mayor

Nervio petroso profundo

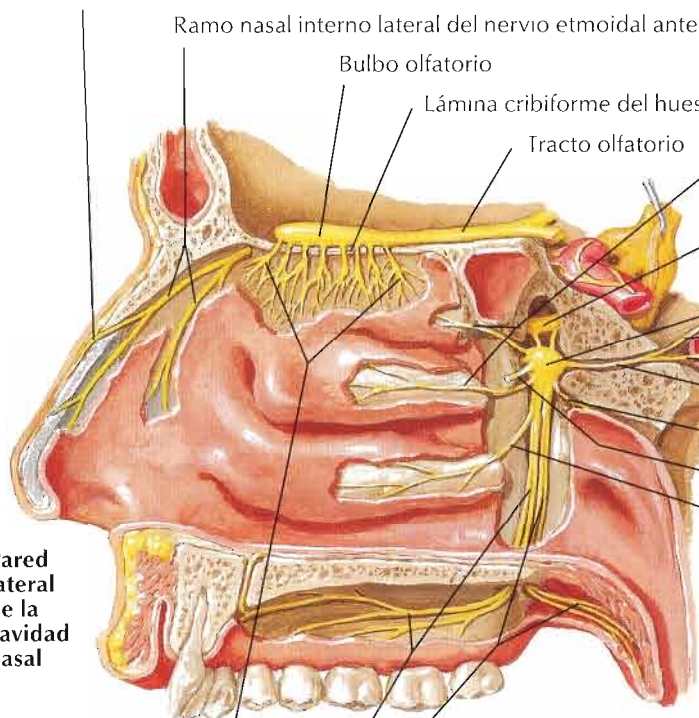
Nervio del conducto pterigoideo (vidiano)

Ramo faríngeo del nervio maxilar (V_2)

Nervio nasopalatino (V_2) que discurre hacia el tabique (cortado)

Ramo nasal posterior inferior lateral del nervio palatino mayor (V_2)

Pared lateral de la cavidad nasal



Nervios olfatorios (I)

Nervios palatinos (V_2)
 { Mayor
 Menor

F. Netter M.D.

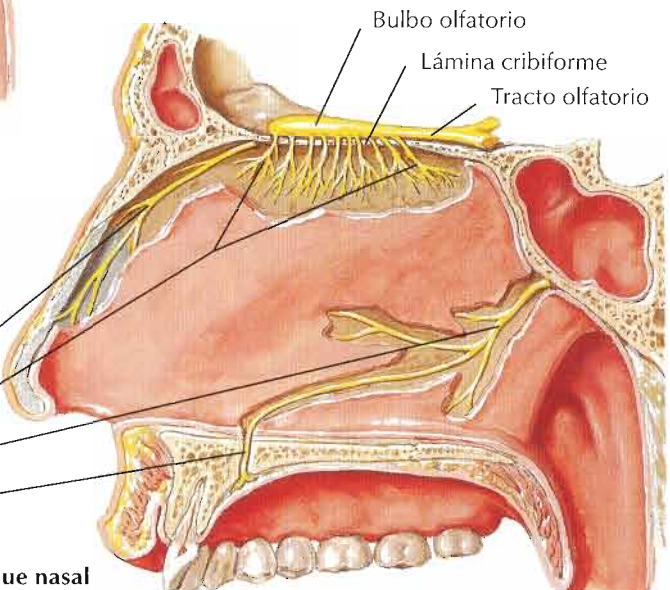
Ramo nasal interno medial del nervio etmoidal anterior (V_1)

Nervios olfatorios (I)

Nervio nasopalatino (V_2)

Conducto incisivo

Tabique nasal



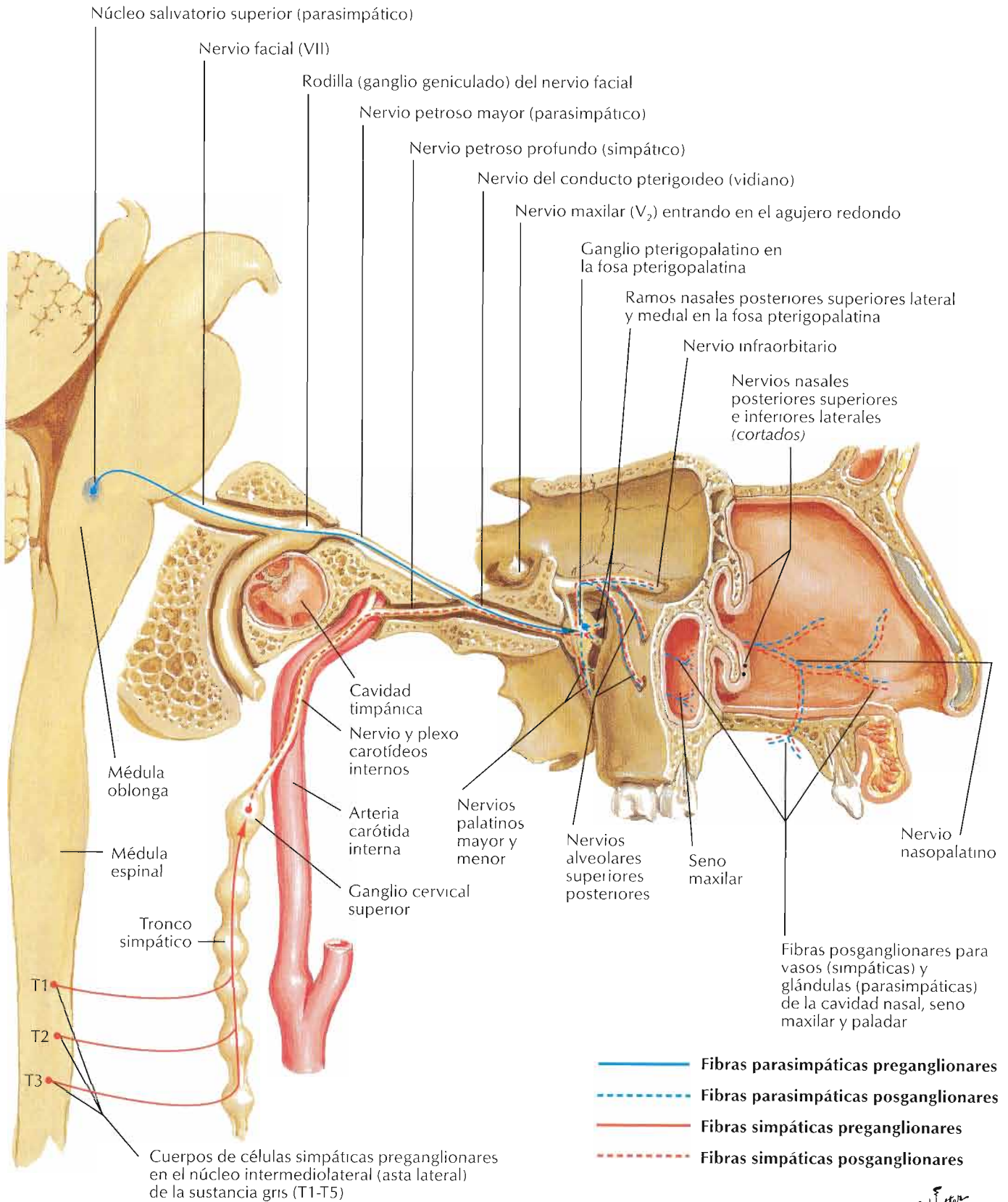
Bulbo olfatorio

Lámina cribiforme

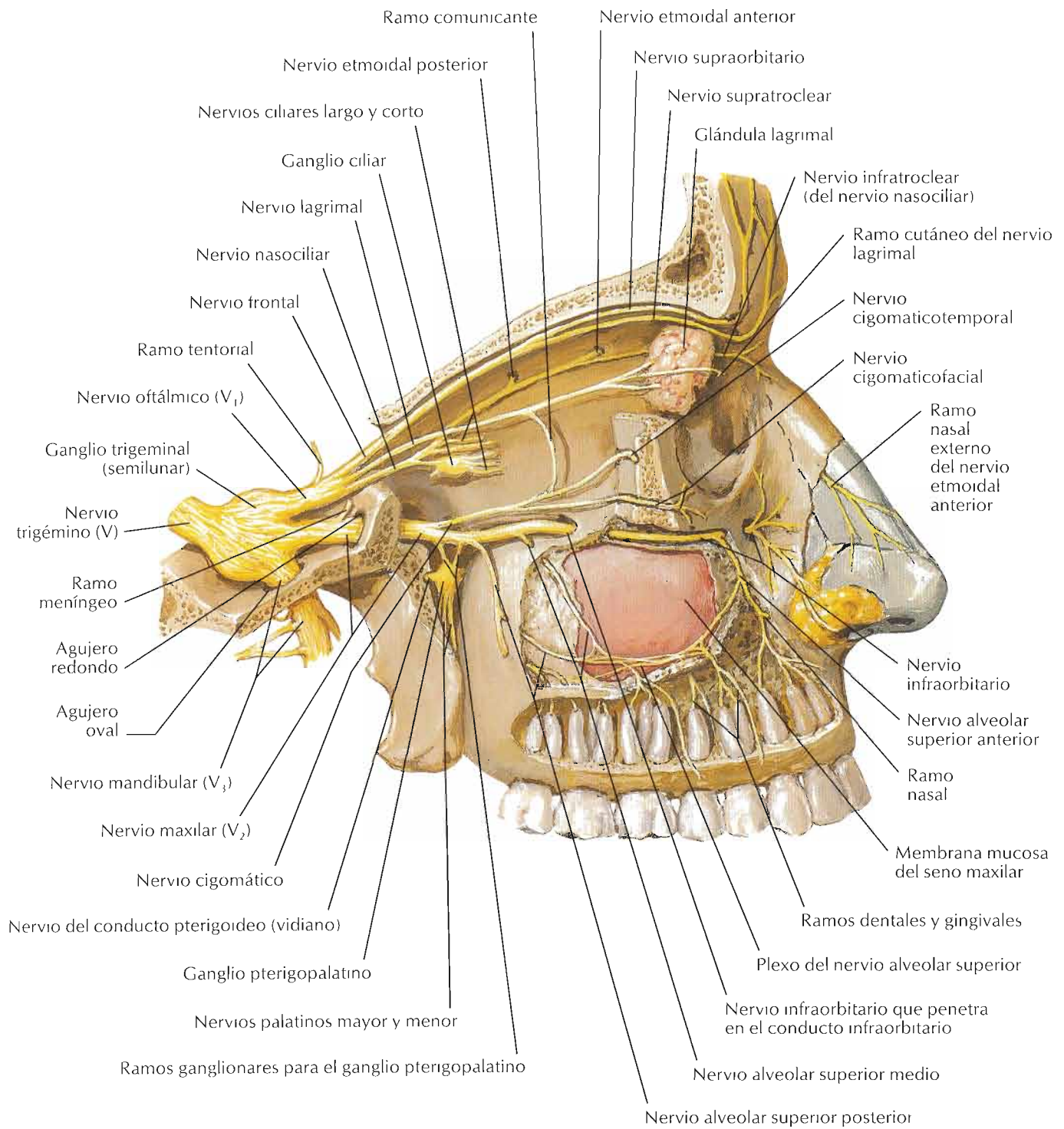
Tracto olfatorio

Inervación autónoma de la cavidad nasal

Véanse también láminas 122, 131, 133



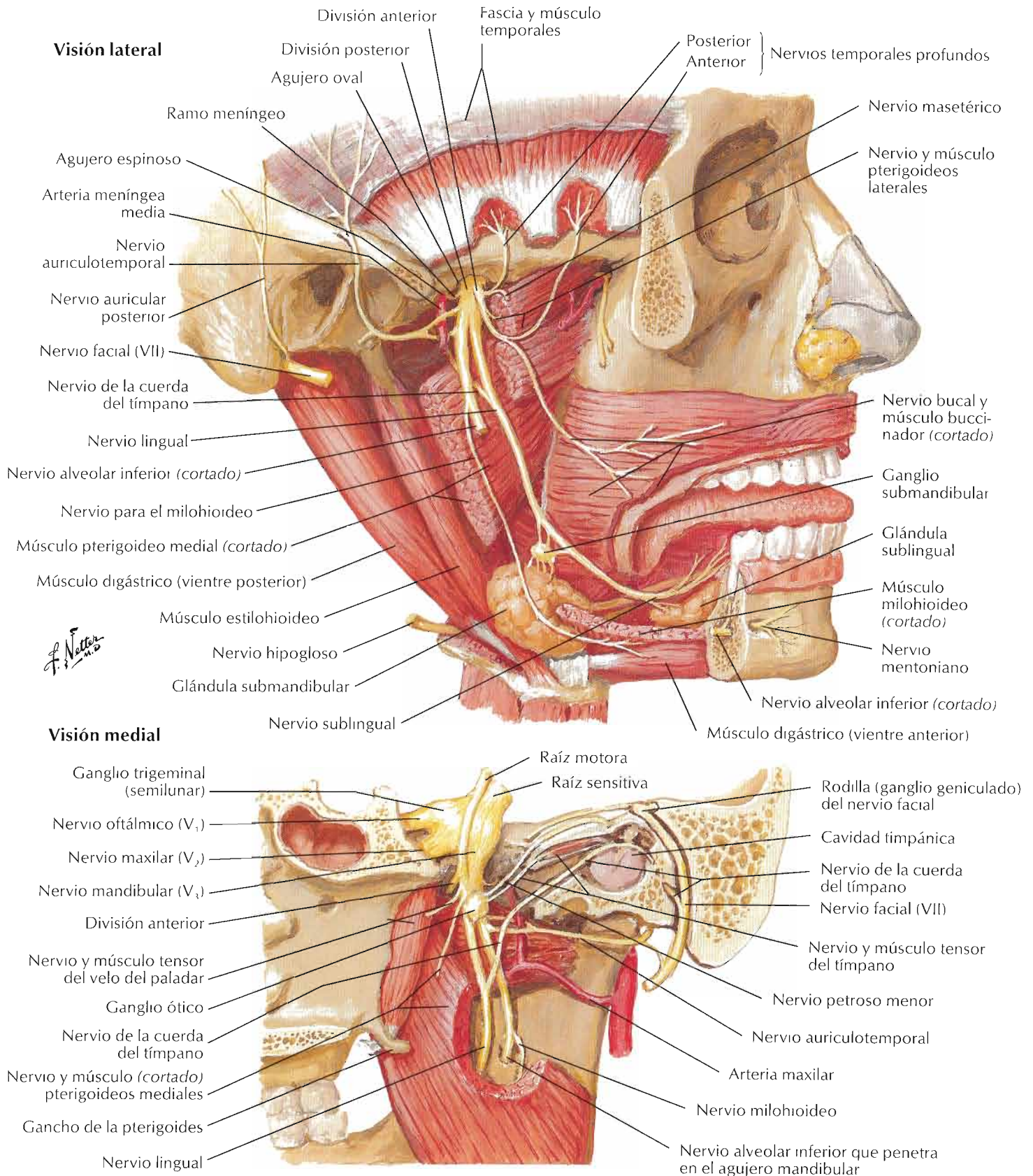
F. Netter M.D.

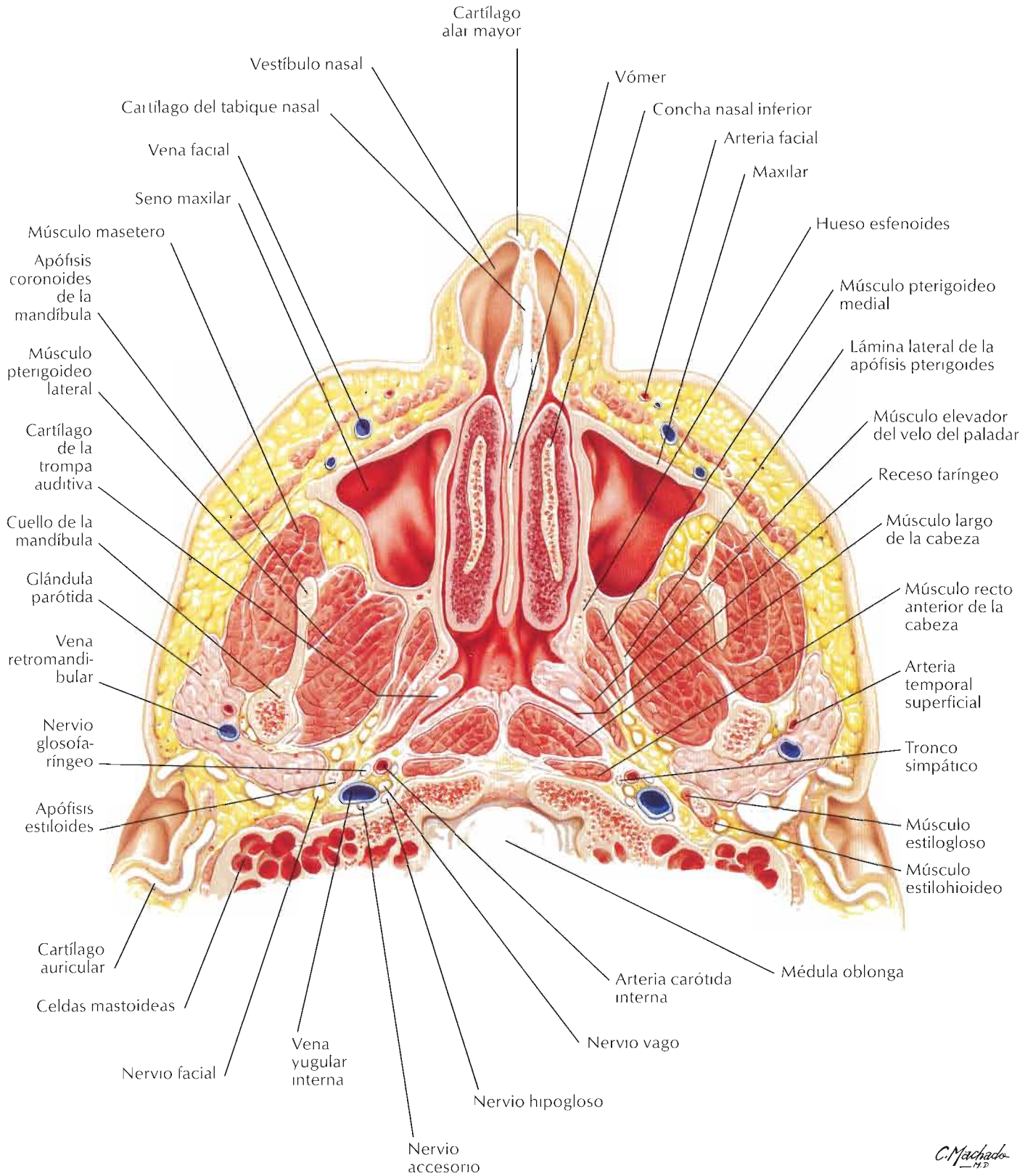


F. Netter M.D.

Nervio mandibular (V₃)

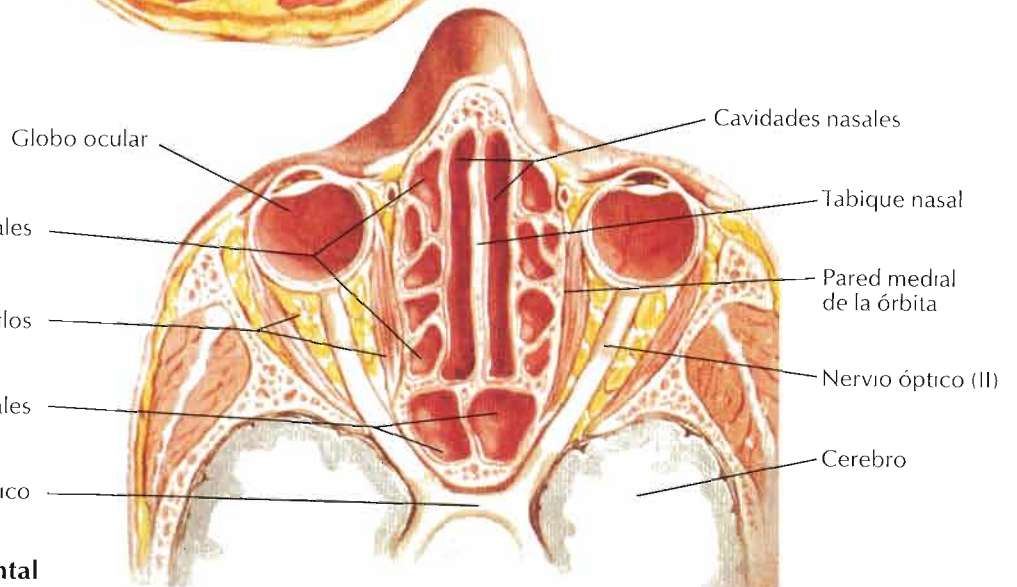
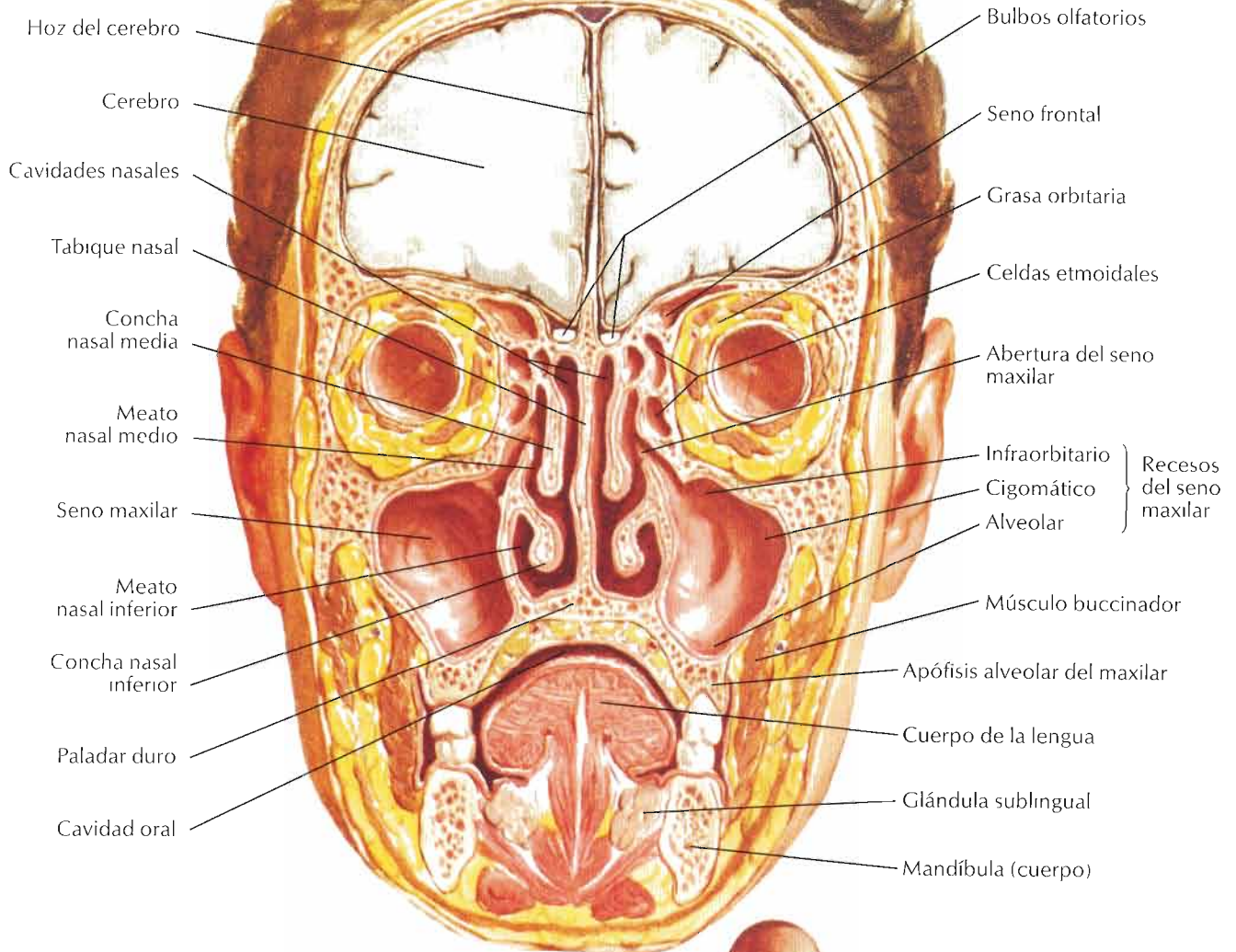
Véanse también láminas 71, 122





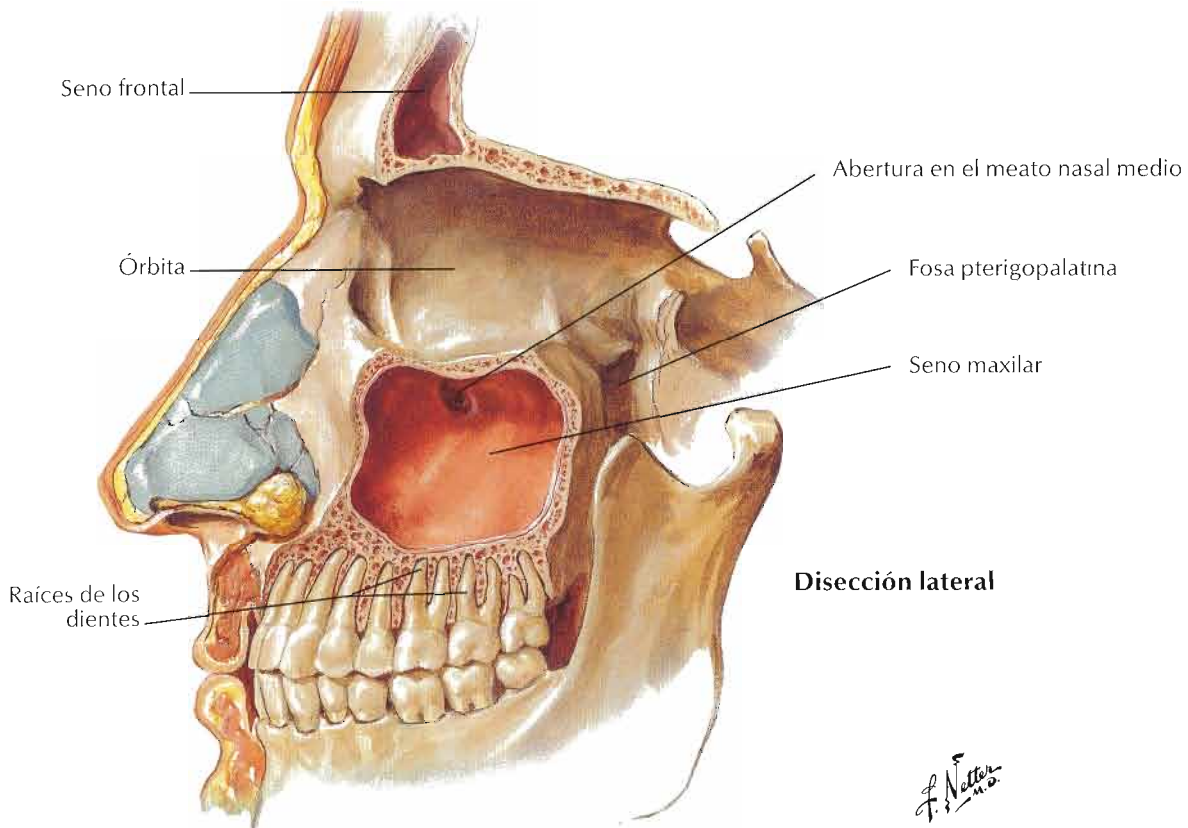
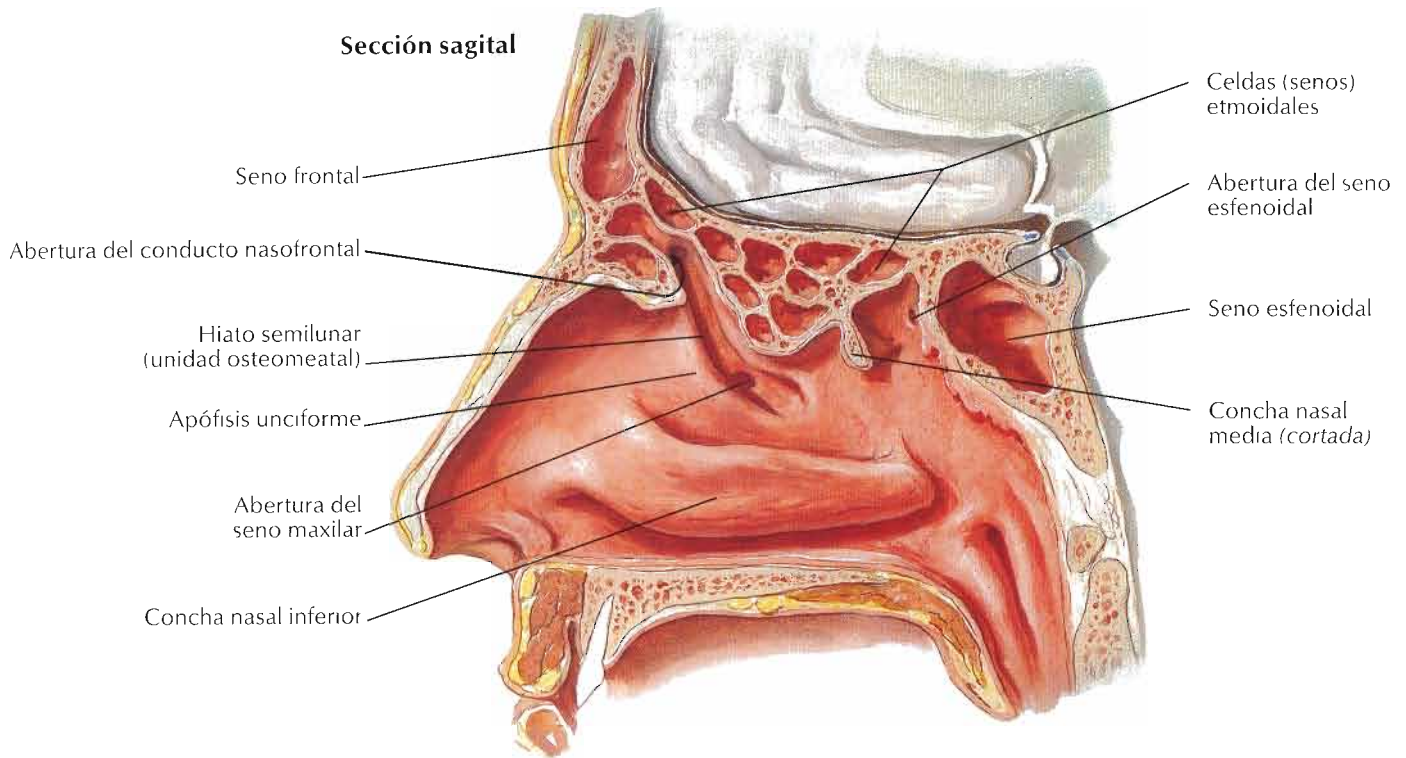
C. Machado

Sección coronal



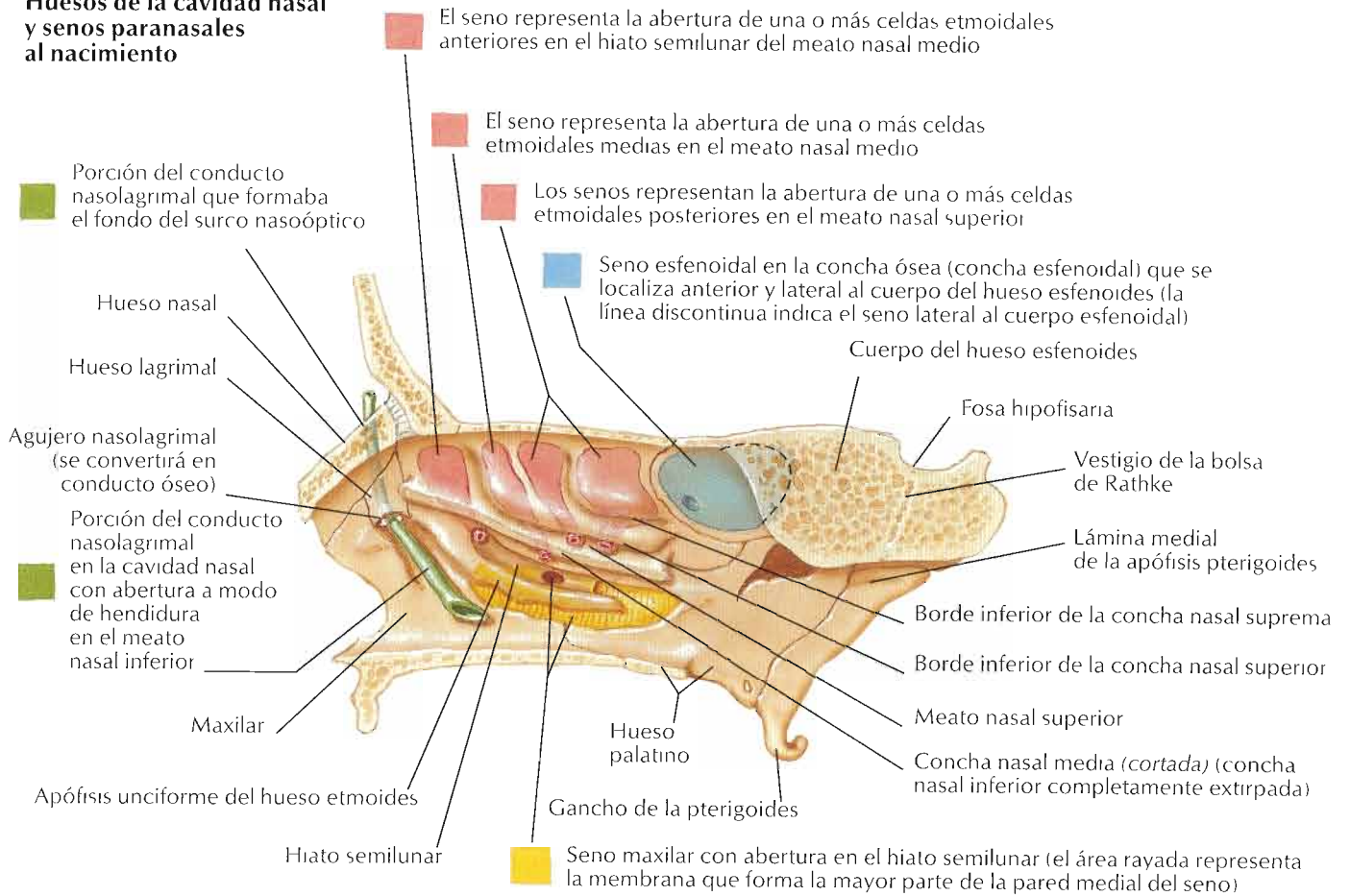
Sección horizontal

F. Netter M.D.

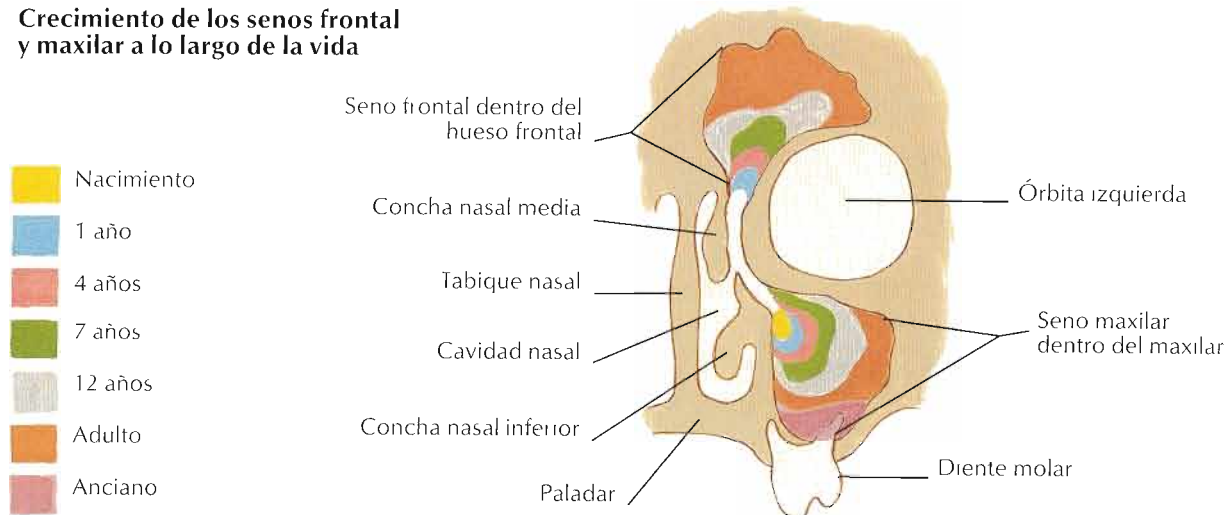


Senos paranasales: cambios con la edad

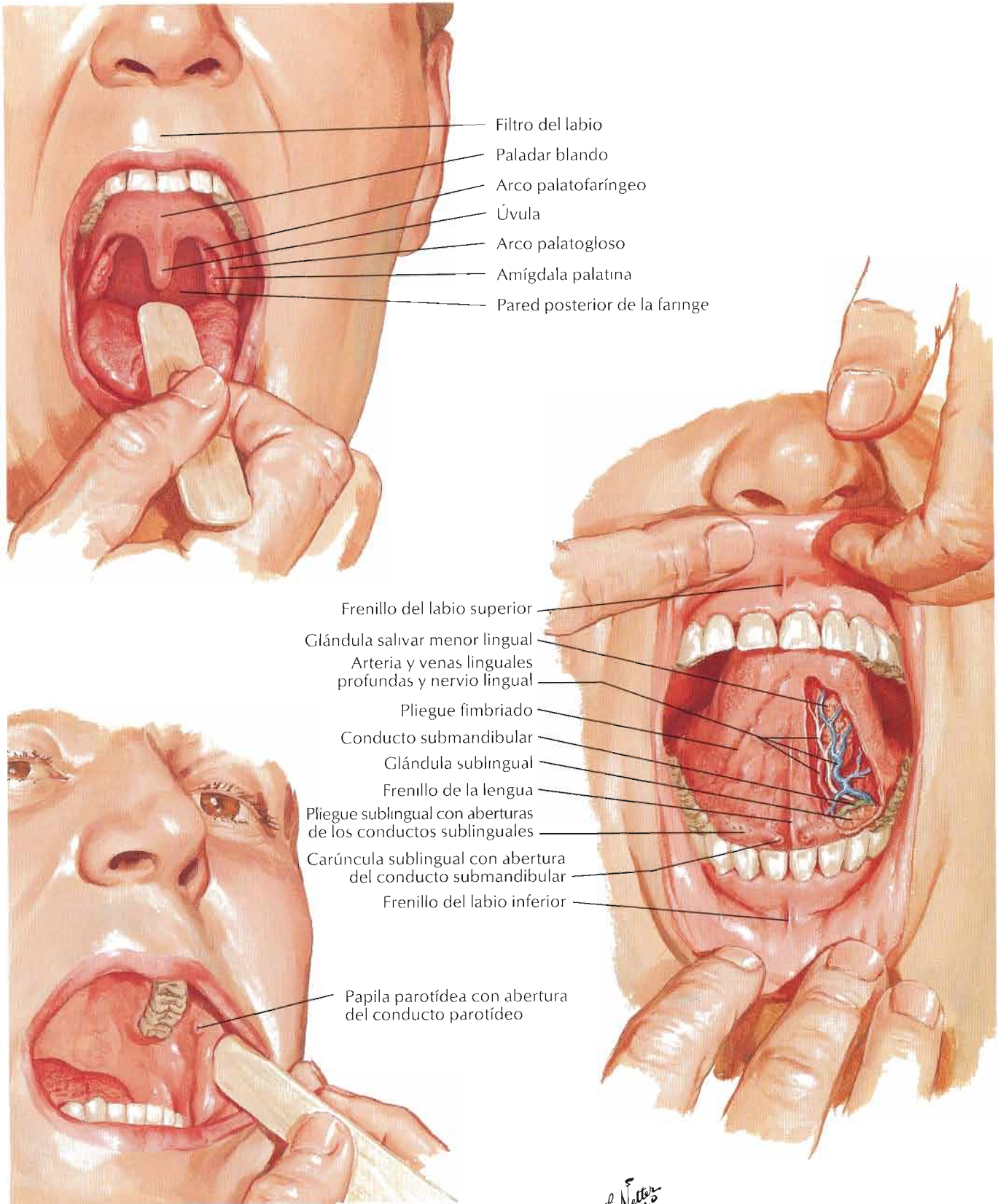
Huesos de la cavidad nasal y senos paranasales al nacimiento

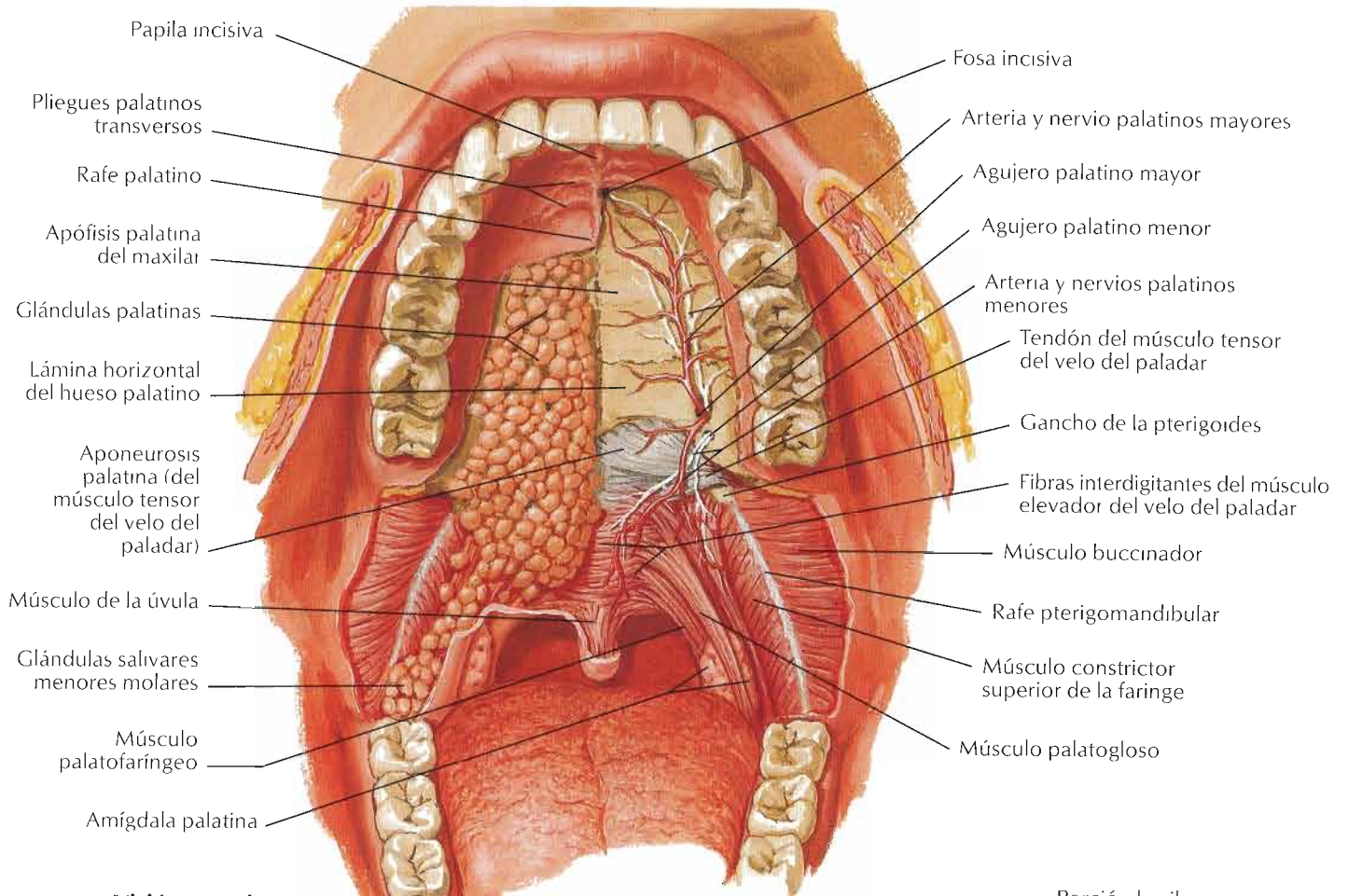


Crecimiento de los senos frontal y maxilar a lo largo de la vida

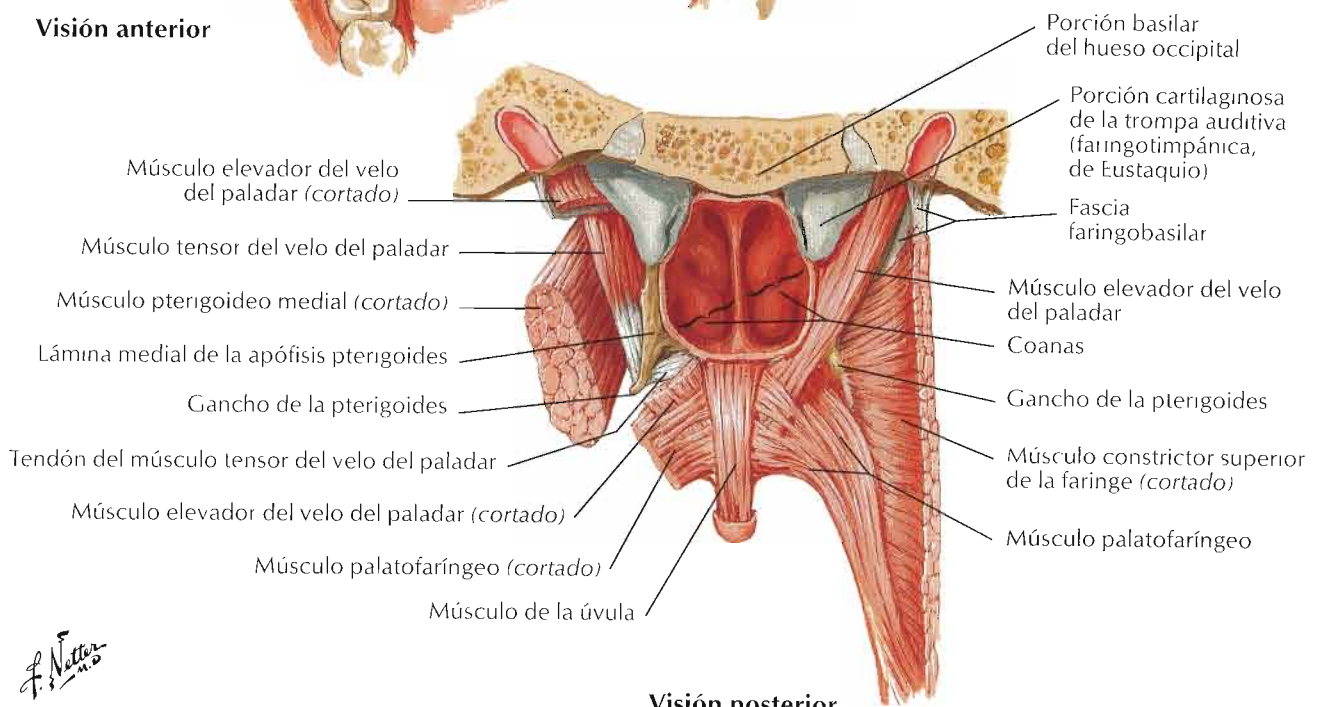


F. Netter M.D.





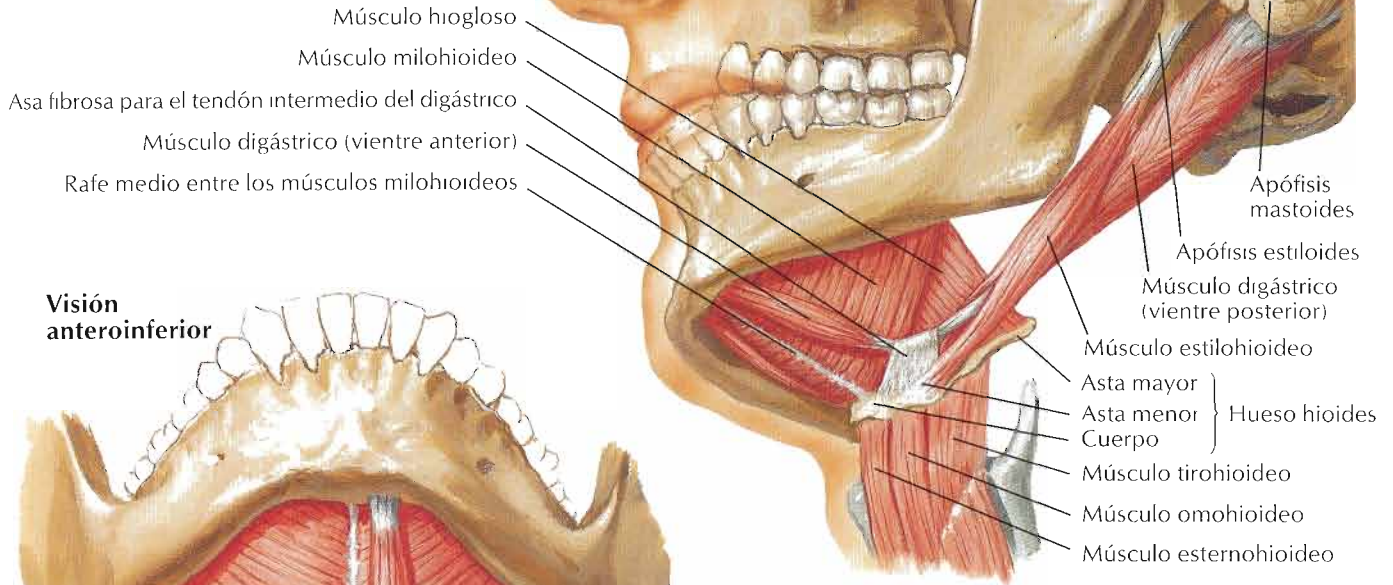
Visión anterior



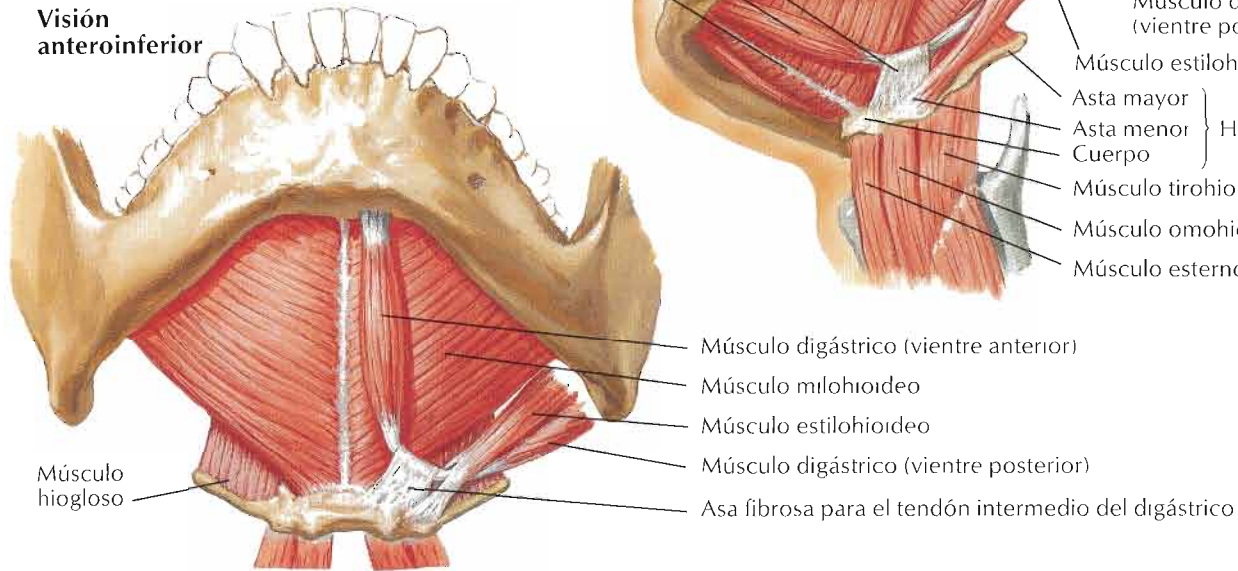
Visión posterior

F. Netter
1950

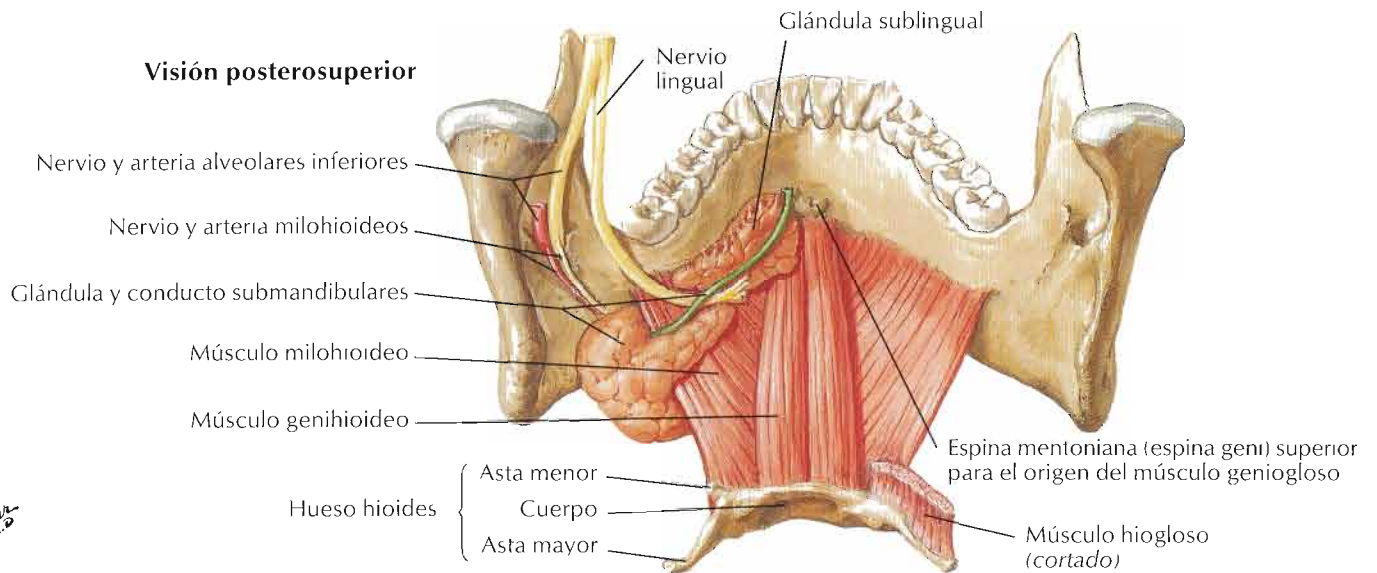
Visión lateral, ligamente inferior



Visión anteroinferior



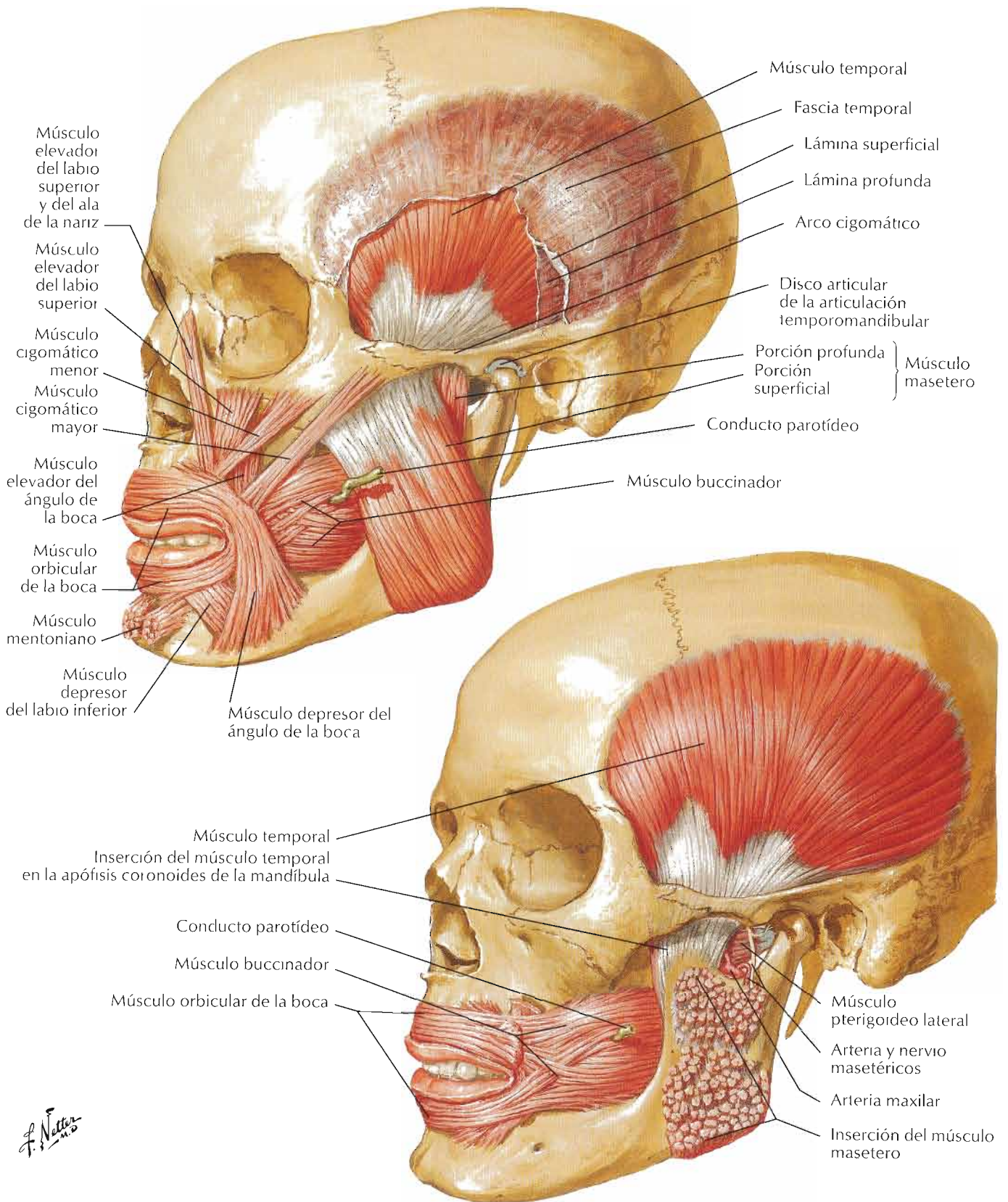
Visión posterosuperior



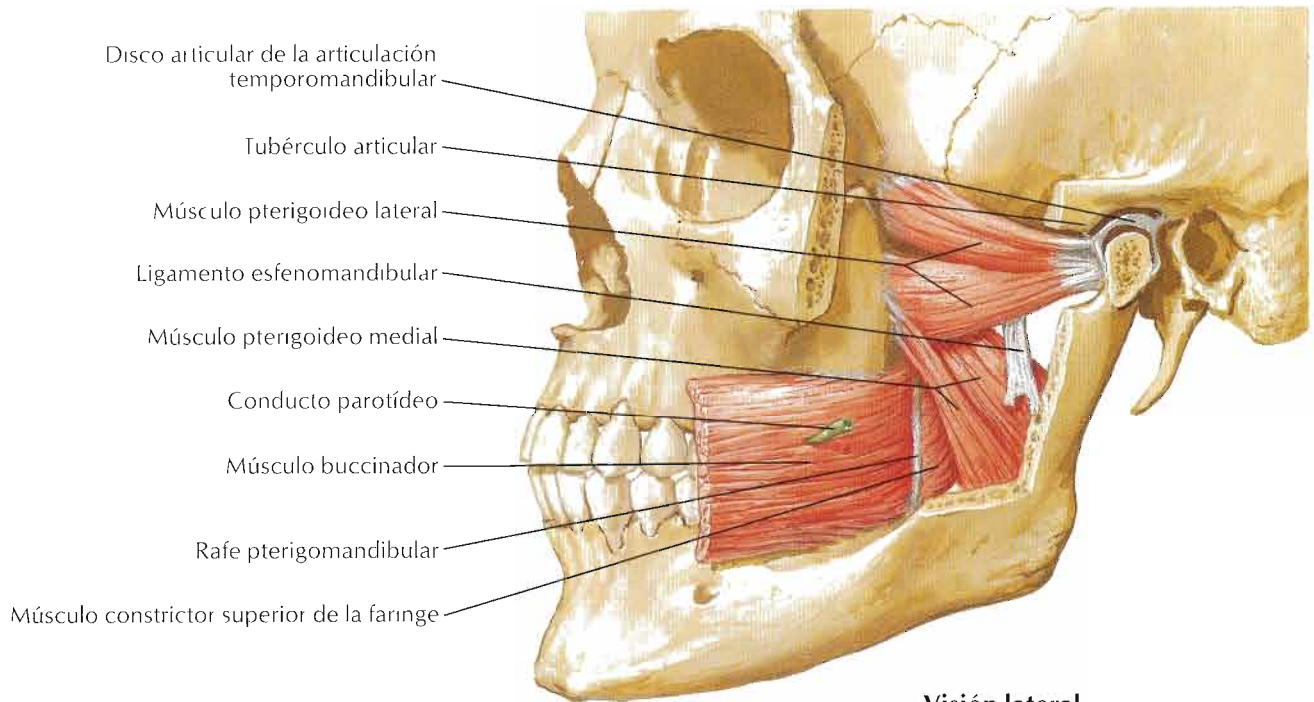
F. Netter M.D.

Músculos implicados en la masticación

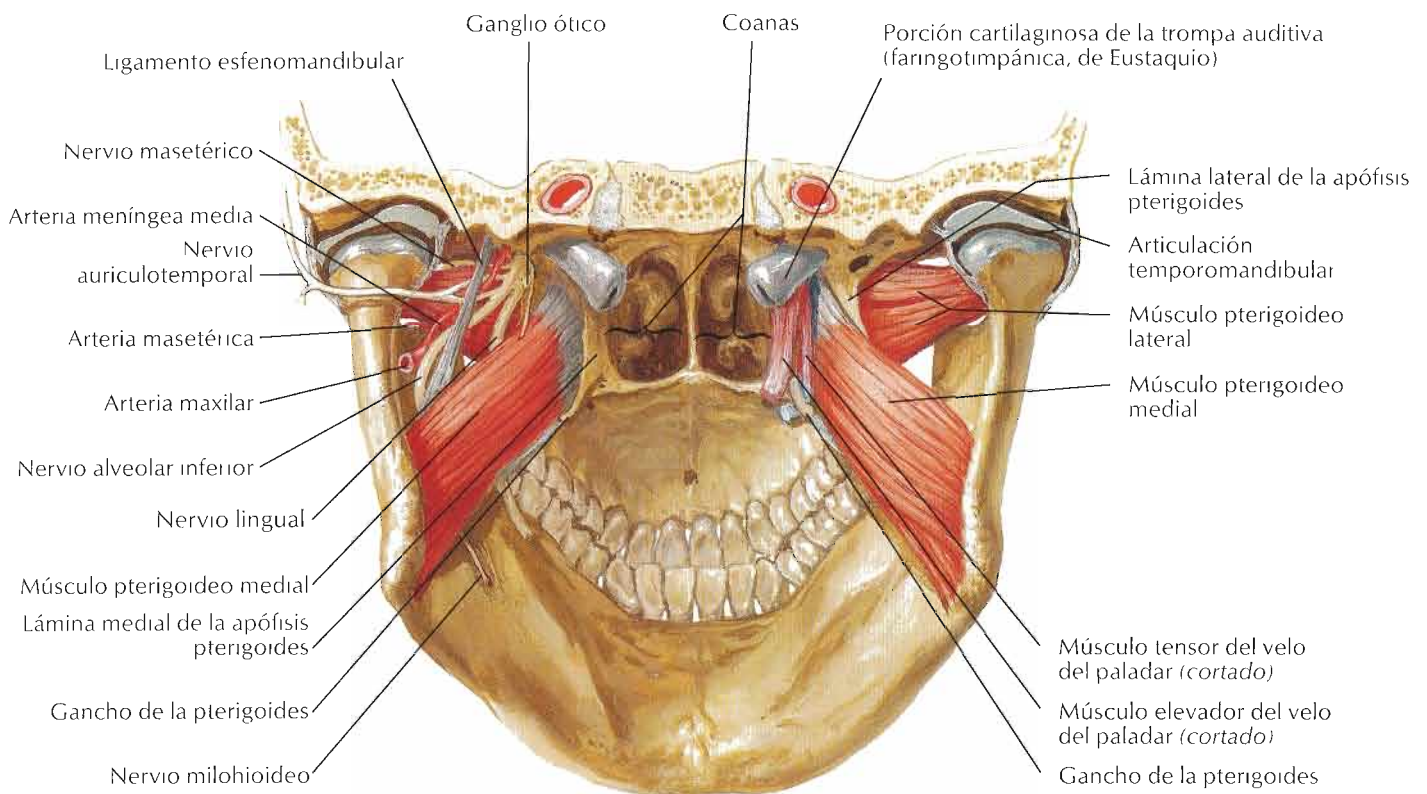
Para los músculos faciales véase lámina 26



F. Netter M.D.

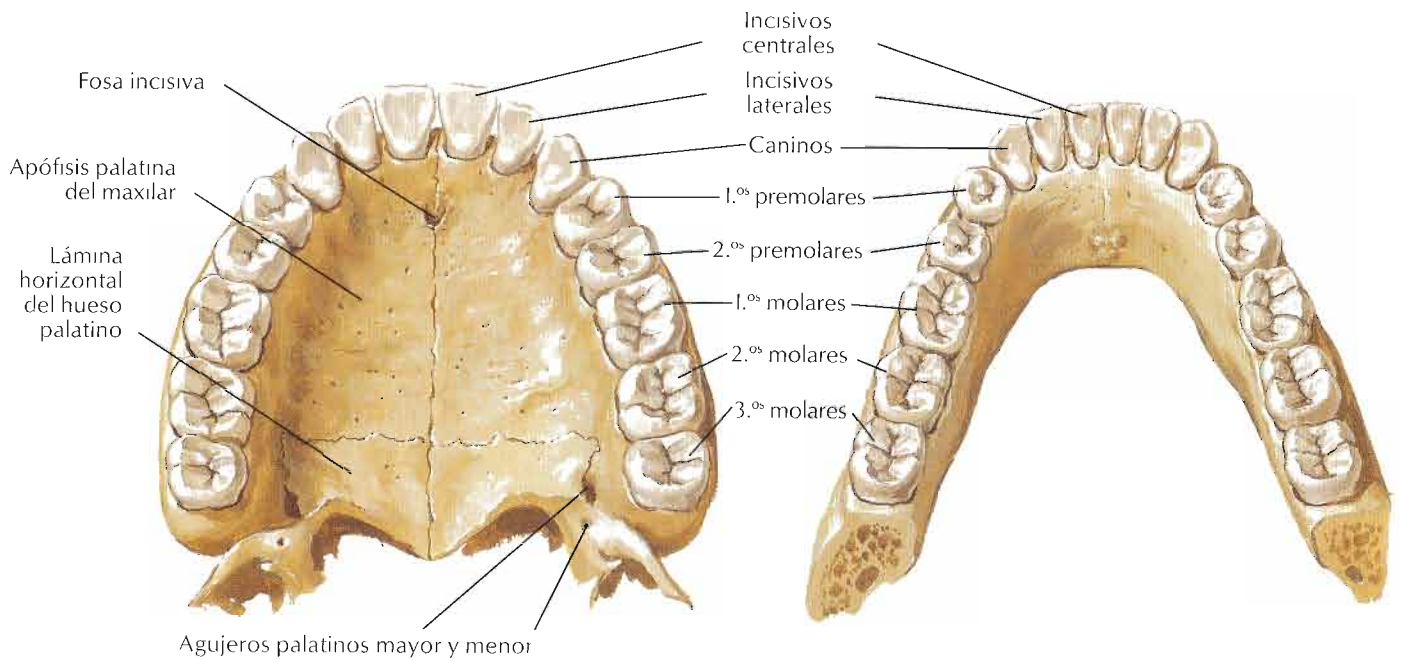
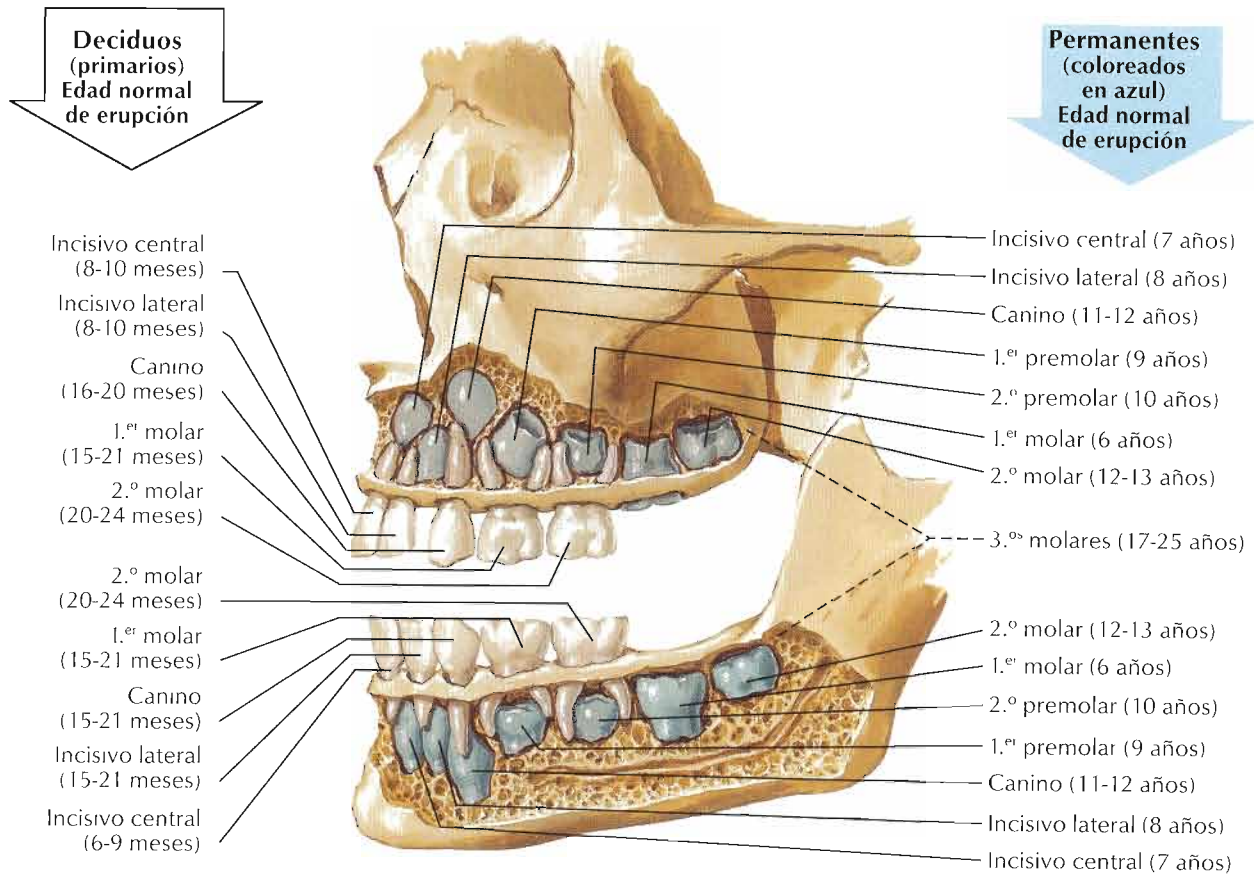


Visión lateral

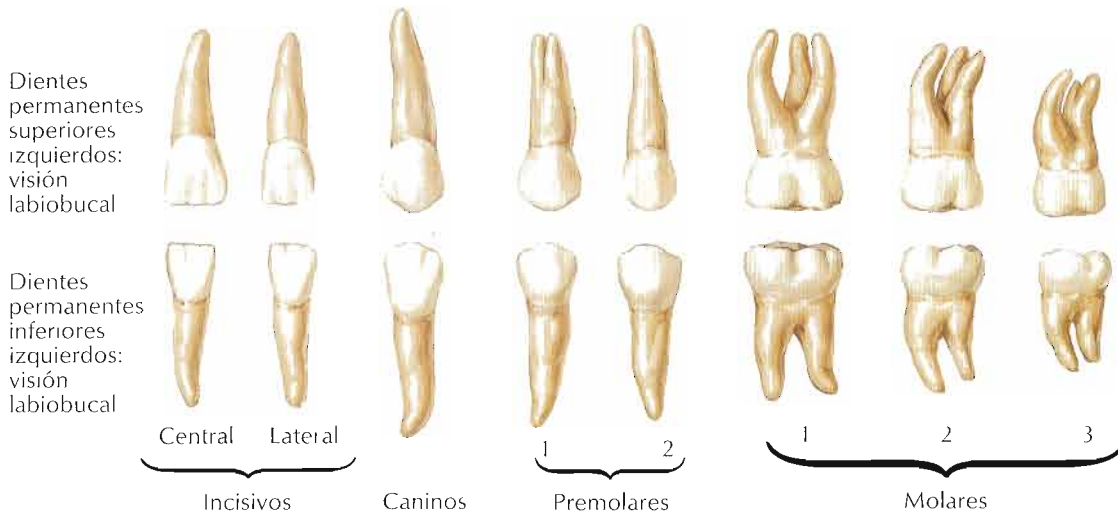
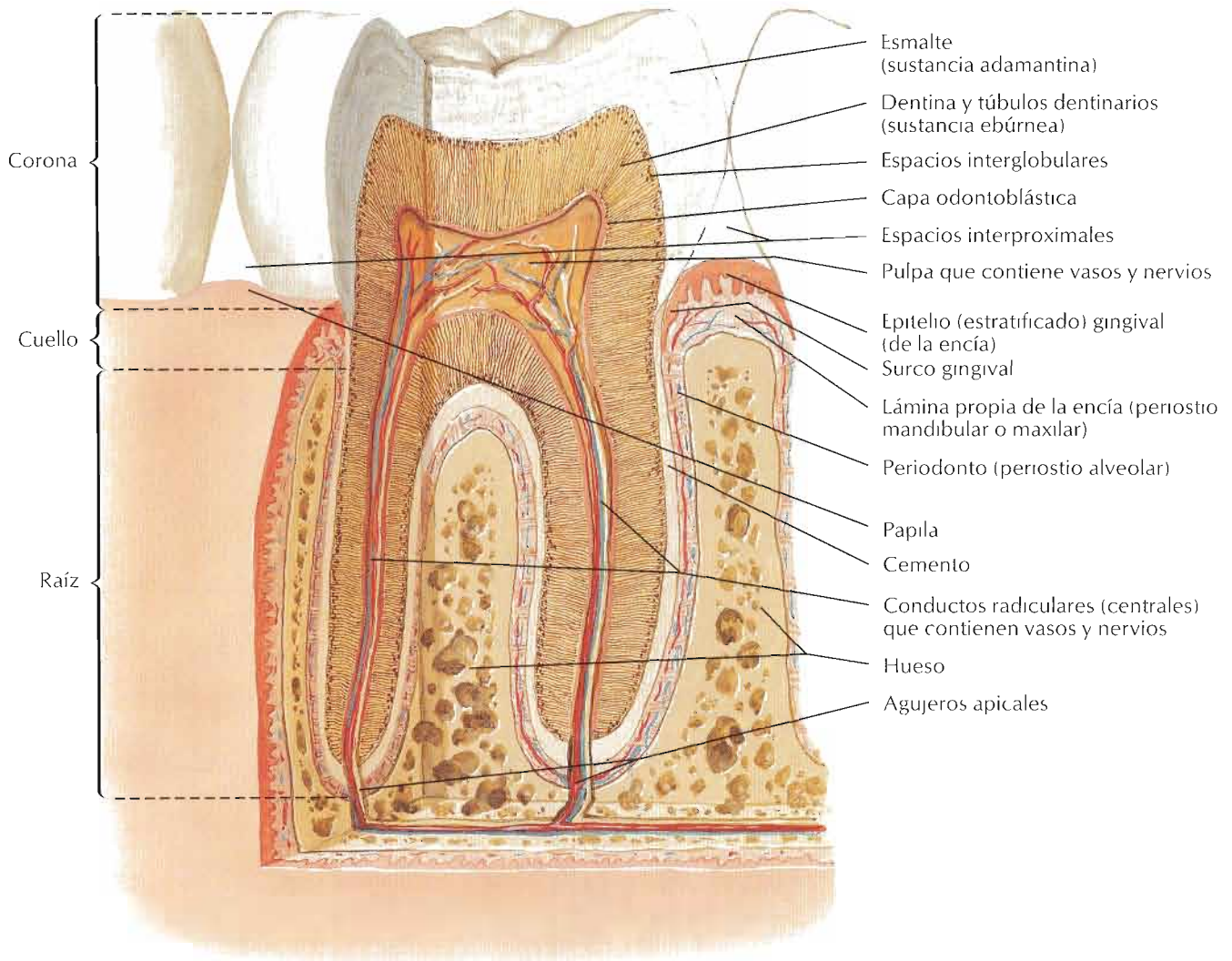


Visión posterior

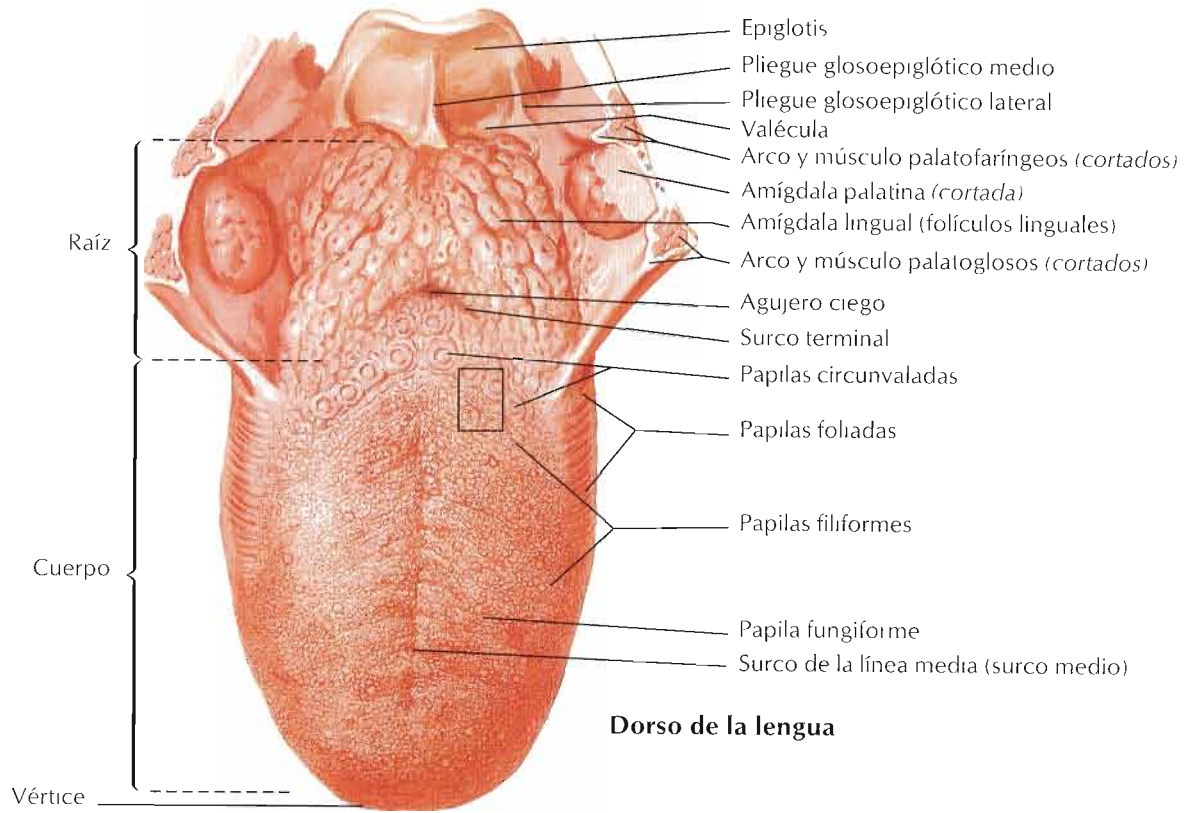
F. Netter M.D.



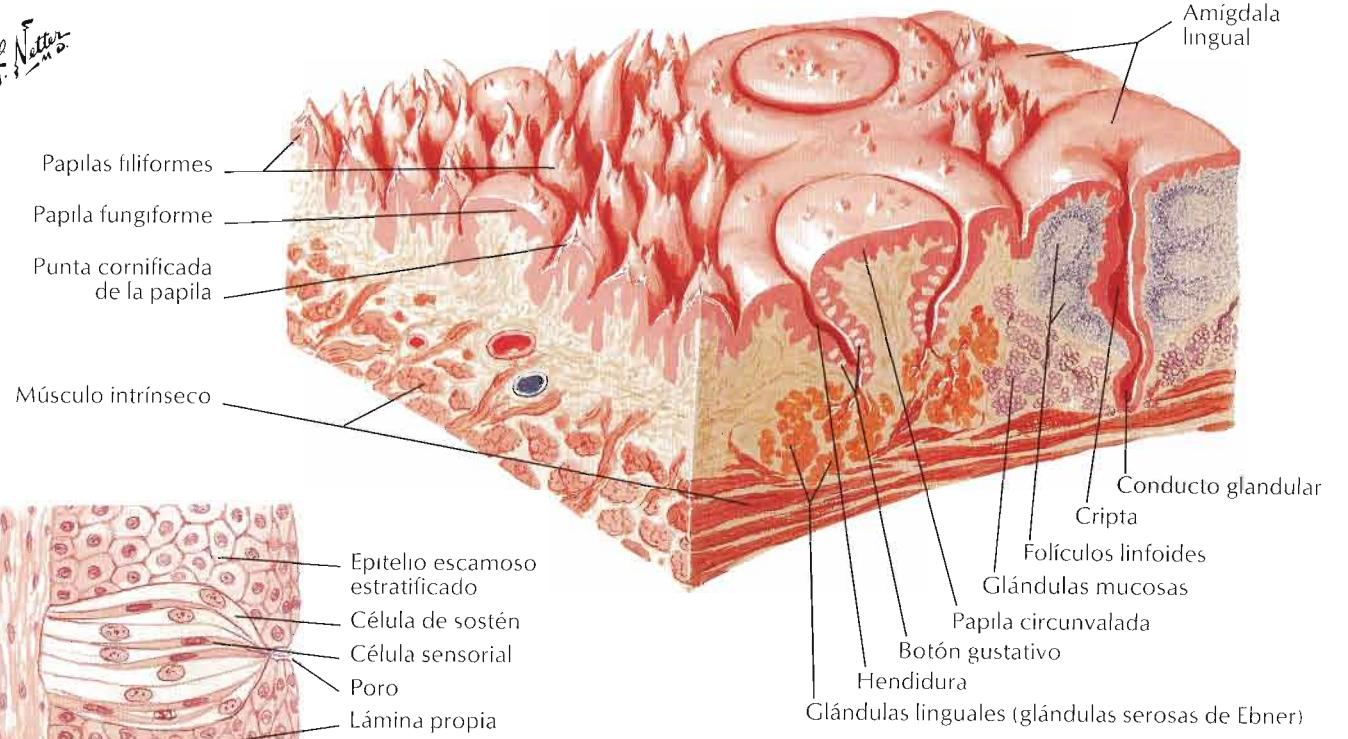
F. Netter M.D.



F. Netter M.D.

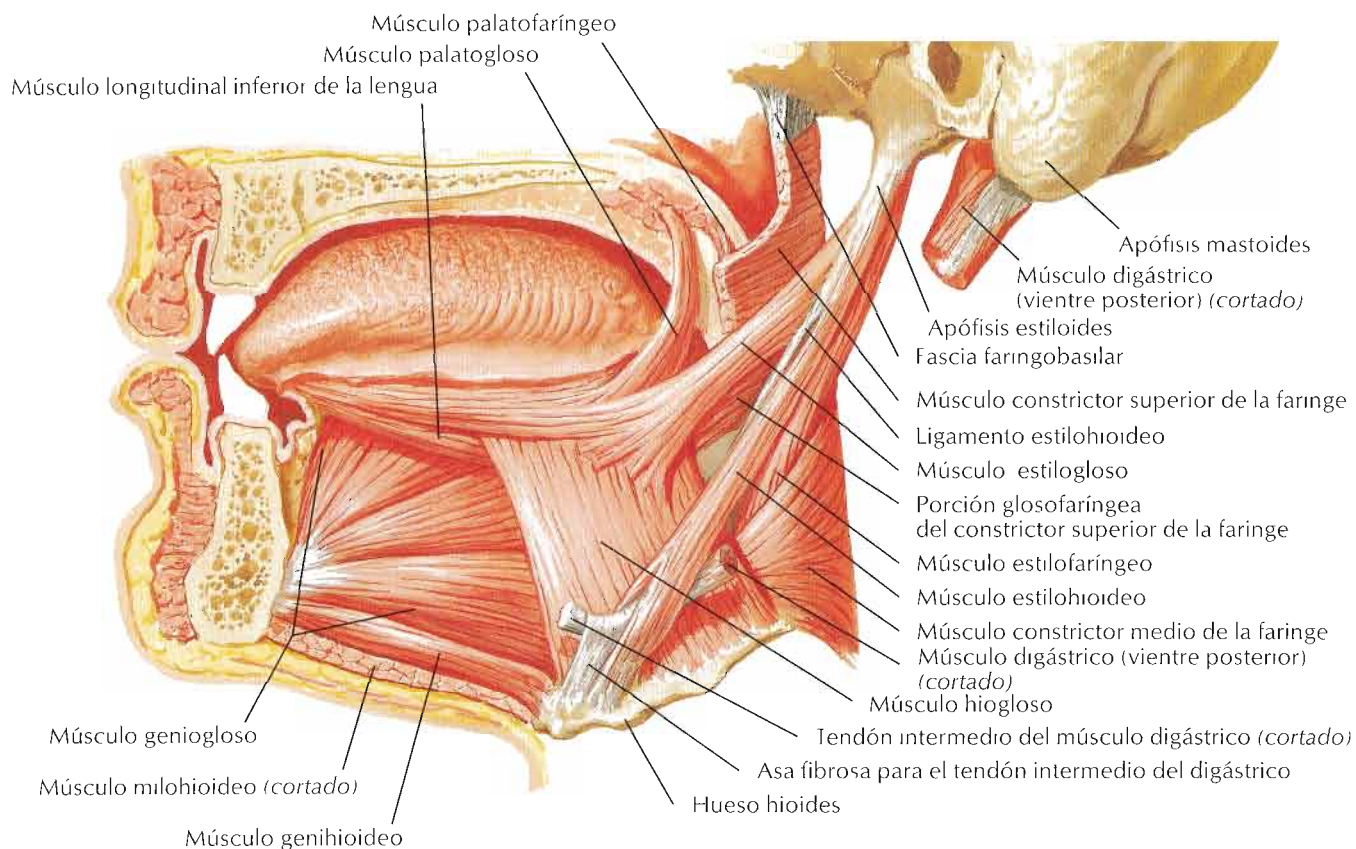


F. Netto

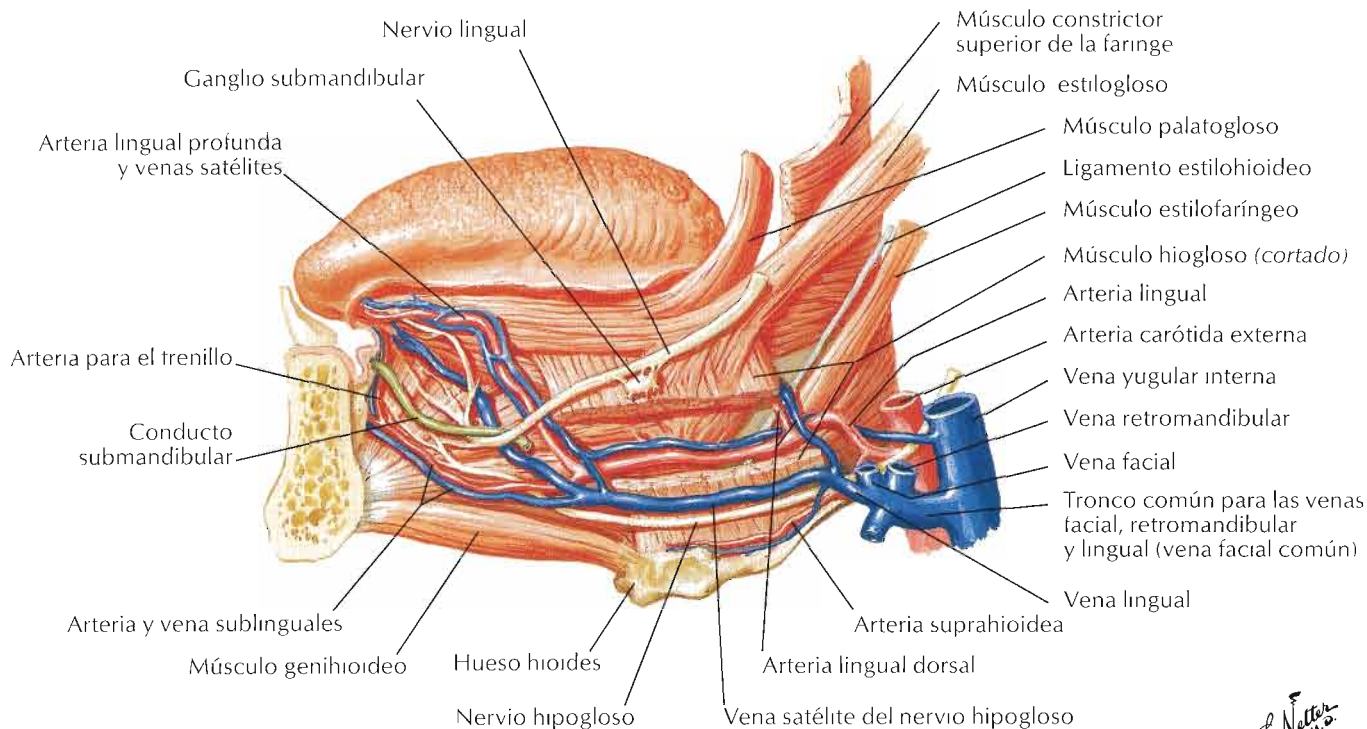


Sección de un botón gustativo

Estereograma esquemático: área indicada arriba

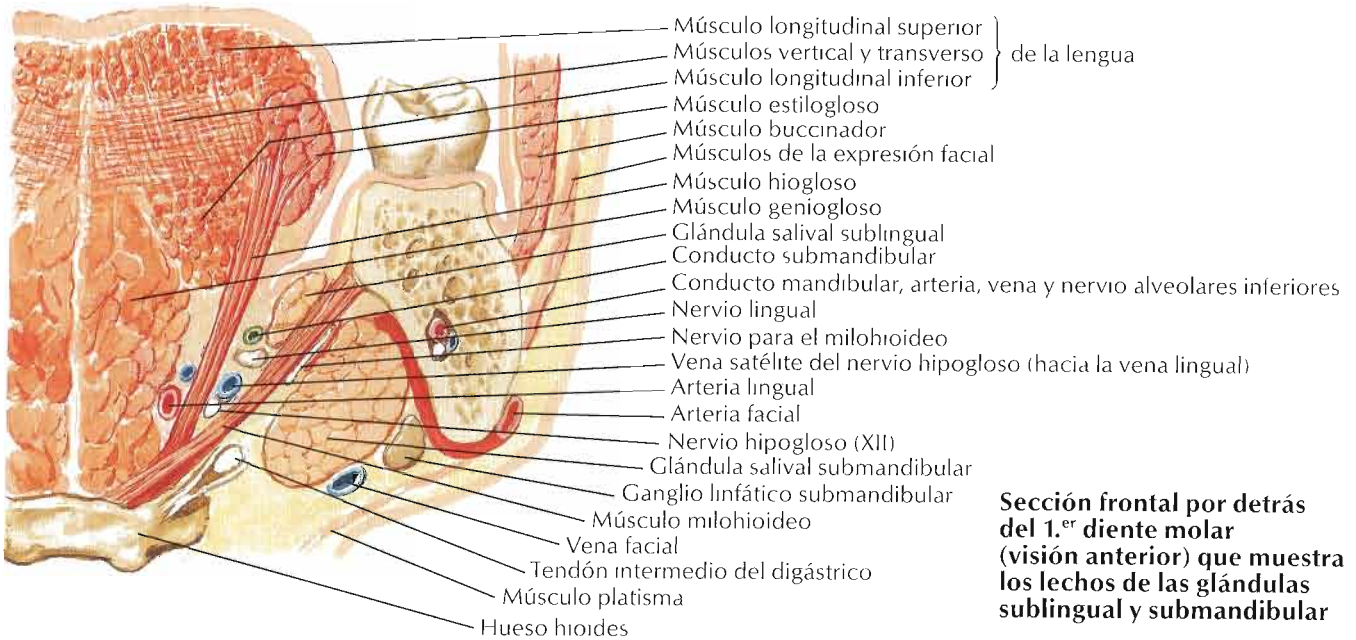
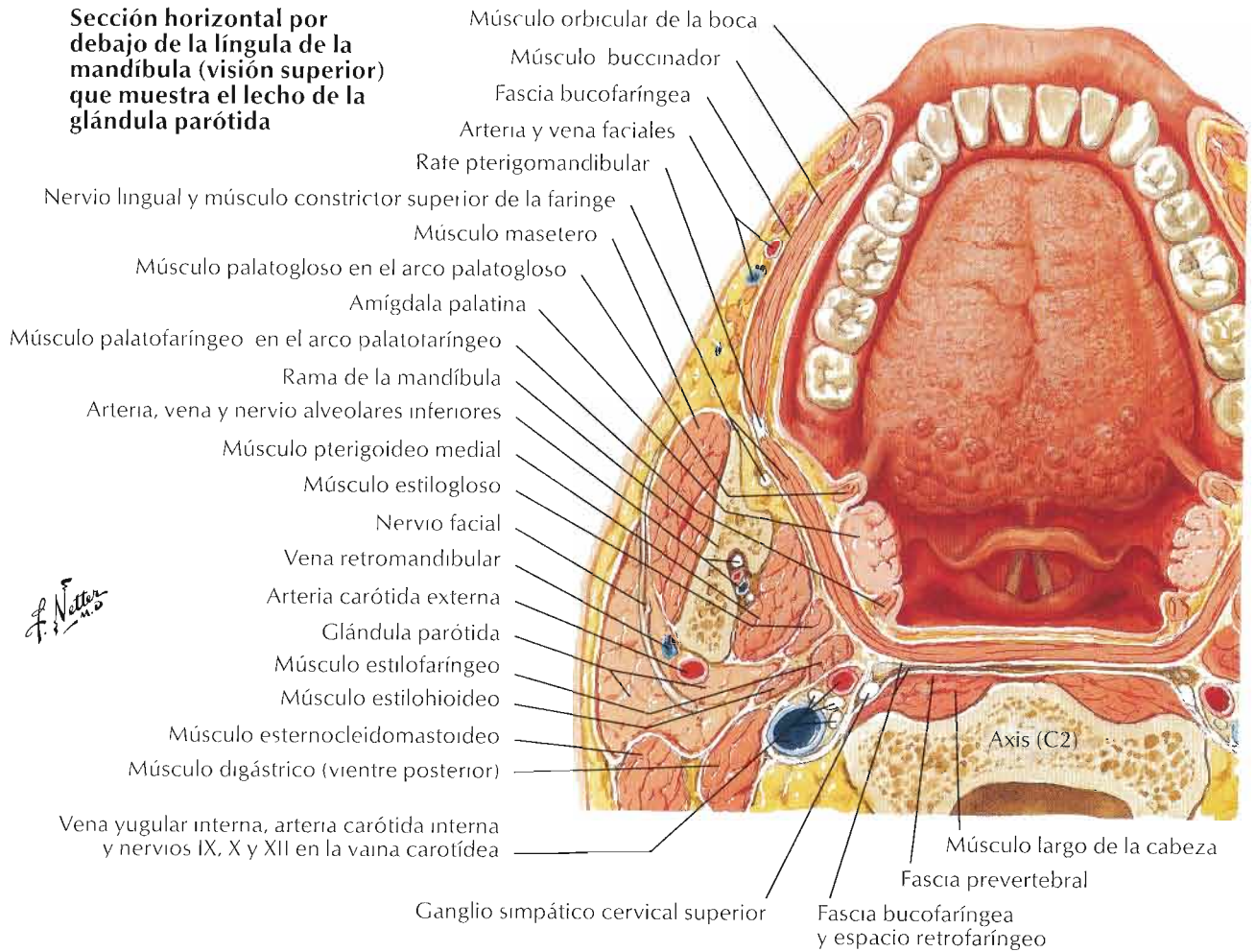


Visión lateral

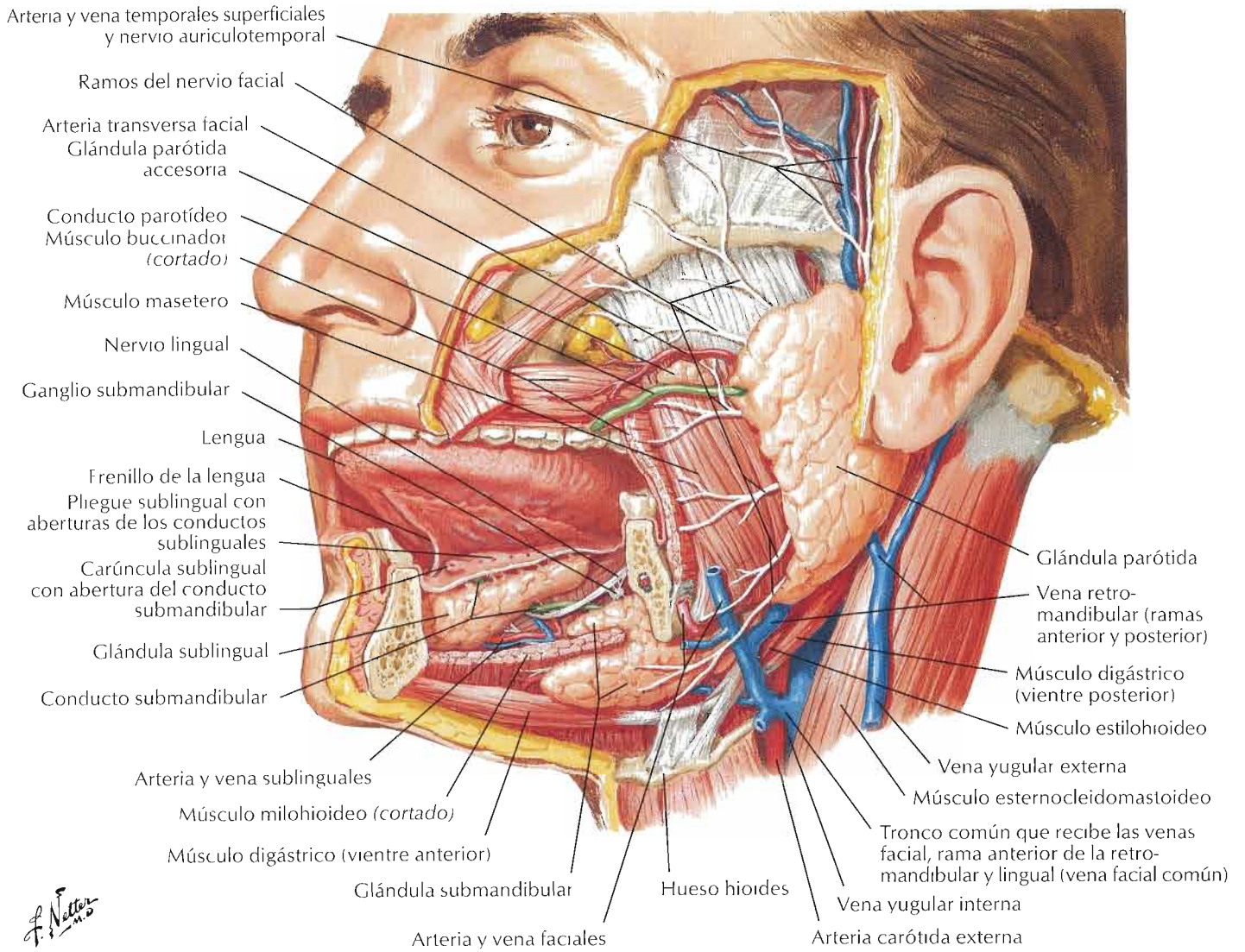


F. Netter

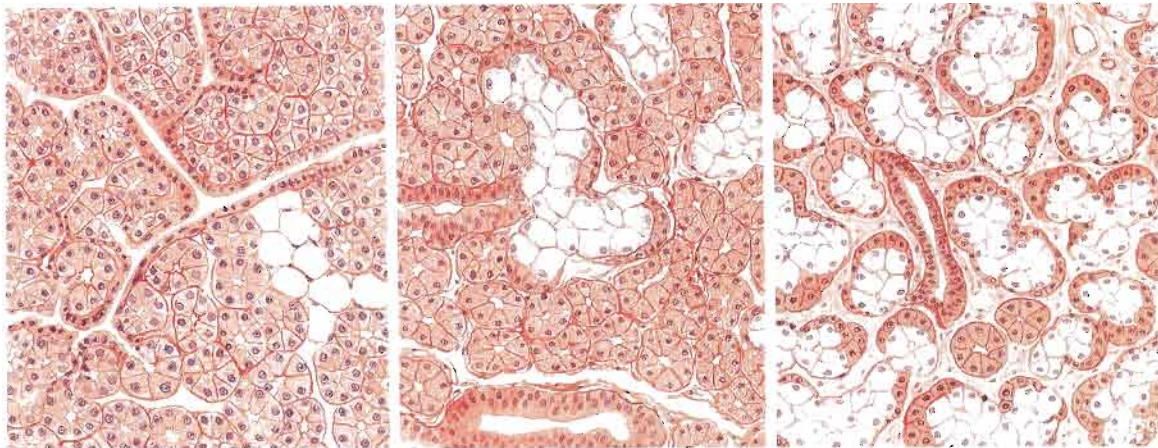
Lengua y glándulas salivales: secciones



Véanse también láminas 25, 53, 133, 134, 167, 168



F. Netter M.D.



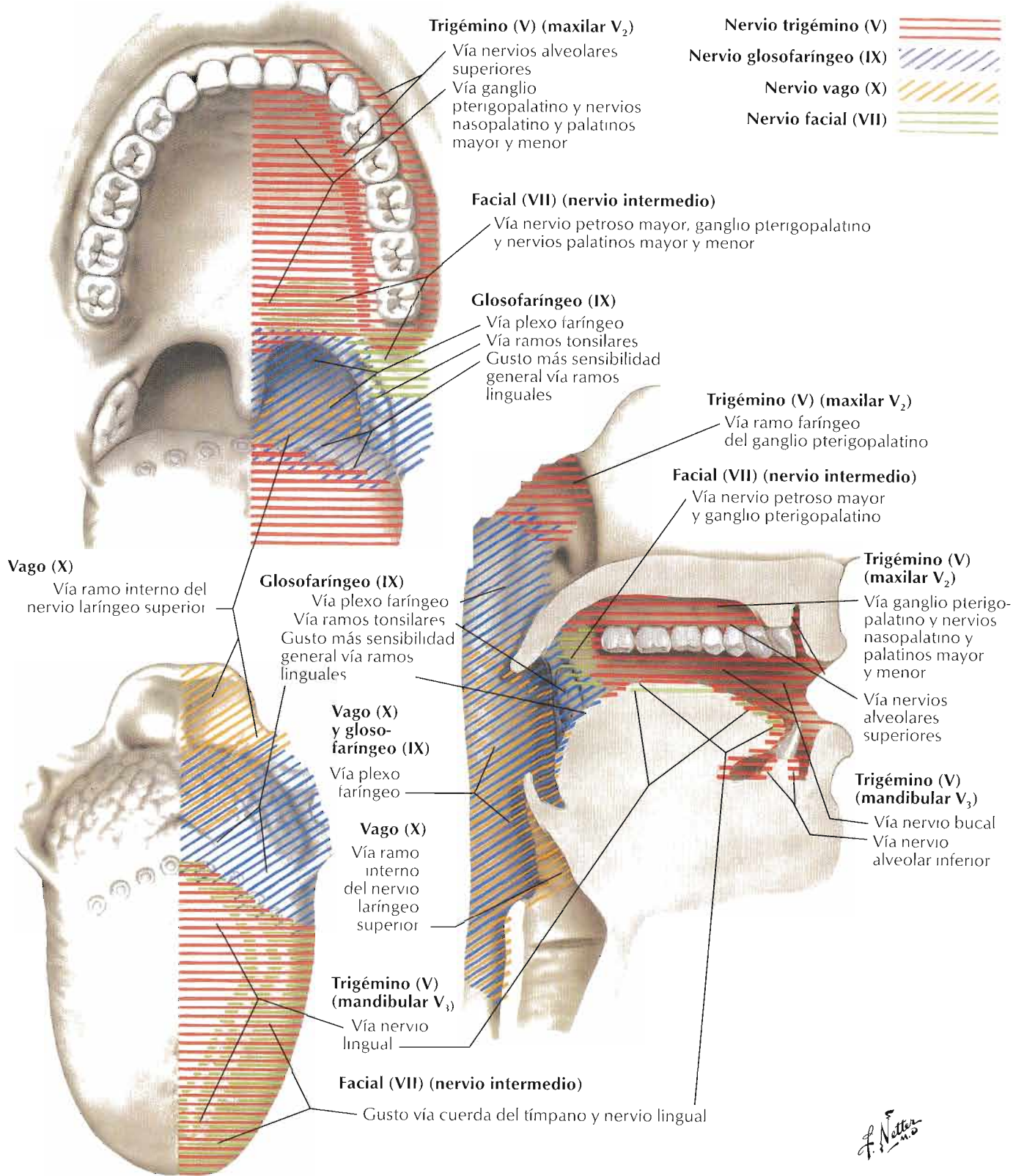
Glándula parótida: totalmente serosa

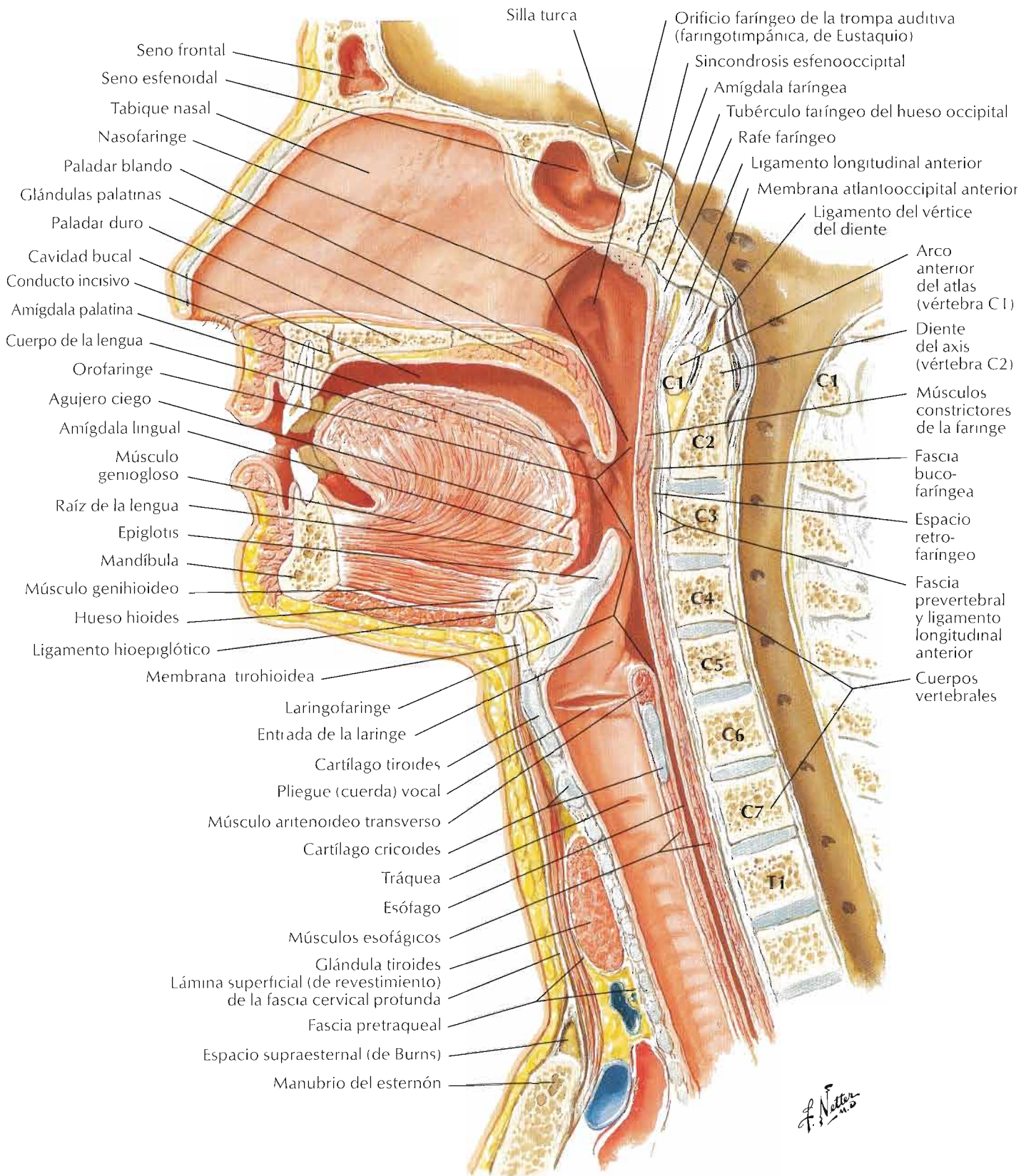
Glándula submandibular: principalmente serosa, parcialmente mucosa

Glándula sublingual: casi completamente mucosa

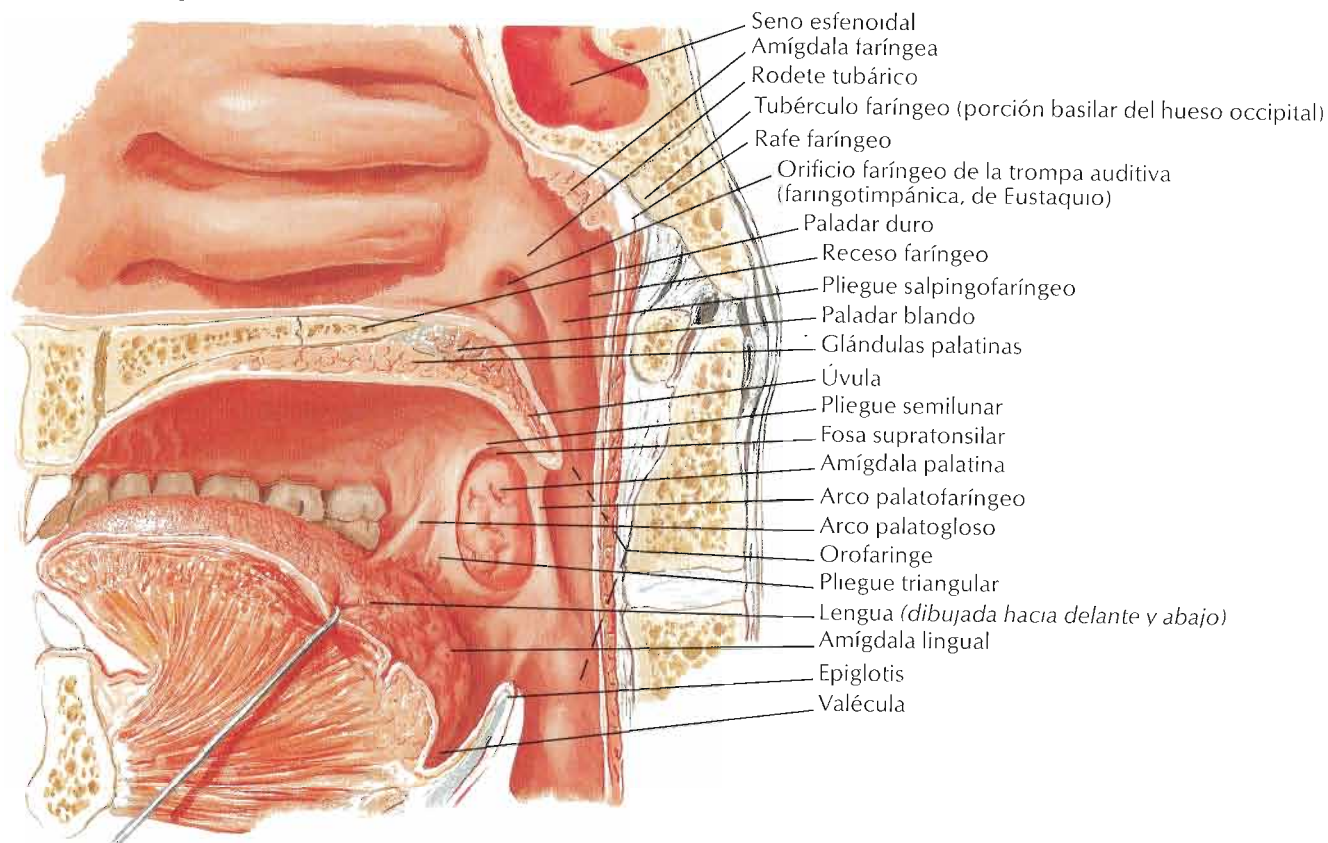
Inervación aferente de la boca y faringe

Véanse también láminas 45, 52, 59, 64, 122, 123, 125, 133, 135

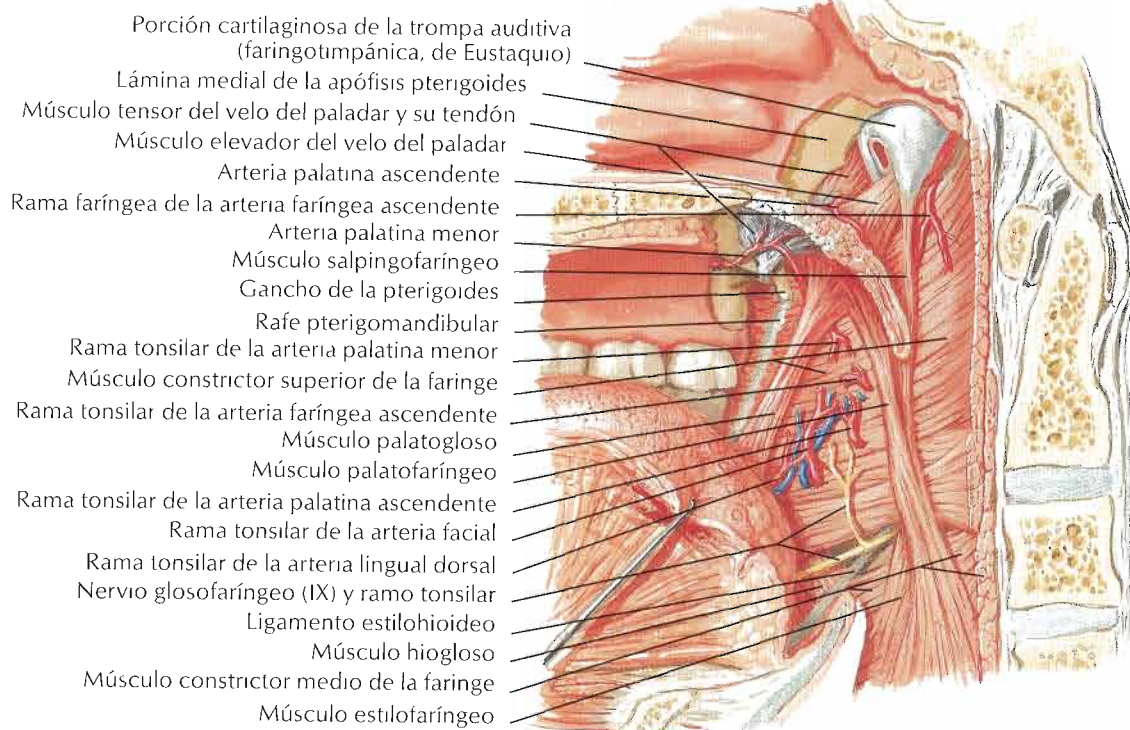




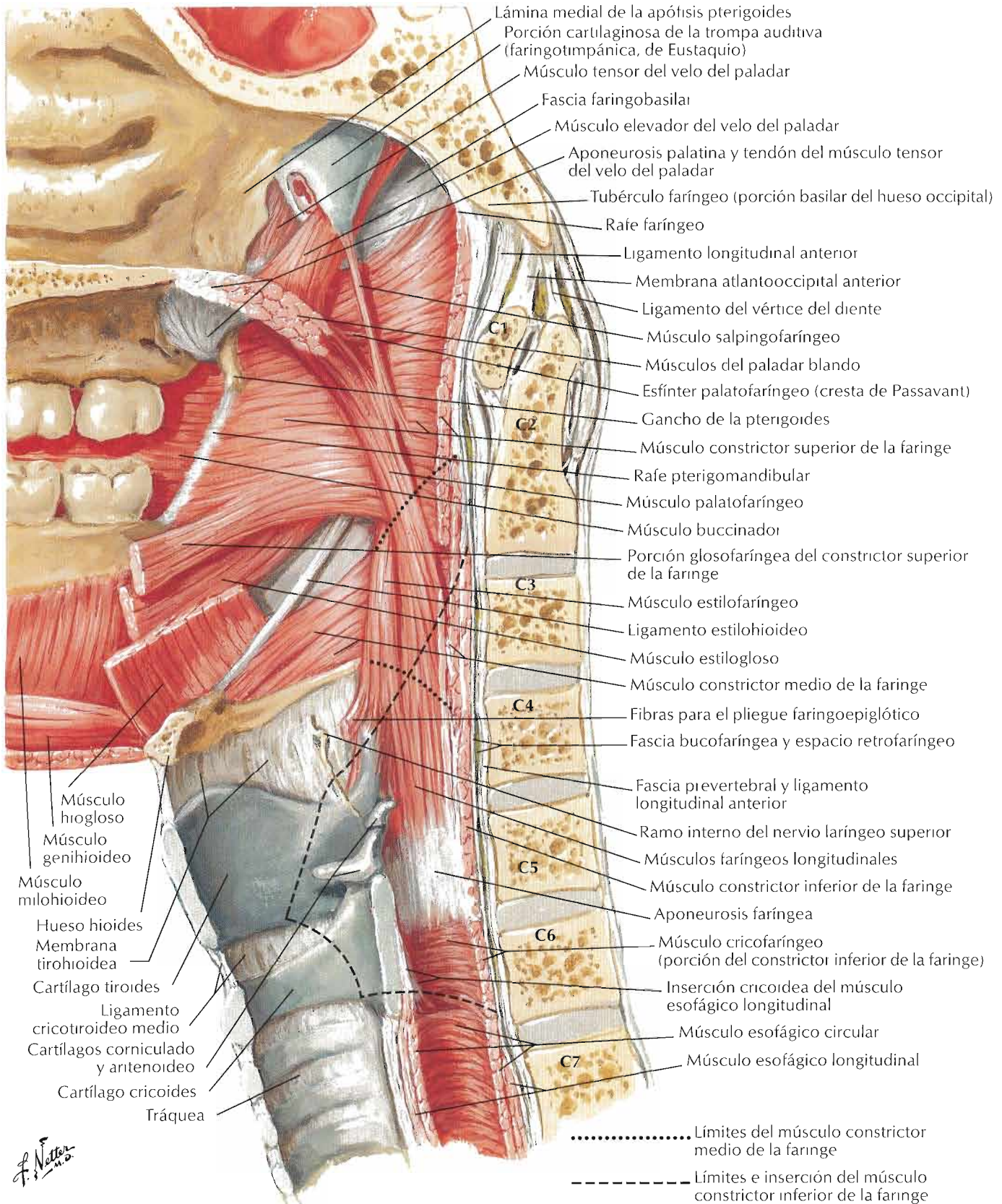
Visión medial
Sección media (sagital)



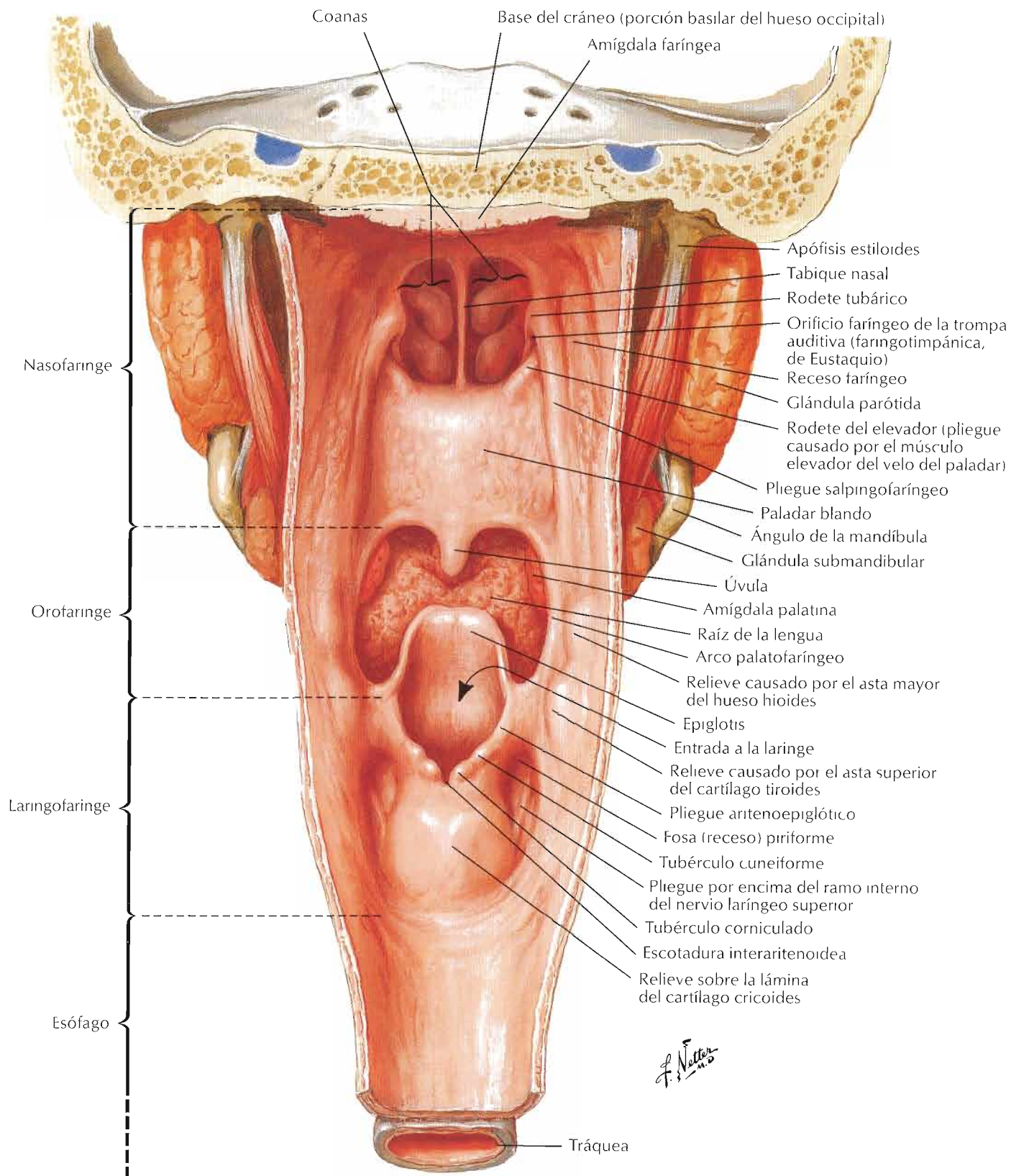
Mucosa faríngea extirpada

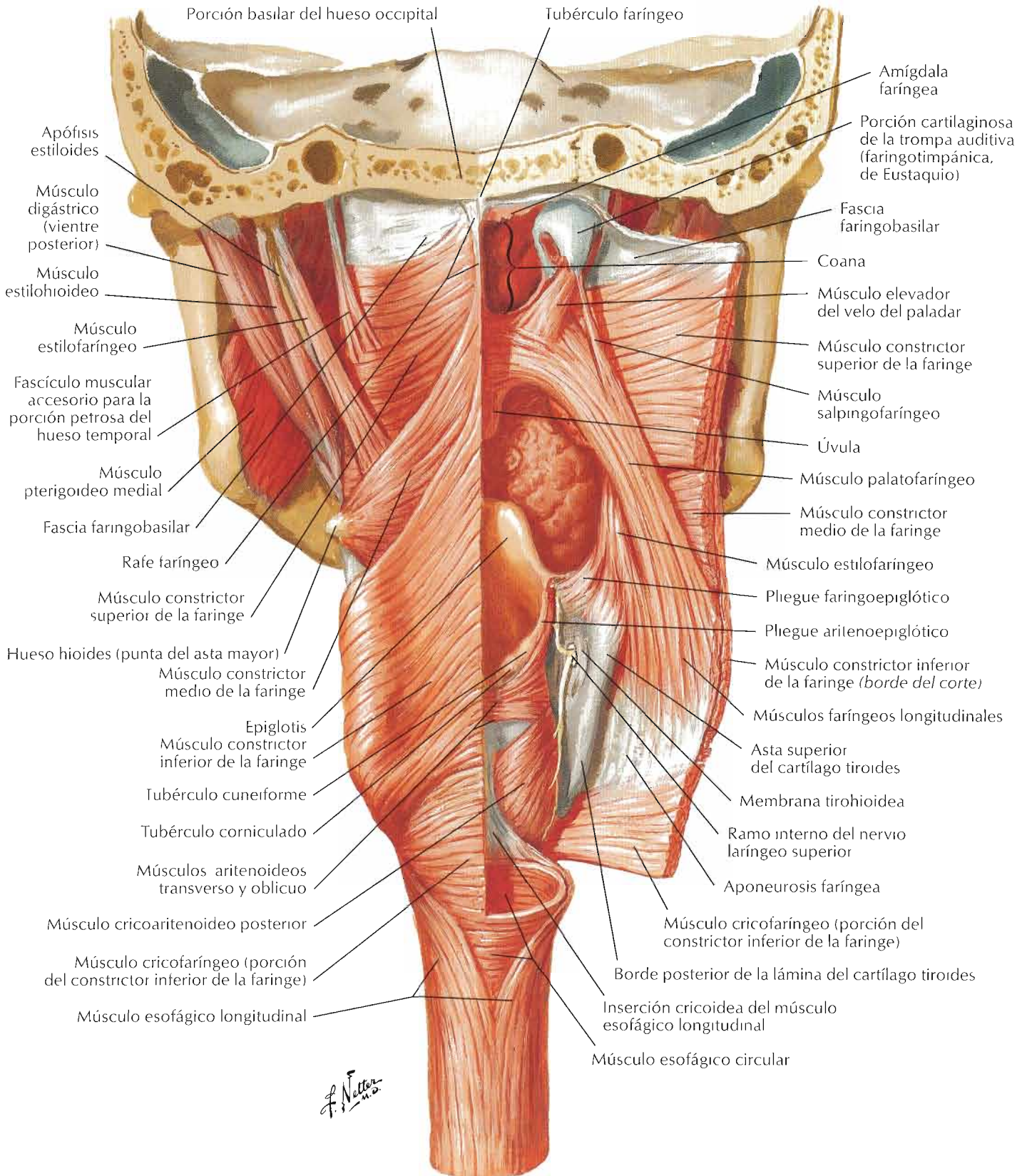


F. Netter
M.D.



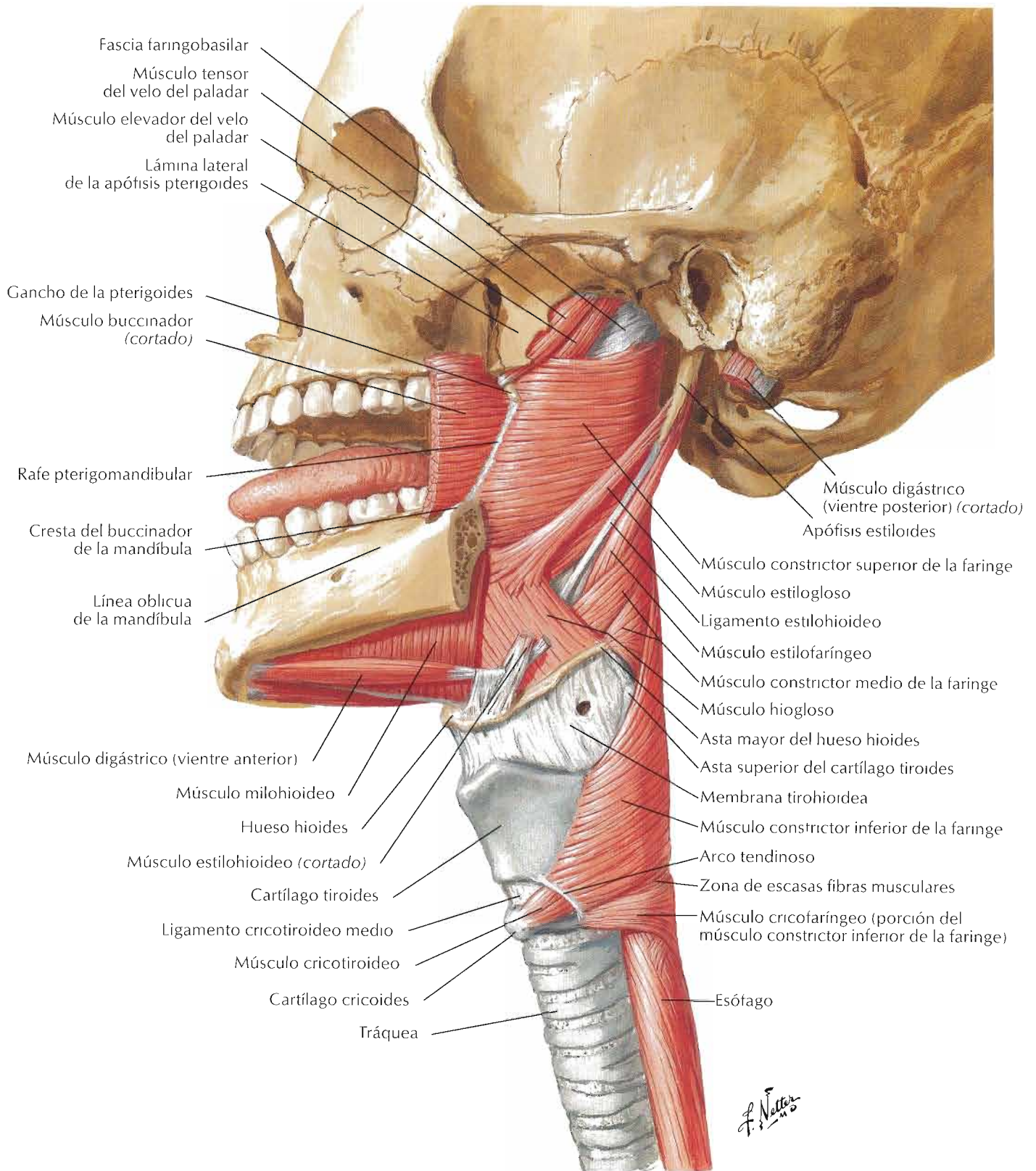
Faringe: visión posterior abierta

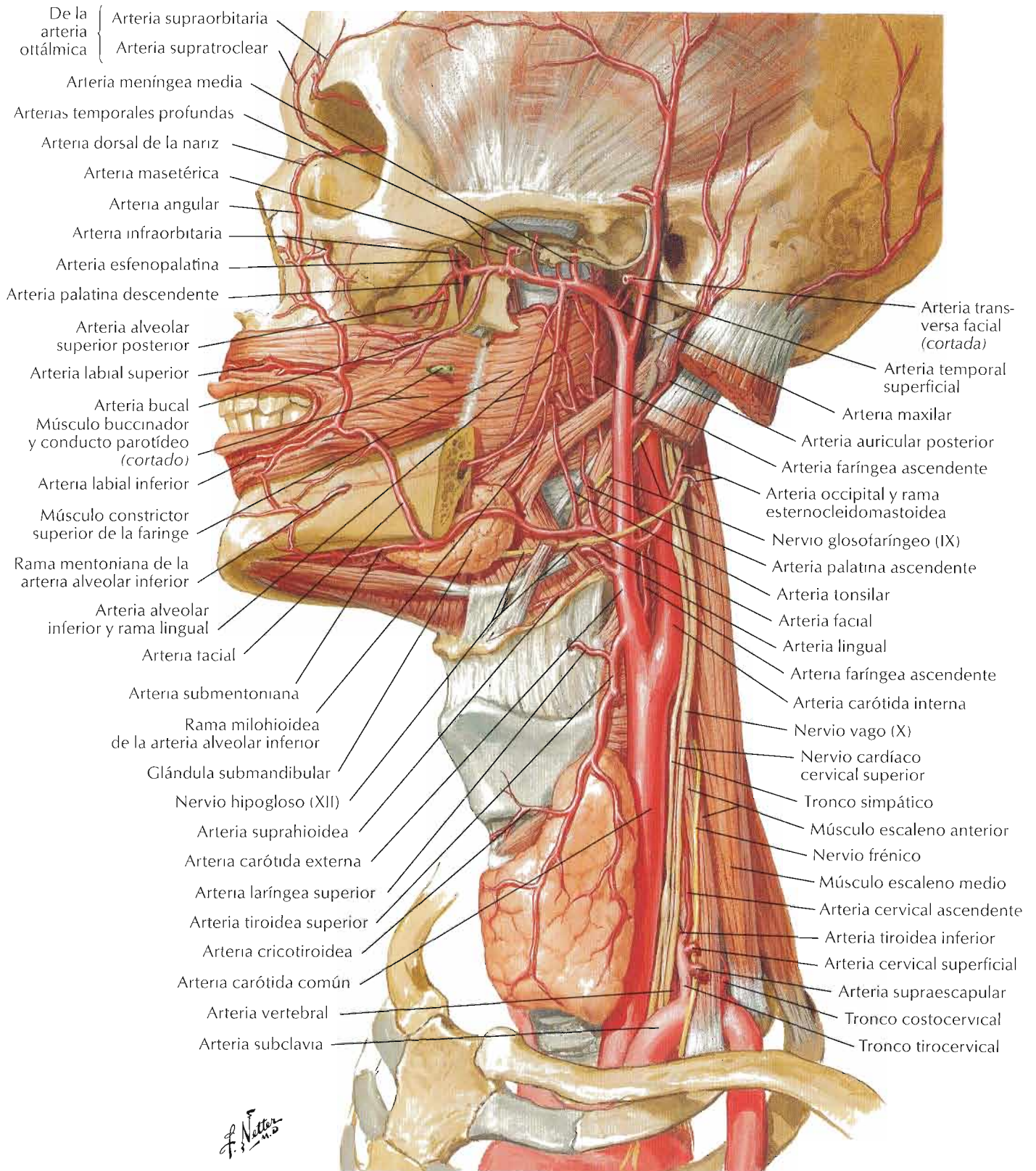




F. Netter M.D.

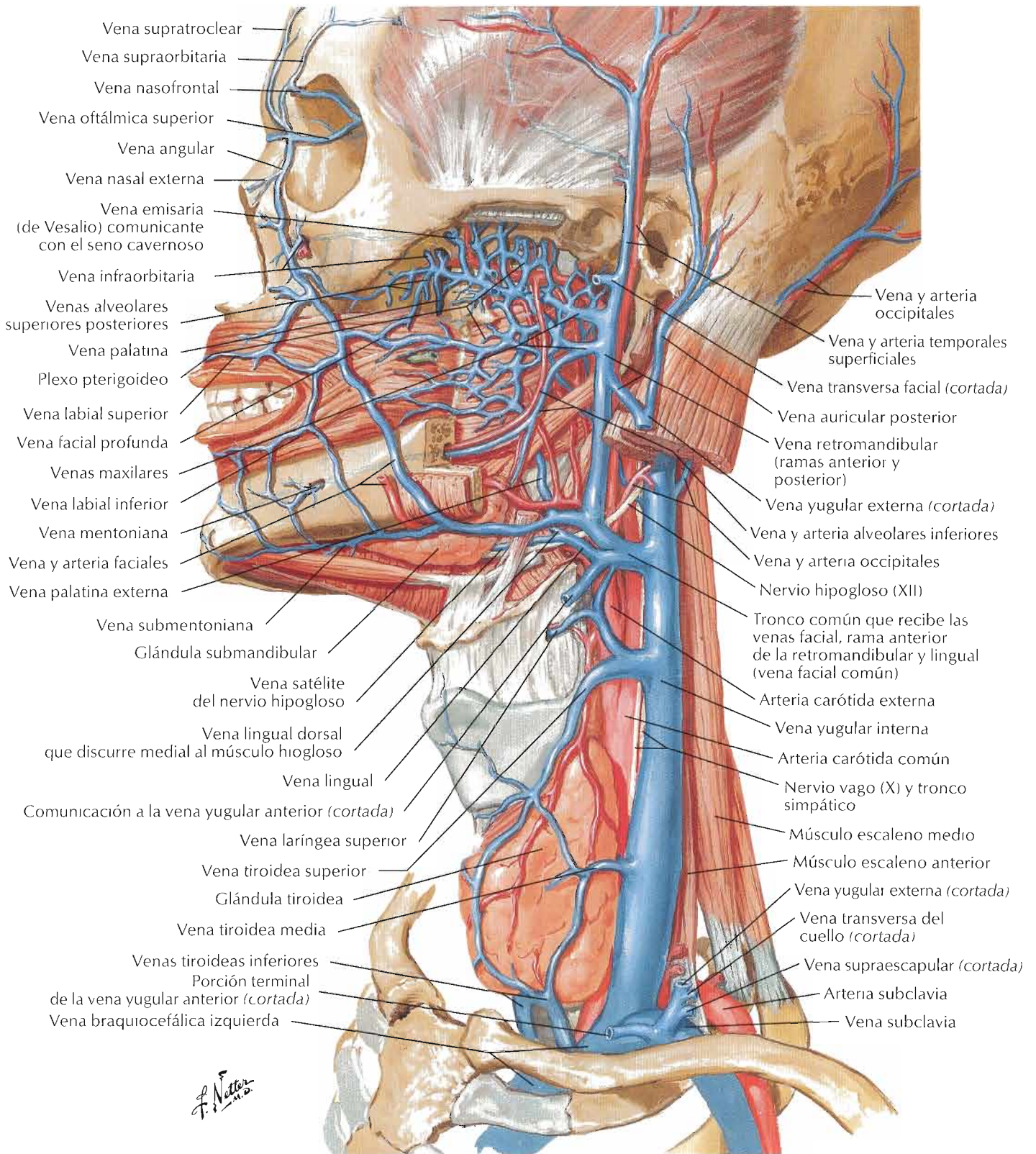
Músculos de la faringe: visión lateral



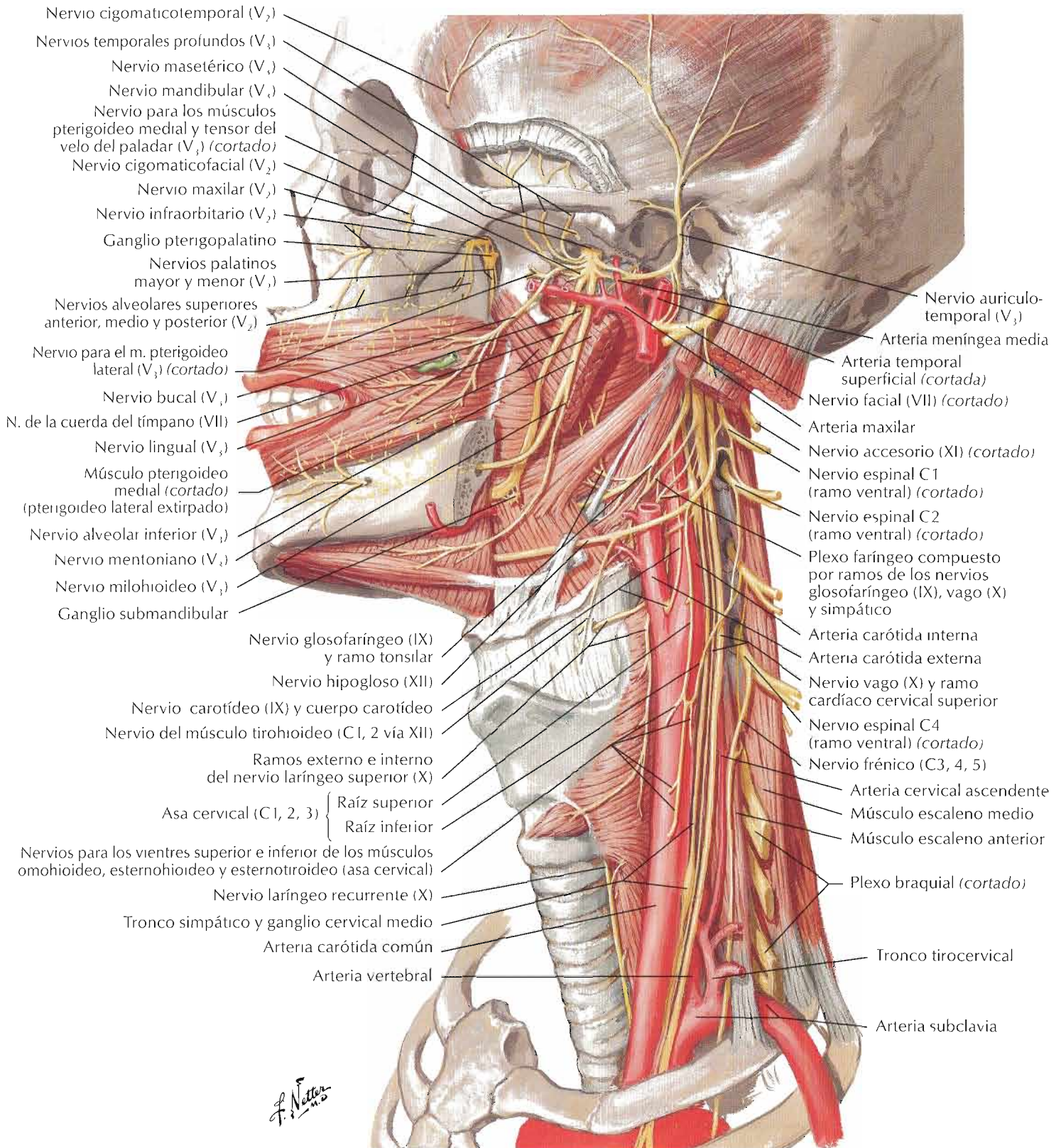


Venas de las regiones bucal y faríngea

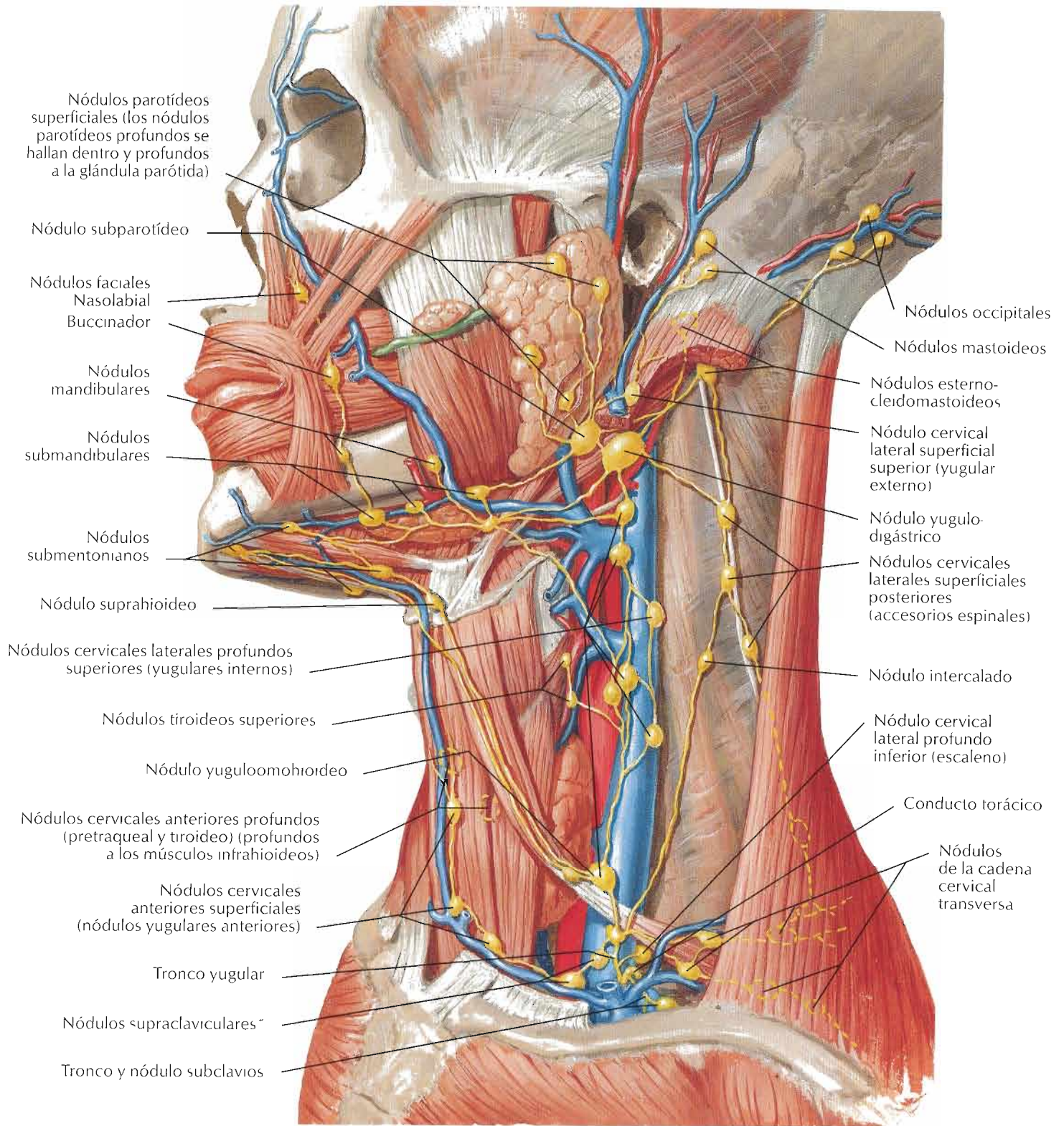
Véanse también láminas 23, 31, 104



Véanse también láminas 25, 45, 46, 122, 125, 126

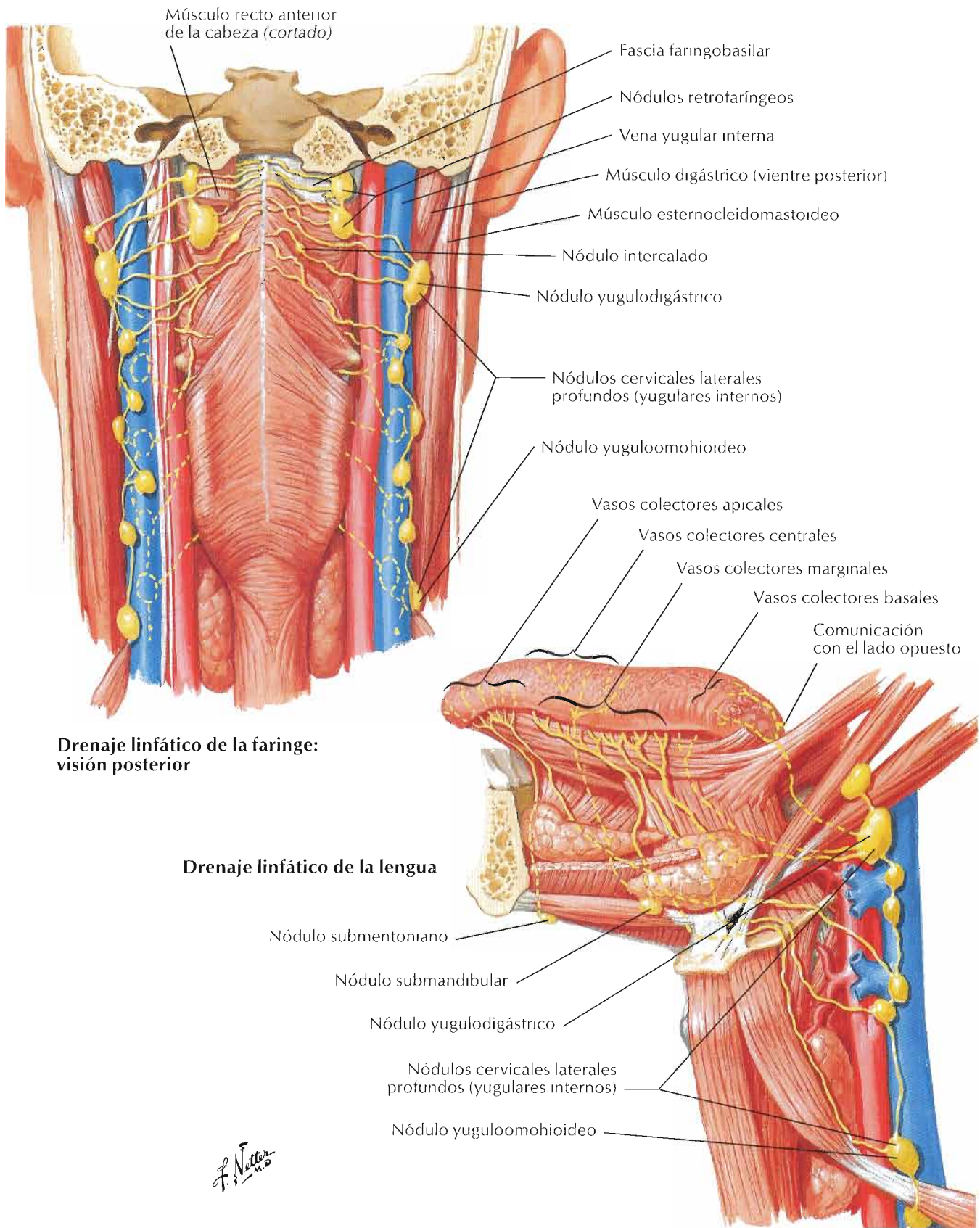


Véase también Lámina 208

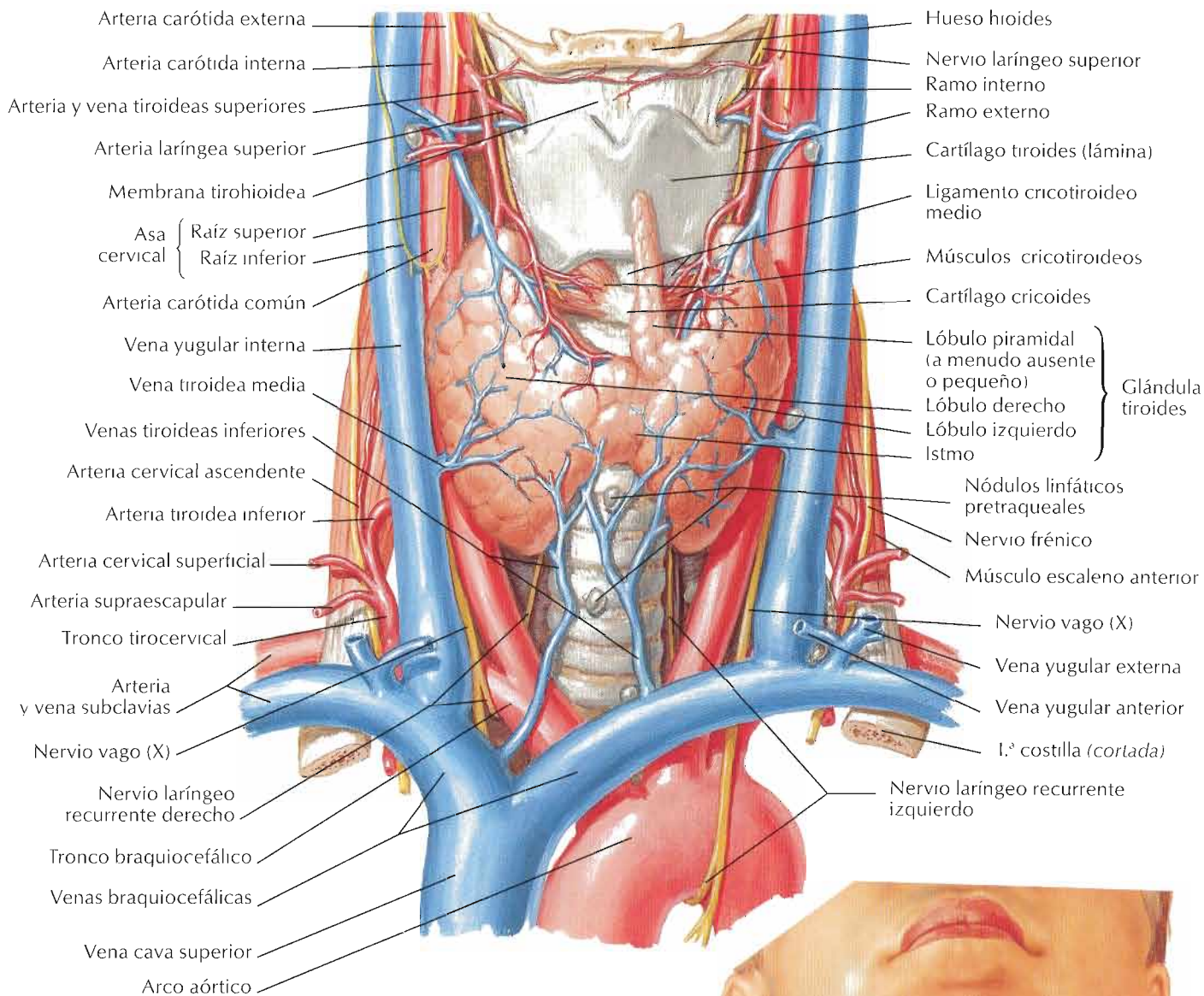


*El grupo de nódulos supraclaviculares (también denominado grupo cervical profundo inferior), especialmente en el lado izquierdo, también suele conocerse como nódulos linfáticos centinelas, de Virchow o de Troisier, especialmente cuando aumentan lo bastante de tamaño y son palpables. Estos nódulos (o un único nódulo) se denominan así porque pueden ser la primera evidencia probable y reconocible de una neoplasia maligna visceral

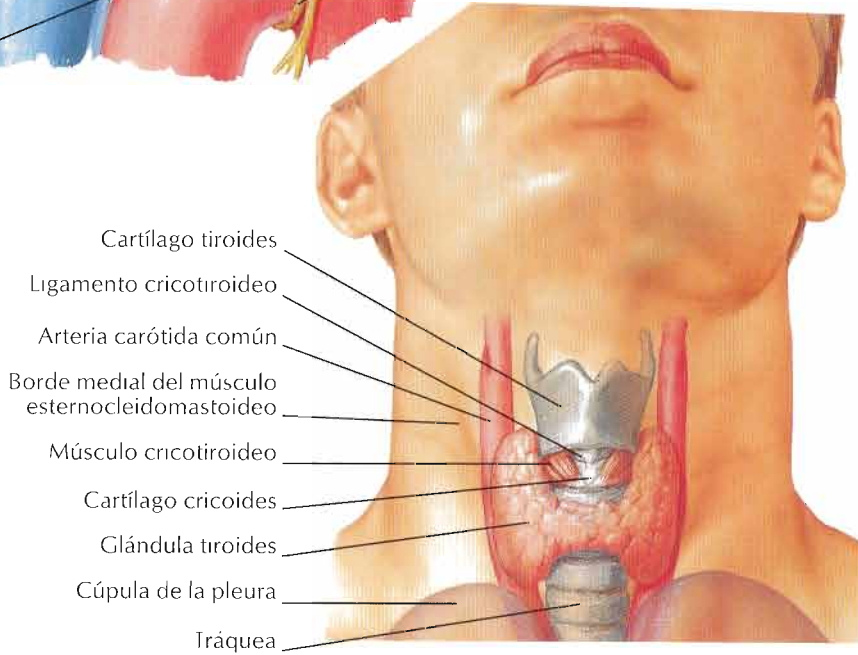
F. Netter
M.D.

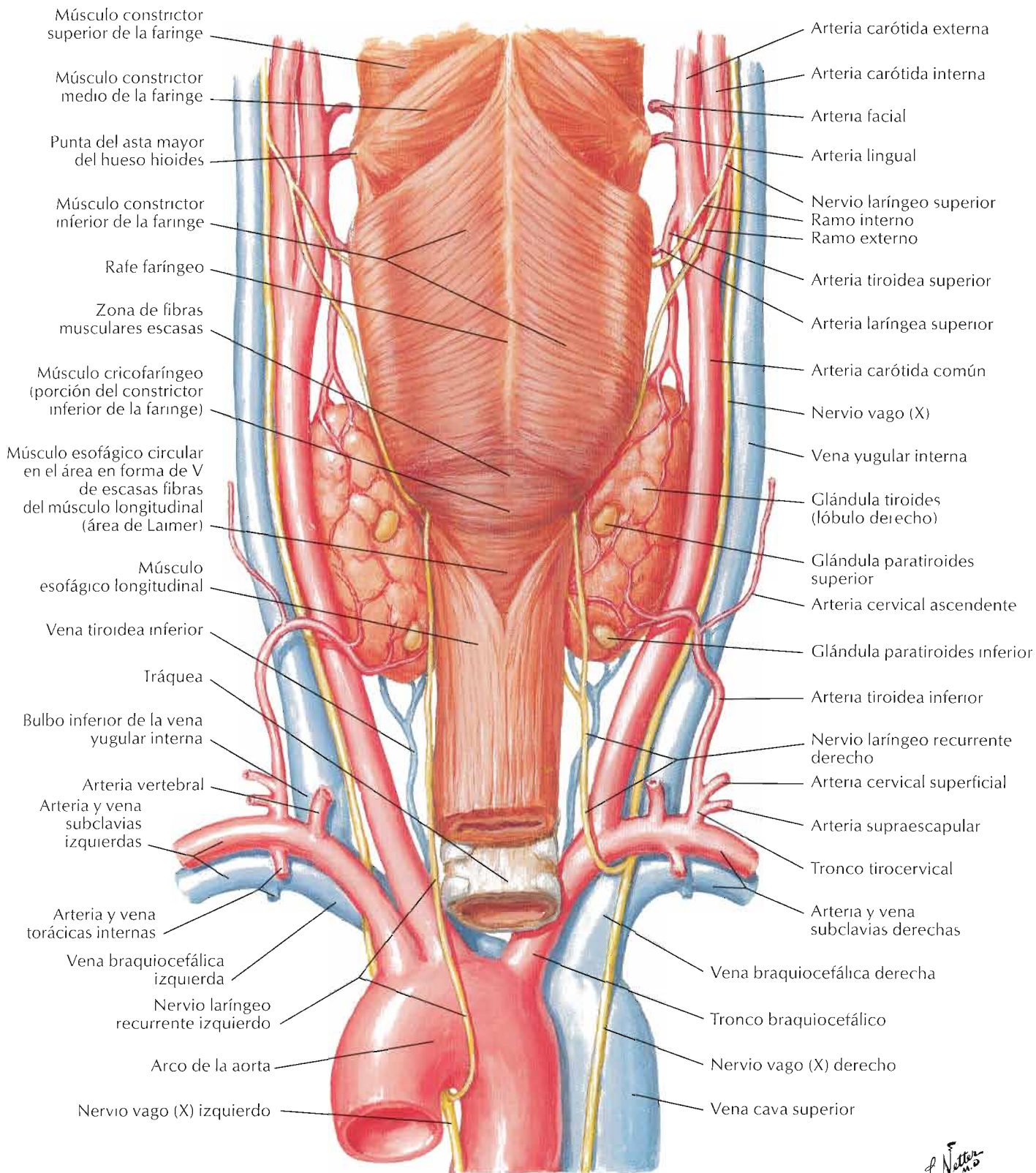


Glándula tiroides: visión anterior



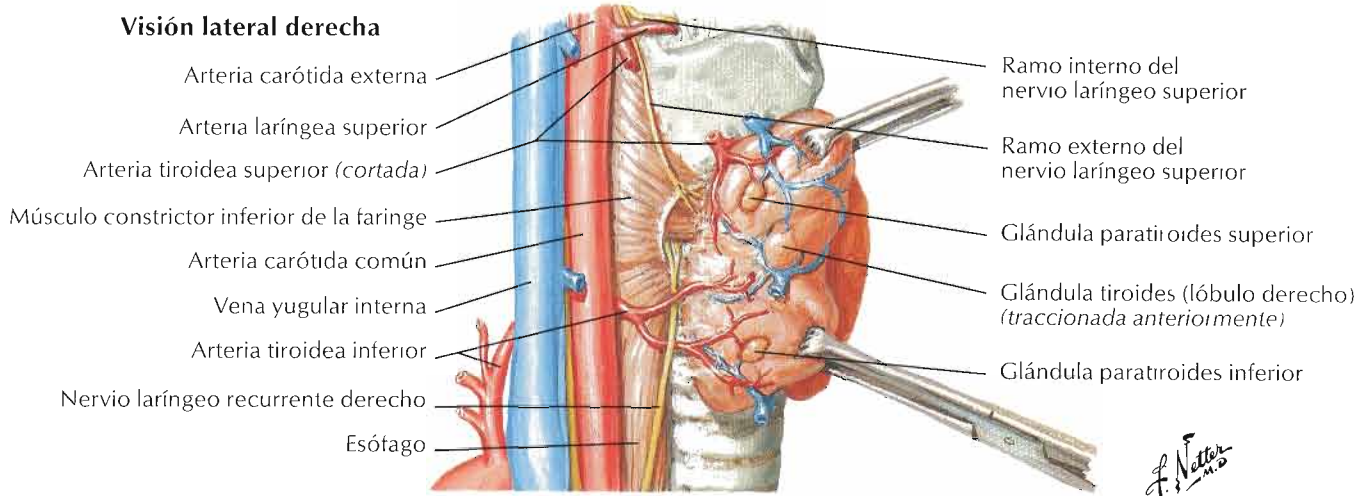
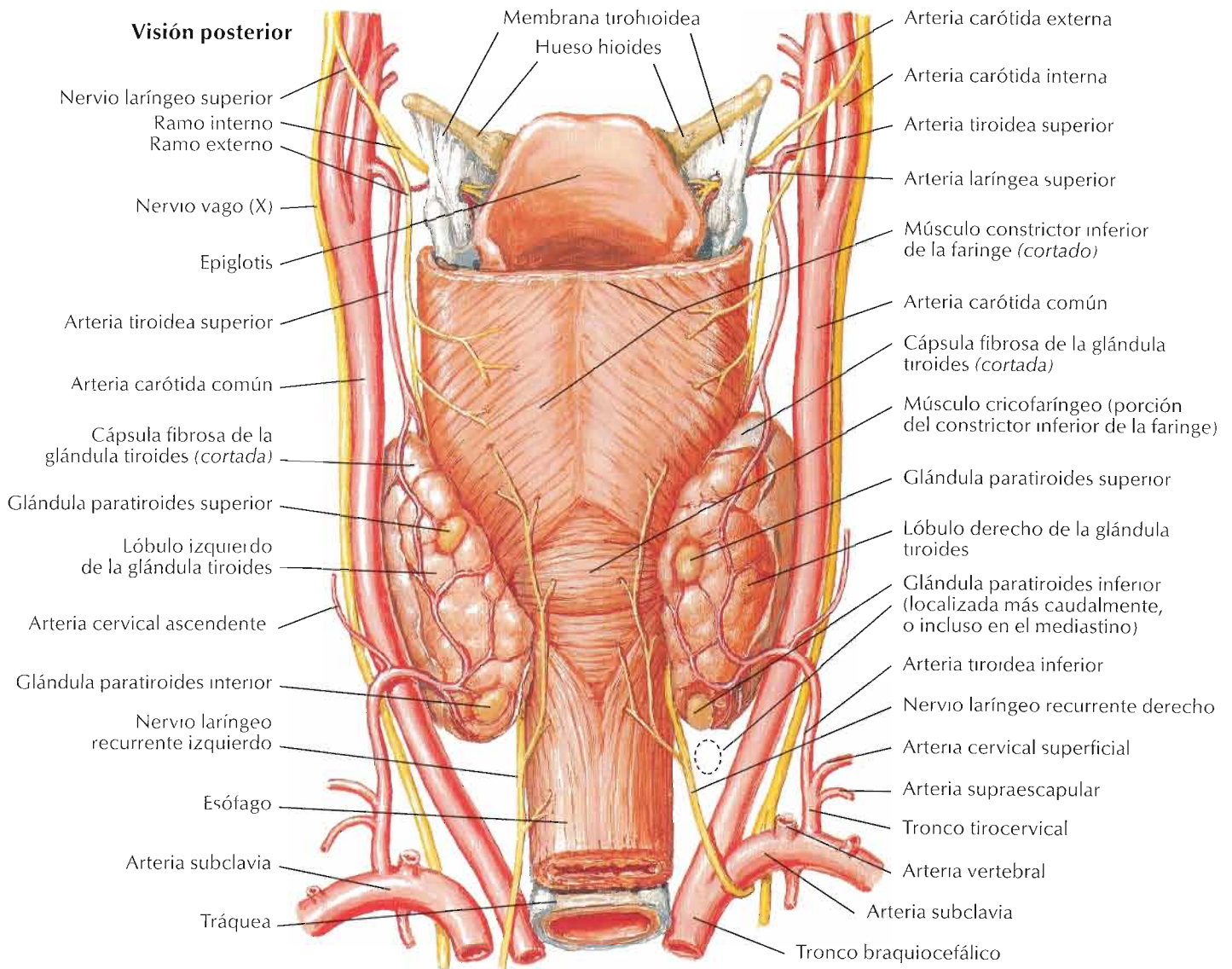
F. Netter M.D.



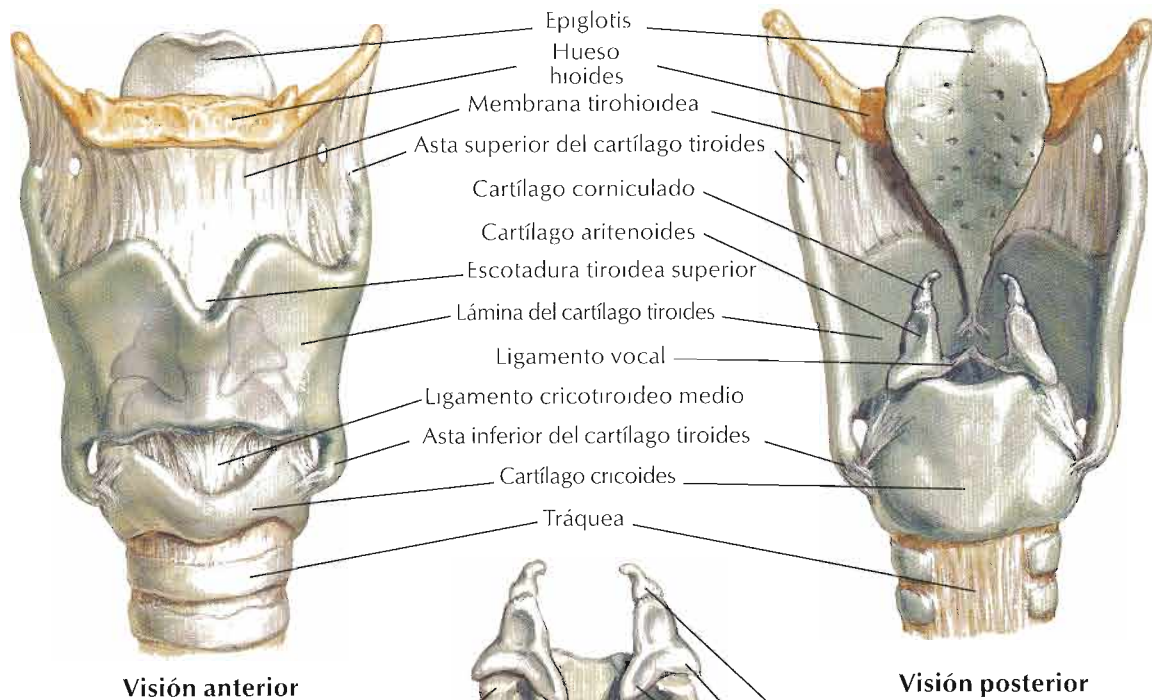


F. Netter M.D.

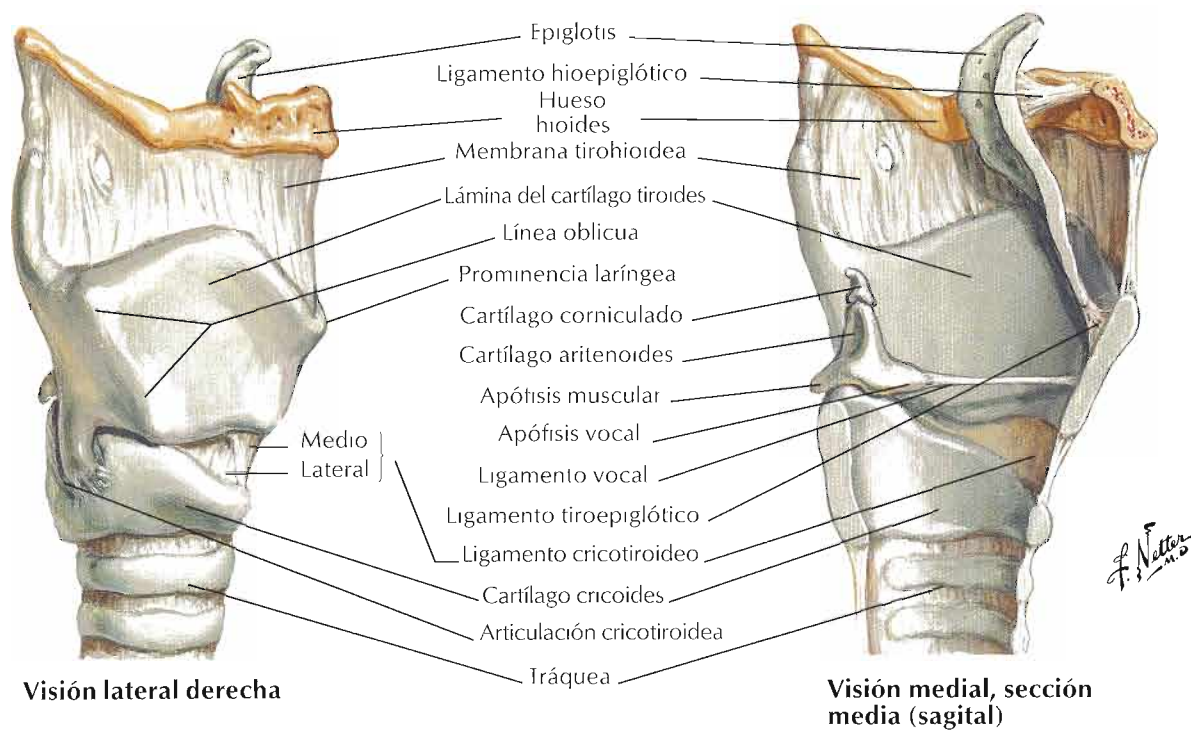
Véase también lámina 80



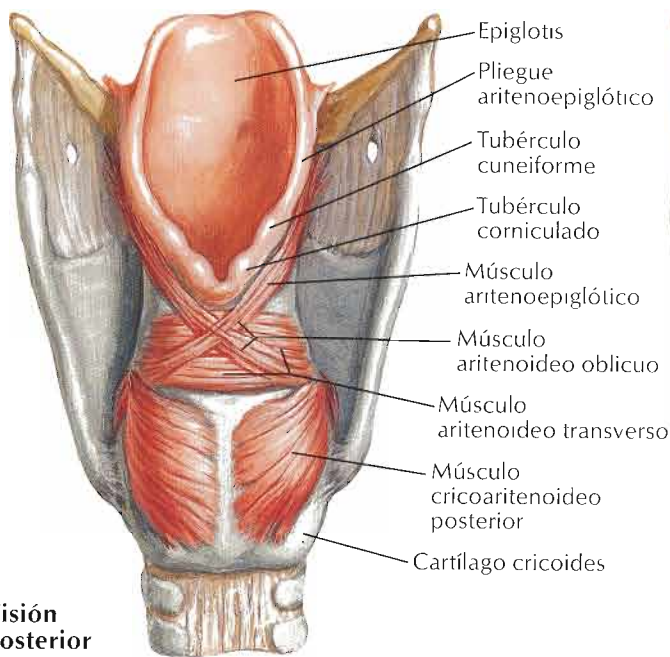
F. Netter M.D.



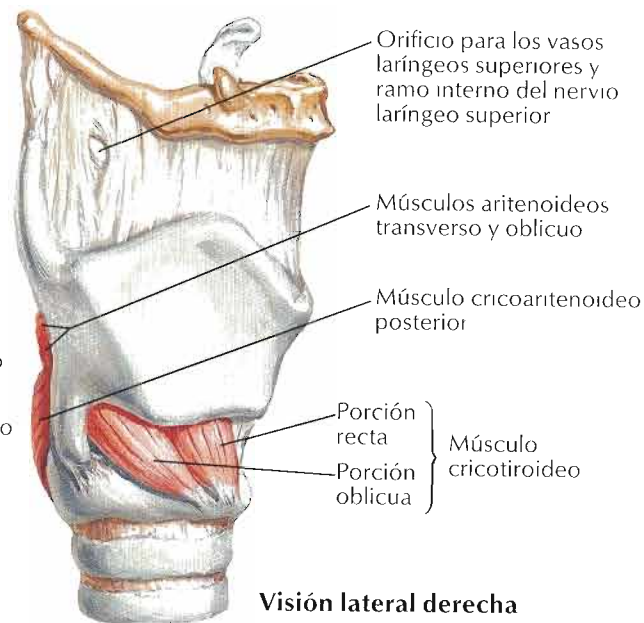
Visión anterosuperior



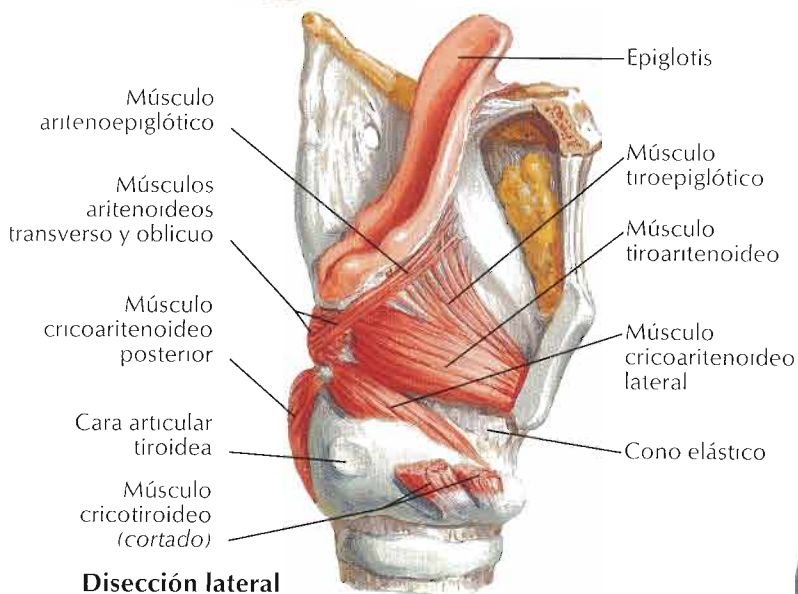
Músculos intrínsecos de la laringe



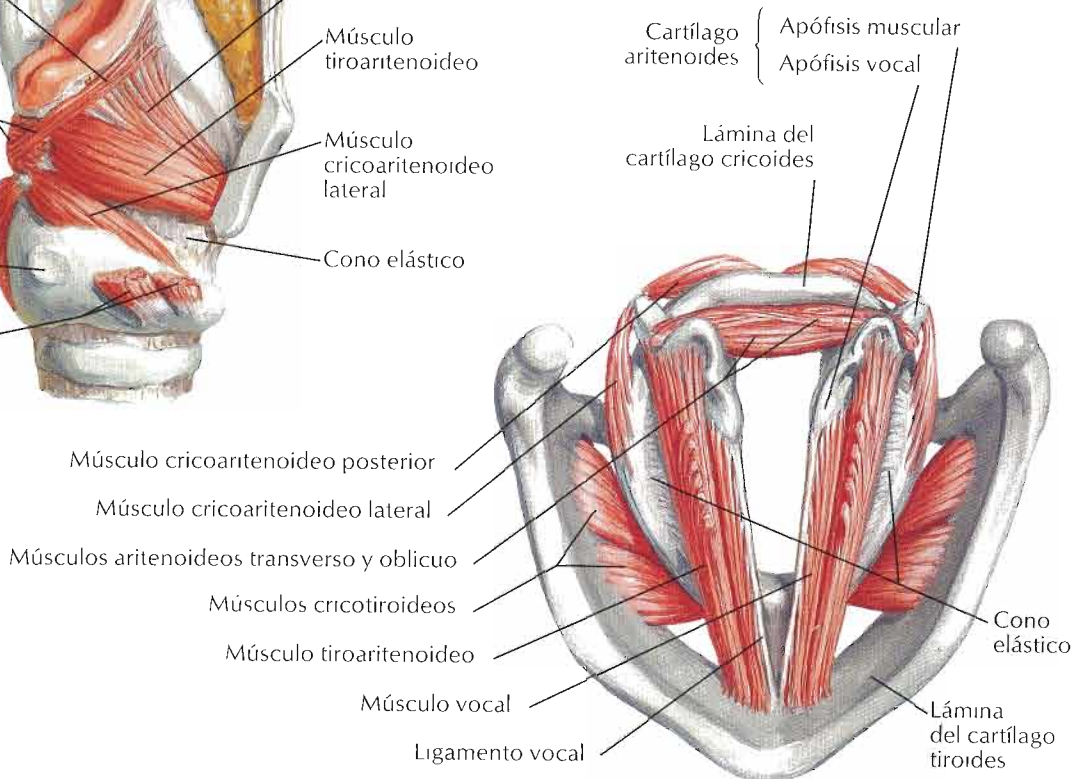
Visión posterior



Visión lateral derecha

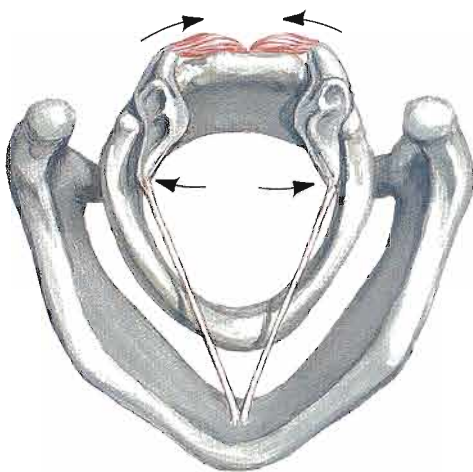
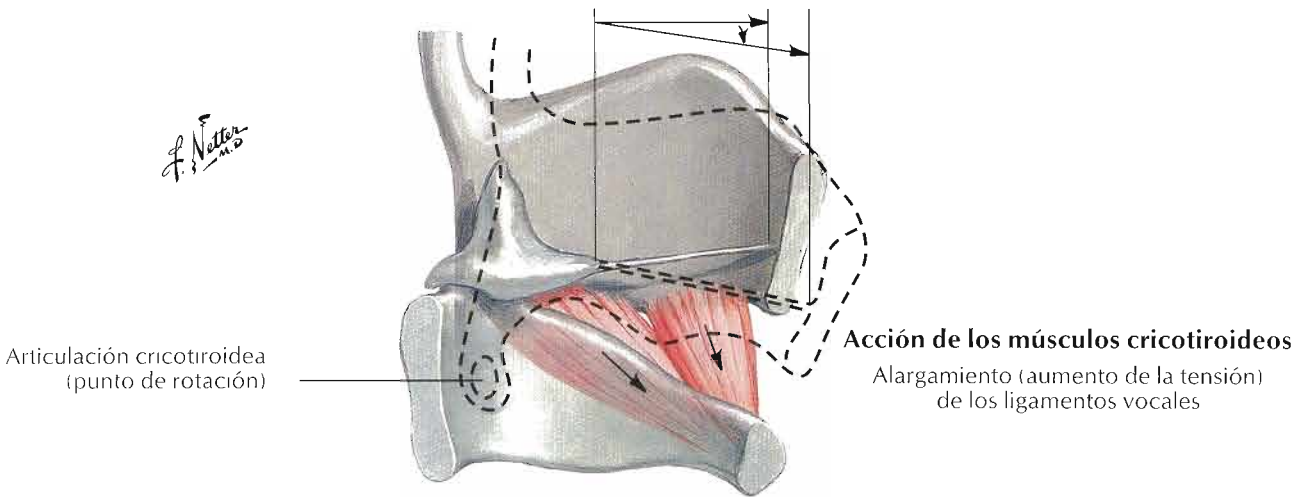


Disección lateral

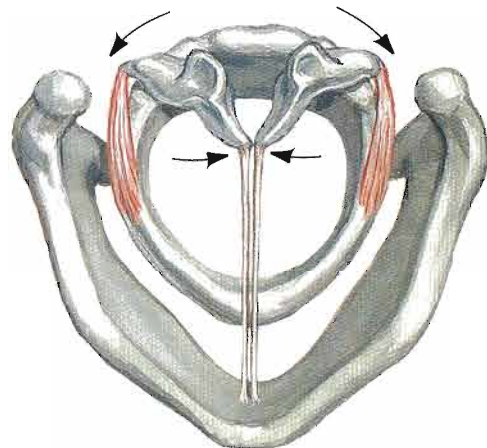


Visión superior

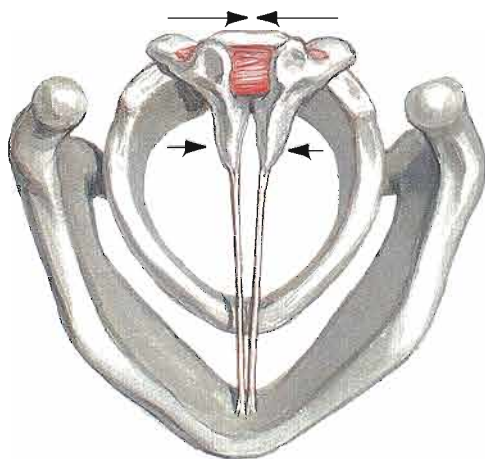
F. Netter M.D.



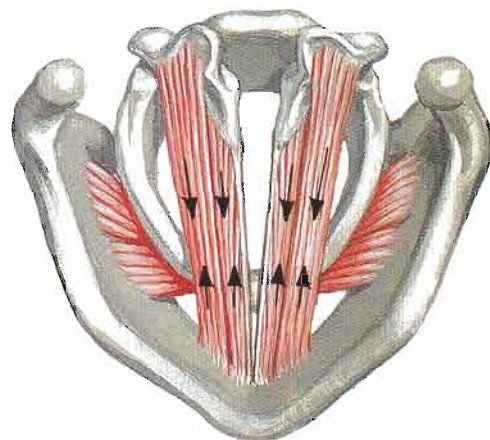
Acción de los músculos cricoaritenoides posteriores
Abducción de los ligamentos vocales



Acción de los músculos cricoaritenoides laterales
Aducción de los ligamentos vocales

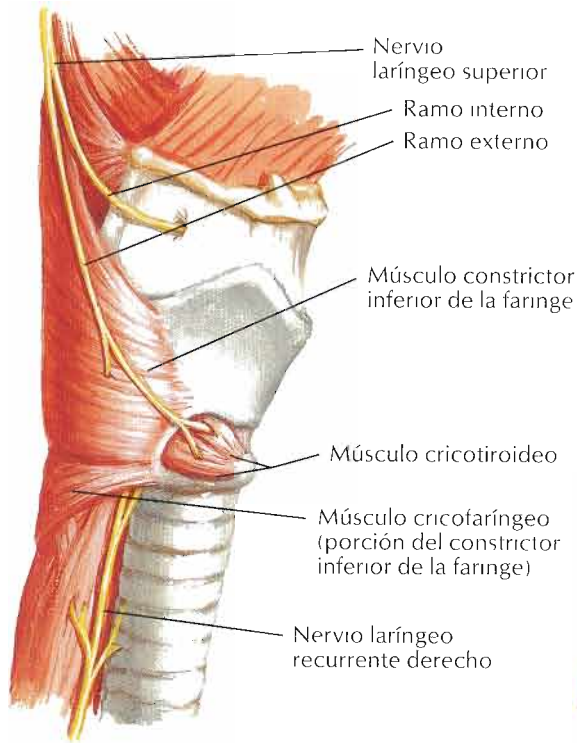


Acción de los músculos aritenoides oblicuo y transverso
Aducción de los ligamentos vocales

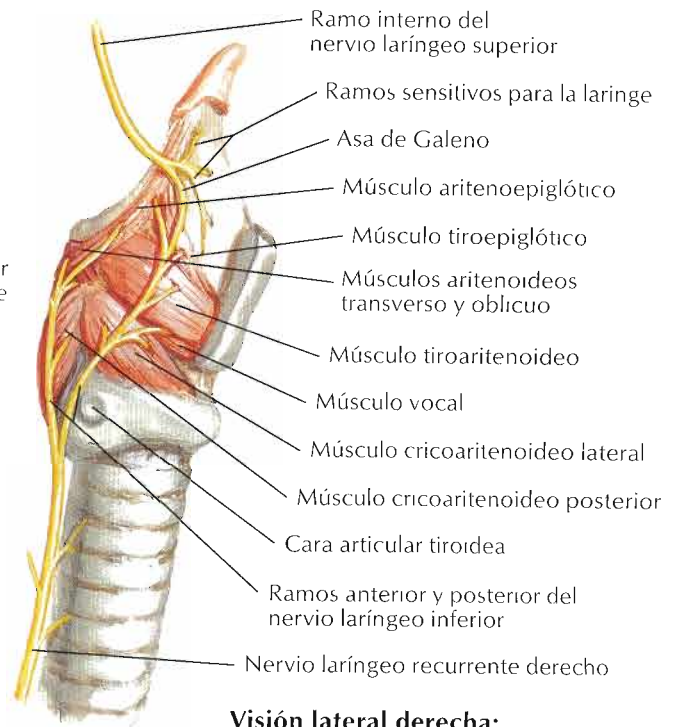


Acción de los músculos vocales y tiroaritenoides
Acortamiento (relajación) de los ligamentos vocales

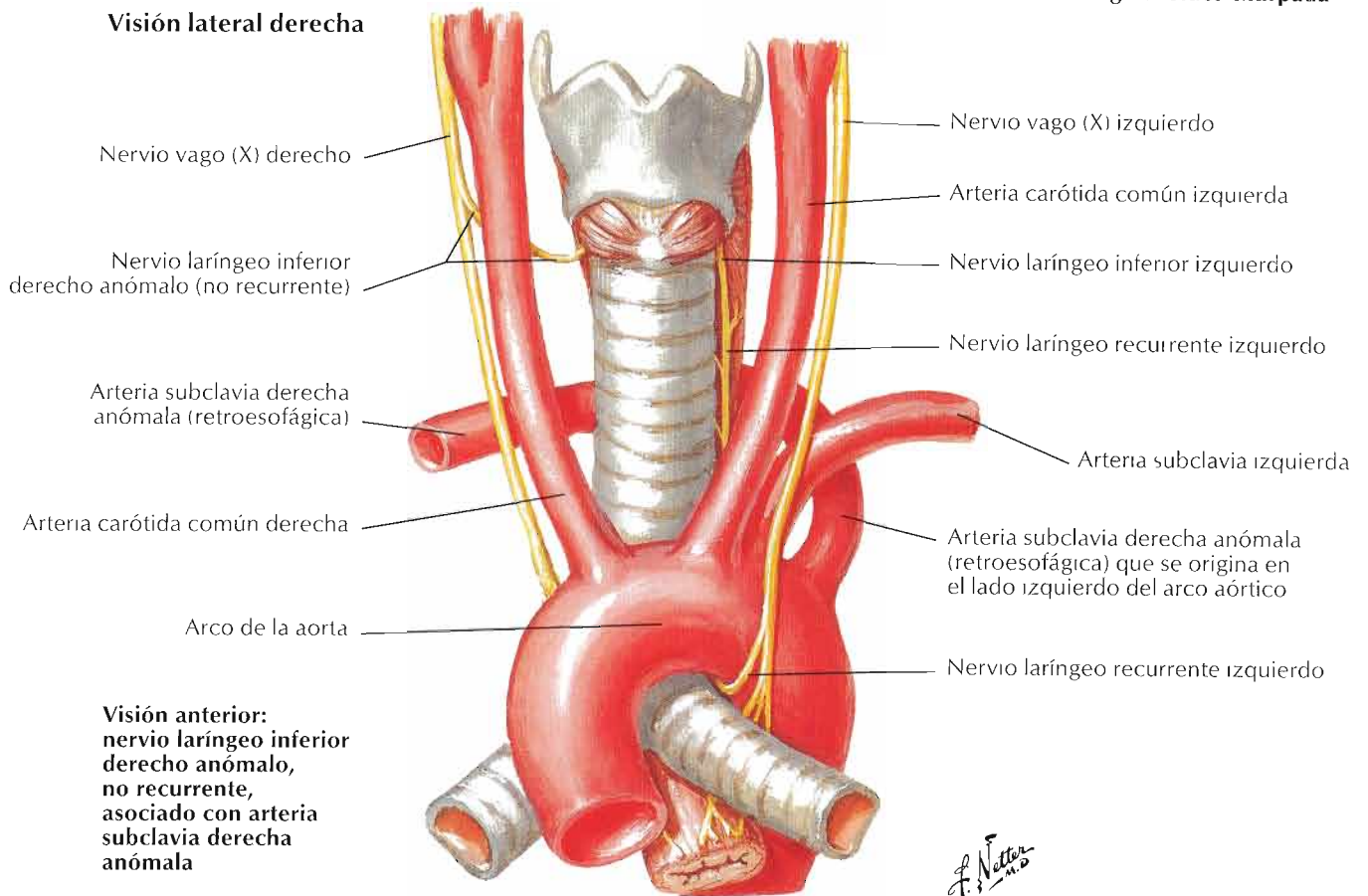
Véanse también láminas 74-76, 235



Visión lateral derecha

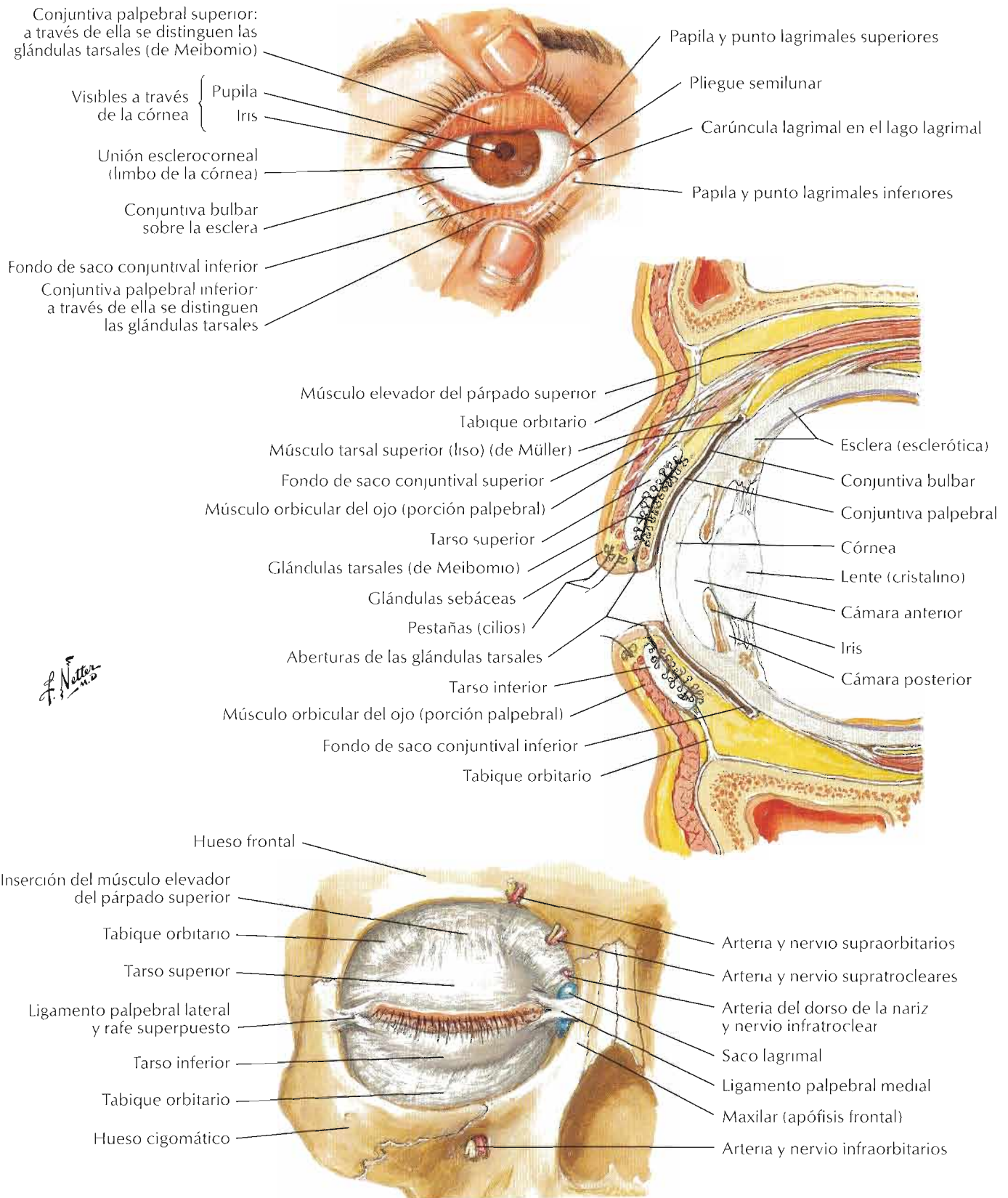


**Visión lateral derecha:
lámina del cartilago tiroides extirpada**

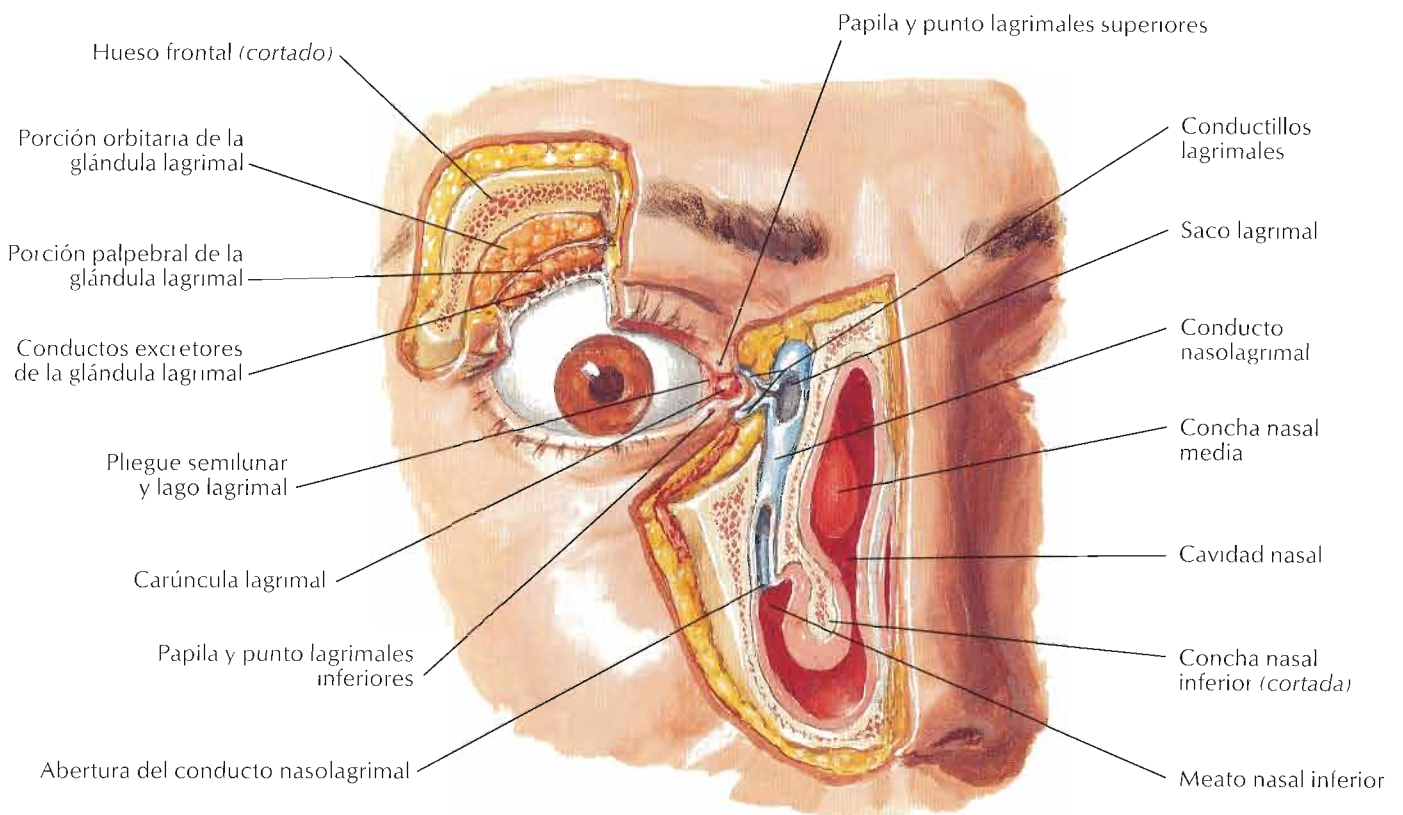
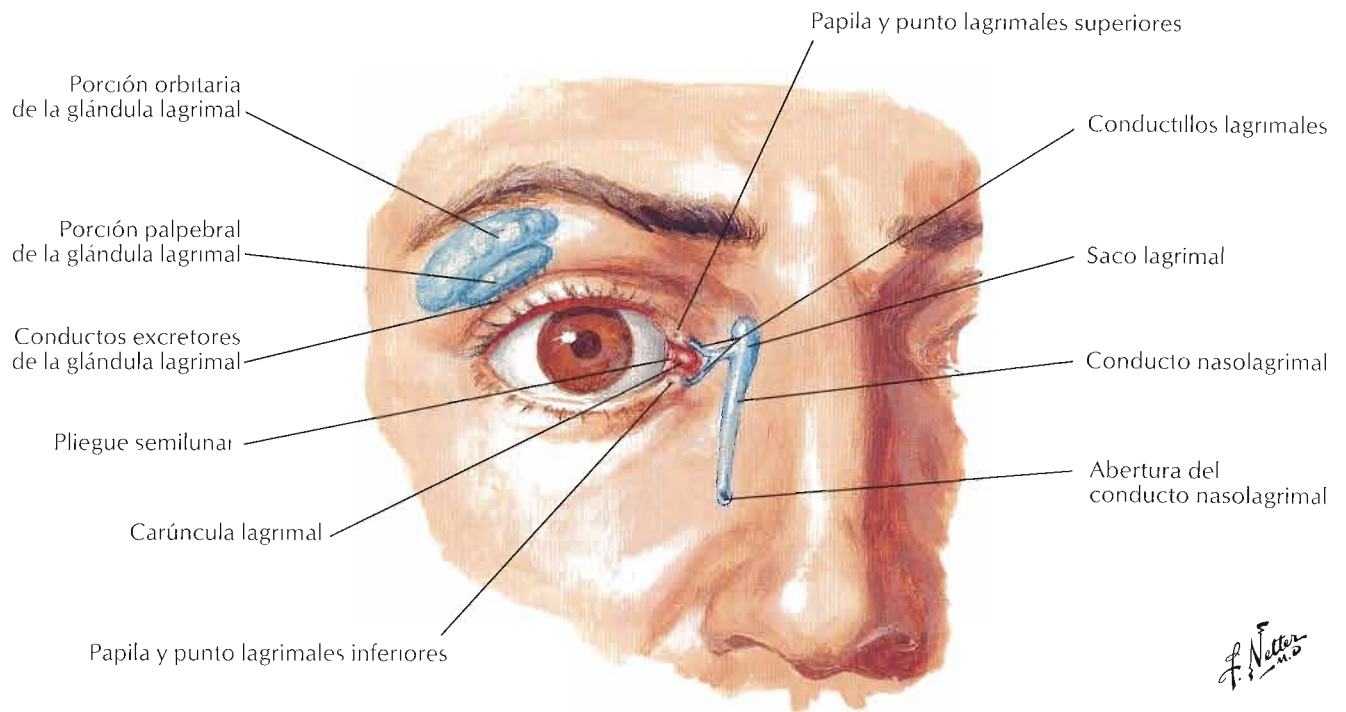


**Visión anterior:
nervio laríngeo inferior
derecho anómalo,
no recurrente,
asociado con arteria
subclavia derecha
anómala**

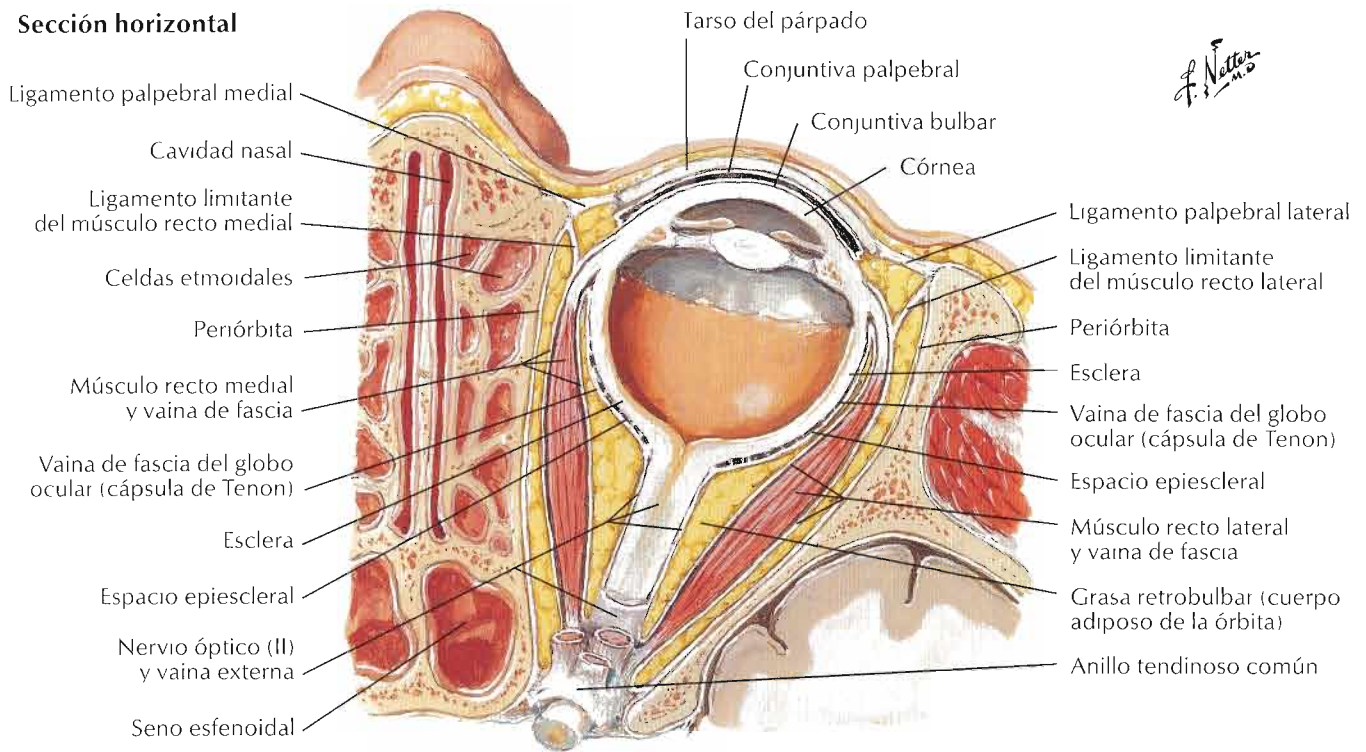
F. Netter M.D.



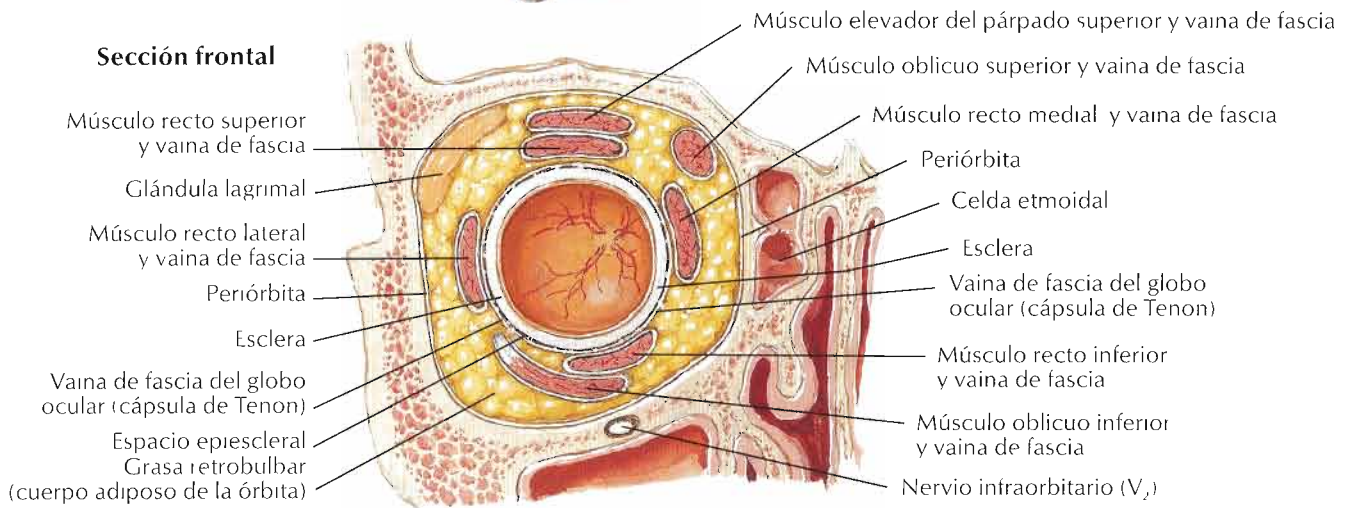
Véanse también láminas 45, 133



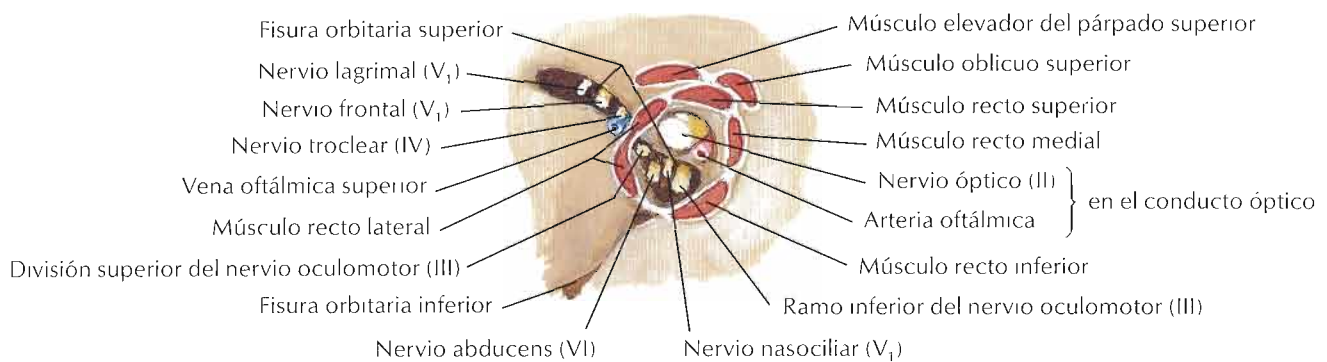
Sección horizontal



Sección frontal

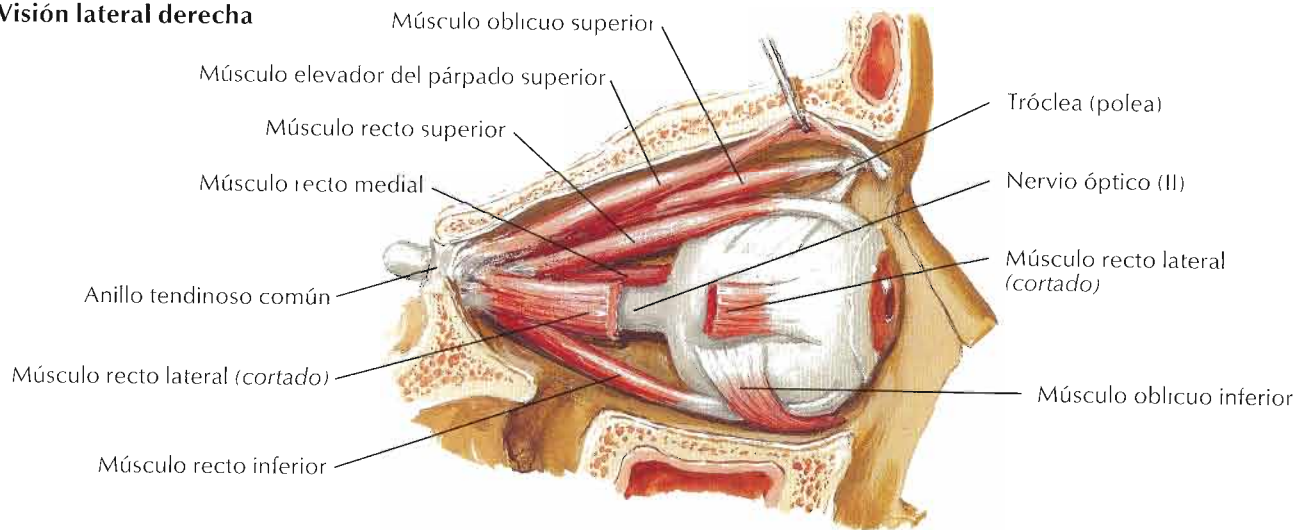


Inserciones musculares y nervios y vasos que penetran en la órbita

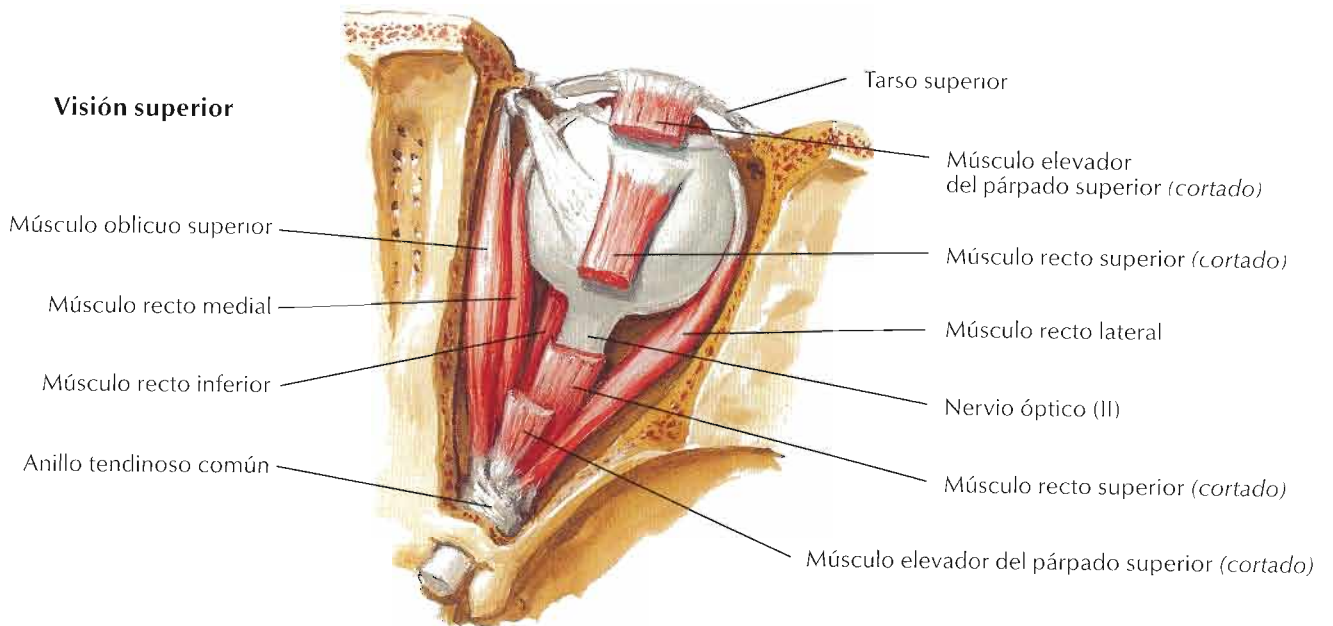


1 Músculos extrínsecos del ojo

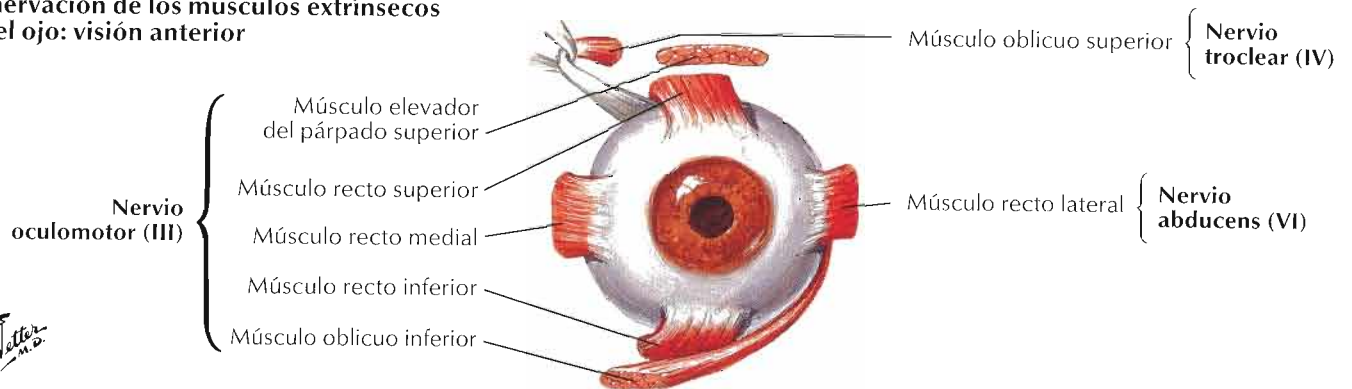
Visión lateral derecha



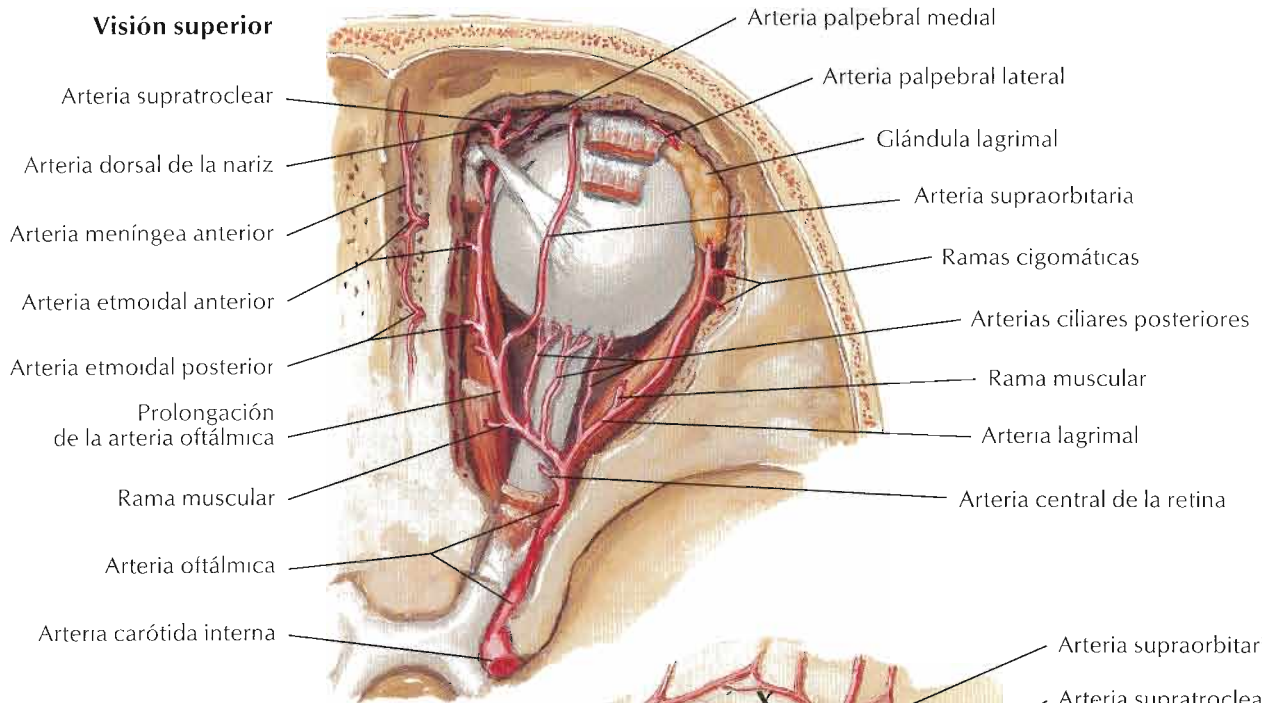
Visión superior



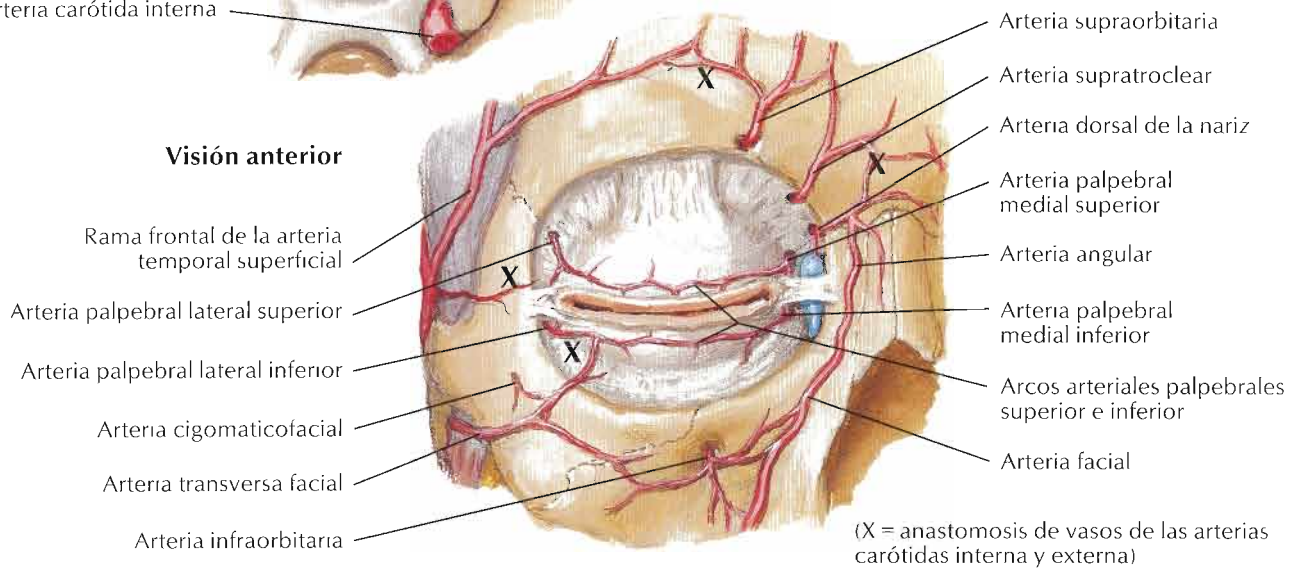
Inervación de los músculos extrínsecos del ojo: visión anterior



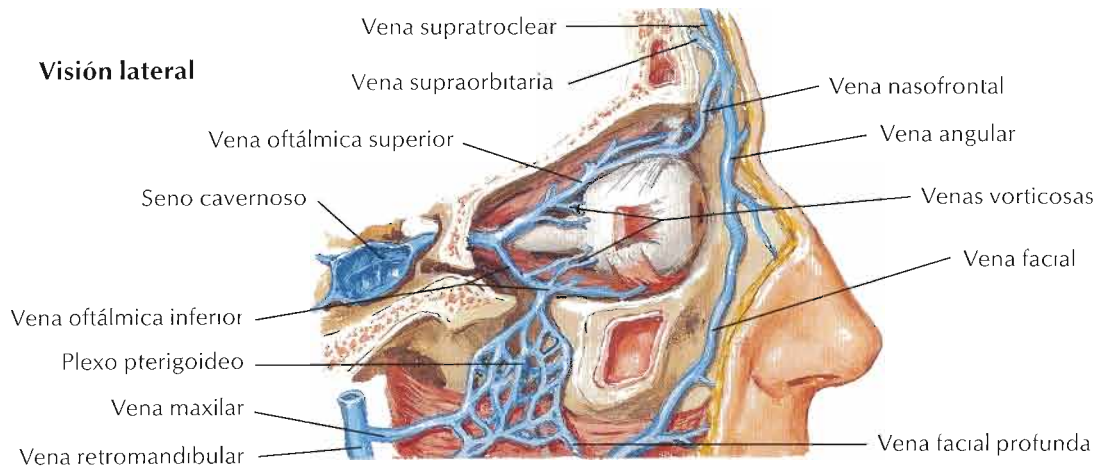
Visión superior



Visión anterior



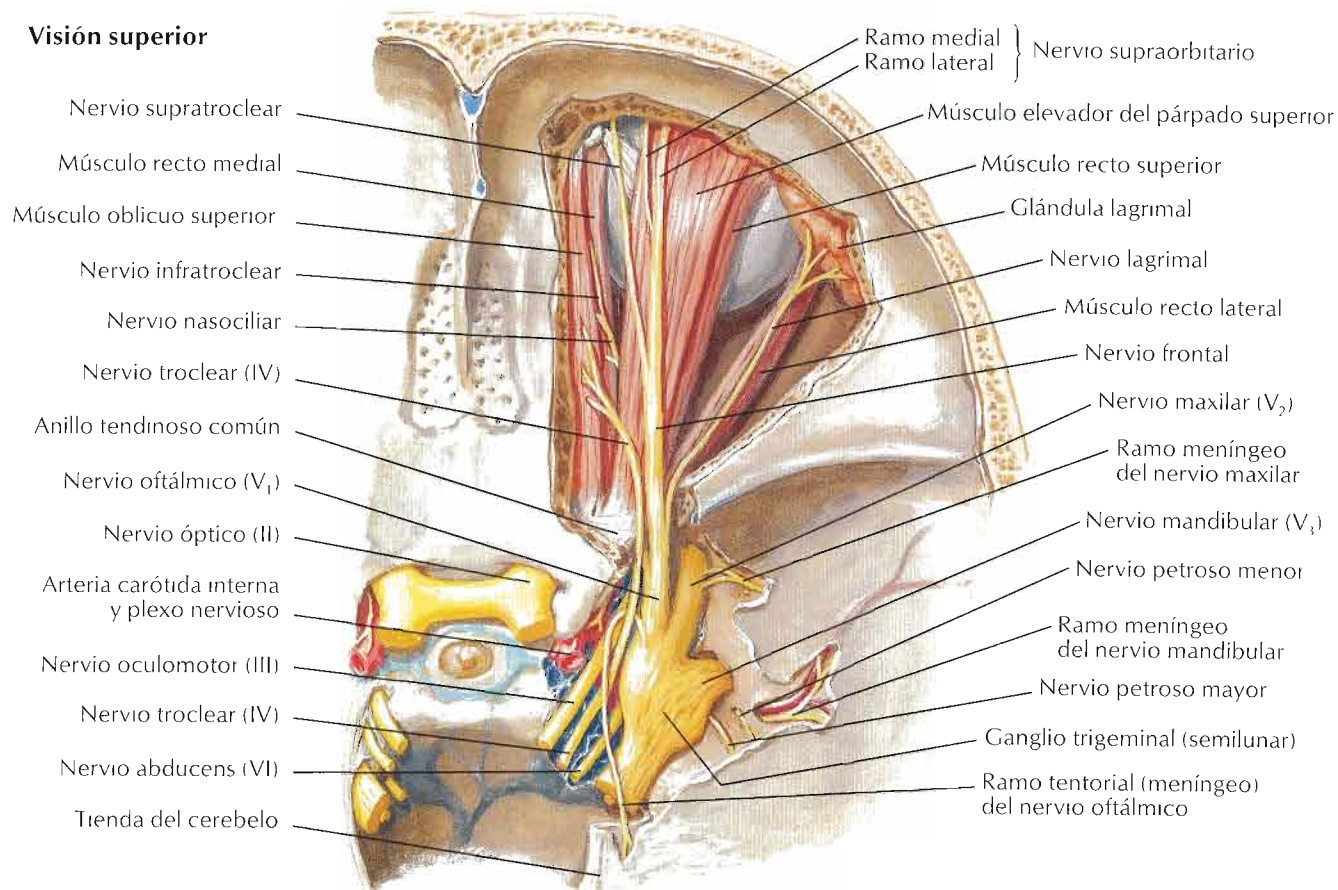
Visión lateral



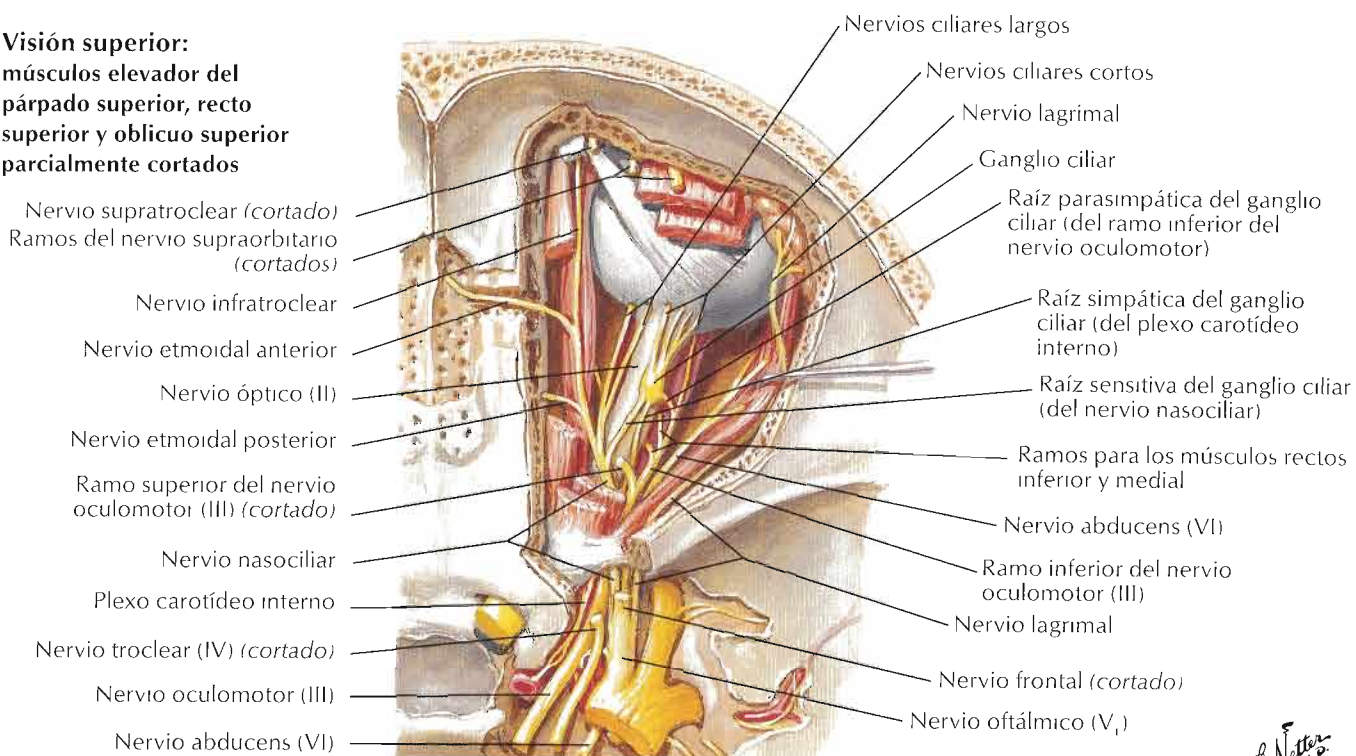
F. Netter M.D.

Véanse también láminas 45, 121, 132

Visión superior

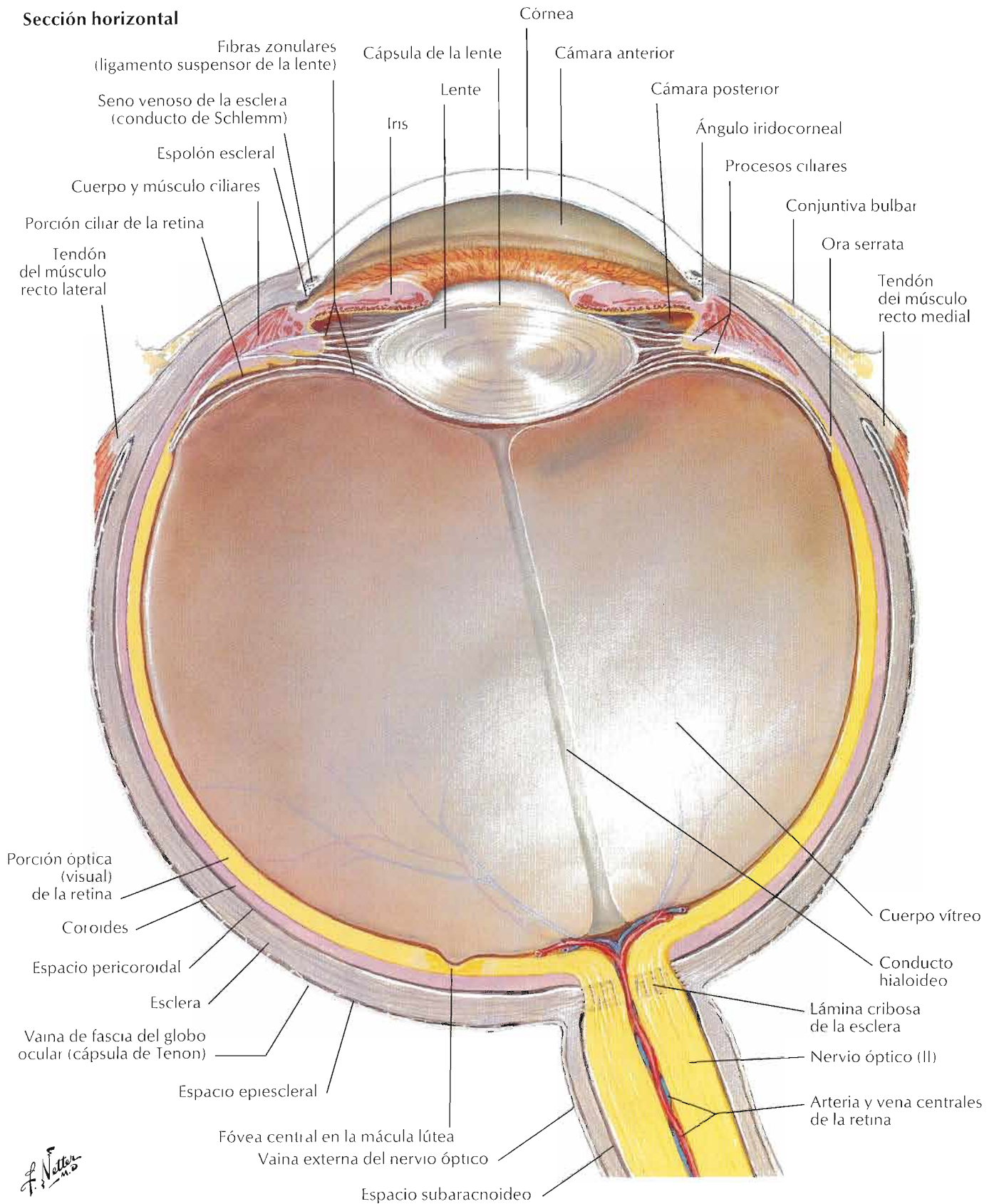


Visión superior: músculos elevador del párpado superior, recto superior y oblicuo superior parcialmente cortados

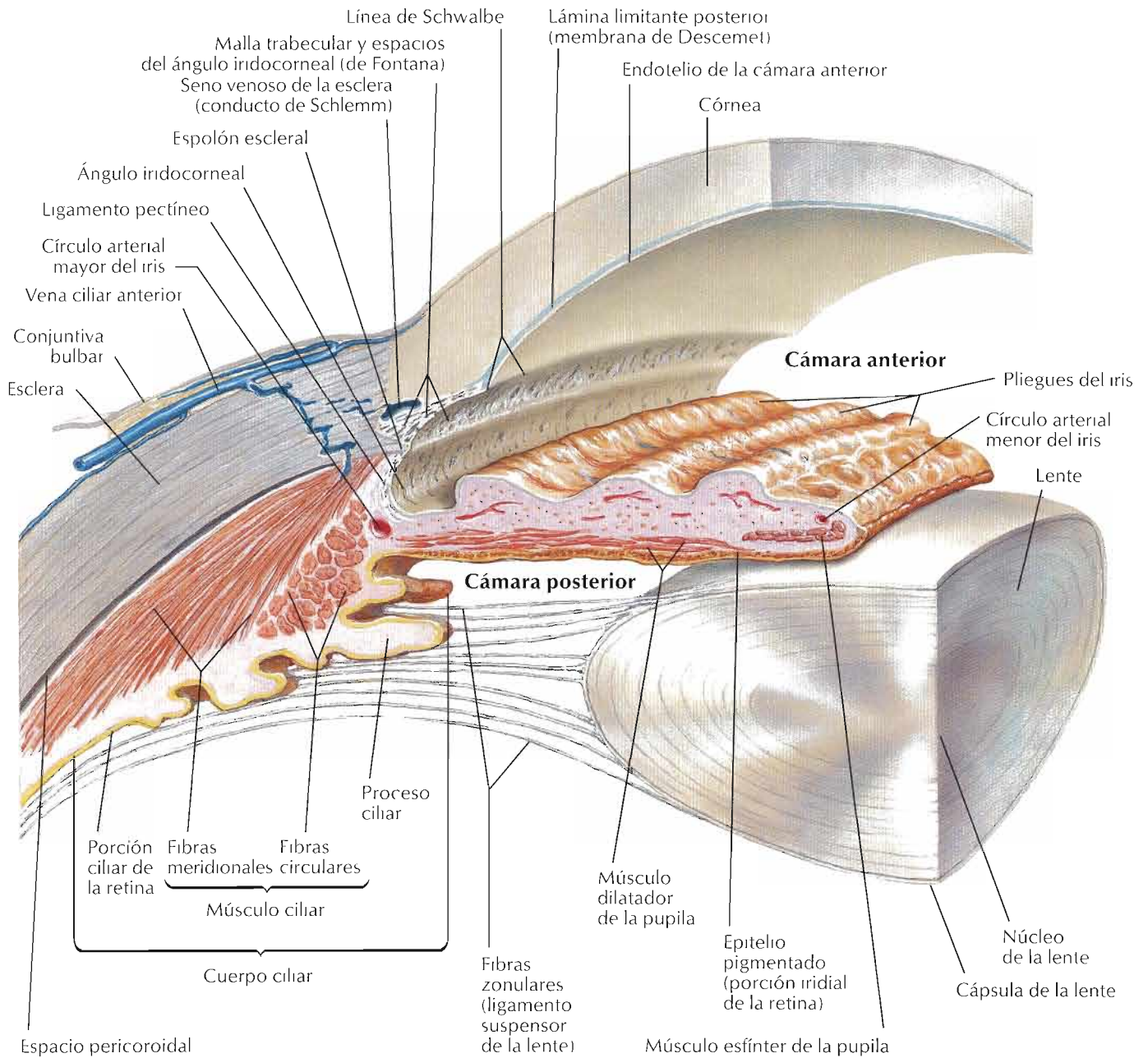


F. Netter M.D.

Sección horizontal

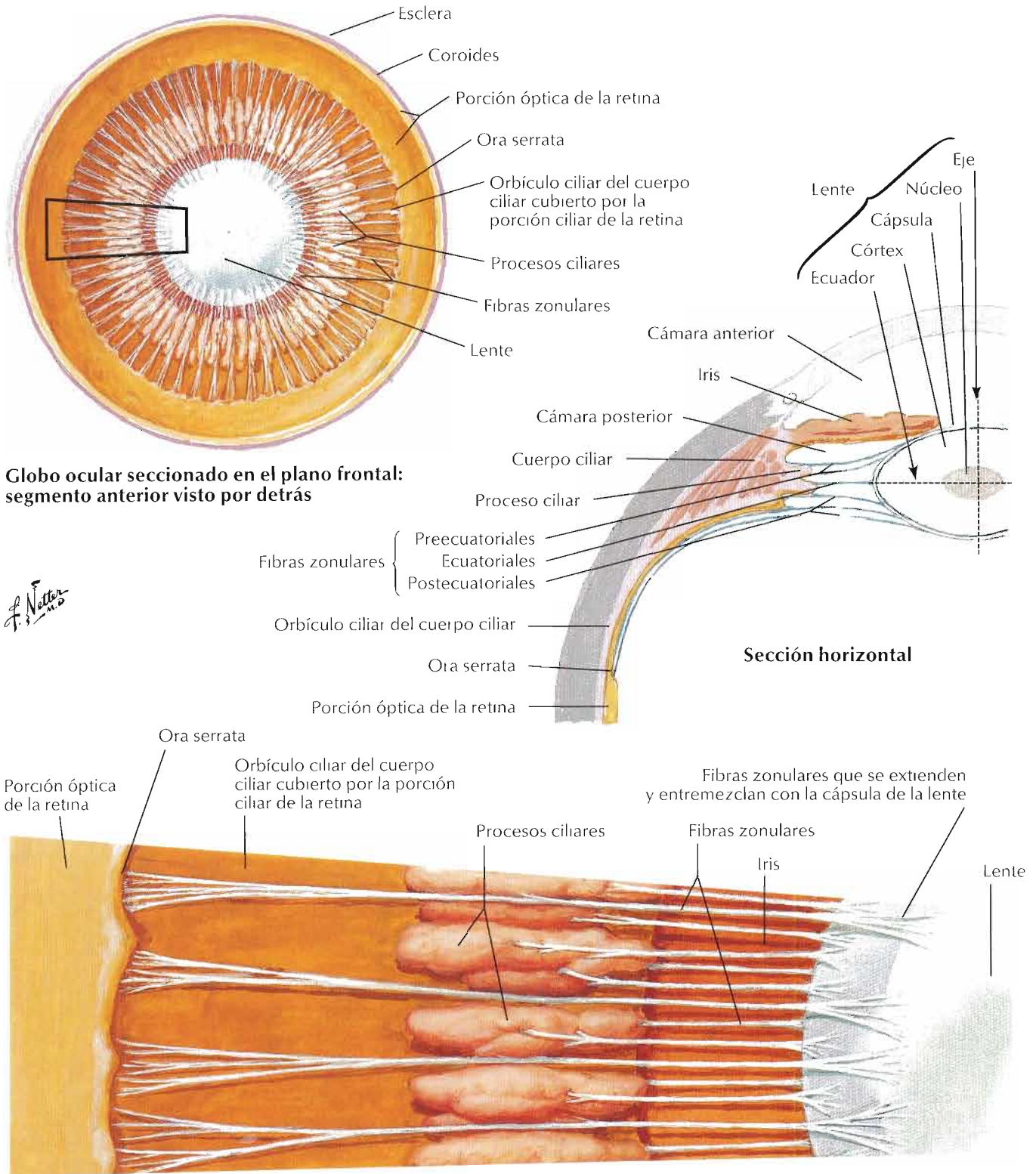


Cámaras anterior y posterior del ojo



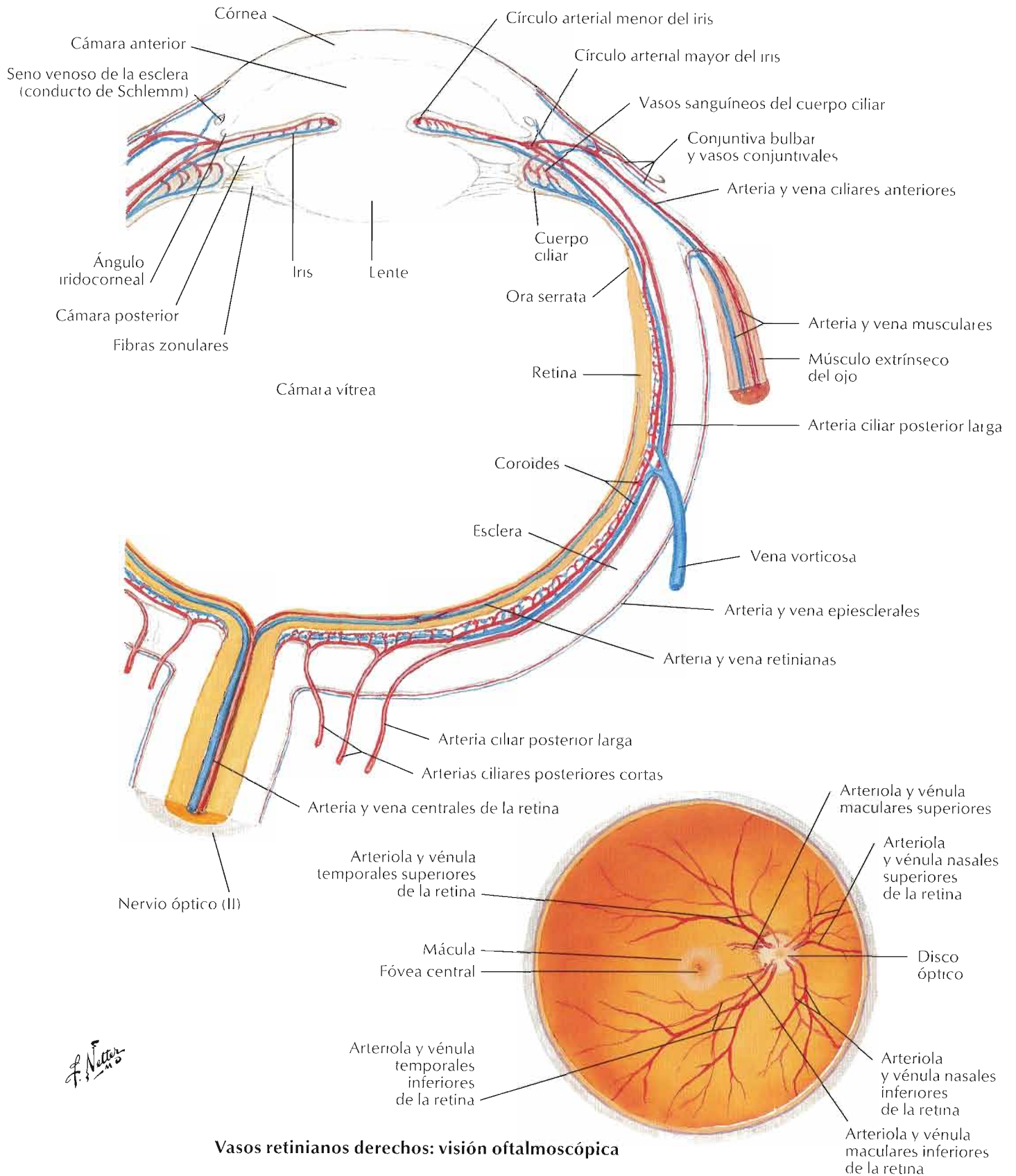
Nota: para mayor claridad sólo se muestra un plano de fibras zonulares; de hecho las fibras rodean por completo la circunferencia de la lente

F. Netter



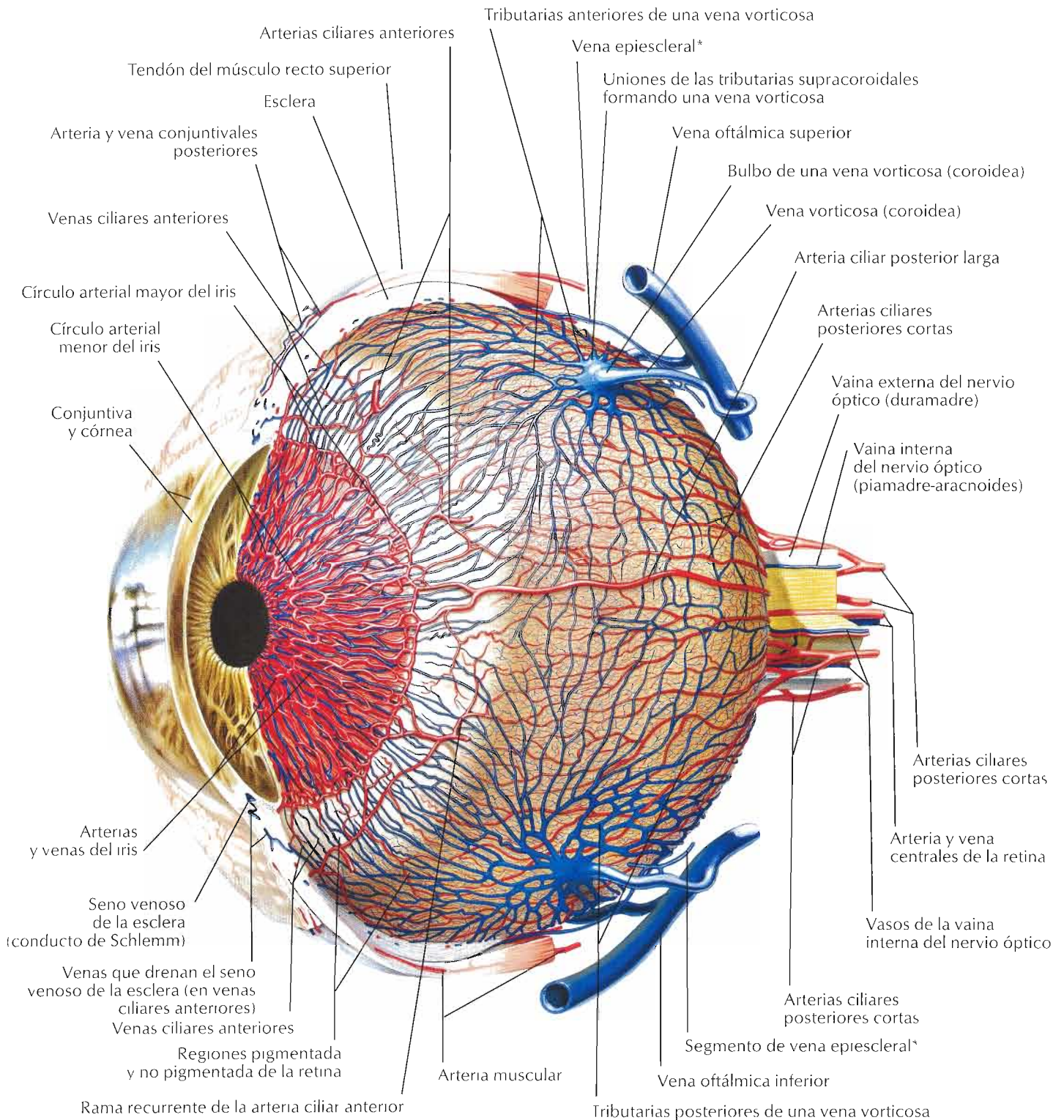
Arterias y venas intrínsecas del ojo

Véase también lámina 85



F. Netter

Disposiciones vasculares dentro de la coroides (túnica vascular) del globo ocular

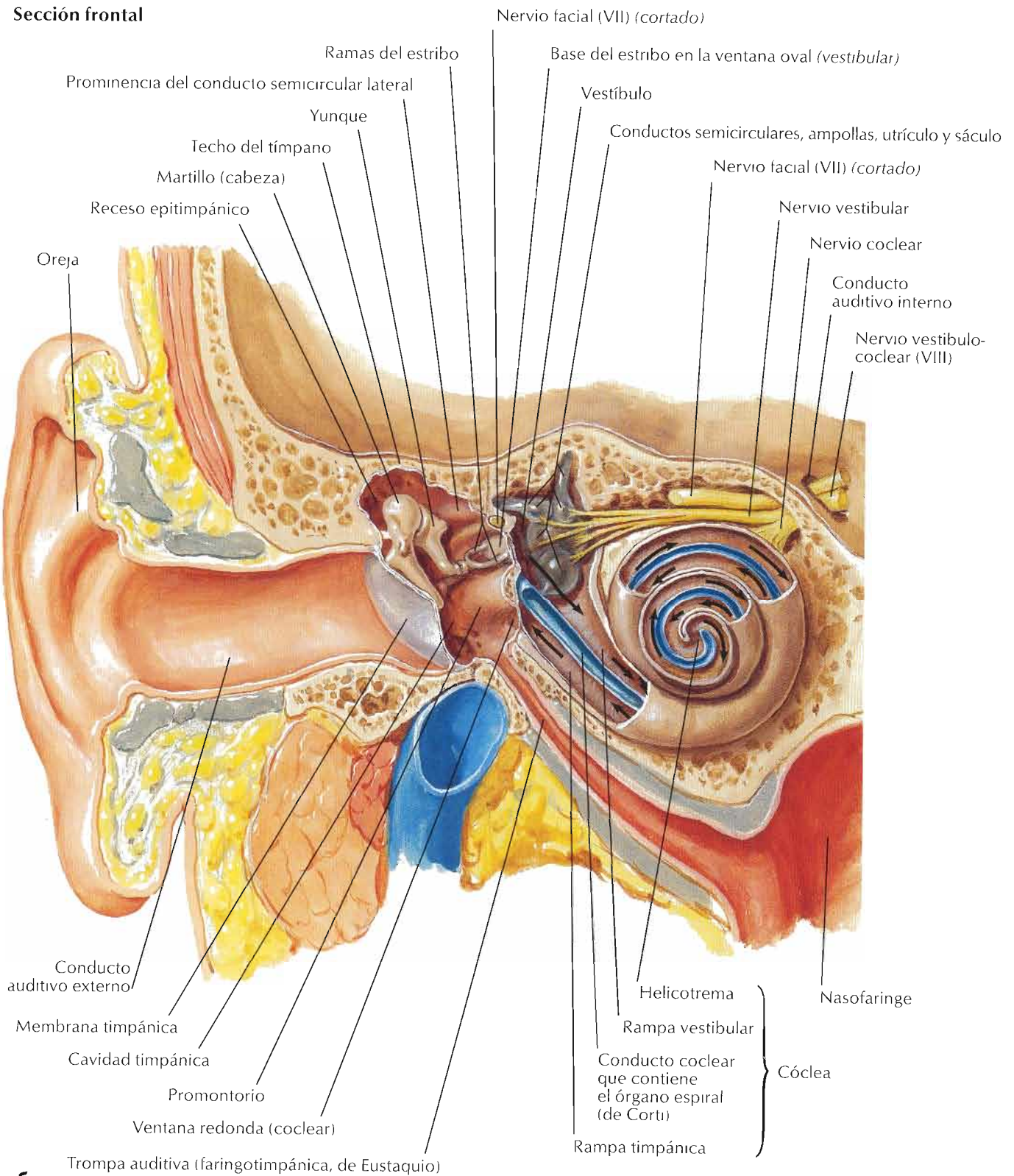


*Las venas episclerales se muestran aquí anastomosándose con las venas vorticosas; no obstante, también drenan en las venas ciliares anteriores

C. Machado
—M.D.

1 Vía de recepción del sonido

Sección frontal



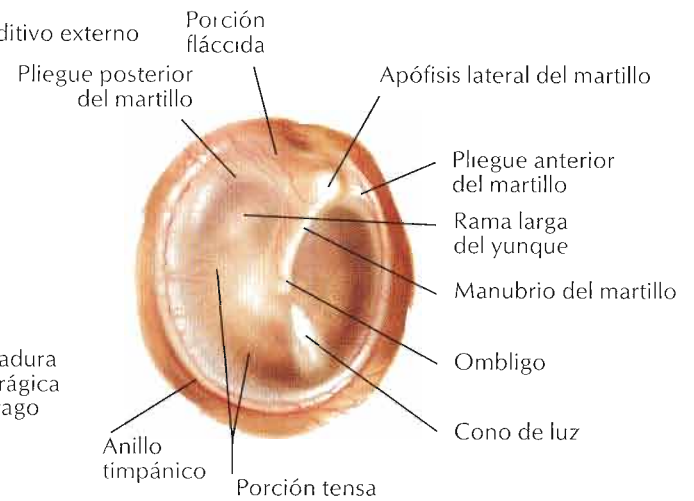
Nota: las flechas indican la trayectoria de las ondas sonoras.

F. Netter M.D.

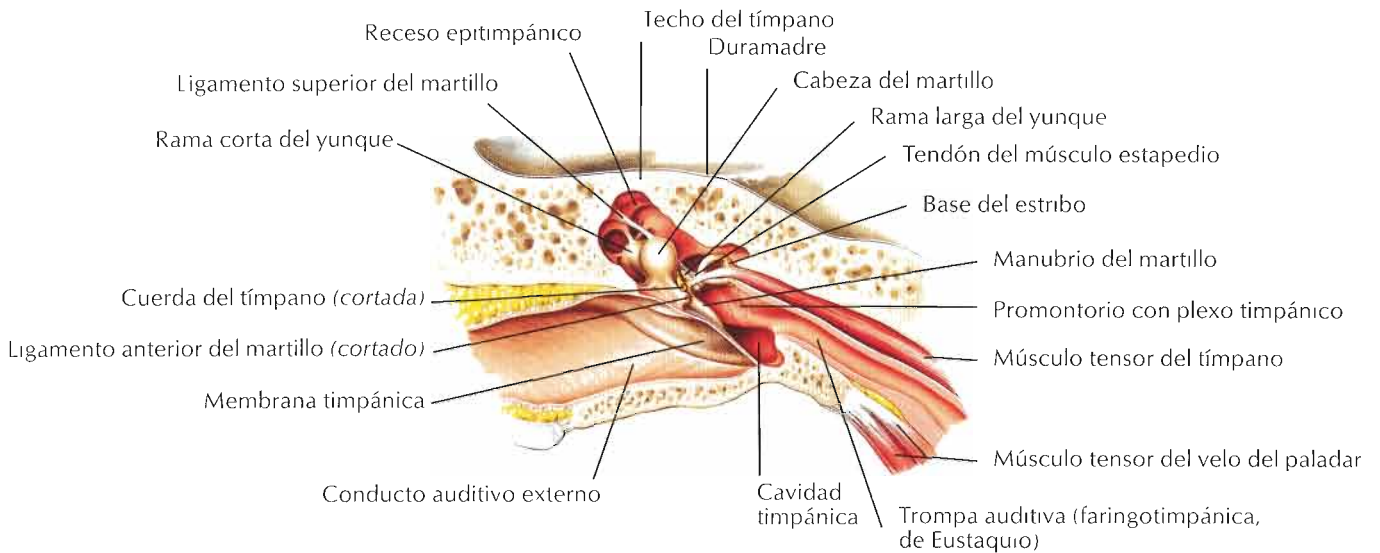
Oreja derecha



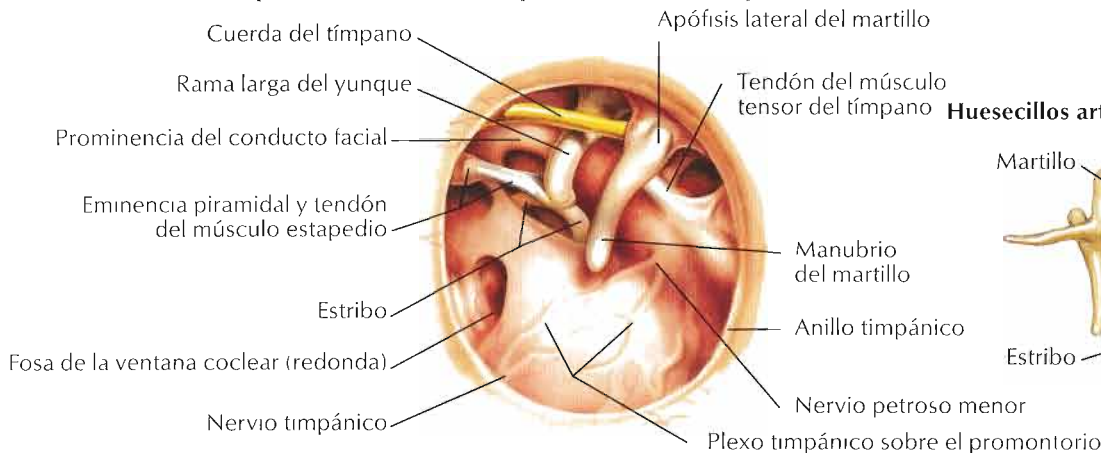
Visión otoscópica de la membrana timpánica derecha



Sección coronal oblicua del conducto auditivo externo y oído medio (cavidad timpánica)



Cavidad timpánica derecha tras extirpar la membrana timpánica (visión lateral)



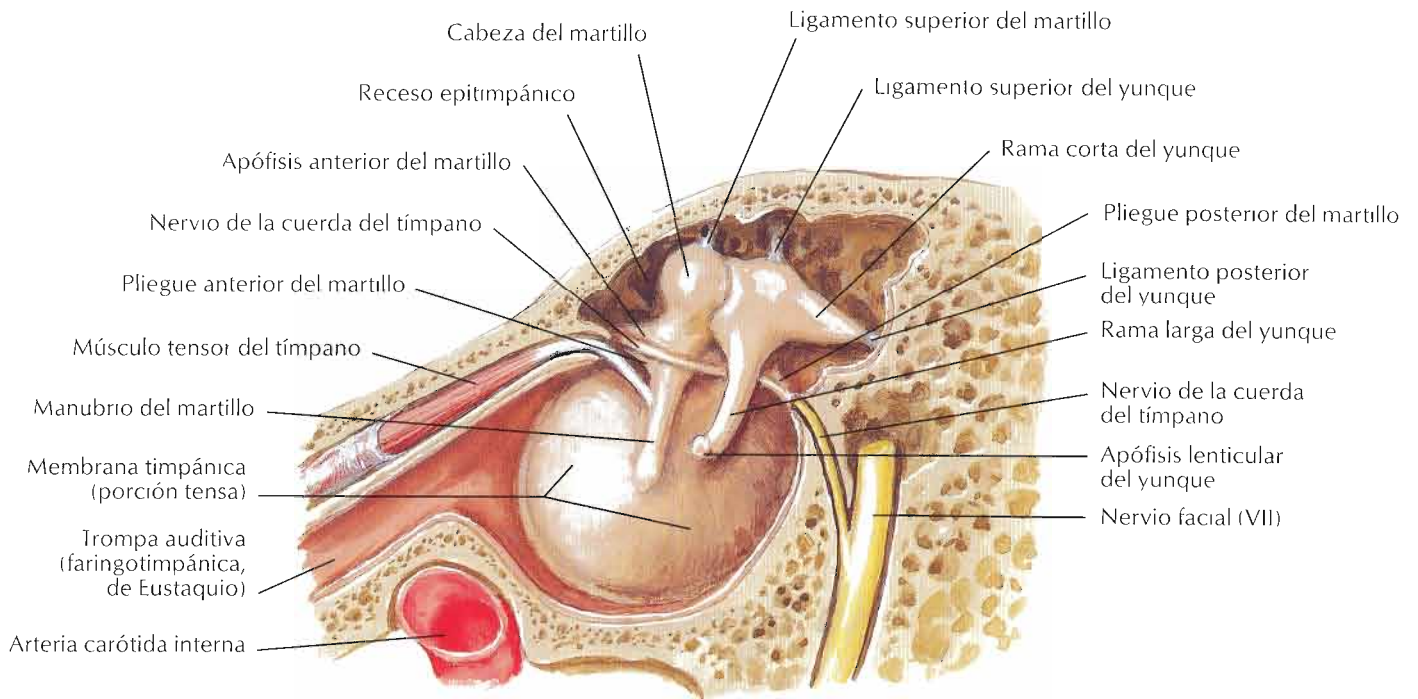
Huesecillos articulados: visión medial



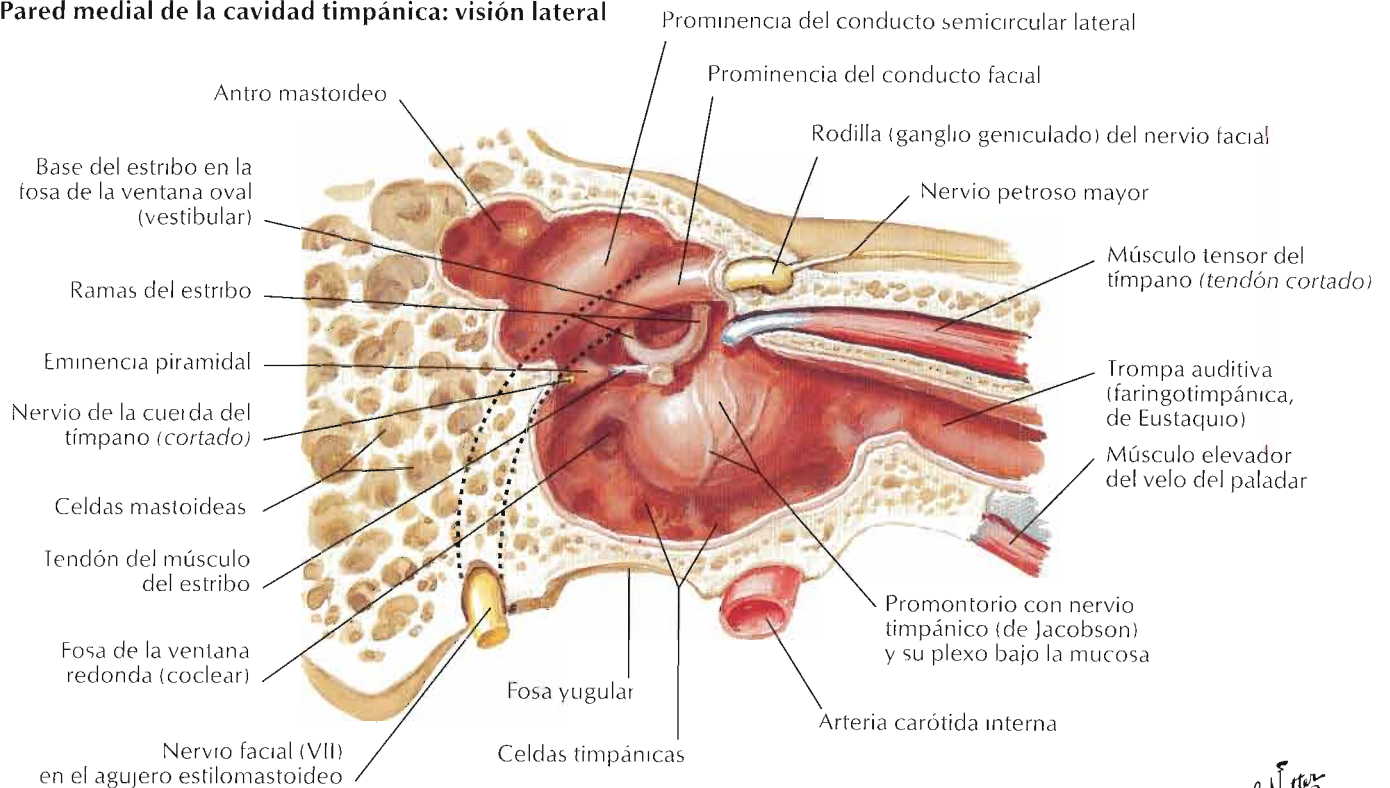
C. Machado
M.D.
F. Netter
M.D.

Véanse también láminas 46, 123, 124, 135

Pared lateral de la cavidad timpánica: visión medial (interna)

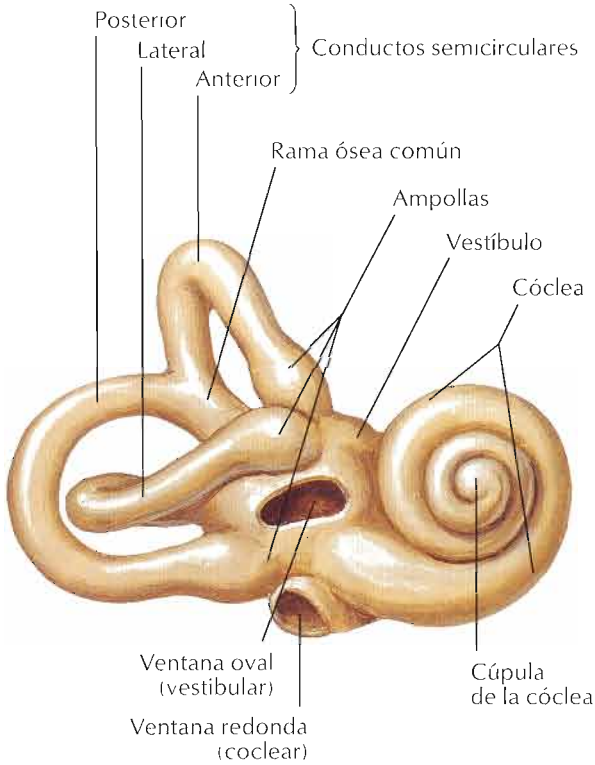


Pared medial de la cavidad timpánica: visión lateral

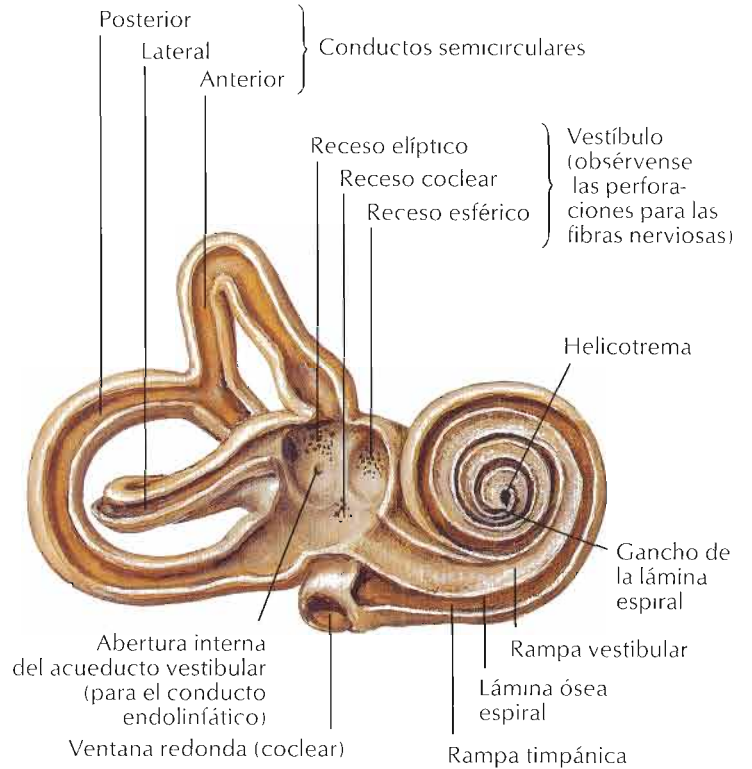


F. Netter

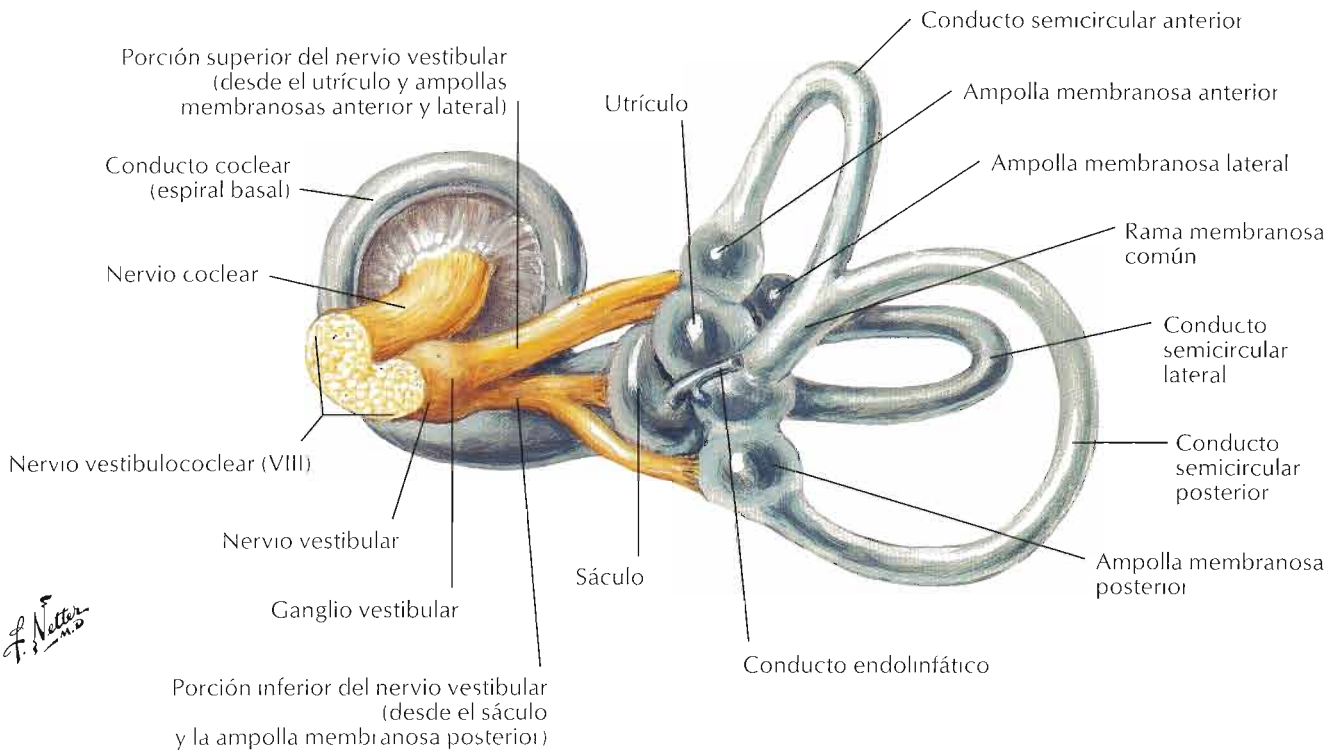
Laberinto óseo derecho (cápsula ótica), visión anterolateral: se ha extirpado el hueso esponjoso que le rodea



Laberinto óseo derecho disecado (cápsula ótica): se ha extirpado el laberinto membranoso

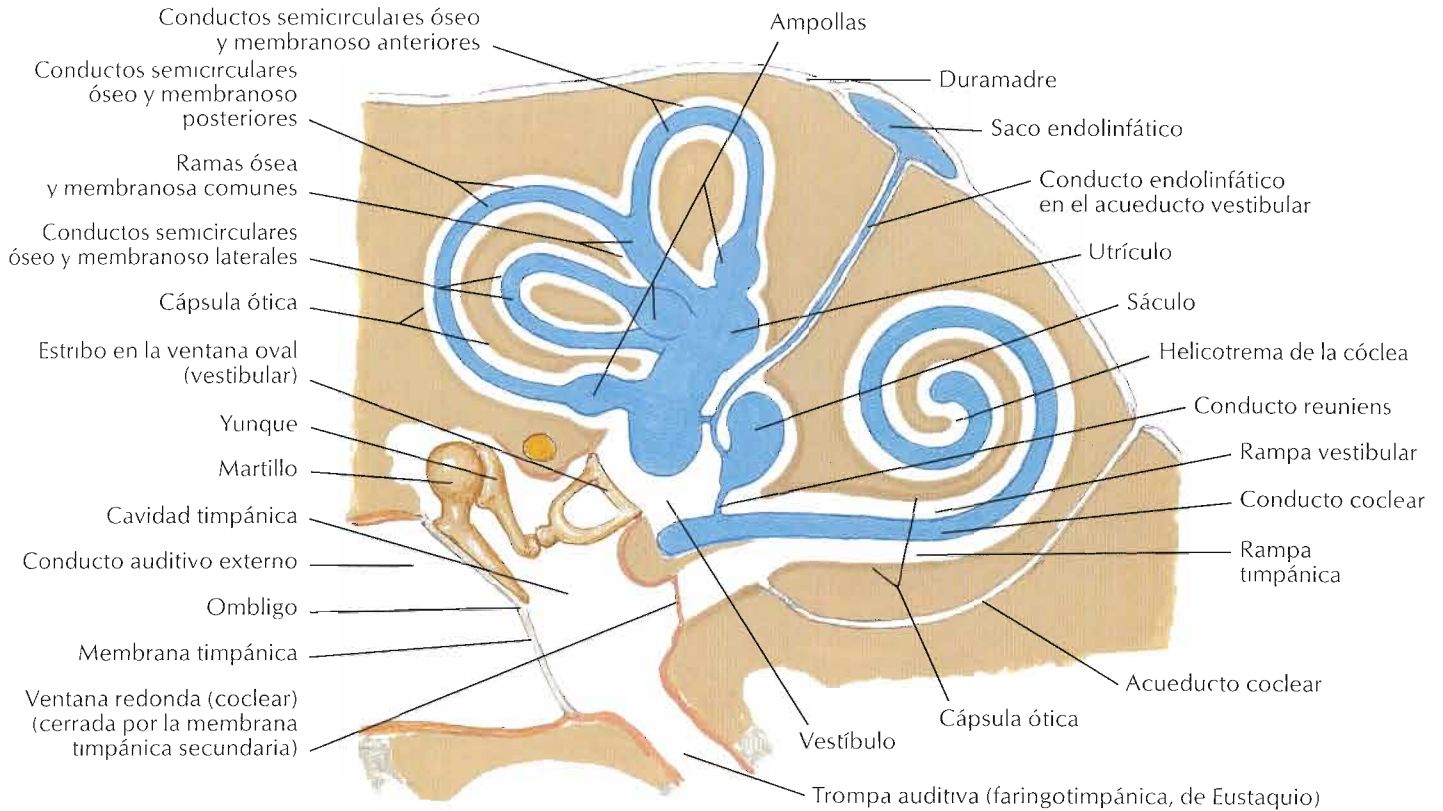


Laberinto membranoso derecho con nervios: visión posteromedial

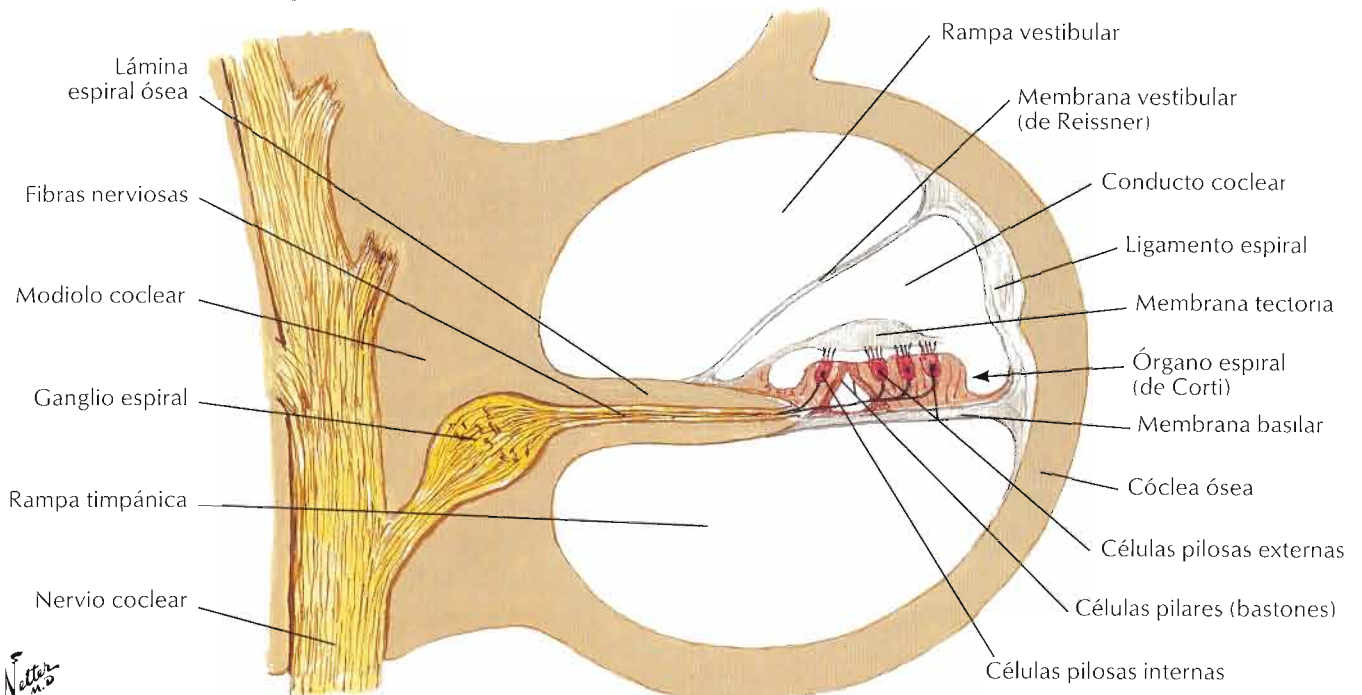


F. Netter M.D.

Laberintos óseo y membranoso: esquema

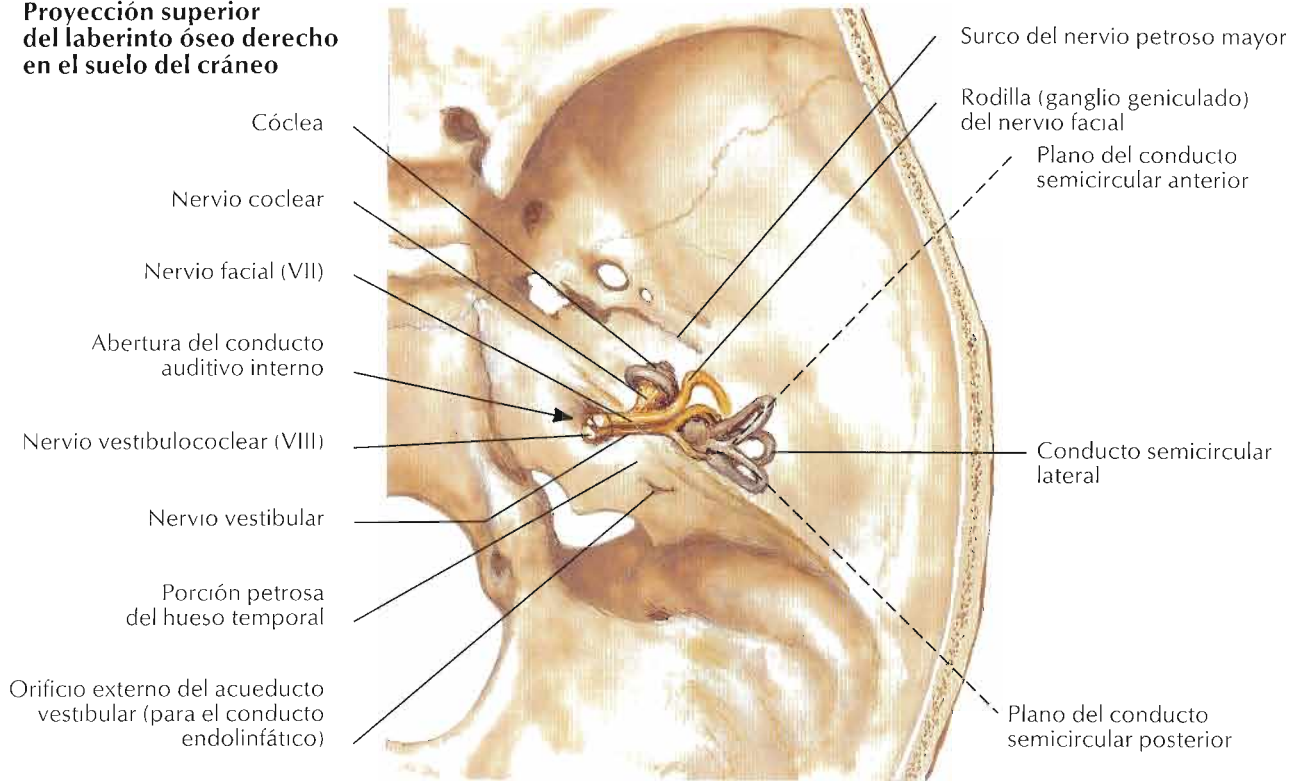


Sección a través de una espiral de la cóclea

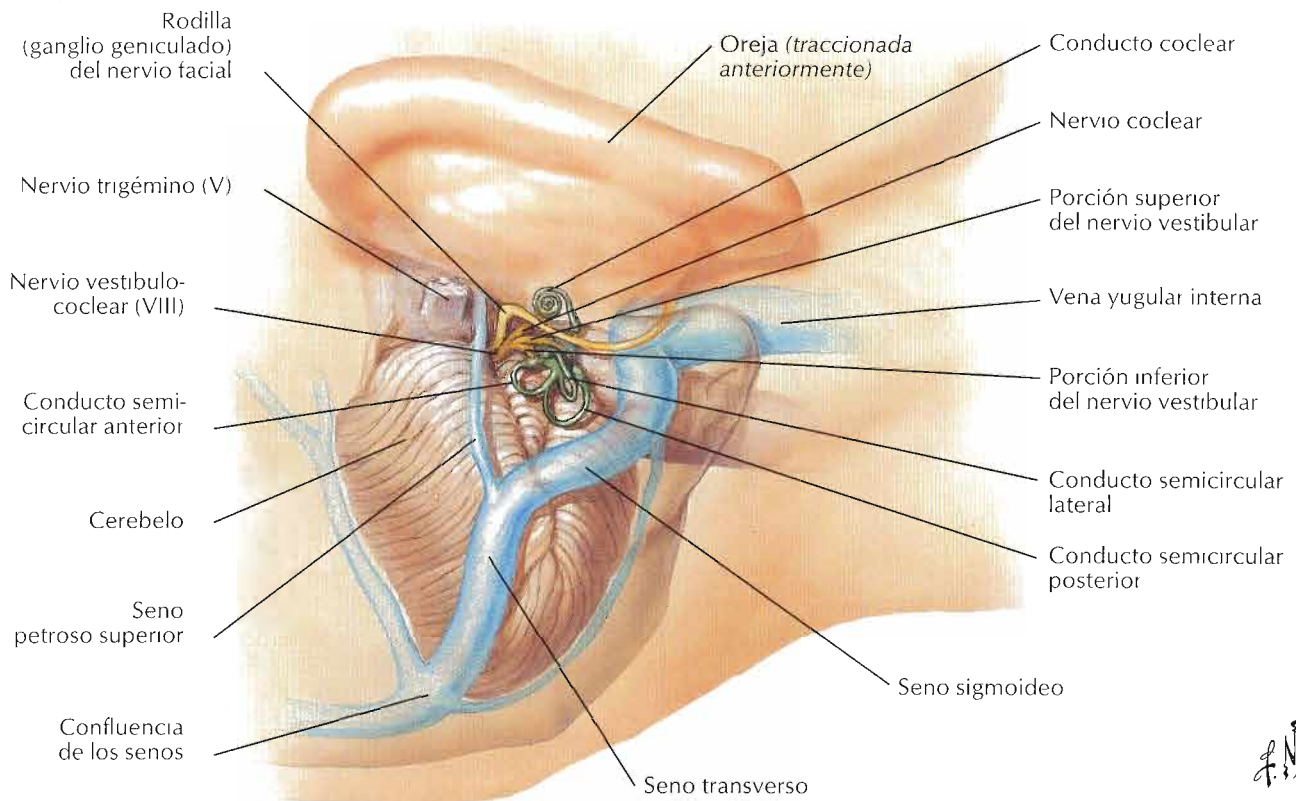


F. Netter

Proyección superior del laberinto óseo derecho en el suelo del cráneo



Proyección lateral del laberinto membranoso derecho

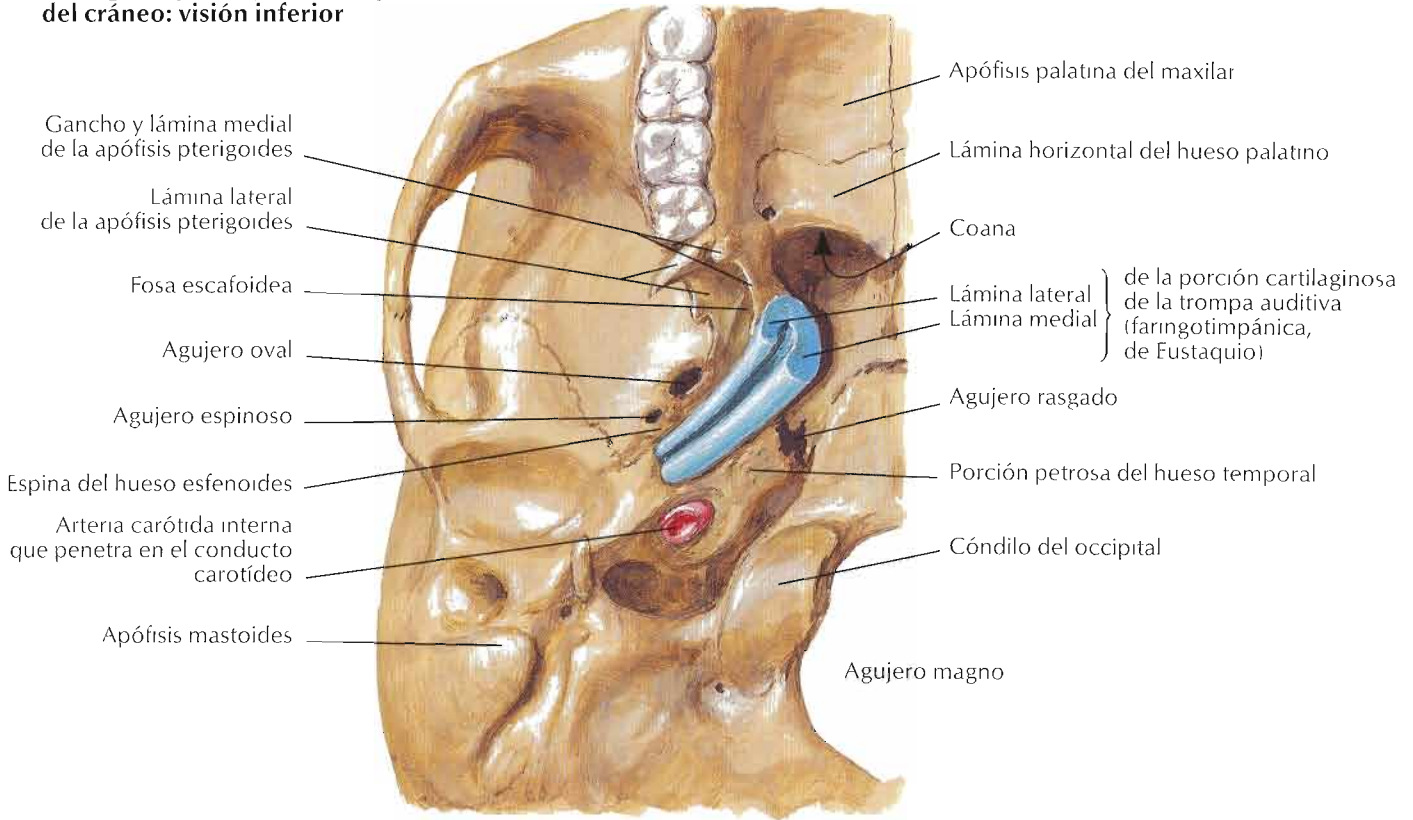


F. Natter

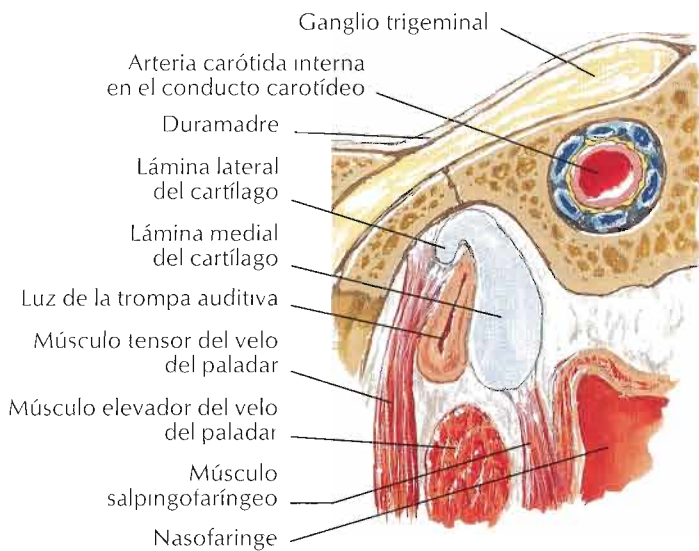
Trompa auditiva (faringotimpánica, de Eustaquio)

Véanse también láminas 52, 55, 65

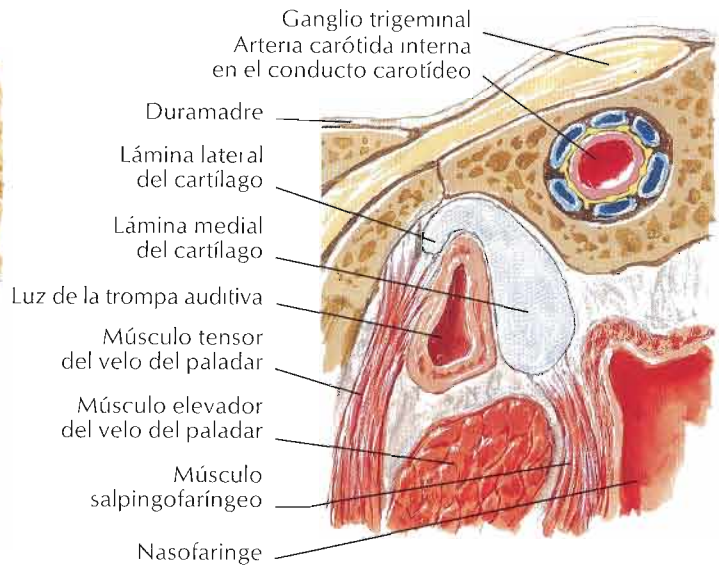
Porción cartilaginosa de la trompa auditiva (faringotimpánica, de Eustaquio) en la base del cráneo: visión inferior



Sección a través de la porción cartilaginosa de la trompa auditiva (faringotimpánica, de Eustaquio) con la trompa cerrada



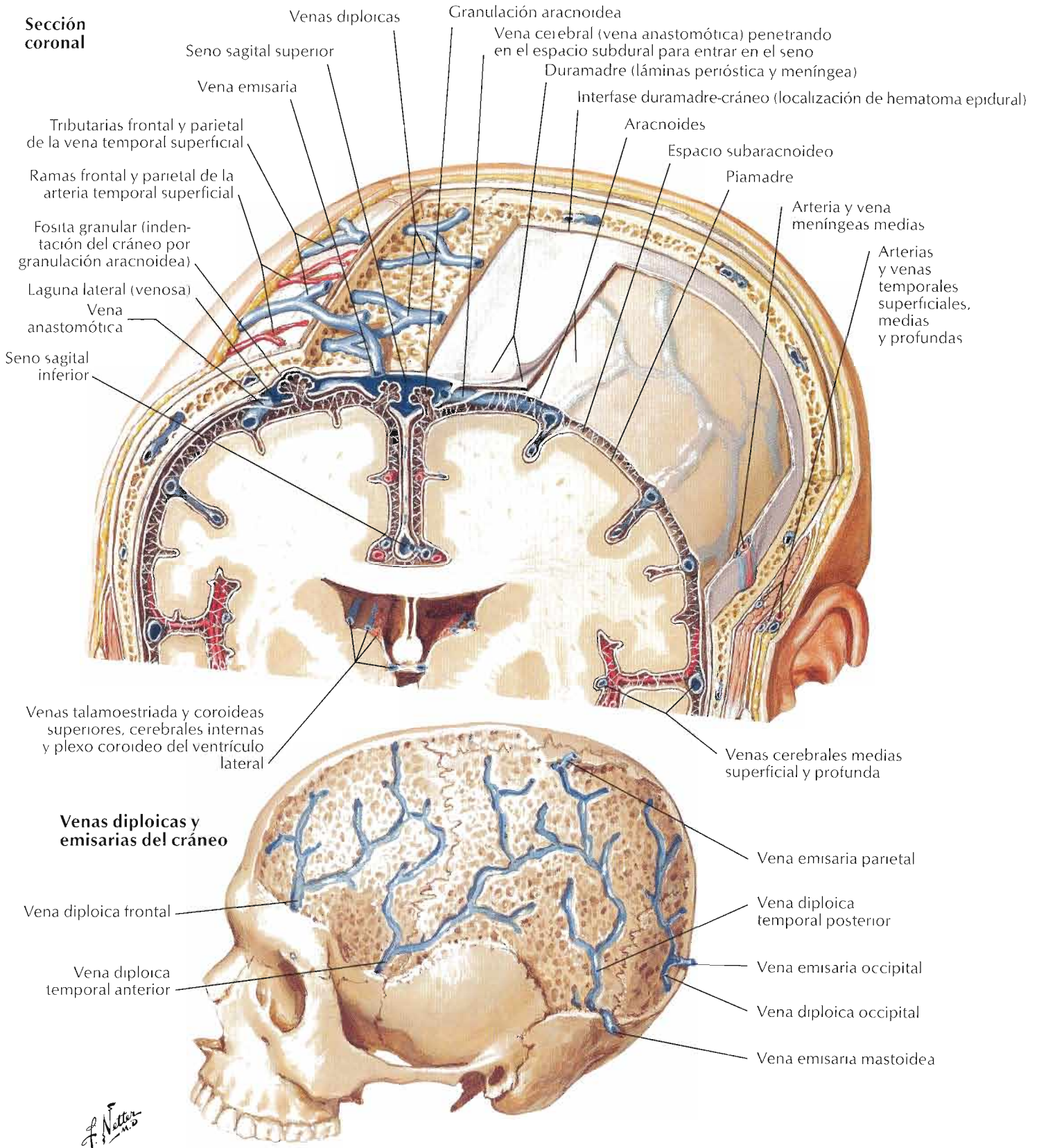
Sección a través de la porción cartilaginosa de la trompa auditiva (faringotimpánica, de Eustaquio) con la trompa abierta



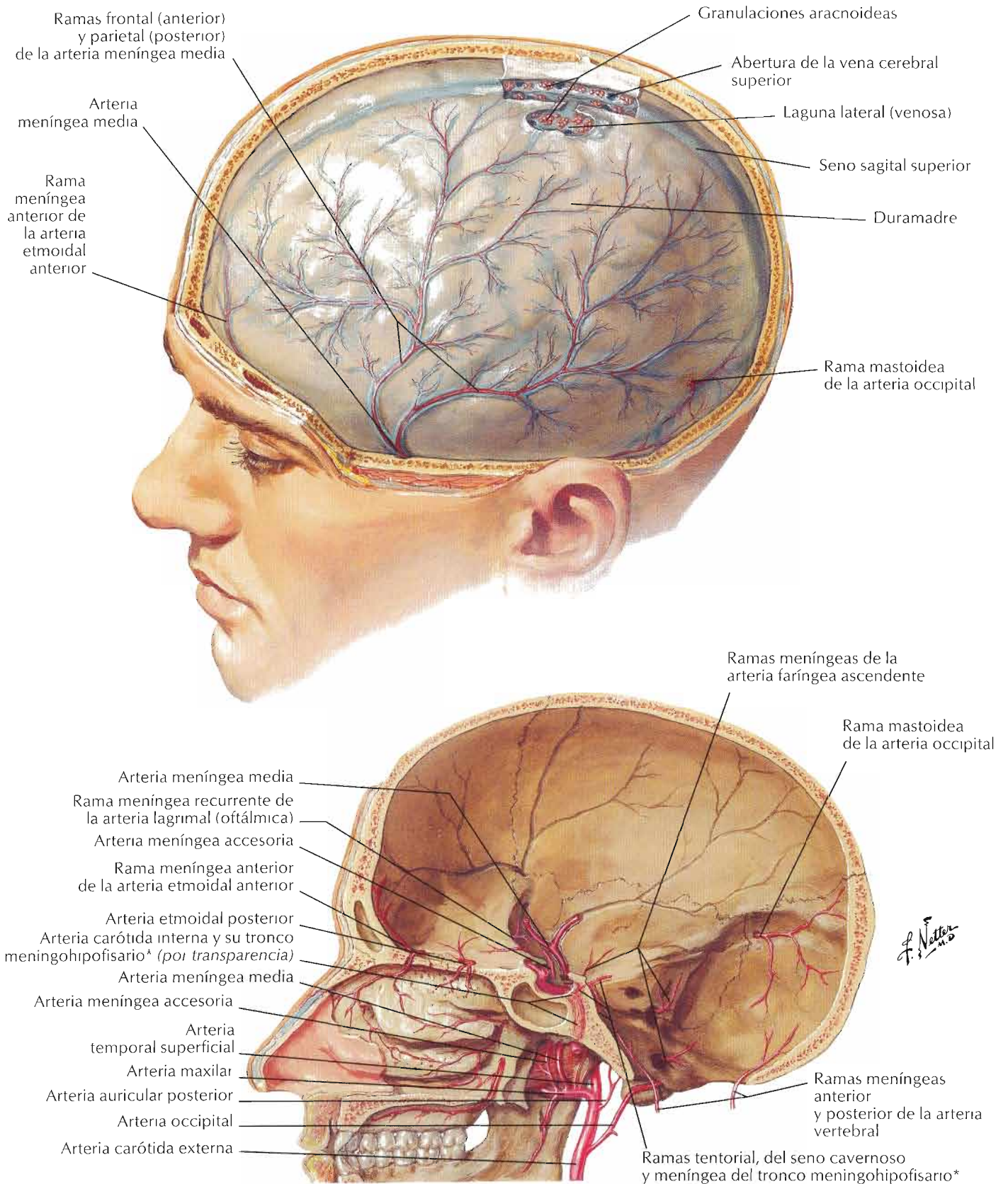
F. Netter M.D.

Trompa auditiva (faringotimpánica, de Eustaquio) cerrada por retroceso elástico del cartílago, turgencia tisular y tensión de los músculos salpingofaríngeos

Luz abierta principalmente cuando la inserción del músculo tensor del velo del paladar tira de la pared del tubo lateralmente durante la deglución



Véanse también láminas 40, 136



*Variables; frecuentemente estas ramas nacen directamente de la arteria carótida interna

Hematoma fosa temporal

Desplazamiento medial de los vasos cerebrales medios

Desviación de las estructuras normales de la línea media

Fractura craneal que cruza a la a. meníngica media

Compresión de la a. cerebral posterior

Hernia del lóbulo temporal por debajo de la tienda del cerebelo

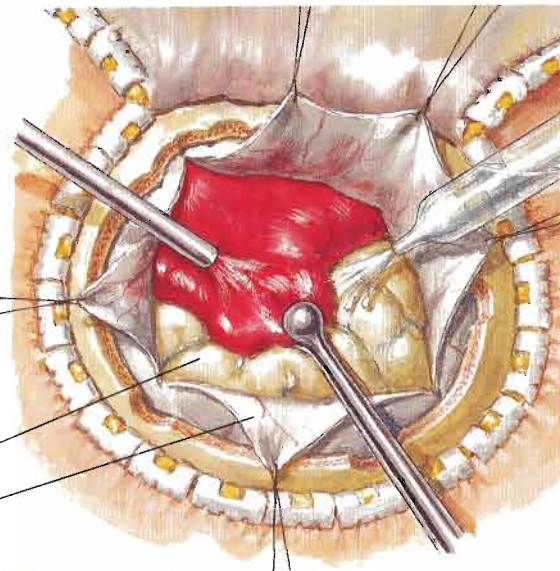
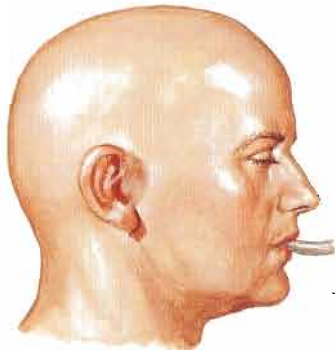
La desviación del tronco del encéfalo hacia el lado opuesto puede invertir la lateralización de los signos por presión de la tienda sobre las vías contralaterales.



Compresión del n. oculomotor (III) que provoca dilatación de la pupila ipsilateral y parálisis de los músculos que inerva el 3.º n. craneal

Hernia de la amígdala cerebelosa

La compresión de las vías corticoespirales y asociadas provoca hemiparesia contralateral, hiperreflexia tendinosa profunda y signo de Babinski



Incisión cutánea «en signo de interrogación» (negro); esbozo del colgajo de hueso libre y agujeros de trepanación (rojo)

Cerebro
Duramadre

Colgajo cutáneo reflejado (control de la hemorragia con clips de Raney). Se retira el colgajo de hueso libre y se abre la duramadre. Se elimina el coágulo mediante irrigación, succión y pinzas.

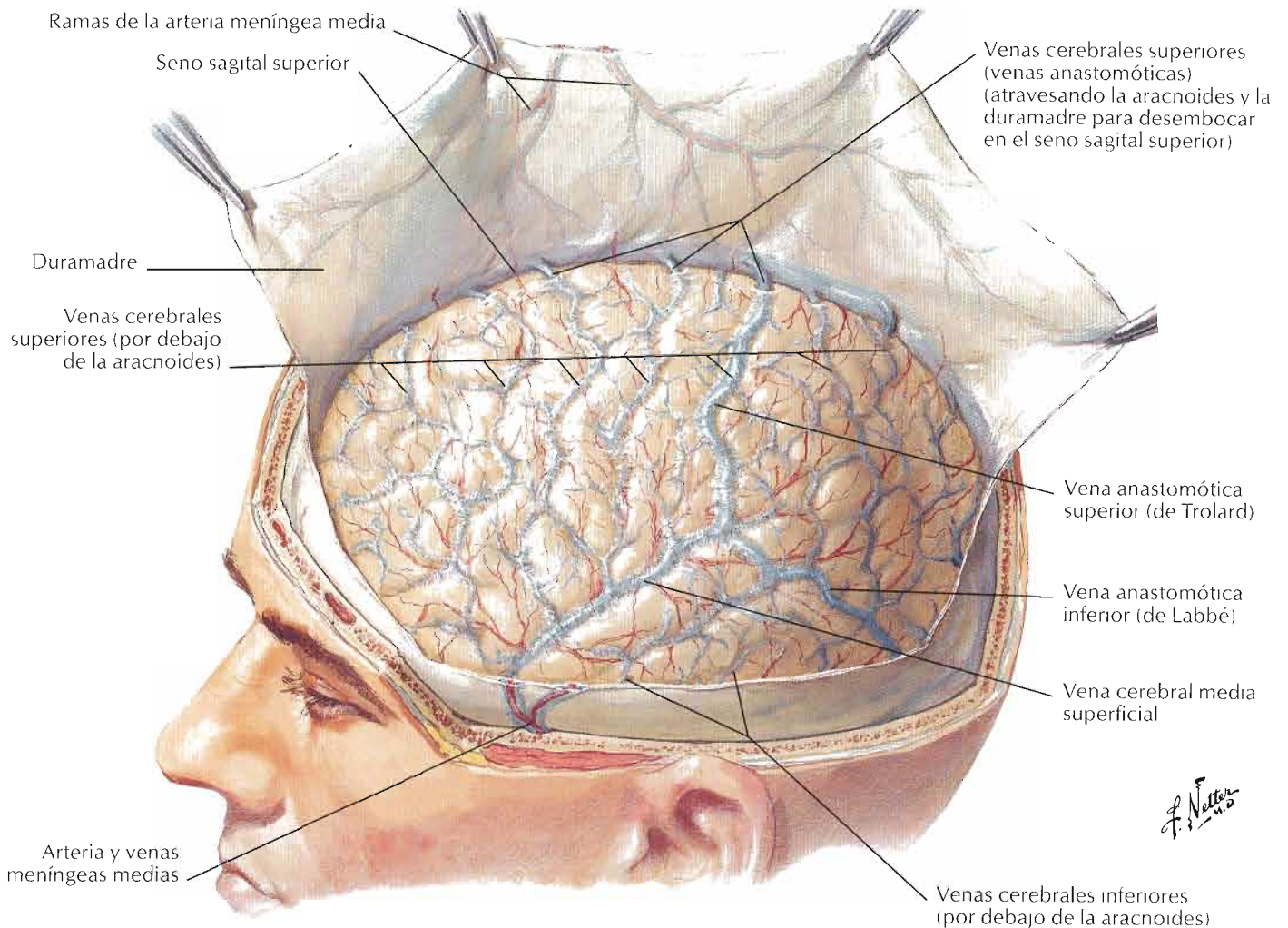
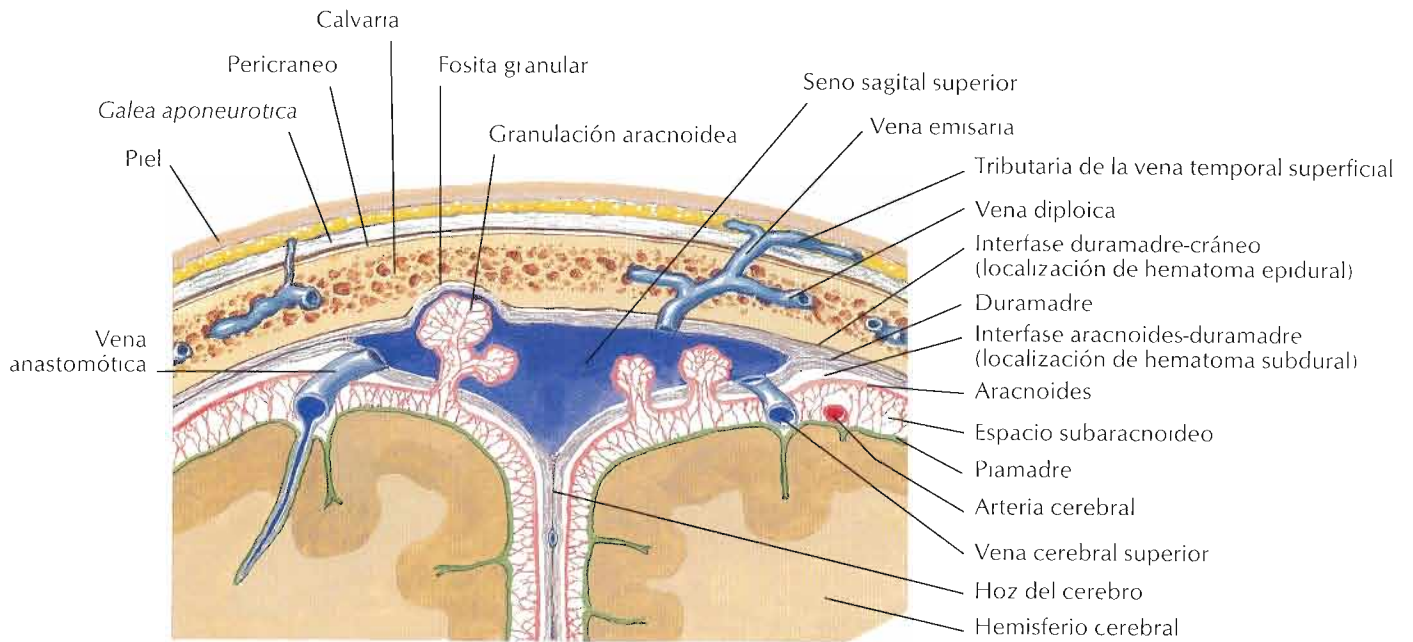


Estallido

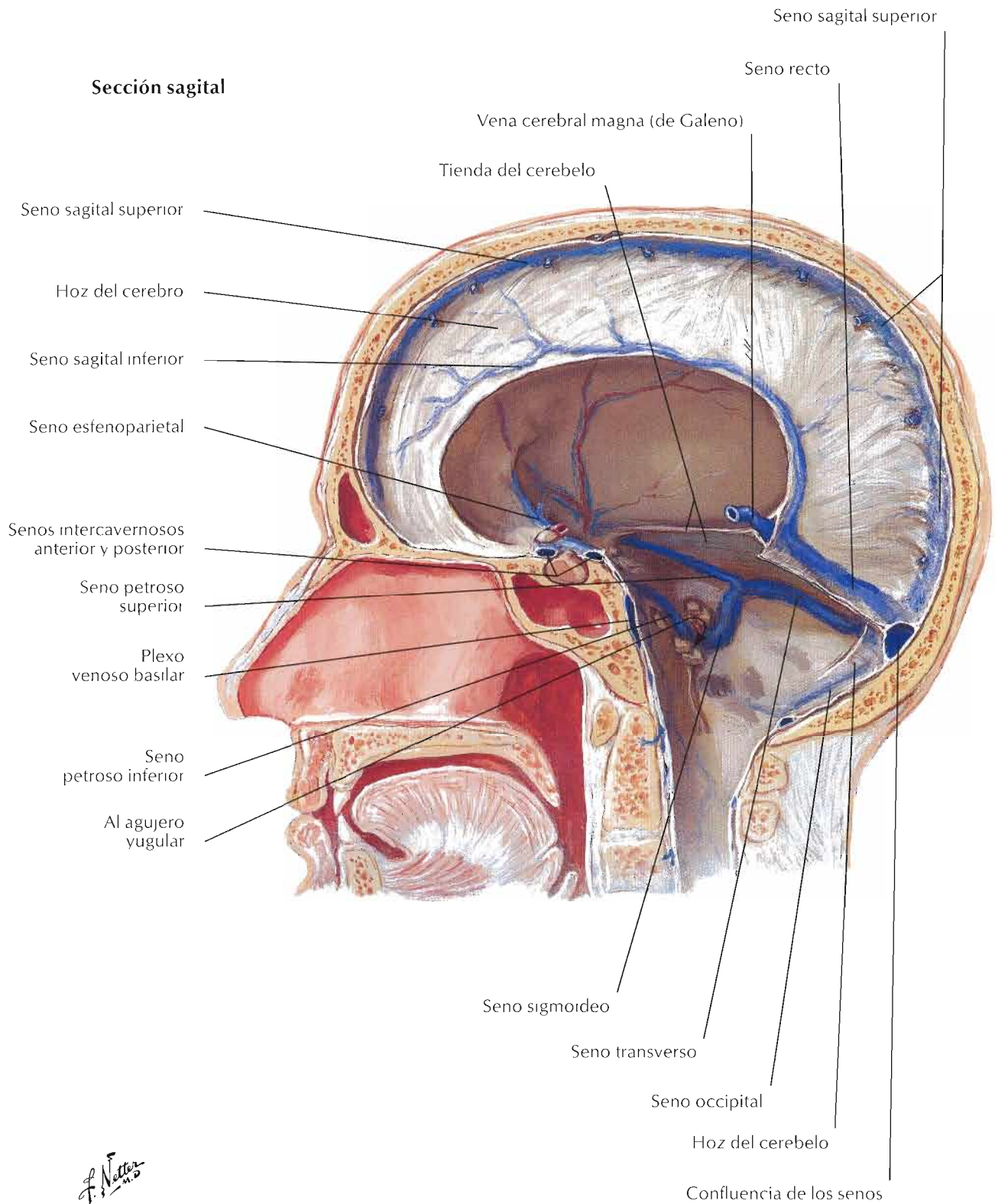
Sección que muestra un hematoma subdural agudo en el lado derecho y un hematoma subdural asociado con hematoma cerebral del lóbulo temporal («estallido» del lóbulo temporal) en el izquierdo.

Meninges y venas cerebrales superficiales

Para las venas profundas del cerebro véase **lámina 145**



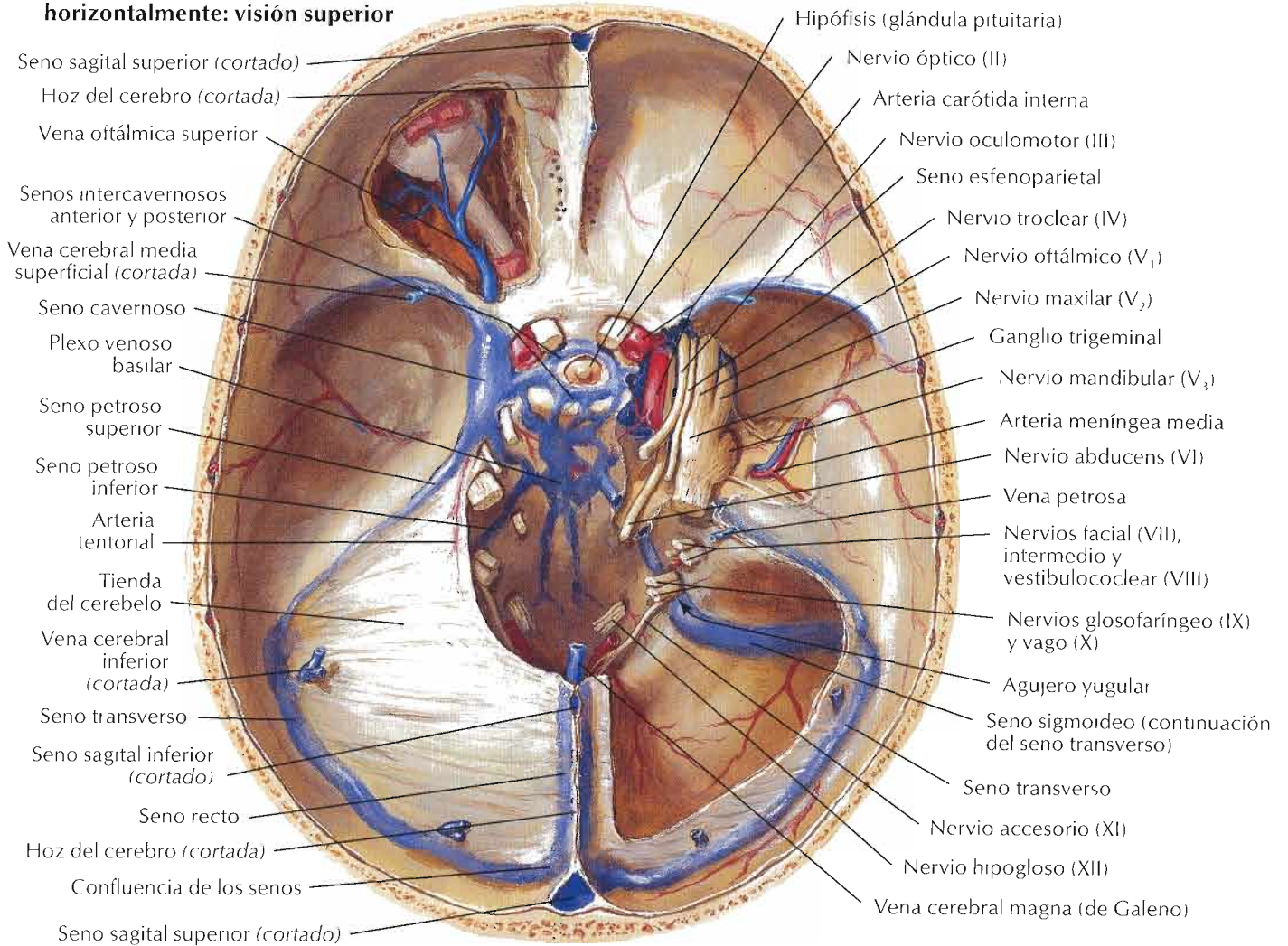
F. Netter M.D.



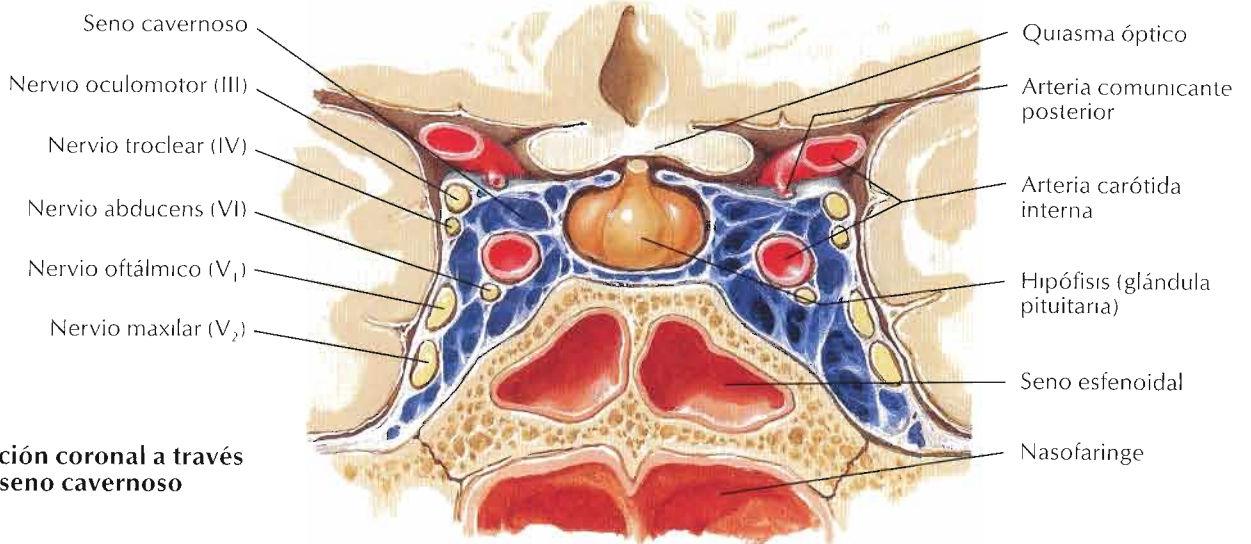
Senos venosos de la duramadre (continuación)

Véase también lámina 85

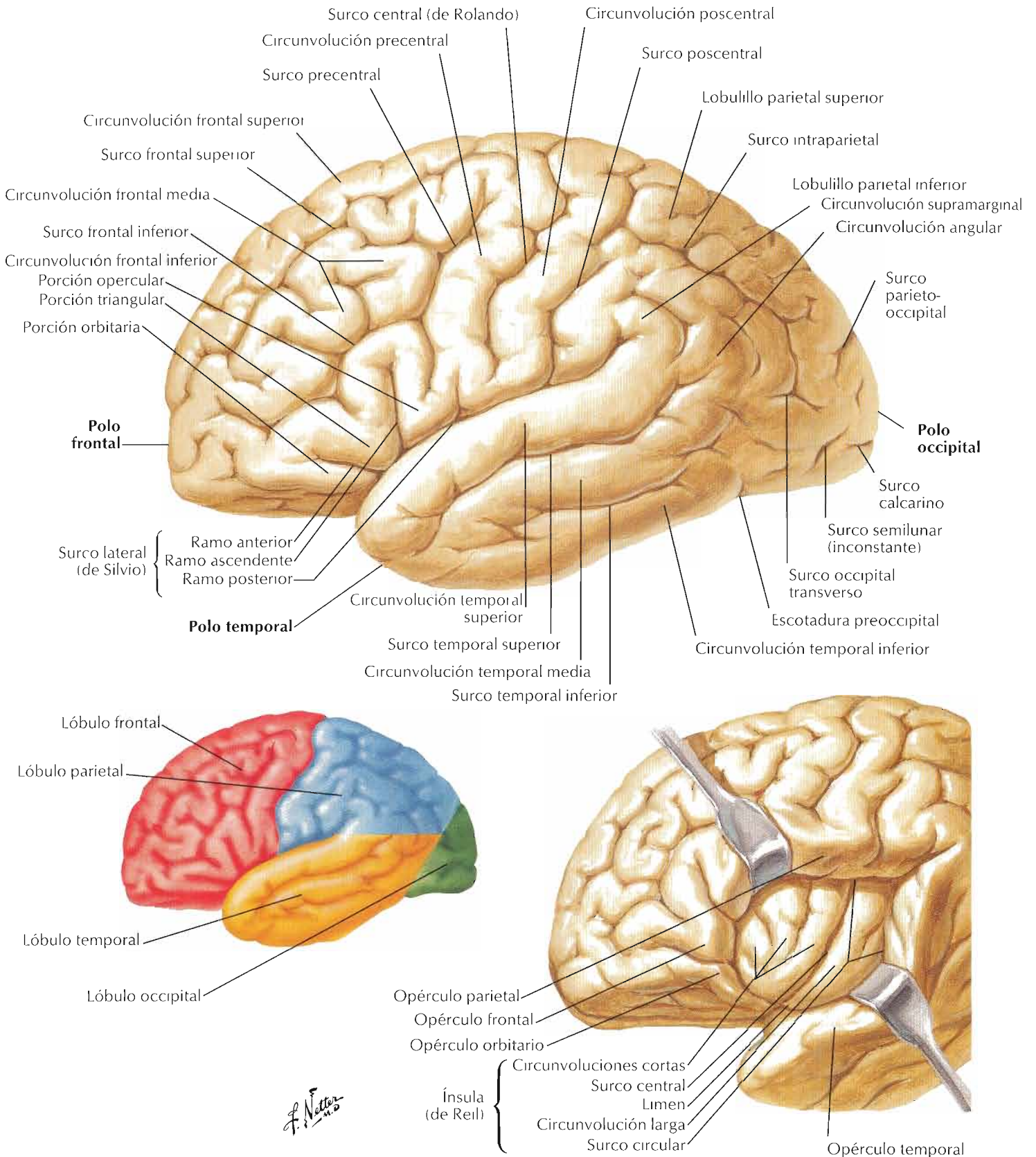
Cráneo seccionado horizontalmente: visión superior



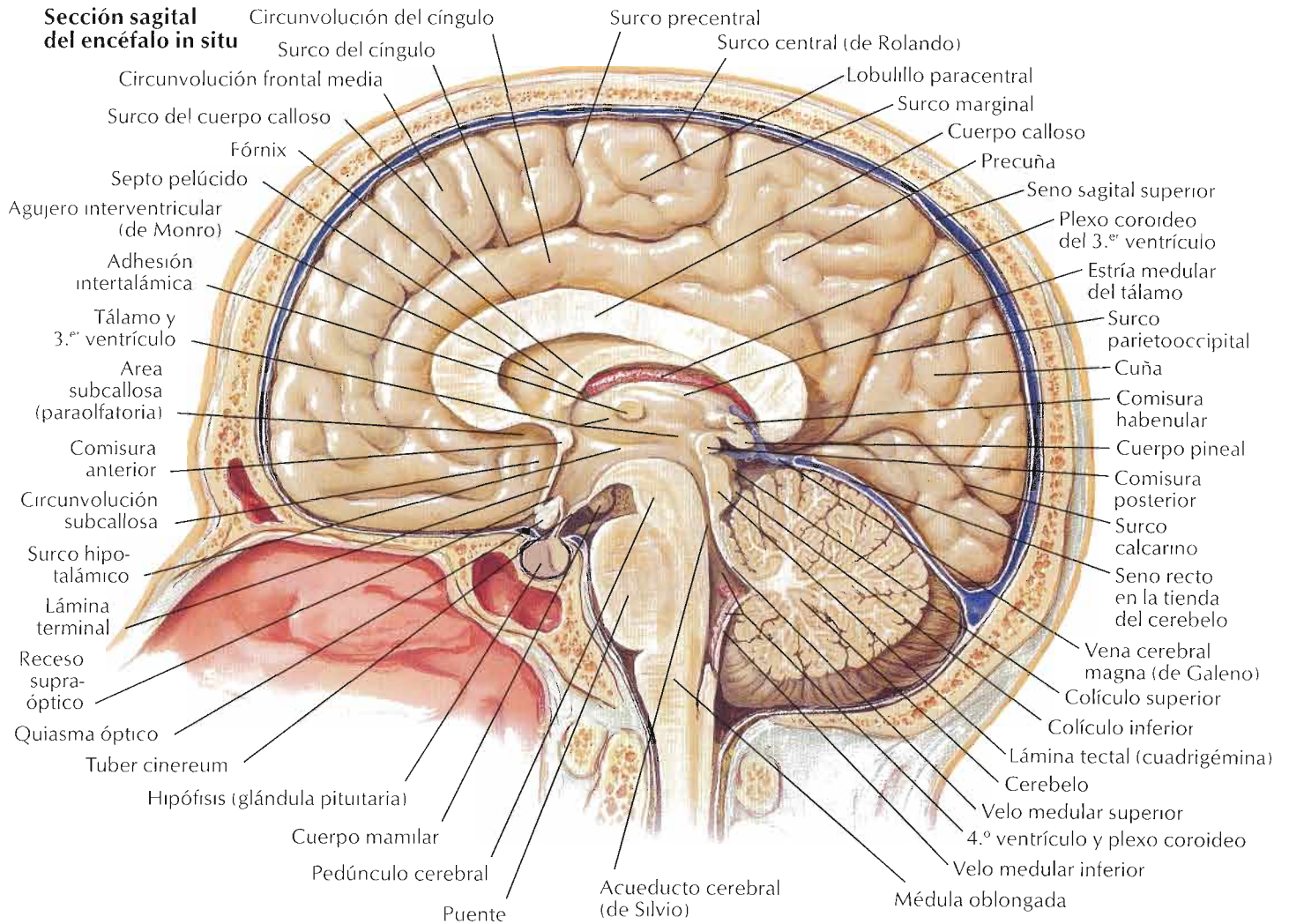
F. Netter M.D.



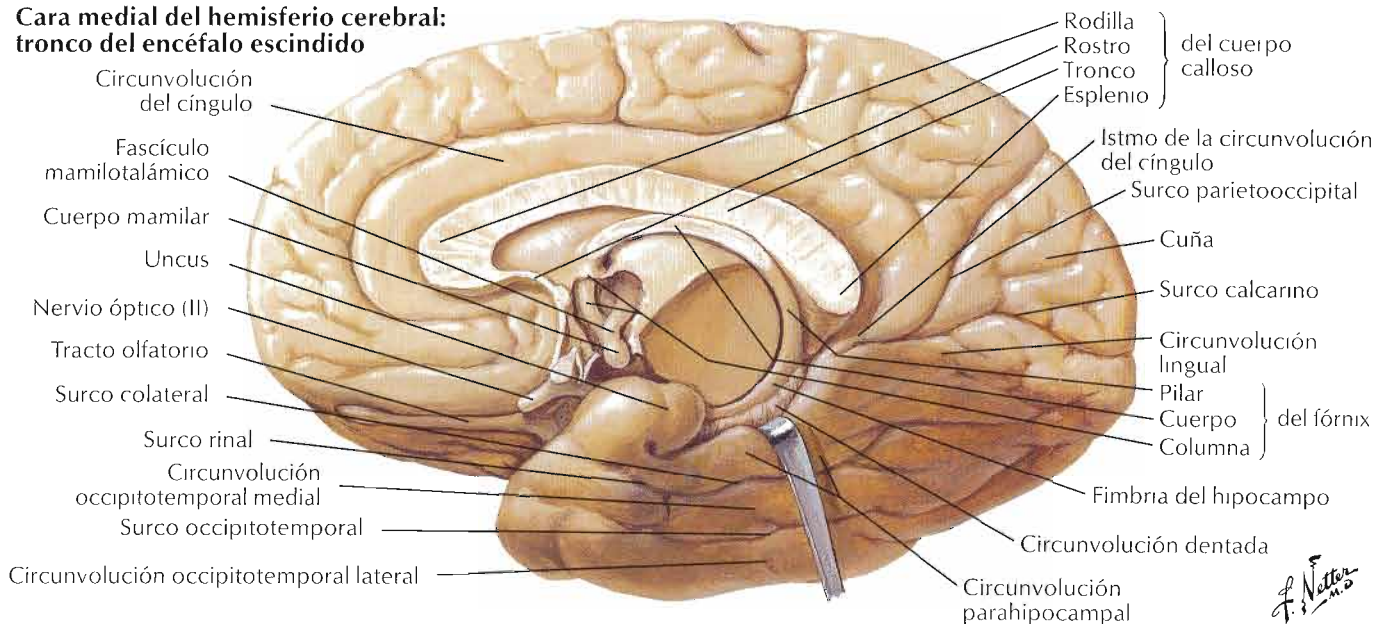
Sección coronal a través del seno cavernoso



Para la hipófisis véase **lámina 147**



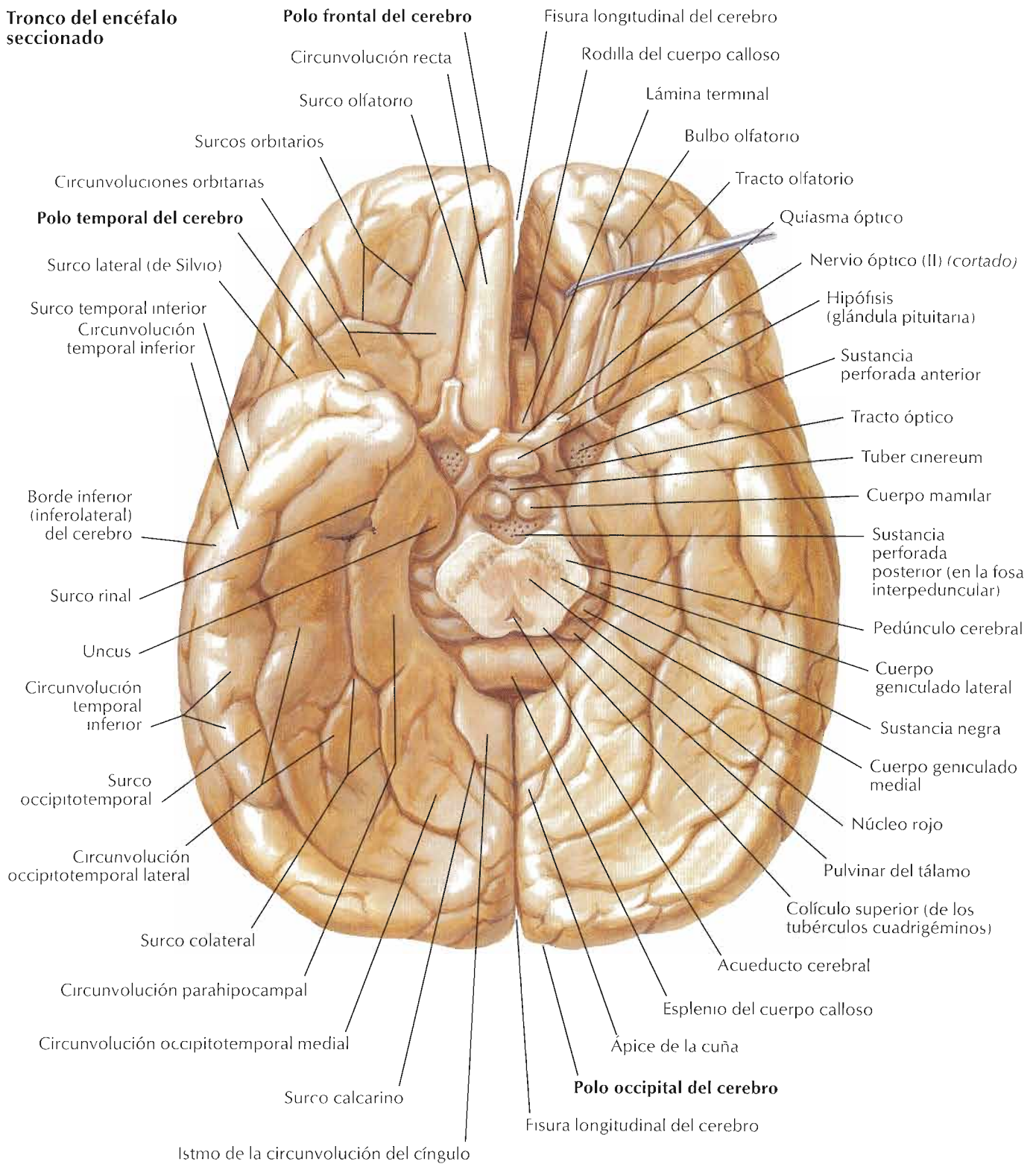
Cara medial del hemisferio cerebral: tronco del encéfalo escindido



F. Netter M.D.

Para la hipófisis véase lámina 147

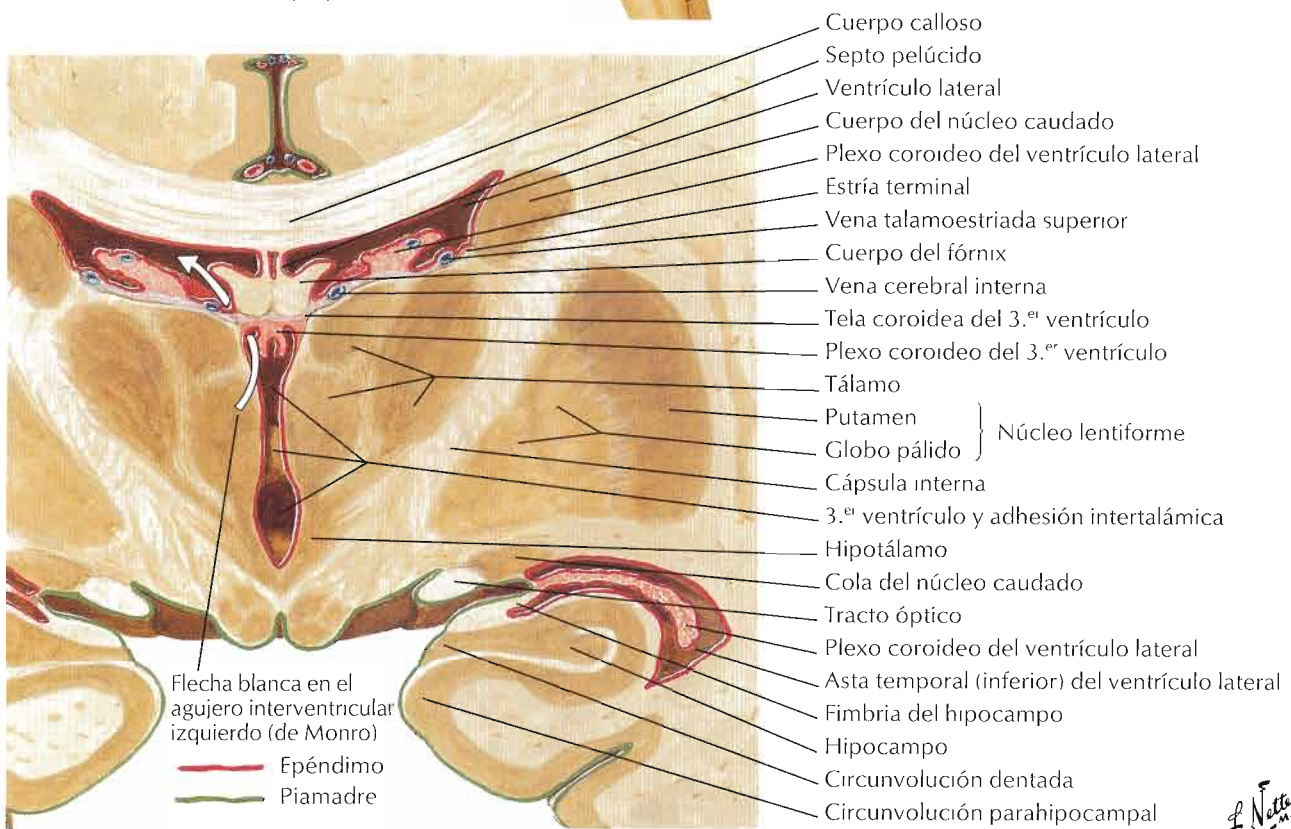
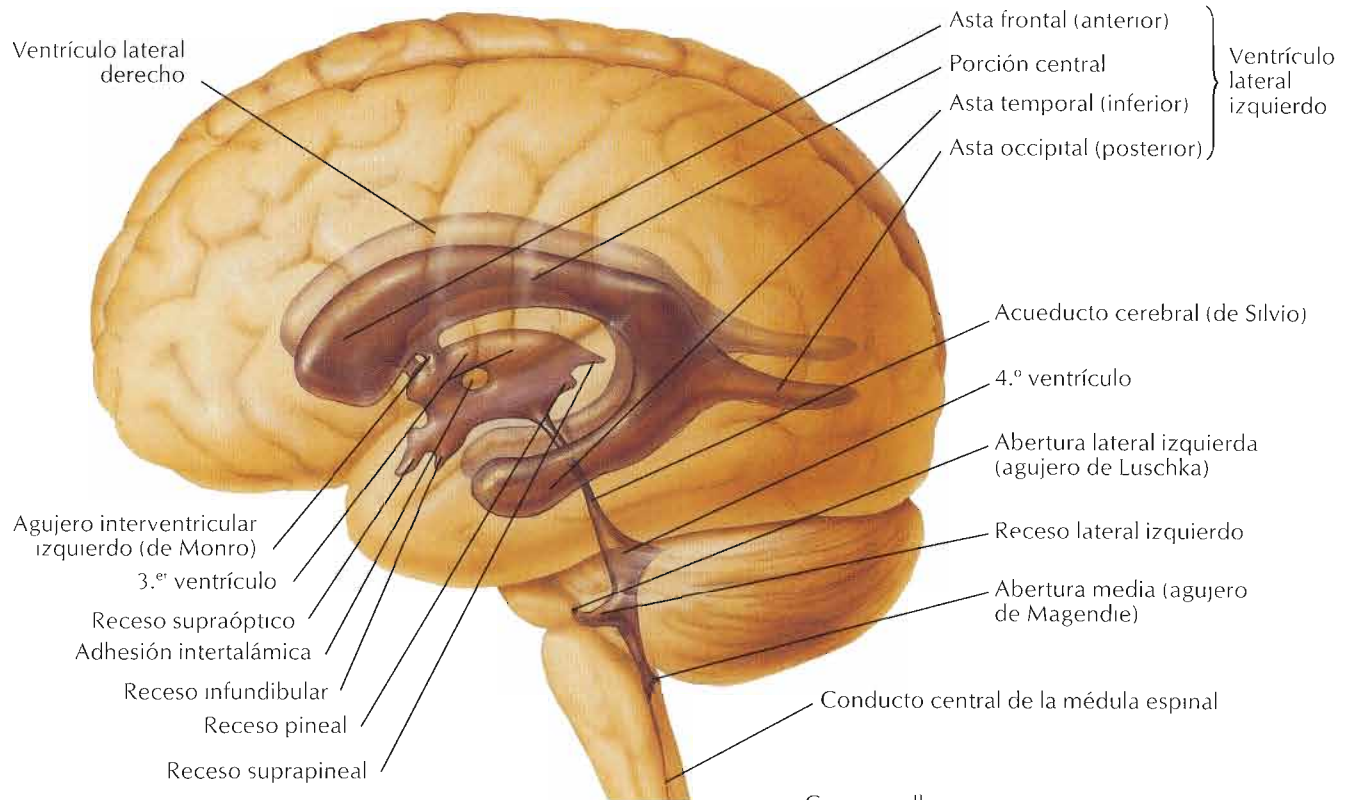
Tronco del encéfalo seccionado



F. Netter M.D.

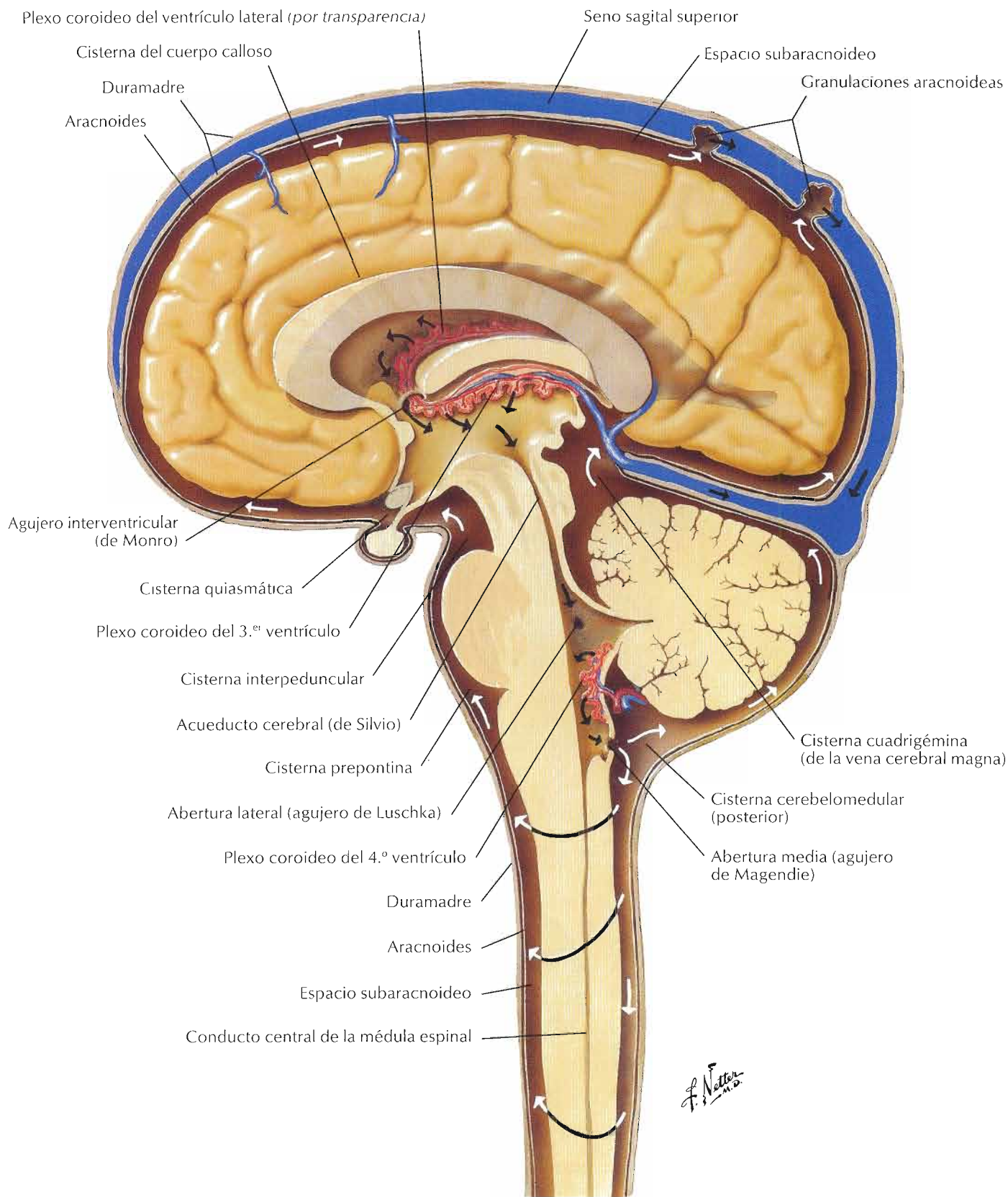
Ventrículos del encéfalo

Visión lateral izquierda por transparencia



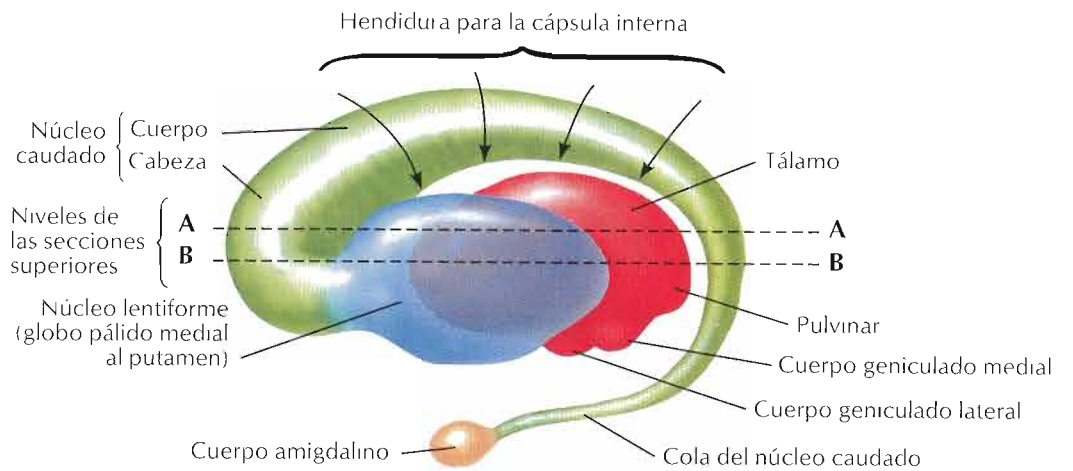
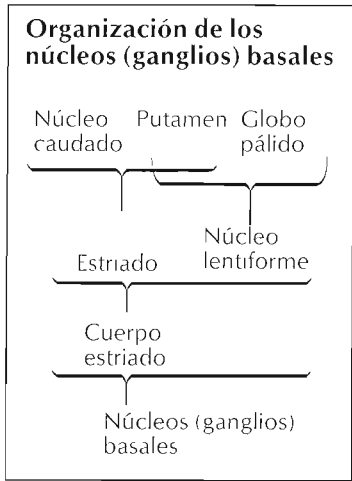
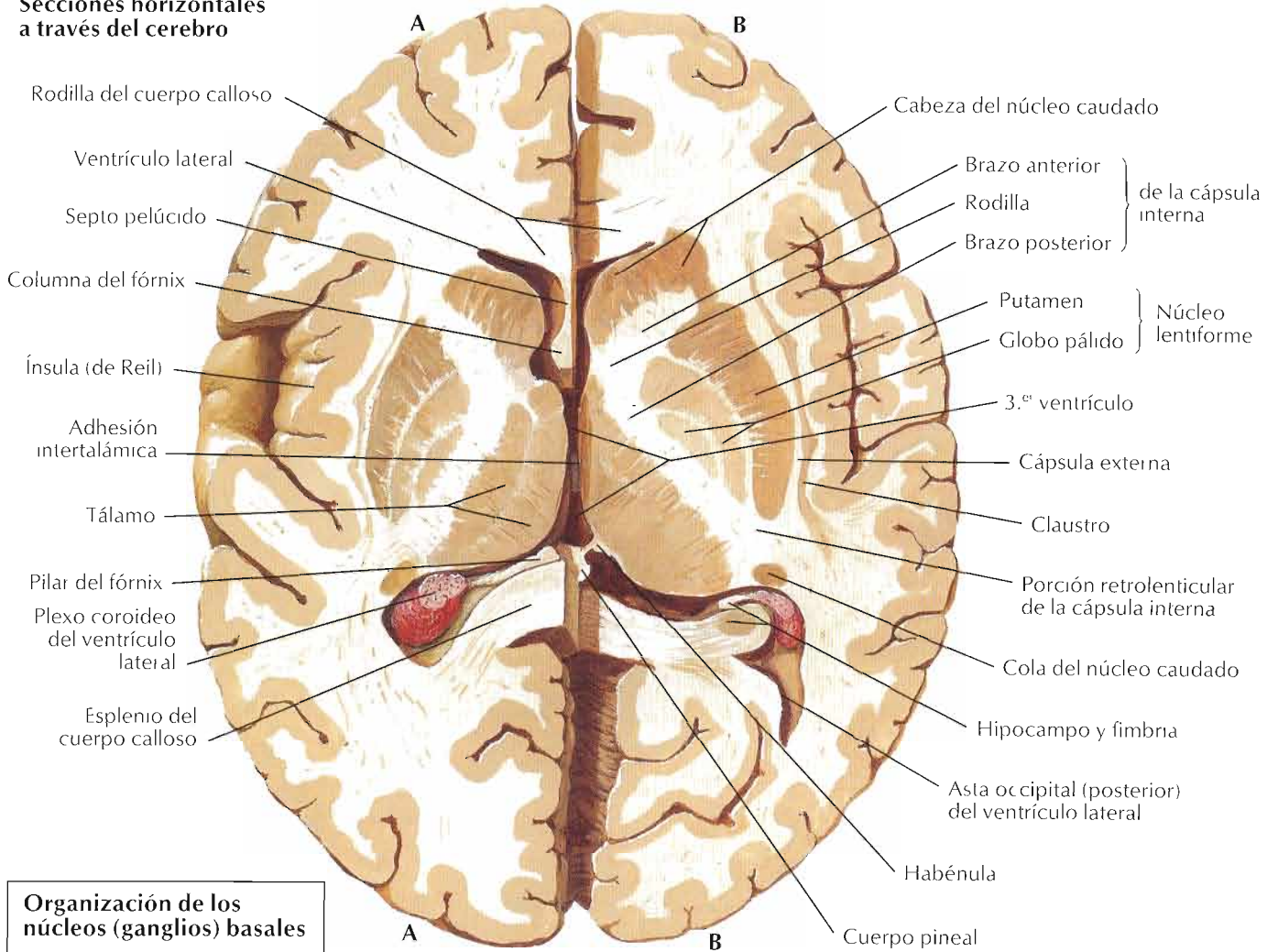
Sección coronal del cerebro: visión posterior

F. Netter M.D.



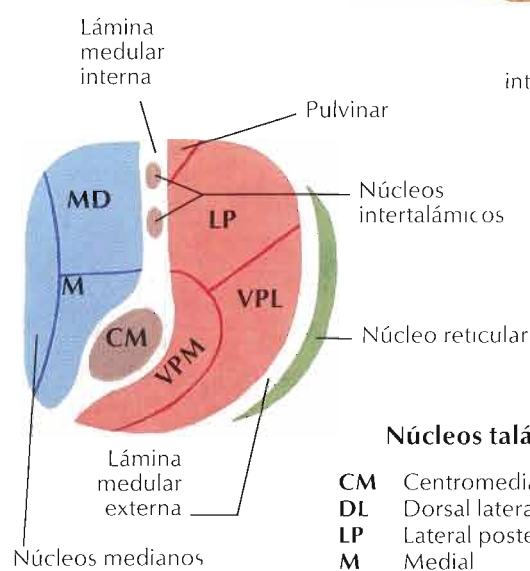
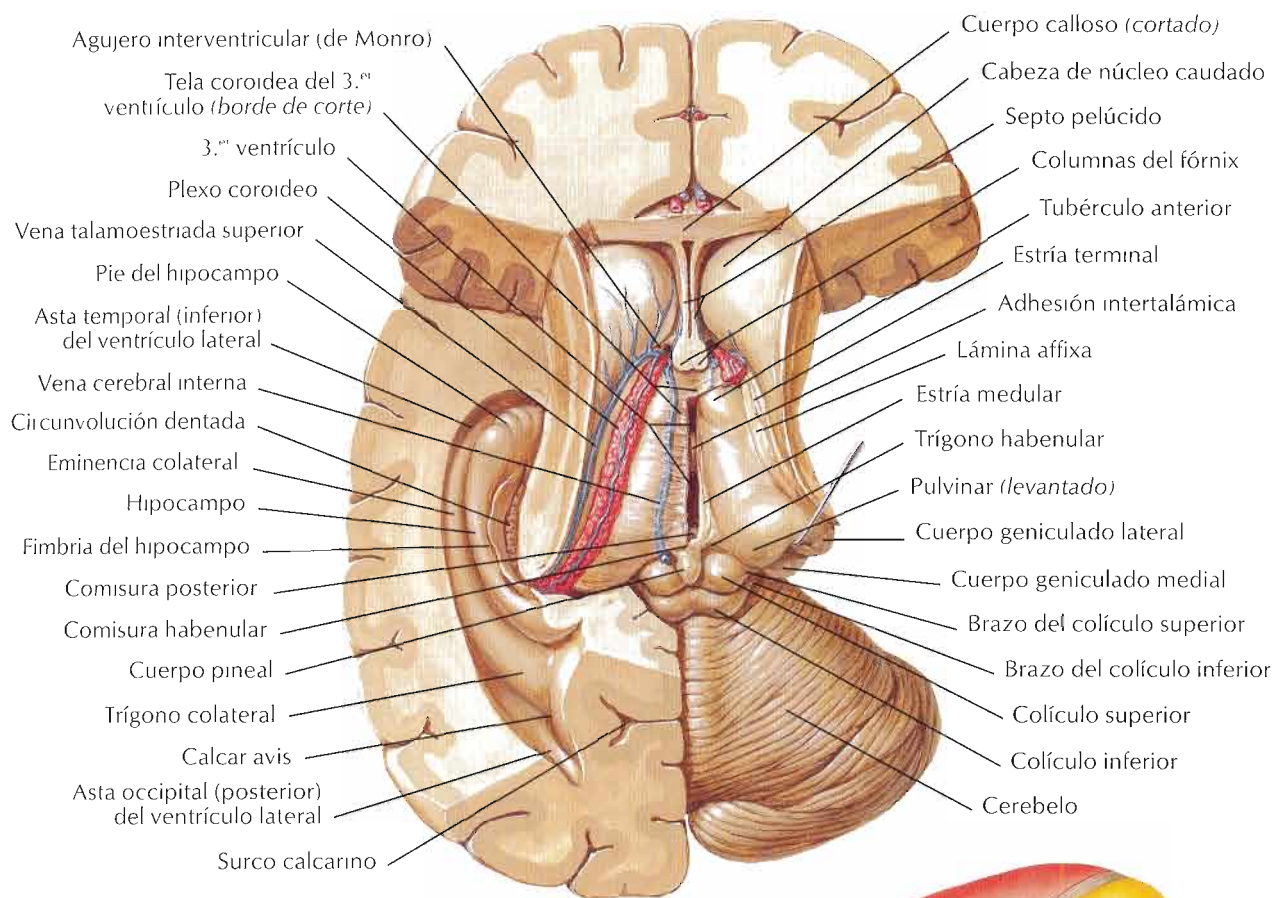
Núcleos (ganglios) basales

Secciones horizontales a través del cerebro



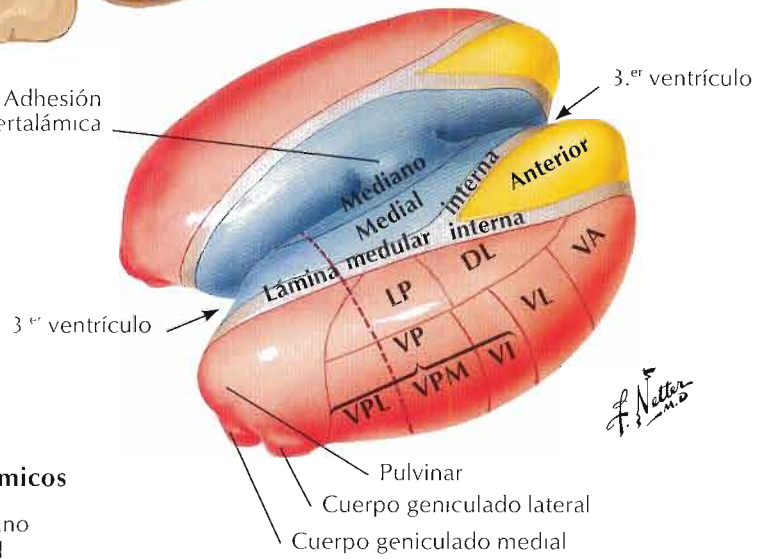
Interrelaciones del tálamo, núcleo lentiforme, núcleo caudado y cuerpo amigdalino (esquema): visión lateral izquierda

F. Netter M.D.



Sección esquemática a través del tálamo
(a nivel de la línea discontinua que se muestra en la figura de la derecha)

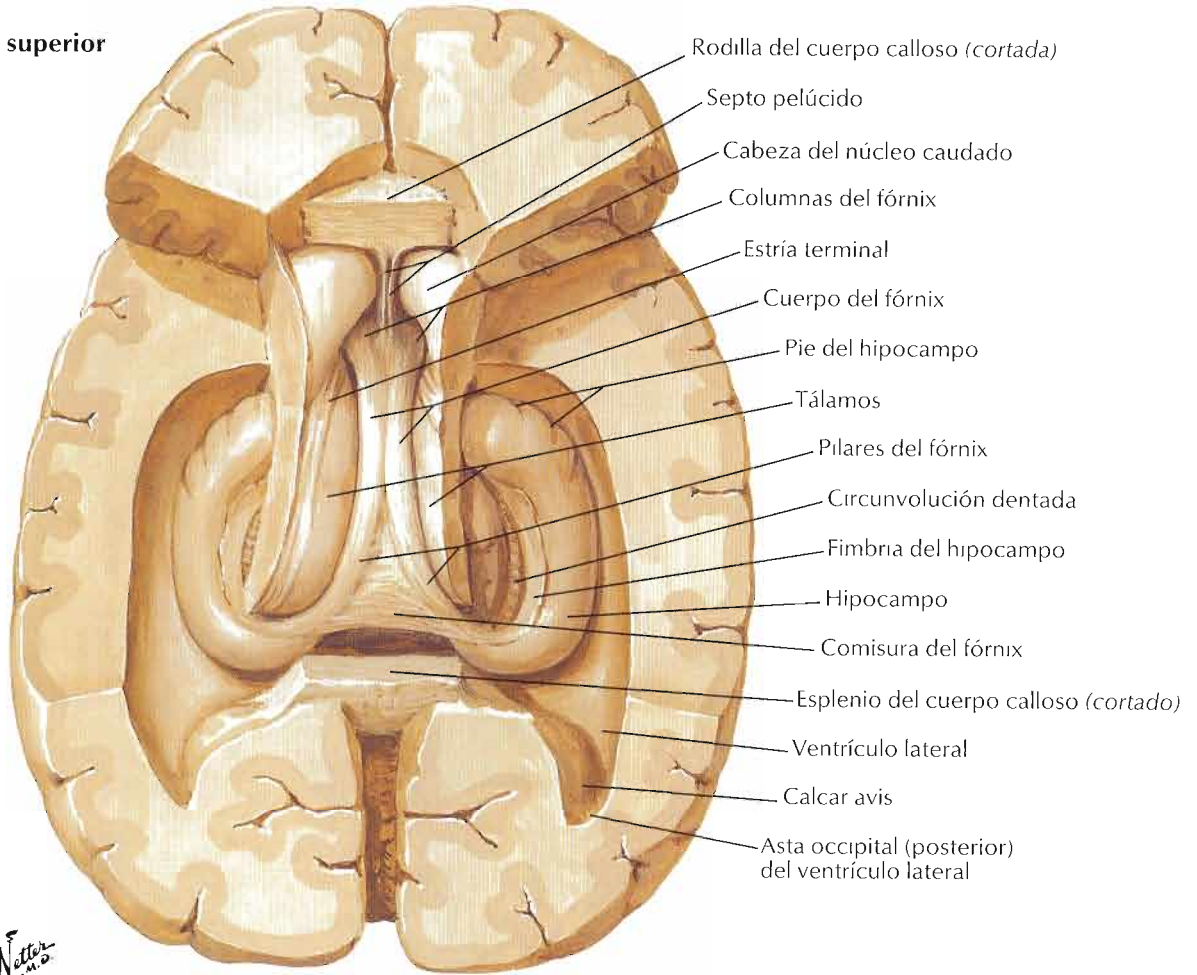
- Núcleos talámicos**
- CM Centromediano
 - DL Dorsal lateral
 - LP Lateral posterior
 - M Medial
 - MD Mediodorsal
 - VA Ventral anterior
 - VI Ventral intermedio
 - VL Ventral lateral
 - VP Ventral posterior
 - VPL Ventral posterolateral
 - VPM Ventral posteromedial



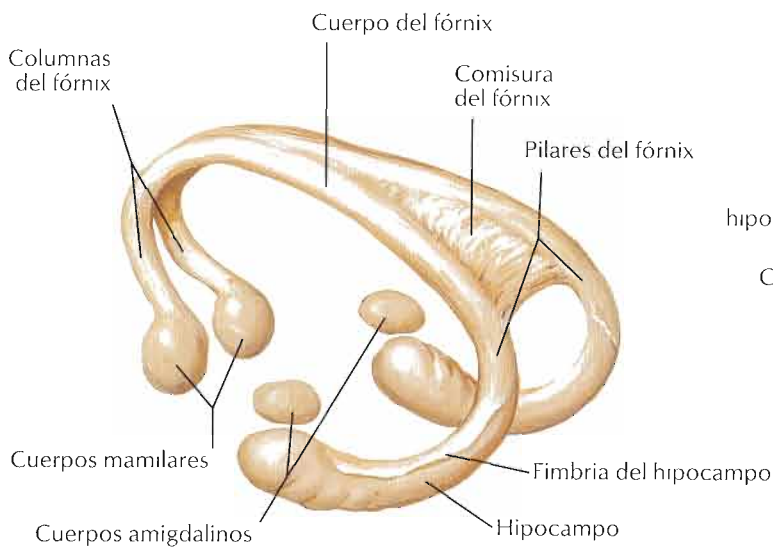
Representación esquemática del tálamo
(se han extirpado la lámina medular externa y los núcleos reticulares)

- Núcleos laterales
- Núcleos mediales
- Núcleos anteriores

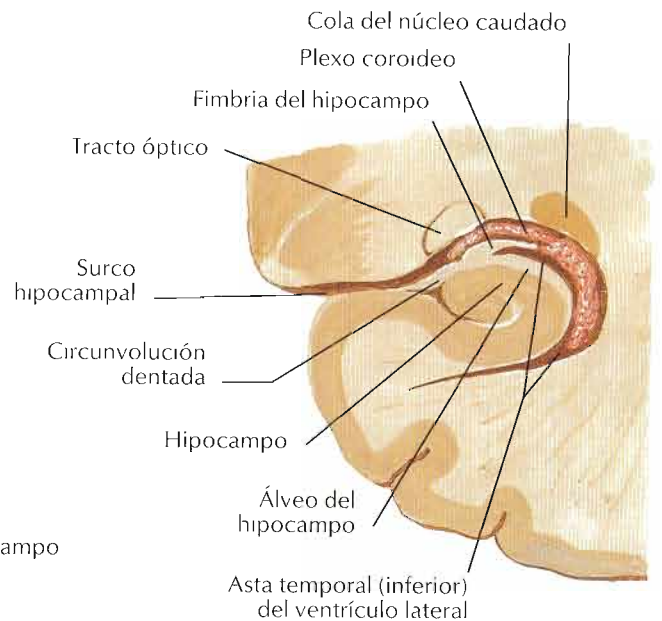
Disección superior



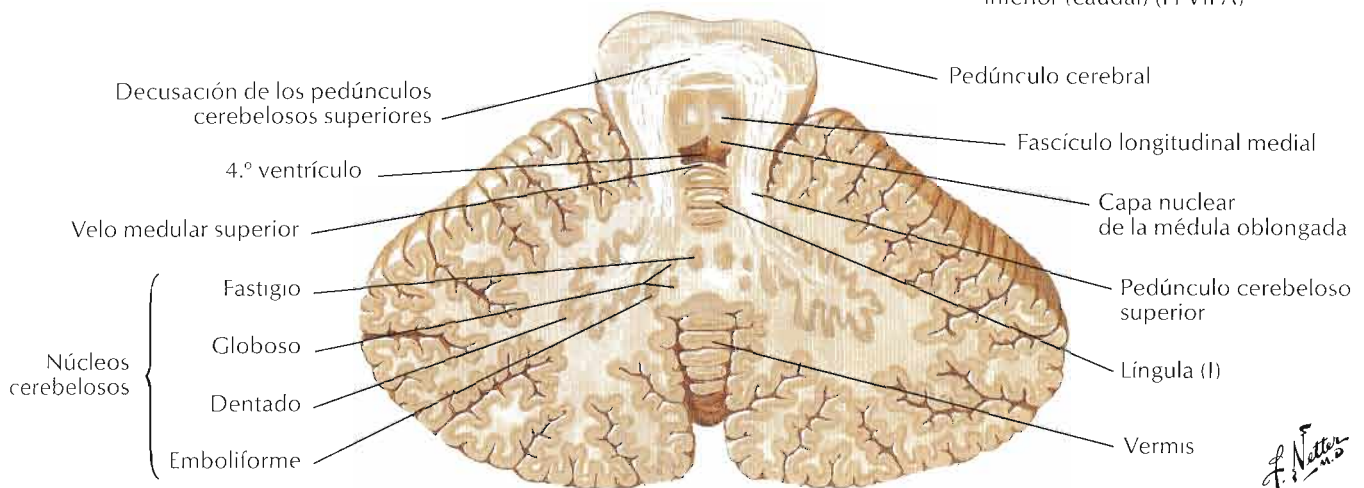
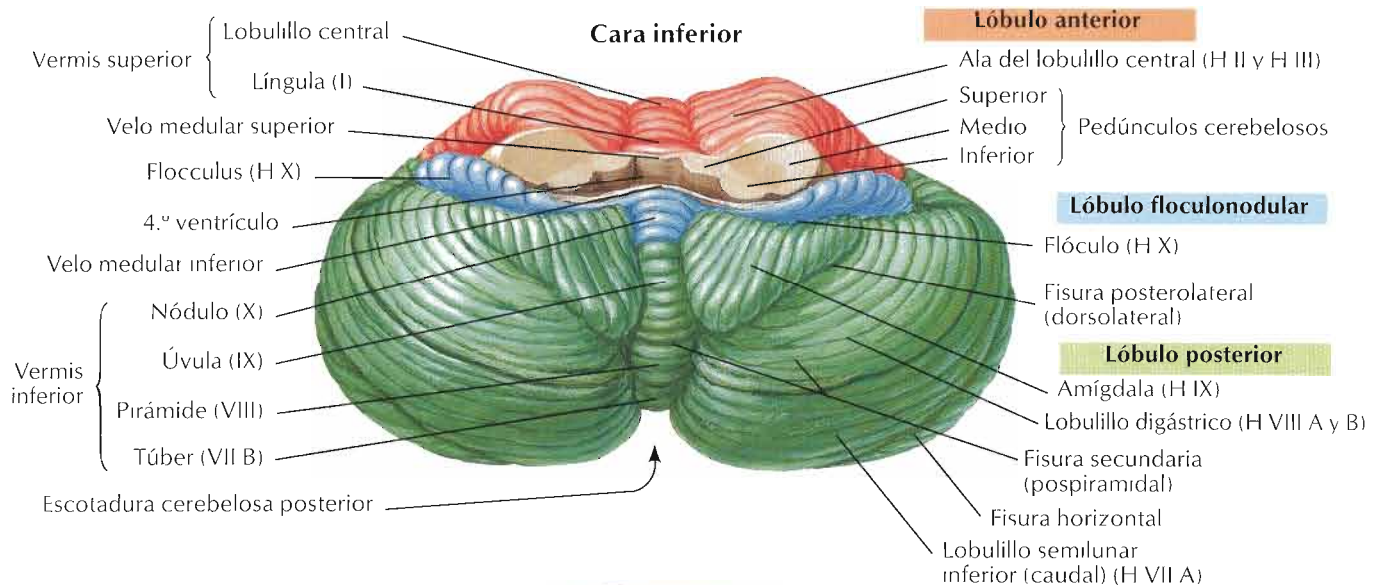
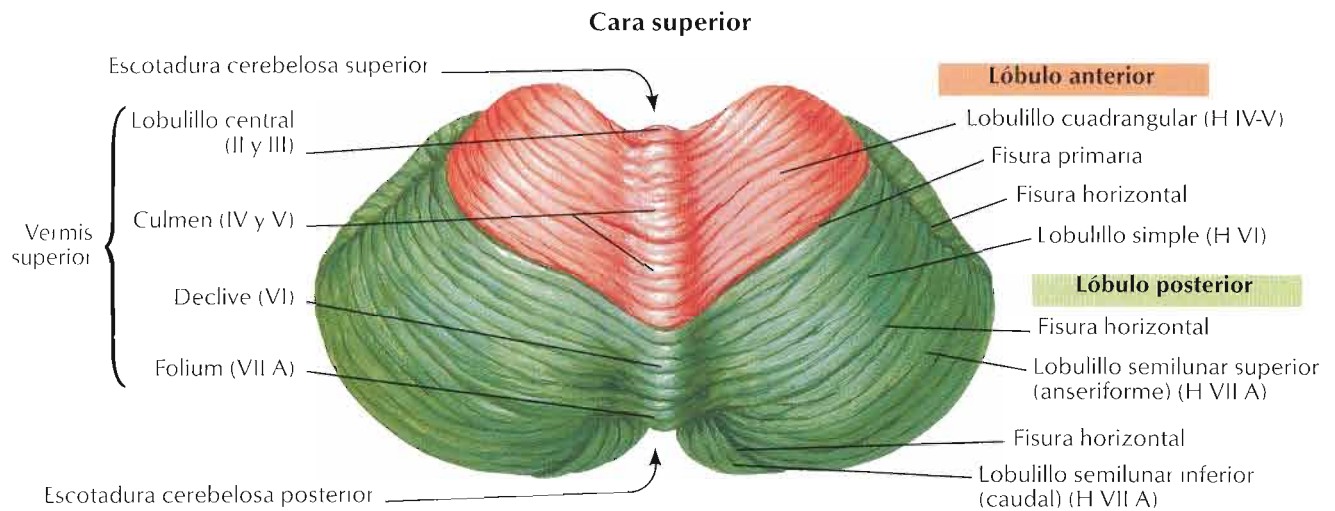
F. Netter M.D.



Fórnix: esquema



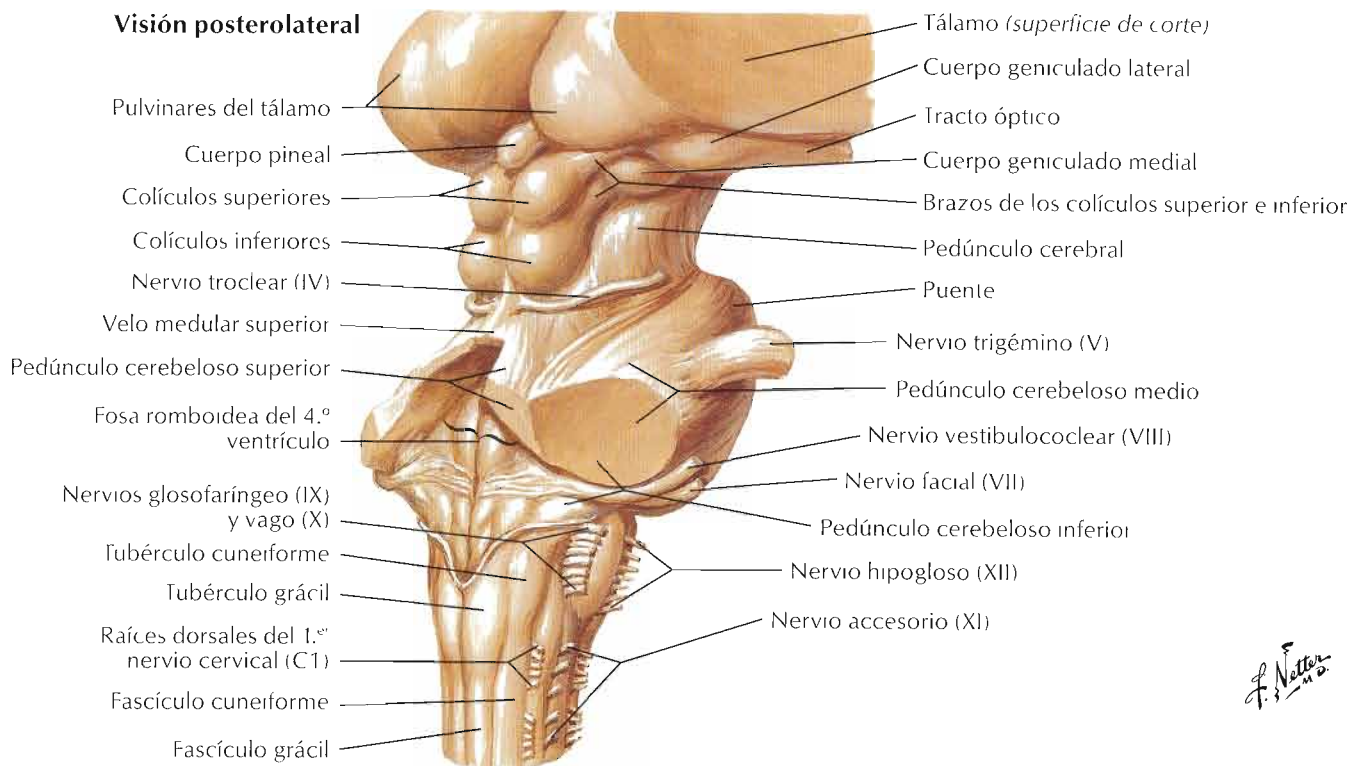
Sección coronal: visión posterior



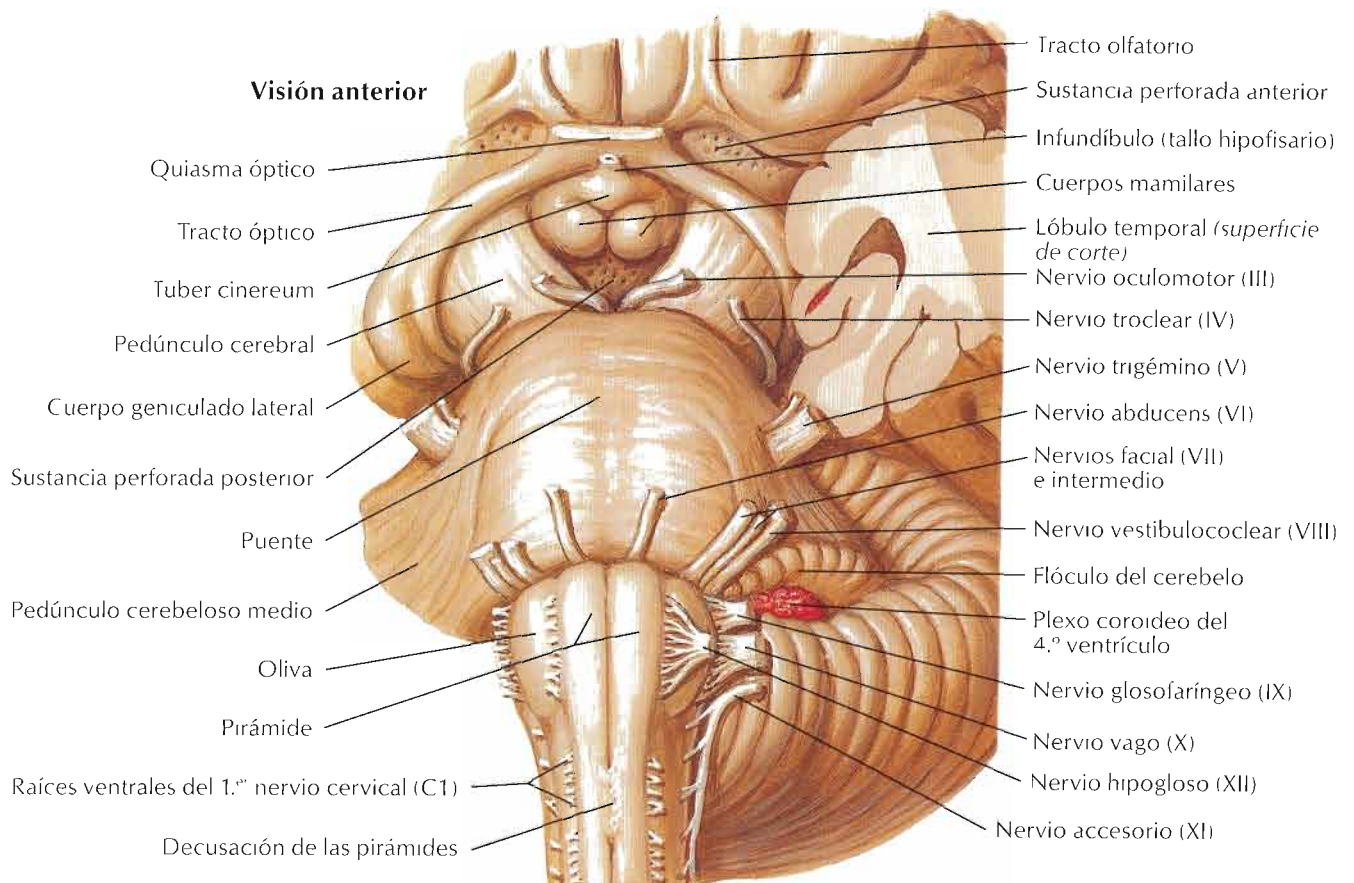
Sección en el plano del pedúnculo cerebeloso superior

F. Netter

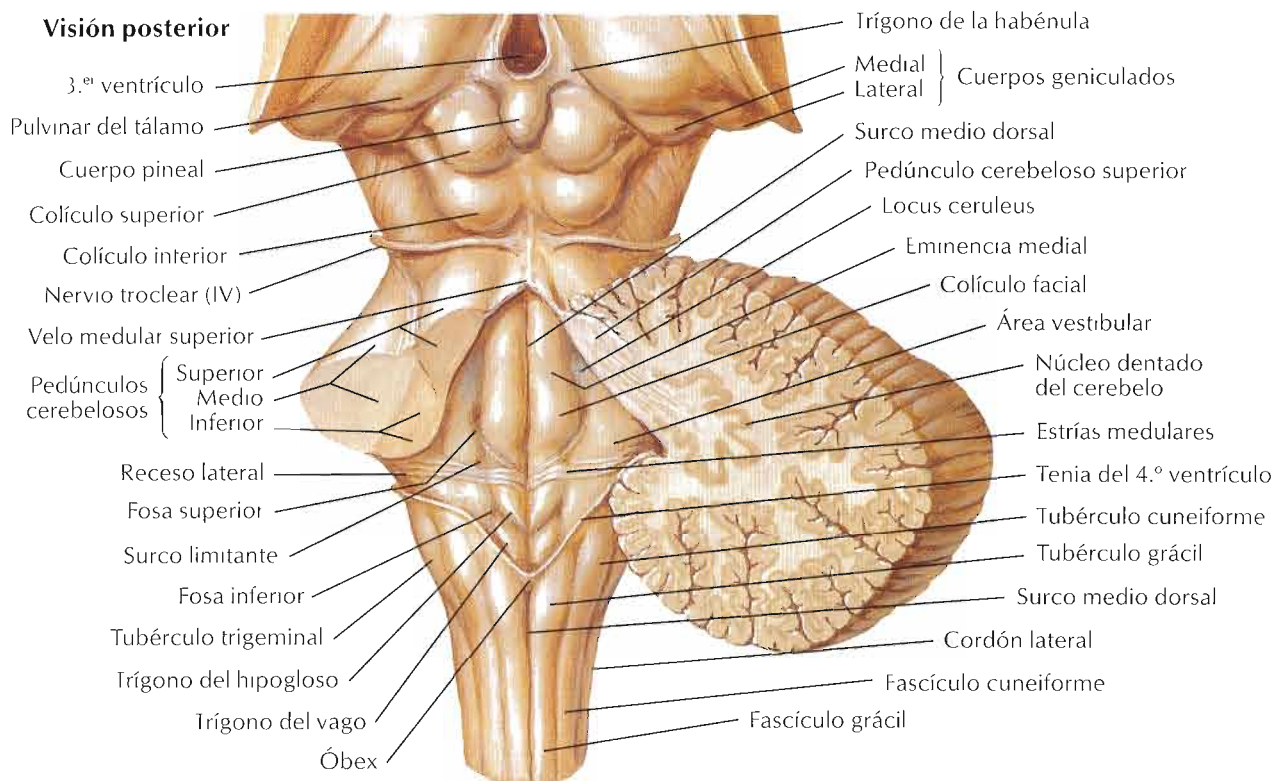
Visión posterolateral



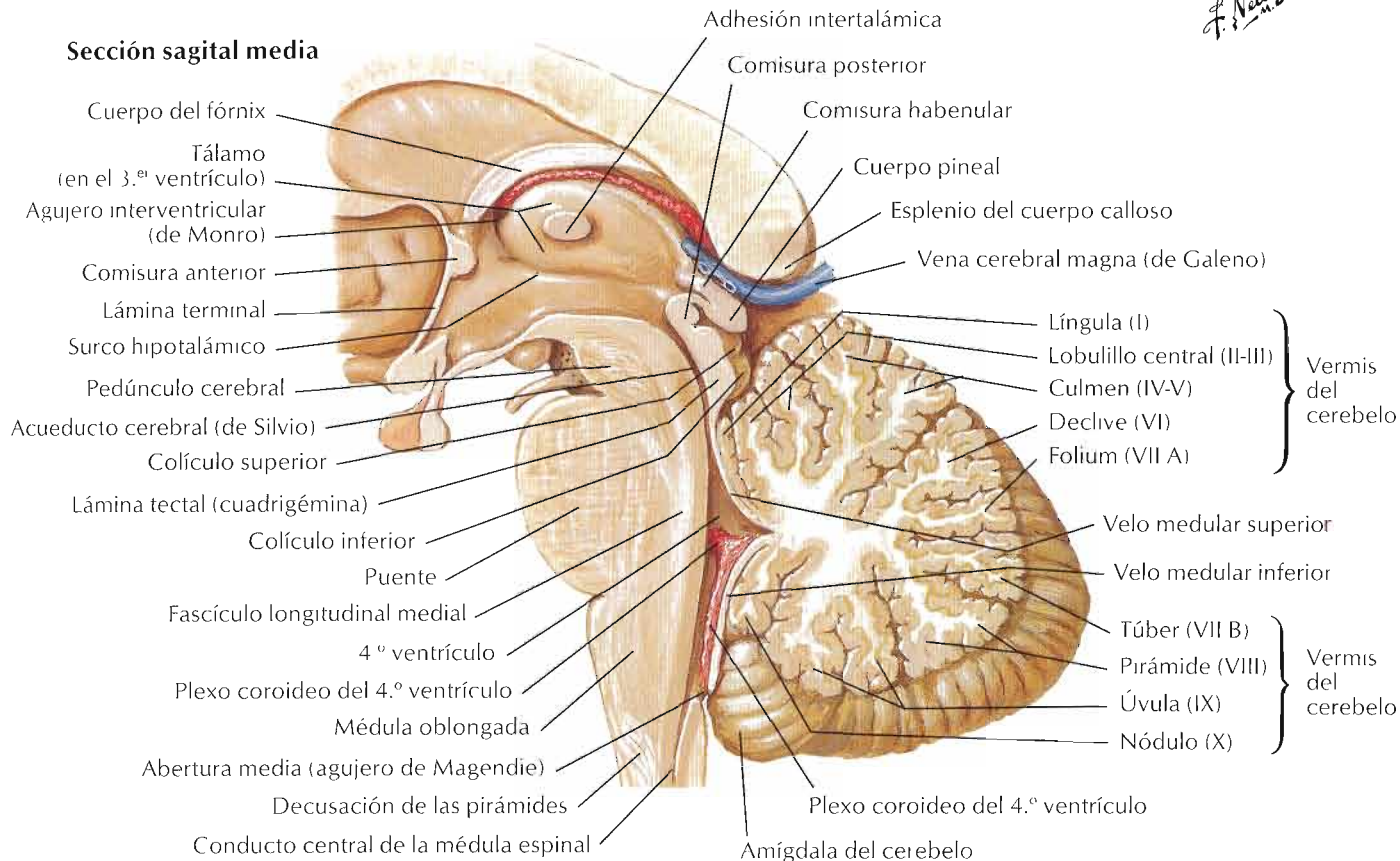
Visión anterior



Visión posterior

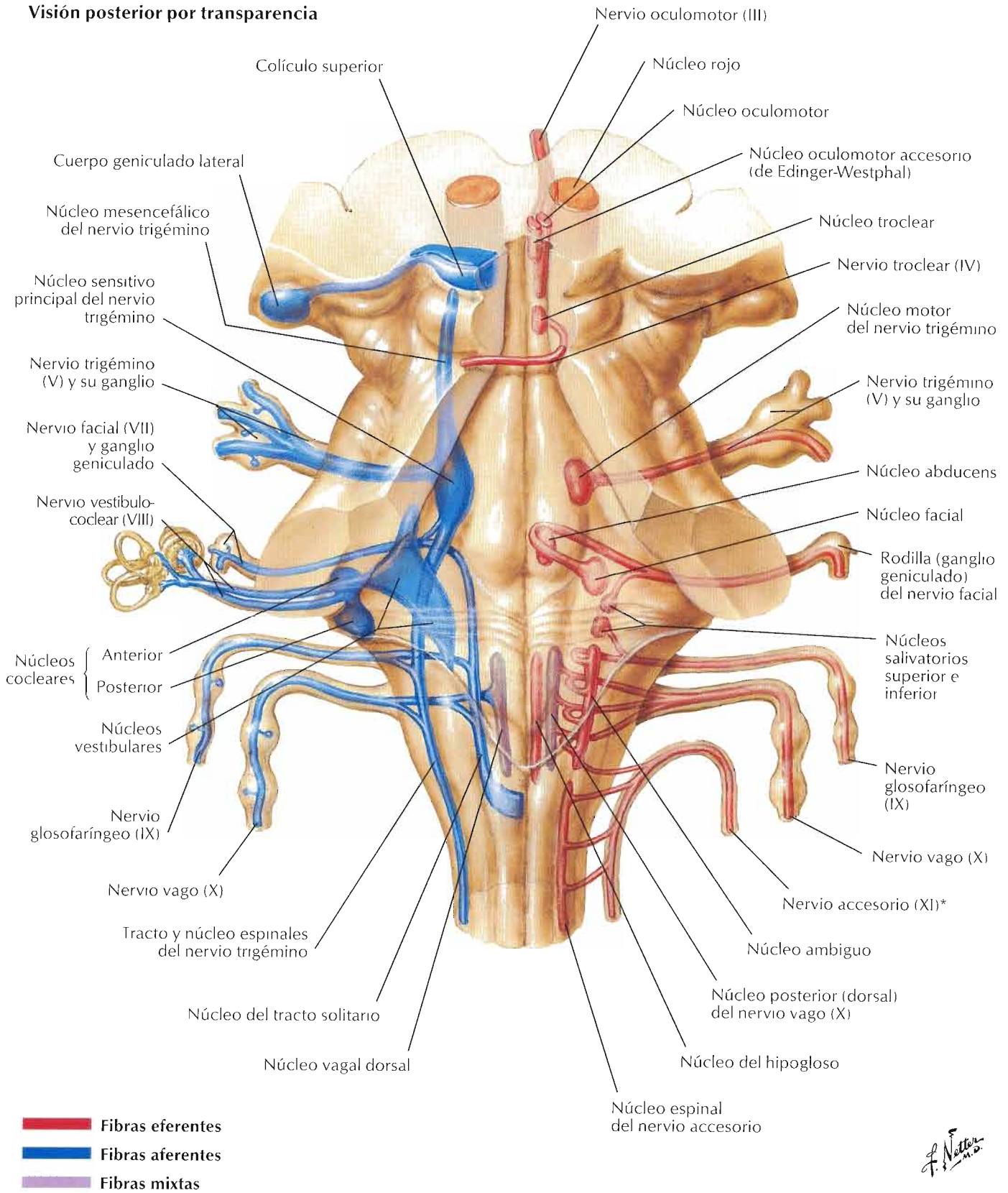


Sección sagital media



Núcleos de los nn. craneales en el tronco del encéfalo: esquema

Visión posterior por transparencia

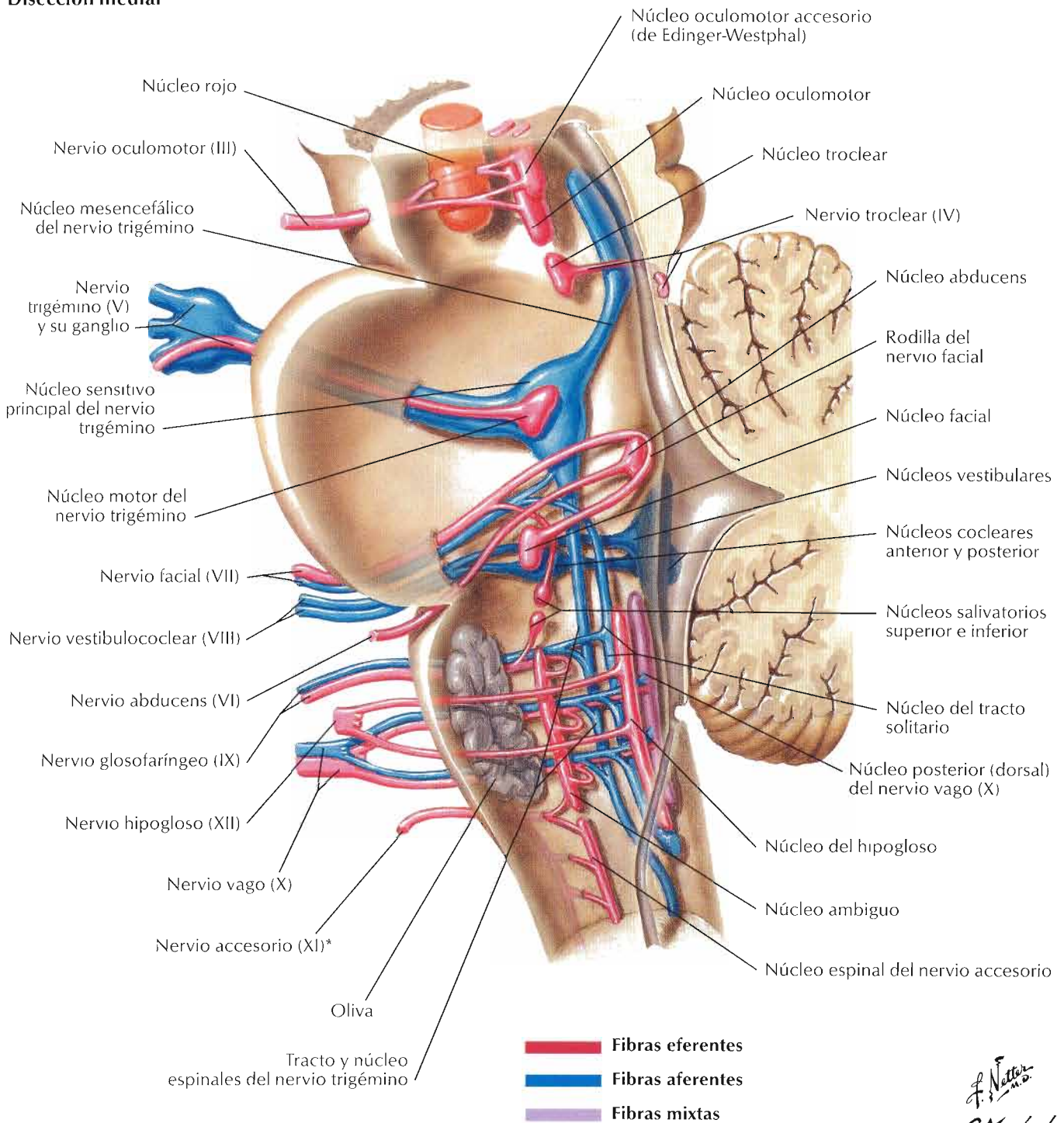


- █ Fibras eferentes
- █ Fibras aferentes
- █ Fibras mixtas

*Estudios recientes sugieren que el nervio accesorio carece de raíz craneal y que no tiene conexión con el nervio vago. La verificación de este dato depende de futuras investigaciones.

F. Netter M.D.

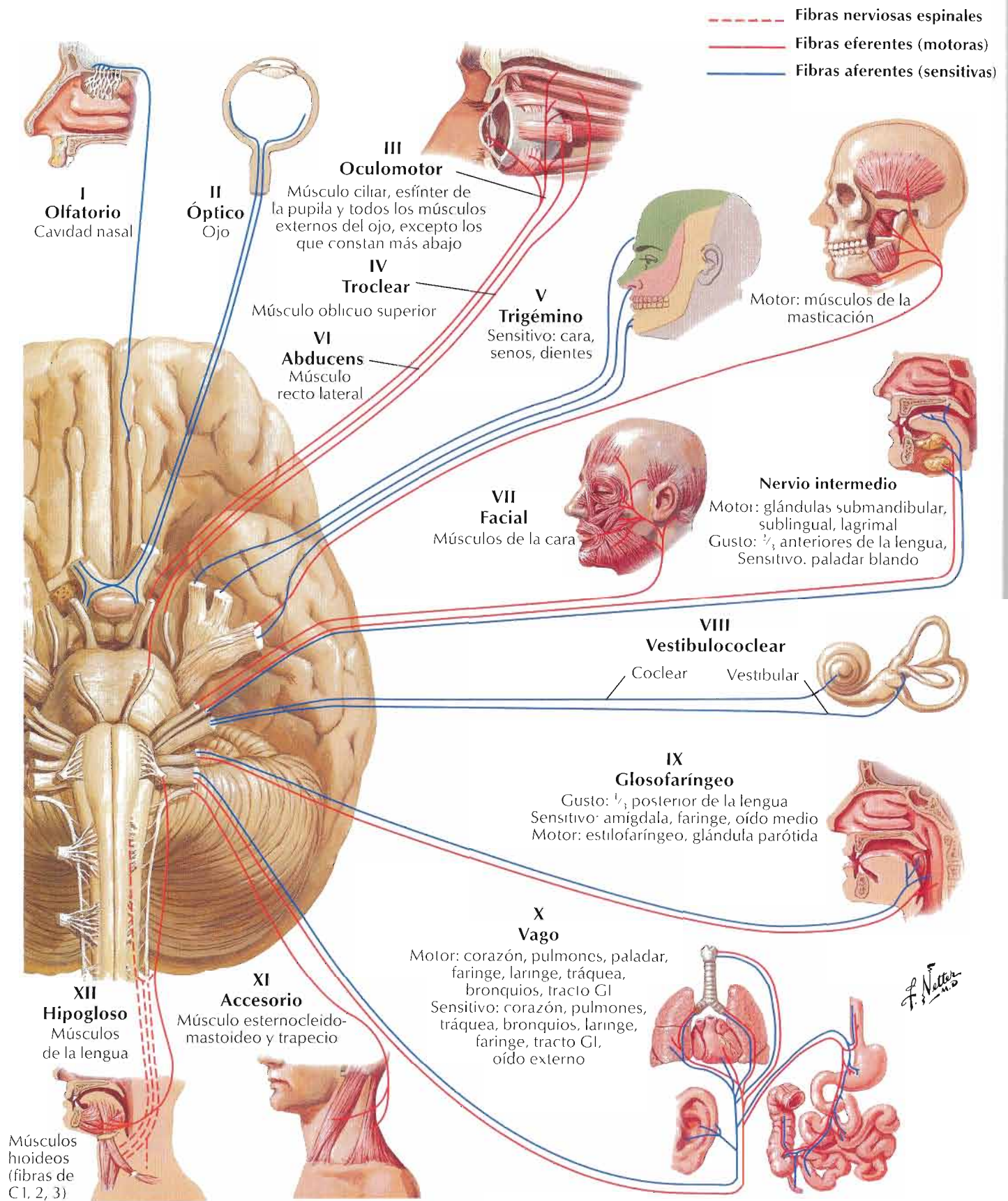
Dissección medial



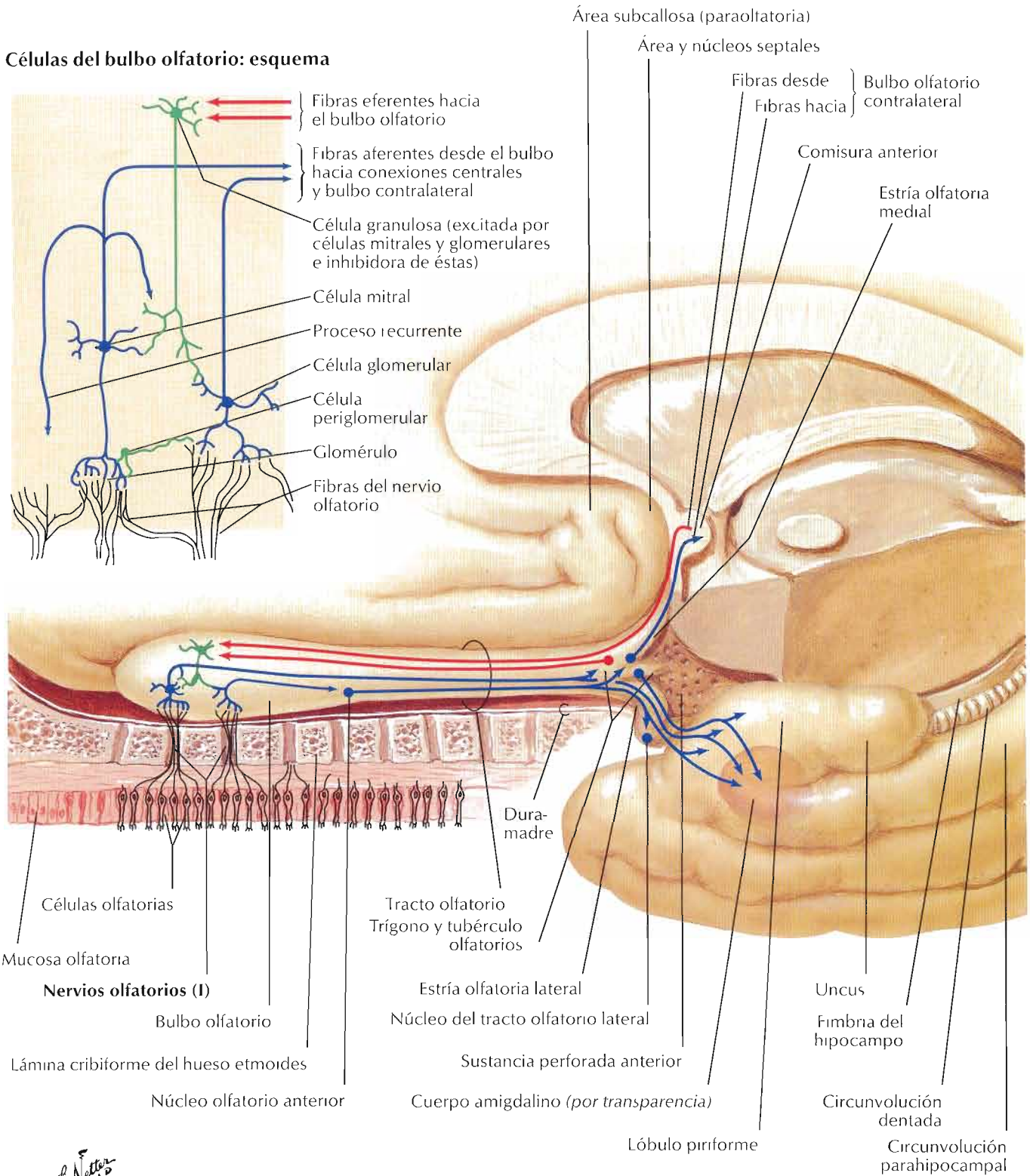
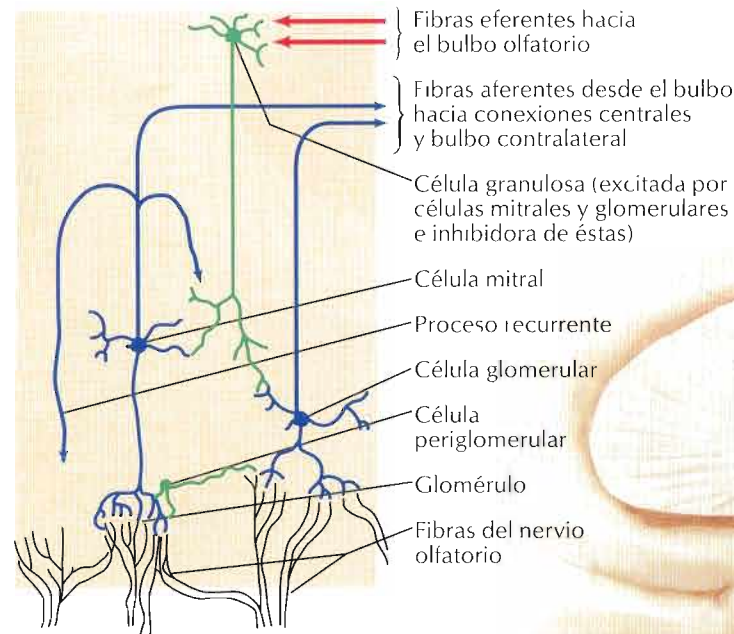
F. Netto
C. Machado
M.D.

*Estudios recientes sugieren que el nervio accesorio carece de raíz craneal y que no tiene conexión con el nervio vago. La verificación de este dato depende de futuras investigaciones.

Nn. craneales (distribución motora y sensitiva): esquema

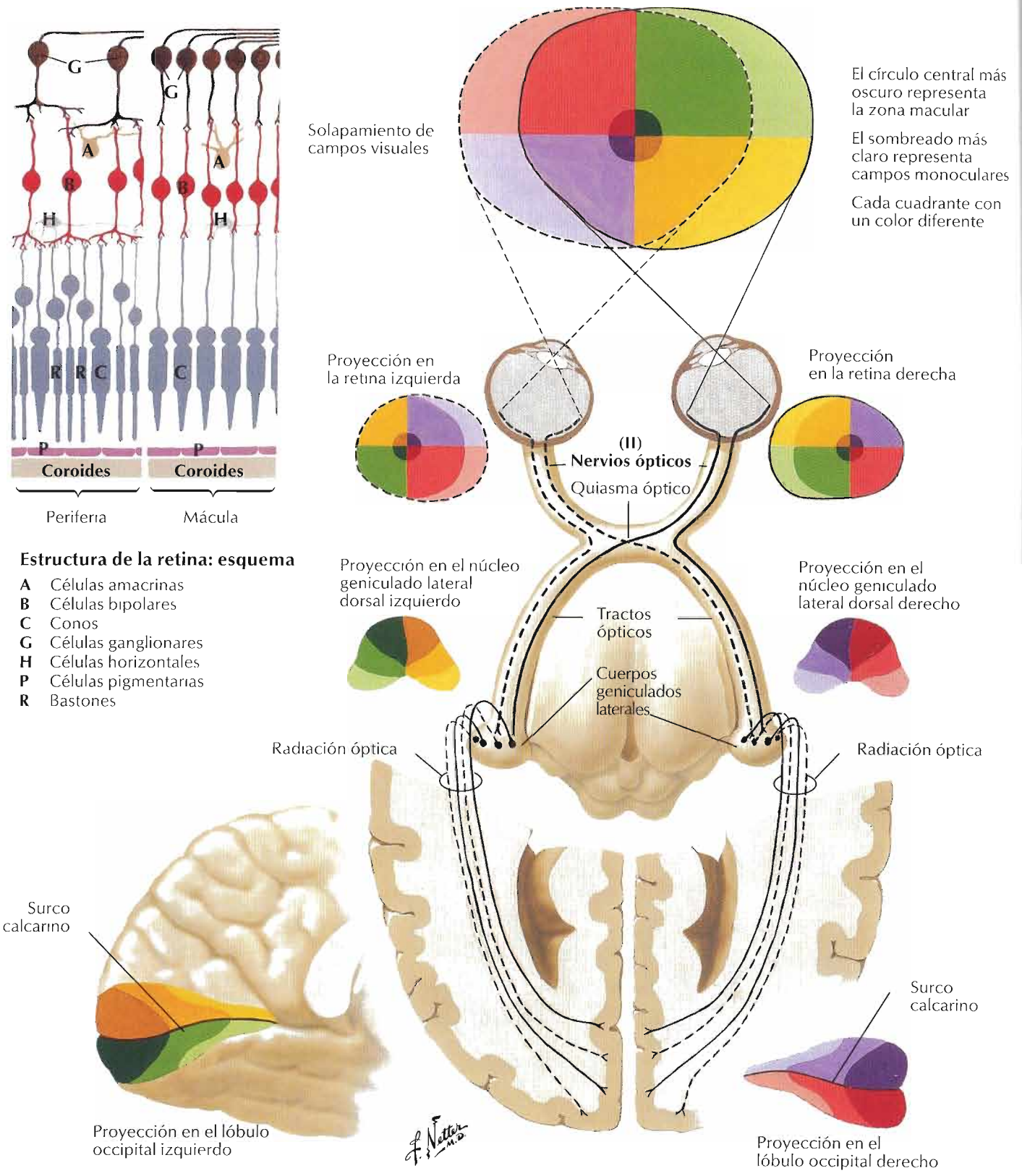


Células del bulbo olfatorio: esquema

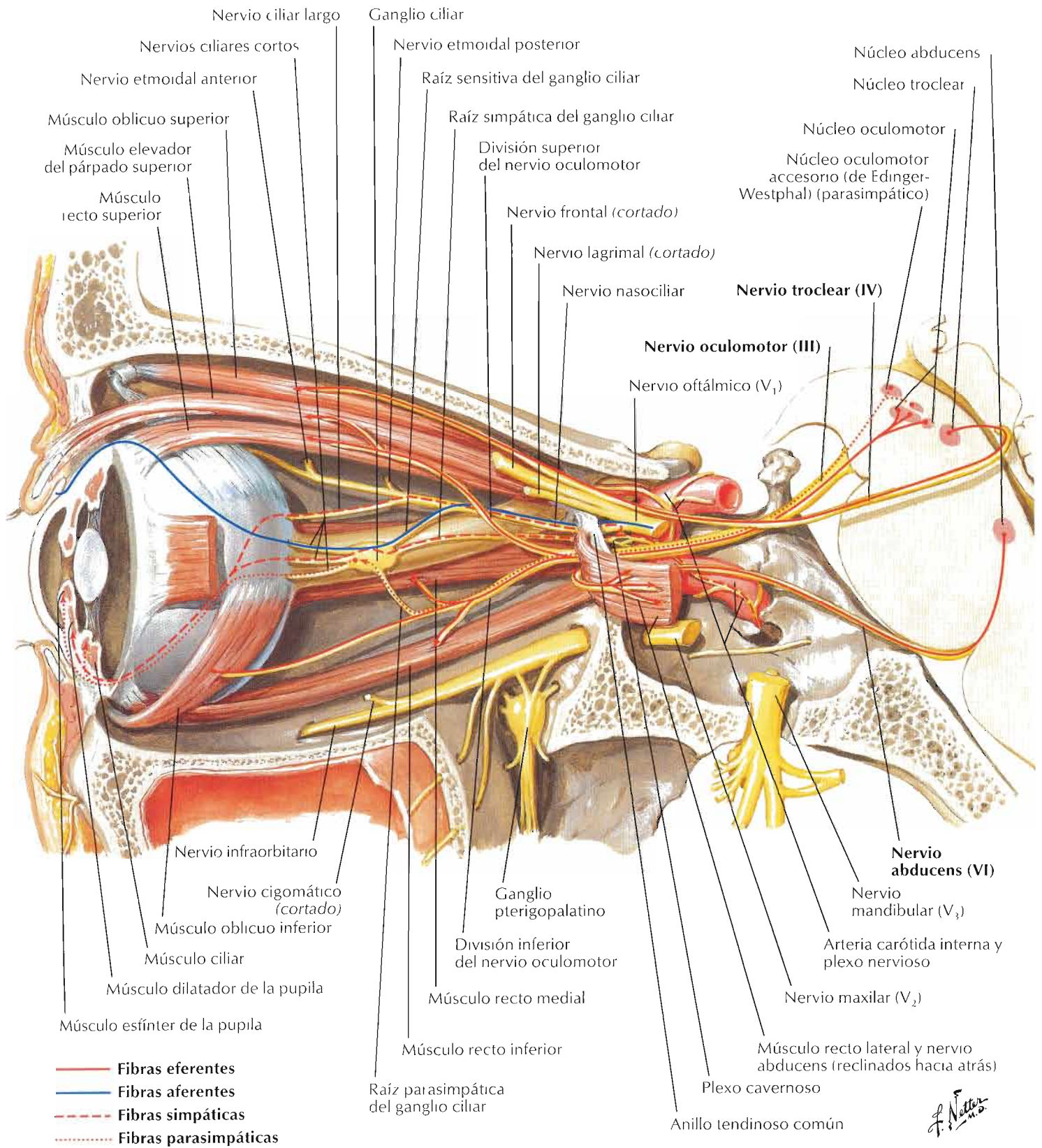


F. Natter M.D.

Nervio óptico (II) (vía óptica): esquema

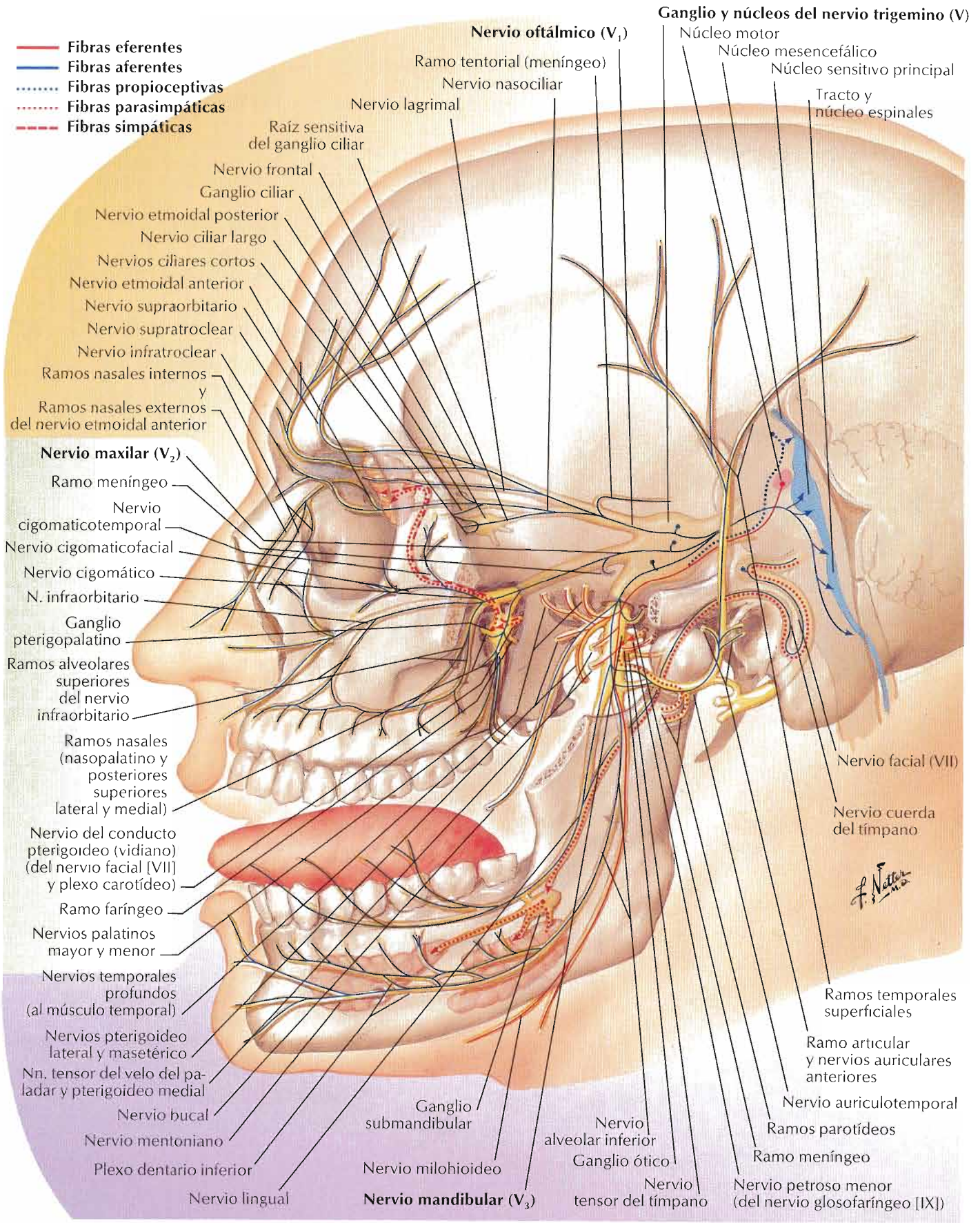


Véanse también láminas 86, 132, 167, 168

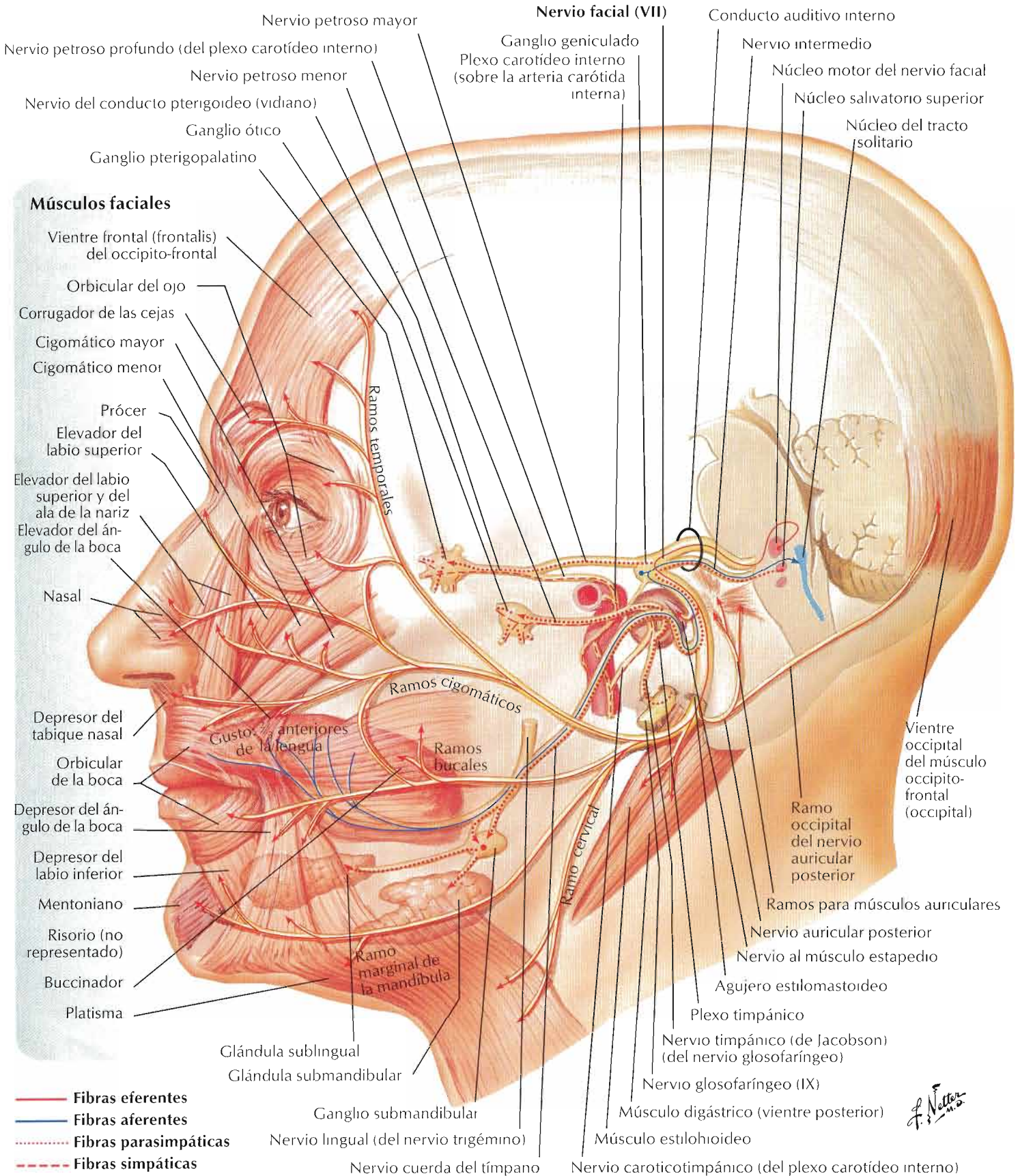


Nervio trigémino (V): esquema

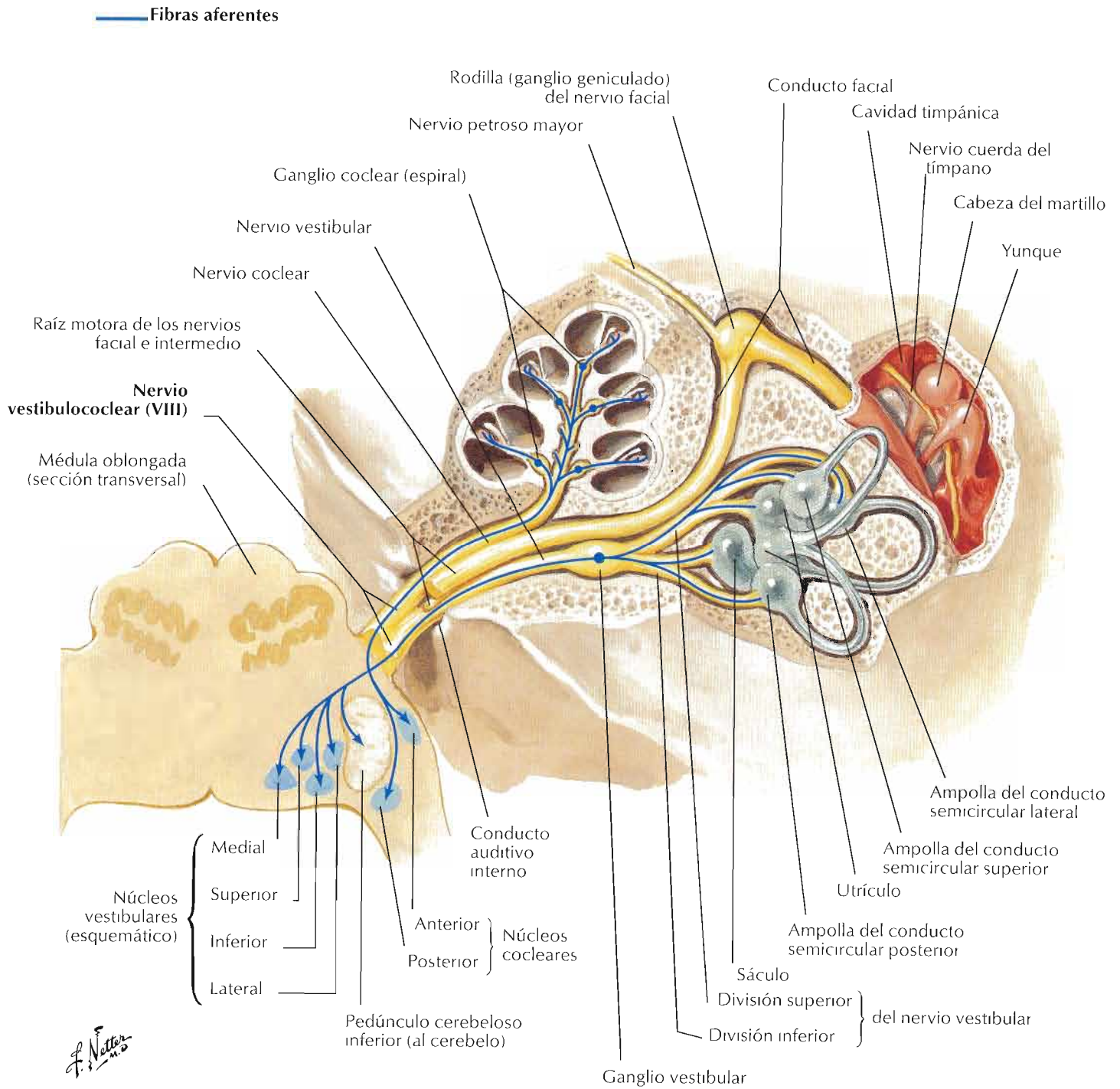
Véanse también láminas 24, 42, 43, 45, 46, 167, 168

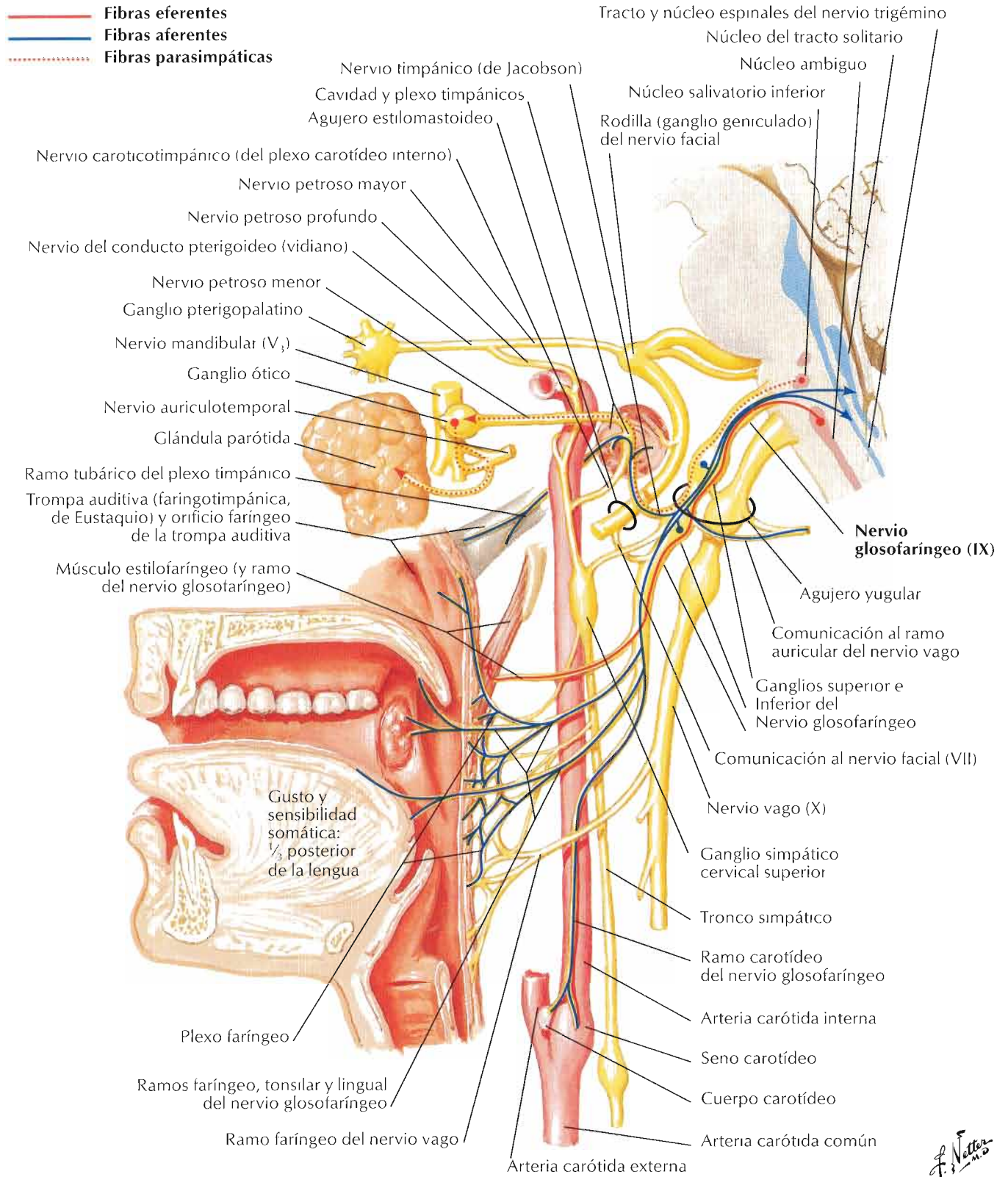


Véanse también láminas 25, 167, 168



Nervio vestibulococlear (VIII): esquema

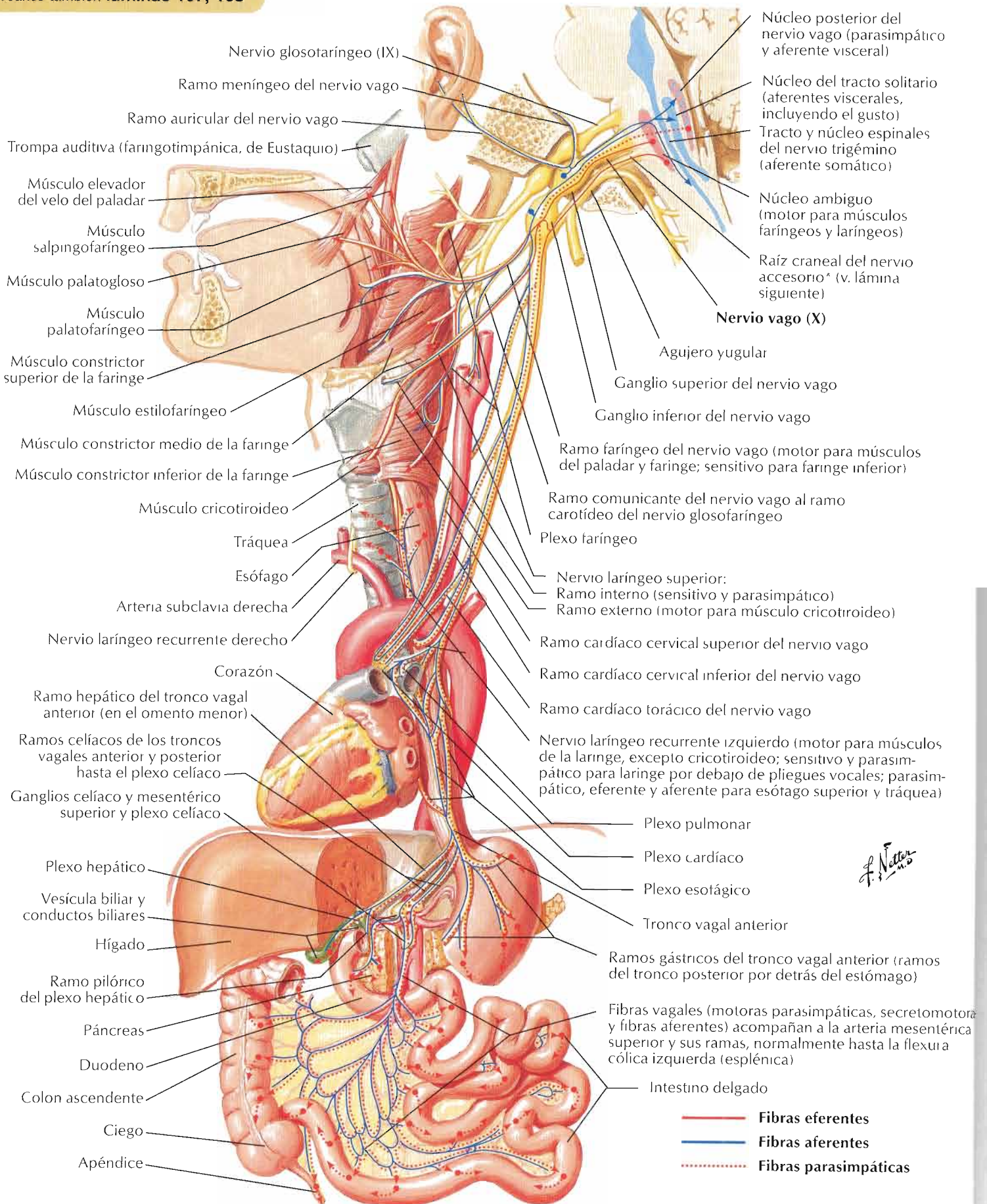




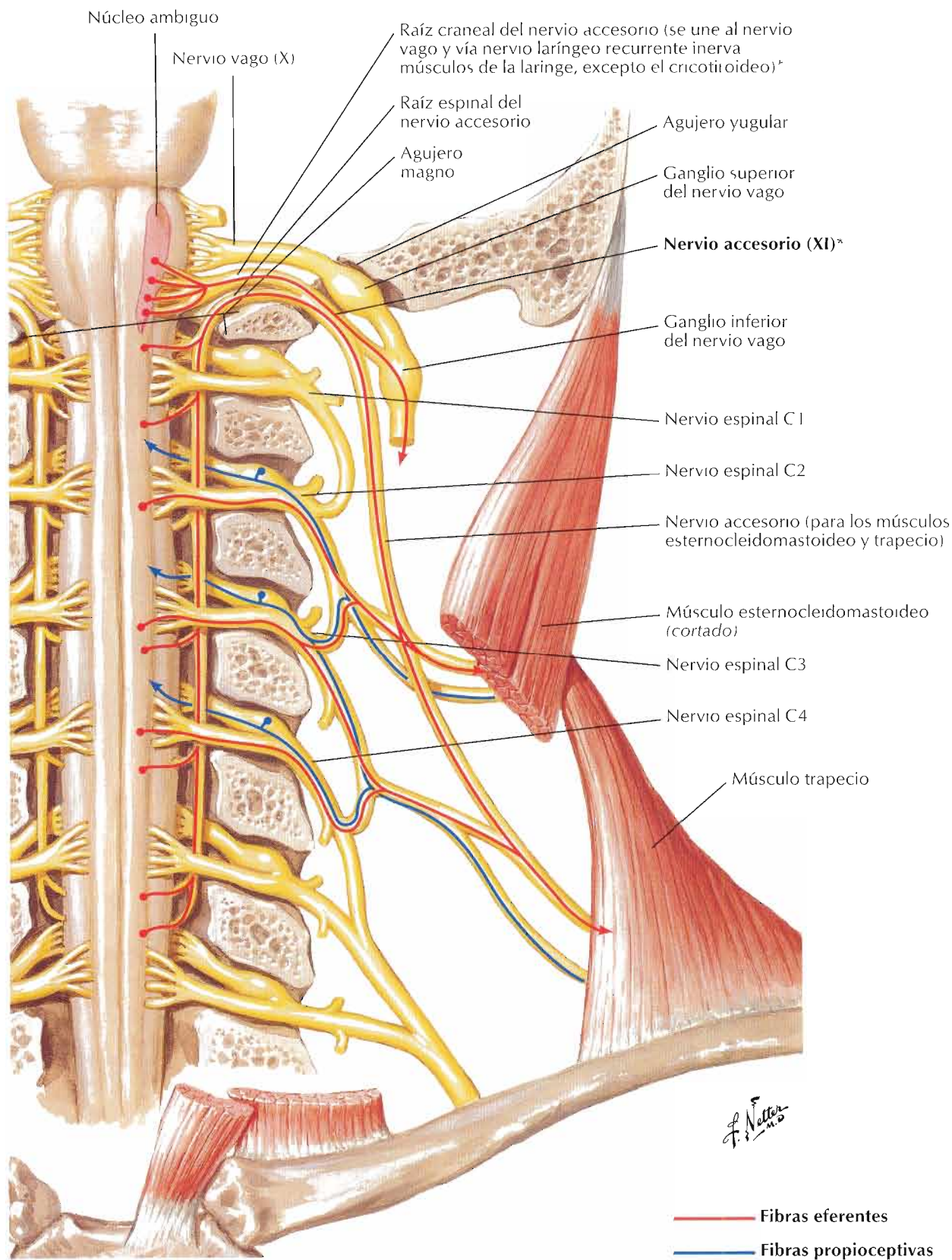
F. Vetter

Nervio vago (X): esquema

Véanse también láminas 167, 168



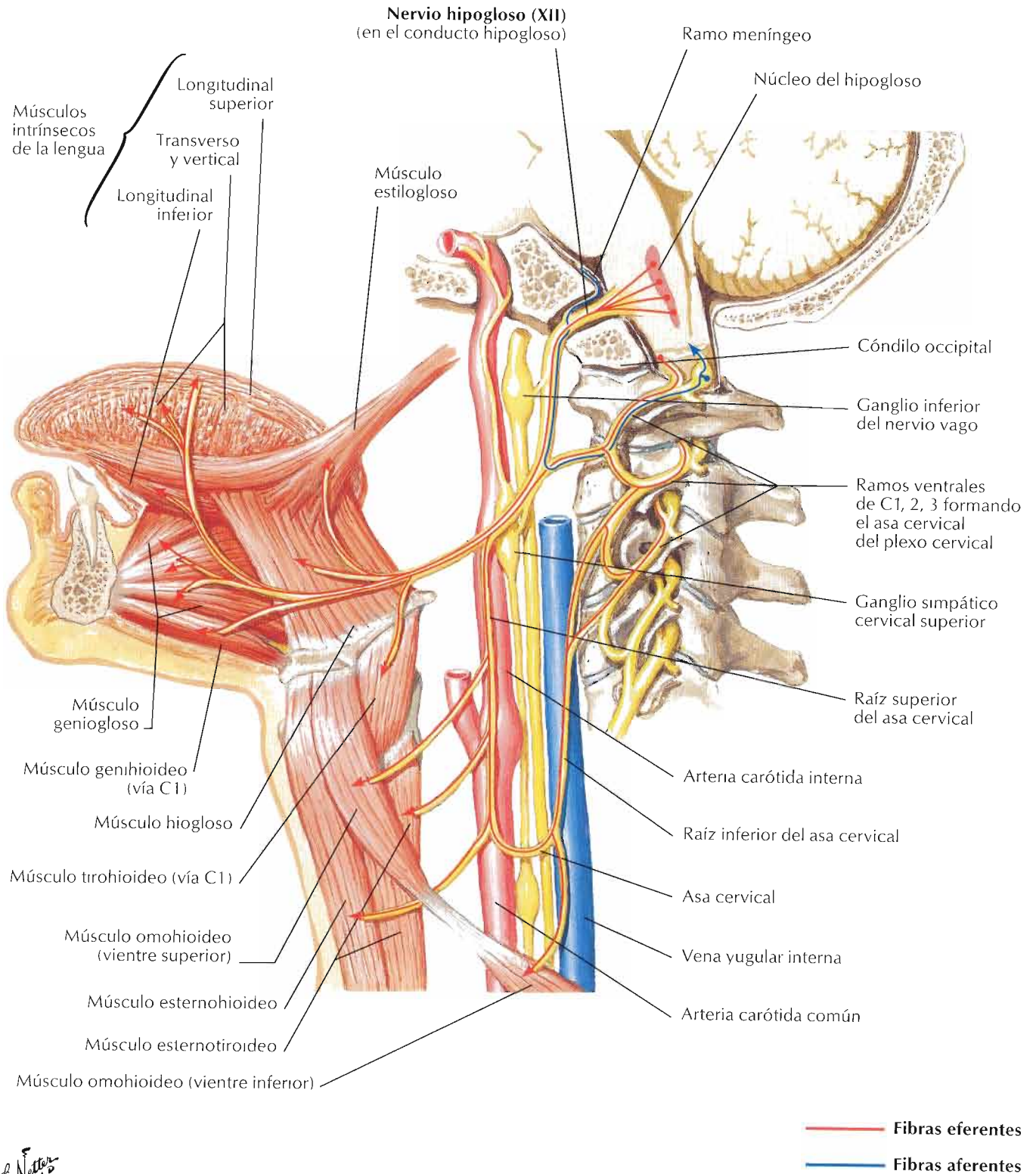
F. Netter M.D.



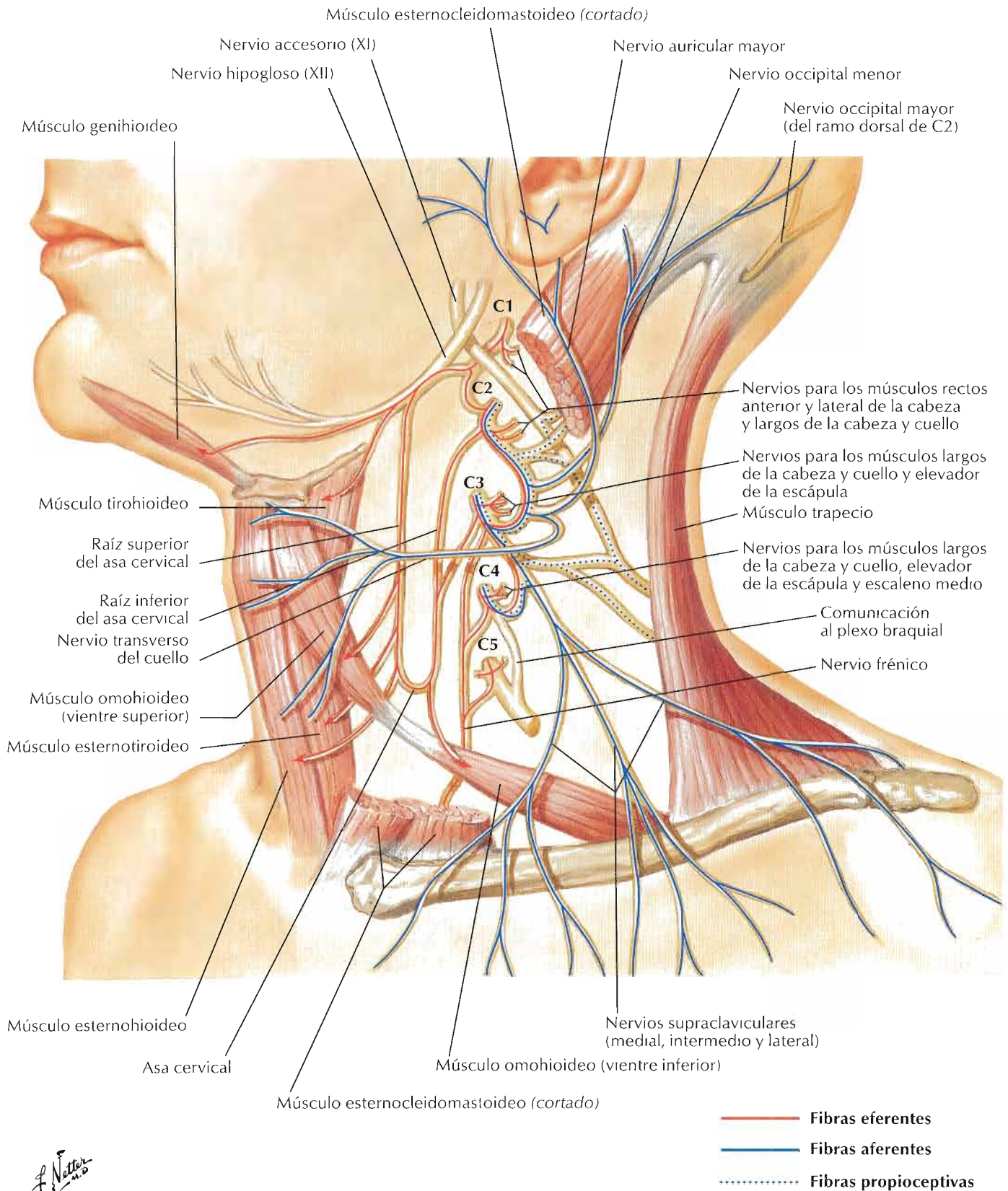
*Estudios recientes sugieren que el nervio accesorio carece de raíz craneal y que no tiene conexión con el nervio vago. La verificación de este dato depende de futuras investigaciones.

1 Nervio hipogloso (XII): esquema

Véase también lámina 32



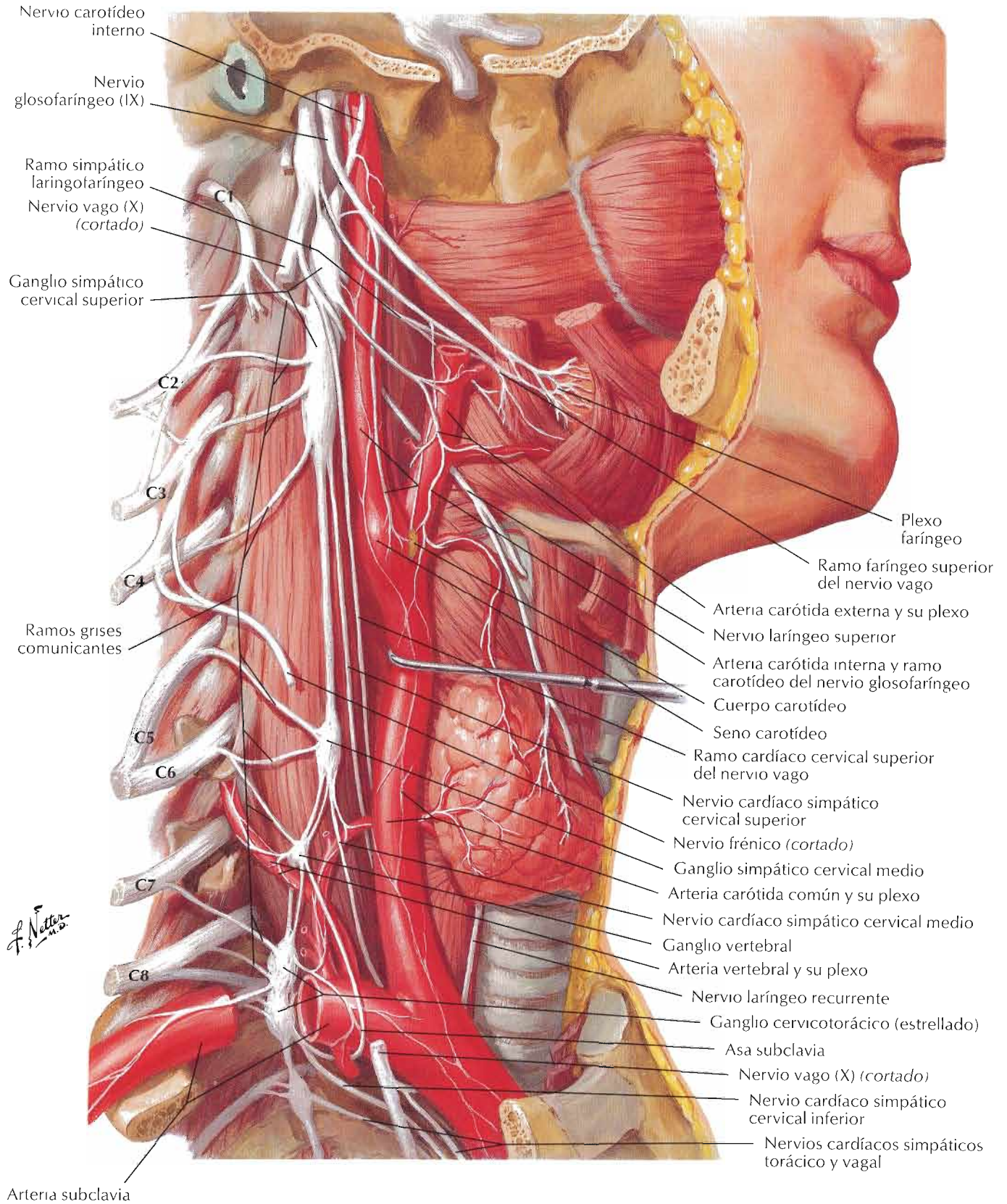
F. Netter M.D.



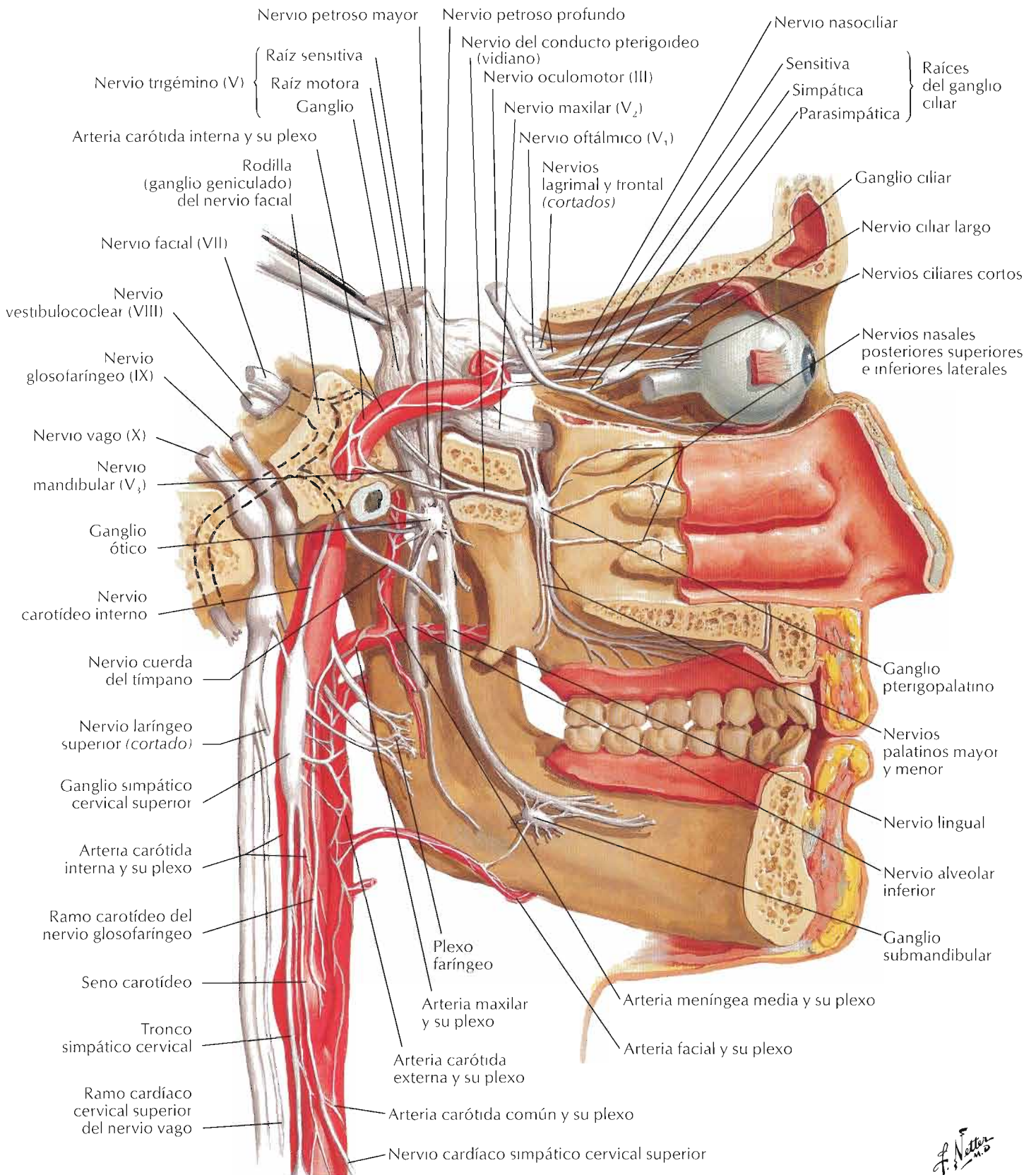
F. Netter M.D.

Nervios autónomos en el cuello

Véanse también láminas 71, 125, 126, 165, 166, 209, 226, 240, 318



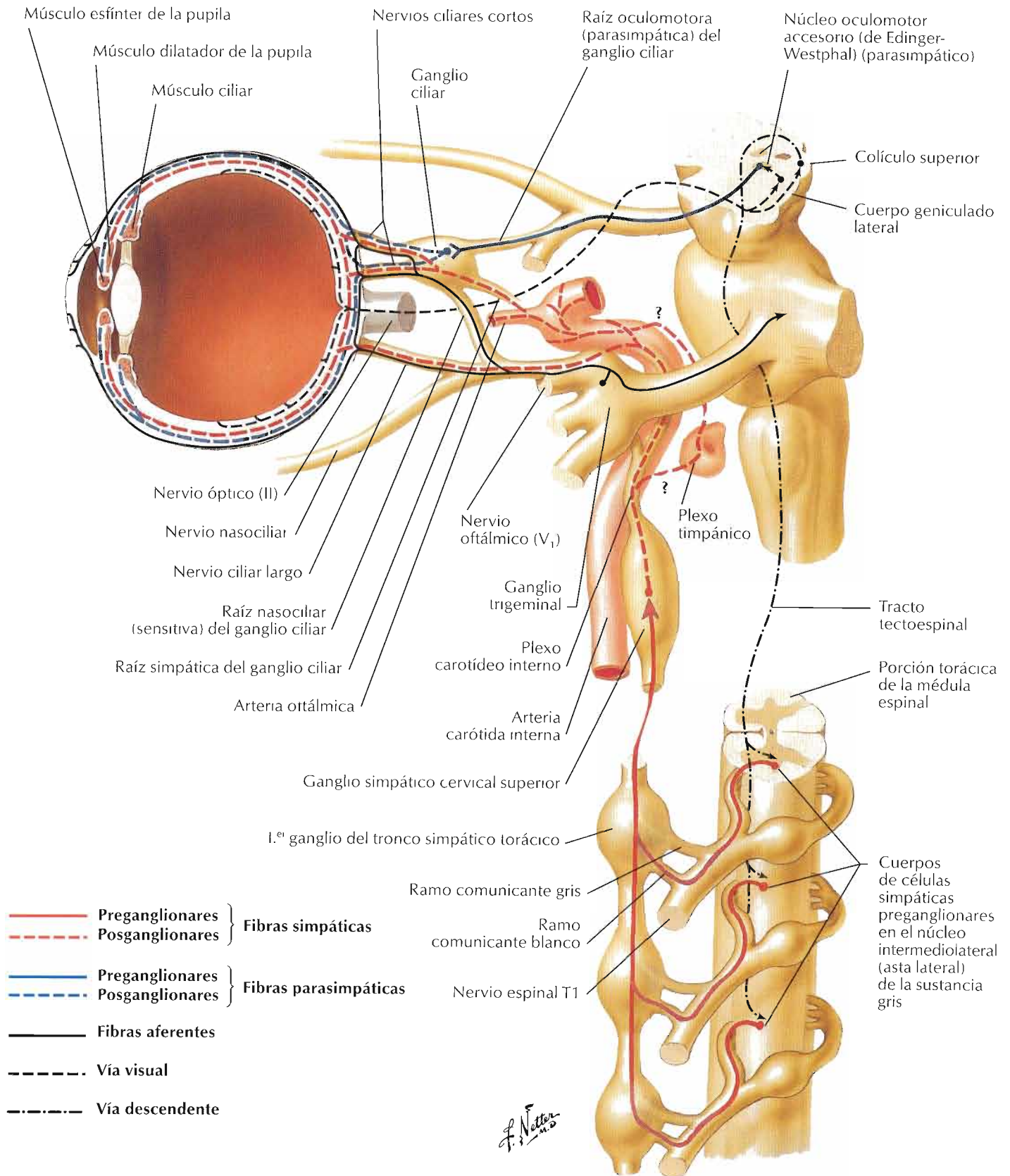
Véanse también láminas 44-46, 86, 121, 132-134, 165, 166



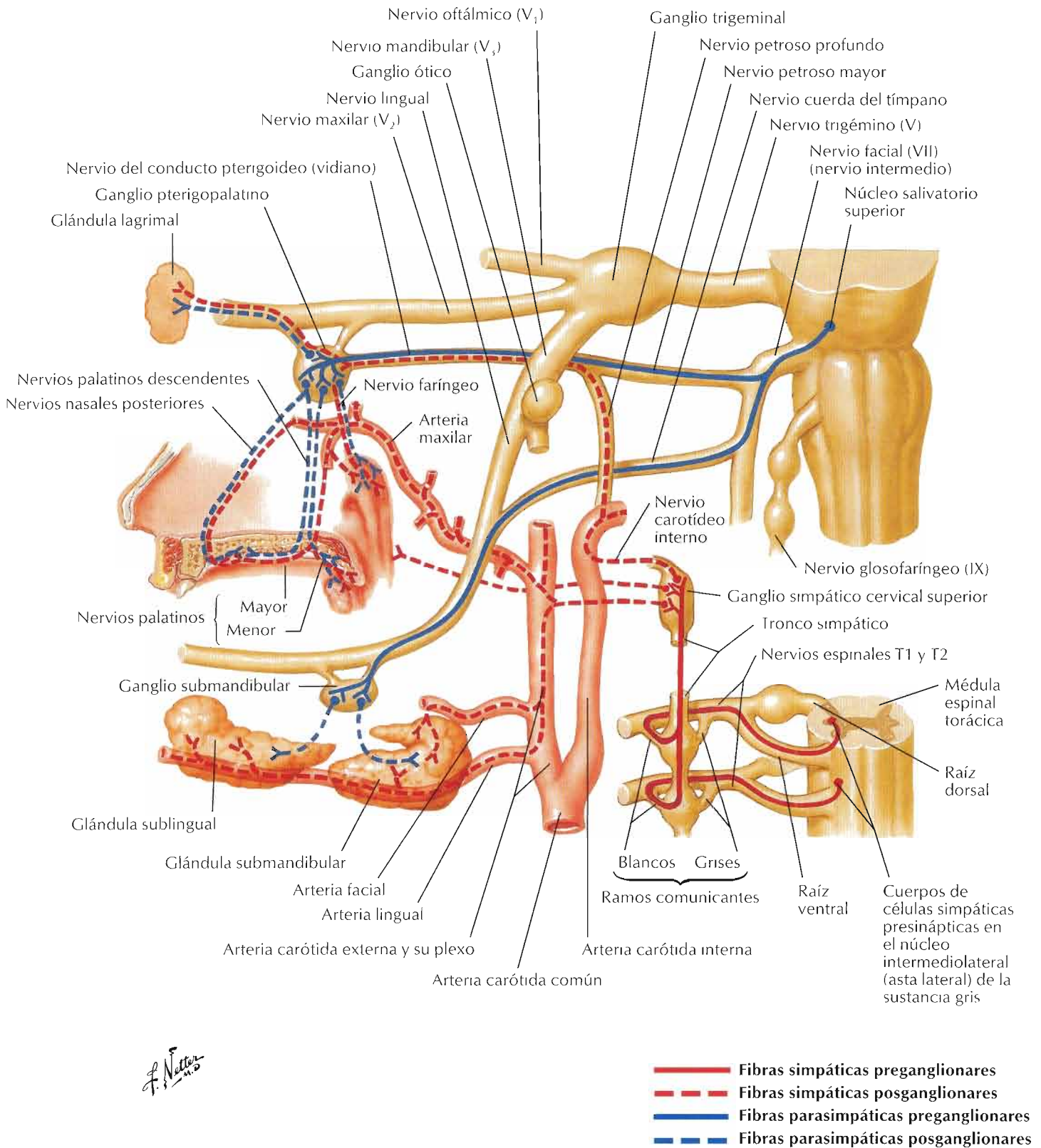
F. Netter M.D.

Ganglio ciliar: esquema

Véanse también láminas 167, 168



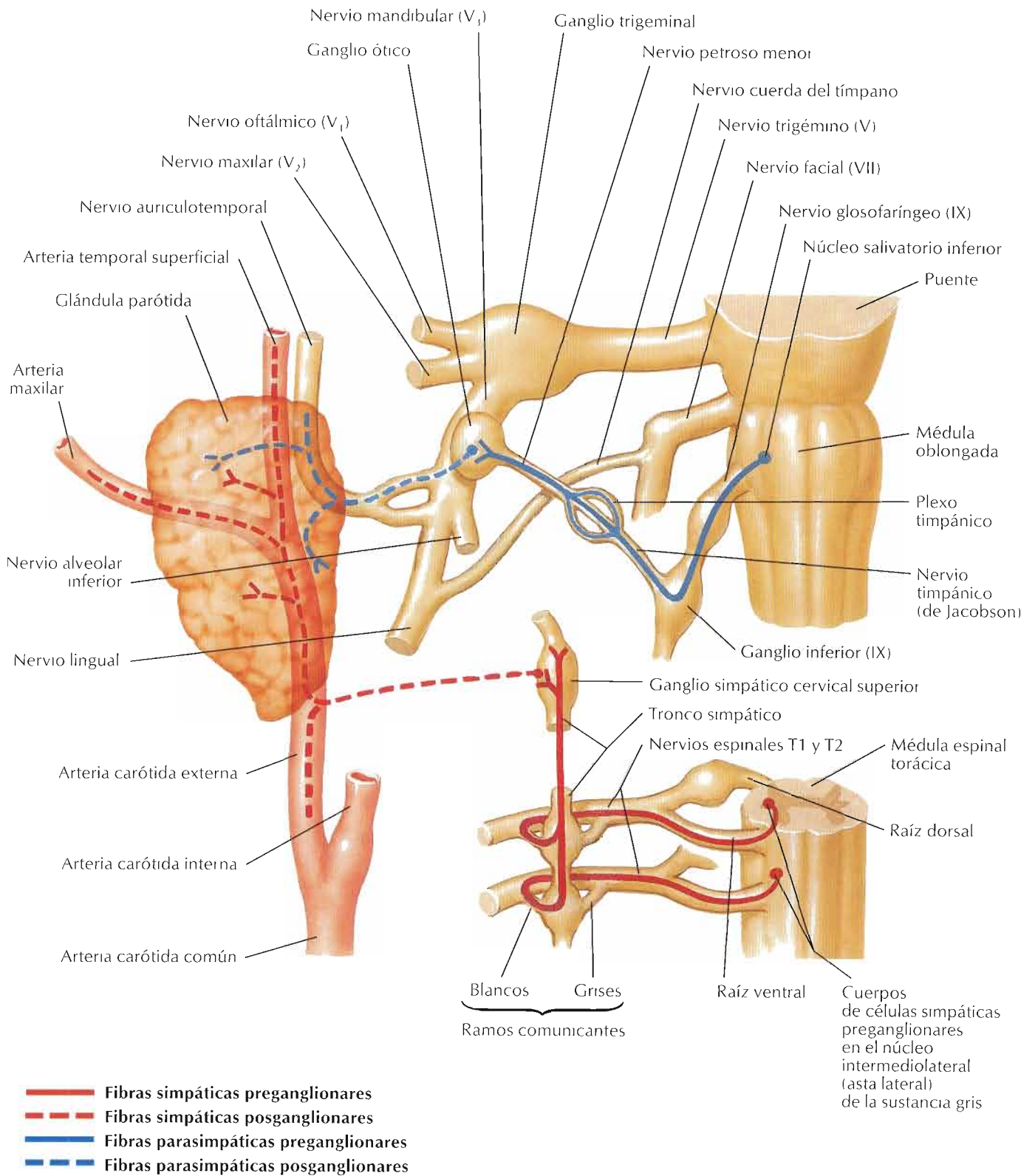
F. Netter M.D.



F. Netter

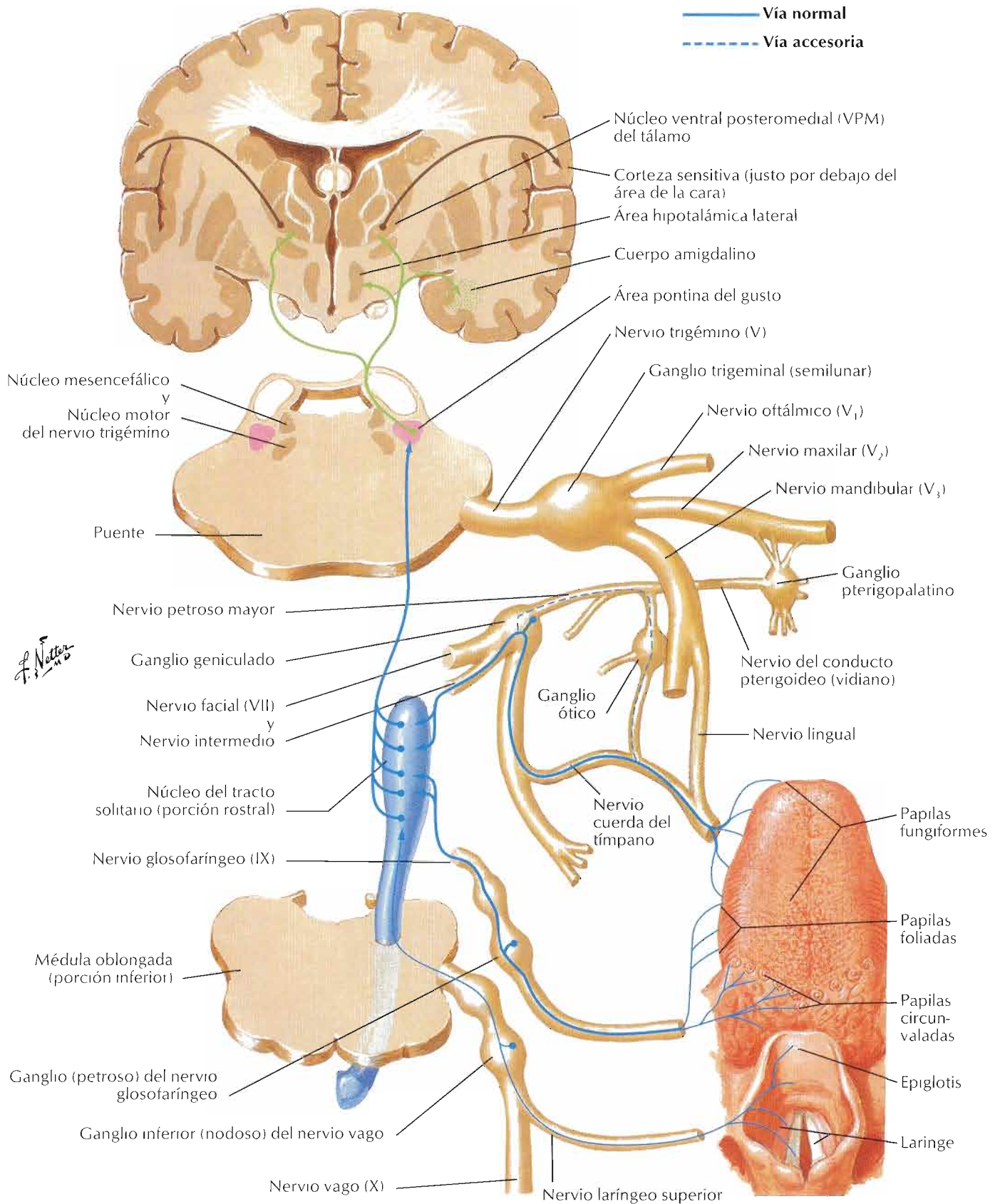
Ganglio ótico: esquema

Véanse también láminas 167, 168



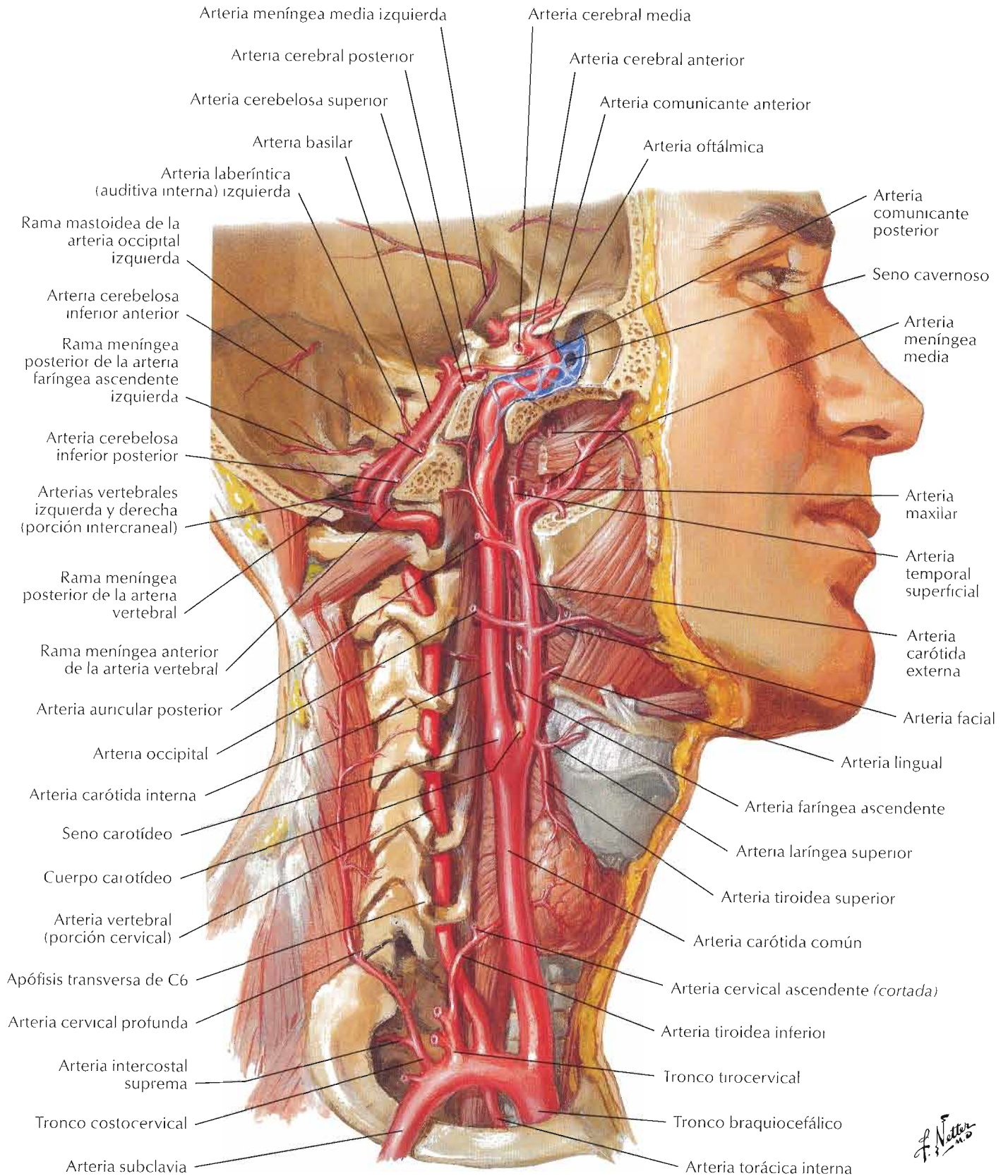
F. Netter M.D.

Véanse también láminas 46, 94, 123, 125, 126



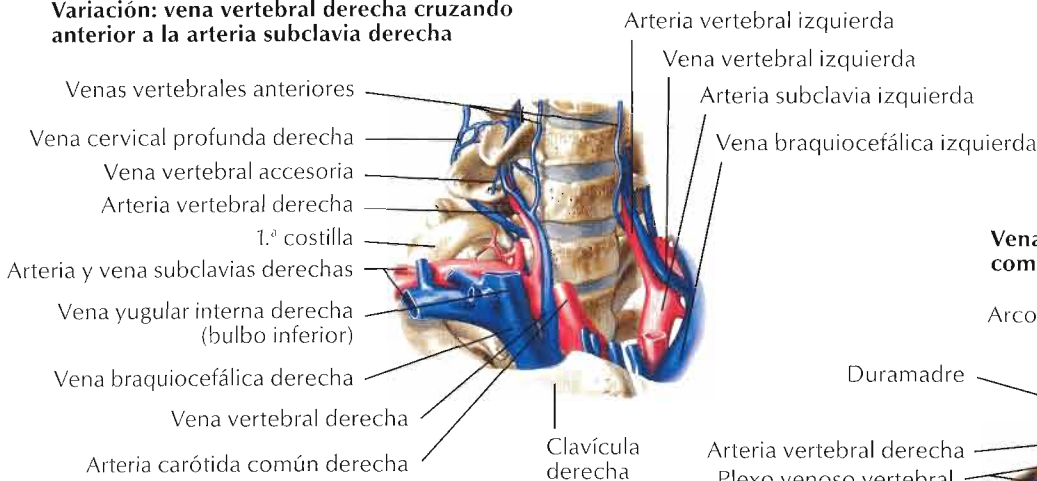
Arterias del encéfalo y meninges

Véanse también láminas 33, 34

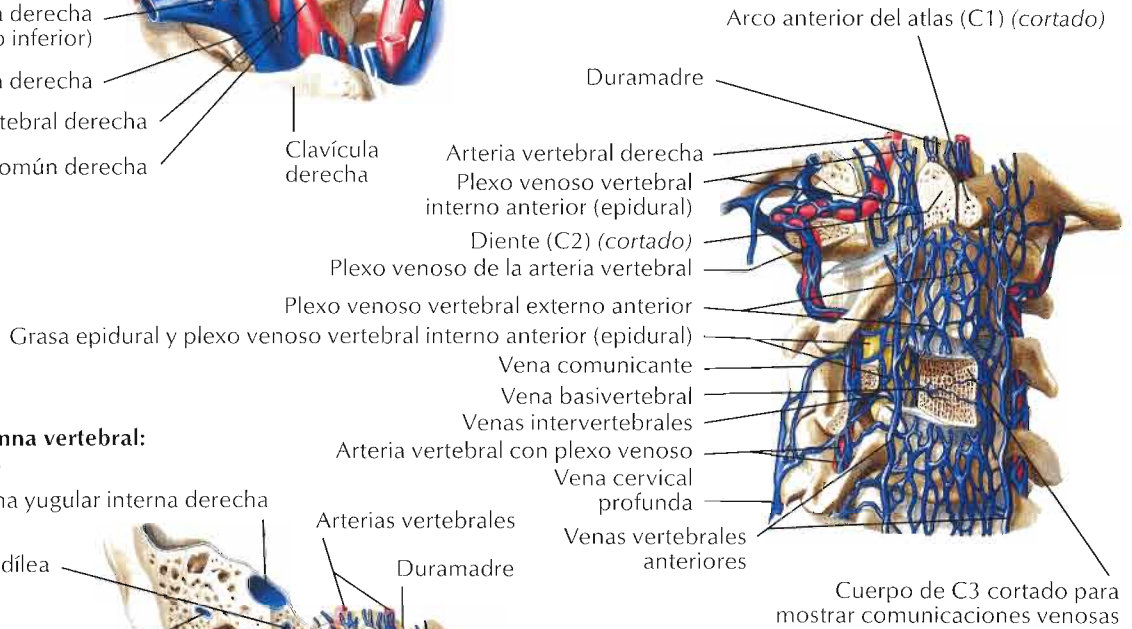


F. Netter M.D.

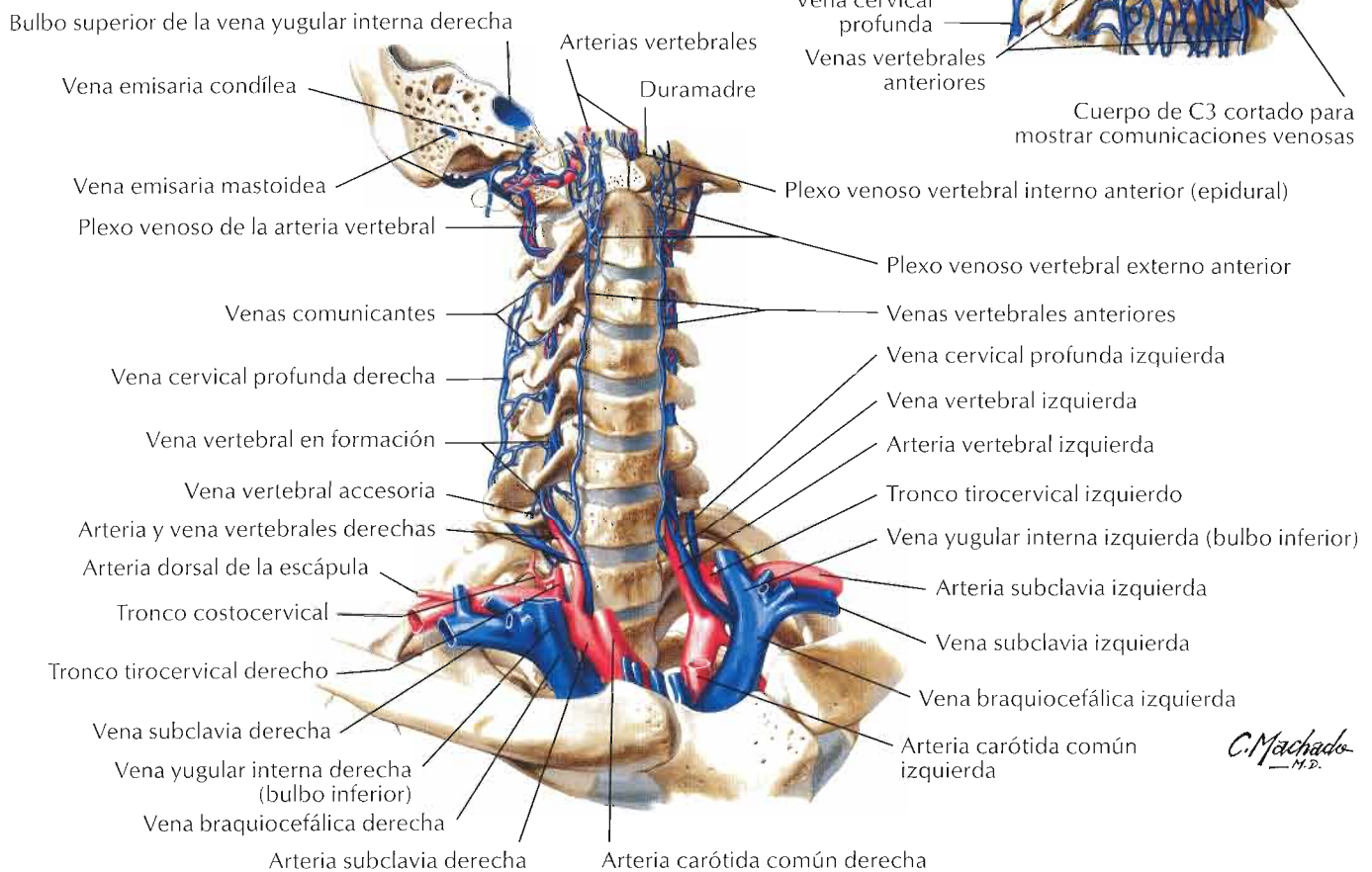
Variación: vena vertebral derecha cruzando anterior a la arteria subclavia derecha



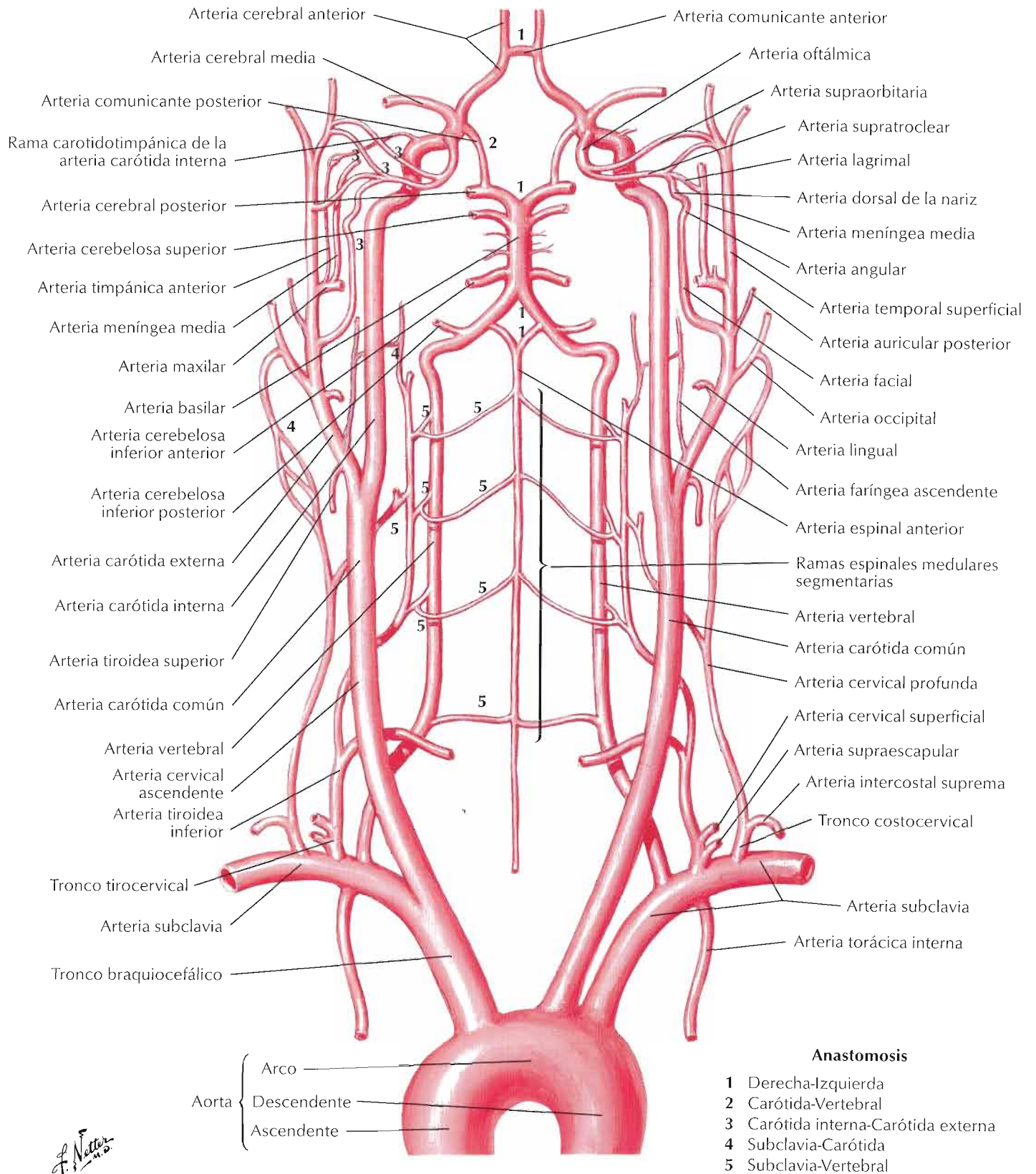
Venas vertebrales: detalle que muestra comunicaciones venosas



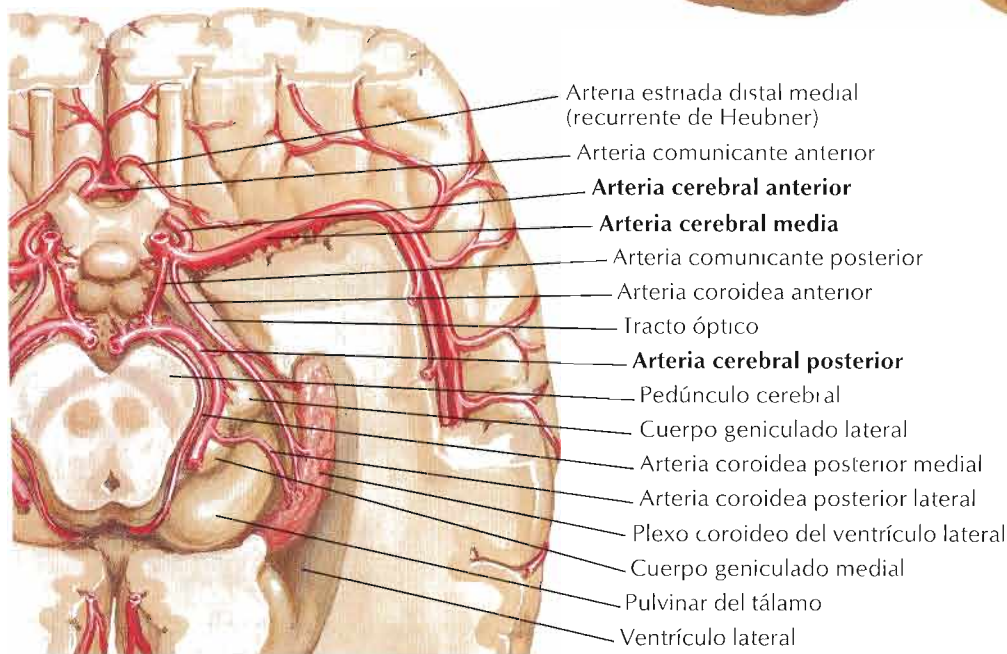
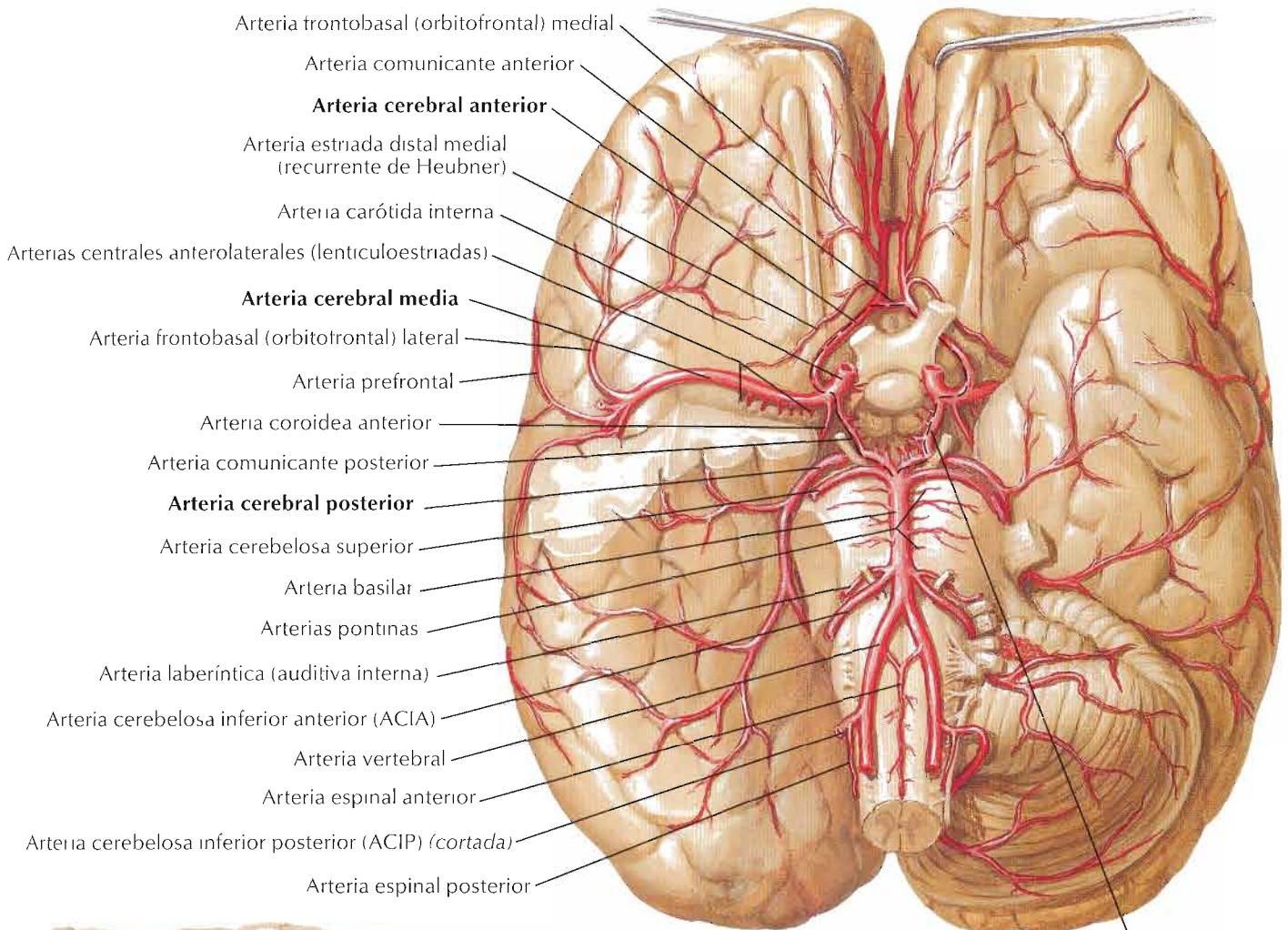
Venas de la columna vertebral: venas vertebrales



Arterias del encéfalo: esquema



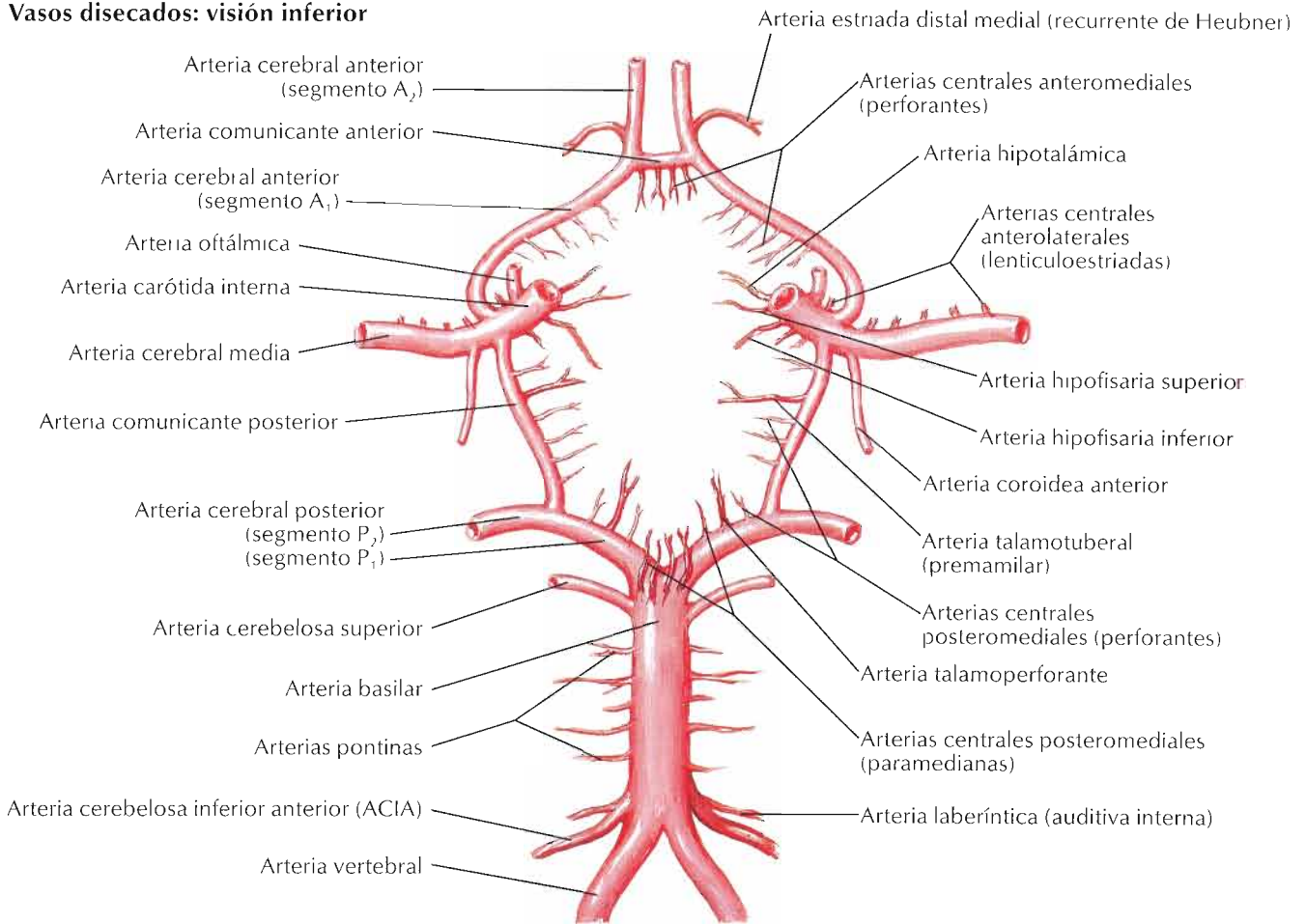
F. Netter M.D.



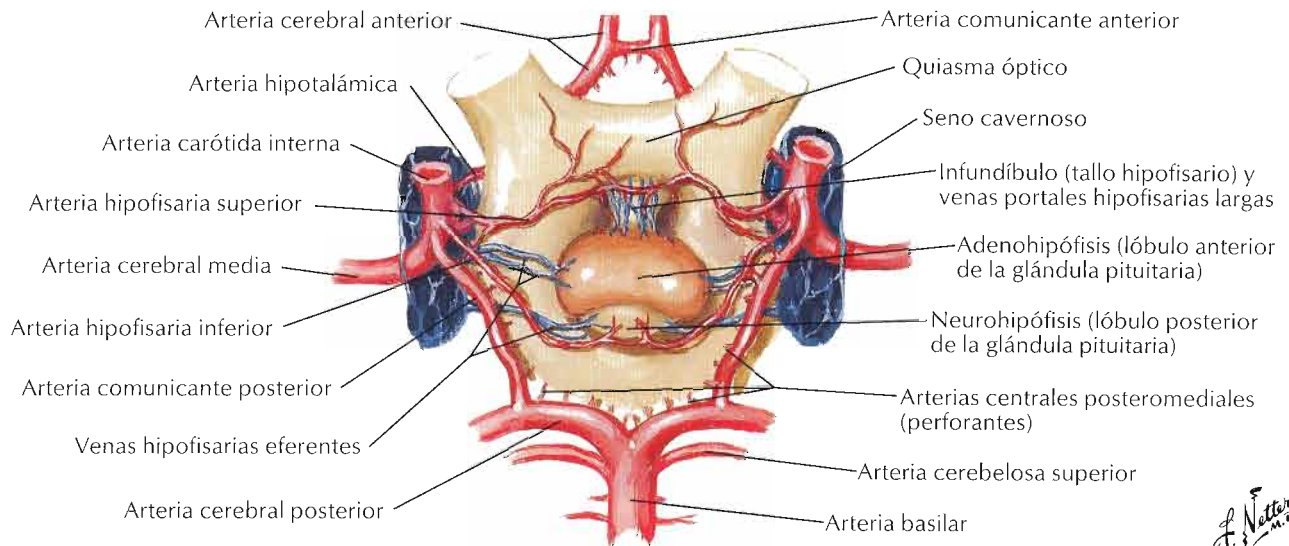
F. Netter M.D.

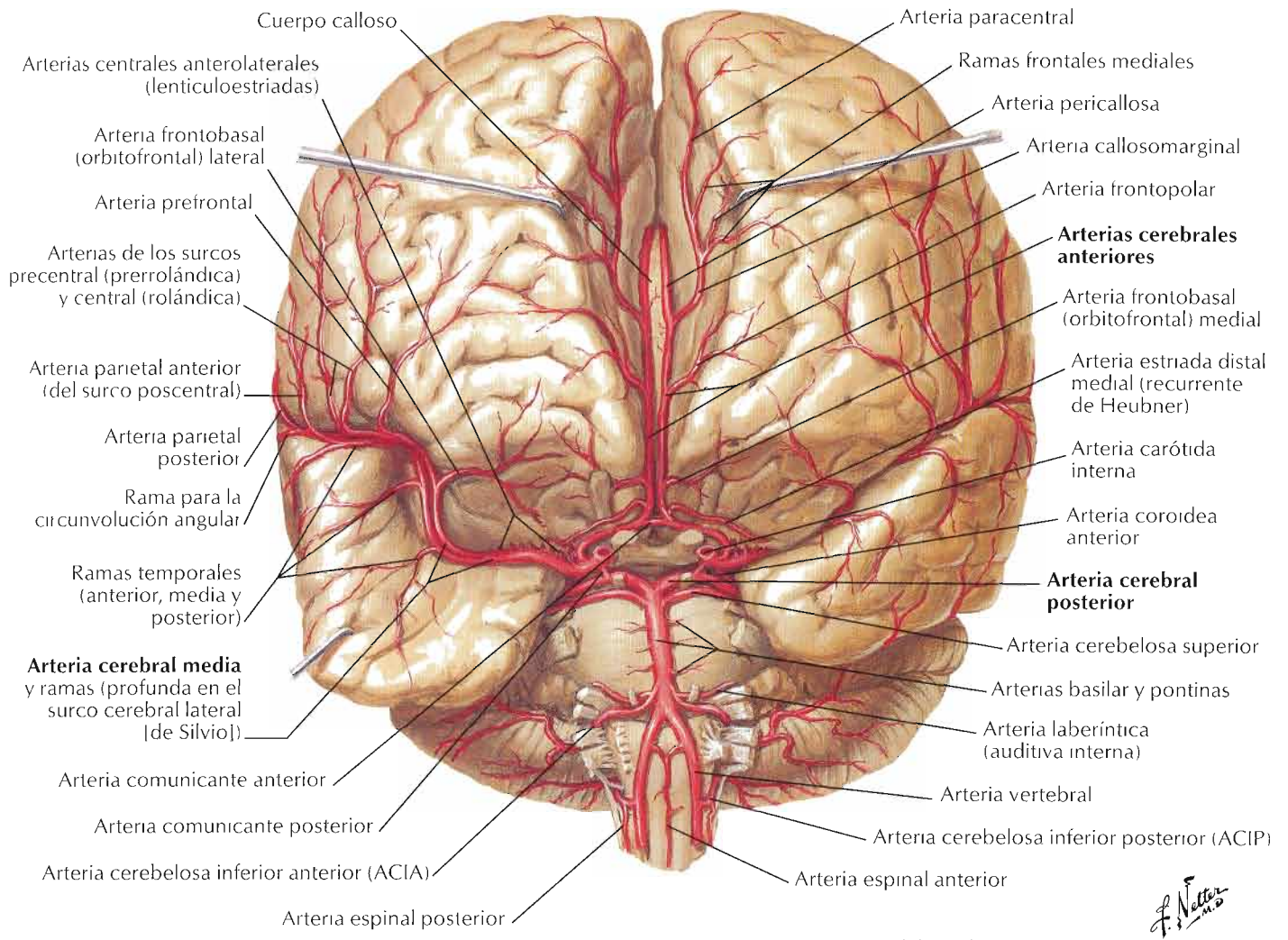
Para las arterias hipofisarias véase **lámina 148**

Vasos disecados: visión inferior

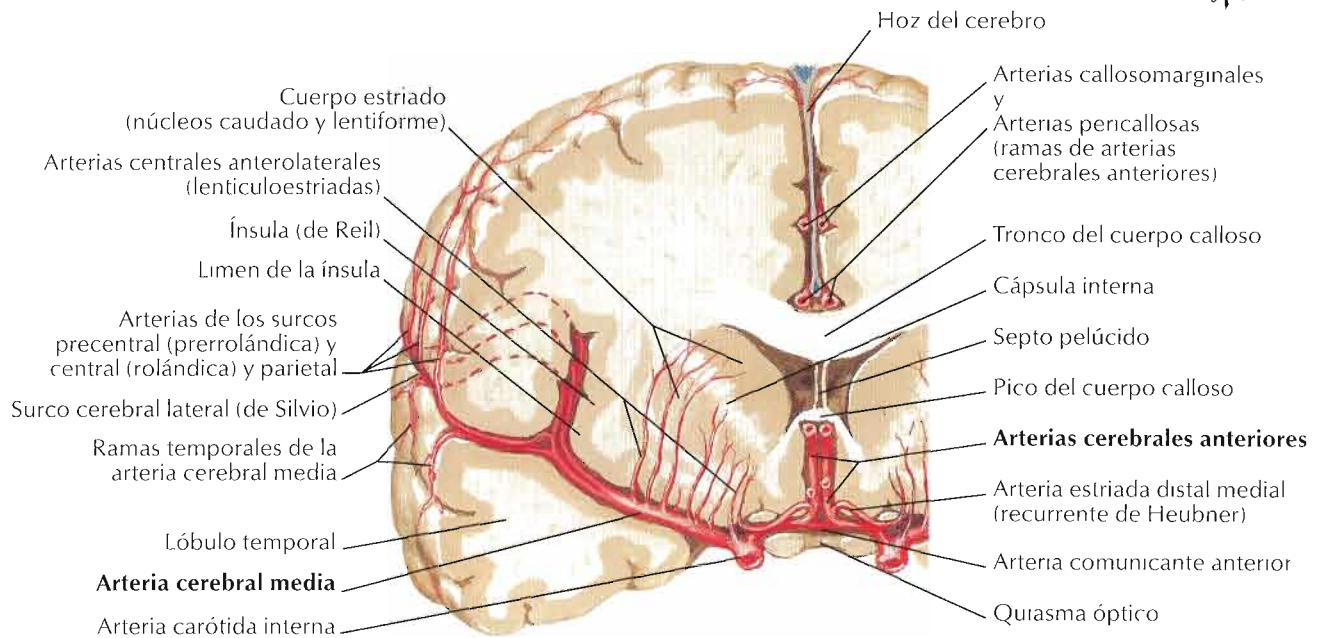


Vasos in situ: visión inferior

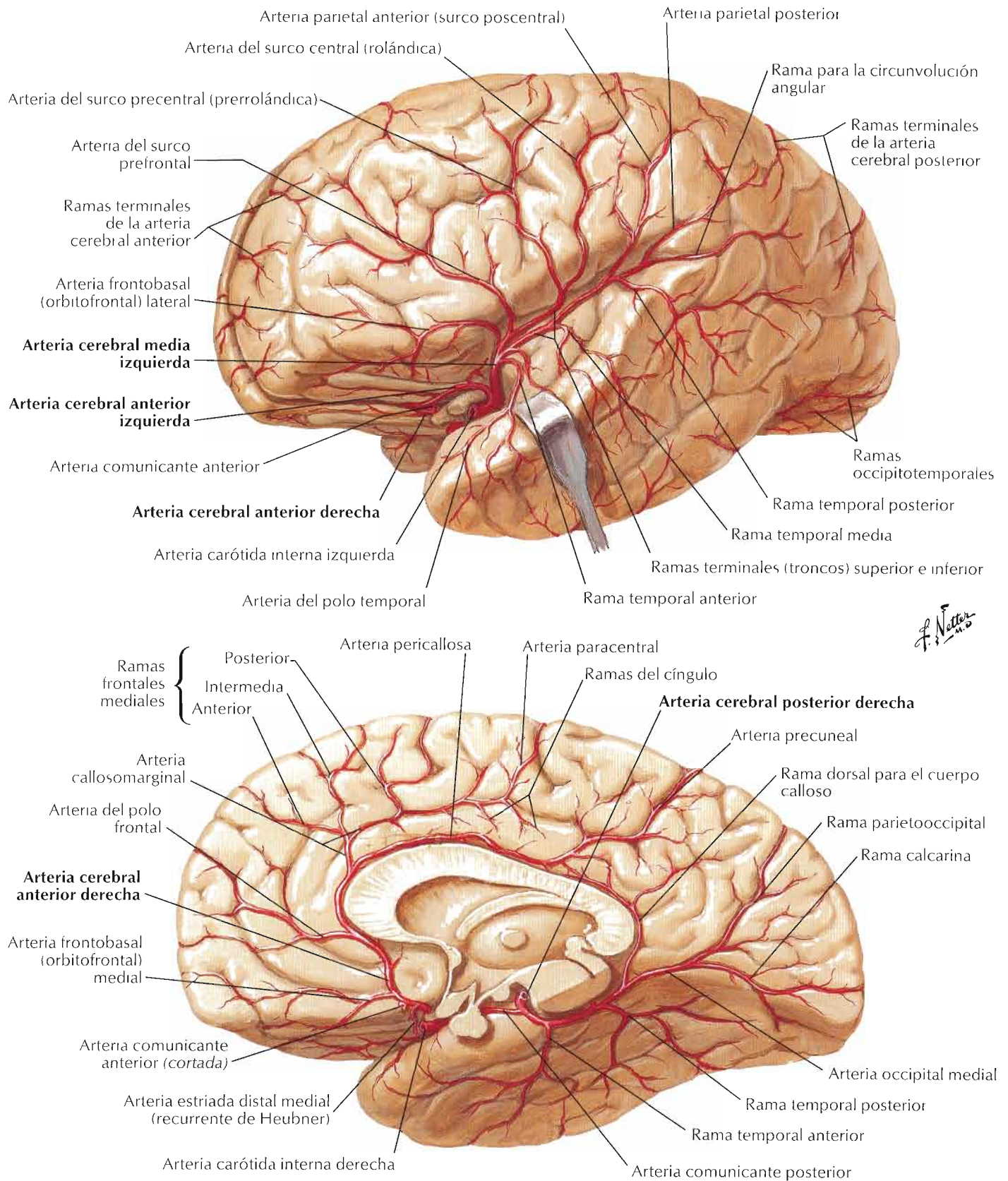




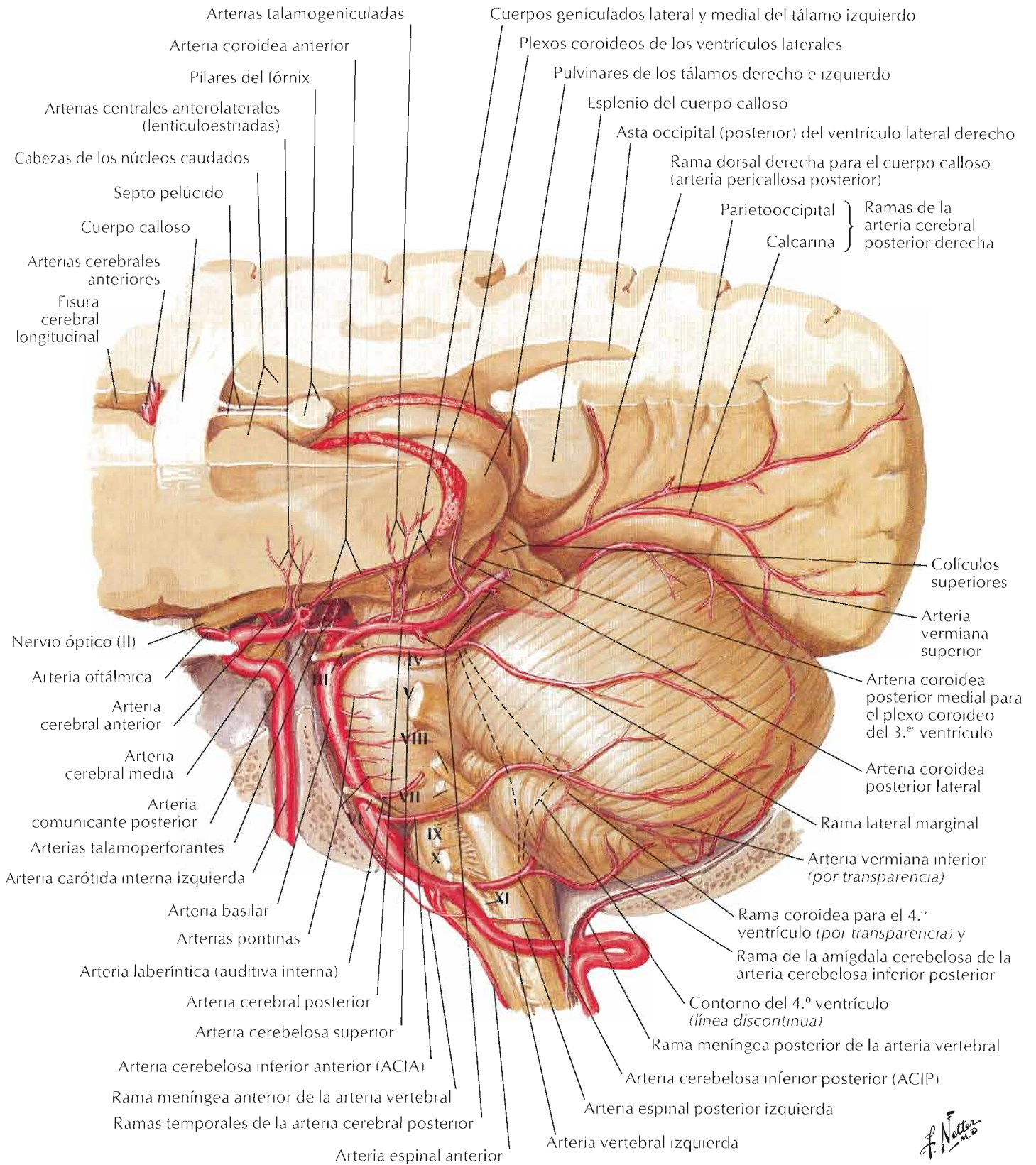
F. Netter



Arterias del encéfalo: visiones lateral y medial

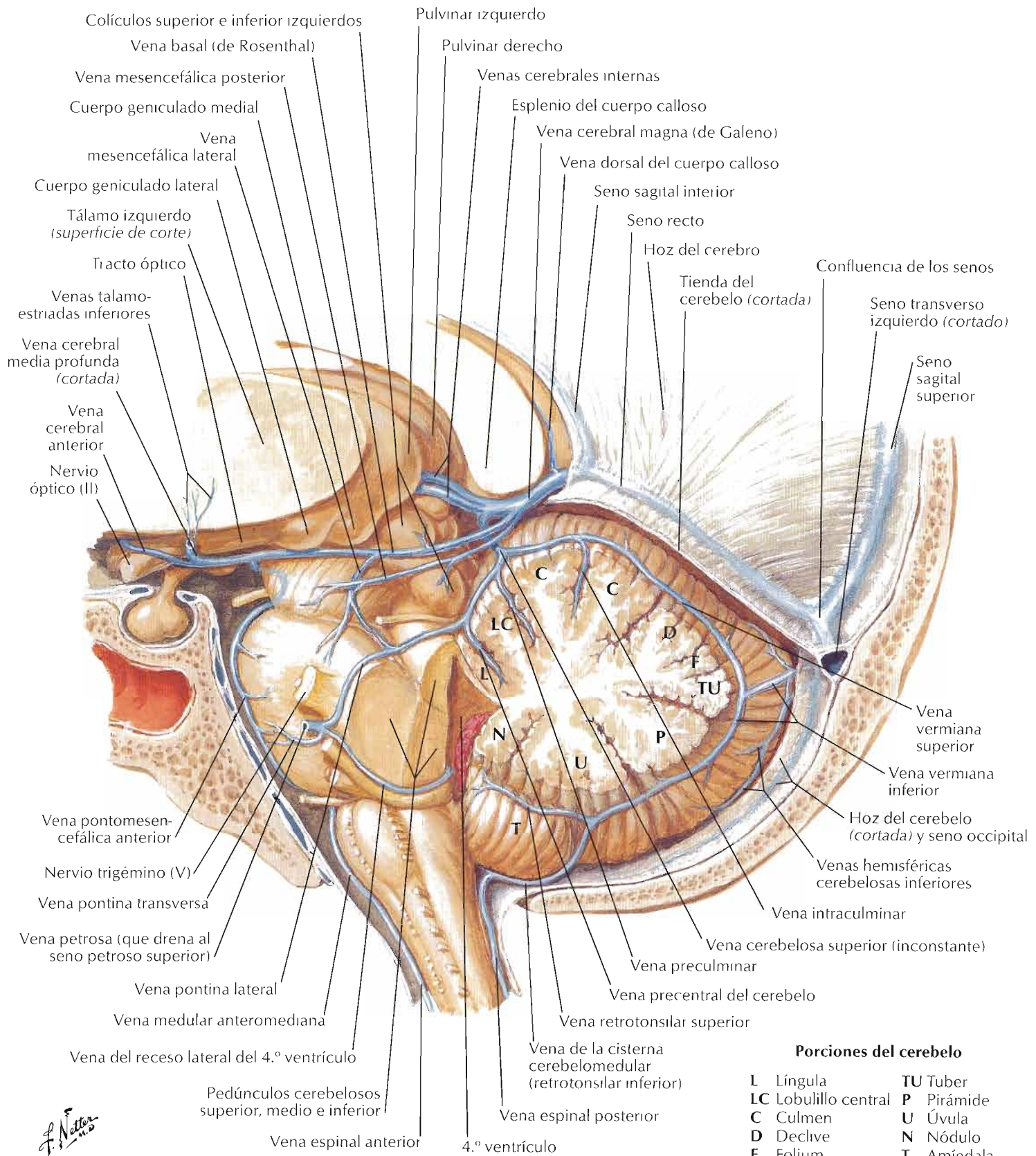


Nota: la arteria parietal anterior (o del surco poscentral) también se halla como arteria parietal anterior y arteria del surco poscentral por separado



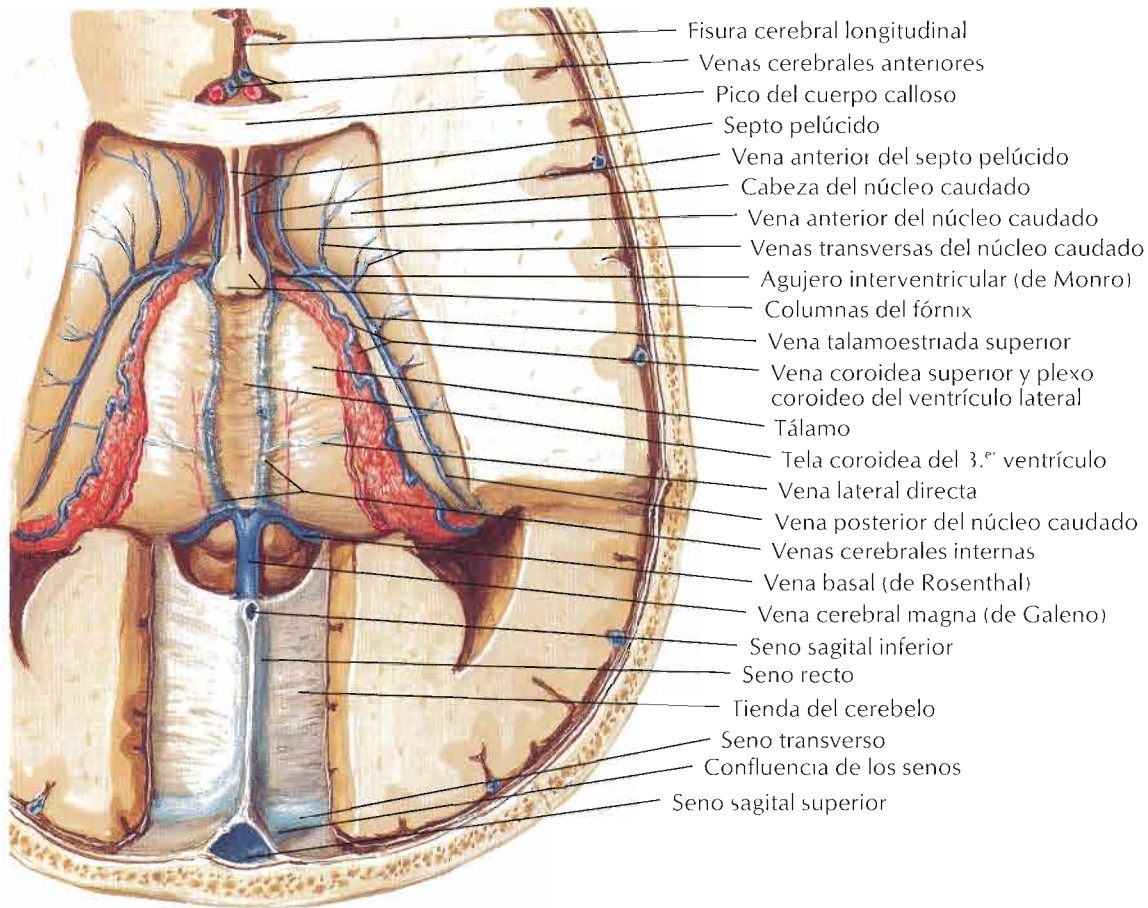
F. Netter M.D.

Venas de la fosa craneal posterior

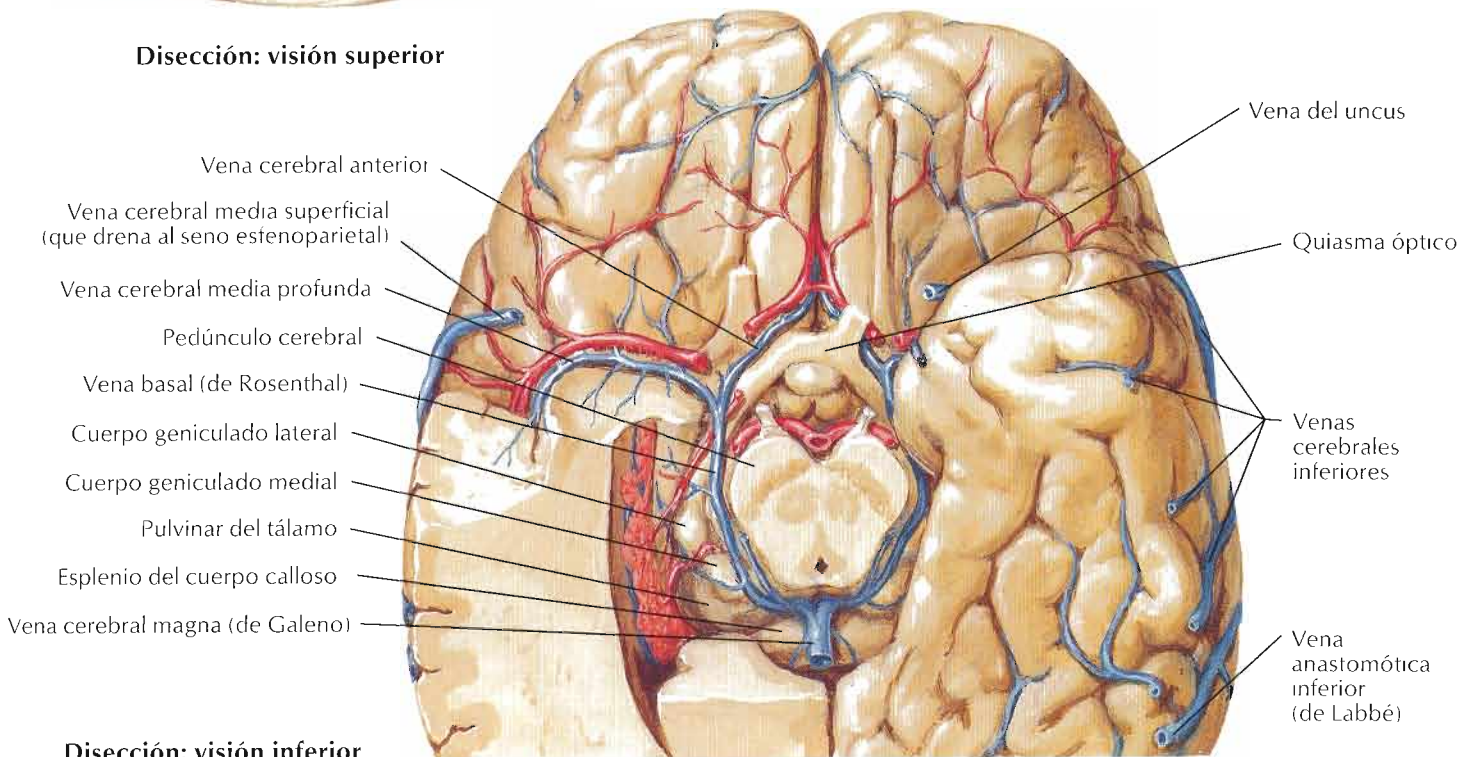


F. Netter M.D.

Para las venas superficiales del encéfalo véase lámina 102

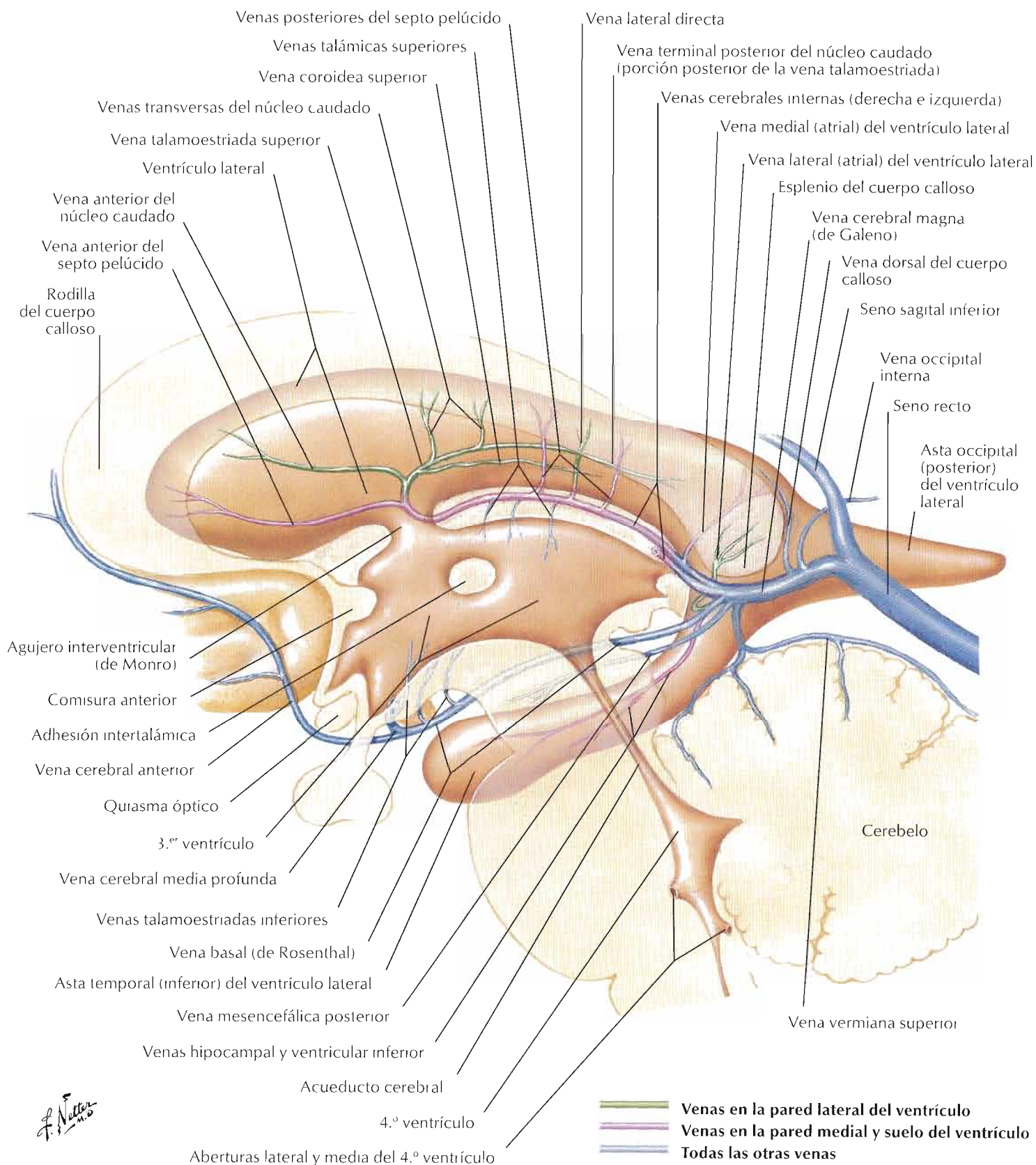


Disección: visión superior

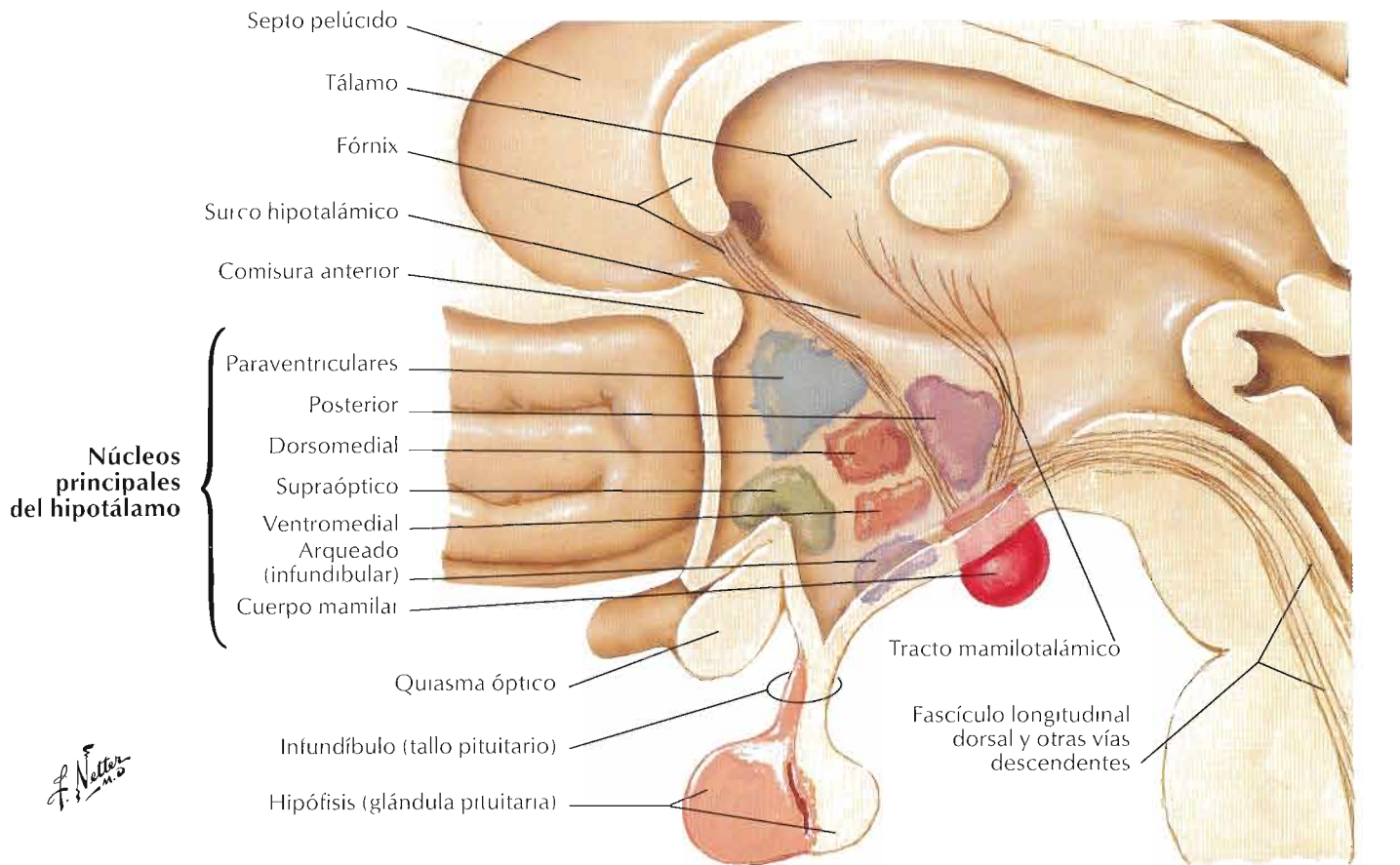


Disección: visión inferior

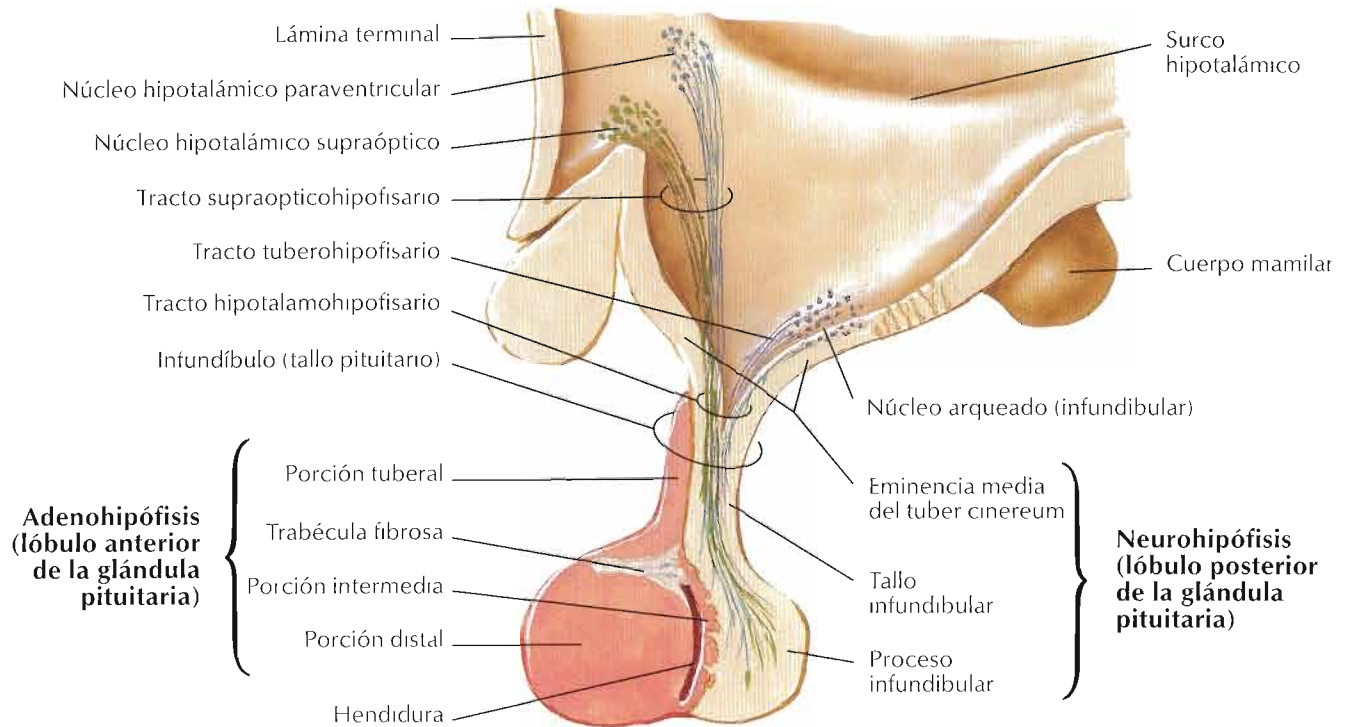
Venas subependimarias del encéfalo



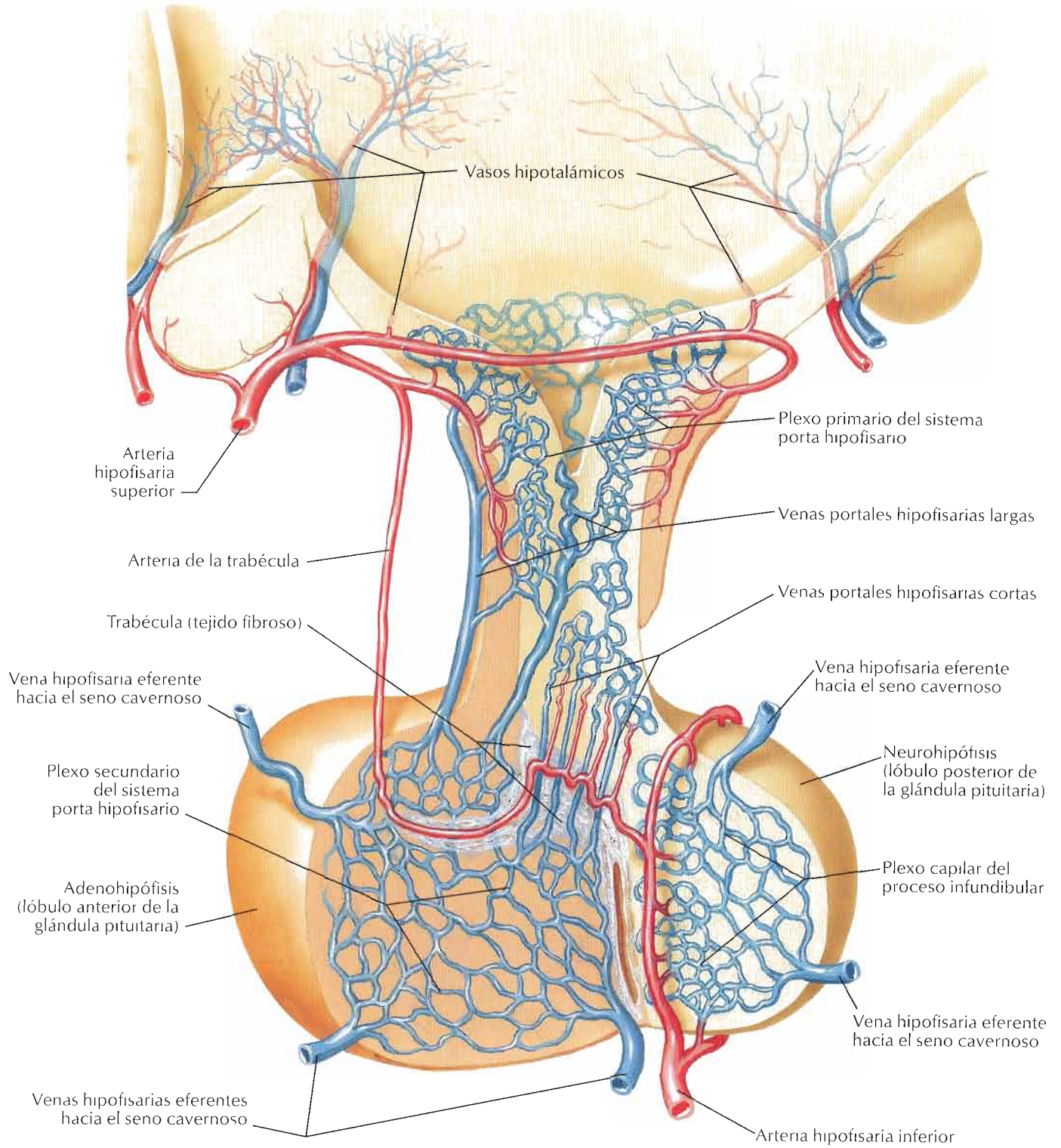
F. Netter M.D.



F. Netto



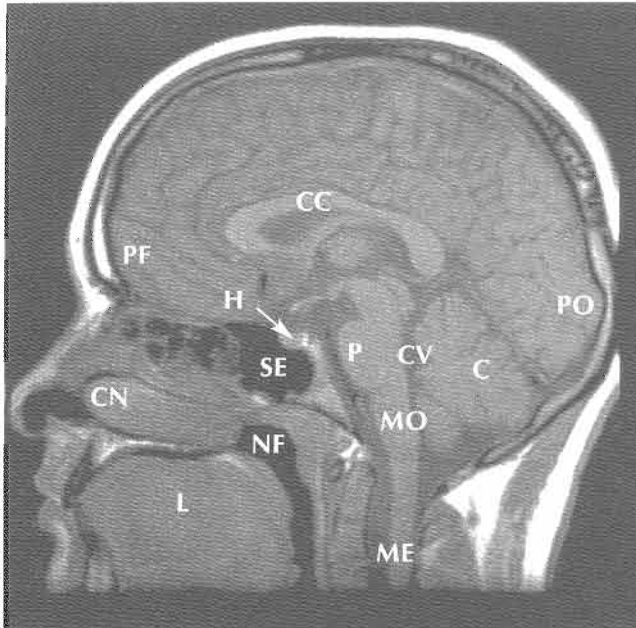
Véase también lámina 140



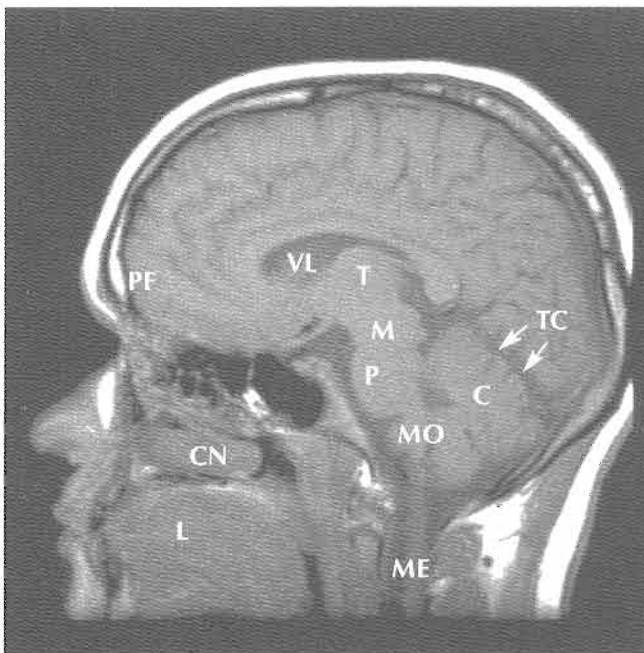
F. Netter
M.D.

Imágenes sagital media (A) y parasagitales (B,C) de RM

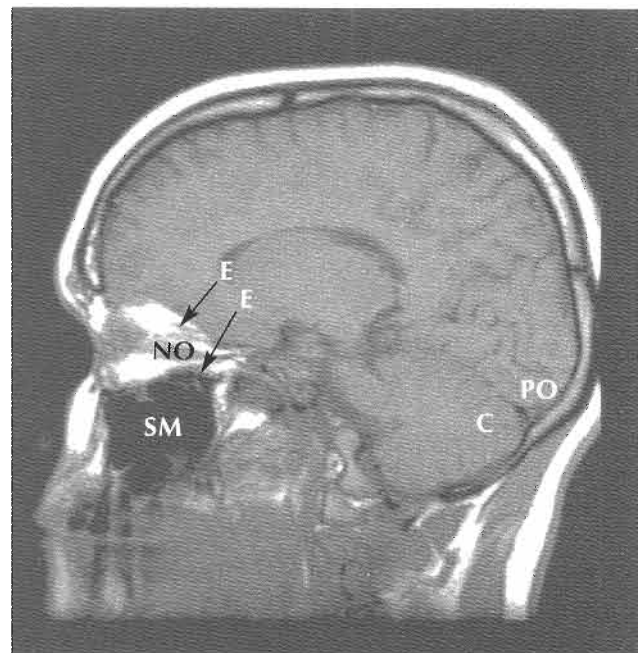
A



- | | | | |
|----|------------------------|----|---------------------|
| C | Cerebelo | NF | Nasofaringe |
| CC | Cuerpo calloso | NO | Nervio óptico |
| CN | Concha nasal inferior | P | Punto |
| CV | Cuarto ventrículo | PF | Polo frontal |
| E | Músculos extraoculares | PO | Polo occipital |
| H | Hipófisis | SE | Seno esfenoidal |
| L | Lengua | SM | Seno maxilar |
| M | Mesencéfalo | T | Tálamo |
| ME | Médula espinal | TC | Tienda del cerebelo |
| MO | Médula oblongada | VL | Ventrículo lateral |



B

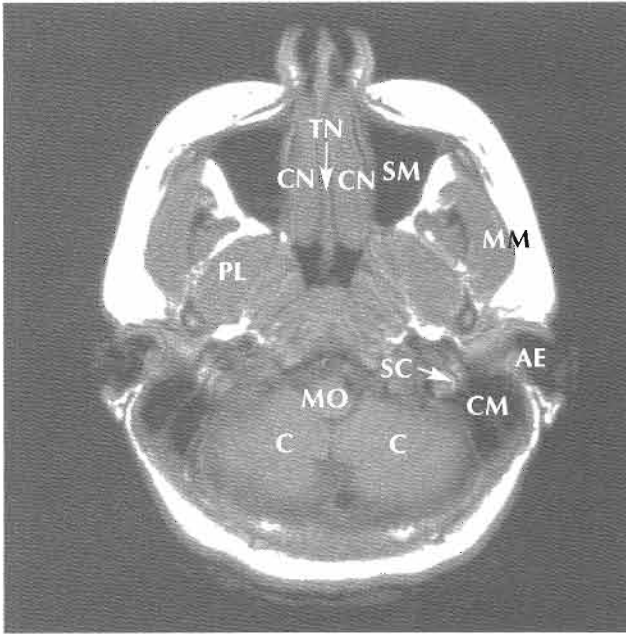


C

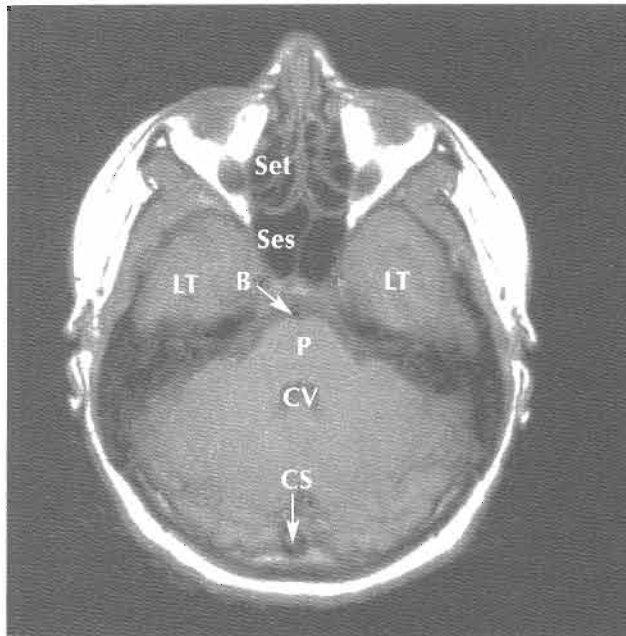
Véase también lámina 47

Imágenes axiales de TC de la cabeza de inferior (A) a superior (C)

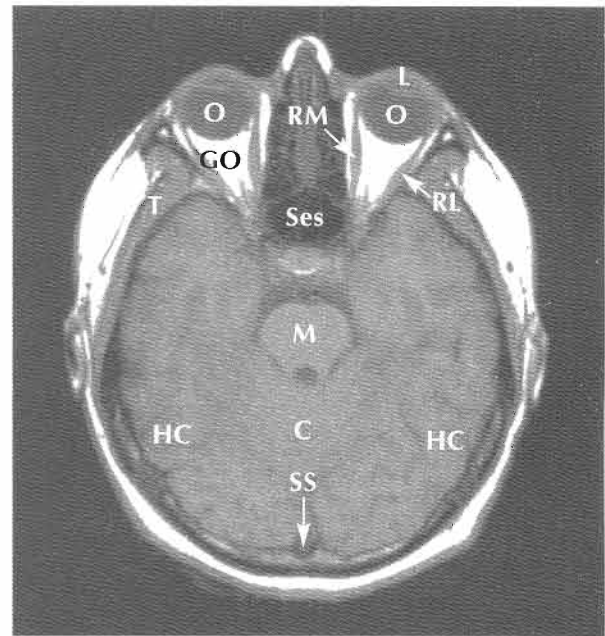
A



AE Conducto auditivo externo	O Ojo
B Arteria basilar	P Puente
C Cerebelo	PL Músculo pterigoideo lateral
CM Celdas mastoideas	RL Músculo recto lateral
CN Concha nasal	RM Músculo recto medial
CS Confluencia de los senos	SC Conductos semicirculares
CV Cuarto ventrículo	Ses Seno esfenoidal
GO Grasa orbitaria	Set Seno etmoidal
HC Hemisferio cerebral	SM Seno maxilar
L Lente	SS Seno sagital superior
LT Lóbulo temporal	T Músculo temporal
M Mesencéfalo	TN Tabique nasal
MM Músculo masetero	MO Médula oblongada

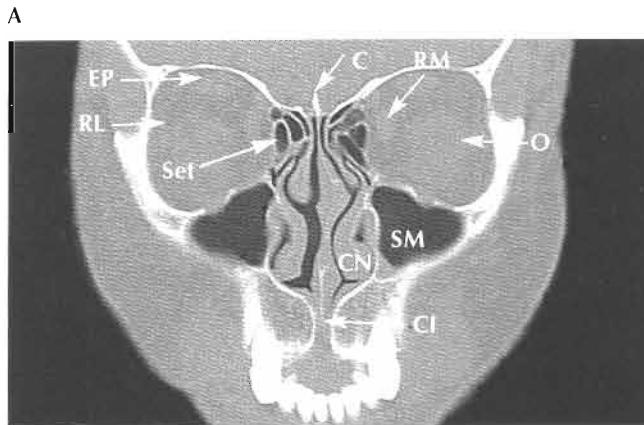


B

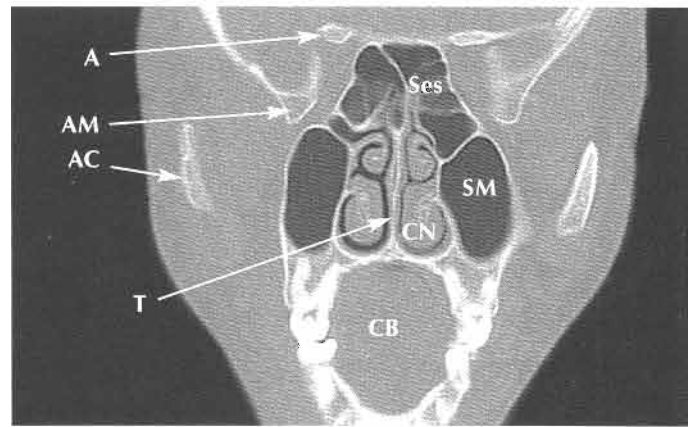
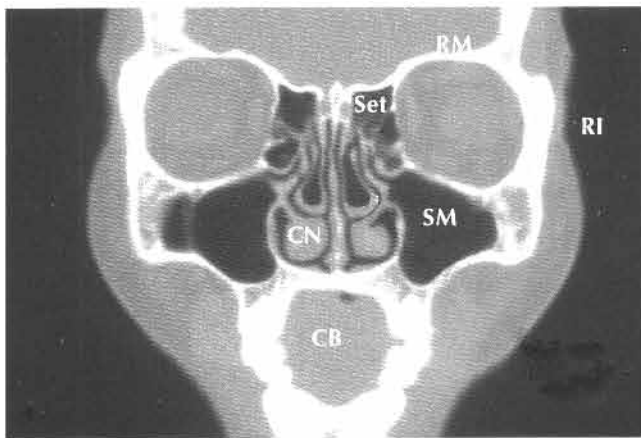


C

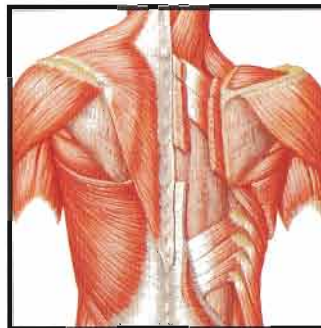
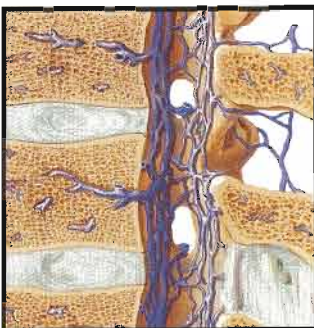
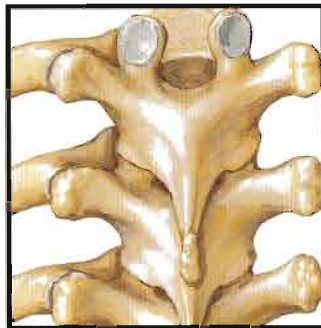
Imágenes coronales de TC de la cabeza de anterior (A) a posterior (C)



- | | | | |
|-----------|---|------------|------------------------|
| A | Apófisis clinoides anterior | O | Ojo (cámara vítrea) |
| AC | Arco cigomático | RI | Músculo recto inferior |
| AM | Ala mayor del esfenoides | RL | Músculo recto lateral |
| C | Crista galli | RM | Músculo recto medial |
| CB | Cavidad bucal | Ses | Seno esfenoidal |
| CI | Conducto incisivo | Set | Seno etmoidal |
| CN | Concha nasal inferior | SM | Seno maxilar |
| EP | Músculos elevador del párpado superior y recto superior | T | Tabique nasal |



Sección 2 Dorso y médula espinal



Anatomía de superficie

Lámina 152

152 Dorso

Huesos y ligamentos

Láminas 153-159

153 Columna vertebral

154 Vértebras torácicas

155 Vértebras lumbares

156 Vértebras lumbares: radiografías

157 Sacro y cóccix

158 Ligamentos vertebrales: región lumbar

159 Ligamentos vertebrales: región lumbosacra

Médula espinal

Láminas 160-173

160 Médula espinal y ramos ventrales espinales in situ

161 Relación de las raíces de los nervios espinales con las vértebras

162 Hernia discal lumbar: manifestaciones clínicas

163 Punción lumbar y anestesia epidural

164 Dermatomas

165 Sistema nervioso simpático: topografía general

166 Sistema nervioso parasimpático: topografía general

167 Sistema nervioso simpático: esquema

168 Sistema nervioso parasimpático: esquema

169 Membranas y raíces nerviosas espinales

170 Origen del nervio espinal: secciones transversales

171 Arterias de la médula espinal: esquema

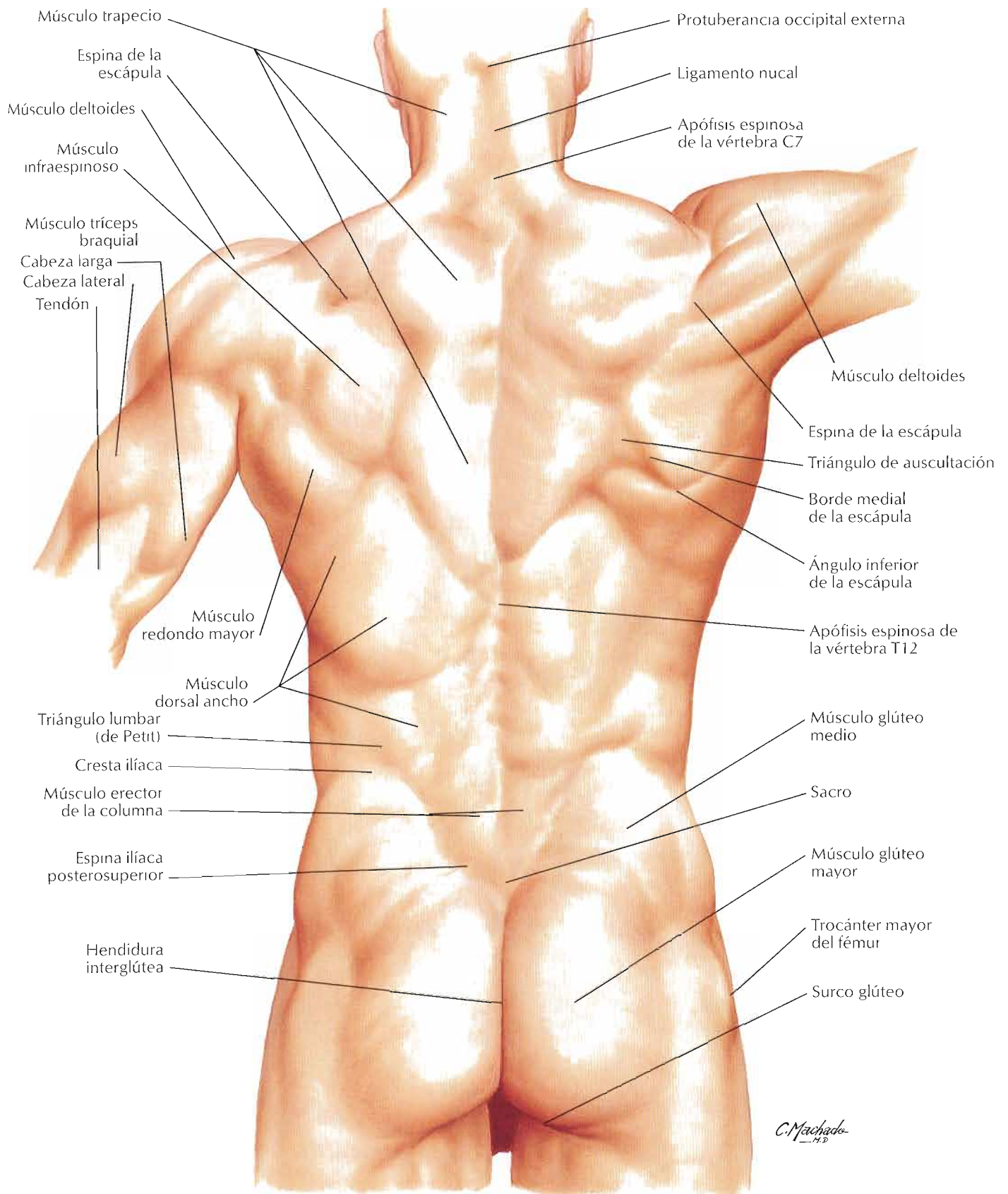
Dorso y médula espinal

- 172 Arterias de la médula espinal: distribución intrínseca
- 173 Venas de la médula espinal y columna vertebral

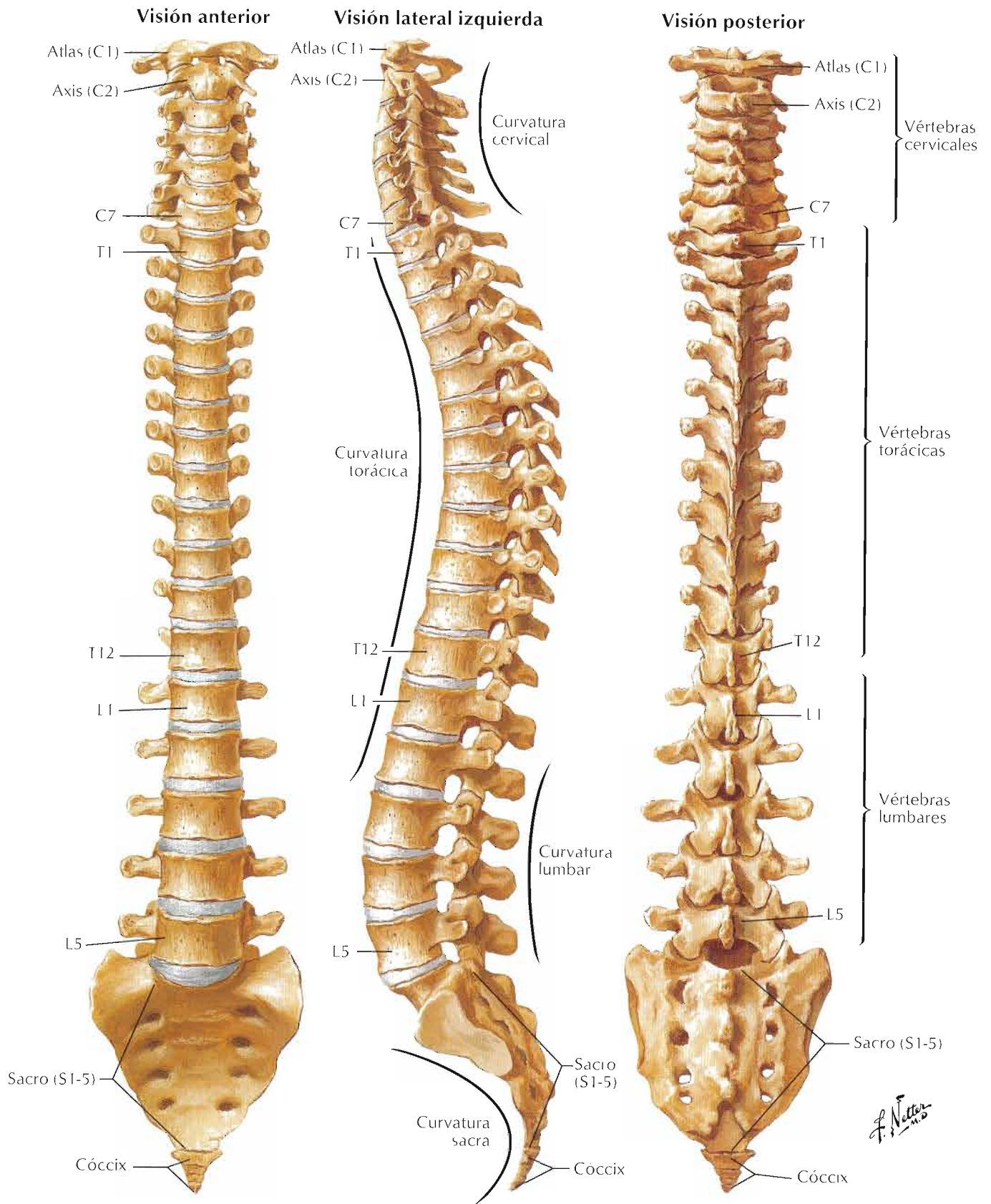
Músculos y nervios

Láminas 174–180

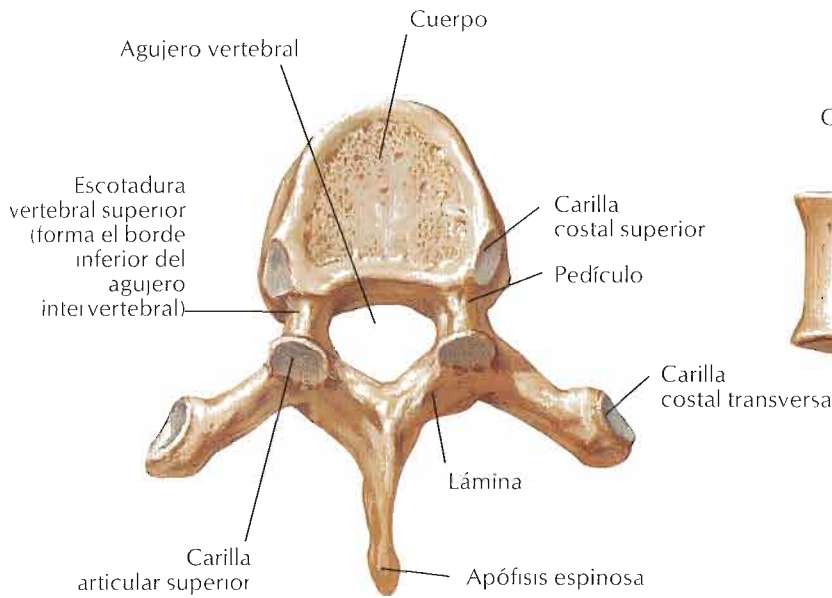
- 174 Músculos del dorso: planos superficiales
- 175 Músculos del dorso: planos intermedios
- 176 Músculos del dorso: planos profundos
- 177 Nervios del dorso
- 178 Triángulo suboccipital
- 179 Región lumbar del dorso: sección transversal
- 180 Nervio espinal torácico típico



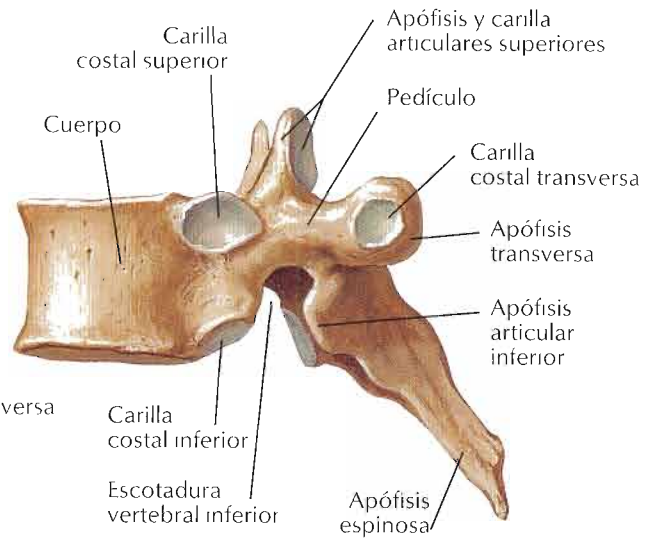
Véanse también láminas 13, 17, 18, 154, 155, 157, 185, 248



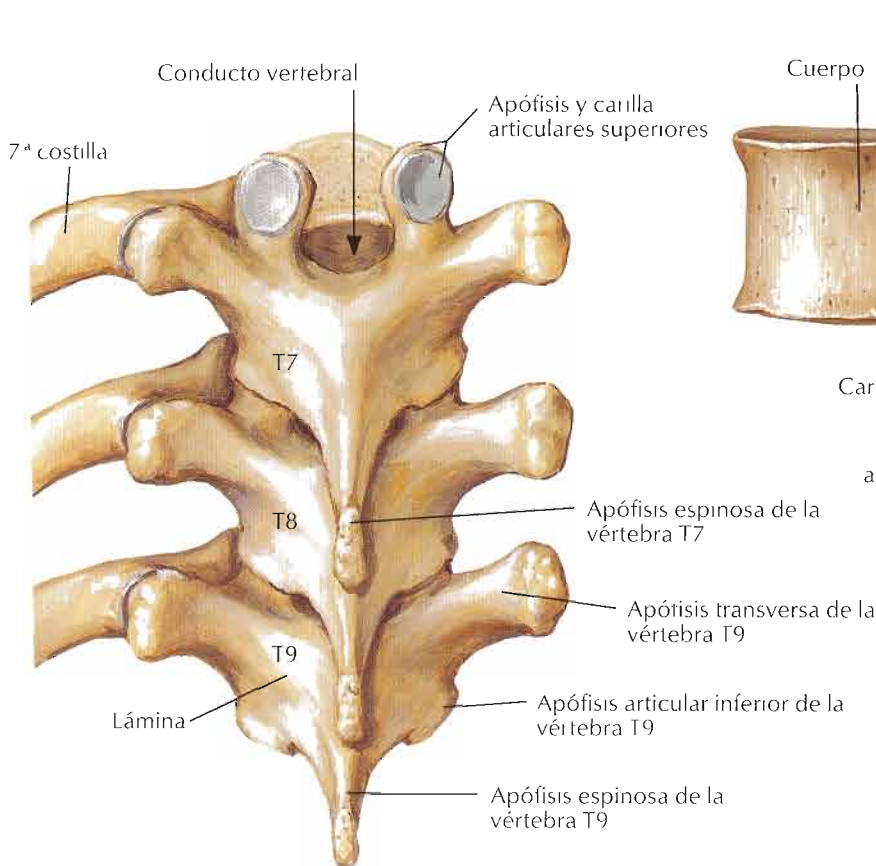
F. Netter M.D.



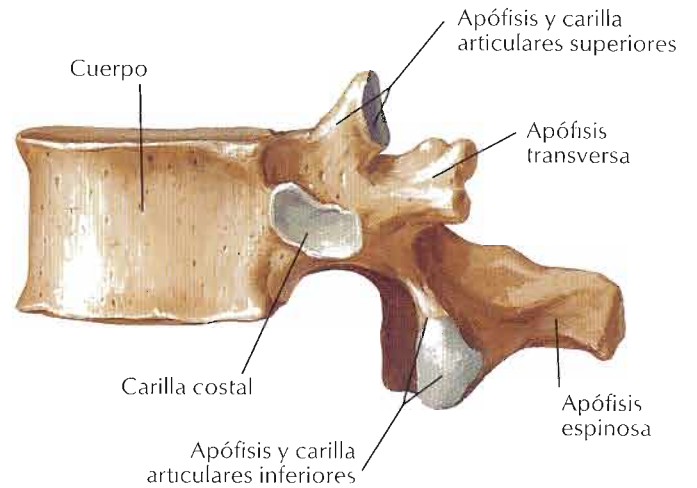
**Vértebra T6:
visión superior**



**Vértebra T6:
visión lateral**

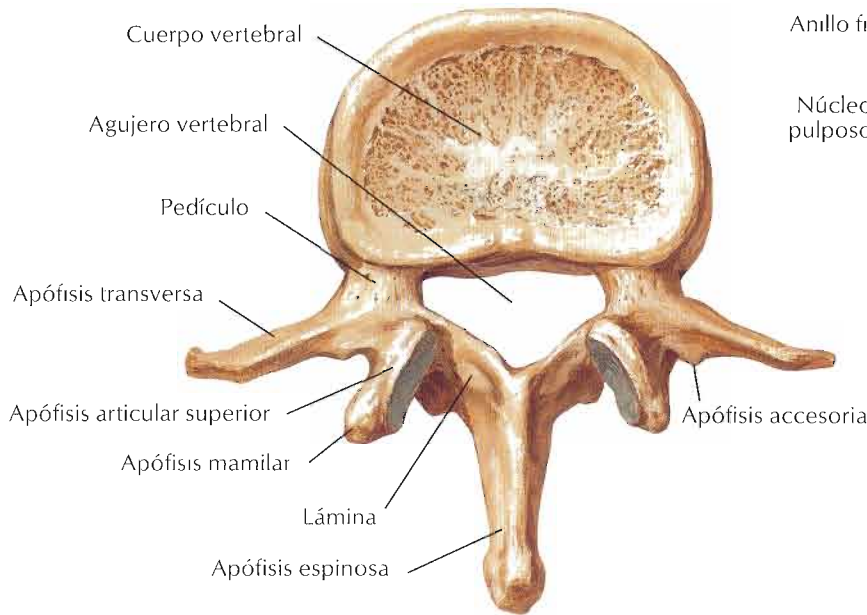


**Vértebras T7, T8 y T9:
visión posterior**

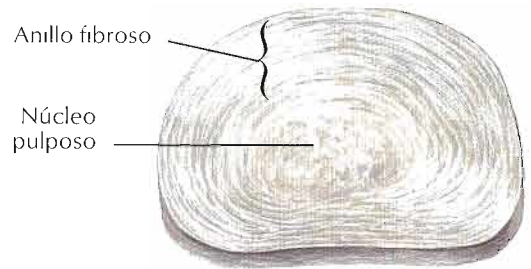


**Vértebra T12:
visión lateral**

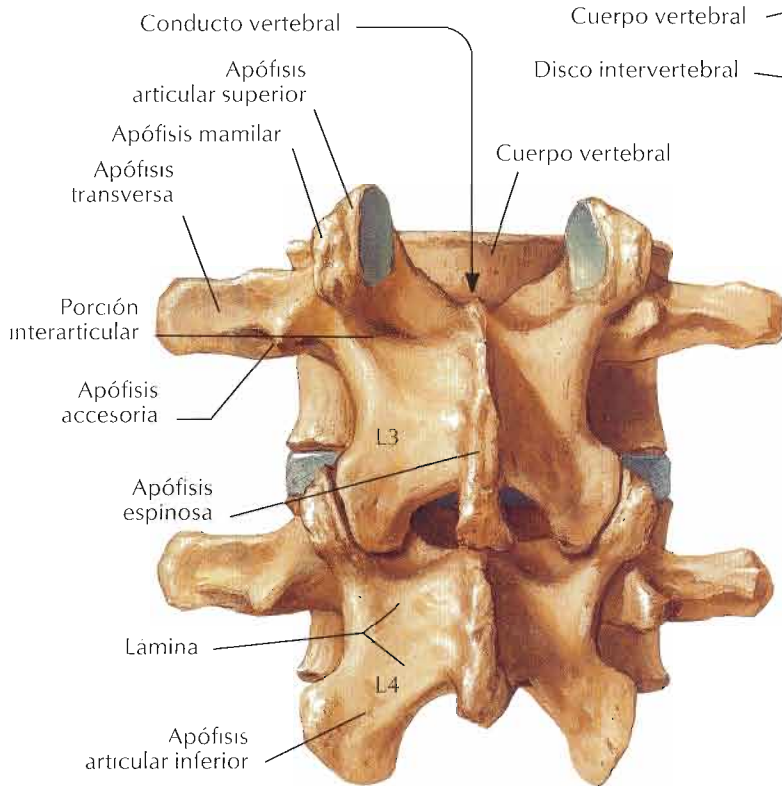
F. Netter M.D.



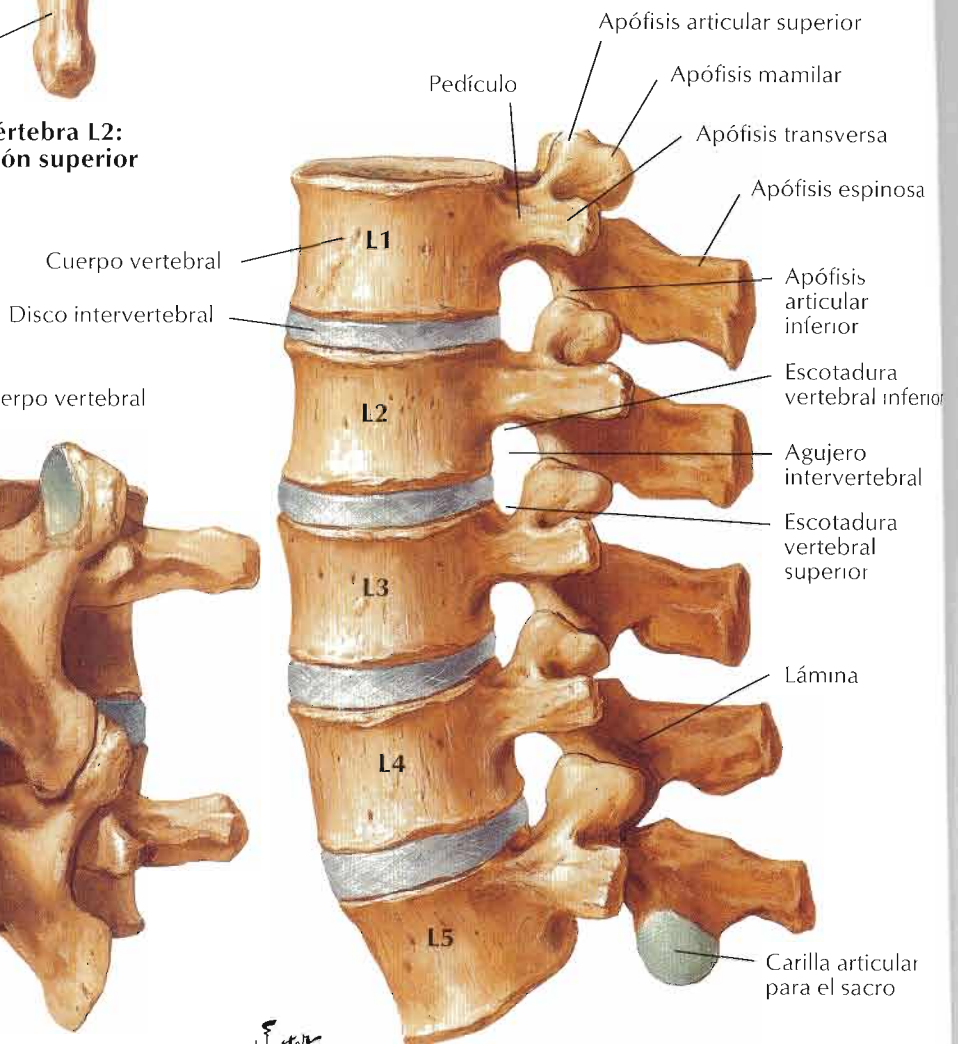
Vértebra L2:
visión superior



Disco intervertebral



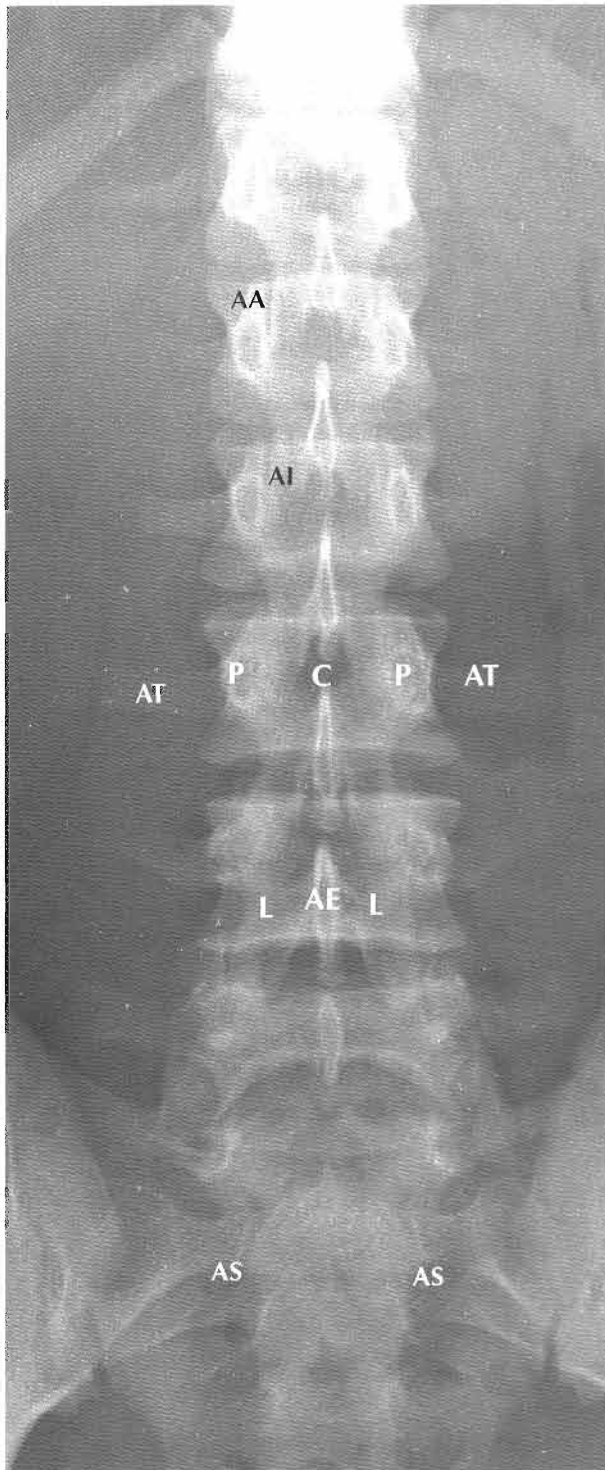
Vértebras L3 y L4:
visión posterior



Vértebras lumbares articuladas:
visión lateral izquierda

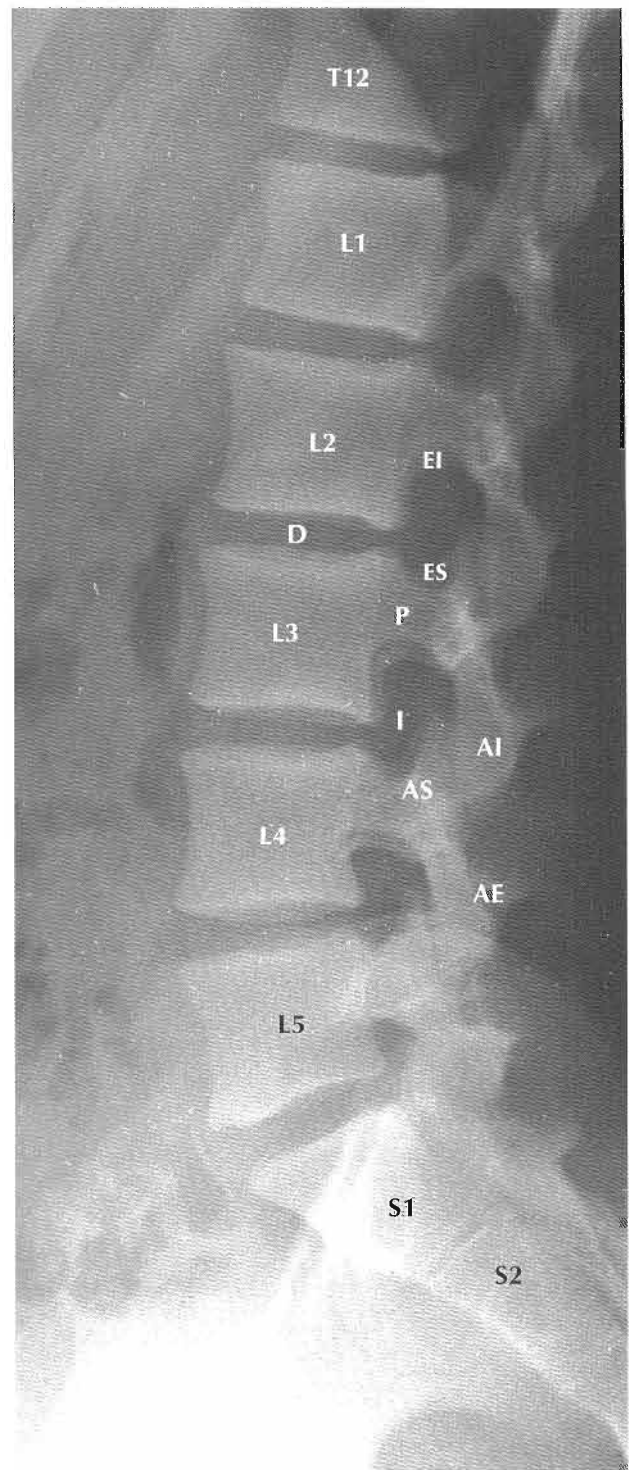
F. Netter M.D.

Radiografía anteroposterior



- AA Apófisis articular superior de la vértebra L1
- AE Apófisis espinosa de la vértebra L4
- AI Apófisis articular inferior de la vértebra L1
- AS Agujero sacro
- AT Apófisis transversa de la vértebra L3
- C Cuerpo de la vértebra L3
- L Lámina de la vértebra L4
- P Pedículo de la vértebra L3

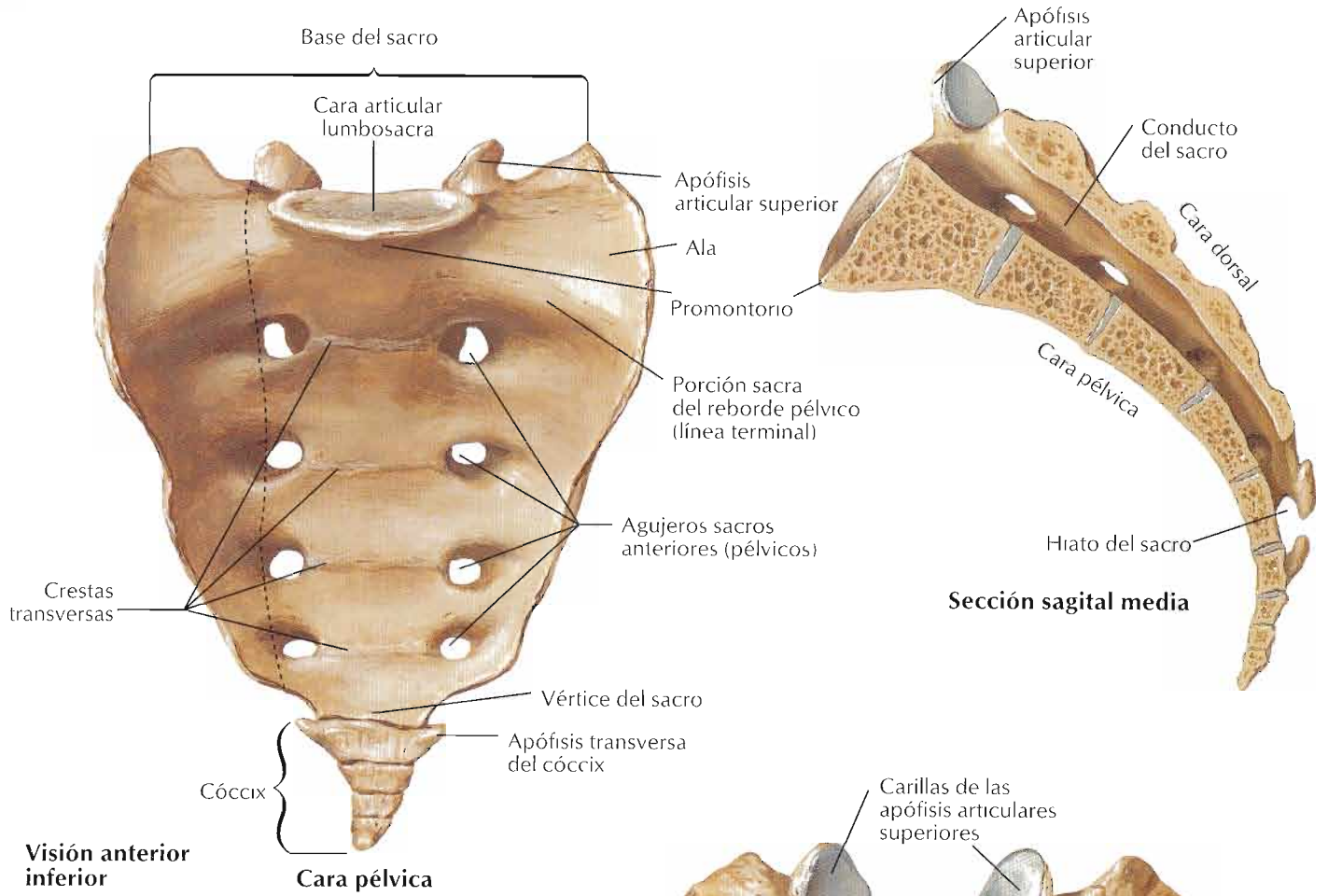
Radiografía lateral



- AE Apófisis espinosa de la vértebra L3
- AI Apófisis articular inferior de la vértebra L3
- AS Apófisis articular superior de la vértebra L4
- D Espacio del disco intervertebral
- EI Escotadura vertebral inferior de la vértebra L2
- ES Escotadura vertebral superior de la vértebra L3
- I Agujero intervertebral
- P Pedículo de la vértebra L3

Nota: los cuerpos vertebrales están numerados

Véanse también láminas 153, 159, 248, 352-354



Visión anterior inferior

Sección sagital media

Cara pélvica

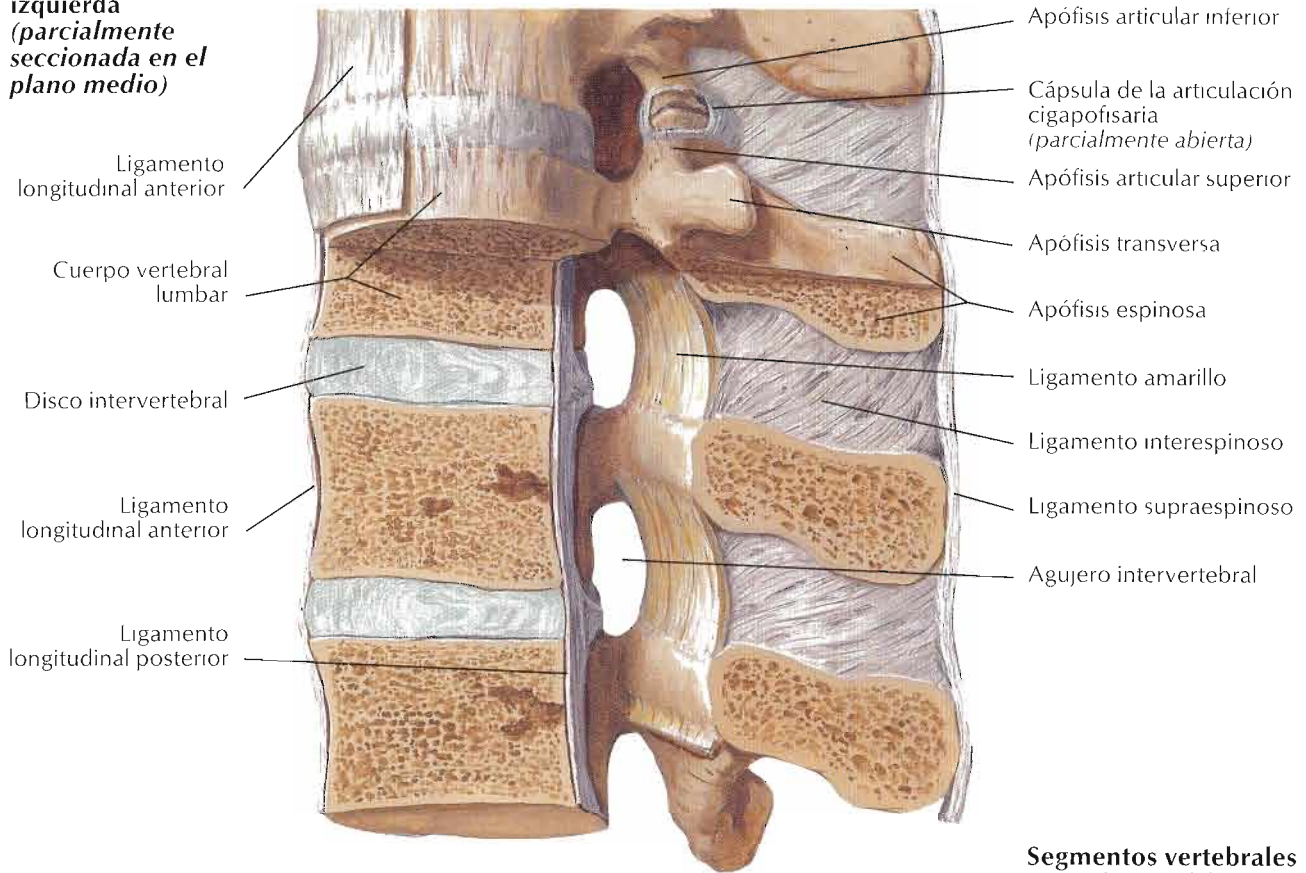
Cara dorsal

Visión posterior superior

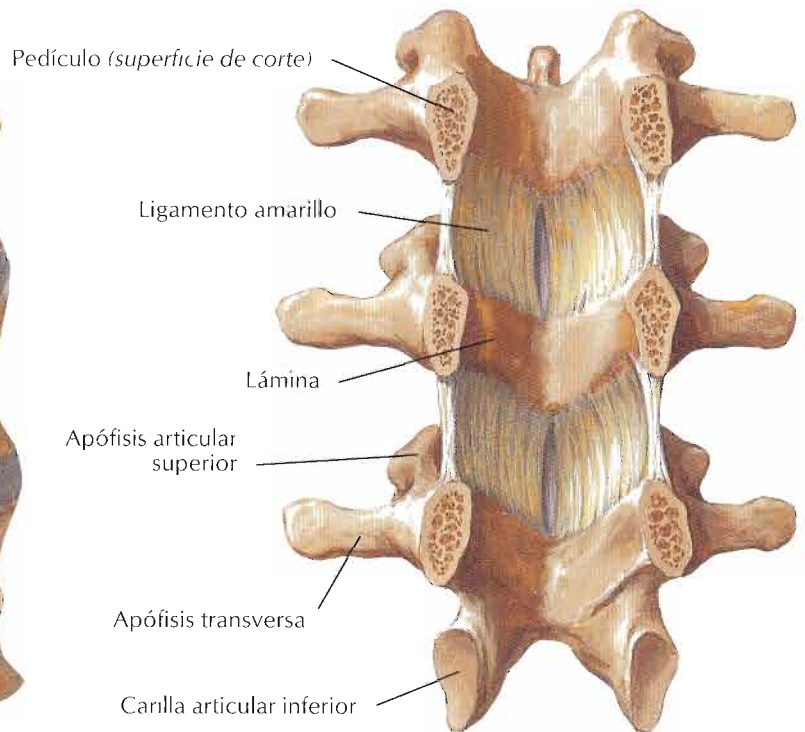
Sección coronal a través de los agujeros de S2

F. Netter

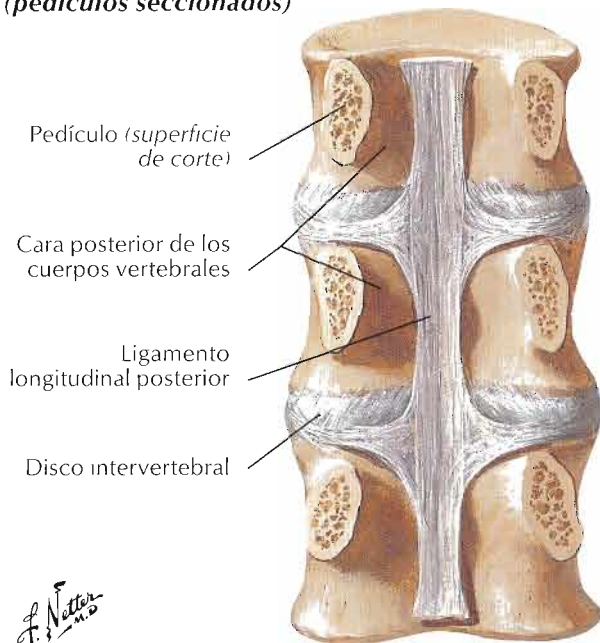
Visión lateral izquierda (parcialmente seccionada en el plano medio)



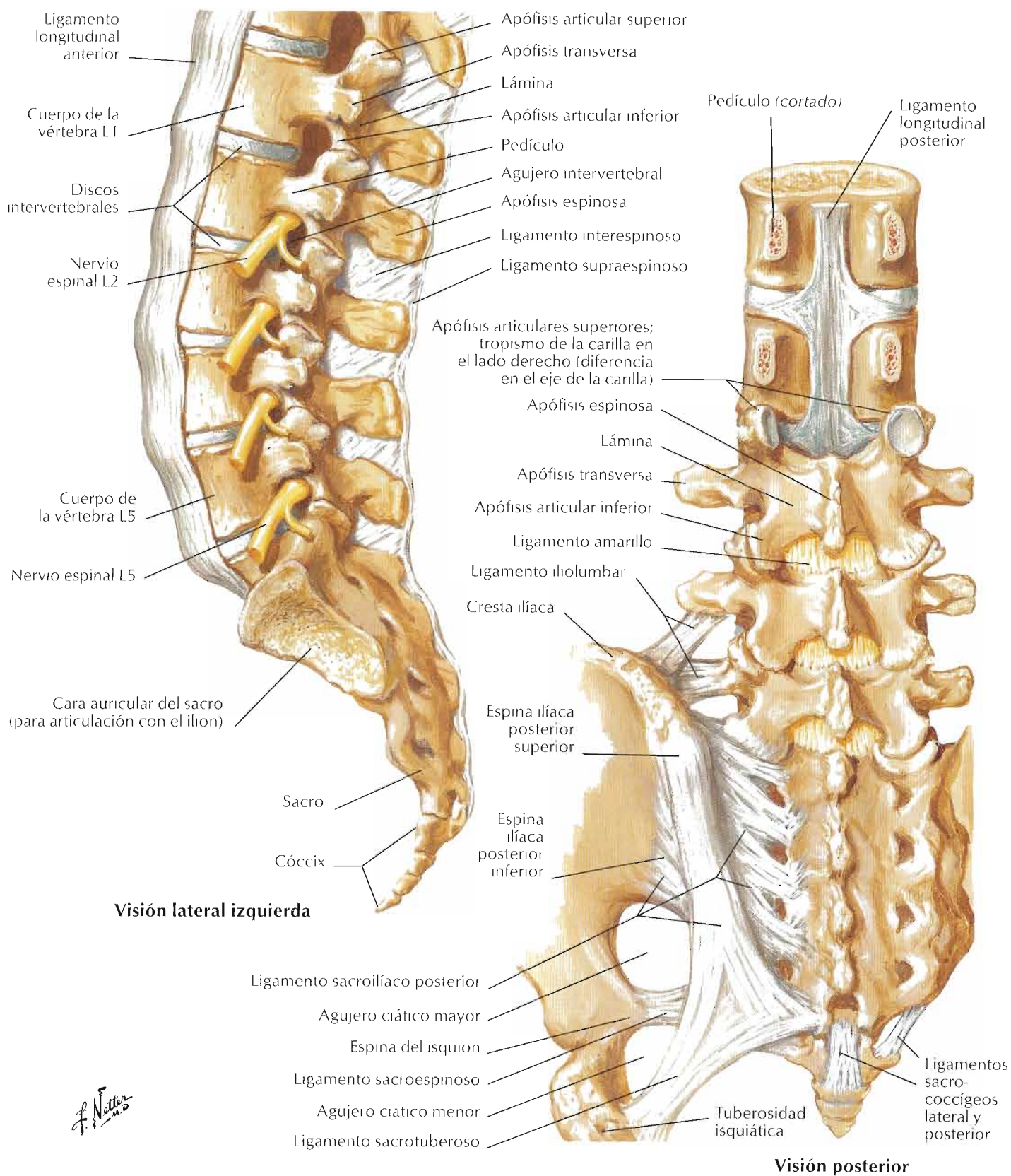
Segmentos vertebrales posteriores: visión anterior



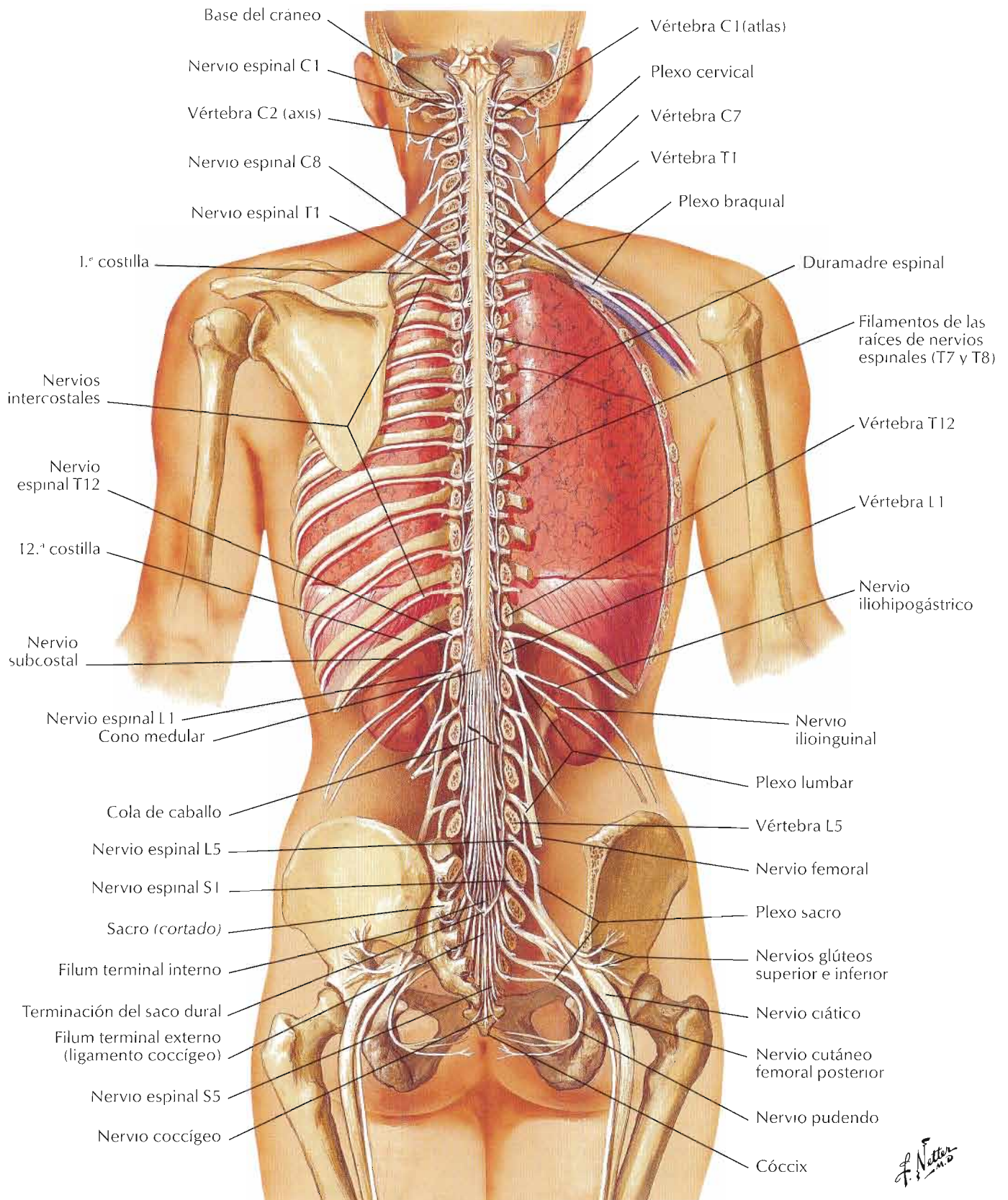
Segmentos vertebrales anteriores: visión posterior (pedículos seccionados)

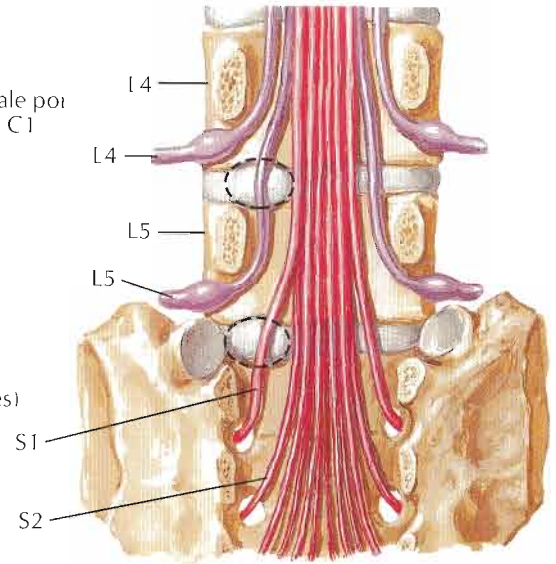
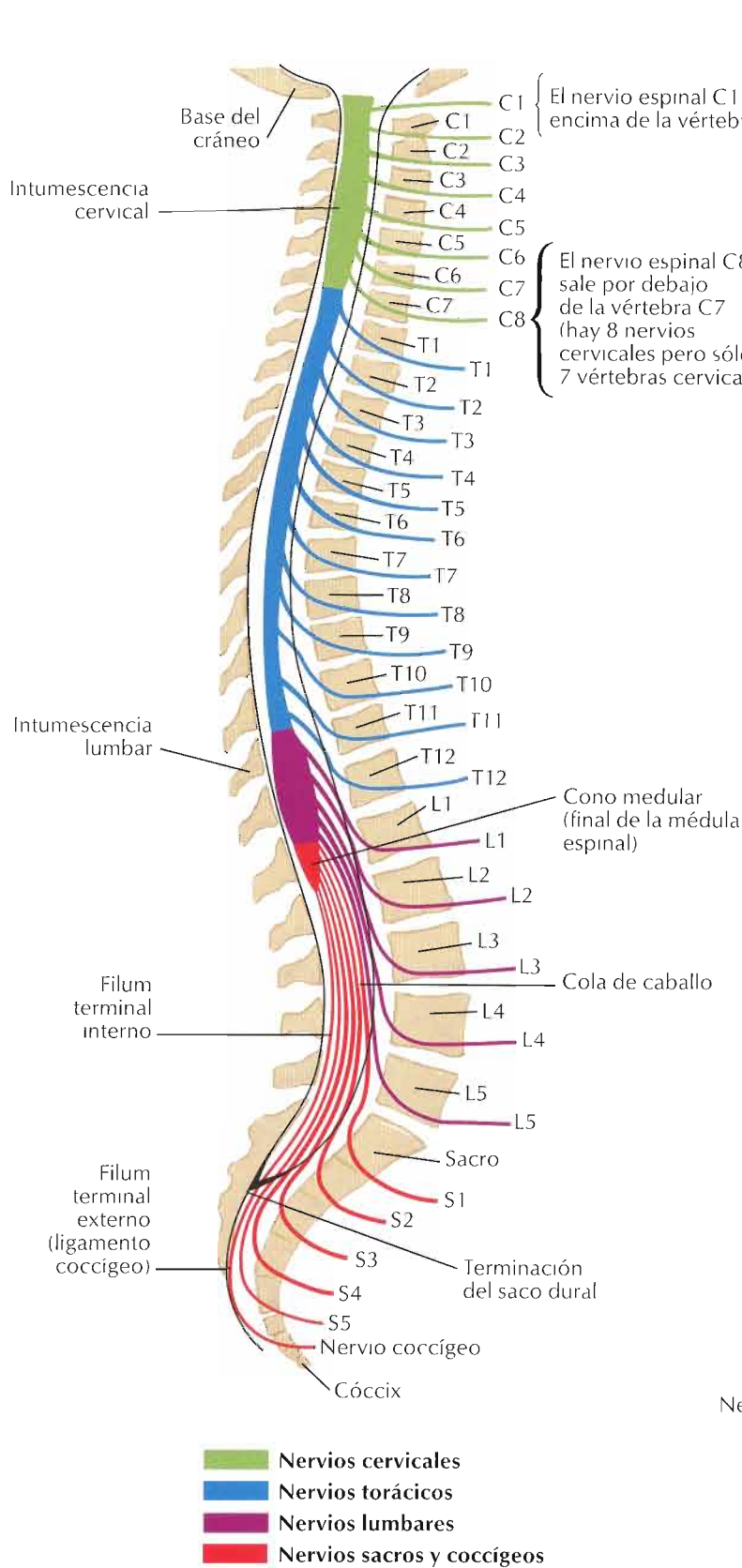


F. Netter M.D.

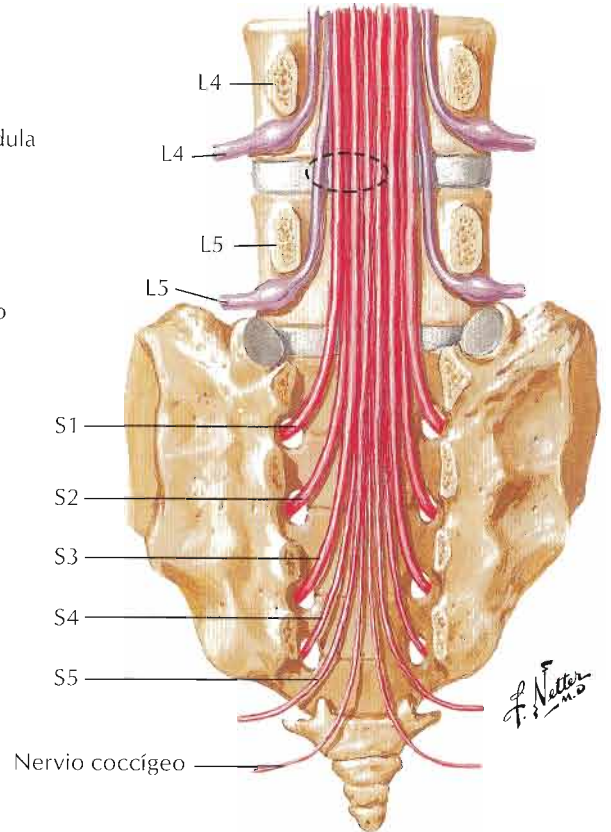


F. Netter M.D.





La protrusión de un disco lumbar normalmente no afecta el nervio que sale por encima del disco. La protrusión lateral a nivel del disco L4-5 afecta el nervio espinal L5, no el nervio espinal L4. La protrusión del disco a nivel L5-S1 afecta el nervio espinal S1, no el nervio espinal L5



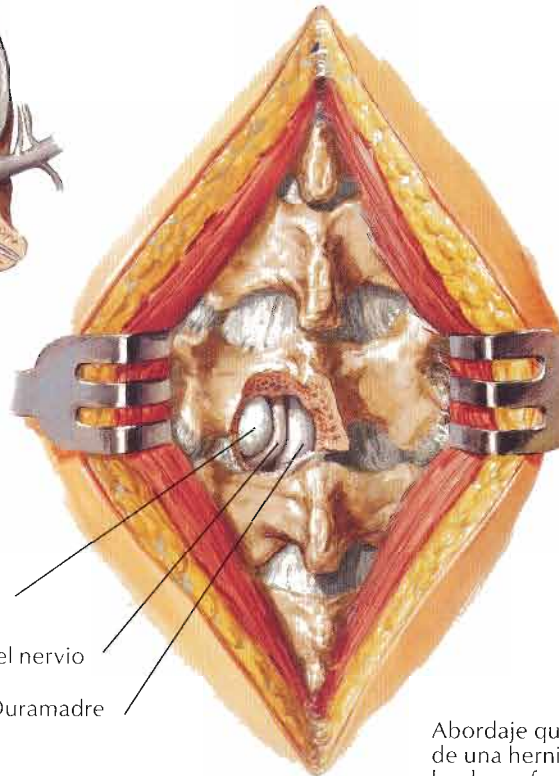
La protrusión medial a nivel del disco L4-5 raramente afecta el nervio espinal L4, pero puede afectar el nervio espinal L5 y a veces los nervios espinales S1-4

Esquema de una sección transversal que muestra la compresión de una raíz nerviosa



Postura característica ante una hernia discal lumbar interior izquierda

Núcleo pulposo
Raíz del nervio
Duramadre



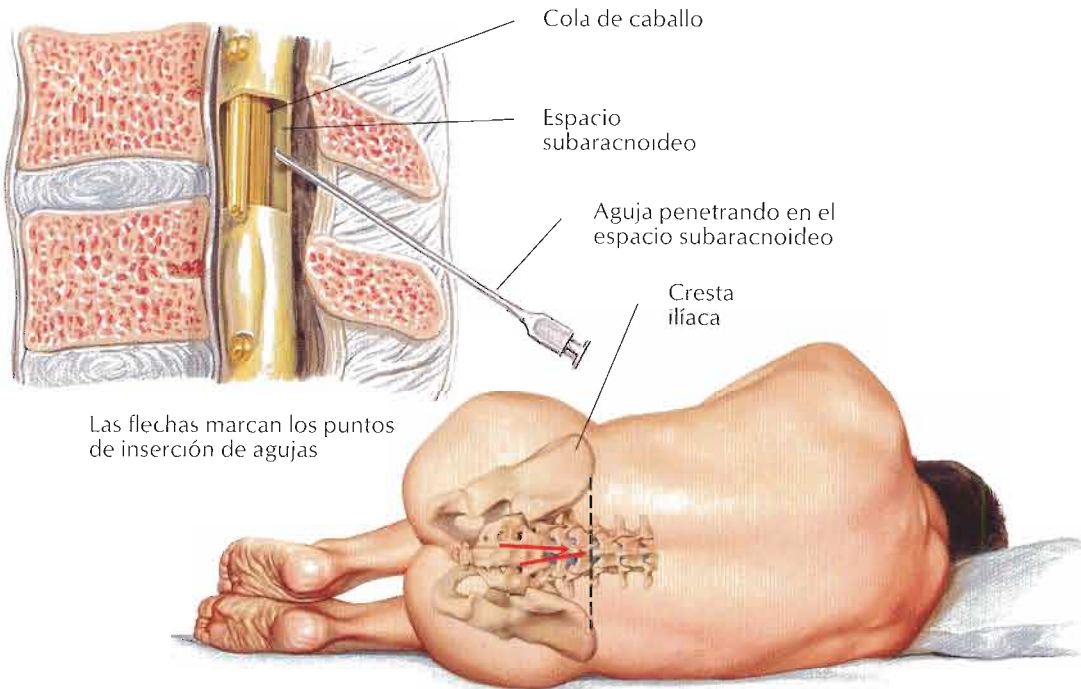
F. Netter M.D.

Abordaje quirúrgico de una hernia discal lumbar inferior

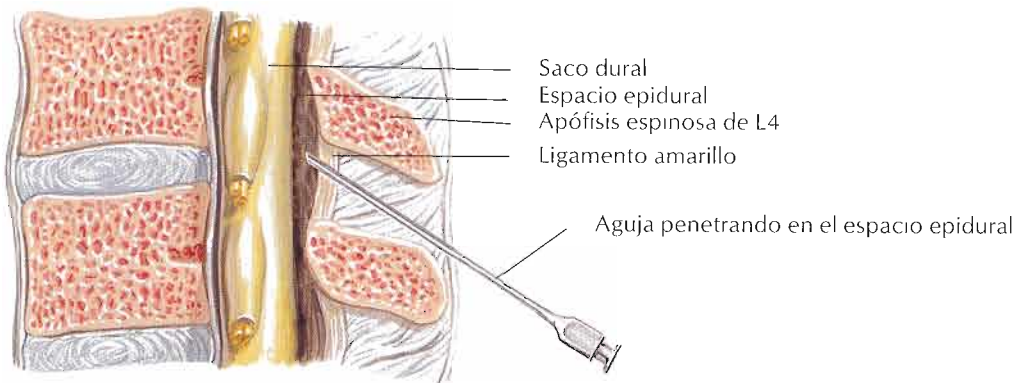
Características clínicas de la hernia de un núcleo pulposo lumbar

Nivel de la hernia	Dolor	Parestesia	Hipotonia	Atrofia	Reflejos
<p>Disco L4-5; raíz del 5.º nervio lumbar</p>	<p>En articulación sacroilíaca, cadera, cara lateral de muslo y pierna</p>	<p>Cara lat. de la pierna, 3 primeros dedos</p>	<p>Dorsiflexión del dedo gordo y pie; dificultad para marchar sobre los talones; puede existir pie péndulo</p>	Mínima	Cambios poco frecuentes en los reflejos rotuliano y aquileo, aunque el reflejo isquiotibial interno se encuentra disminuido o ausente
<p>Disco L5-S1; raíz del 1.º nervio sacro</p>	<p>En articulación sacroilíaca, cadera, cara posterolateral de muslo y pierna hasta el talón</p>	<p>Dorso pantorrilla, cara lat. talón y pie hasta dedo pequeño</p>	<p>La flexión plantar del pie y del dedo gordo pueden estar afectadas; dificultad para andar de puntillas</p>	<p>Gastrocnemio y sóleo</p>	<p>Reflejo aquileo disminuido o ausente</p>

Punción lumbar



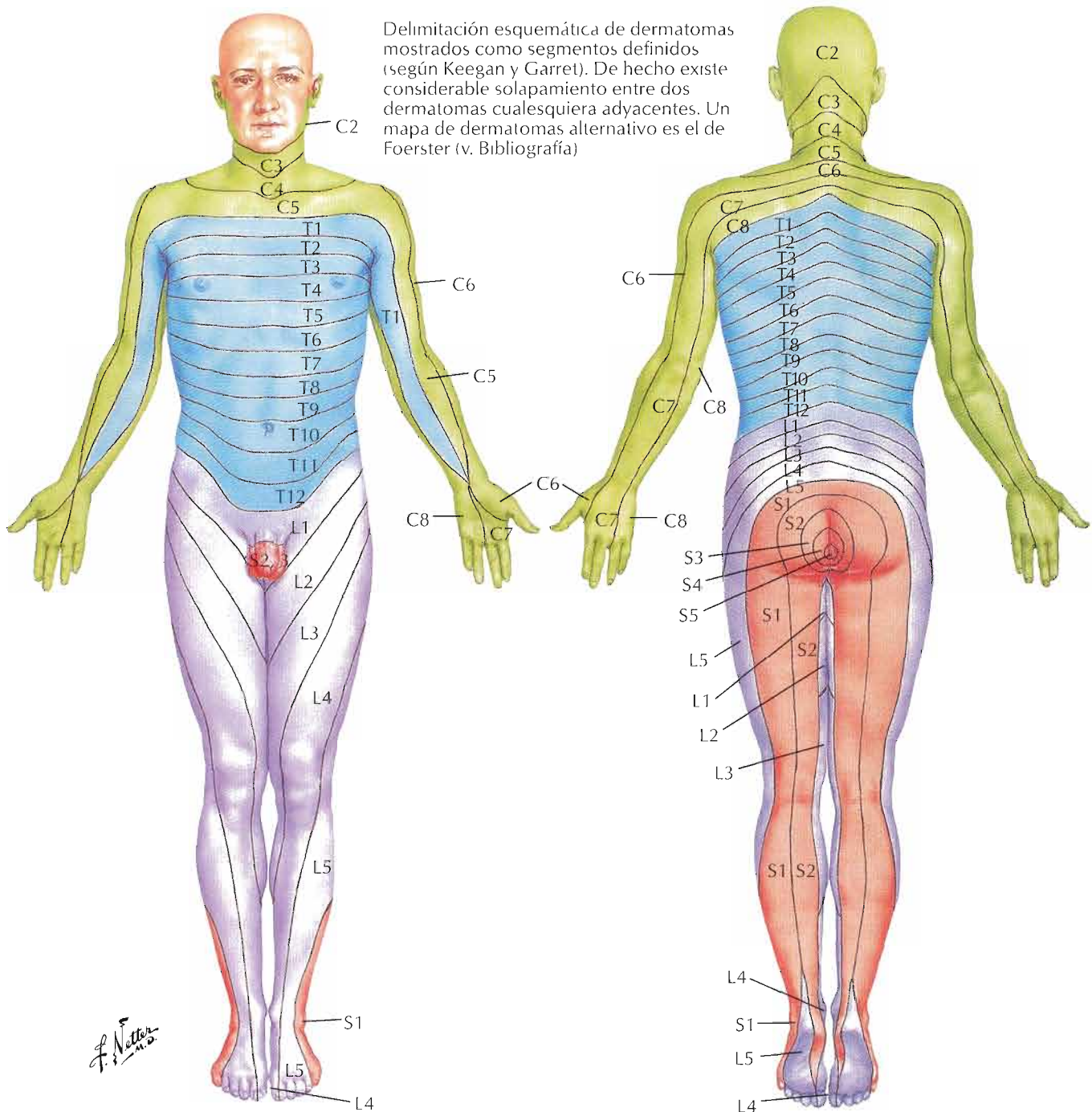
Anestesia epidural



La anestesia epidural y la punción lumbar se realizan insertando una aguja por encima o por debajo de la apófisis espinosa de L4, que se sitúa al nivel del plano de las crestas ilíacas. En la anestesia epidural, la aguja pasa hacia el interior del espacio epidural, infiltrándose el agente anestésico próximo a las raíces nerviosas. La punción lumbar se realiza para obtener una muestra de líquido cefalorraquídeo (LCR) o para introducir un agente anestésico en el interior del LCR (anestesia espinal), por tanto la aguja perfora el saco dural para penetrar en el espacio subaracnoideo.

C. Machado
— H 2

Véanse también láminas 483, 543; para mapas de nervios cutáneos véanse láminas 24, 472, 474-476, 478, 481, 538-542

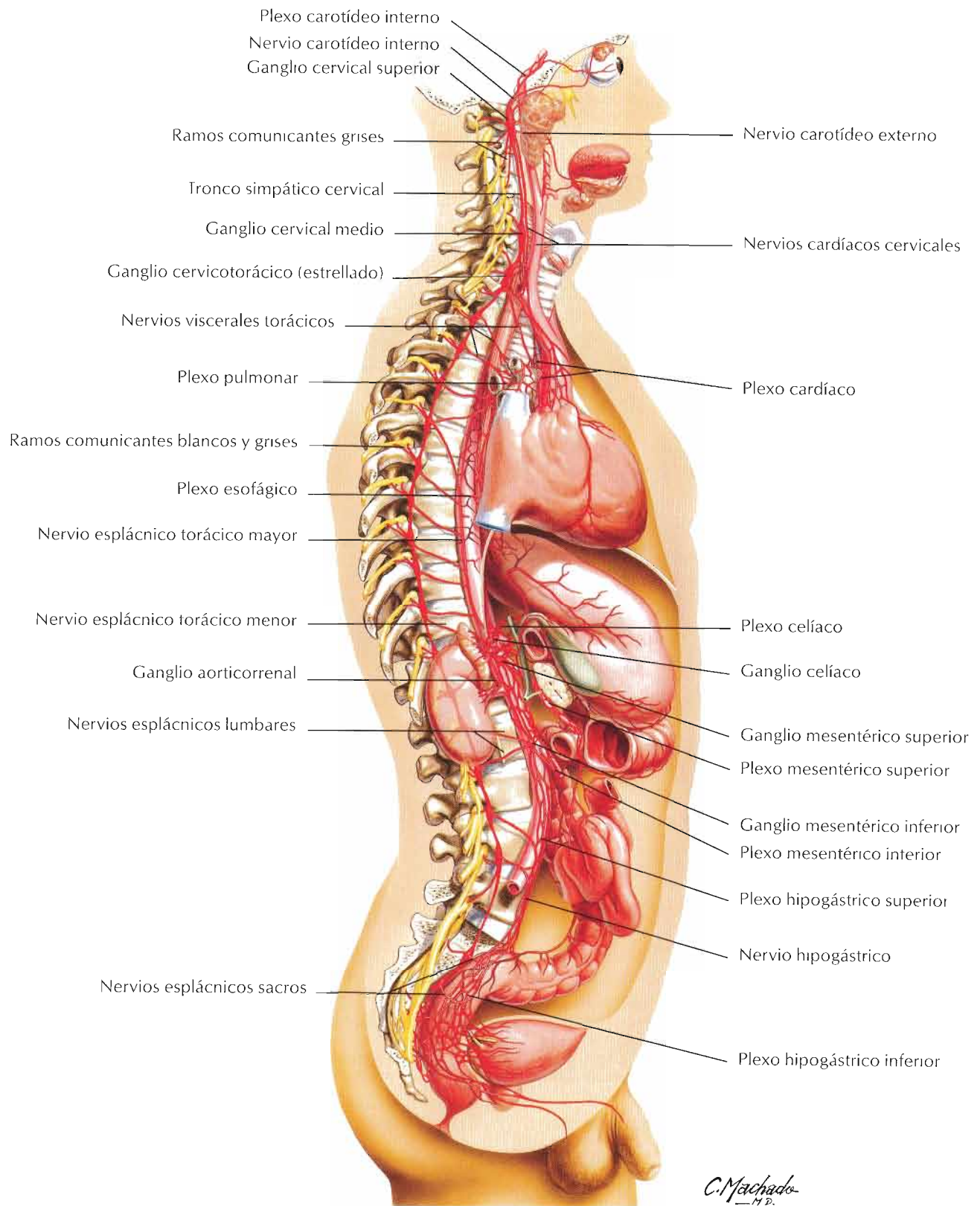


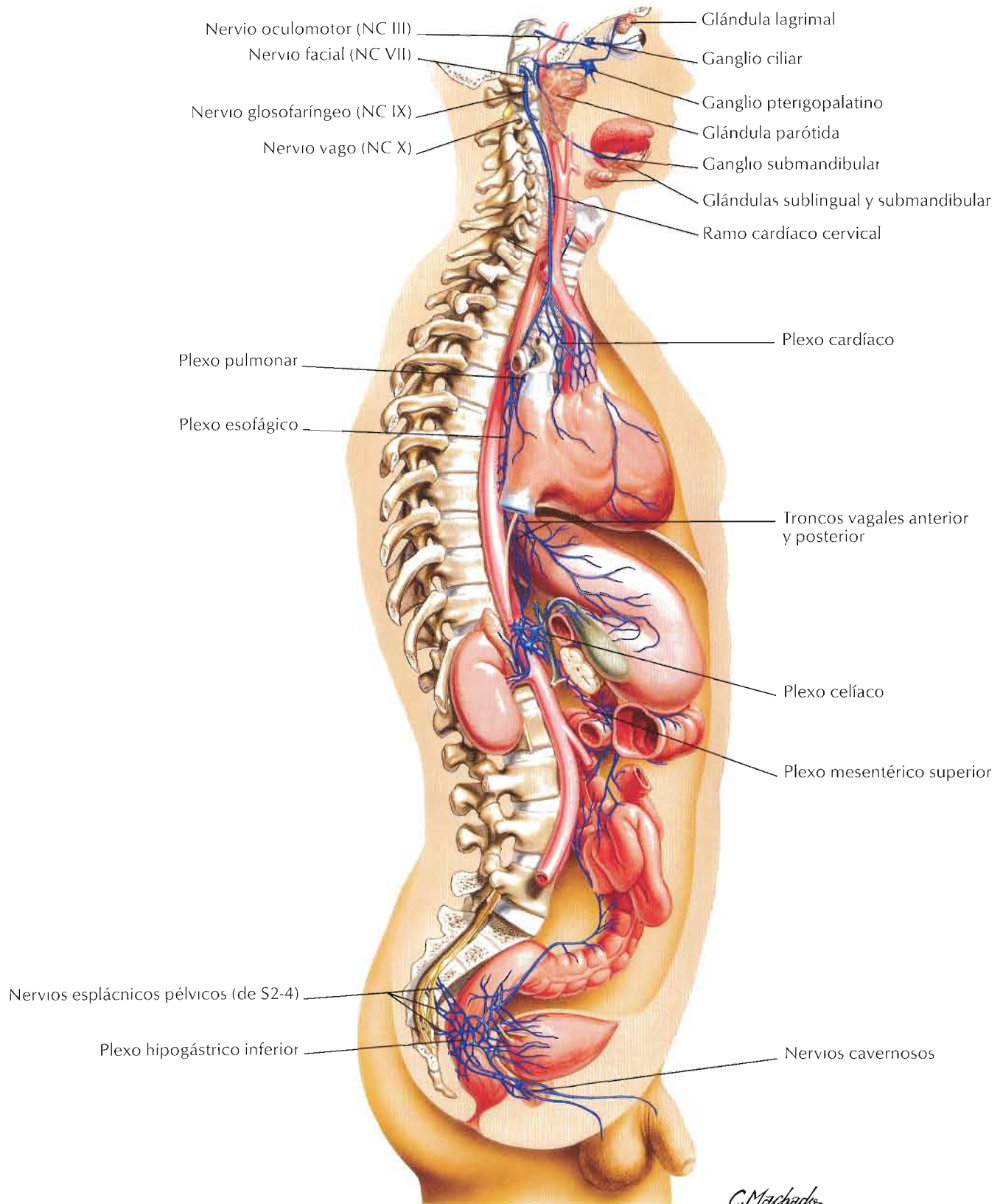
Delimitación esquemática de dermatomas mostrados como segmentos definidos (según Keegan y Garret). De hecho existe considerable solapamiento entre dos dermatomas cualesquiera adyacentes. Un mapa de dermatomas alternativo es el de Foerster (v. Bibliografía)

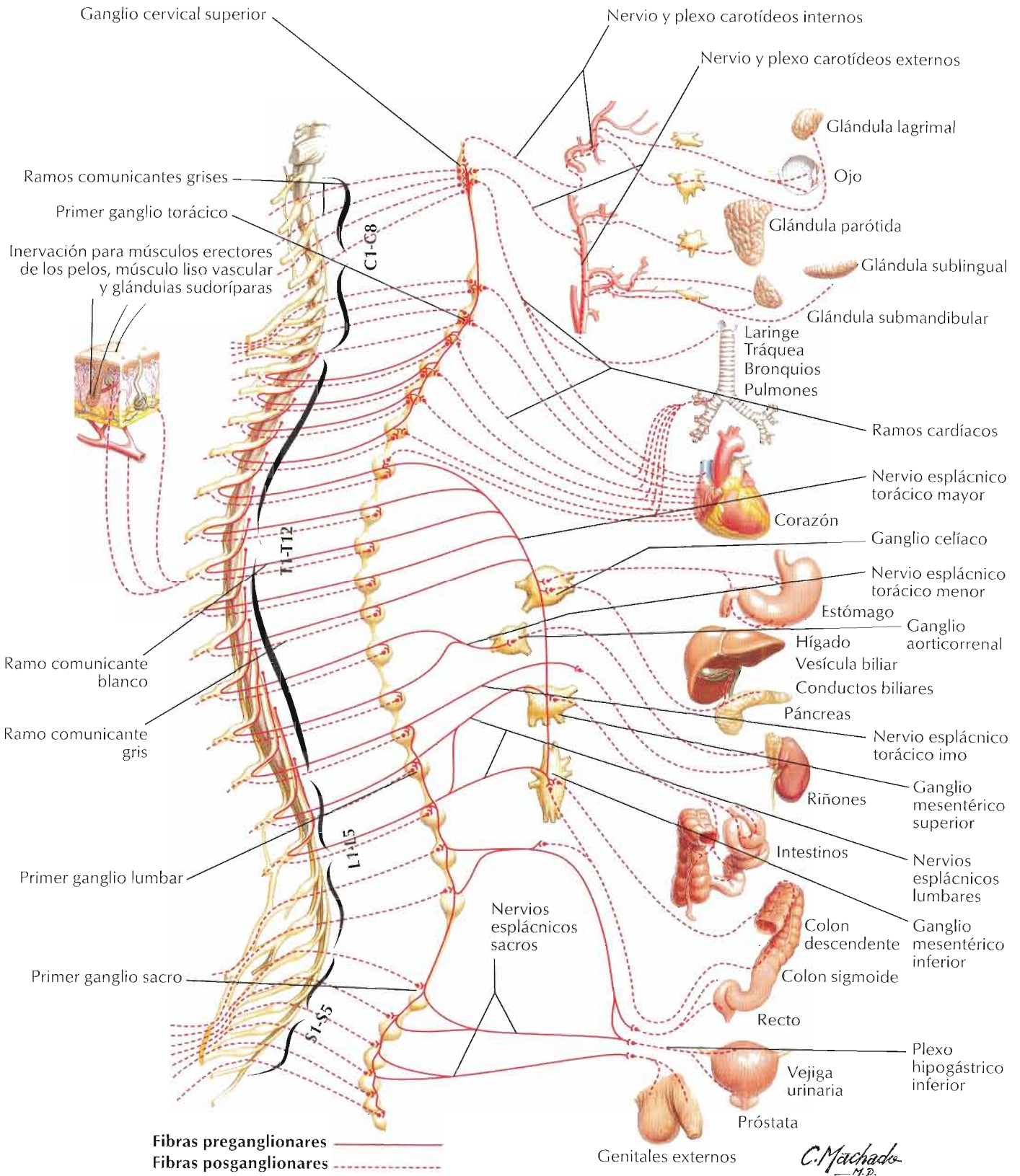
Niveles de los principales dermatomas

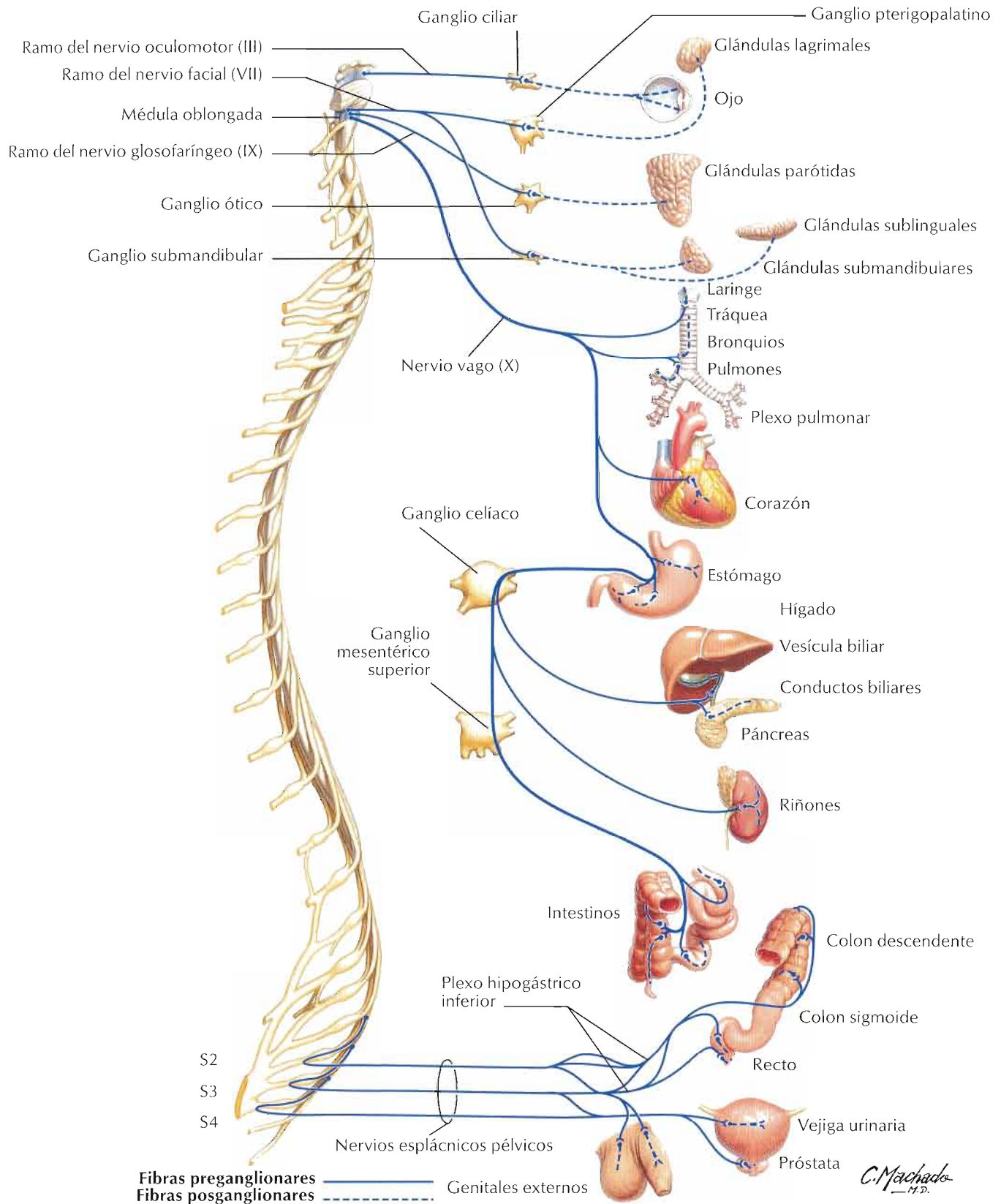
- C5** Clavículas
- C5, 6, 7** Partes laterales de los miembros superiores
- C8, T1** Partes mediales de los miembros superiores
- C6** Pulgar
- C6, 7, 8** Mano
- C8** Dedos anular y meñique
- T4** Nivel de los pezones

- T10** Nivel del ombligo
- L1** Región inguinal
- L1, 2, 3, 4** Caras anterior e interna de los miembros inferiores
- L4, 5, S1** Pie
- L4** Cara medial del dedo gordo del pie
- S1, 2, L5** Caras posterior y externa de los miembros inferiores
- S1** Borde lateral del pie y dedo pequeño del pie
- S2, 3, 4** Periné

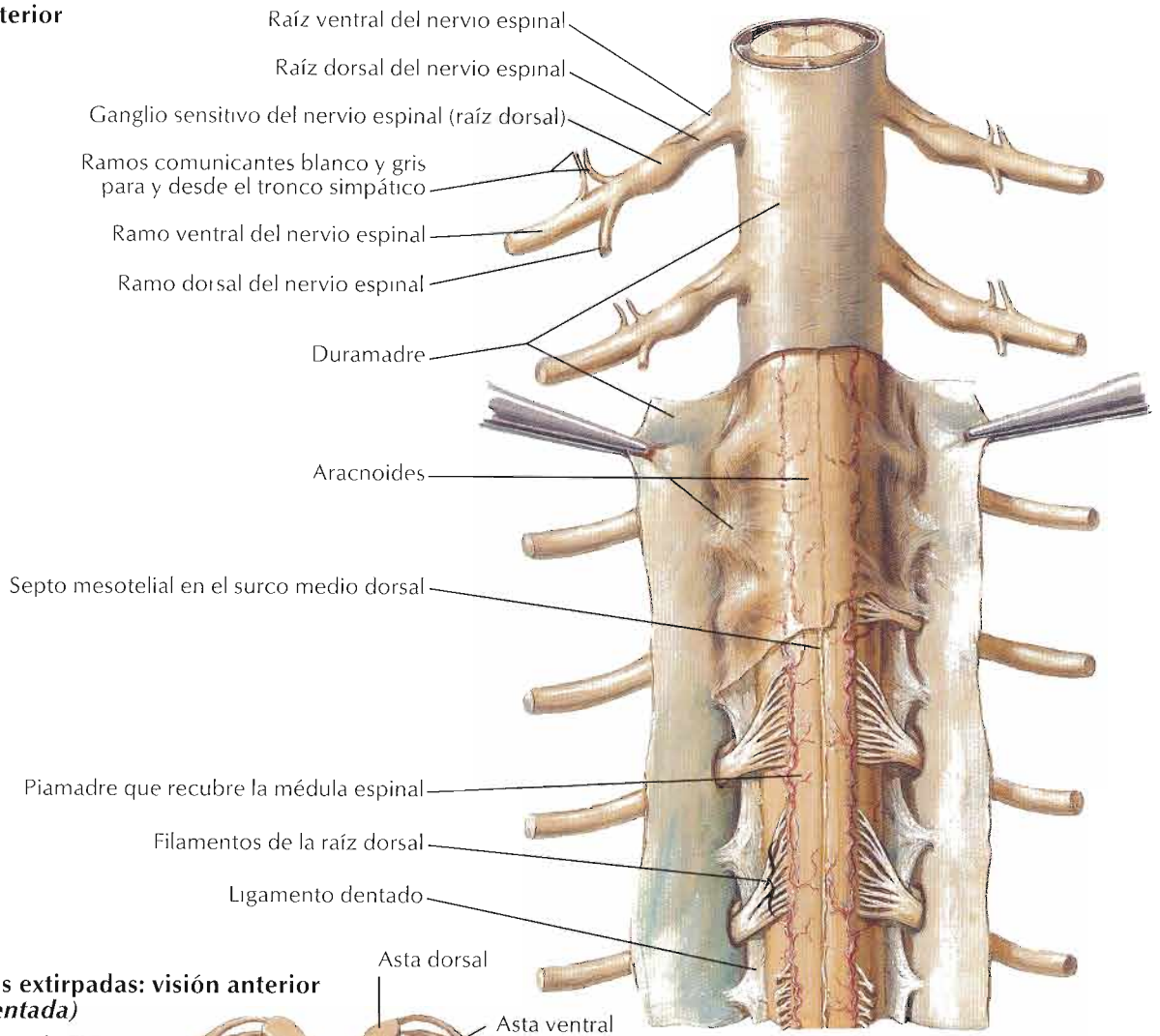




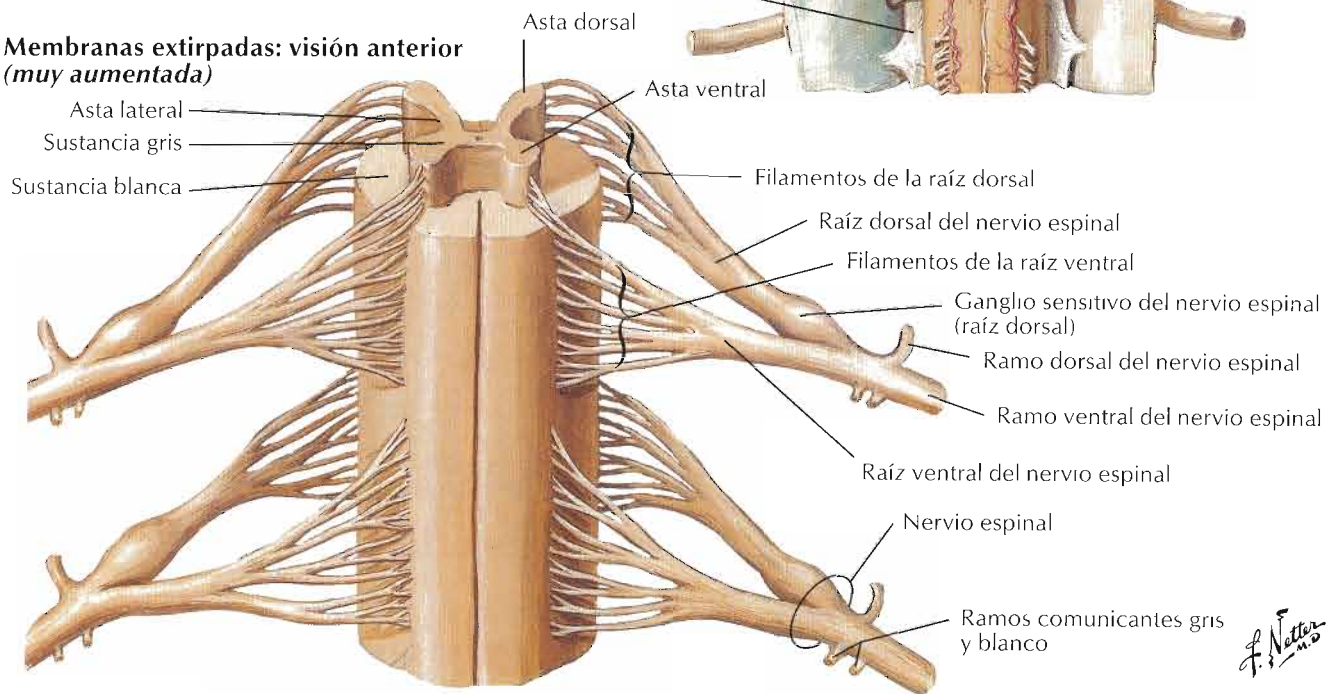




Visión posterior



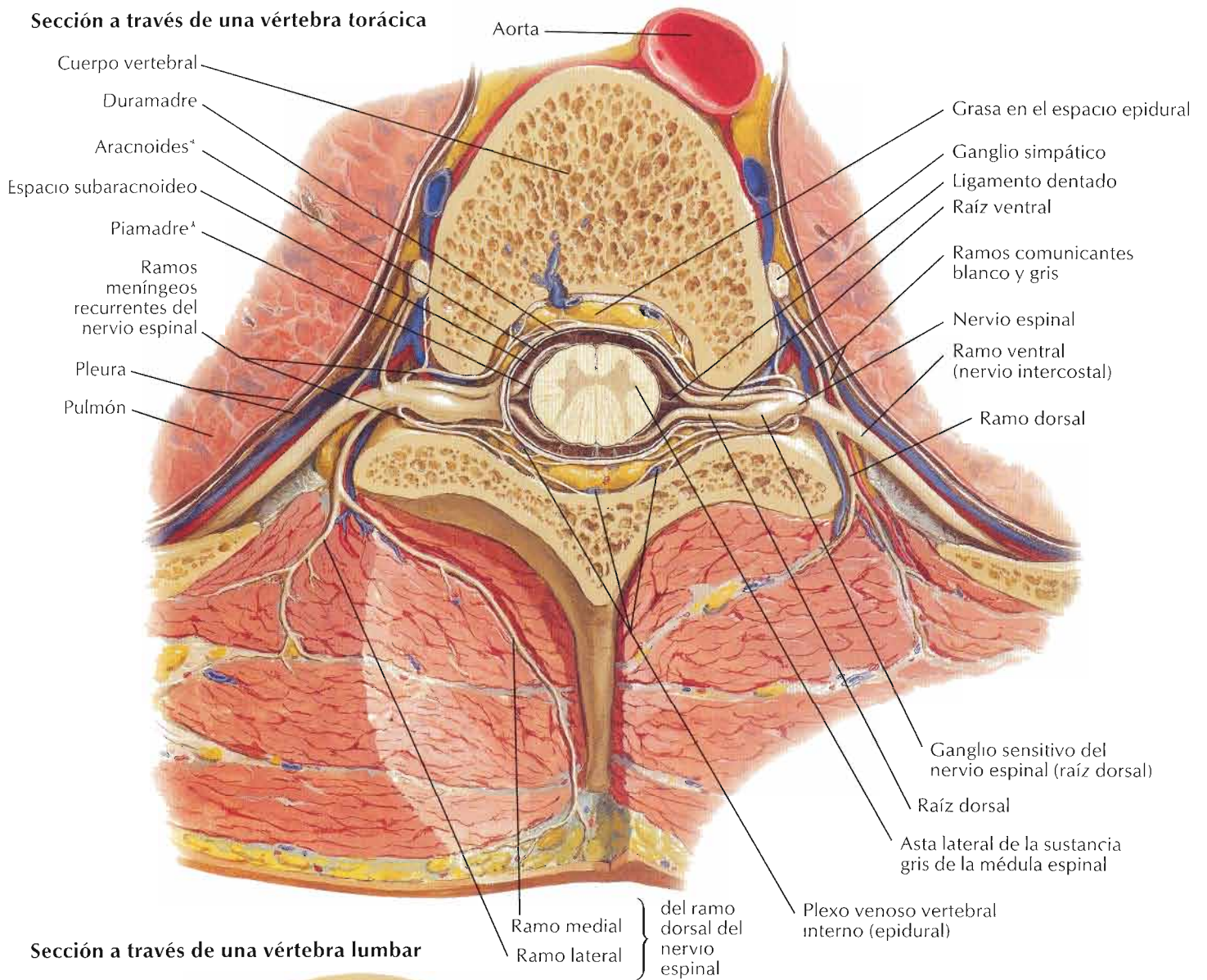
Membranas extirpadas: visión anterior (muy aumentada)



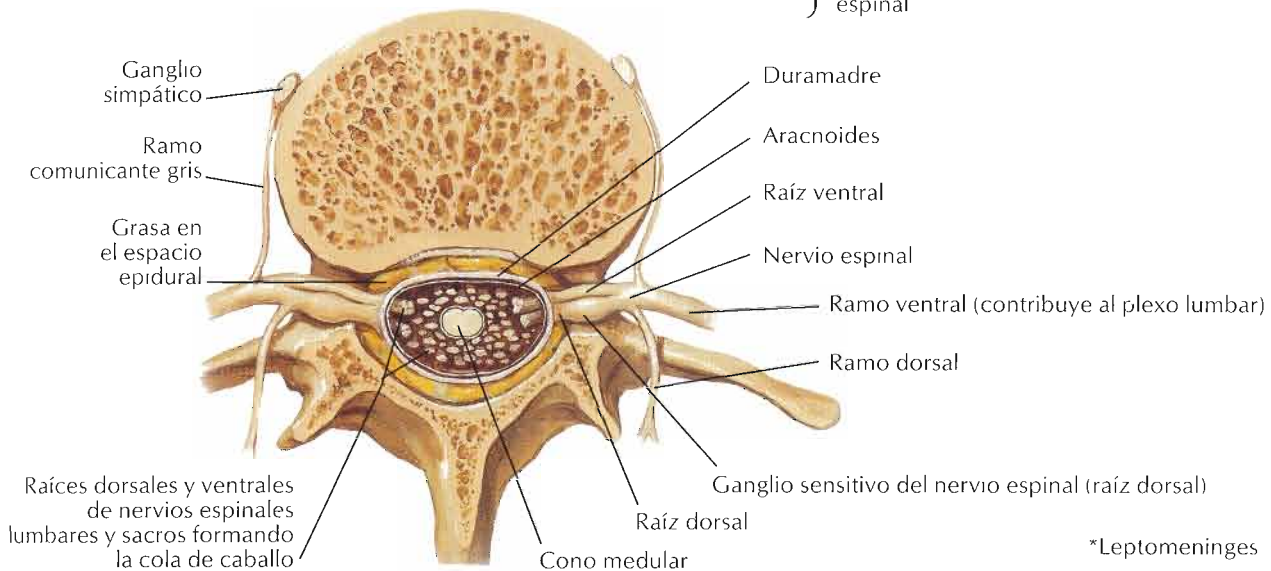
F. Netter M.D.

Véanse también láminas 169, 172, 173

Sección a través de una vértebra torácica



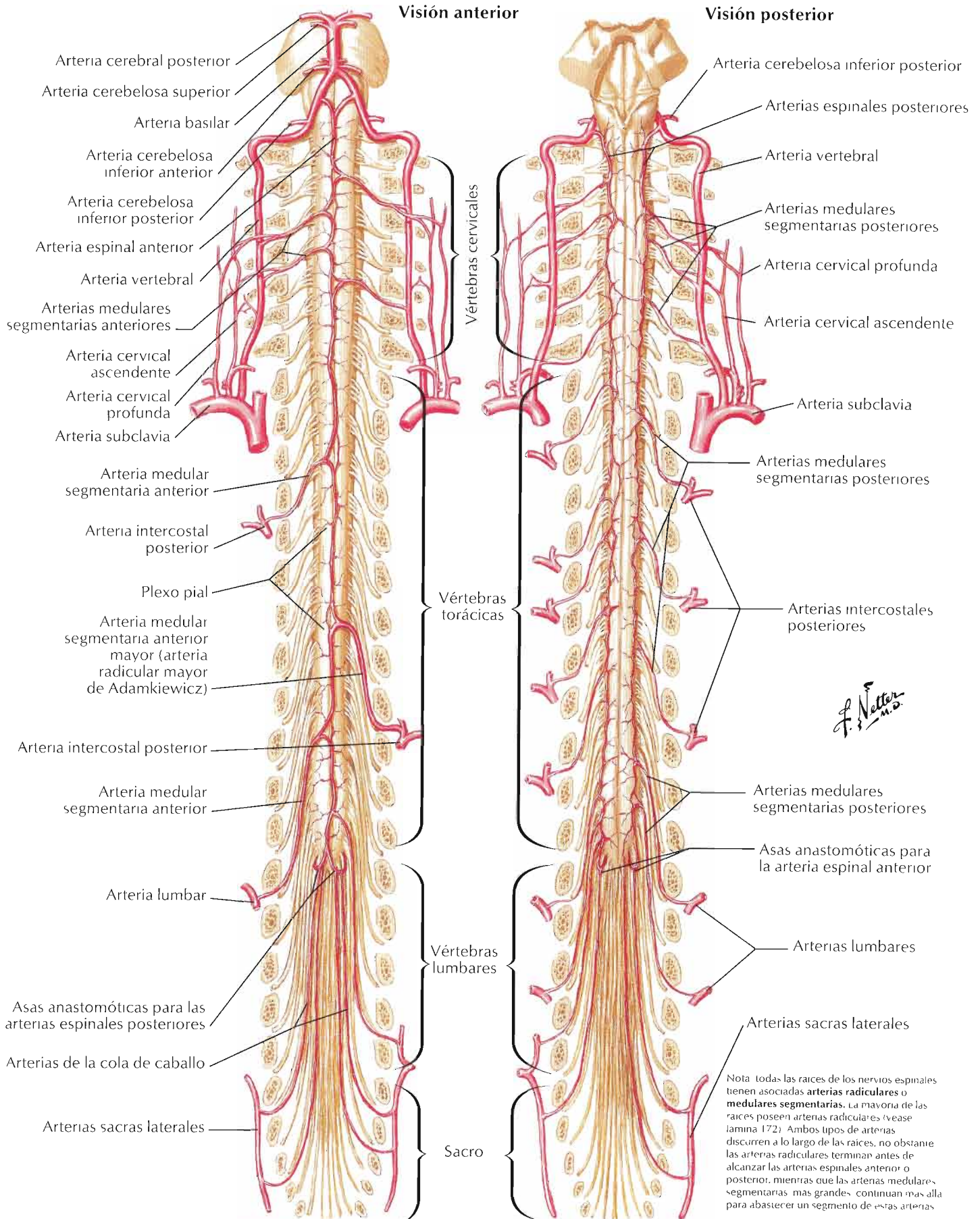
Sección a través de una vértebra lumbar

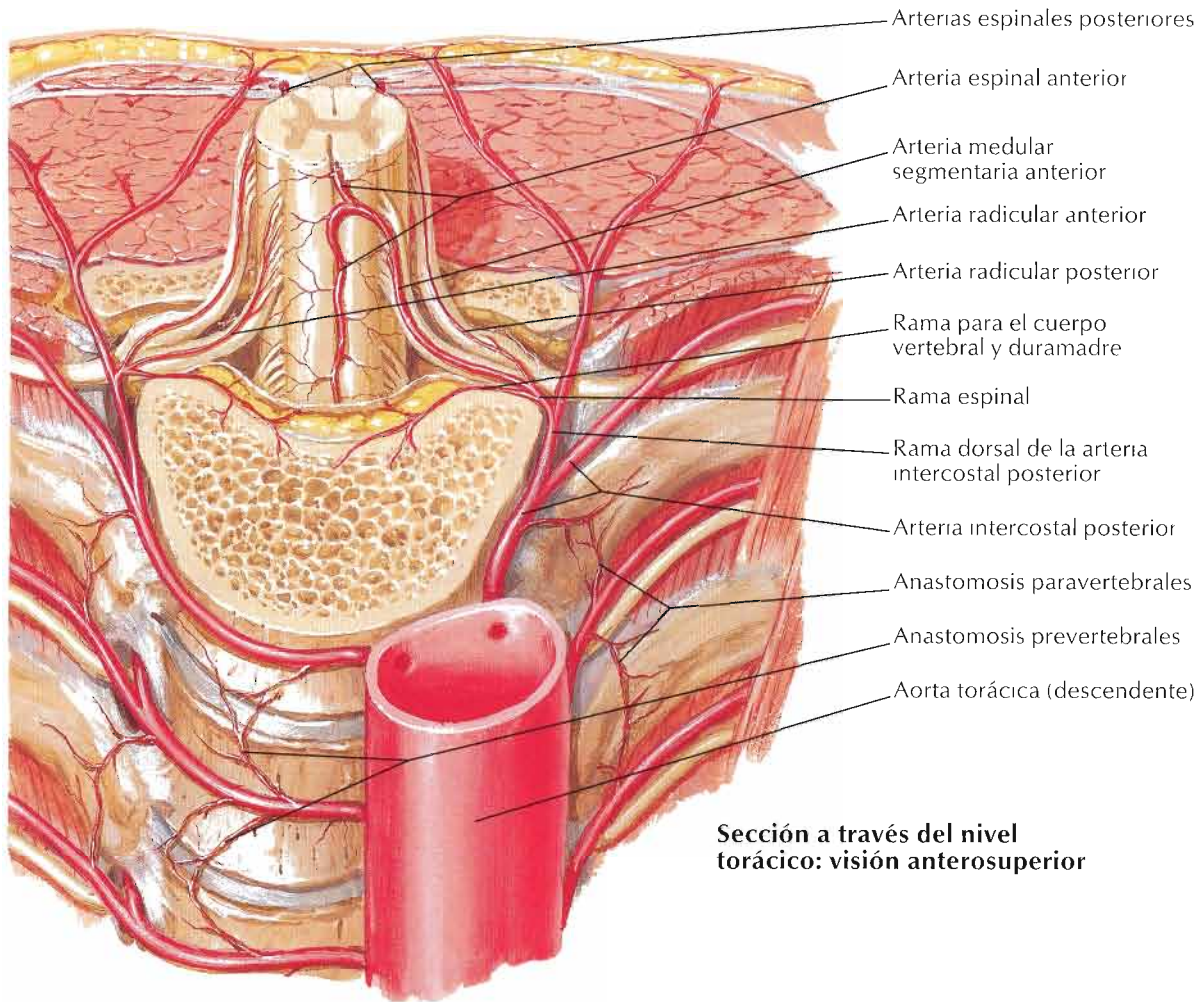


*Leptomeninges

F. Netter M.D.

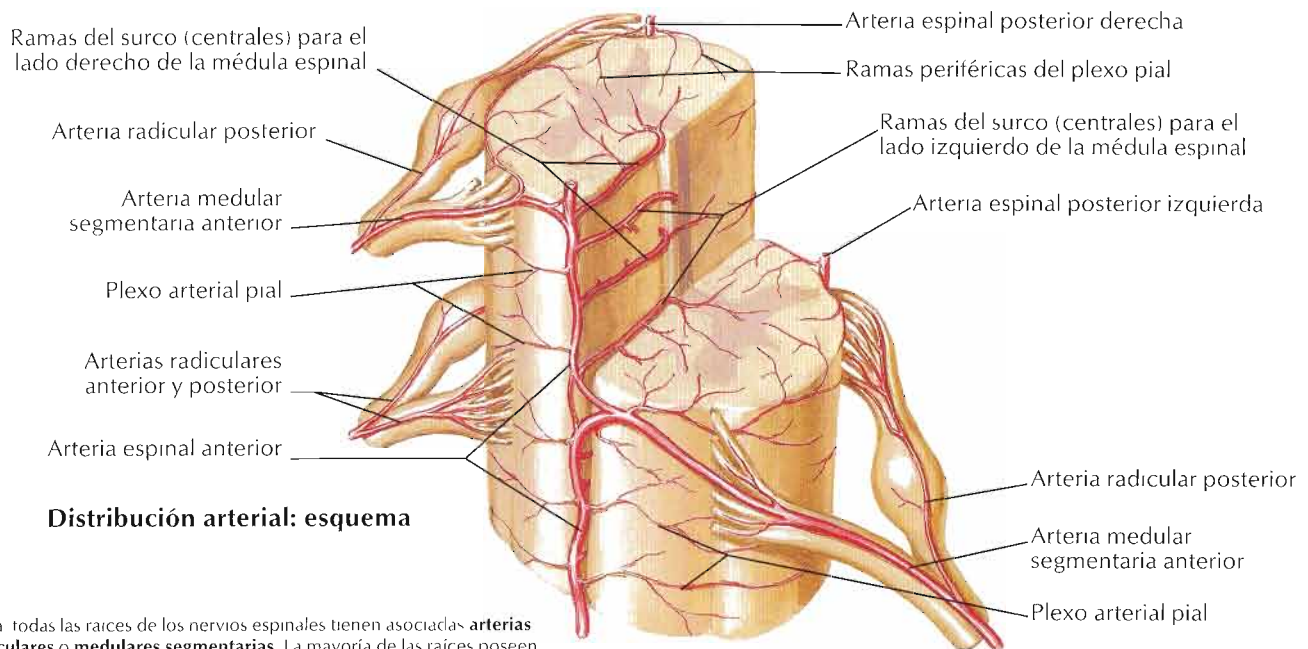
Véase también lámina 138





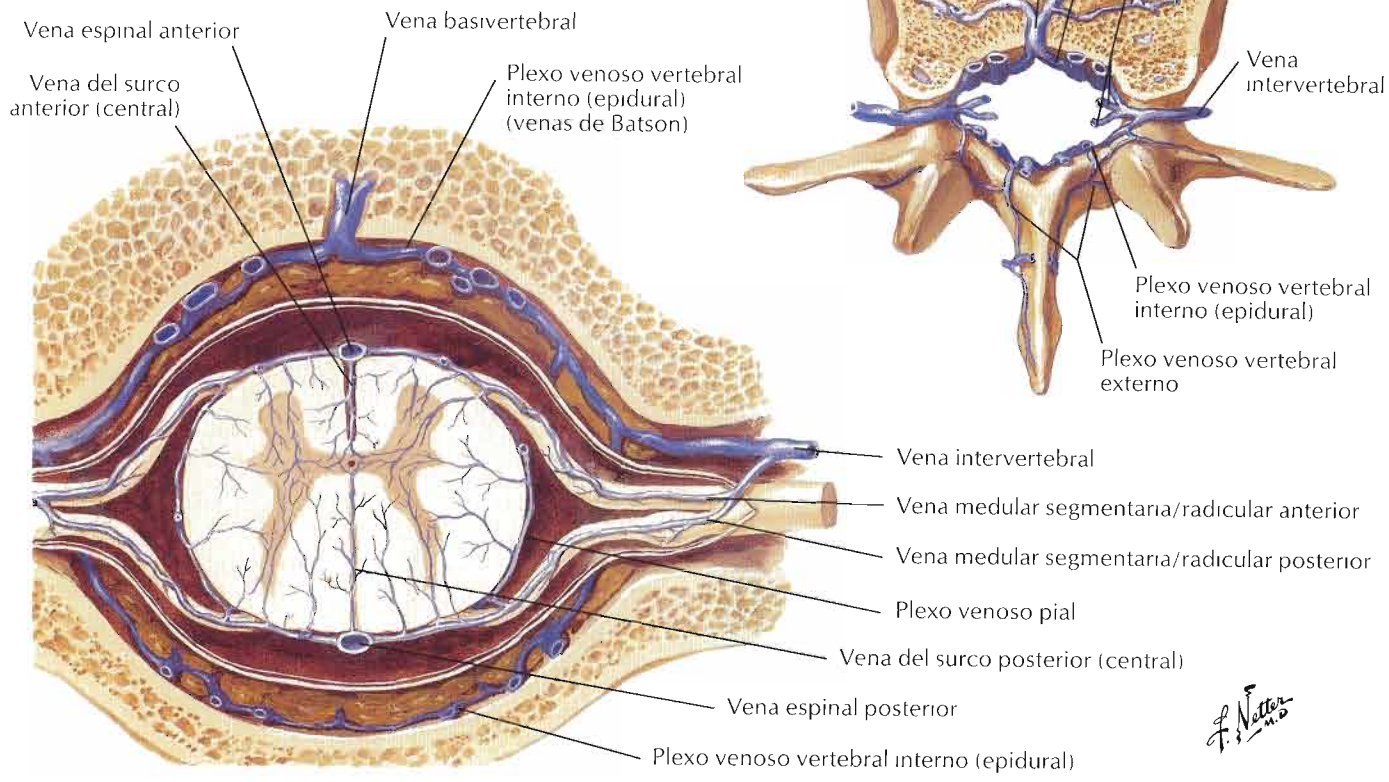
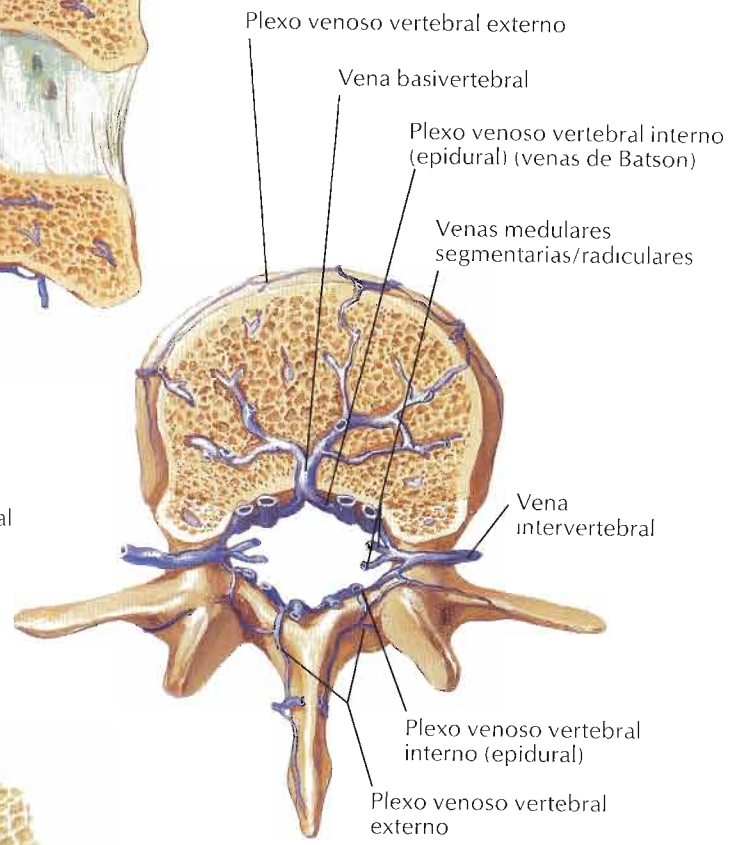
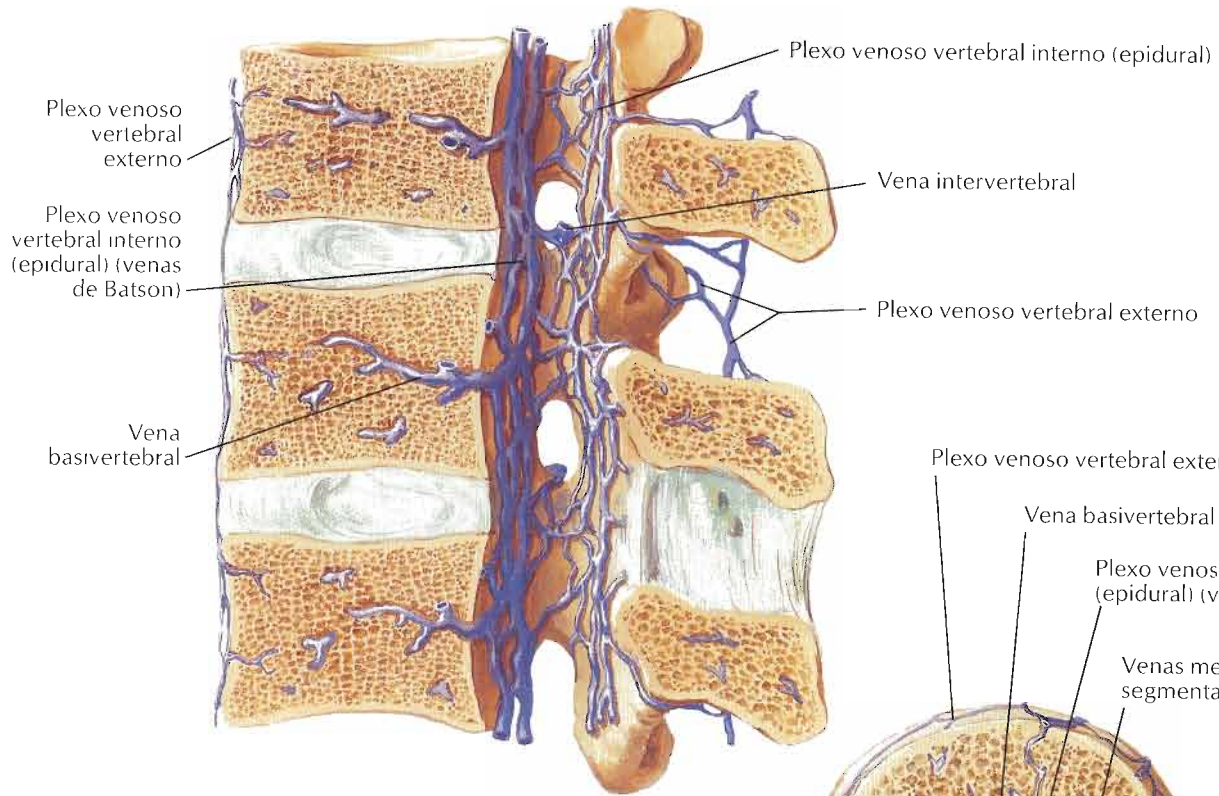
Sección a través del nivel torácico: visión anterosuperior

F. Netter M.D.

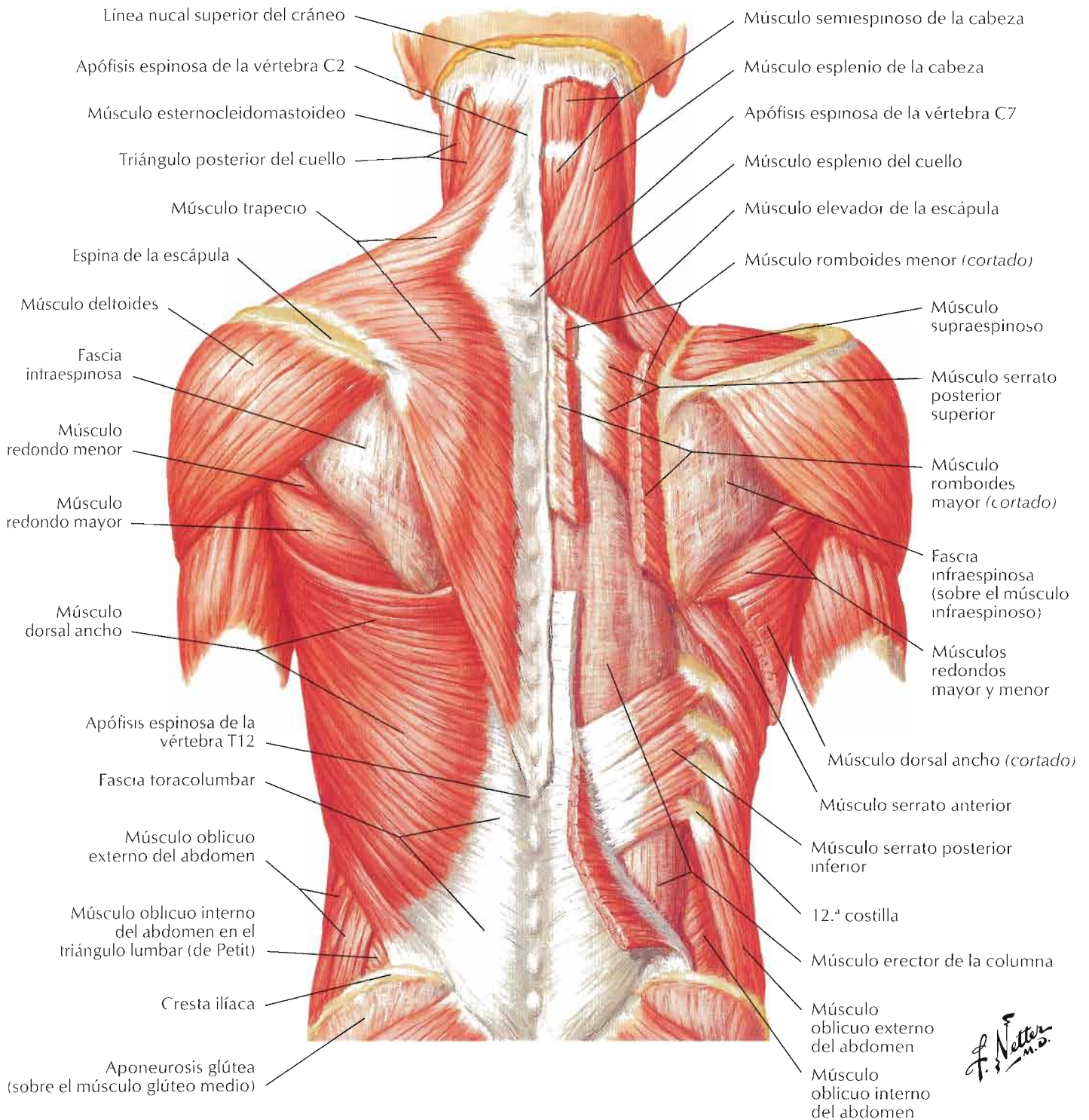


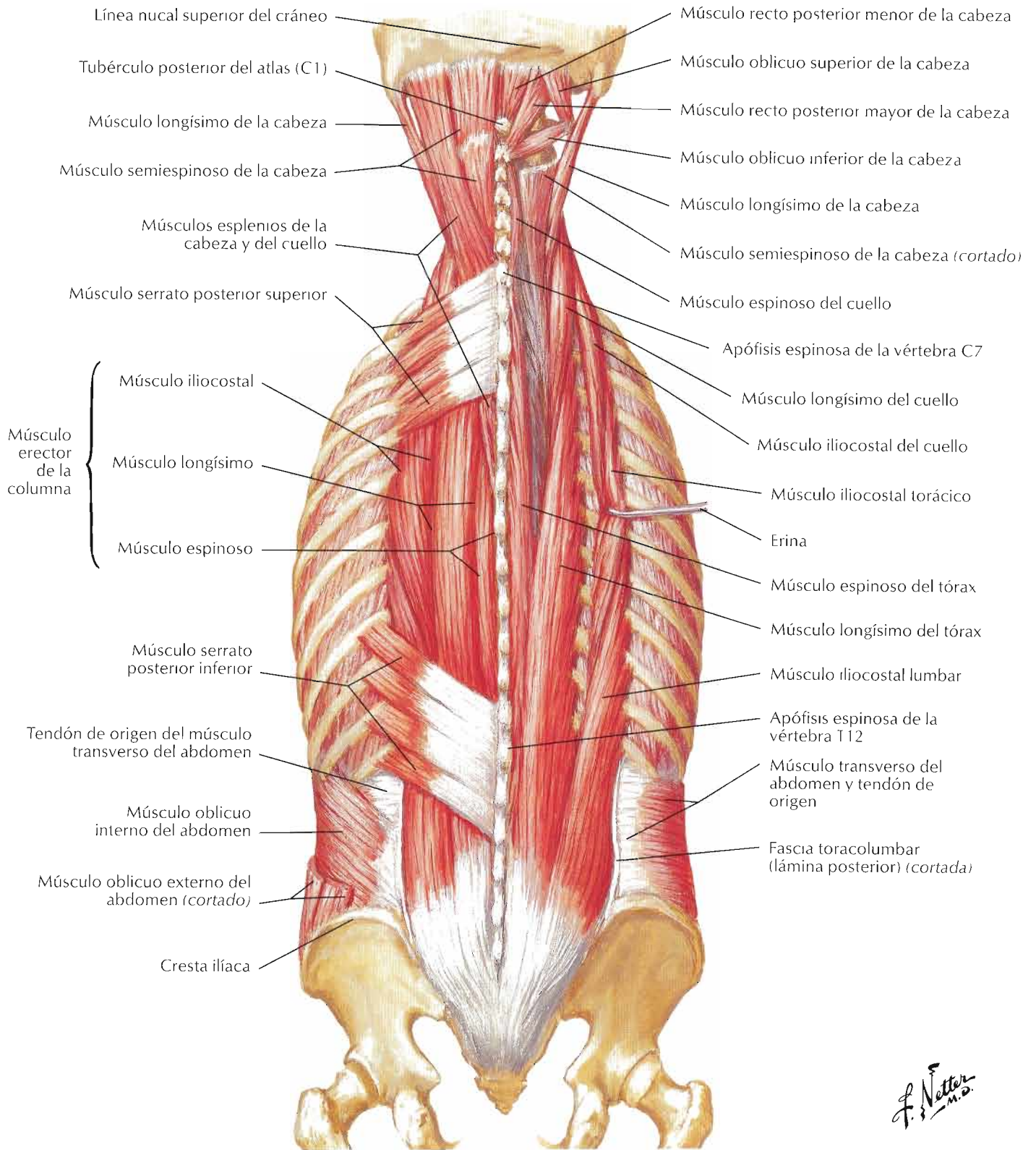
Distribución arterial: esquema

Nota: todas las raíces de los nervios espinales tienen asociadas **arterias radiculares** o **medulares segmentarias**. La mayoría de las raíces poseen arterias radiculares. Ambos tipos de arterias discurren a lo largo de las raíces; no obstante, las arterias radiculares terminan antes de alcanzar las arterias espinales anterior o posterior mientras que las arterias medulares segmentarias, más grandes, continúan más allá para abastecer un segmento de estas arterias.

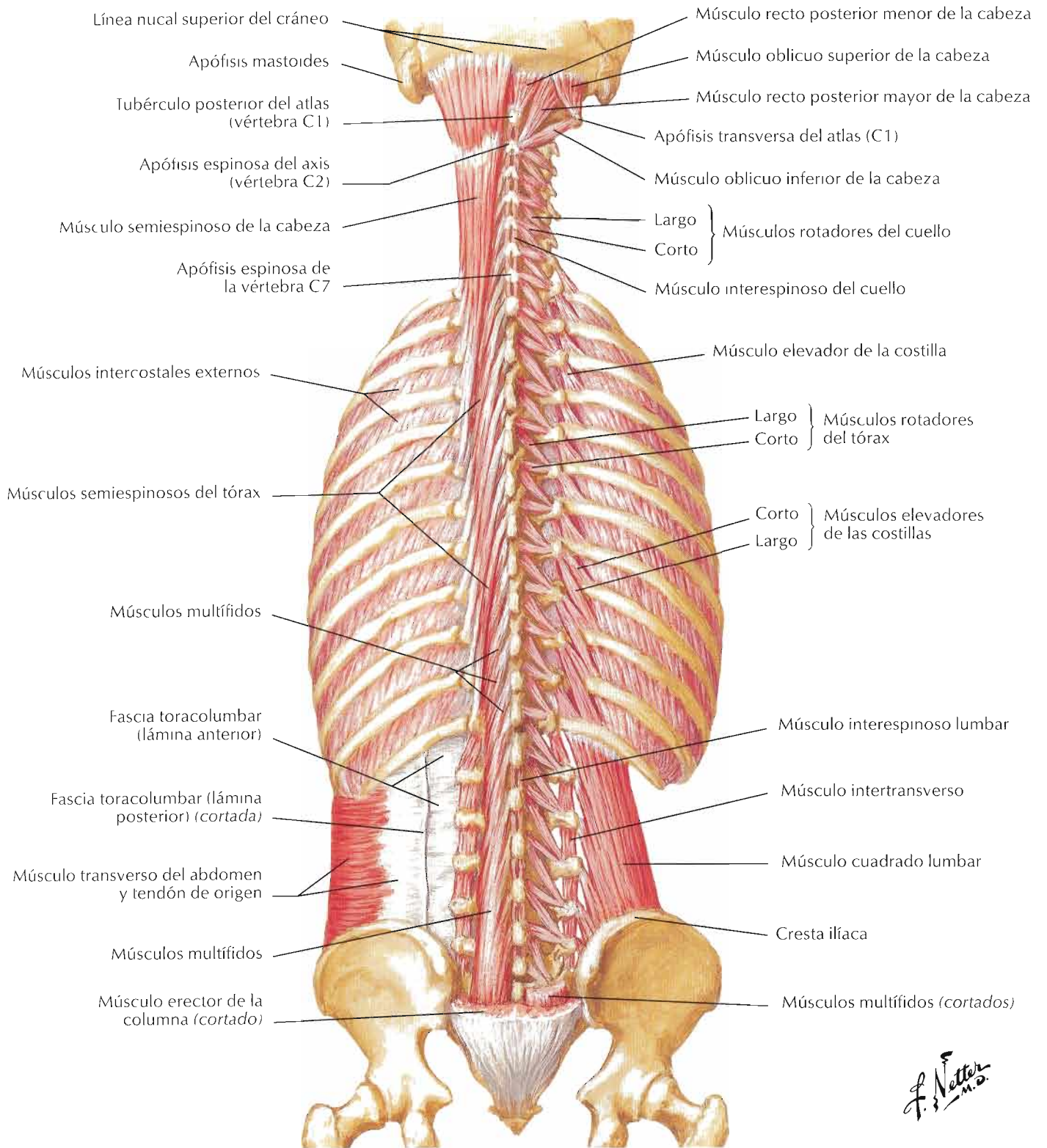


F. Netter M.D.



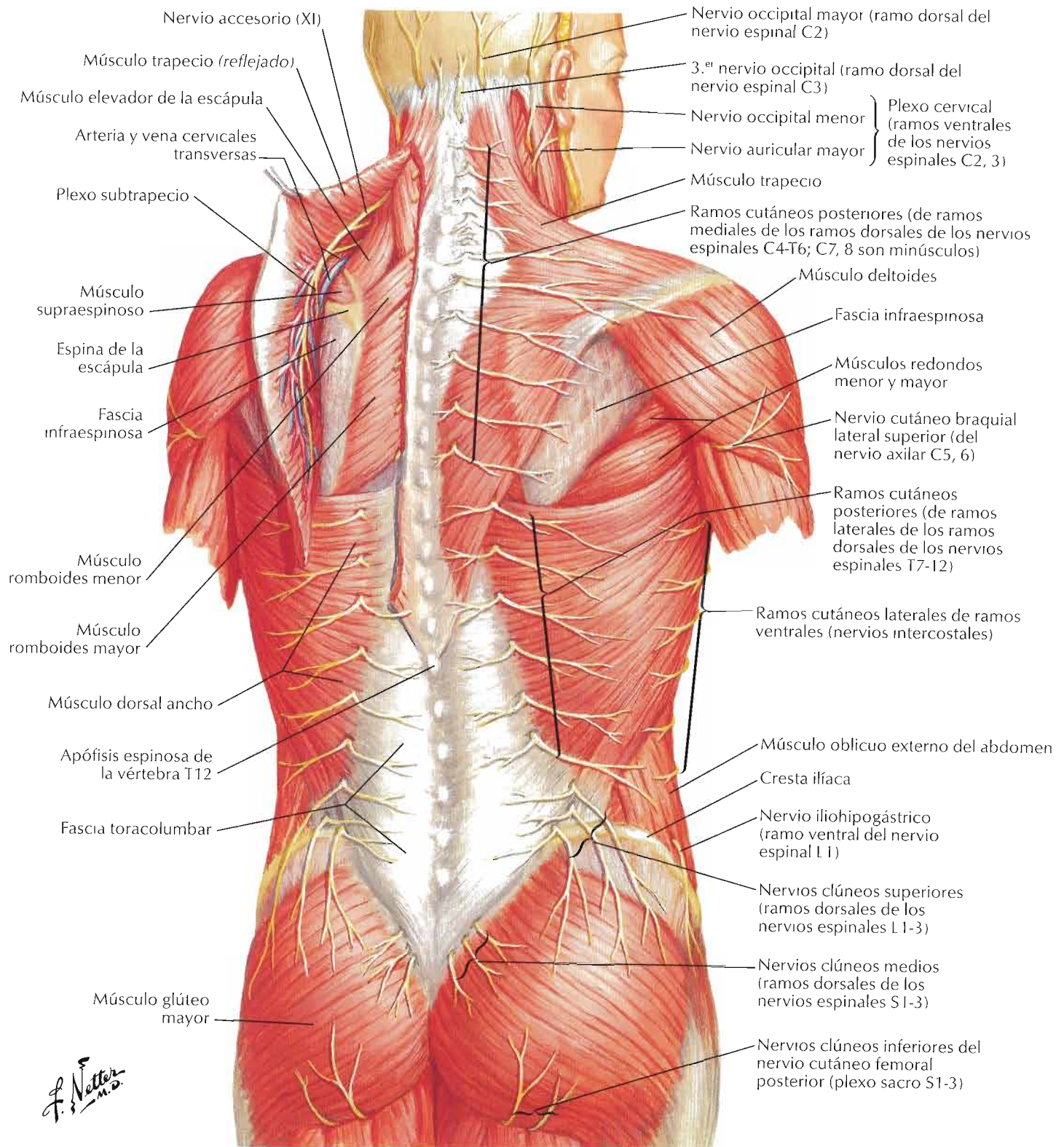


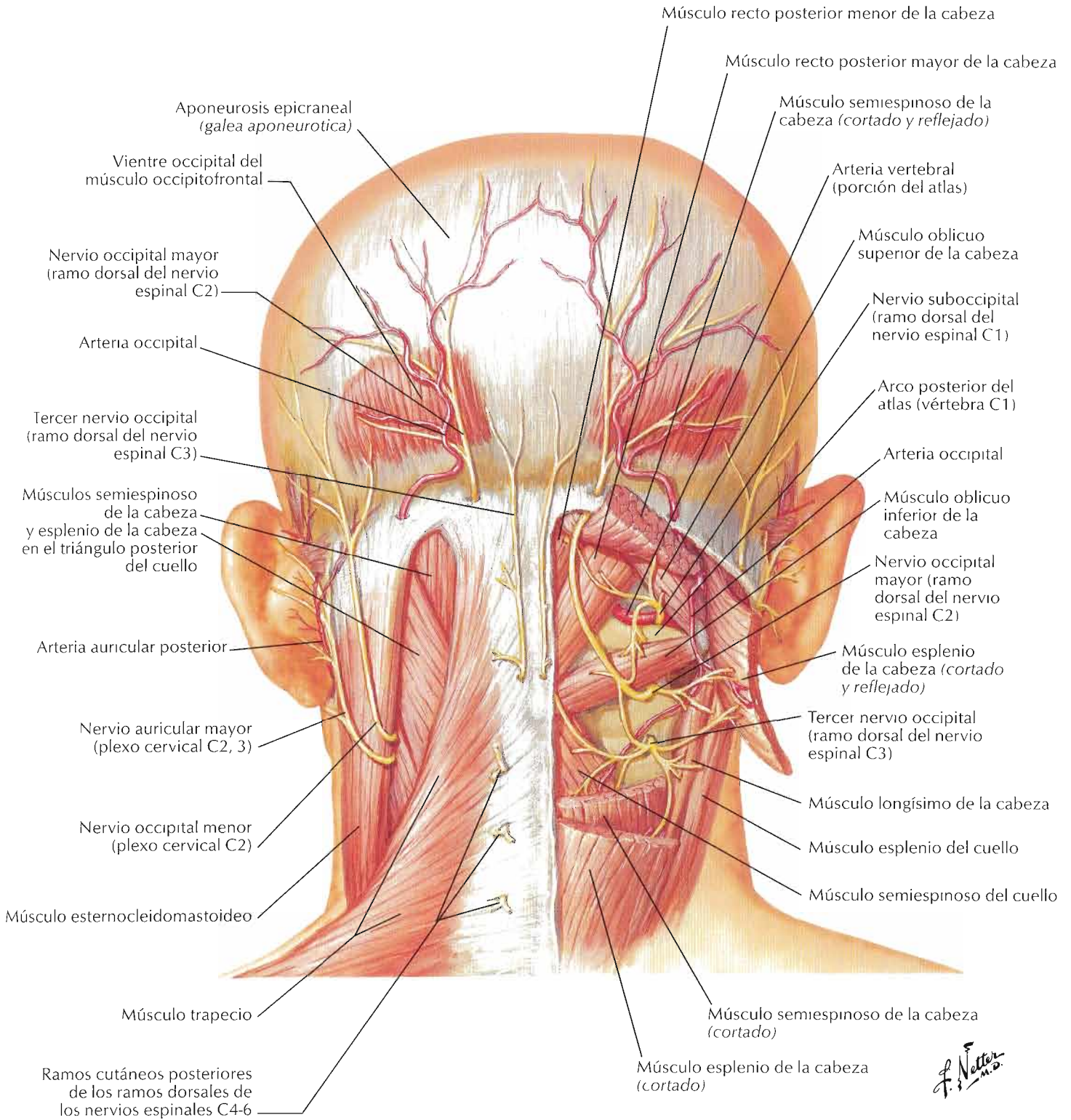
F. Netter M.D.



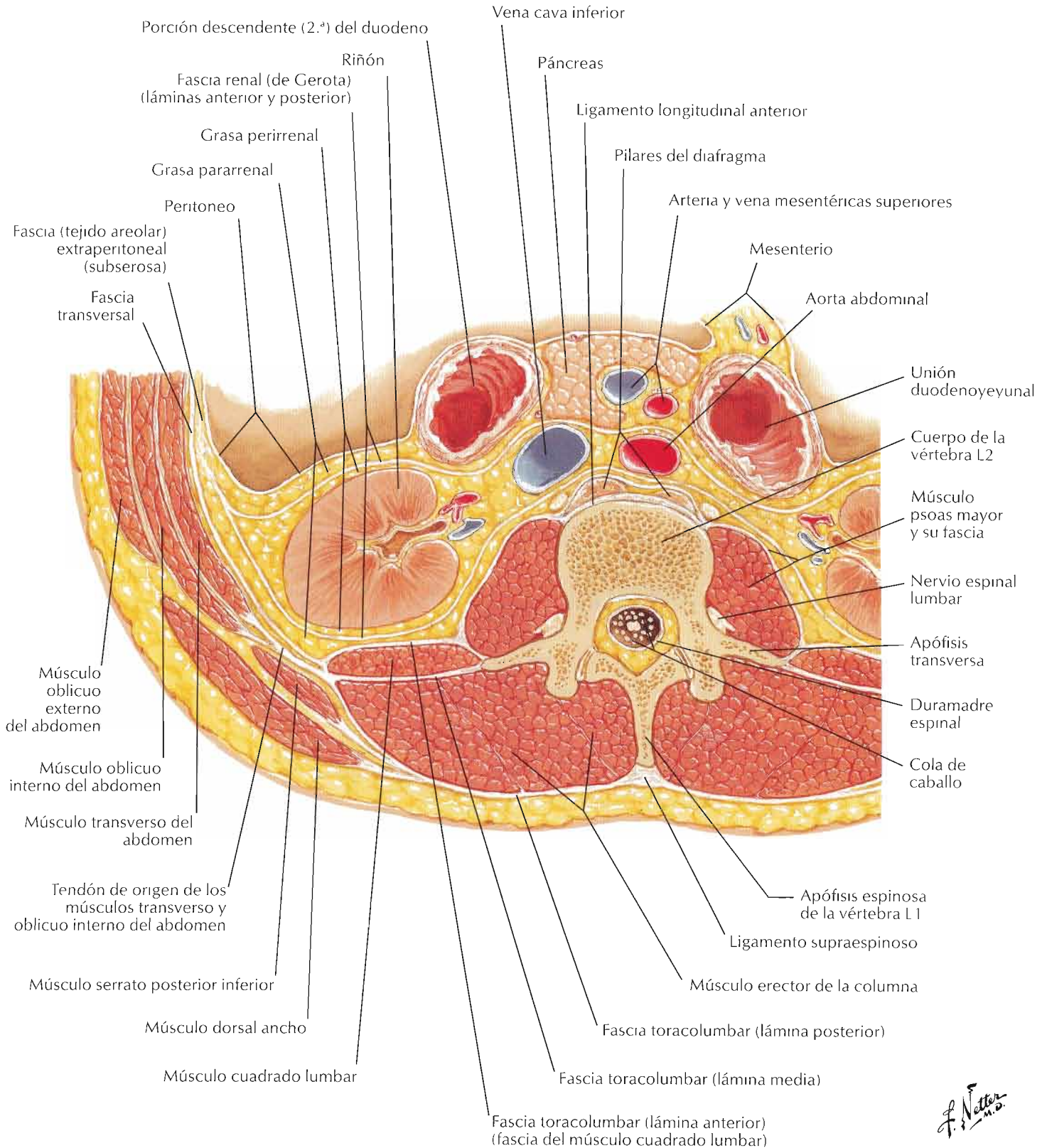
F. Netter M.D.

Véanse también láminas 180, 192, 254, 258

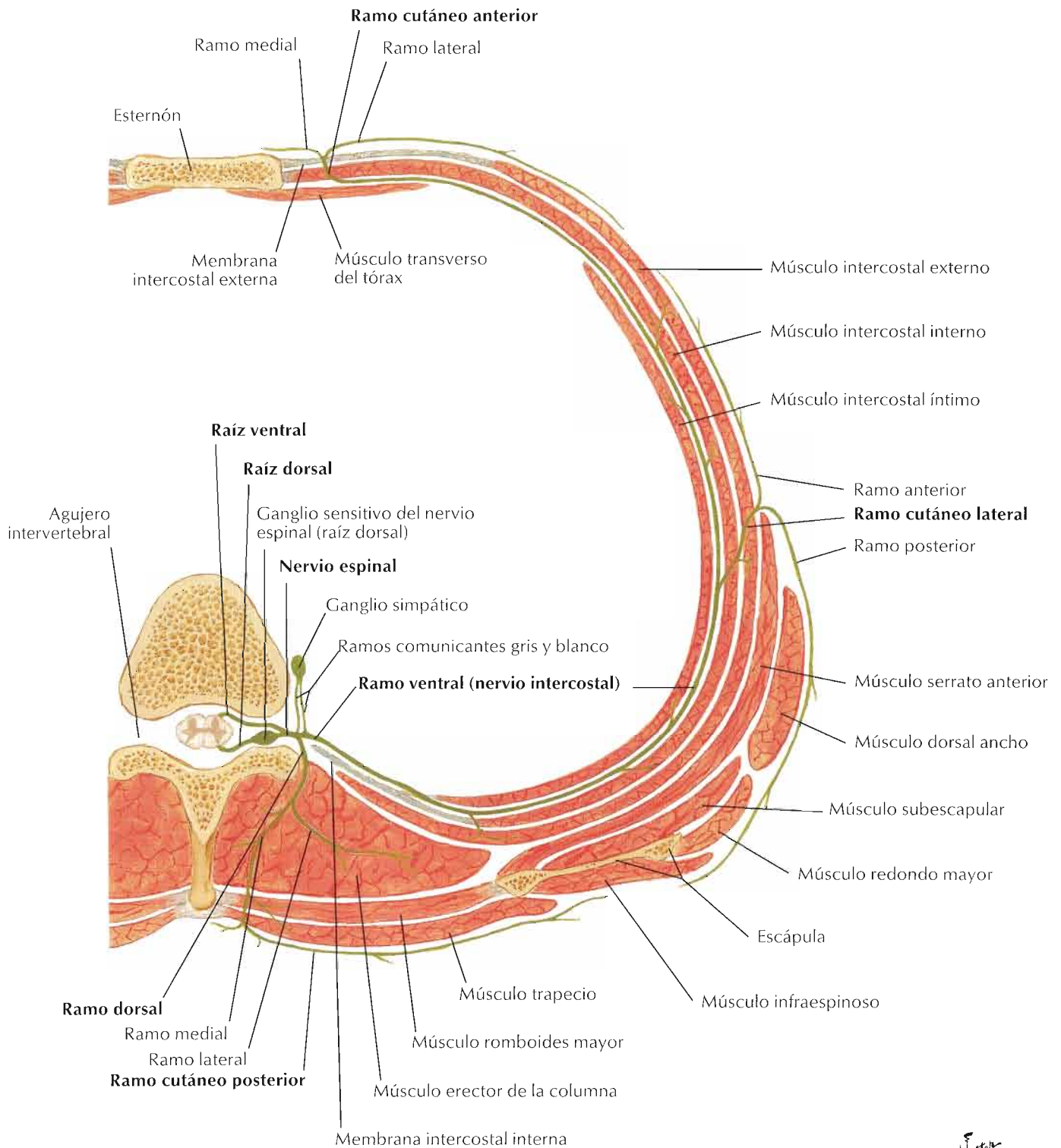




F. Netter M.D.



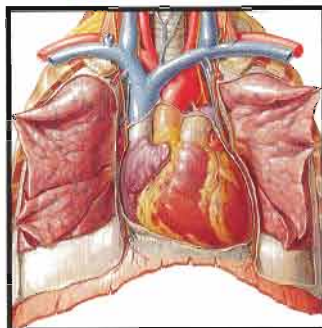
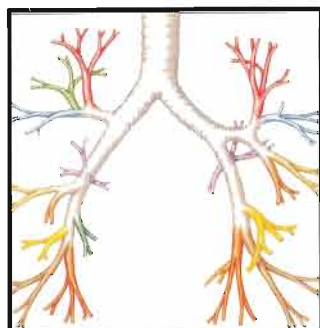
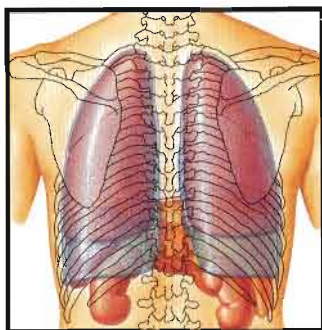
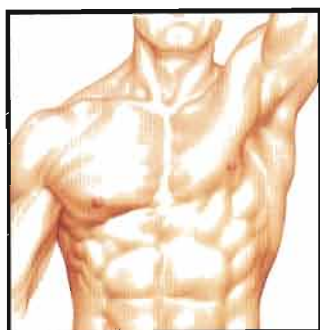
F. Netter M.D.



Nota: en la región torácica inferior, el ramo lateral del ramo dorsal es más largo, motor y cutáneo; el ramo medial es más corto y sólo motor

F. Netter M.D.

Sección 3 Tórax



Anatomía de superficie

Lámina 181

181 Tórax

Glándula mamaria

Láminas 182-184

182 Glándula mamaria

183 Arterias de la glándula mamaria

184 Vasos y nódulos linfáticos de la glándula mamaria

Pared corporal

Láminas 185-195

185 Esqueleto óseo del tórax

186 Costillas y articulaciones esternocostales

187 Articulaciones costovertebrales

188 Pared torácica anterior

189 Pared torácica anterior (*continuación*)

190 Colocación de un tubo de drenaje torácico

191 Pared torácica anterior: visión interna

192 Nervios y arterias intercostales

193 Nervio frénico

194 Diafragma: cara torácica

195 Diafragma: cara abdominal

Pulmones

Láminas 196-210

196 Topografía de los pulmones: visión anterior

197 Topografía de los pulmones: visión posterior

198 Pulmones in situ: visión anterior

- 199 Pulmones: visiones mediales
- 200 Segmentos broncopulmonares
- 201 Segmentos broncopulmonares (*continuación*)
- 202 Tráquea y bronquios mayores
- 203 Nomenclatura de los bronquios: esquema
- 204 Vías intrapulmonares: esquema
- 205 Circulación sanguínea intrapulmonar: esquema
- 206 Grandes vasos del mediastino superior
- 207 Arterias y venas bronquiales
- 208 Vasos y nódulos linfáticos del pulmón
- 209 Nervios autónomos en el tórax
- 210 Inervación del árbol traqueobronquial: esquema

Corazón**Láminas 211–229**

- 211 Corazón in situ
- 212 Corazón: exposición anterior
- 213 Radiografía del tórax
- 214 Corazón: caras basal y diafragmática
- 215 Saco pericárdico
- 216 Arterias coronarias y venas cardíacas
- 217 Arterias coronarias y venas cardíacas: variaciones
- 218 Arterias coronarias: visiones arteriográficas
- 219 Arterias coronarias: visiones arteriográficas (*continuación*)
- 220 Atrio (aurícula) y ventrículo derechos
- 221 Atrio (aurícula) y ventrículo izquierdos
- 222 Válvulas y esqueleto fibroso del corazón
- 223 Válvulas y esqueleto fibroso del corazón (*continuación*)
- 224 Atrios (aurículas), ventrículos y septo interventricular
- 225 Sistema de conducción del corazón

- 226 Nervios del corazón
- 227 Inervación del corazón: esquema
- 228 Inervación de los vasos sanguíneos: esquema
- 229 Circulación prenatal y posnatal

Mediastino**Láminas 230–241**

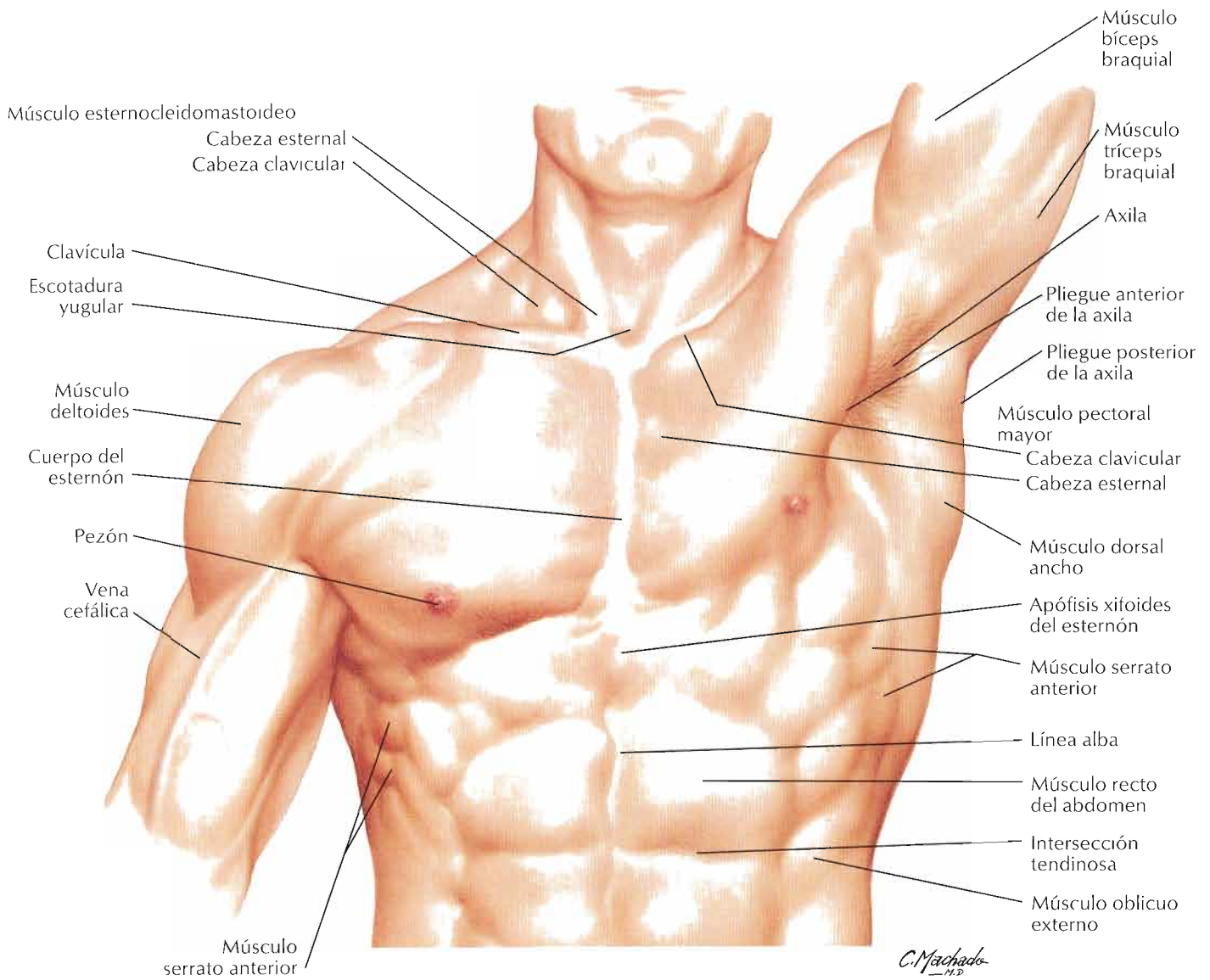
- 230 Mediastino: visión lateral derecha
- 231 Mediastino: visión lateral izquierda
- 232 Esófago in situ
- 233 Topografía y constricciones del esófago
- 234 Musculatura del esófago
- 235 Unión faringoesofágica
- 236 Unión esofagogástrica
- 237 Arterias del esófago
- 238 Venas del esófago
- 239 Vasos y nódulos linfáticos del esófago
- 240 Nervios del esófago
- 241 Mediastino: sección transversal

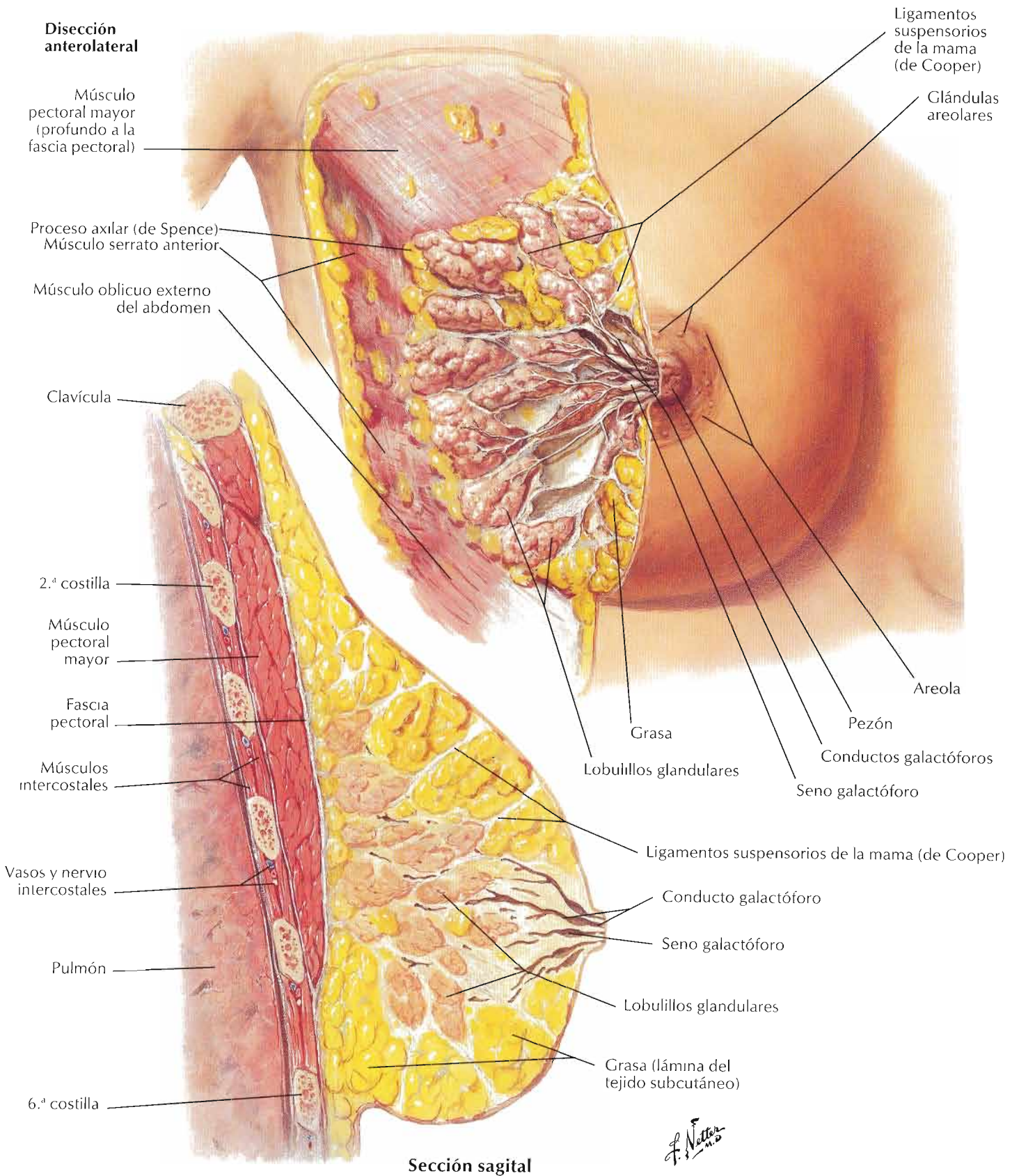
Exploraciones regionales**Lámina 242**

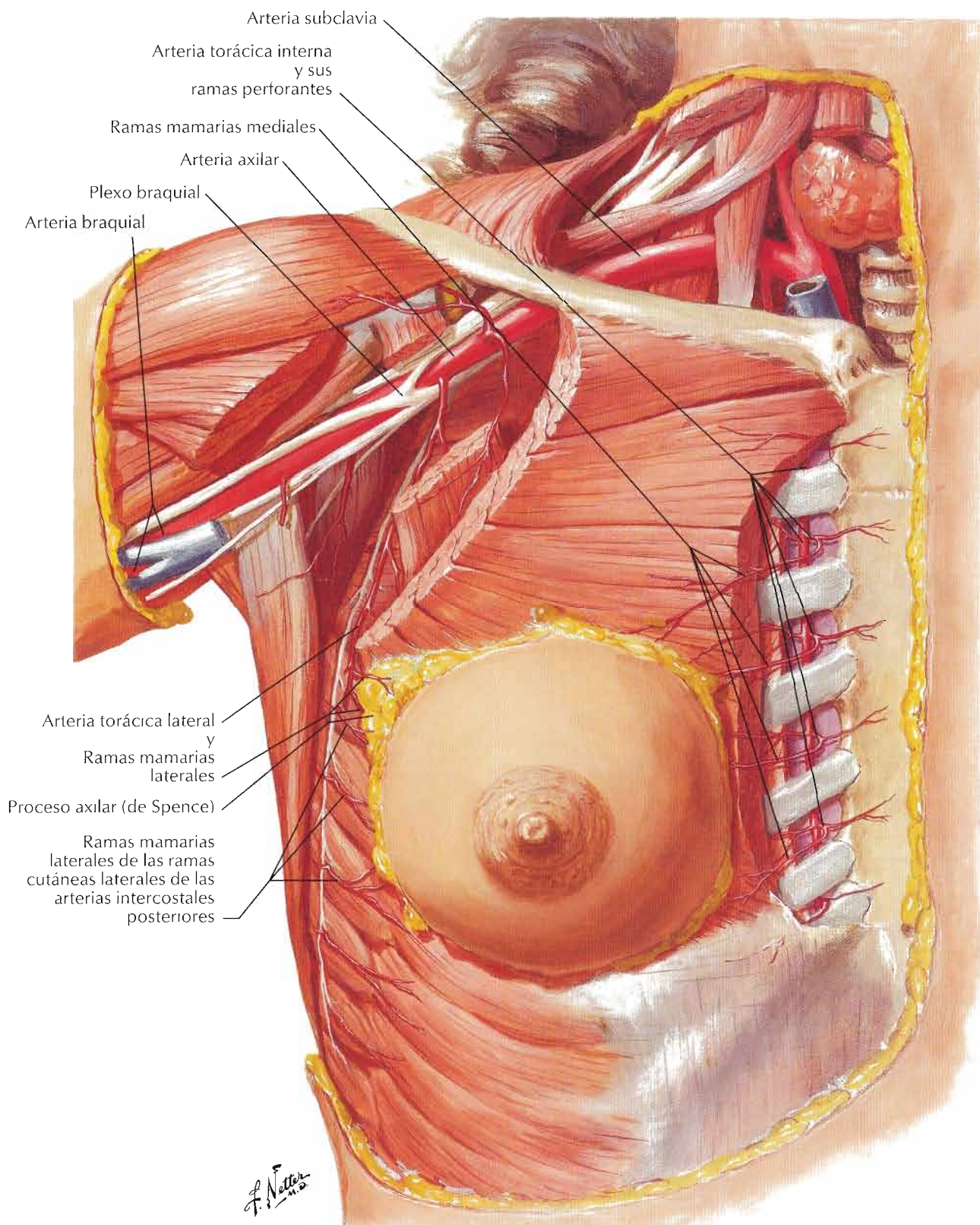
- 242 Exploraciones de tórax: imágenes axiales de TC

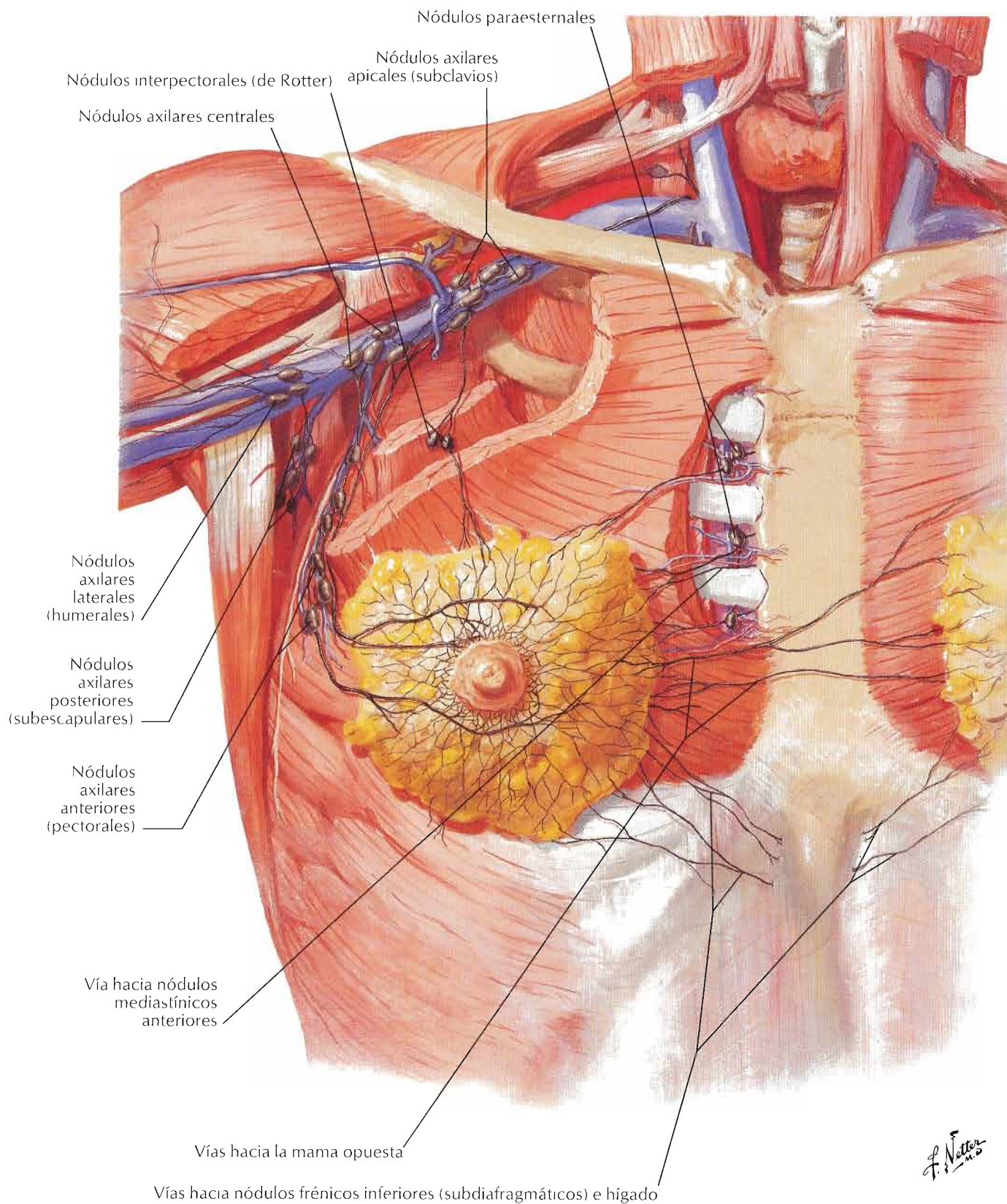
Anatomía seccional**Láminas 243–246**

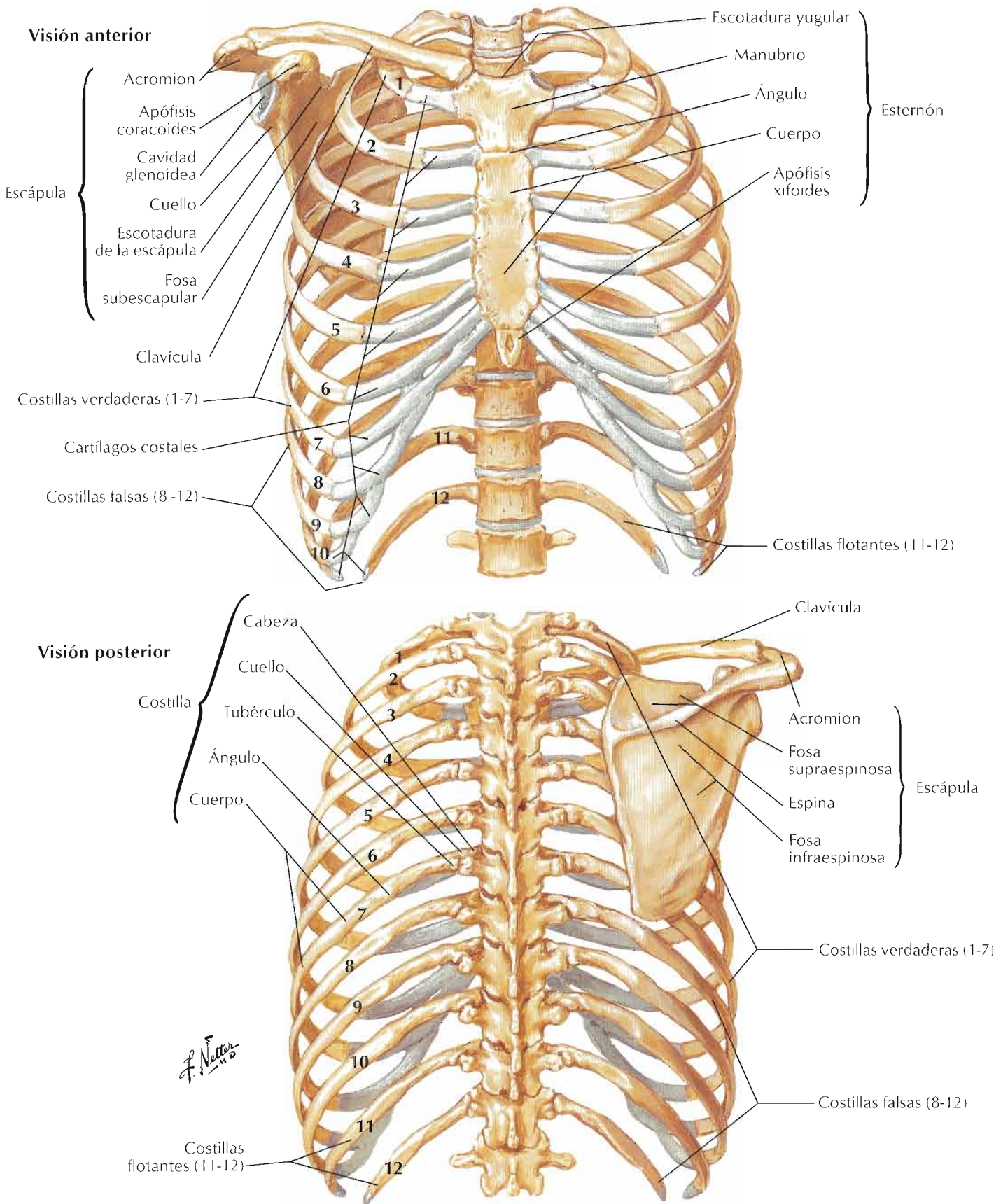
- 243 Sección transversal del tórax a nivel de T3
- 244 Sección transversal del tórax a nivel del disco T3-4
- 245 Sección transversal del tórax a nivel del disco T4-5
- 246 Sección transversal del tórax a nivel de T7

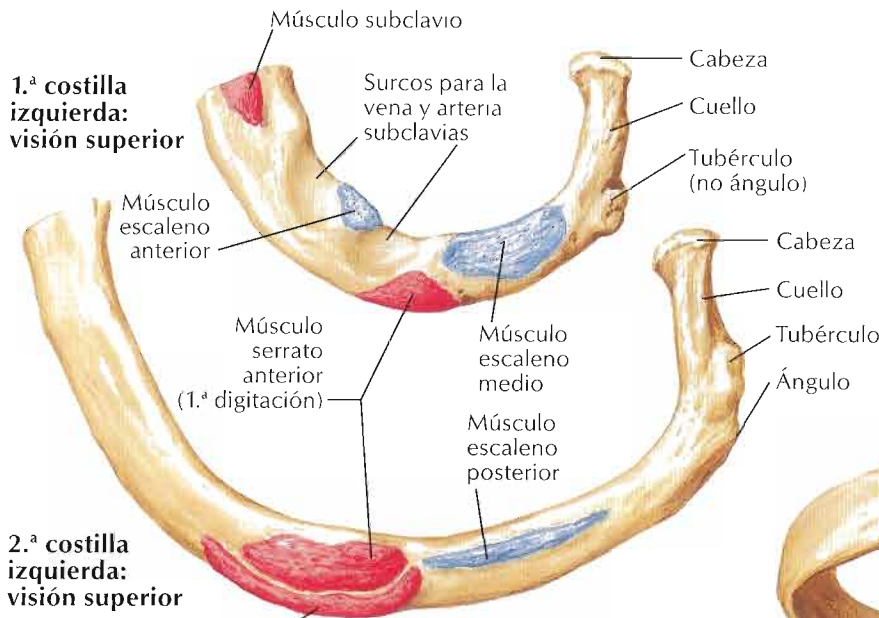








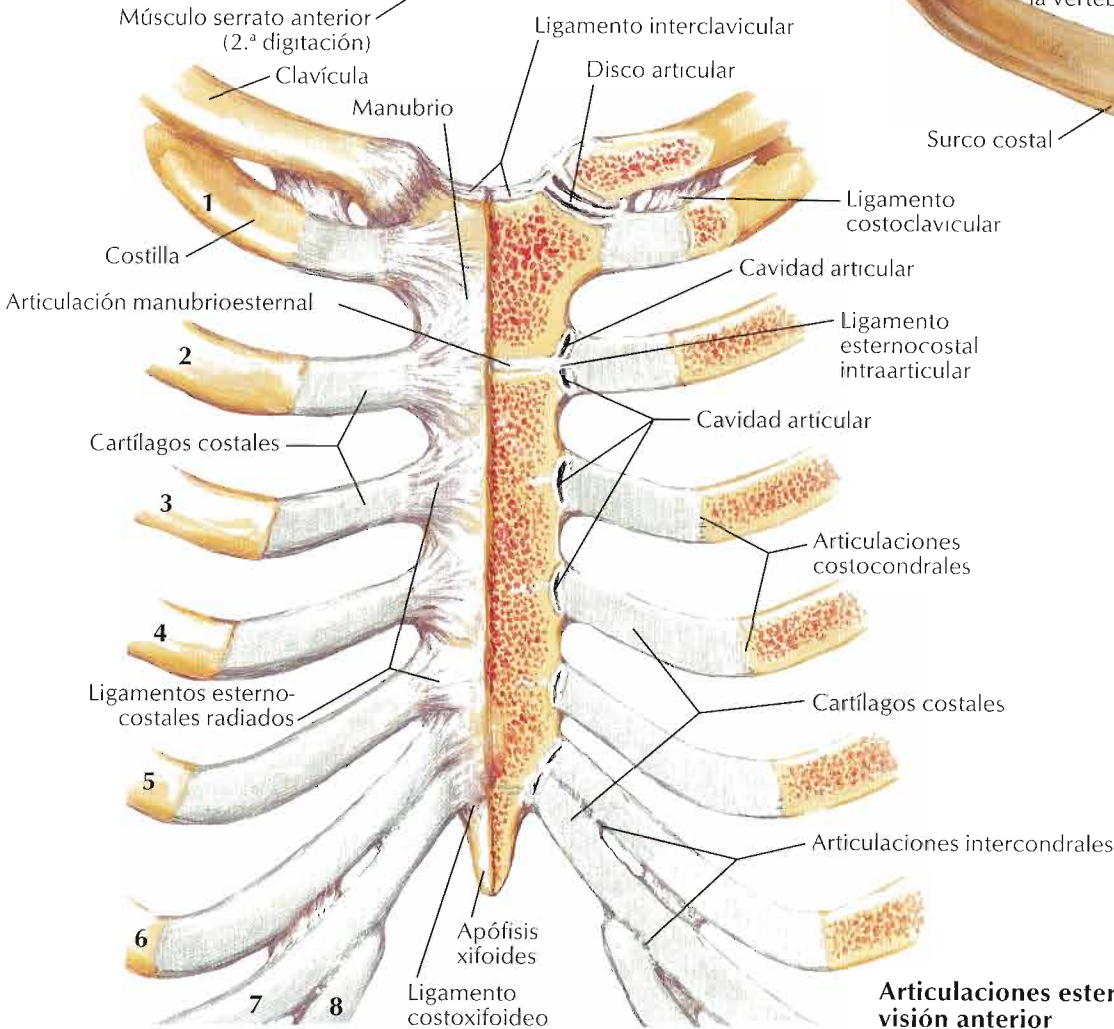
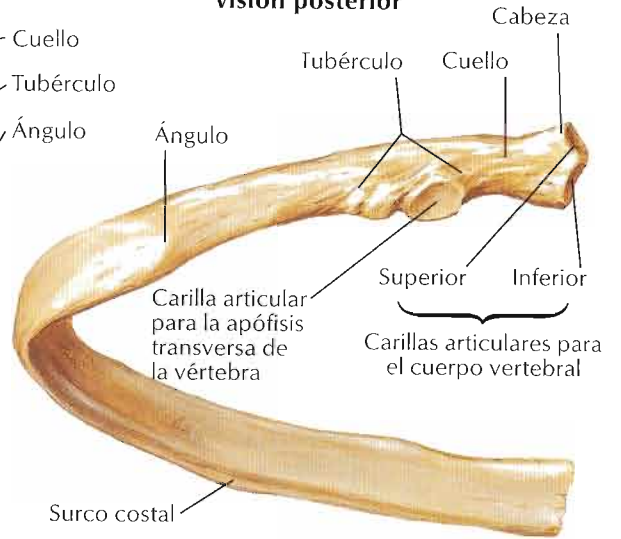




Uniones musculares
 Orígenes
 Inserciones



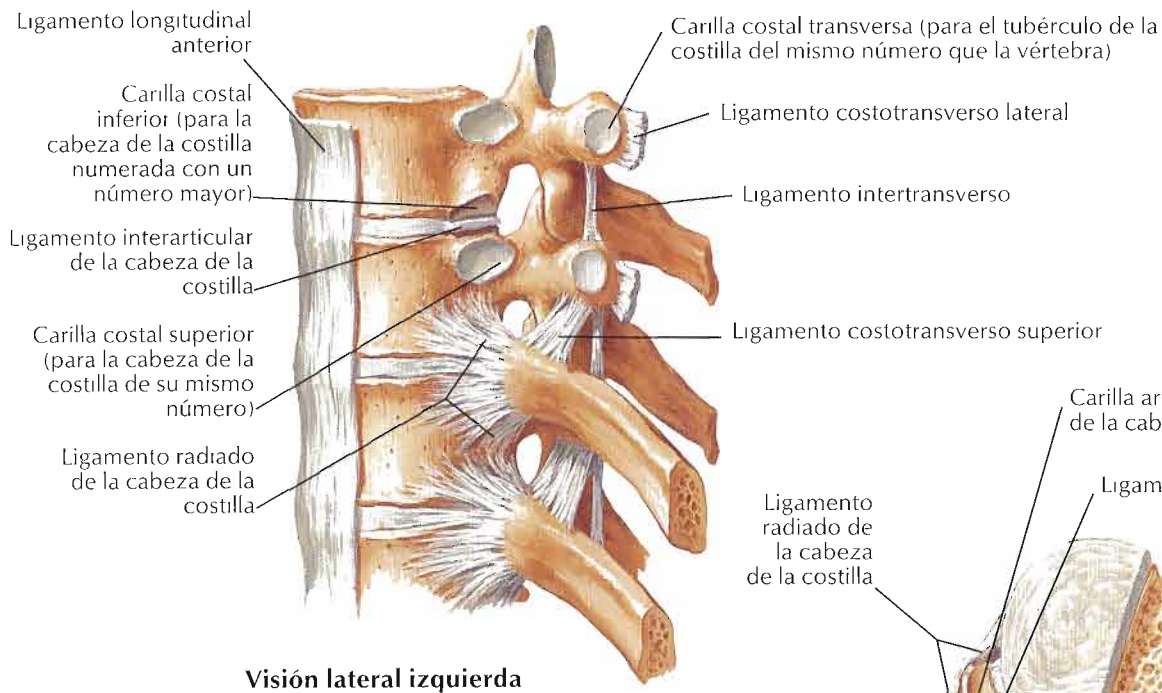
Costilla media: visión posterior



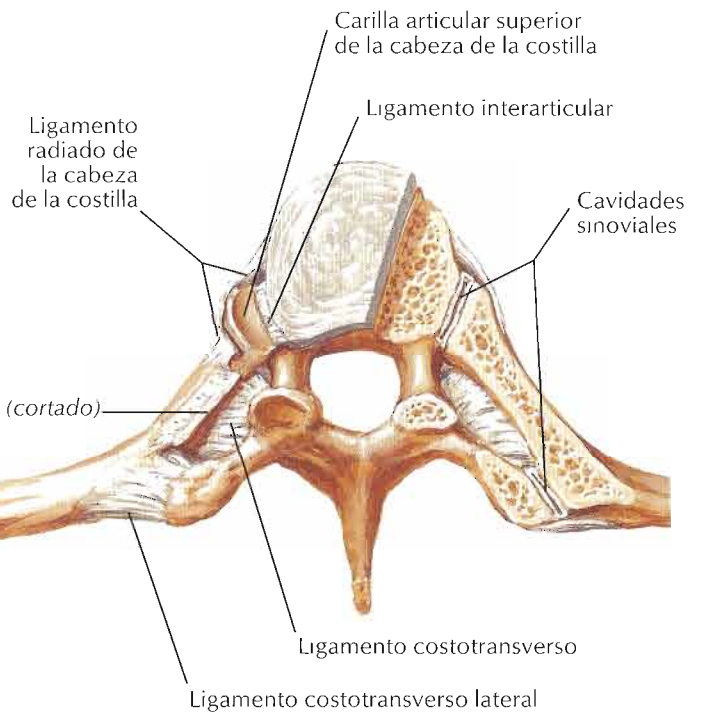
Nota: la cabeza de una costilla típica se articula con la carilla costal superior de la vértebra torácica de su mismo número (por medio de su carilla articular inferior), la carilla costal inferior de la vértebra inferior (mediante su carilla superior) y el disco intervertebral entre las dos vértebras. El tubérculo costal se articula con la apófisis transversa de la vértebra del mismo número

F. Netter M.D.

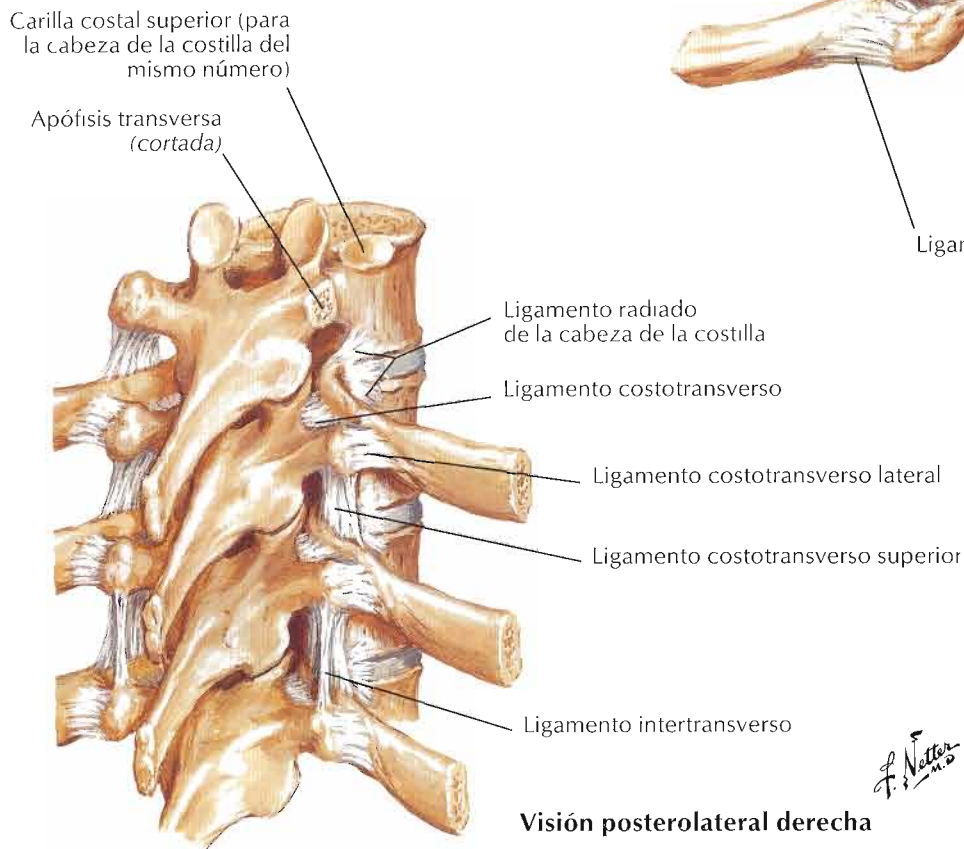
Articulaciones esternocostales: visión anterior



Visión lateral izquierda

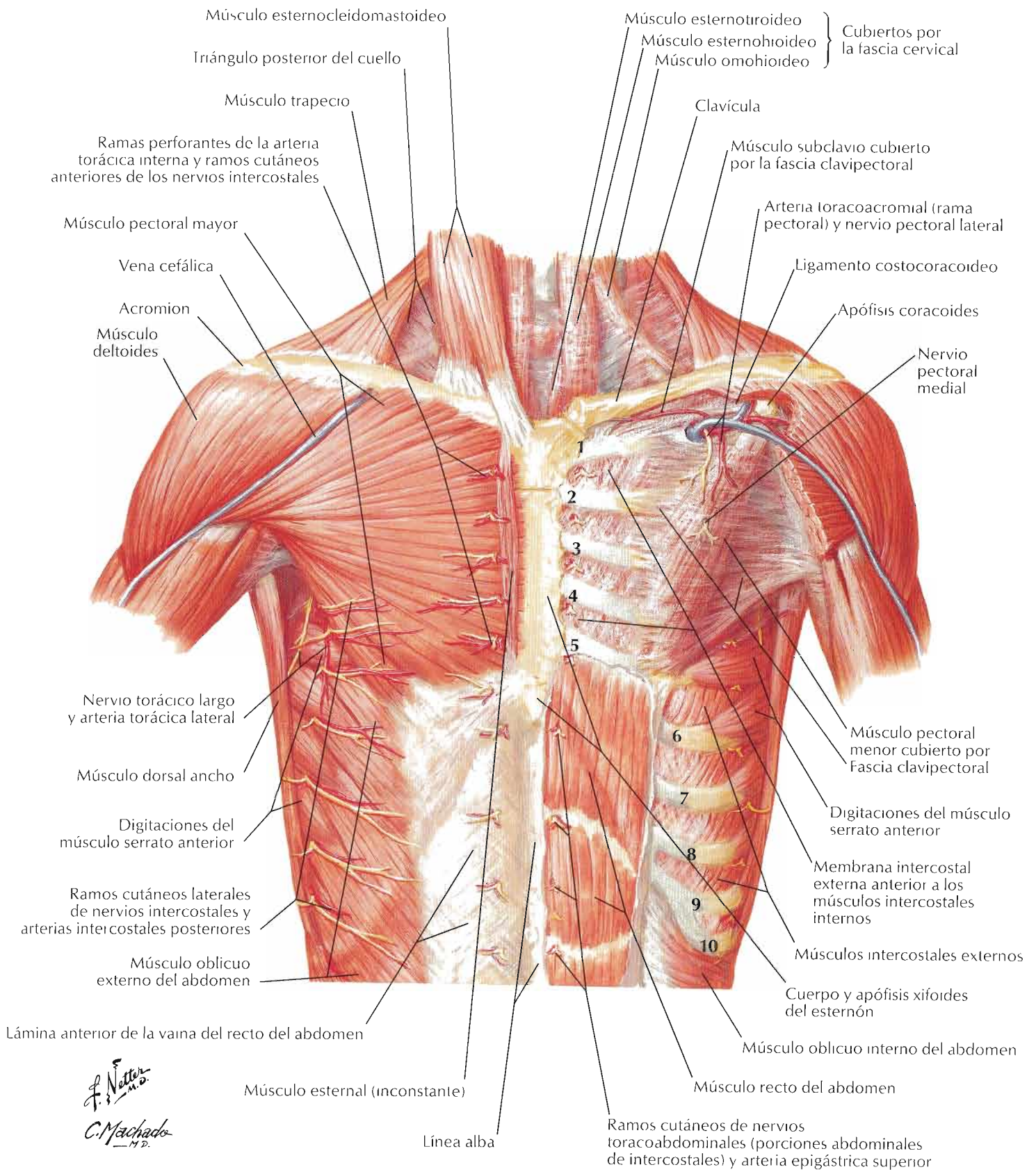


Sección transversa: visión superior

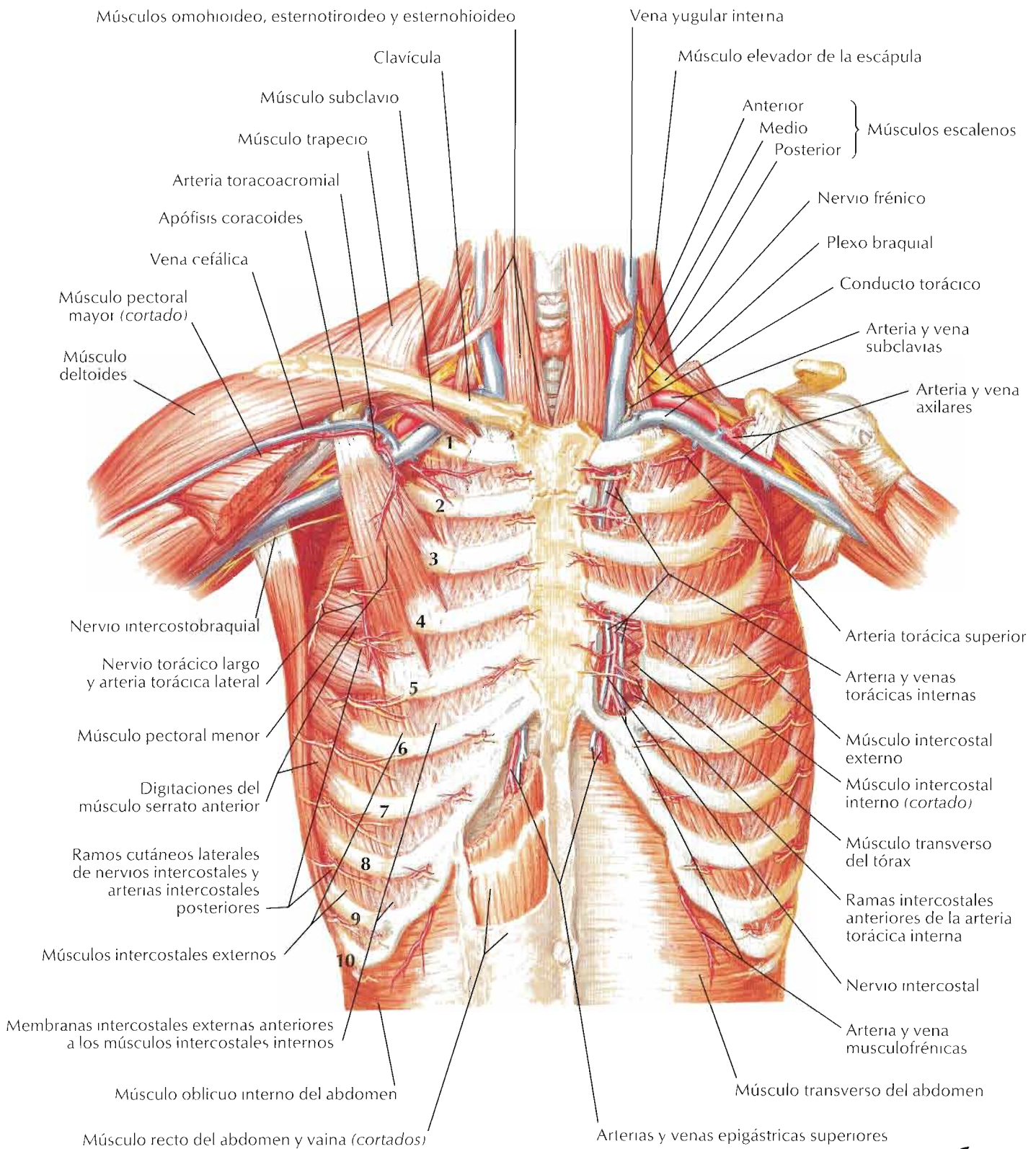


Visión posterolateral derecha

F. Netter M.D.



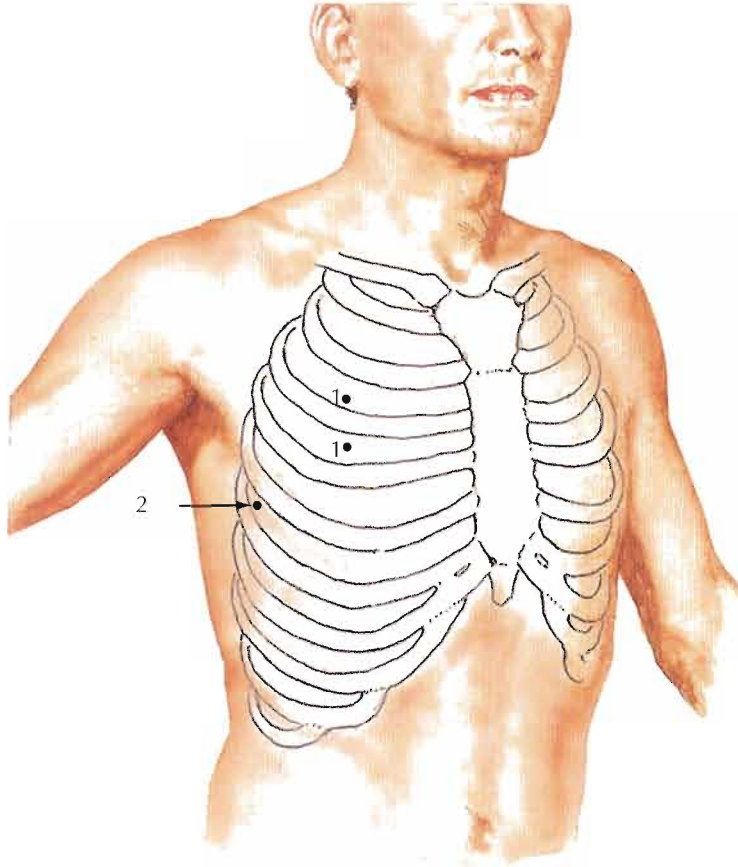
F. Netter M.D.
C. Machado M.D.



F. Netter M.D.

Localizaciones preferentes

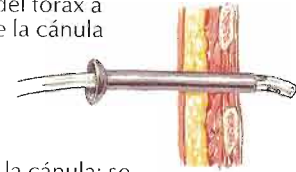
1. Para el neumotórax (2.º o 3.º espacio intercostal en la línea medioclavicular)
2. Para el hemotórax (5.º espacio intercostal en la línea media axilar)



- A. Se empuja el trocar y cánula a través del espacio intercostal



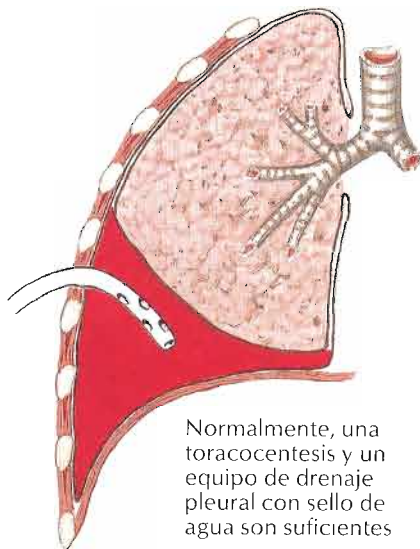
- B. Se retira el trocar; se pasa el tubo hacia el interior del tórax a través de la cánula



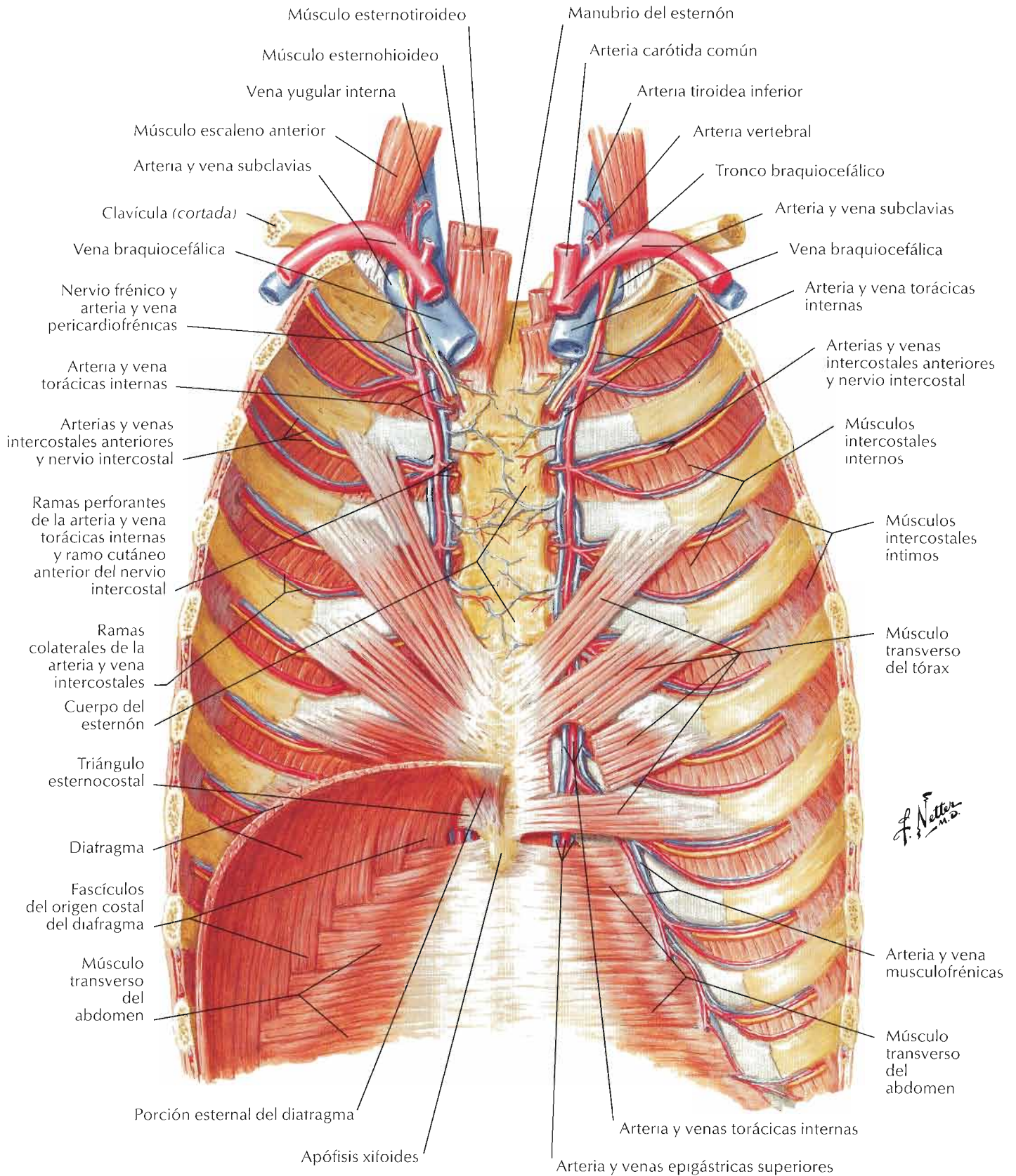
- C. Se retira la cánula; se conecta el tubo a un equipo de drenaje pleural con sello de agua (si es necesario con aspiración)



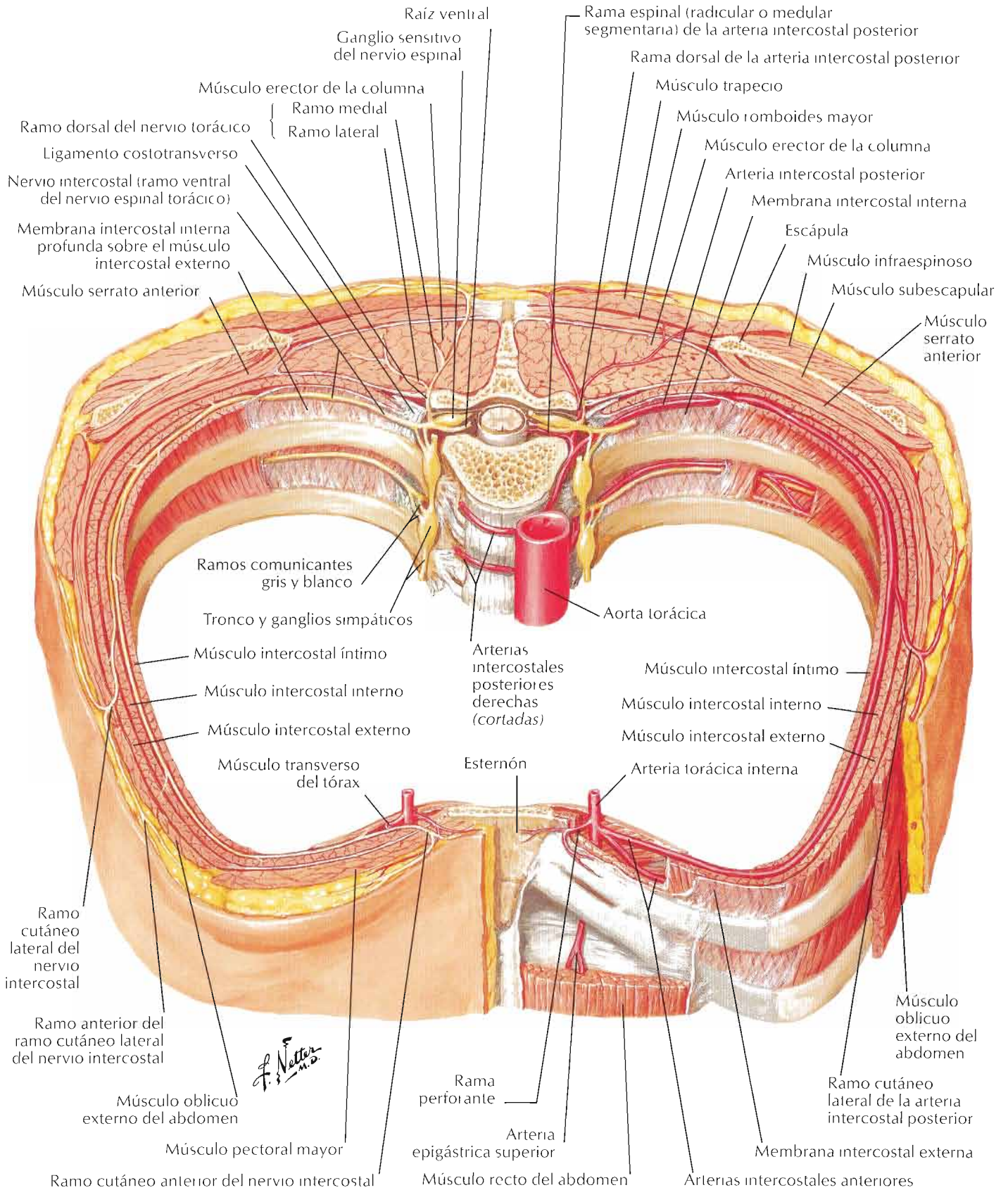
- D. Se punciona el espacio intercostal por encima de la costilla para evitar lesionar el paquete vasculonervioso situado en el surco costal

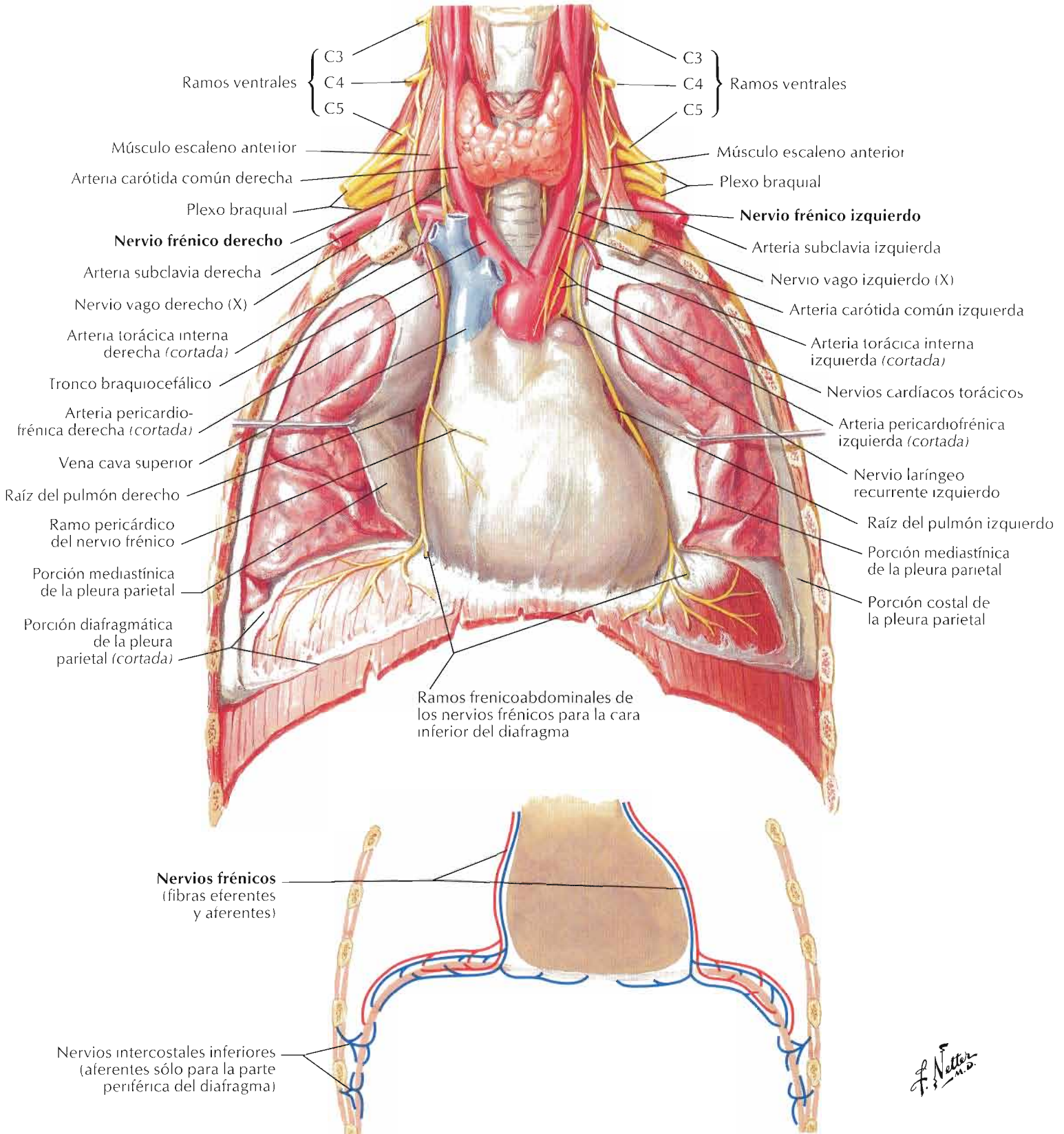


F. Netter M.D.

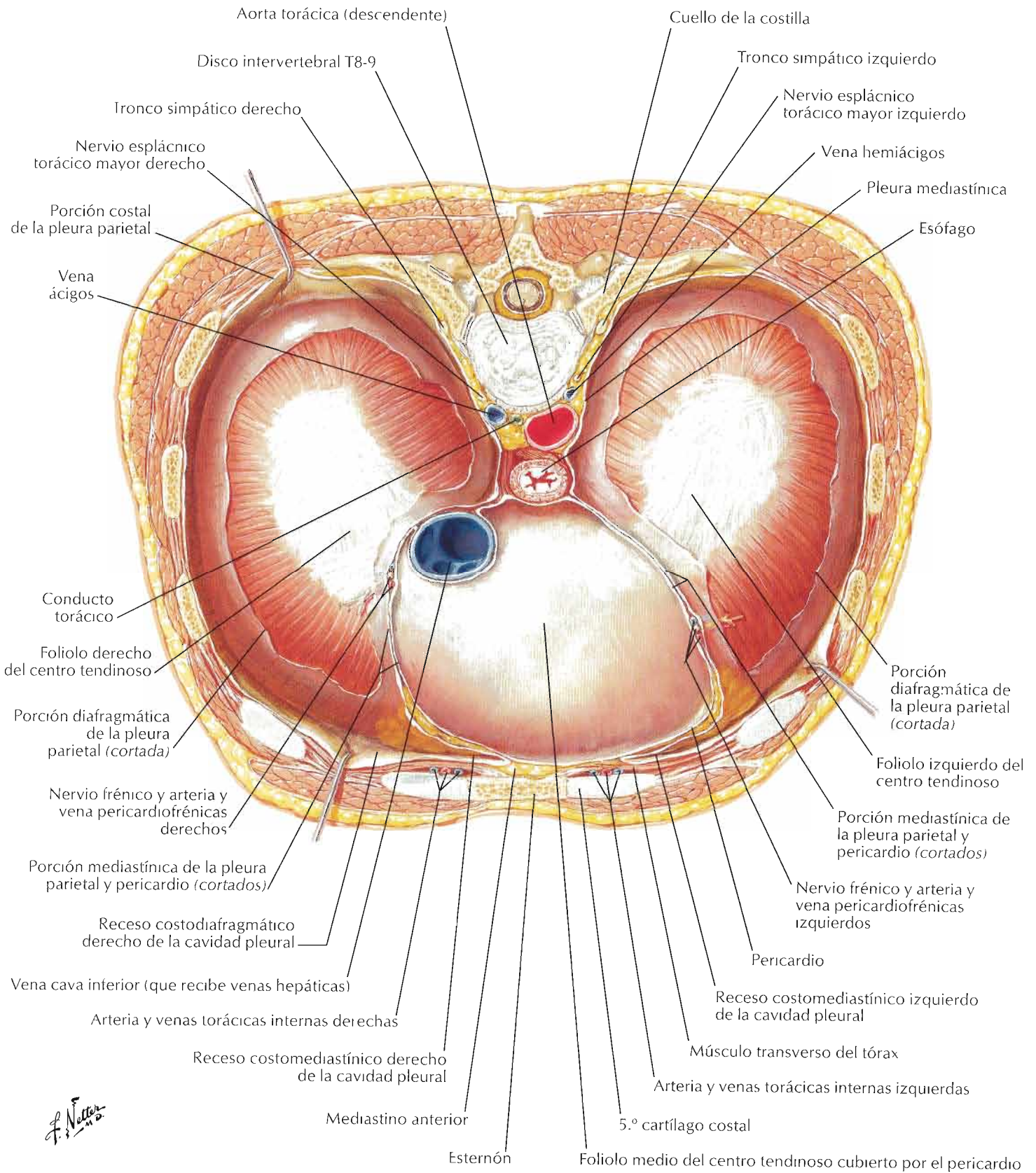


Véanse también láminas 180, 258

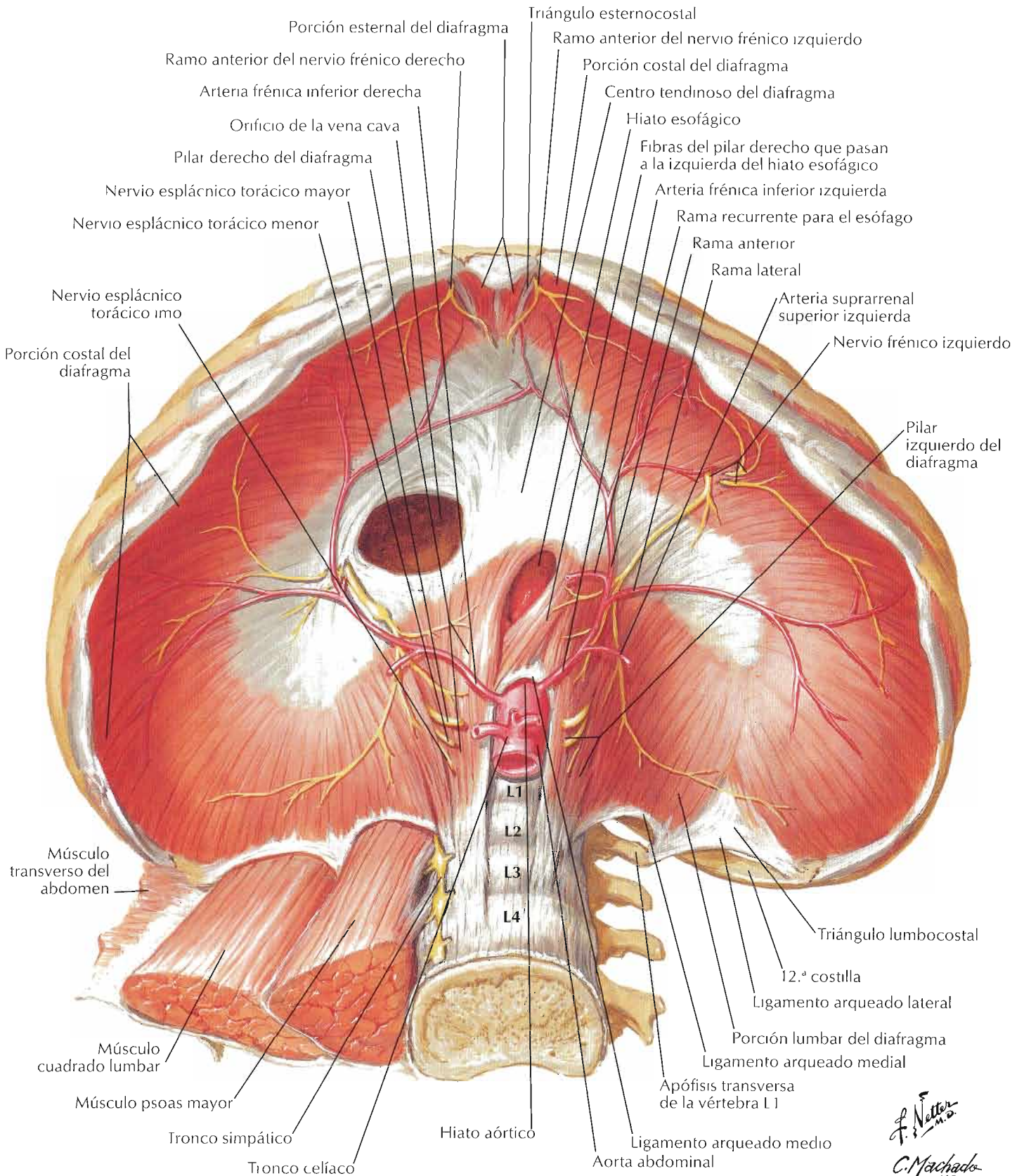


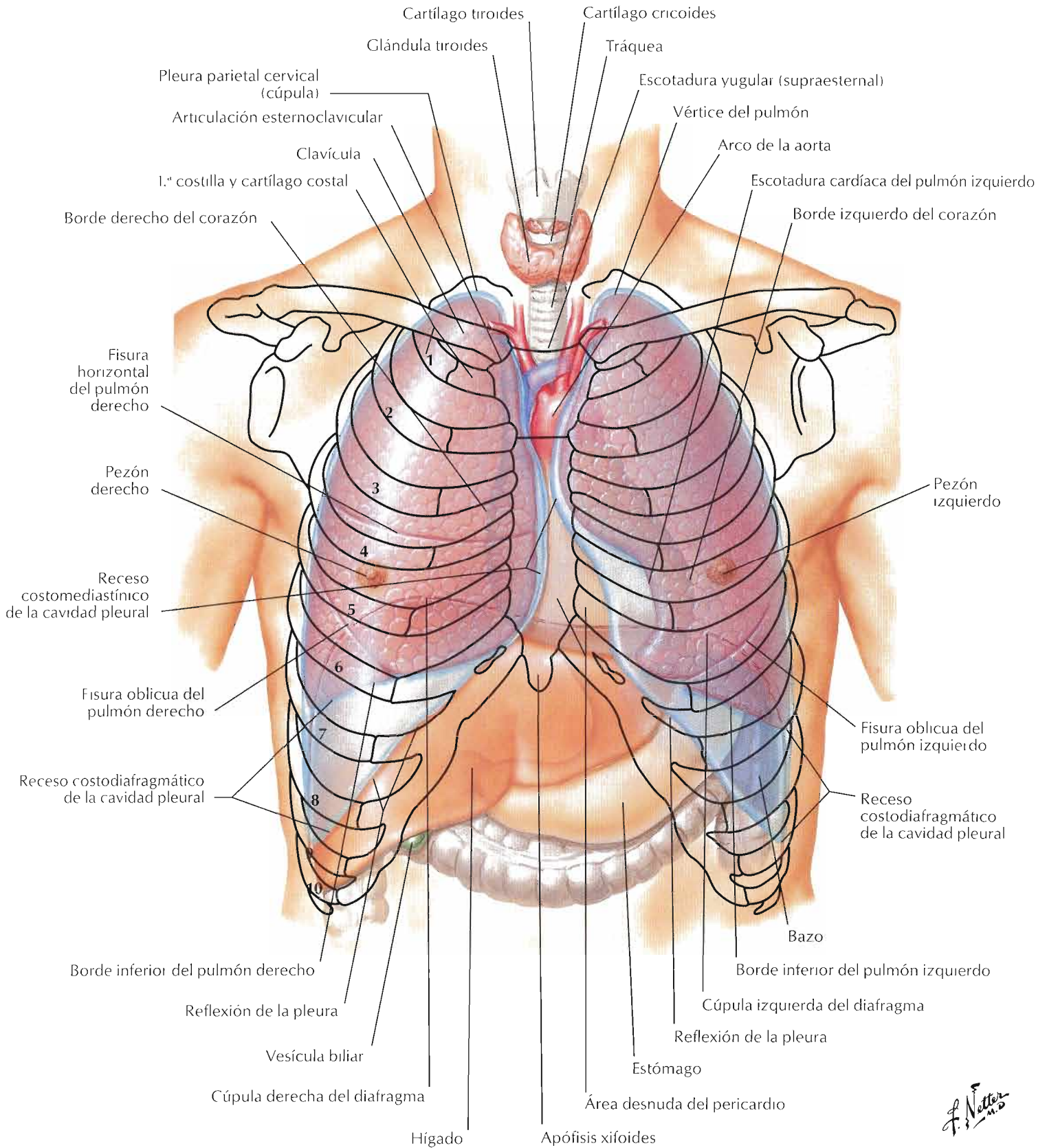


Véanse también láminas 230, 231

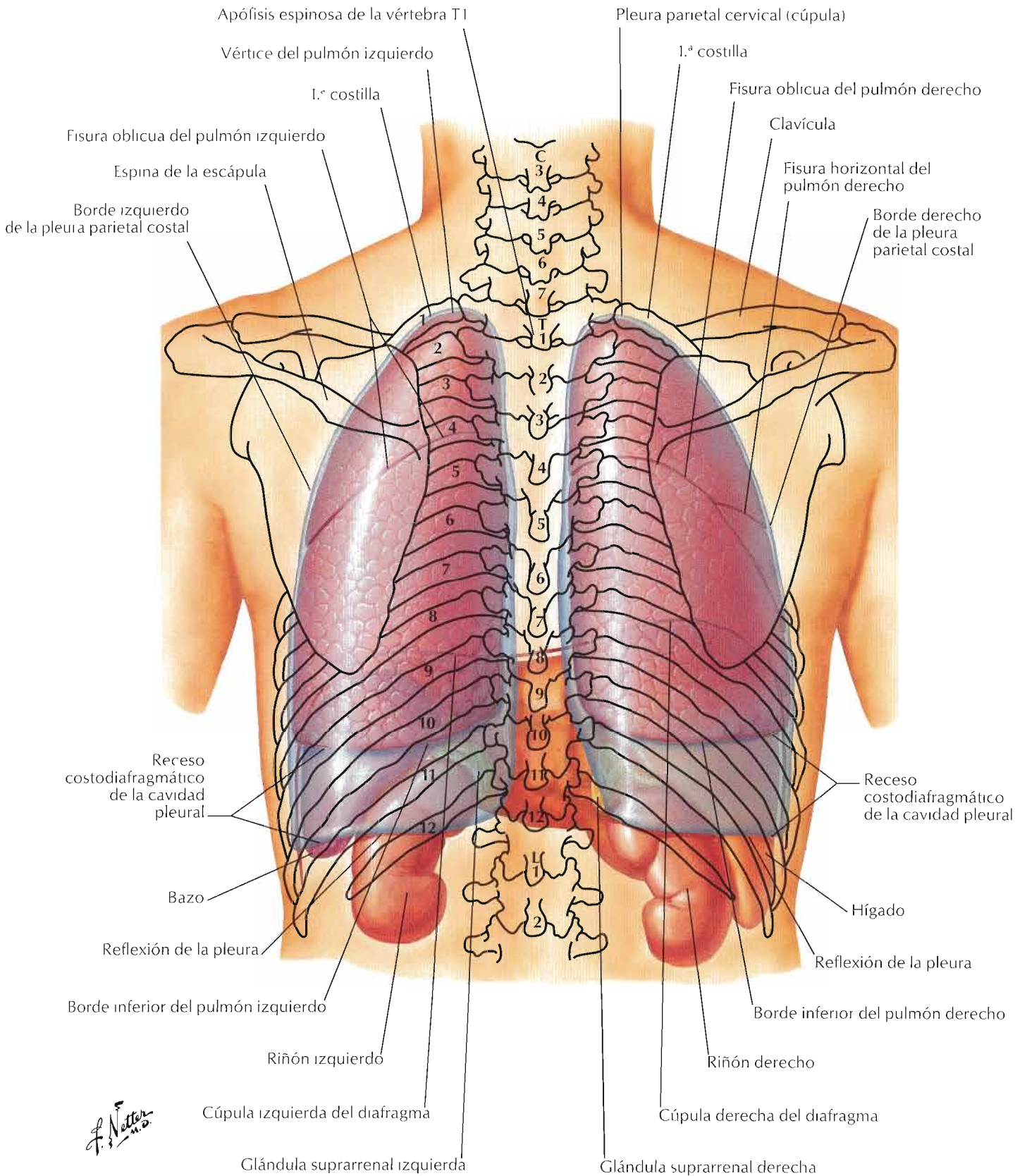


Véanse también láminas 253, 263, 270

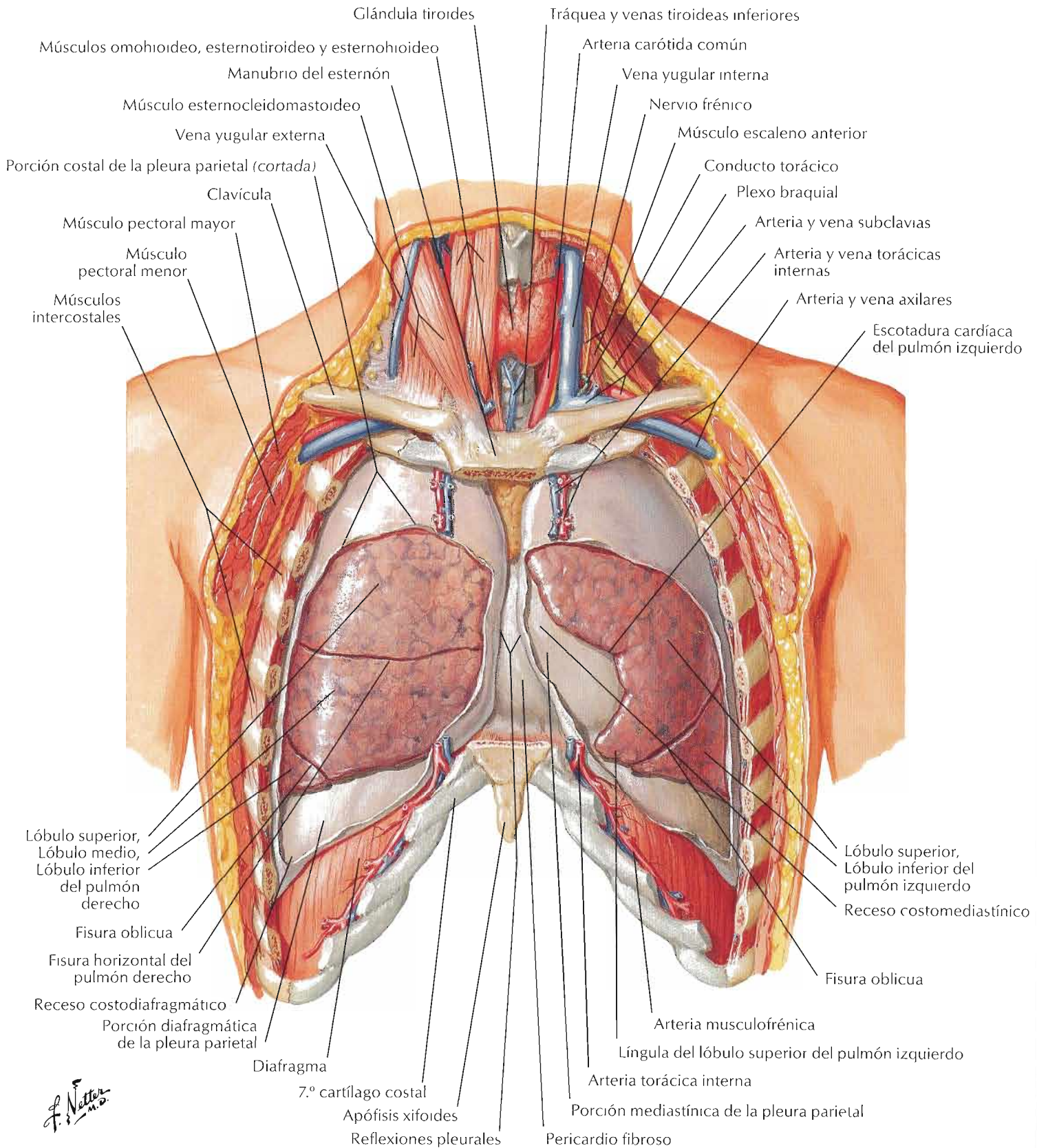




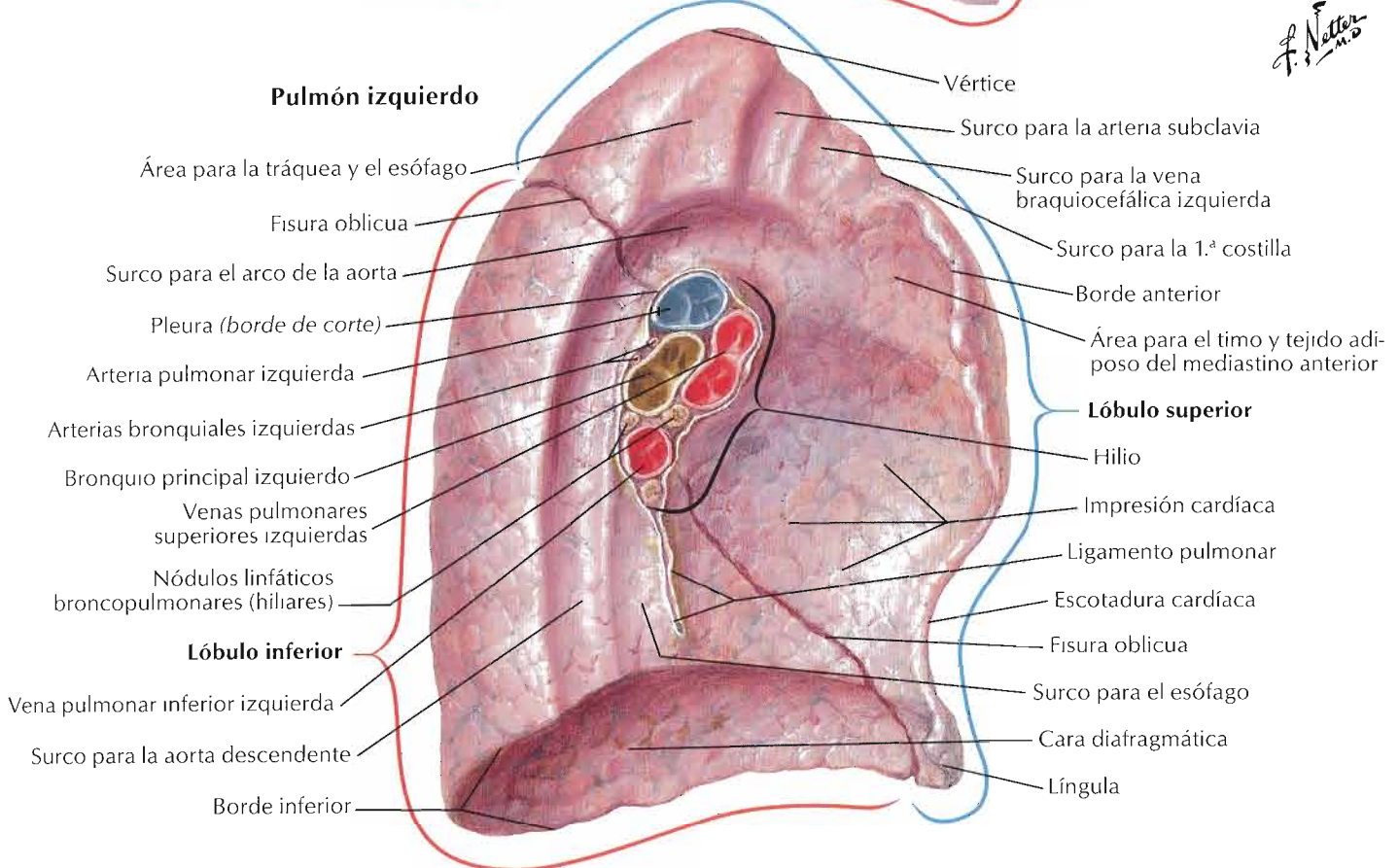
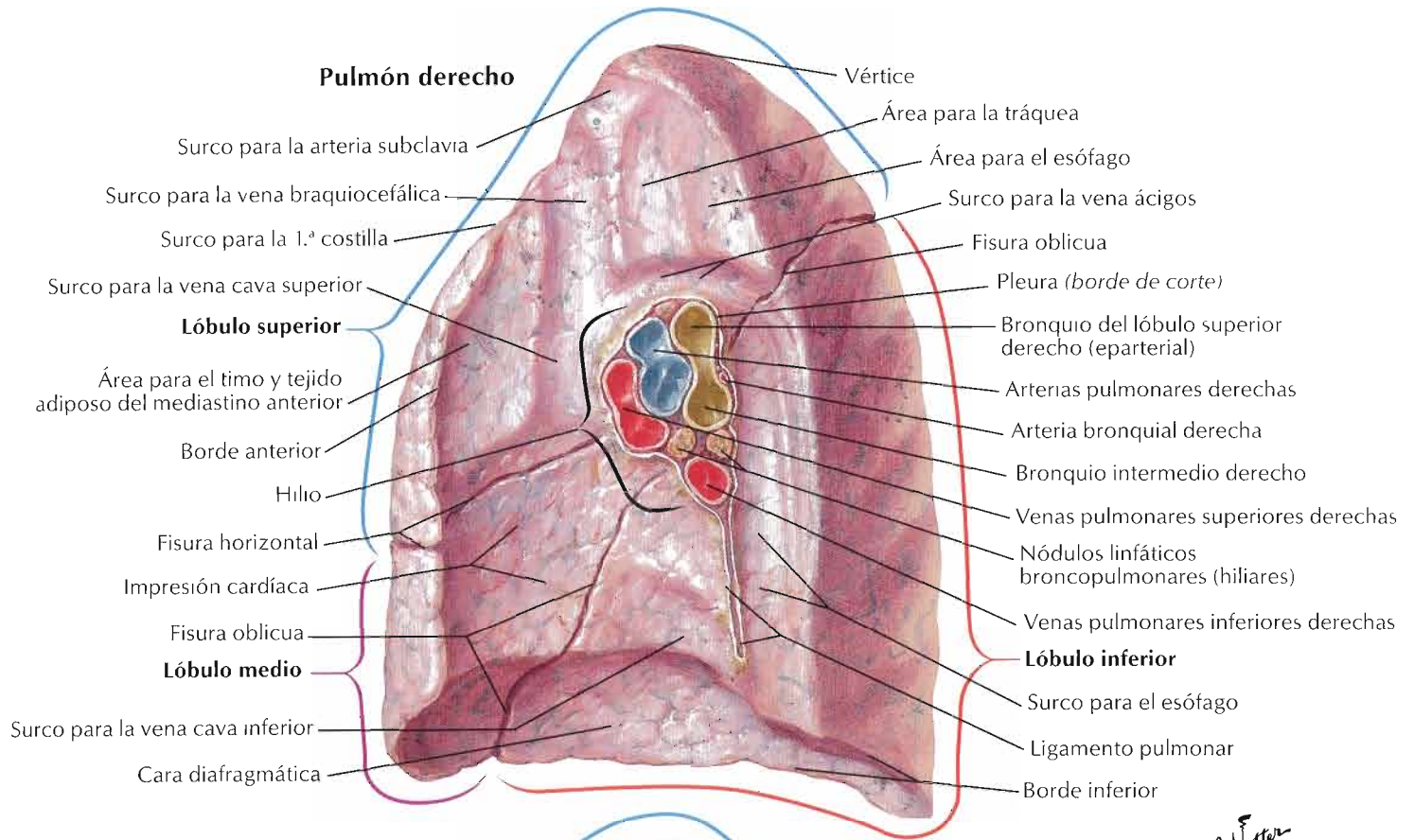
F. Netter M.D.

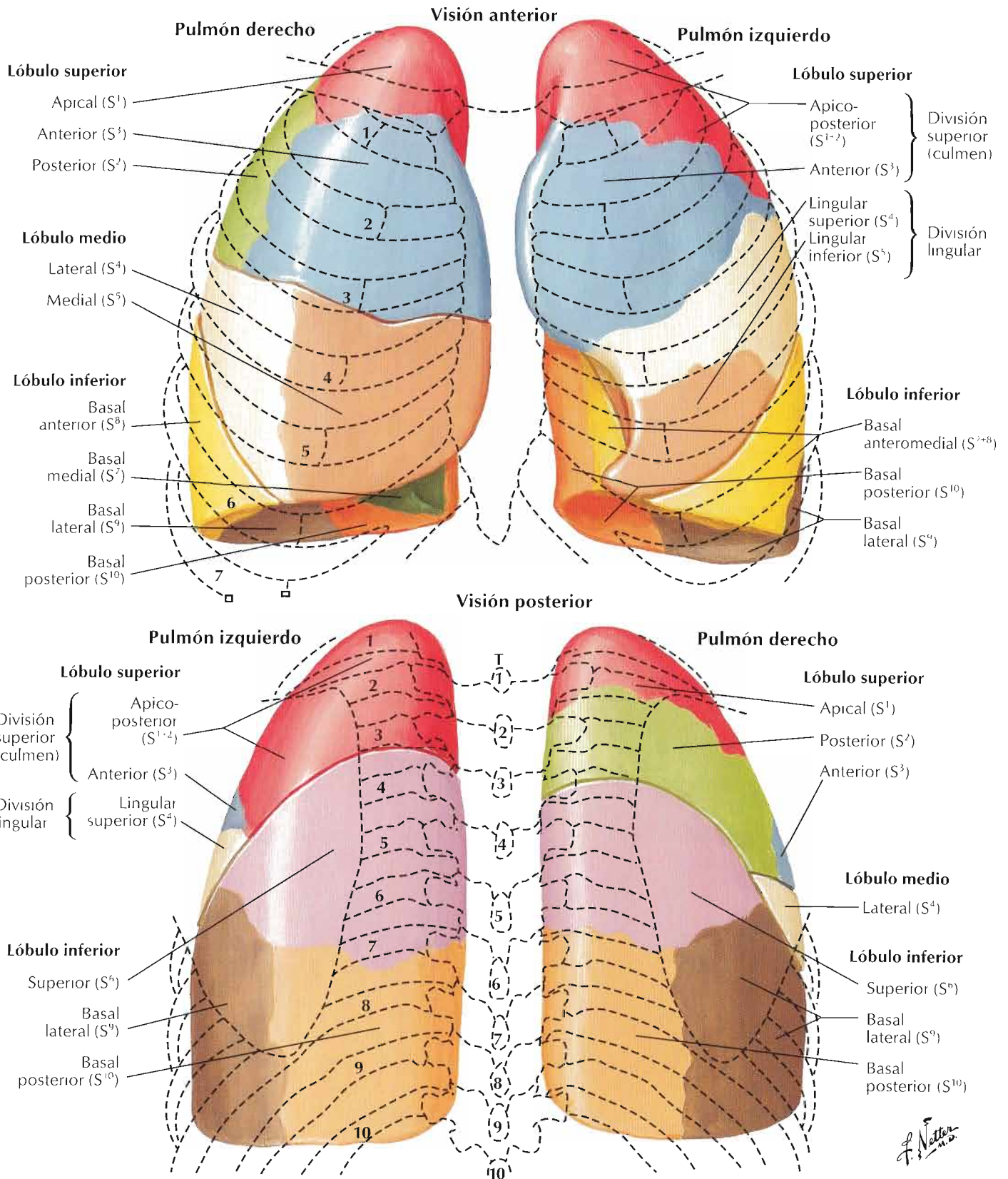


F. Netter M.D.

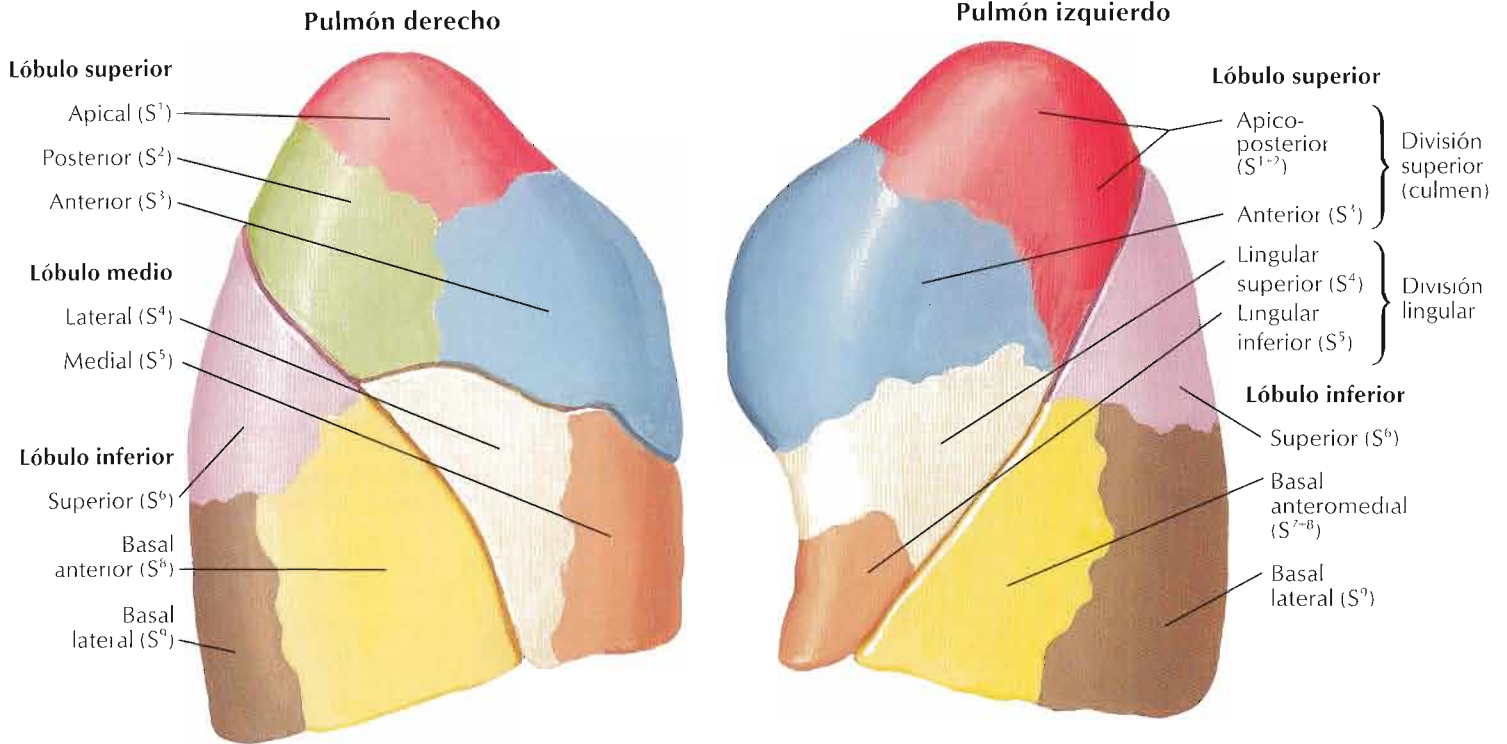


F. Netter M.D.



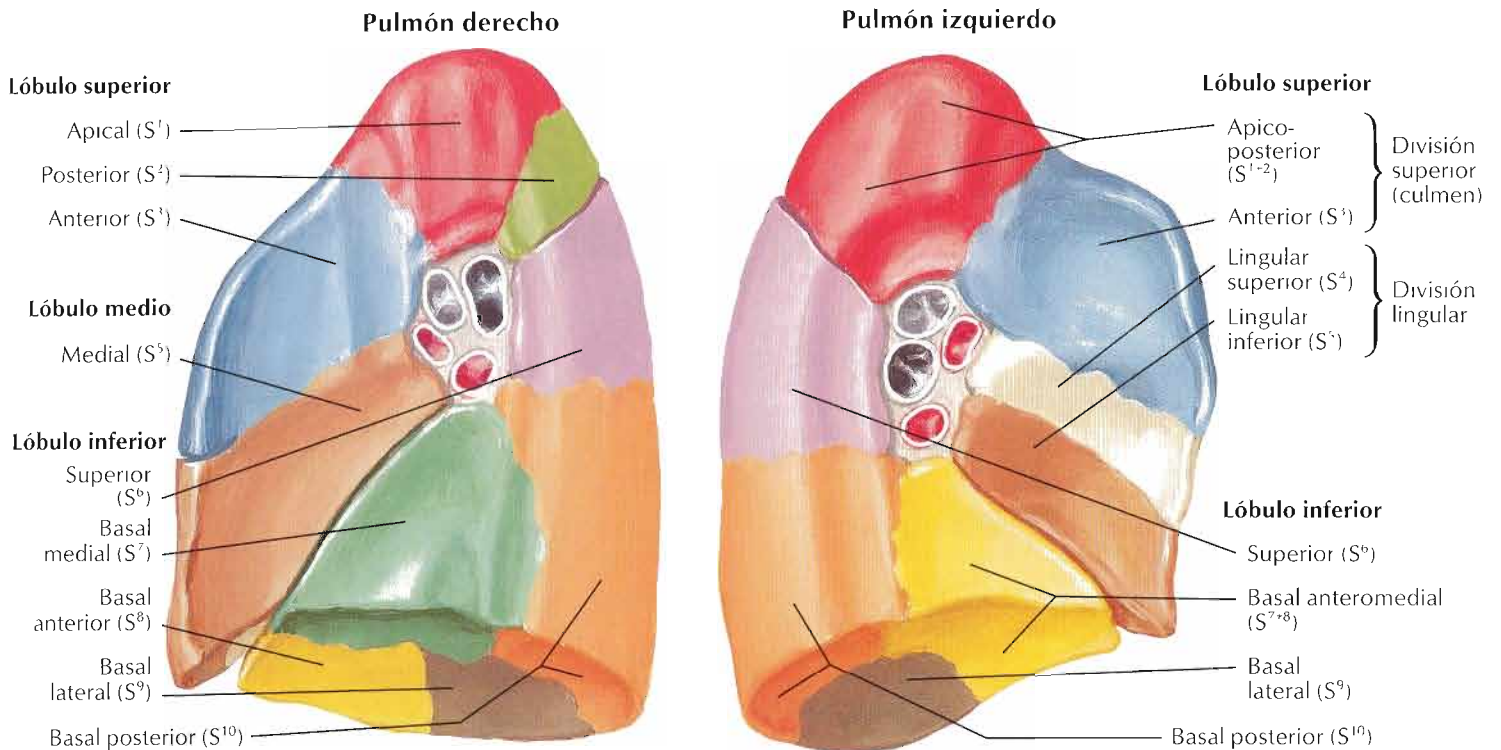


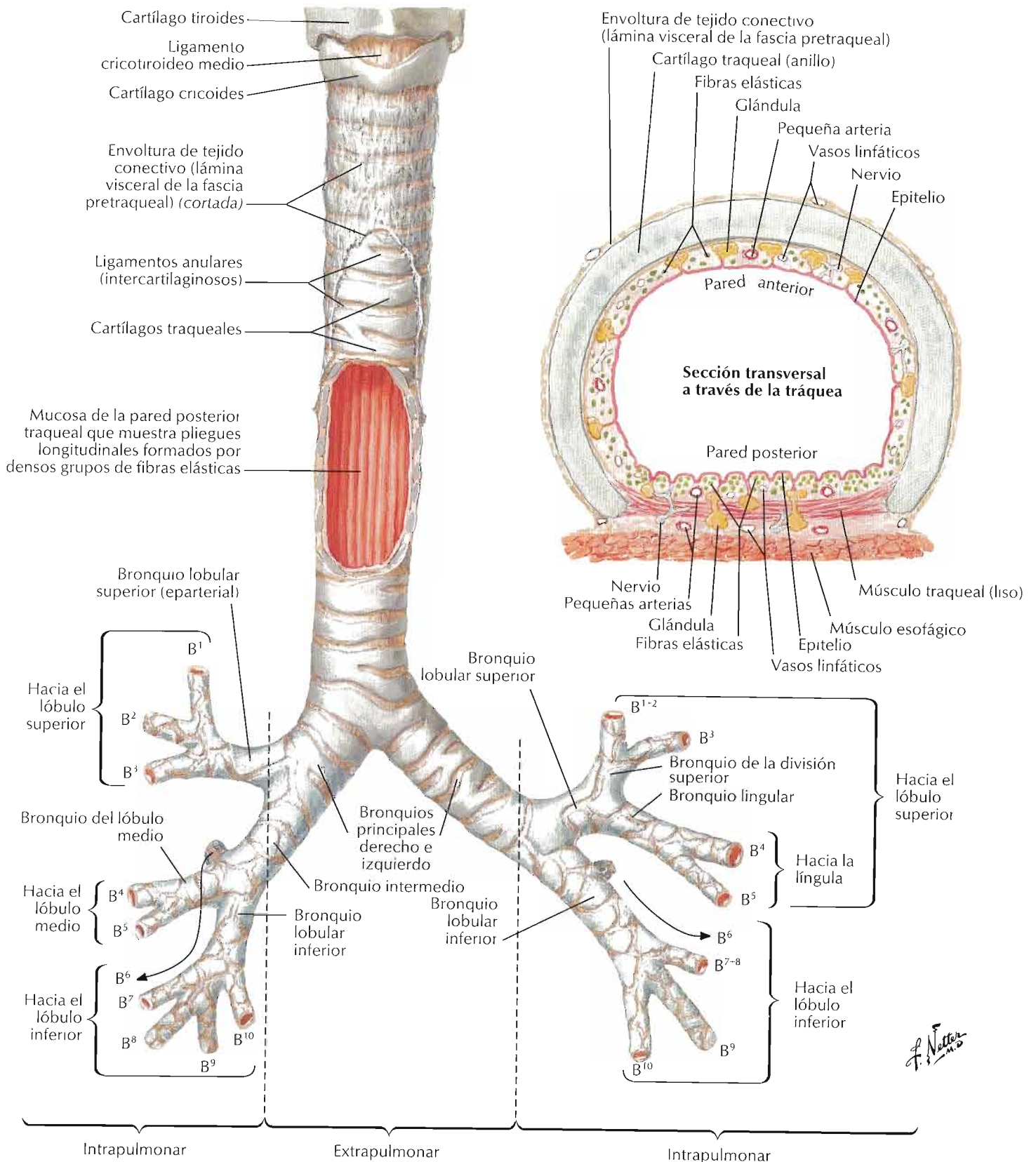
Visiones laterales

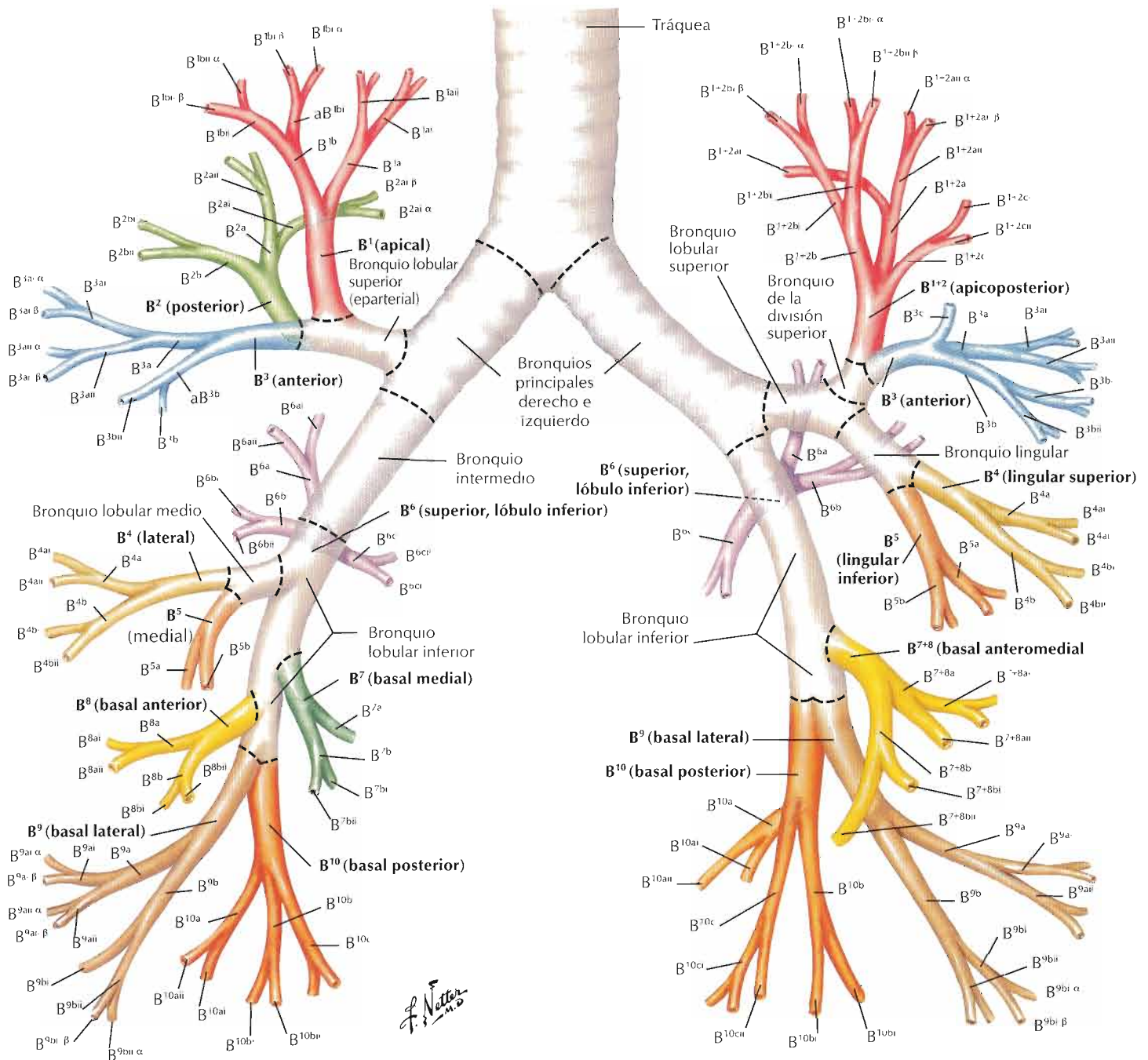


F. Netter M.D.

Visiones mediales

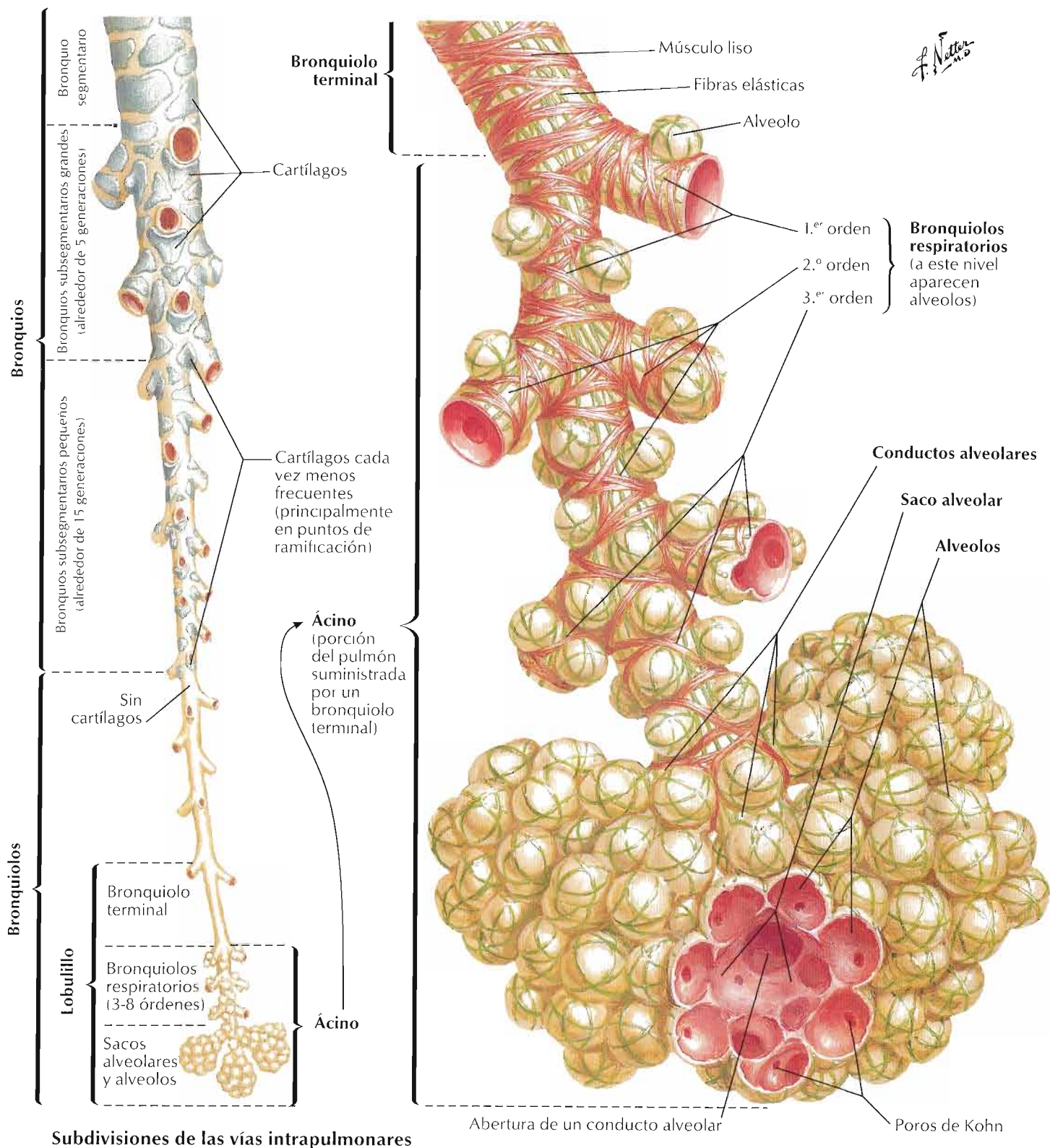






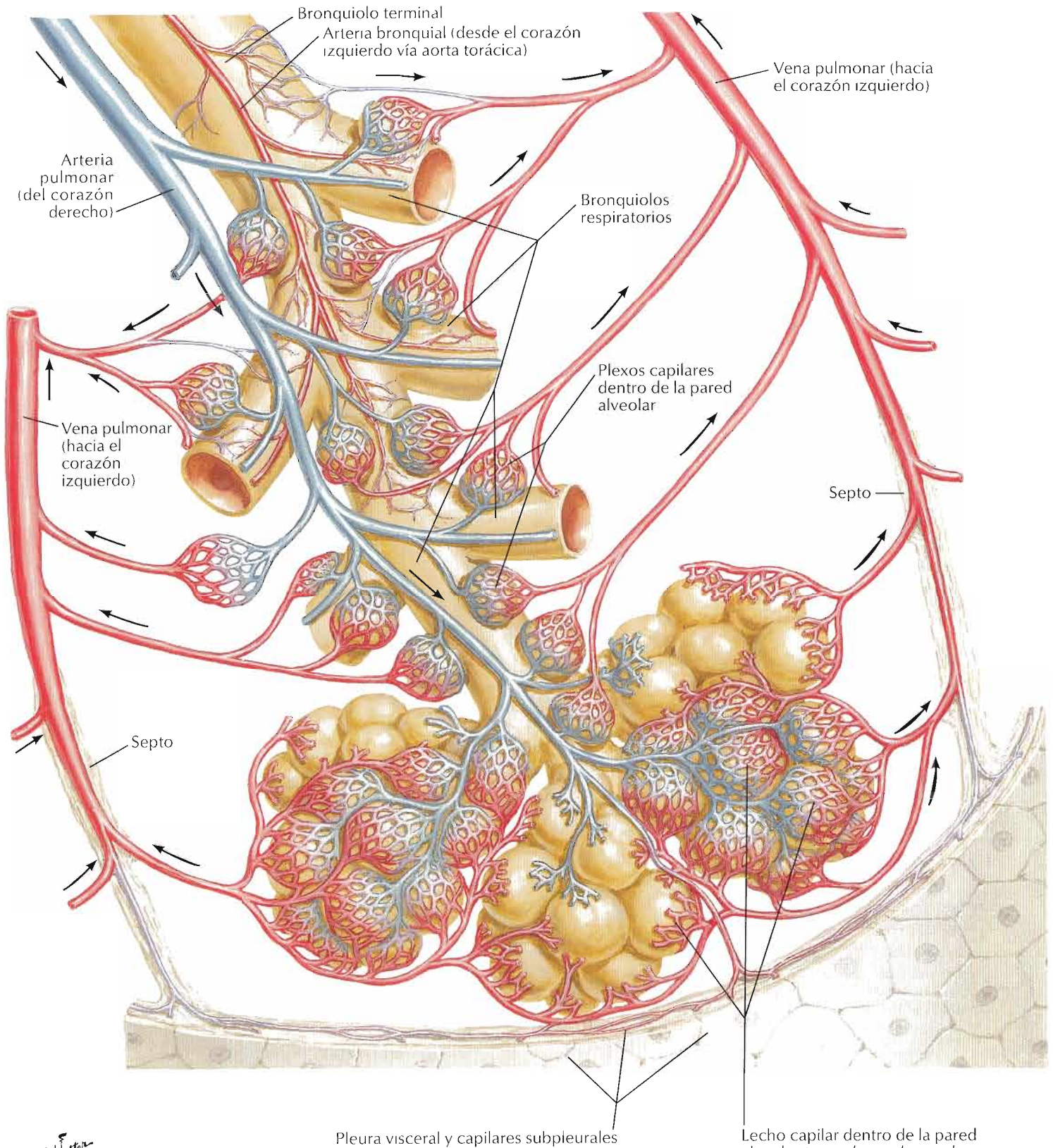
La nomenclatura de uso común para los segmentos broncopulmonares (láminas 200 y 201) es la de Jackson y Huber, nombrándose los segmentos bronquiales de acuerdo con ella. Ikeda propuso una nomenclatura (como se muestra aquí) para las subdivisiones bronquiales hasta la 6.^a generación. Para simplificar la ilustración, sólo se han numerado algunas subdivisiones bronquiales hasta la 5.^a o 6.^a generación. Los bronquios segmentarios (B) se han numerado del 1 al 10 en cada pulmón, correspondiéndose con los segmentos pulmonares. En el pulmón izquierdo, B¹ y B² se

combinan como lo hacen B⁷ y B⁸. Los bronquios subsegmentarios, o de 4.^o orden, se indican añadiendo una letra subíndice a, b o c cuando se presenta una rama adicional. Los bronquios de 5.^o orden se designan por los números romanos i (anterior) o ii (posterior), y los bronquios de 6.^o orden, por las letras griegas α o β. Diversos textos usan números alternados (como propone Boyden) para los bronquios segmentarios. Las variaciones del patrón bronquial estándar mostrado aquí son corrientes, especialmente en las vías aéreas periféricas.



Subdivisiones de las vías intrapulmonares

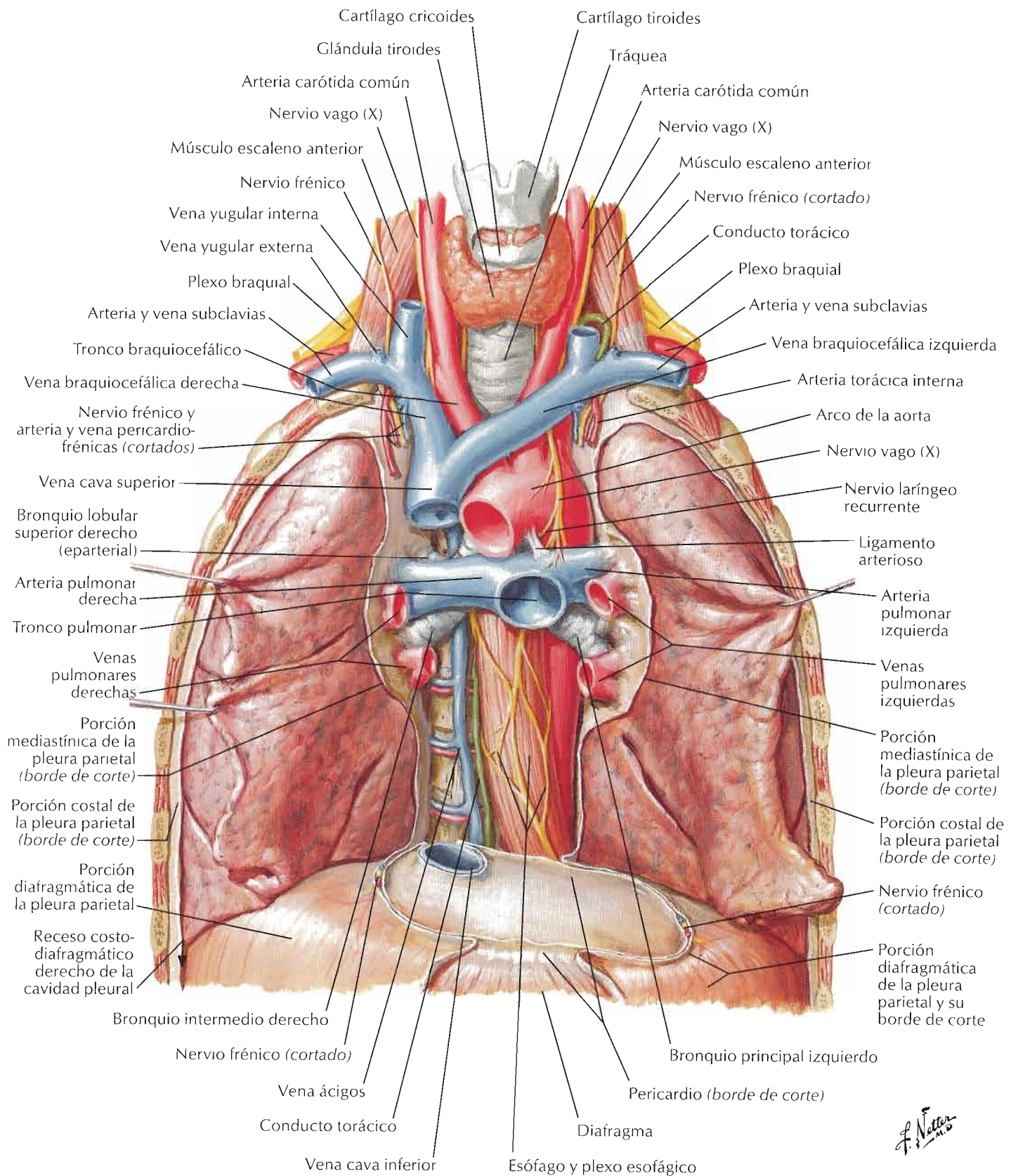
Estructura de las vías intrapulmonares



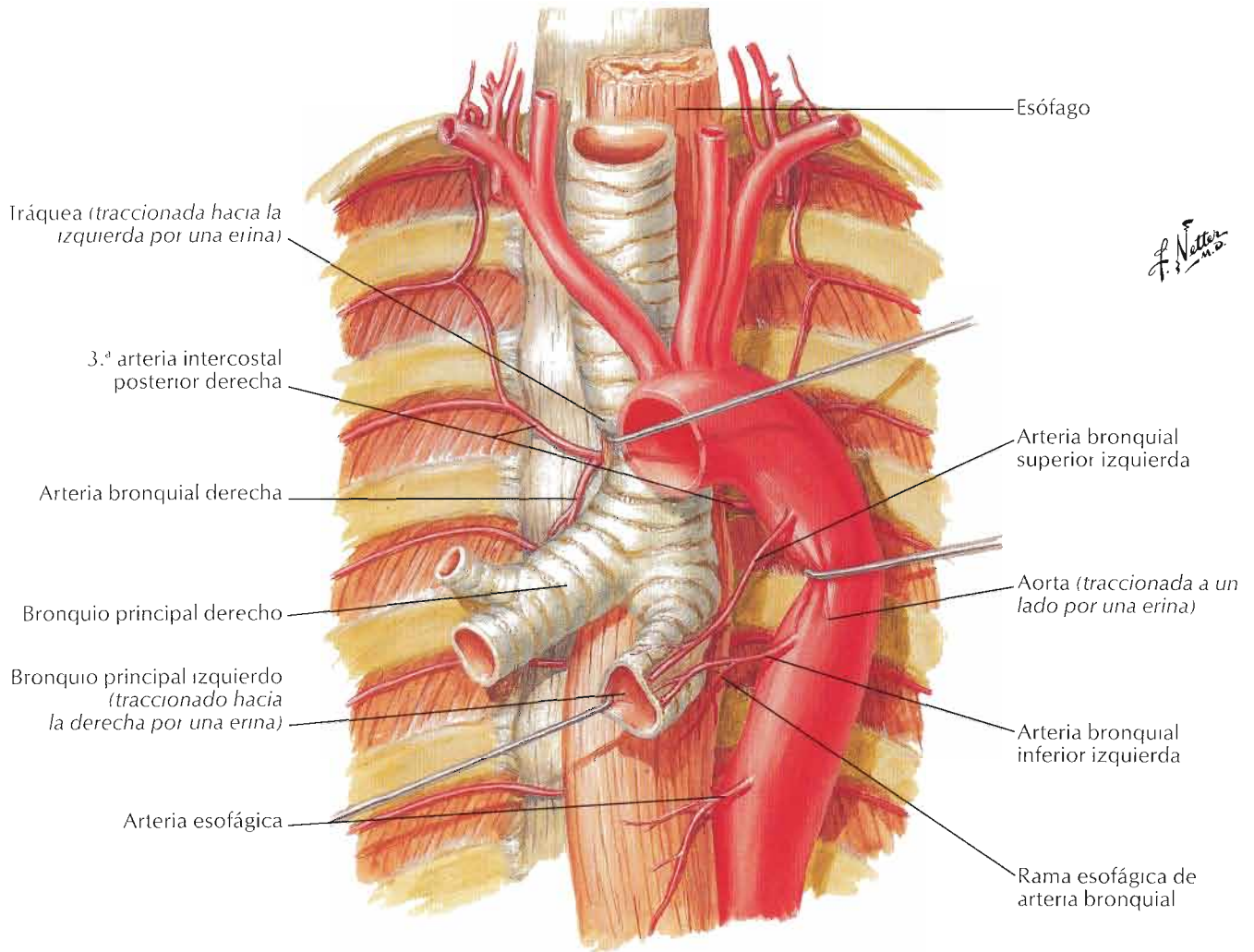
Las arterias pulmonares y sus ramas se distribuyen segmentariamente junto con los bronquios. Las venas pulmonares y sus tributarias drenan intersegmentariamente.

F. Netter M.D.

Lecho capilar dentro de la pared alveolar (cortado en algunos lugares)

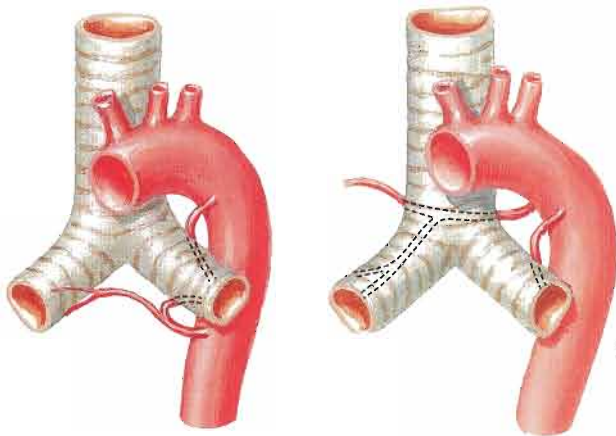


F. Netter M.D.



F. Netter M.D.

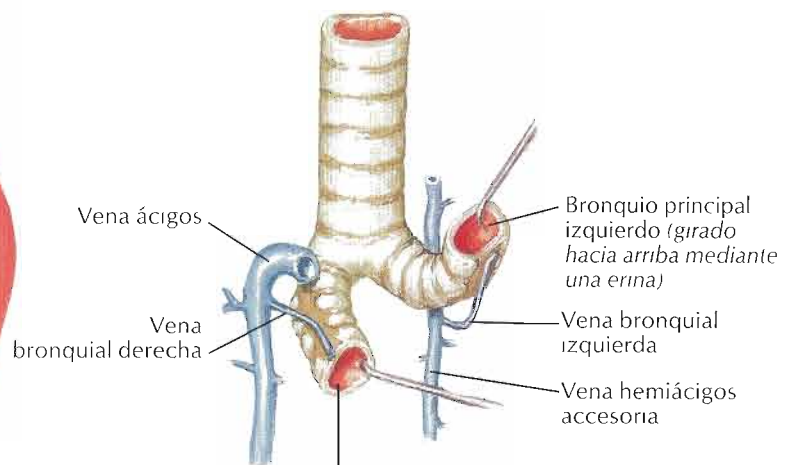
Variaciones en las arterias bronquiales



Arterias bronquiales derecha e izquierda que se originan en la aorta por un tronco único

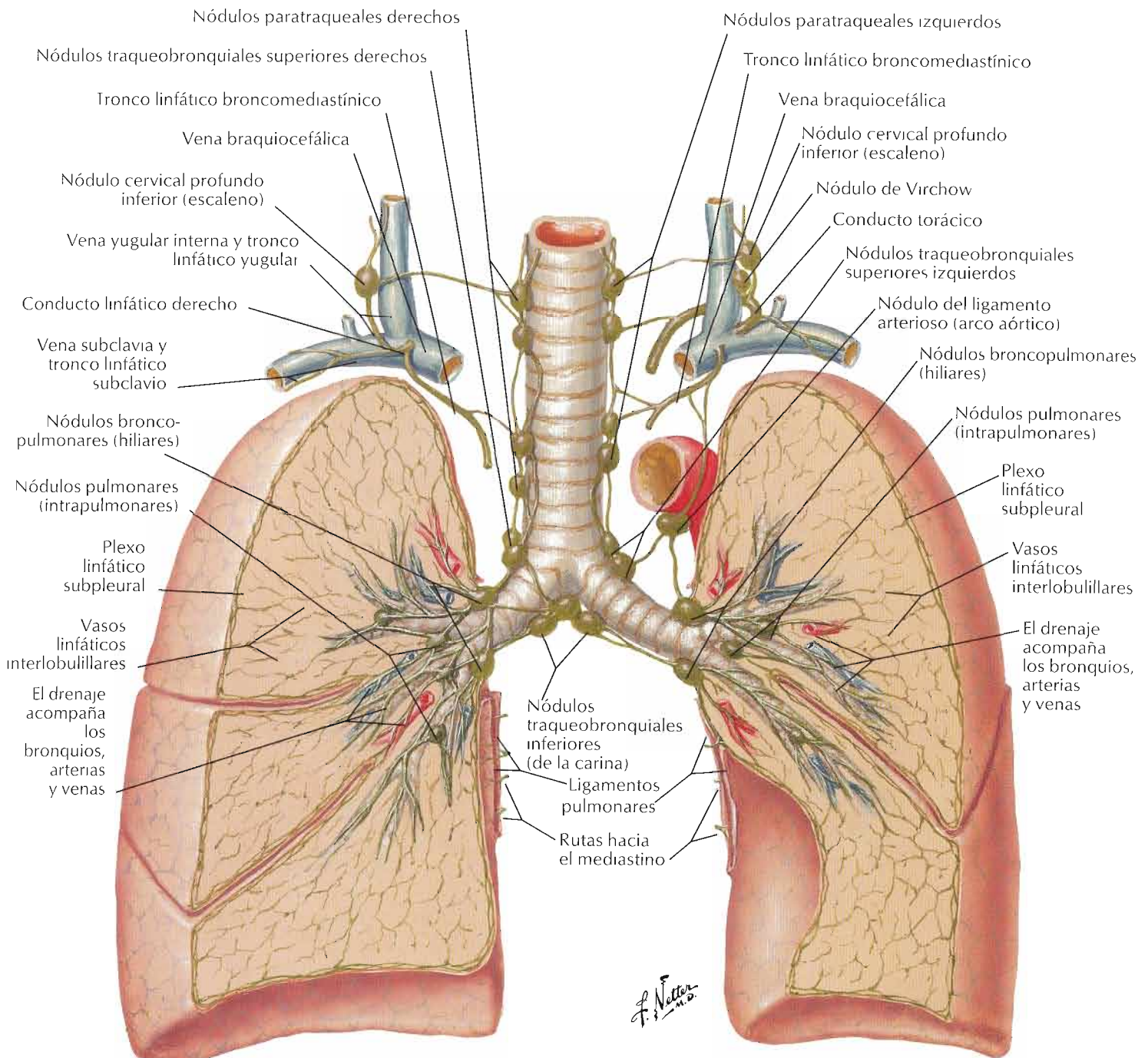
Una única arteria bronquial para cada bronquio (normalmente, dos para el bronquio izquierdo)

Venas bronquiales



Bronquio principal derecho (traccionado hacia la izquierda y rotado mediante una erina)

Véanse también láminas 72, 184, 239

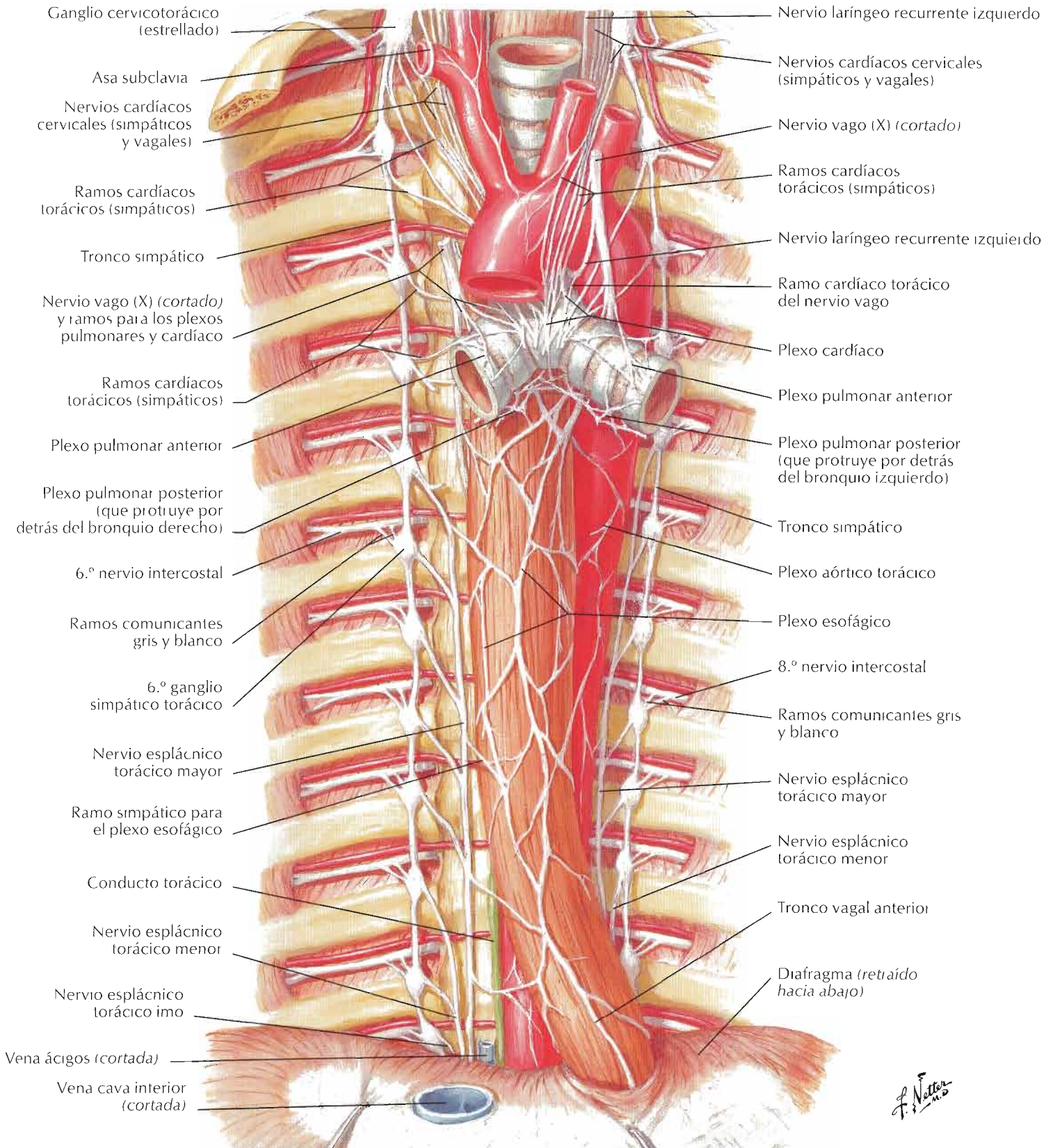


Rutas de drenaje

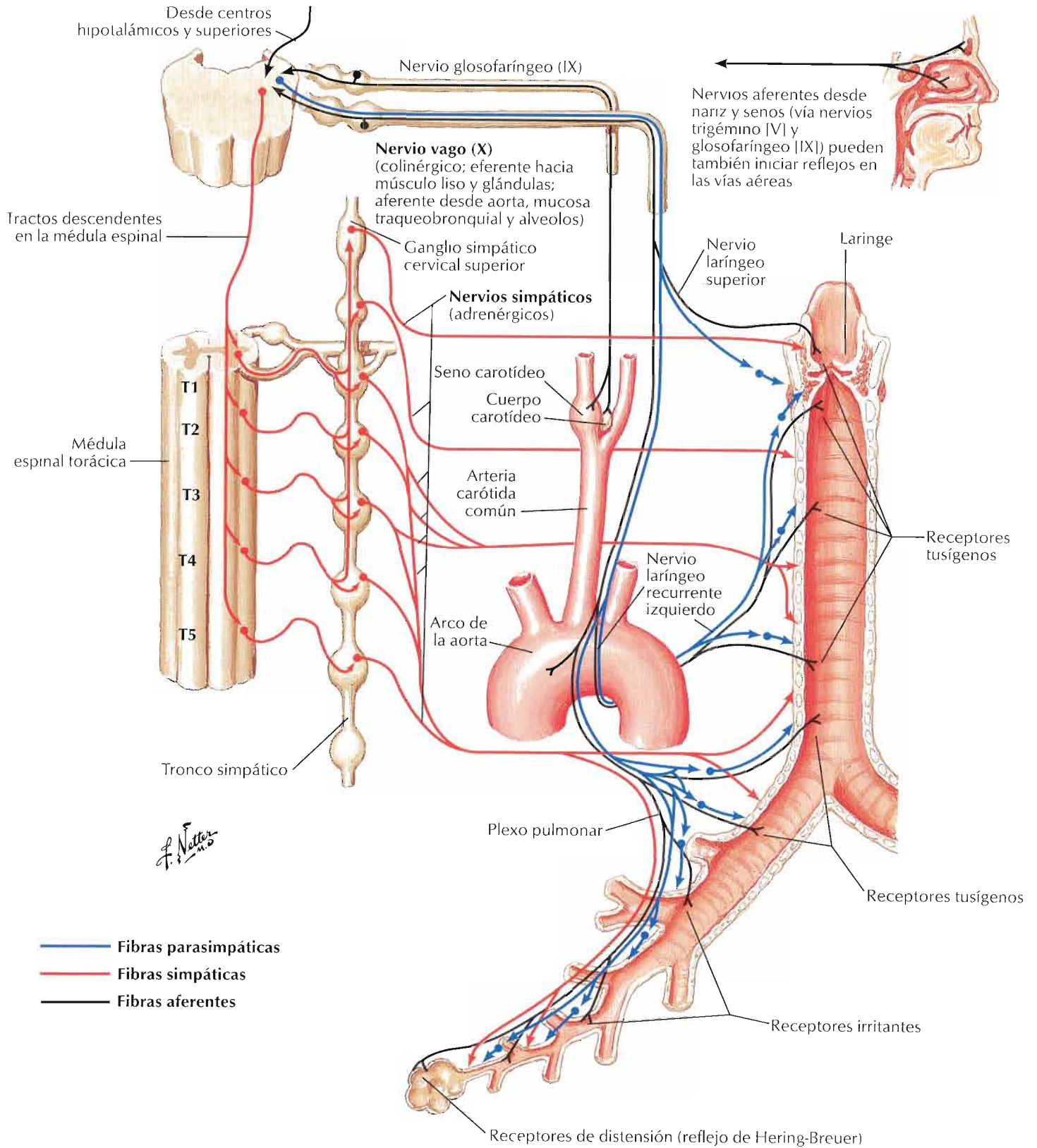
Pulmón derecho: todos los lóbulos drenan en nódulos pulmonares y broncopulmonares (hiliares) y luego en nódulos traqueobronquiales inferiores (de la carina), nódulos traqueobronquiales superiores derechos y nódulos paratraqueales derechos en dirección a la vena braquiocéfálica vía tronco linfático broncomediastínico y/o nódulo cervical profundo inferior (escaleno).

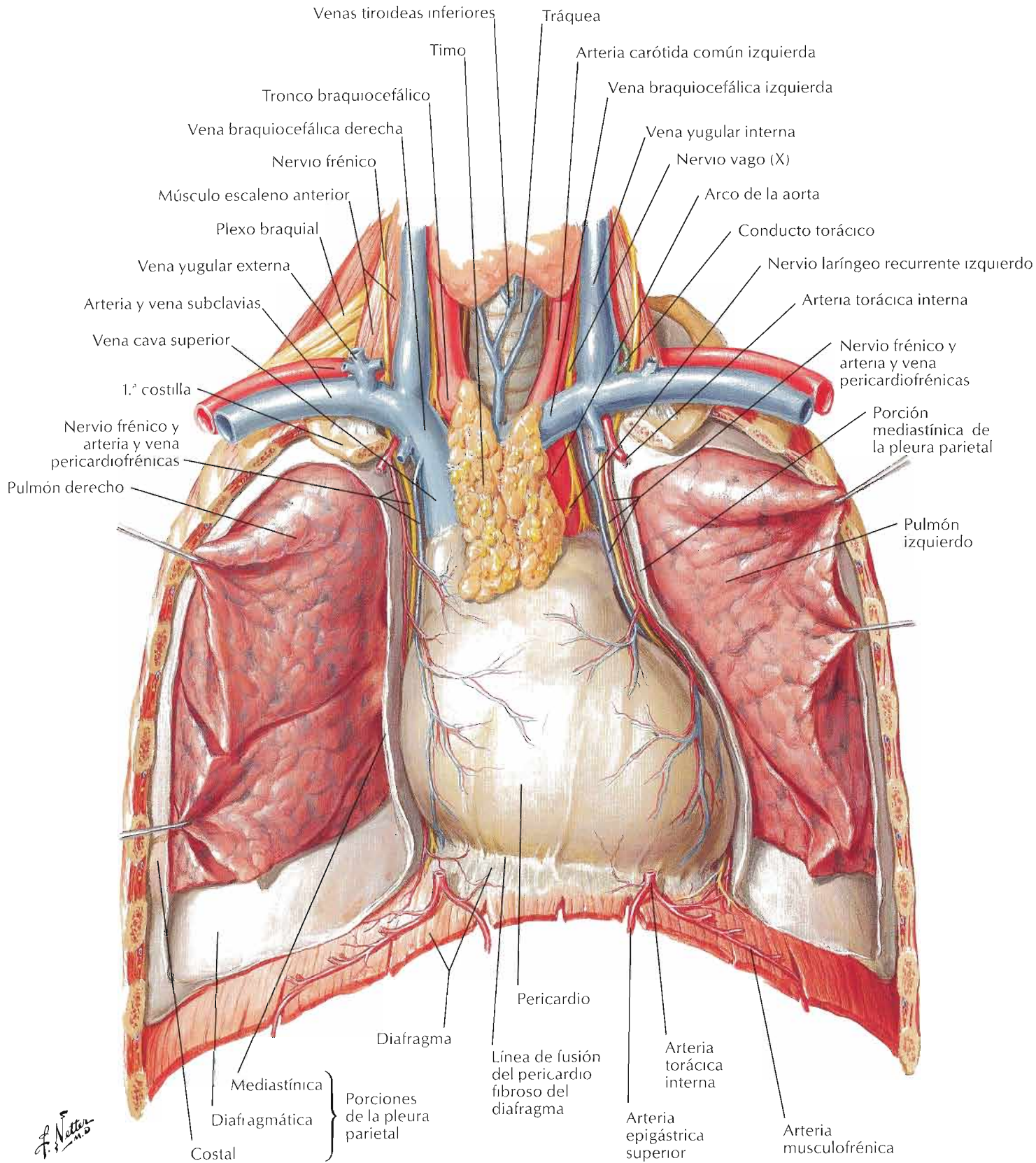
Pulmón izquierdo: el lóbulo superior drena en nódulos pulmonares y broncopulmonares (hiliares), nódulos traqueobronquiales inferiores (de la carina), nódulos traqueobronquiales superiores izquierdos, nódulos paratraqueales izquierdos y/o nódulo del ligamento arterioso (del arco aórtico) y luego en la vena braquiocéfálica vía tronco broncomediastínico izquierdo y conducto torácico. El lóbulo inferior izquierdo también drena en nódulos pulmonares y broncopulmonares (hiliares) y en nódulos traqueobronquiales inferiores (de la carina), pero después lo hace mayoritariamente en nódulos traqueobronquiales superiores derechos, donde sigue el mismo camino que la linfa del pulmón derecho.

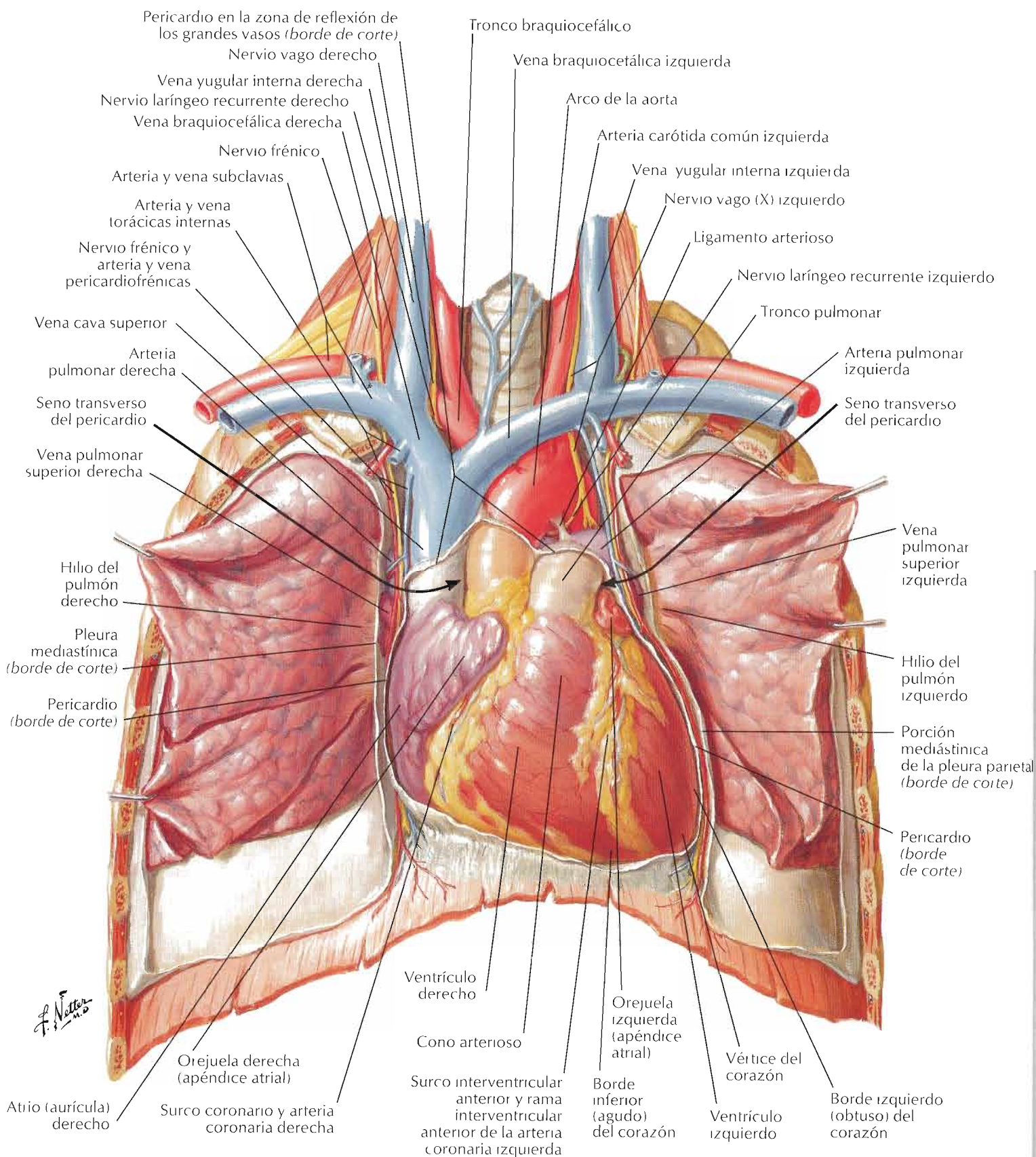
Véanse también láminas 130, 131, 165, 166, 318

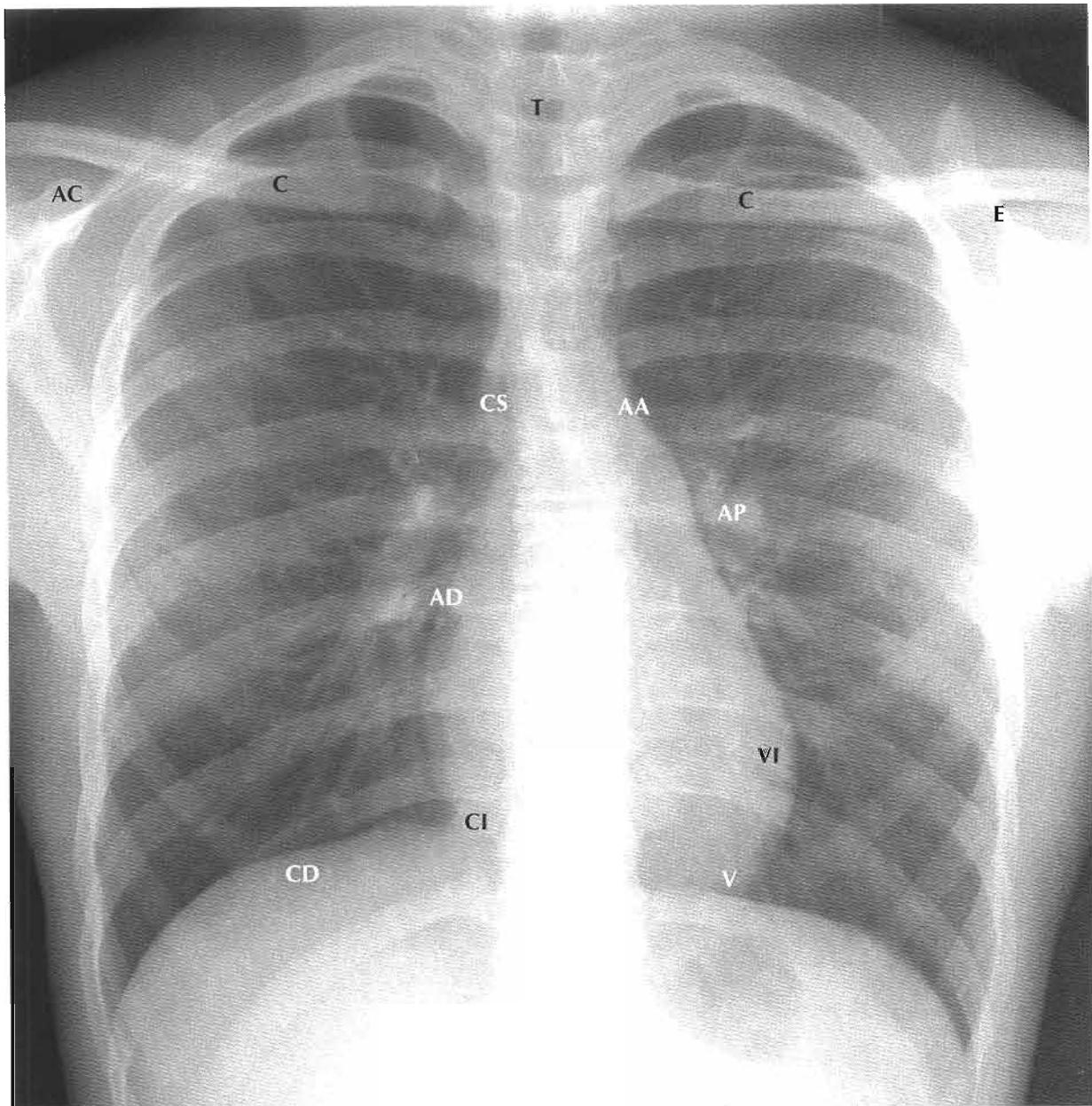


Véanse también láminas 167, 168



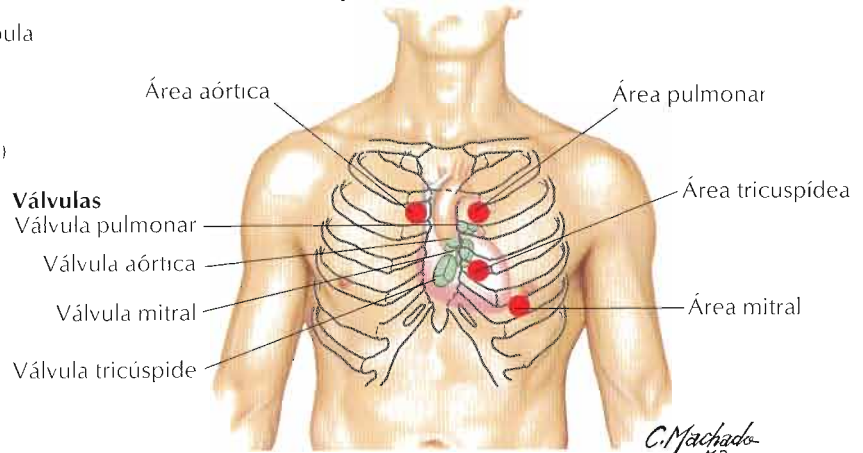




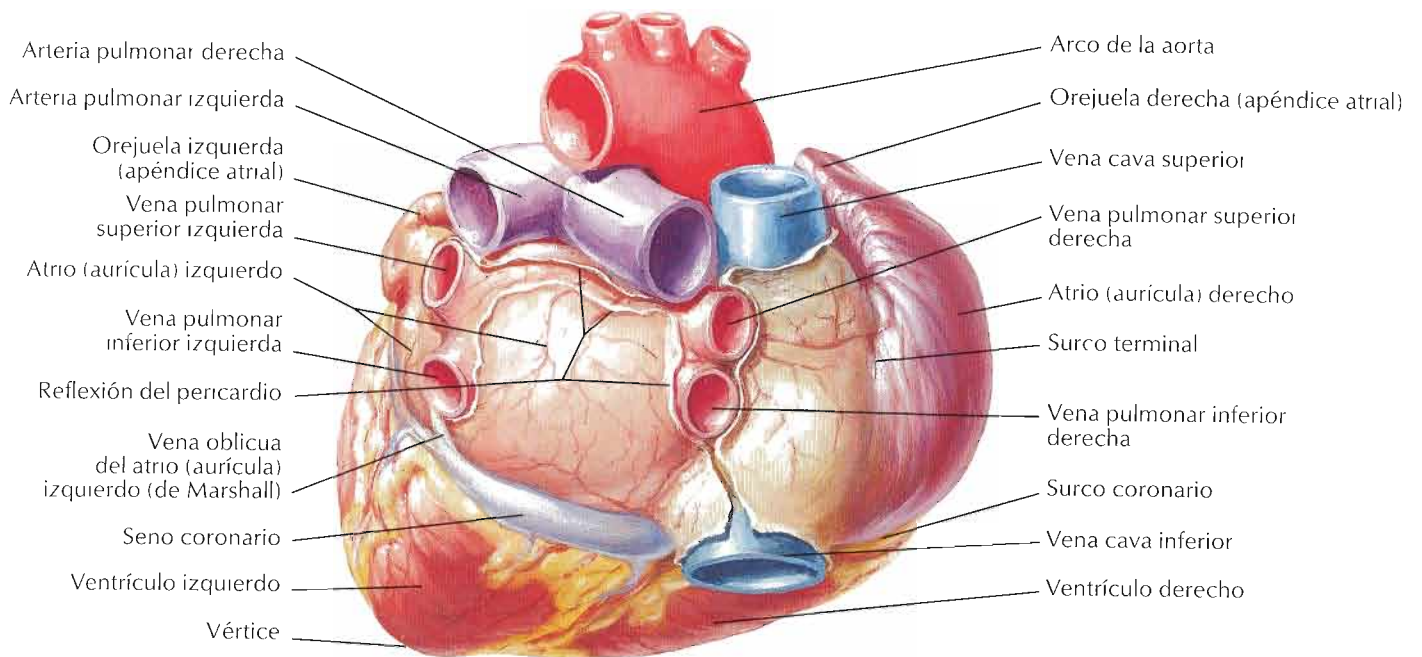


Áreas precordiales de auscultación

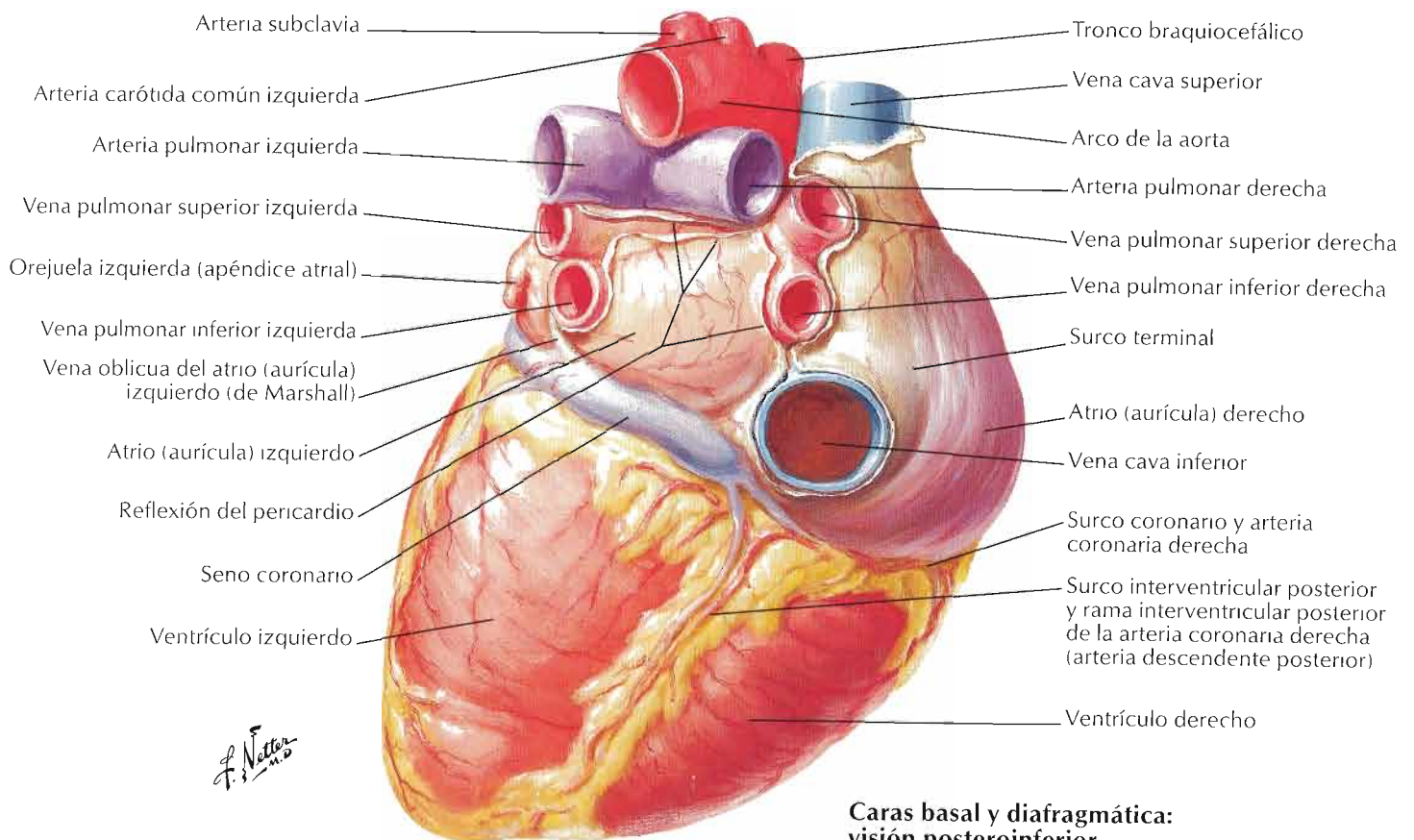
- AA Arco de la aorta
- AC Apófisis coracoides de la escápula
- AD Atrio (aurícula) derecho
- AP Arteria pulmonar (izquierda)
- C Clavícula
- CD Cúpula del diafragma (derecha)
- CI Vena cava inferior
- CS Vena cava superior
- E Espina de la escápula
- T Tráquea
- V Vértice del corazón
- VI Ventrículo izquierdo



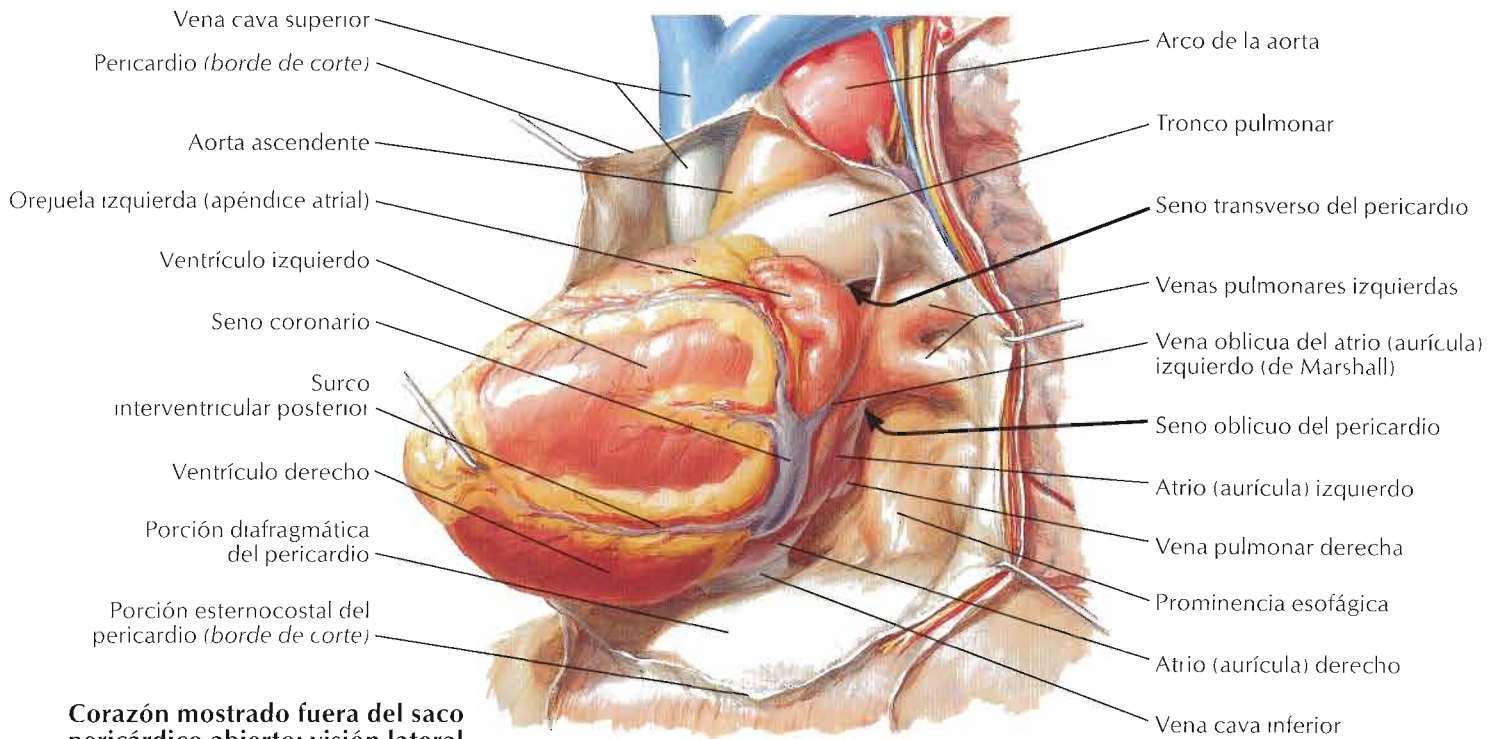
C. Machado
M.D.



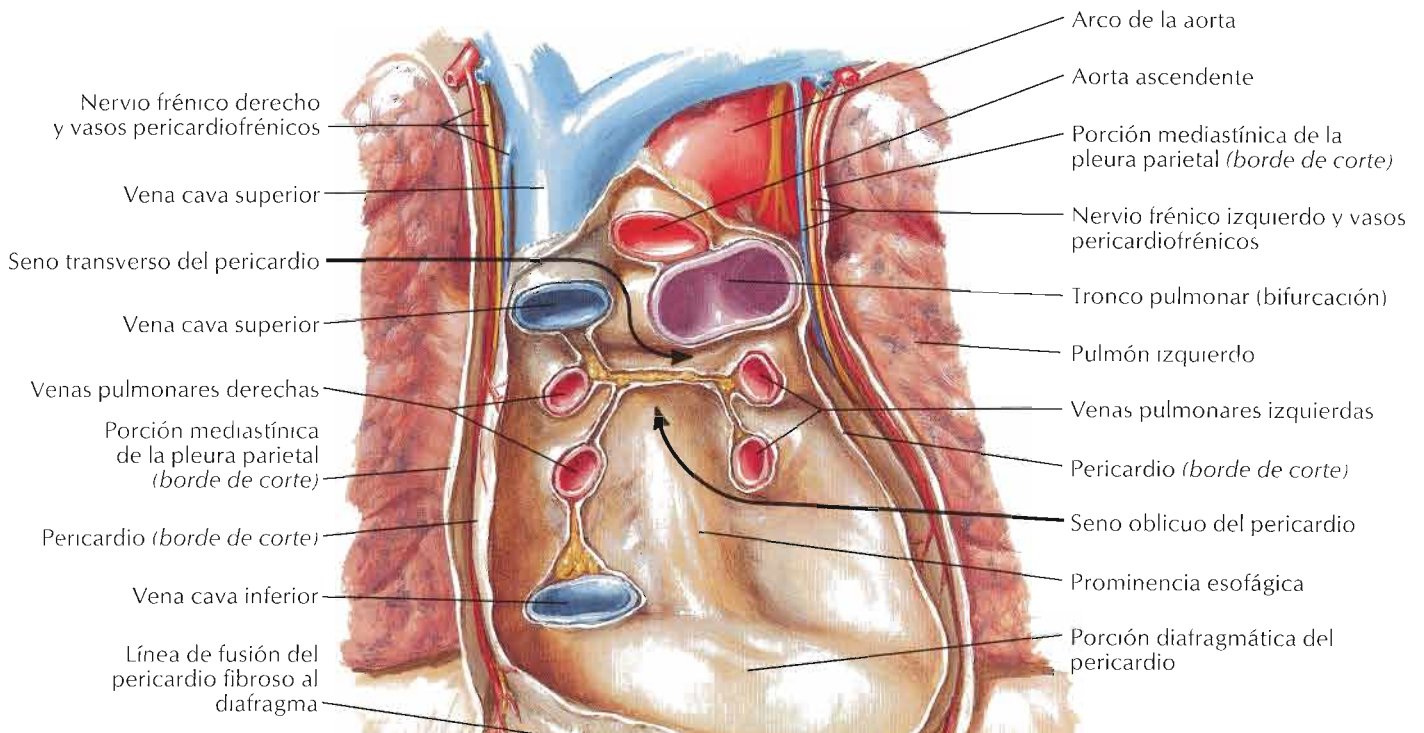
Base del corazón: visión posterior



**Caras basal y diafragmática:
visión posteroinferior**

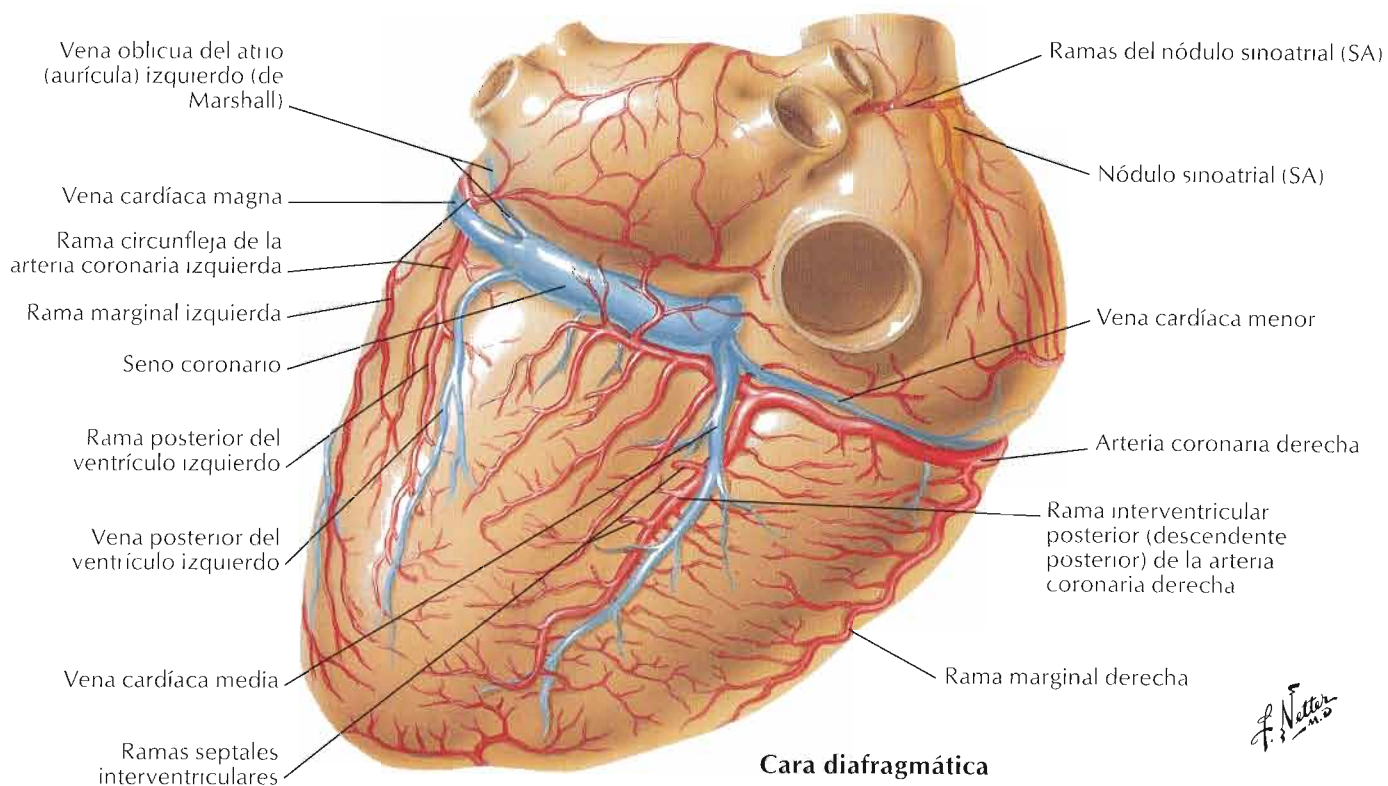
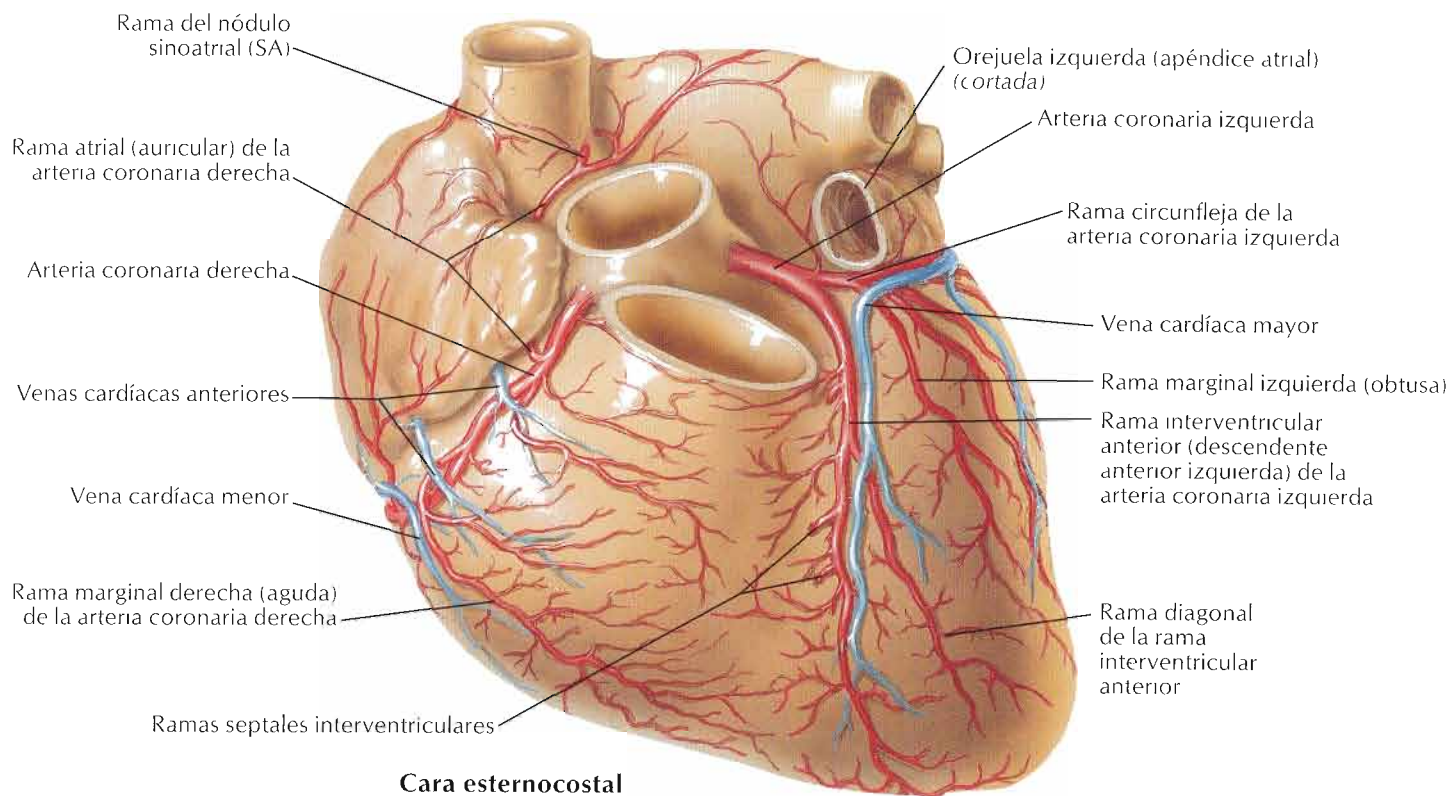


Corazón mostrado fuera del saco pericárdico abierto: visión lateral izquierda

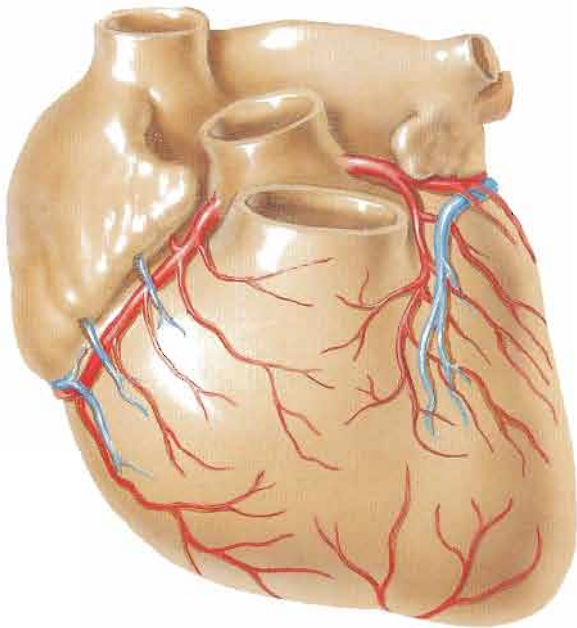


Saco pericárdico con el corazón extraído: visión anterior

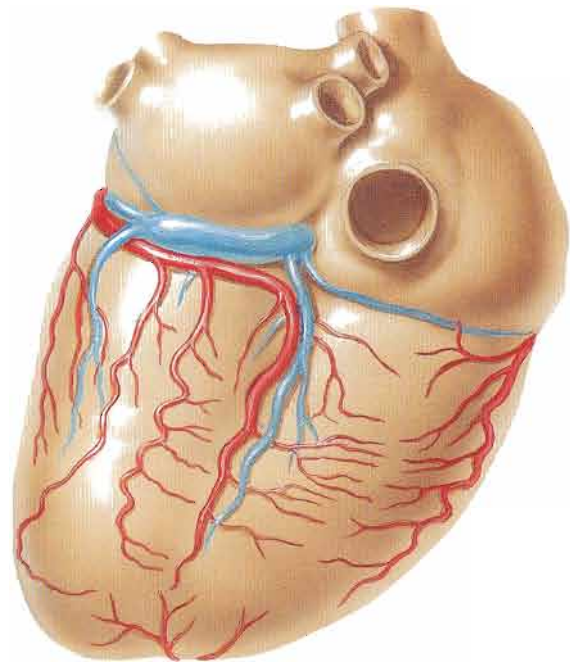
F. Netter M.D.



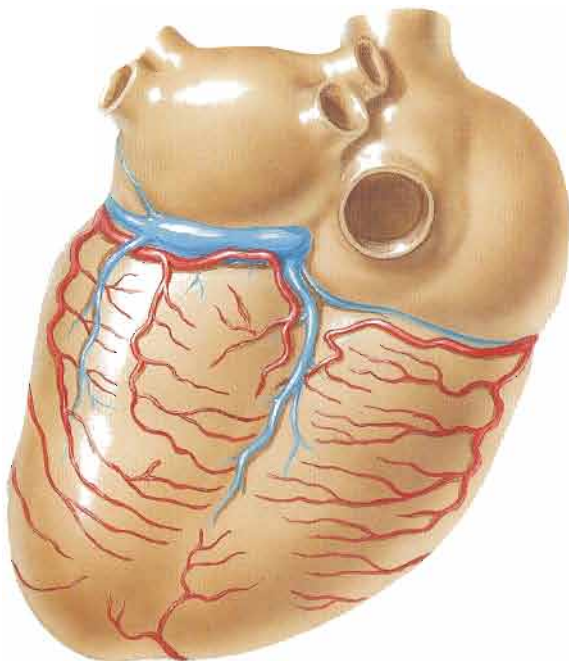
F. Netter



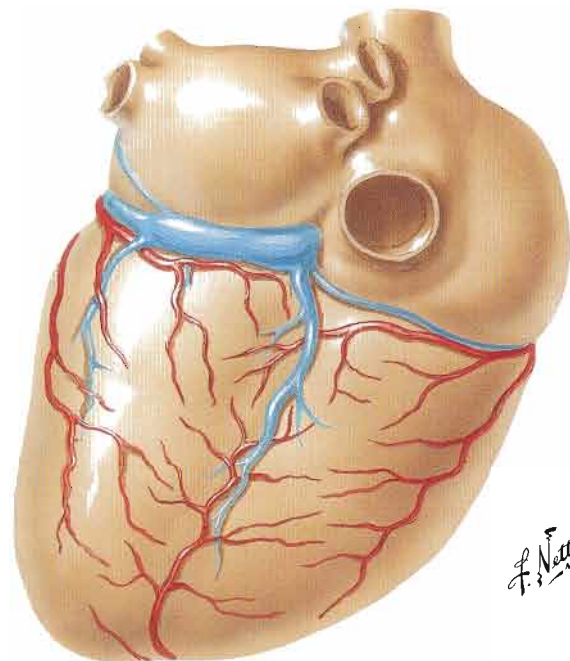
Rama interventricular anterior (descendente anterior izquierda) de la arteria coronaria izquierda muy corta. La porción apical de la cara anterior (esternocostal) es irrigada por ramas de la rama interventricular posterior (descendente posterior) de la arteria coronaria derecha que se incurvan alrededor del vértice



Rama interventricular posterior (descendente posterior) derivada de la rama circunfleja de la arteria coronaria izquierda, en lugar de serlo de la arteria coronaria derecha

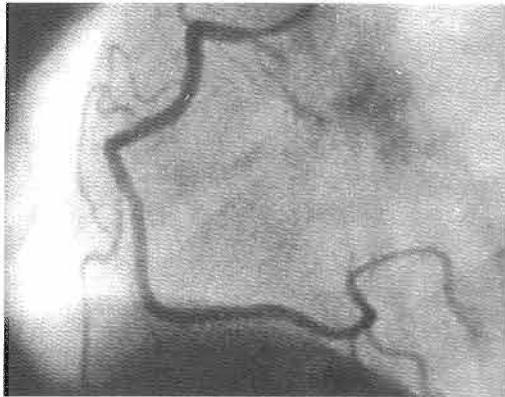


Rama interventricular posterior (descendente posterior) ausente. Área irrigada principalmente por pequeñas ramas de la rama circunfleja de la arteria coronaria izquierda y de la arteria coronaria derecha



Rama interventricular posterior (descendente posterior) ausente. Área irrigada principalmente por la elongación de la rama interventricular anterior (descendente anterior izquierda) que se incurva alrededor del vértice

Arteria coronaria derecha: visión oblicua anterior izquierda



Arteriograma

Rama del nódulo sinoatrial (SA)

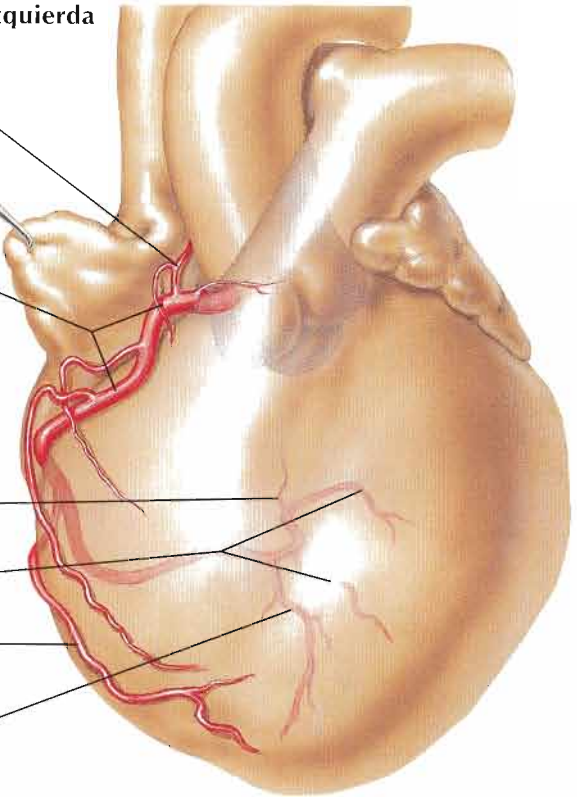
Arteria coronaria derecha

Rama del nódulo atrioventricular (AV)

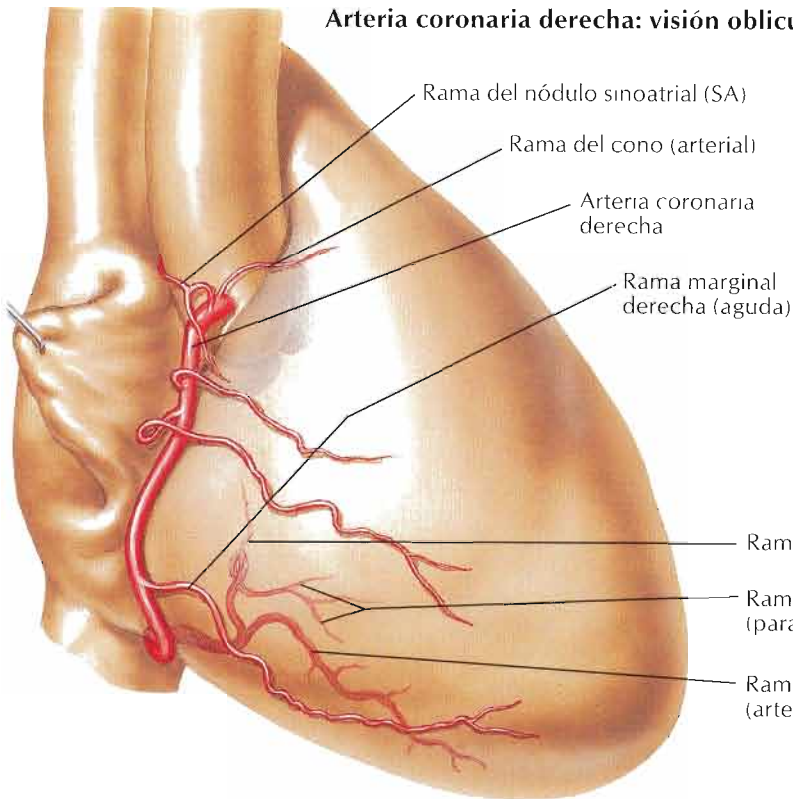
Ramas para el dorso del ventrículo izquierdo

Rama marginal derecha (aguda)

Rama interventricular posterior (arteria descendente posterior)



Arteria coronaria derecha: visión oblicua anterior derecha



Rama del nódulo sinoatrial (SA)

Rama del cono (arterial)

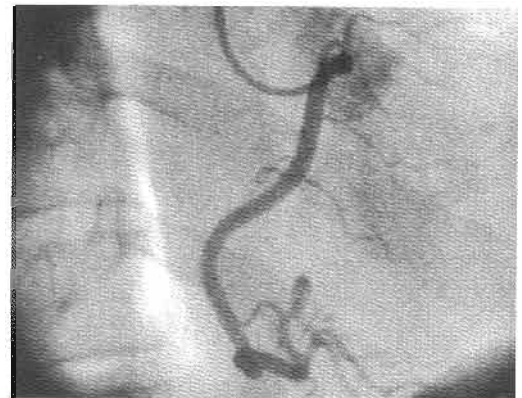
Arteria coronaria derecha

Rama marginal derecha (aguda)

Rama del nódulo atrioventricular (AV)

Ramas posterolaterales derechas (para el dorso del ventrículo izquierdo)

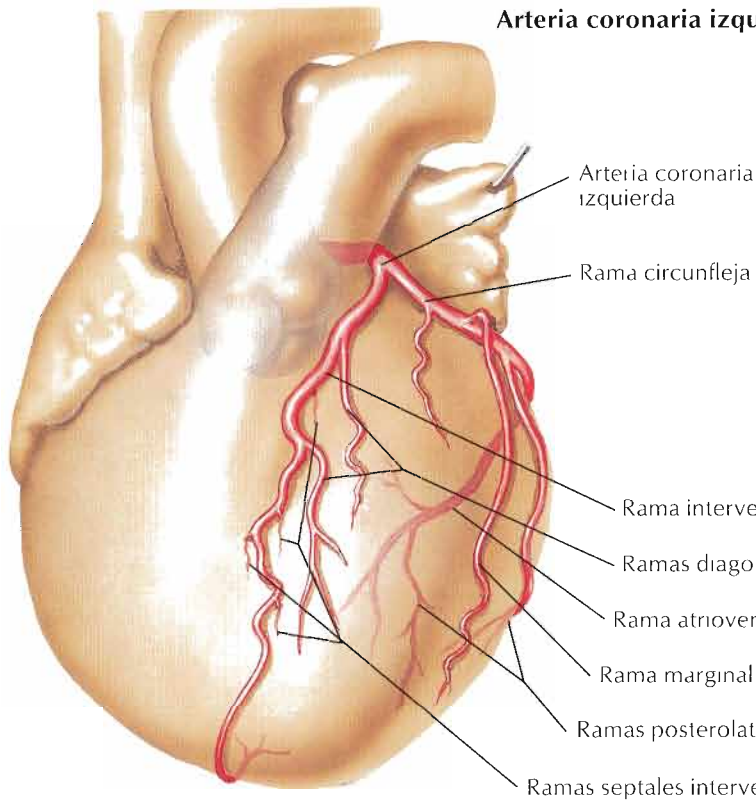
Rama interventricular posterior (arteria descendente posterior)



Arteriograma

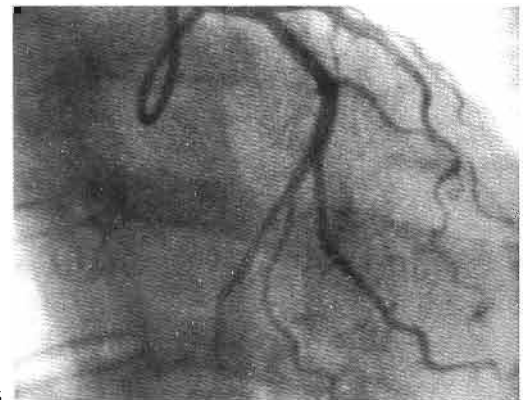
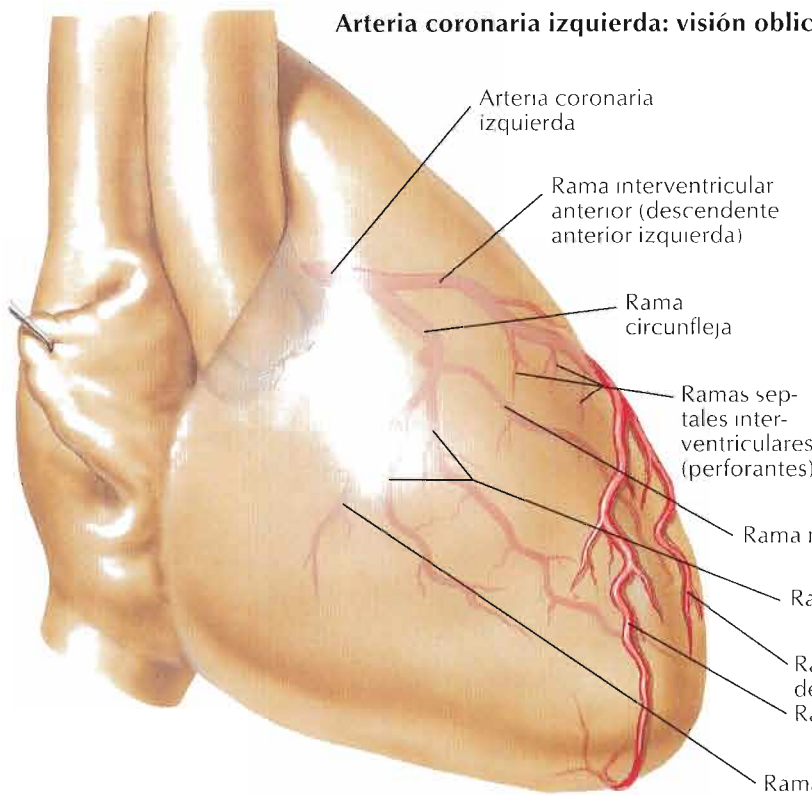
F. Netter M.D.

Arteria coronaria izquierda: visión oblicua anterior izquierda



Arteriograma

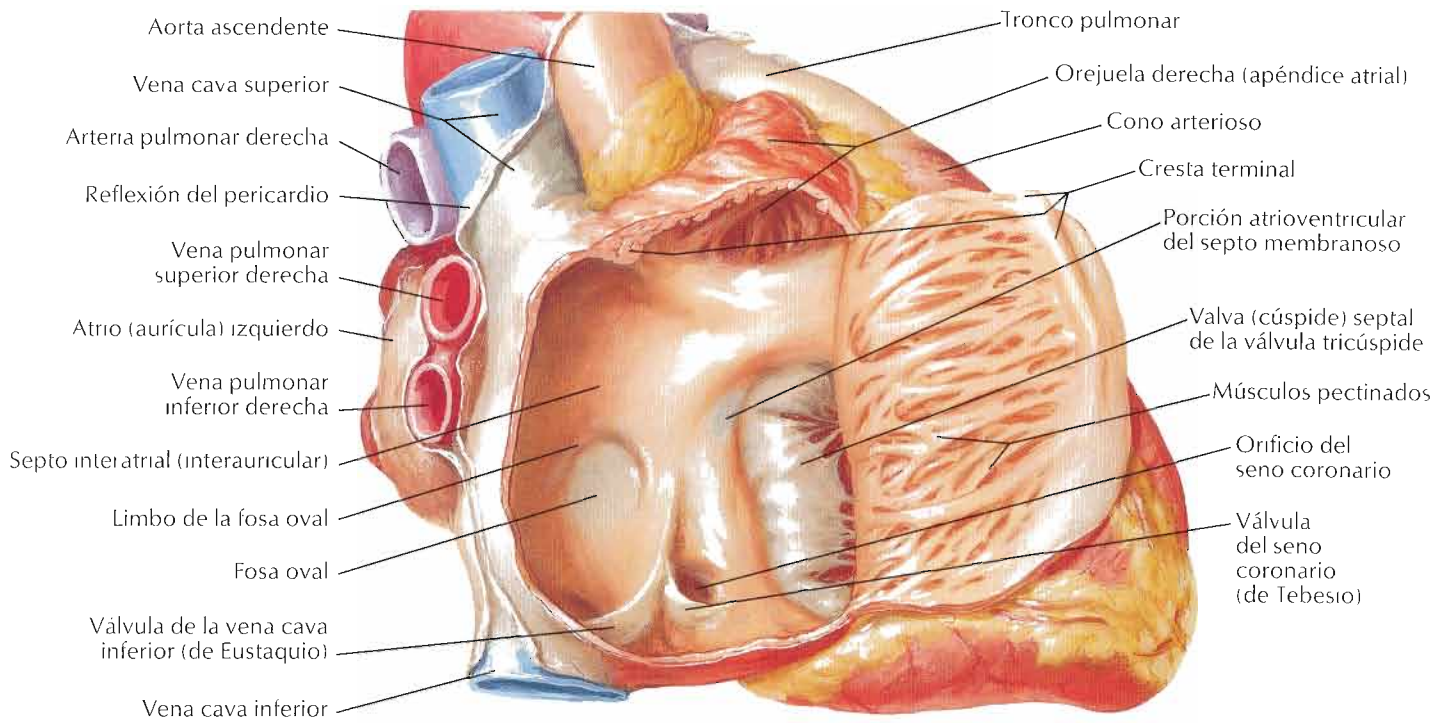
Arteria coronaria izquierda: visión oblicua anterior derecha



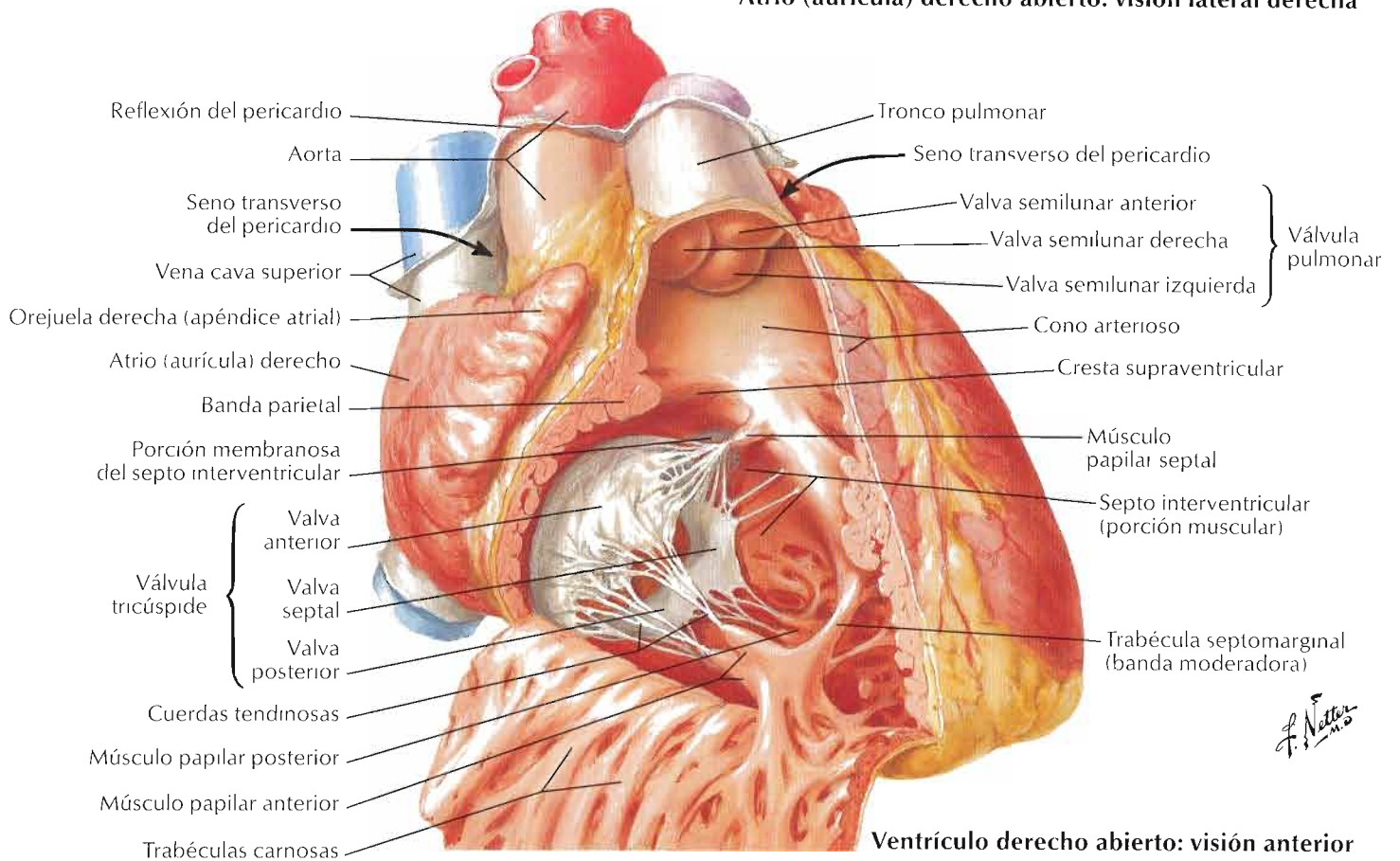
Arteriograma

F. Netter M.D.

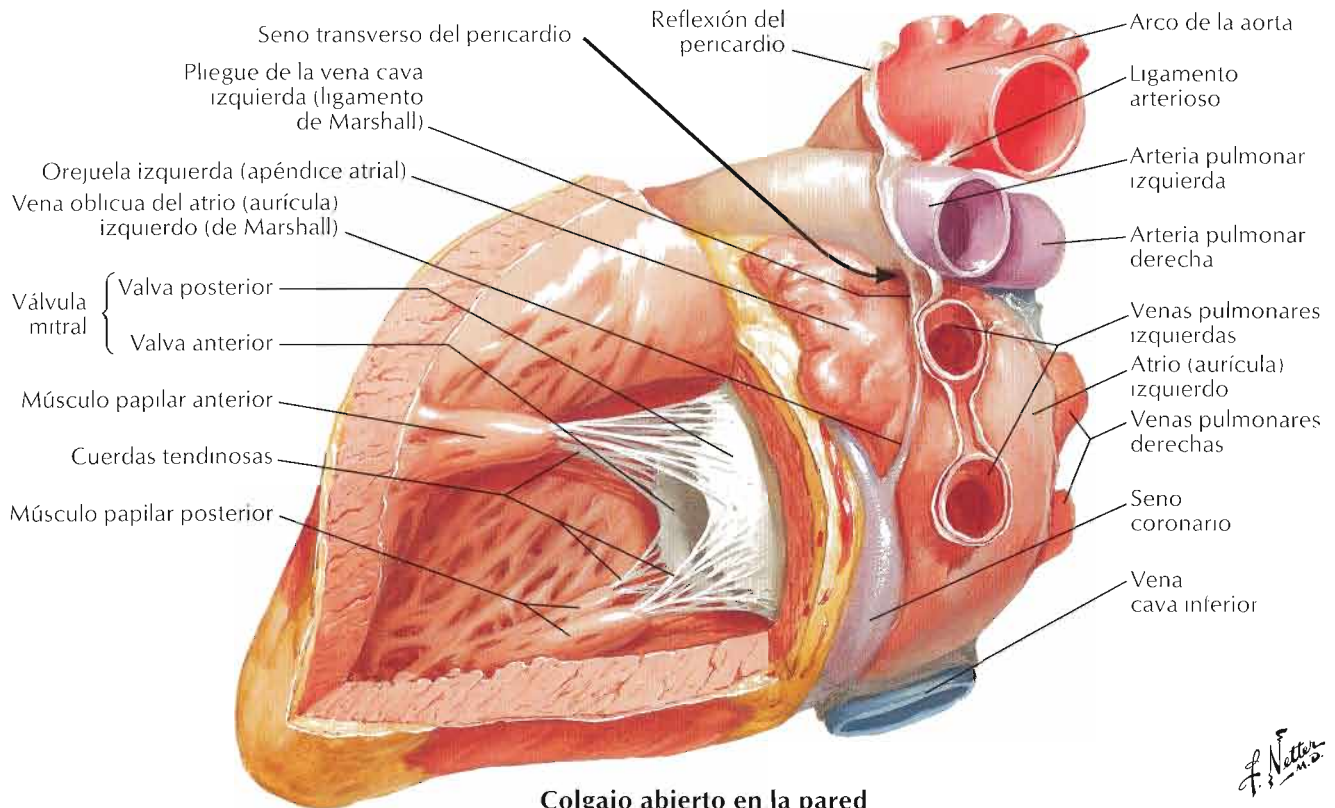
Atrio (aurícula) y ventrículo derechos



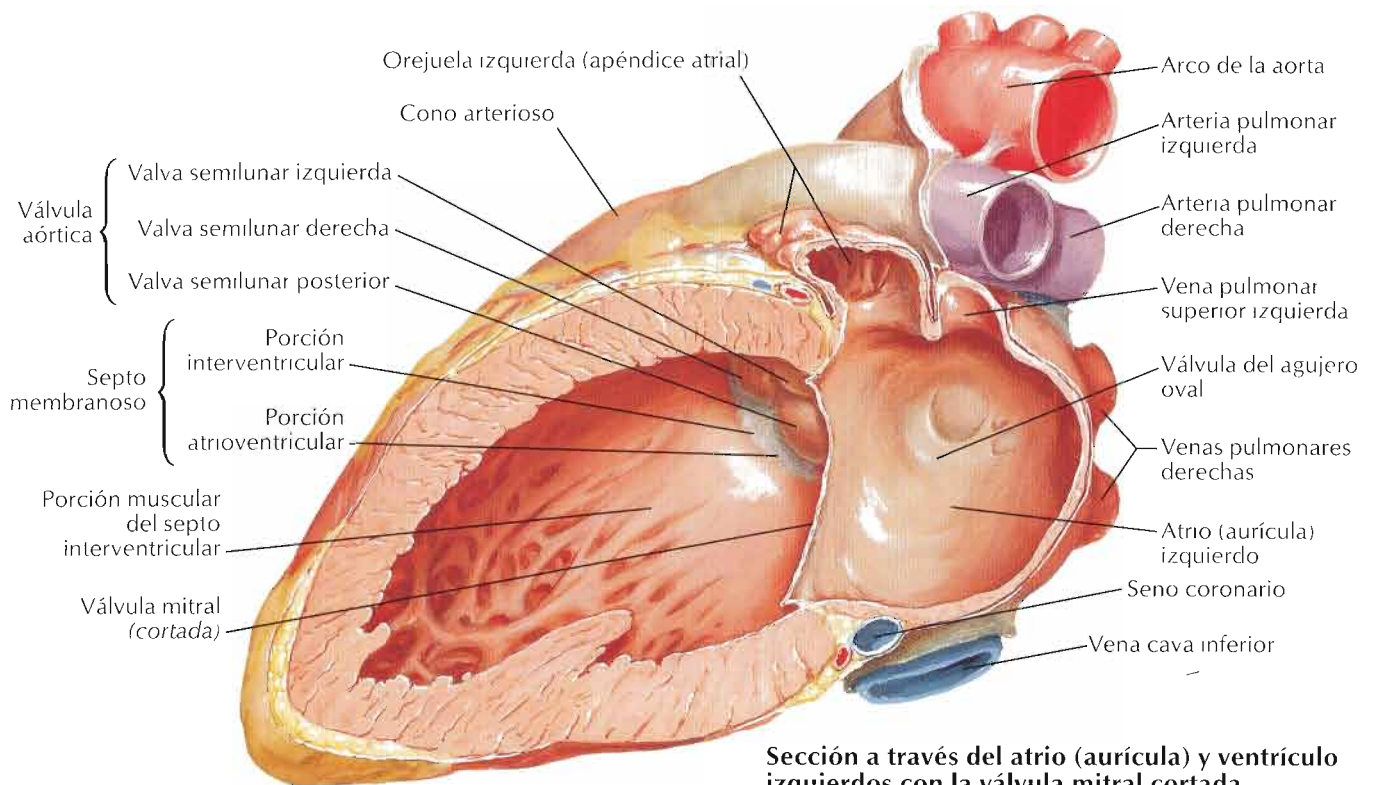
Atrio (aurícula) derecho abierto: visión lateral derecha



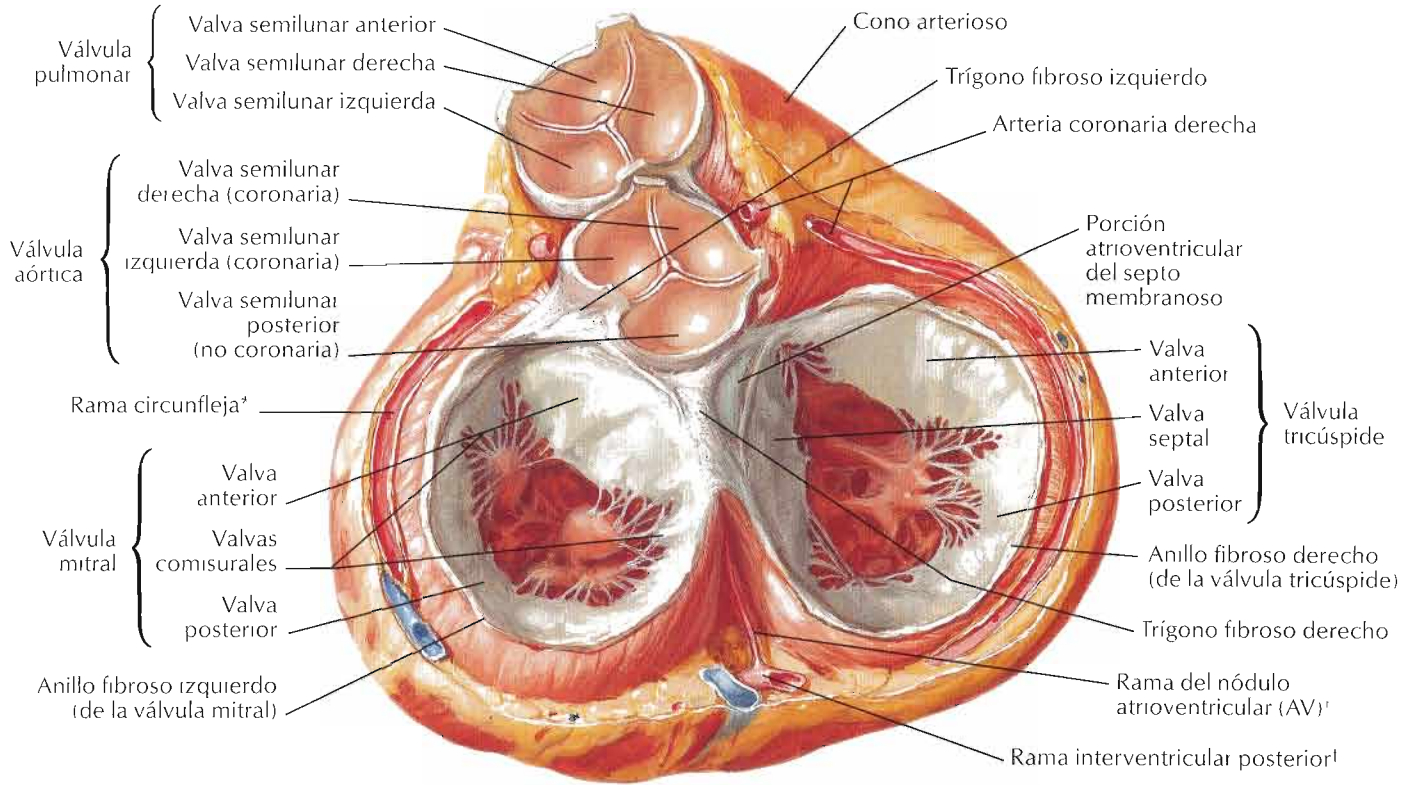
Ventrículo derecho abierto: visión anterior



Colgajo abierto en la pared posterolateral del ventrículo izquierdo

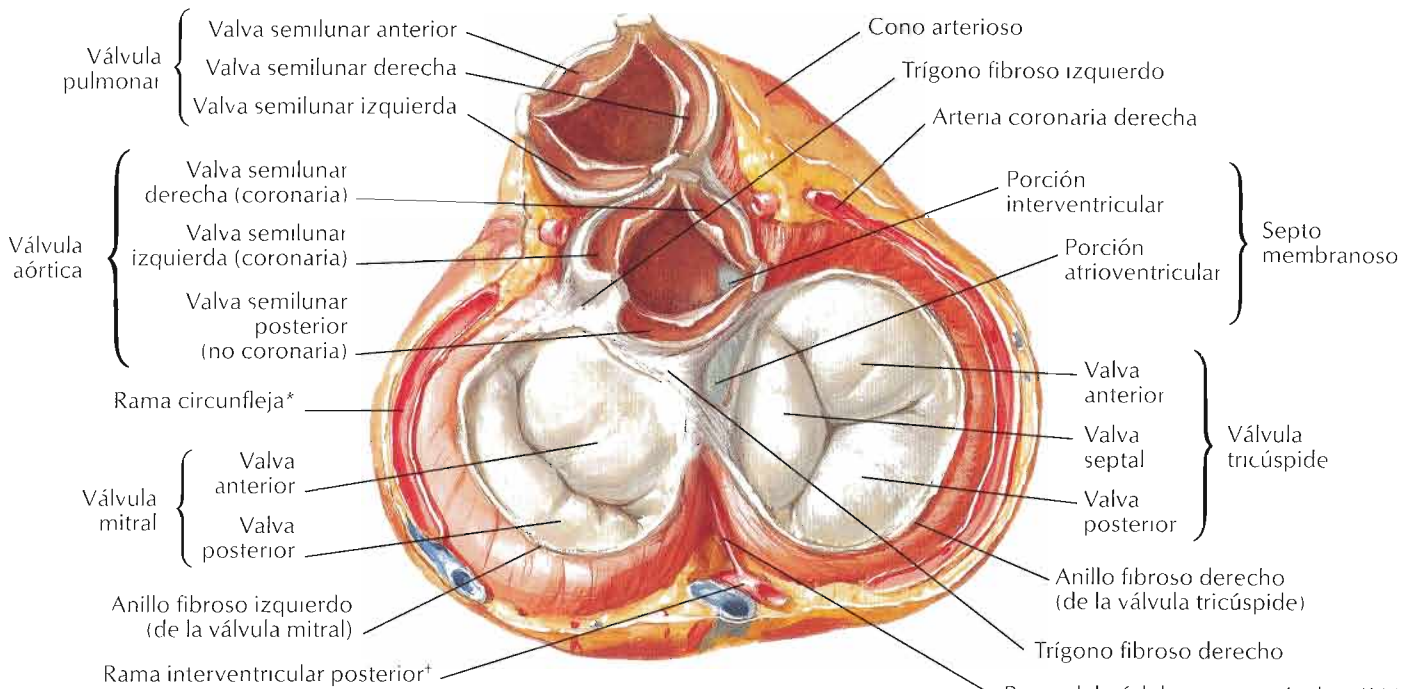


Sección a través del atrio (aurícula) y ventrículo izquierdos con la válvula mitral cortada



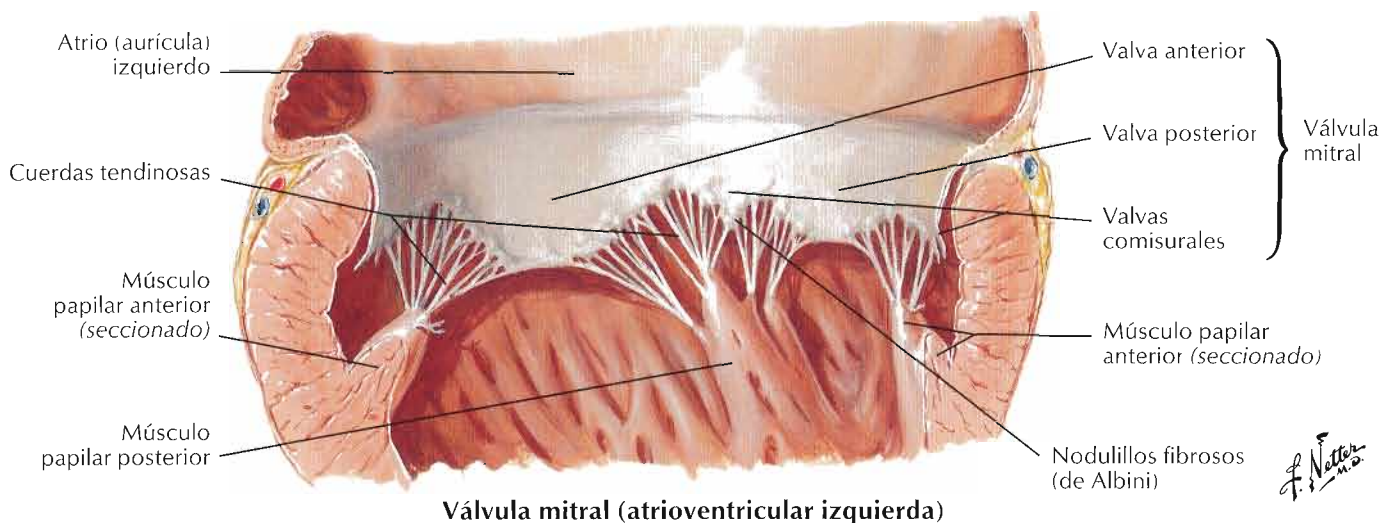
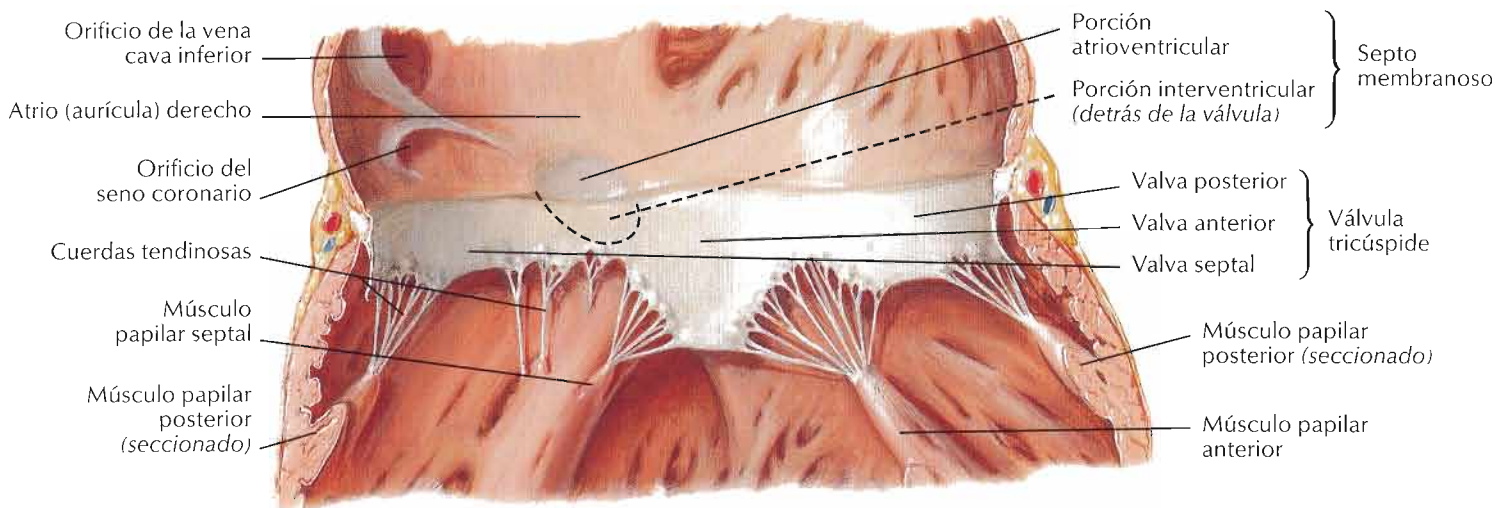
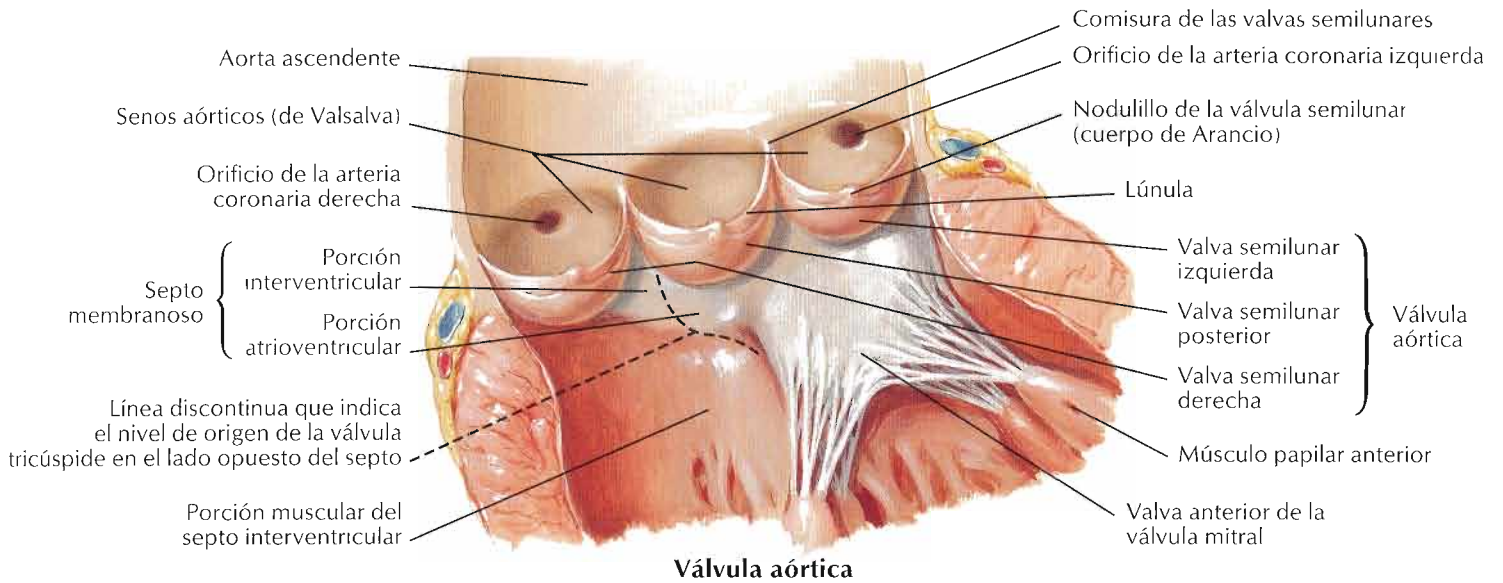
Corazón en diástole: visto desde la base con los atrios (aurículas) extirpados

F. Netter M.D.

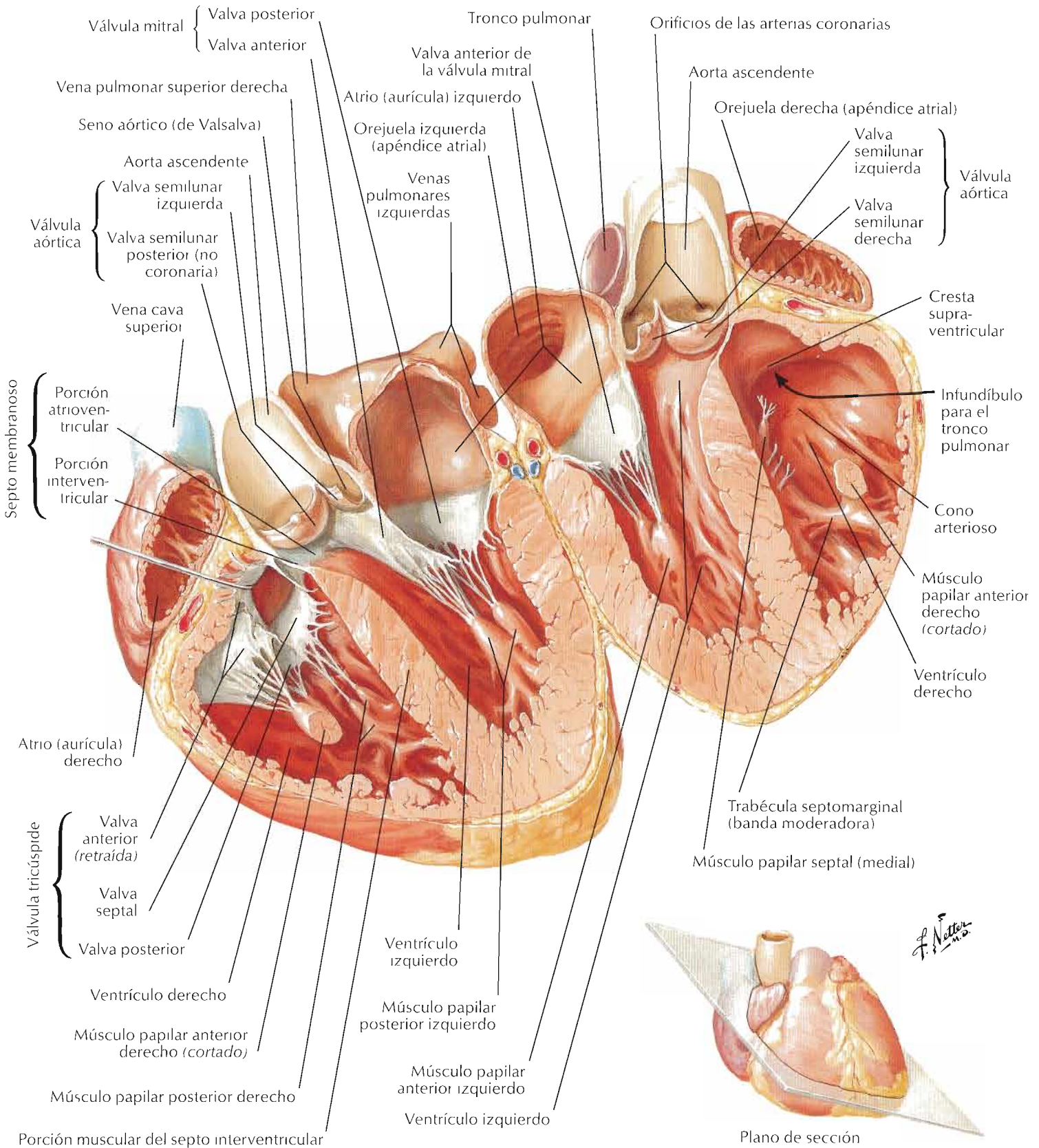


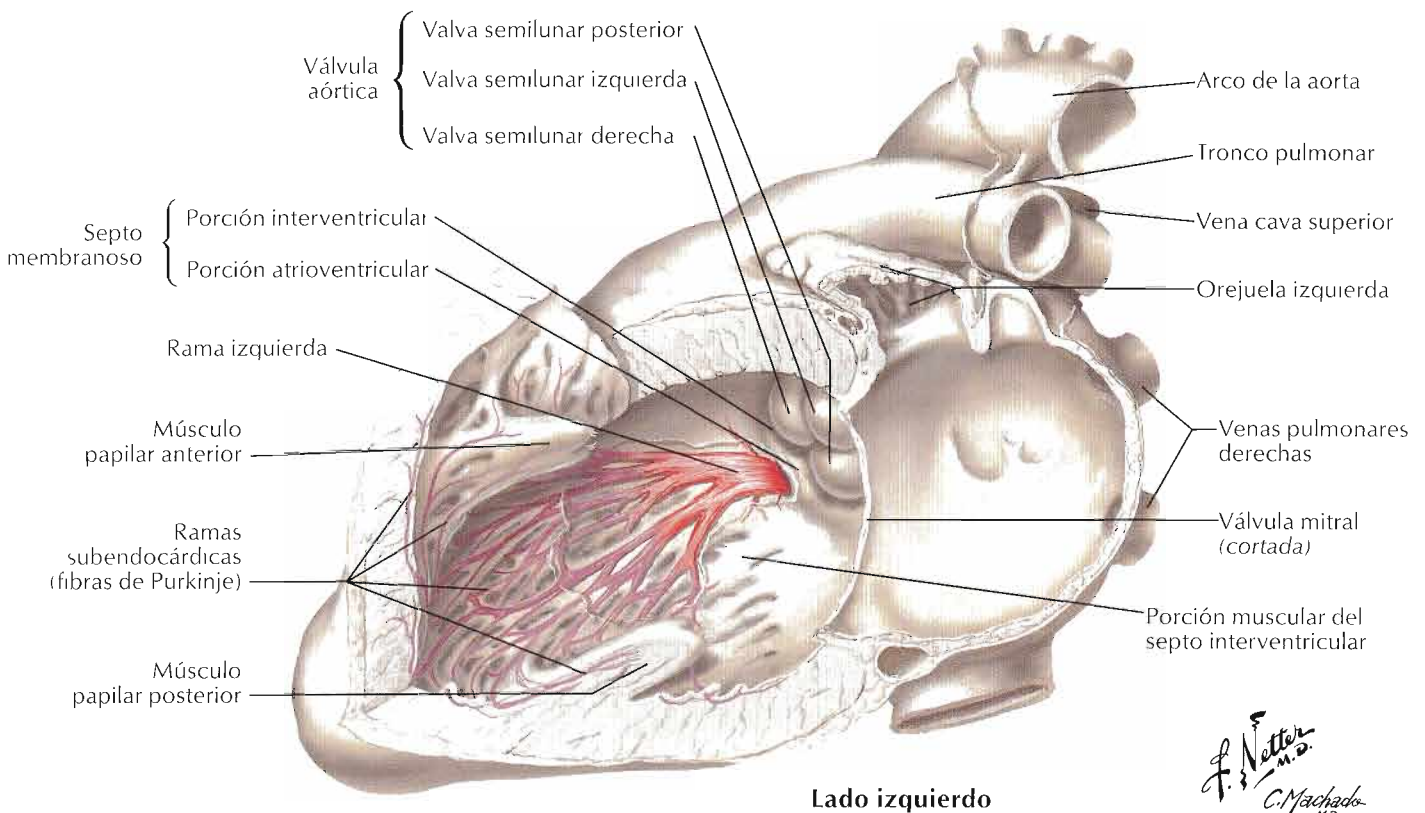
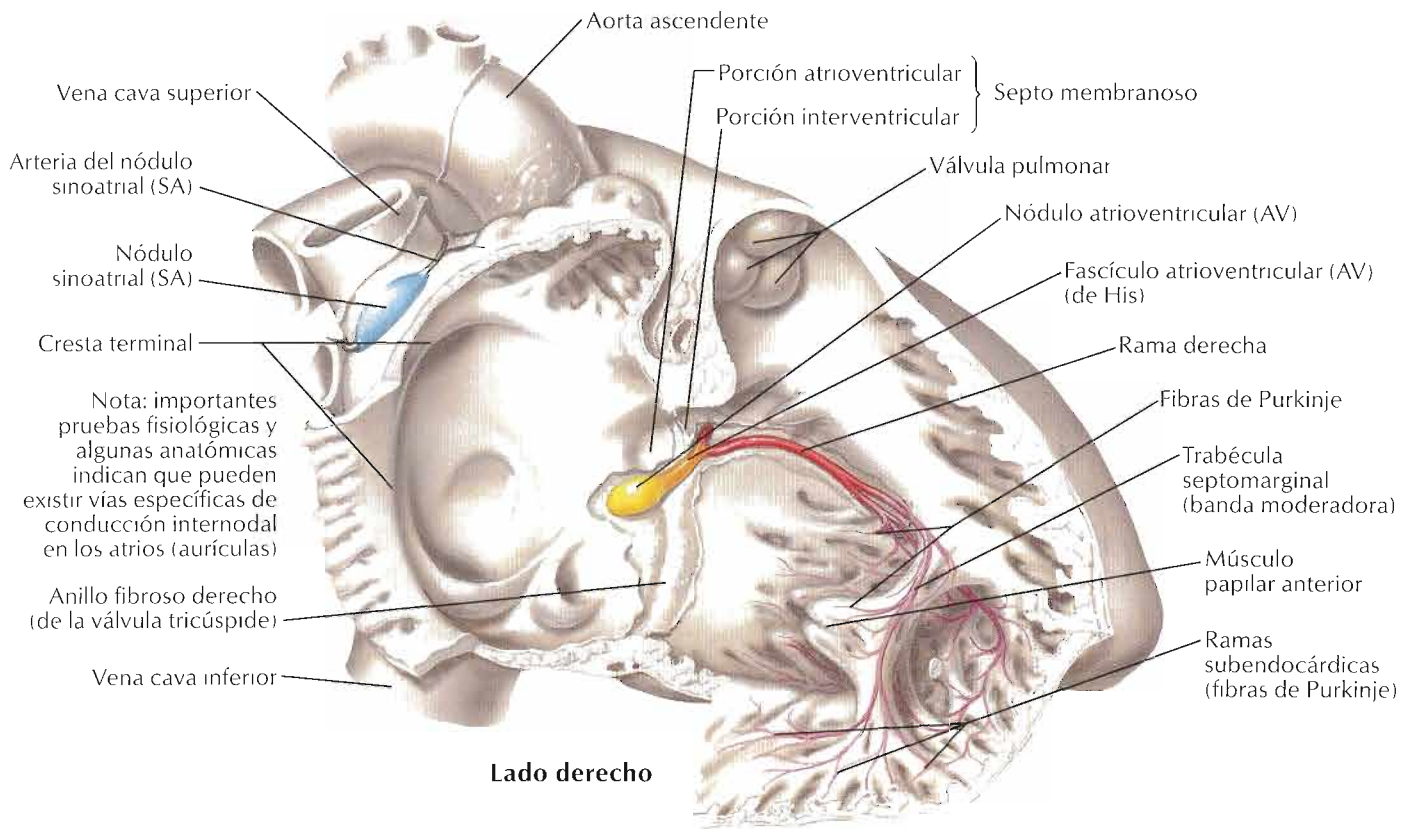
Corazón en sístole: visto desde la base con los atrios (aurículas) extirpados

*De la arteria coronaria izquierda
 †De la arteria coronaria derecha



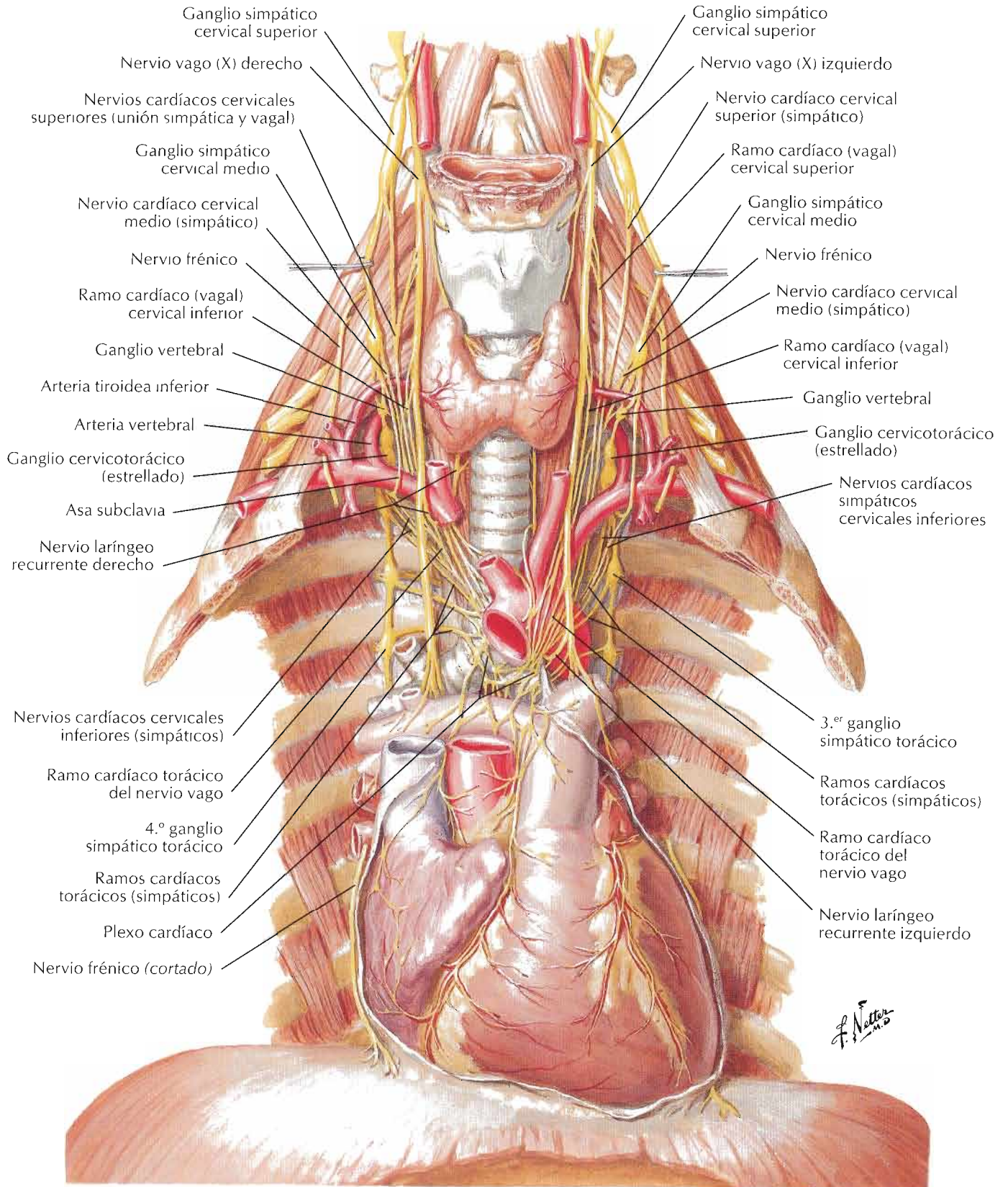
Atrios (aurículas), ventrículos y septo interventricular



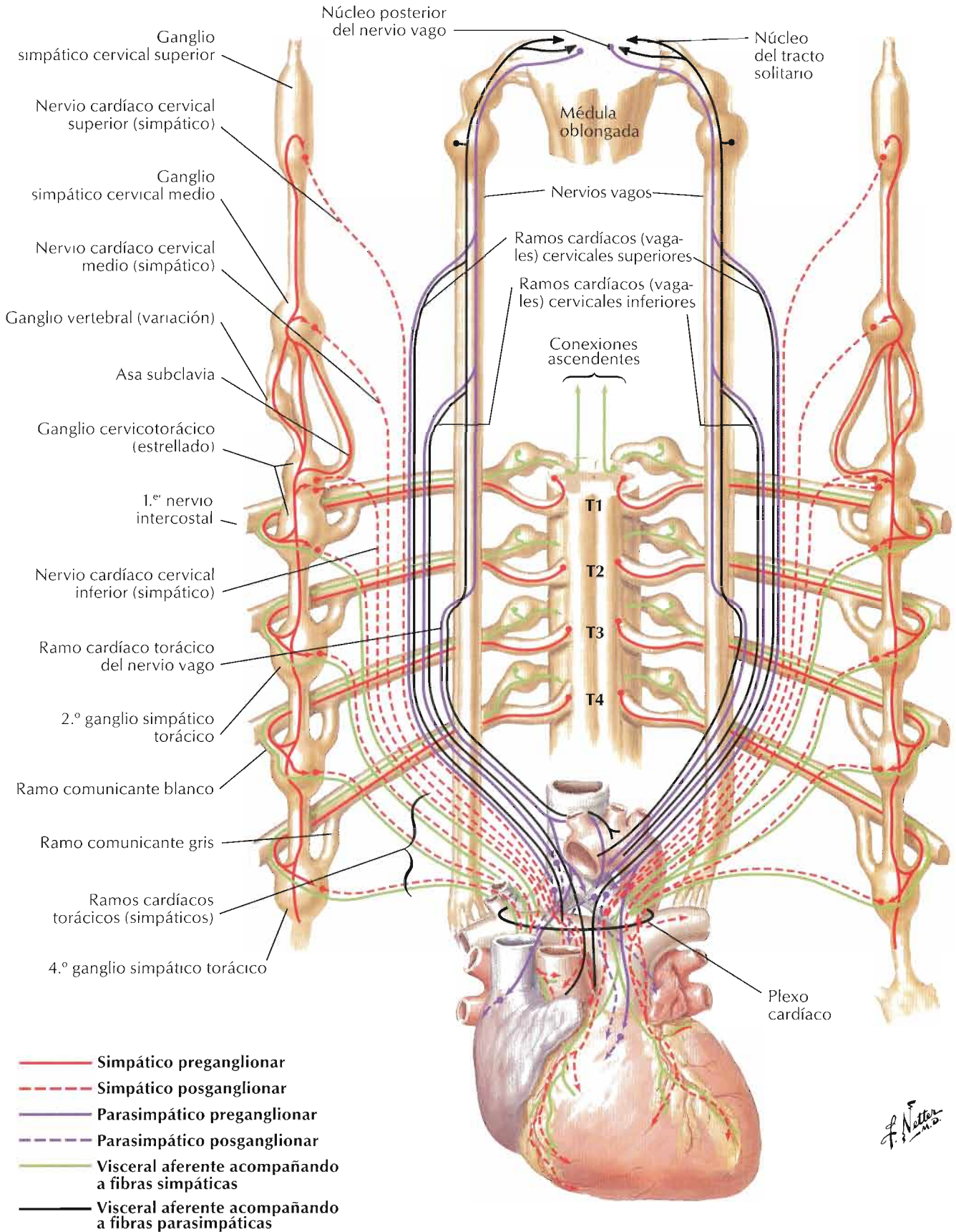


F. Netto
C. Machado

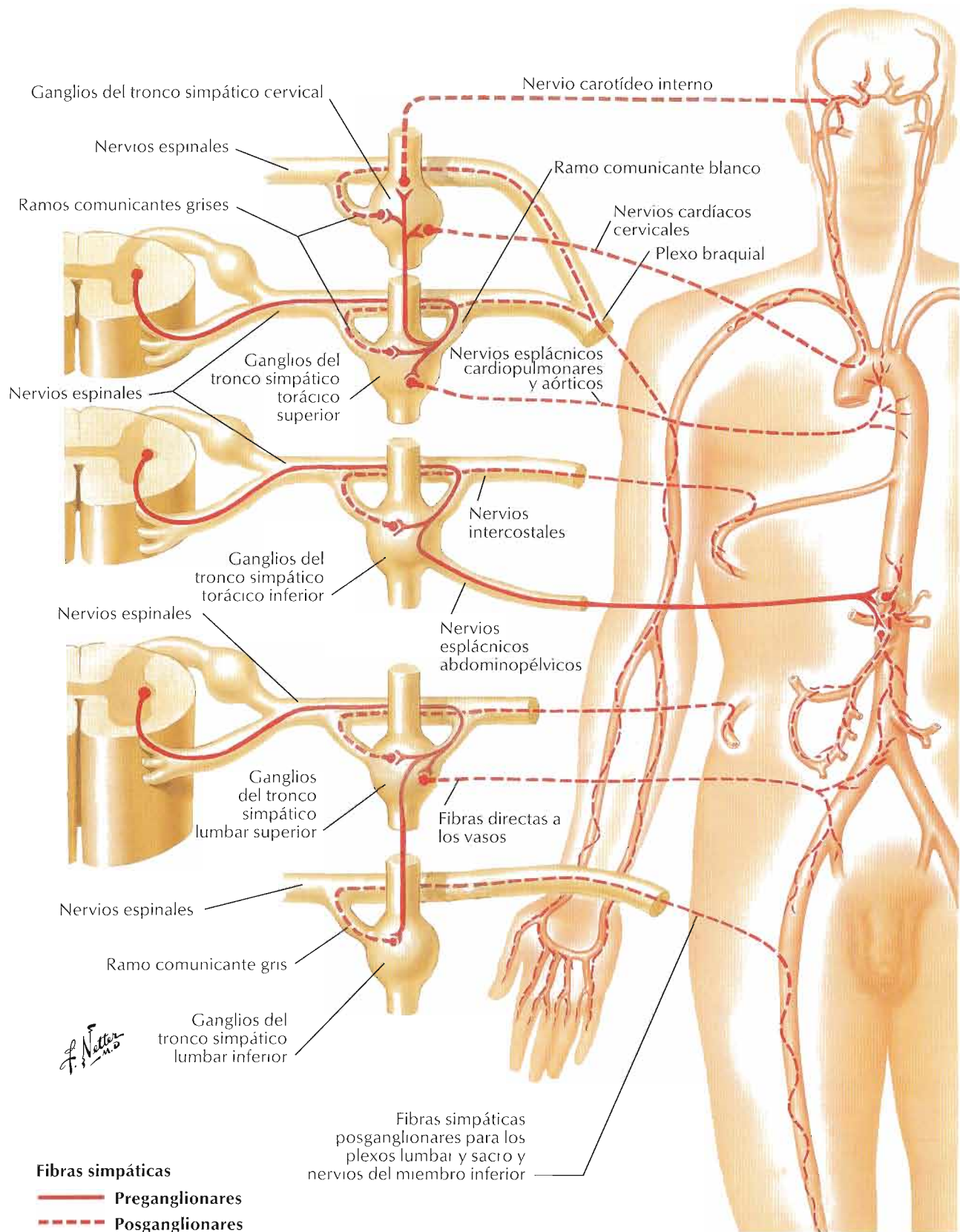
Véanse también láminas 130, 165, 166, 209



Véanse también láminas 126, 167, 168

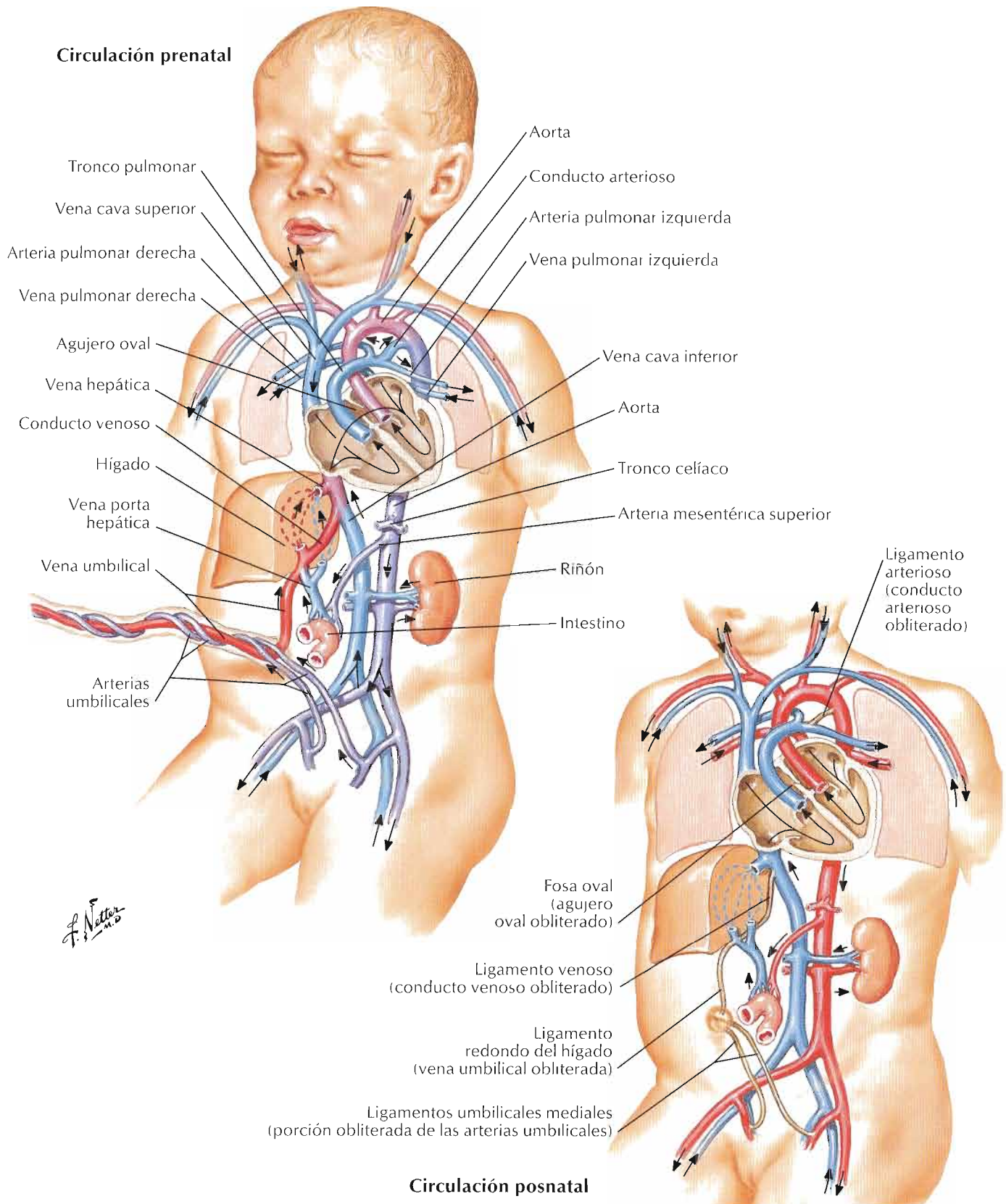


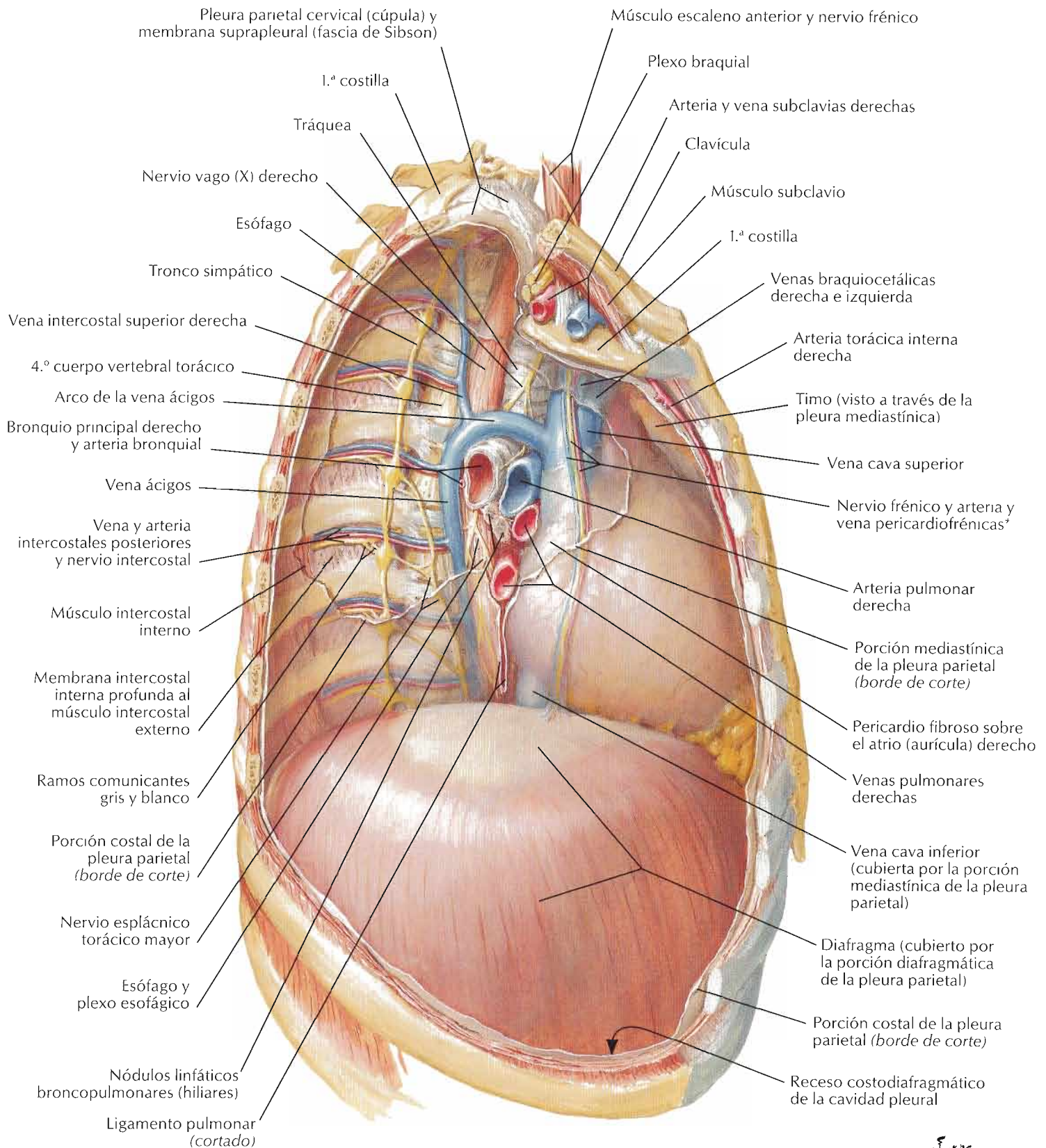
Véanse también láminas 167, 168



Para la porción obliterada de los vasos umbilicales, véase lámina 253

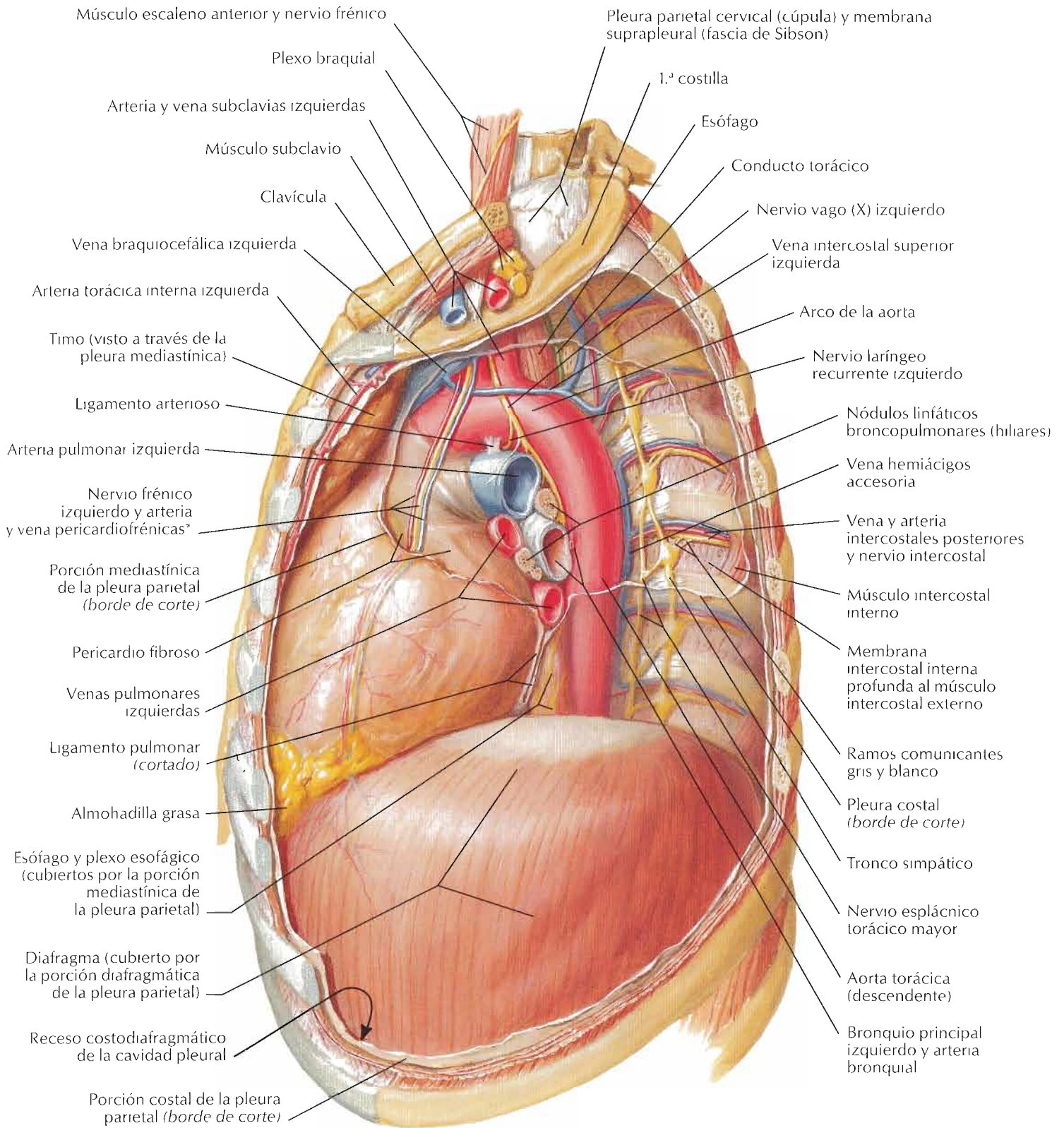
Circulación prenatal





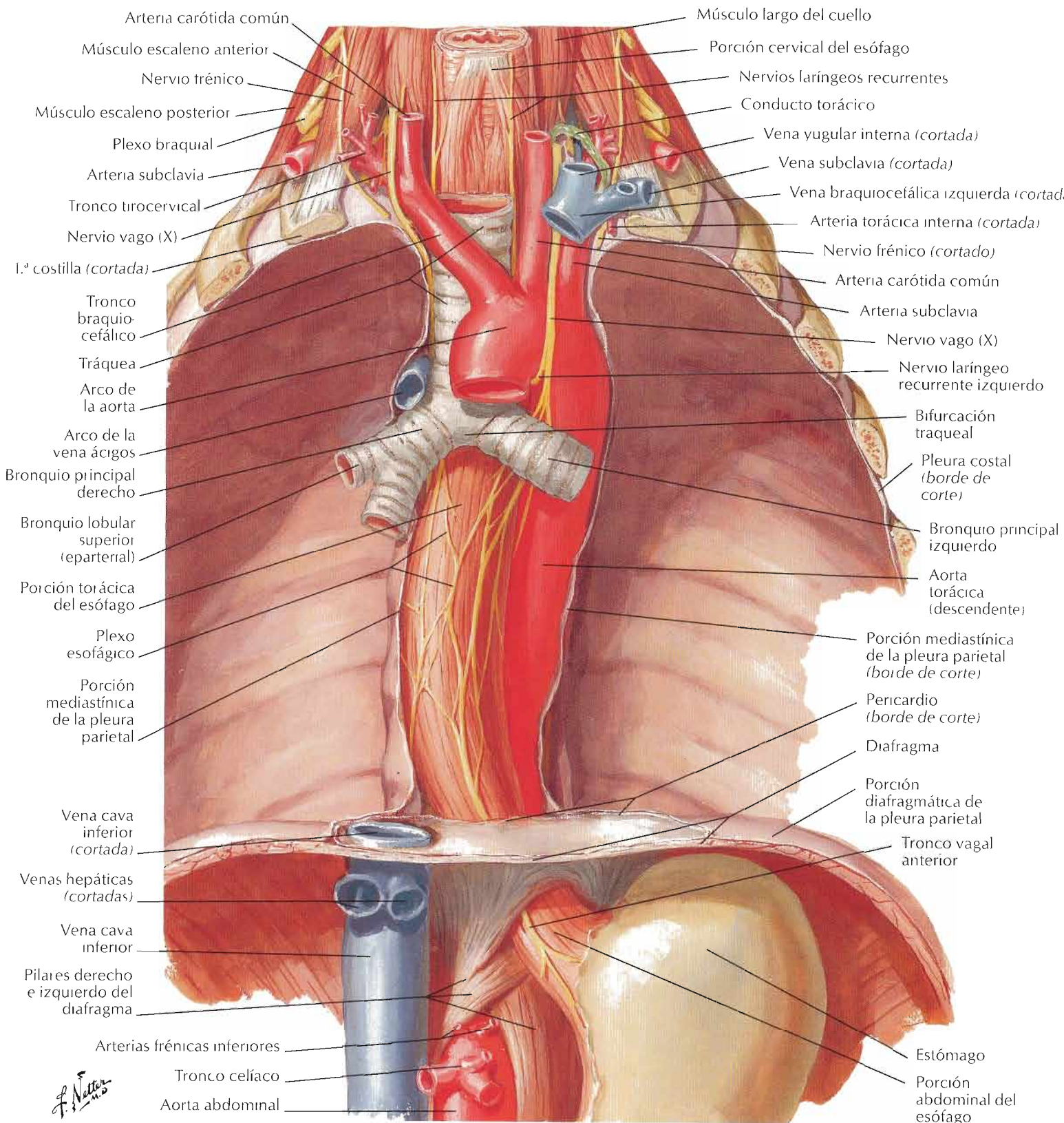
*El nervio y los vasos discurren normalmente por separado

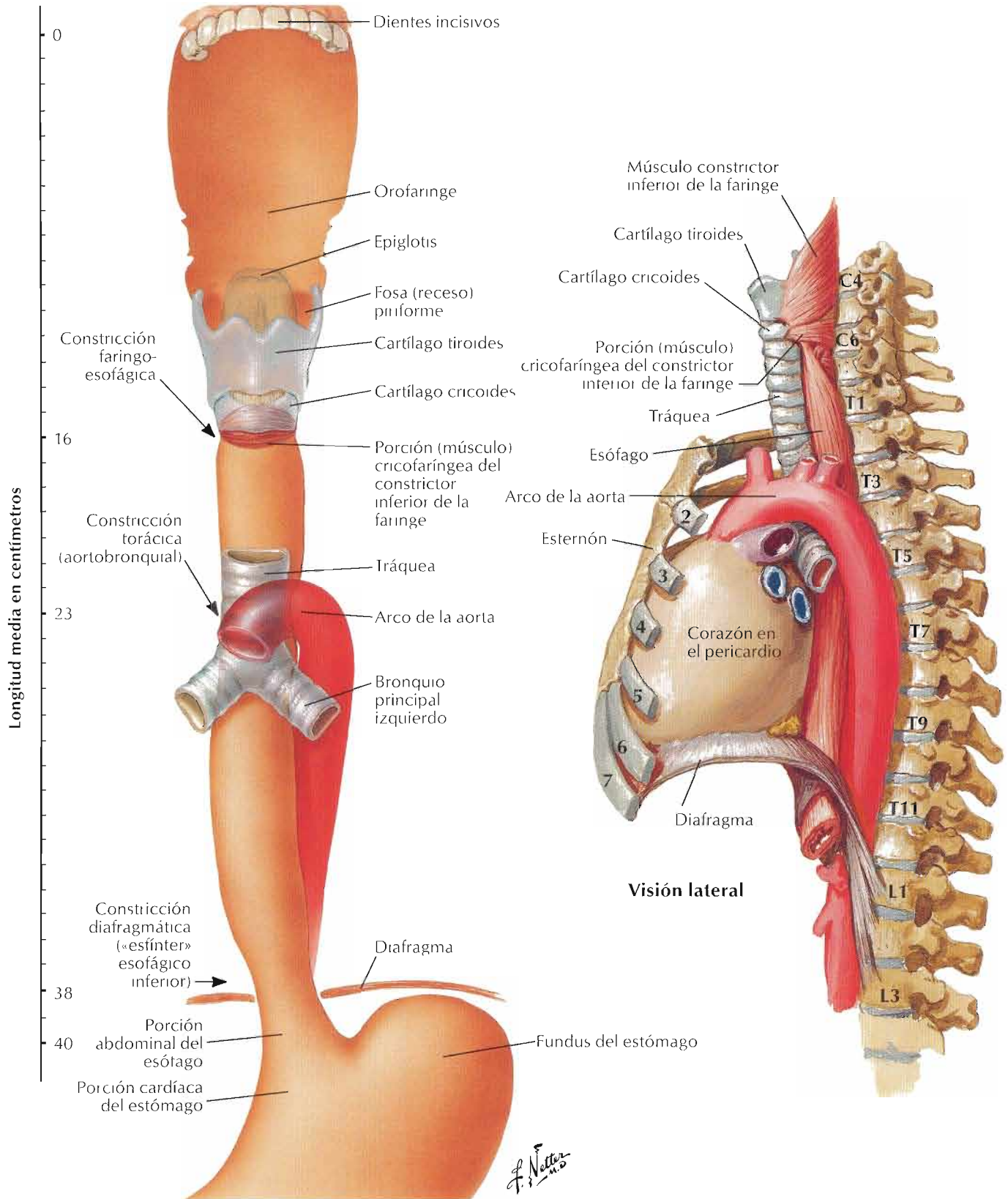
F. Netter M.D.

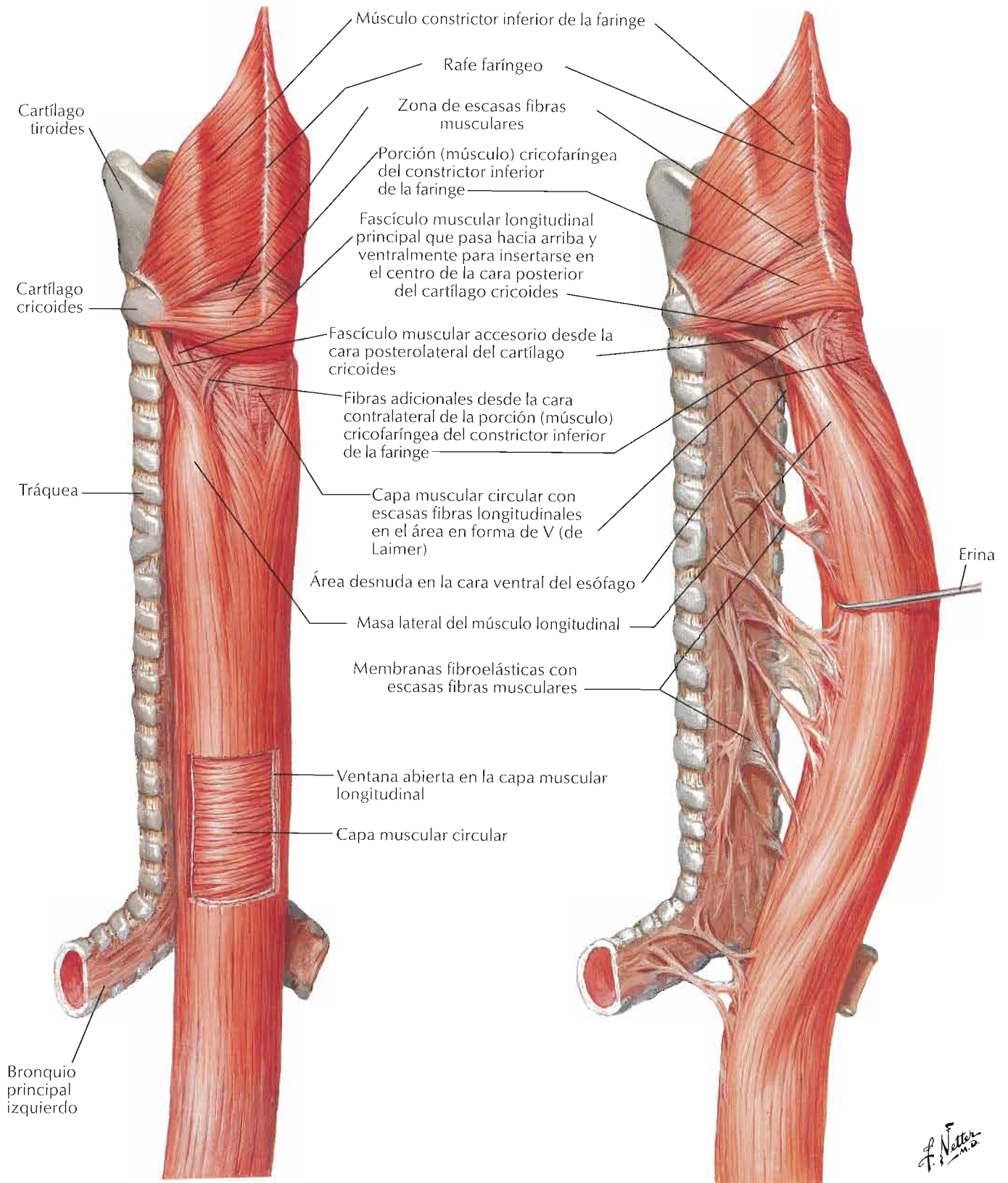


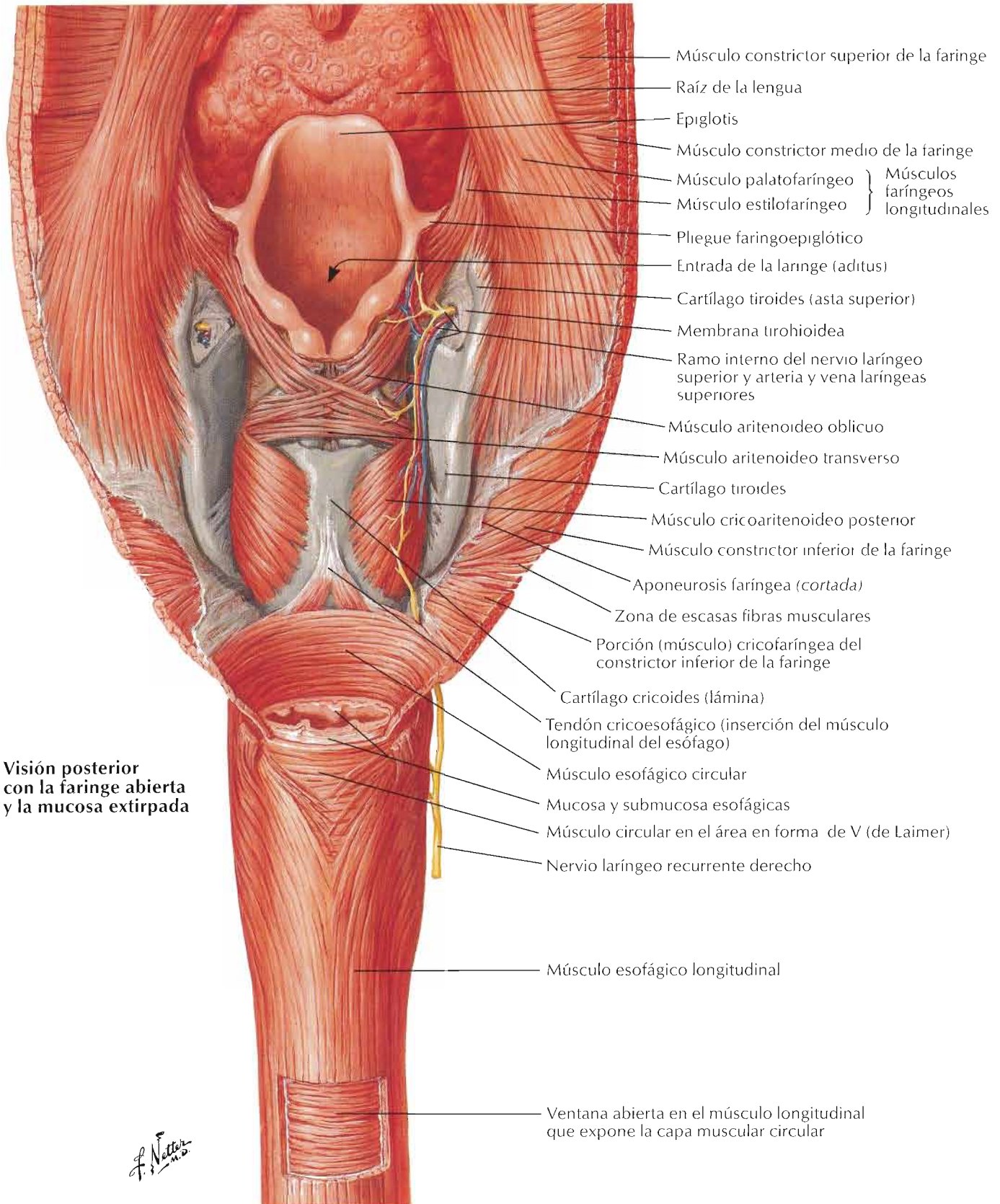
*El nervio y los vasos discurren normalmente por separado

F. Netter M.D.



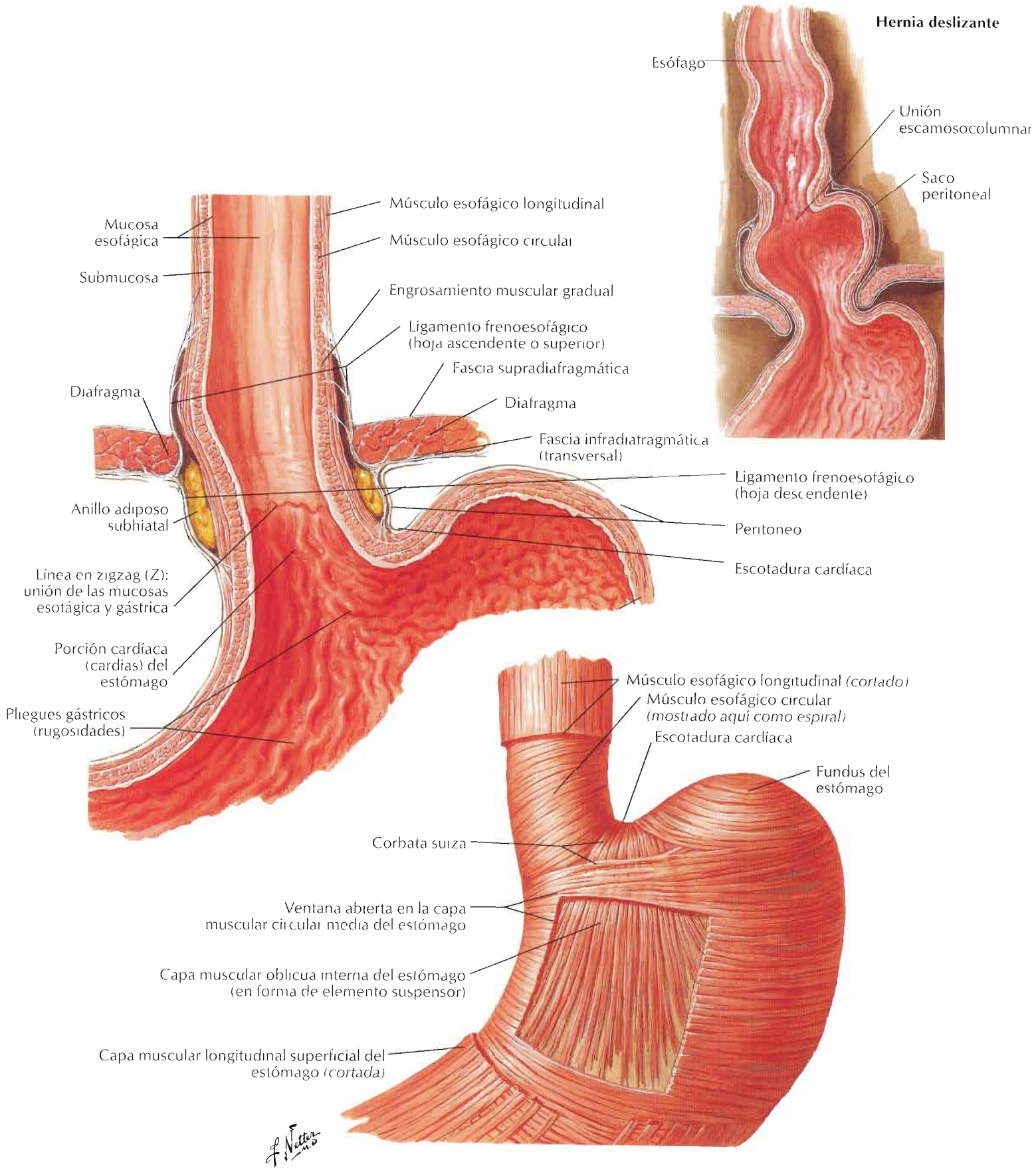


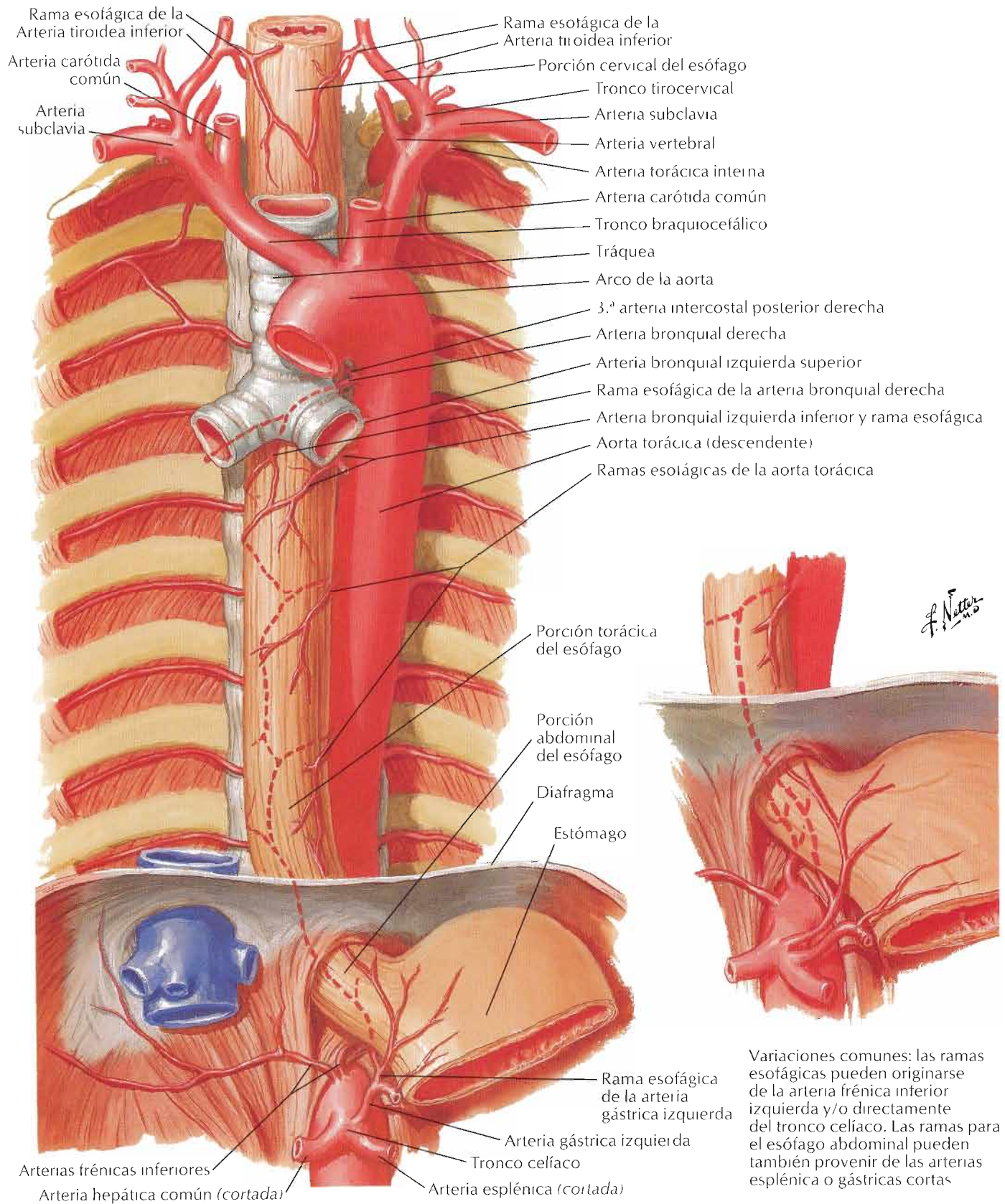




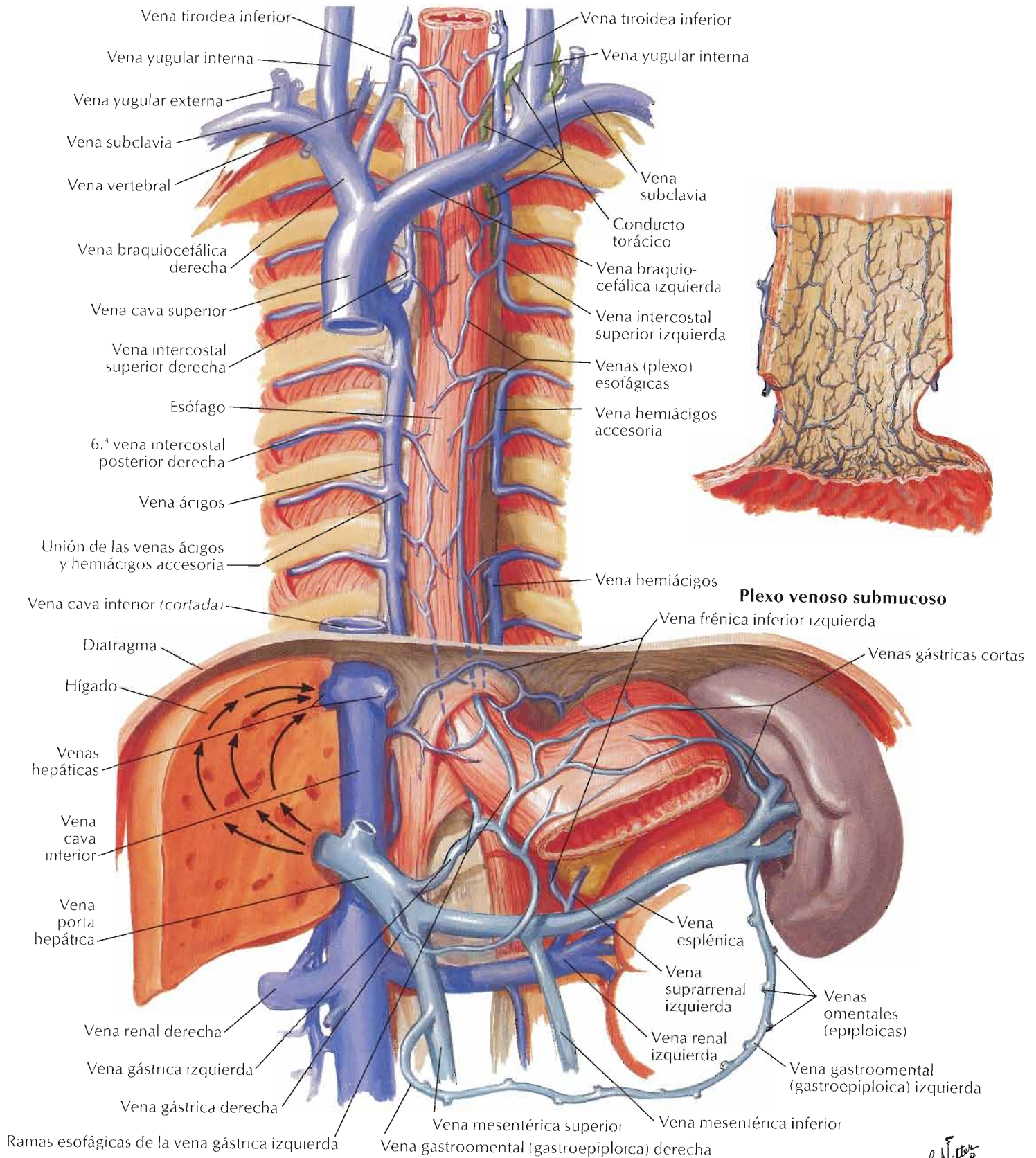
Visión posterior con la faringe abierta y la mucosa extirpada

F. Netter M.D.

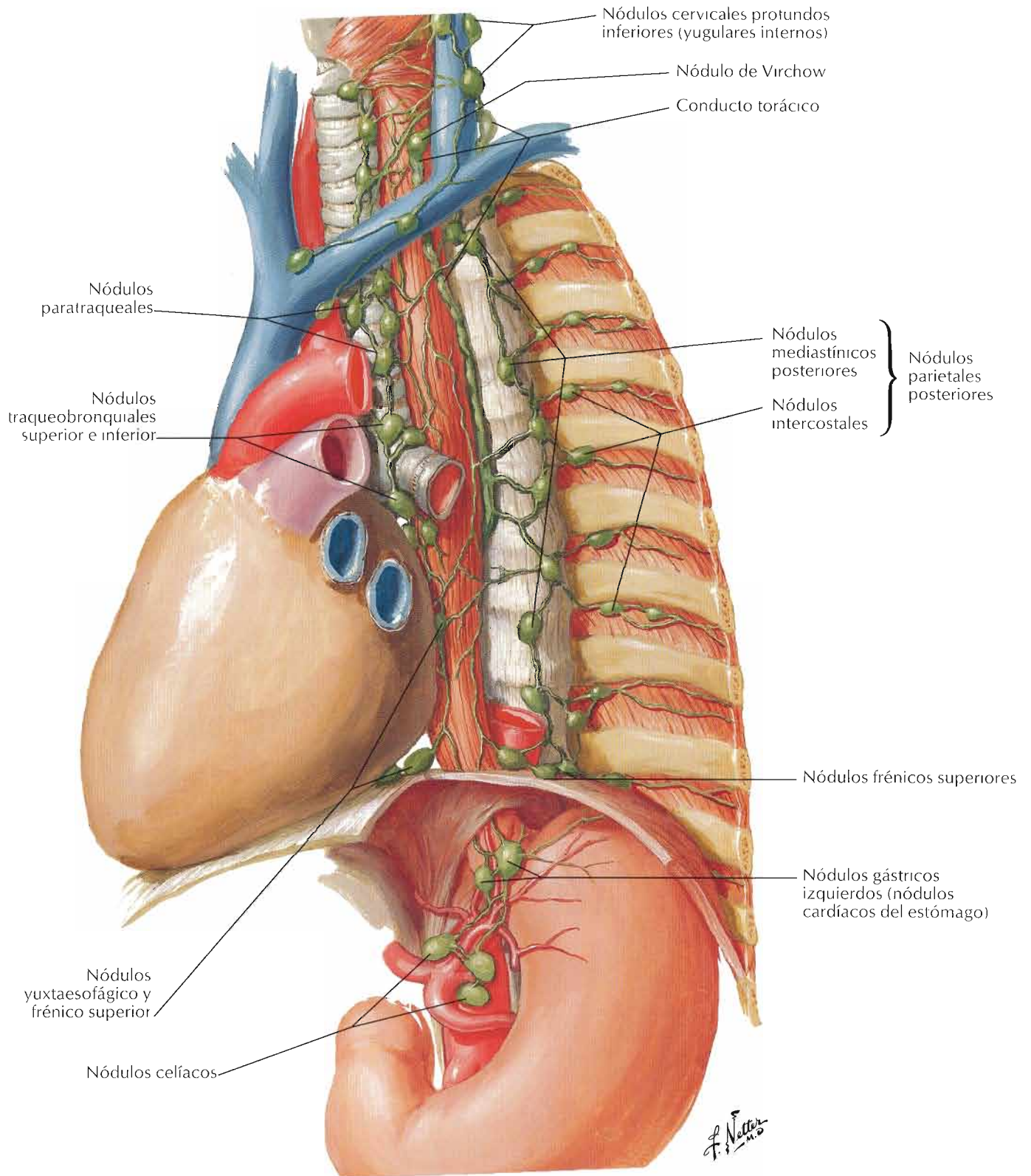




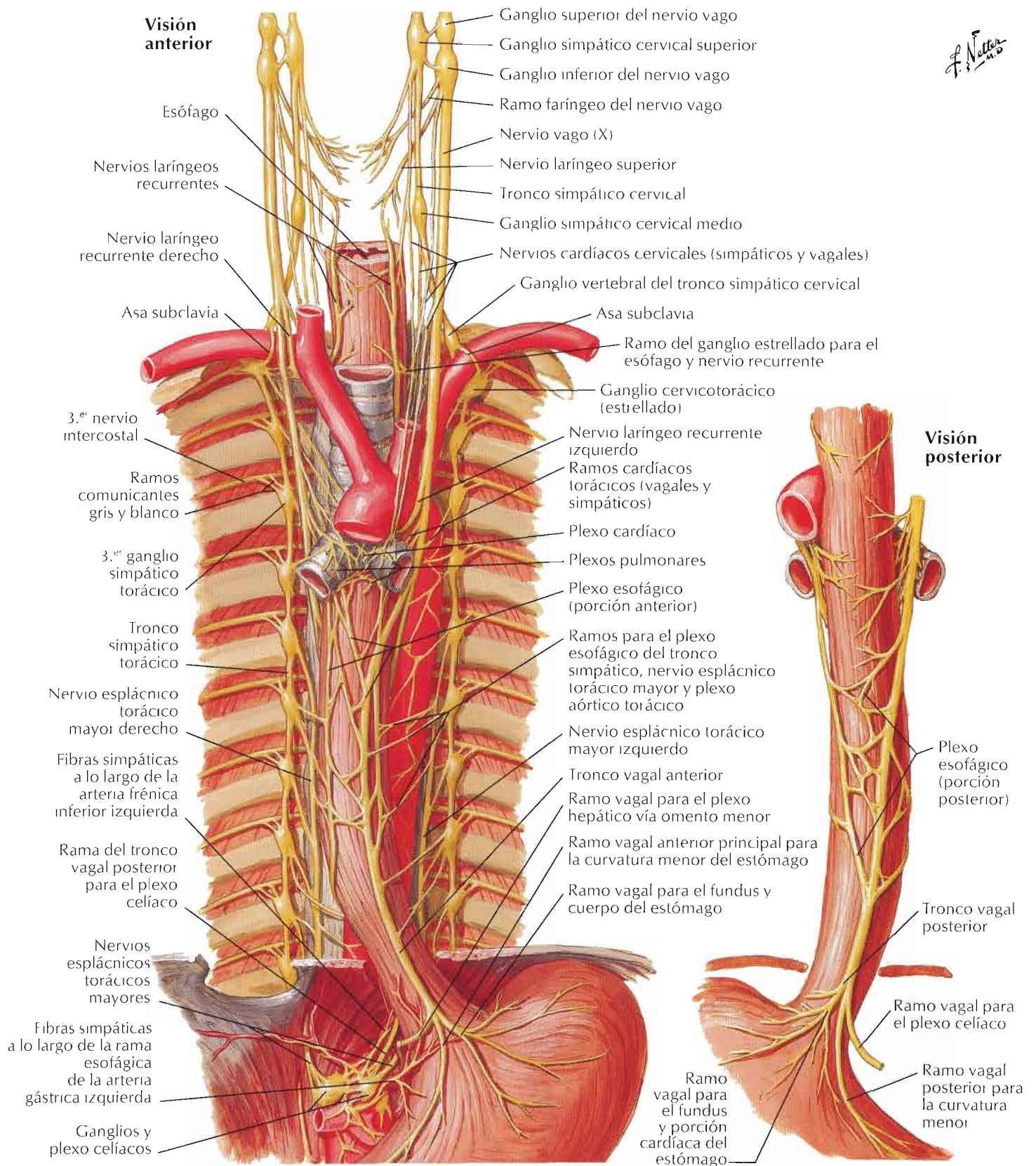
Véase también Lámina 312

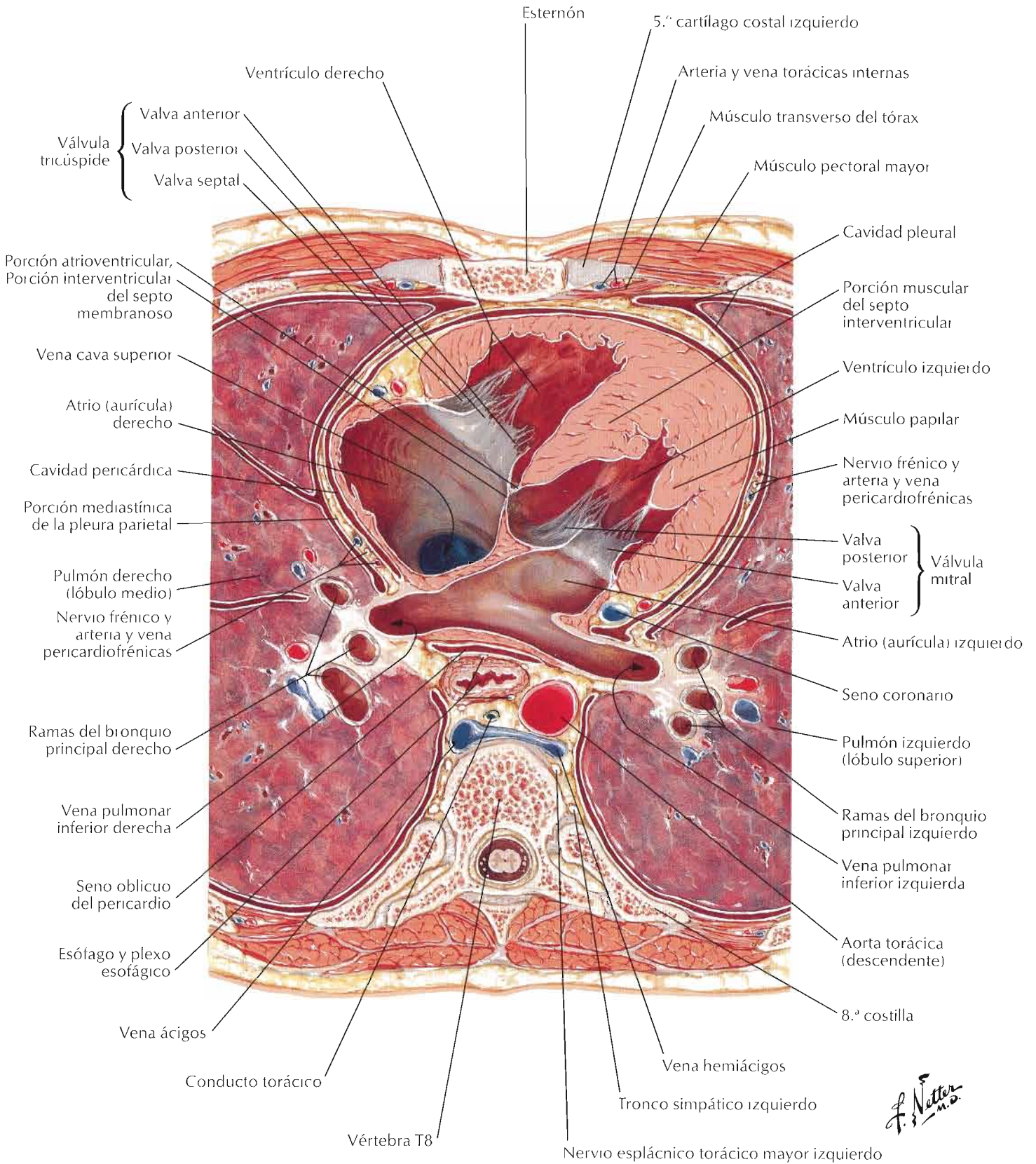


F. Netter M.D.



Véanse también láminas 165, 166, 209

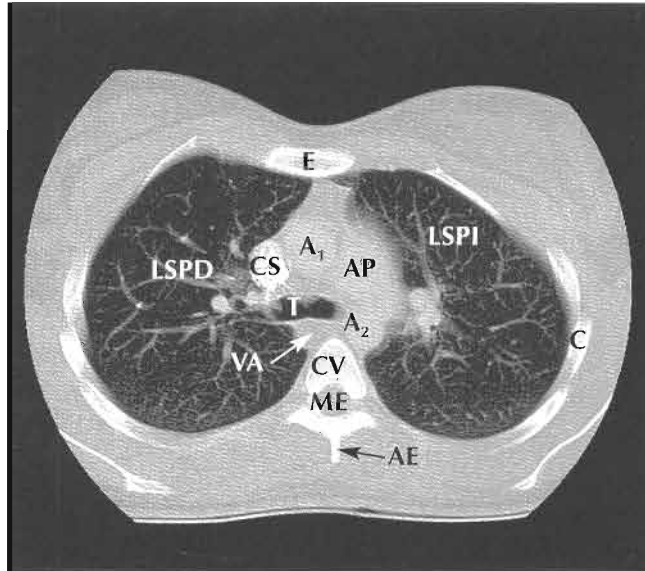




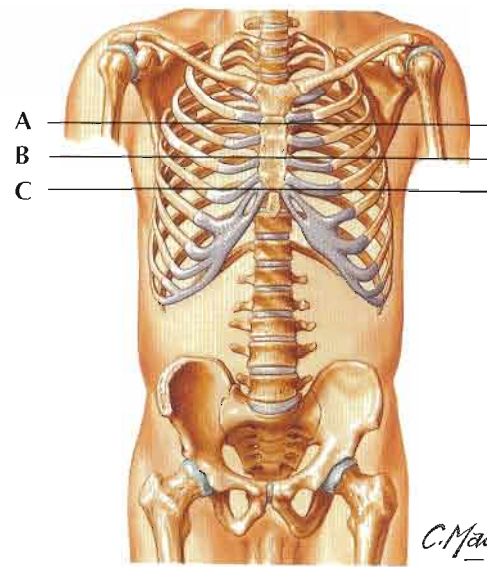
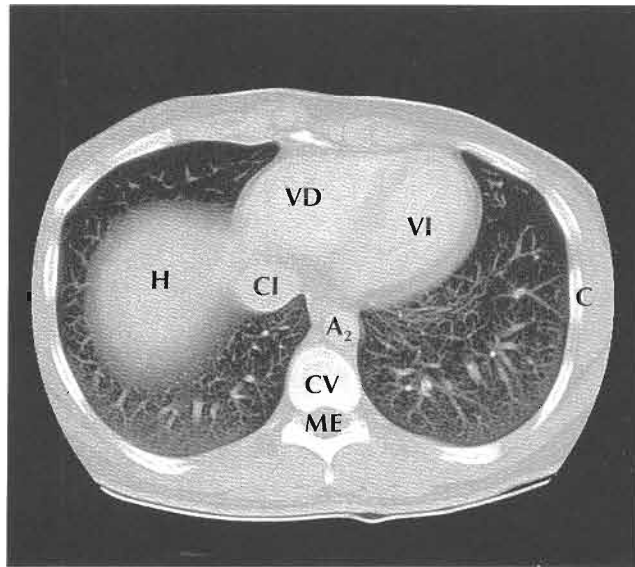
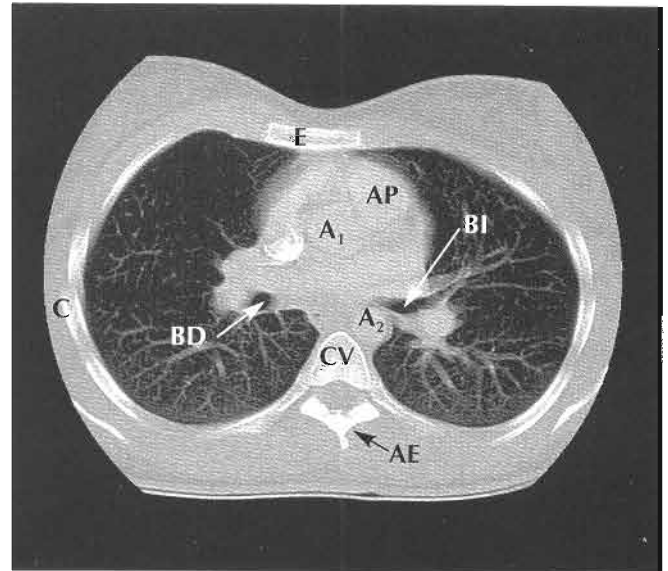
F. Netter M.D.

Imágenes axiales seriadas de TC del tórax, de superior (A) a inferior (C)

A



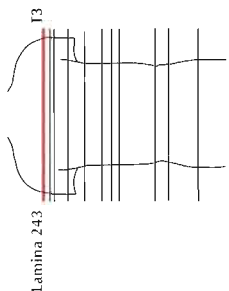
B



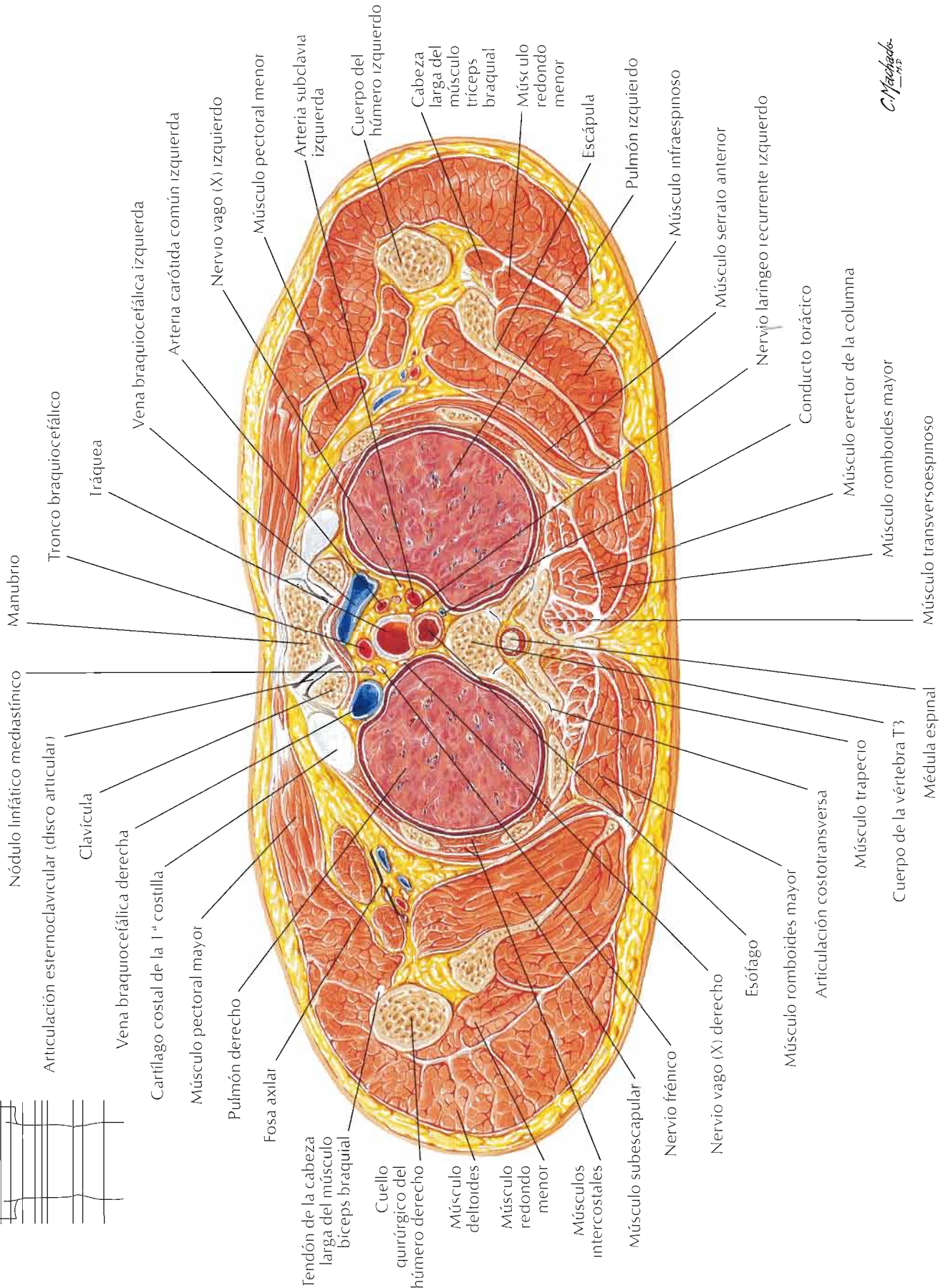
C

A ₁	Aorta ascendente	E	Esternón
A ₂	Aorta descendente	H	Hígado
AE	Apótesis espinosa de una vértebra	LSPD	Lóbulo superior del pulmón derecho
AP	Arteria pulmonar	LSPI	Lóbulo superior del pulmón izquierdo
BD	Bronquio (principal) derecho	ME	Médula espinal
BI	Bronquio (principal) izquierdo	T	Tráquea (bifurcación)
C	Costilla	VA	Vena ácigos
CI	Vena cava inferior	VD	Ventrículo derecho
CS	Vena cava superior	VI	Ventrículo izquierdo
CV	Cuerpo vertebral		

Sección transversal: nivel inferior de T3, articulación esternoclavicular



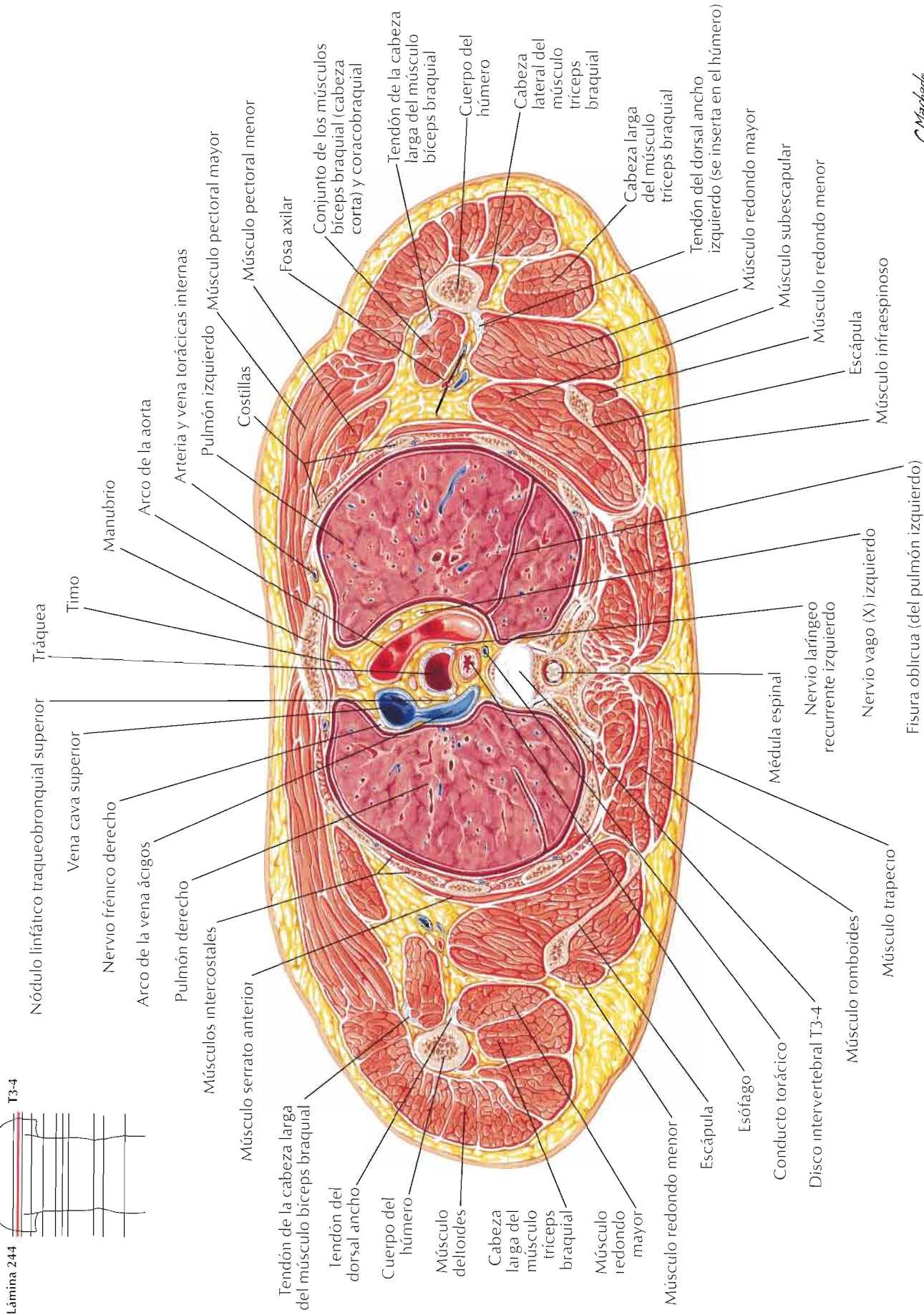
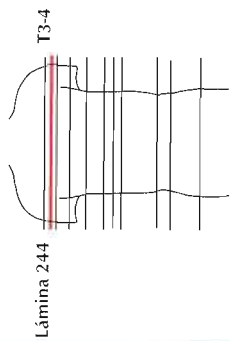
Lamina 243



C. Machado
1975

Sección transversal del tórax a nivel del disco T3-4

Sección transversal: disco intervertebral T3-4, manubrio



C. Machado

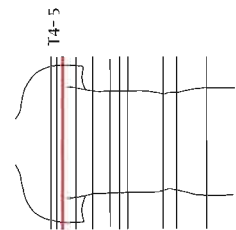
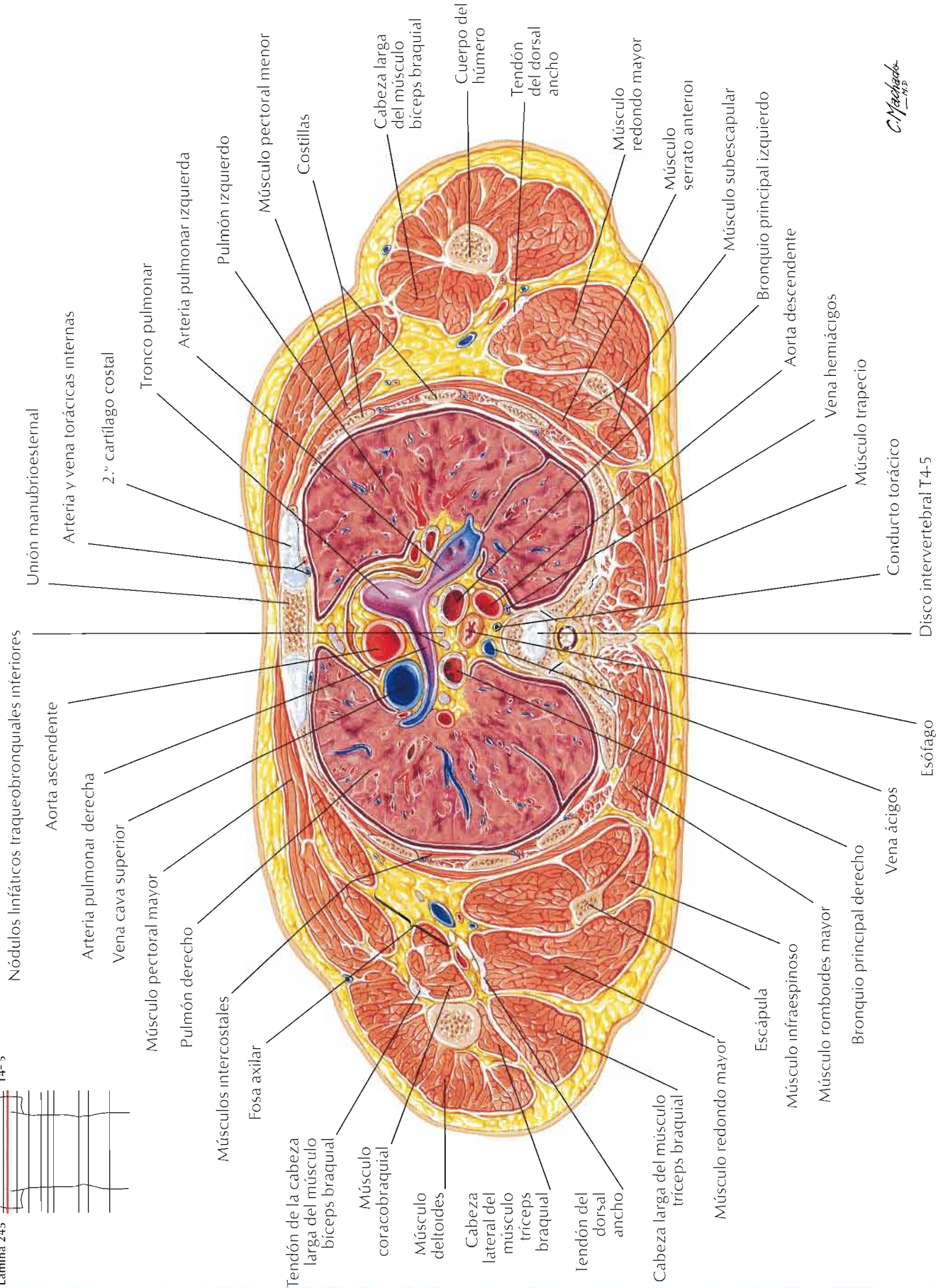


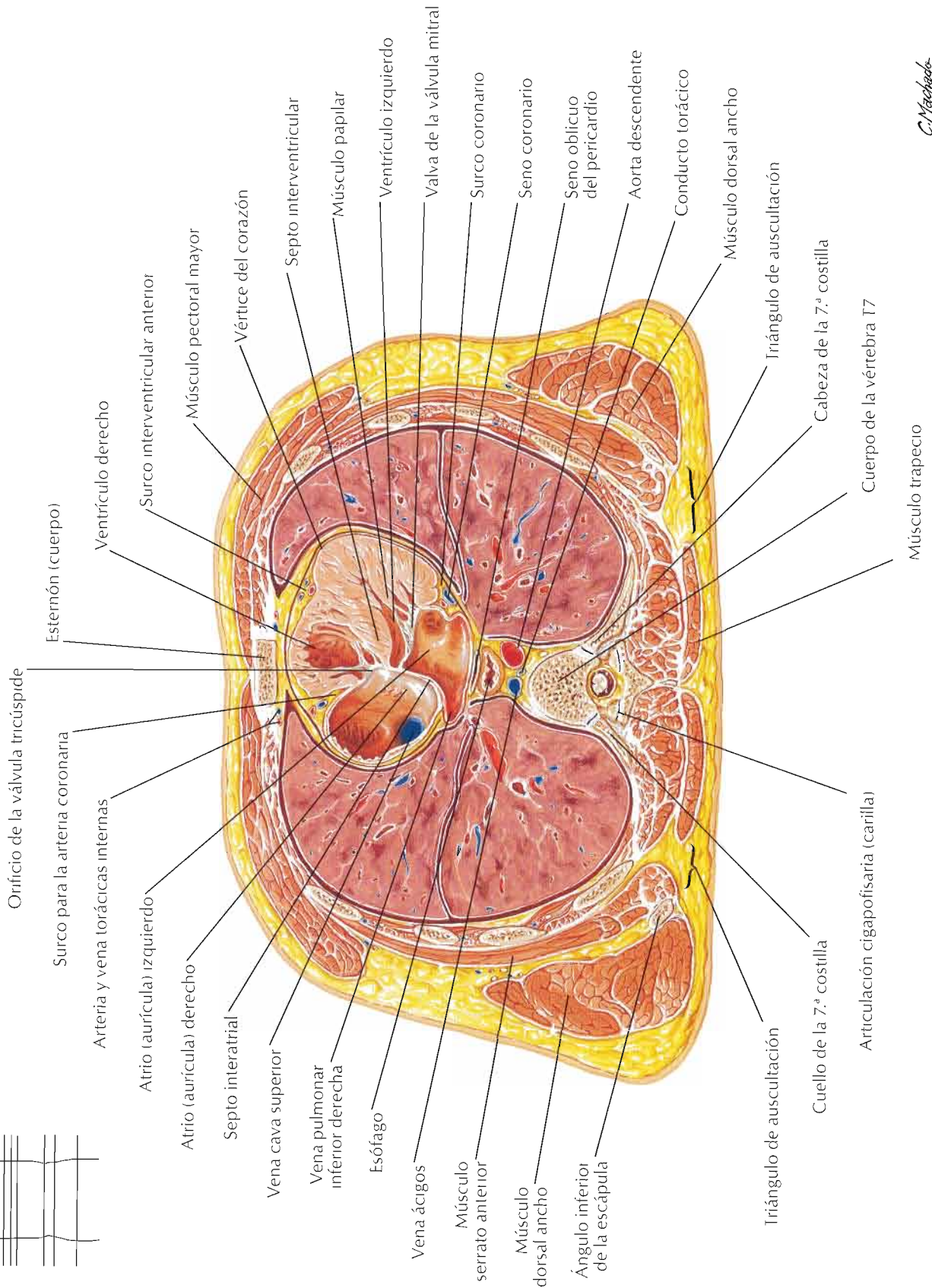
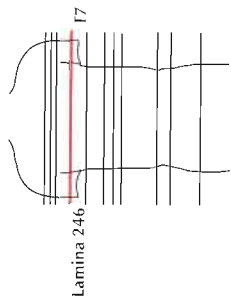
Lámina 245

Sección transversal: disco intervertebral T4-5, ángulo del esternón



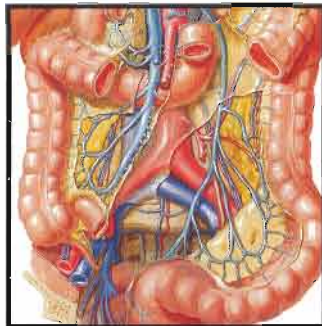
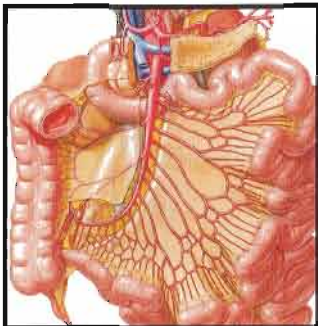
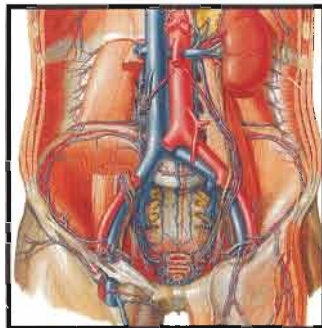
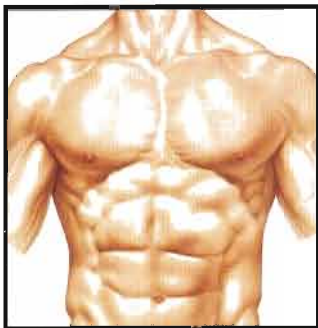
C. Machado

Sección transversal: nivel de T7, 3.º espacio intercondral



C. Machado
17

Sección 4 Abdomen



Anatomía de superficie

Lámina 247

247 Abdomen

Pared corporal

Láminas 248-267

- 248 Esqueleto óseo del abdomen
- 249 Pared abdominal anterior: disección superficial
- 250 Pared abdominal anterior: disección intermedia
- 251 Pared abdominal anterior: disección profunda
- 252 Vaina del recto: secciones transversales
- 253 Pared abdominal anterior: visión interna
- 254 Pared abdominal posterolateral
- 255 Arterias de la pared abdominal anterior
- 256 Venas de la pared abdominal anterior
- 257 Nervios de la pared abdominal anterior
- 258 Nervios toracoabdominales
- 259 Región inguinal: disecciones
- 260 Conducto inguinal y cordón espermático
- 261 Hernia inguinal indirecta
- 262 Vaina femoral y conducto inguinal
- 263 Pared abdominal posterior: visión interna
- 264 Arterias de la pared abdominal posterior
- 265 Venas de la pared abdominal posterior
- 266 Vasos y nódulos linfáticos de la pared abdominal posterior
- 267 Nervios de la pared abdominal posterior

Cavidad peritoneal

Láminas 268–274

- 268 Regiones y planos del abdomen
- 269 Omento (epiplón) mayor y vísceras abdominales
- 270 Relaciones mesentéricas de los intestinos
- 271 Relaciones mesentéricas de los intestinos (*continuación*)
- 272 Bolsa omental: estómago reflejado
- 273 Bolsa omental: sección transversal
- 274 Peritoneo de la pared abdominal posterior

Vísceras (intestino)

Láminas 275–285

- 275 Estómago in situ
- 276 Mucosa del estómago
- 277 Musculatura del estómago
- 278 Duodeno in situ
- 279 Mucosa y musculatura del duodeno
- 280 Mucosa y musculatura del intestino delgado
- 281 Región ileocecal
- 282 Región ileocecal (*continuación*)
- 283 Apéndice vermiforme
- 284 Mucosa y musculatura del intestino grueso
- 285 Colon sigmoide: variaciones en su posición

Vísceras (órganos accesorios)

Láminas 286–299

- 286 Topografía del hígado
- 287 Caras y lecho del hígado
- 288 Hígado in situ y variaciones en su forma
- 289 Segmentos y lobulillos hepáticos: distribución de vasos y conductos
- 290 Sistemas vascular y de conductos intrahepáticos
- 291 Estructura del hígado: esquema
- 292 Sistema biliar intrahepático: esquema
- 293 Sección transversal del abdomen a nivel de T10
- 294 Vesícula biliar y conductos biliares extrahepáticos
- 295 Unión del colédoco y el duodeno
- 296 Variaciones en los conductos cístico y hepáticos
- 297 Sección transversal del abdomen a nivel de T12
- 298 Páncreas in situ
- 299 Bazo

Vasculatura visceral

Láminas 300–317

- 300 Arterias del estómago, hígado y bazo
- 301 Arterias del hígado, páncreas, duodeno y bazo
- 302 Variaciones en el tronco celiaco
- 303 Arteriografía celiaca
- 304 Arterias del duodeno y cabeza del páncreas
- 305 Variaciones arteriales y vascularización colateral del hígado y vesícula biliar
- 306 Arterias del intestino delgado
- 307 Arterias del intestino grueso
- 308 Variaciones en las arterias cólicas
- 309 Venas del estómago, duodeno, páncreas y bazo
- 310 Venas del intestino delgado
- 311 Venas del intestino grueso
- 312 Tributarias de la vena porta hepática: anastomosis portocava
- 313 Variaciones de la vena porta hepática
- 314 Vasos y nódulos linfáticos del estómago
- 315 Vasos y nódulos linfáticos del páncreas
- 316 Vasos y nódulos linfáticos del intestino delgado
- 317 Vasos y nódulos linfáticos del intestino grueso

Inervación

Láminas 318–328

- 318 Nervios y ganglios autónomos del abdomen
- 319 Nervios del estómago y duodeno
- 320 Nervios del estómago y duodeno (*continuación*)
- 321 Inervación del estómago y duodeno: esquema
- 322 Nervios del intestino delgado
- 323 Nervios del intestino grueso
- 324 Inervación de los intestinos delgado y grueso: esquema
- 325 Vías reflejas autónomas: esquema
- 326 Plexos autónomos intrínsecos del intestino: esquema
- 327 Inervación del hígado y tracto biliar: esquema
- 328 Inervación del páncreas: esquema

Riñones y glándulas suprarrenales

Láminas 329–347

- 329 Riñones in situ: visiones anteriores
- 330 Riñones in situ: visiones posteriores

- 331** Sección transversal del abdomen a nivel de T12
- 332** Arteria y vena renales in situ
- 333** Variaciones en la arteria y vena renales
- 334** Estructura macroscópica del riñón
- 335** Arterias intrarrenales y segmentos del riñón
- 336** Nefrona y túbulo colector: esquema
- 337** Vasos sanguíneos en el parénquima renal: esquema
- 338** Sección transversal del abdomen a nivel de T12-L1
- 339** Sección transversal del abdomen a nivel de L1-2
- 340** Uréteres
- 341** Arterias de los uréteres y vejiga urinaria
- 342** Fascia renal
- 343** Vasos y nódulos linfáticos de los riñones y vejiga urinaria

- 344** Nervios de riñones, uréteres y vejiga urinaria
- 345** Inervación de los riñones y uréteres superiores: esquema
- 346** Nervios de las glándulas suprarrenales: disección y esquema
- 347** Arterias y venas de las glándulas suprarrenales in situ

Secciones abdominales

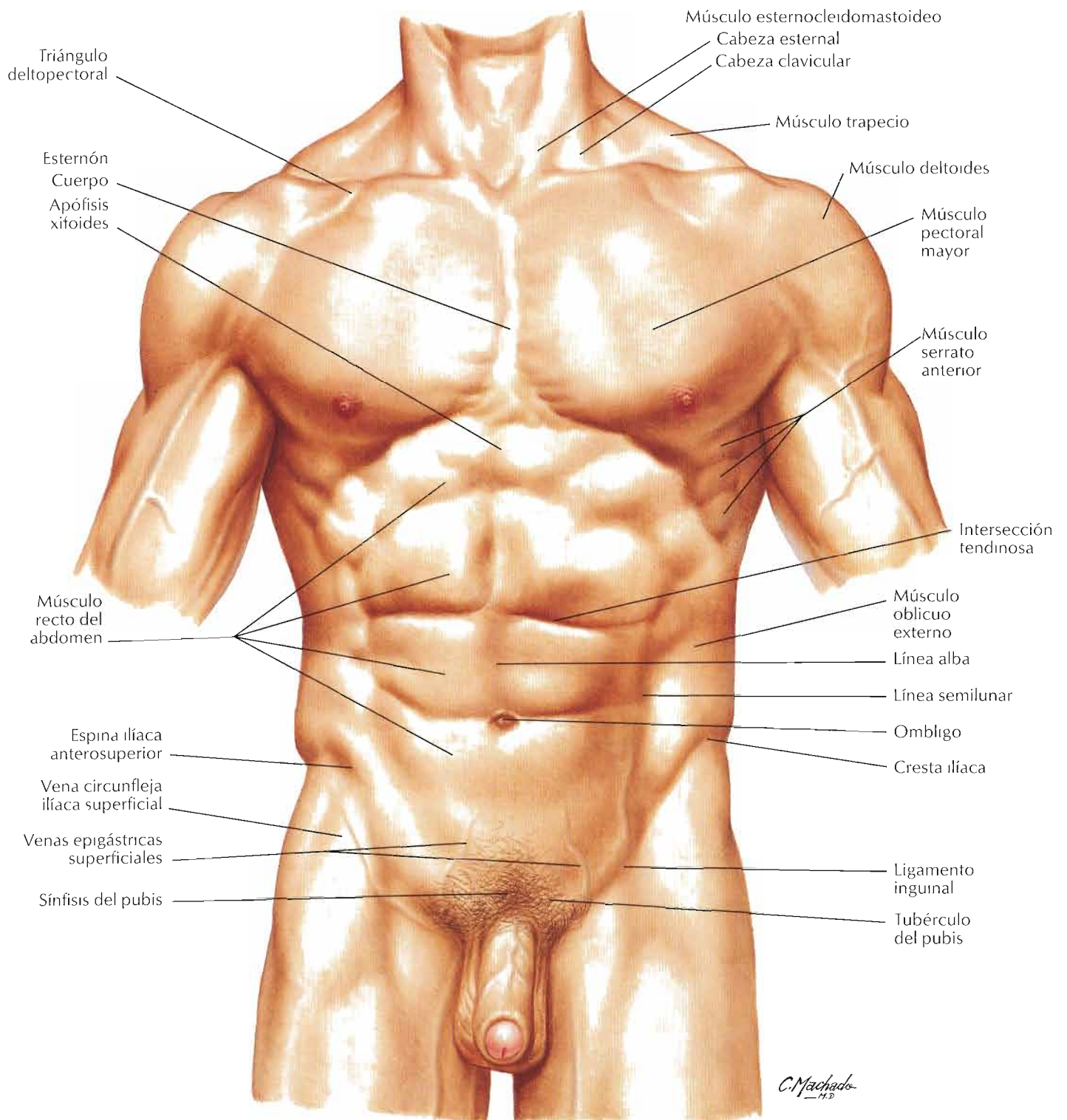
Láminas 348–349

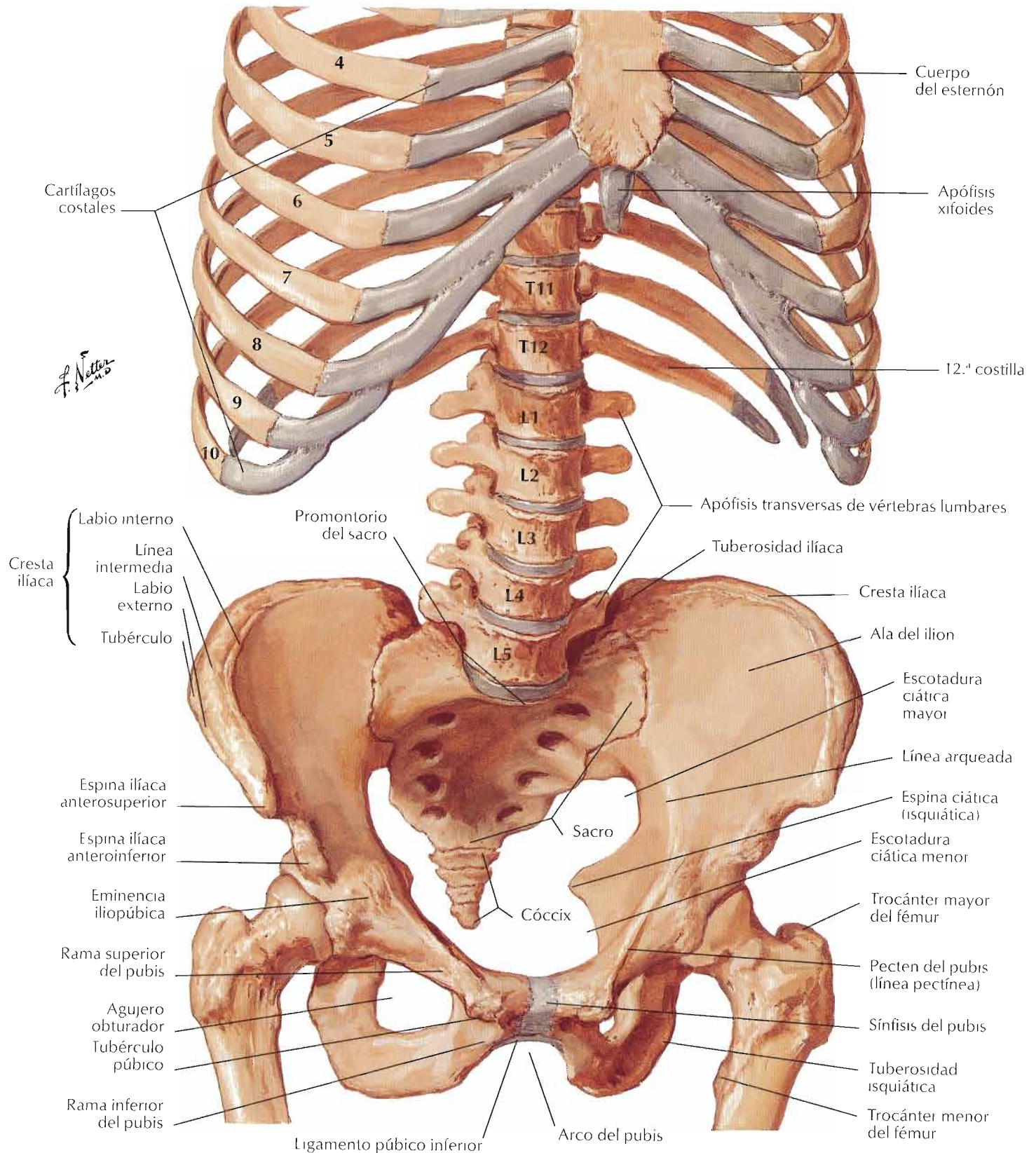
- 348** Pared y vísceras abdominales: sección paramediana (sagital)
- 349** Sección transversal del abdomen a nivel de L3, 4

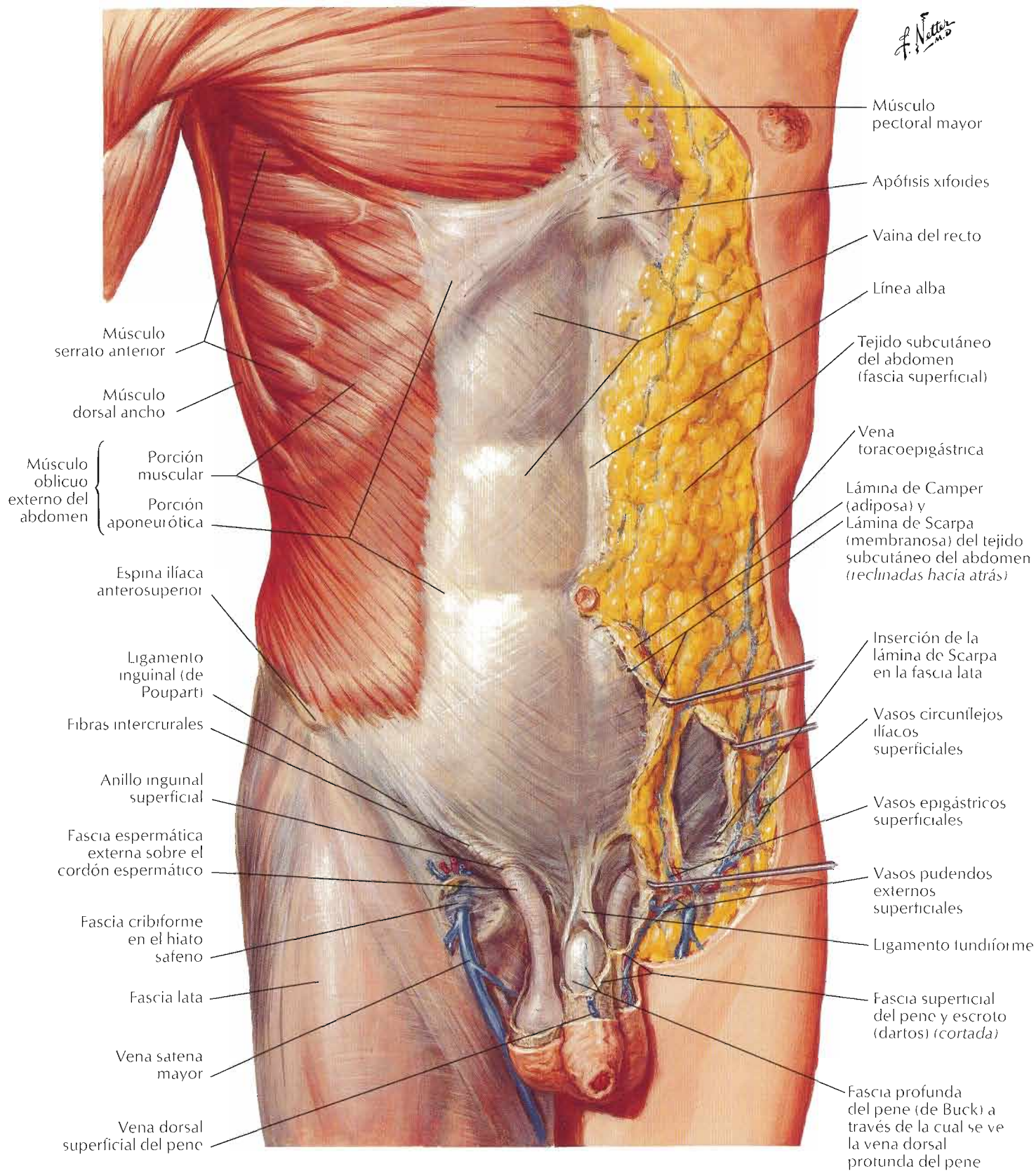
Exploraciones regionales

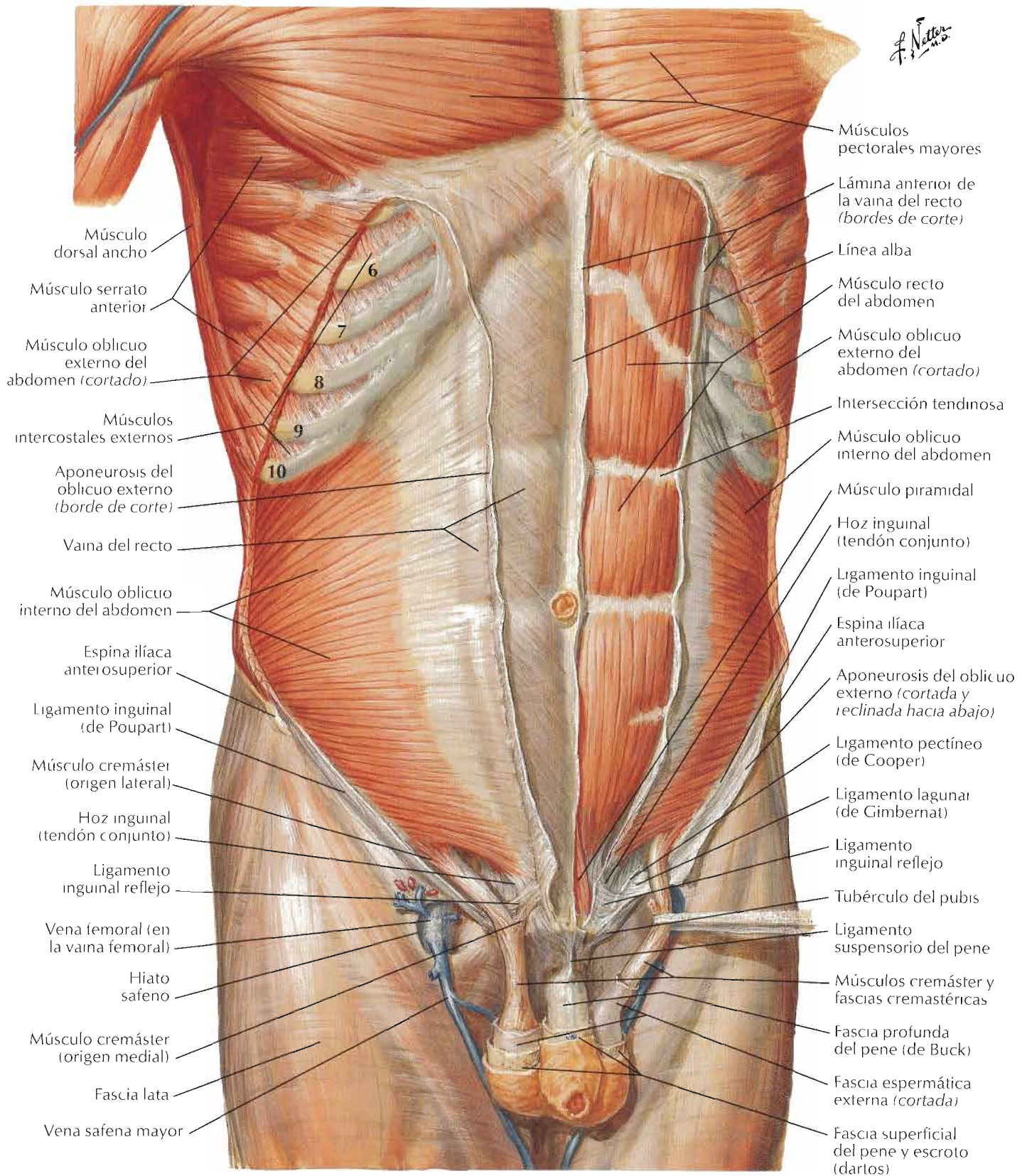
Lámina 350

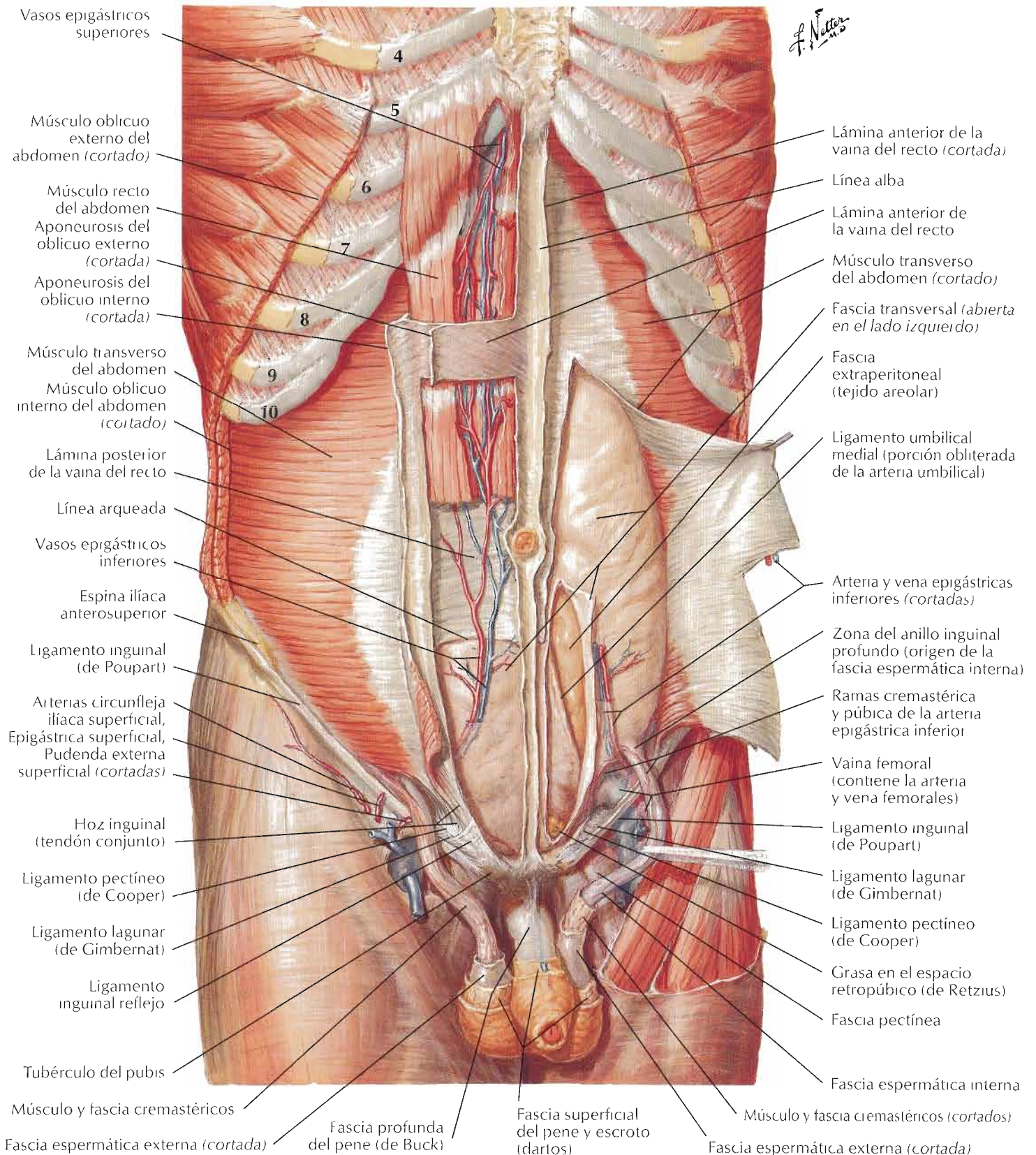
- 350** Exploraciones abdominales: imágenes axiales de TC



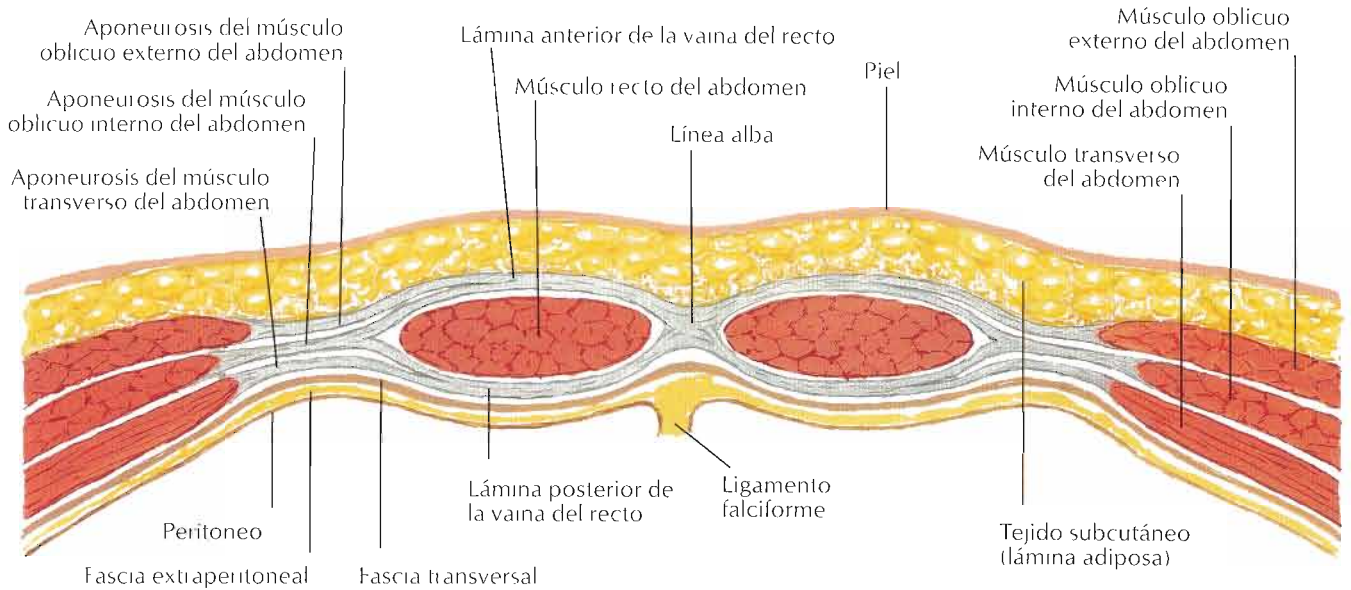






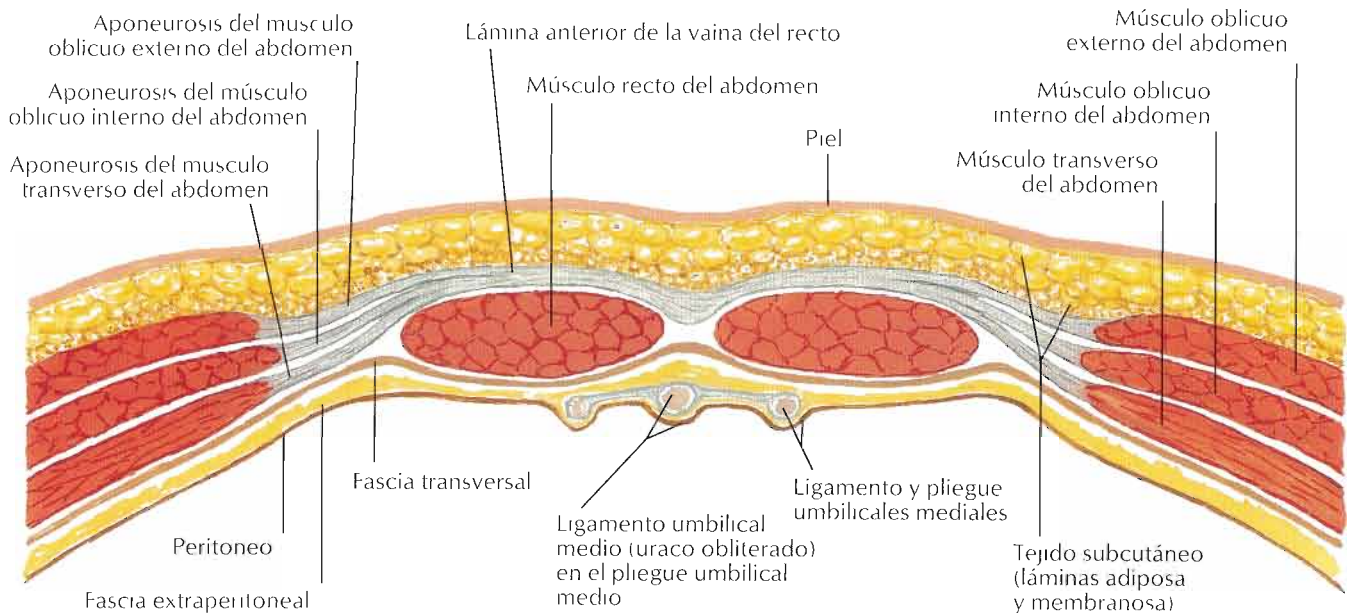


Sección por encima de la línea arqueada



La aponeurosis del músculo oblicuo interno del abdomen se divide para formar las láminas anterior y posterior de la vaina del recto. La aponeurosis del músculo oblicuo externo del abdomen se une a la lámina anterior de la vaina; la aponeurosis del músculo transverso del abdomen se une a la lámina posterior. Las láminas anterior y posterior de la vaina del recto se unen medialmente para formar la línea alba.

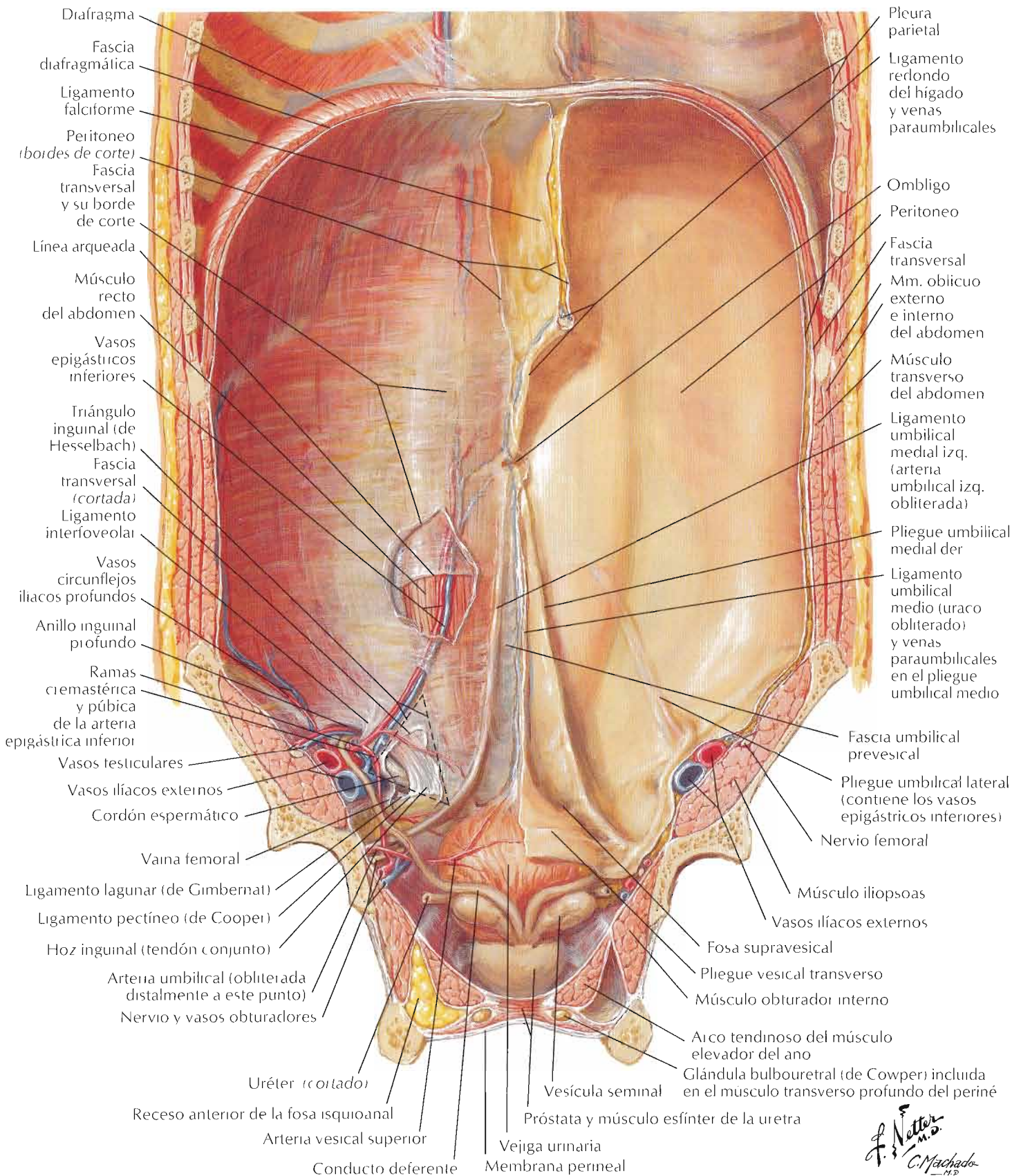
Sección por debajo de la línea arqueada



La aponeurosis del músculo oblicuo interno del abdomen no se divide a este nivel, sino que pasa totalmente anterior al músculo recto del abdomen fusionándose con las aponeurosis de los músculos oblicuo externo y transverso del abdomen. De este modo, la pared posterior de la vaina del recto está ausente por debajo de la línea arqueada, descansando el músculo recto del abdomen sobre la fascia transversal.

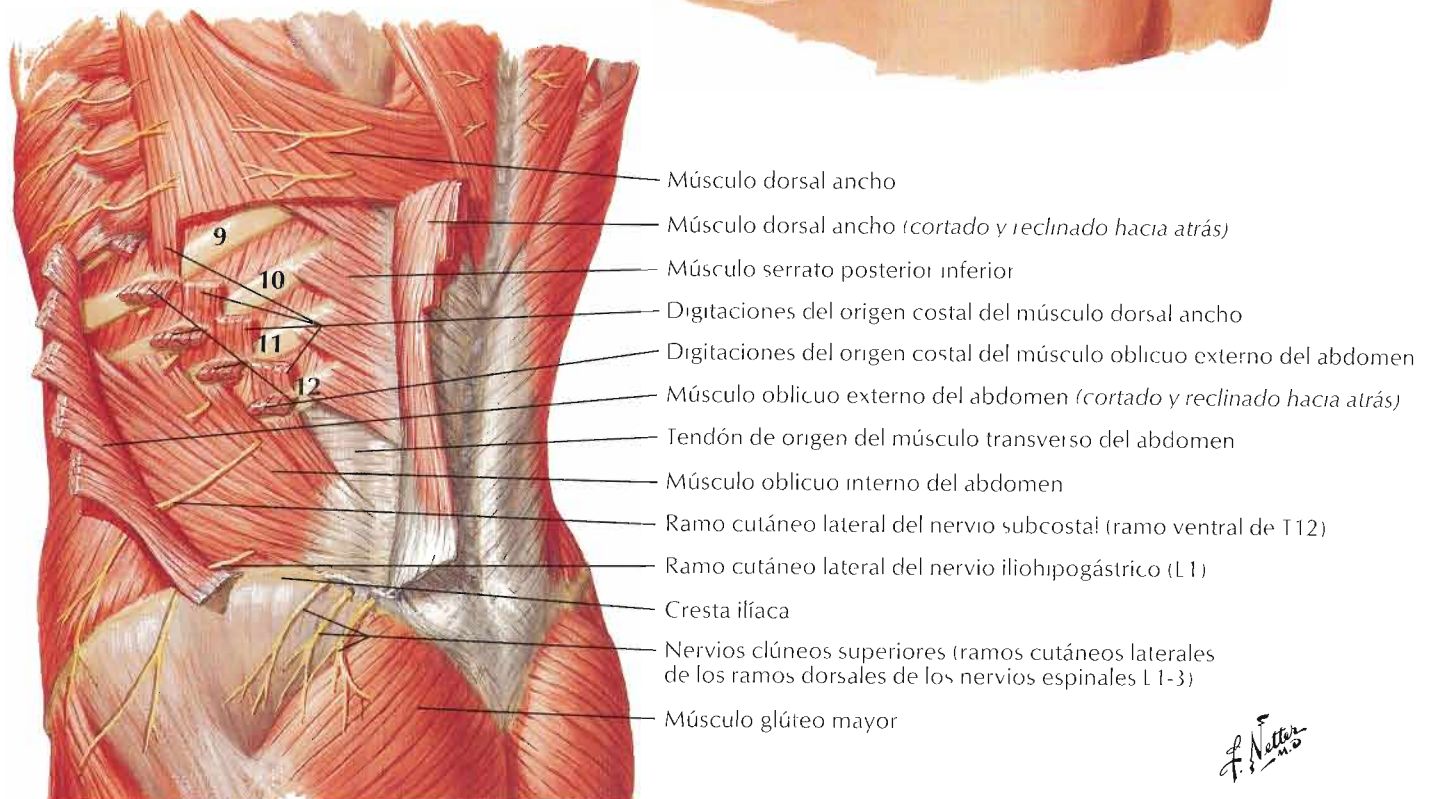
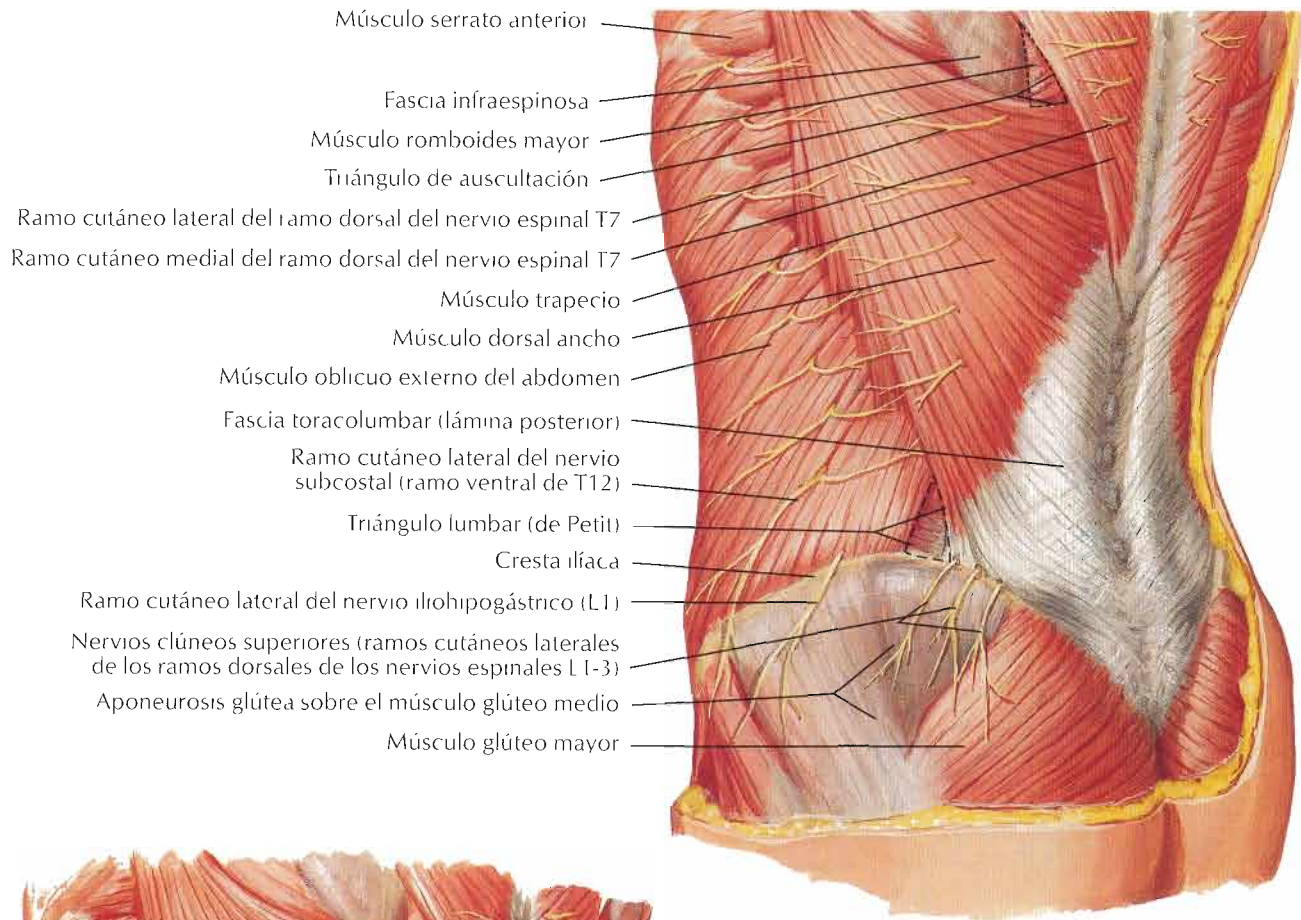
F. Netter

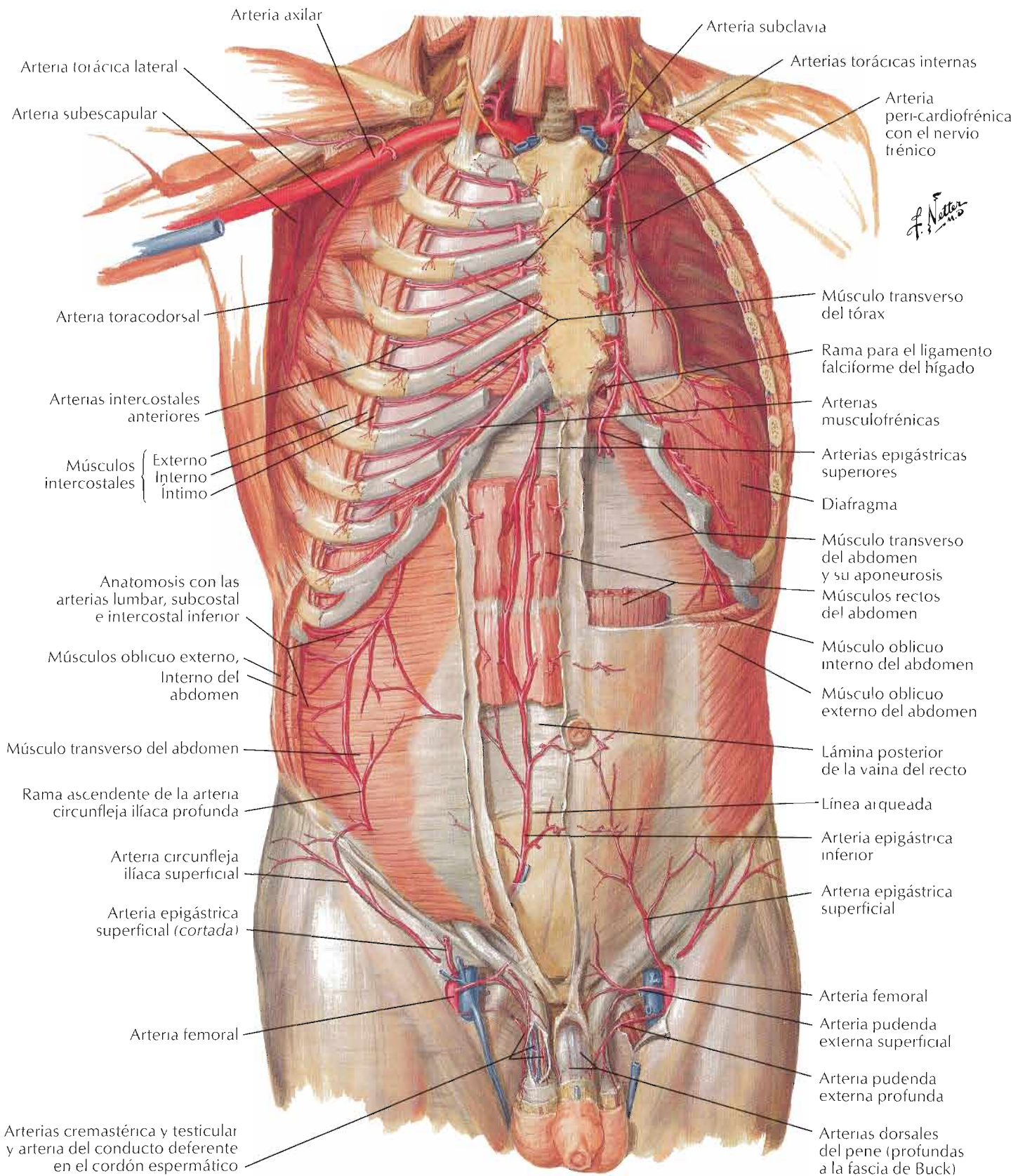
Para los vasos umbilicales véase lámina 229

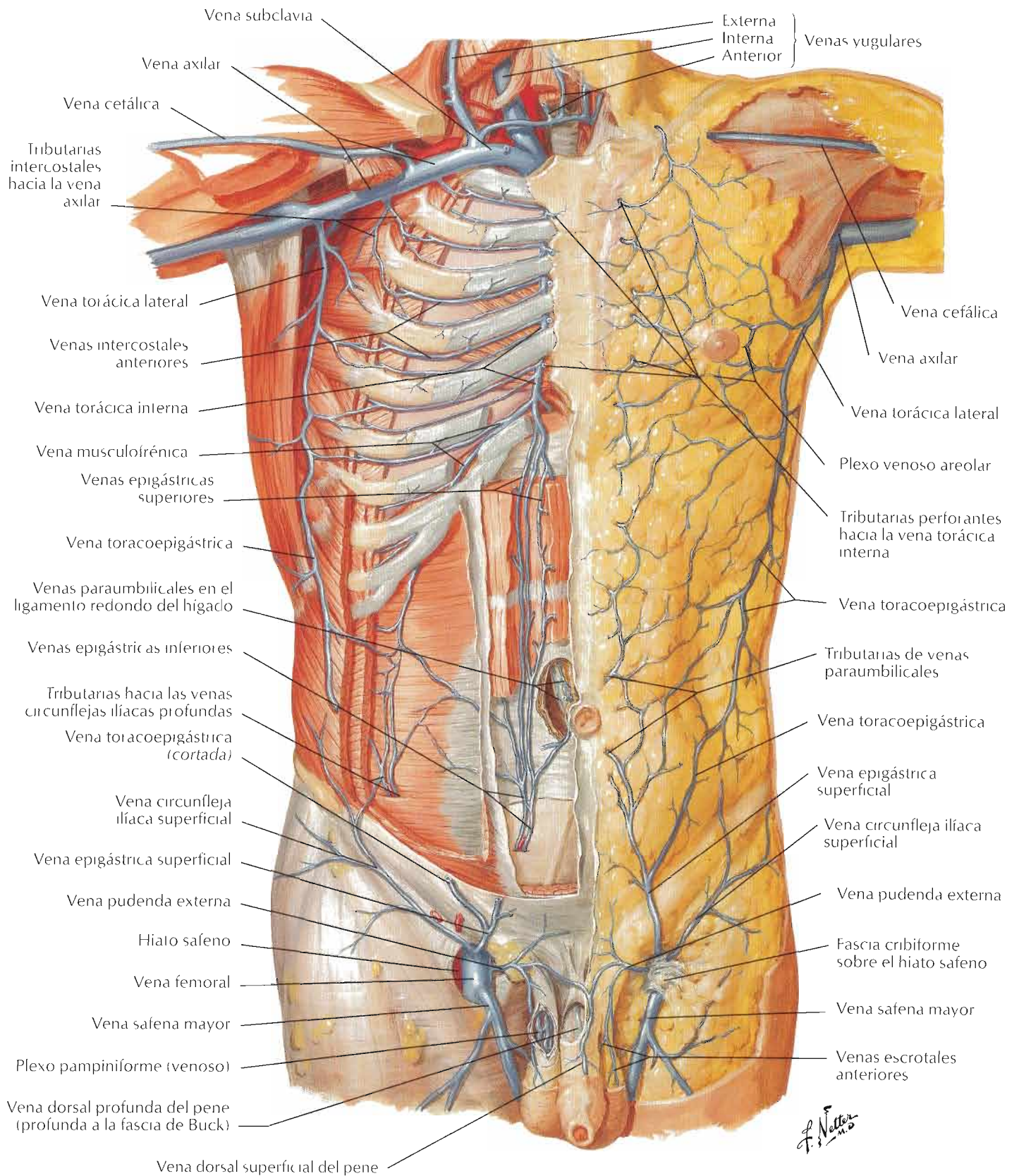


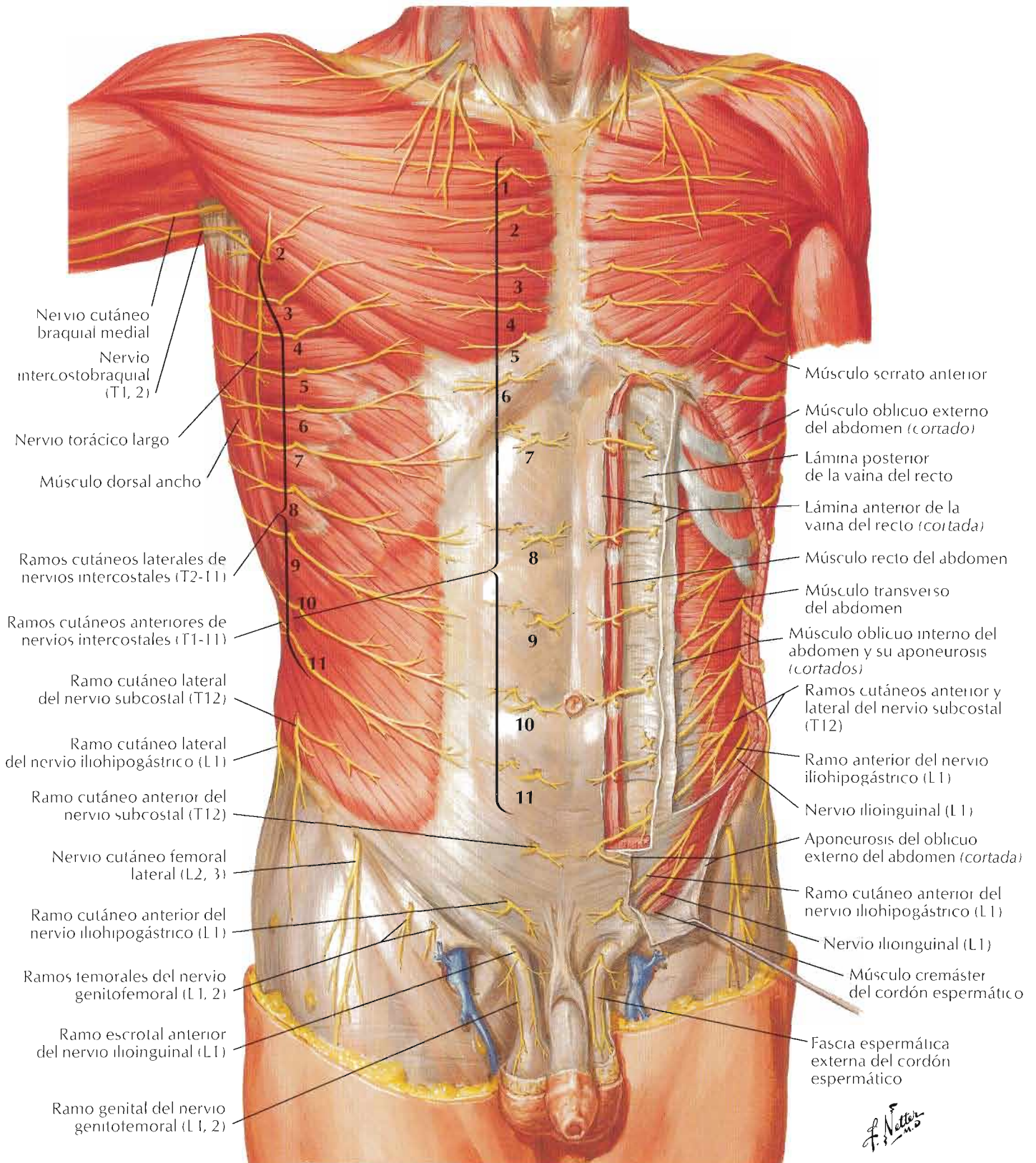
J. Netto
M.D.
C. Machado
M.D.

Véanse también láminas 174, 177, 179, 180, 258



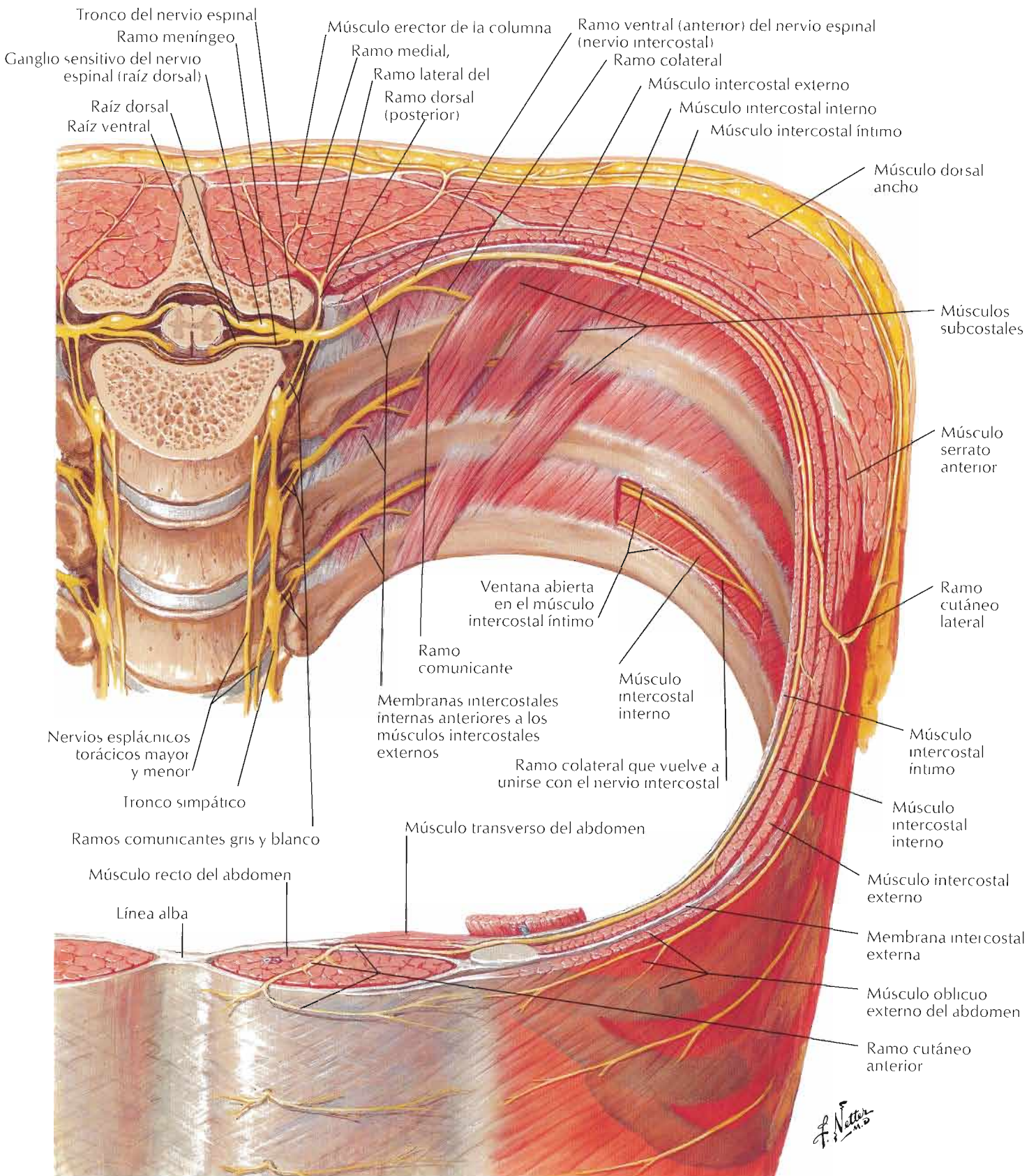


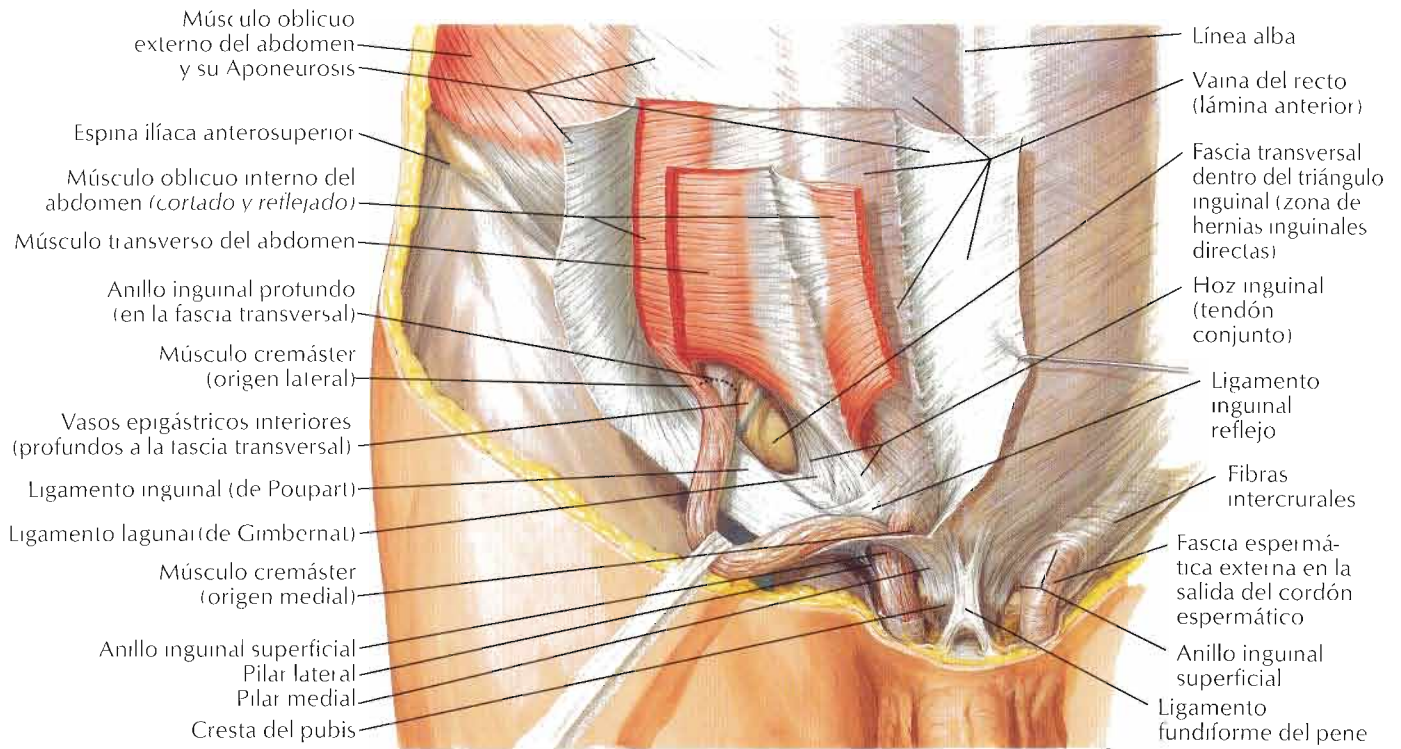




F. Netter M.D.

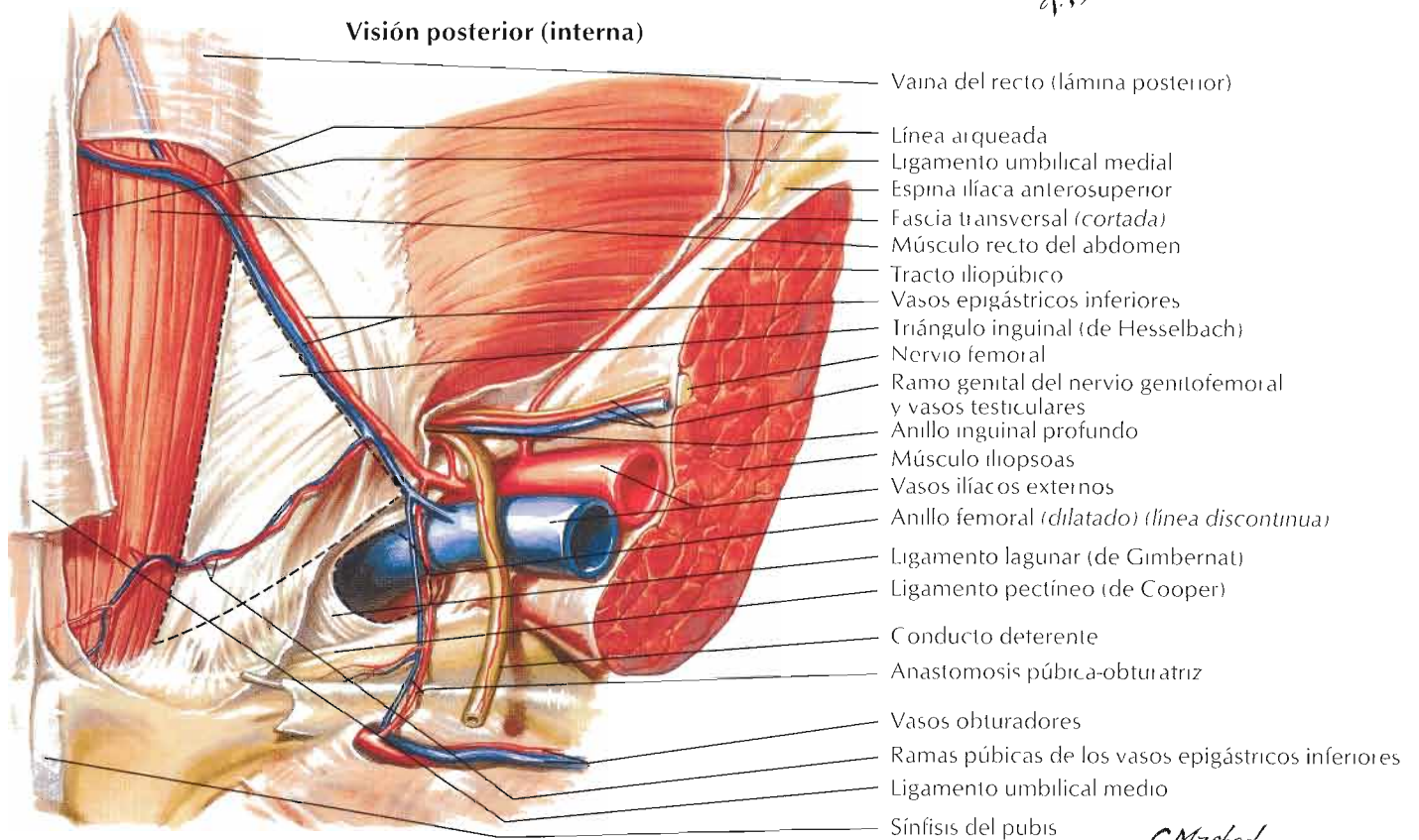
Véanse también láminas 180, 192





Visión anterior

F. Netter M.D.

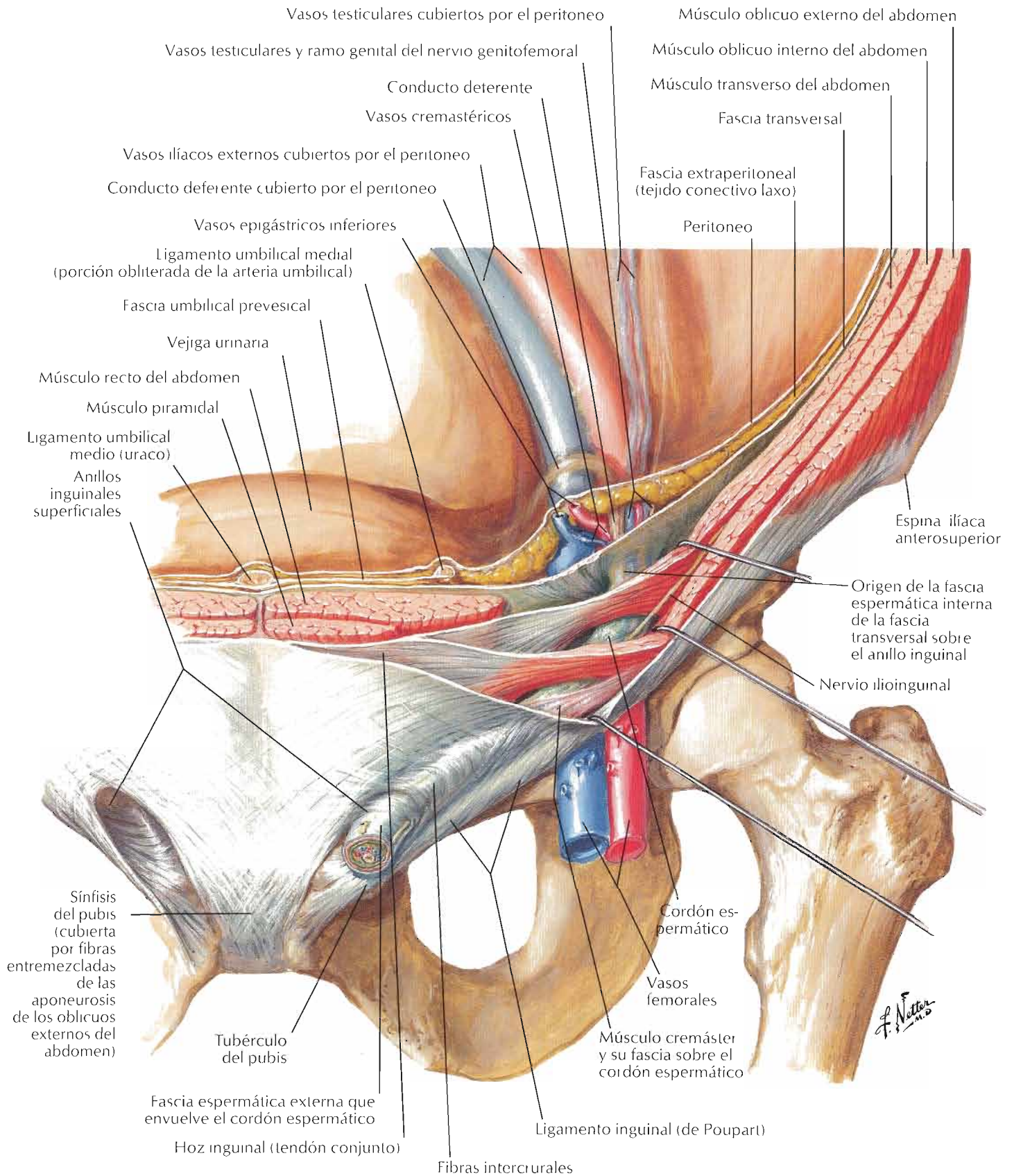


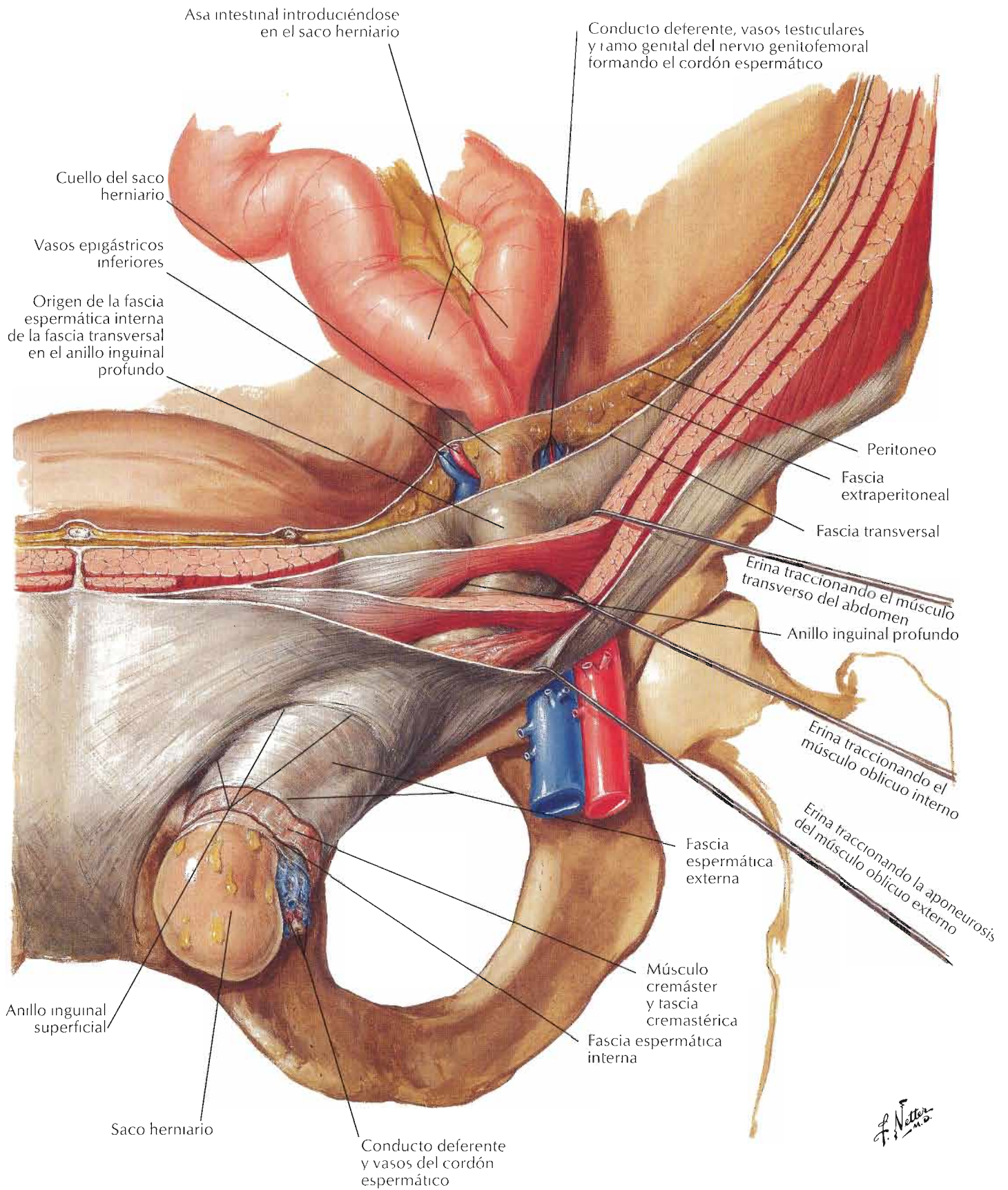
Visión posterior (interna)

C. Machado M.D.

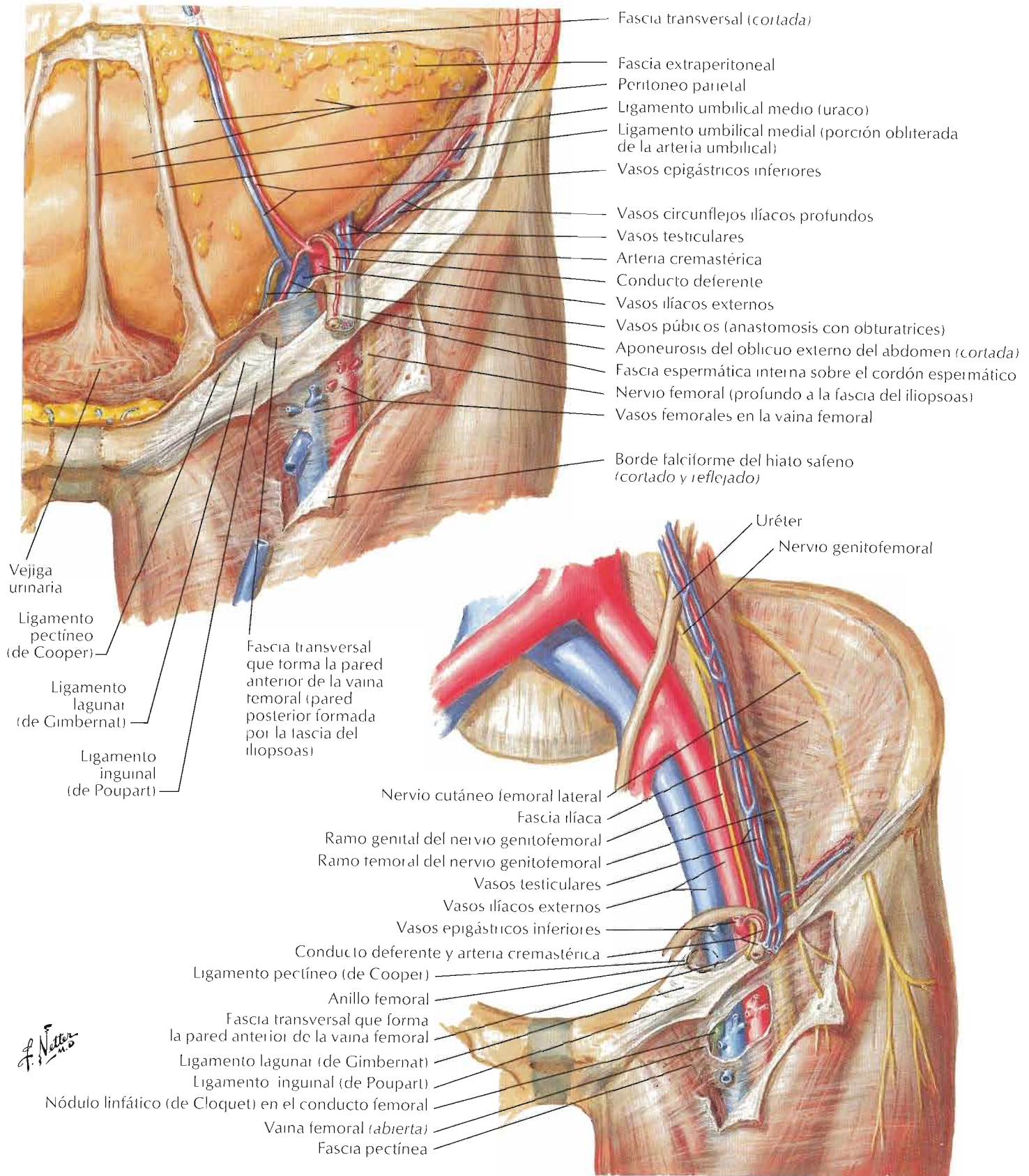
Triángulo de Hesselbach por Carlos Machado modificado de Frank Netter

Conducto inguinal y cordón espermático

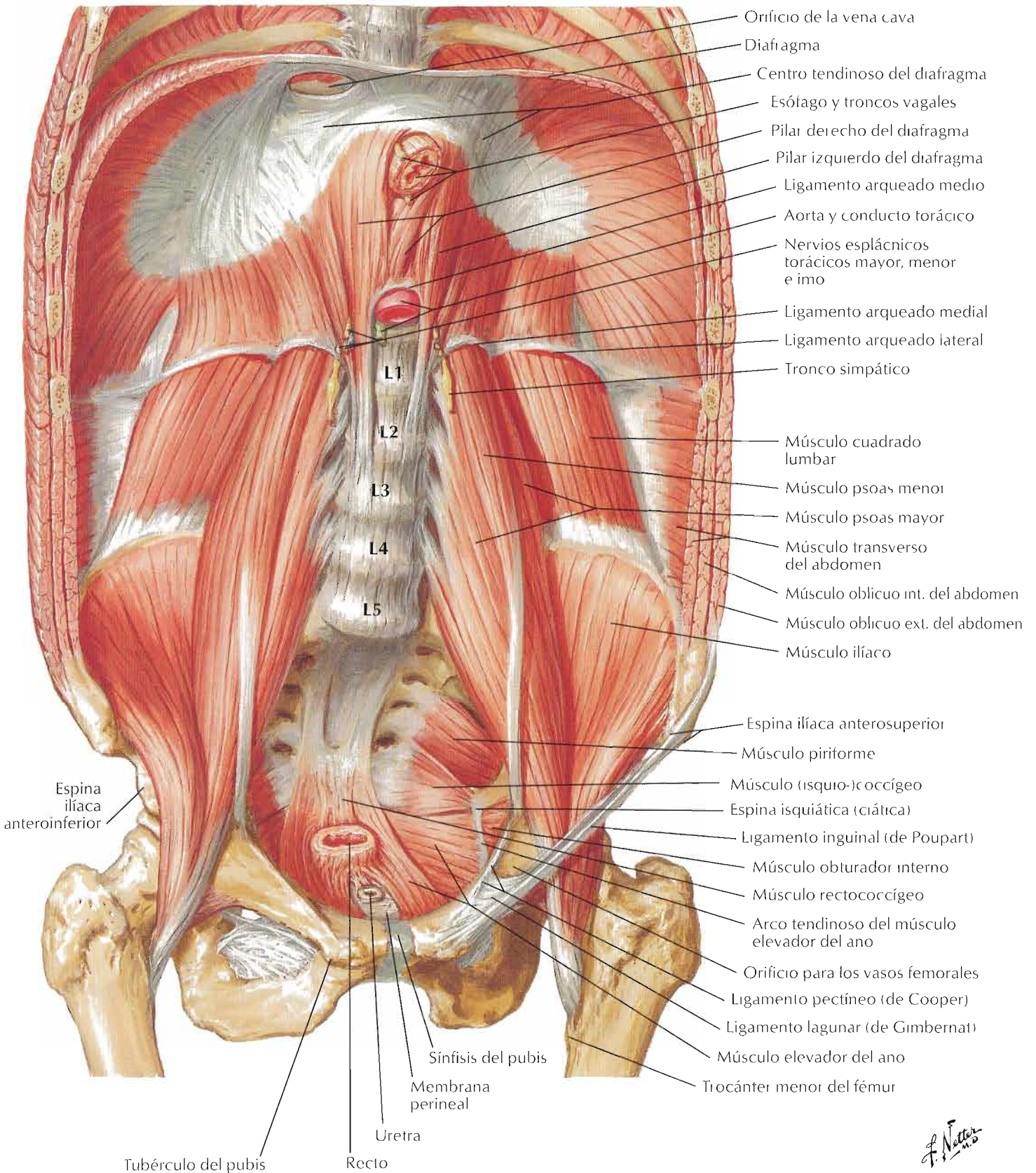




Vaina femoral y conducto inguinal

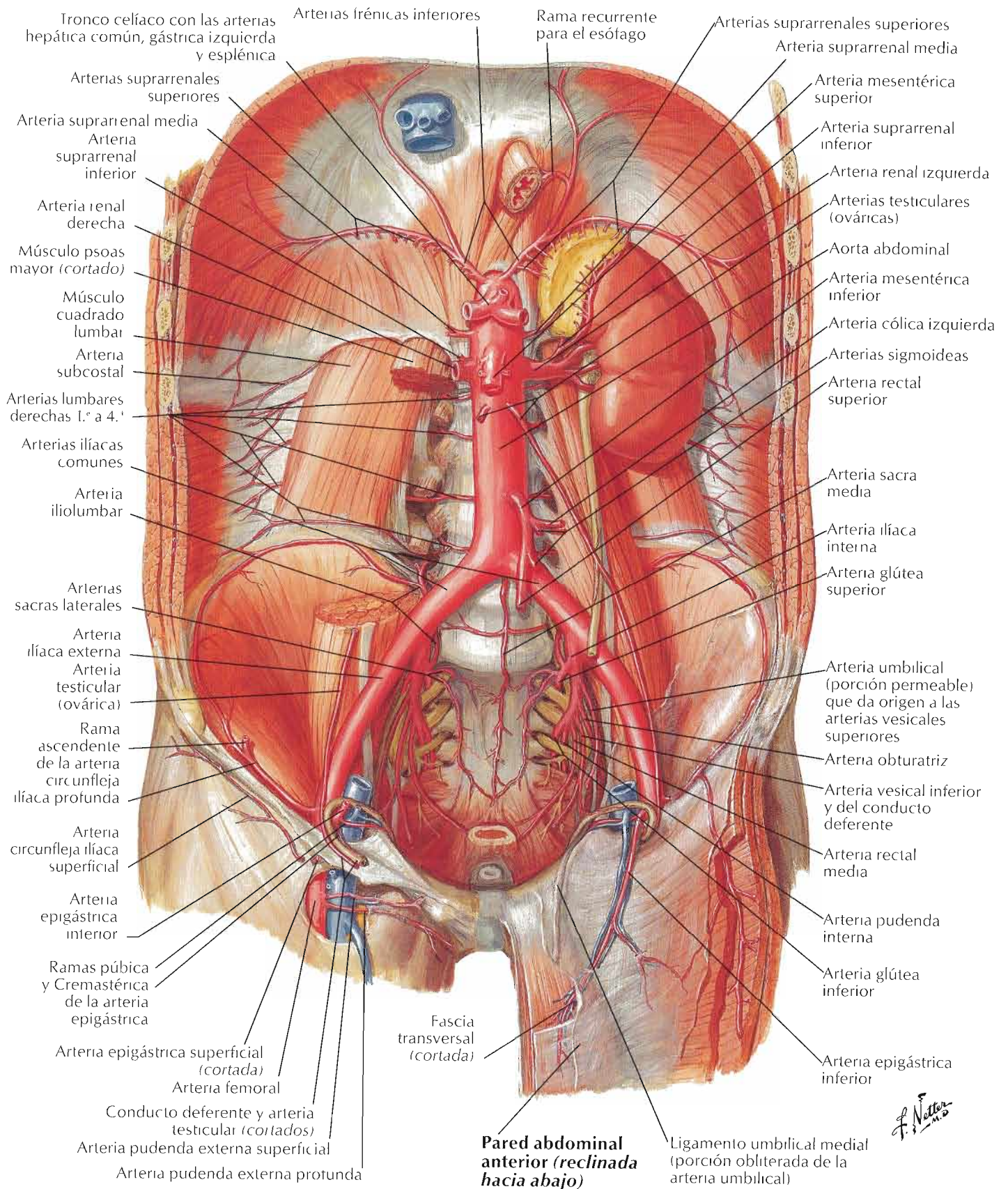


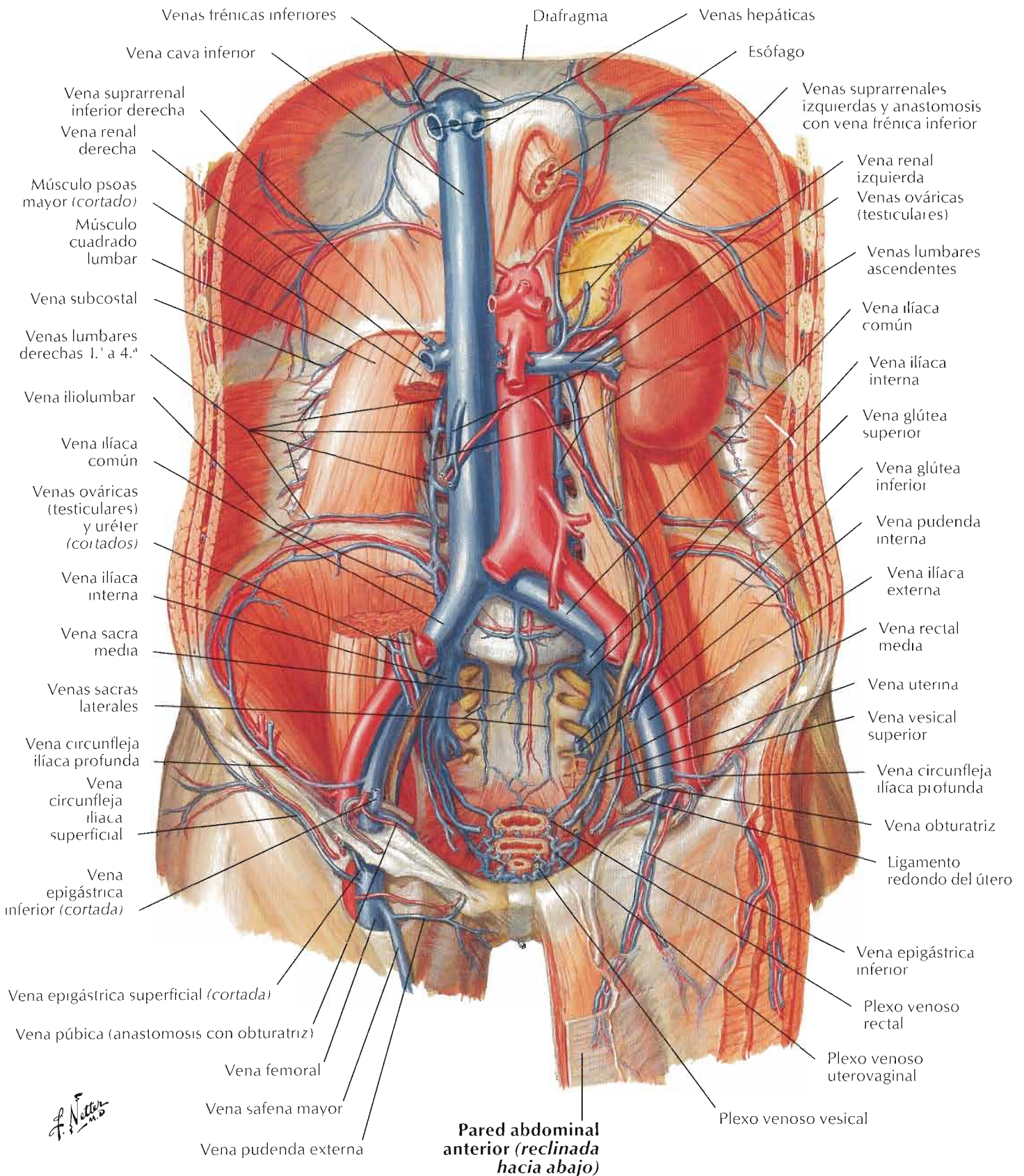
Para el diafragma véase también lámina 195



F. Netter M.D.

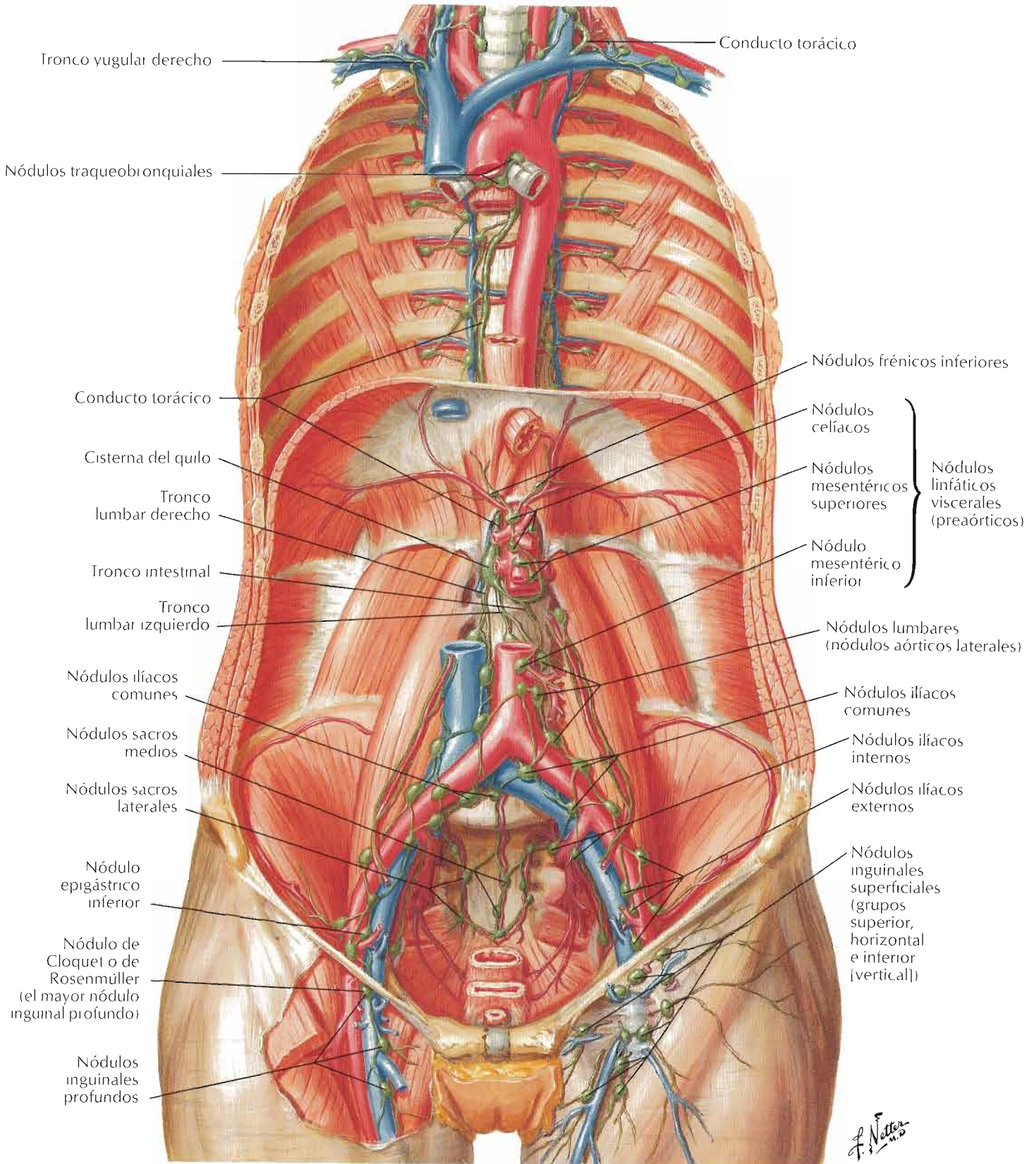
Arterias de la pared abdominal posterior

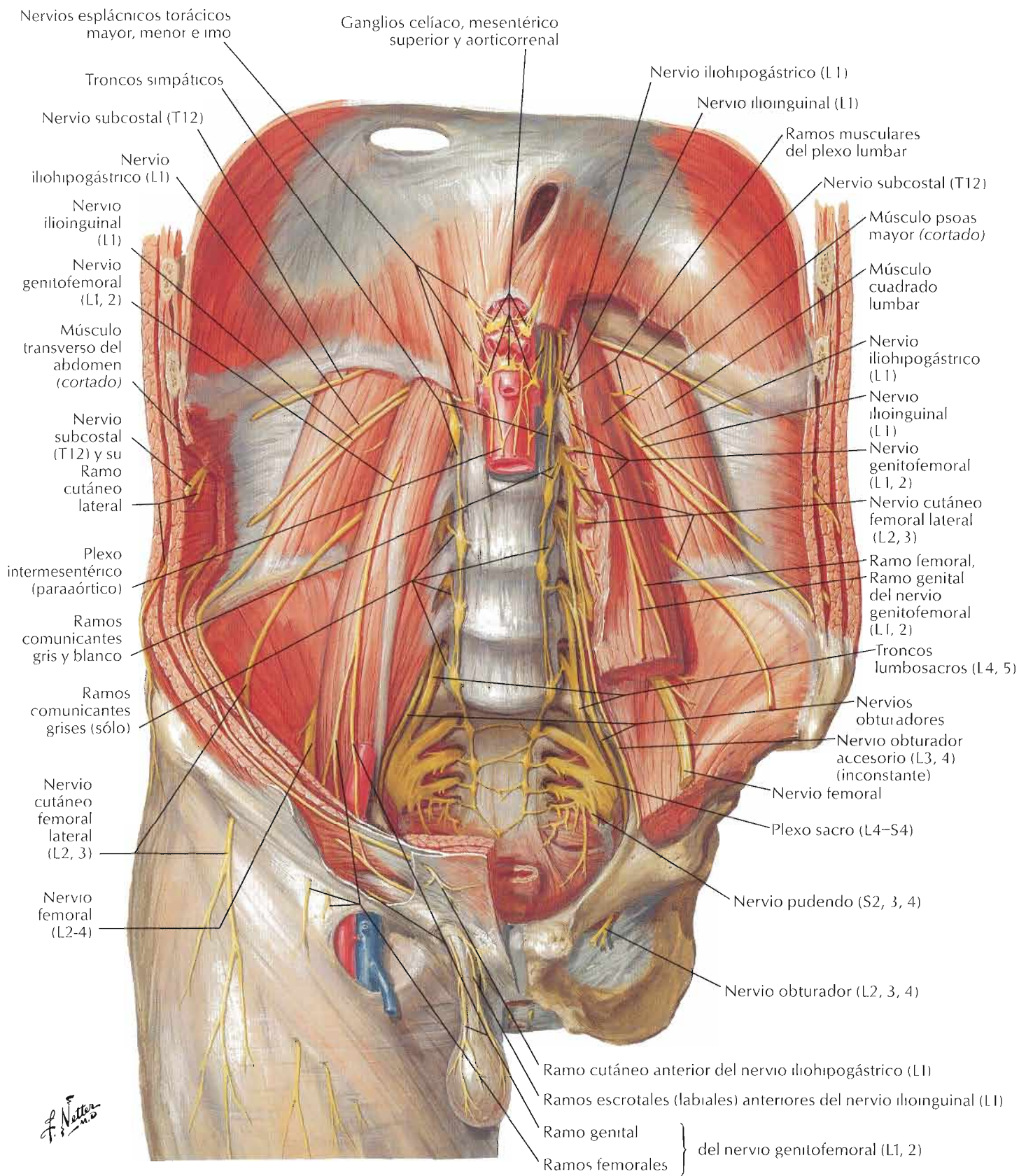


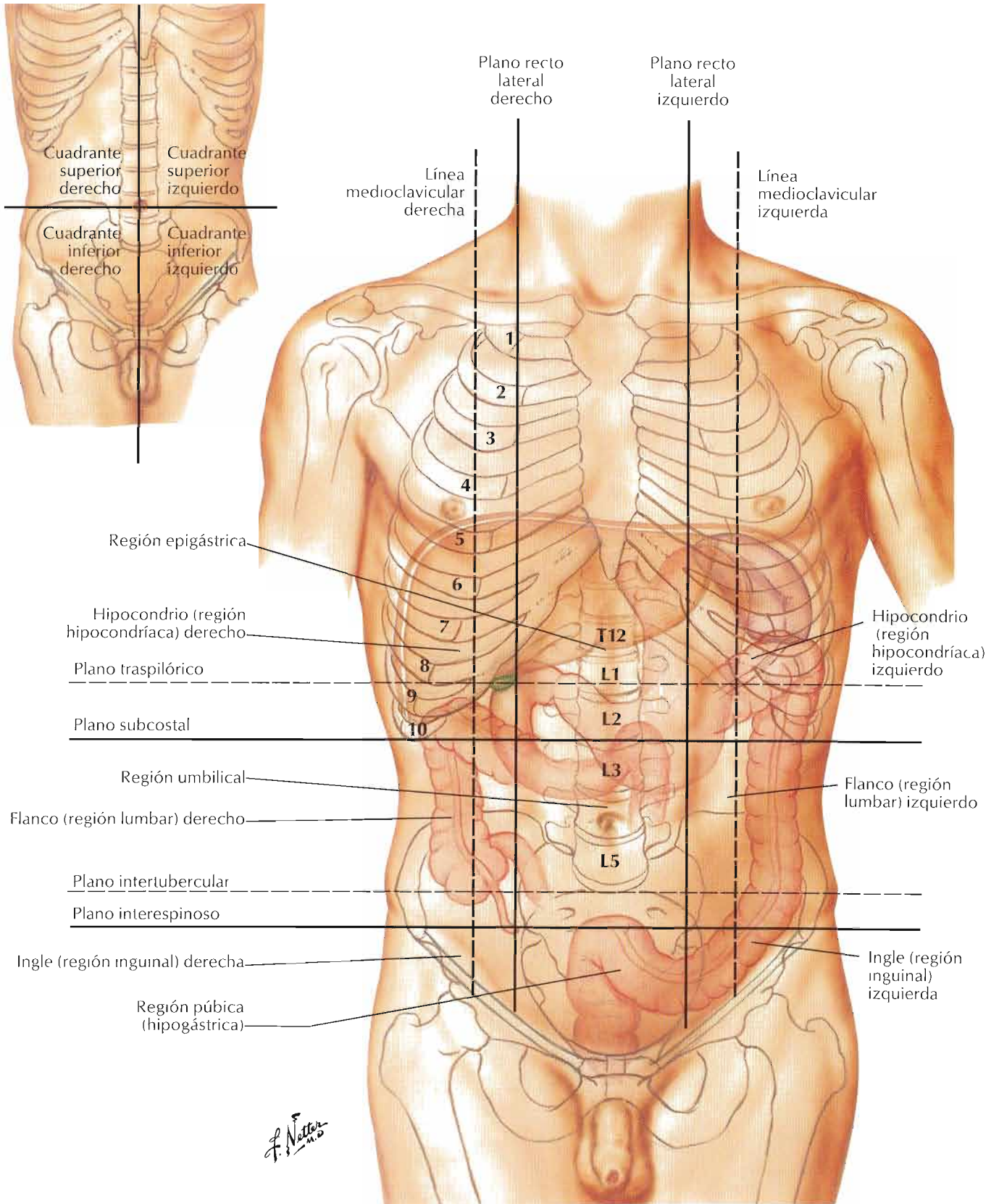


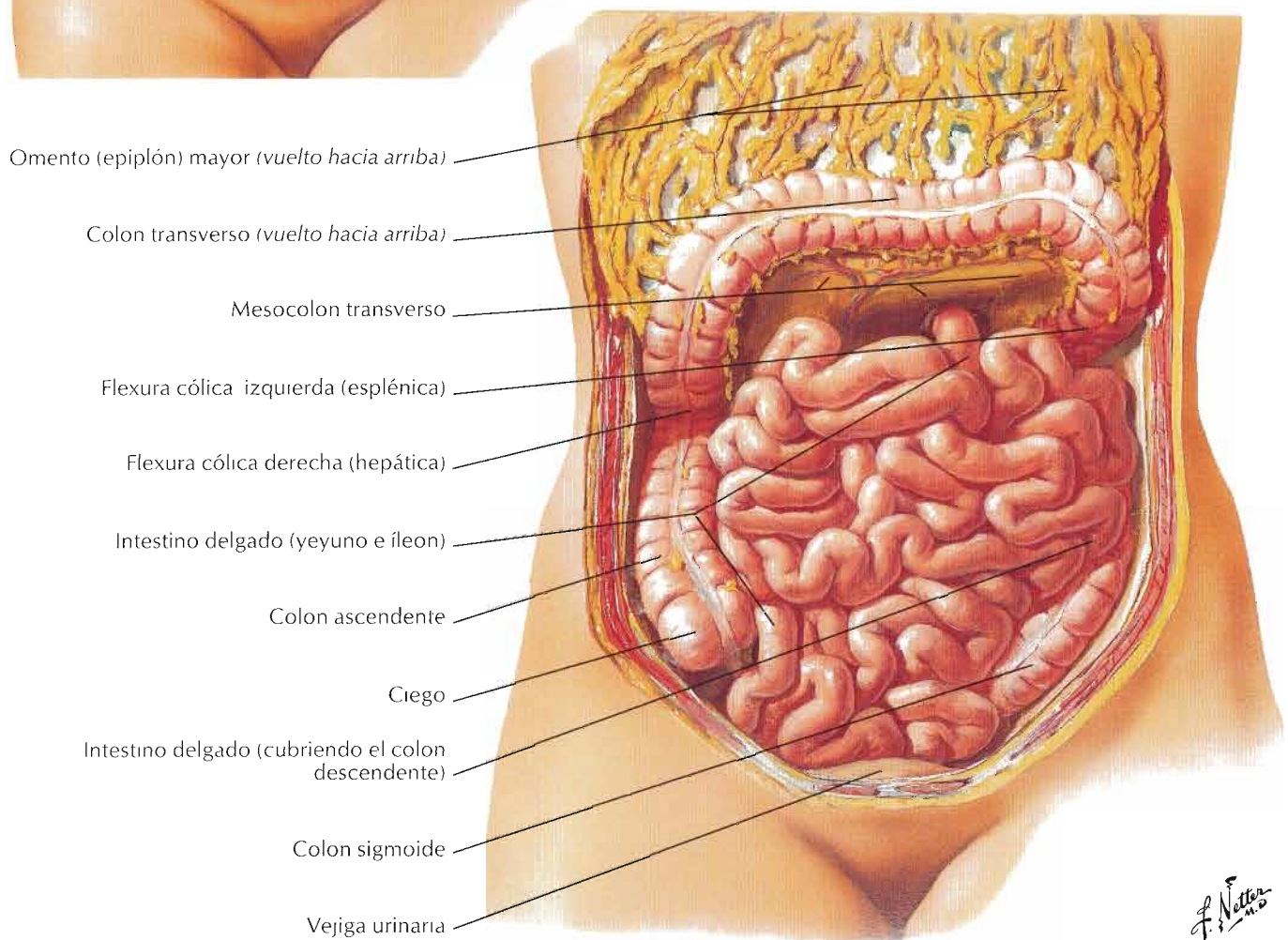
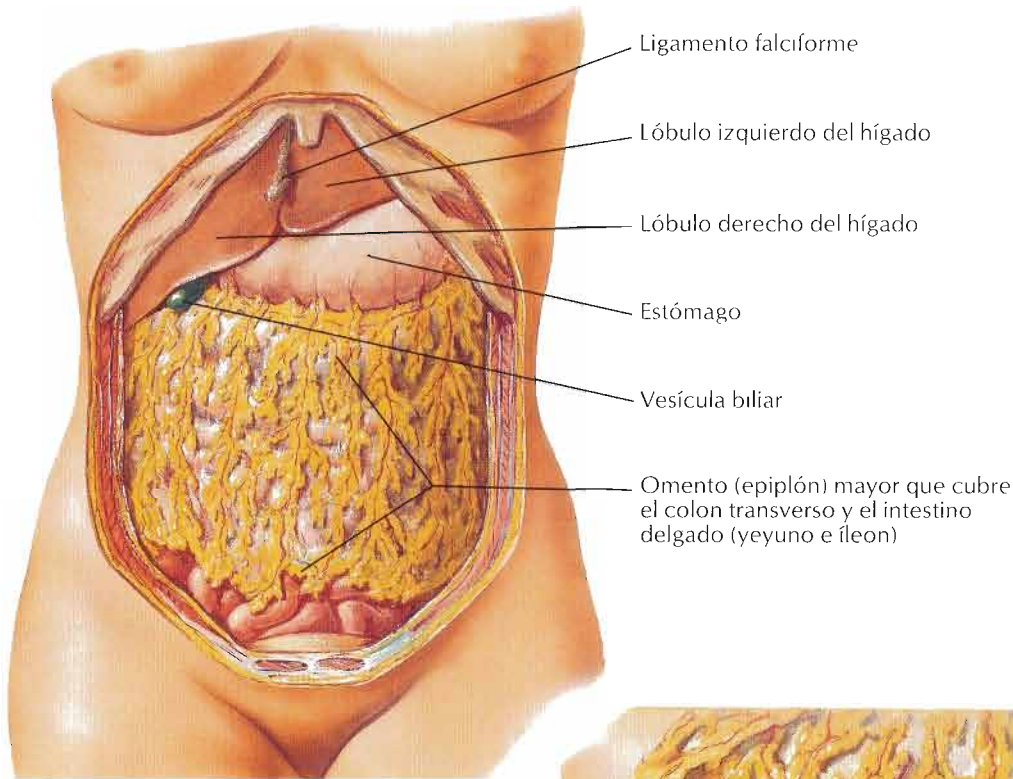
F. Netter

Véase también lámina 407

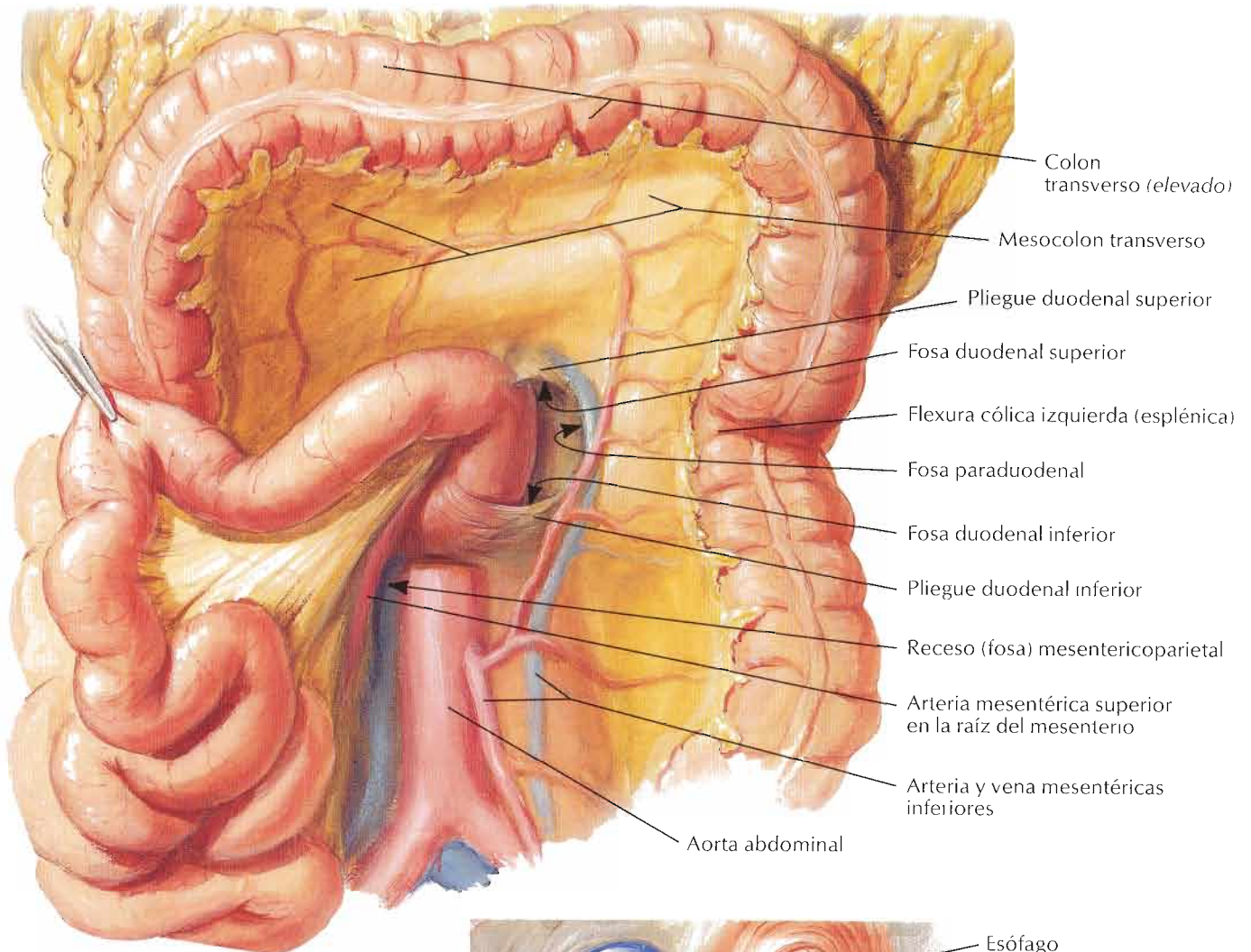




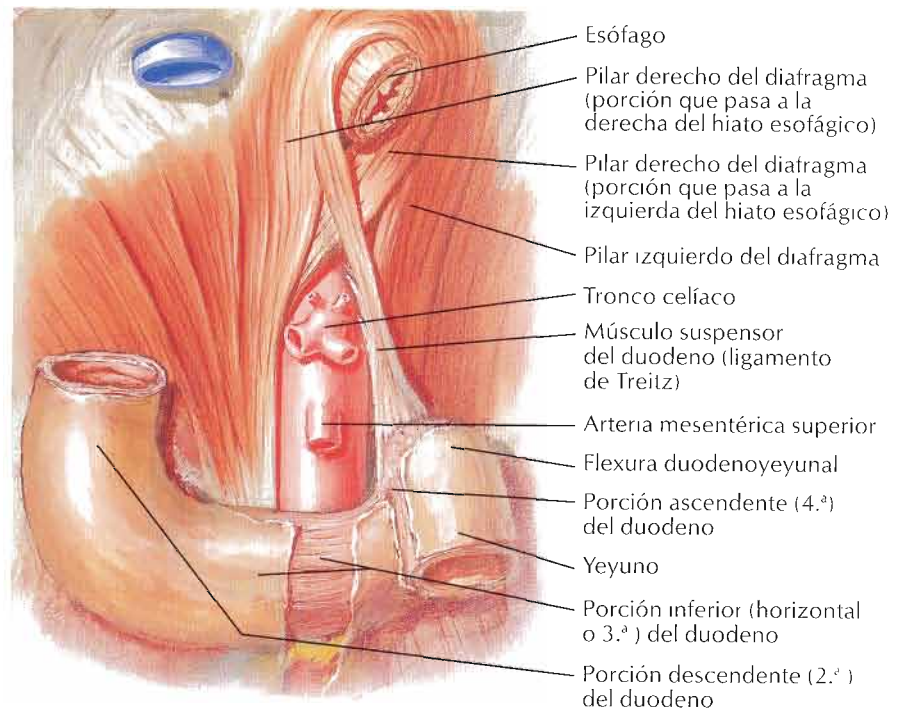




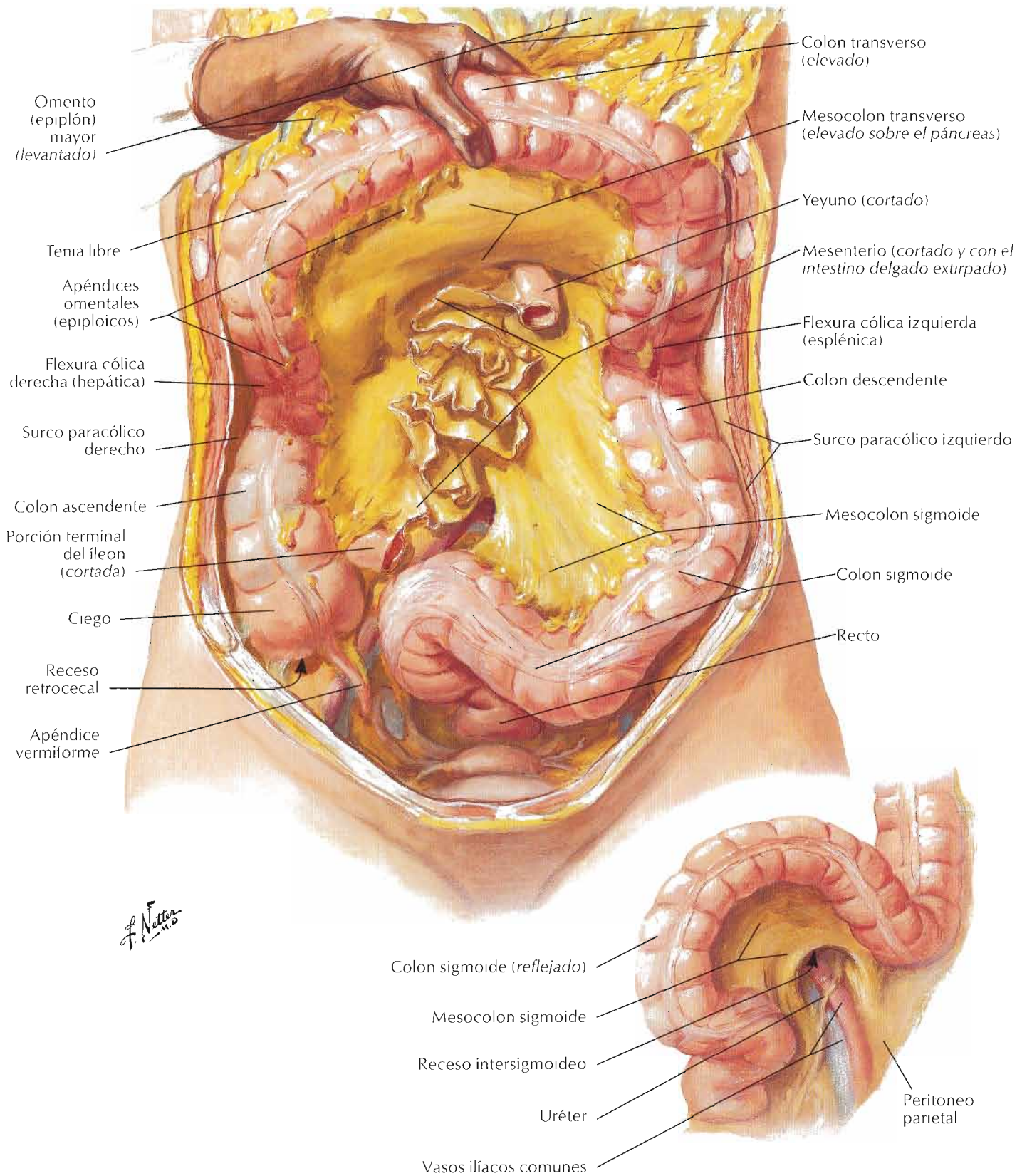
F. Netter M.D.



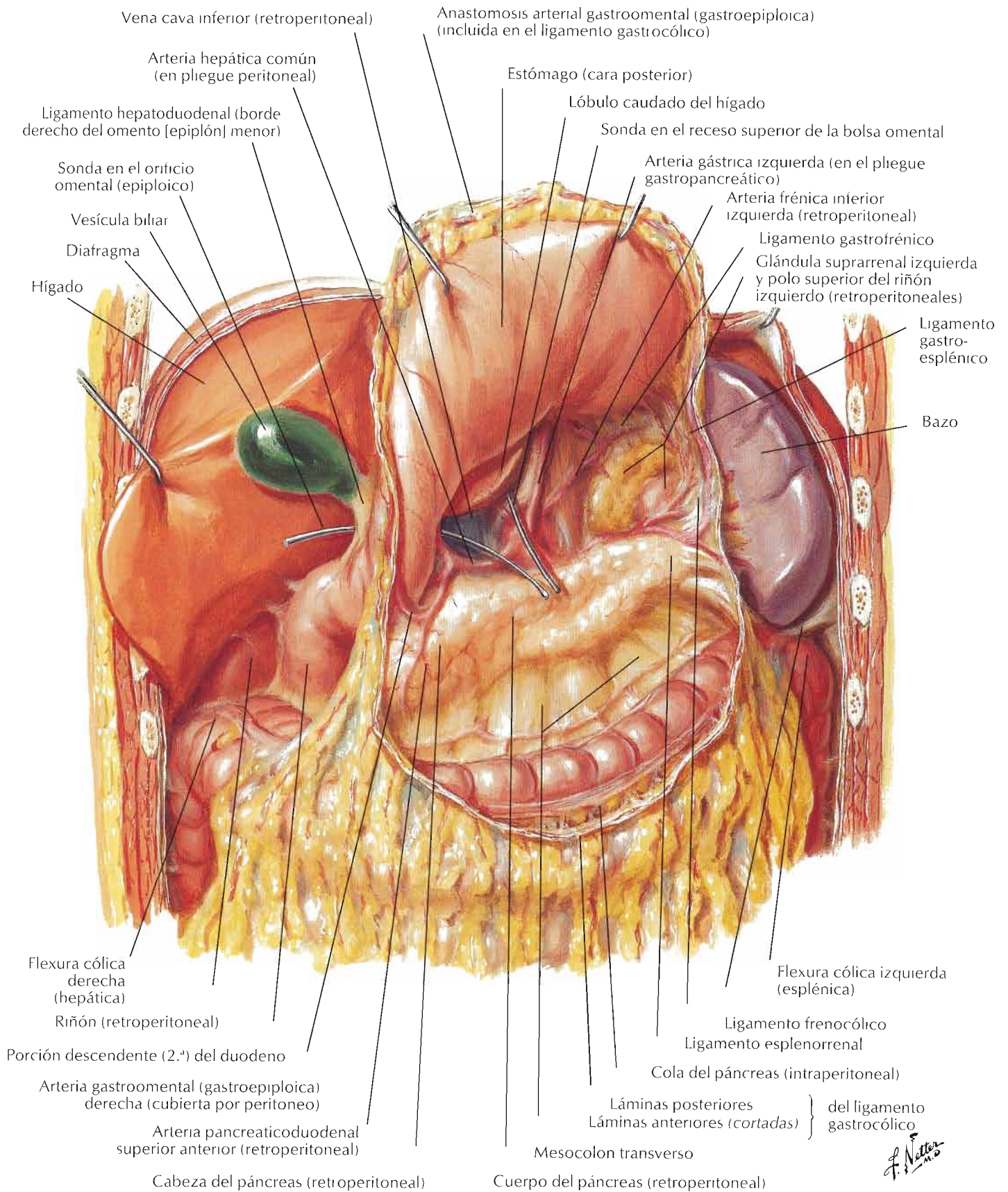
Exposición del músculo suspensor del duodeno (ligamento de Treitz)

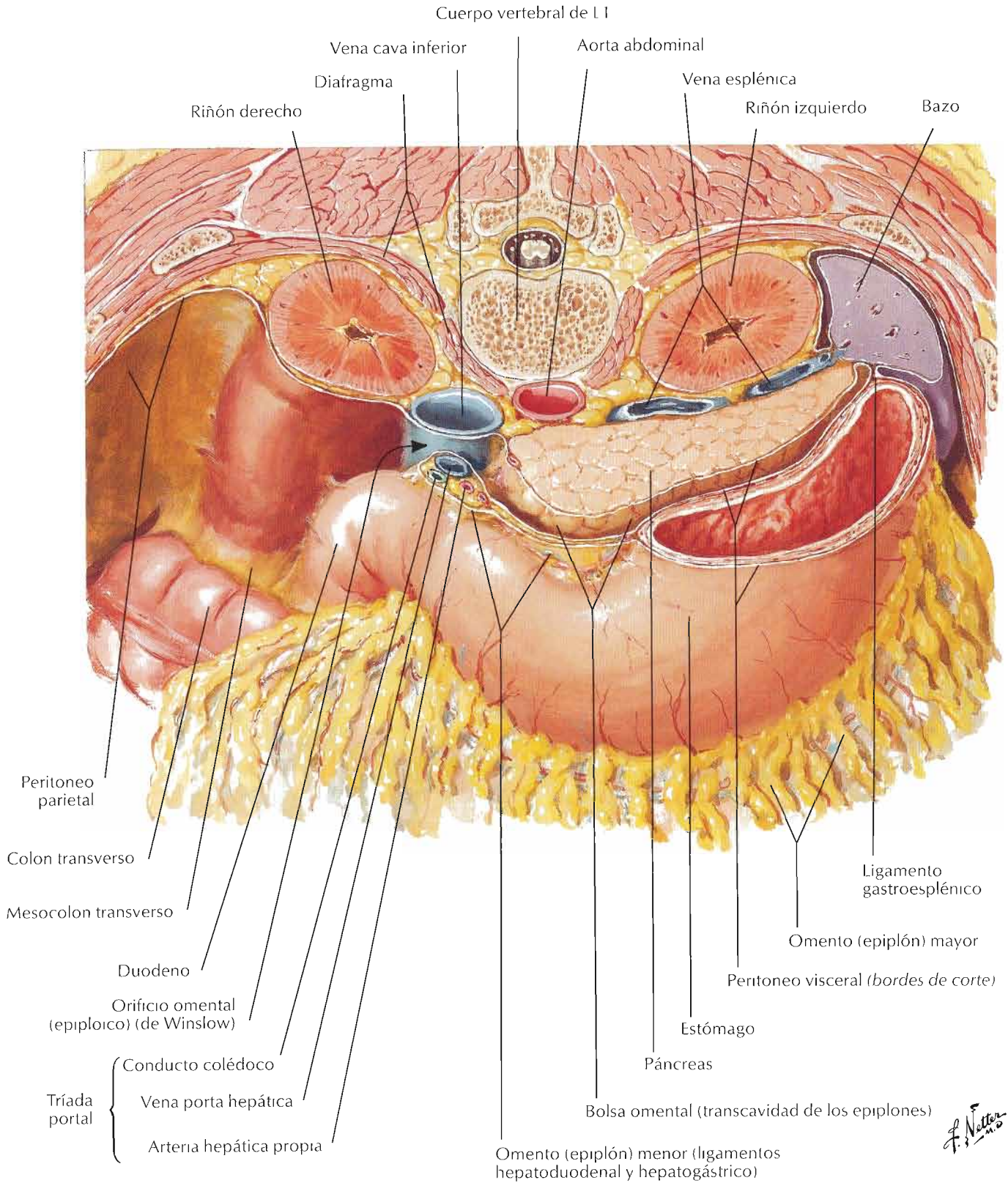


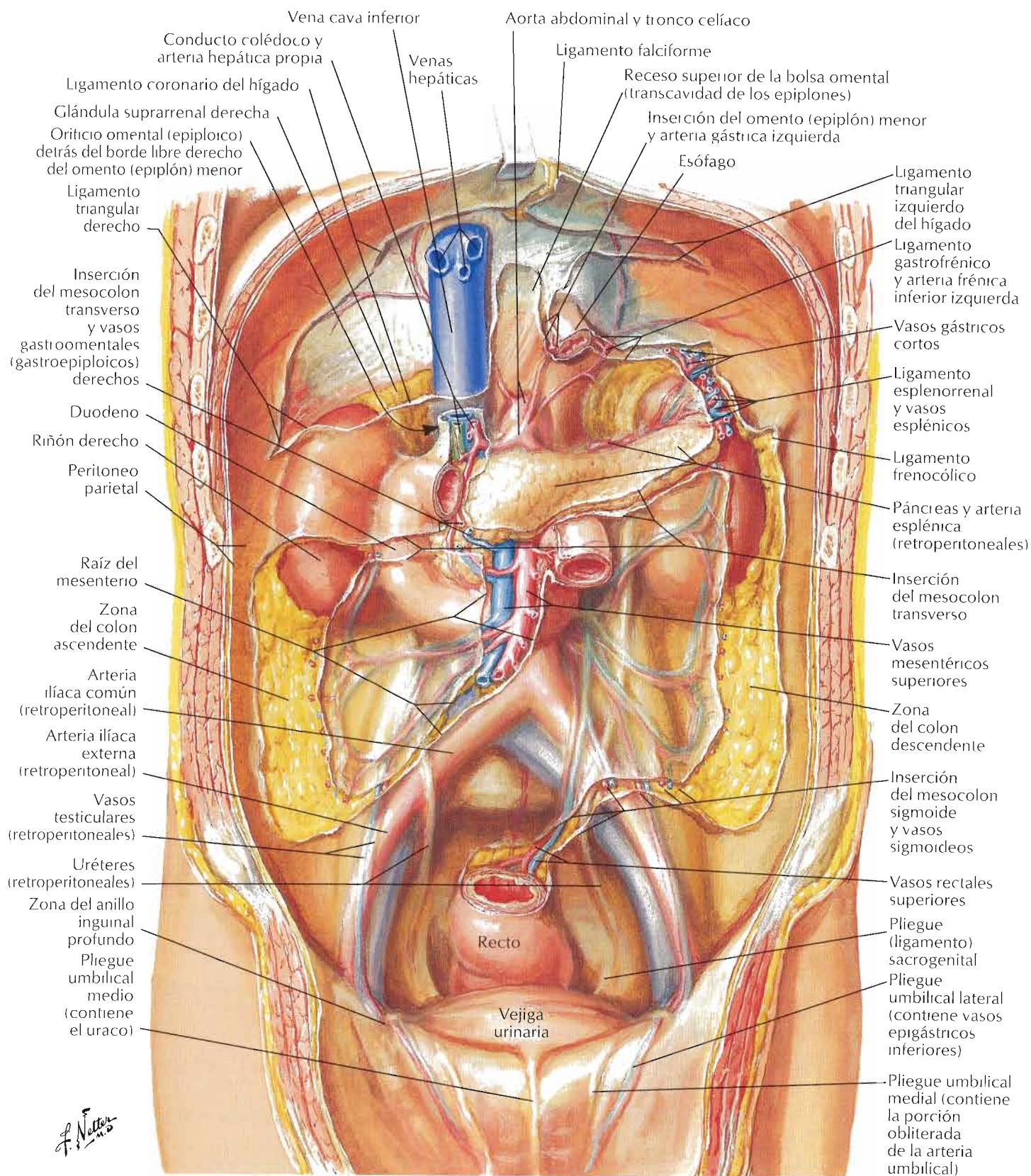
F. Netter M.D.

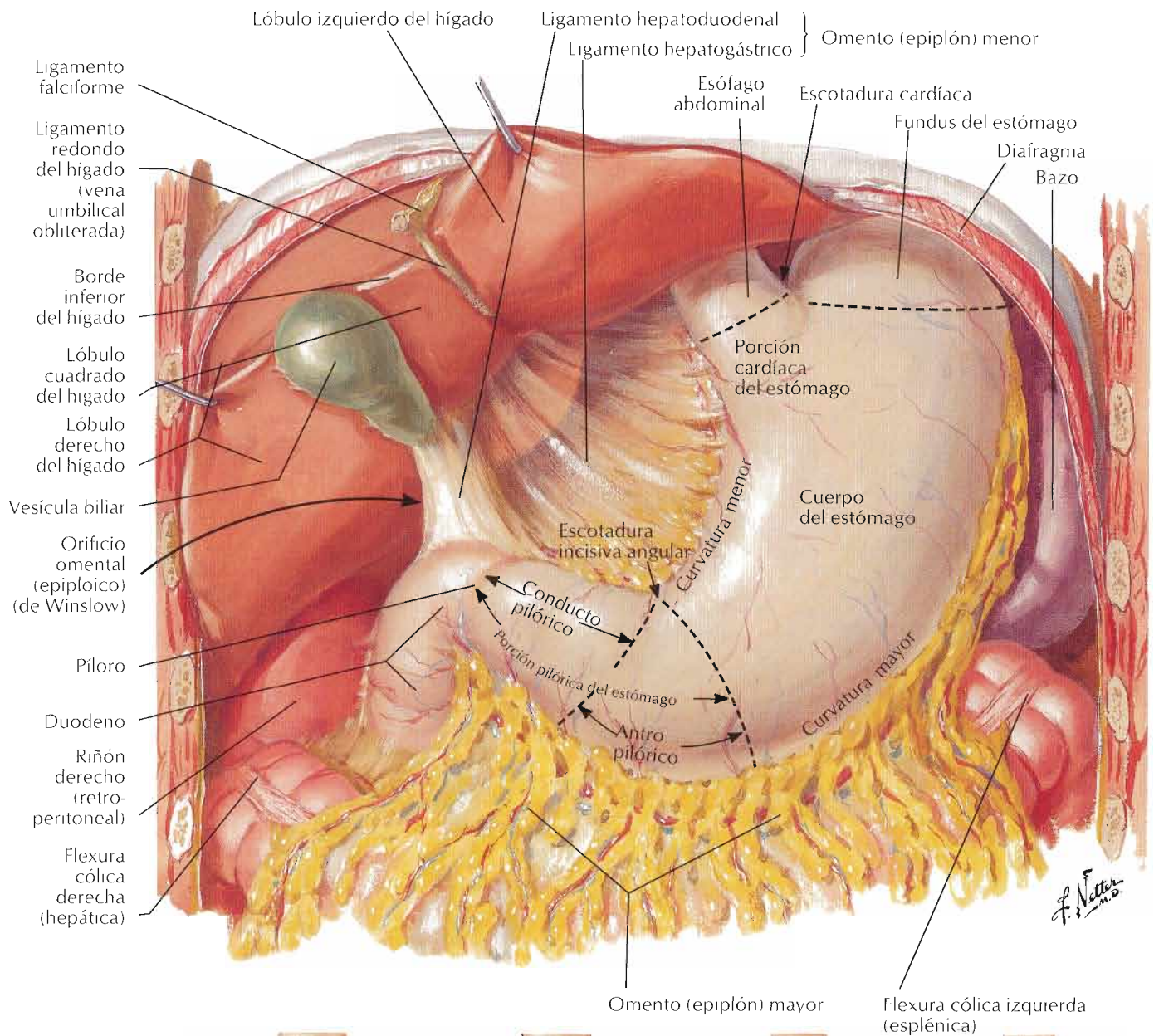


Bolsa omental: estómago reflejado

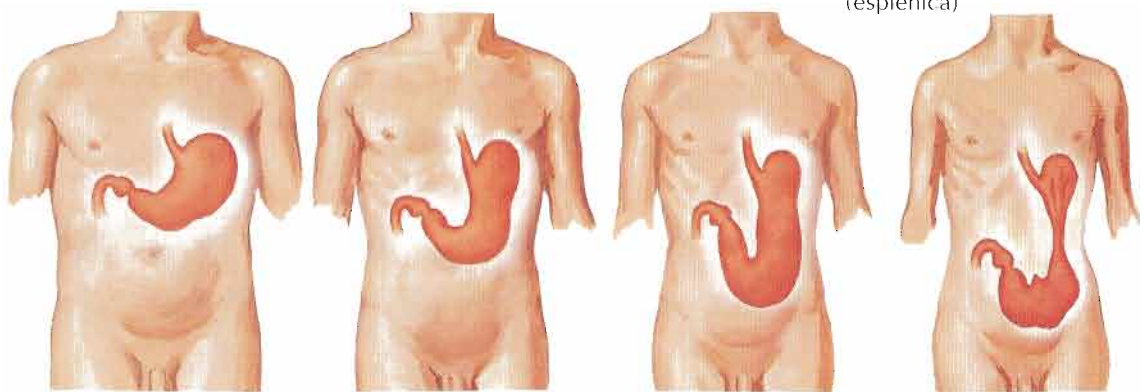








Variaciones en la posición y contorno del estómago en relación con el hábito corporal



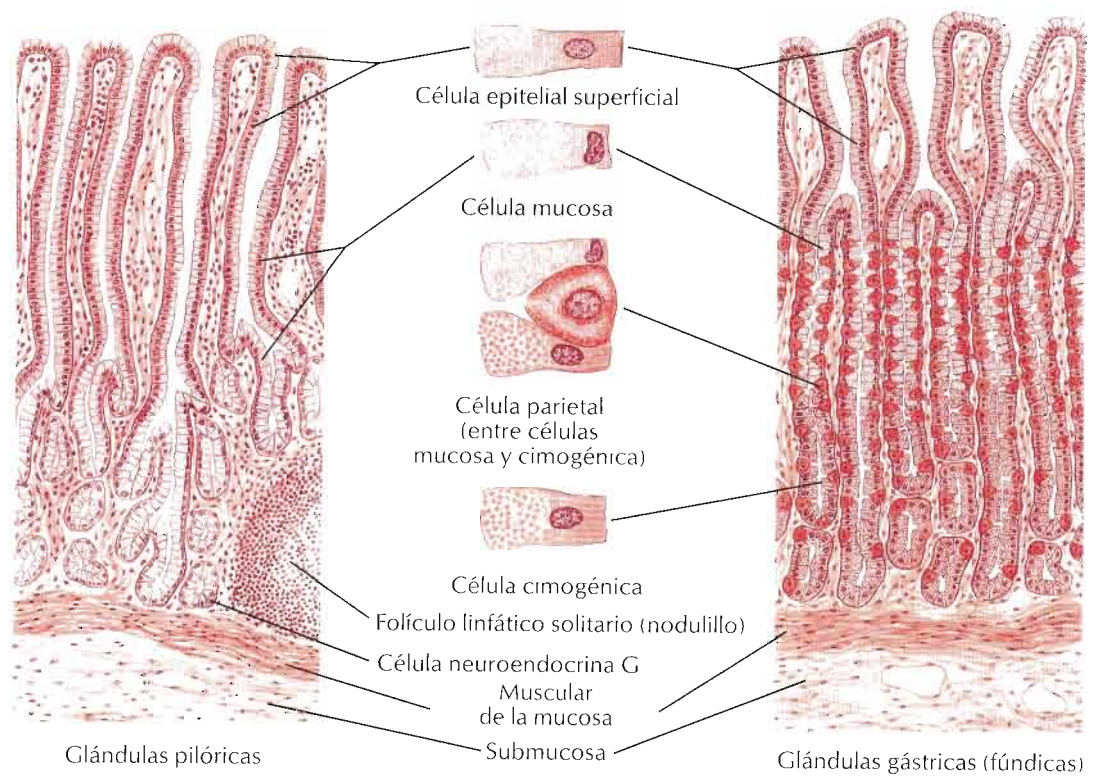
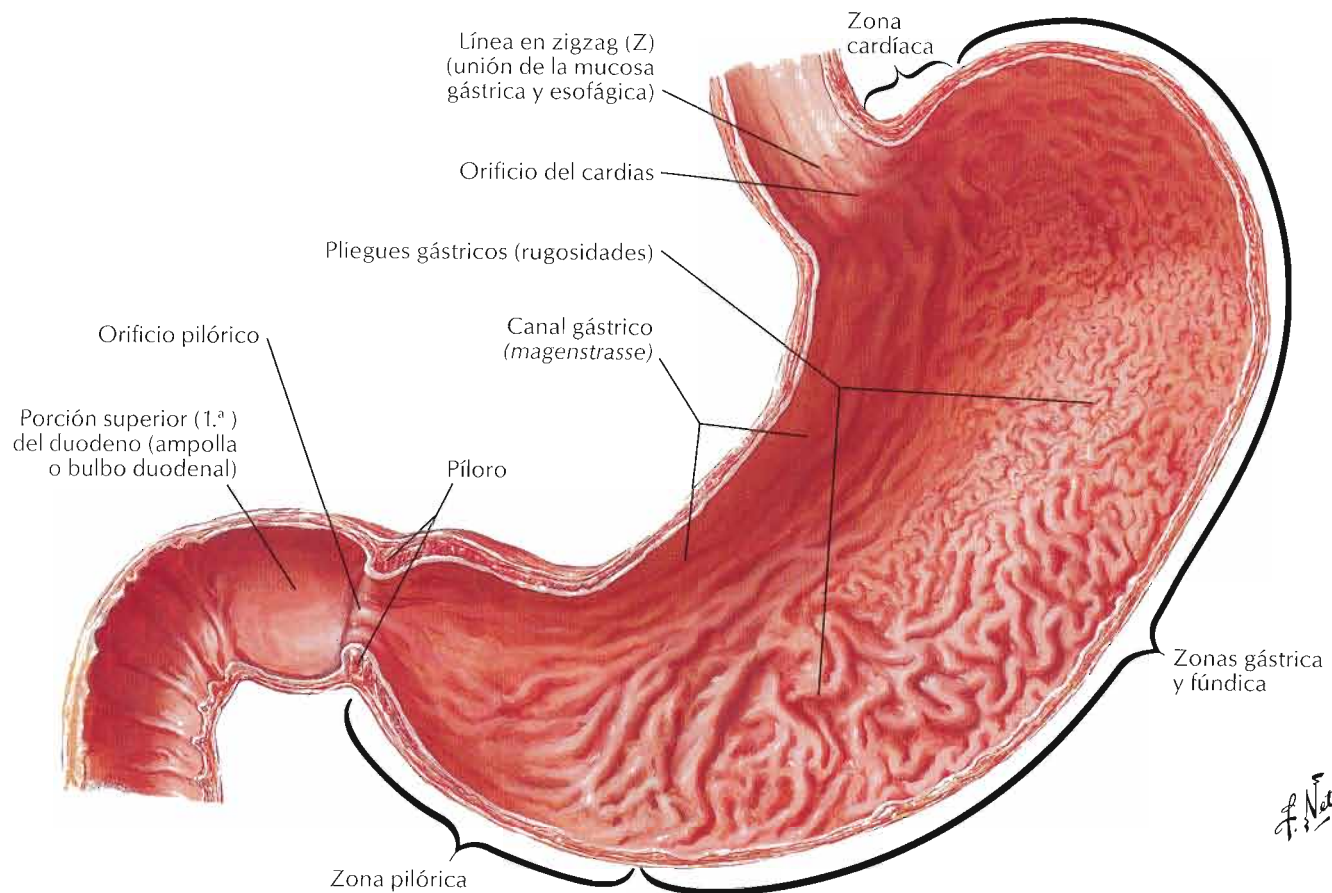
Estómago hipertónico

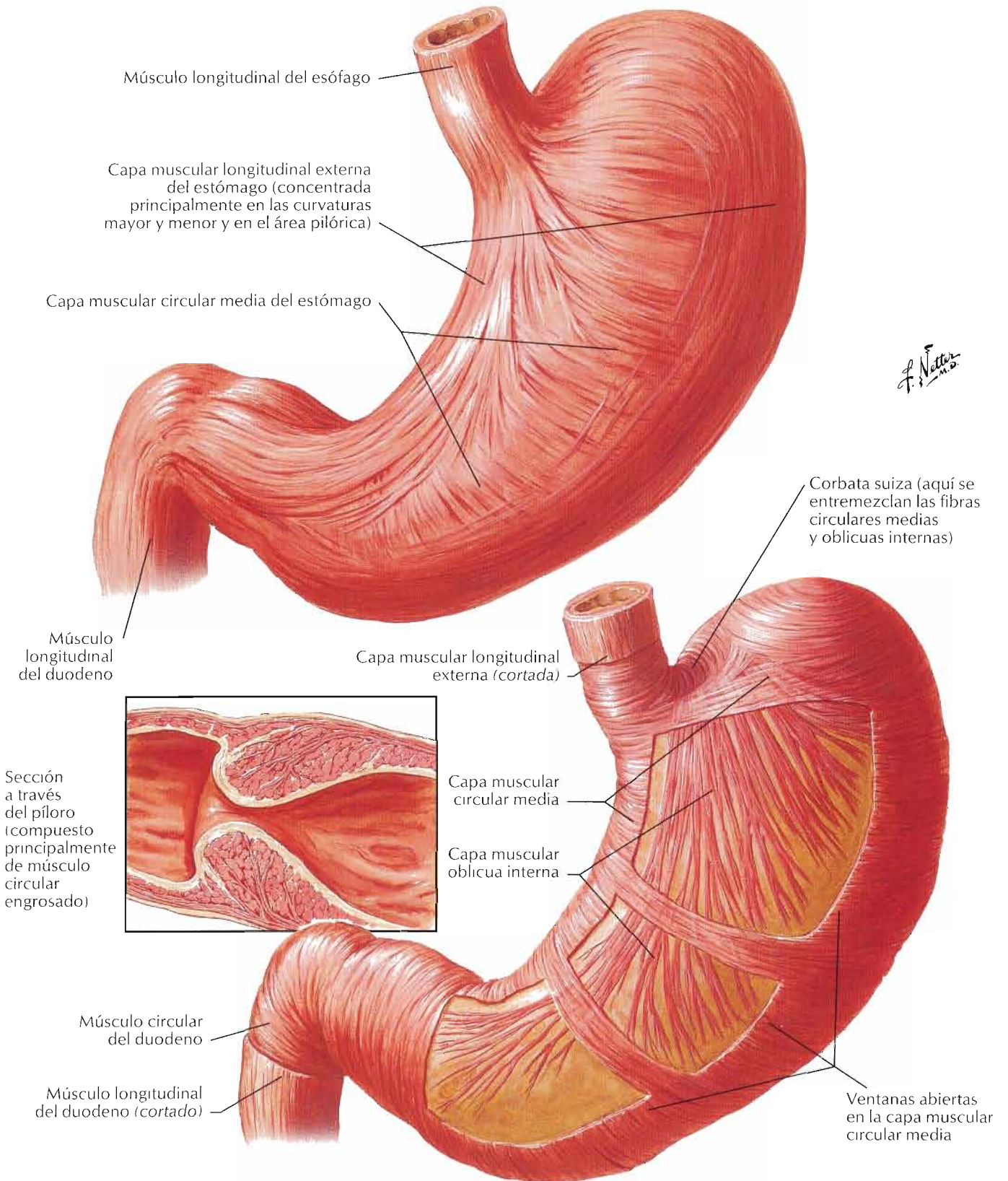
Estómago ortotónico

Estómago hipotónico

Estómago atónico

Véase también lámina 236





Músculo longitudinal del esófago

Capa muscular longitudinal externa del estómago (concentrada principalmente en las curvaturas mayor y menor y en el área pilórica)

Capa muscular circular media del estómago

F. Netter M.D.

Corbata suiza (aquí se entremezclan las fibras circulares medias y oblicuas internas)

Músculo longitudinal del duodeno

Capa muscular longitudinal externa (cortada)

Sección a través del píloro (compuesto principalmente de músculo circular engrosado)

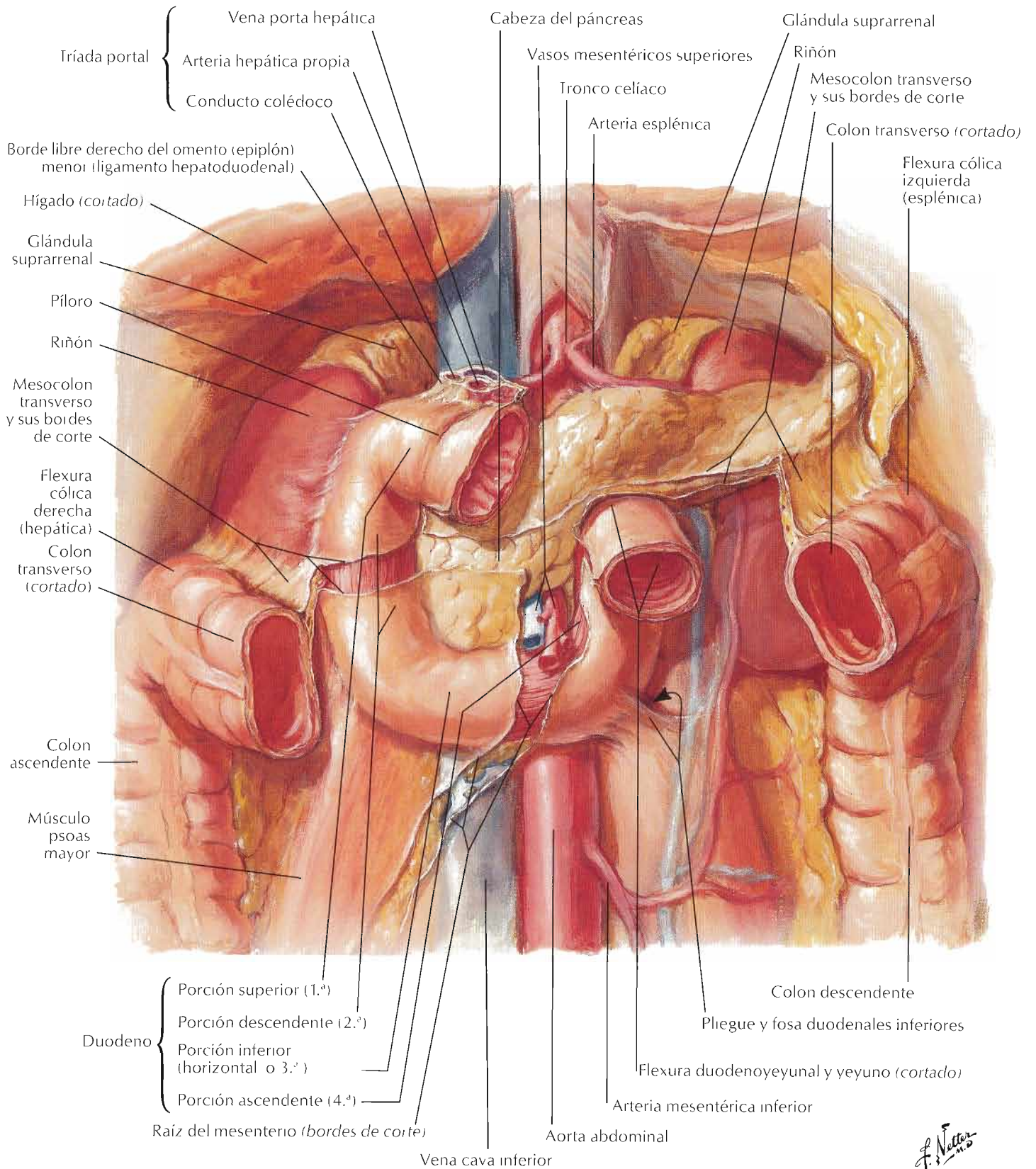
Capa muscular circular media

Capa muscular oblicua interna

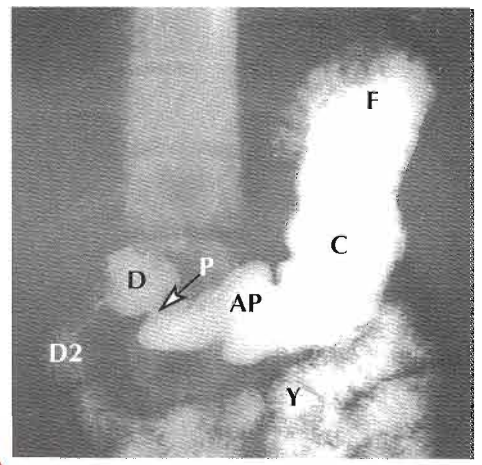
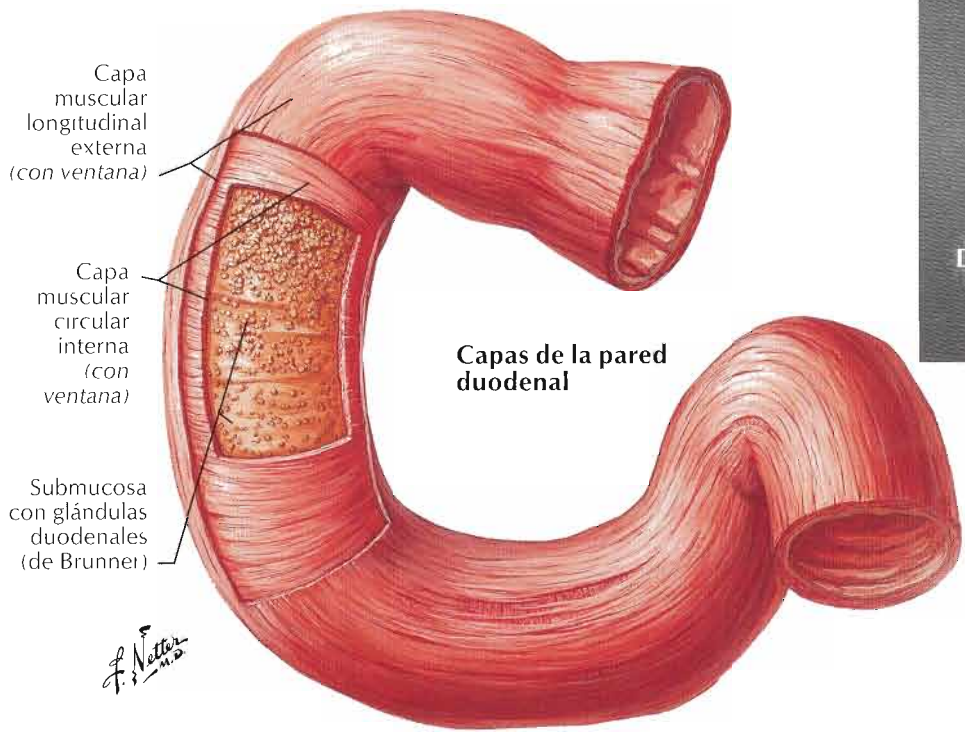
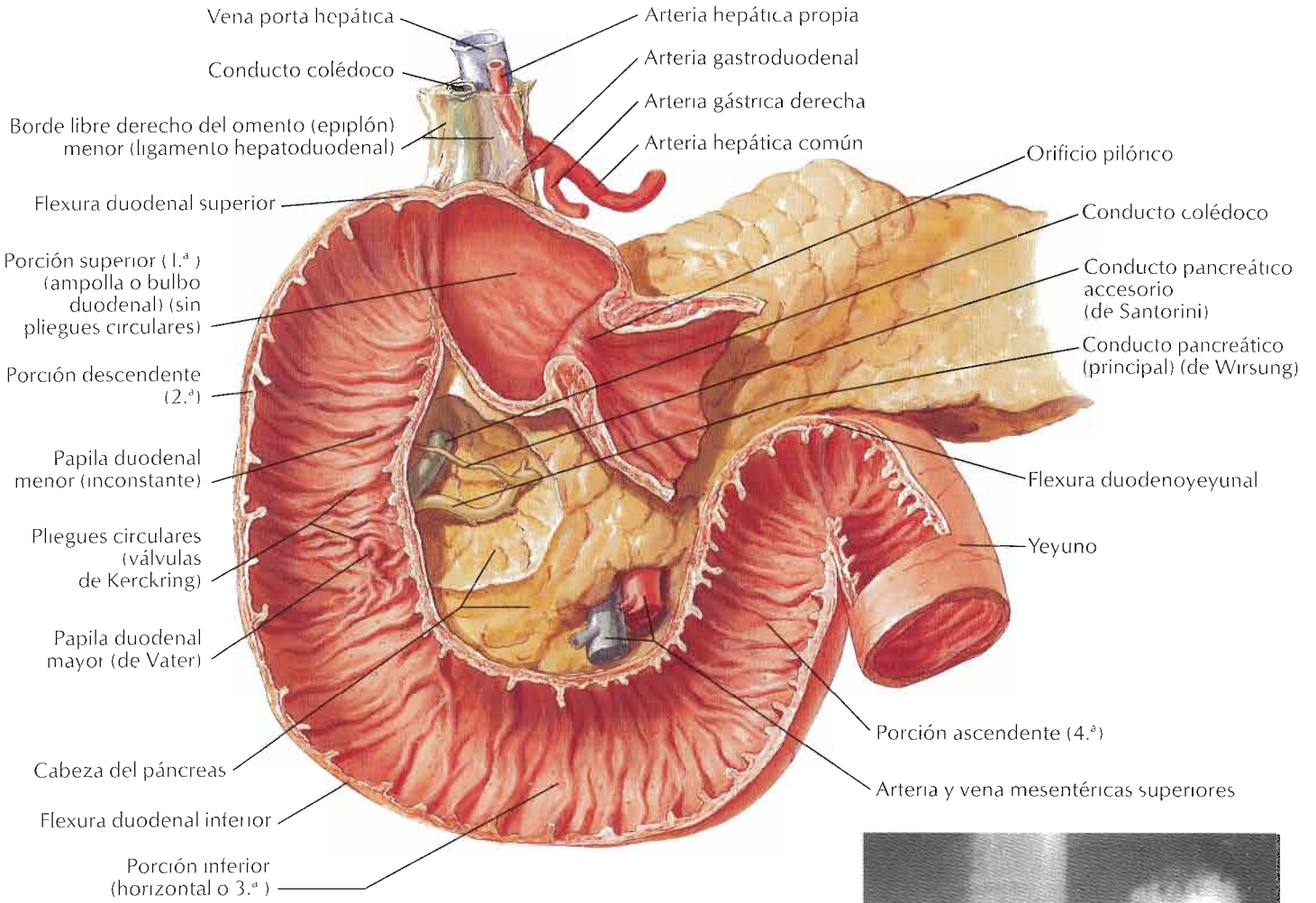
Músculo circular del duodeno

Músculo longitudinal del duodeno (cortado)

Ventanas abiertas en la capa muscular circular media



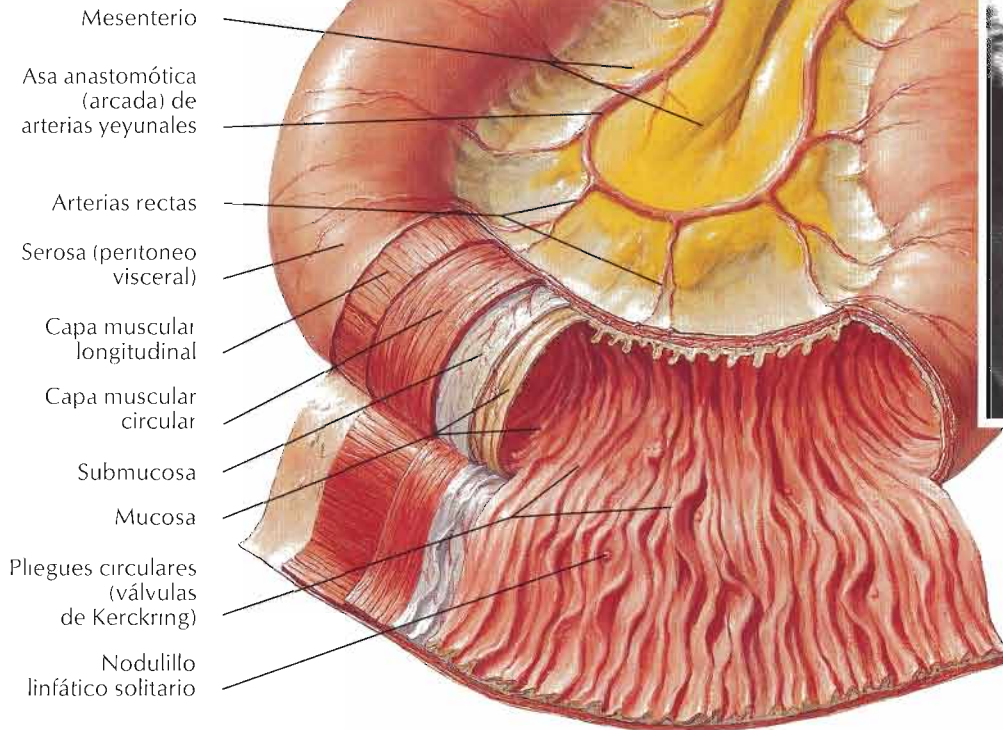
F. Netter M.D.



Radiografía con contraste baritado del estómago, duodeno y yeyuno proximal

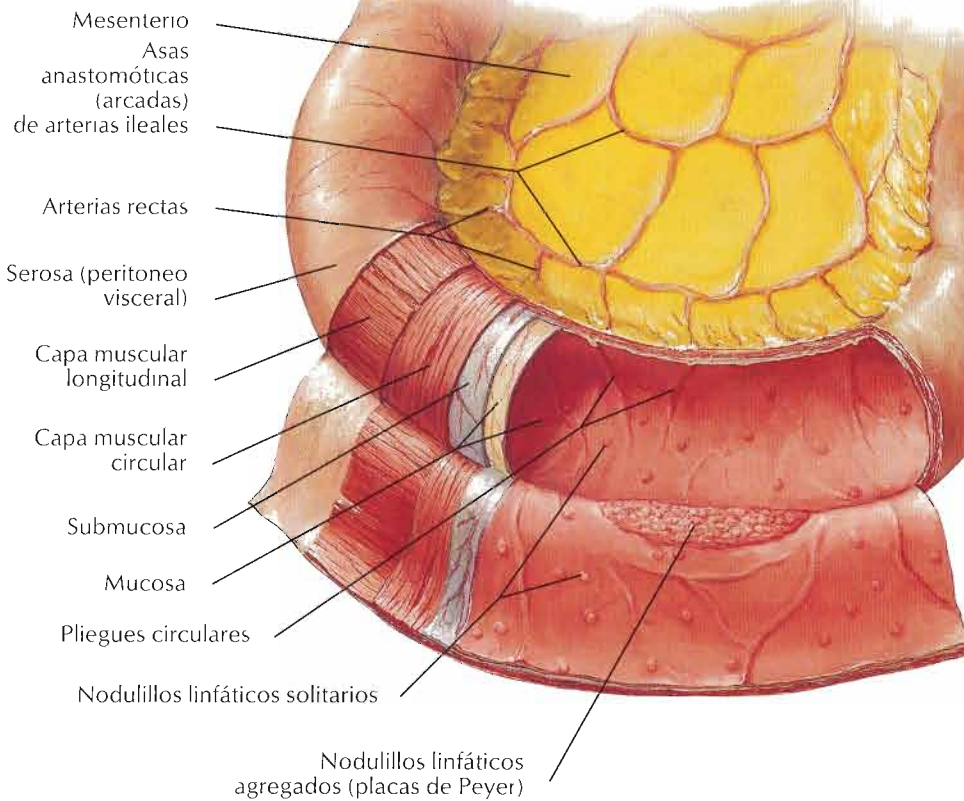
- AP Antro pilórico
- C Cuerpo del estómago
- D Ampolla duodenal (1.ª porción)
- D2 Porción descendente (2.ª) del duodeno
- F Fundus del estómago
- P Píloro
- Y Yeyuno proximal

Yeyuno



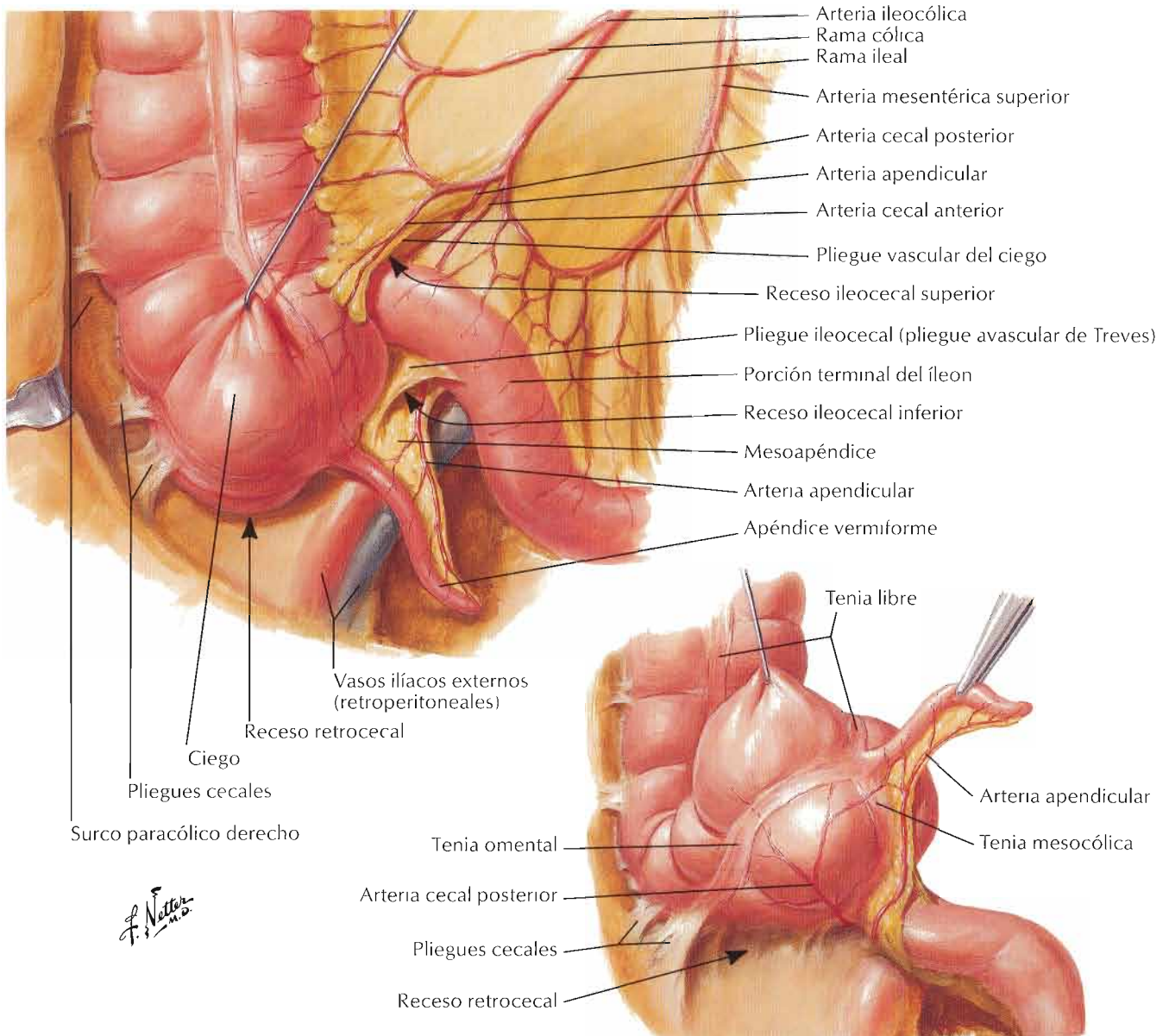
Radiografía con contraste de bario del yeyuno

Íleon



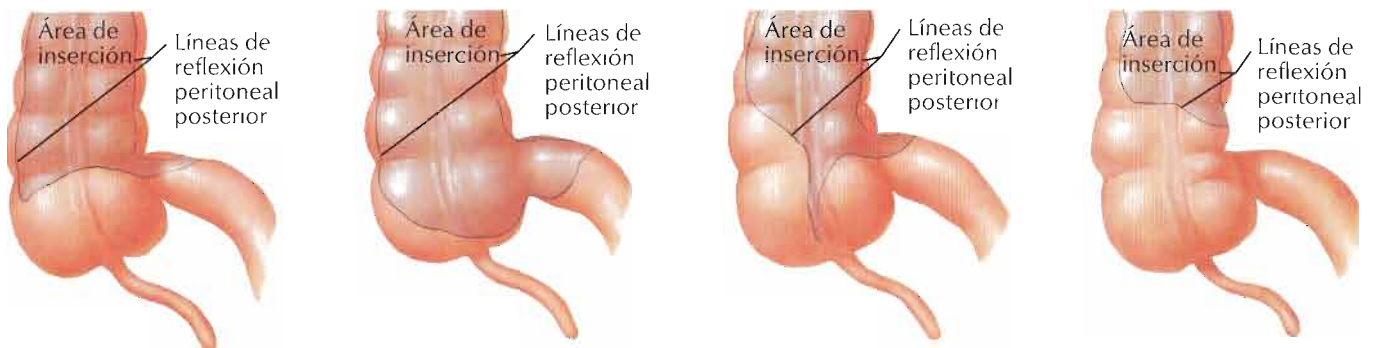
Radiografía con contraste de bario del íleon

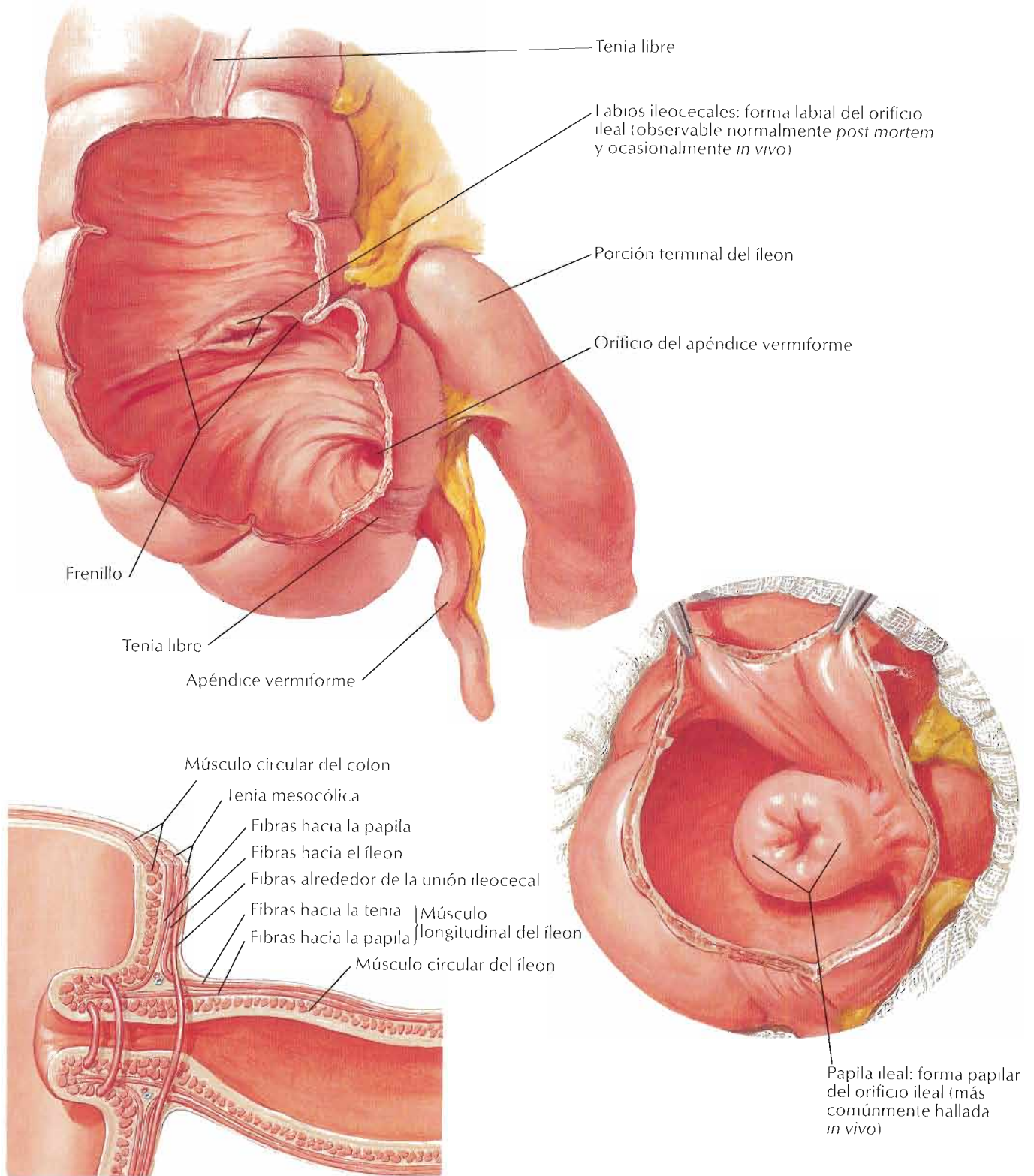
F. Netter



F. Netter

Algunas variaciones en la inserción peritoneal posterior al ciego

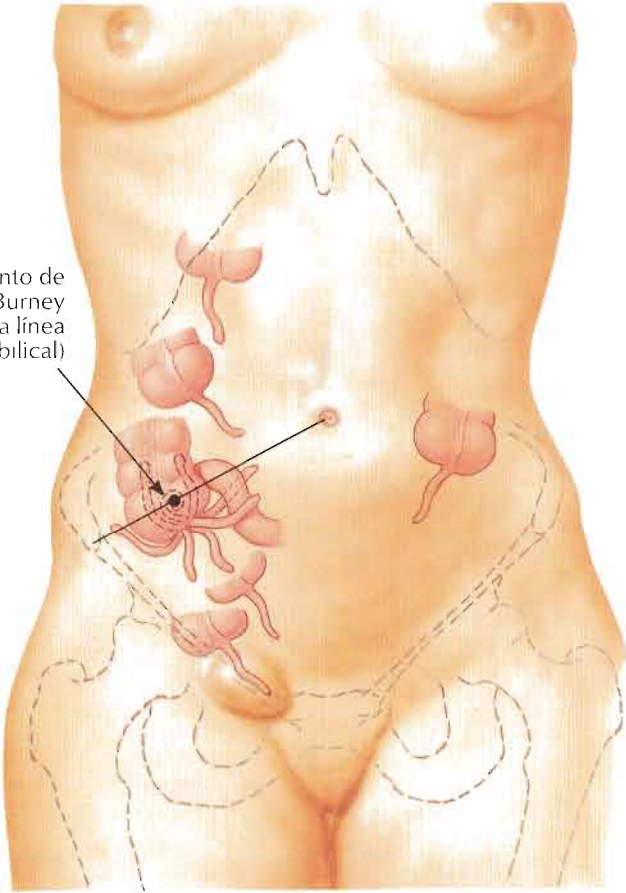




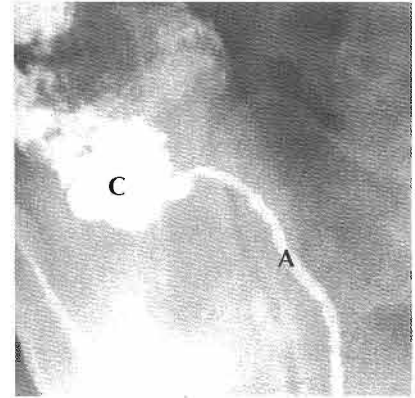
Esquema de las fibras musculares en el orificio ileal

F. Netter

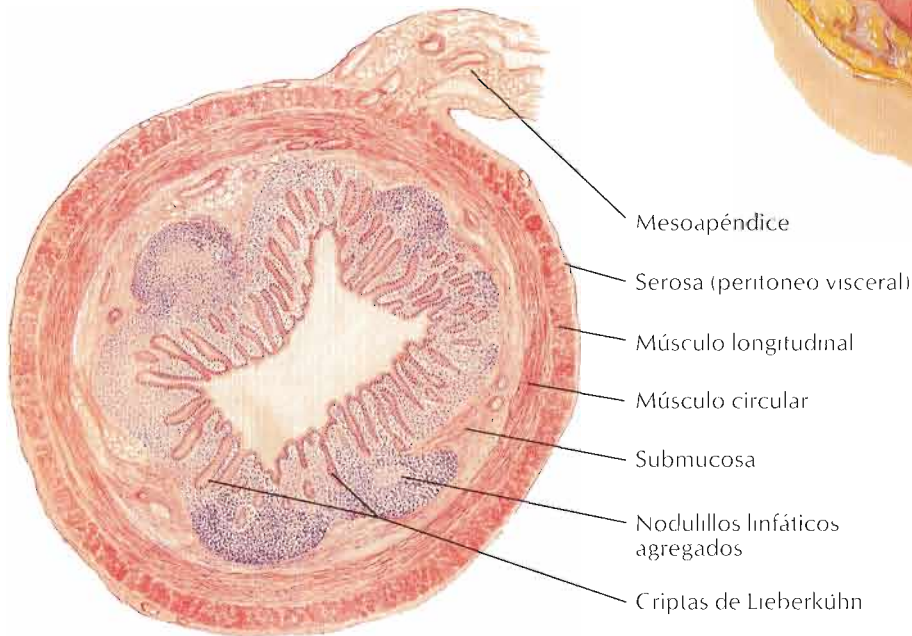
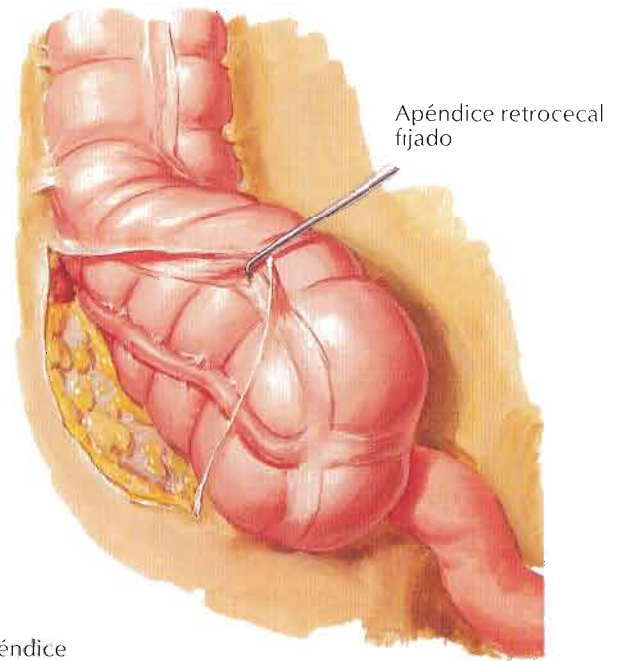
Punto de
McBurney
(sobre la línea
espinoumbilical)



Variaciones en la posición del apéndice vermiforme

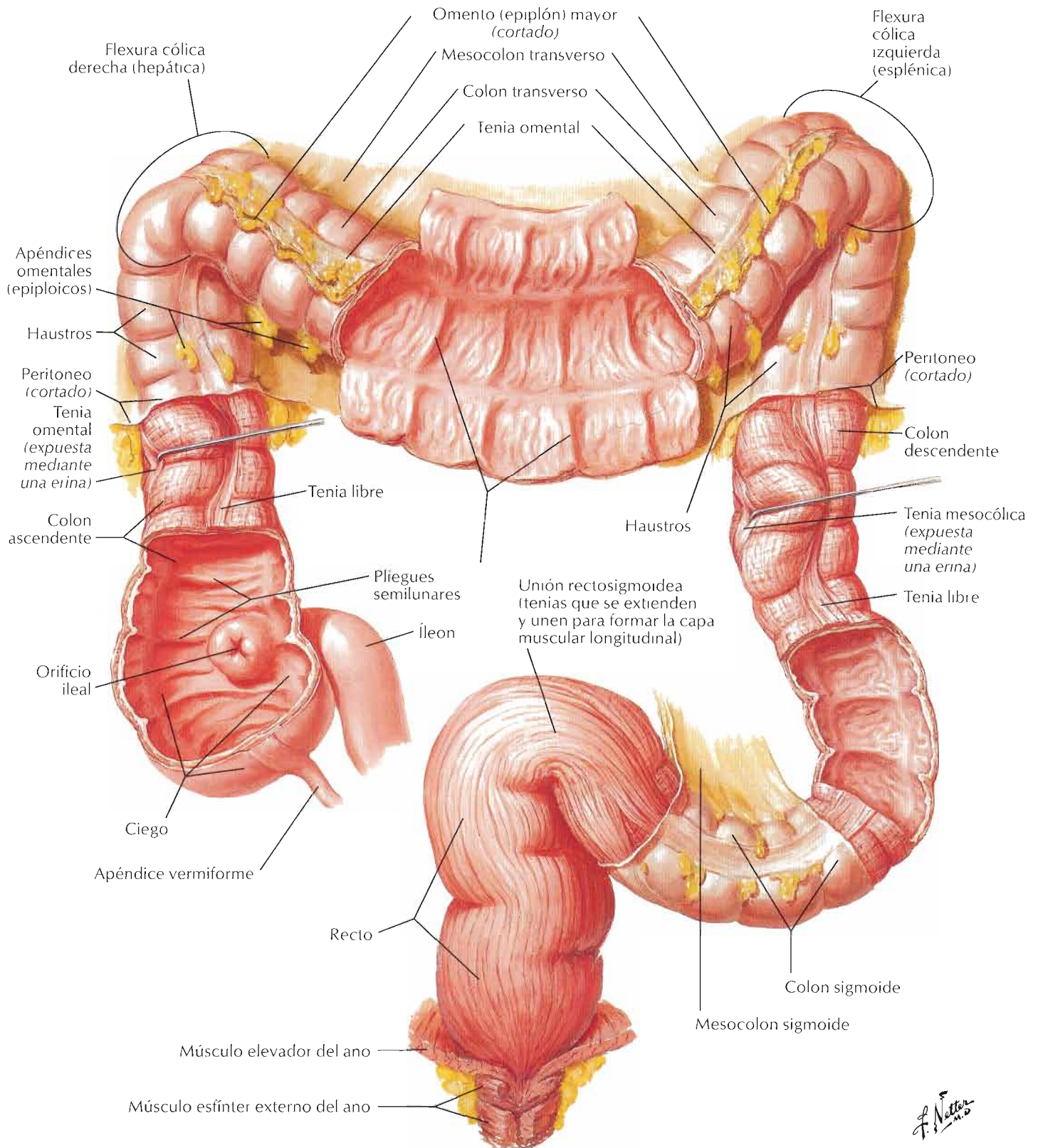


Apéndice anormalmente largo que se extiende por el interior de la pelvis (radiografía con contraste de bario) (A, apéndice; C, ciego)

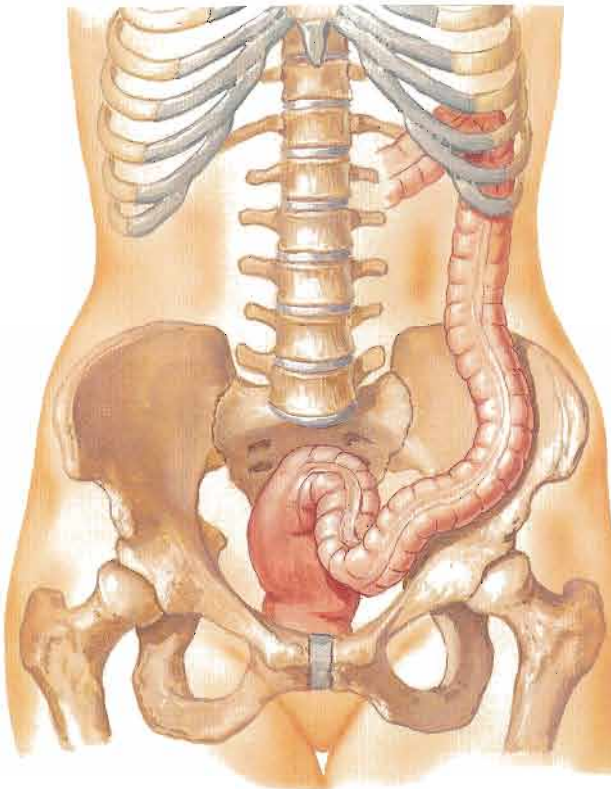


F. Netter M.D.

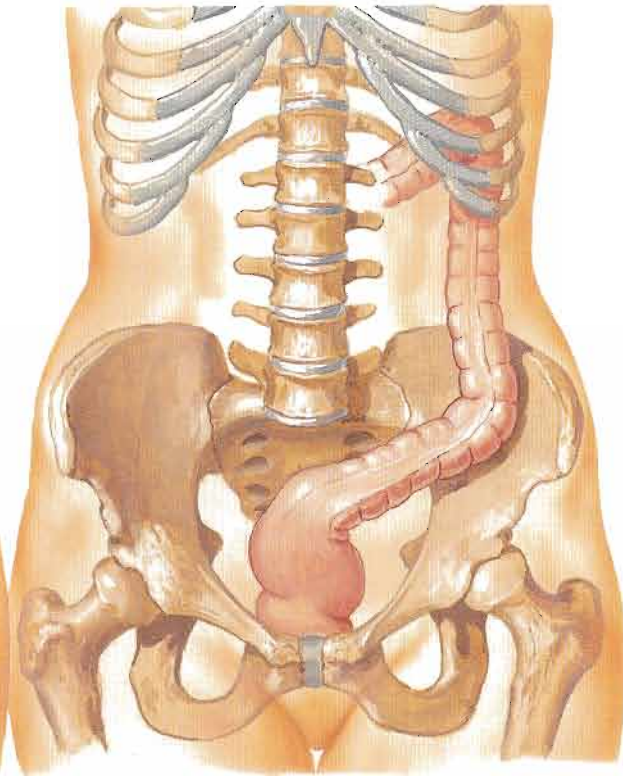
Para el recto y el conducto anal véanse láminas 391-396



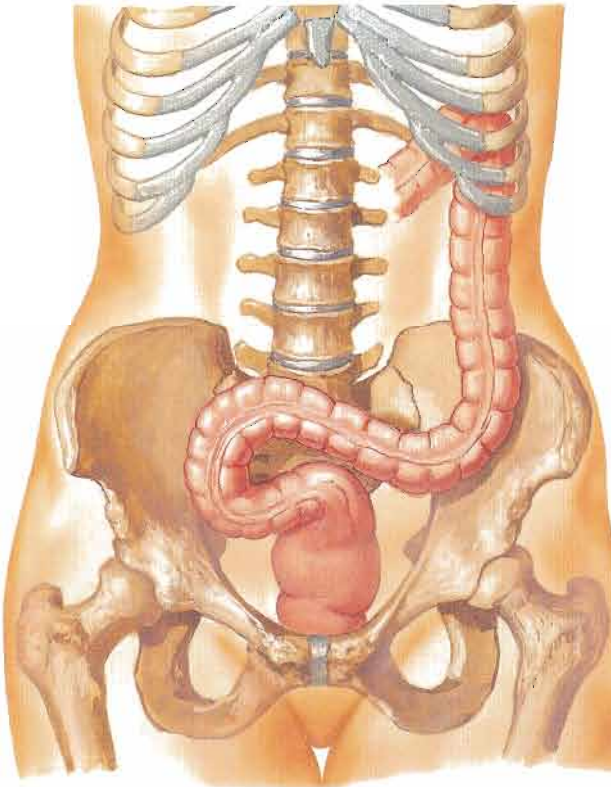
Para el recto véanse láminas 360, 361, 391-394



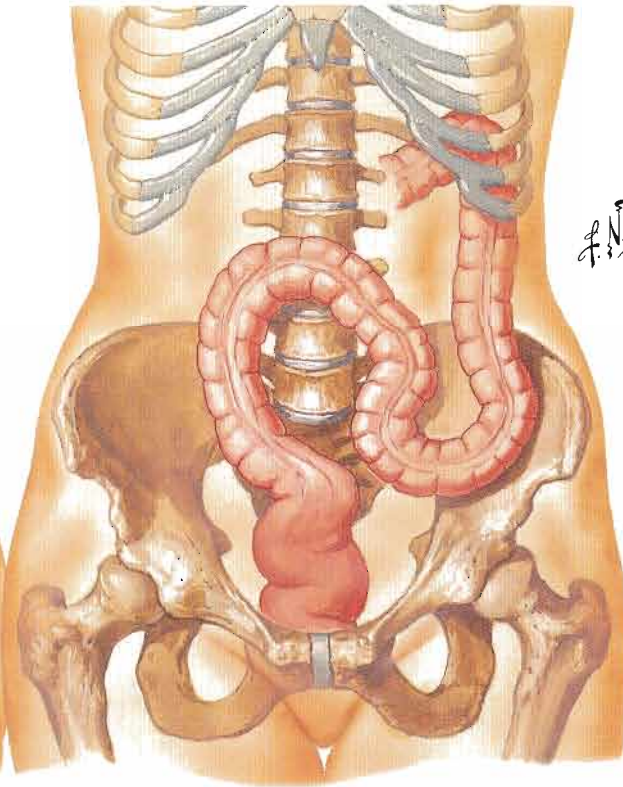
Típico



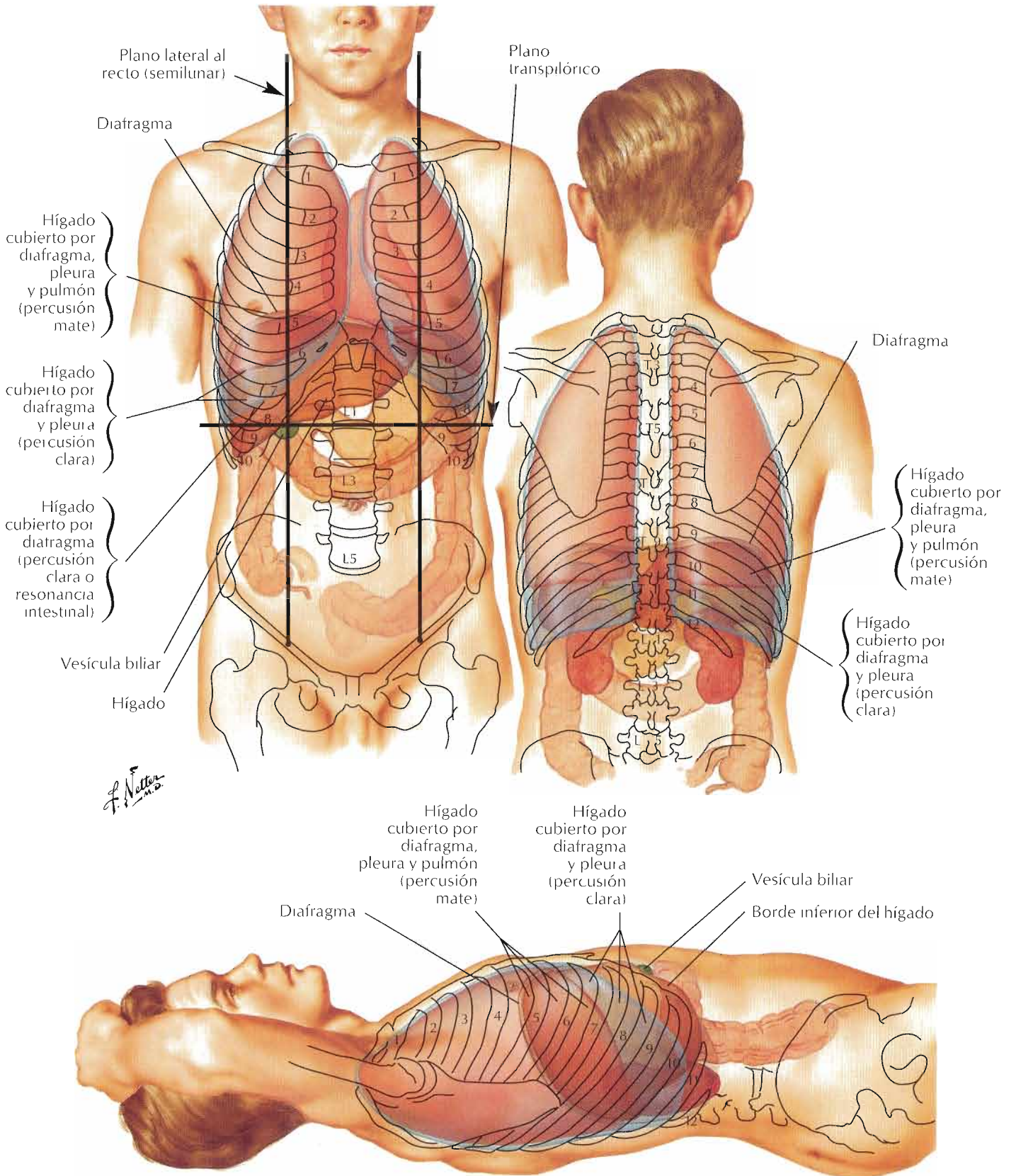
Corto, recto, oblicuo en el interior de la pelvis

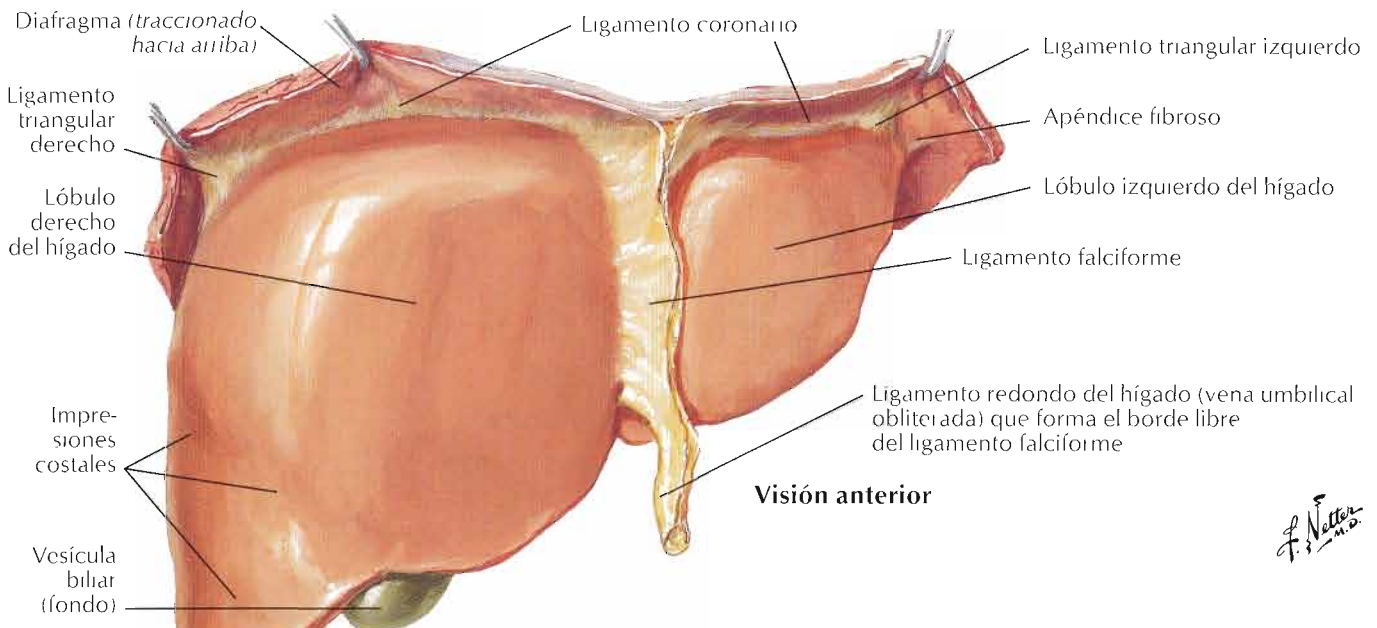


Incurvado hacia el lado derecho

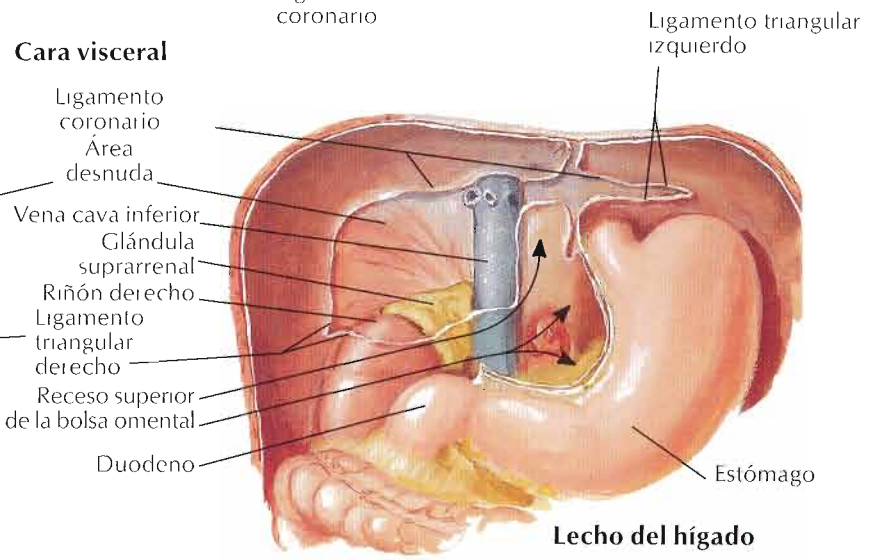
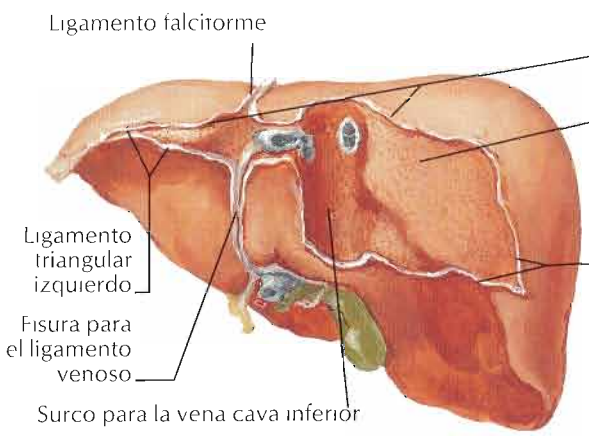
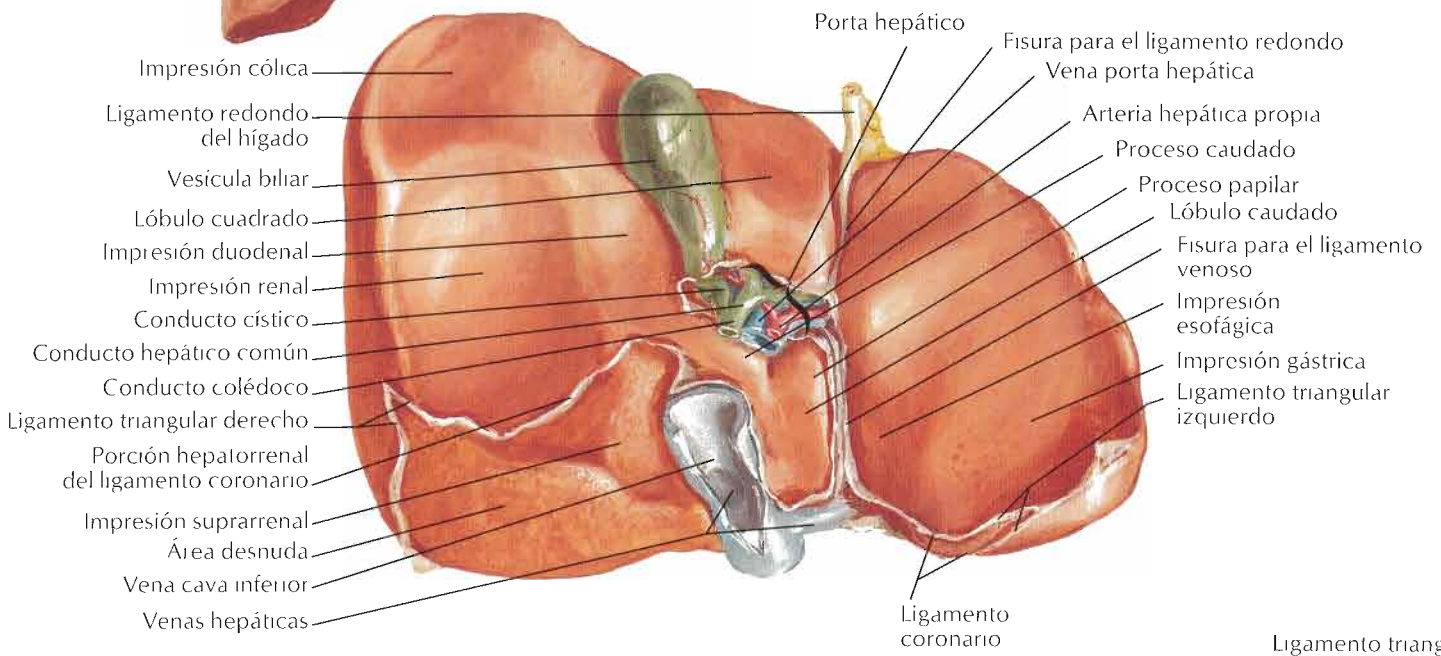


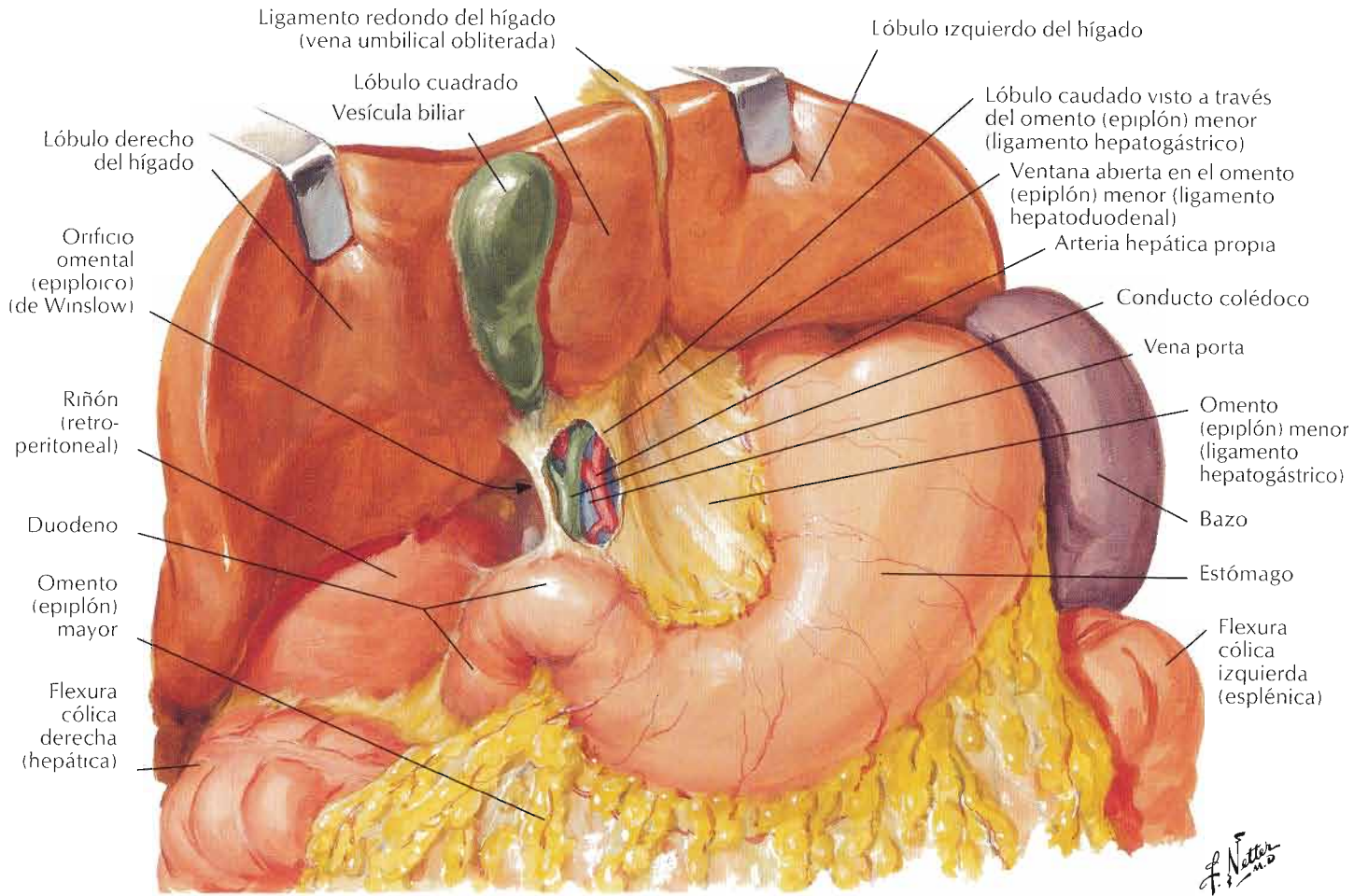
Ascendente hacia el interior del abdomen



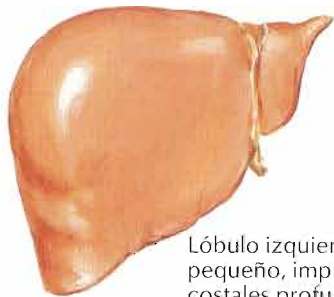


F. Netter M.D.





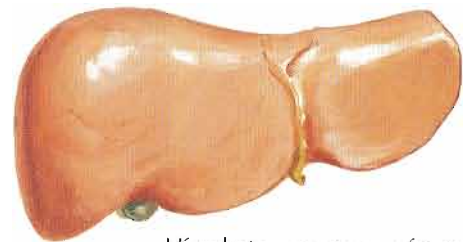
Variaciones en la forma del hígado



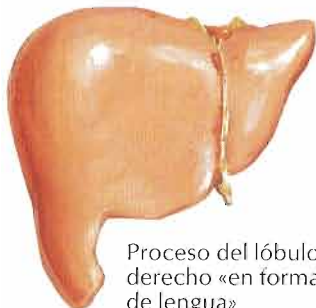
Lóbulo izquierdo muy pequeño, impresiones costales profundas



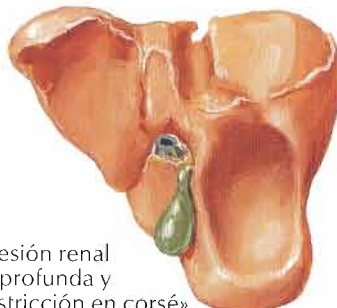
Atrofia completa del lóbulo izquierdo (compresión de la vena porta izquierda)



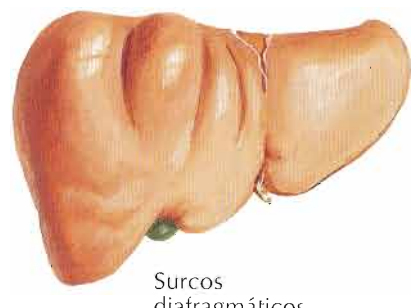
Hígado transverso, «en forma de silla de montar», lóbulo izquierdo relativamente grande



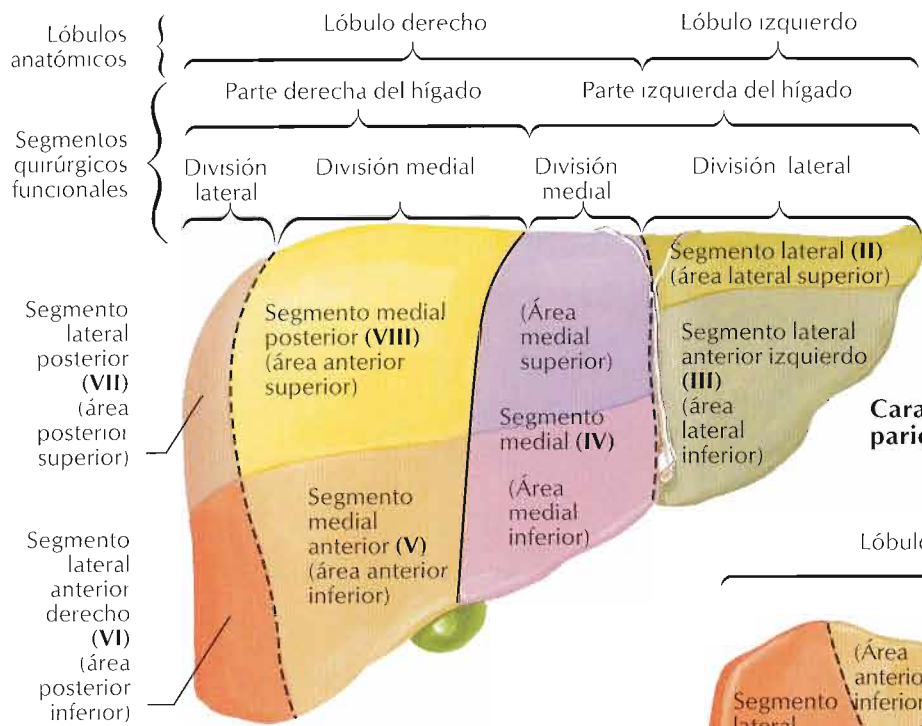
Proceso del lóbulo derecho «en forma de lengua»



Impresión renal muy profunda y «constricción en corsé»



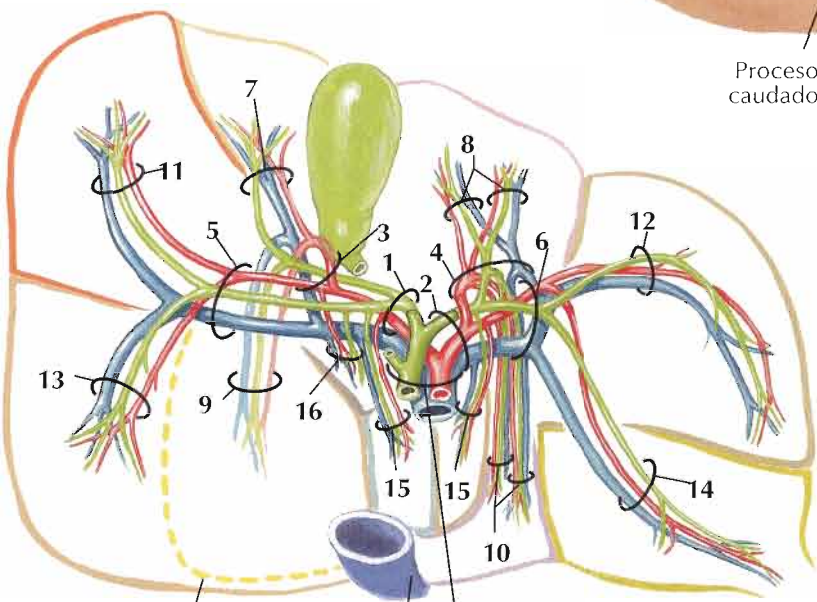
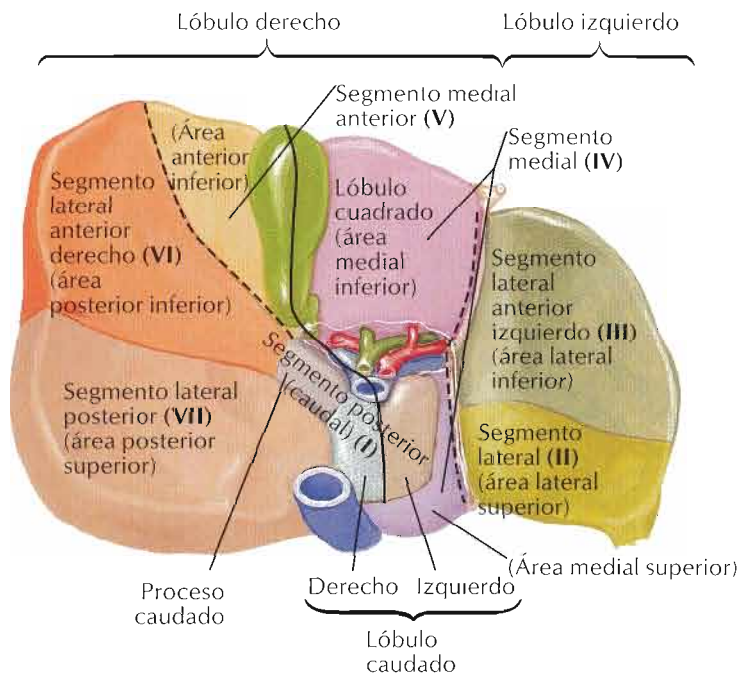
Surcos diafragmáticos



La división en segmentos se basa en las ramificaciones de los conductos biliares y vasos hepáticos. No se corresponde en su totalidad con la división en lóbulos anatómicos

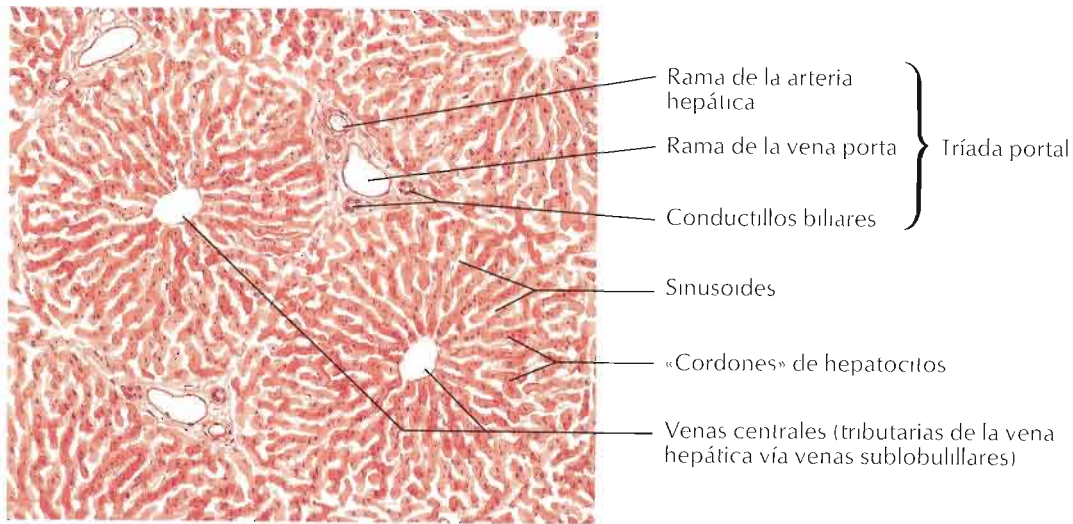
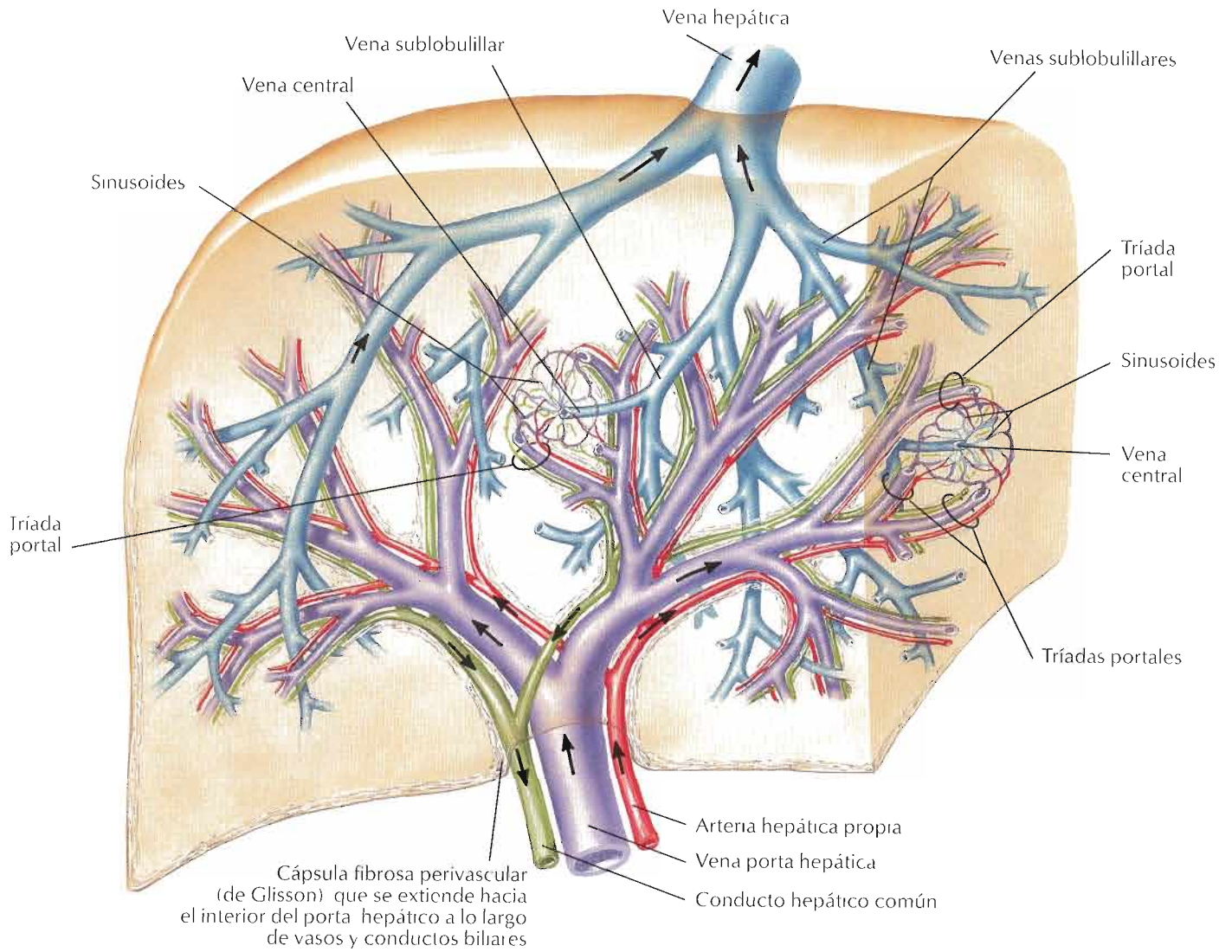
F. Netto

Cara visceral



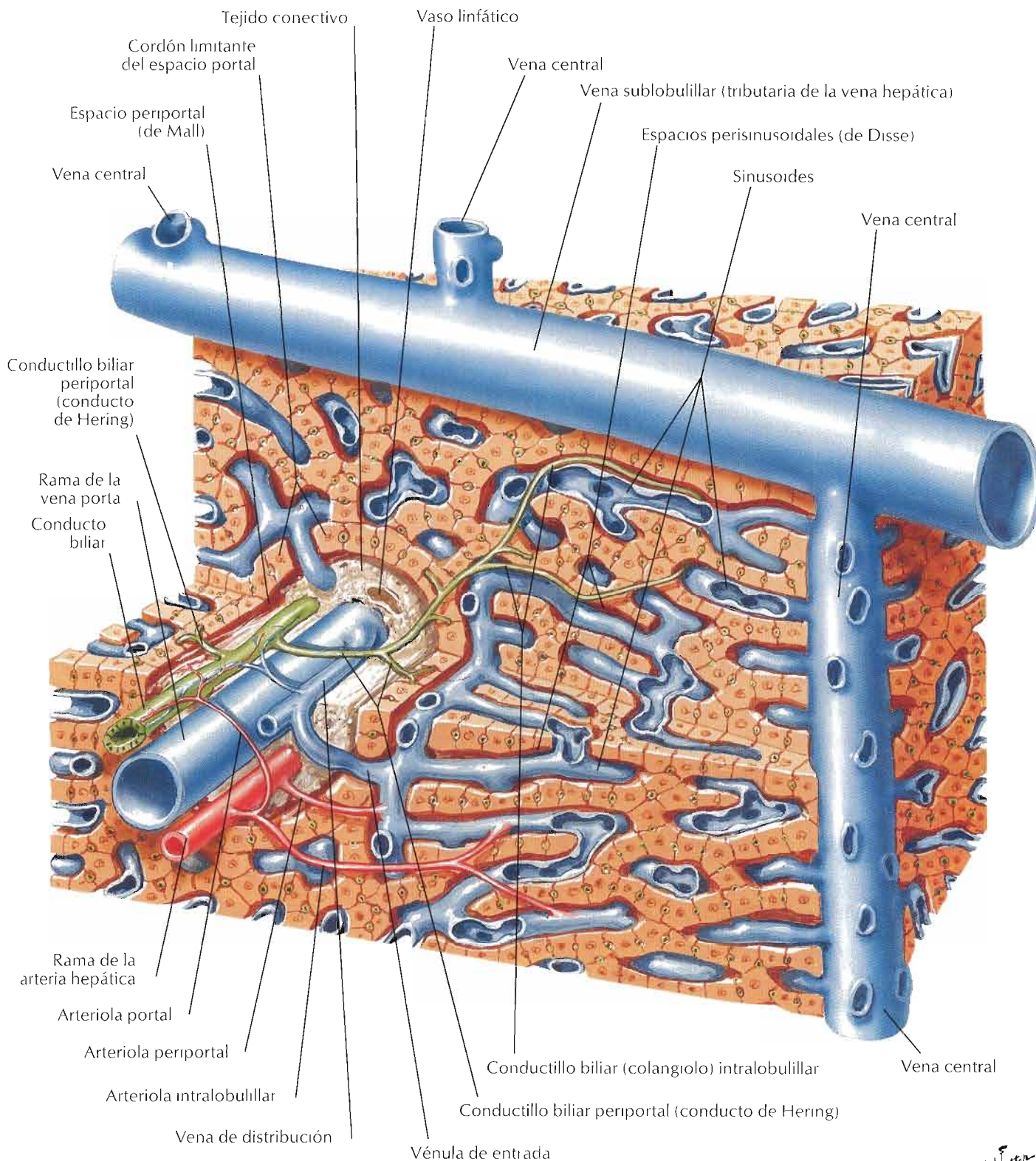
Distribución de vasos y conductos

- 1 Rama derecha
- 2 Rama izquierda
- 3 Del segmento anterior
- 4 Del segmento medial
- 5 Del segmento posterior
- 6 Del segmento lateral
- 7 Del área anterior inferior
- 8 Del área medial inferior
- 9 Del área anterior superior
- 10 Del área medial superior
- 11 Del área posterior inferior
- 12 Del área lateral inferior
- 13 Del área posterior superior
- 14 Del área lateral superior
- 15 Del lóbulo caudado (derecho e izquierdo)
- 16 Del proceso caudado

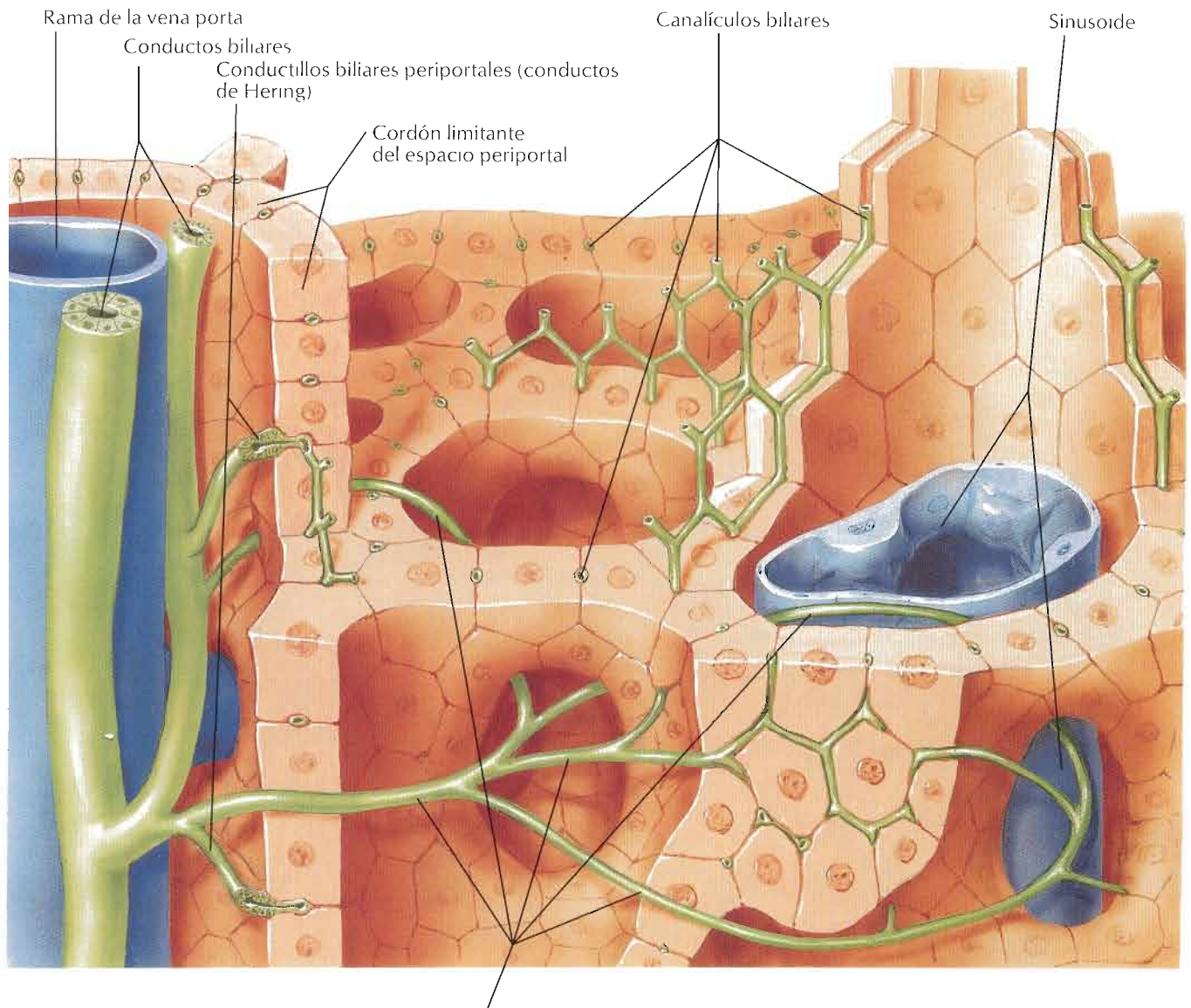


Patrón lobulillar normal del hígado

F. Netter M.D.



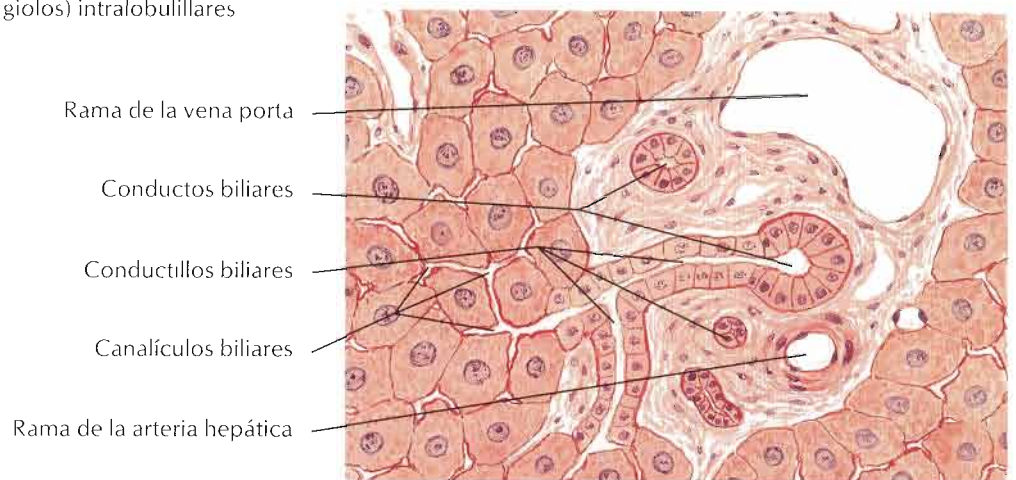
F. Netter M.D.



Conductillos biliares (colangiolo) intralobulillares

Nota: en la ilustración superior, los canaliculos biliares aparecen como estructuras con paredes propias. No obstante, como se muestra en la sección histológica a la derecha, los límites de los canaliculos son de hecho una especialización de la superficie de las membranas de las células parenquimatosas hepáticas contiguas

F. Netter M.D.



Sección a bajo aumento del hígado

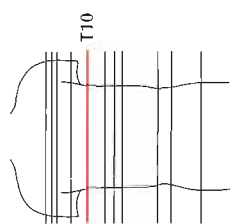
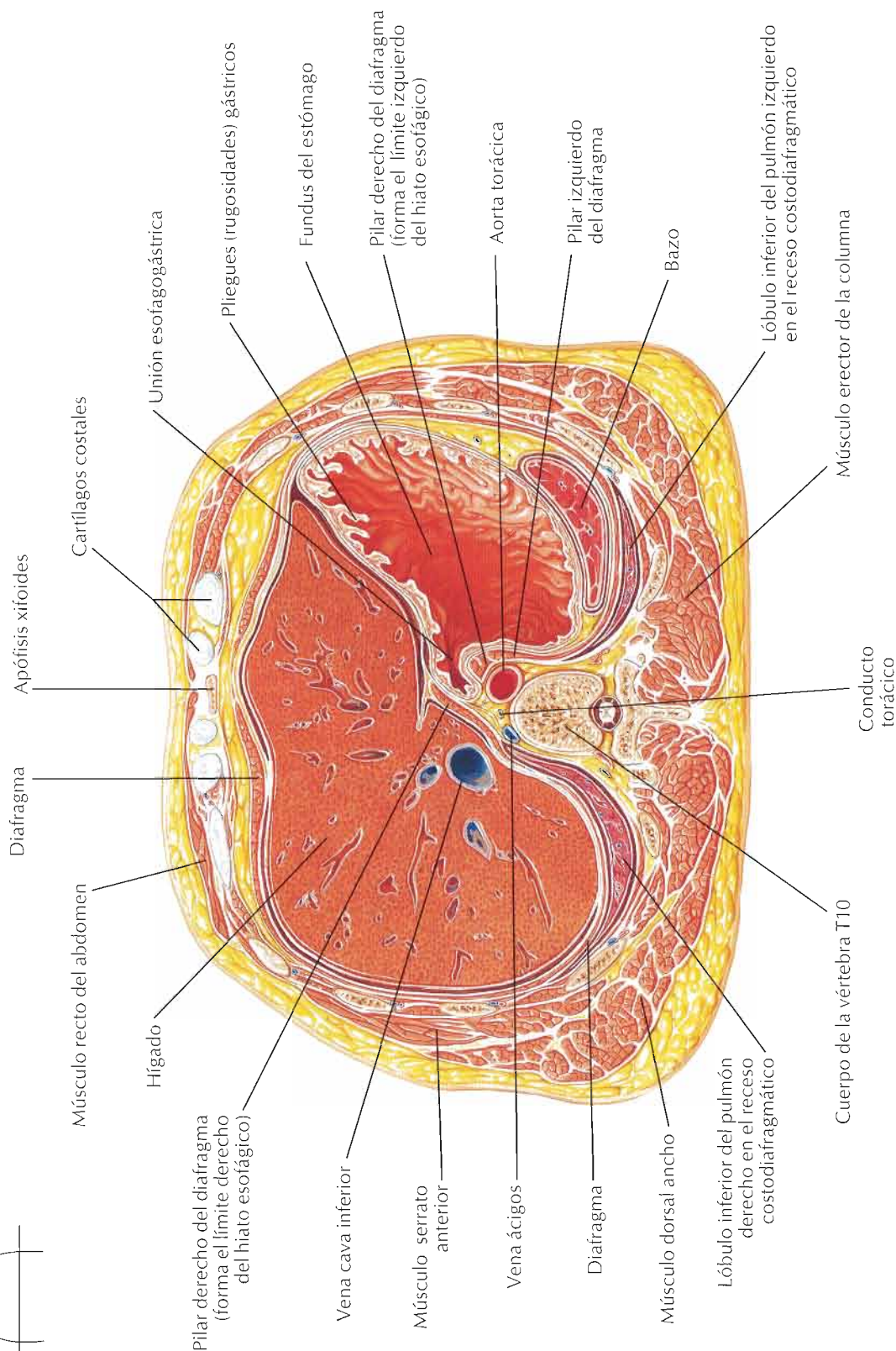
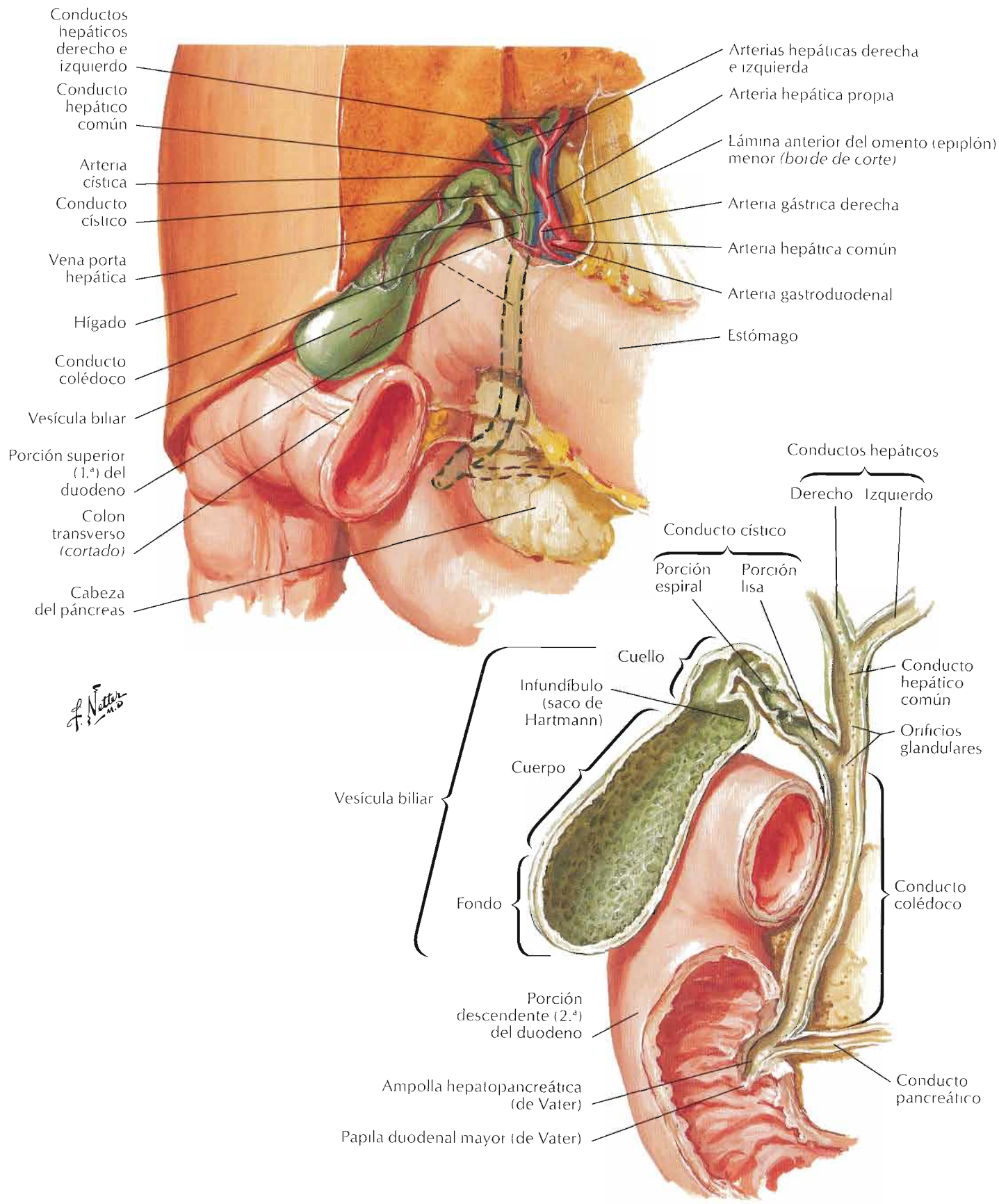


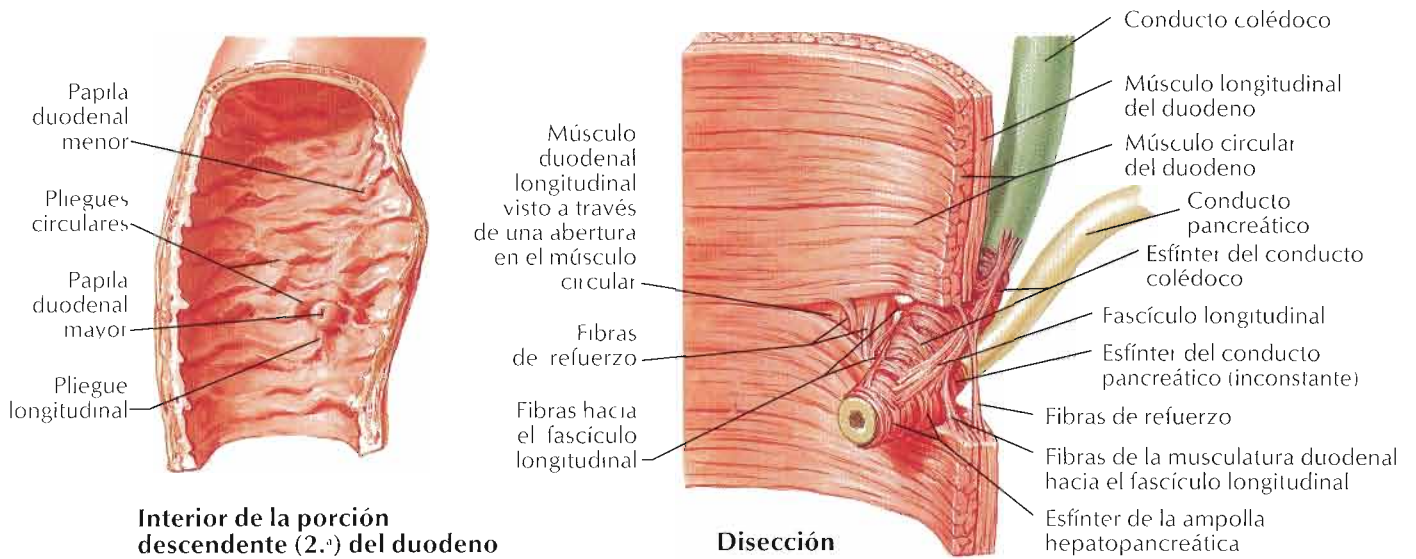
Lámina 293

Sección transversal: nivel de T10, unión esofagogástrica



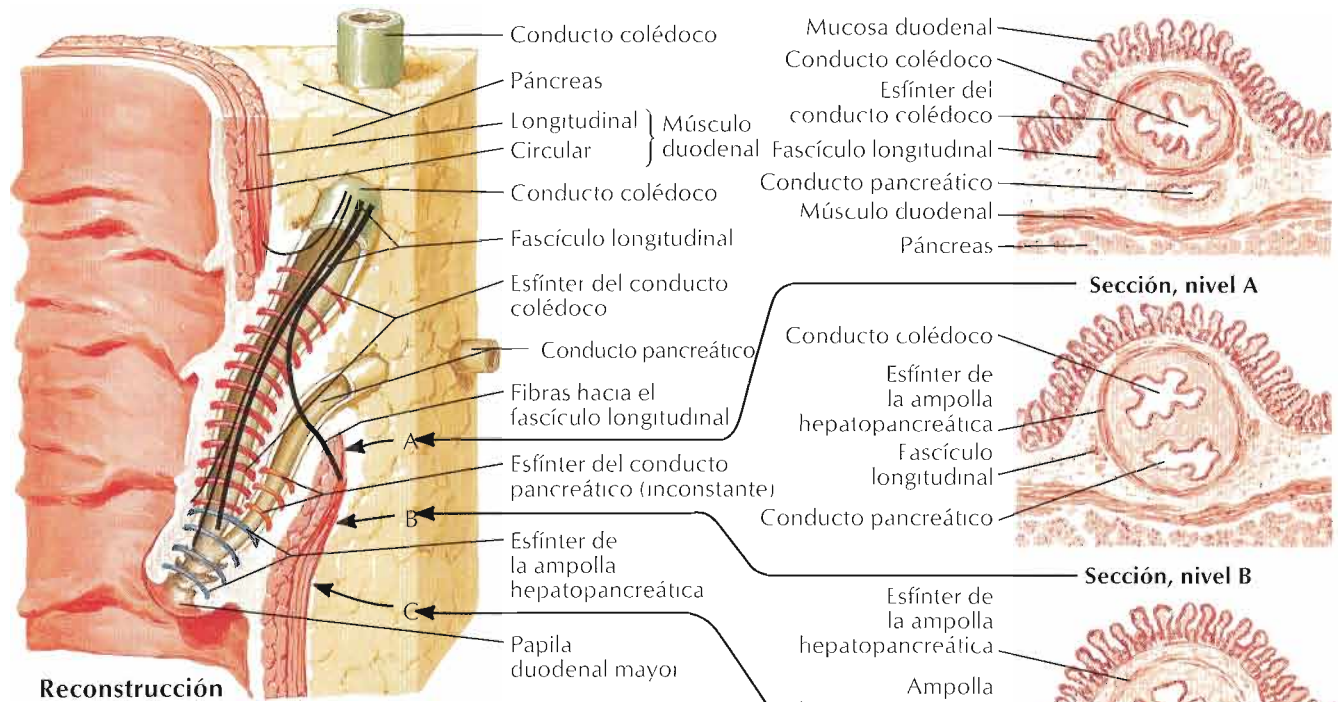
Vesícula biliar y conductos biliares extrahepáticos





Interior de la porción descendente (2.ª) del duodeno

Disección



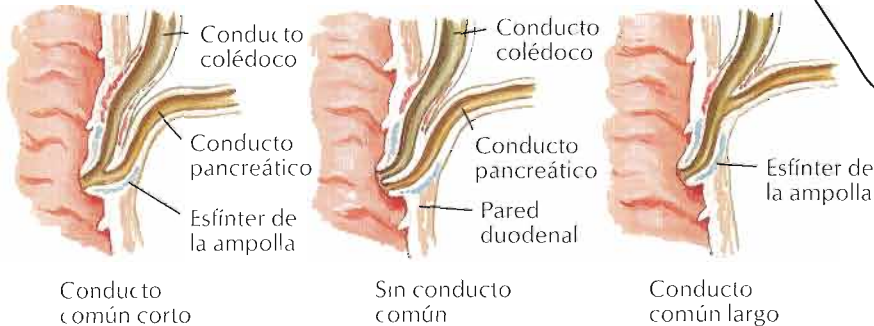
Reconstrucción

Sección, nivel A

Sección, nivel B

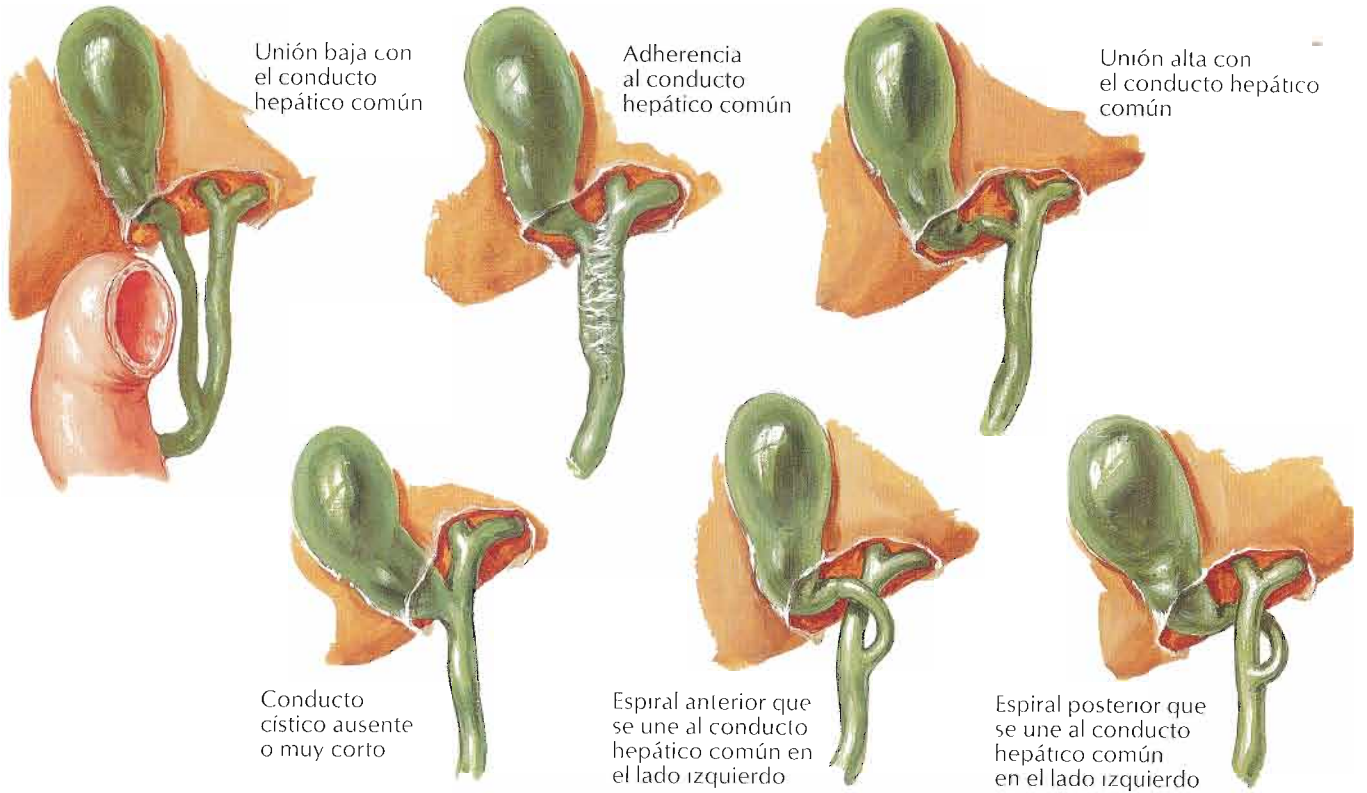
Sección, nivel C

Variaciones en la unión de los conductos colédoco y pancreático

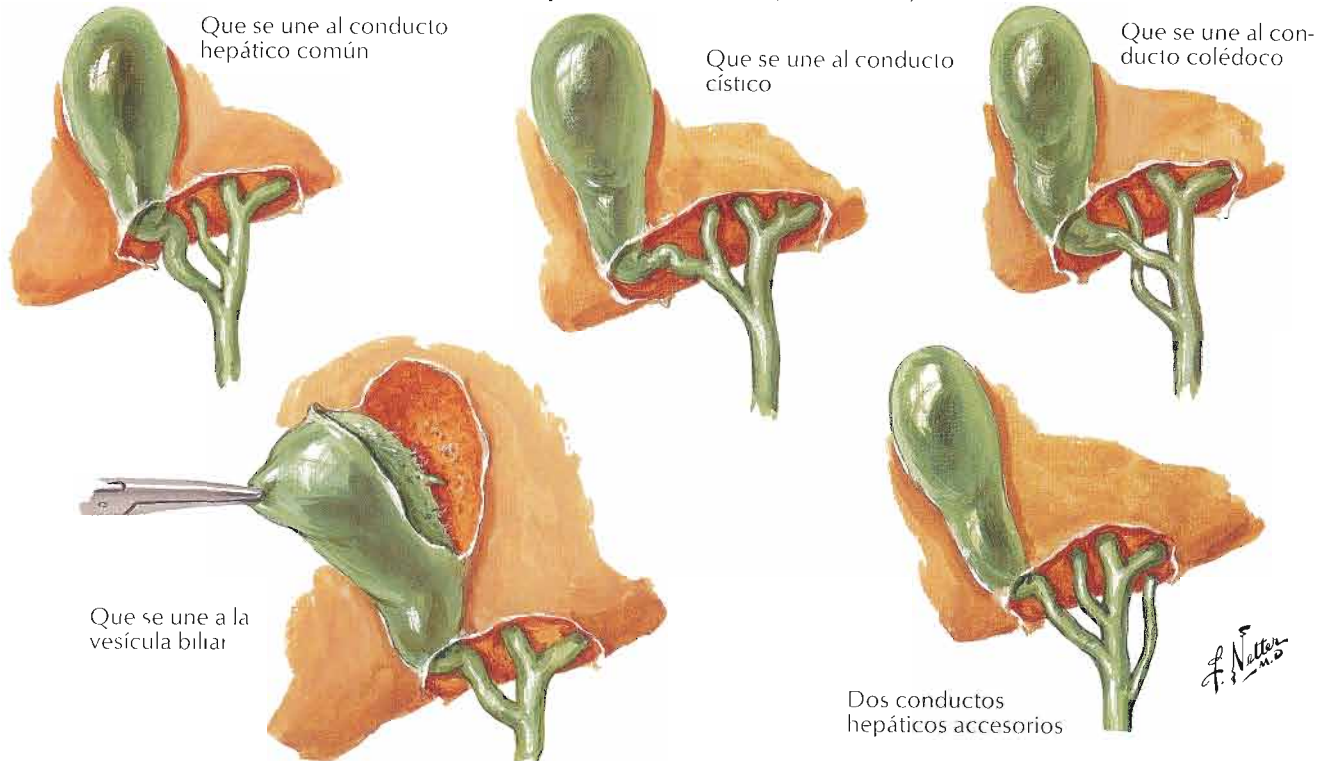


F. Netter M.D.

Variaciones en el conducto cístico



Conductos hepáticos accesorios (aberrantes)



Sección transversal: nivel de T12, inferior a la apófisis xifoides

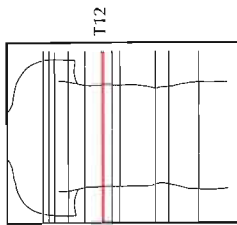
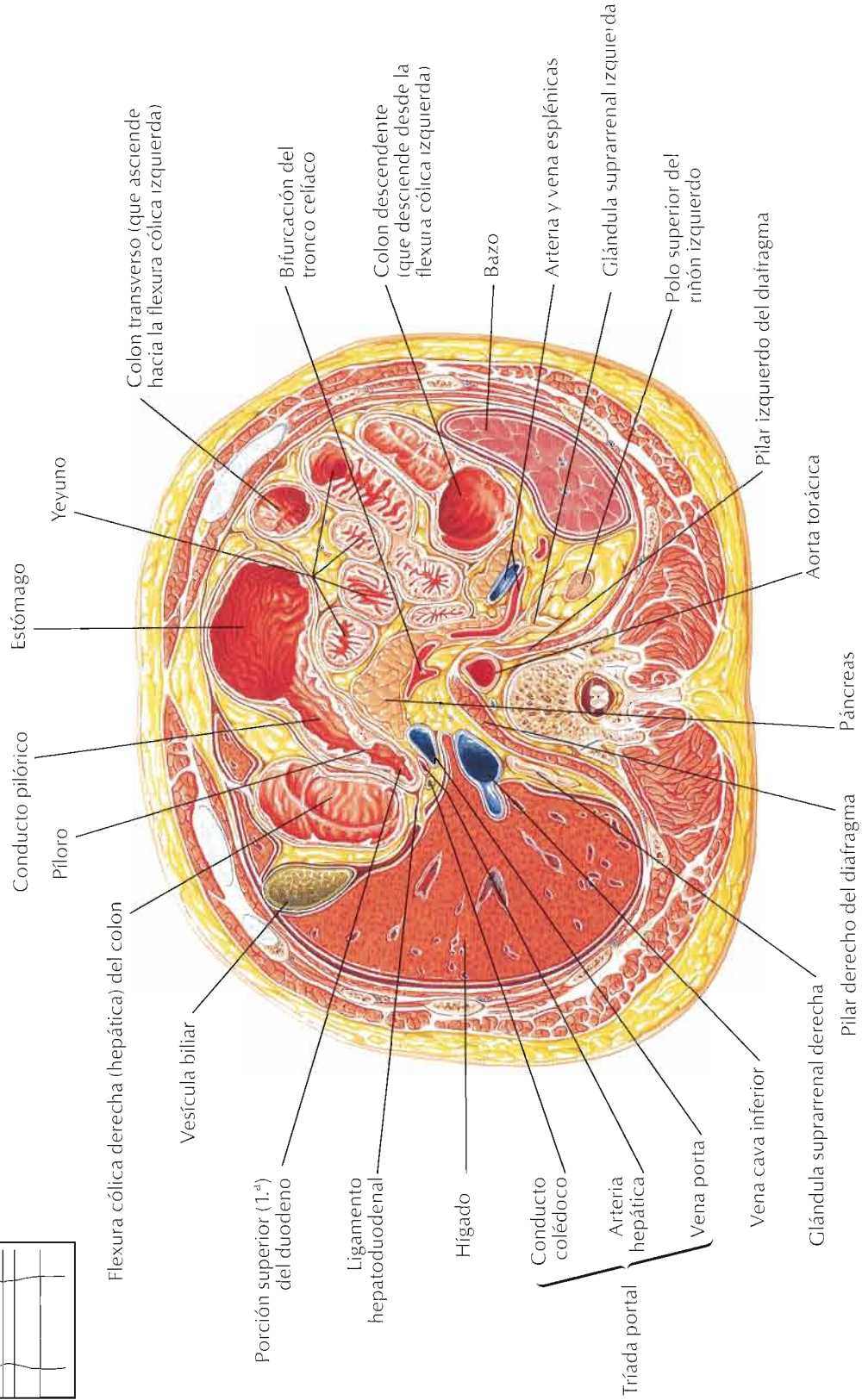
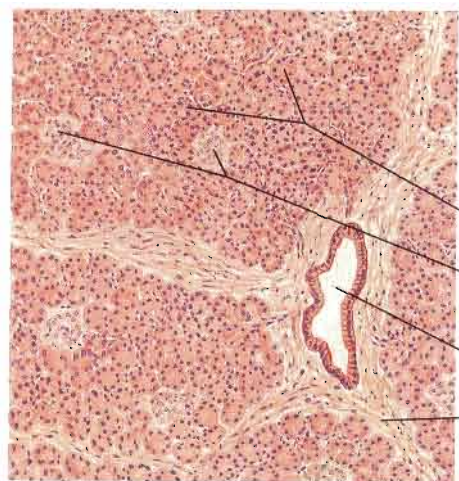
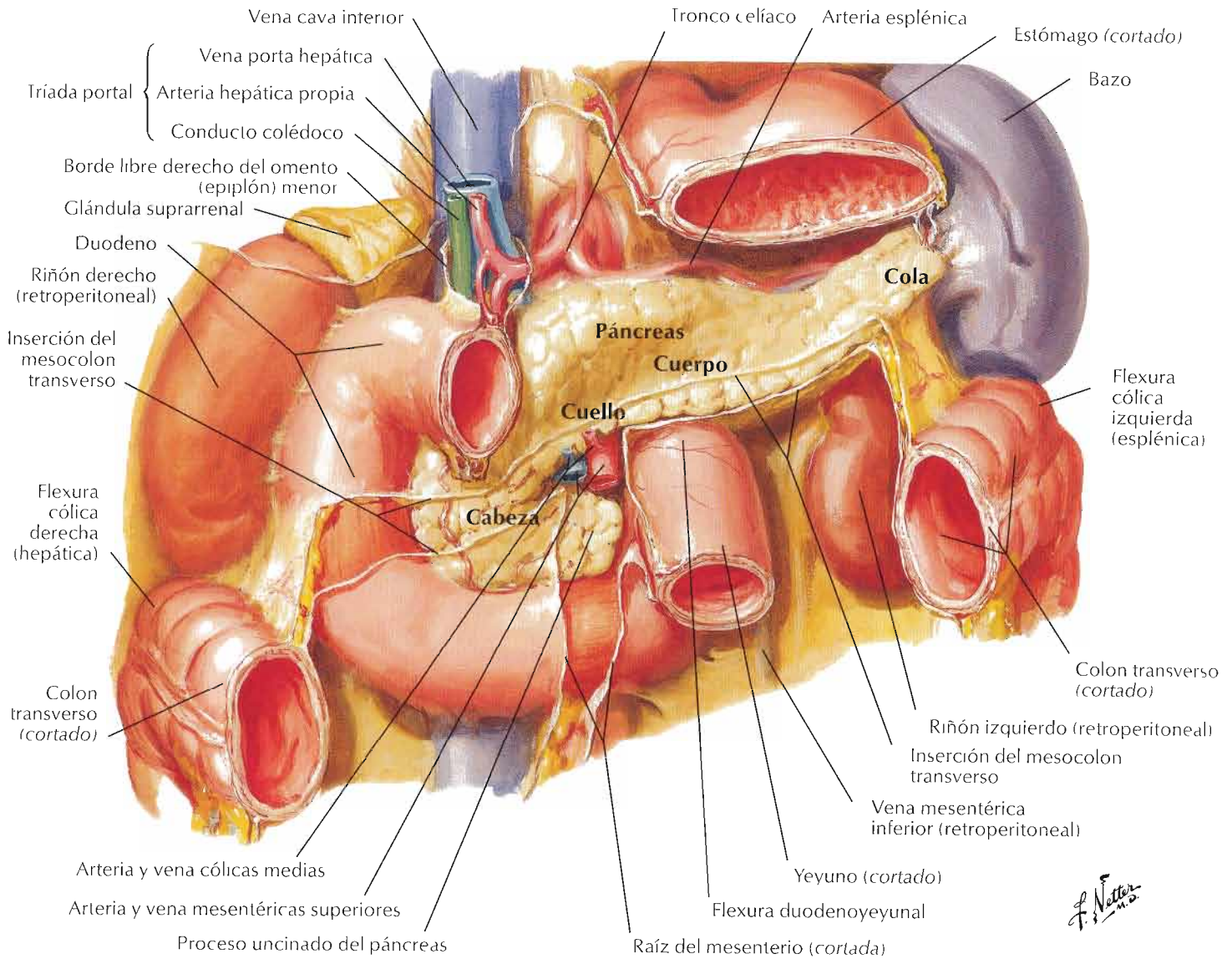


Lámina 297

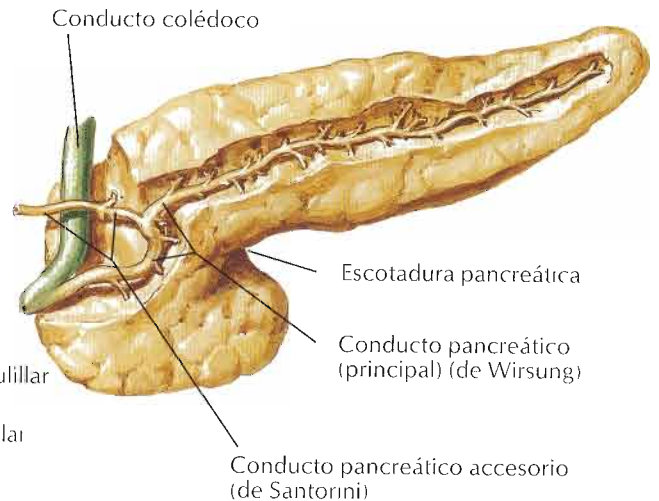
T12



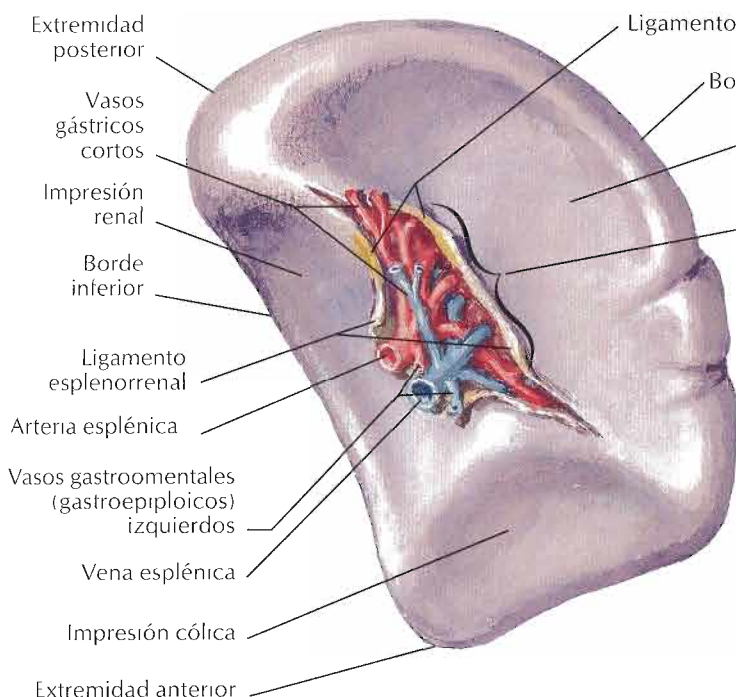


Sección a bajo aumento del páncreas

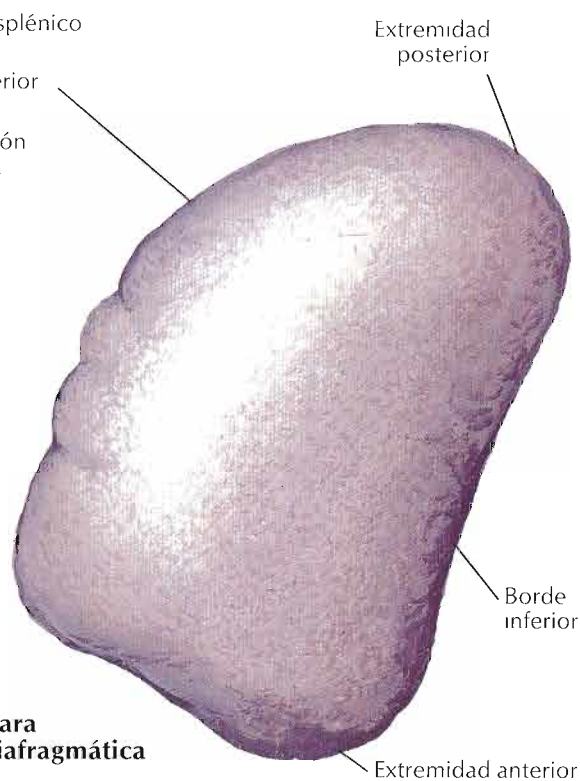
- Acinos
- Islotos (de Langerhans)
- Conducto interlobulillar
- Tabique interlobulillar



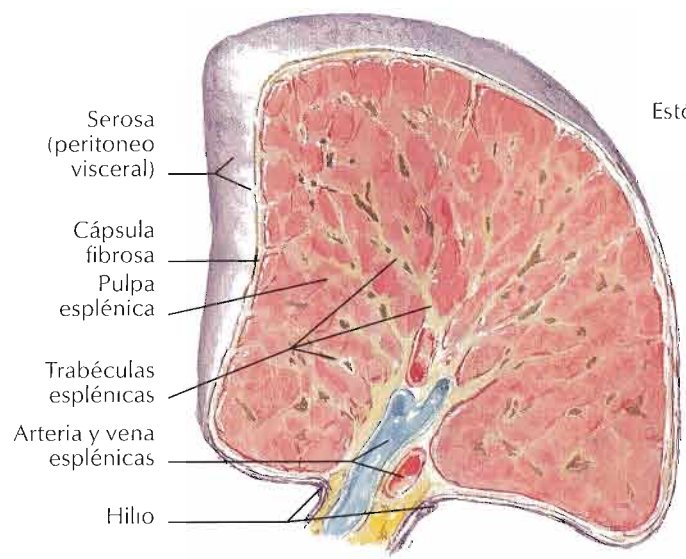
- Escotadura pancreática
- Conducto pancreático (principal) (de Wirsung)
- Conducto pancreático accesorio (de Santorini)



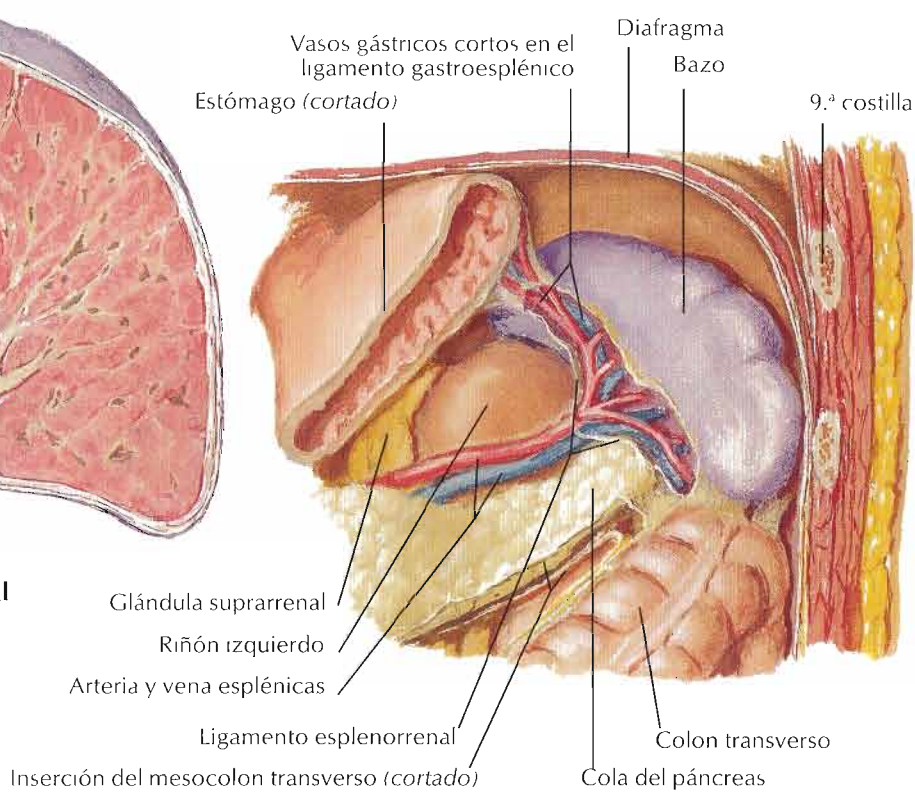
Cara visceral



Cara diafragmática

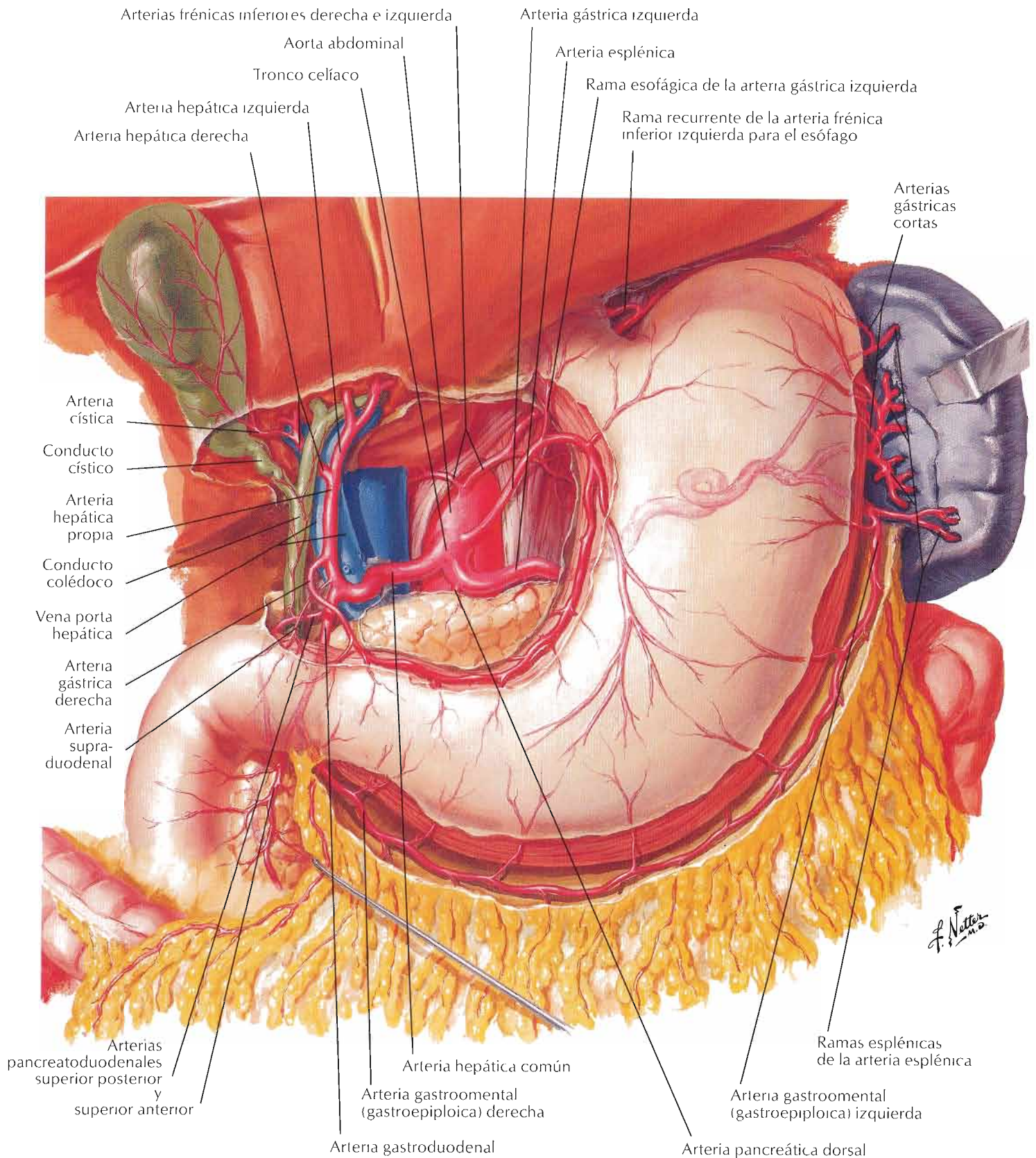


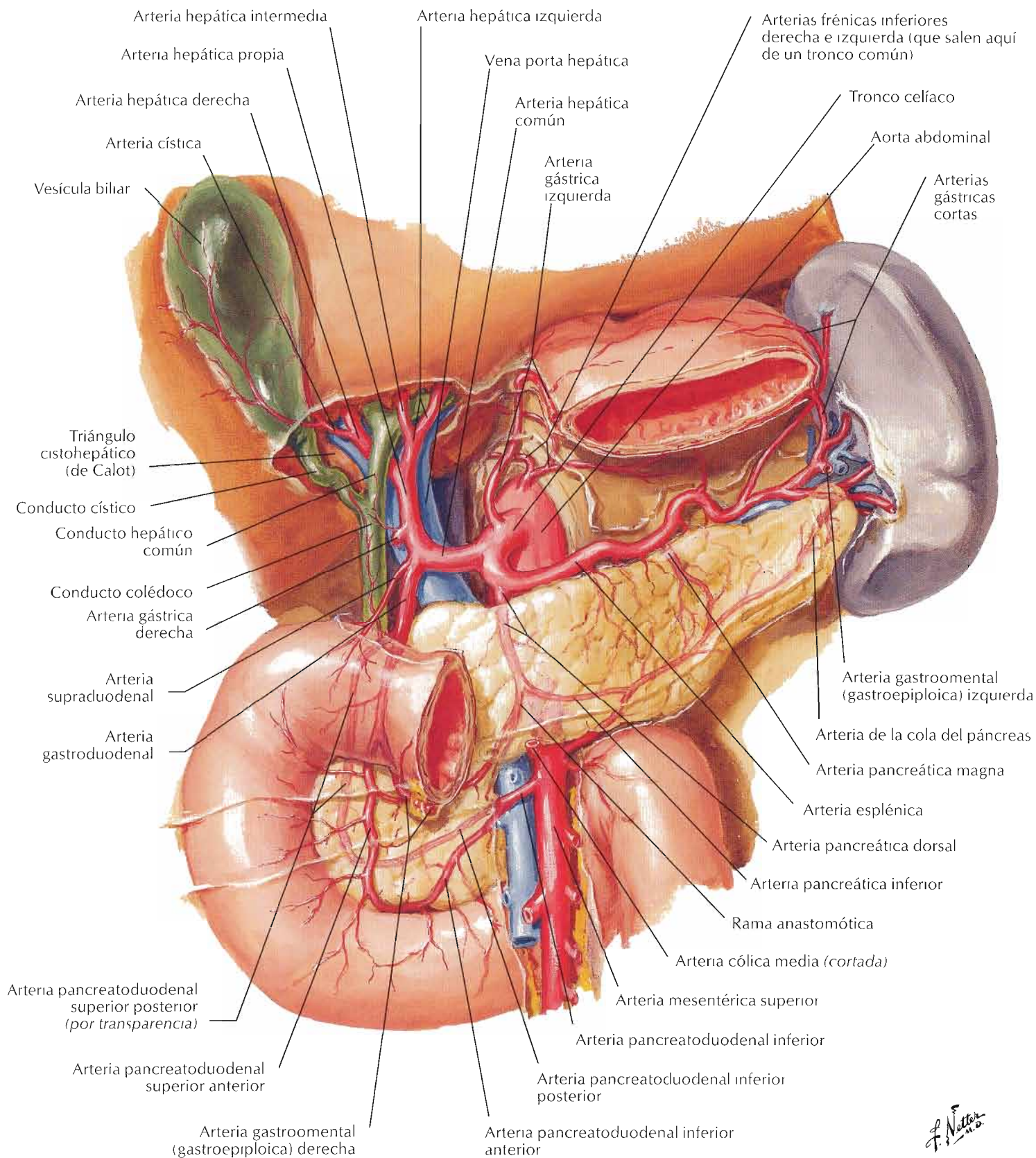
Sección transversal

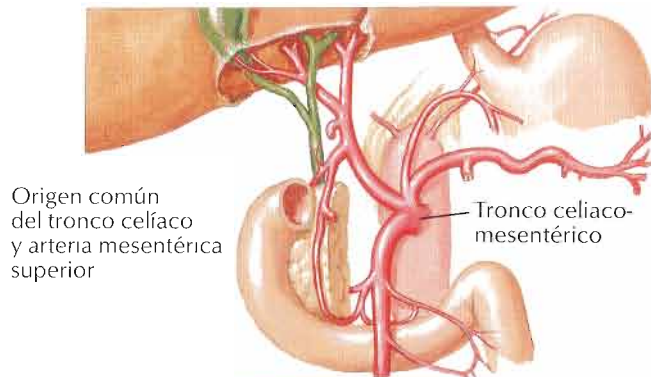


Bazo in situ

F. Netter M.D.

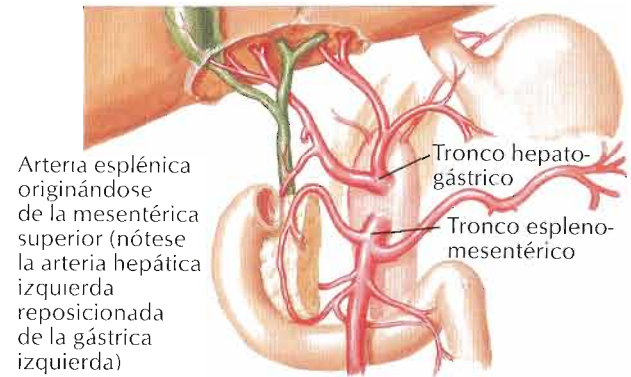






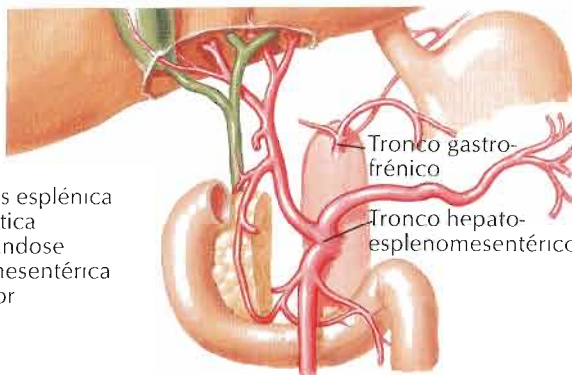
Origen común del tronco celíaco y arteria mesentérica superior

Tronco celíaco-mesentérico



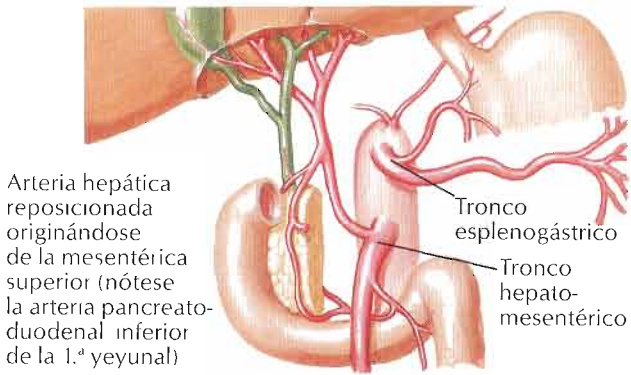
Arteria esplénica originándose de la mesentérica superior (nótese la arteria hepática izquierda reposicionada de la gástrica izquierda)

Tronco hepato-gástrico
Tronco esplenomesentérico



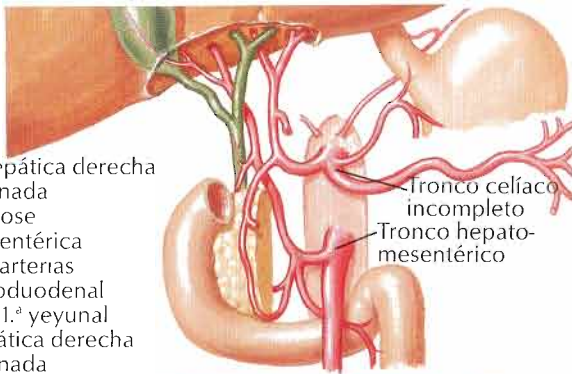
Arterias esplénica y hepática originándose de la mesentérica superior

Tronco gastrofrénico
Tronco hepato-esplenomesentérico



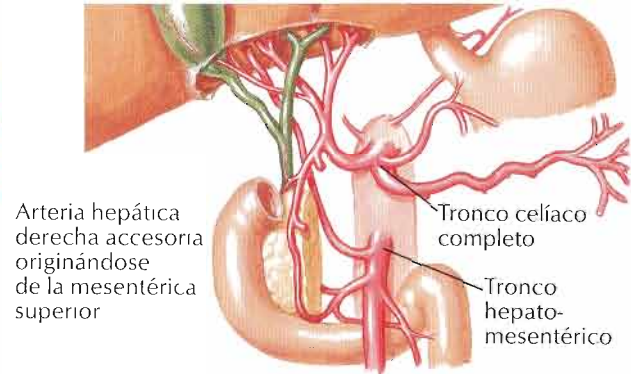
Arteria hepática reposicionada originándose de la mesentérica superior (nótese la arteria pancreatoduodenal inferior de la 1.ª yeyunal)

Tronco esplenogástrico
Tronco hepato-mesentérico



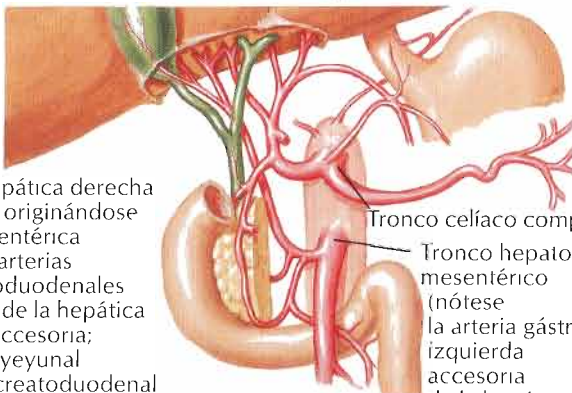
Arteria hepática derecha reposicionada originándose de la mesentérica superior; arterias pancreatoduodenal inferior y 1.ª yeyunal de la hepática derecha reposicionada

Tronco celíaco incompleto
Tronco hepato-mesentérico



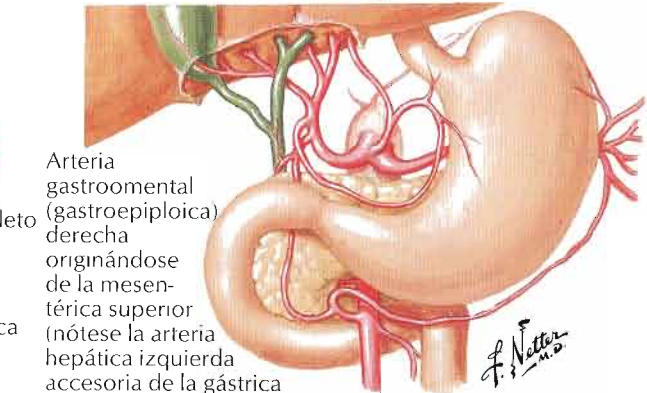
Arteria hepática derecha accesoria originándose de la mesentérica superior

Tronco celíaco completo
Tronco hepato-mesentérico



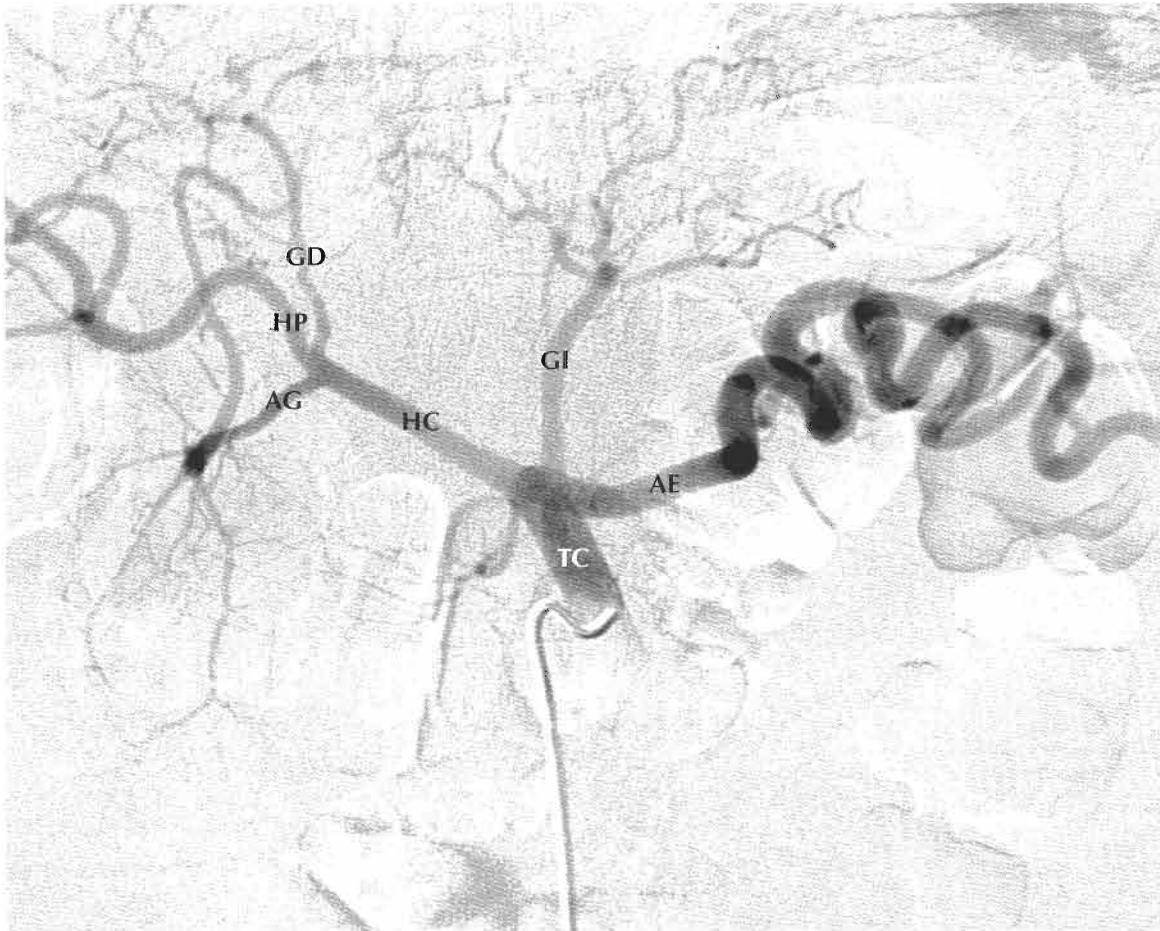
Arteria hepática derecha accesoria originándose de la mesentérica superior; arterias pancreatoduodenales inferiores de la hepática derecha accesoria; 1.ª arteria yeyunal de la pancreatoduodenal inferior anterior

Tronco celíaco completo
Tronco hepato-mesentérico (nótese la arteria gástrica izquierda accesoria de la hepática izquierda)



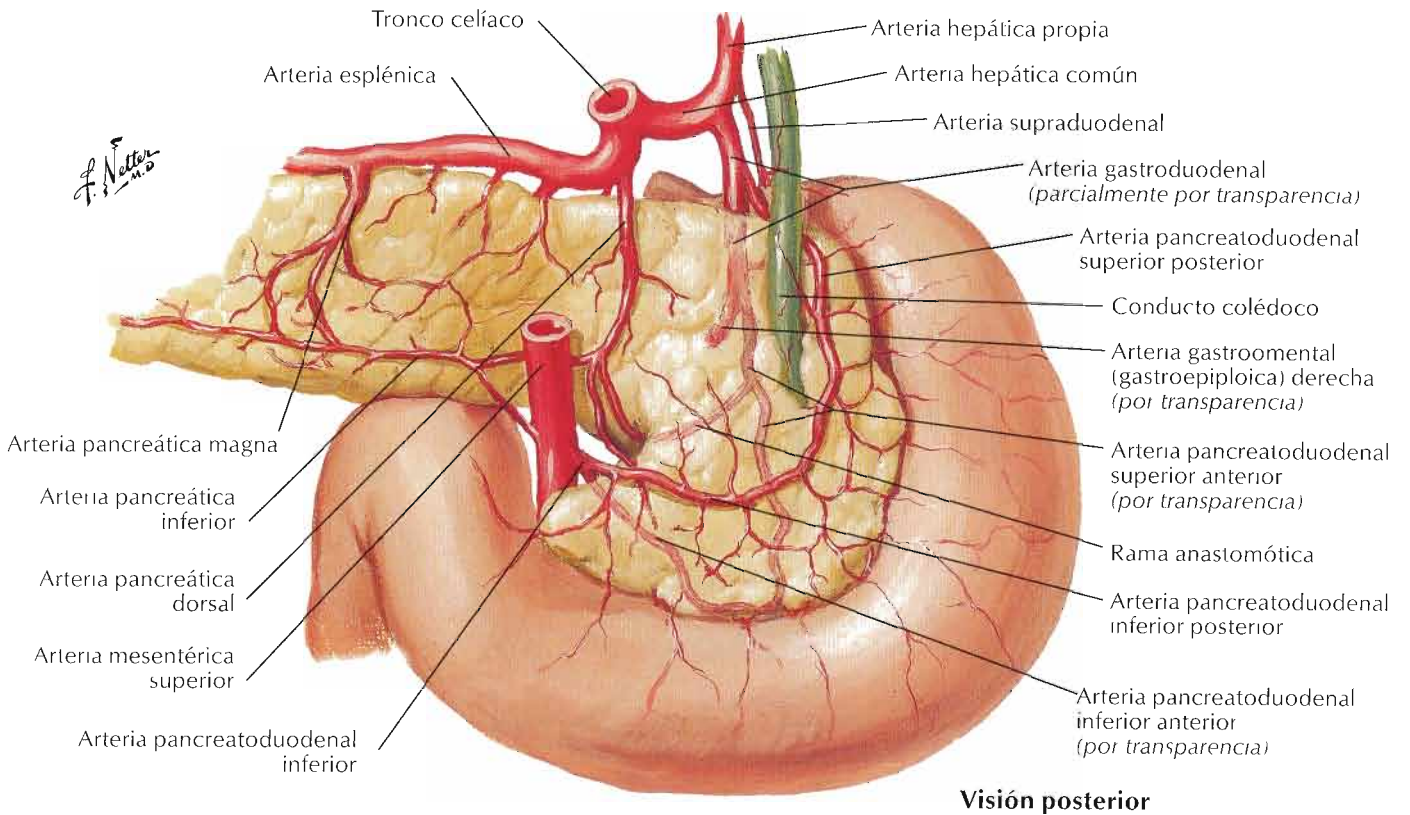
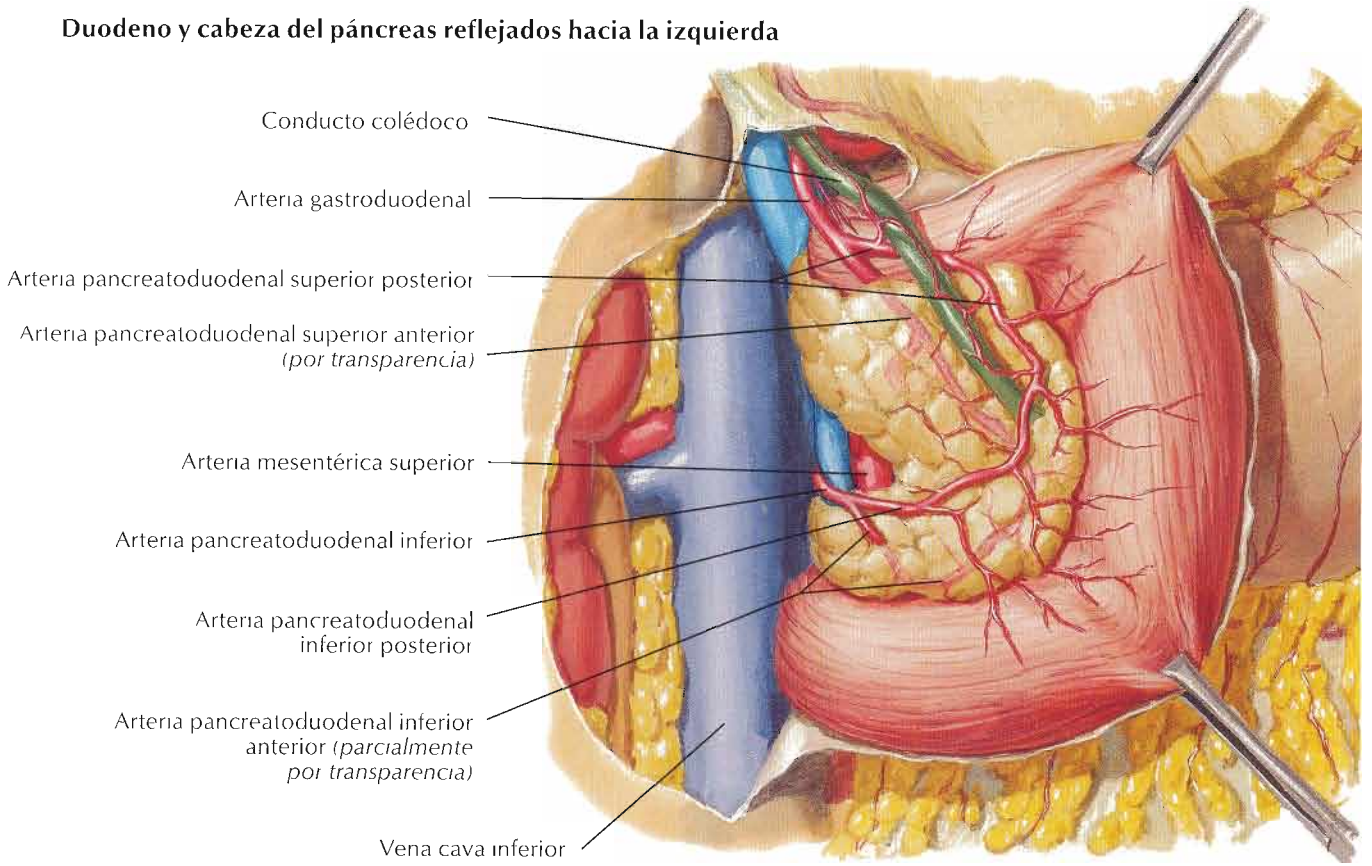
Arteria gastroduodenal (gastroepiploica) derecha originándose de la mesentérica superior (nótese la arteria hepática izquierda accesoria de la gástrica izquierda)

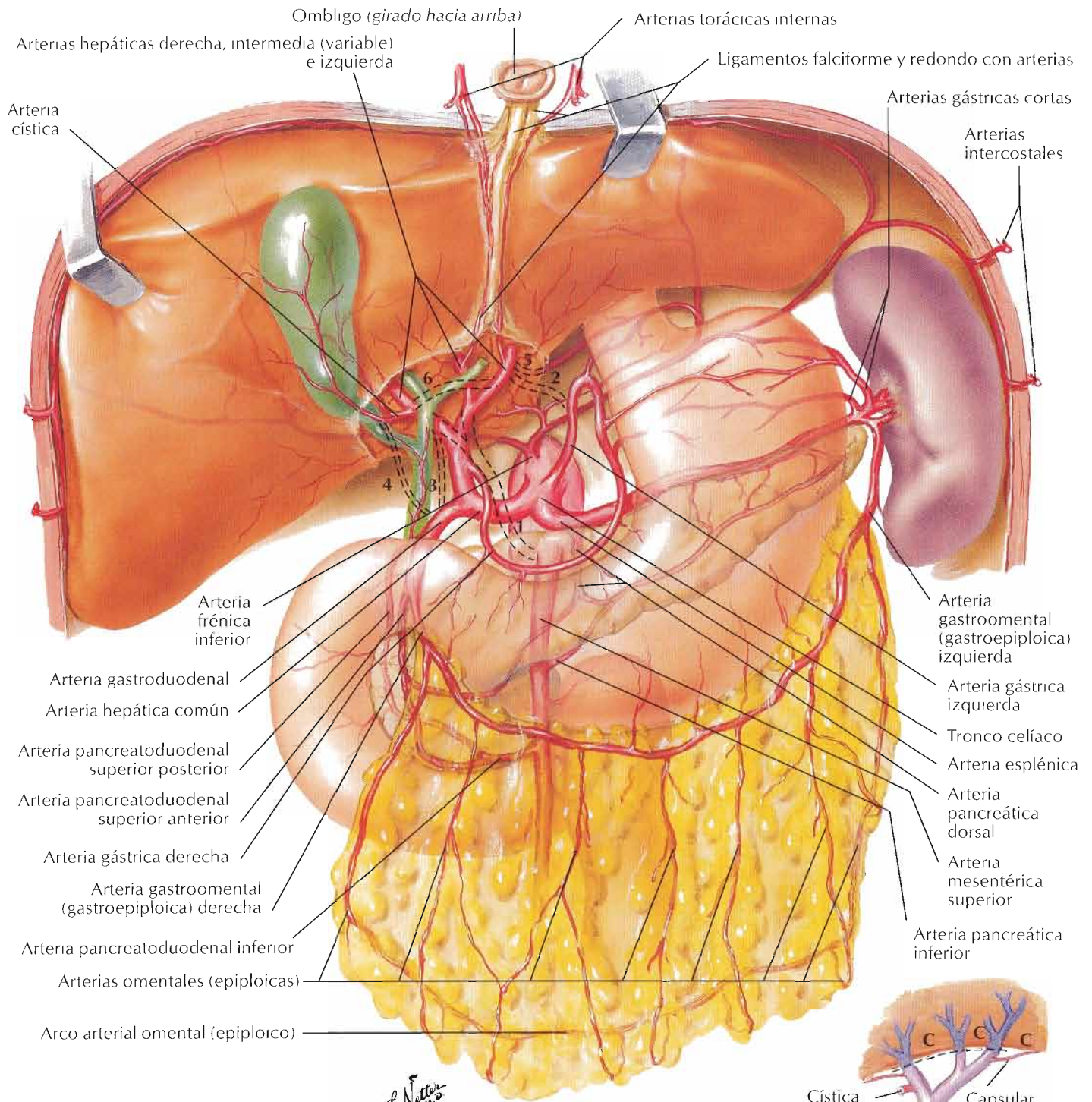
F. Netter



- AG Arteria gastroduodenal
- AE Arteria esplénica
- GD Arteria gástrica derecha
- GI Arteria gástrica izquierda
- HC Arteria hepática común
- HP Arteria hepática propia
- TC Tronco celíaco

Duodeno y cabeza del páncreas reflejados hacia la izquierda



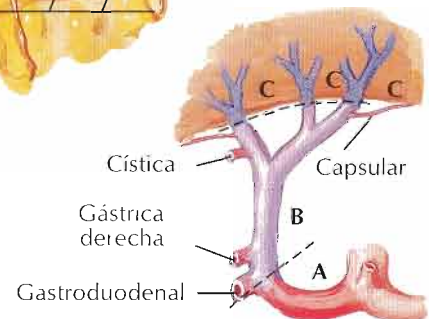


Arterias accesorias o reposicionadas

1. Hepática derecha o común
2. Hepática izquierda
3. Hepática derecha
4. Cística

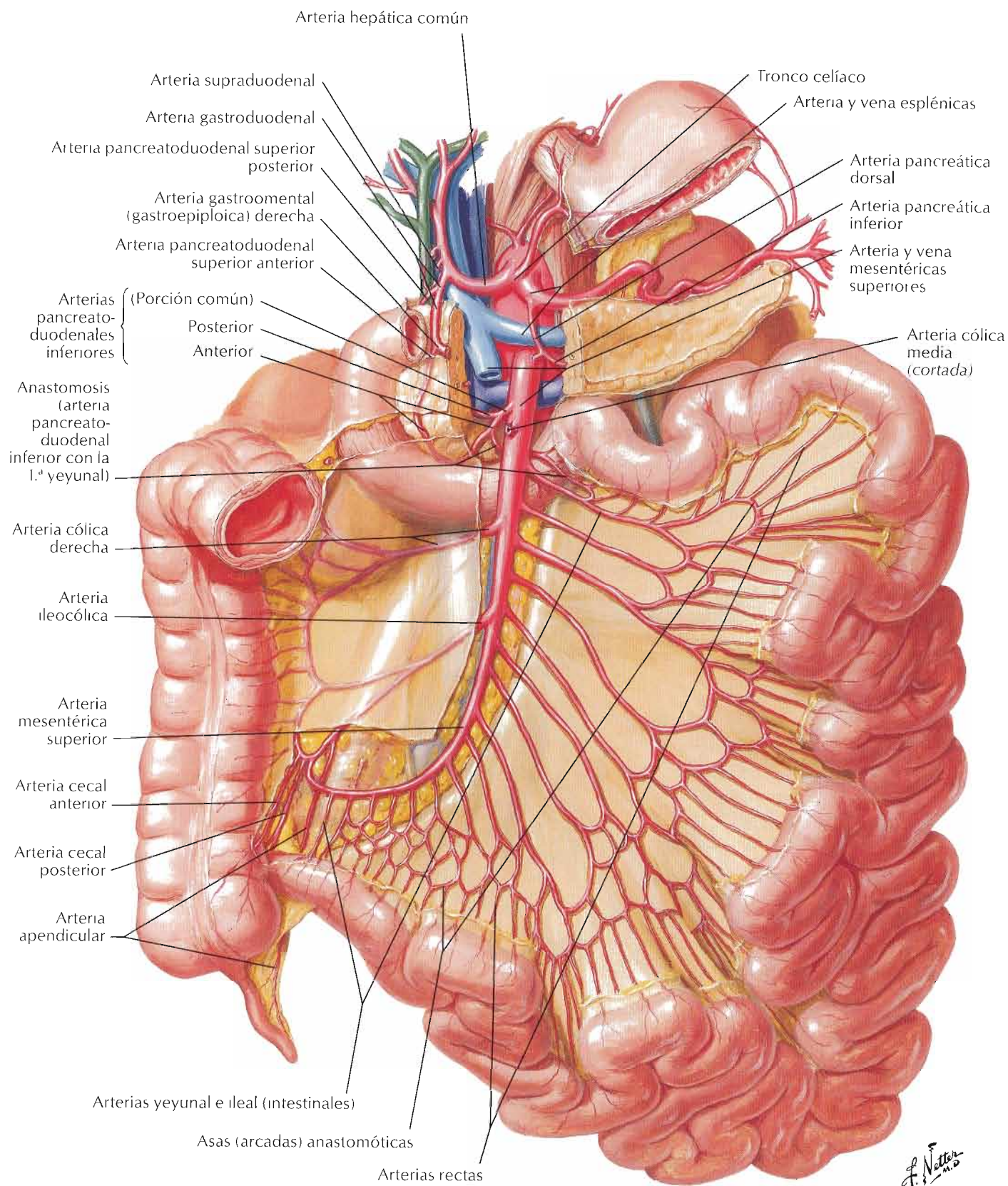
Anastomosis de las arterias correspondientes

5. Frénica inferior/gástrica izquierda ↔ hepática izquierda
6. Hepática derecha ↔ Izquierda

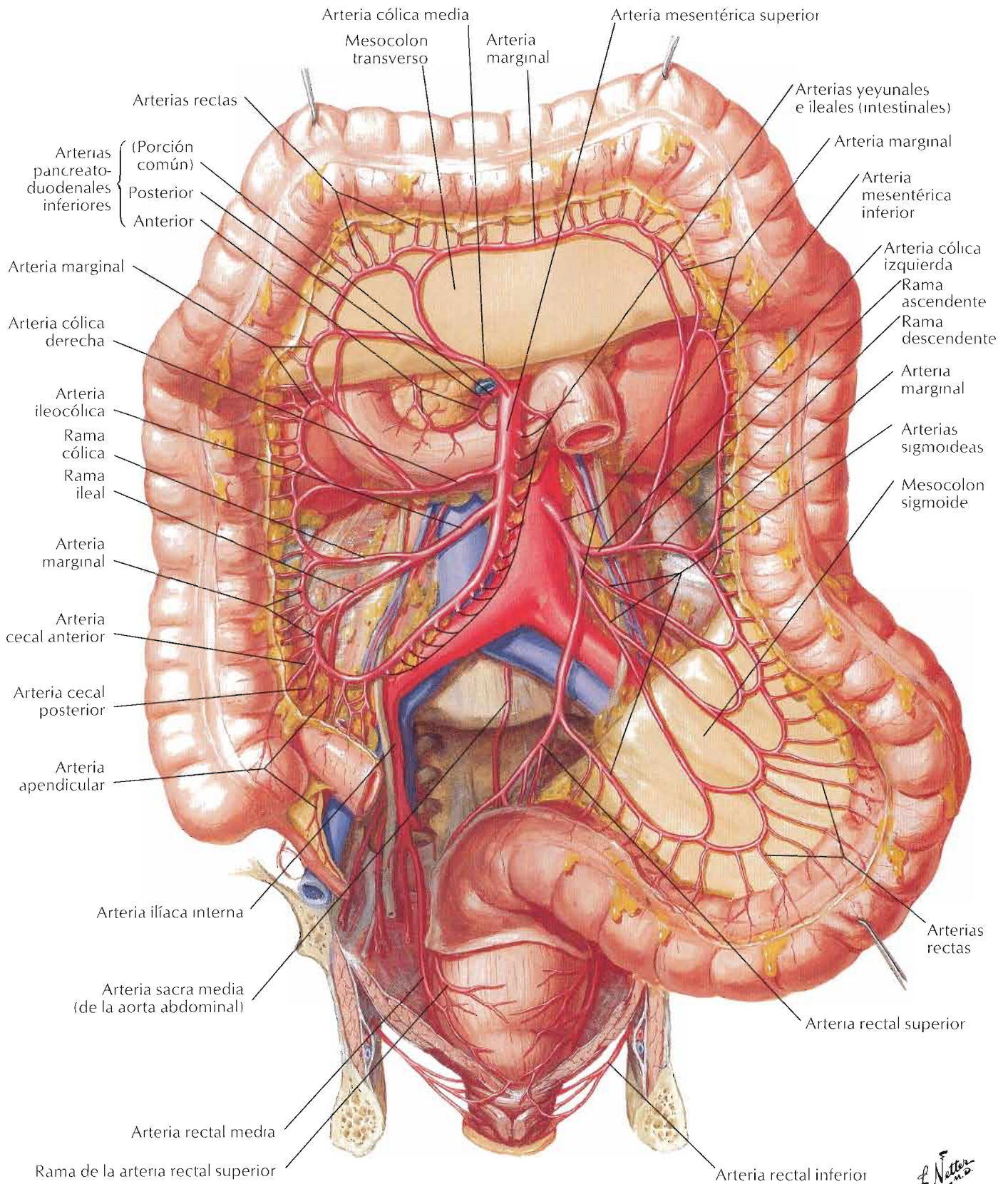


Efectos de la obstrucción de la arteria hepática

- A. Zona de protección relativa
- B. Zona de efectos dudosos
- C. Zona de infarto inevitable

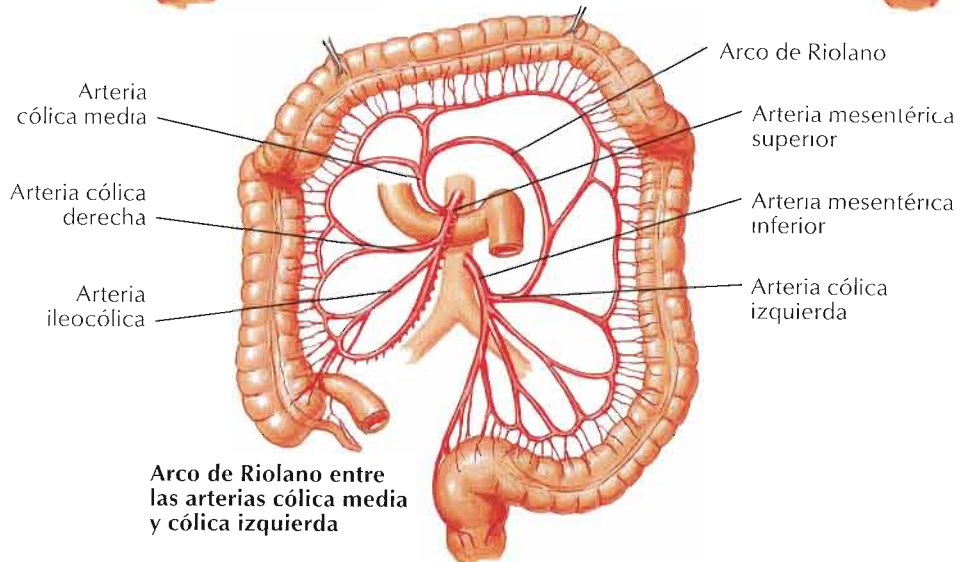
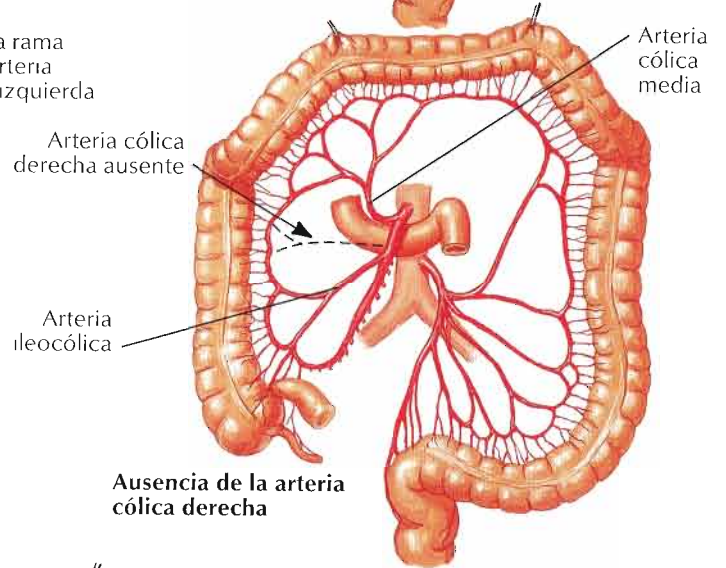
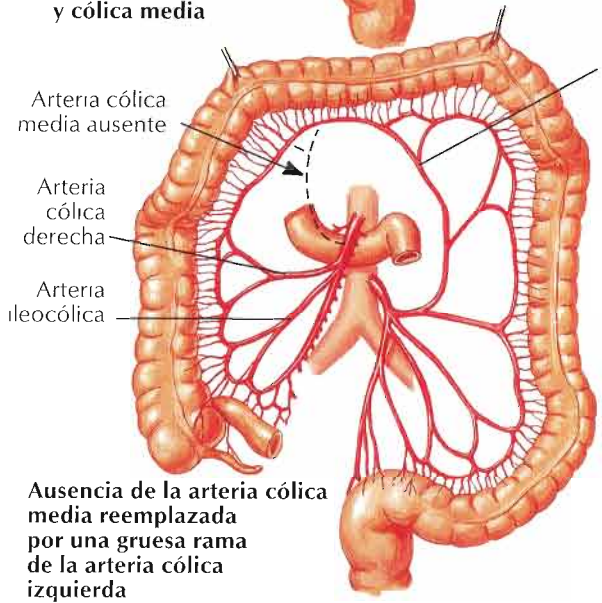
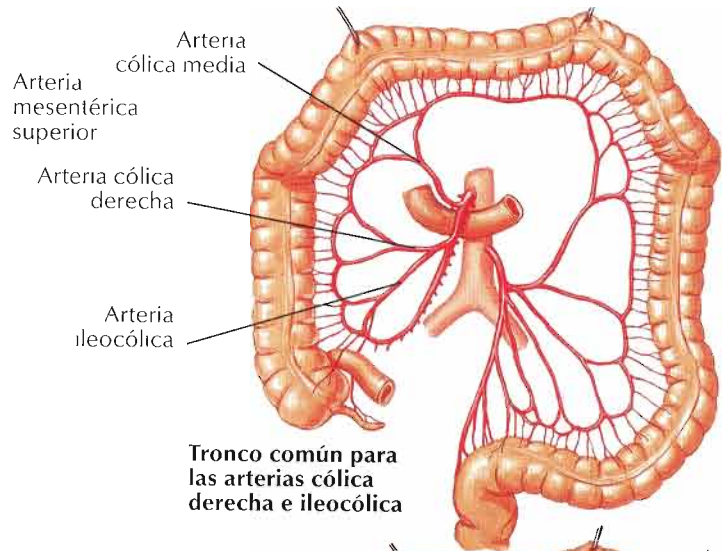
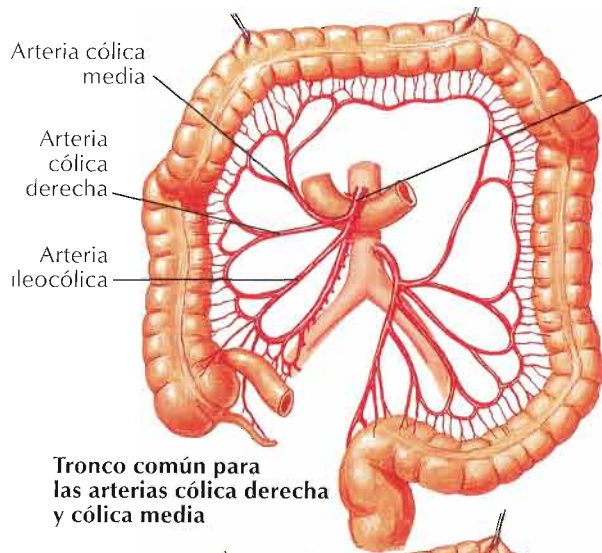


Para las arterias del recto véase también lámina 398

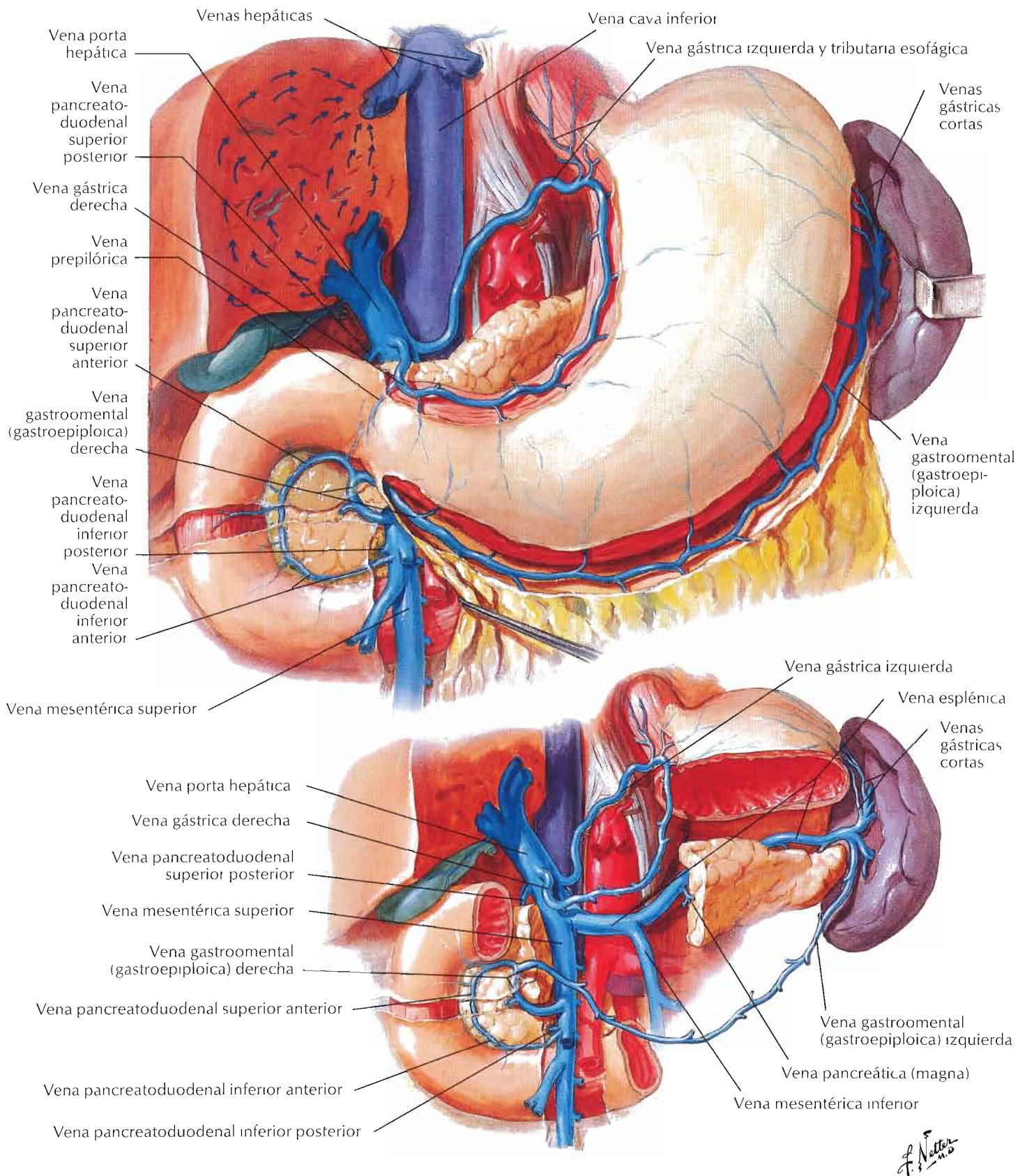


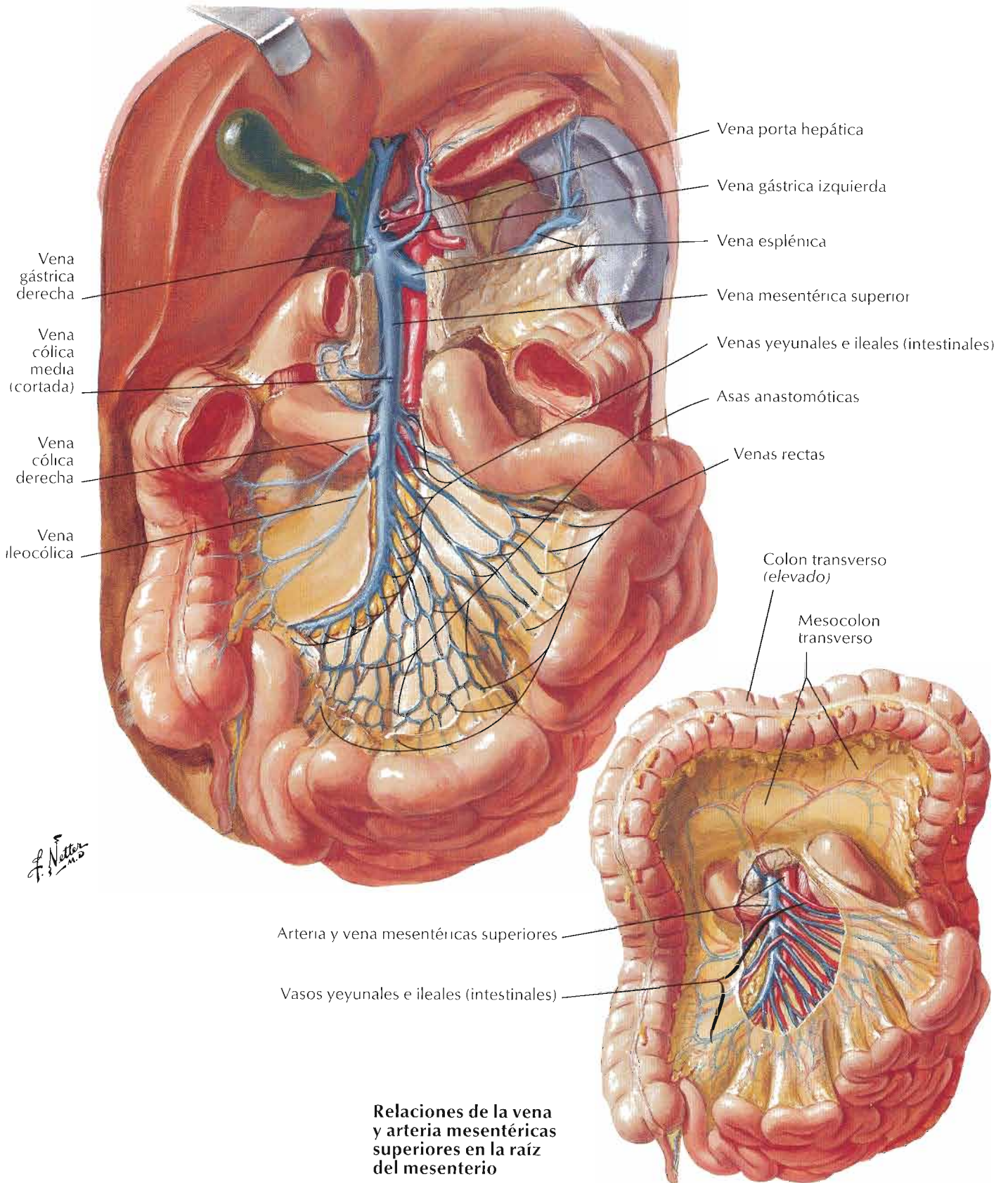
F. Netter M.D.

Variaciones en las arterias cólicas



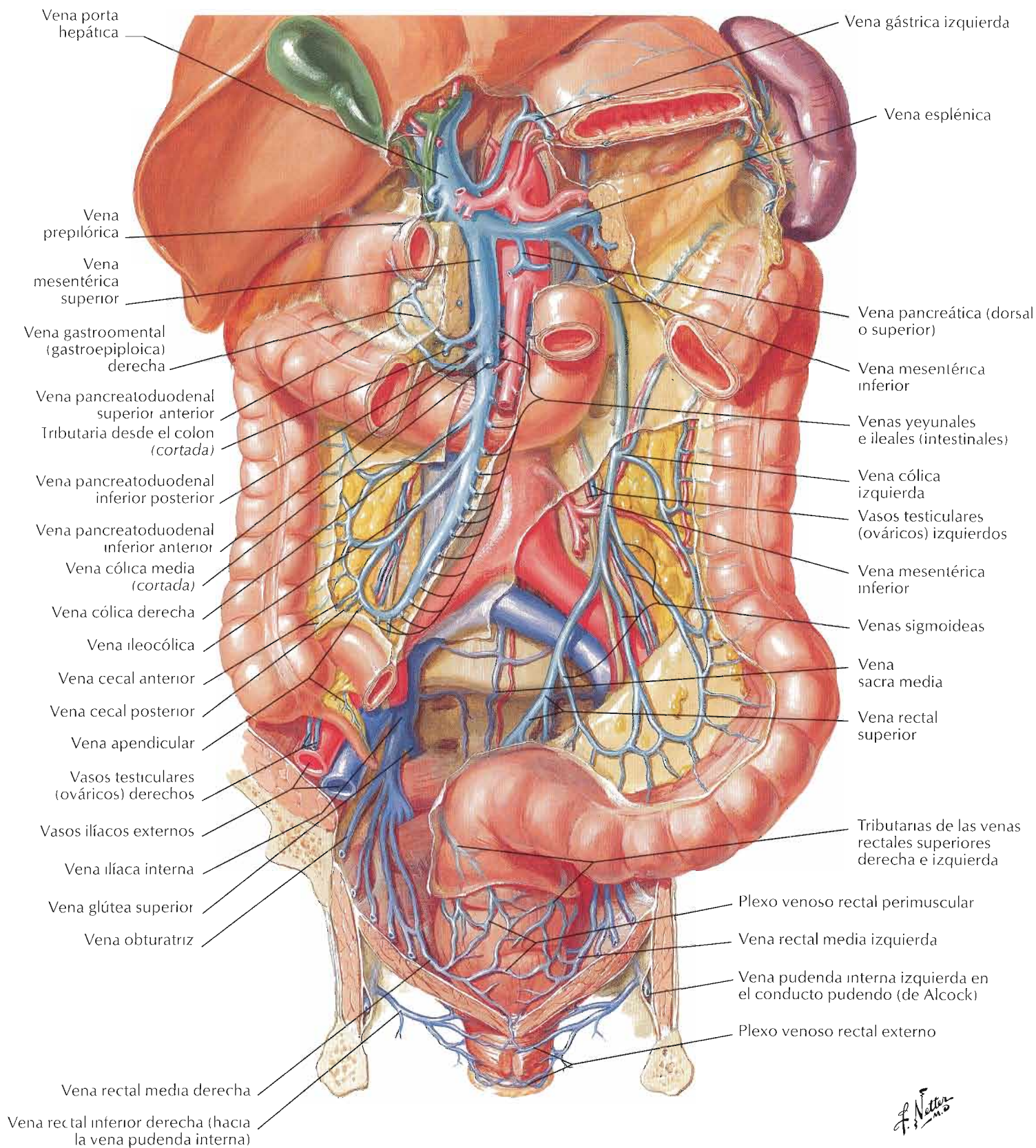
F. Netter M.D.





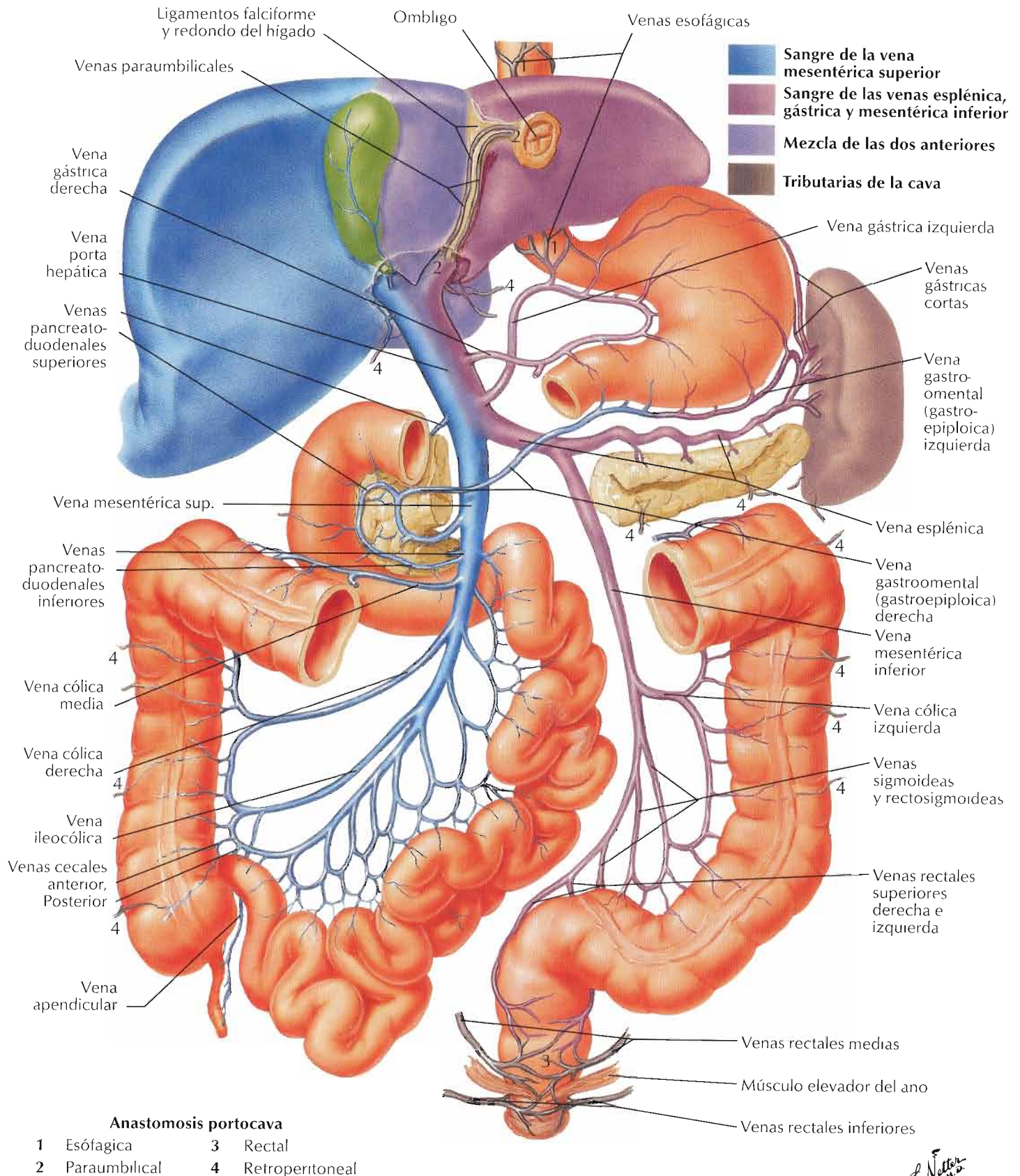
Relaciones de la vena y arteria mesentéricas superiores en la raíz del mesenterio

Para las venas del recto véase también lámina 399



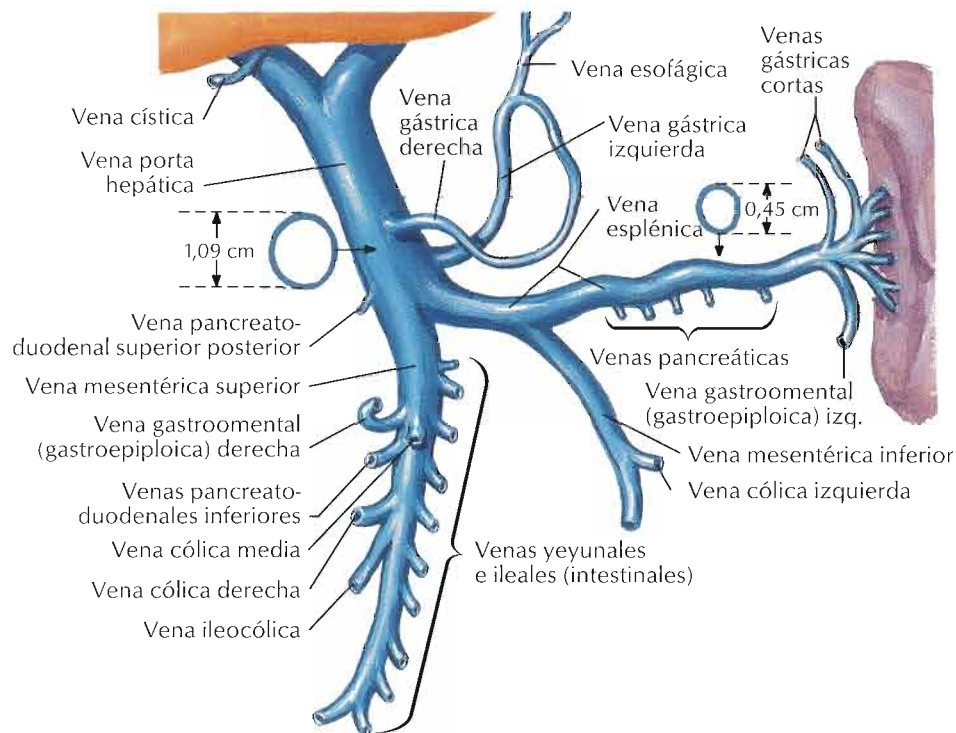
F. Netter
M.D.

Tributarias de la vena porta hepática: anastomosis portocava

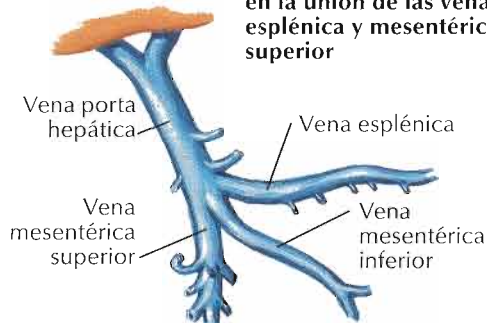


F. Netter M.D.

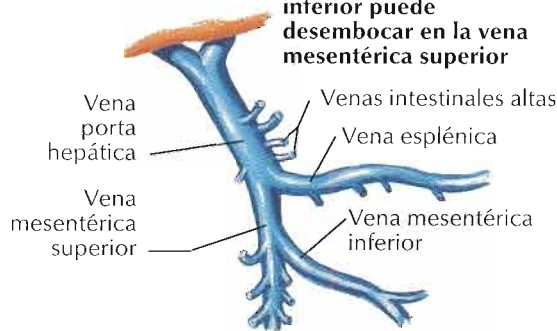
Disposición típica



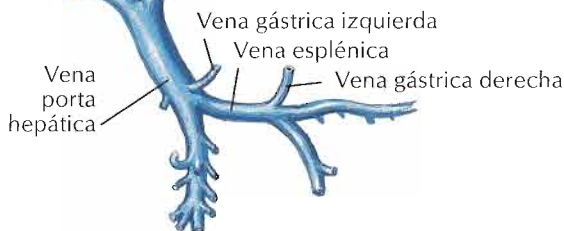
La vena mesentérica inferior puede desembocar en la unión de las venas esplénica y mesentérica superior



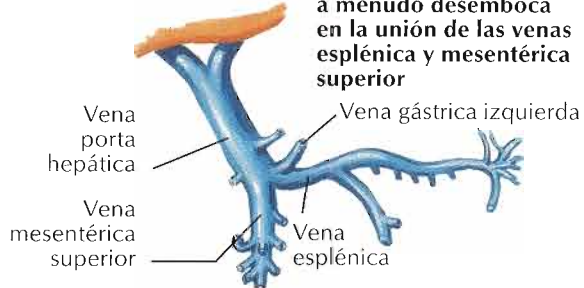
La vena mesentérica inferior puede desembocar en la vena mesentérica superior



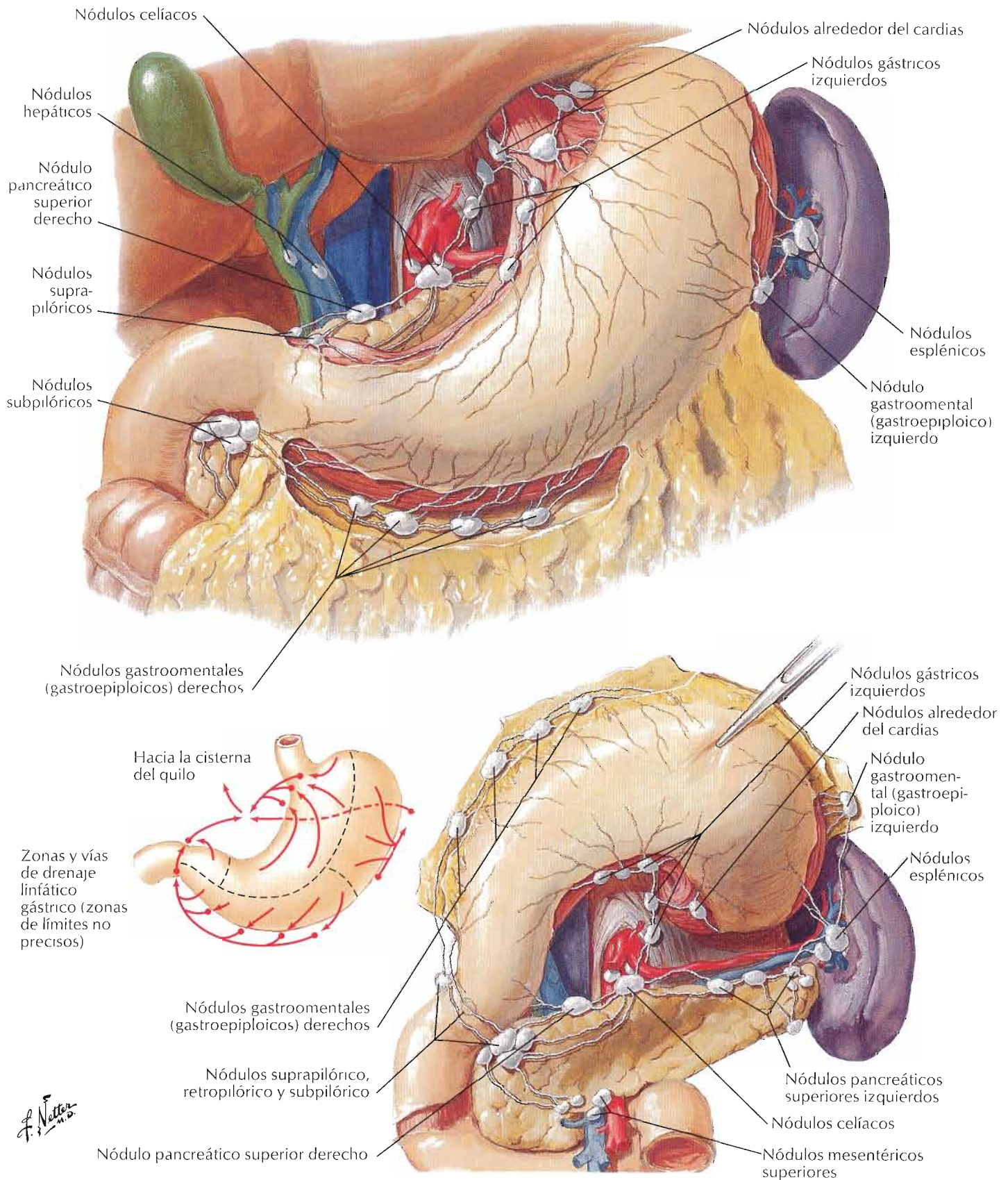
La vena gástrica izquierda puede desembocar en la vena esplénica (24% de los casos)



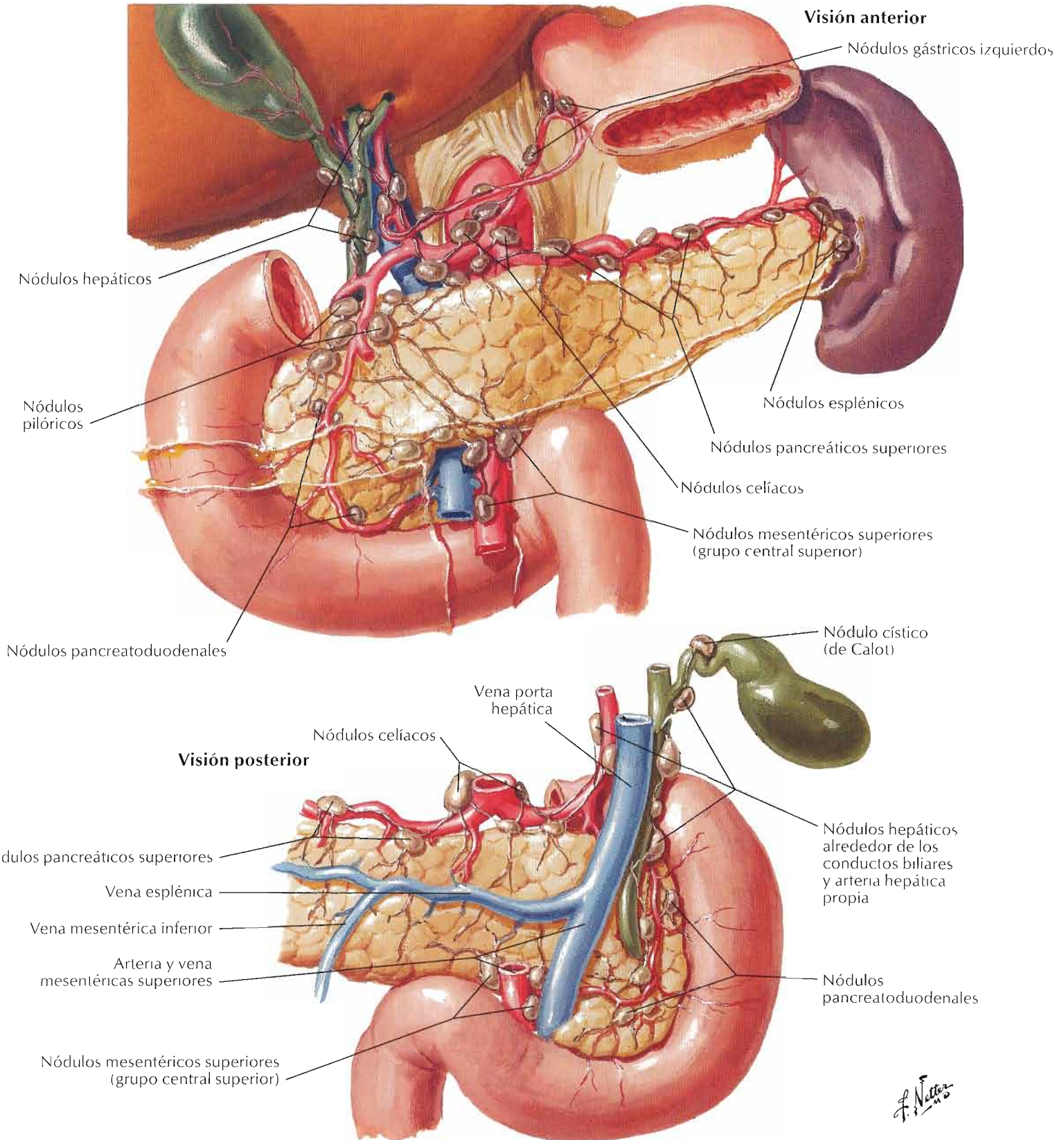
La vena gástrica izquierda a menudo desemboca en la unión de las venas esplénica y mesentérica superior

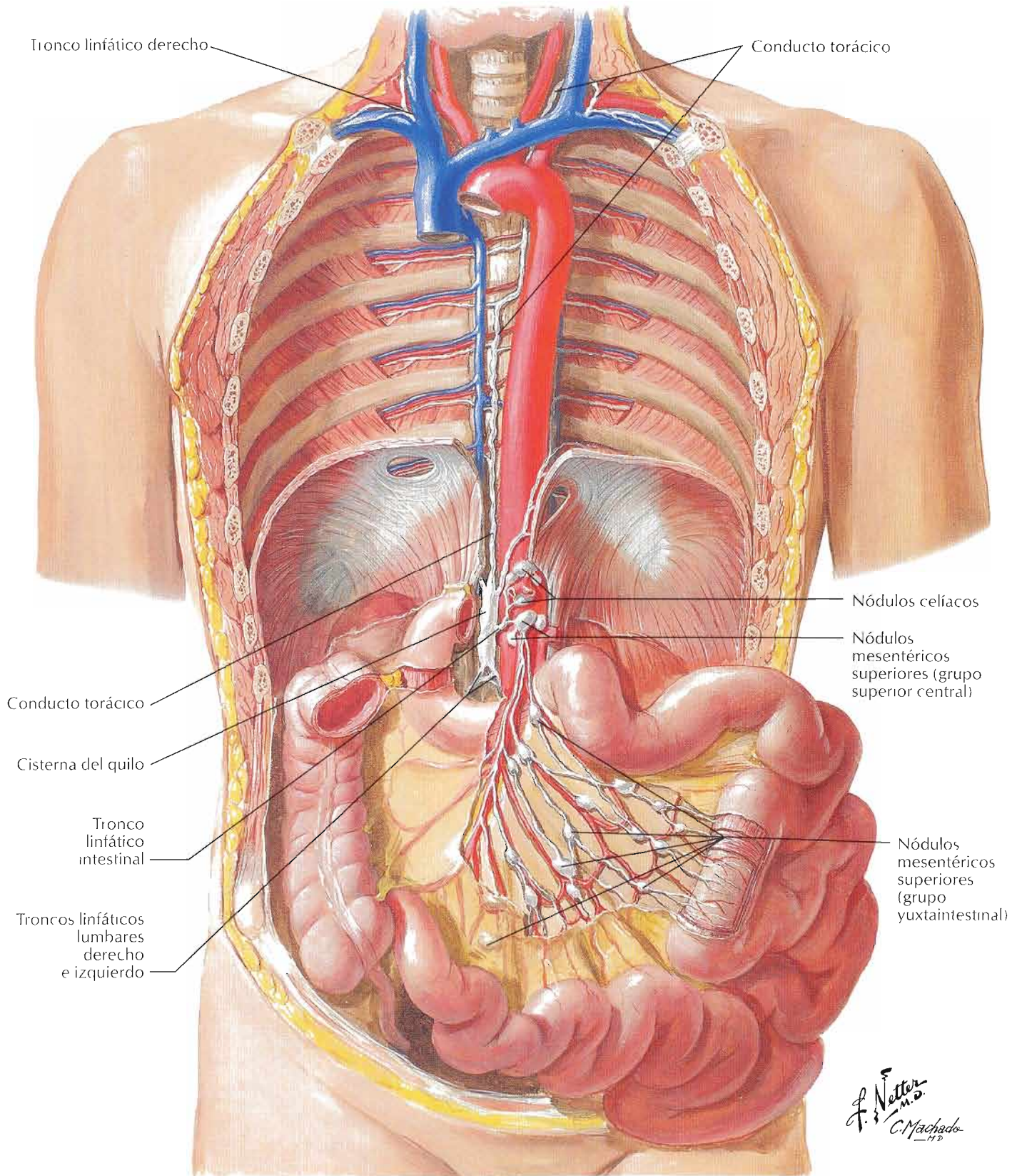


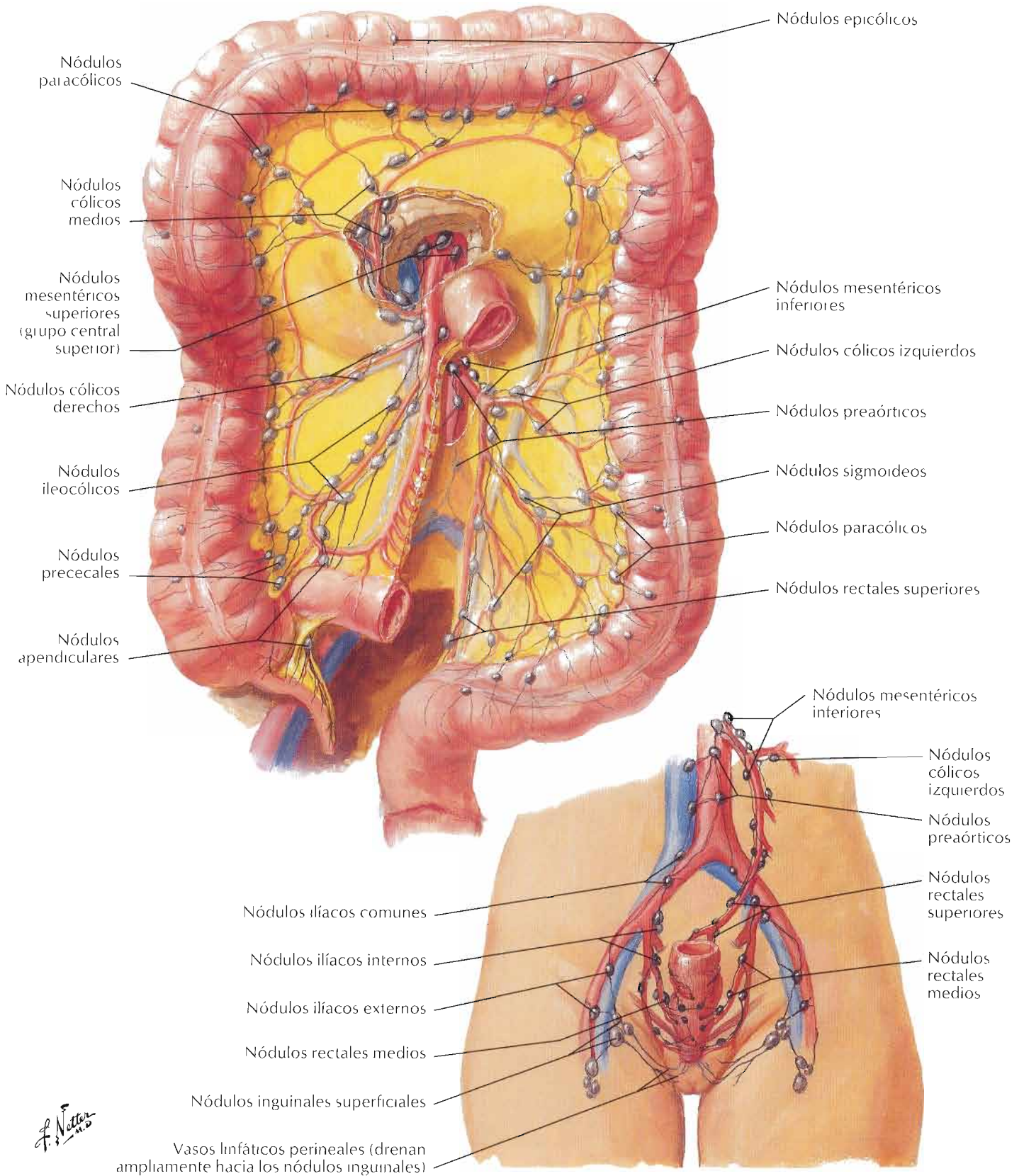
F. Netter M.D.



F. Netter M.D.

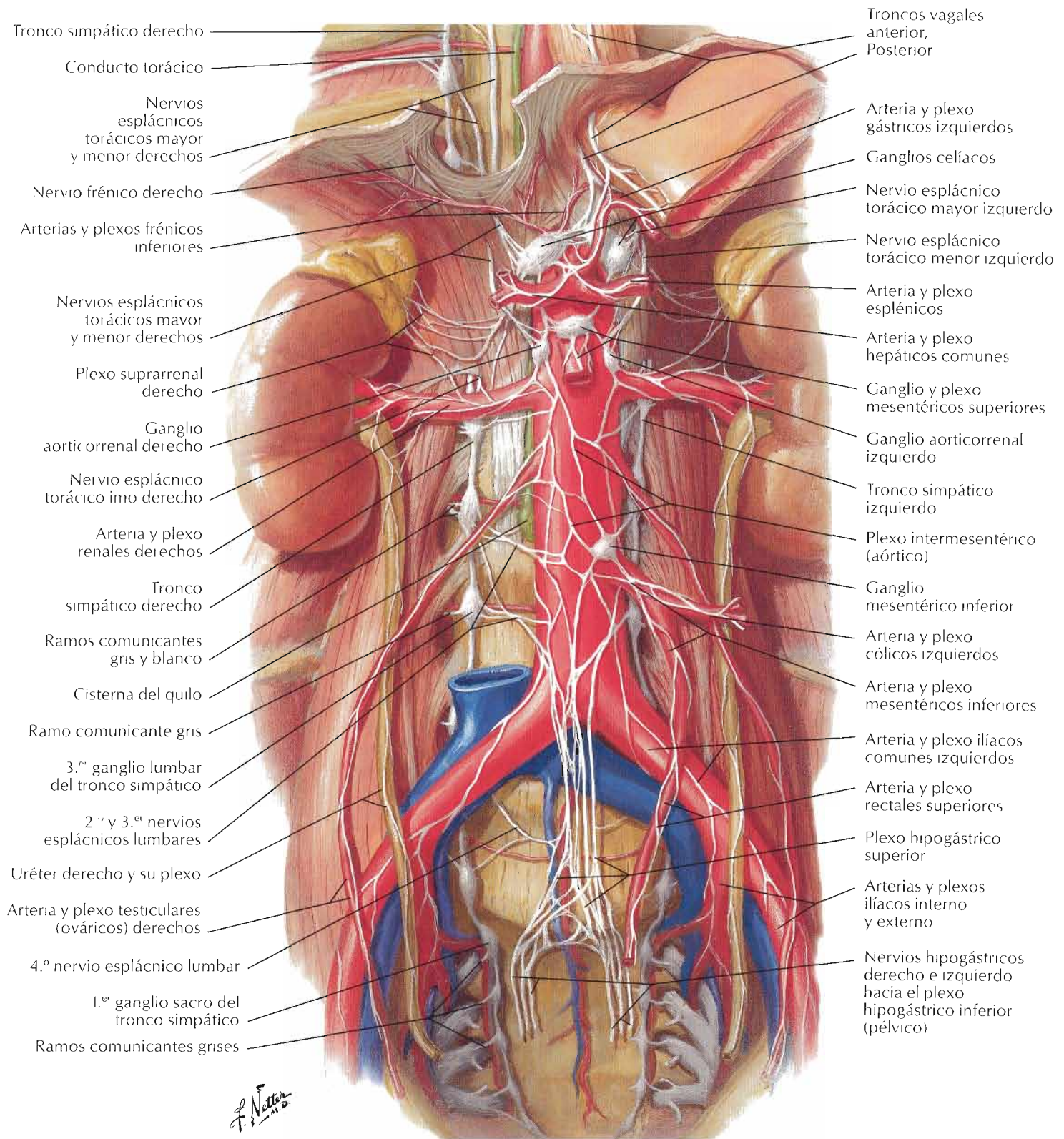


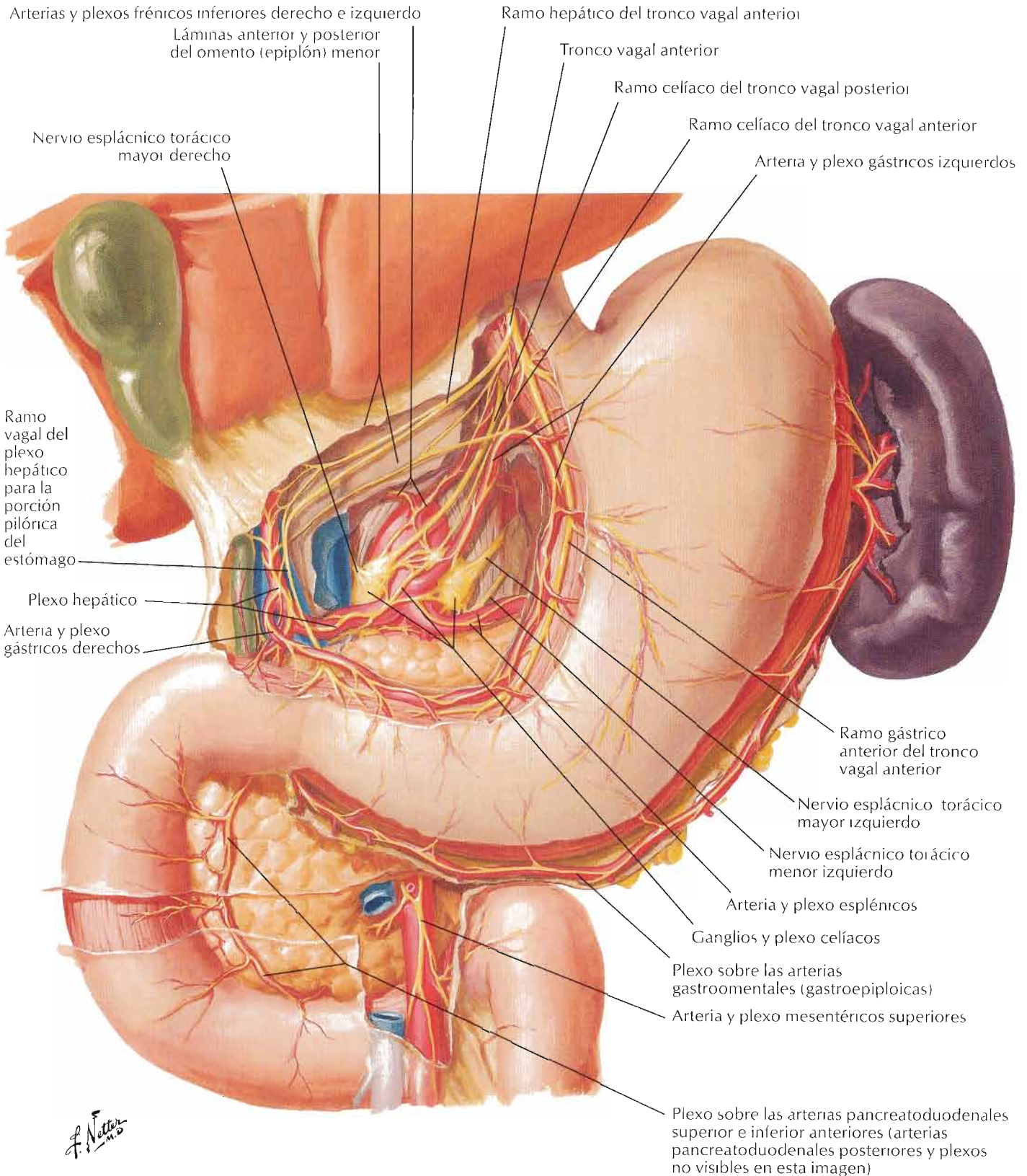




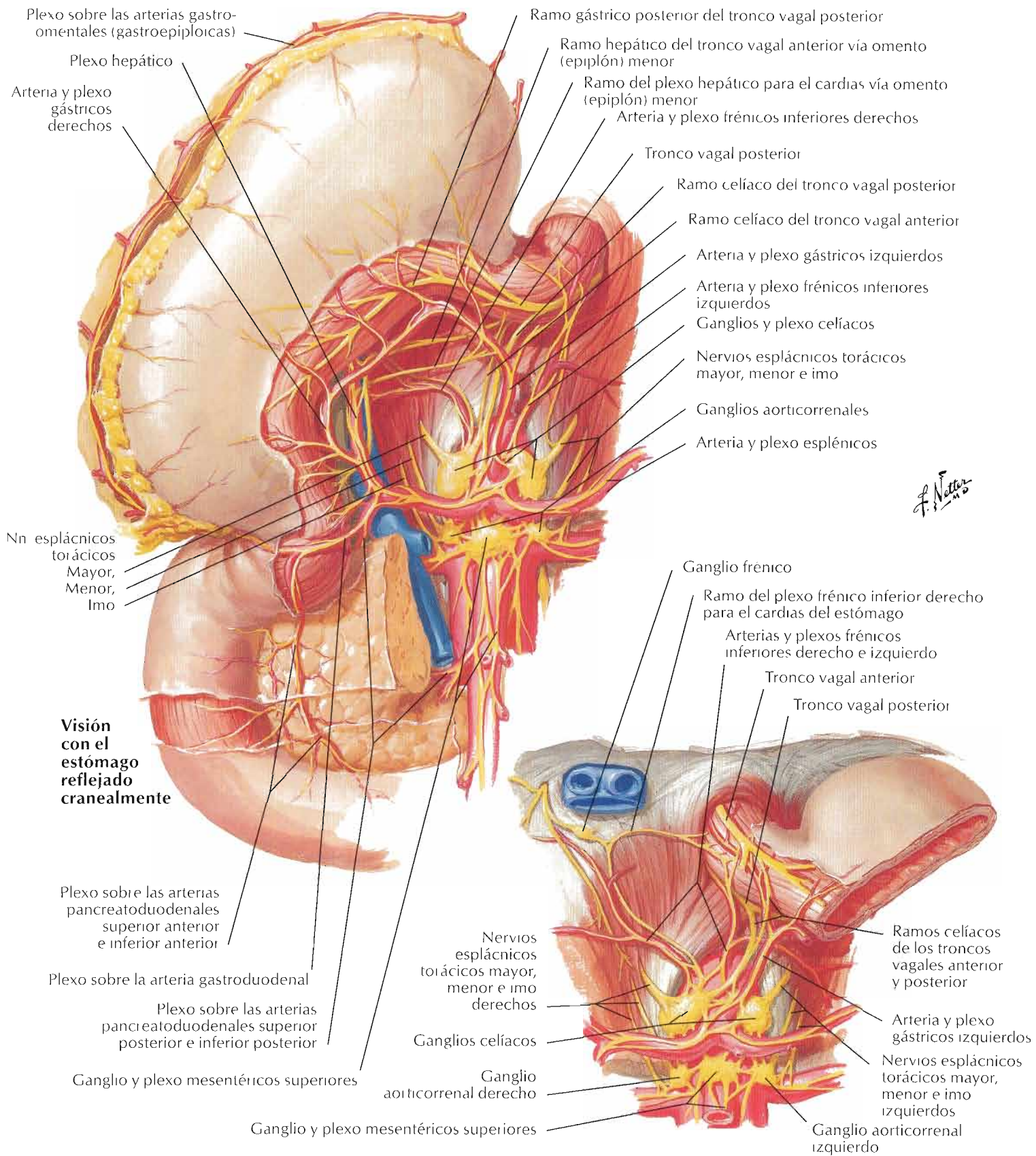
F. Netter M.D.

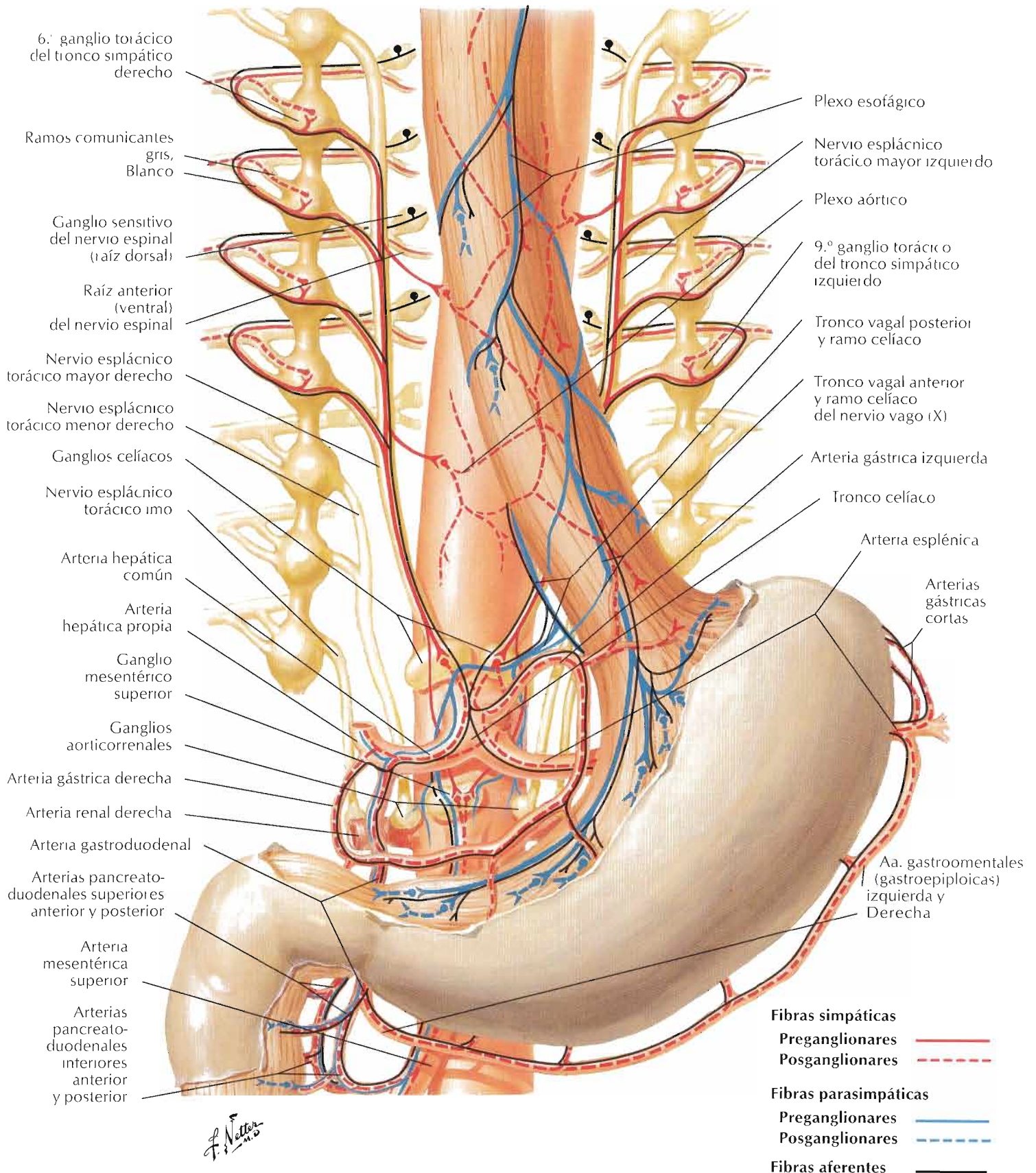
Véanse también láminas 165, 166



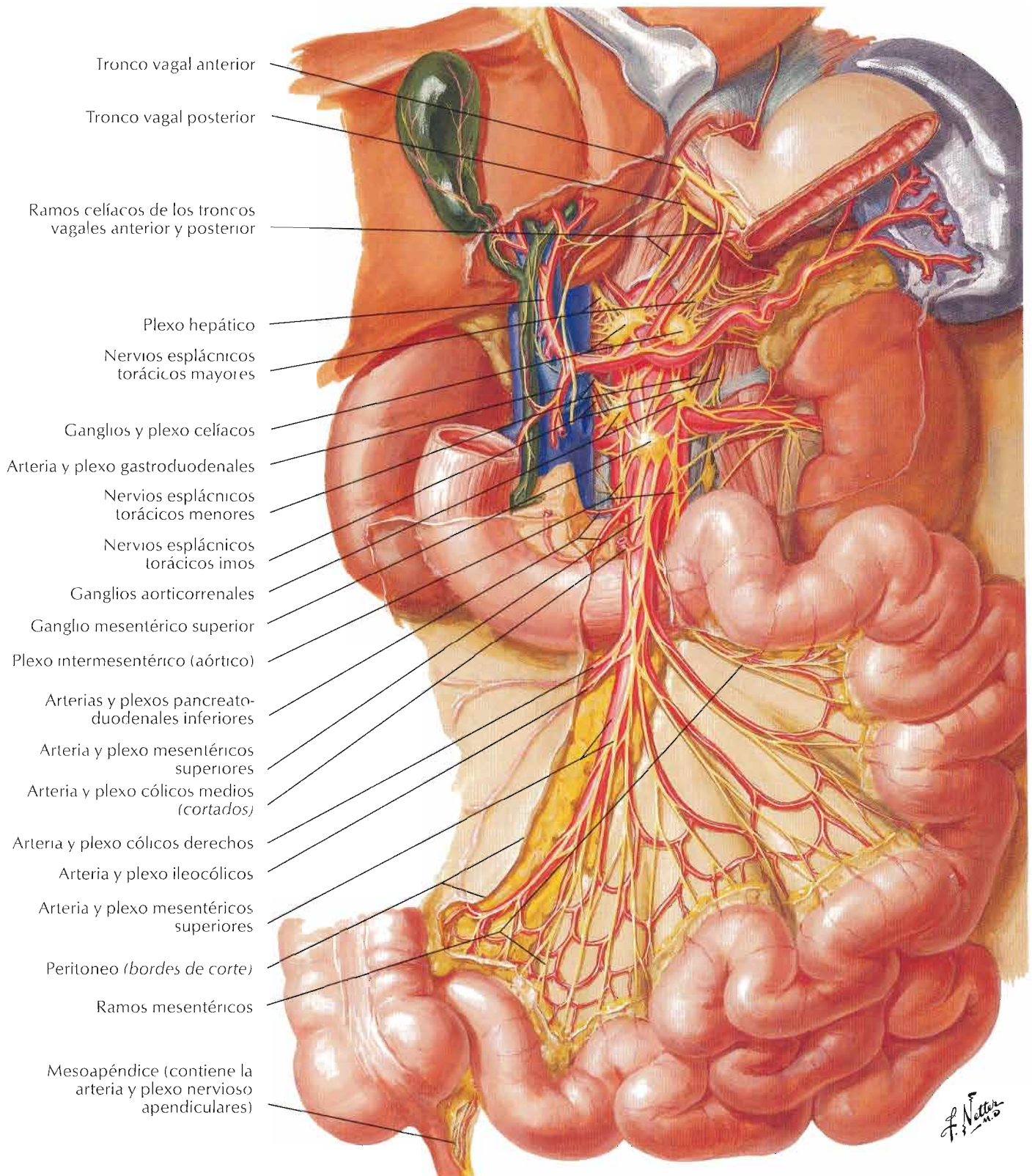


Véanse también láminas 165, 166

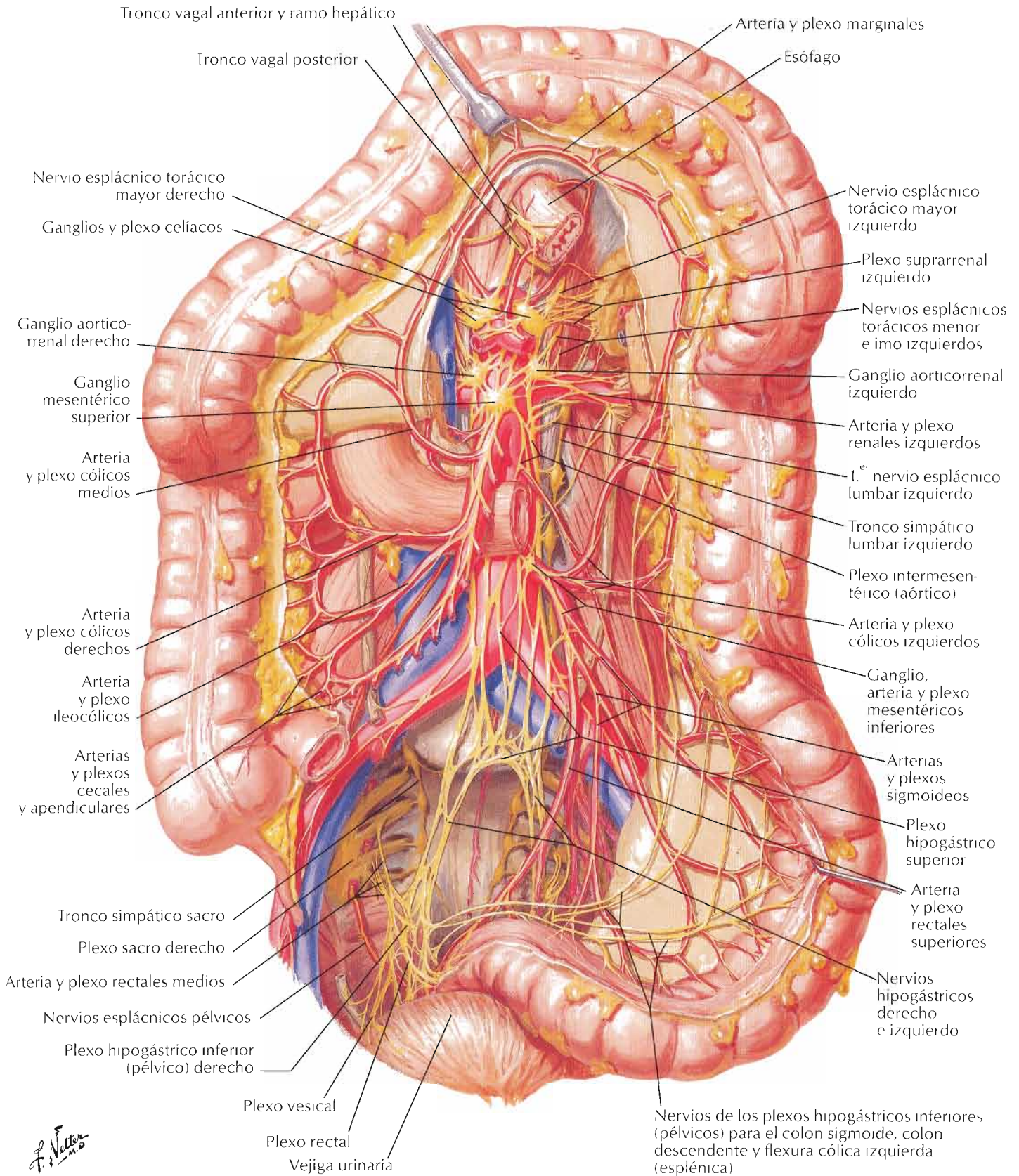




Véanse también láminas 165, 166

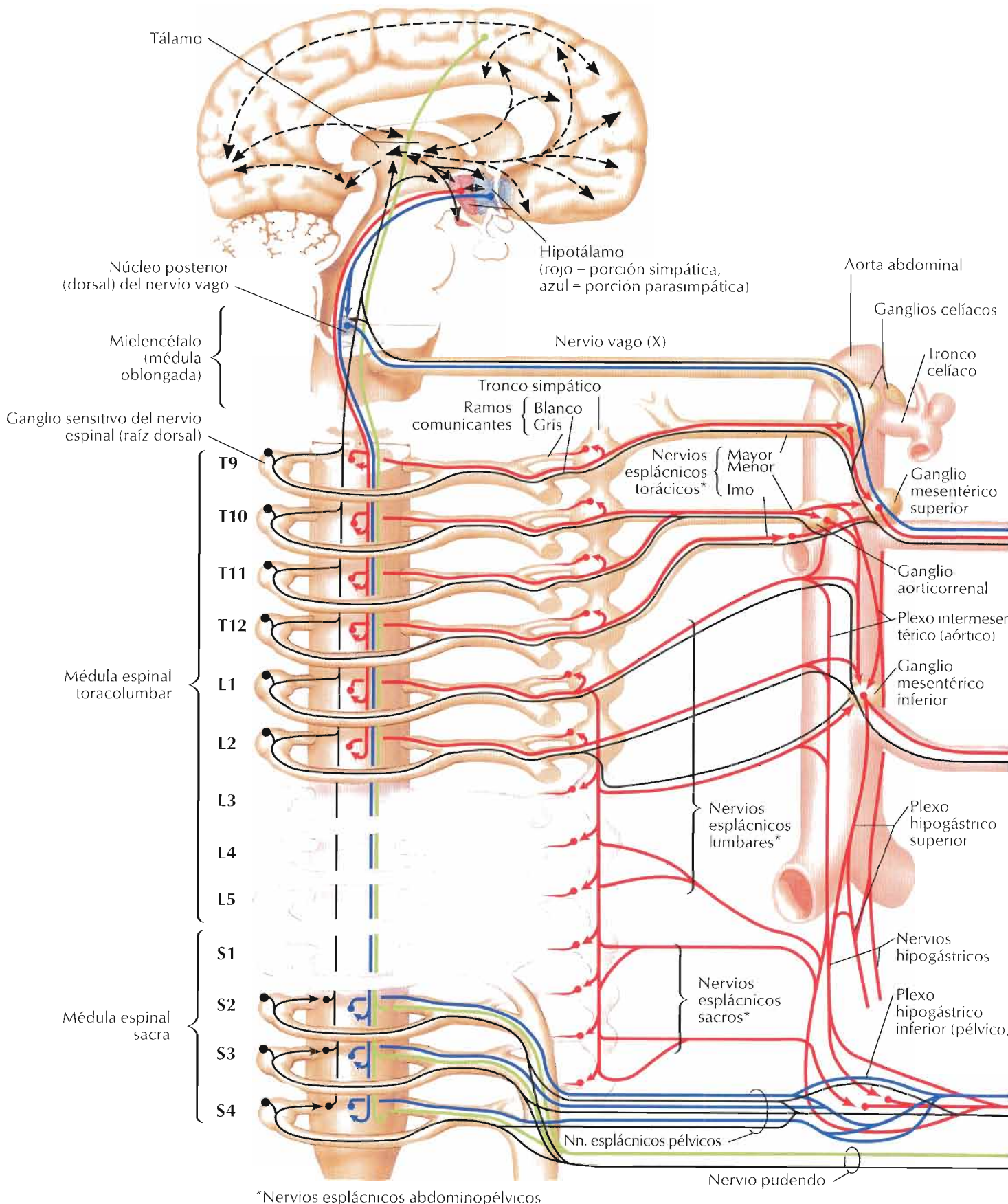


Para los nervios del recto véanse láminas 165, 166, 410-413

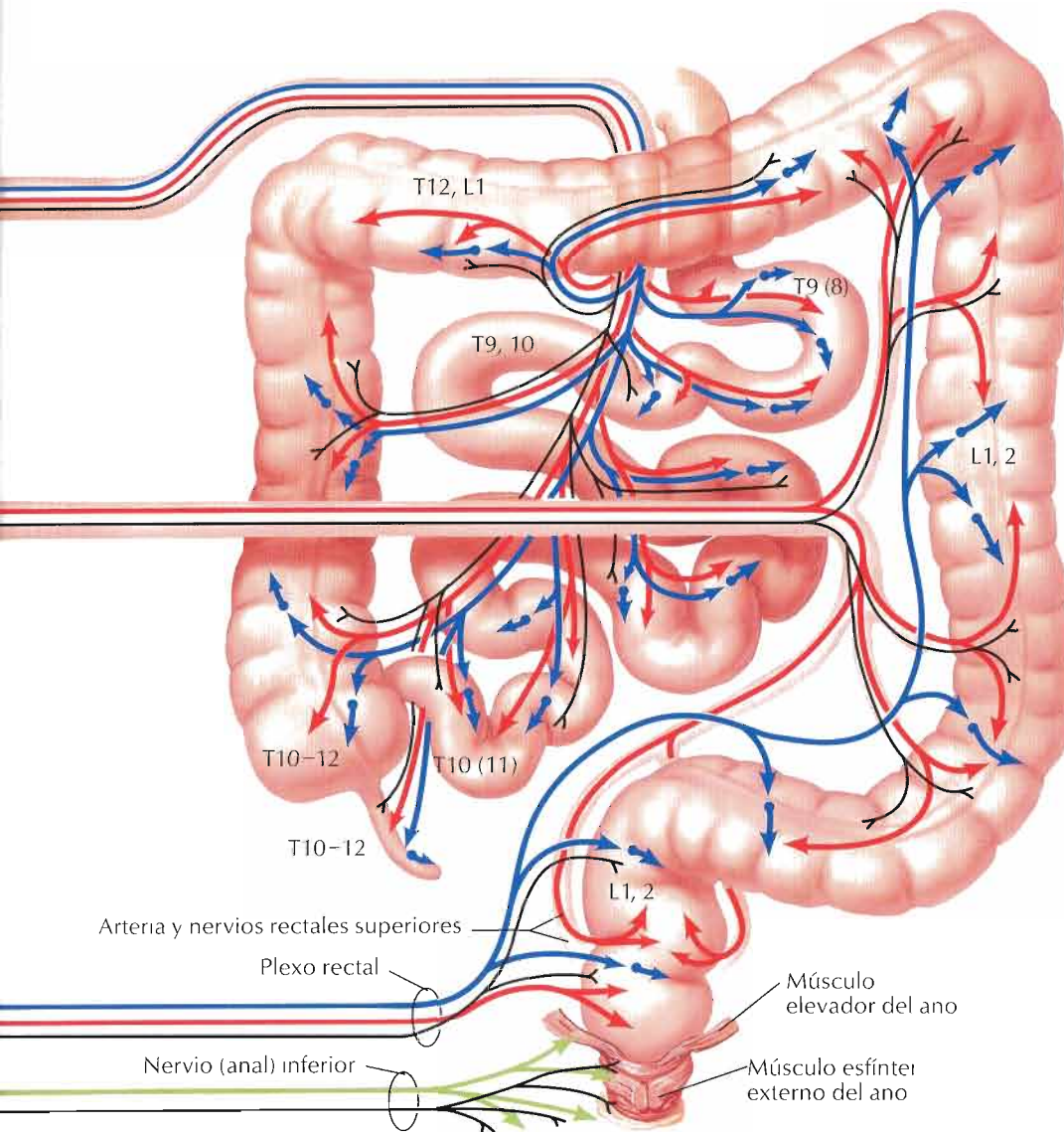


F. Netter M.D.

Véanse también láminas 167, 168

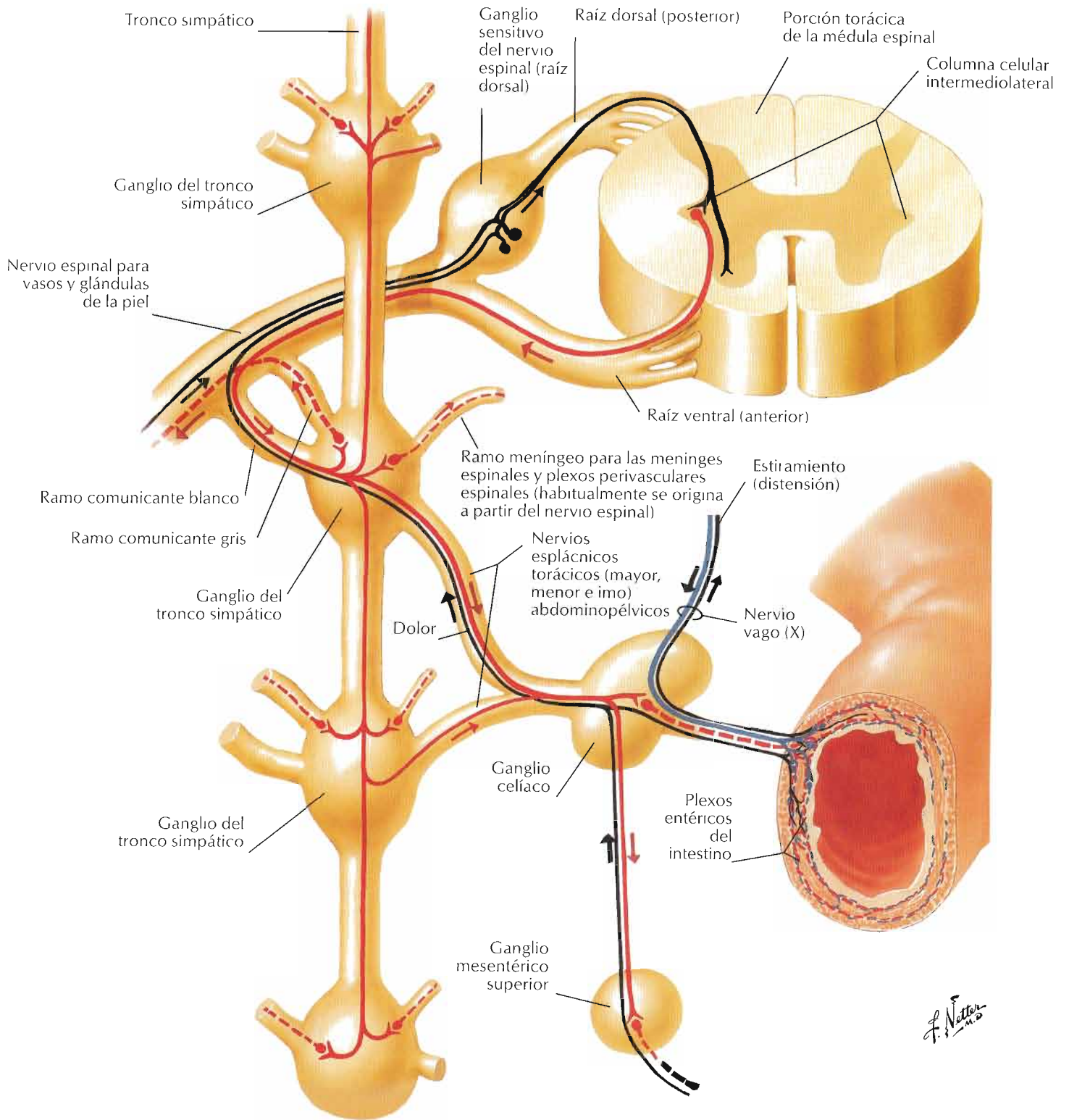


- Eferentes simpáticas —
- Eferentes parasimpáticas —
- Eferentes somáticas —
- Aferentes y conexiones con el SNC —
- Vías indefinidas - - - -



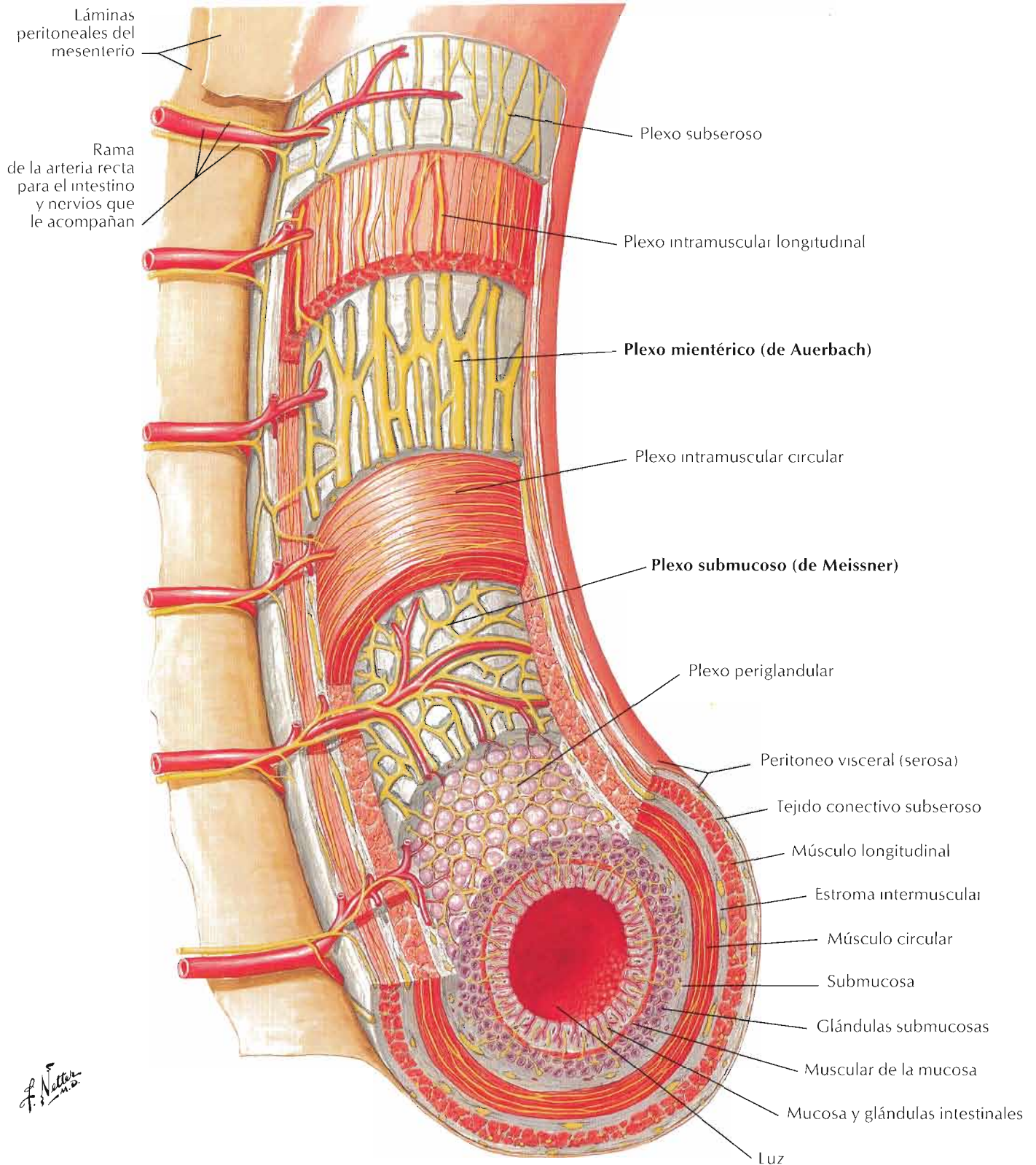
F. Netter M.D.

Se indican las principales fuentes segmentarias de fibras simpáticas que inervan diferentes regiones del tracto intestinal. Numerosas fibras aferentes son transportadas centrípetamente a través de casi los mismos nervios espláncnicos simpáticos que transmiten las fibras preganglionares



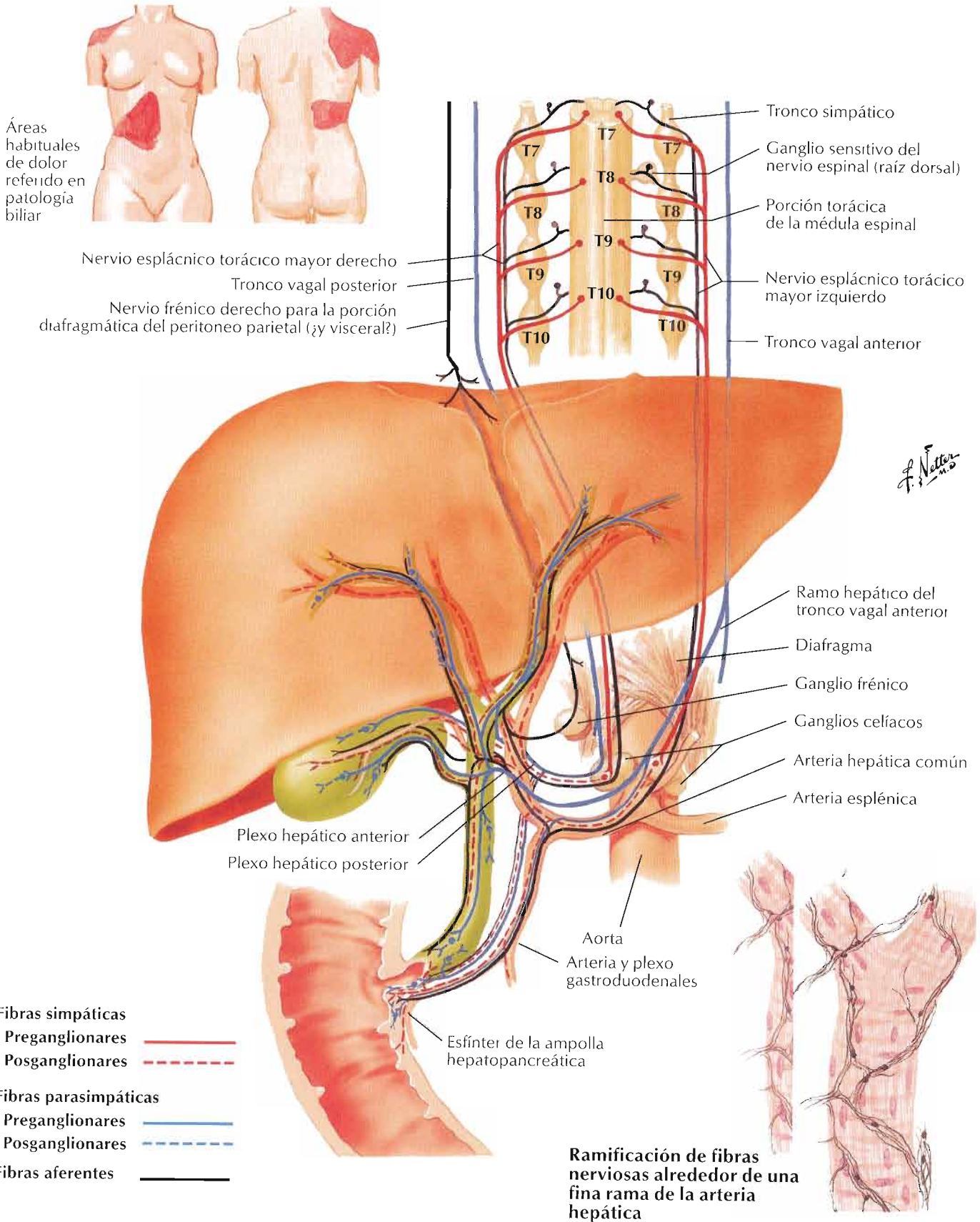
F. Netter M.D.

Fibras simpáticas	Preganglionares		Fibras parasimpáticas	Preganglionares		Fibras aferentes	
	Posganglionares			Posganglionares			



Nota: la pared intestinal se muestra mucho más gruesa que en la realidad

Véanse también láminas 167, 168

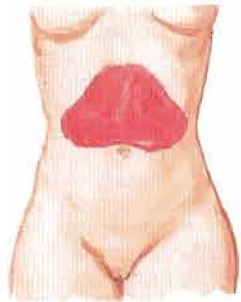


Fibras simpáticas
 Preganglionares ———
 Posganglionares - - - -

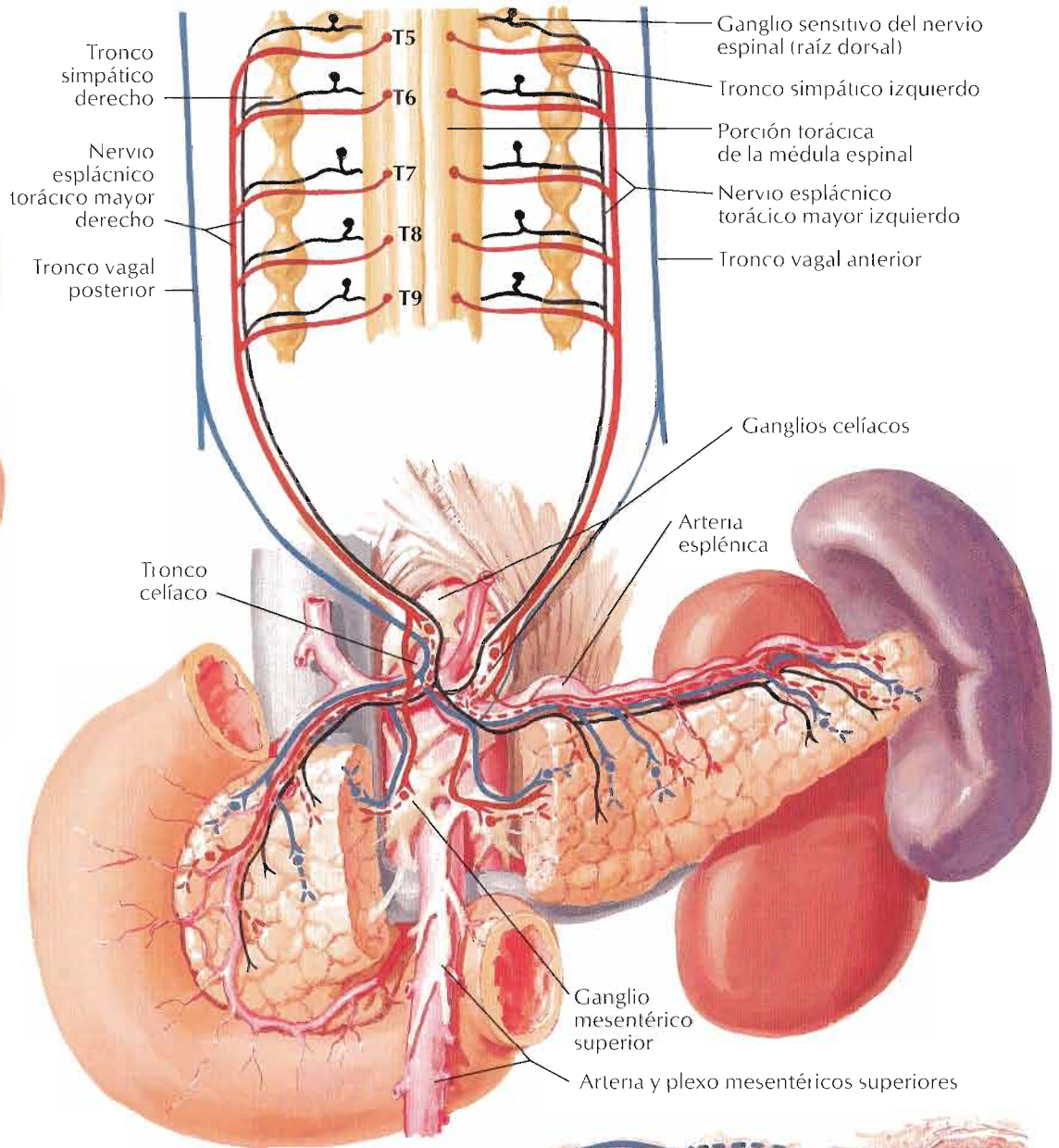
Fibras parasimpáticas
 Preganglionares ———
 Posganglionares - - - -

Fibras aferentes ———

Ramificación de fibras nerviosas alrededor de una fina rama de la arteria hepática



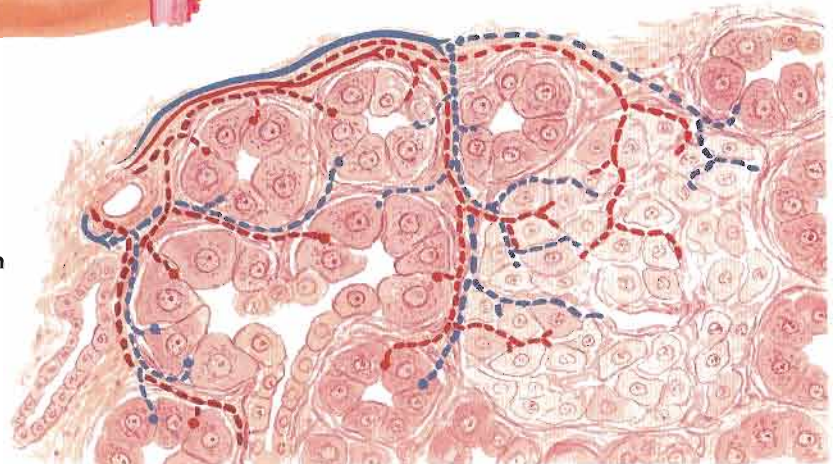
Áreas habituales de dolor pancreático

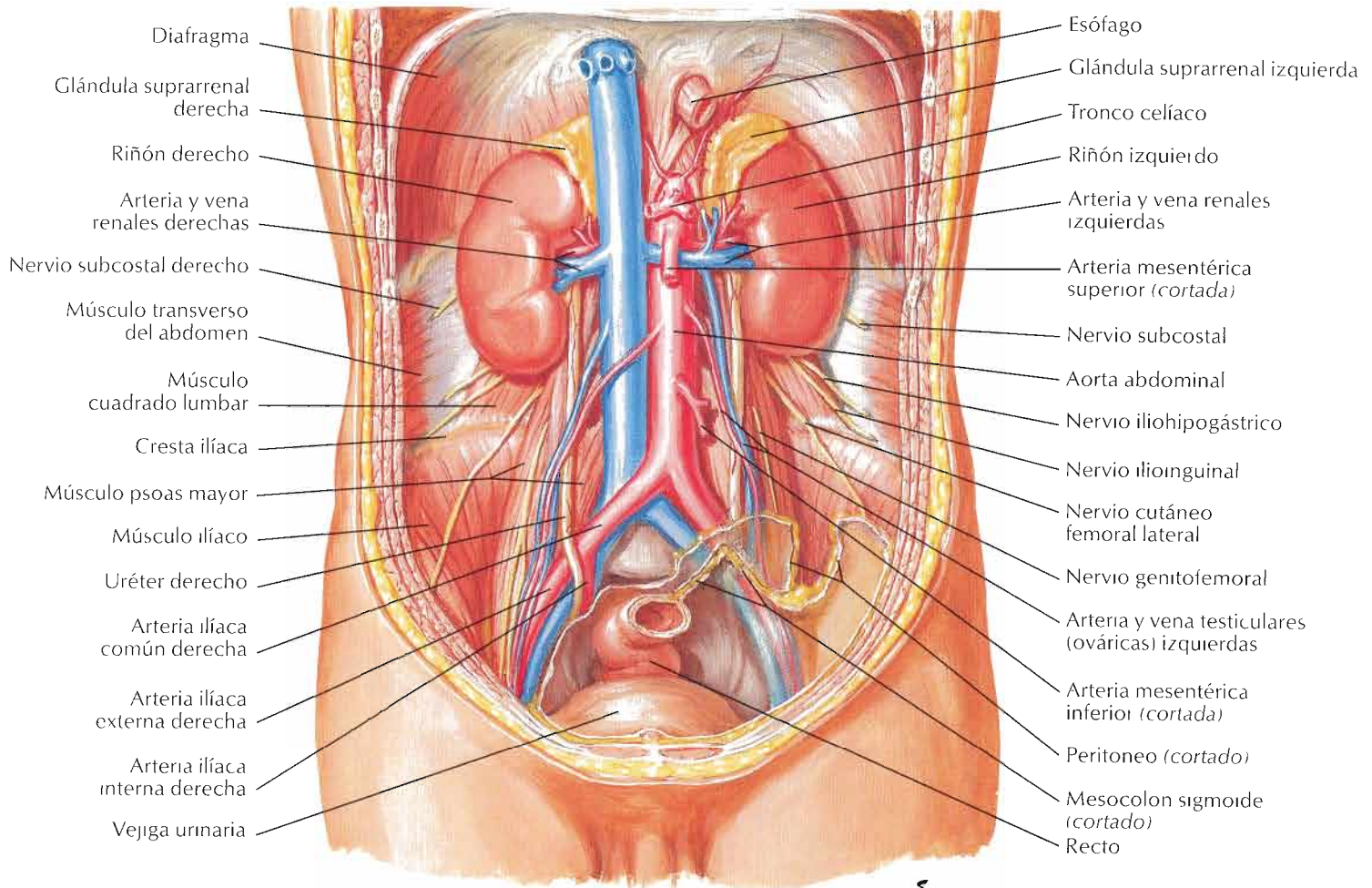


F. Netter M.D.

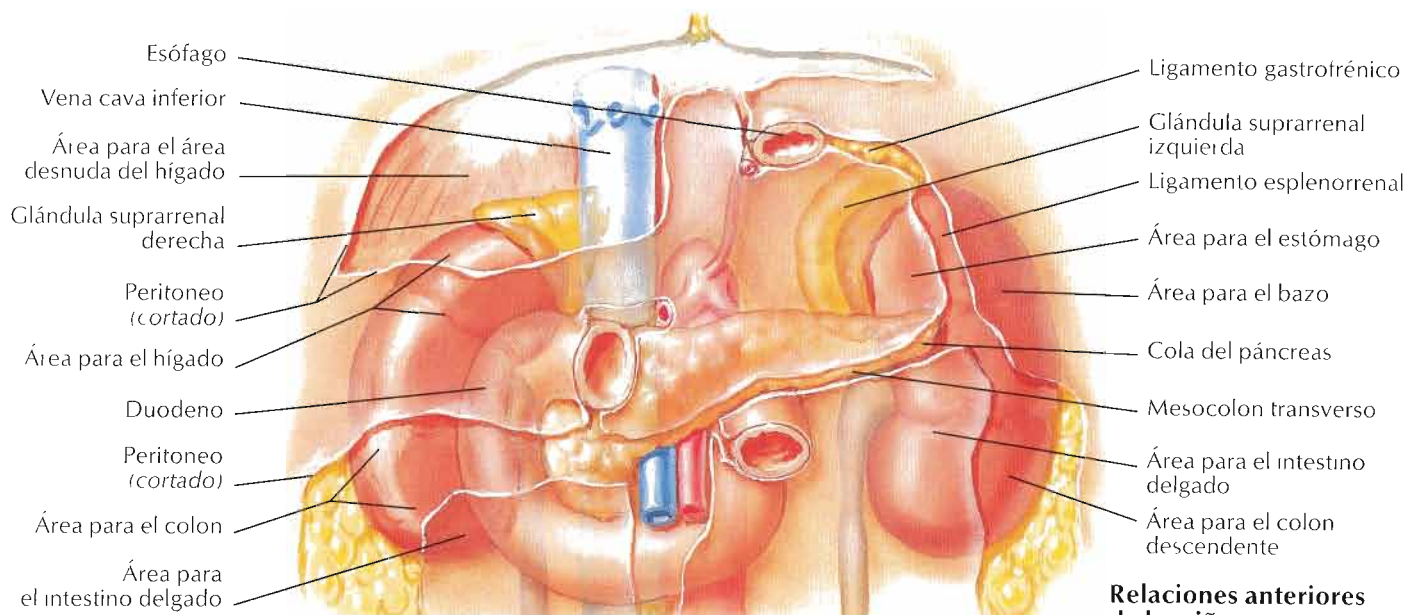
- Fibras simpáticas
 - Preganglionares ——— (red solid line)
 - Posganglionares - - - - - (red dashed line)
- Fibras parasimpáticas
 - Preganglionares ——— (blue solid line)
 - Posganglionares - - - - - (blue dashed line)
- Fibras aferentes ——— (black solid line)

Esquema de la inervación intrínseca

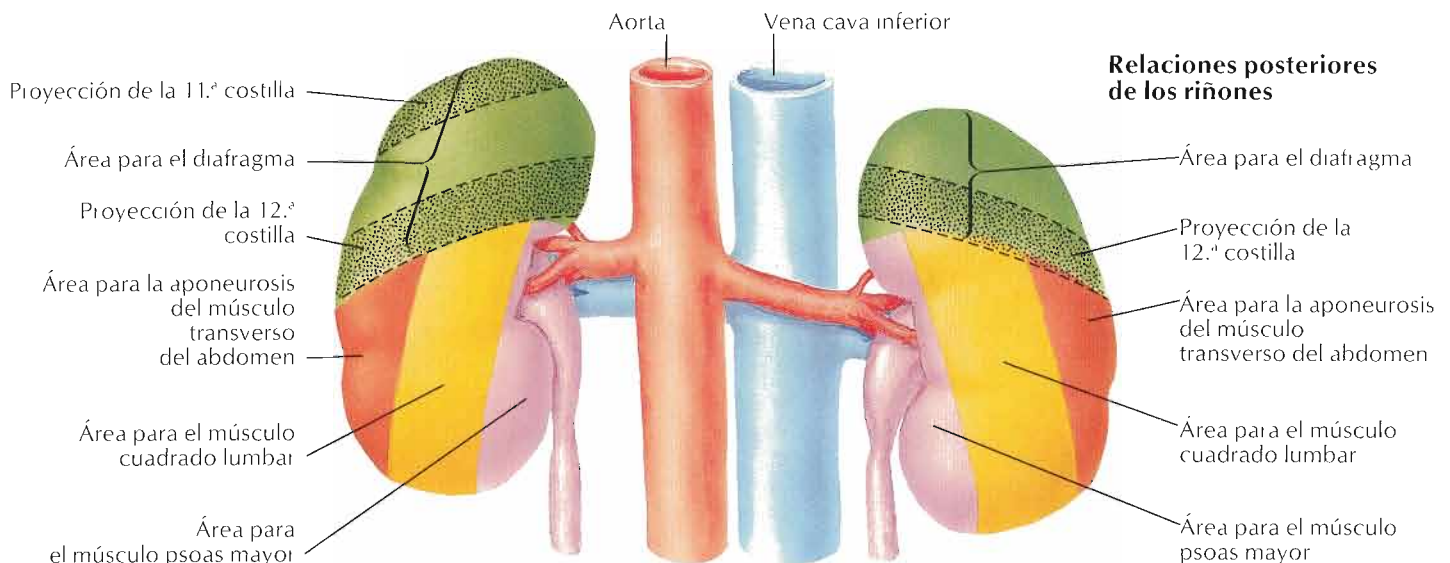
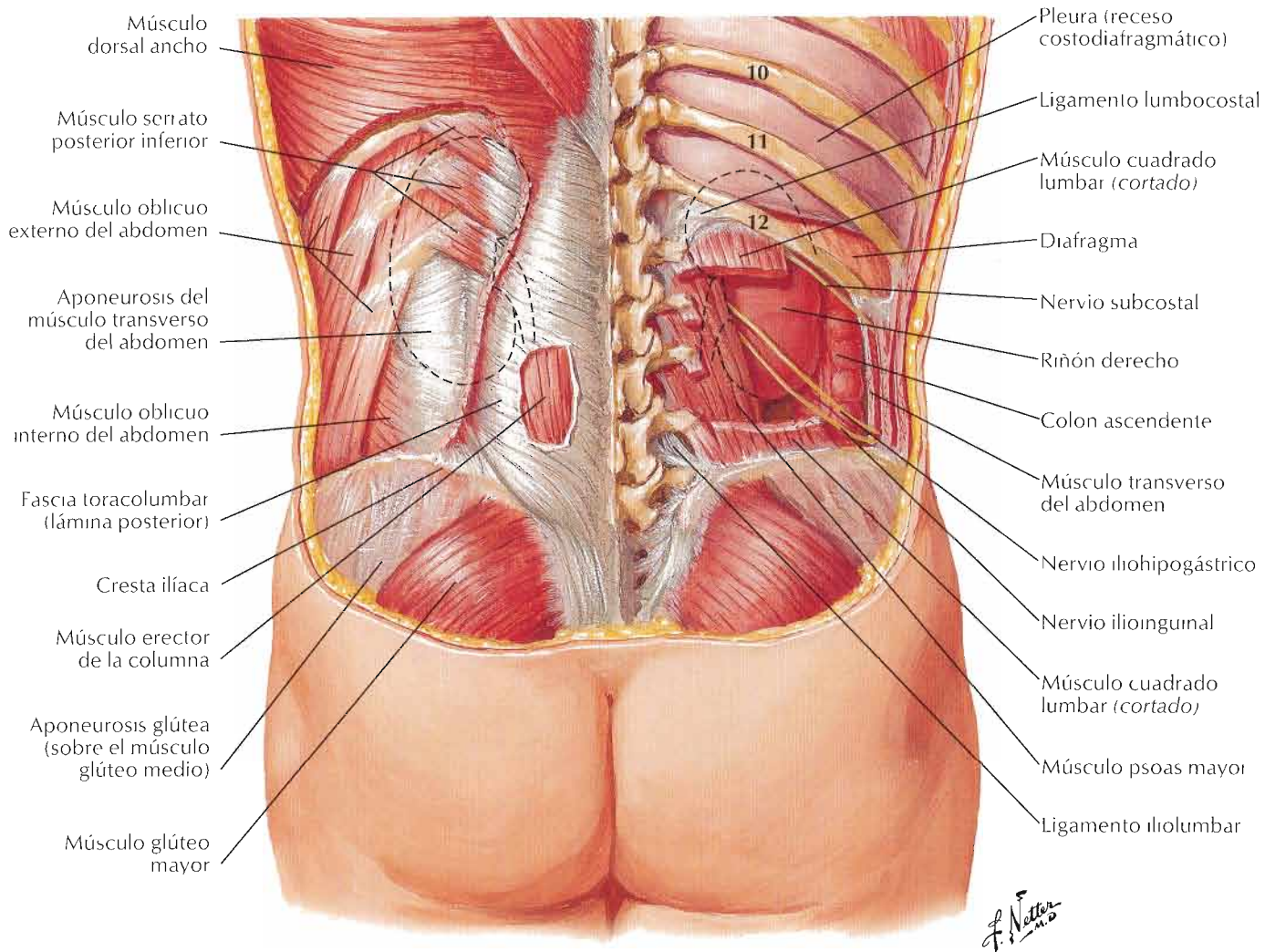




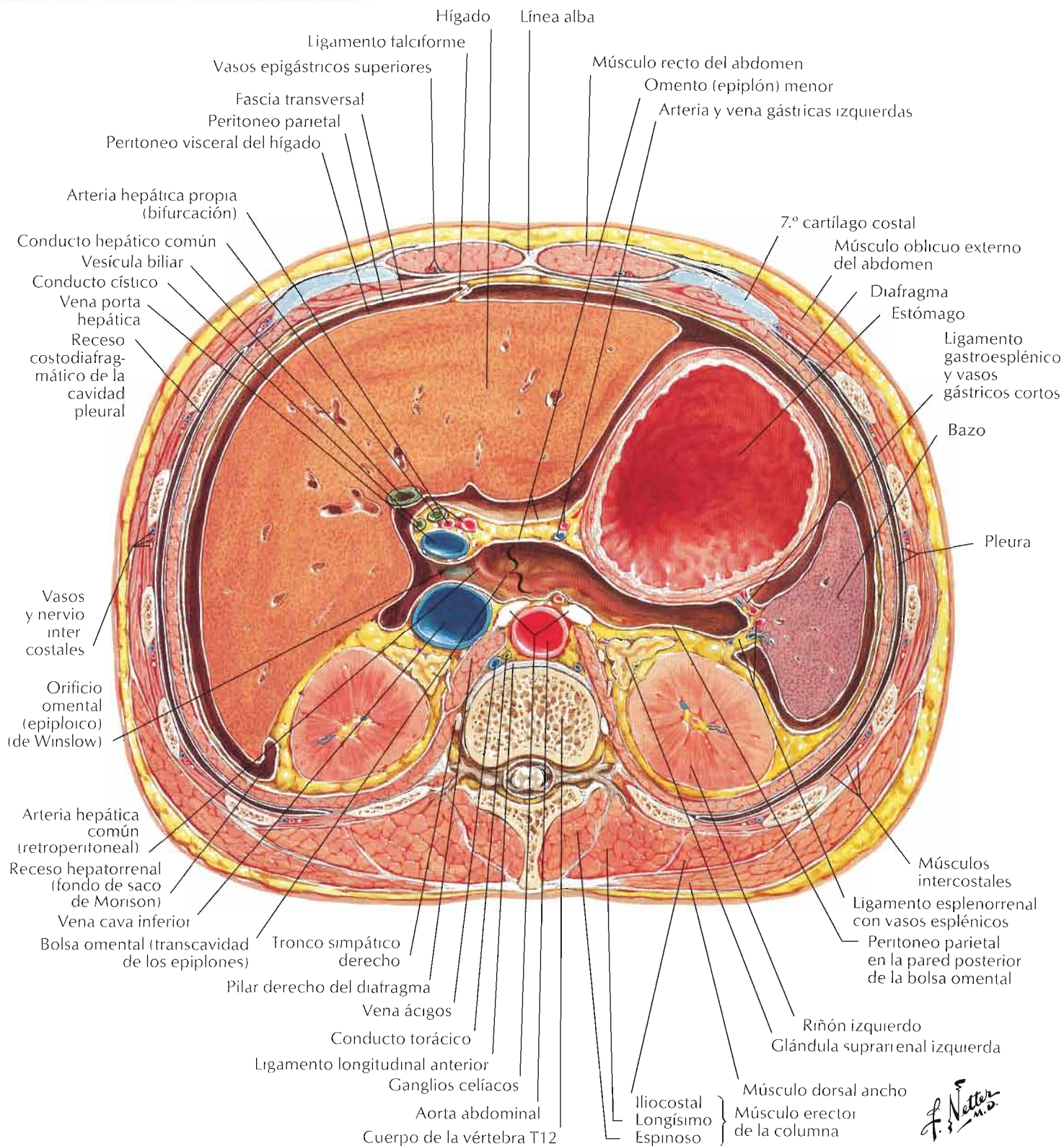
F. Netter M.D.



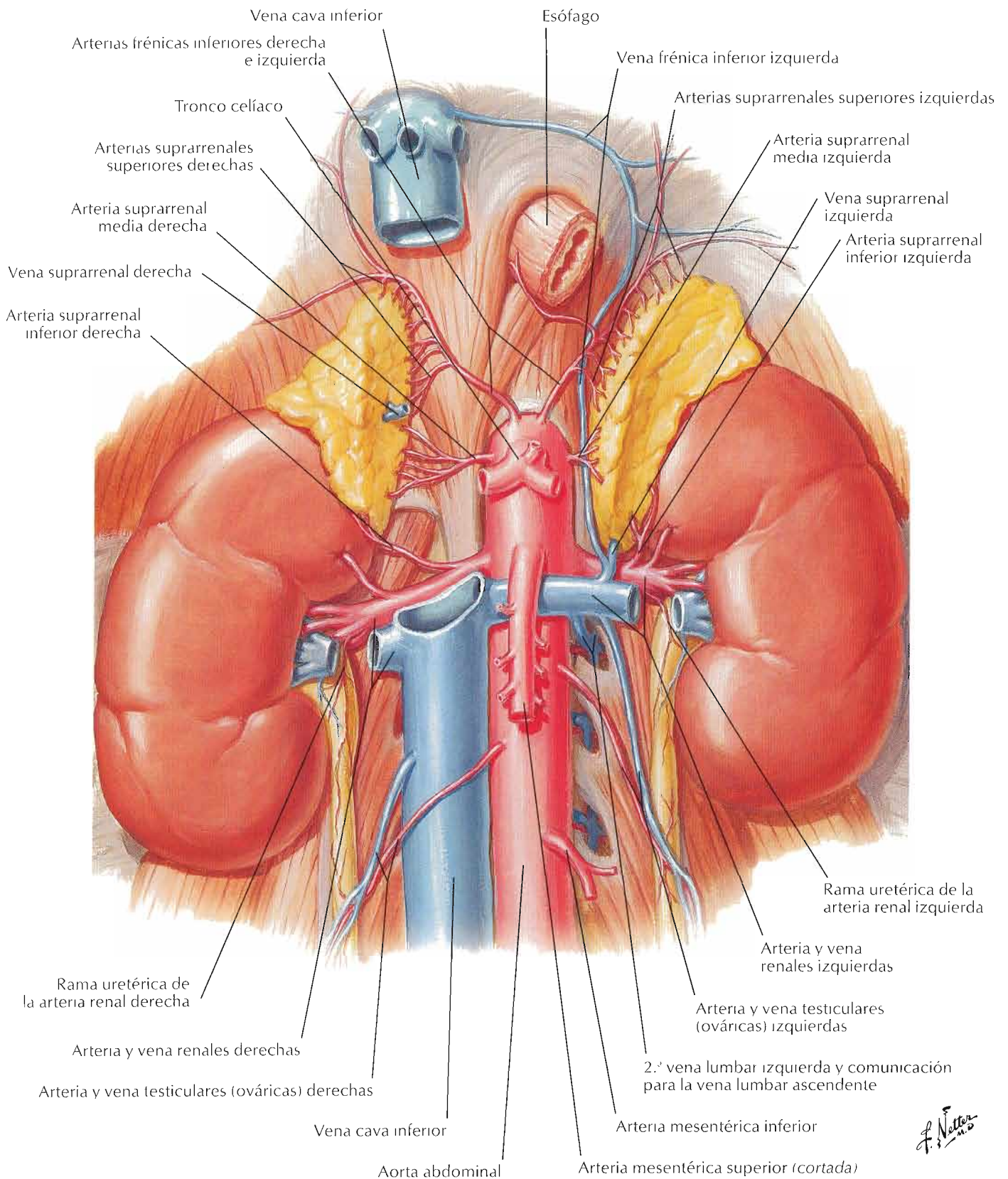
Relaciones anteriores de los riñones



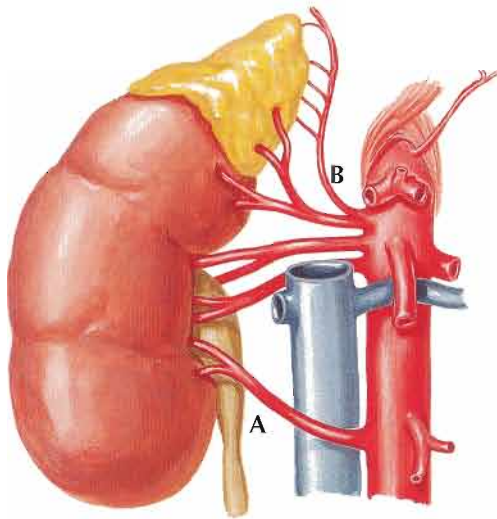
Véanse también láminas 293, 297, 338, 339



F. Netter
 M.D.

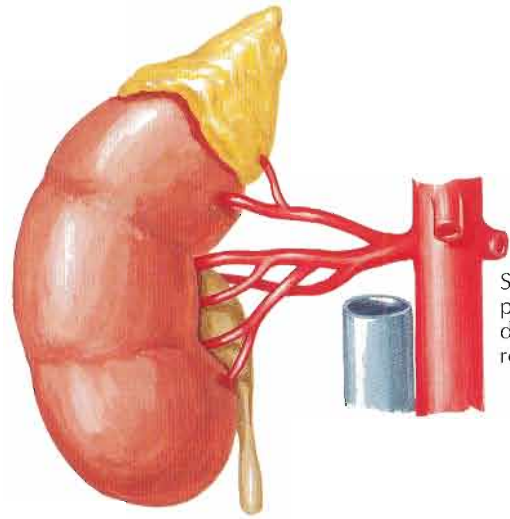


F. Netter M.D.

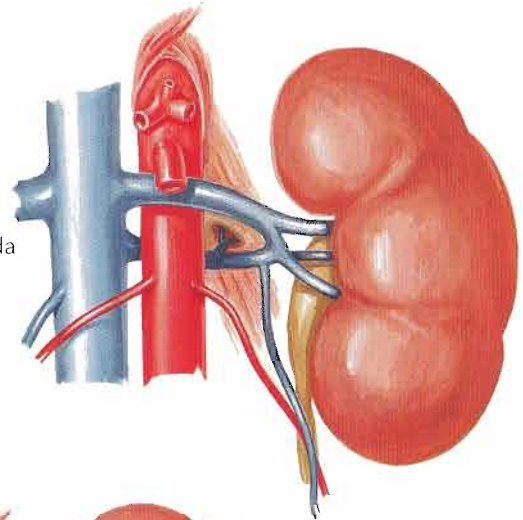


A La arteria renal derecha accesoria baja puede pasar anterior a la vena cava inferior, en lugar de posterior a ésta

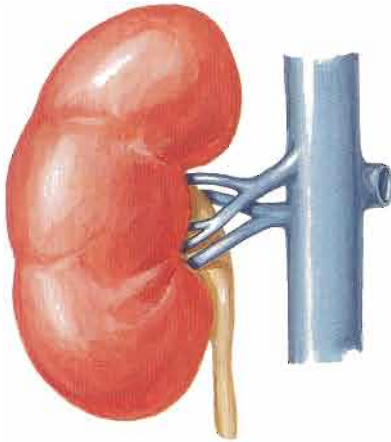
B La arteria frénica inferior con arterias suprarrenales superiores puede originarse a partir de la arteria renal (arteria suprarrenal media ausente)



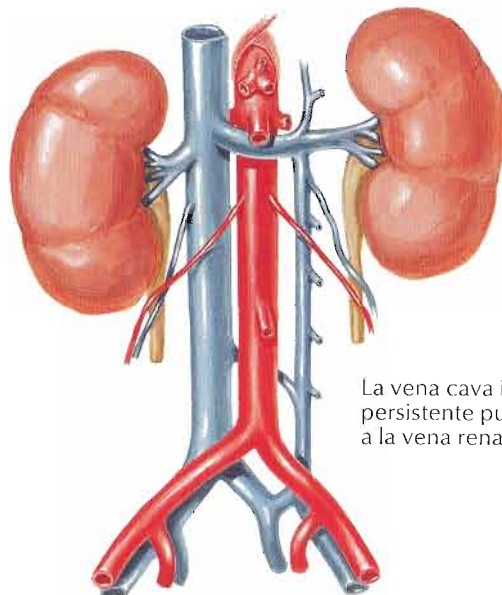
Subdivisión proximal de la arteria renal



La vena renal izquierda doble puede formar un anillo alrededor de la aorta abdominal

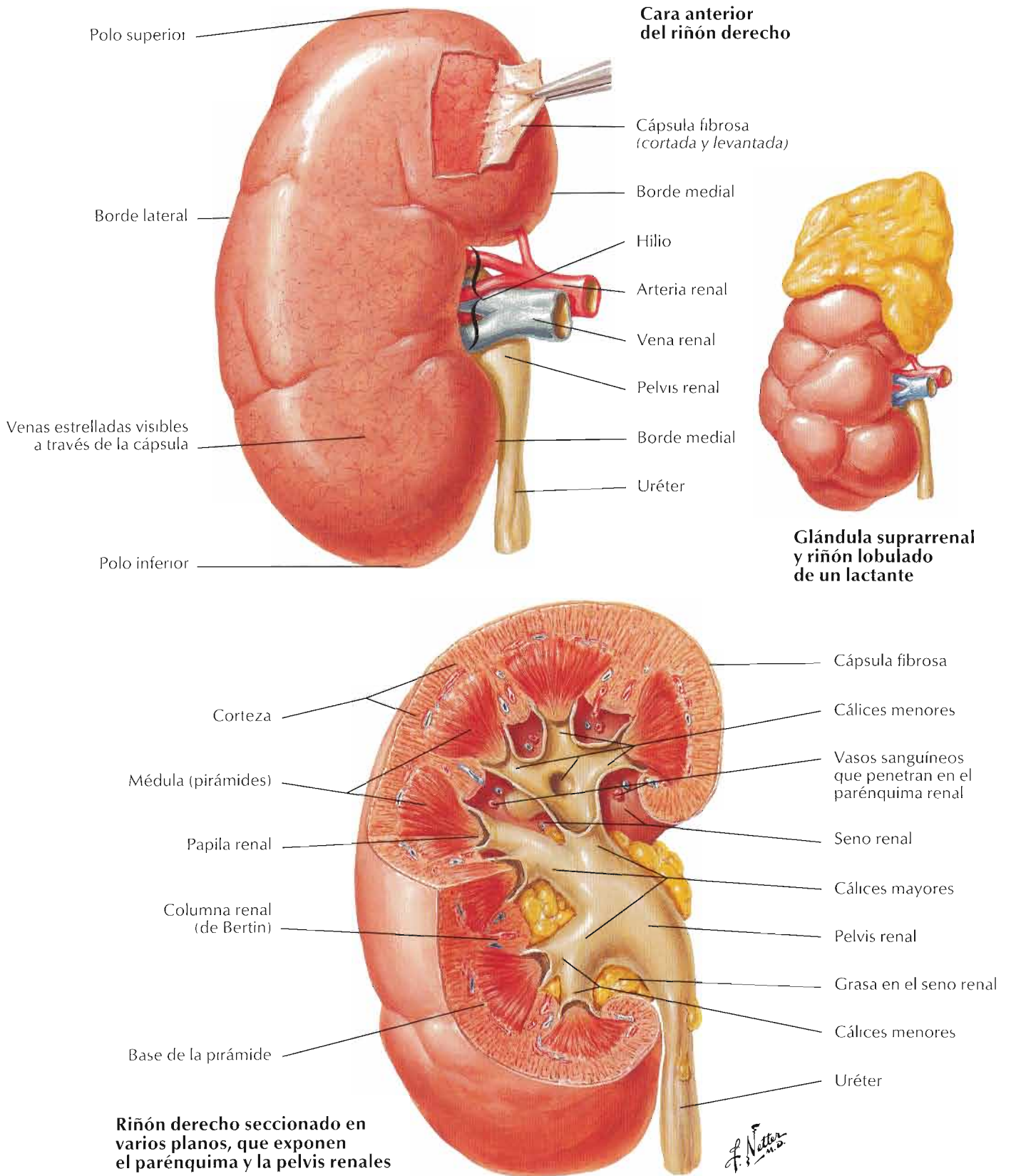


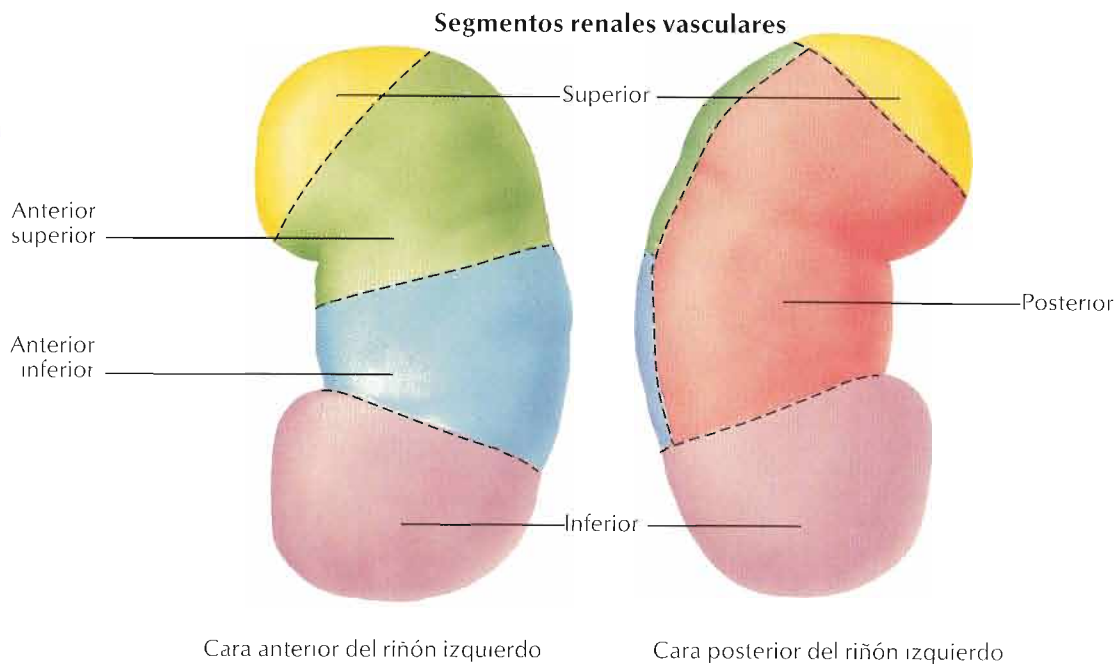
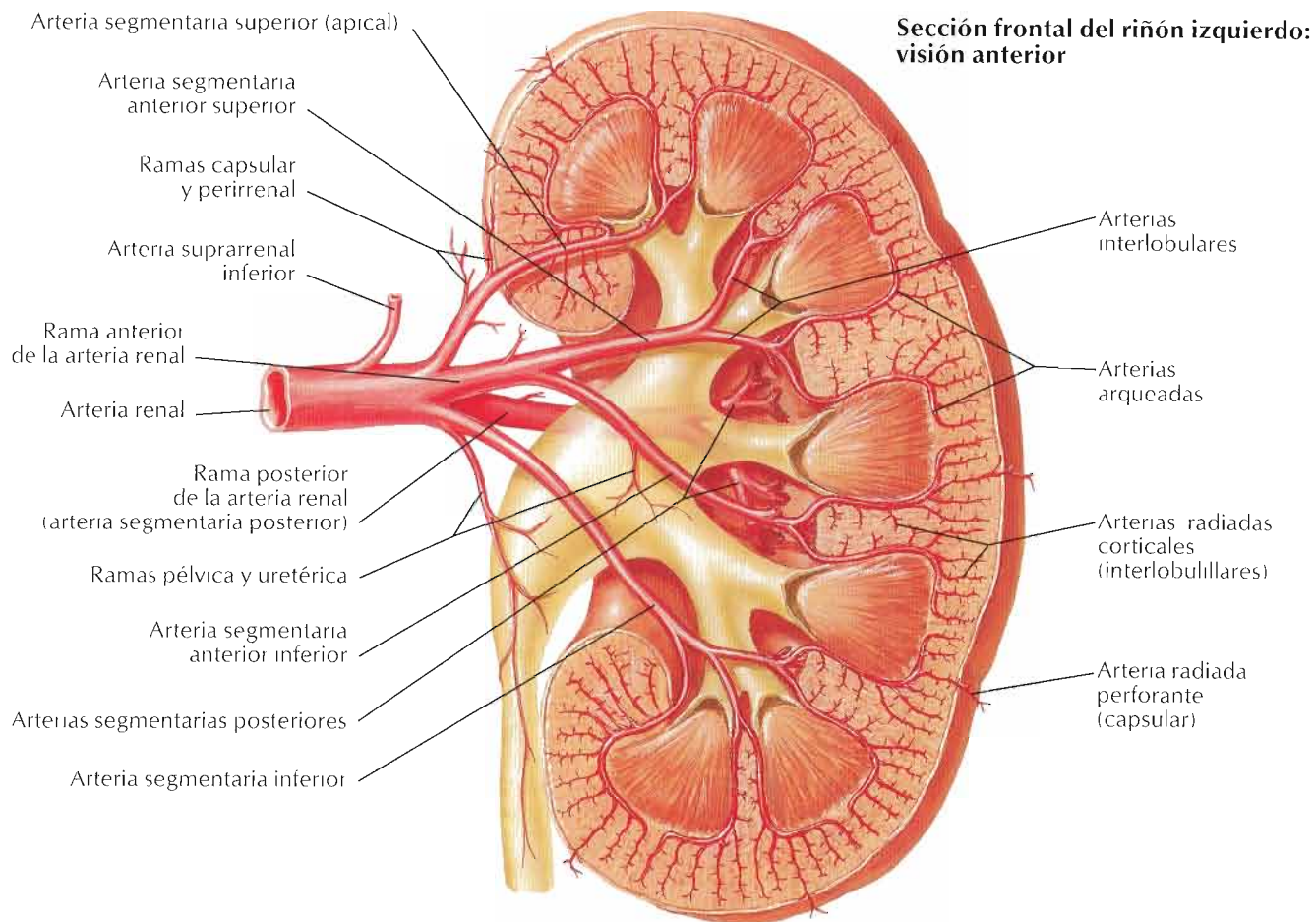
Venas renales múltiples



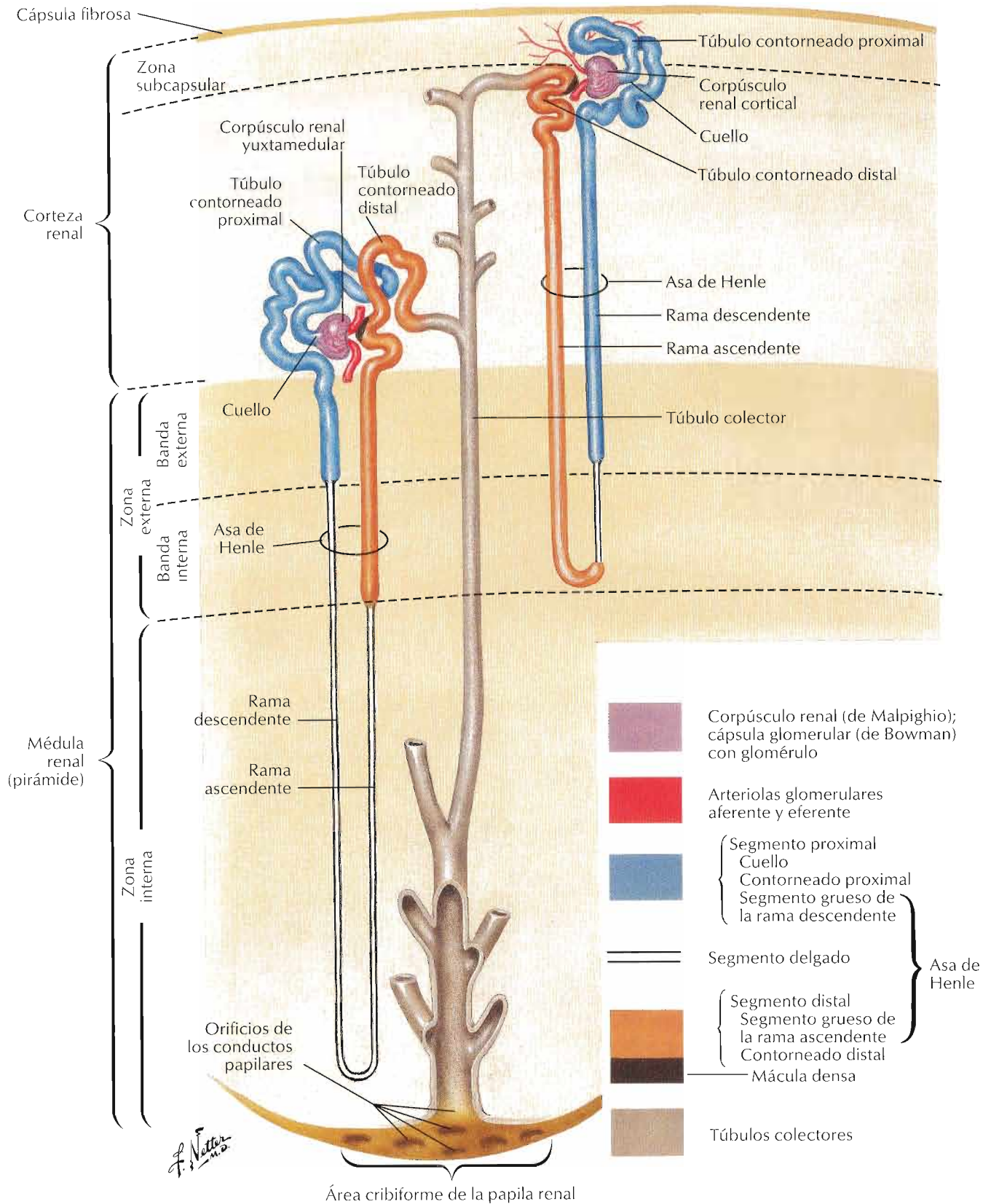
La vena cava inferior izquierda persistente puede unirse a la vena renal izquierda

F. Netter M.D.

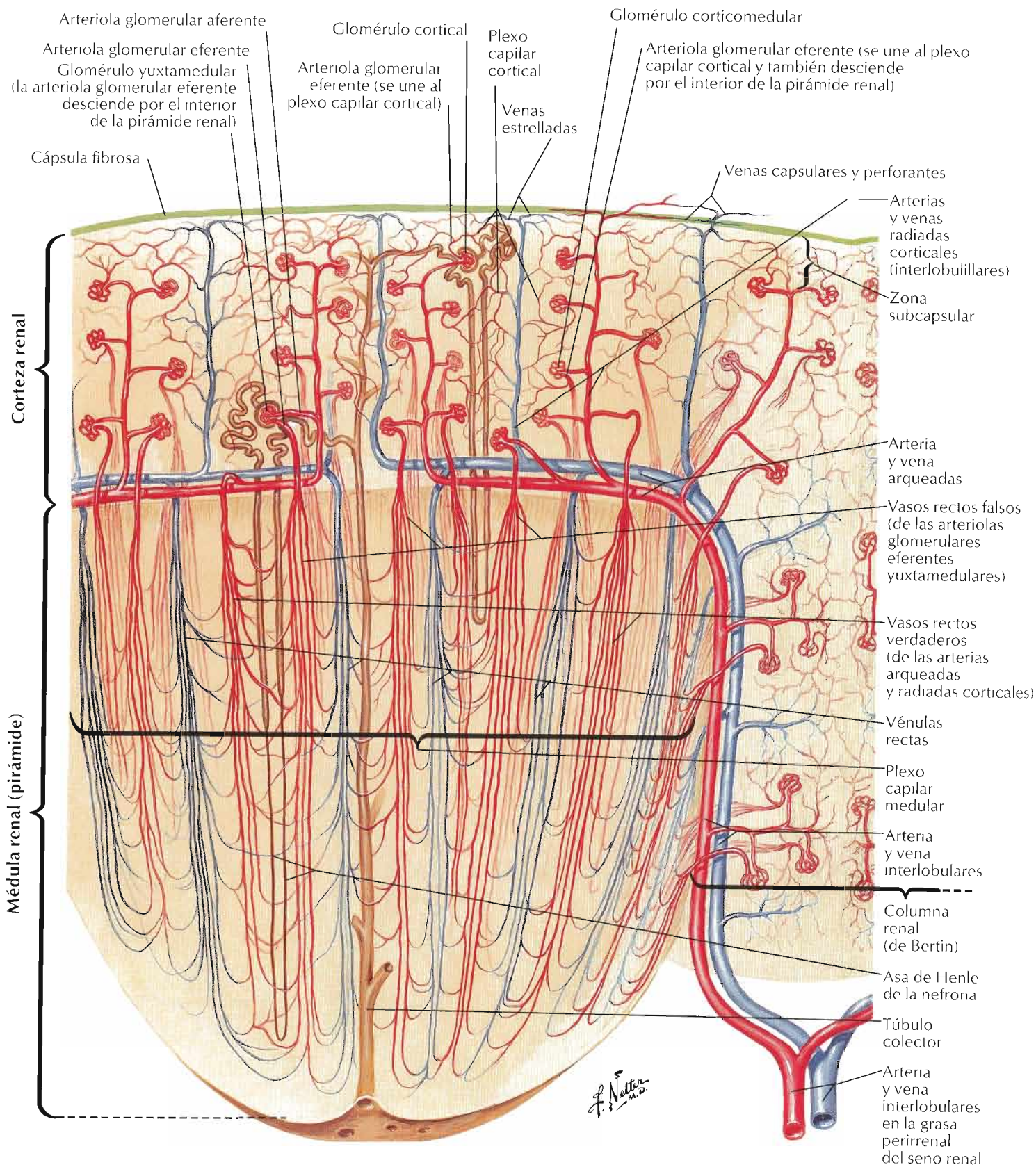




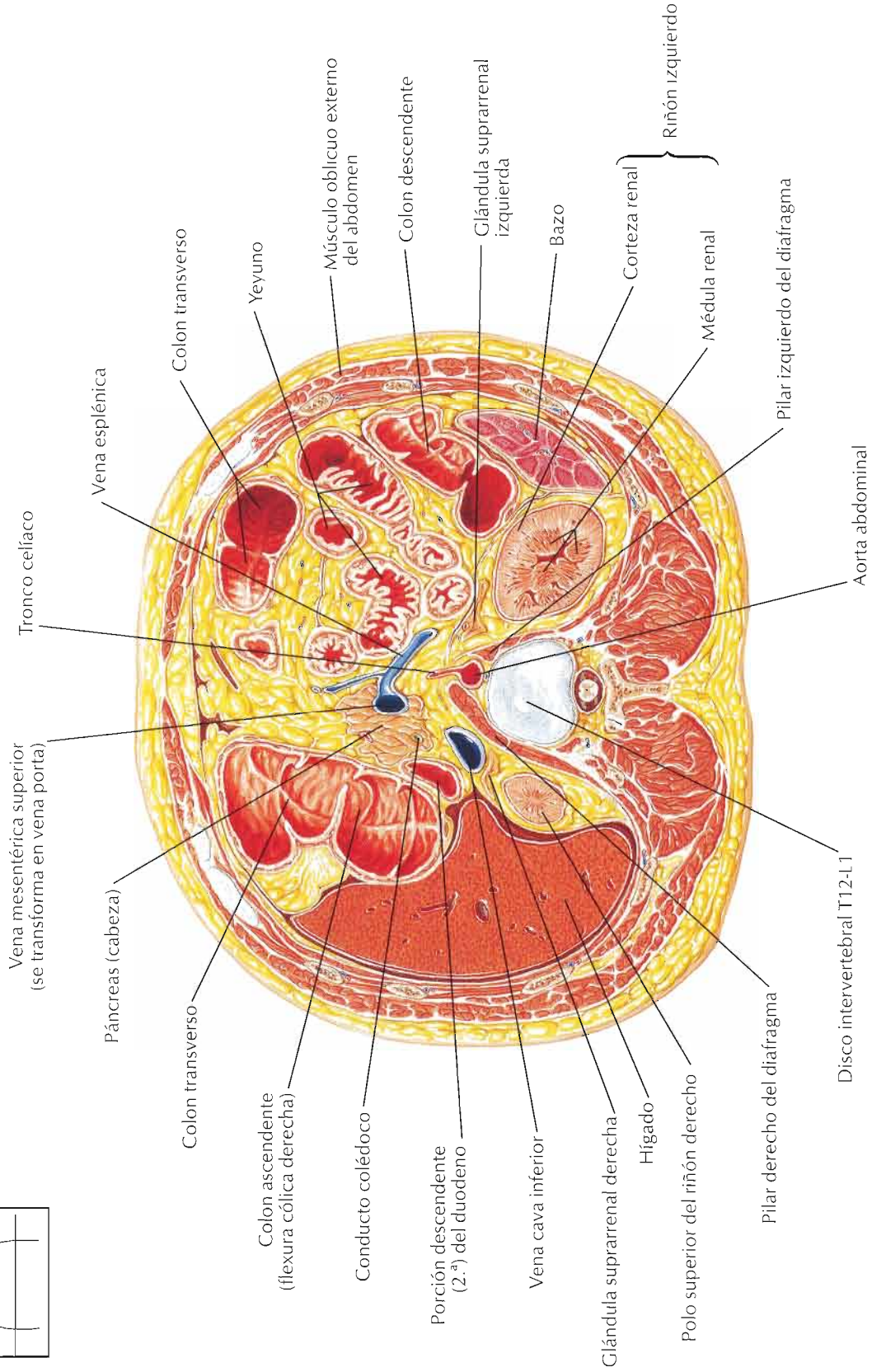
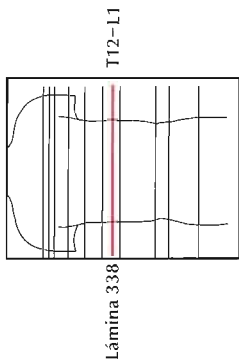
F. Netter M.D.



Vasos sanguíneos en el parénquima renal: esquema

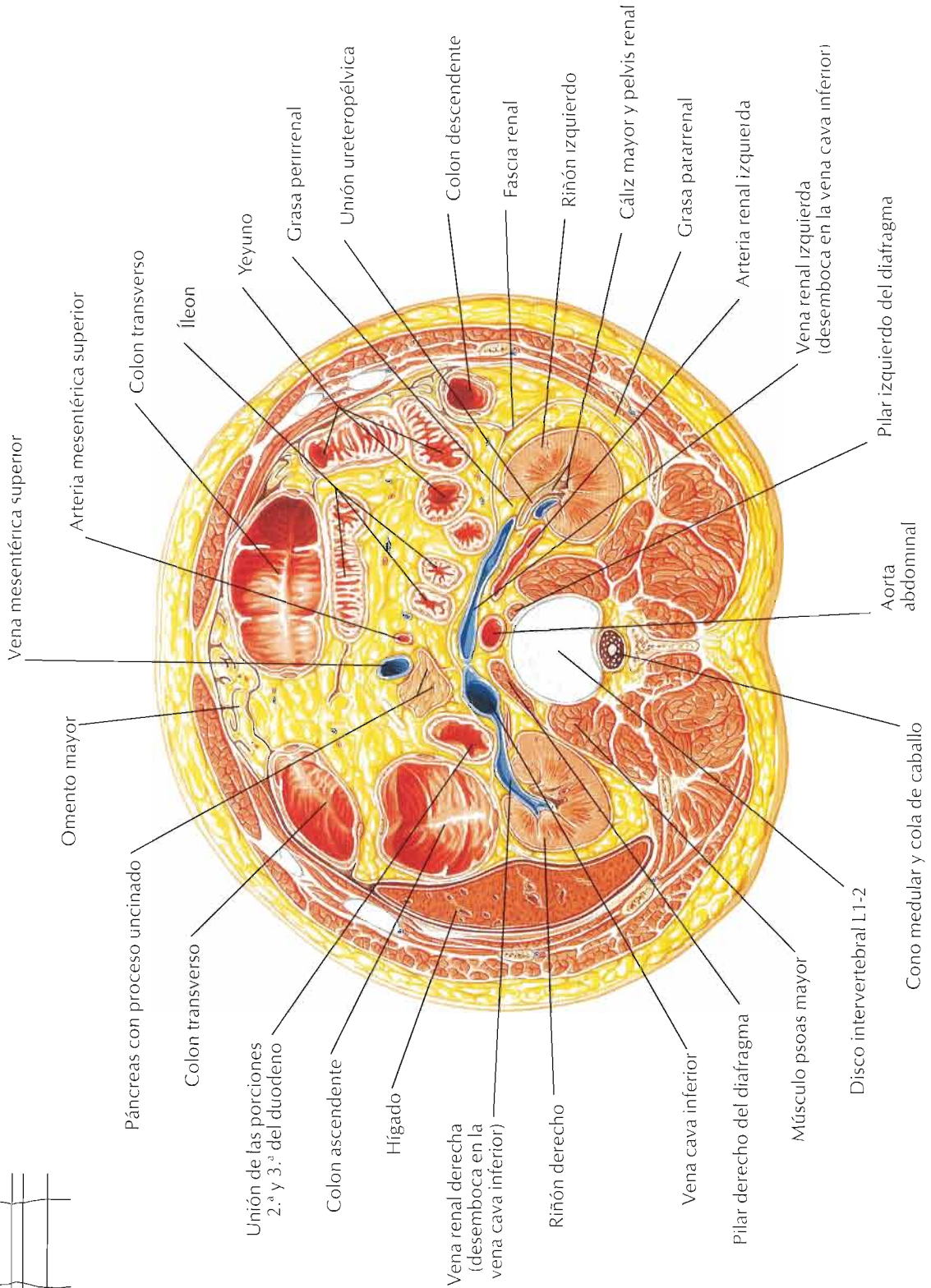
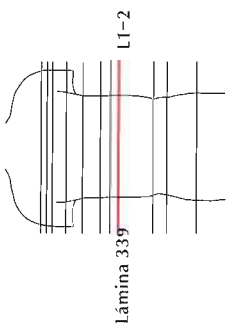


Sección transversal: nivel del disco intervertebral T12-L1



C. Machado
_195

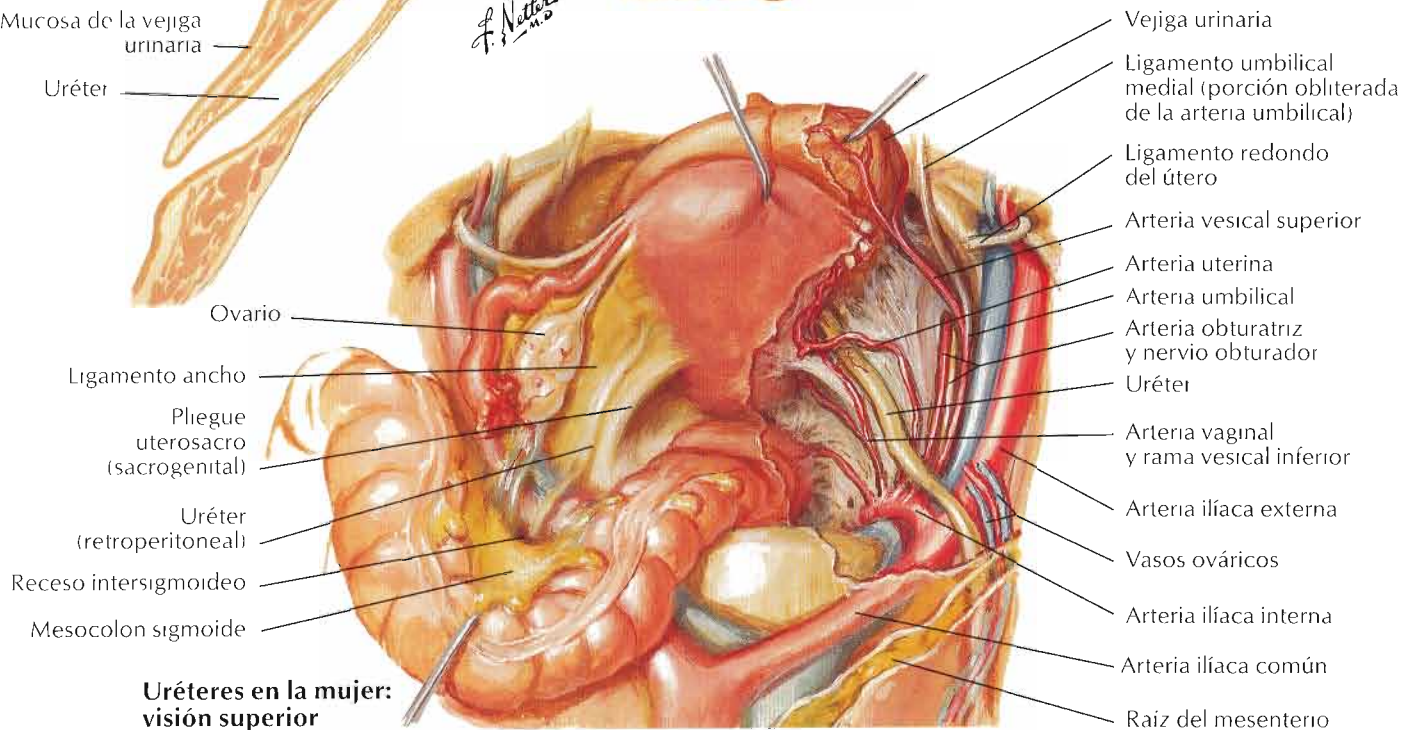
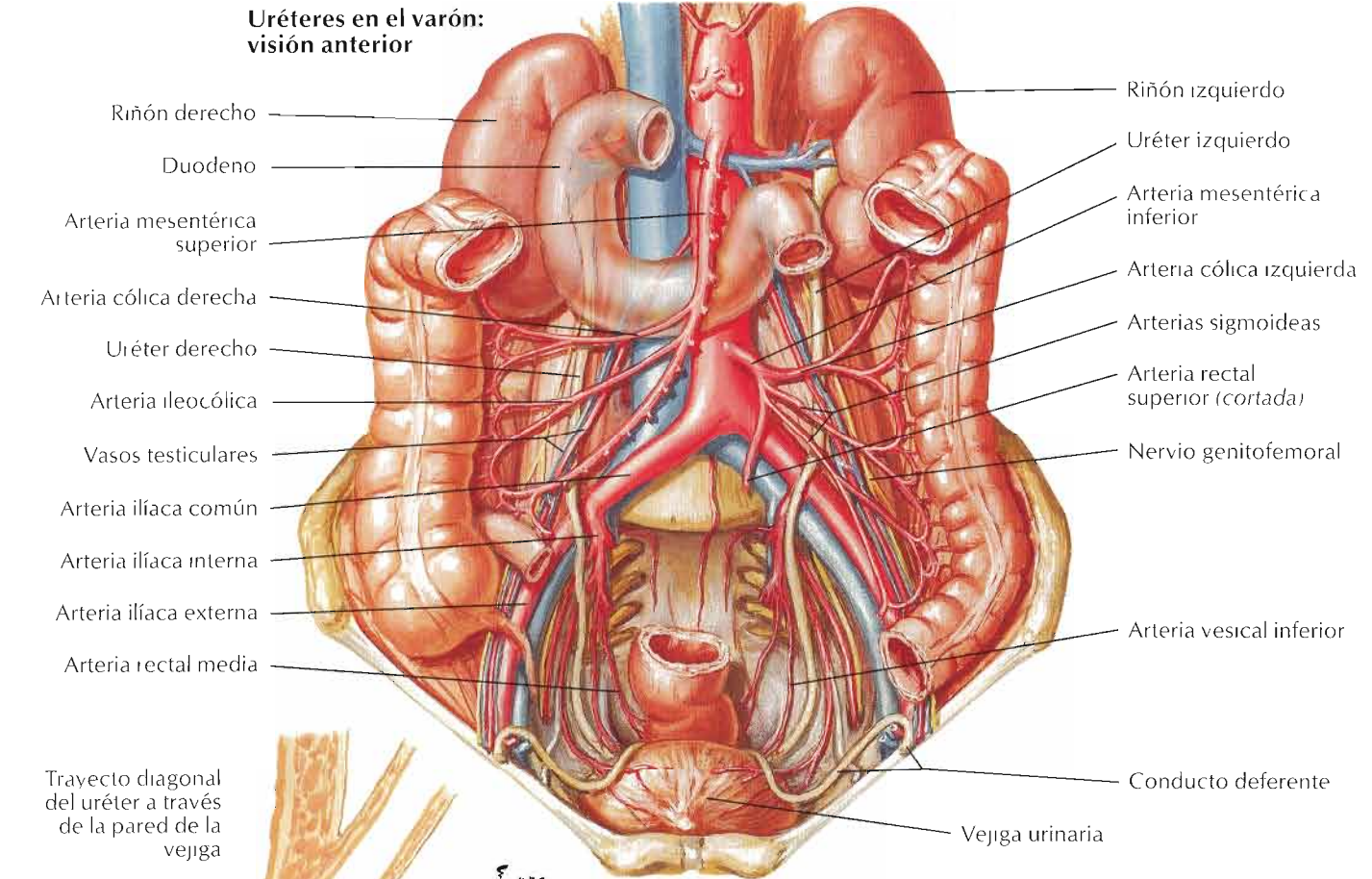
Sección transversal: nivel del disco intervertebral L1-2



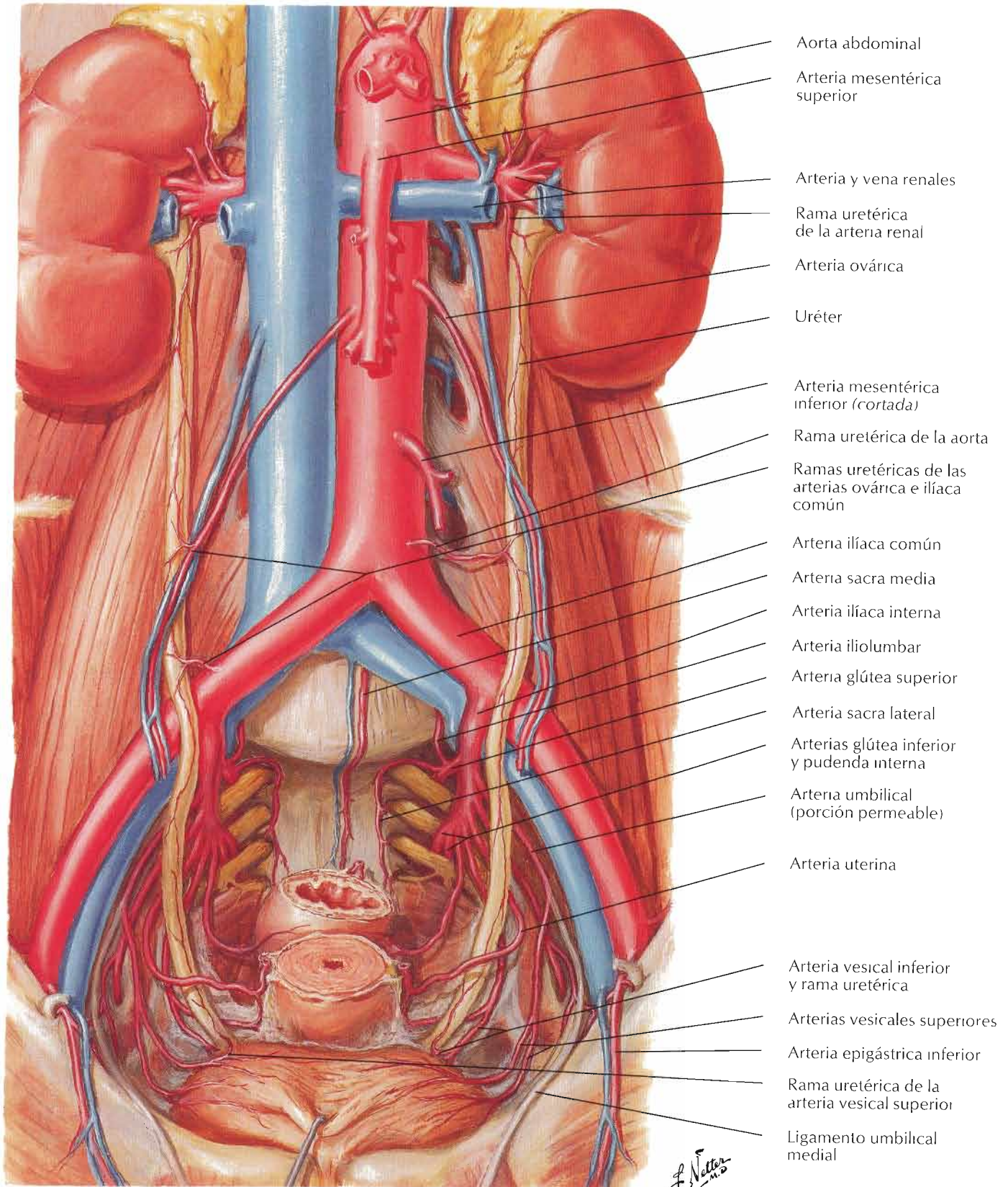
C. Machado

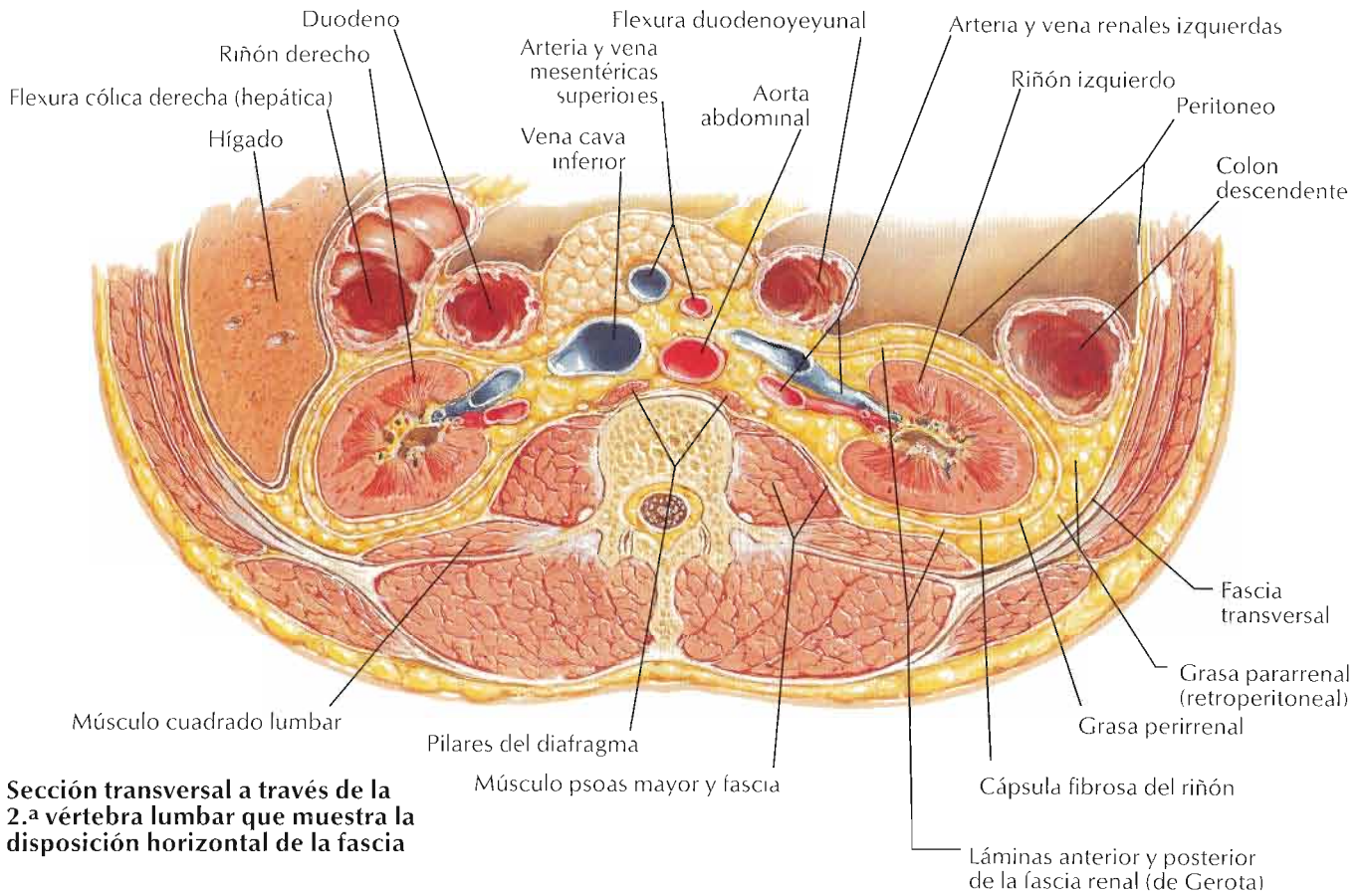
Véanse también láminas 362, 363, 369

Uréteres en el varón: visión anterior

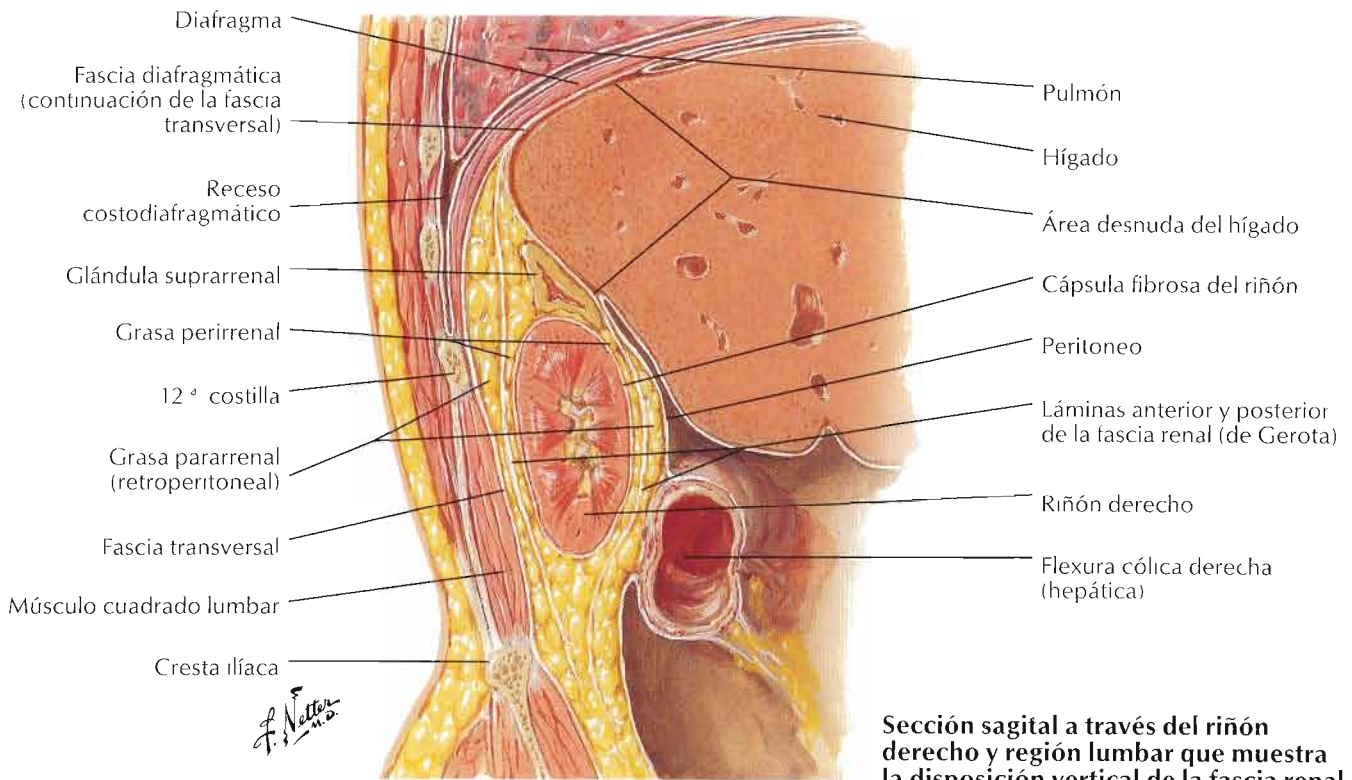


Uréteres en la mujer: visión superior



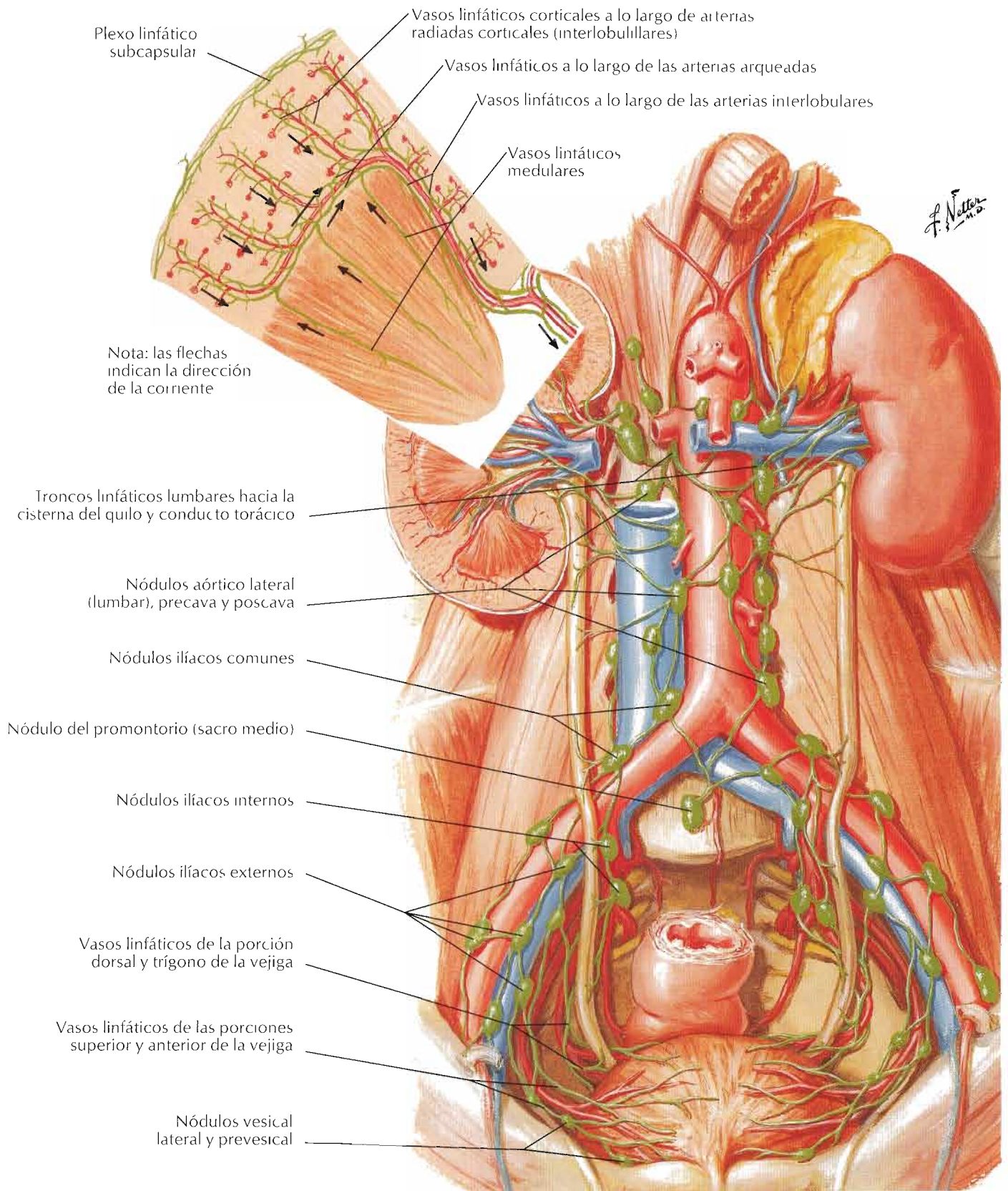


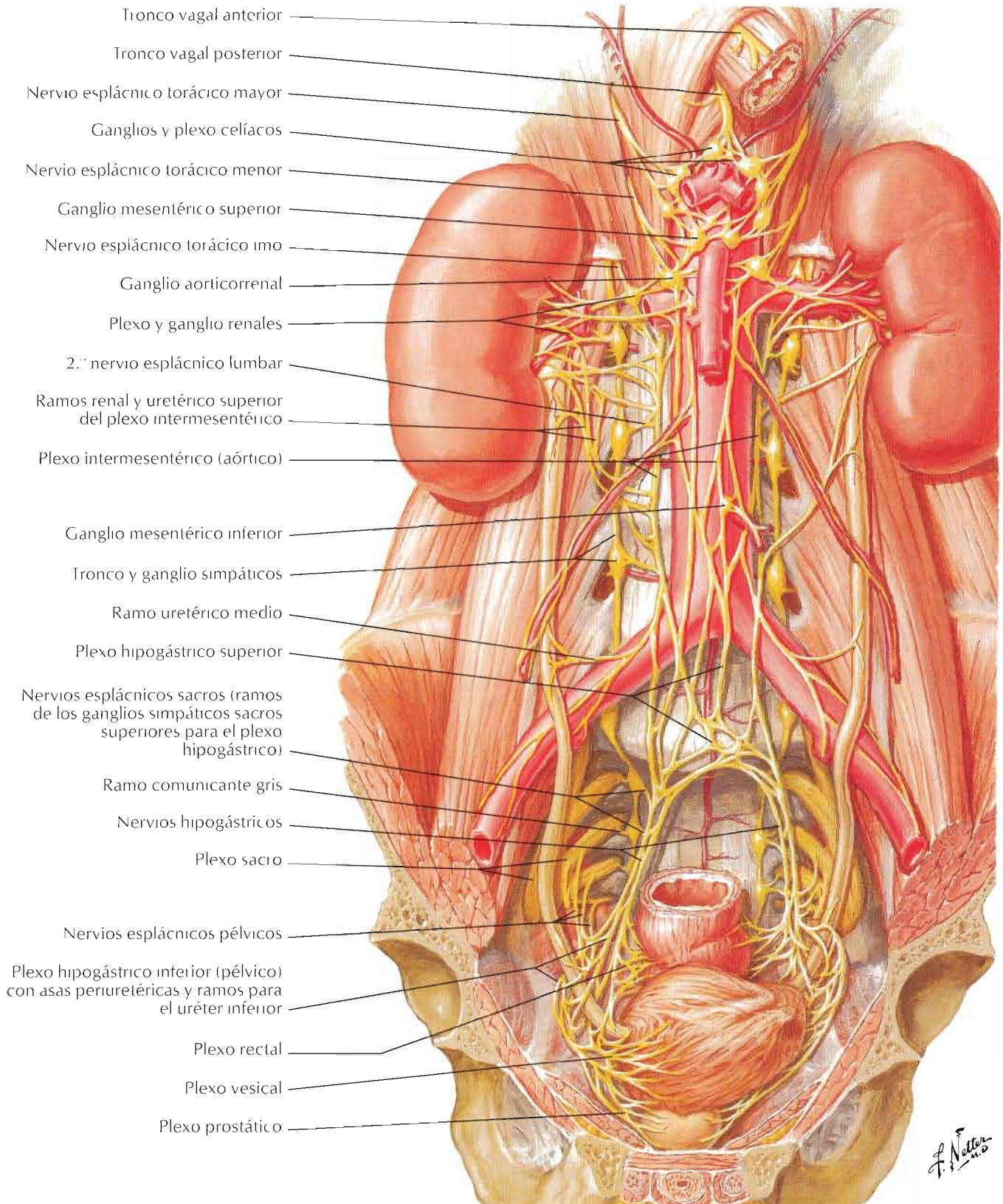
Sección transversal a través de la 2.ª vértebra lumbar que muestra la disposición horizontal de la fascia



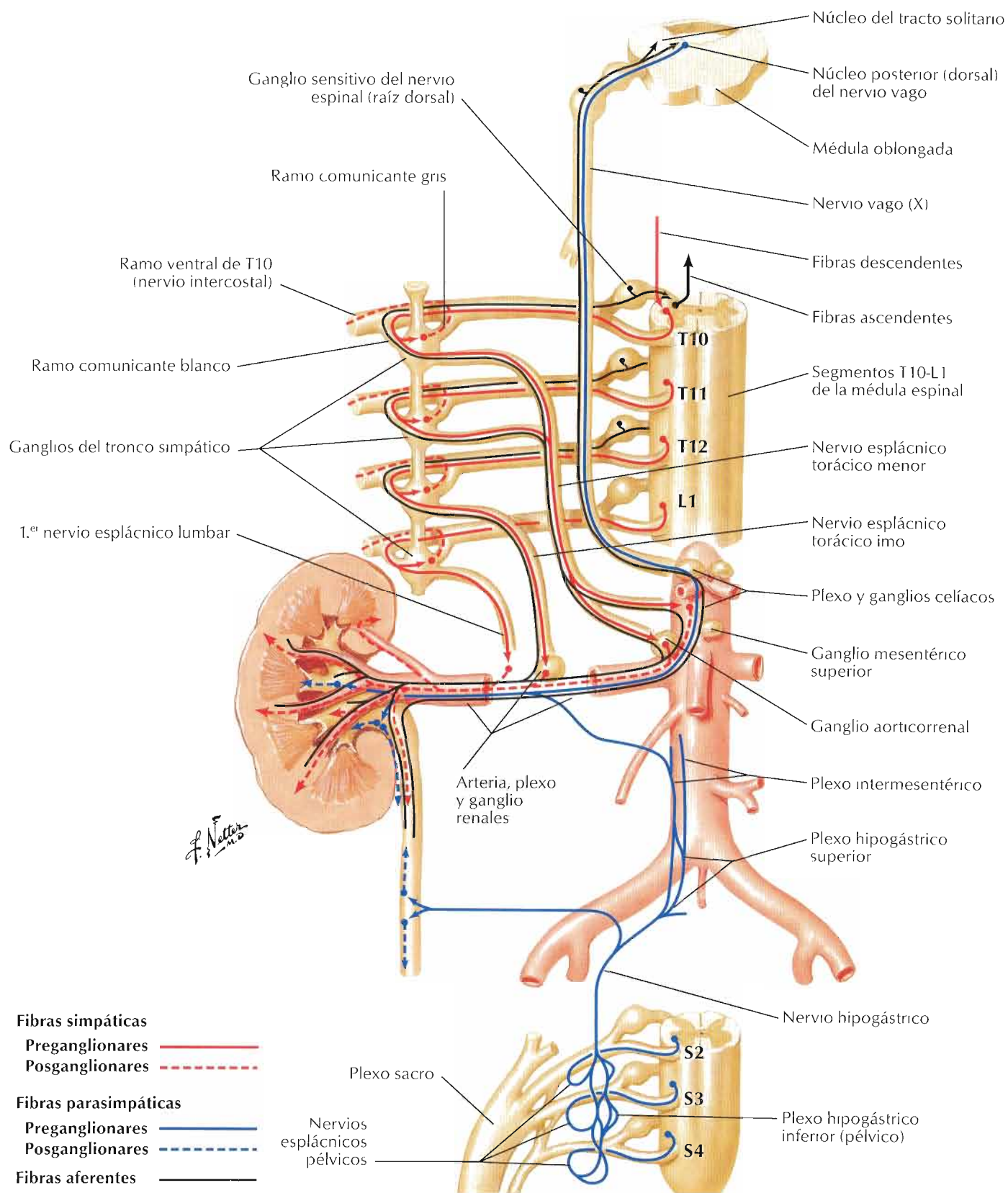
Sección sagital a través del riñón derecho y región lumbar que muestra la disposición vertical de la fascia renal

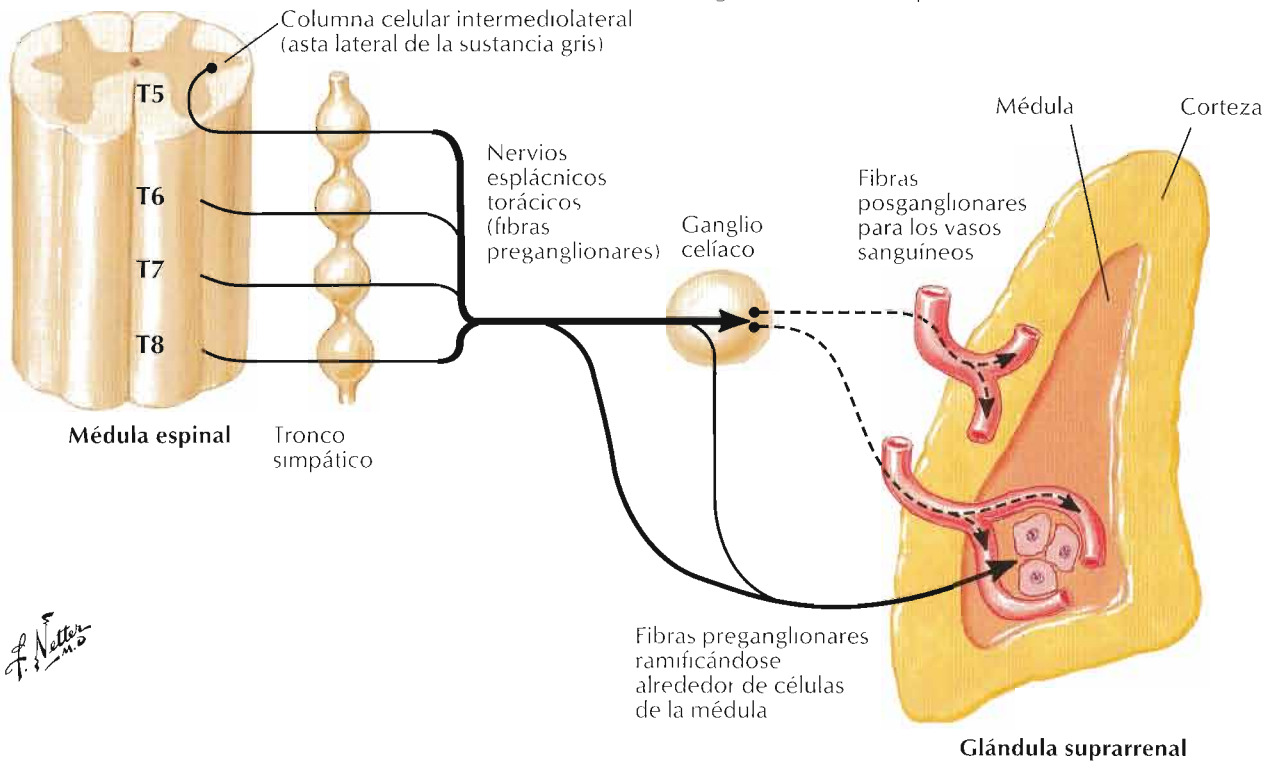
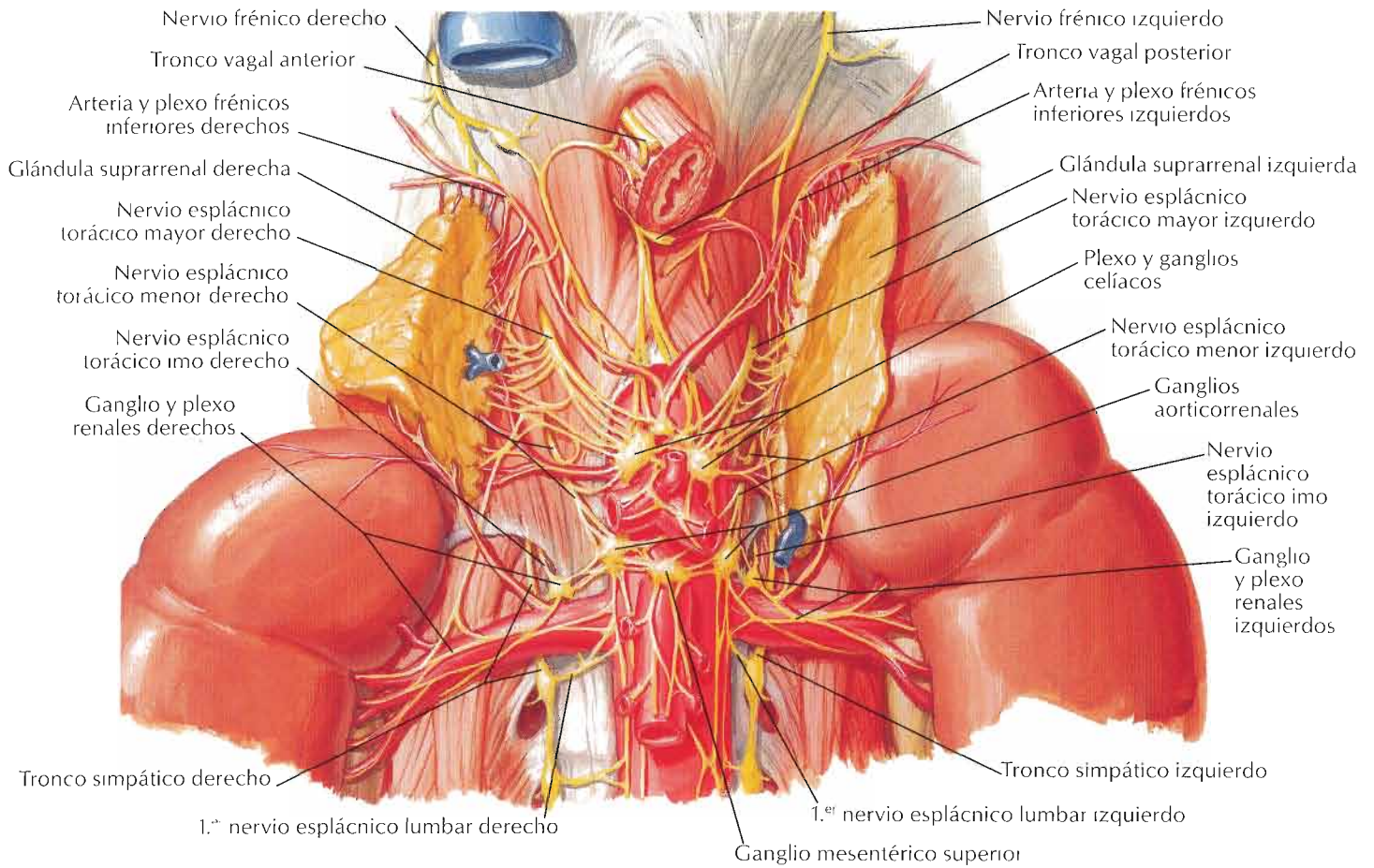
Véanse también láminas 406, 408





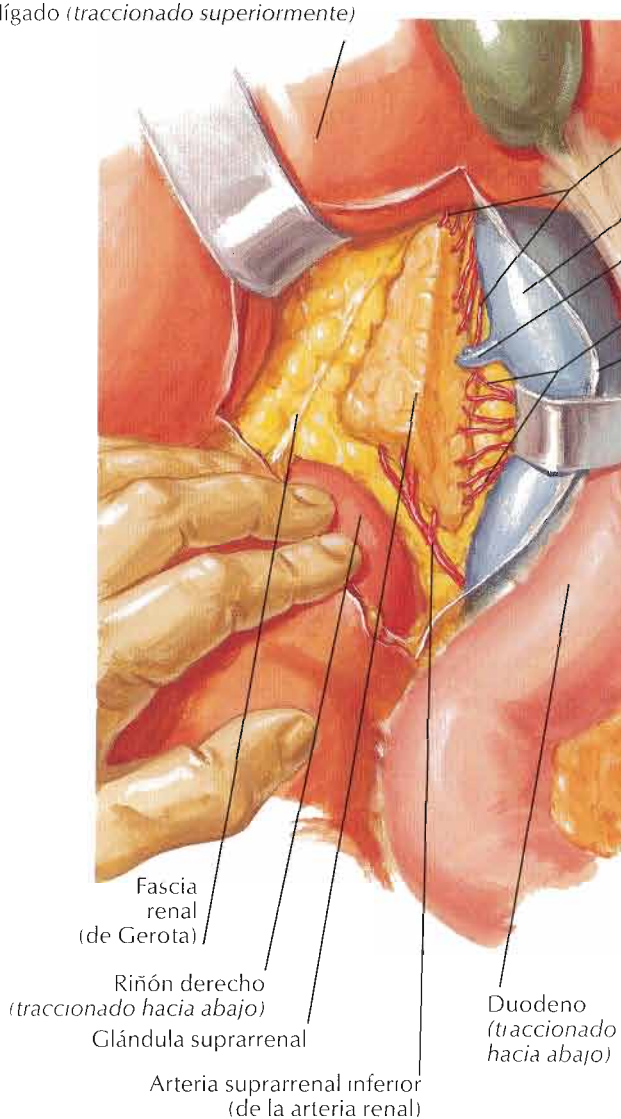
Véanse también láminas 167, 168, 417





F. Netter M.D.

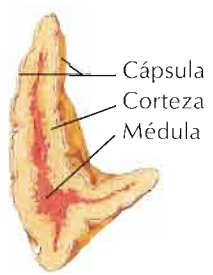
Hígado (*traccionado superiormente*)



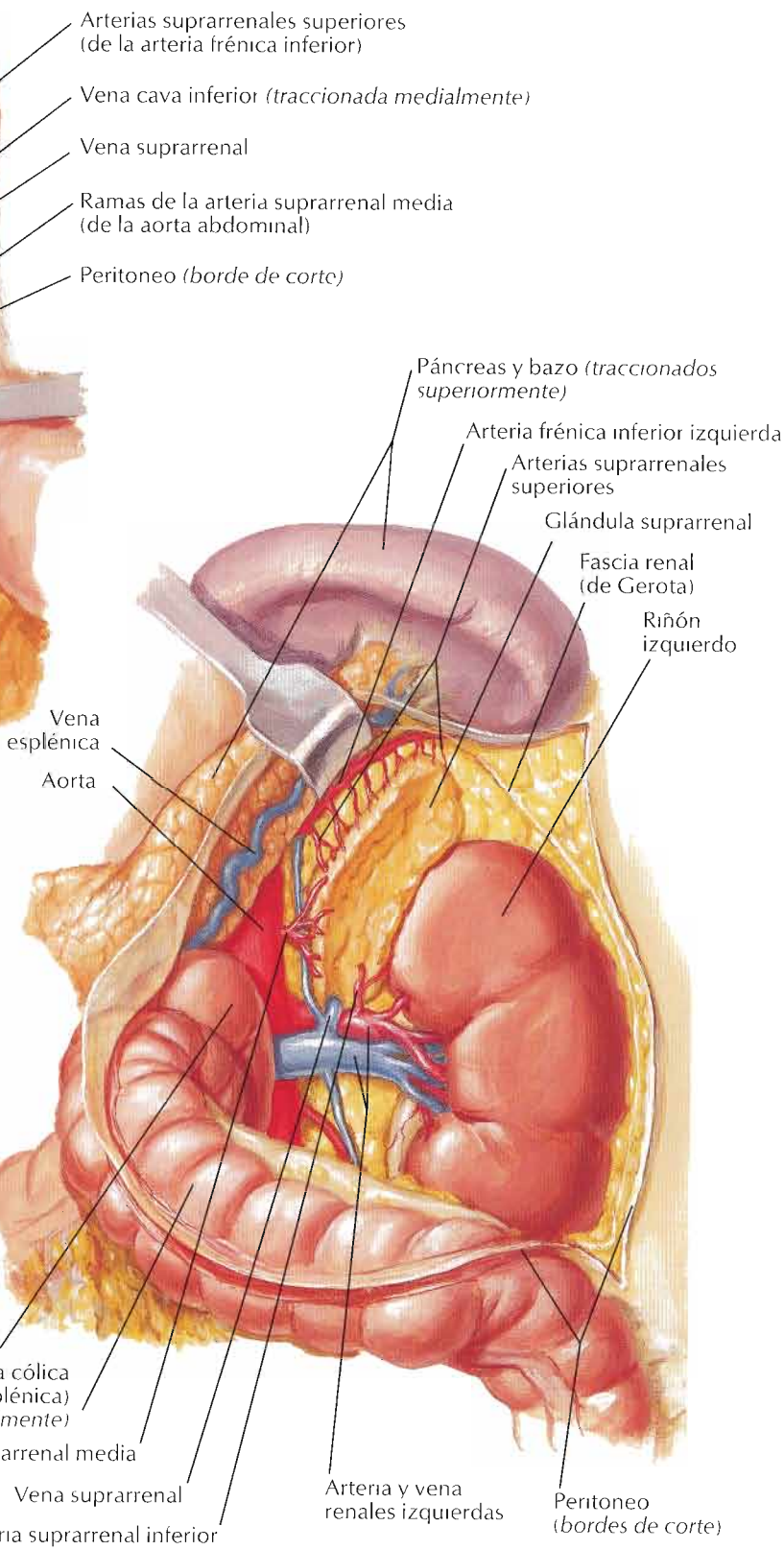
Fascia renal (de Gerota)
 Riñón derecho (*traccionado hacia abajo*)
 Glándula suprarrenal
 Arteria suprarrenal inferior (de la arteria renal)
 Duodeno (*traccionado hacia abajo*)

Exposición abdominal de la glándula suprarrenal derecha

Sección transversal a través de la glándula suprarrenal

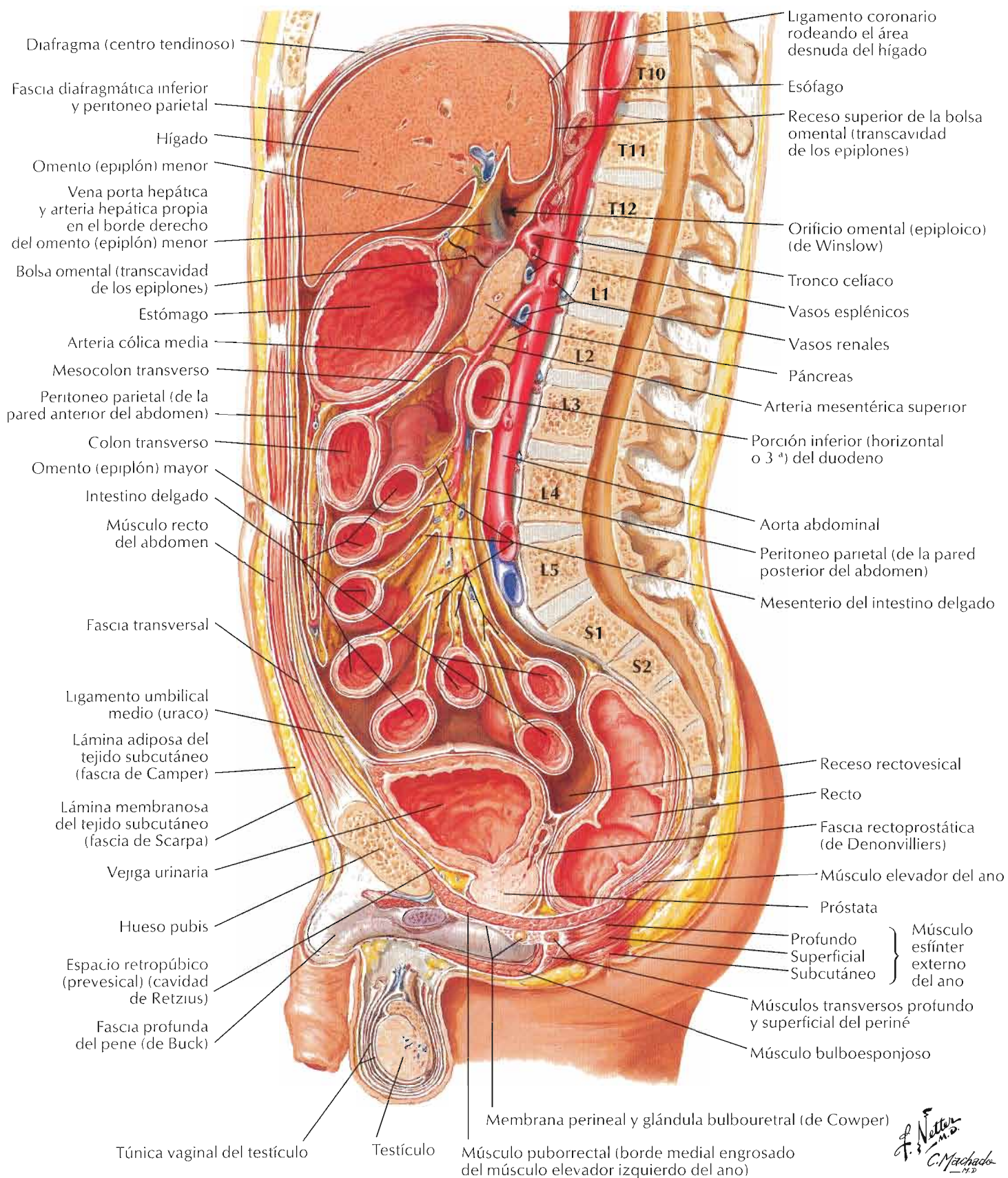


F. Netter M.D.

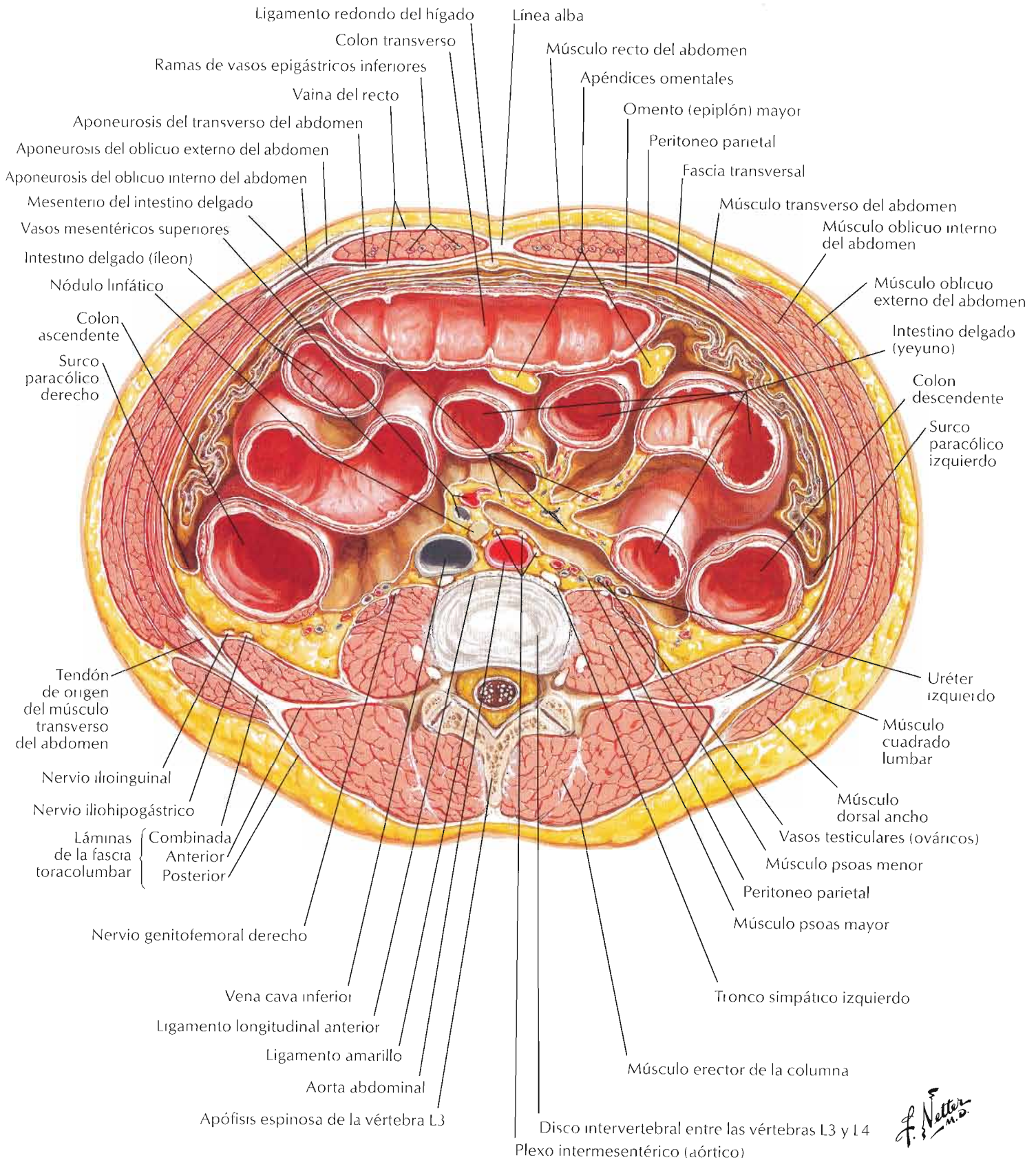


Arterias suprarrenales superiores (de la arteria frénica inferior)
 Vena cava inferior (*traccionada medialmente*)
 Vena suprarrenal
 Ramas de la arteria suprarrenal media (de la aorta abdominal)
 Peritoneo (*borde de corte*)
 Páncreas y bazo (*traccionados superiormente*)
 Arteria frénica inferior izquierda
 Arterias suprarrenales superiores
 Glándula suprarrenal
 Fascia renal (de Gerota)
 Riñón izquierdo
 Vena esplénica
 Aorta
 Flexura duodenoyeyunal
 Flexura cólica izquierda (esplénica) (*traccionada medialmente*)
 Arteria suprarrenal media
 Vena suprarrenal inferior
 Arteria suprarrenal inferior
 Arteria y vena renales izquierdas
 Peritoneo (*bordes de corte*)

Exposición abdominal de la glándula suprarrenal izquierda



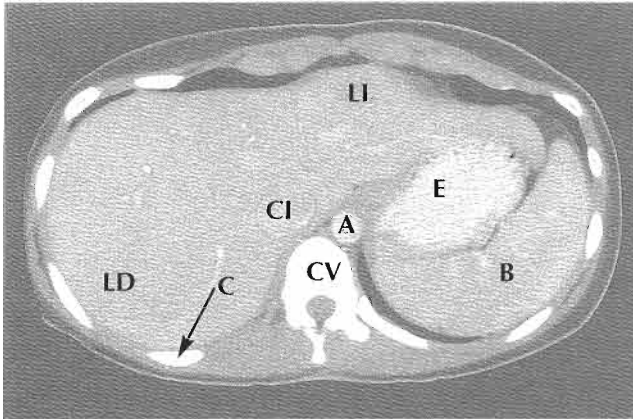
F. Netter M.D.
C. Machado M.D.



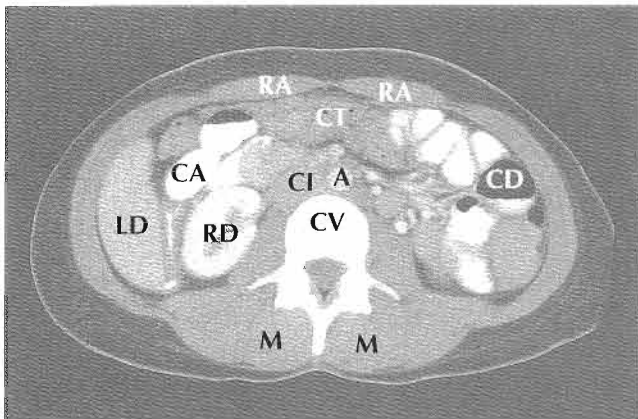
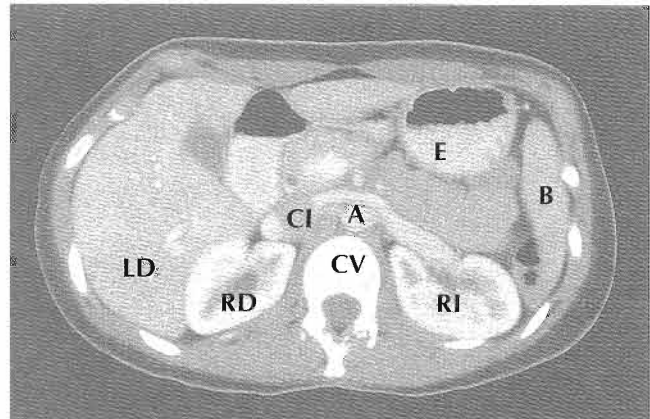
F. Netter M.D.

Imágenes axiales seriadas de TC del abdomen de superior (A) a inferior (D)

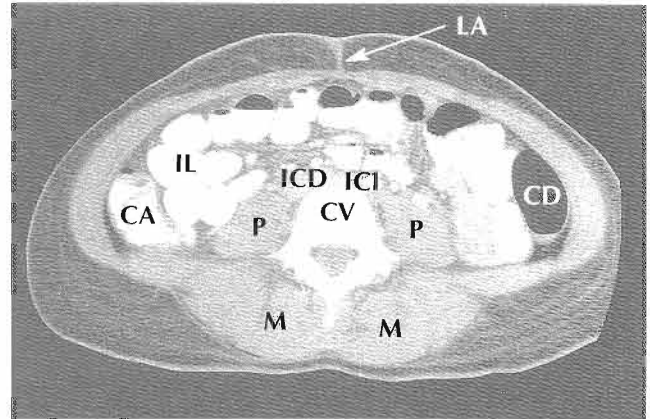
A



B



C

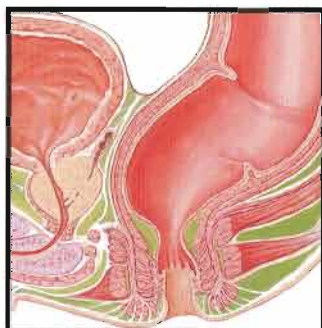
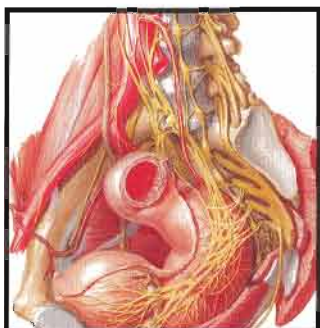
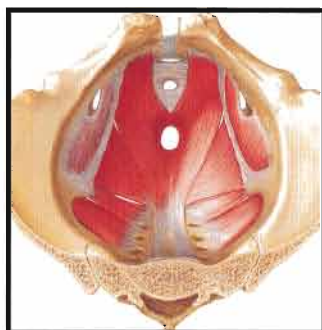
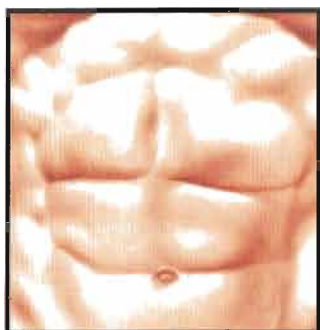


D

A Aorta
 B Bazo
 C Costilla
 CA Colon ascendente
 CD Colon descendente
 CI Vena cava inferior
 CT Colon transverso
 CV Cuerpo vertebral
 E Estómago
 ICD Arteria ilíaca común derecha

ICI Arteria ilíaca común izquierda
 IL Íleon
 LA Línea alba
 LD Lóbulo derecho del hígado
 LI Lóbulo izquierdo del hígado
 M Músculos profundos del dorso
 P Músculo psoas
 RA Músculo recto del abdomen
 RD Riñón derecho
 RI Riñón izquierdo

Sección 5 Pelvis y periné



Anatomía de superficie

Láminas 351

351 Pelvis y periné

Huesos y ligamentos

Láminas 352-355

- 352 Huesos y ligamentos de la pelvis
- 353 Huesos y ligamentos de la pelvis (*continuación*)
- 354 Diferencias de sexo de la pelvis: medidas
- 355 Radiografías de la pelvis: mujer y varón

Suelo de la pelvis y contenido

Láminas 356-364

- 356 Diafragma pélvico: mujer
- 357 Diafragma pélvico: mujer (*continuación*)
- 358 Diafragma pélvico: varón
- 359 Diafragma pélvico: varón (*continuación*)
- 360 Vísceras pélvicas y periné: mujer
- 361 Vísceras pélvicas y periné: varón
- 362 Contenido de la pelvis: mujer
- 363 Contenido de la pelvis: varón
- 364 Fascia y espacios potenciales endopélvicos

Vejiga urinaria

Láminas 365-368

- 365 Vejiga urinaria: orientación y soportes
- 366 Vejiga urinaria: mujer y varón
- 367 Esfínteres
- 368 Cistouretrografías: mujer y varón

Pelvis y periné

Útero, vagina y estructuras de soporte

Láminas 369-375

- 369 Visceras pélvicas: mujer
- 370 Útero, vagina y estructuras de soporte
- 371 Útero y anexos
- 372 Ligamentos pélvicos
- 373 Útero: cambios con la edad y patrón muscular
- 374 Útero: posición y prolapso
- 375 Embarazo ectópico

Anatomía seccional

Lámina 376

- 376 Pelvis masculina: unión vesicoprostática

Periné y genitales externos: mujer

Láminas 377-379

- 377 Periné y genitales externos femeninos (vulva)
- 378 Periné femenino (disección superficial)
- 379 Periné y periné profundo femenino

Periné y genitales externos: varón

Láminas 380-387

- 380 Periné y genitales externos (disección superficial)
- 381 Periné y genitales externos (disección profunda)
- 382 Pene
- 383 Espacios perineales
- 384 Próstata y vesículas seminales
- 385 Uretra
- 386 Descenso del testículo
- 387 Escroto y contenido

Estructuras homólogas de los genitales

Láminas 388-389

- 388 Estructuras homólogas de los genitales externos
- 389 Estructuras homólogas de los genitales internos

Testículo, epidídimo y conducto deferente

Lámina 390

- 390 Testículo, epidídimo y conducto deferente

Recto

Láminas 391-396

- 391 Recto in situ: mujer y varón
- 392 Fosas isquioanales
- 393 Recto y conducto anal
- 394 Musculatura anorrectal
- 395 Músculo esfínter externo del ano: visiones perineales
- 396 Espacios reales y potenciales perineopélvicos

Exploraciones regionales

Lámina 397

- 397 Exploraciones pélvicas: imágenes sagitales de RM

Vasculatura

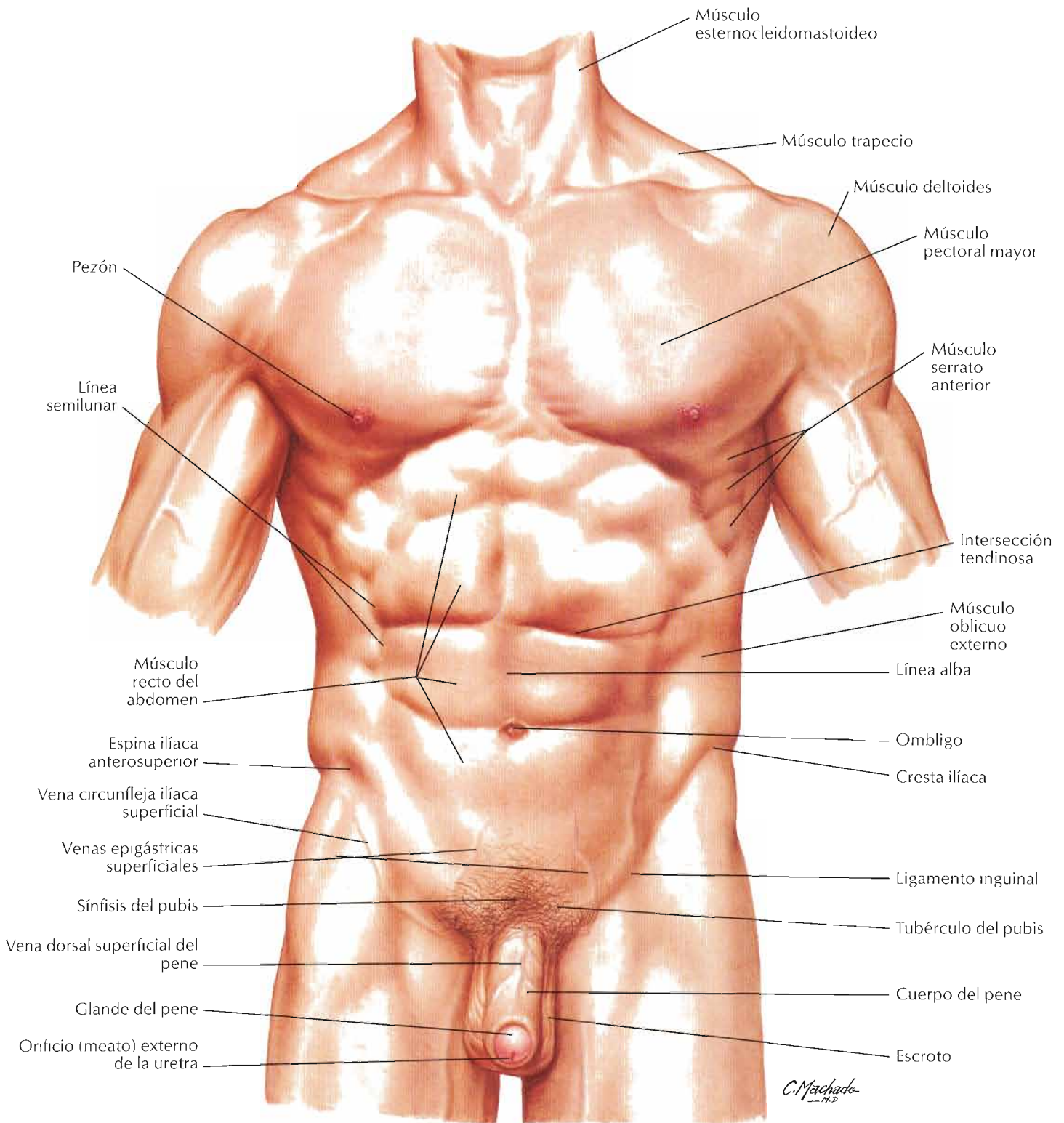
Láminas 398-408

- 398 Arterias del recto y conducto anal: varón
- 399 Venas del recto y conducto anal: mujer
- 400 Arterias y venas de los órganos pélvicos: mujer
- 401 Arterias y venas del testículo
- 402 Arterias y venas de la pelvis: mujer
- 403 Arterias y venas de la pelvis: varón
- 404 Arterias y venas del periné y útero
- 405 Arterias y venas del periné: varón
- 406 Vasos y nódulos linfáticos de la pelvis y genitales: mujer
- 407 Vasos y nódulos linfáticos del periné: mujer
- 408 Vasos y nódulos linfáticos de la pelvis y genitales: varón

Inervación

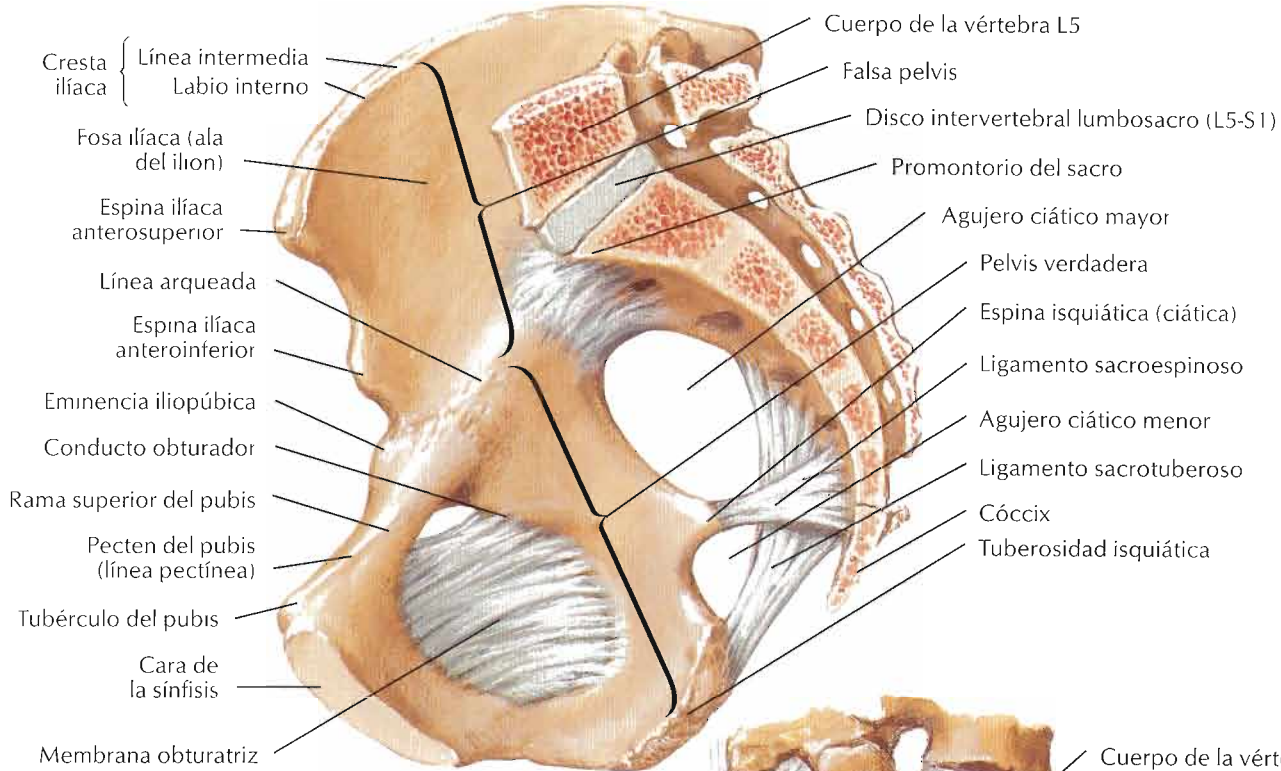
Láminas 409-417

- 409 Nervios de los genitales externos: varón
- 410 Nervios de las vísceras pélvicas: varón
- 411 Nervios del periné: varón
- 412 Nervios de las vísceras pélvicas: mujer
- 413 Nervios del periné y genitales externos: mujer
- 414 Vías nerviosas en el parto
- 415 Inervación de los órganos reproductores femeninos: esquema
- 416 Inervación de los órganos reproductores masculinos: esquema
- 417 Inervación de la vejiga urinaria y uréter inferior: esquema

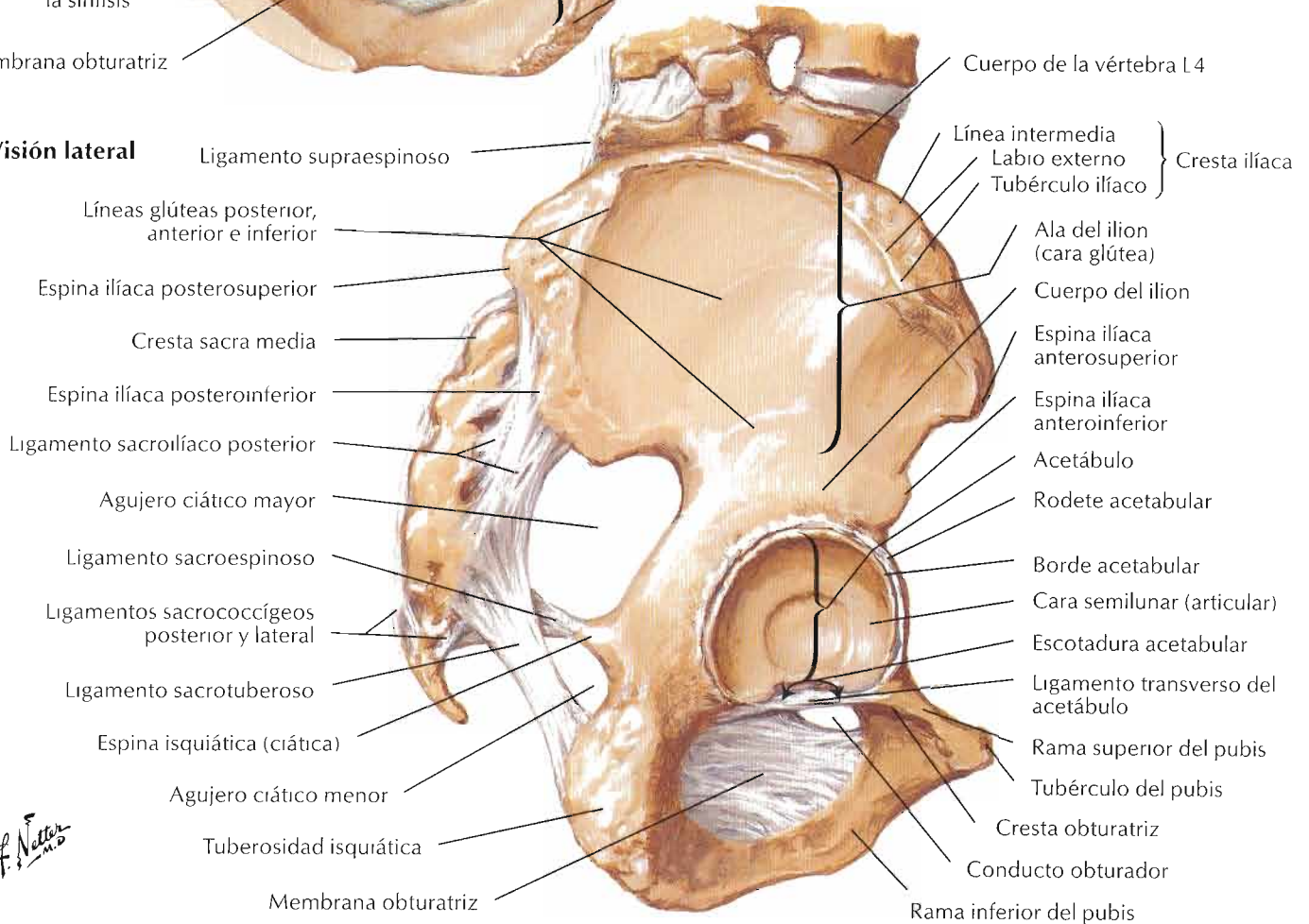


Véase también lámina 486

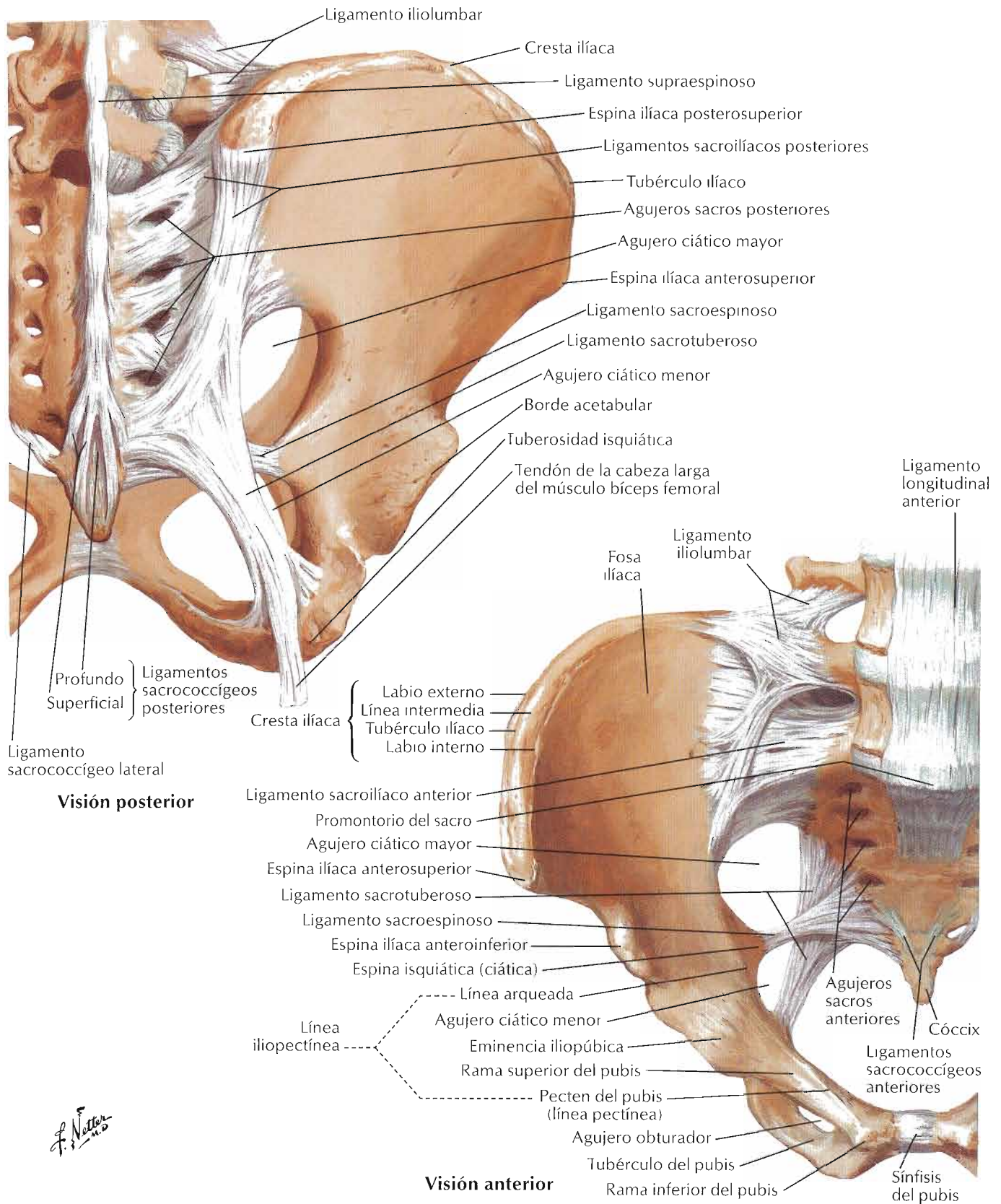
Sección media (sagital)



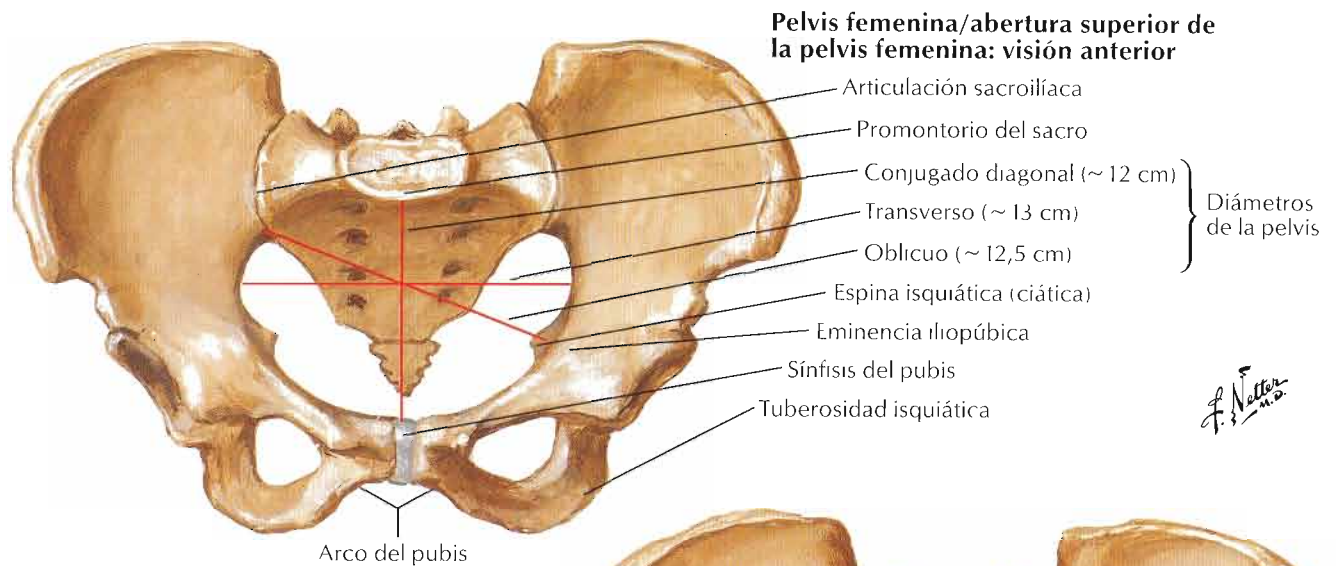
Visión lateral



F. Netter M.D.



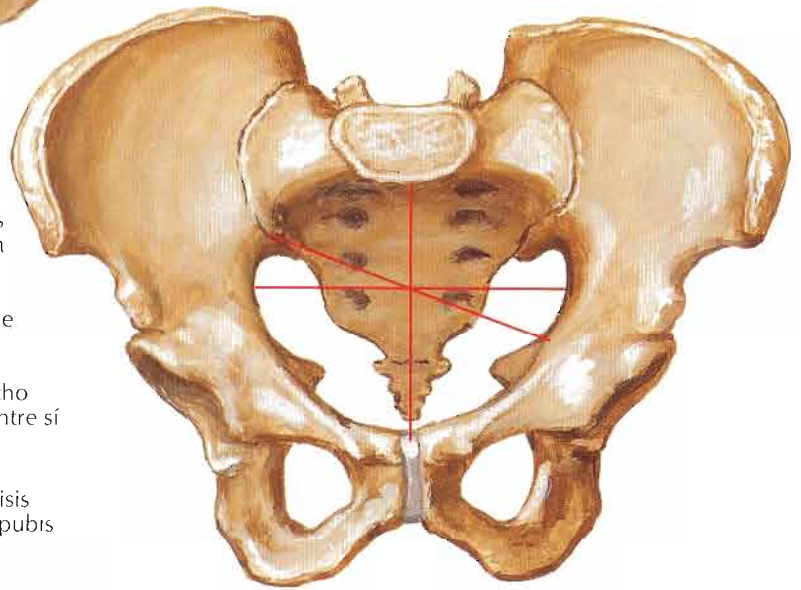
Véase también lámina 248



Pelvis femenina/abertura superior de la pelvis femenina: visión anterior

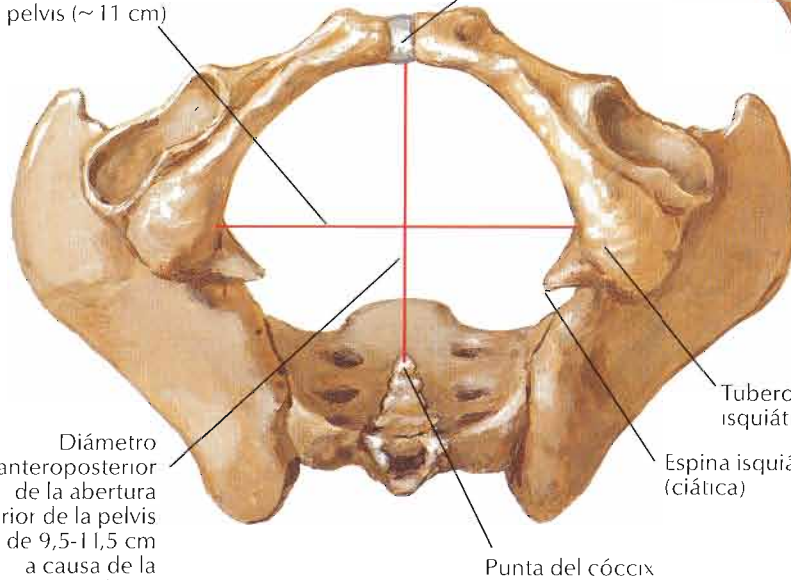
Pelvis masculina/abertura superior de la pelvis masculina: visión anterior

Todas las medidas son ligeramente más cortas en relación con el tamaño corporal que en la mujer
 Abertura superior de la pelvis orientada más anteroposteriormente que en la mujer, donde tiende a ser oval transversalmente
 Sínfisis púbica más profunda (más alta)
 Arco del pubis (ángulo subpúbico) más estrecho
 Tuberosidades isquiáticas menos separadas entre sí
 Alas del ilion menos anchas



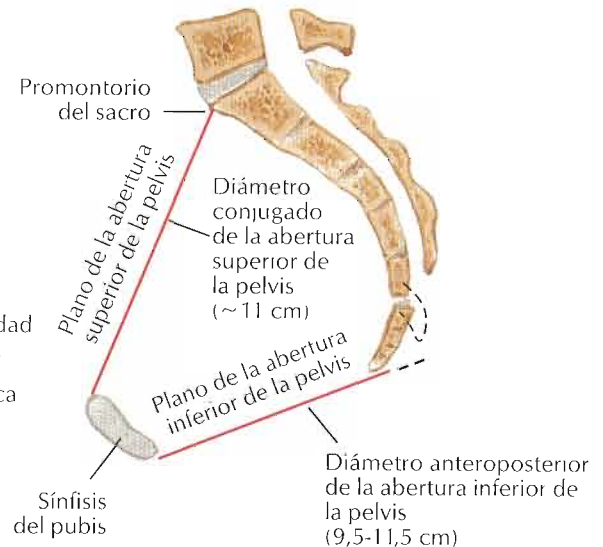
Diámetro transverso de la abertura inferior de la pelvis (~ 11 cm)

Sínfisis del pubis

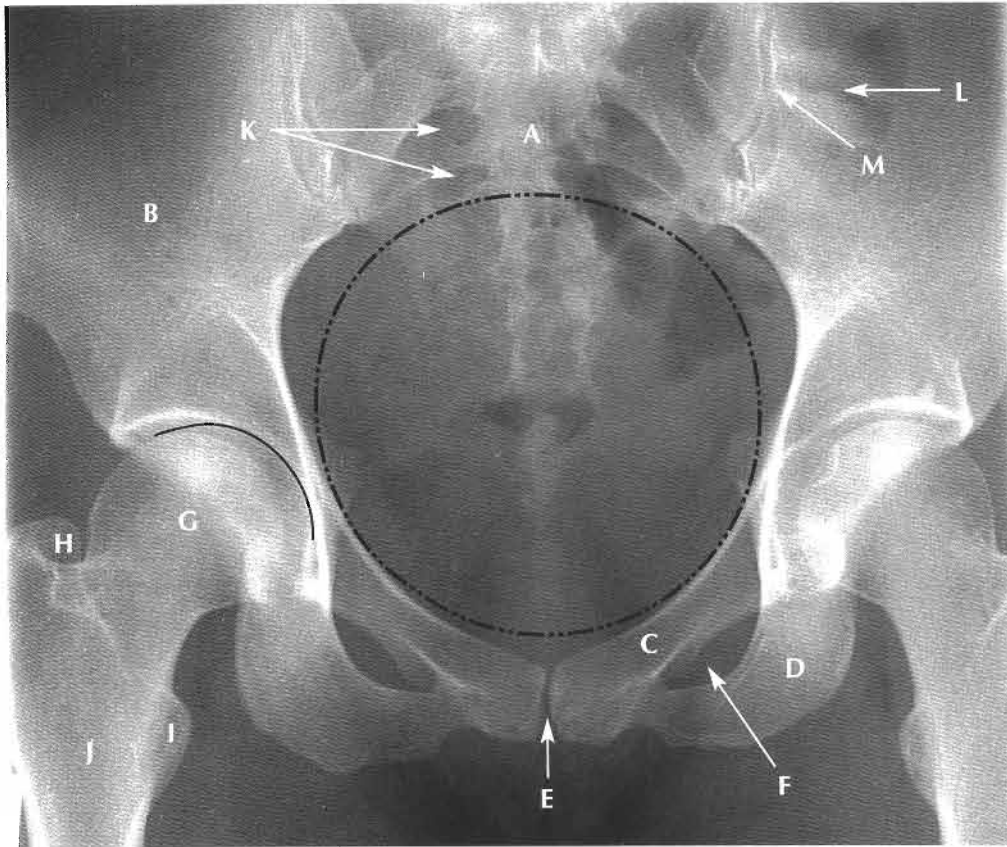


Diámetro anteroposterior de la abertura inferior de la pelvis (varía de 9,5-11,5 cm a causa de la movilidad del cóccix)

Pelvis femenina/abertura inferior de la pelvis femenina: visión inferior

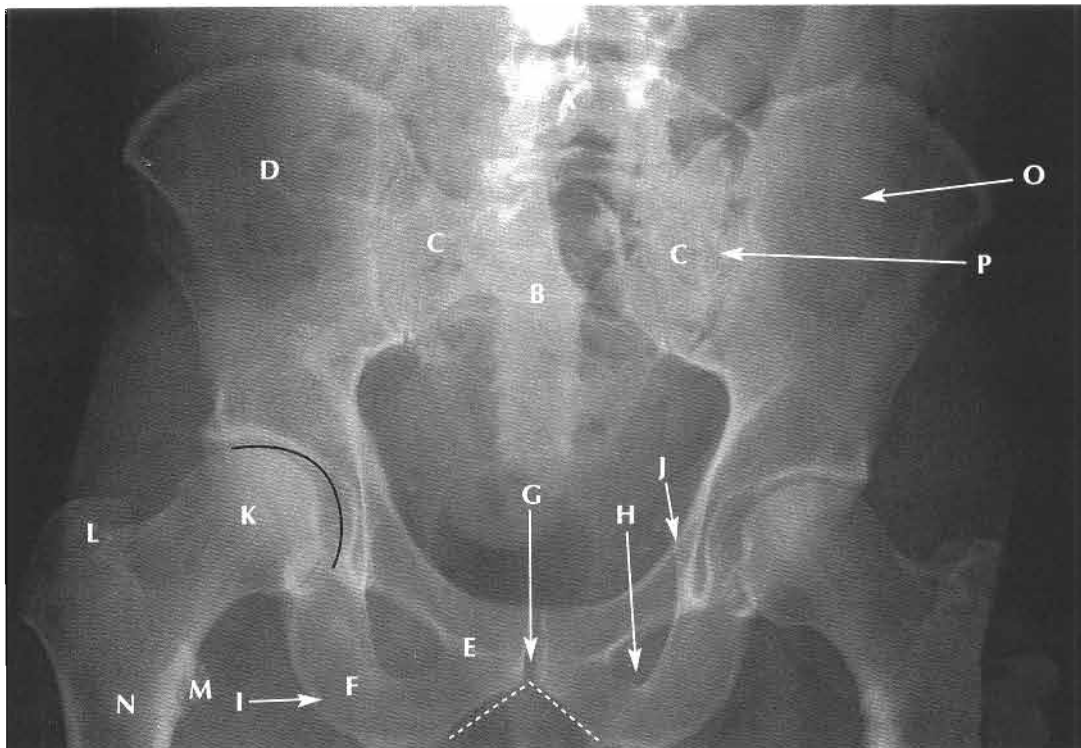


Mujer: sección sagital



Pelvis femenina

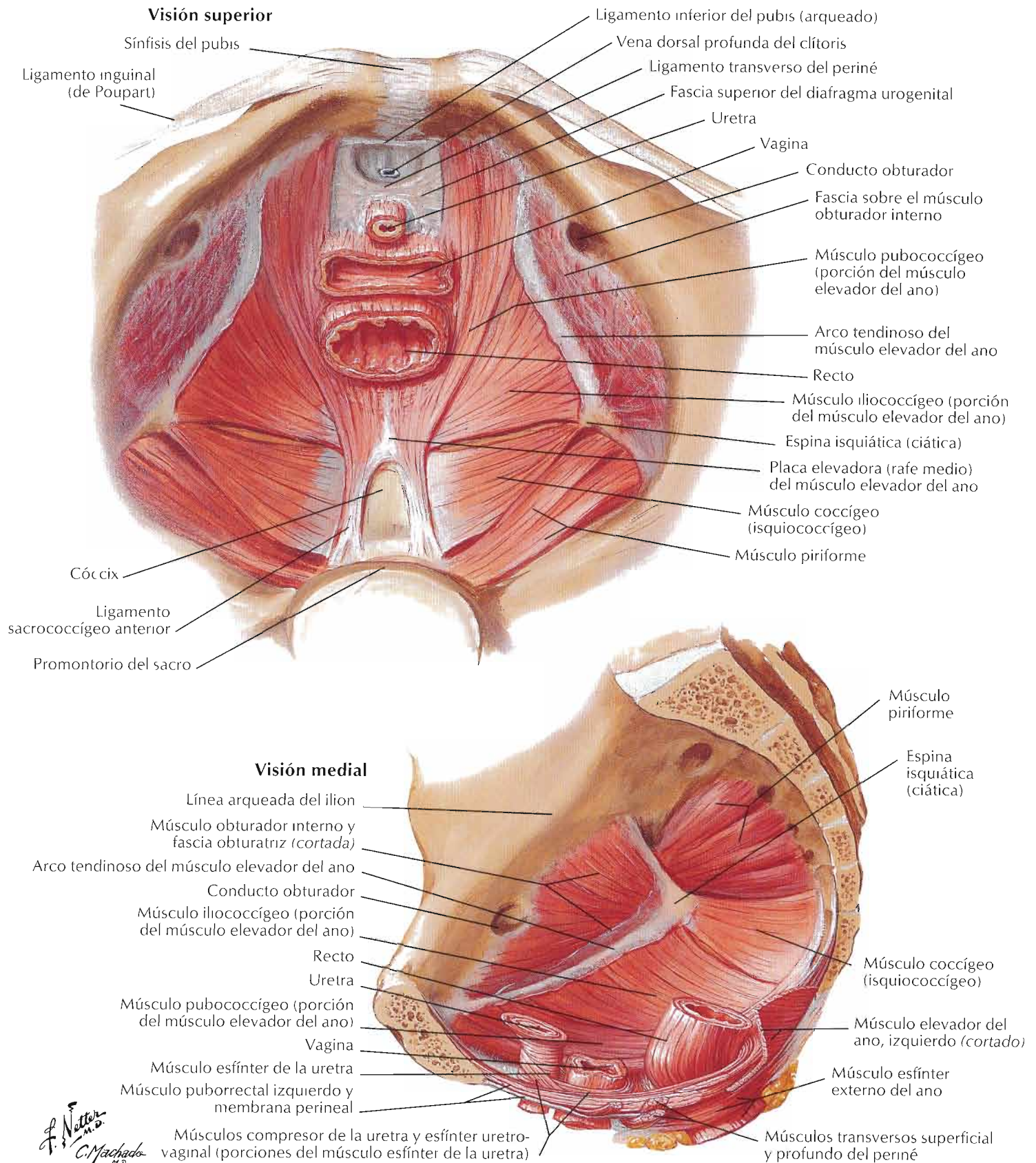
- A Sacro
- B Ilion
- C Pubis
- D Isquion
- E Sínfisis del pubis
- F Agujero obturado
- G Cabeza del fémur
- H Trocánter mayor
- I Trocánter menor
- J Trocánter menor
- K Agujeros sacros anteriores
- L Aire en el colon
- M Articulación sacroilíaca
- Acetábulo
- - - - Abertura superior de la pelvis



Pelvis masculina

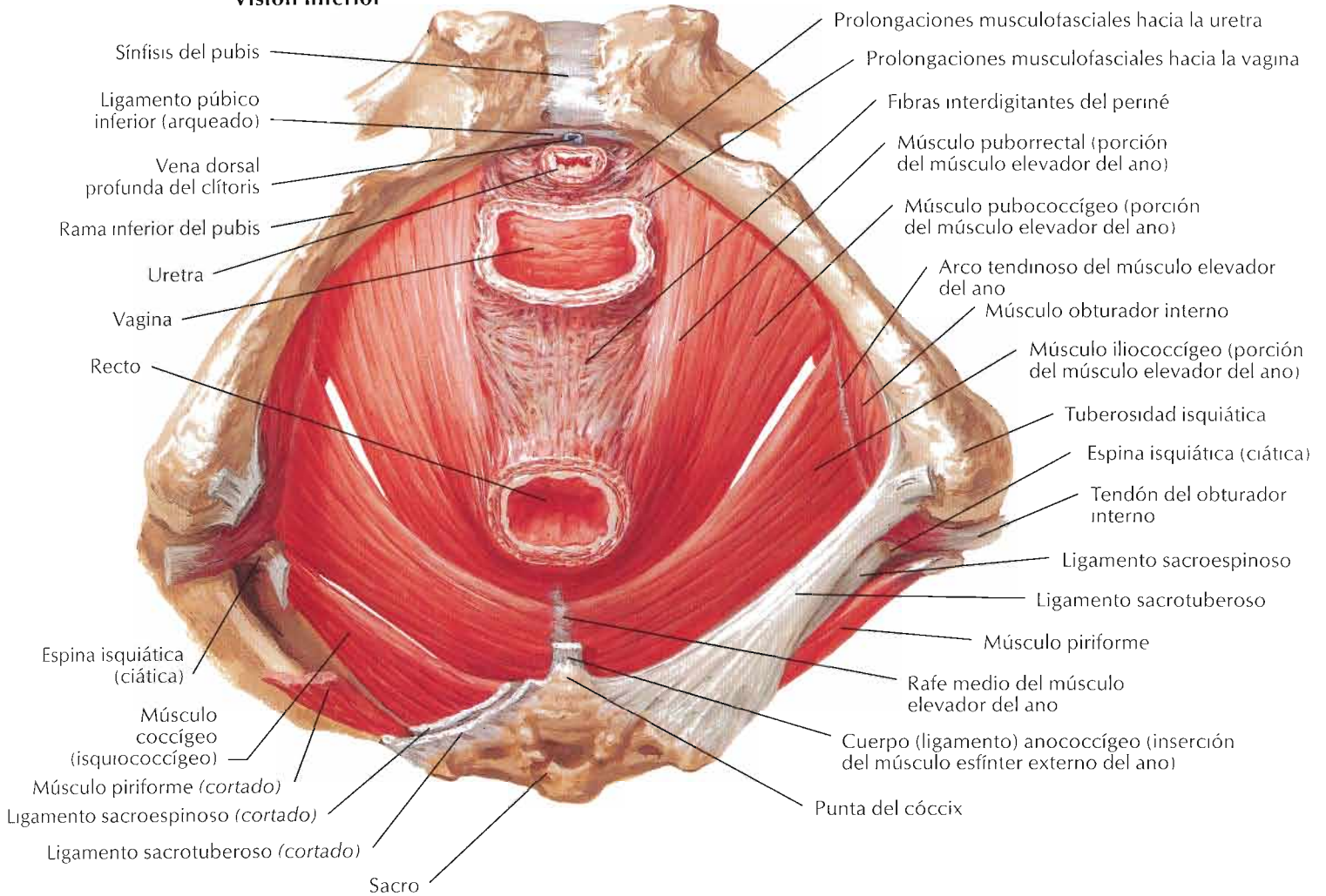
- A L5
- B Sacro
- C Ala del sacro
- D Ilion
- E Pubis
- F Isquion
- G Sínfisis del pubis
- H Agujero obturado
- I Tuberosidad isquiática
- J Espina ciática
- K Cabeza del fémur
- L Trocánter mayor
- M Trocánter menor
- N Fémur
- O Aire en el colon
- P Articulación sacroilíaca
- Acetábulo
- - - - Ángulo subpubiano

Véanse también láminas 263, 366, 370, 392

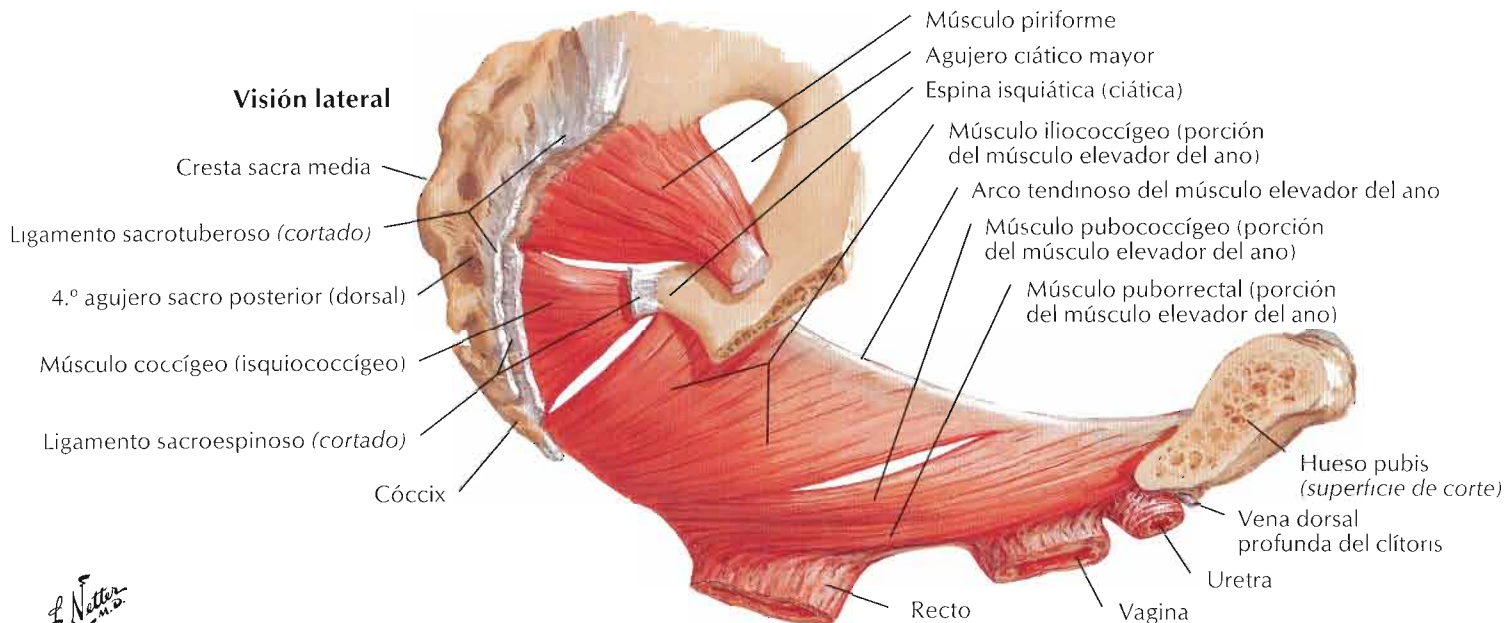


Para el diafragma urogenital véase lámina 379

Visión inferior

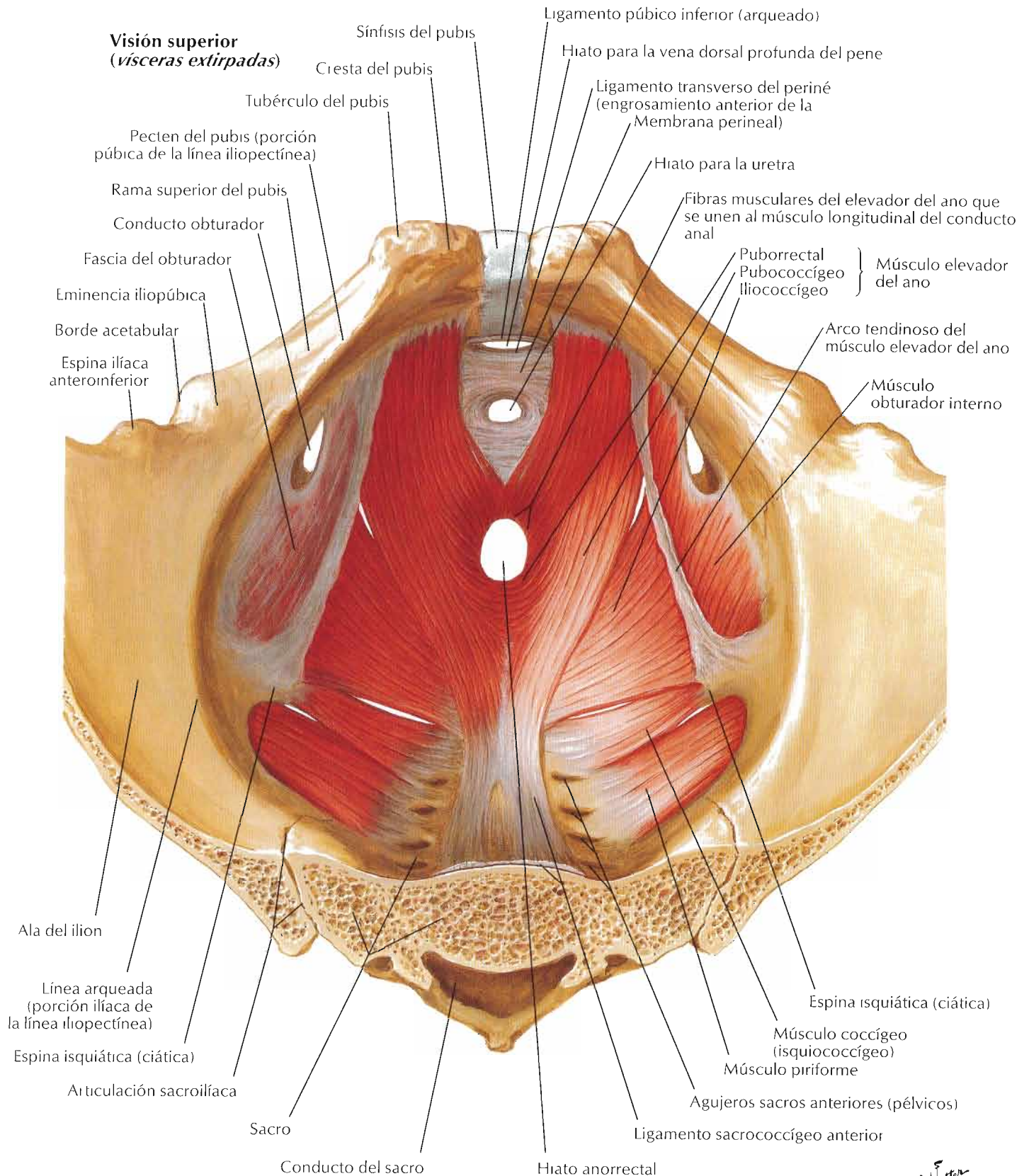


Visión lateral



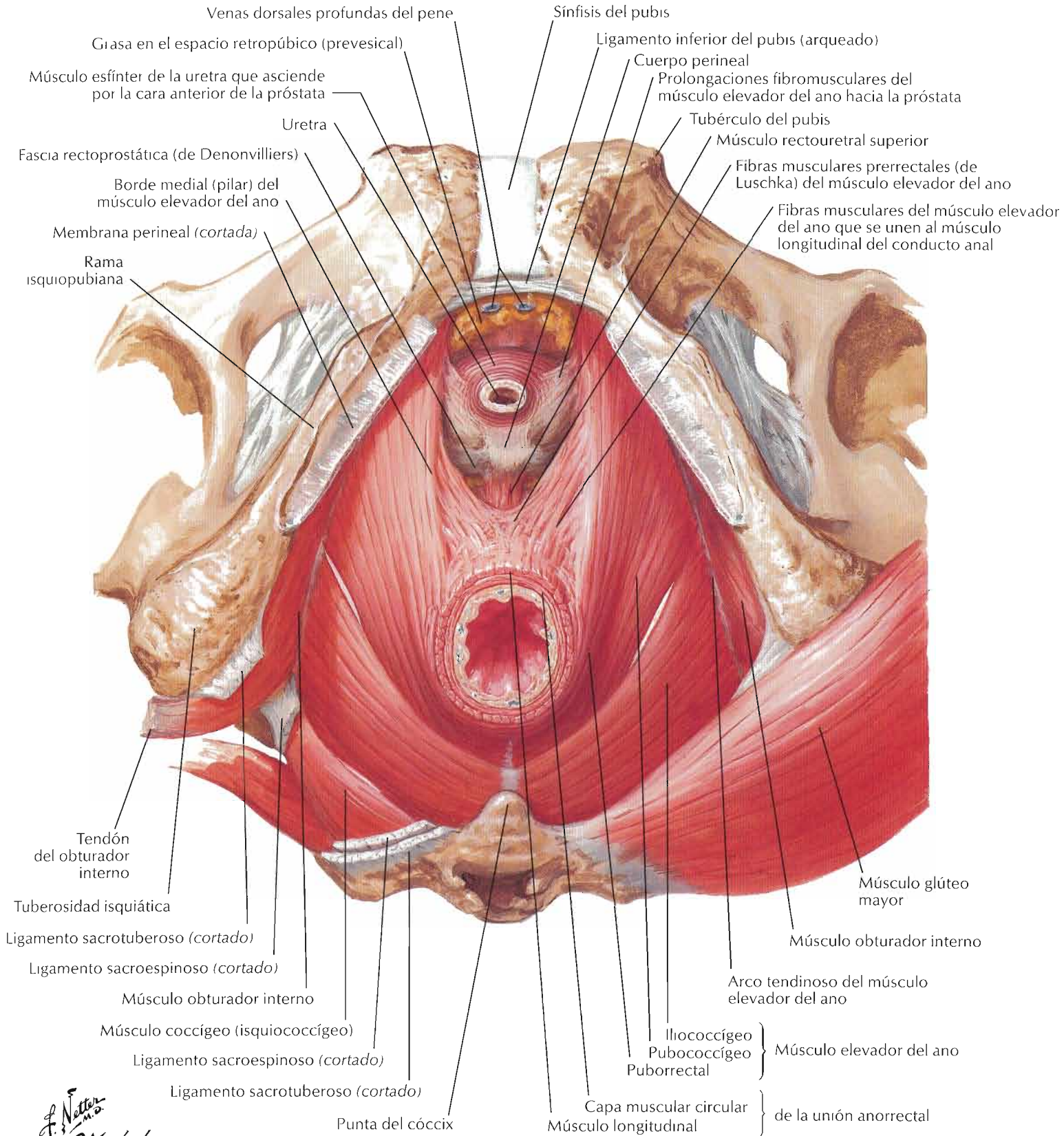
F. Netter M.D.

Véanse también láminas 263, 266, 392



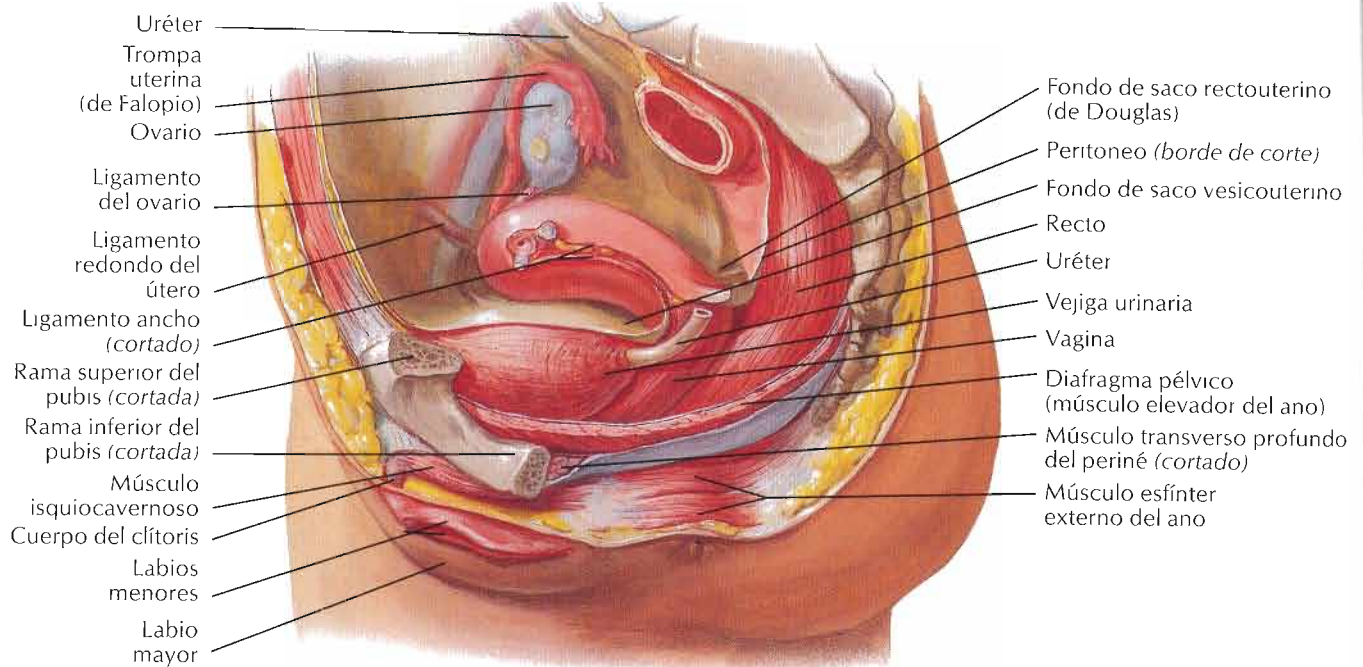
Para el diafragma urogenital véase lámina 383

Visión inferior

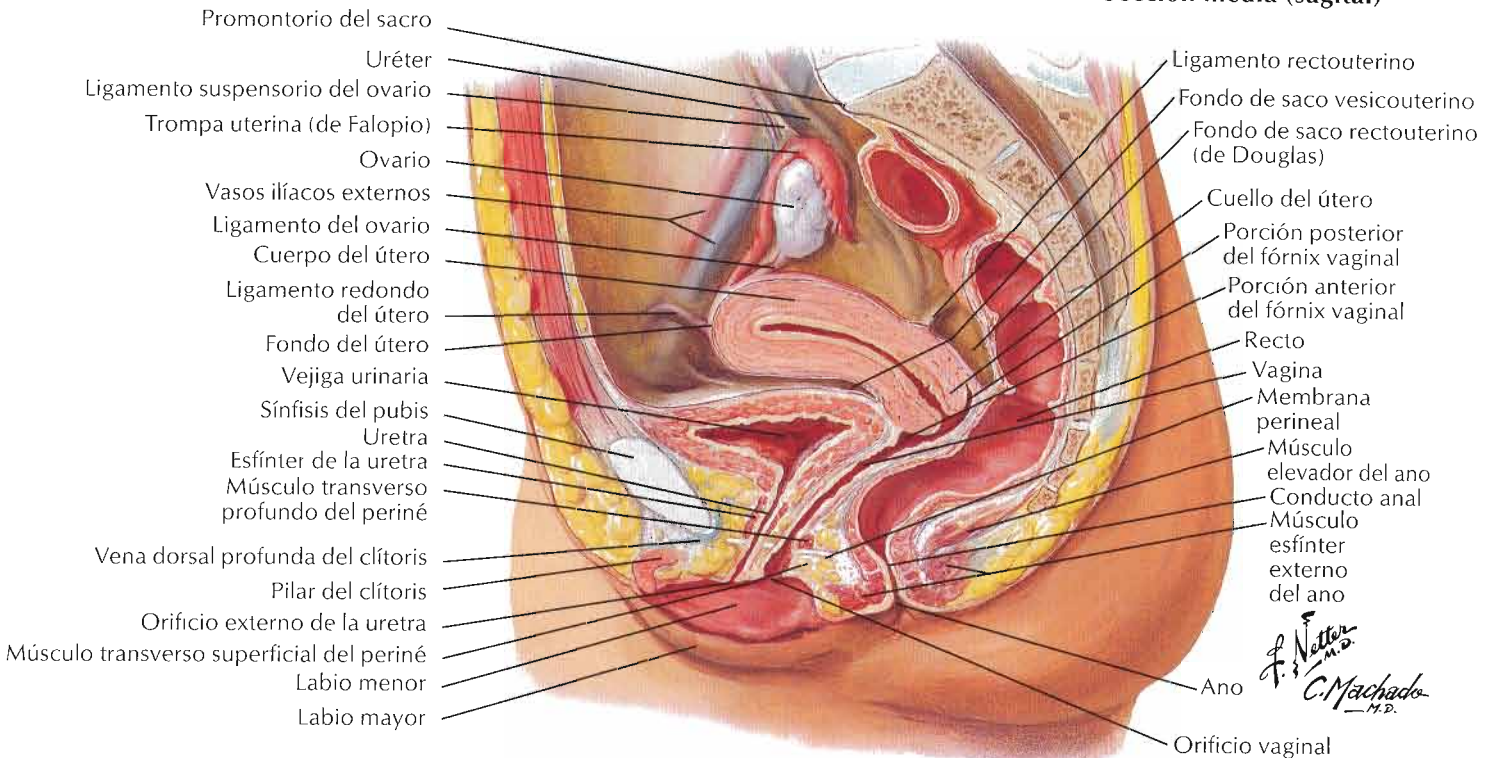


F. Netto
C. Machado
—MD

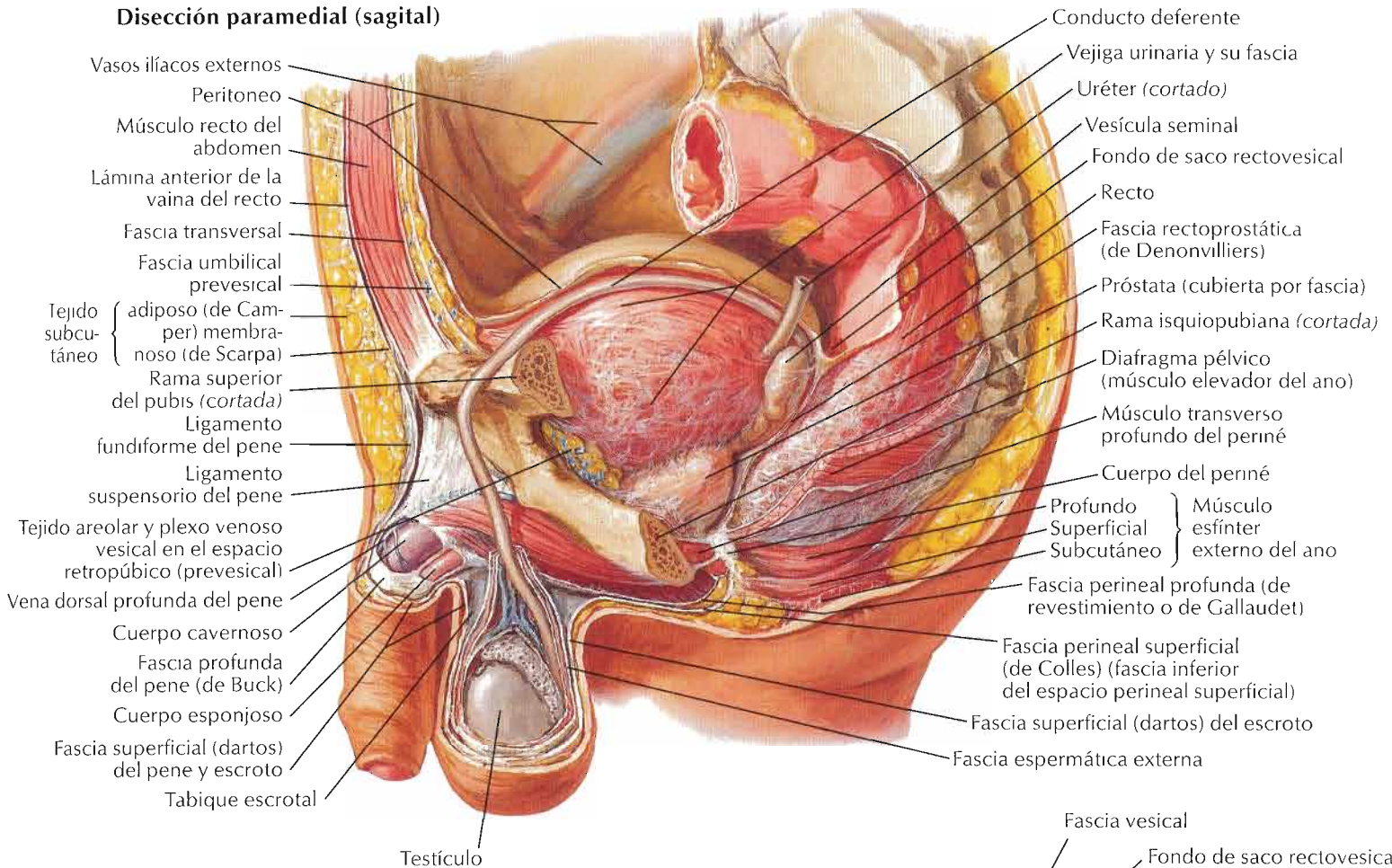
Disección paramedial (sagital)



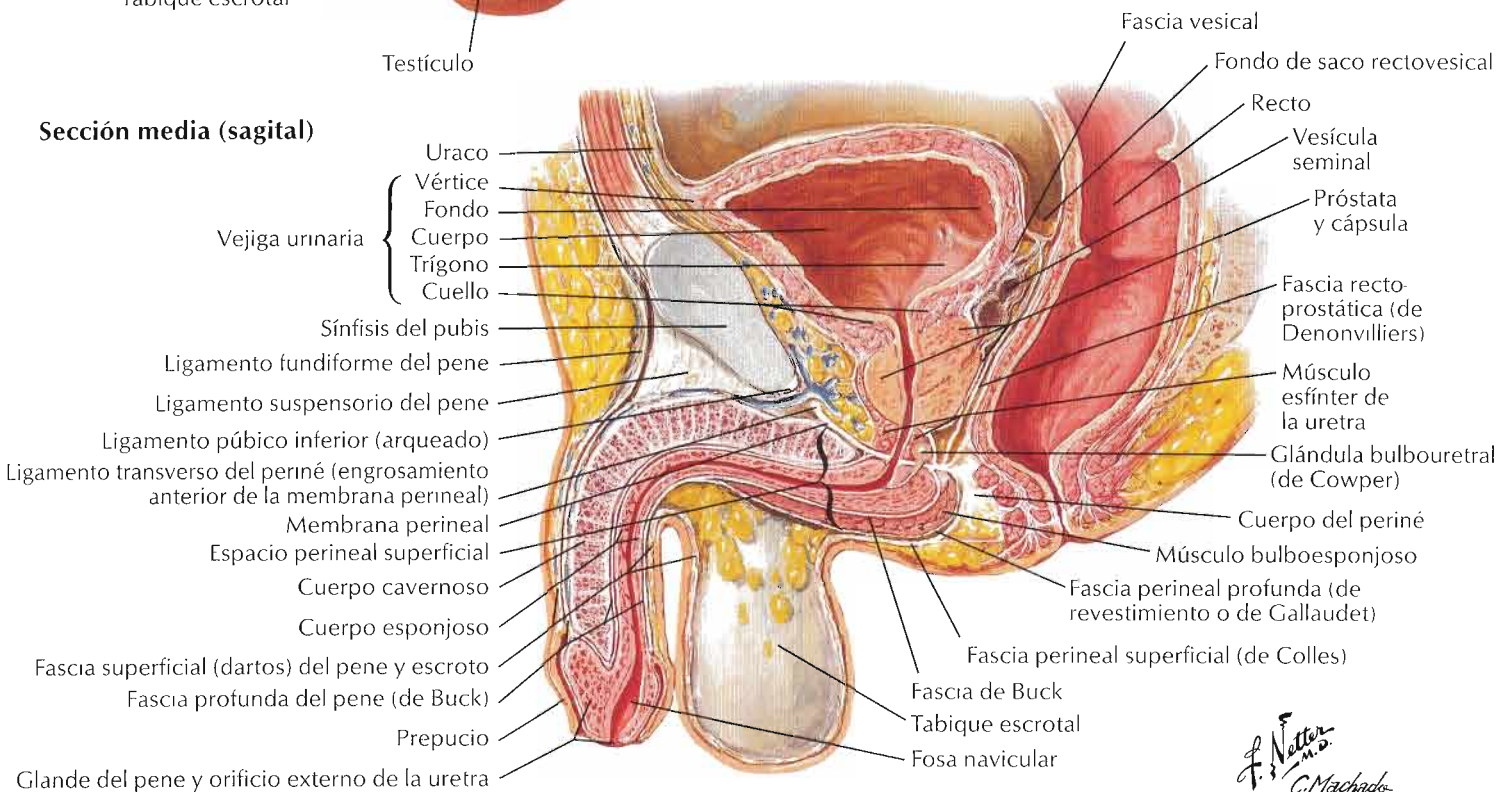
Sección media (sagital)



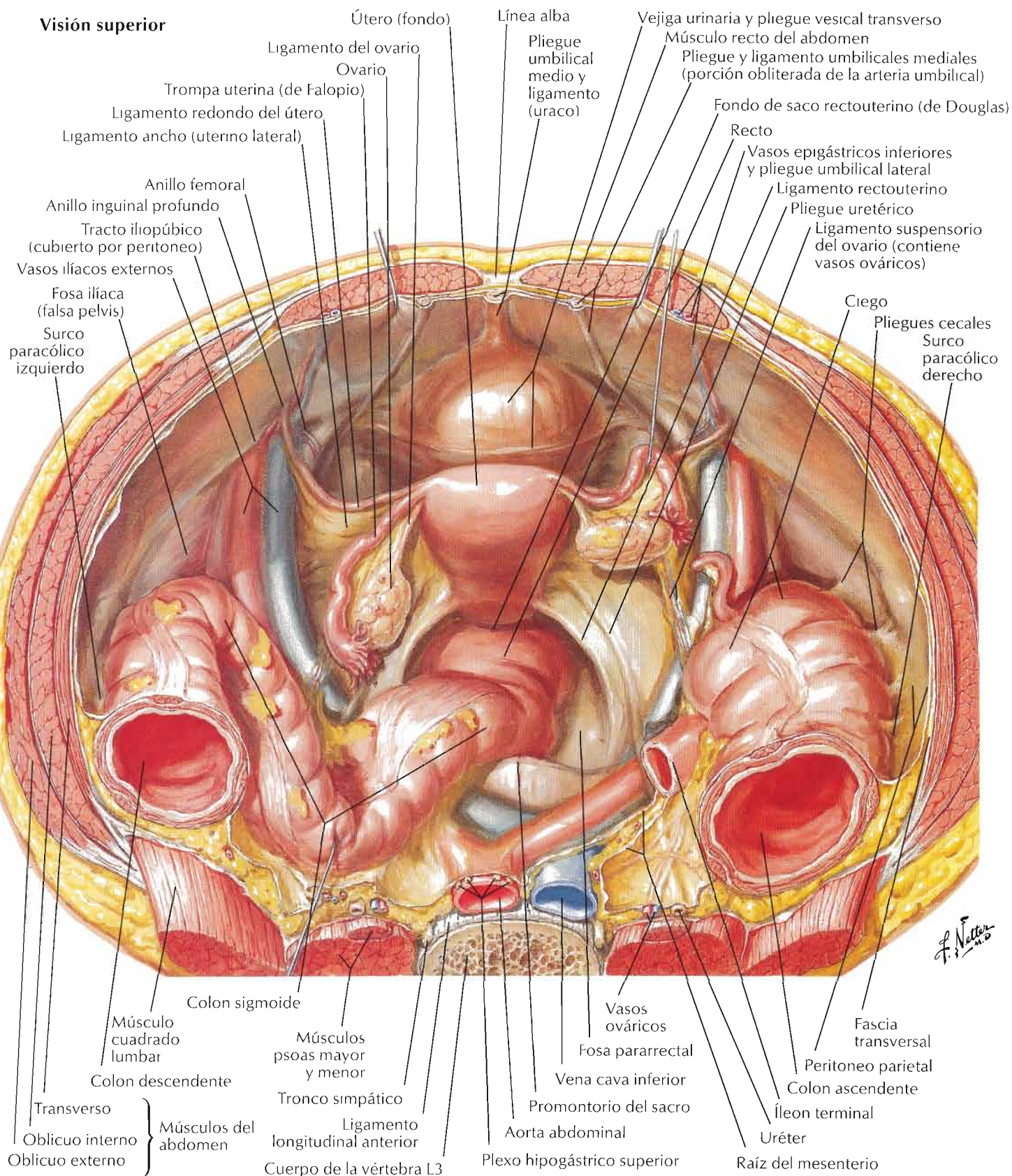
Disección paramedial (sagital)



Sección media (sagital)

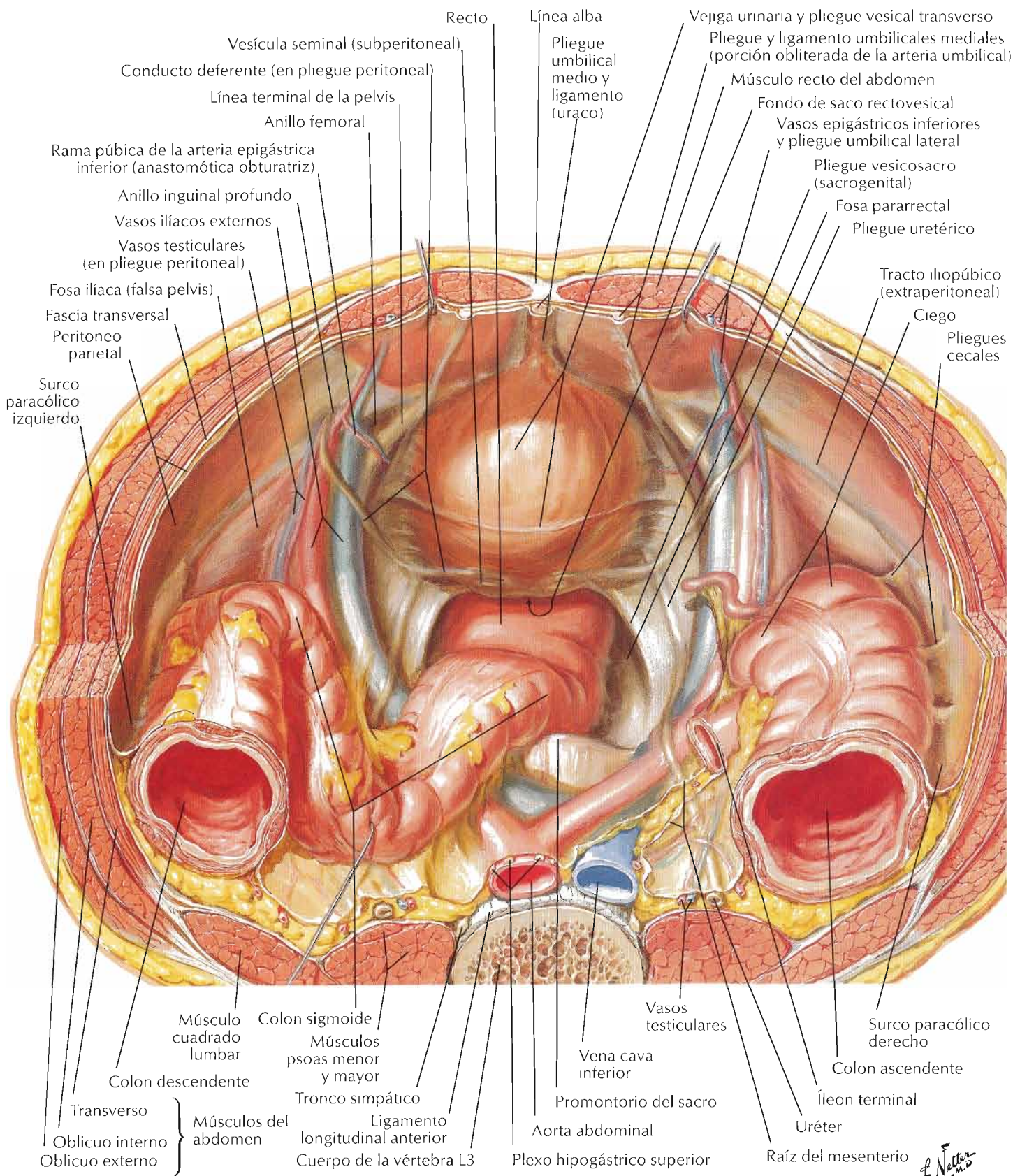


F. Netter M.D.
C. Machado M.D.



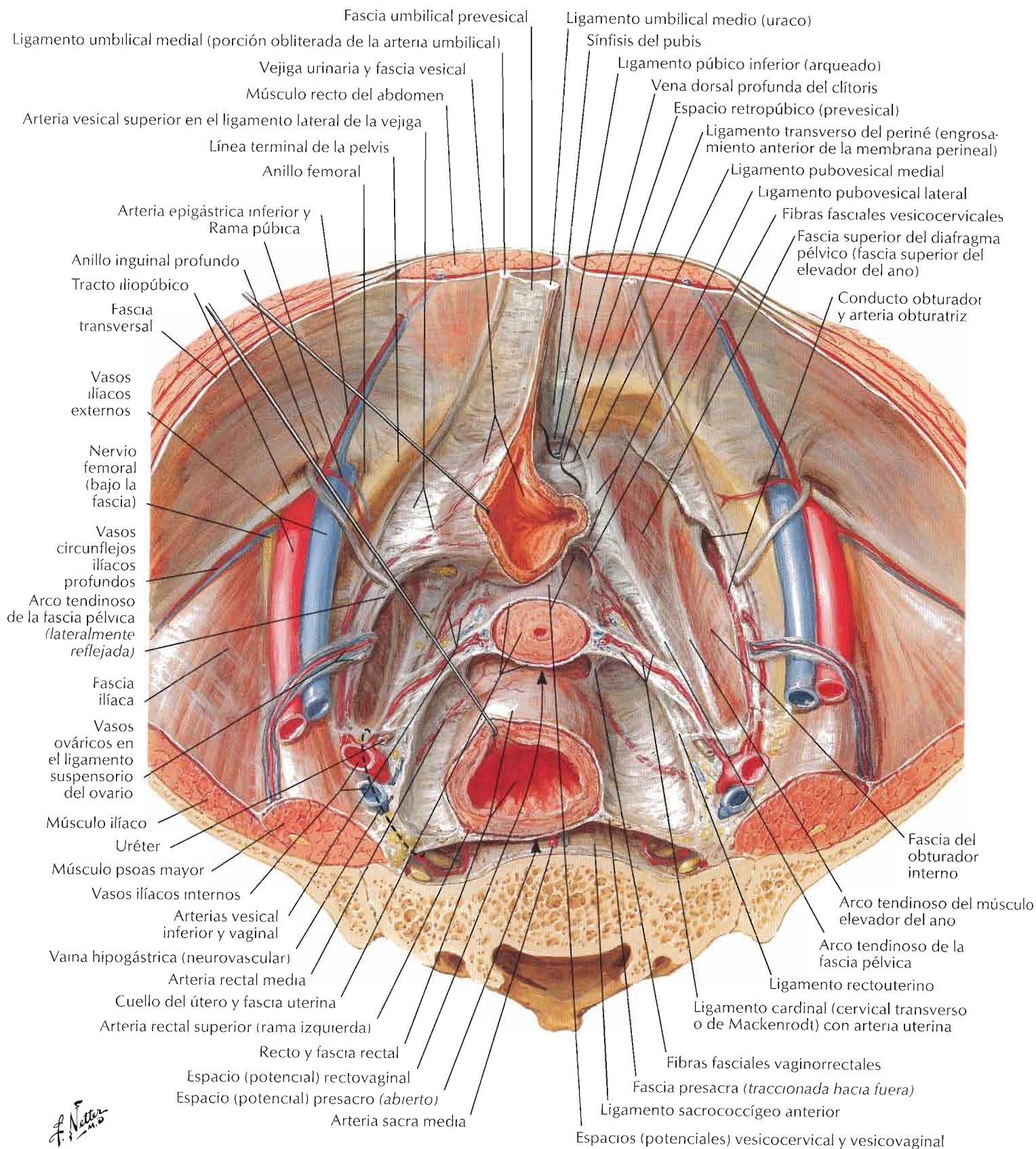
F. Netter

Visión superior



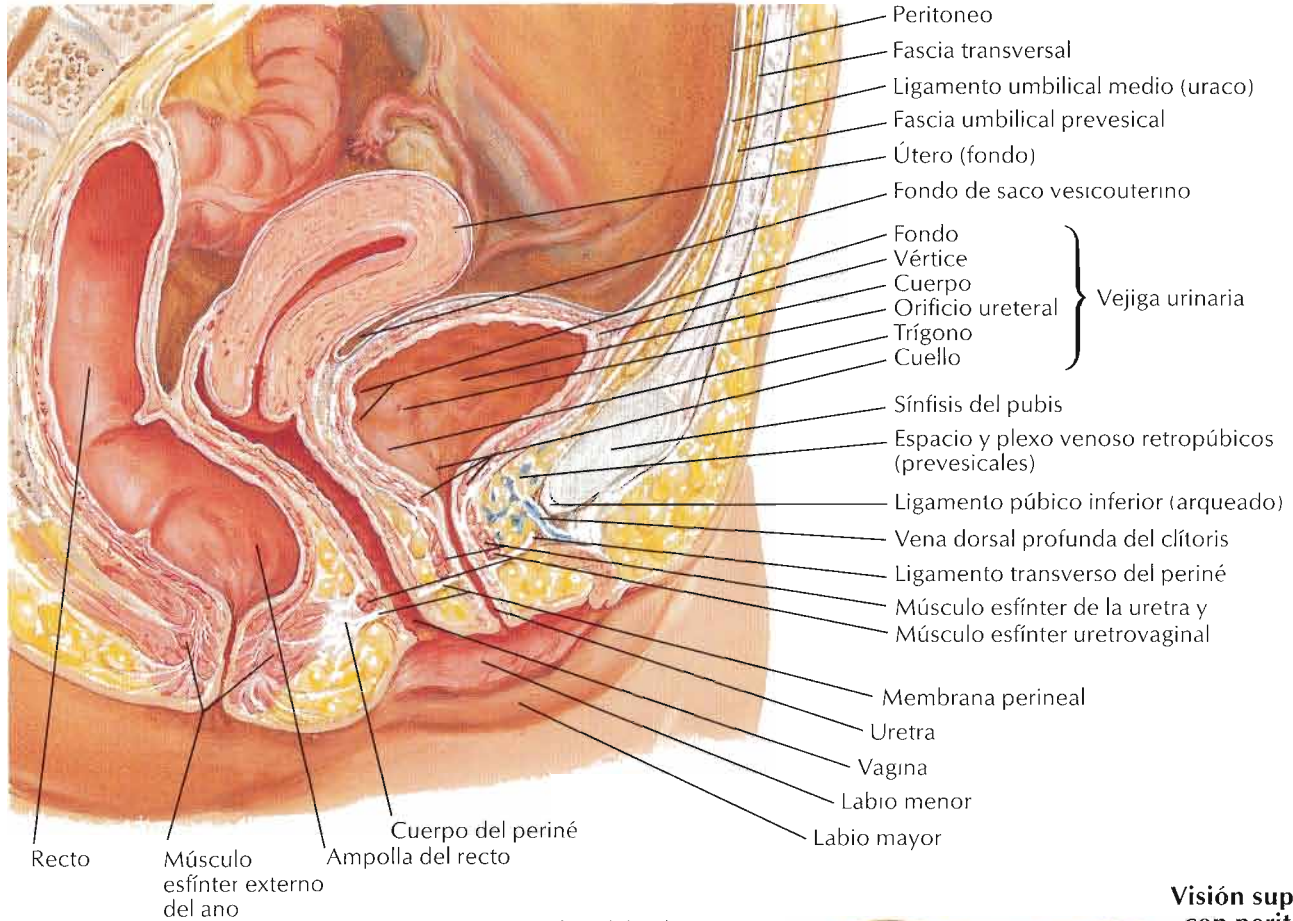
F. Netter M.D.

Mujer: visión superior (se han extirpado el peritoneo y el tejido areolar laxo)

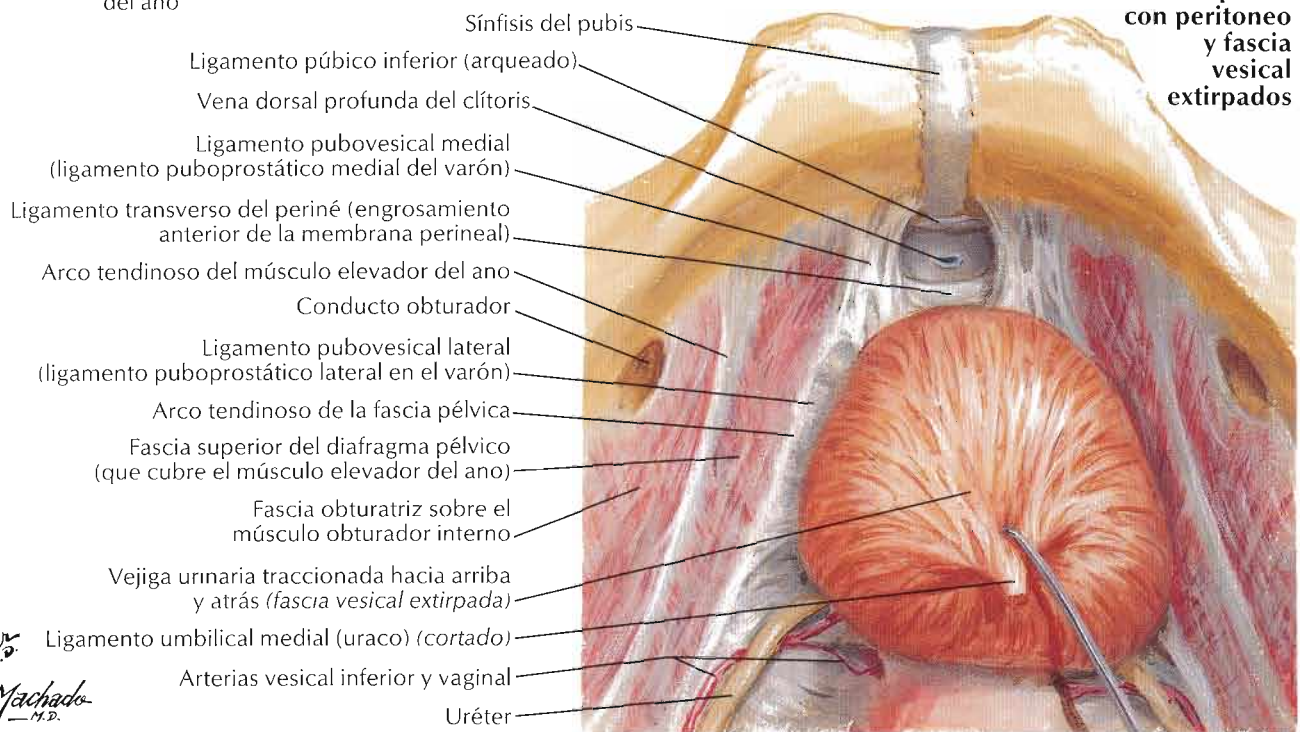


F. Netter M.D.

Mujer: sección sagital media



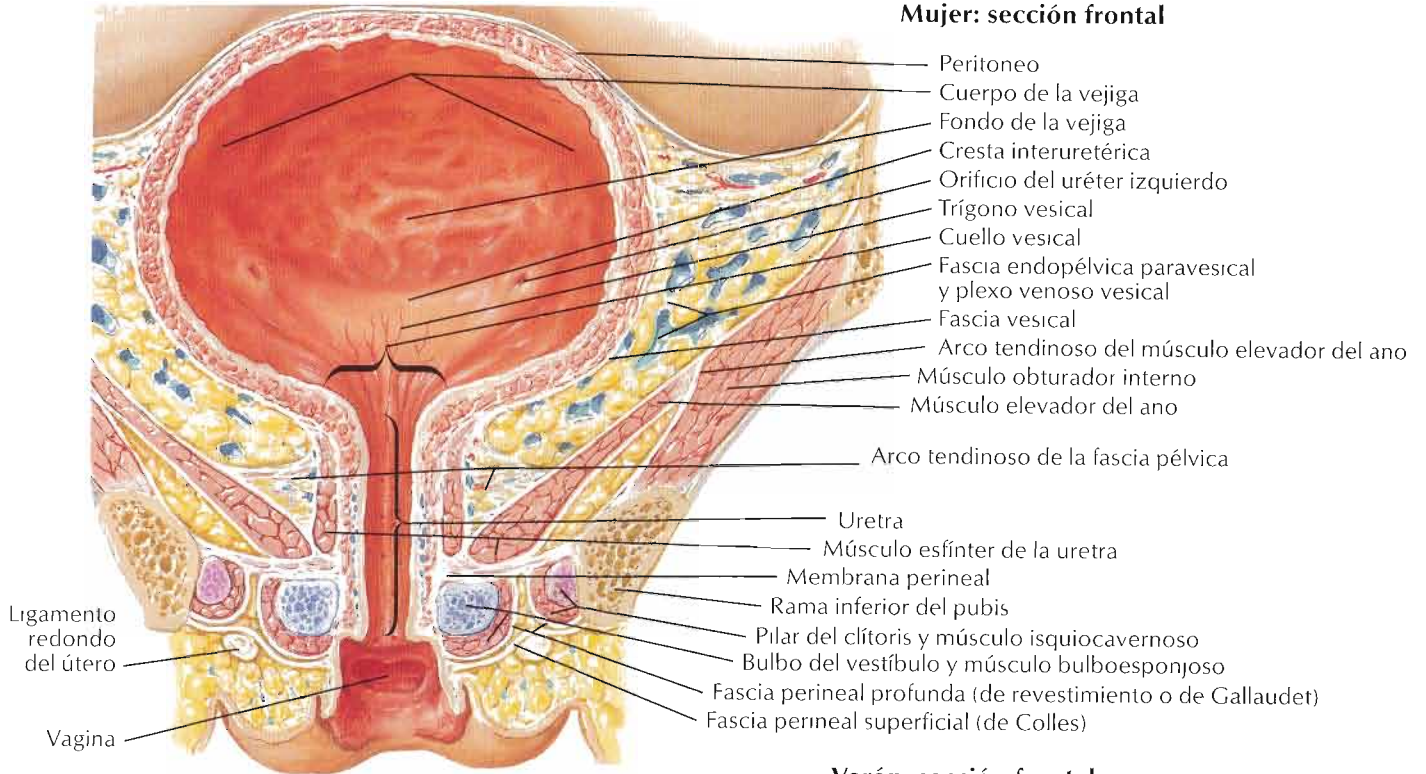
Visión superior con peritoneo y fascia vesical extirpados



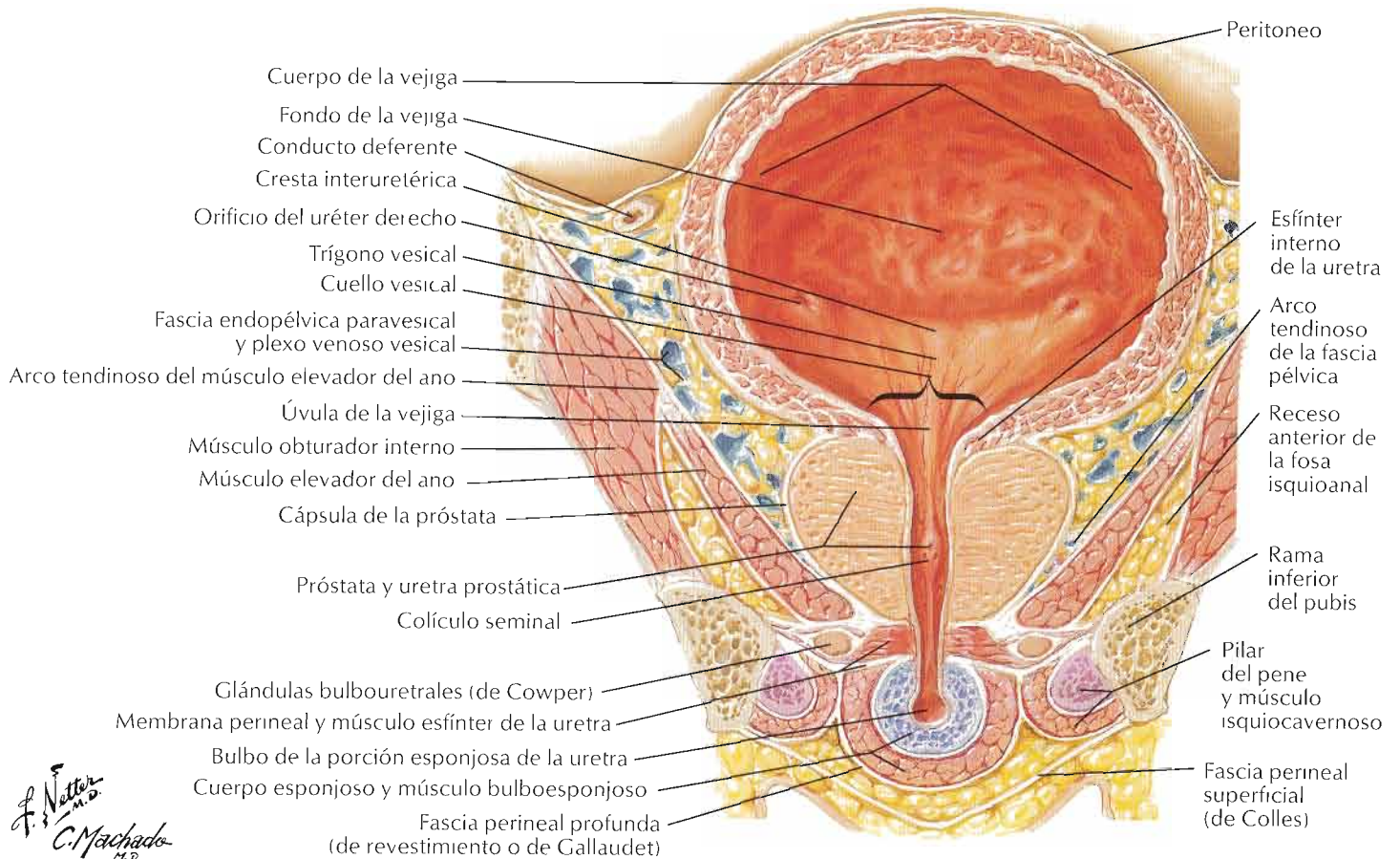
F. Natter M.D.
 C. Machado M.D.

Véanse también láminas 343, 360, 361, 365, 400, 402, 403, 417

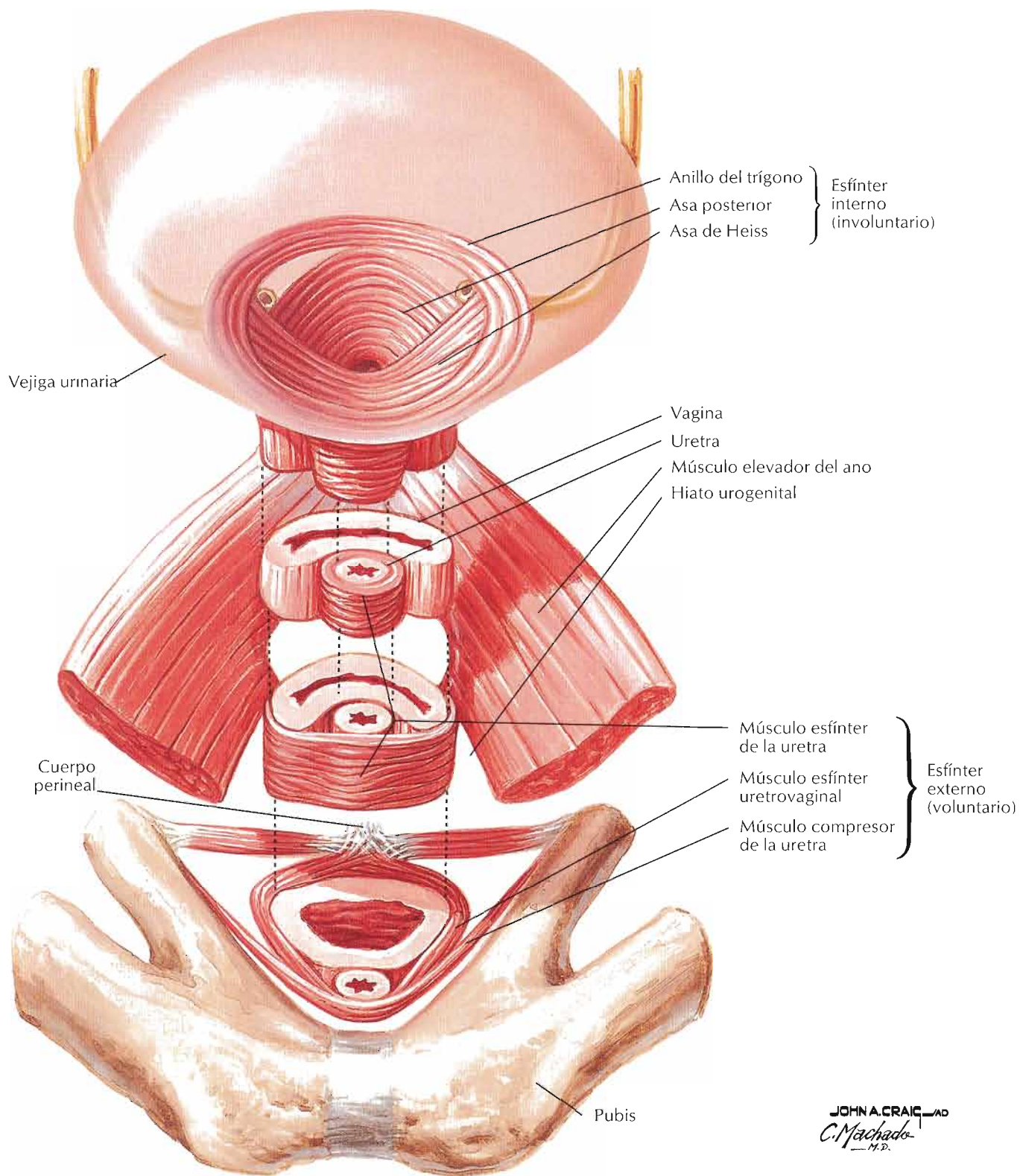
Mujer: sección frontal

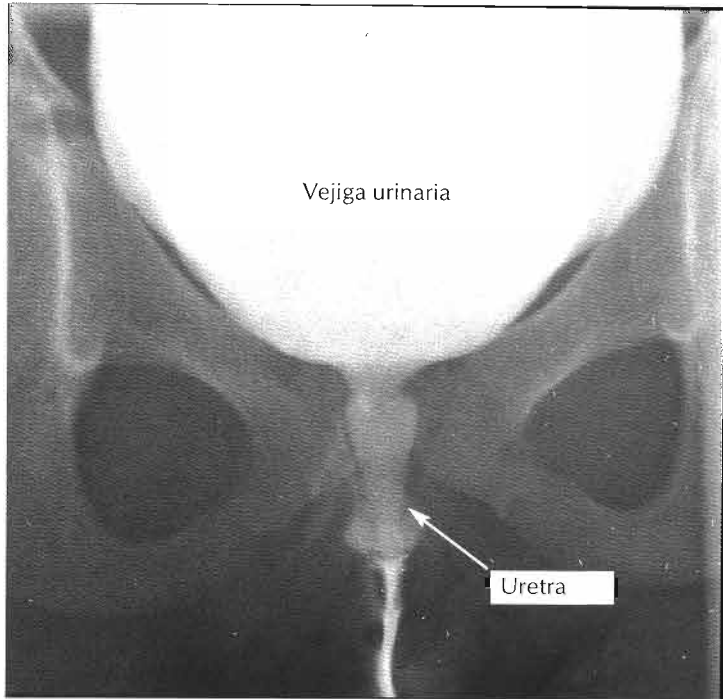


Varón: sección frontal



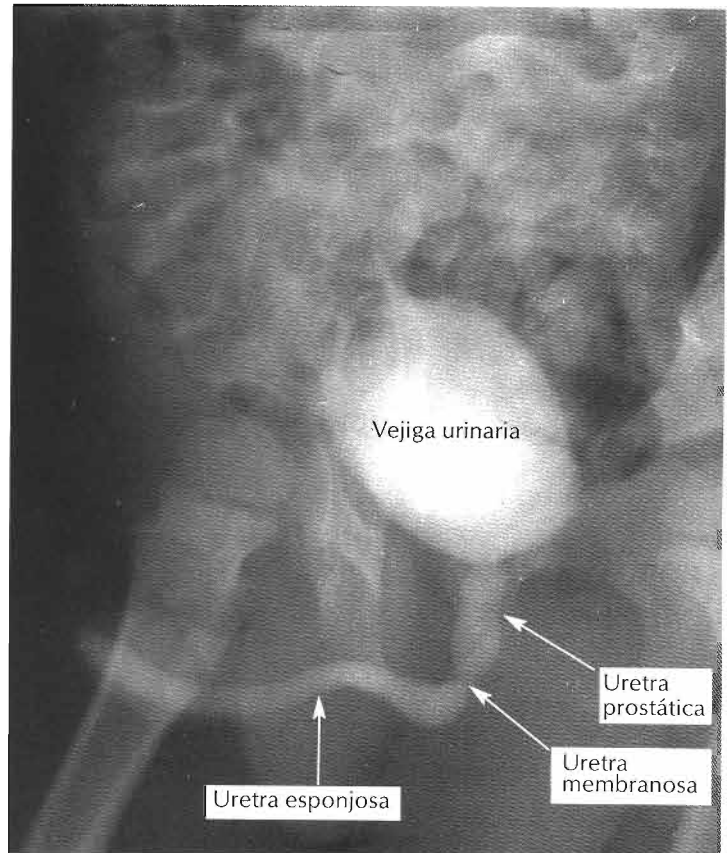
F. Netter M.D.
C. Machado M.D.



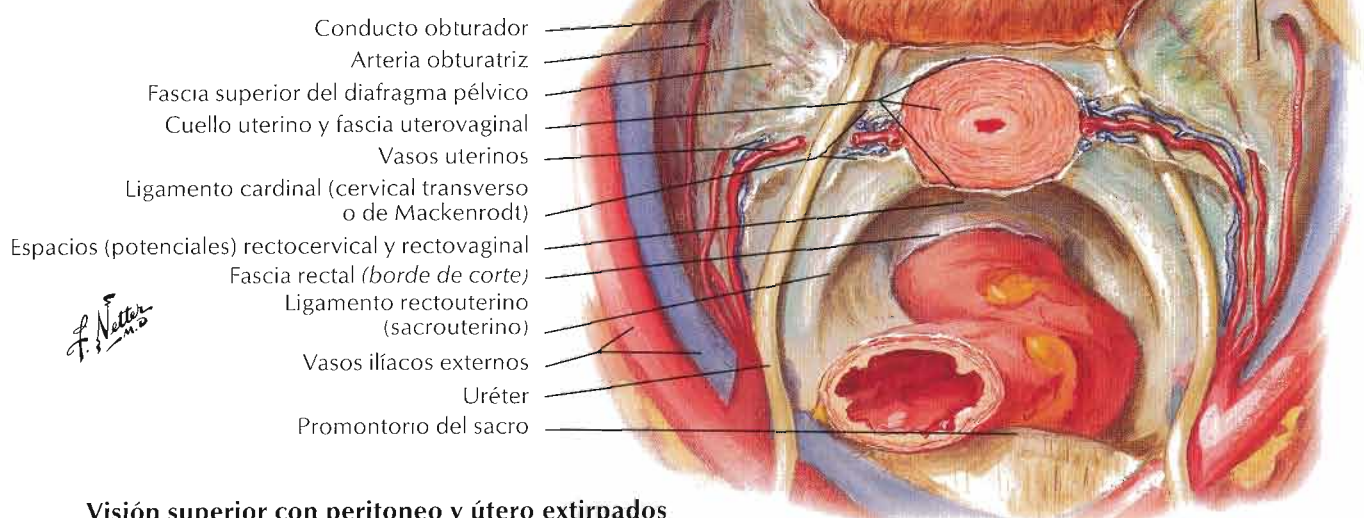
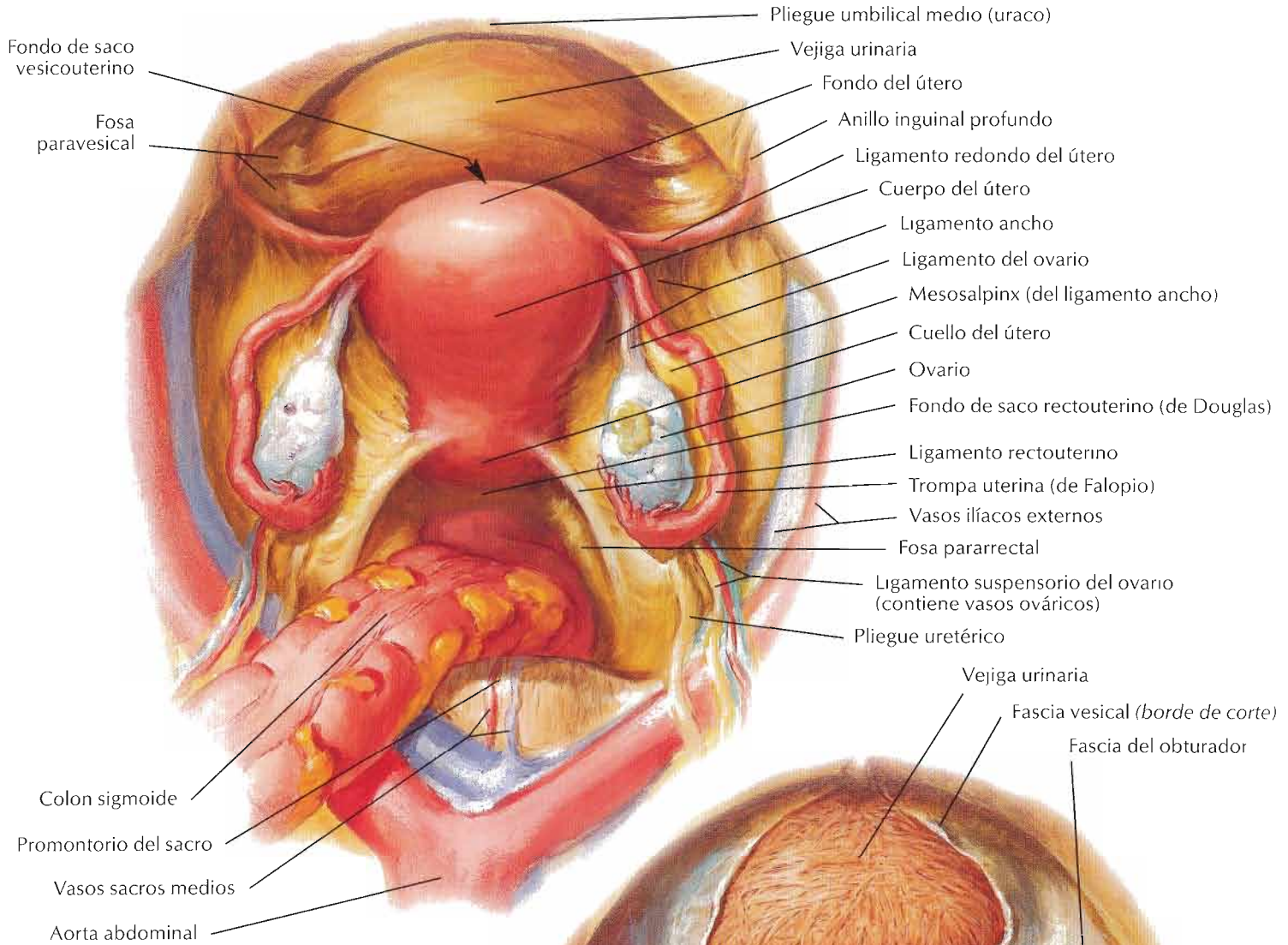


Uretra femenina,
niña de 8 años de edad

Cistouretrografía
en micción, niño
de 2 años de edad

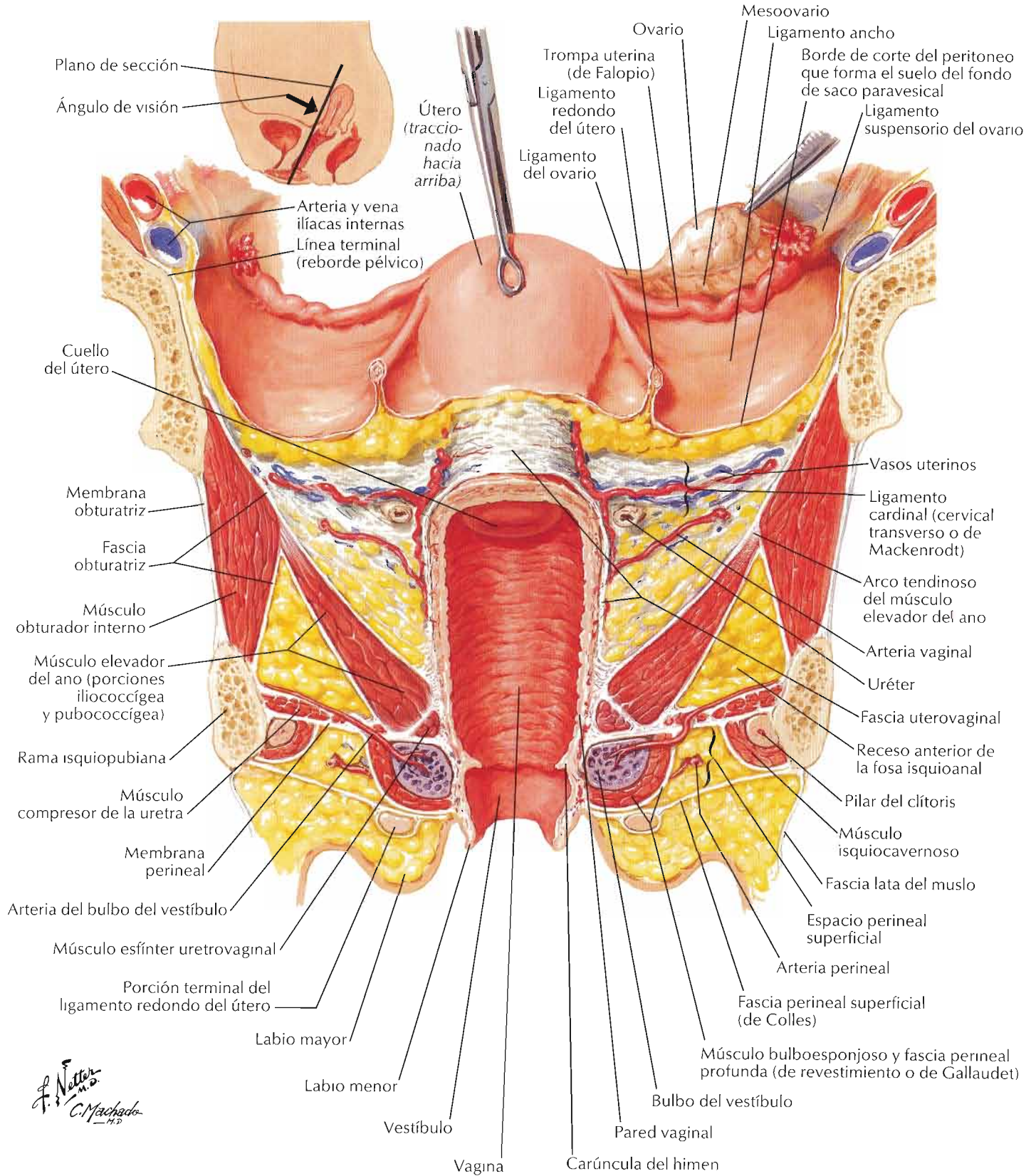


Visión superior con el peritoneo intacto

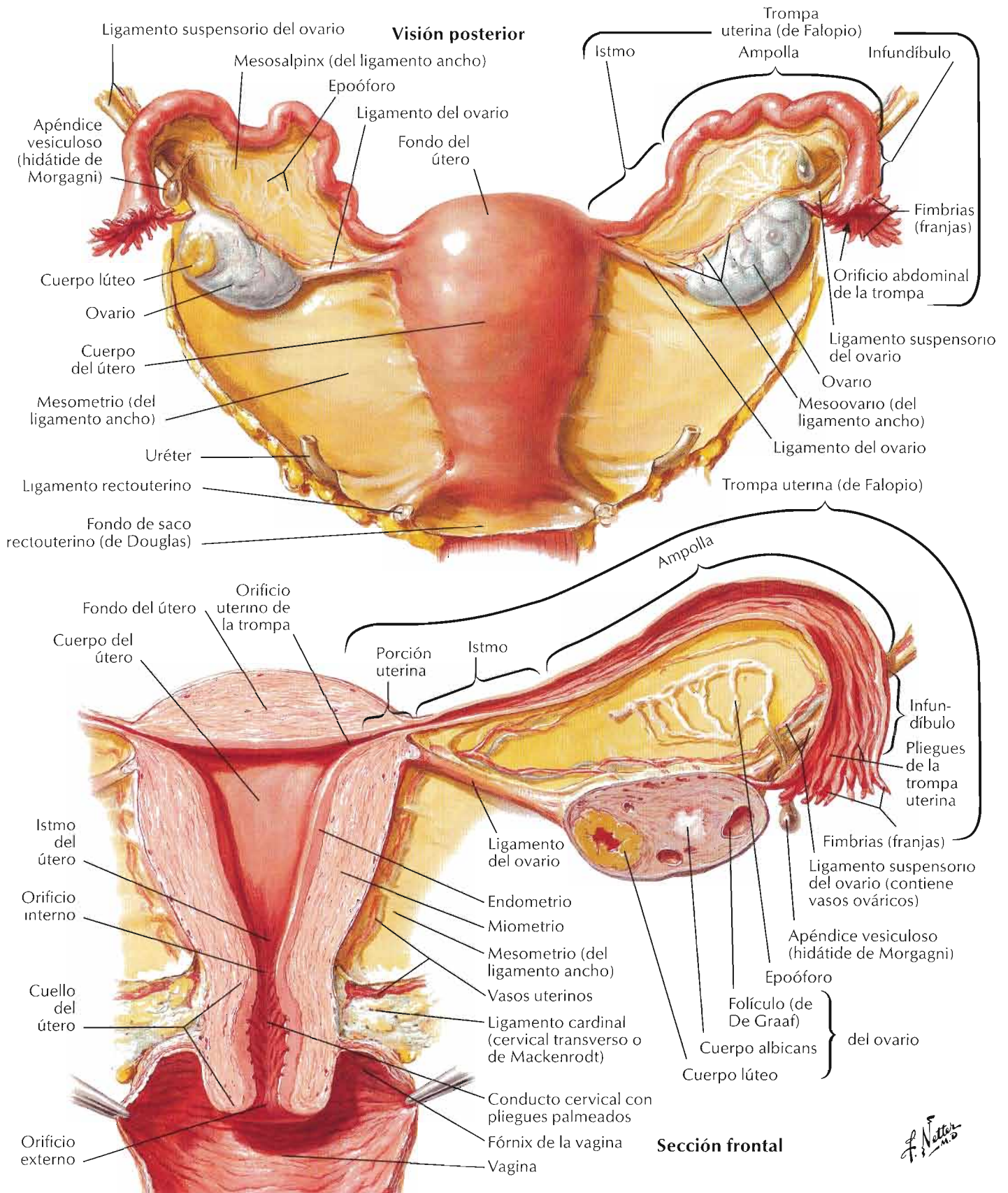


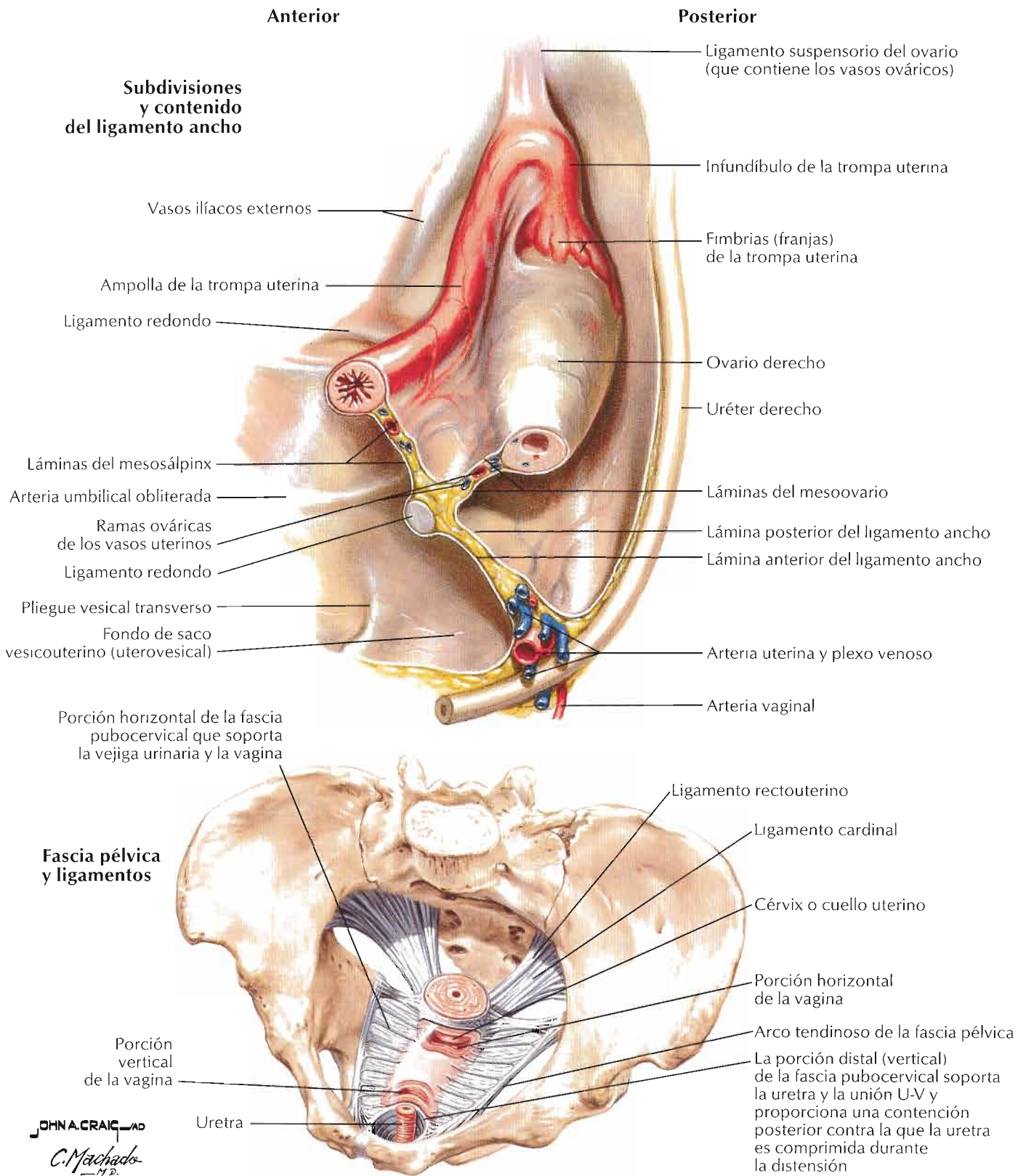
Visión superior con peritoneo y útero extirpados

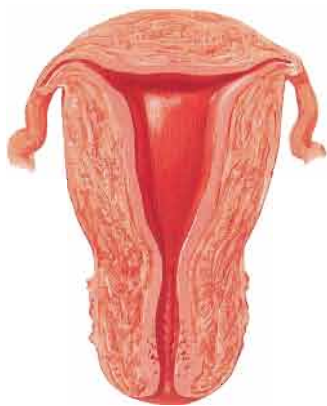
Véanse también láminas 400, 402, 404, 406, 412, 414, 415



F. Netter M.D.
C. Machado



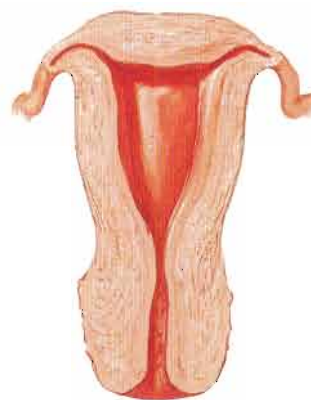




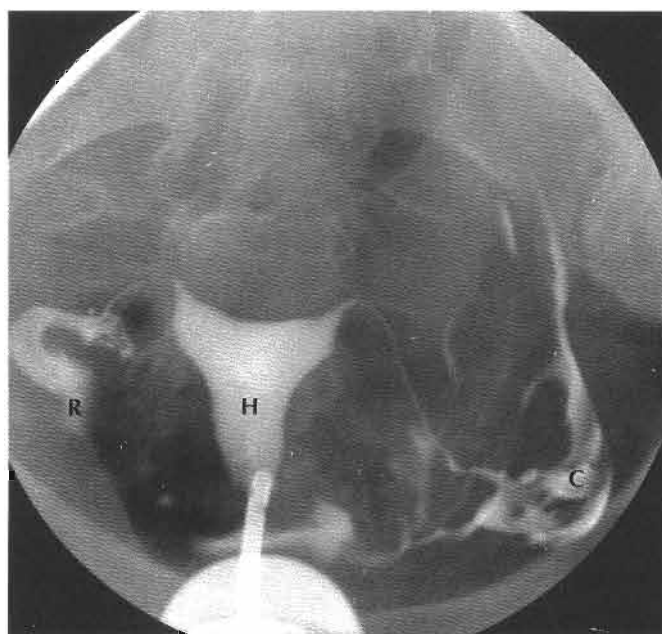
Adulta (nulípara)



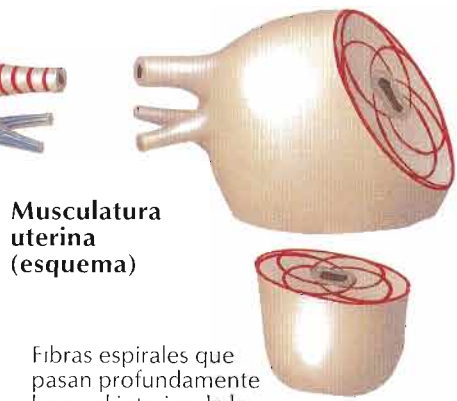
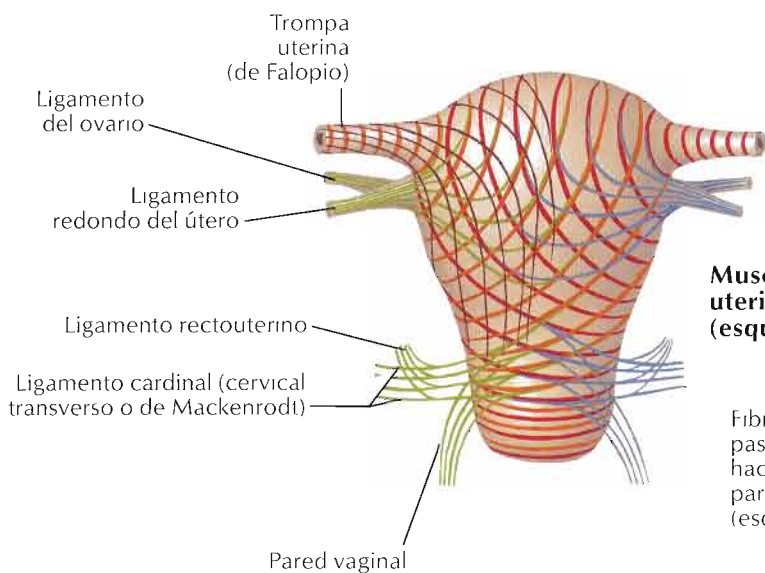
Adulta (que ha parido)



Adulta (posmenopaúsica)



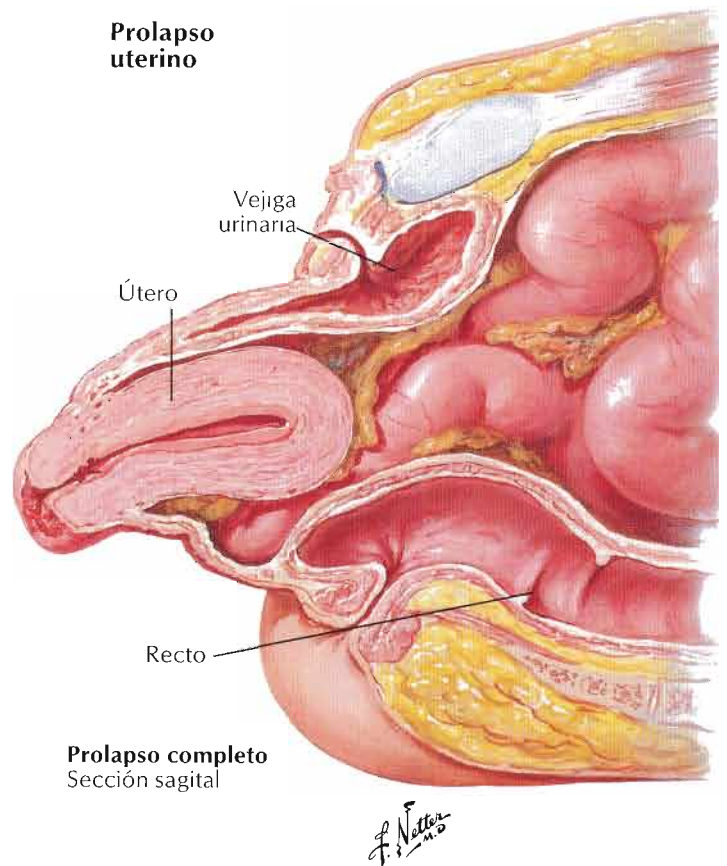
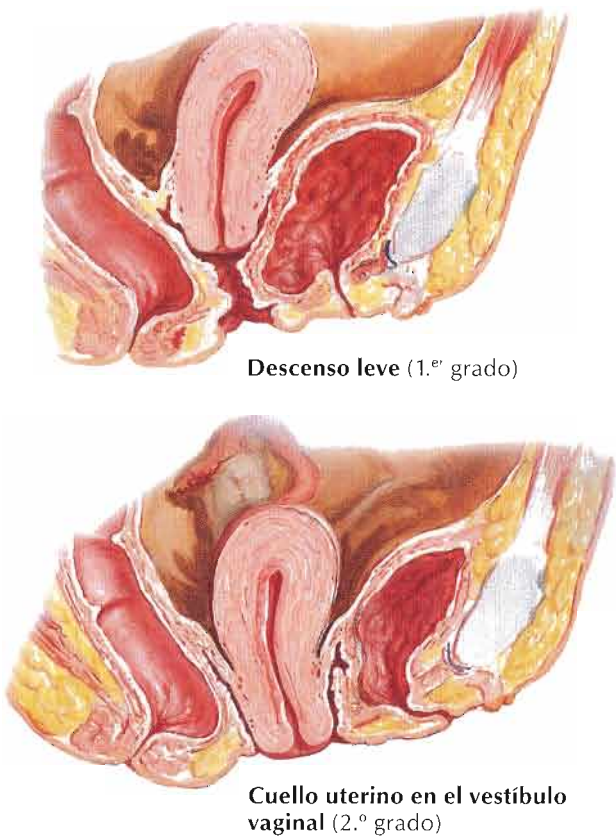
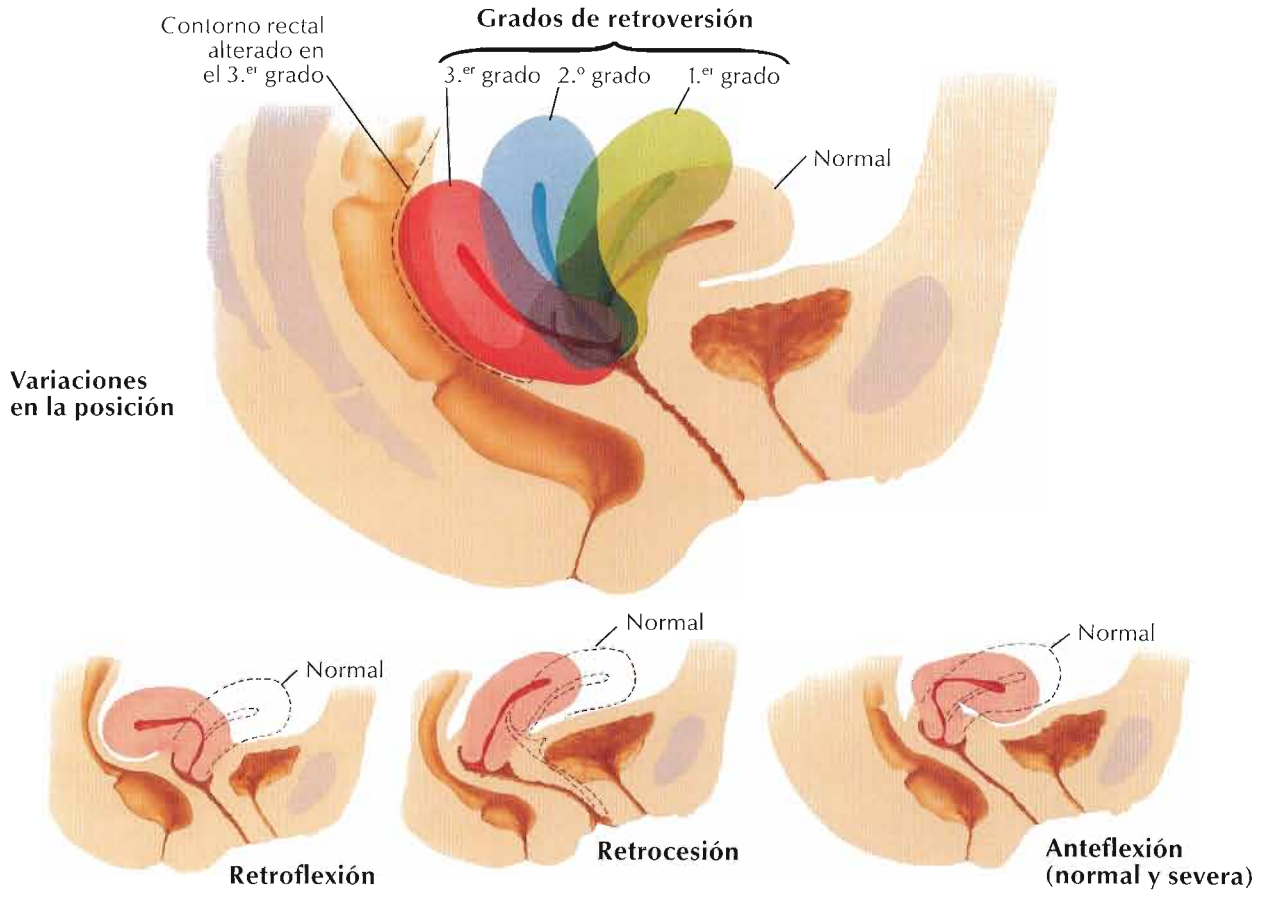
- C Medio de contraste en la cavidad abdominal
- H Histerosalpingografía uterina
- R Infección de la trompa uterina derecha



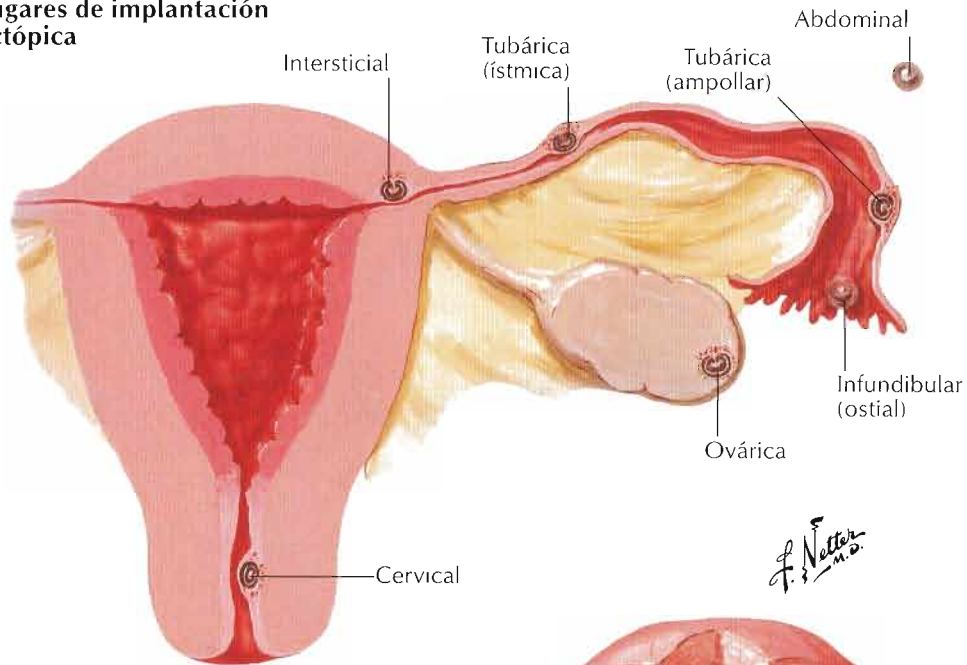
Musculatura uterina (esquema)

Fibras espirales que pasan profundamente hacia el interior de la pared y se entrelazan (esquema)

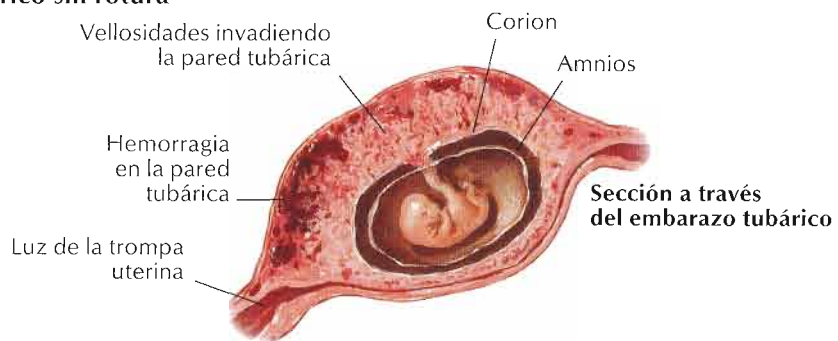
F. Netter M.D.



Lugares de implantación ectópica



Embarazo tubárico sin rotura



Sección transversal: cresta púbica, cabezas femorales, cóccix

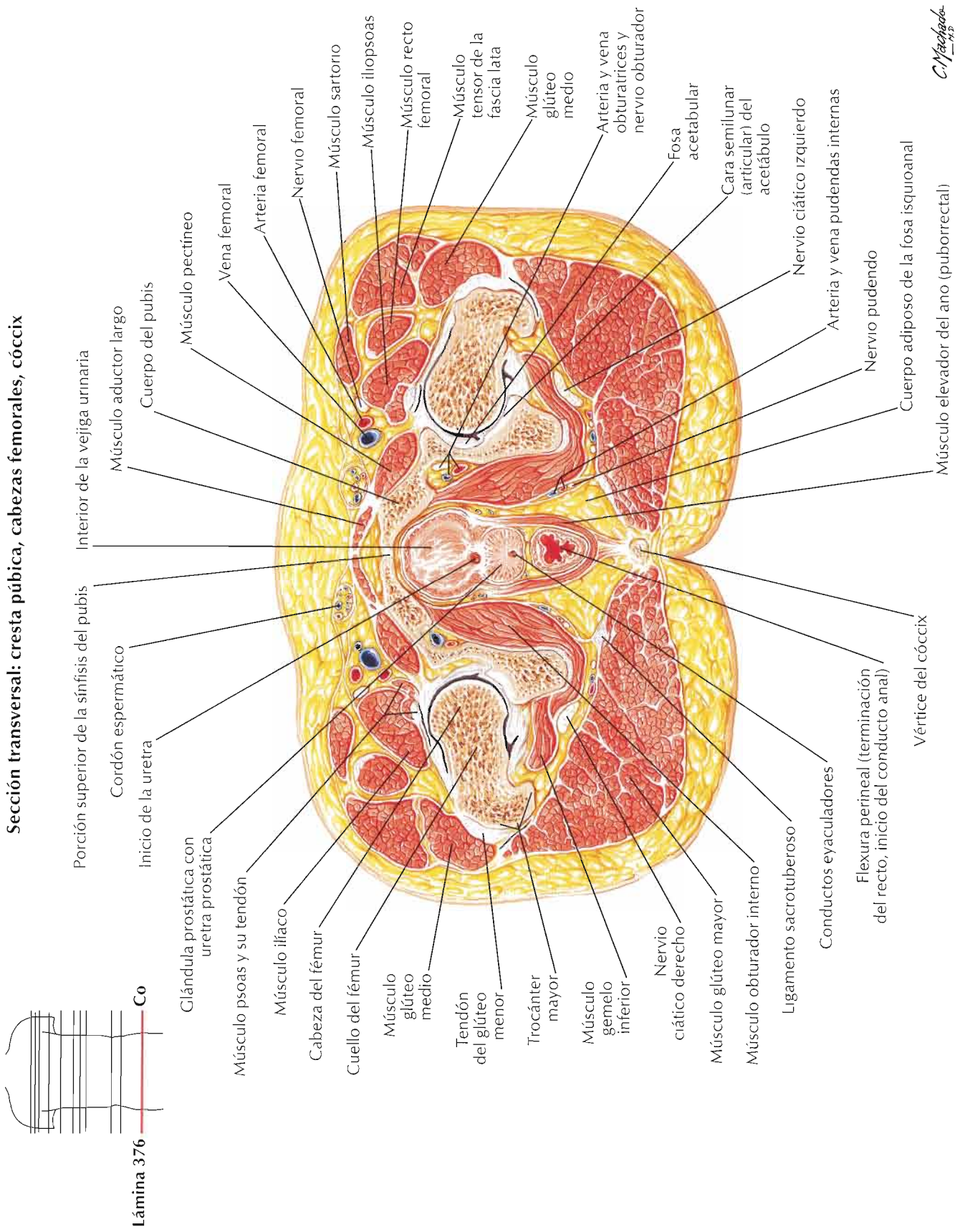
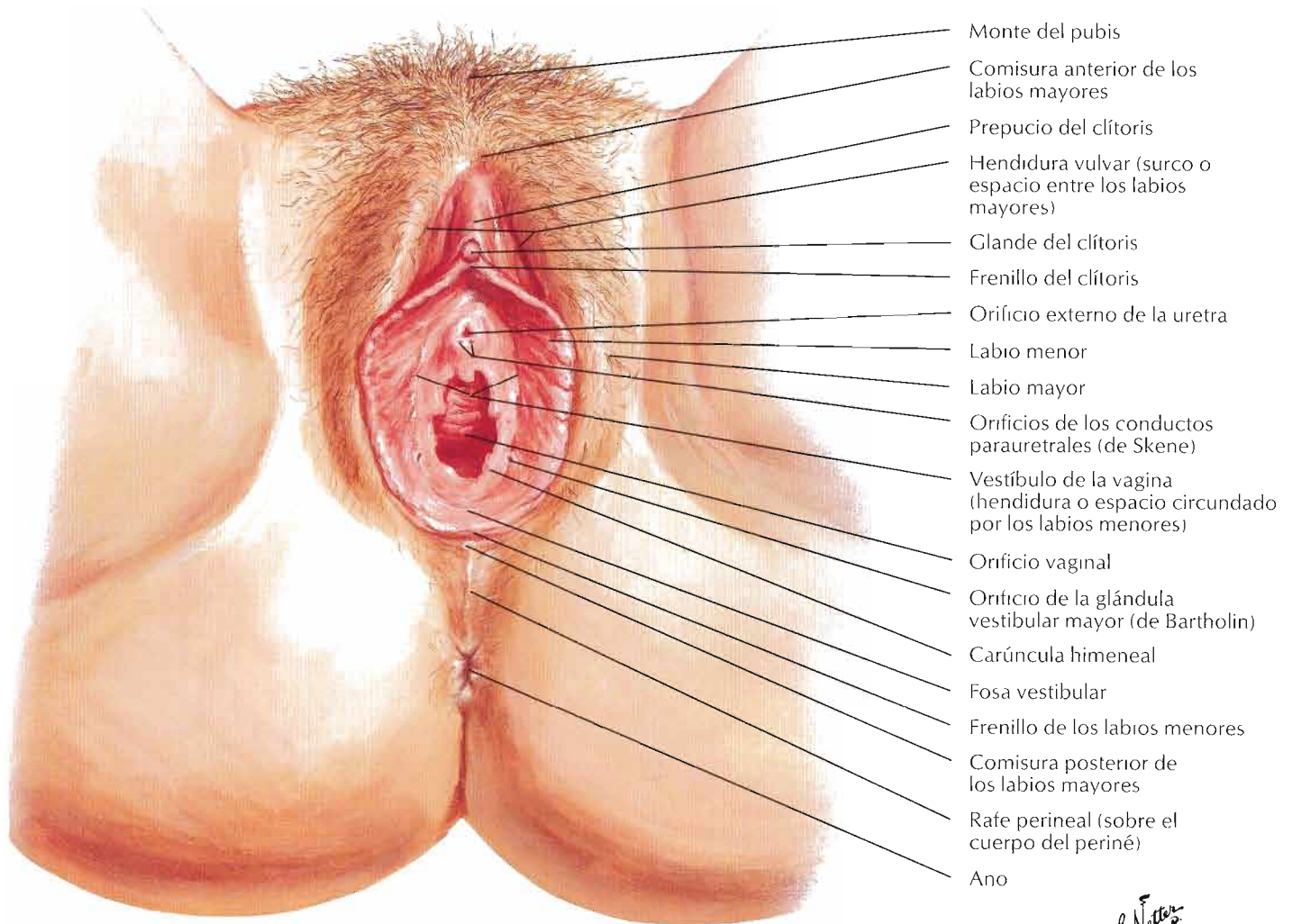


Lámina 376

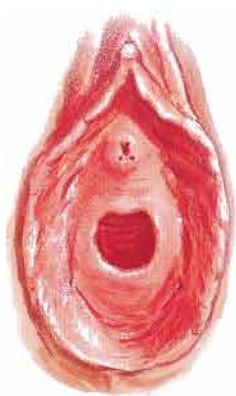
Co

C. Machado

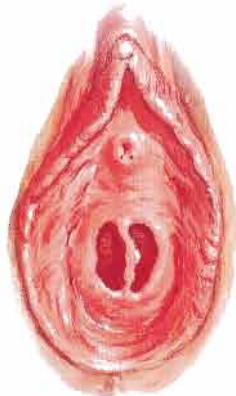
Véanse también láminas 404, 406, 407, 413



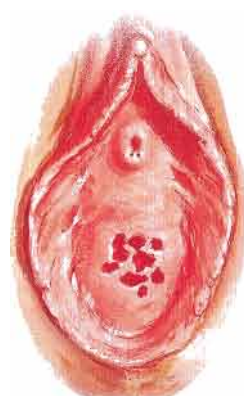
F. Netter M.D.



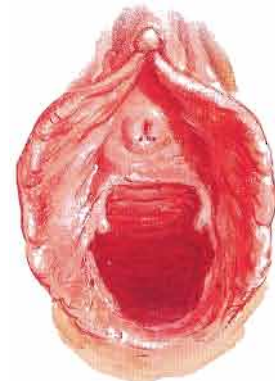
Himen anular



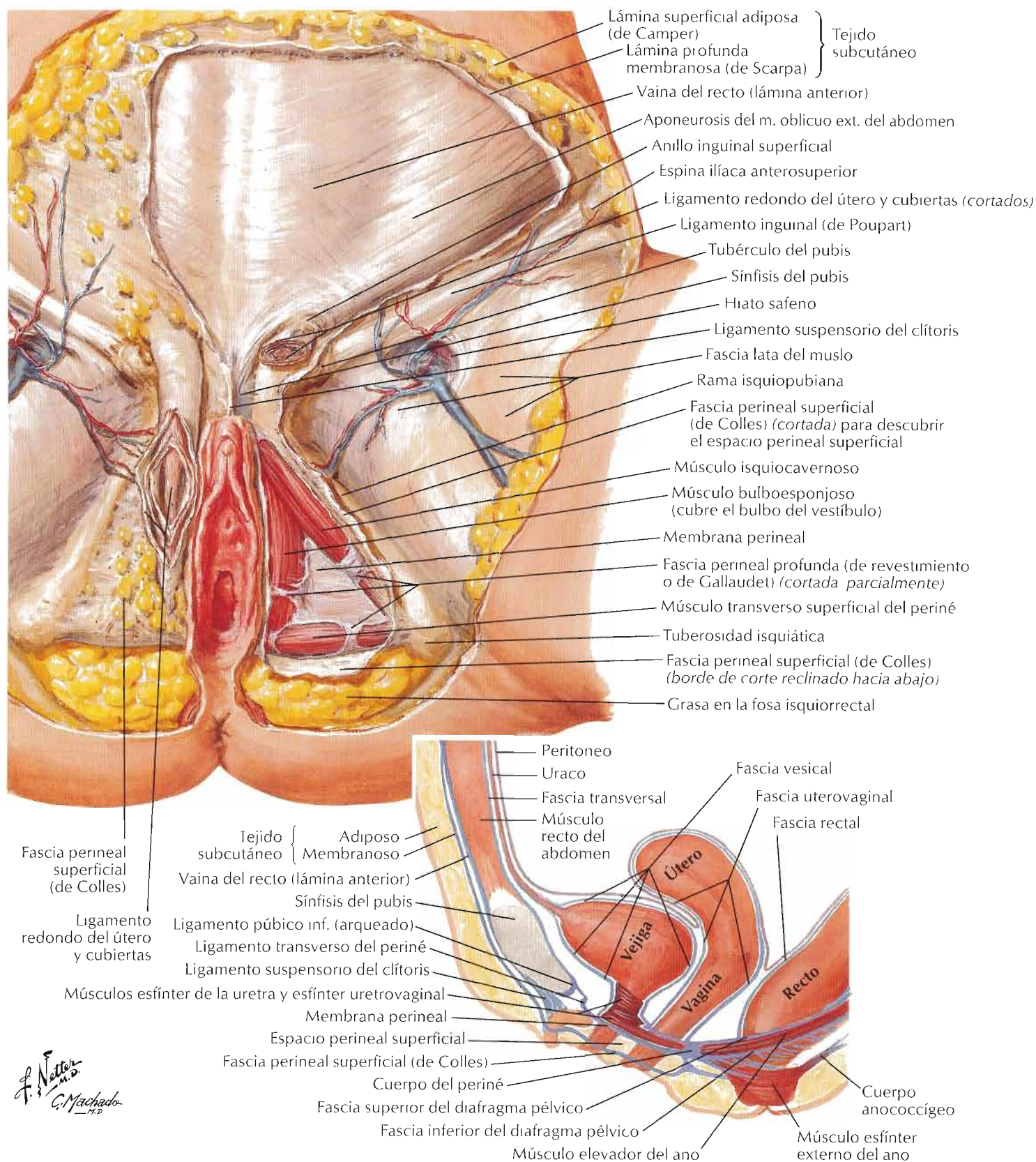
Himen septado

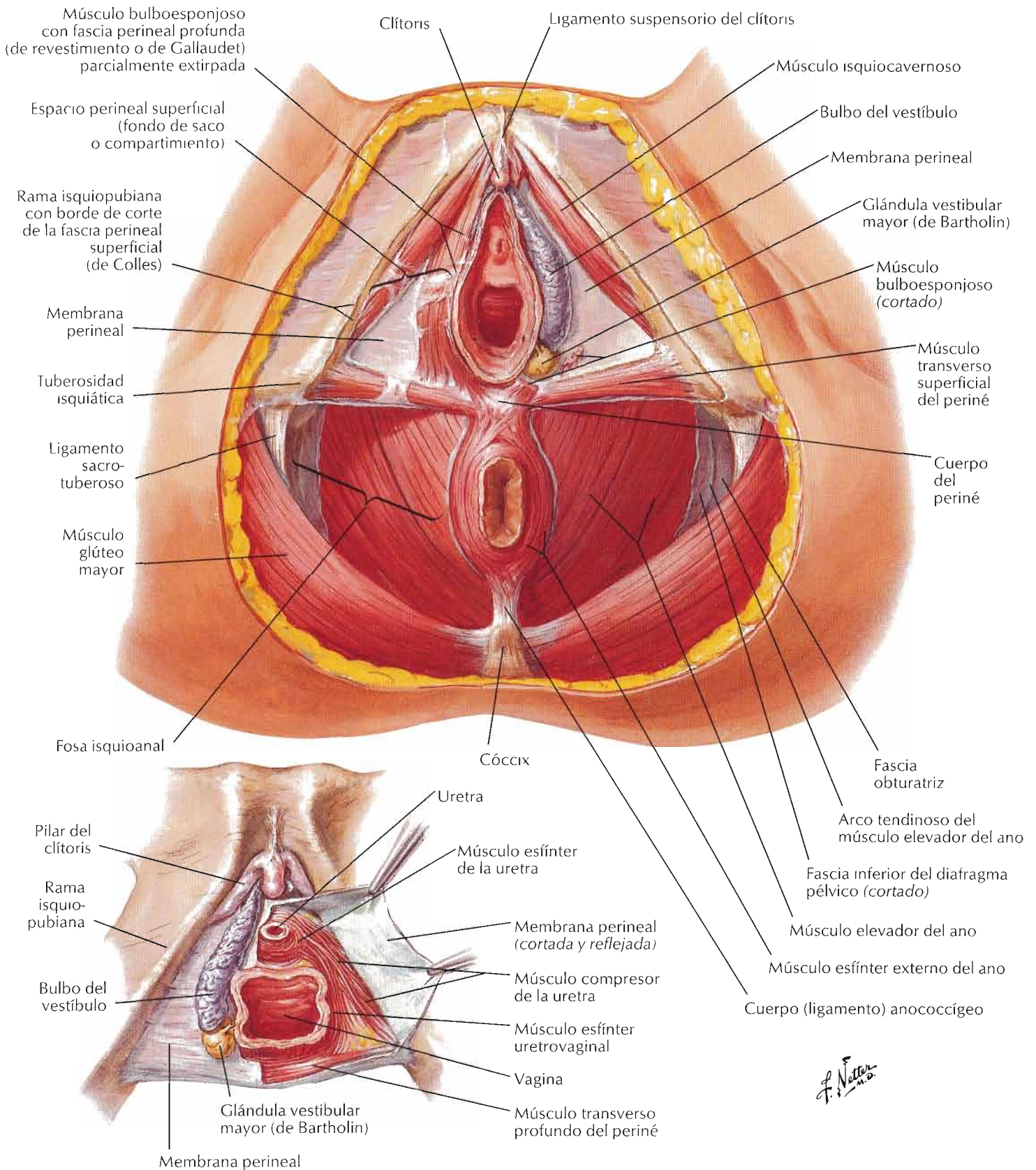


Himen cribiforme



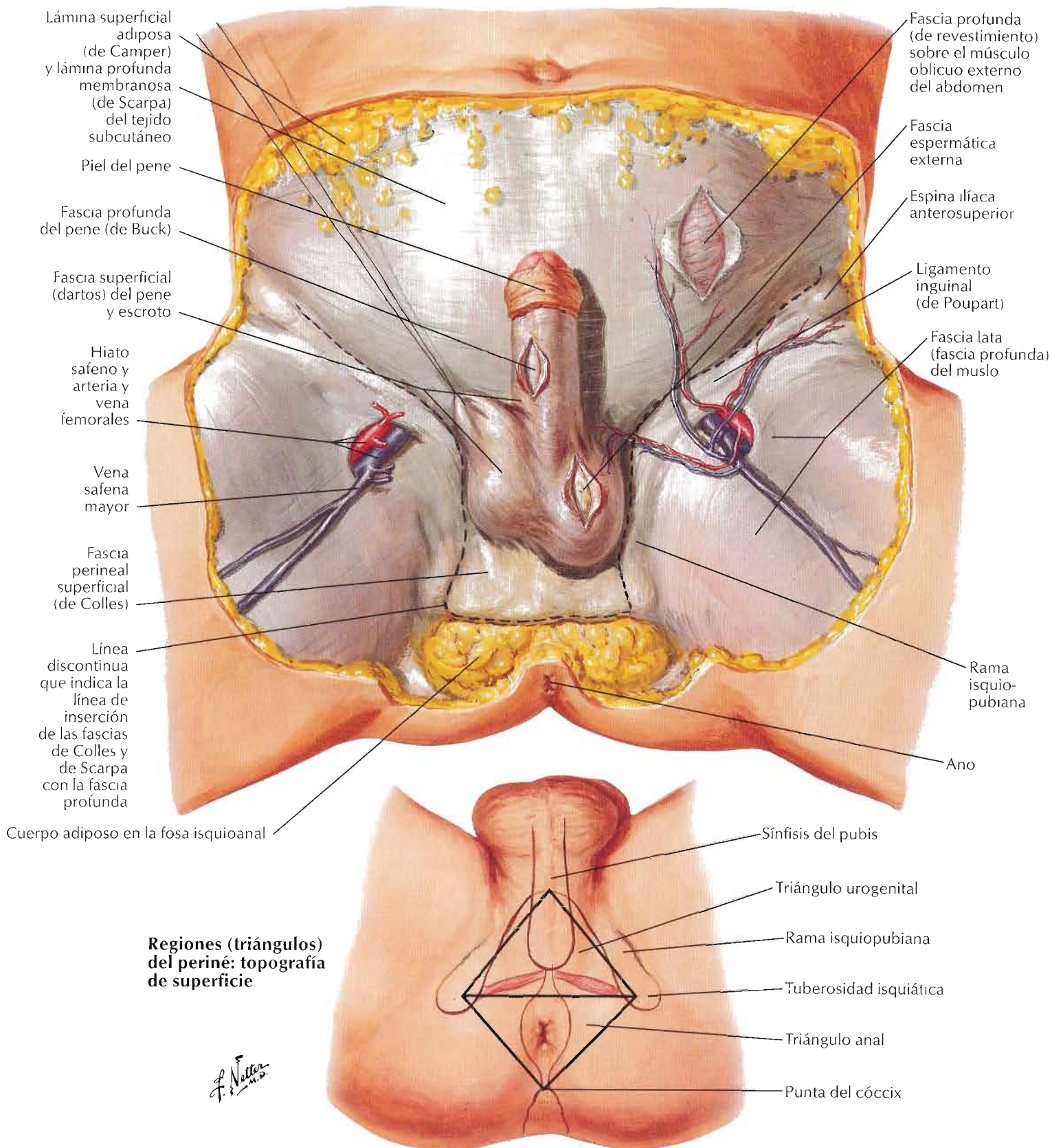
Introito de una mujer que ha parido



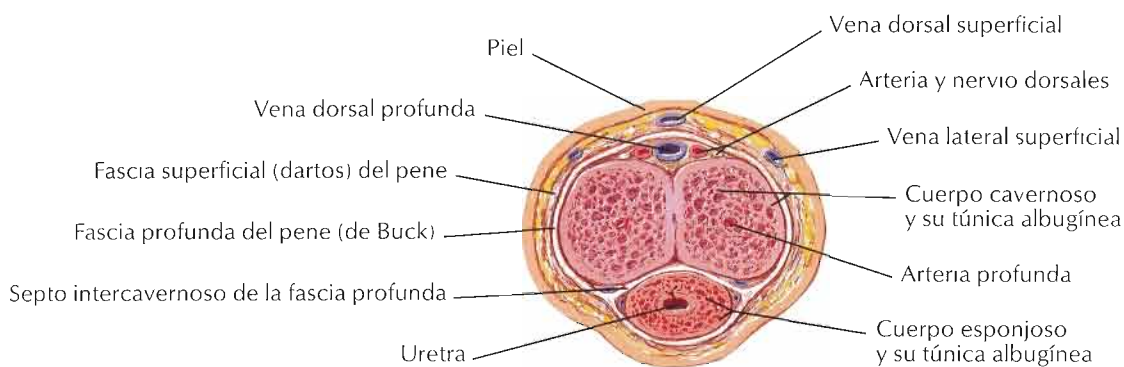
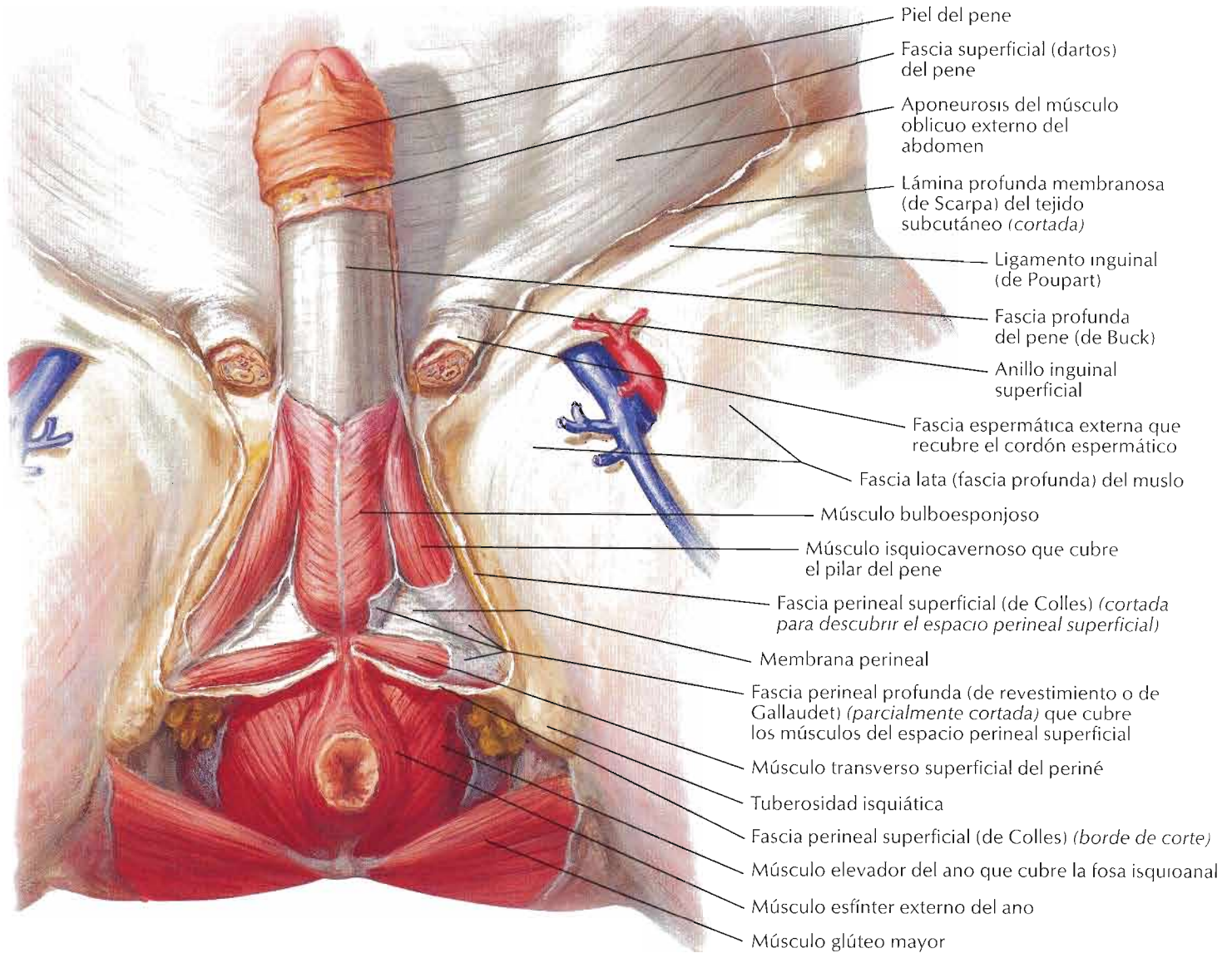


F. Netter M.D.

Periné y genitales externos (disección superficial)

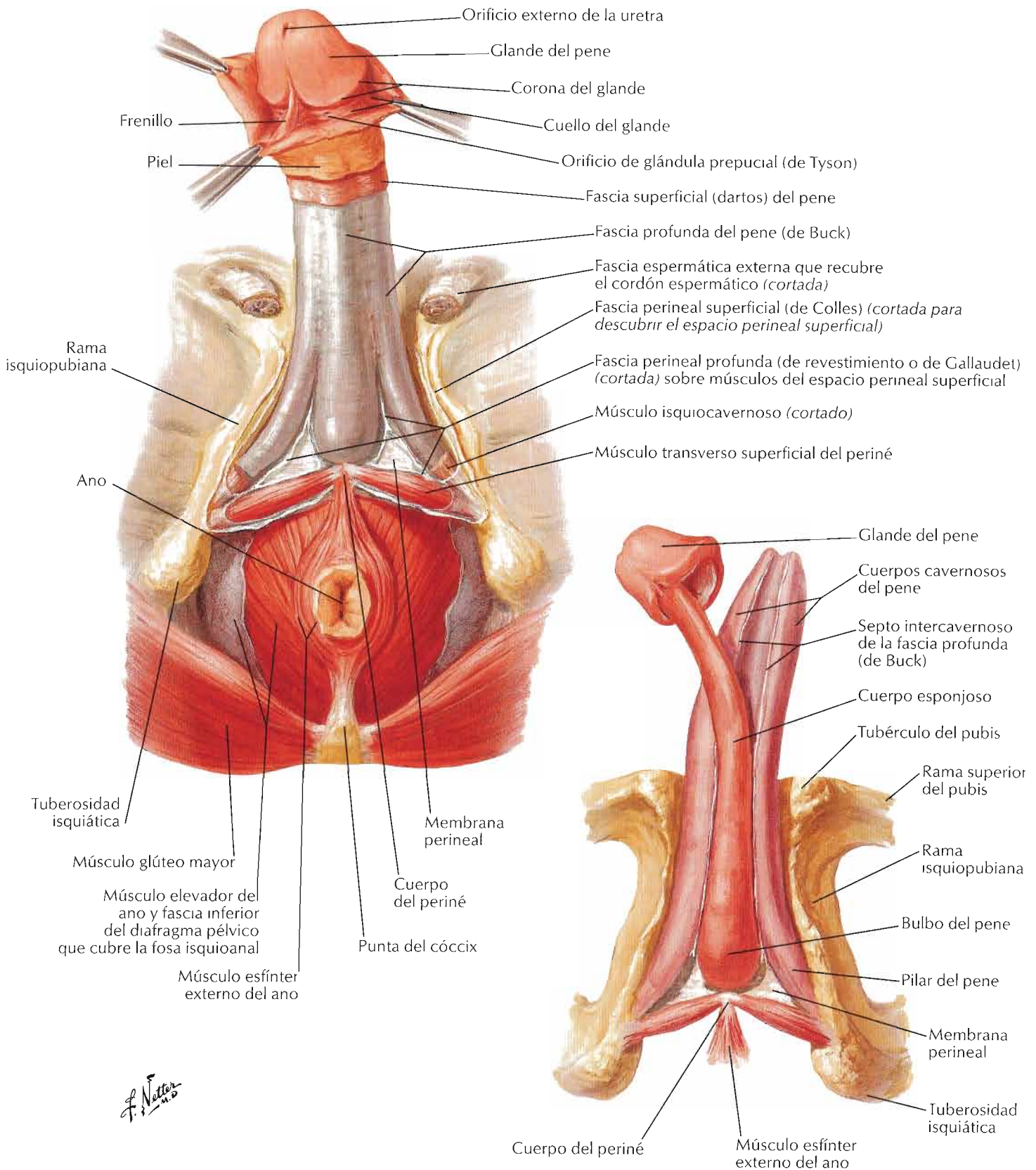


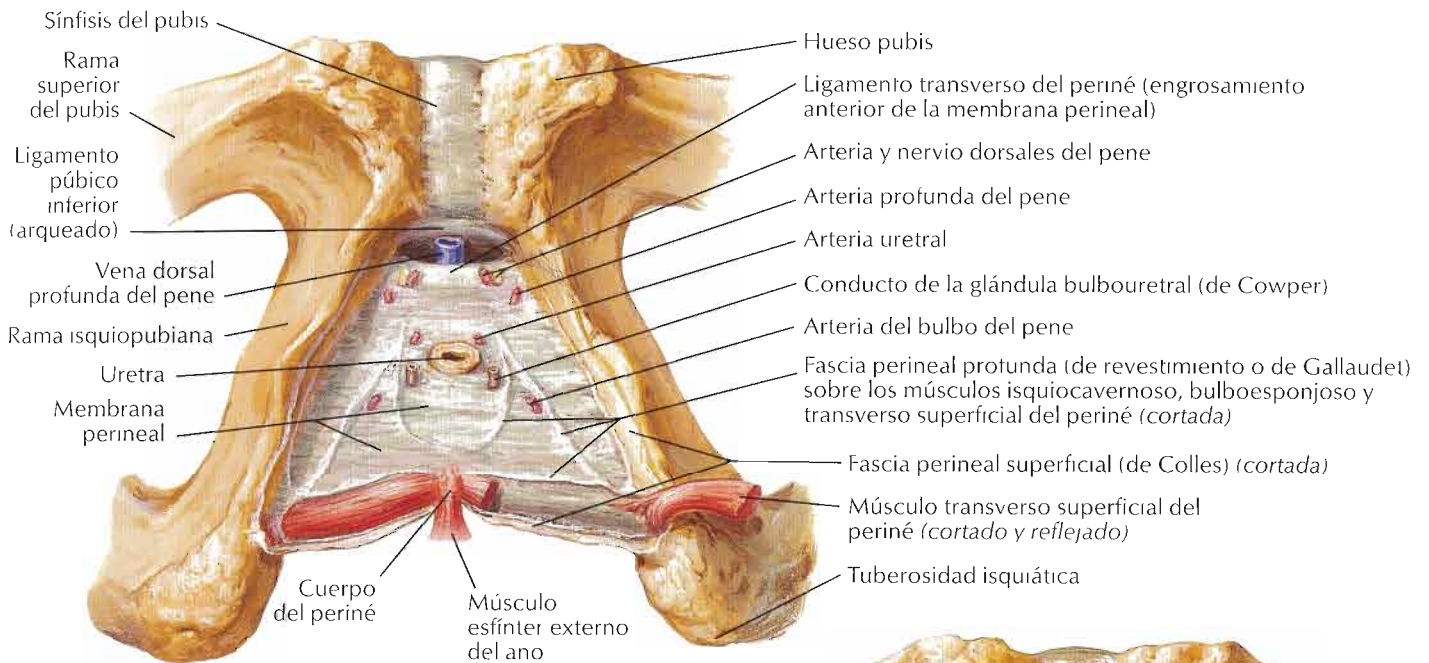
Véanse también láminas 403, 405, 408-411, 416



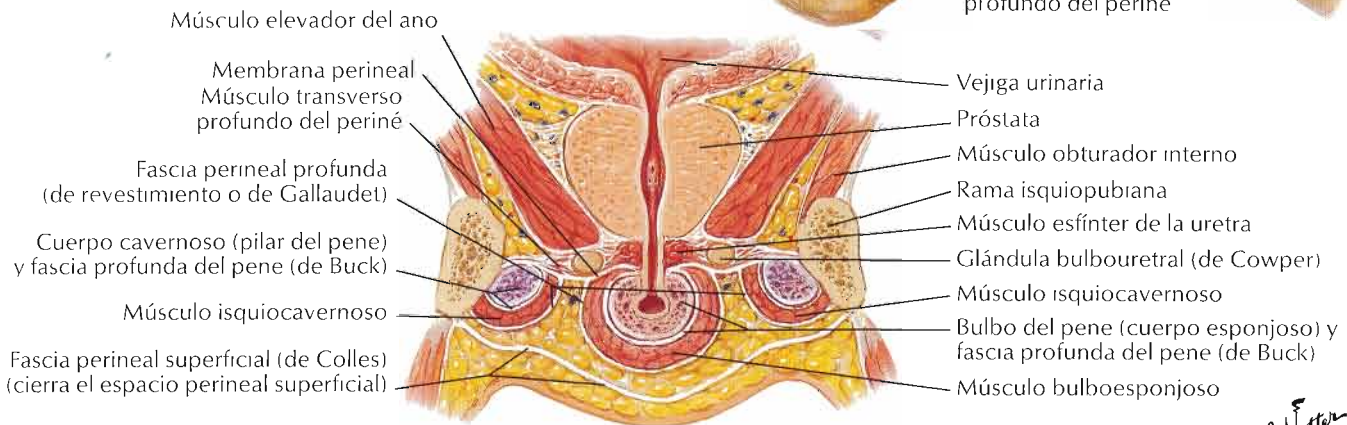
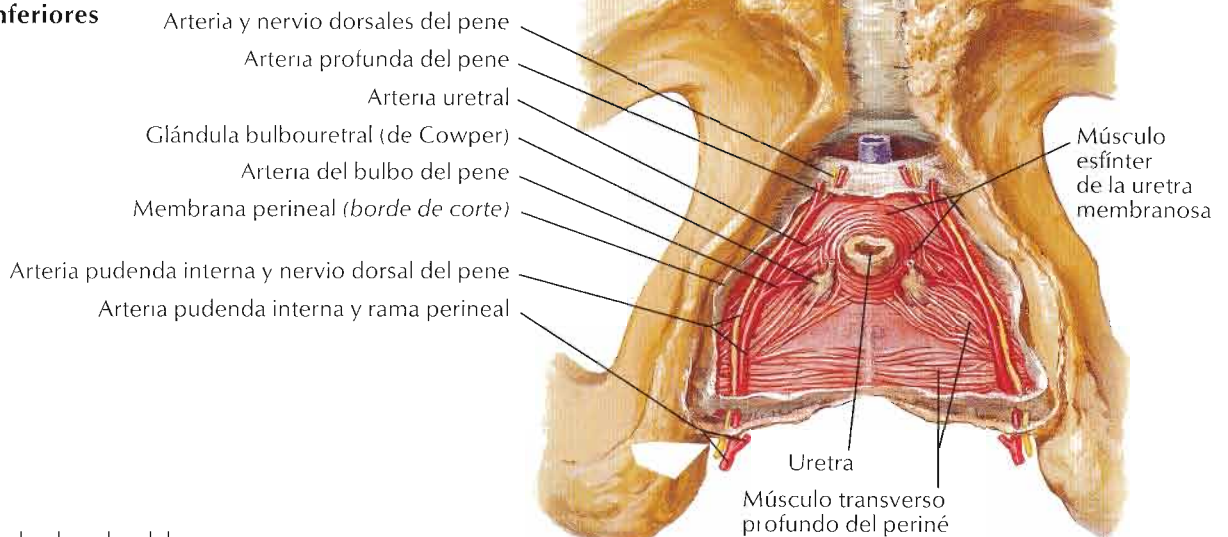
Sección a través del cuerpo del pene

F. Netter M.D.





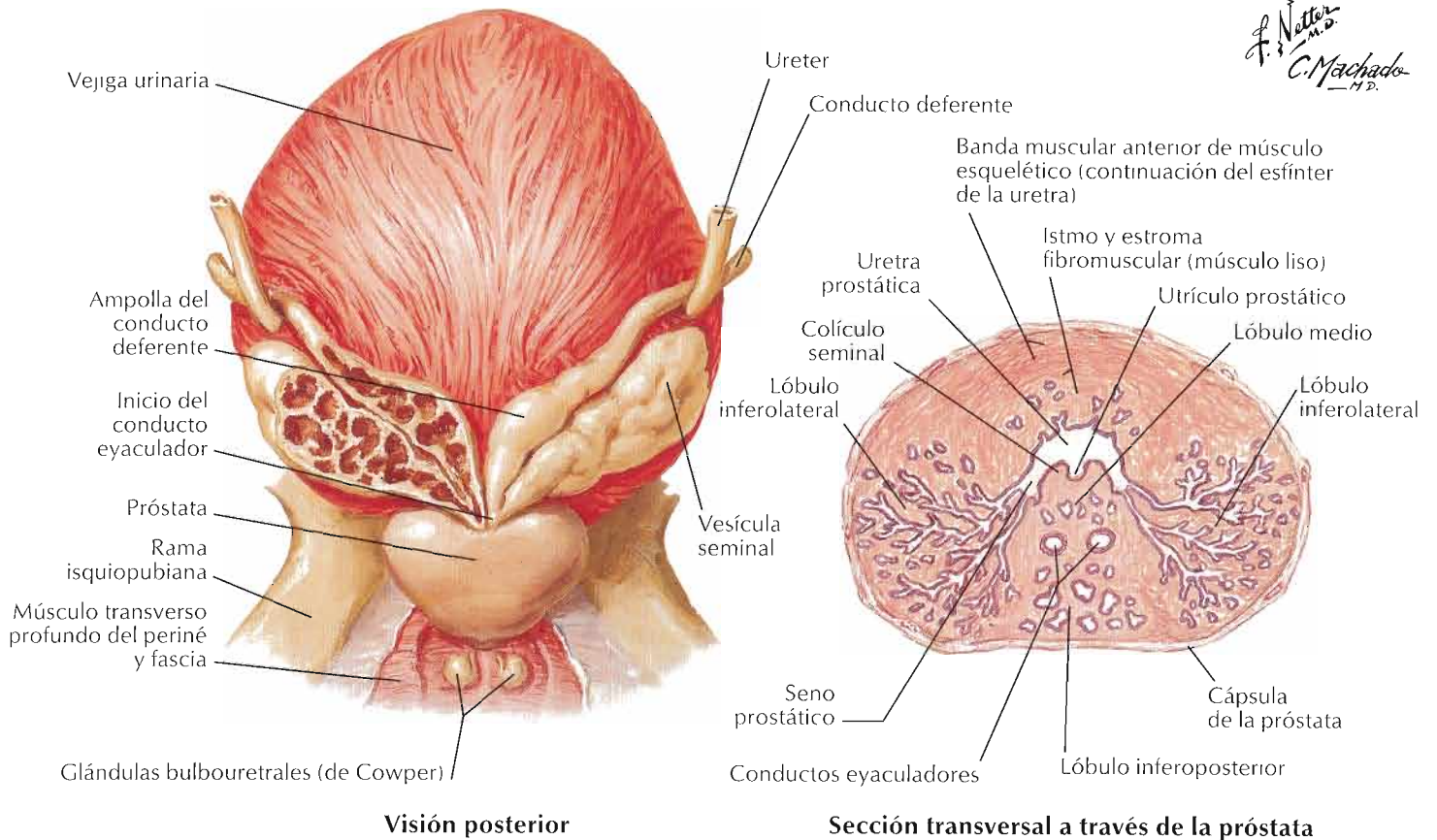
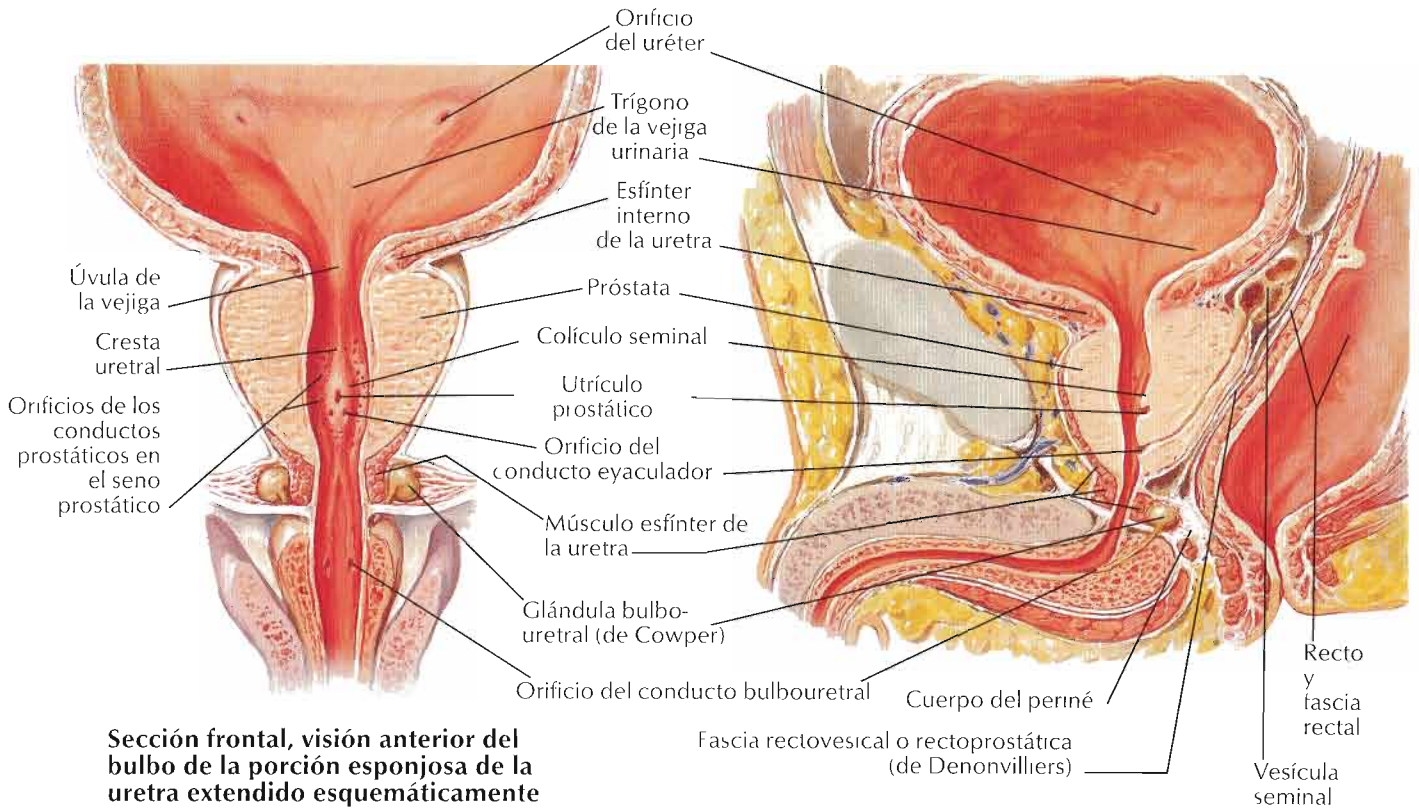
Visiones inferiores



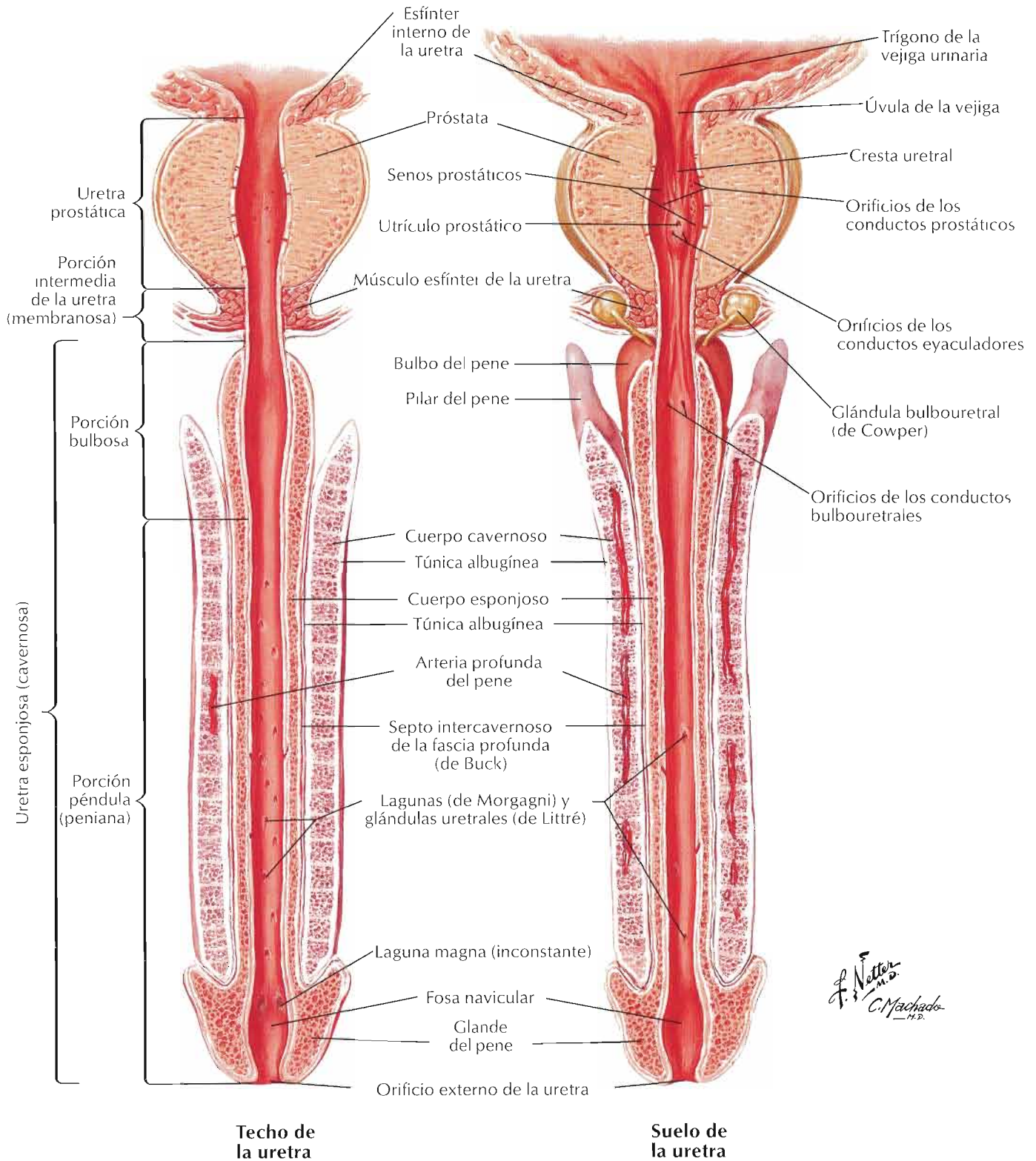
Sección frontal, visión anterior del periné: esquema

F. Netter M.D.
C. Machado M.D.

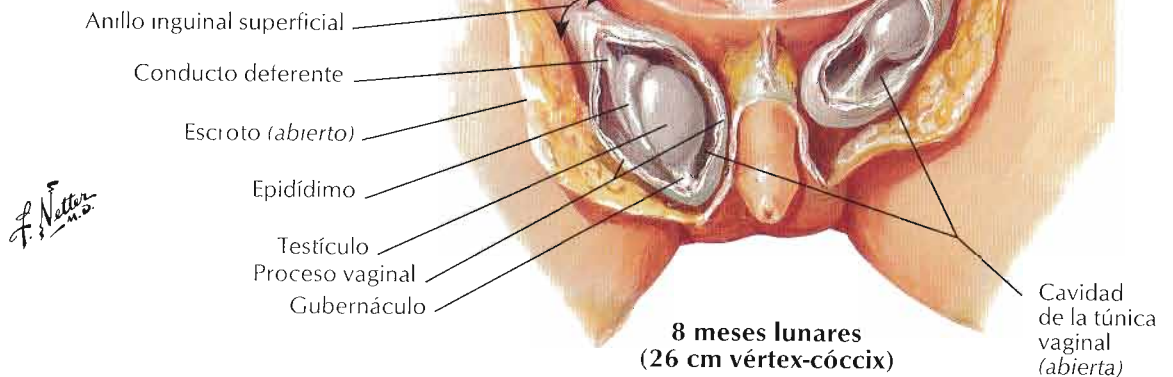
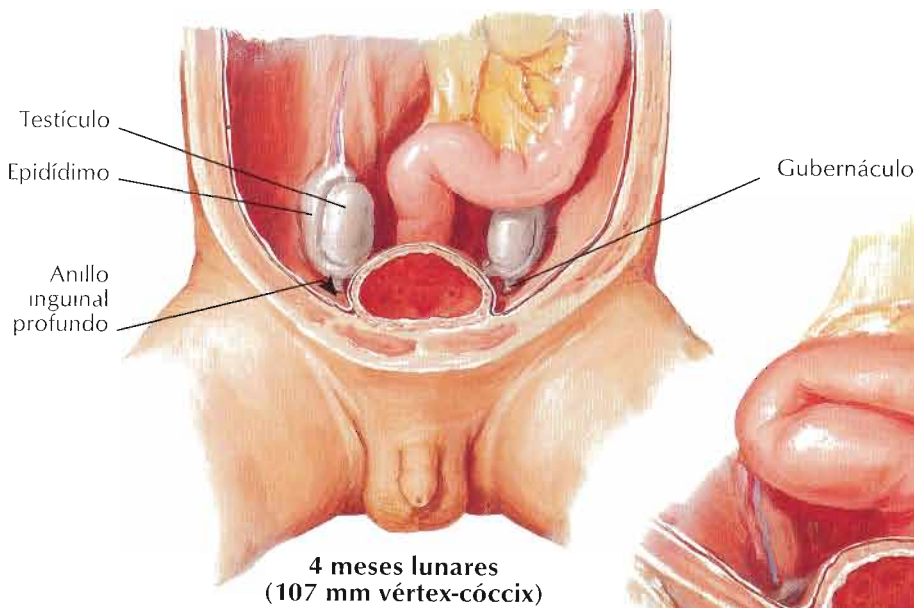
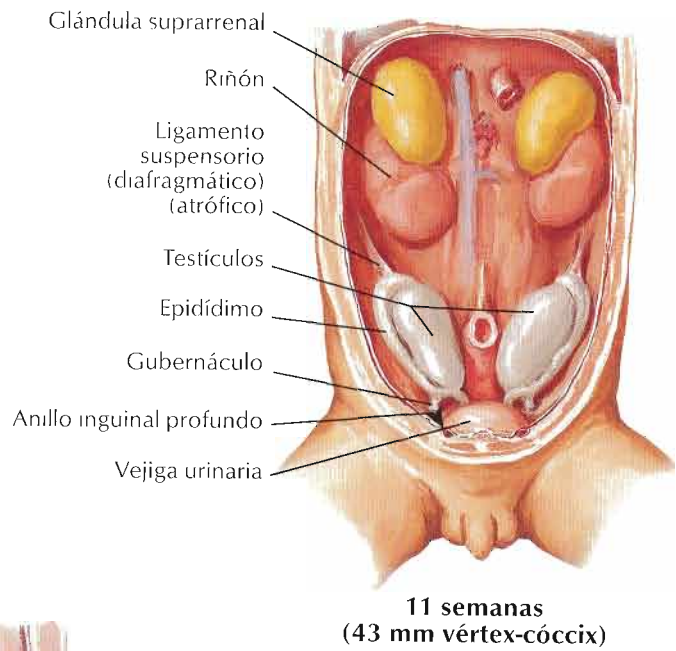
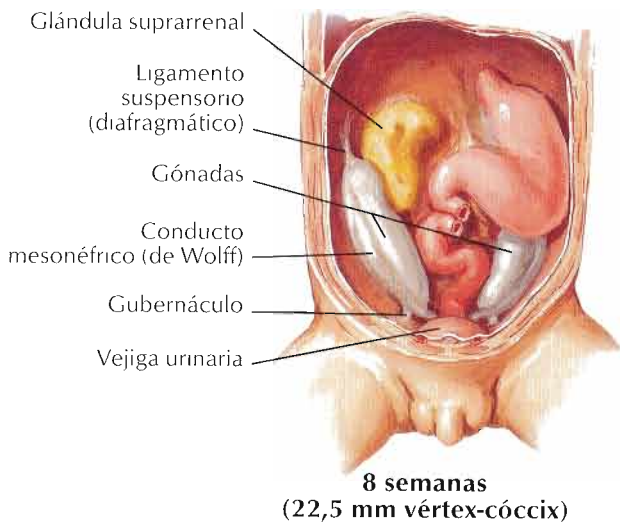
Véanse también láminas 361, 363, 366, 403, 410

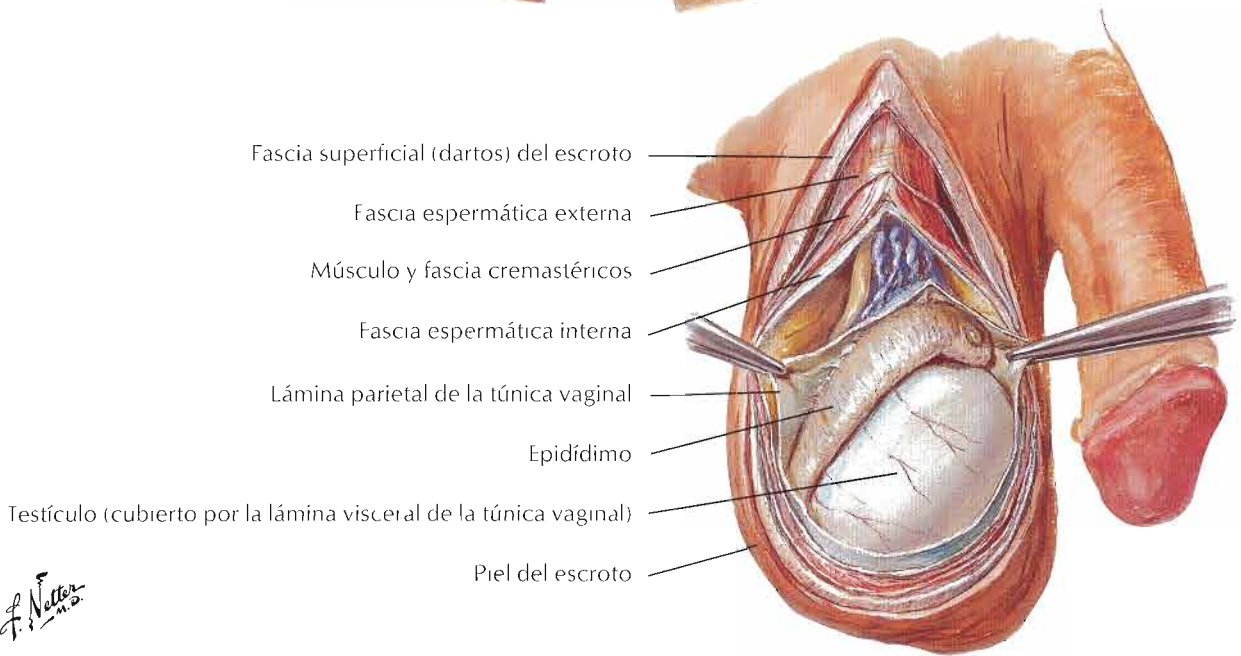
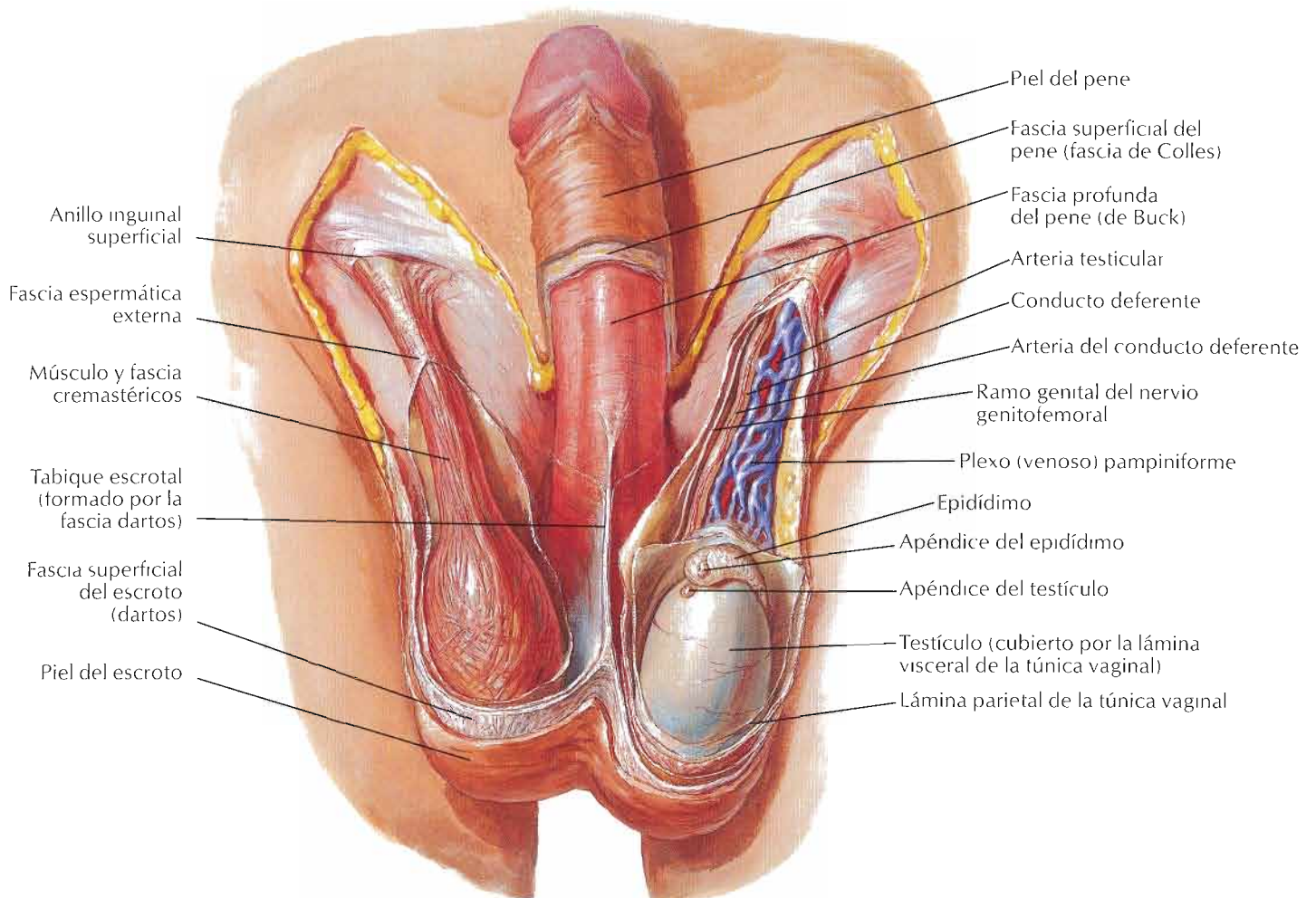


F. Netto M.D.
C. Machado M.D.

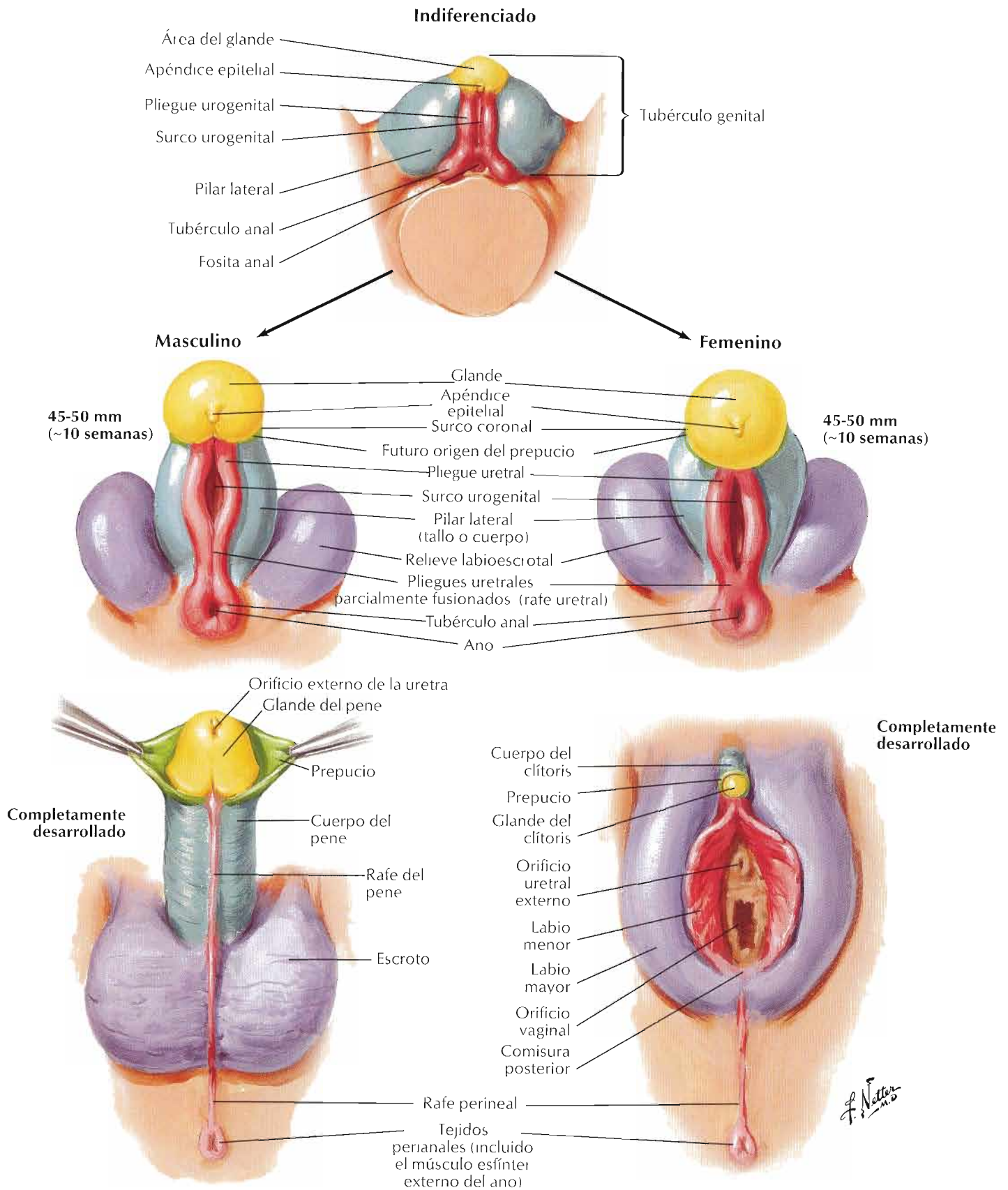


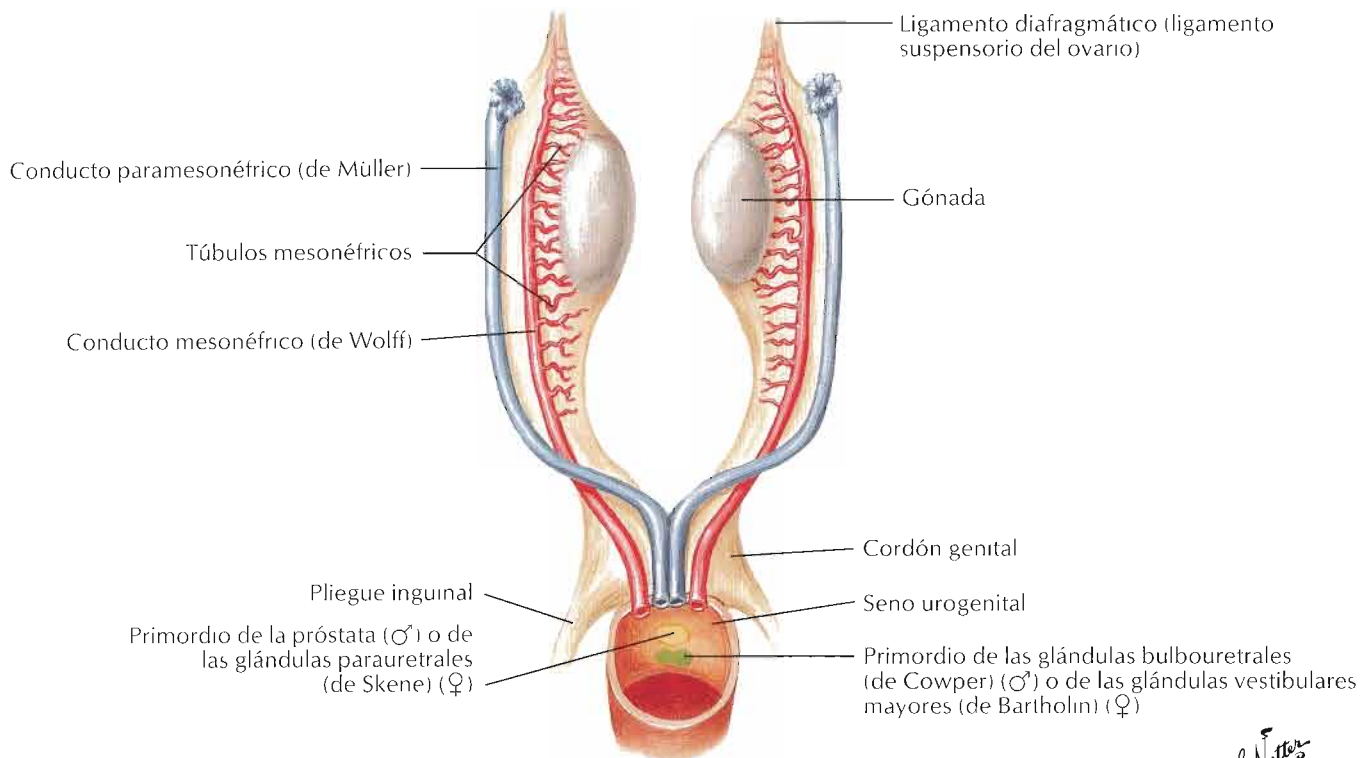
F. Netter M.D.
C. Machado
—P.D.





F. Netter M.D.

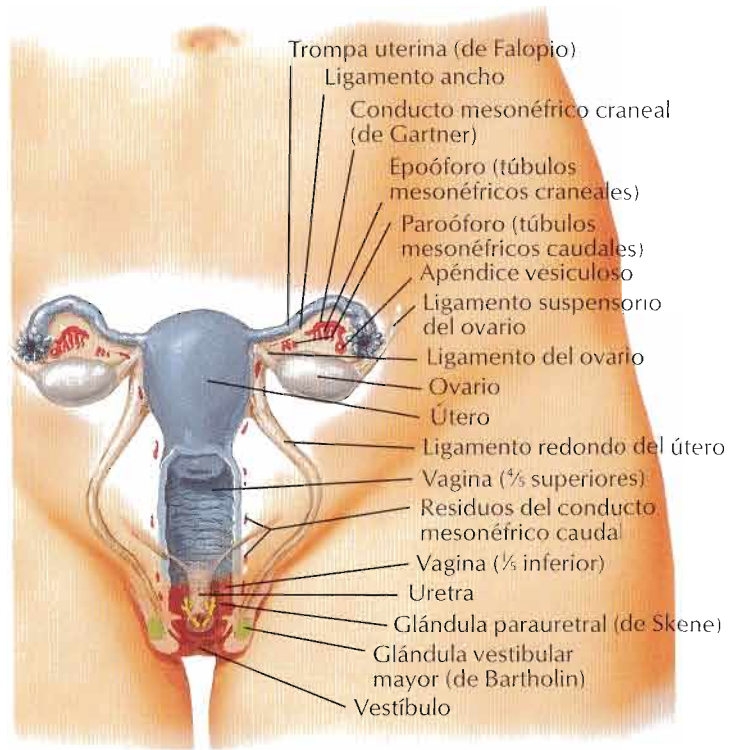
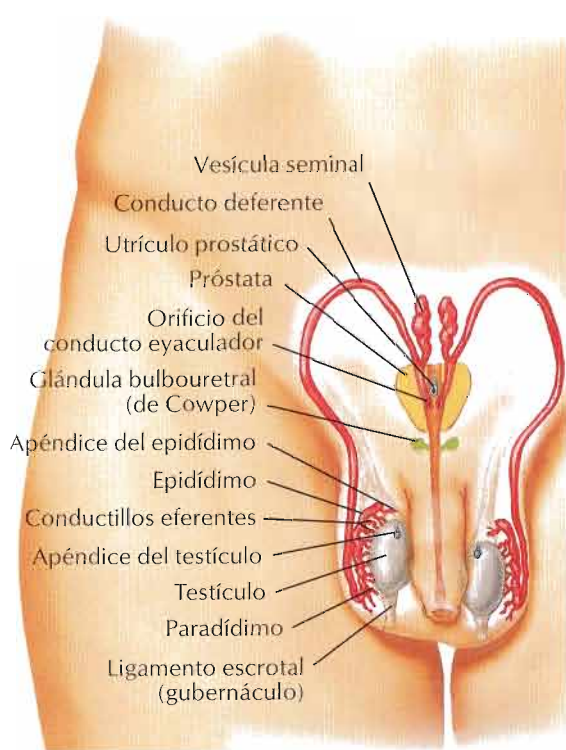


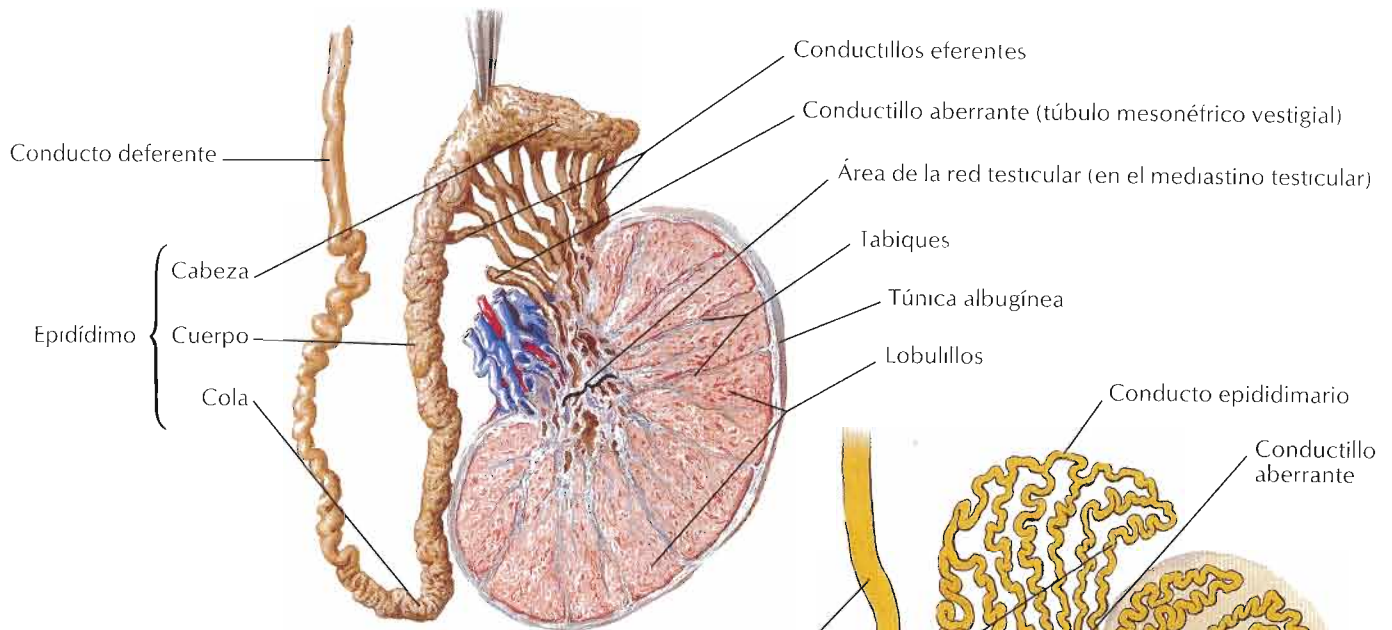


F. Netter M.D.

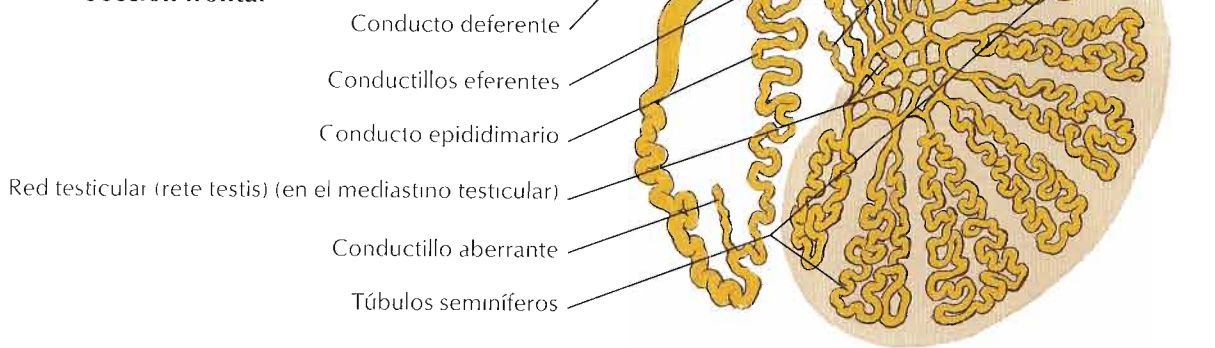
Indiferenciado

Masculino **Femenino**

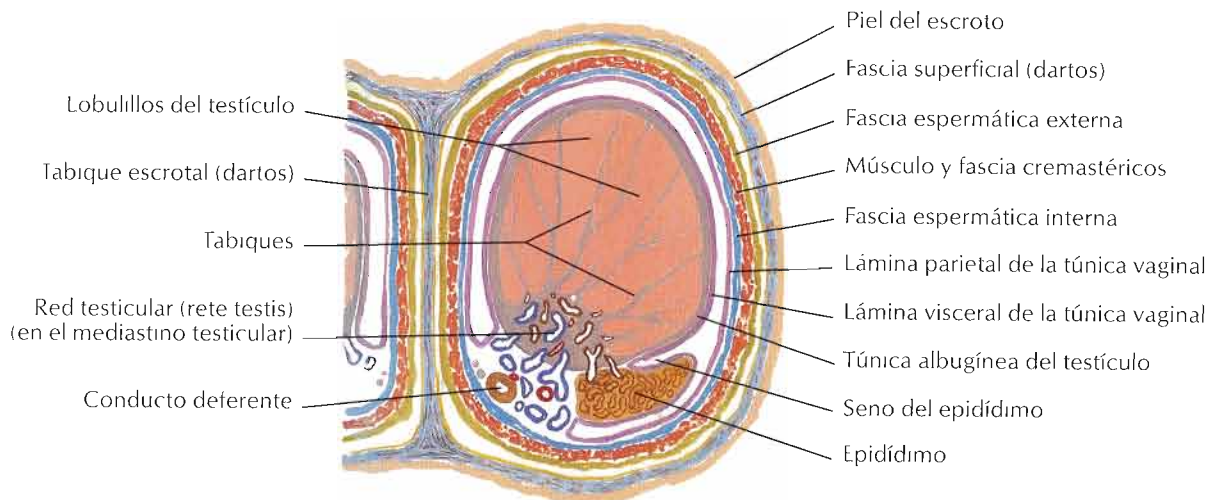




Sección frontal

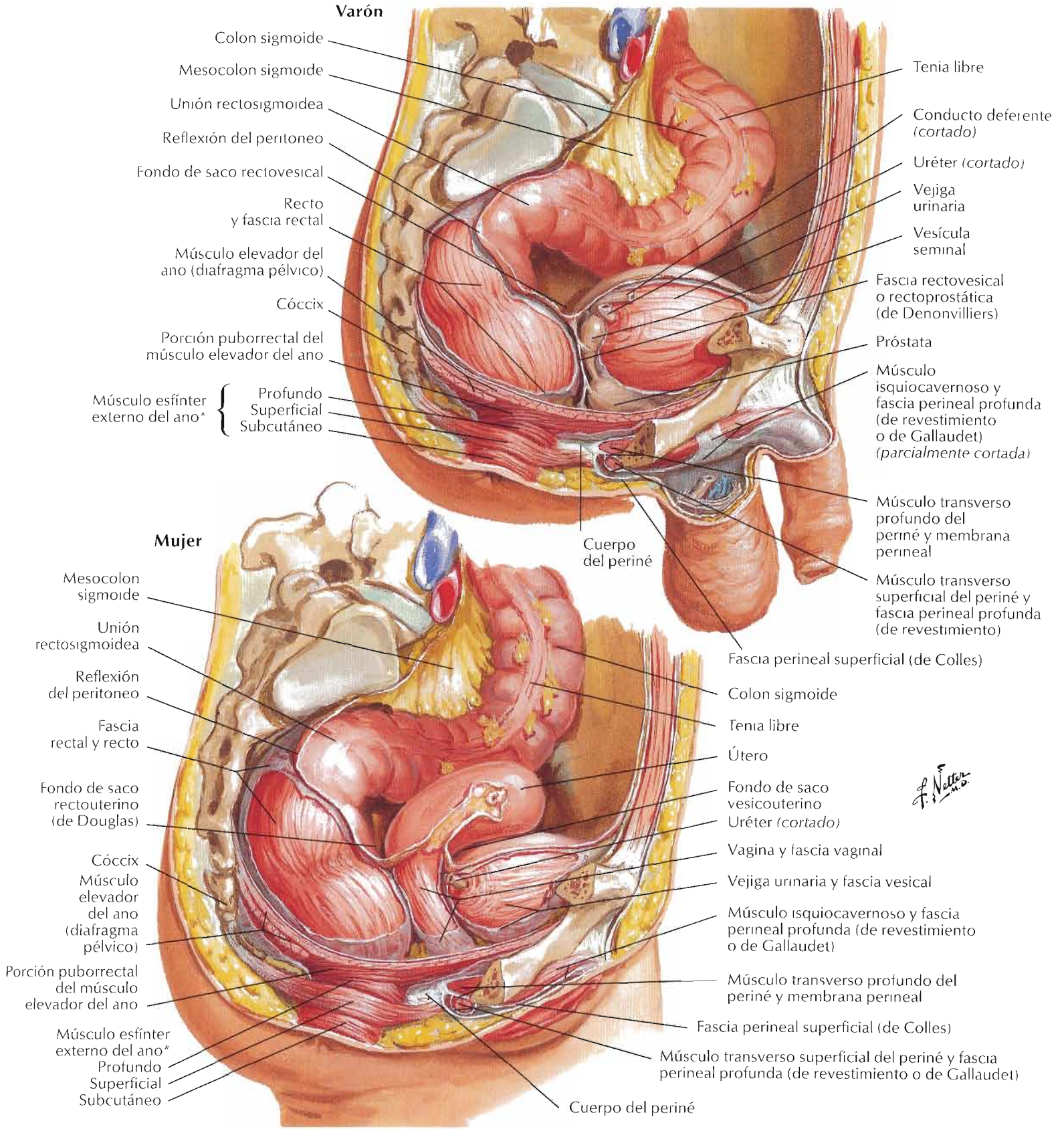


Esquema



Sección transversal a través del escroto y testículo

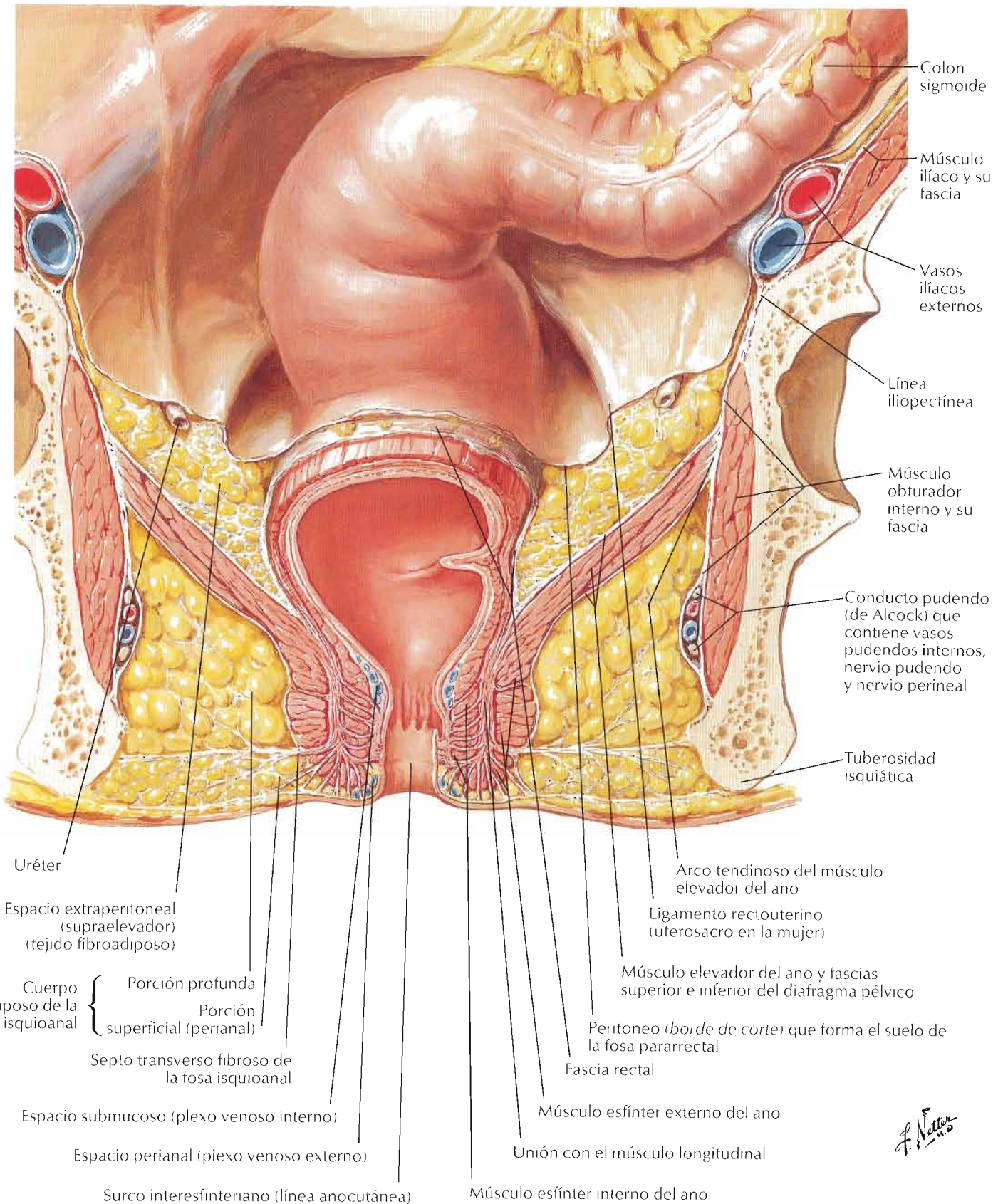
F. Netter M.D.



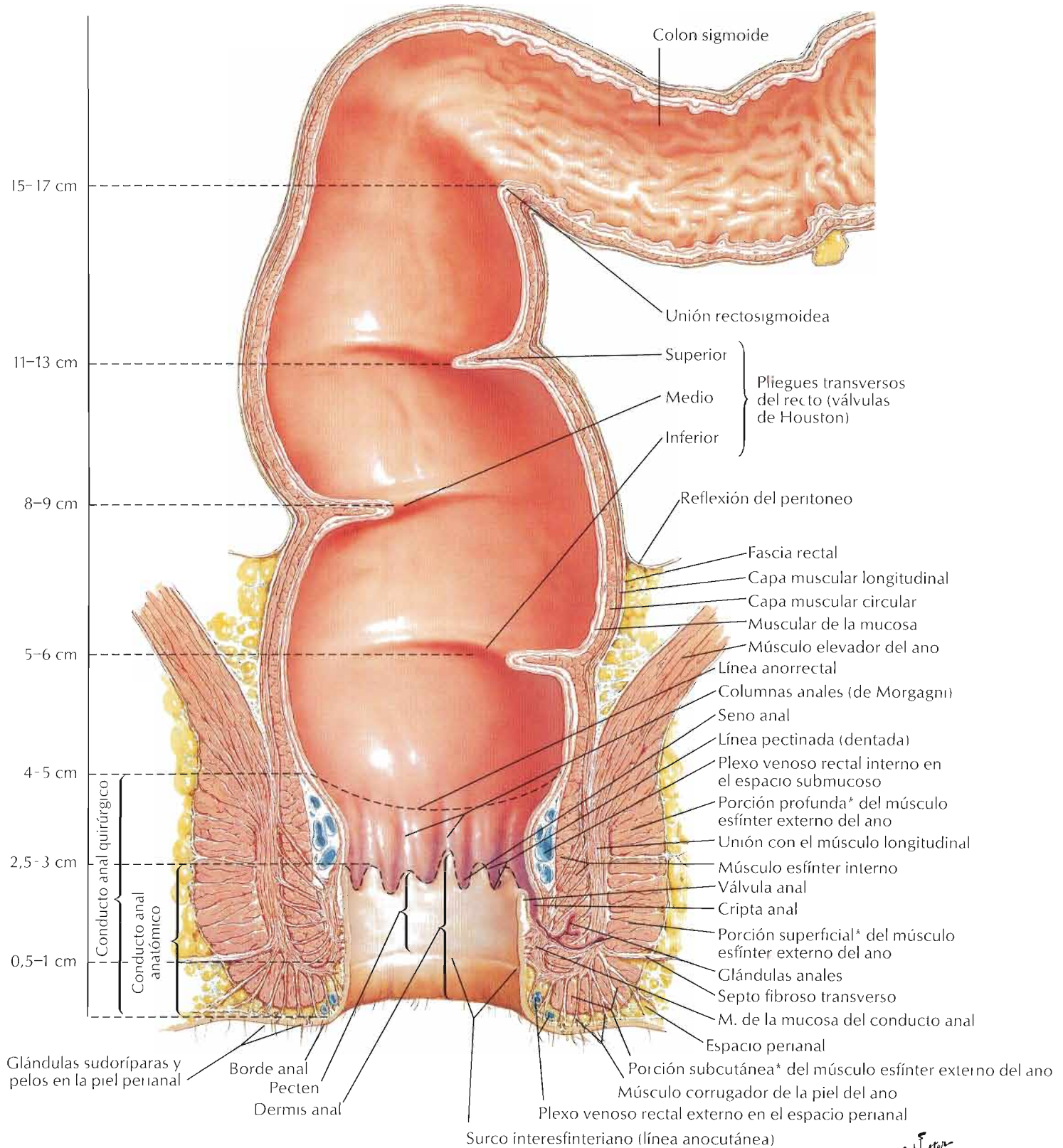
F. Netter M.D.

*Porciones variables y a menudo no diferenciadas

Véanse también láminas 317, 410-413

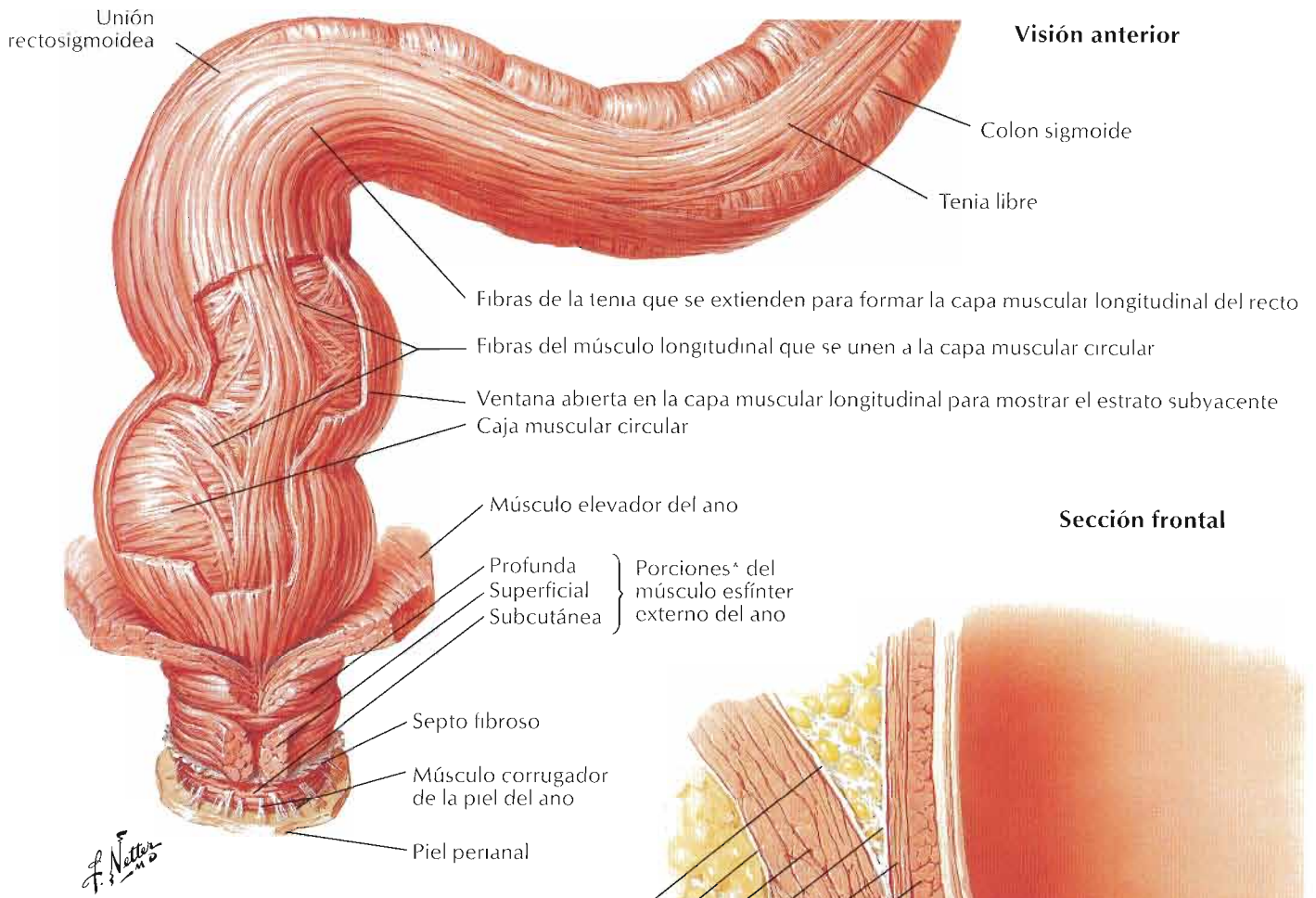


F. Netter M.D.

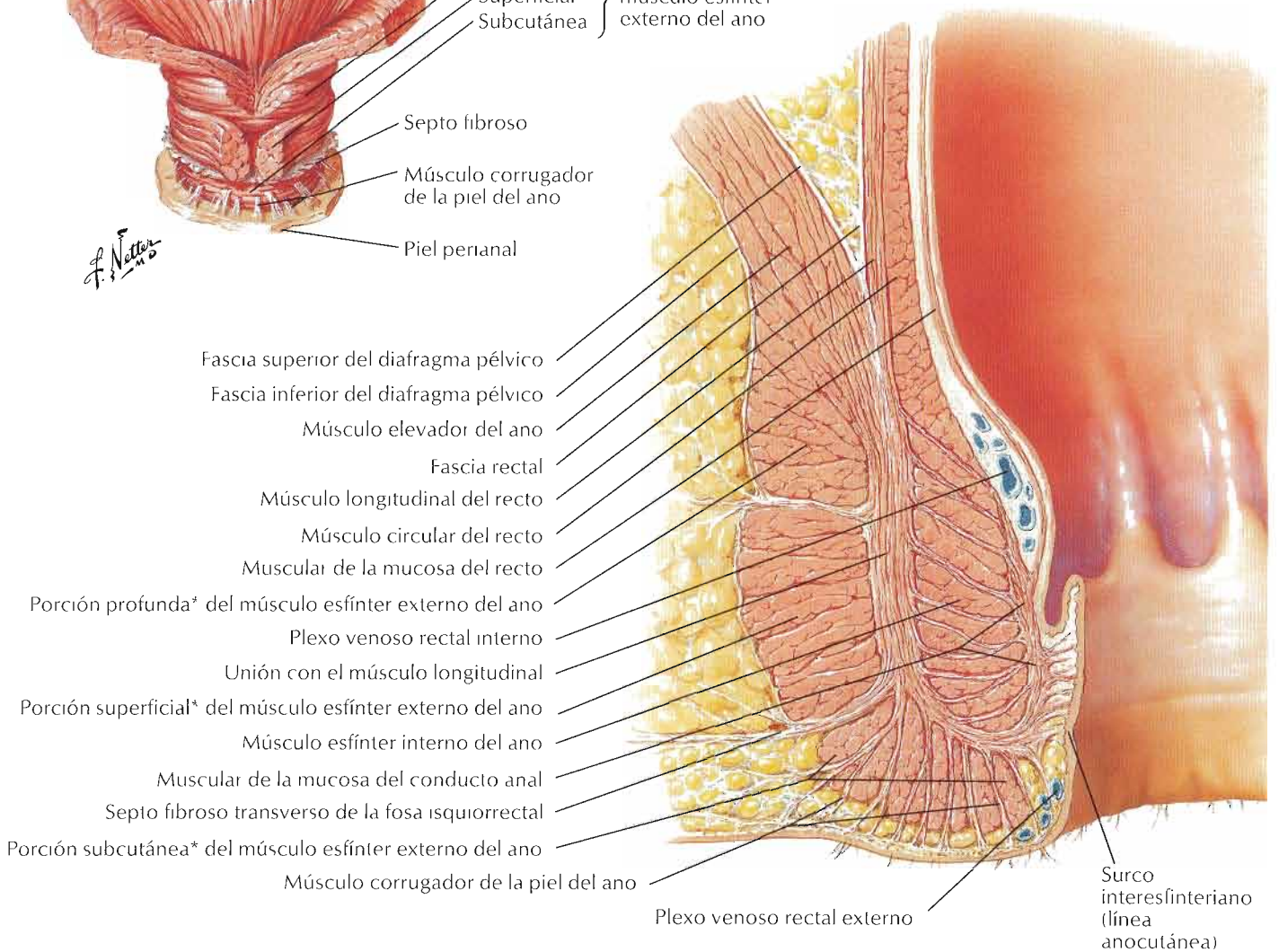


*Porciones variables y a menudo indiferenciadas

F. Netter M.D.

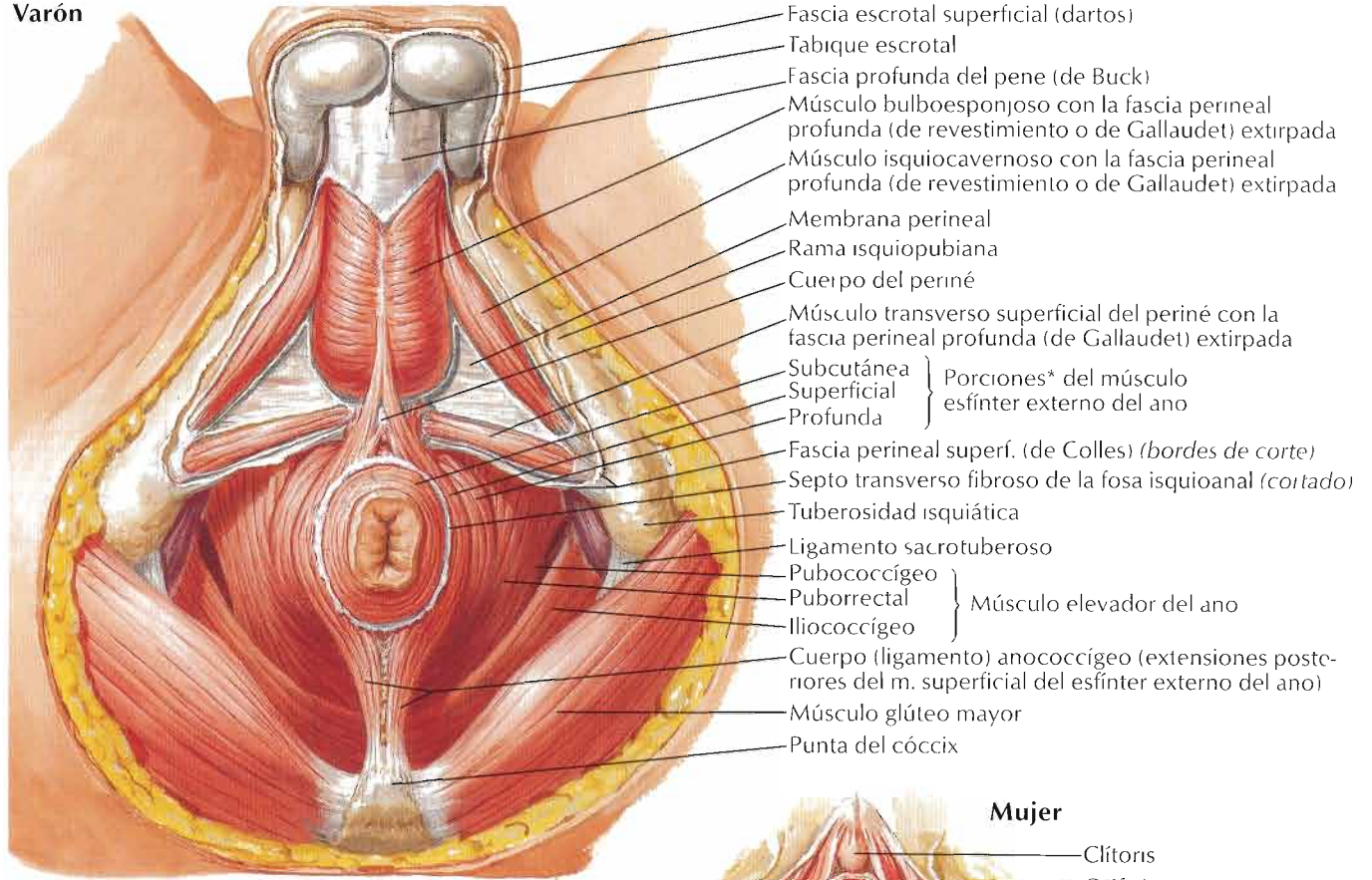


Sección frontal

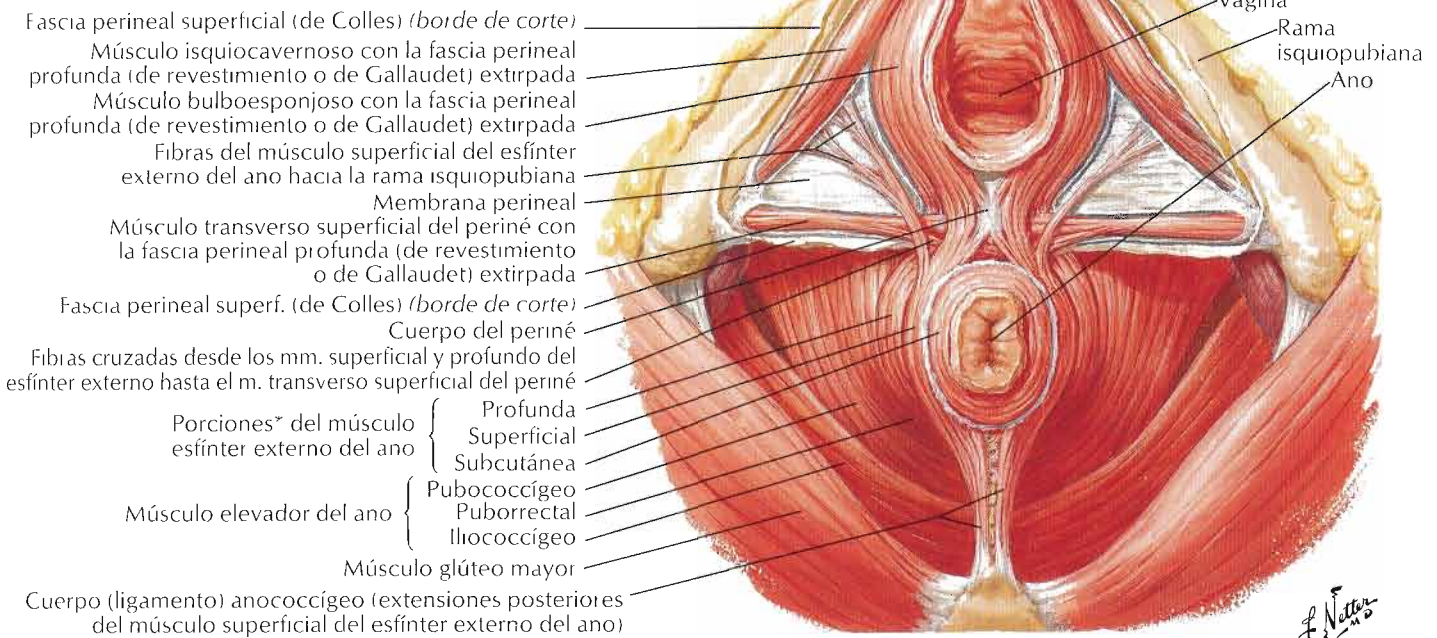


*Porciones variables y a menudo indiferenciadas

Varón



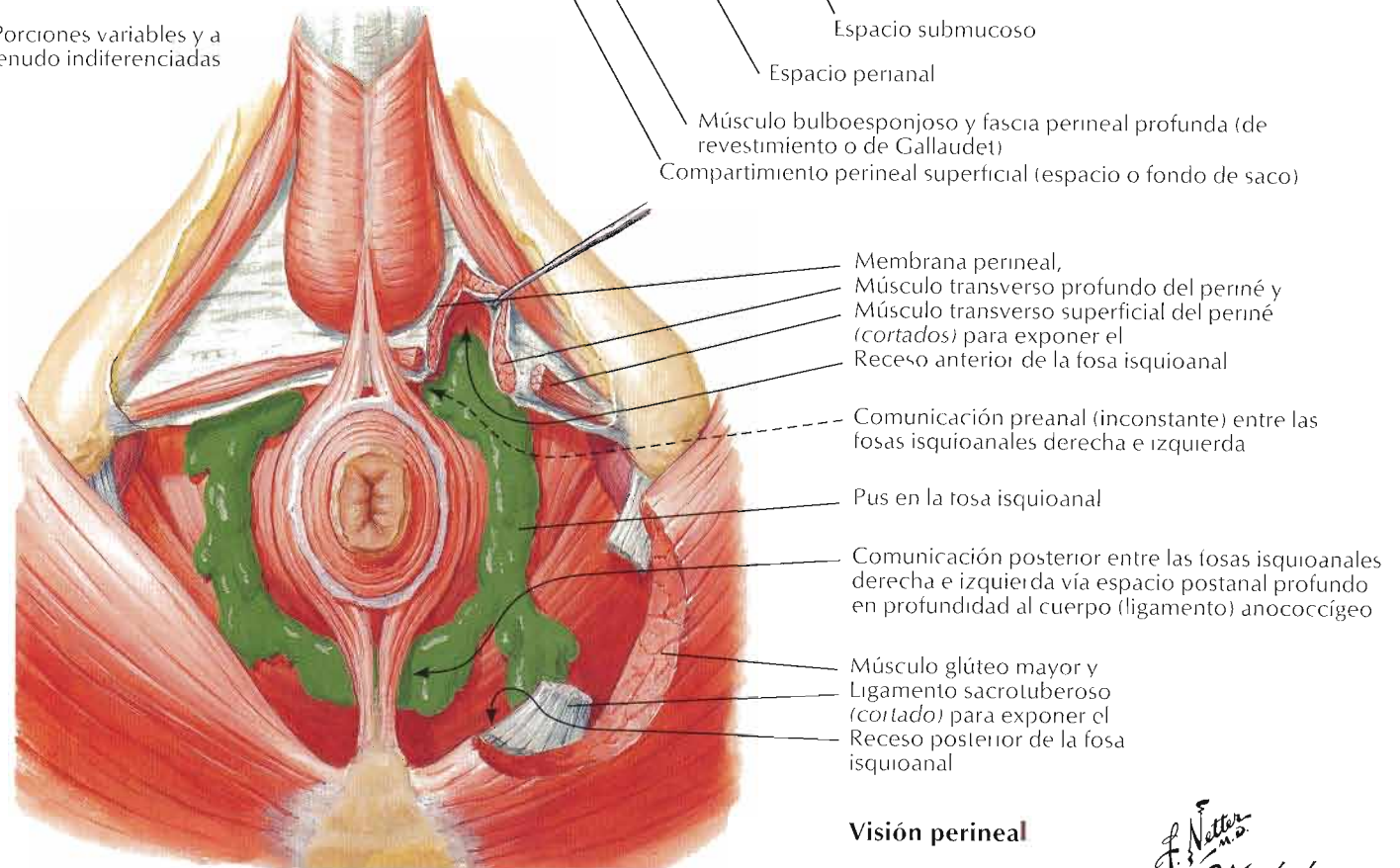
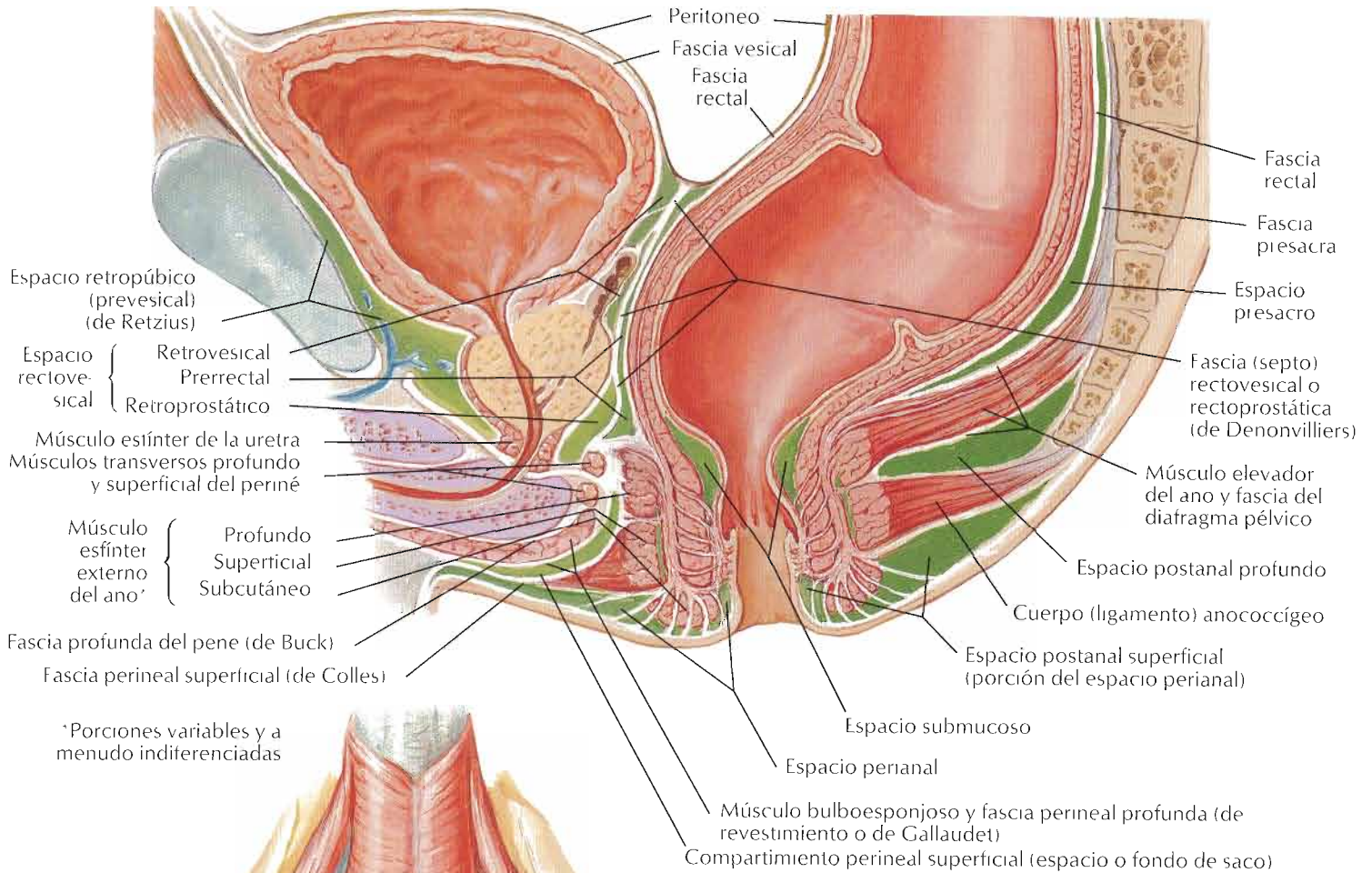
Mujer



F. Netter

*Porciones variables y a menudo indiferenciadas

Sección sagital

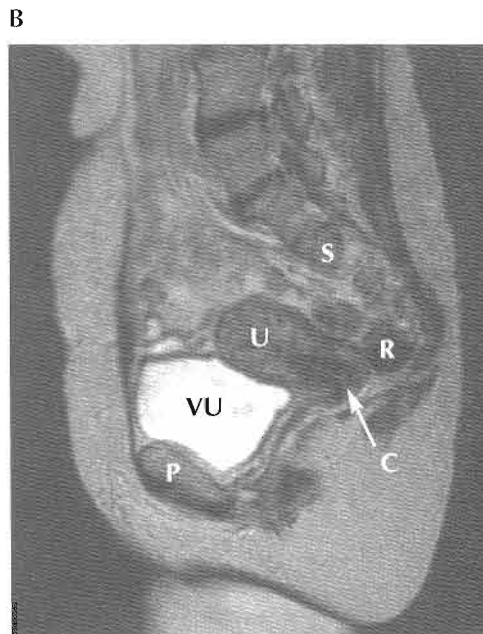
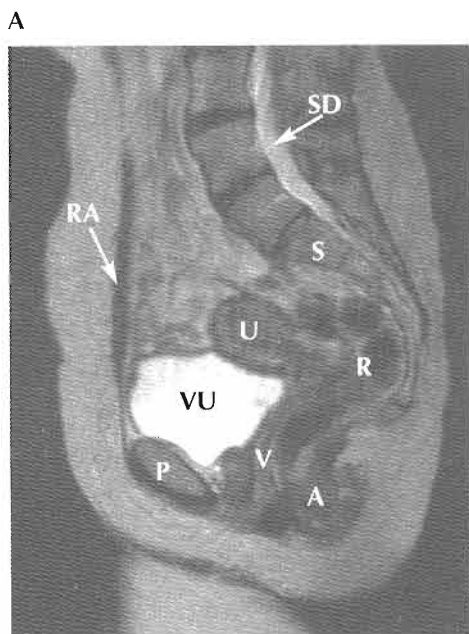


Visión perineal

F. Netto
C. Machado
M.D.

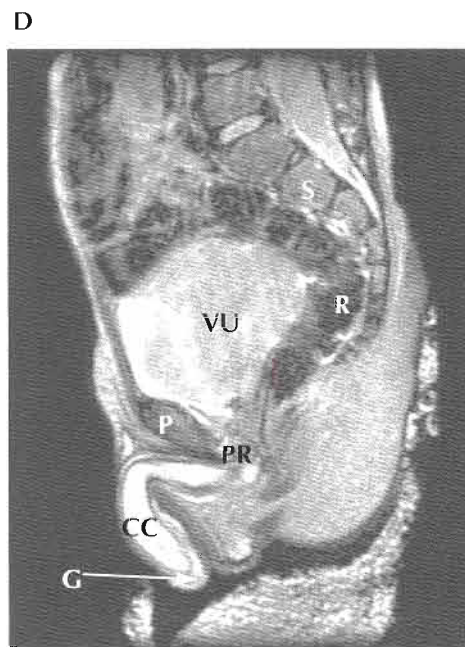
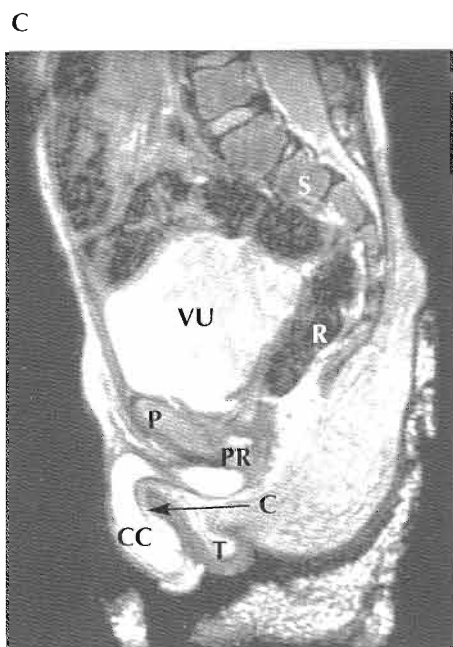
Propagación de un absceso perineal en los espacios perineales

RM sagital media (A) y parasagital (B) de la pelvis femenina

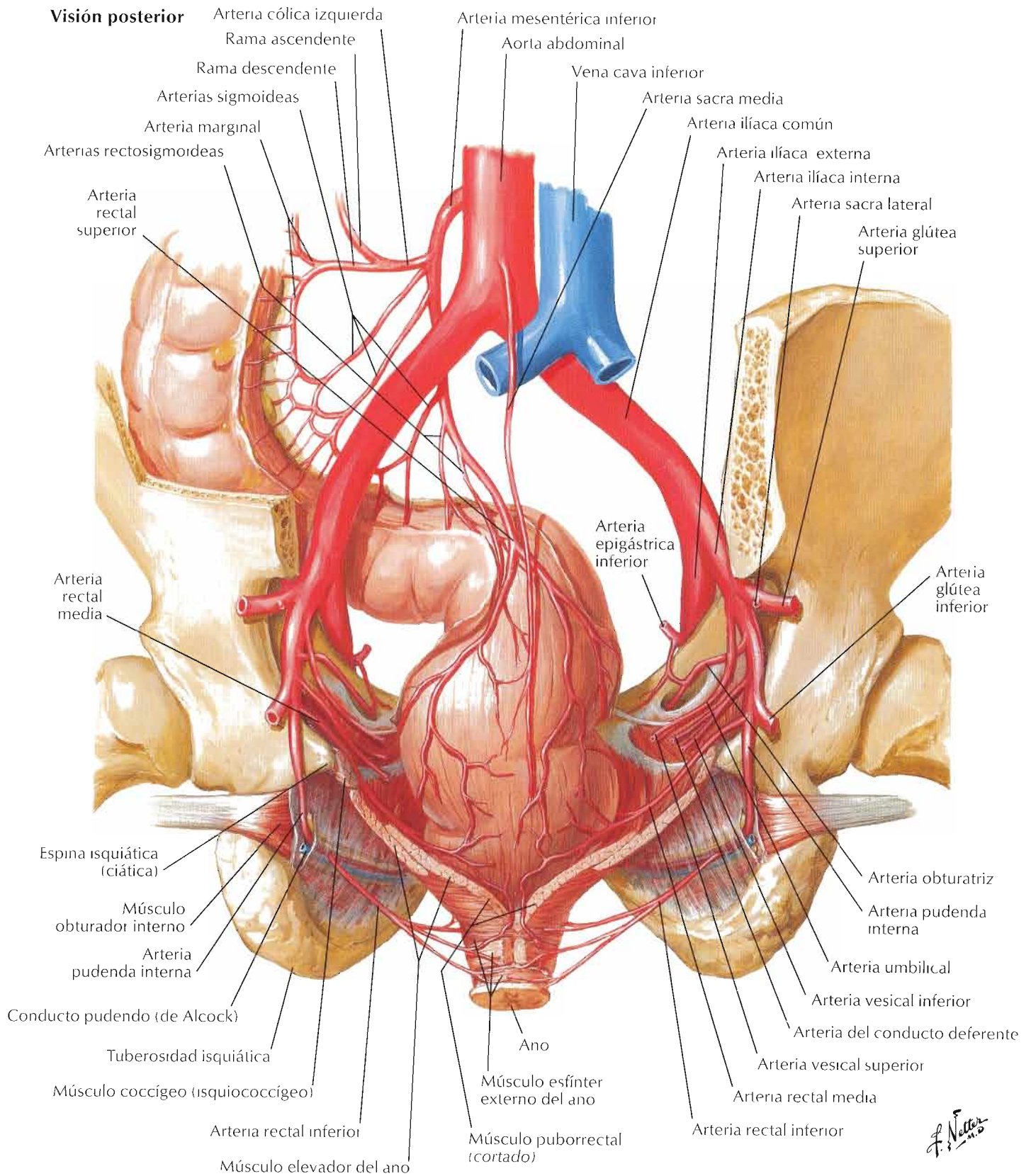


- | | | | |
|----|-------------------------------------|----|--------------------------------------|
| A | Conducto anal | S | Sacro |
| C | Orificio externo del cuello uterino | SD | Saco de la duramadre espinal (tecal) |
| P | Sínfisis del pubis | U | Útero |
| R | Recto | V | Vagina |
| RA | Músculo recto del abdomen | VU | Vejiga urinaria |

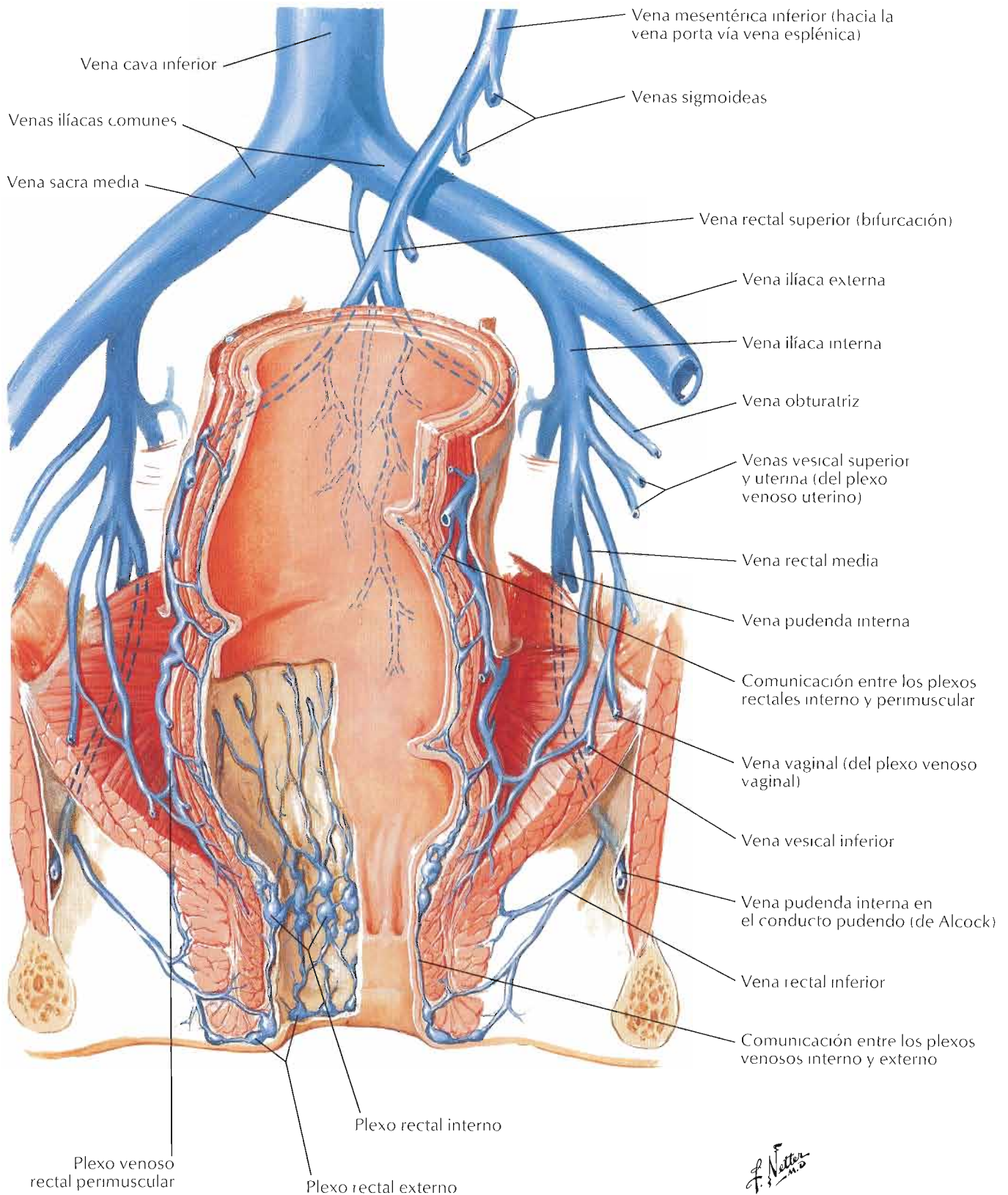
RM sagital media (C) y parasagital (D) de la pelvis masculina



- | | | | |
|----|--------------------|----|-----------------|
| C | Cuerpo esponjoso | R | Recto |
| CC | Cuerpo cavernoso | S | Sacro |
| G | Glande del pene | T | Testículo |
| P | Sínfisis del pubis | VU | Vejiga urinaria |
| PR | Próstata | | |

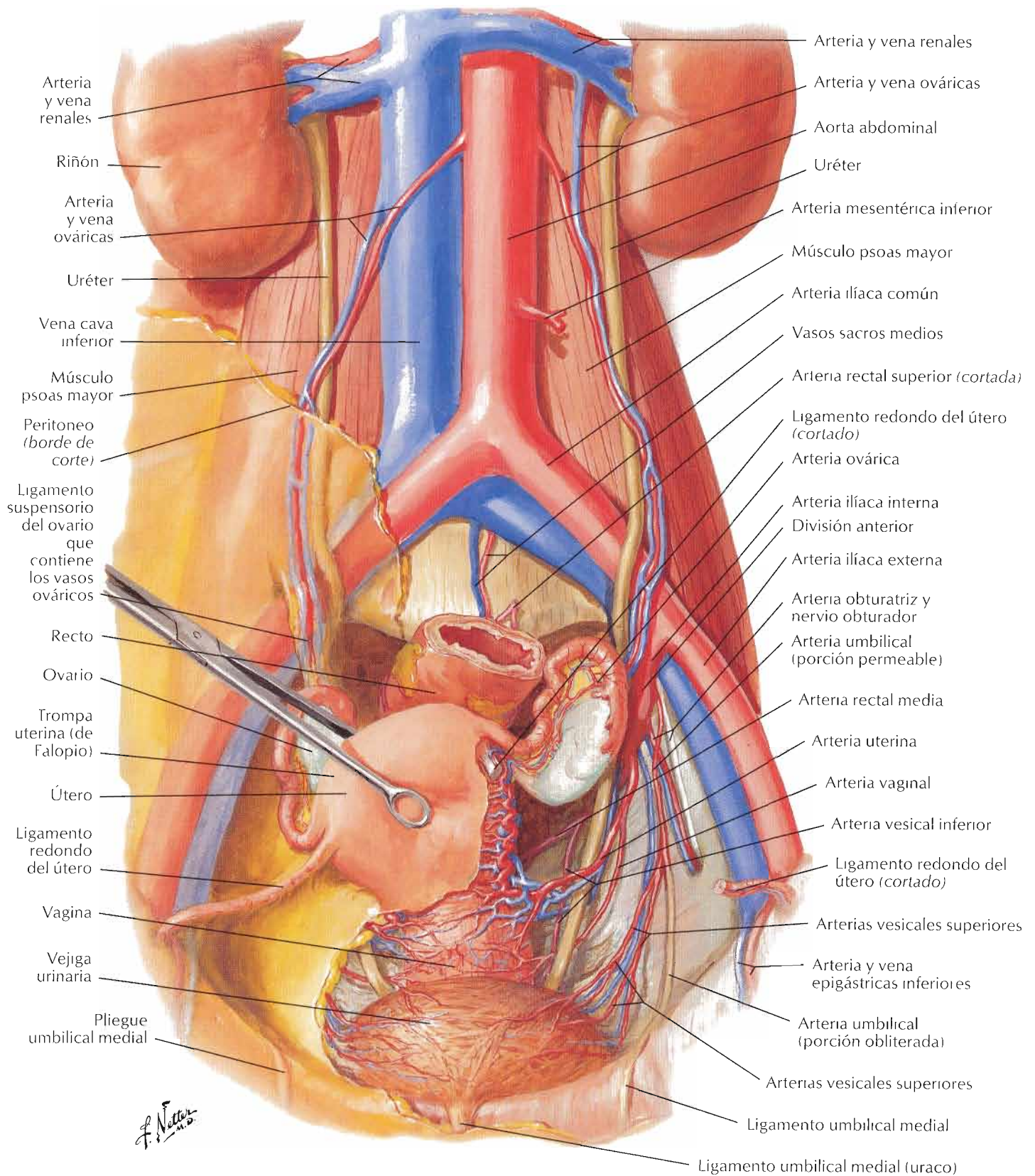


Visión anterior

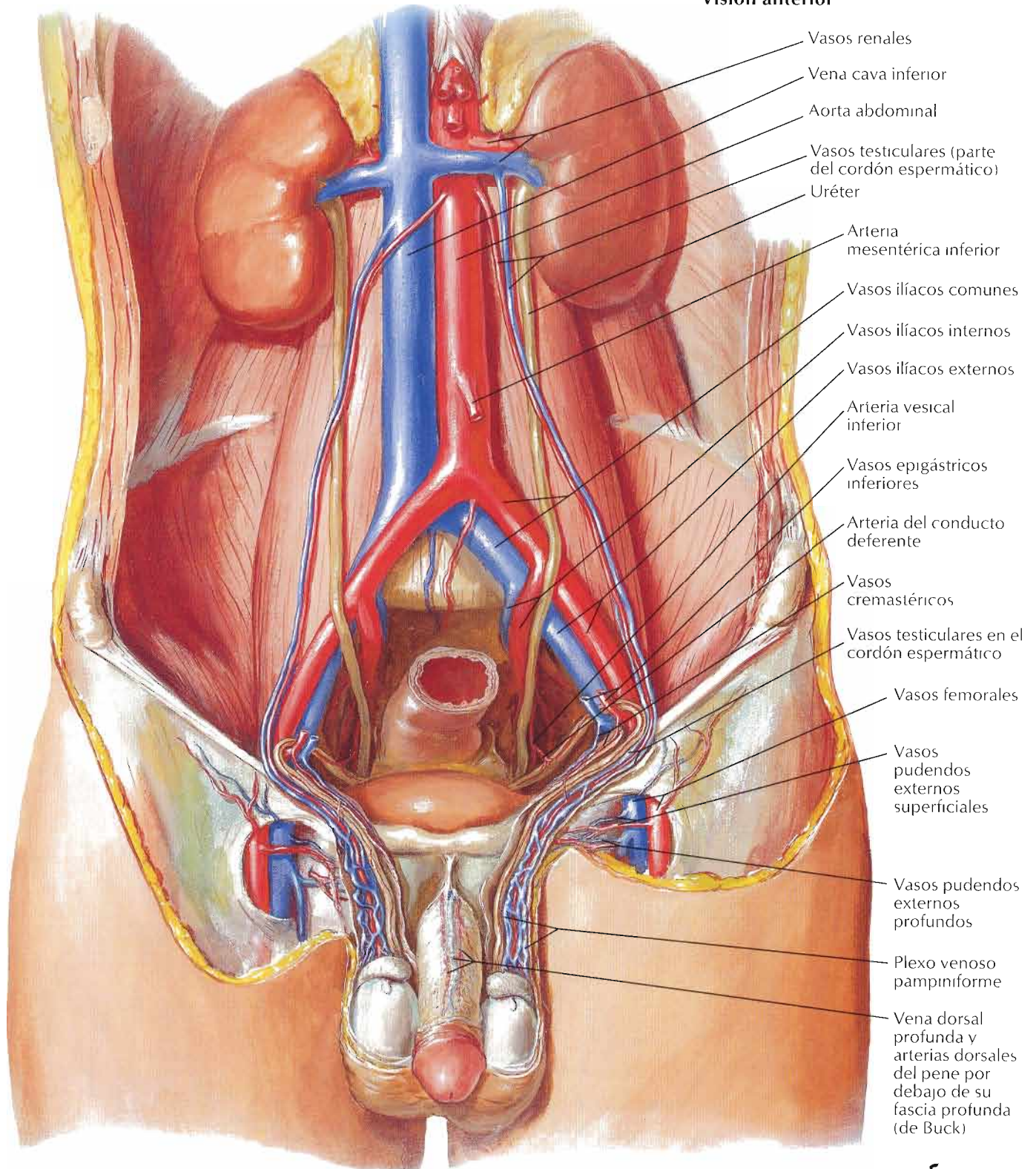


F. Netter M.D.

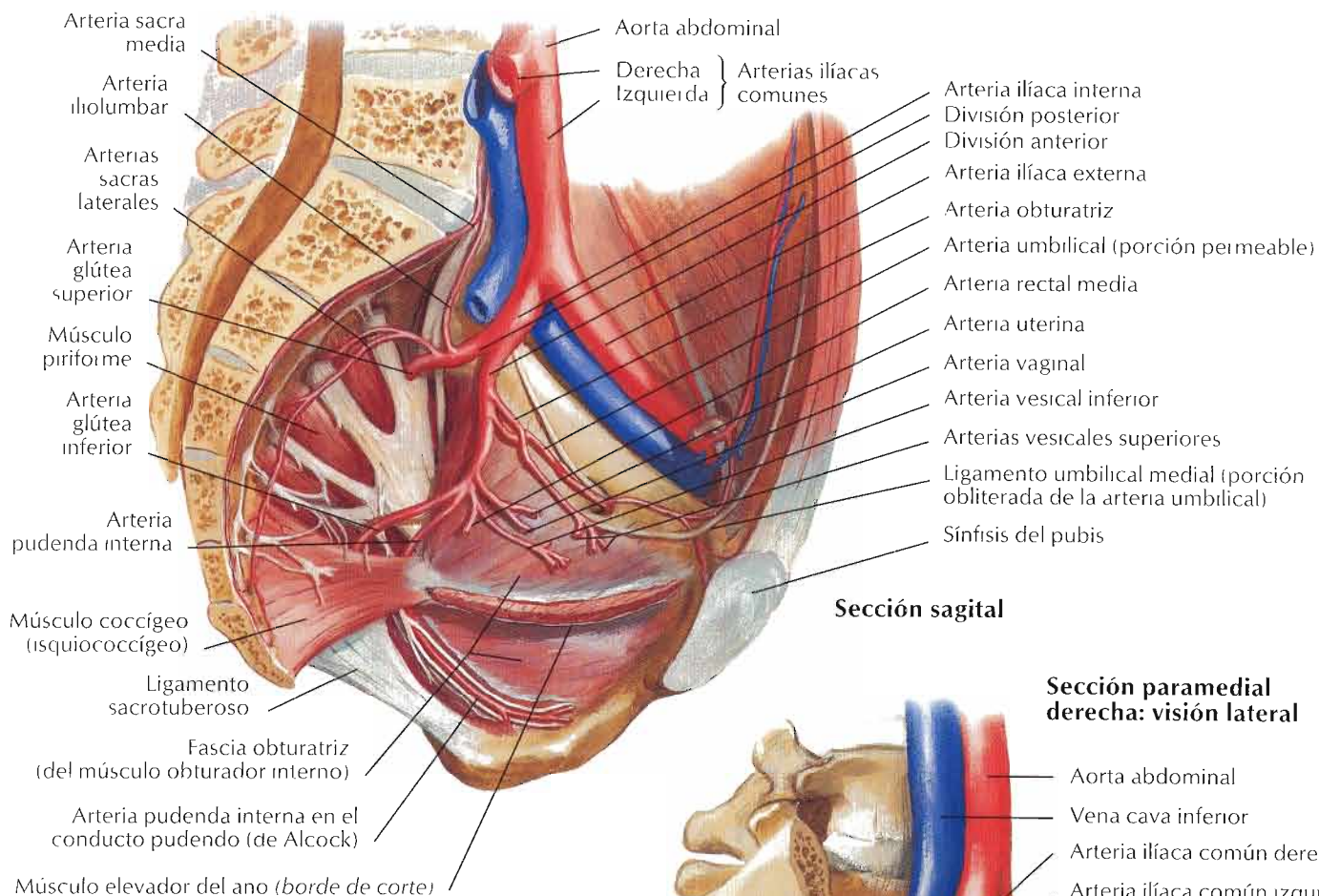
Visión anterior



Visión anterior



F. Netter

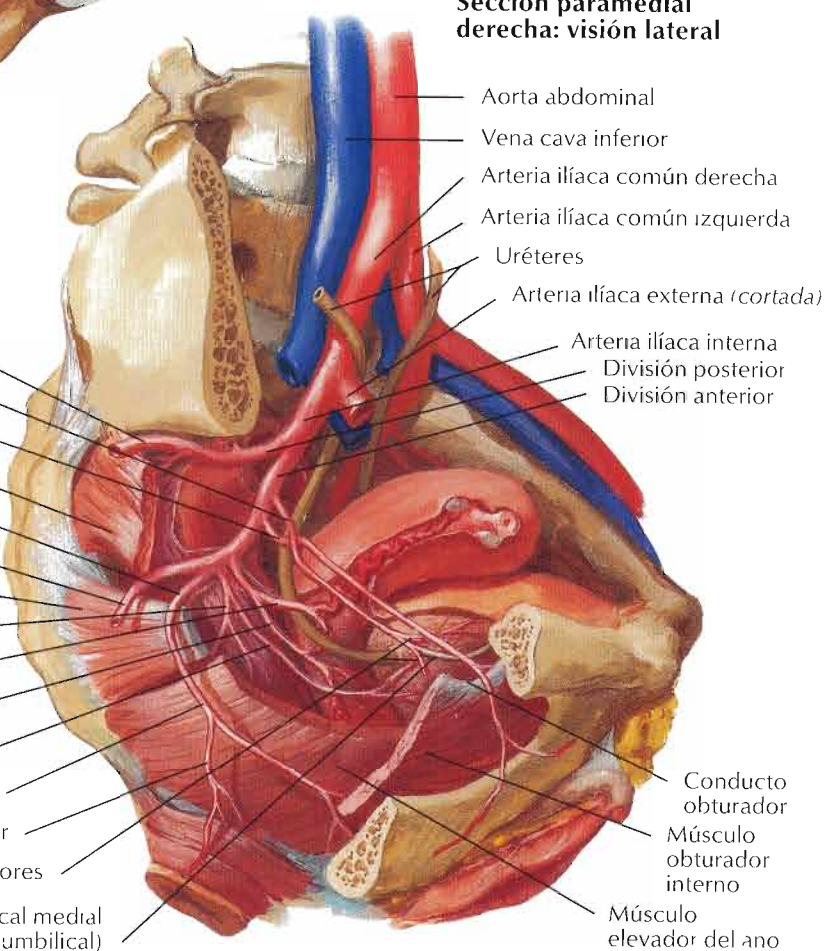


Sección sagital

- Arteria sacra media
- Arteria iliolumbar
- Arterias sacras laterales
- Arteria glútea superior
- Músculo piriforme
- Arteria glútea inferior
- Arteria pudenda interna
- Músculo cocciógeo (isquiococciógeo)
- Ligamento sacrotuberoso
- Fascia obturatriz (del músculo obturador interno)
- Arteria pudenda interna en el conducto pudendo (de Alcock)
- Músculo elevador del ano (*borde de corte*)

- Aorta abdominal
- Derecha } Arterias ilíacas comunes
- Izquierda }
- Arteria ilíaca interna
- División posterior
- División anterior
- Arteria ilíaca externa
- Arteria obturatriz
- Arteria umbilical (porción permeable)
- Arteria rectal media
- Arteria uterina
- Arteria vaginal
- Arteria vesical inferior
- Arterias vesicales superiores
- Ligamento umbilical medial (porción obliterada de la arteria umbilical)
- Sínfisis del pubis

Sección paramedial derecha: visión lateral



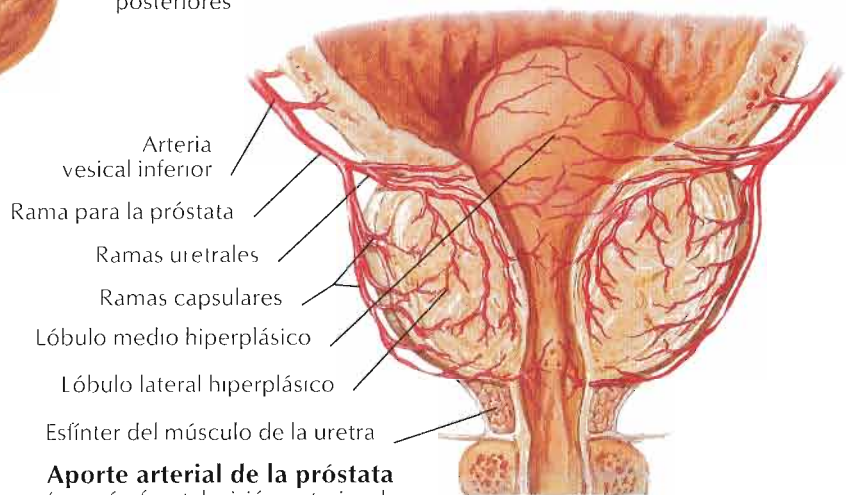
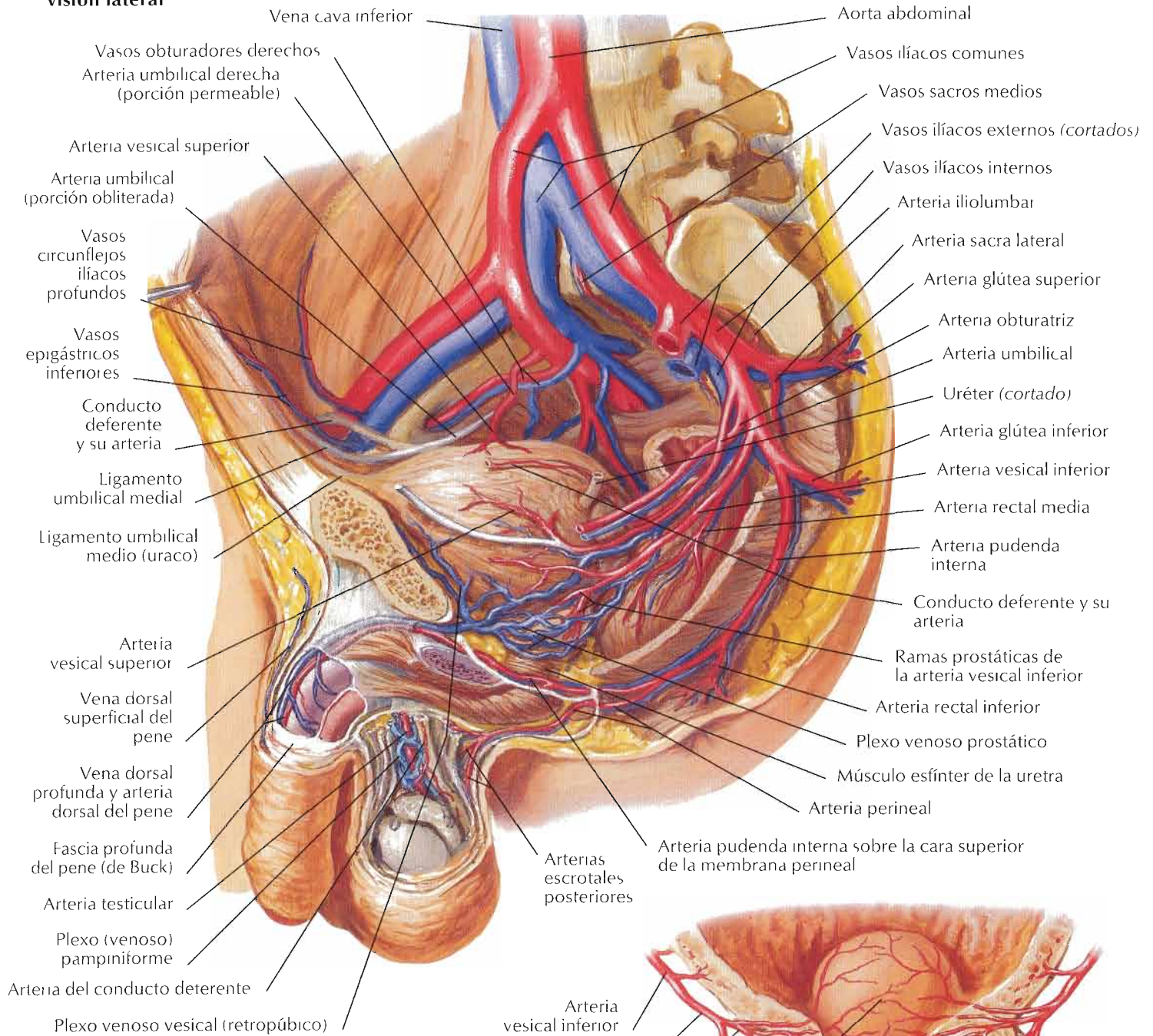
- Aorta abdominal
- Vena cava inferior
- Arteria ilíaca común derecha
- Arteria ilíaca común izquierda
- Uréteres
- Arteria ilíaca externa (*cortada*)
- Arteria ilíaca interna
- División posterior
- División anterior

- Arteria glútea superior
- Arteria obturatriz
- Arteria umbilical (porción permeable)
- Músculo piriforme
- Arteria pudenda interna
- Arteria glútea inferior
- Músculo cocciógeo (isquiococciógeo)
- Arteria rectal media
- Arteria uterina
- Arteria vaginal
- Arteria vesical inferior
- Arteria pudenda interna
- Arteria rectal inferior
- Arterias vesicales superiores
- Ligamento umbilical medial (porción distal obliterada de la arteria umbilical)

- Conducto obturador
- Músculo obturador interno
- Músculo elevador del ano

F. Netter M.D.

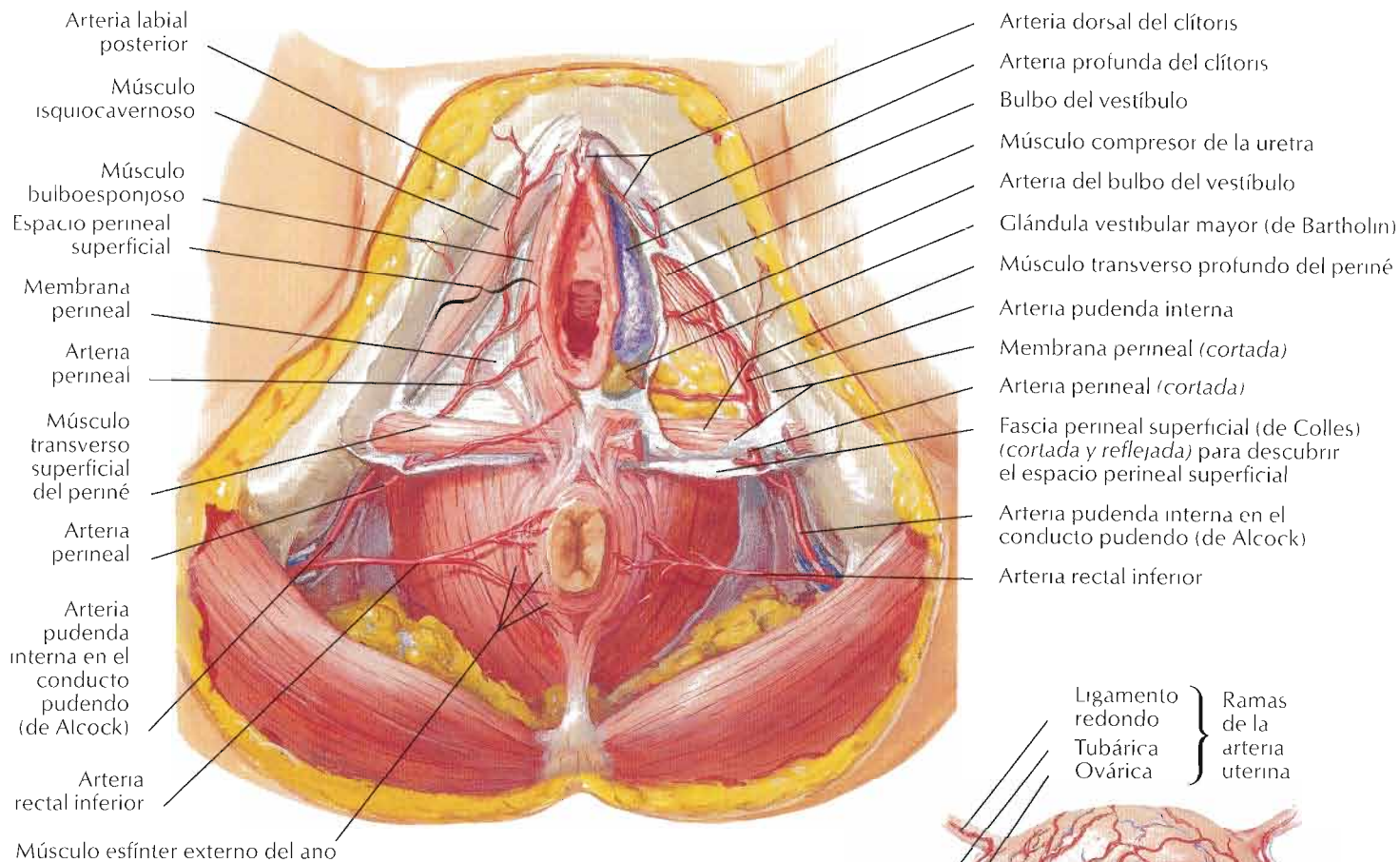
Sección paramedial izquierda: visión lateral



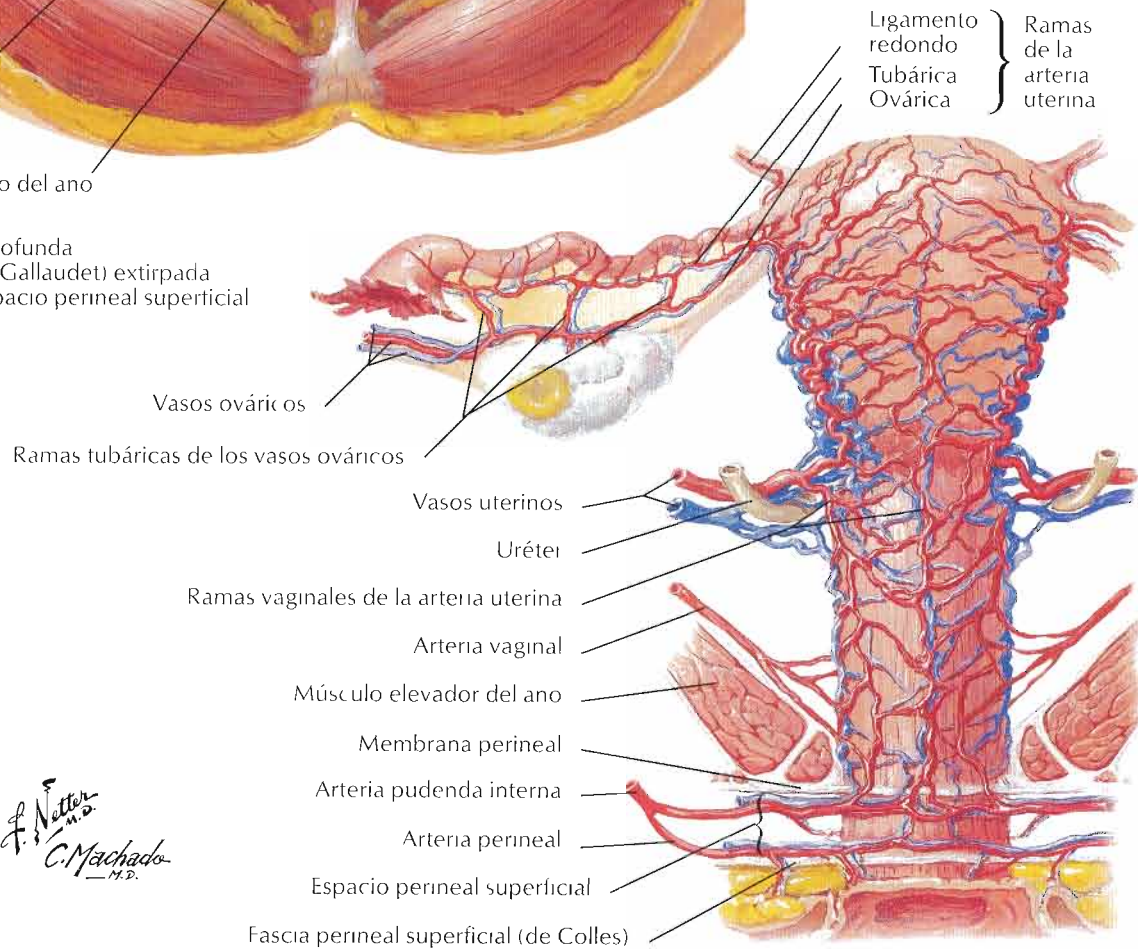
Aporte arterial de la próstata
(sección frontal, visión anterior de espécimen con hiperplasia benigna)

F. Netter M.D.
C. Machado

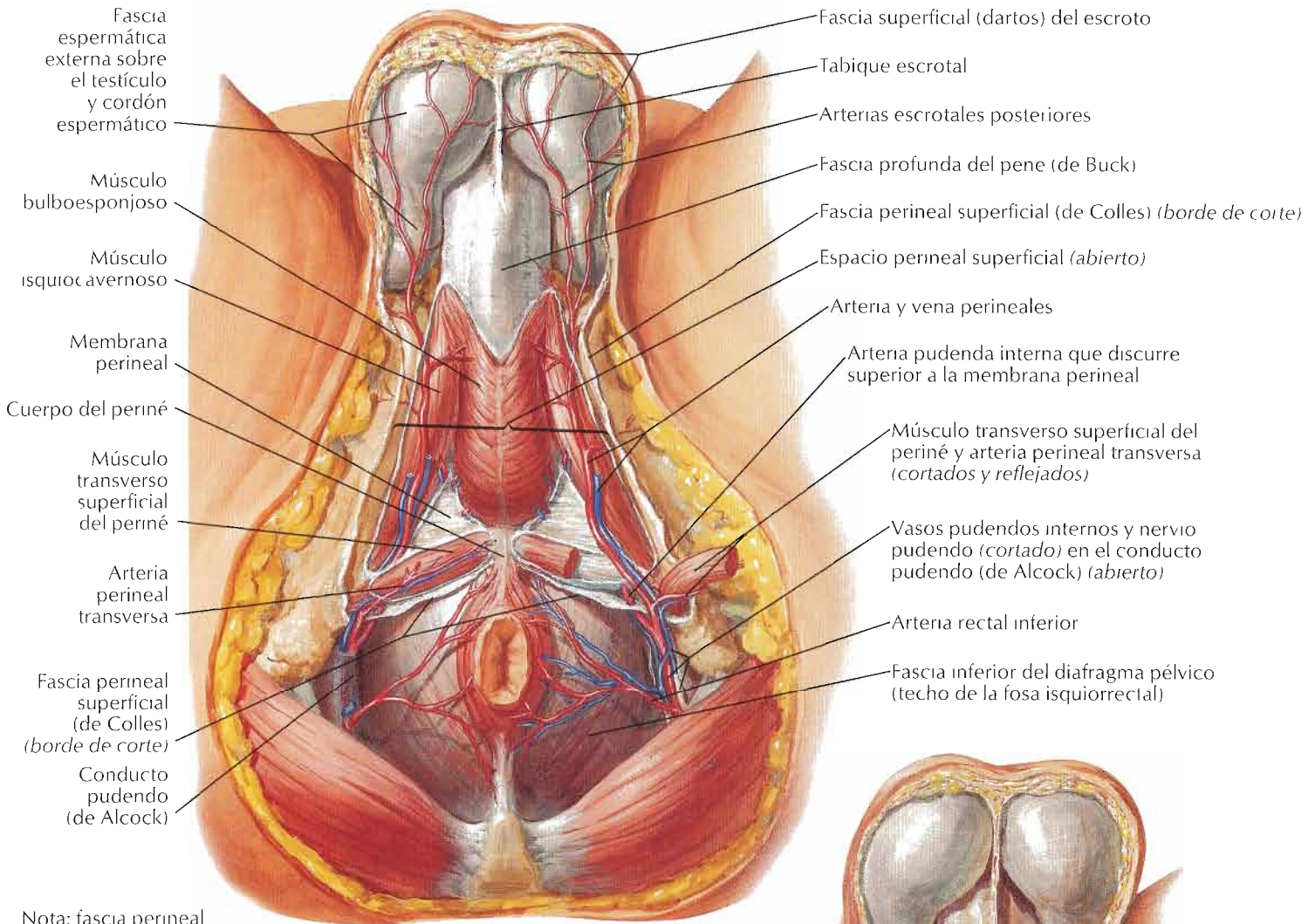
Arterias y venas del periné y útero



Nota: fascia perineal profunda (de revestimiento o de Gallaudet) extirpada de los músculos del espacio perineal superficial

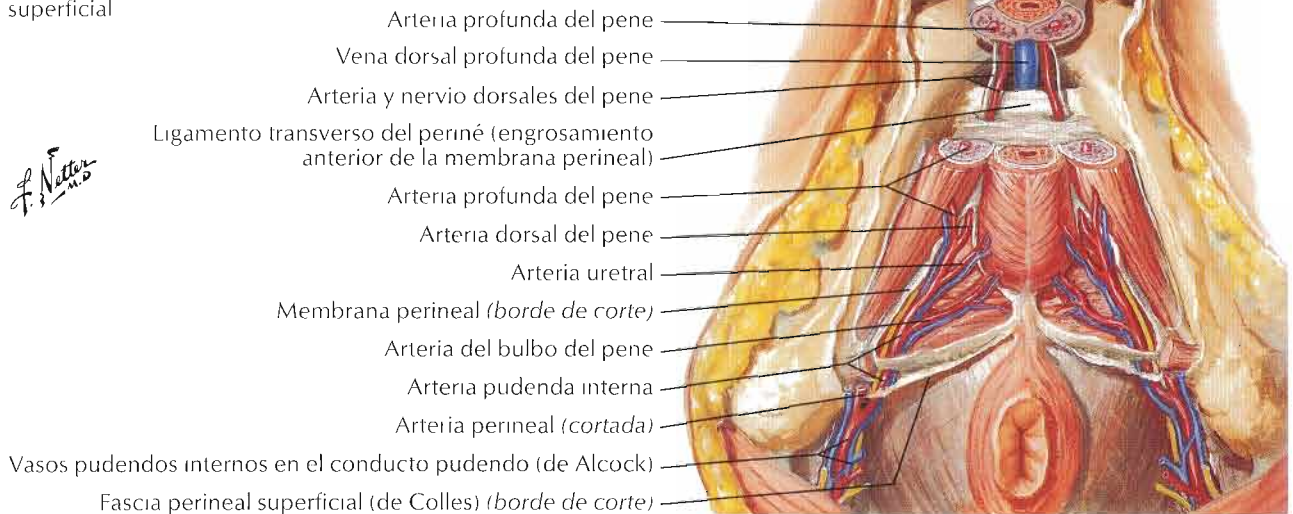


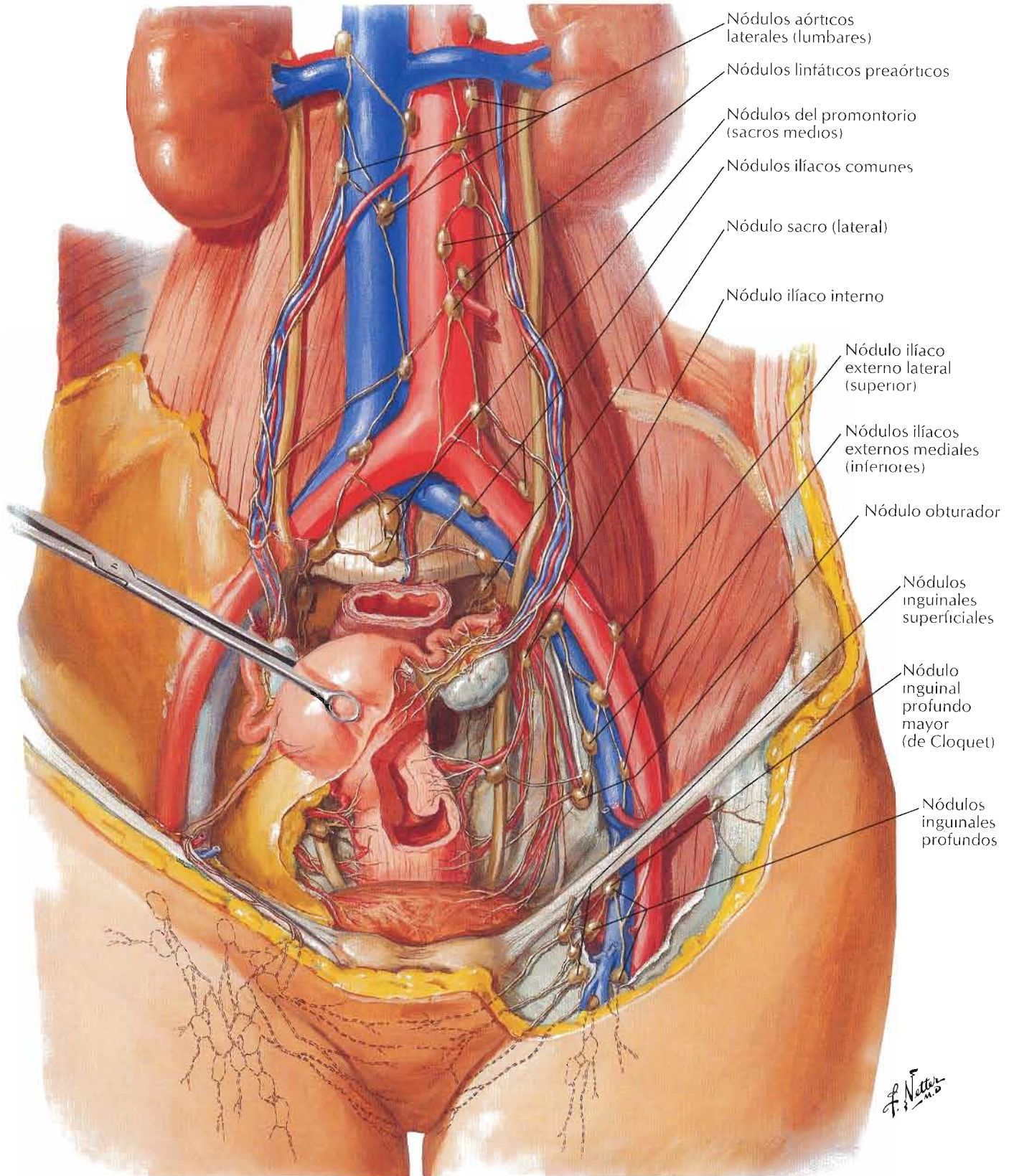
F. Netter M.D.
C. Machado M.D.

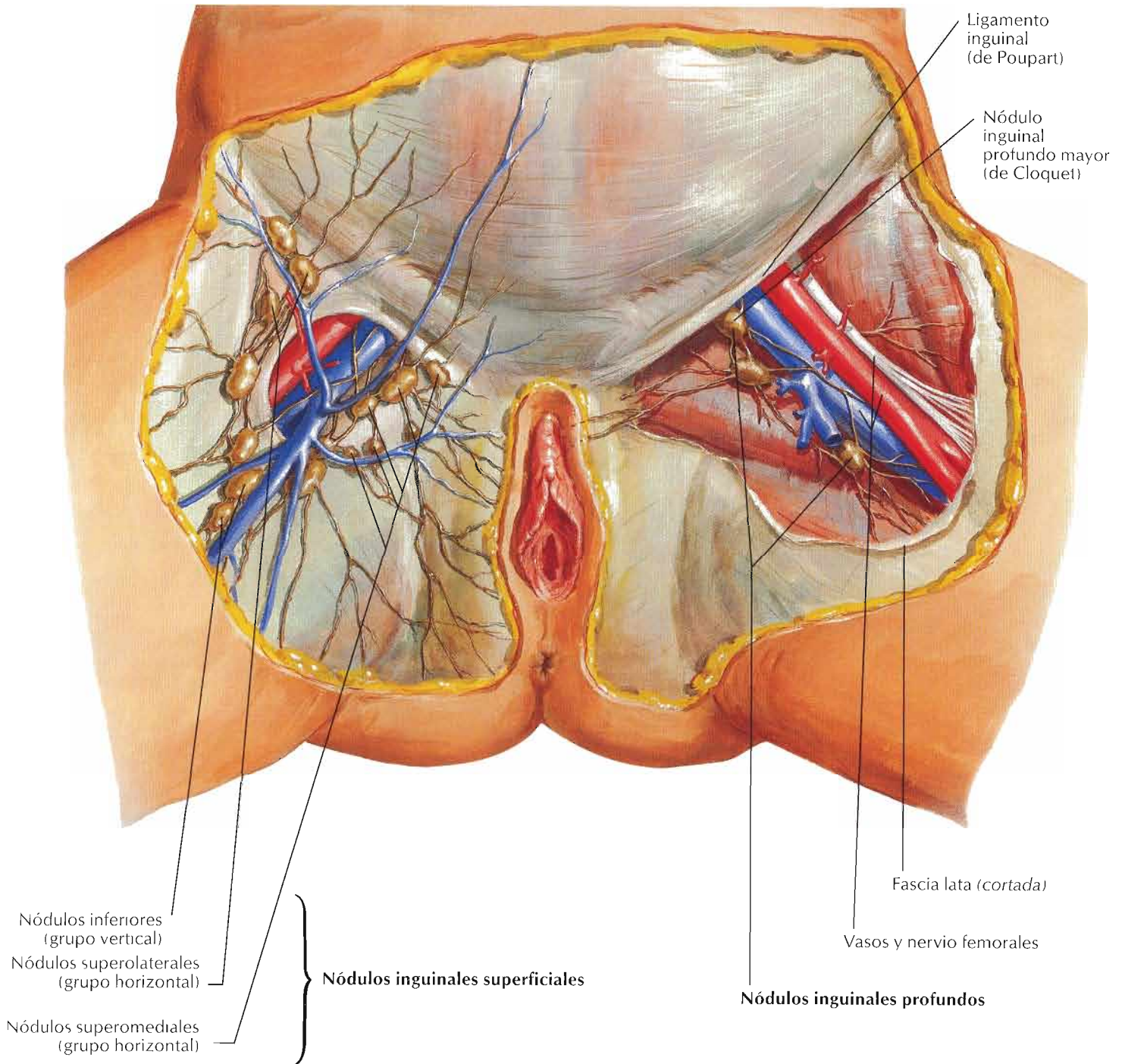


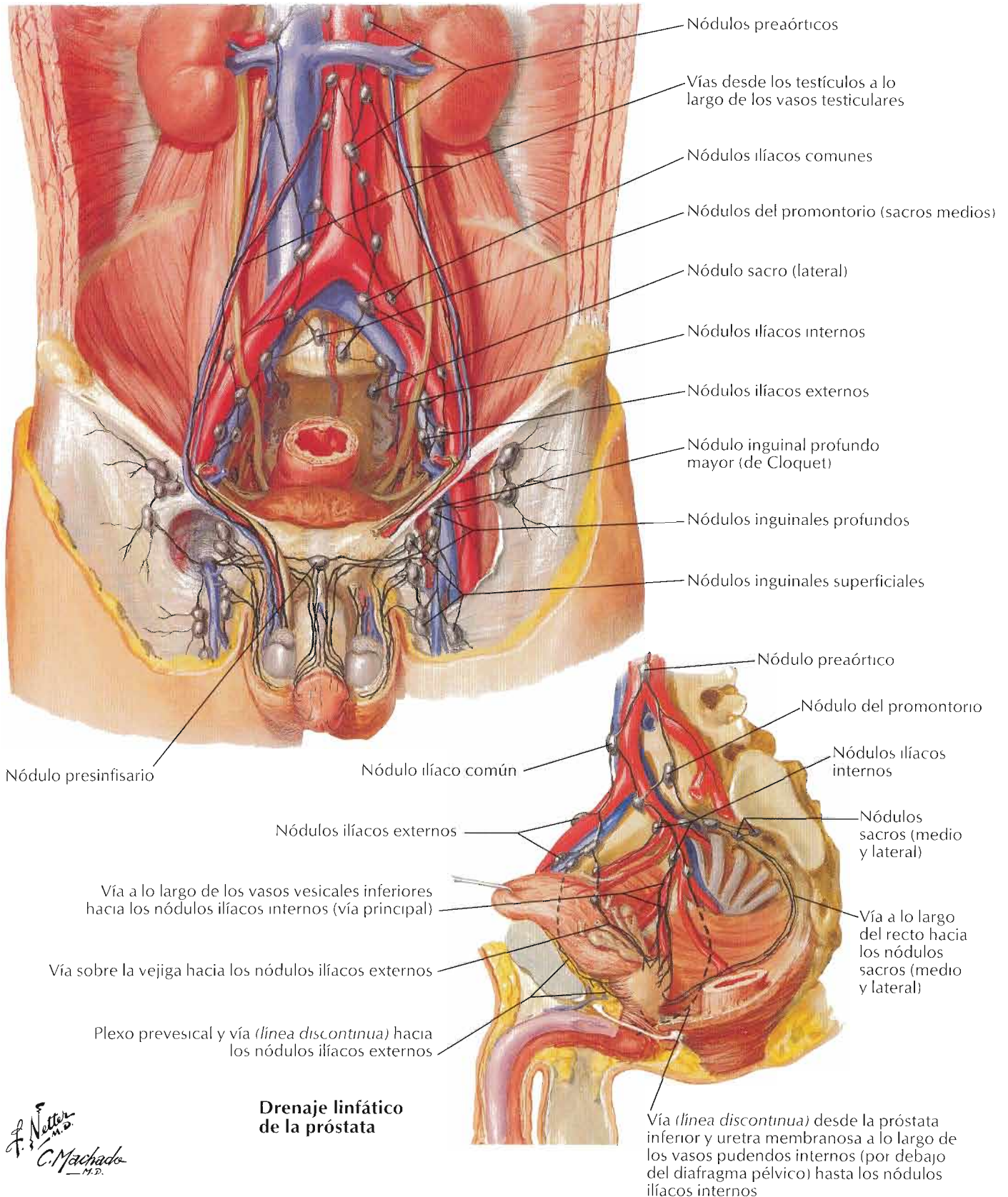
Nota: fascia perineal profunda (de revestimiento o de Gallaudet) extirpada de los músculos del espacio perineal superficial

F. Netter
1950

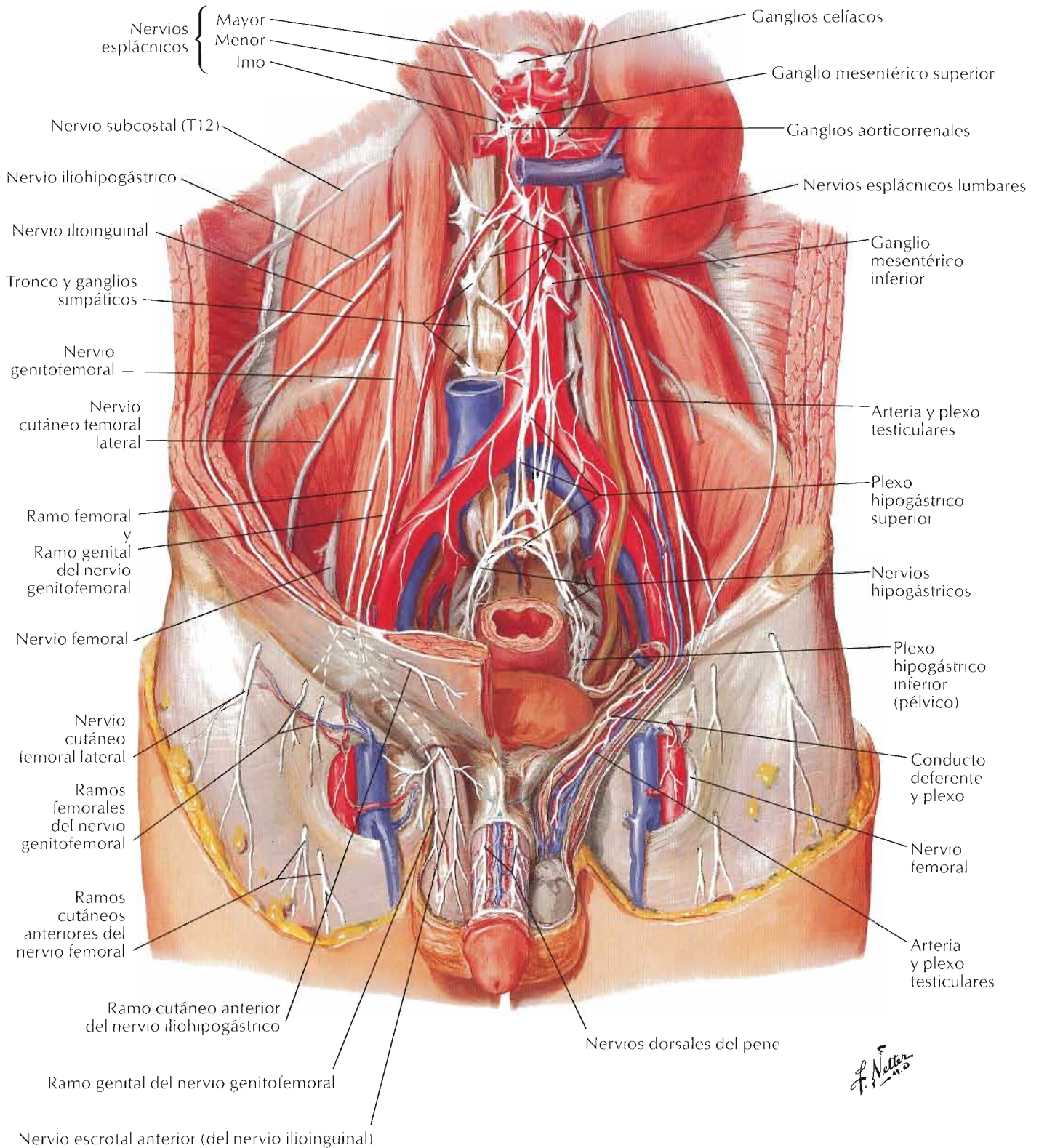




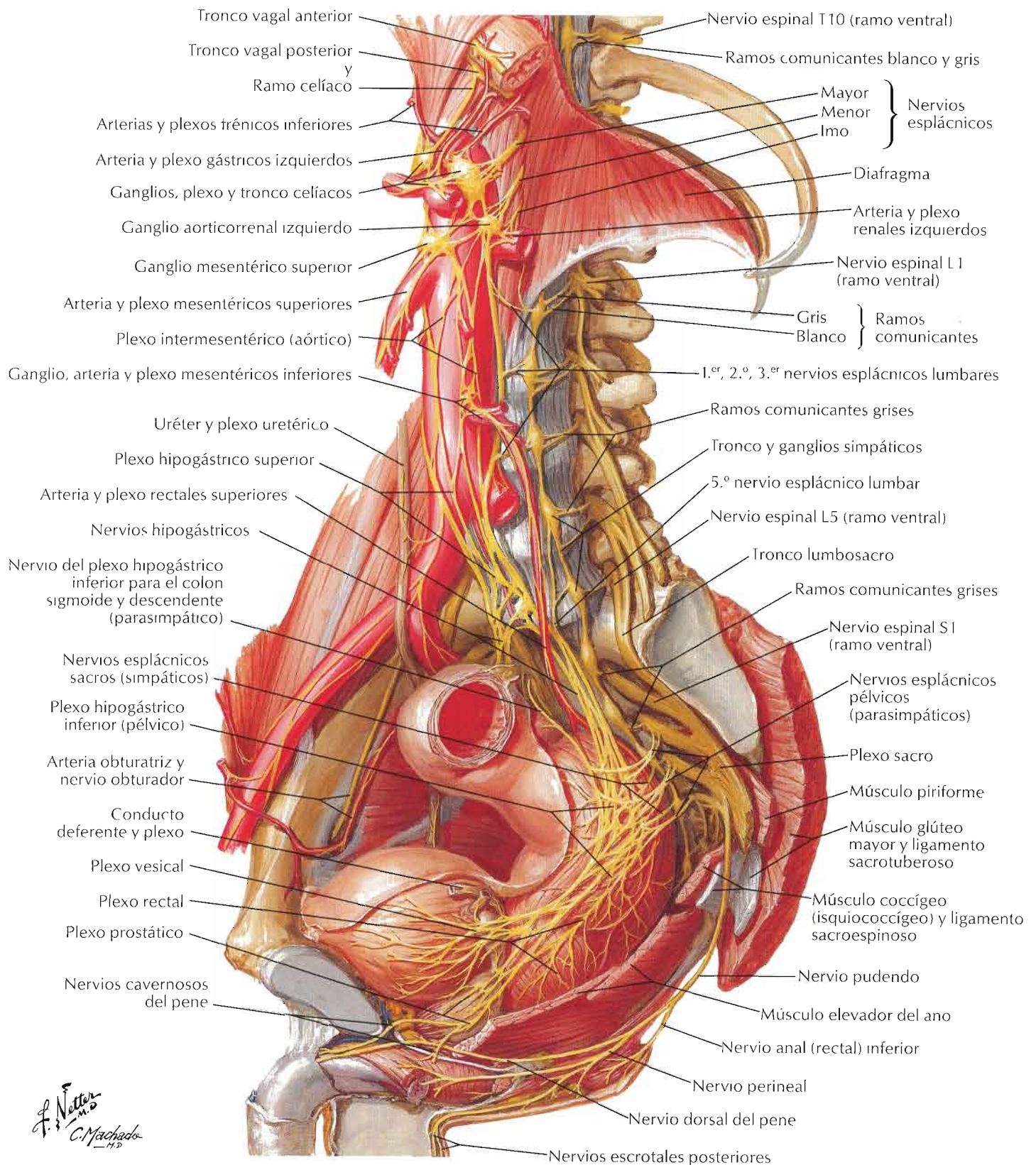




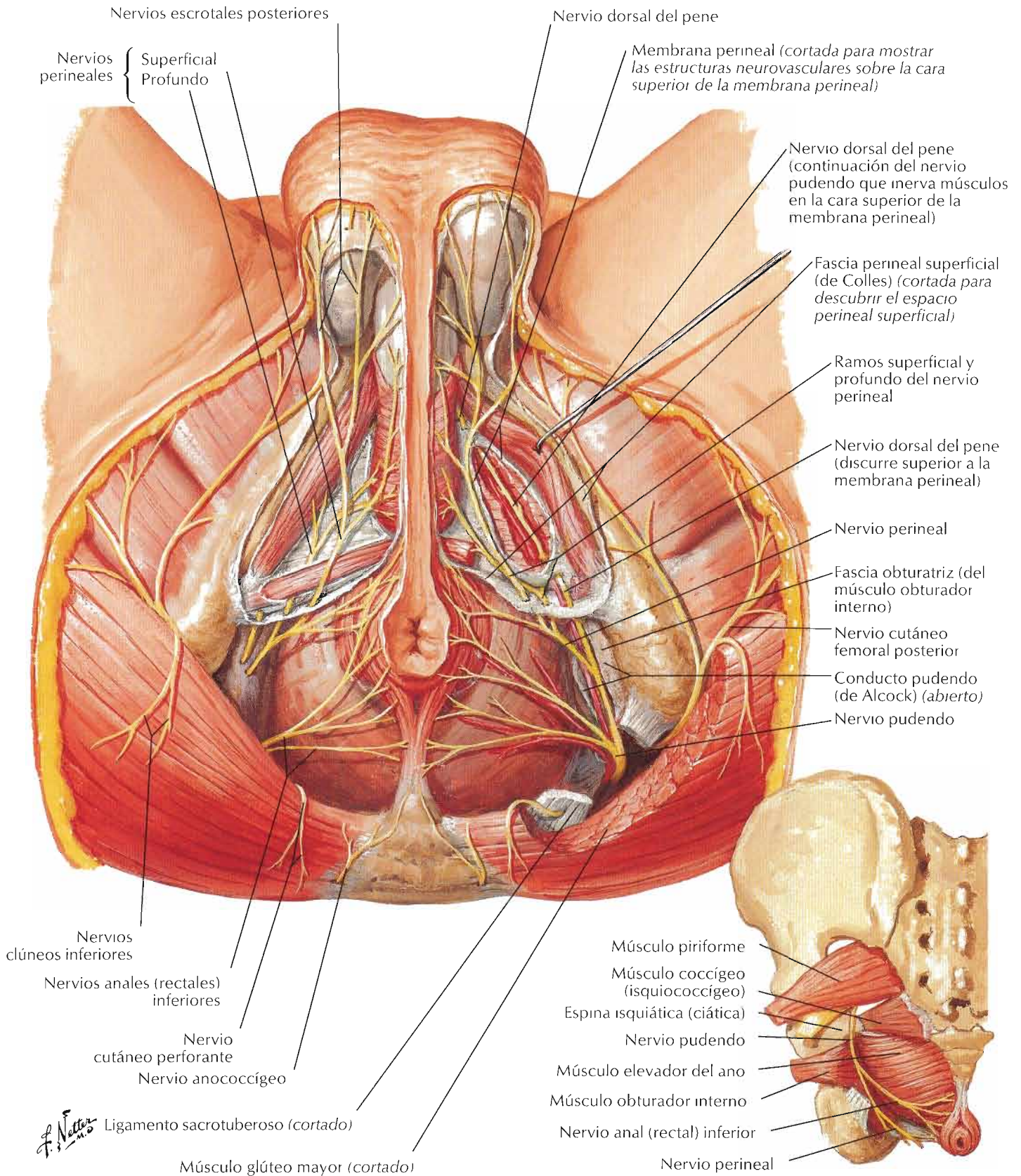
F. Netter
C. Machado
—M.D.



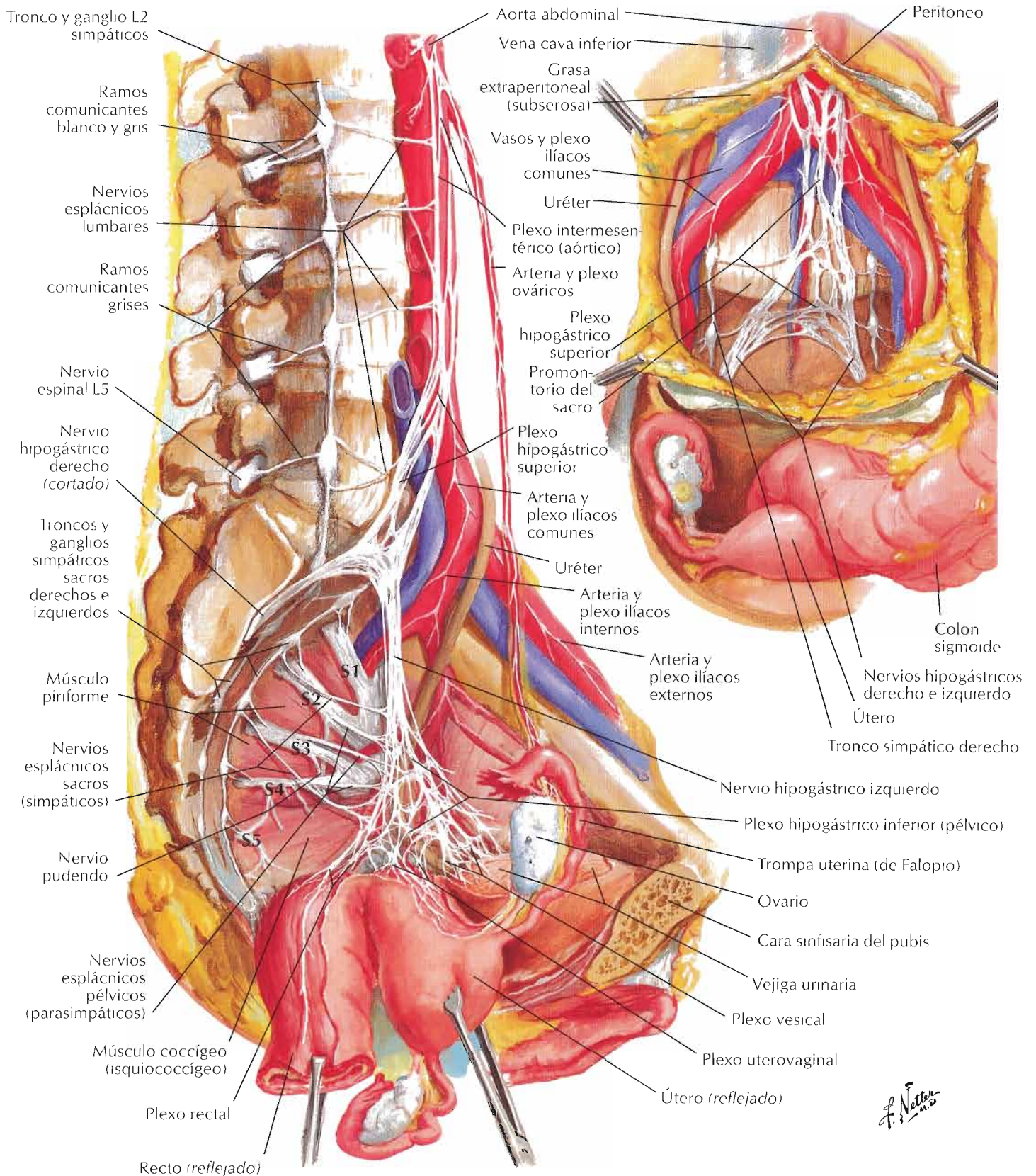
Véanse también láminas 165, 166, 318



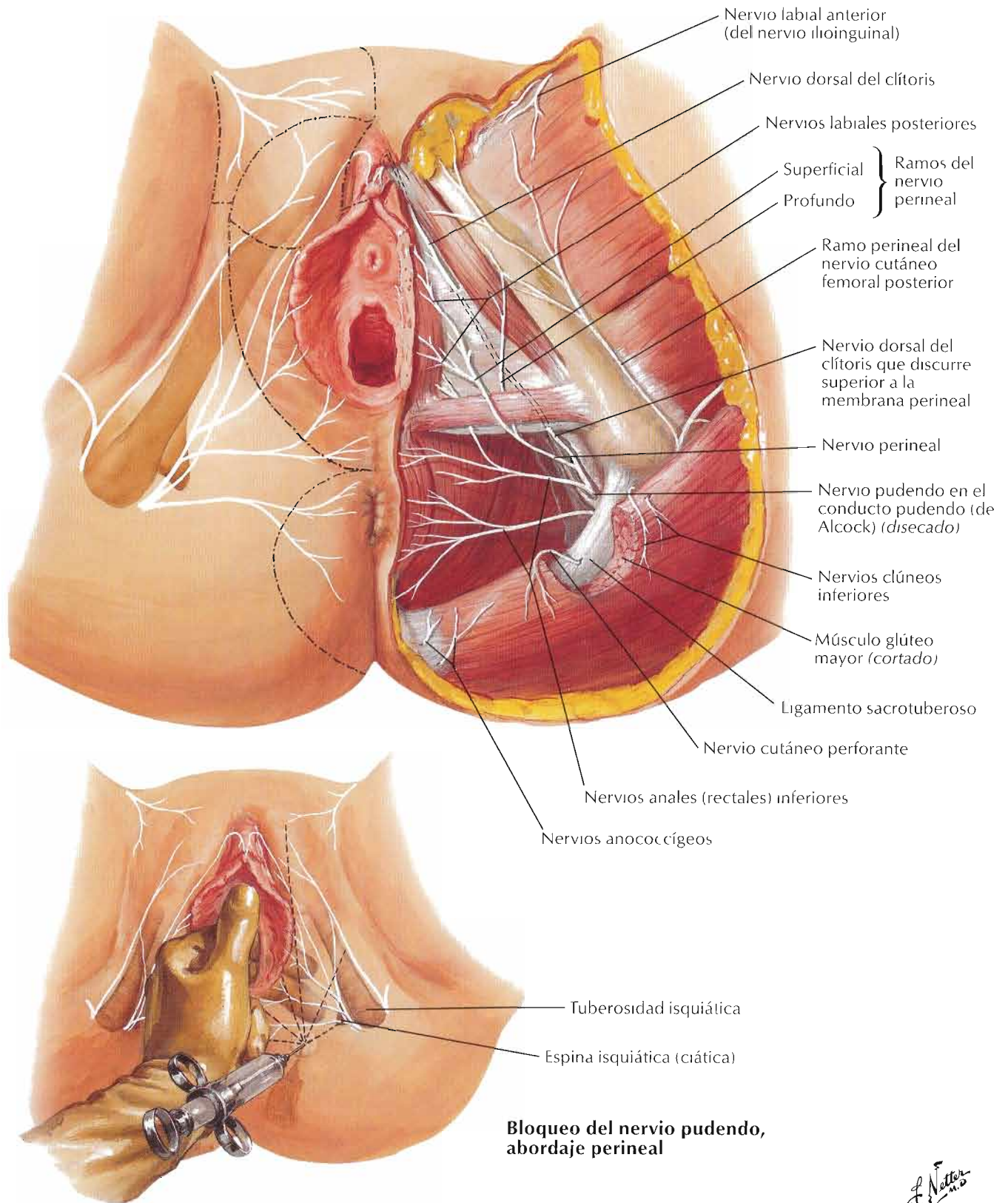
F. Netter
M.D.
C. Machado
H.D.



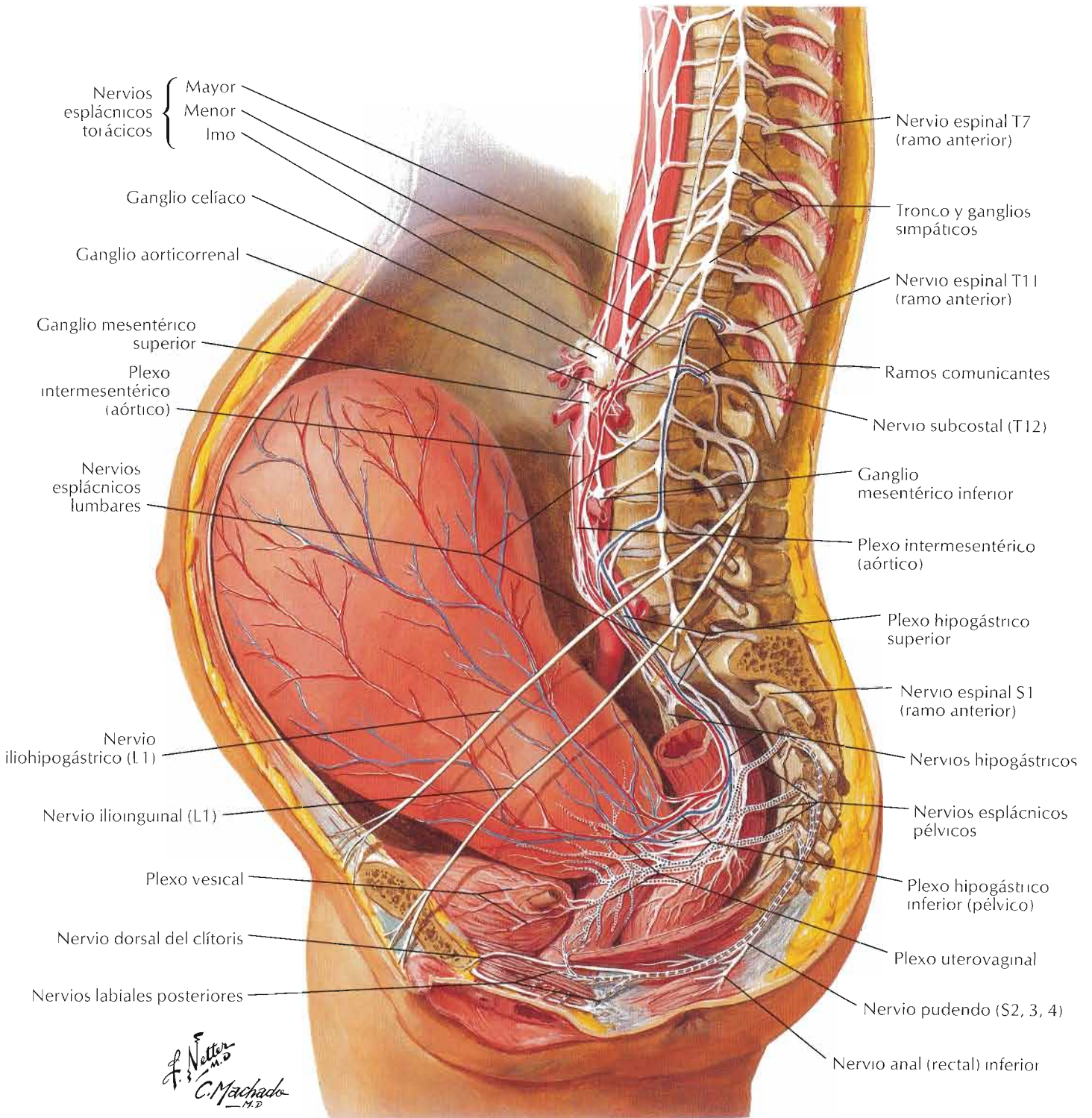
Véanse también láminas 165, 166, 318



F. Netter



Véanse también láminas 165, 166



— Las fibras sensitivas desde cuerpo y fondo del útero acompañan las fibras simpáticas via plexos hipogástricos hacia T11, 12 (L1, 2)

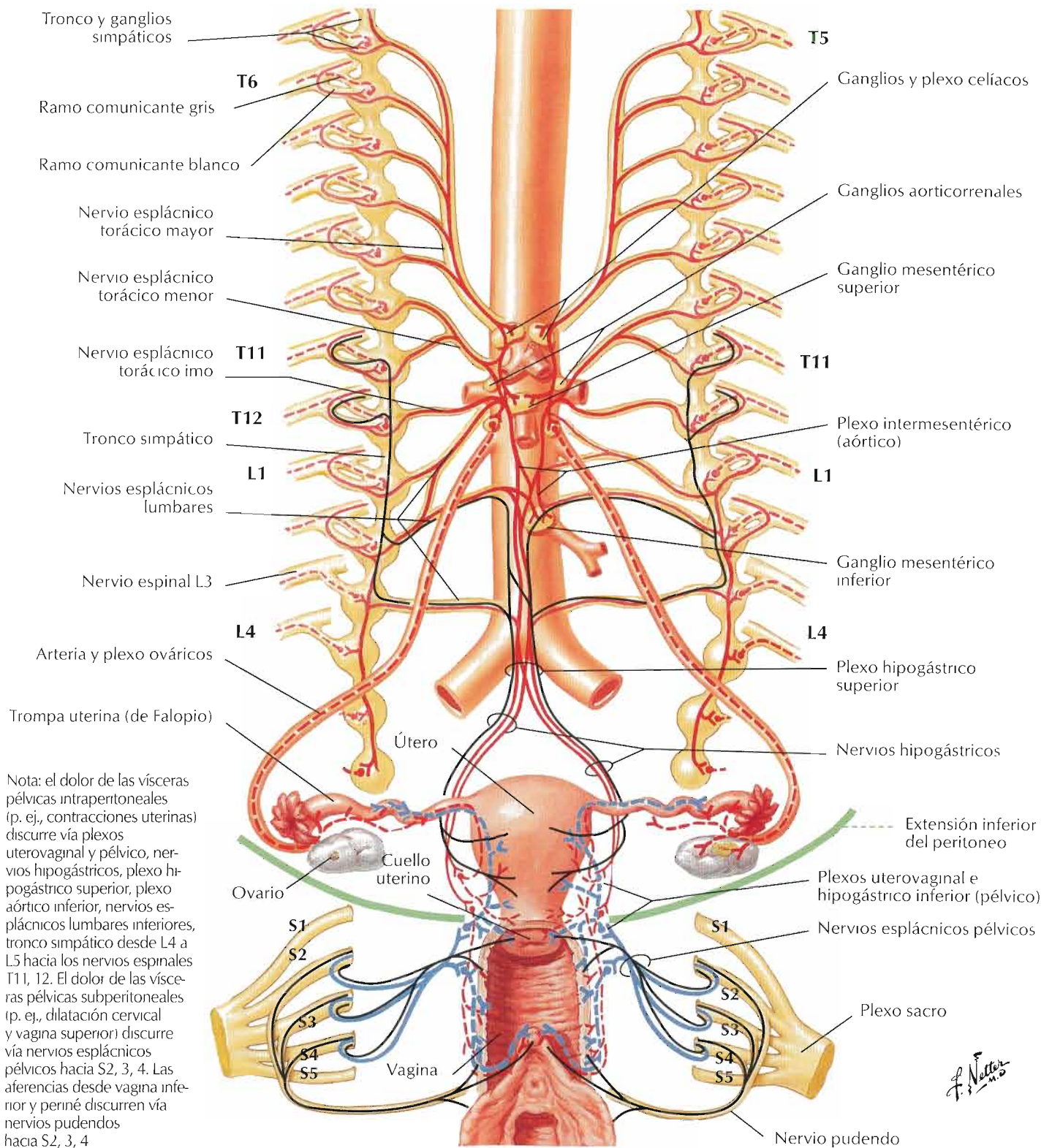
— Fibras motoras hacia el cuerpo y fondo del útero (simpáticas)

..... Las fibras sensitivas desde el cuello uterino y vagina superior acompañan los nervios espláncnicos pélvicos (parasimpáticos) hacia S2, 3, 4

..... Fibras motoras hacia el segmento uterino inferior, cuello y vagina superior (parasimpáticas)

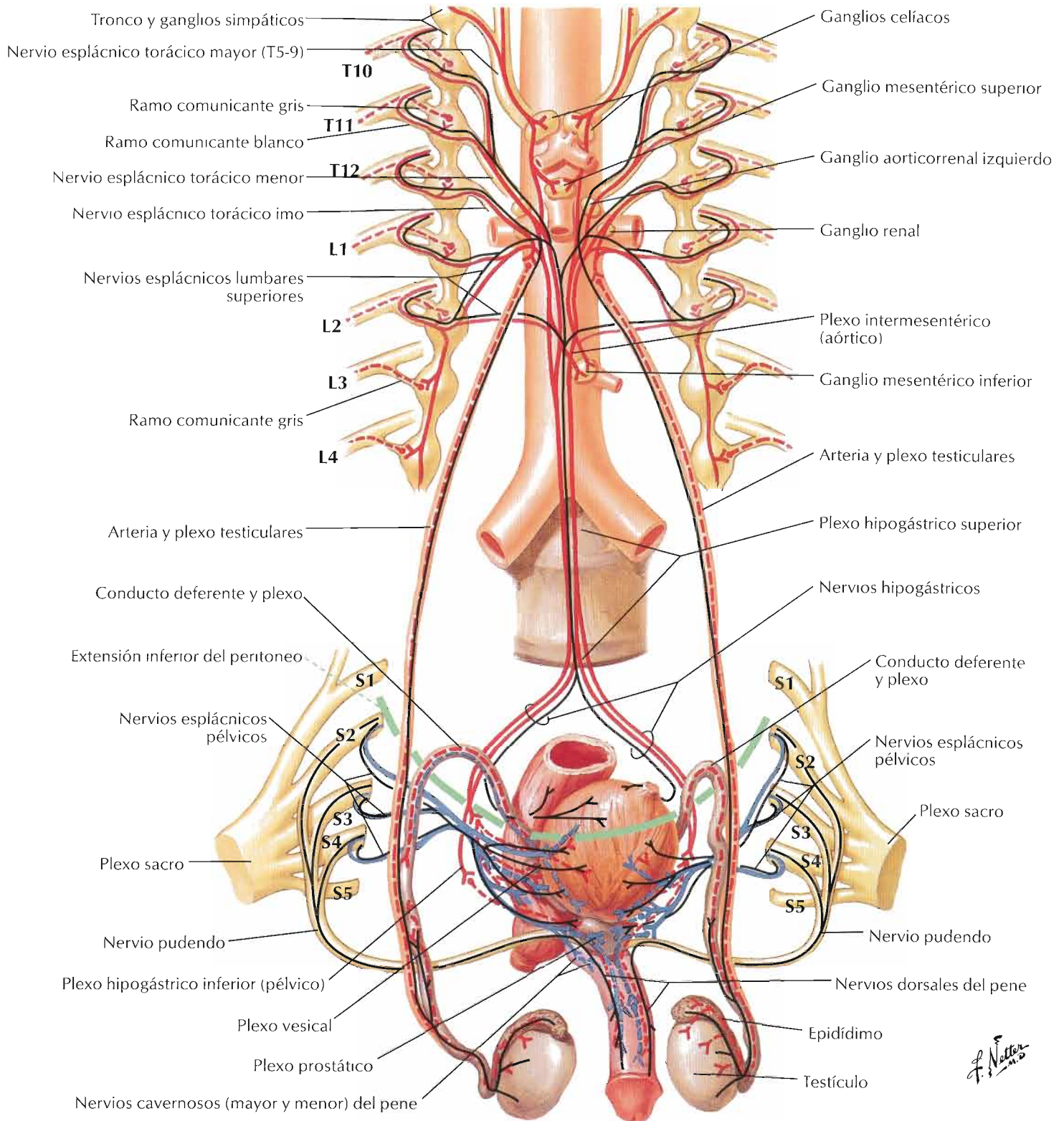
— Las fibras sensitivas desde la vagina inferior y periné acompañan las fibras somáticas via nervio pudendo hacia S2, 3, 4

— Fibras motoras hacia vagina inferior y periné via nervio pudendo (somático)



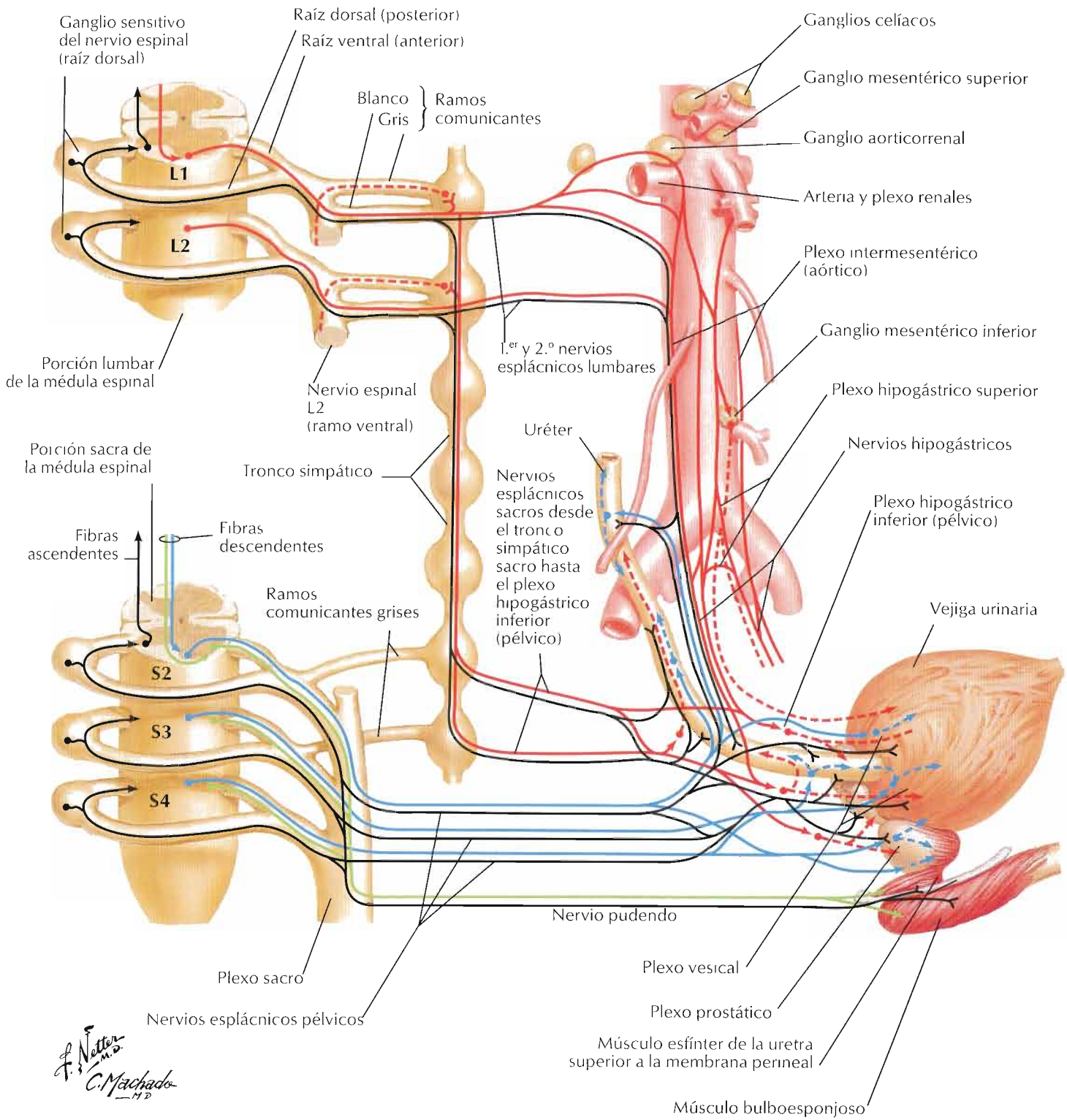
Fibras simpáticas	{ Preganglionares ——— Posganglionares - - - -	Fibras parasimpáticas	{ Preganglionares ——— Posganglionares - - - -	Fibras aferentes ———

Véanse también láminas 167, 168



F. J. Netto M.D.

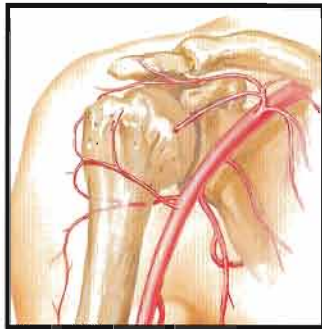
Fibras simpáticas	{ Preganglionares Posganglionares	—	Fibras parasimpáticas	{ Preganglionares Posganglionares	—	Fibras aferentes	—
		- - -			- - -		—



F. Natter M.D.
C. Machado

Fibras simpáticas	Preganglionares ——— Postganglionares - - - -	Fibras parasimpáticas	Preganglionares ——— Postganglionares - - - -	Fibras eferentes somáticas ———
				Fibras aferentes ———

Sección 6 Miembro superior



Anatomía de superficie

Lámina 418

418 Miembro superior

Hombro y axila

Láminas 419-430

- 419 Clavícula y articulación esternoclavicular
- 420 Húmero y escápula: visiones anteriores
- 421 Húmero y escápula: visiones posteriores
- 422 Hombro: radiografía anteroposterior
- 423 Articulación del hombro (glenohumeral)
- 424 Músculos del hombro
- 425 Músculos del manguito rotador
- 426 Disección escapulohumeral
- 427 Arteria axilar y anastomosis alrededor de la escápula
- 428 Fascias pectoral, clavipectoral y axilar
- 429 Axila (disección): visión anterior
- 430 Plexo braquial: esquema

Brazo

Láminas 431-435

- 431 Músculos del brazo: visiones anteriores
- 432 Músculos del brazo: visiones posteriores
- 433 Arteria braquial in situ
- 434 Arteria braquial y anastomosis alrededor del codo
- 435 Brazo: secciones transversales seriadas

Miembro superior

Codo y antebrazo

Láminas 436-451

- 436 Huesos del codo
- 437 Codo: radiografías
- 438 Ligamentos del codo
- 439 Huesos del antebrazo
- 440 Músculos individualizados del antebrazo: rotadores del radio
- 441 Músculos individualizados del antebrazo: extensores del carpo y dedos
- 442 Músculos individualizados del antebrazo: flexores del carpo
- 443 Músculos individualizados del antebrazo: flexores de los dedos
- 444 Músculos del antebrazo (plano superficial): visión posterior
- 445 Músculos del antebrazo (plano profundo): visión posterior
- 446 Músculos del antebrazo (plano superficial): visión anterior
- 447 Músculos del antebrazo (plano intermedio): visión anterior
- 448 Músculos del antebrazo (plano profundo): visión anterior
- 449 Antebrazo: secciones transversales seriadas
- 450 Inserciones de los músculos del antebrazo: visión anterior
- 451 Inserciones de los músculos del antebrazo: visión posterior

Carpo y mano

Láminas 452-471

- 452 Huesos del carpo
- 453 Movimientos del carpo
- 454 Ligamentos del carpo
- 455 Ligamentos del carpo (*continuación*)
- 456 Huesos del carpo y mano
- 457 Carpo y mano: radiografía anteroposterior
- 458 Ligamentos metacarpofalángicos e interfalángicos
- 459 Carpo y mano: disecciones palmares superficiales

- 460 Carpo y mano: disecciones palmares profundas
- 461 Tendones flexores, arterias y nervios en el carpo
- 462 Bolsas, espacios y vainas tendinosas de la mano
- 463 Músculos lumbricales y bolsas, espacios y vainas: esquema
- 464 Tendones flexores y extensores en los dedos
- 465 Músculos intrínsecos de la mano
- 466 Arterias y nervios de la mano: visiones palmares
- 467 Carpo y mano: disección radial superficial
- 468 Carpo y mano: disección dorsal superficial
- 469 Carpo y mano: disección dorsal profunda
- 470 Tendones de los extensores del carpo
- 471 Dedos

Inervación y vasculatura

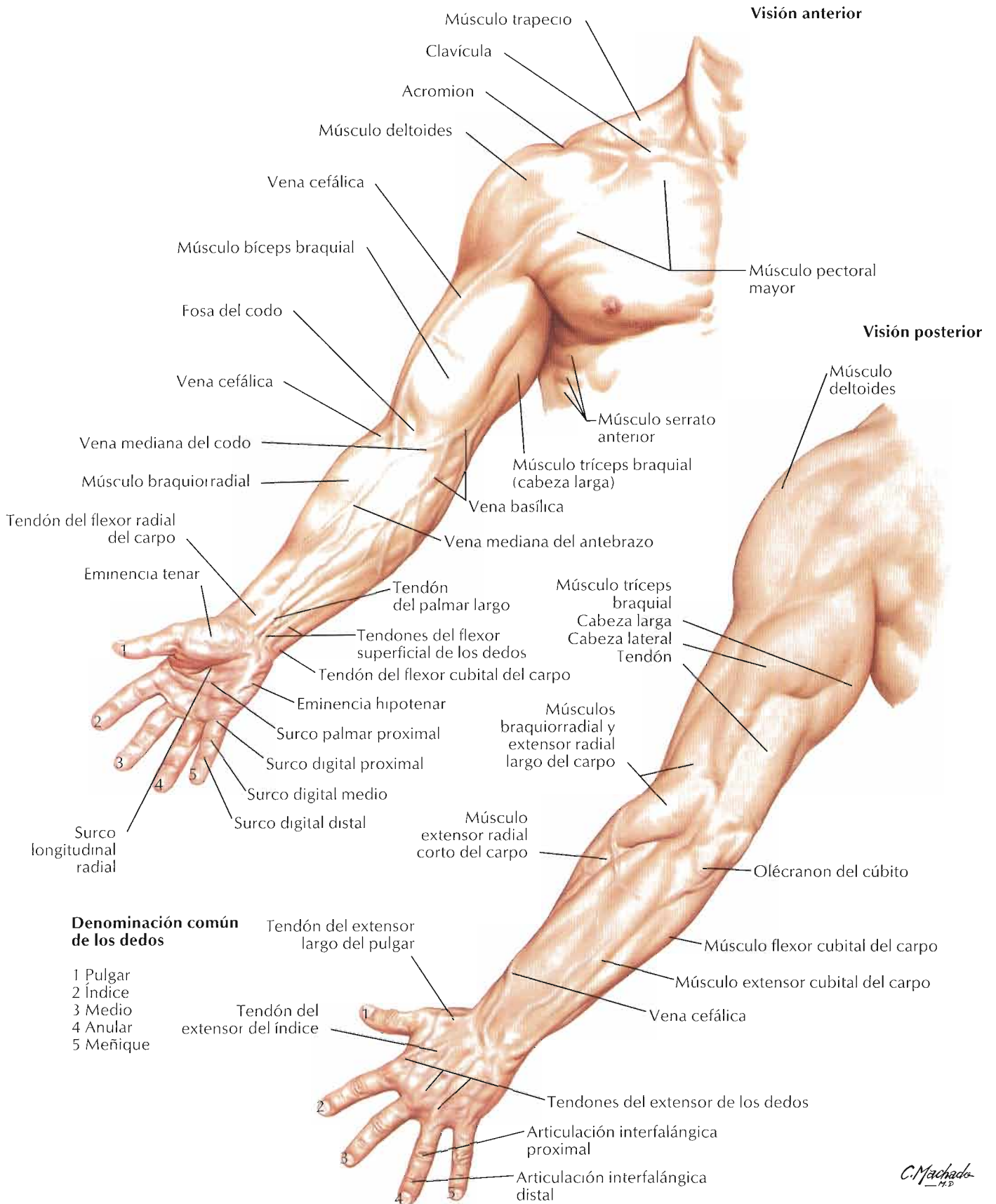
Láminas 472-483

- 472 Inervación cutánea del carpo y mano
- 473 Arterias y nervios del miembro superior
- 474 Nervio musculocutáneo
- 475 Nervio mediano
- 476 Nervio cubital
- 477 Nervio radial en el brazo y nervios posteriores del hombro
- 478 Nervio radial en el antebrazo
- 479 Nervios cutáneos y venas superficiales del hombro y brazo
- 480 Nervios cutáneos y venas superficiales del antebrazo
- 481 Inervación cutánea del miembro superior
- 482 Dermatomas del miembro superior
- 483 Vasos y nódulos linfáticos del miembro superior

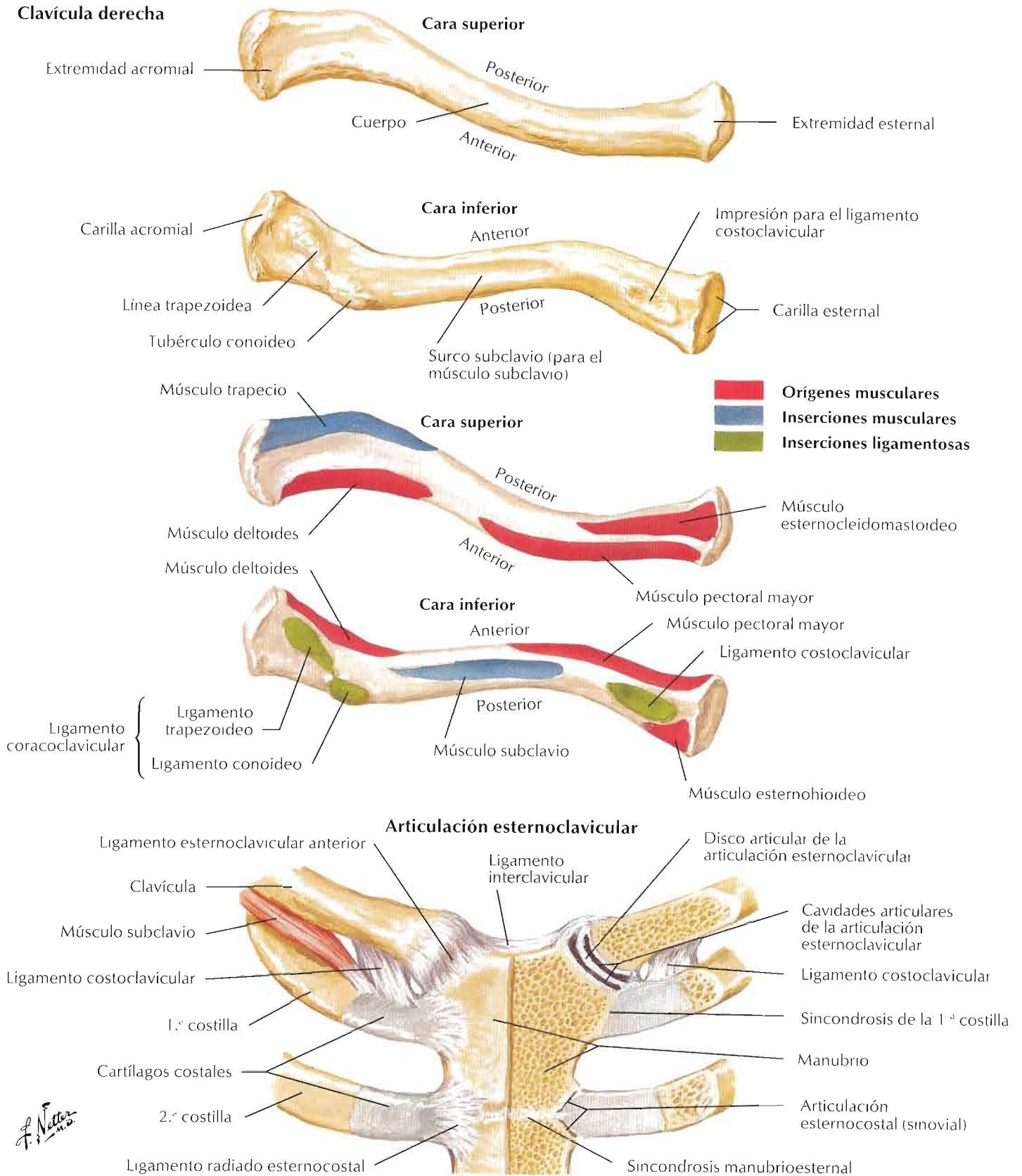
Exploraciones regionales

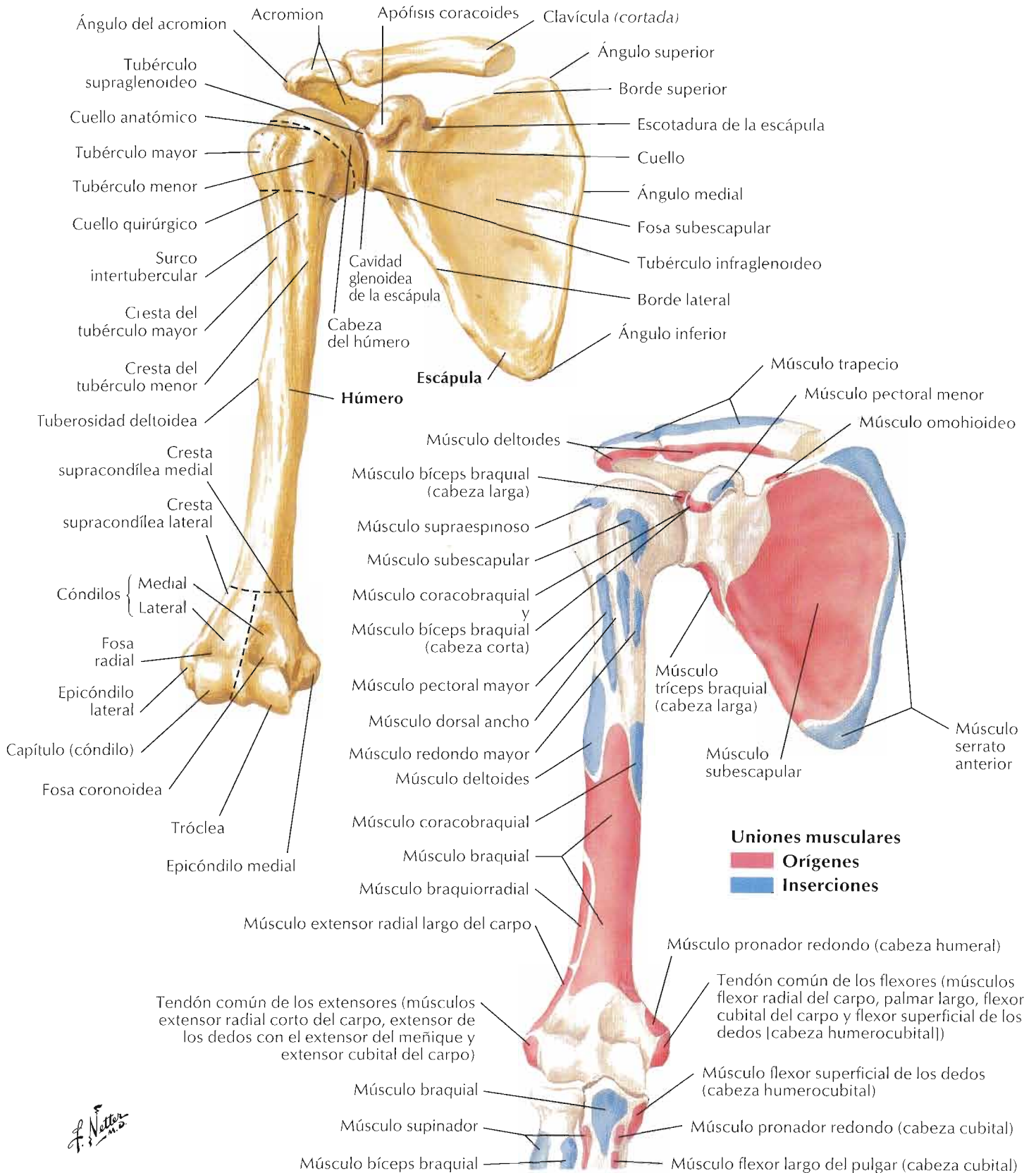
Lámina 484

- 484 TC de arteriografías del miembro superior



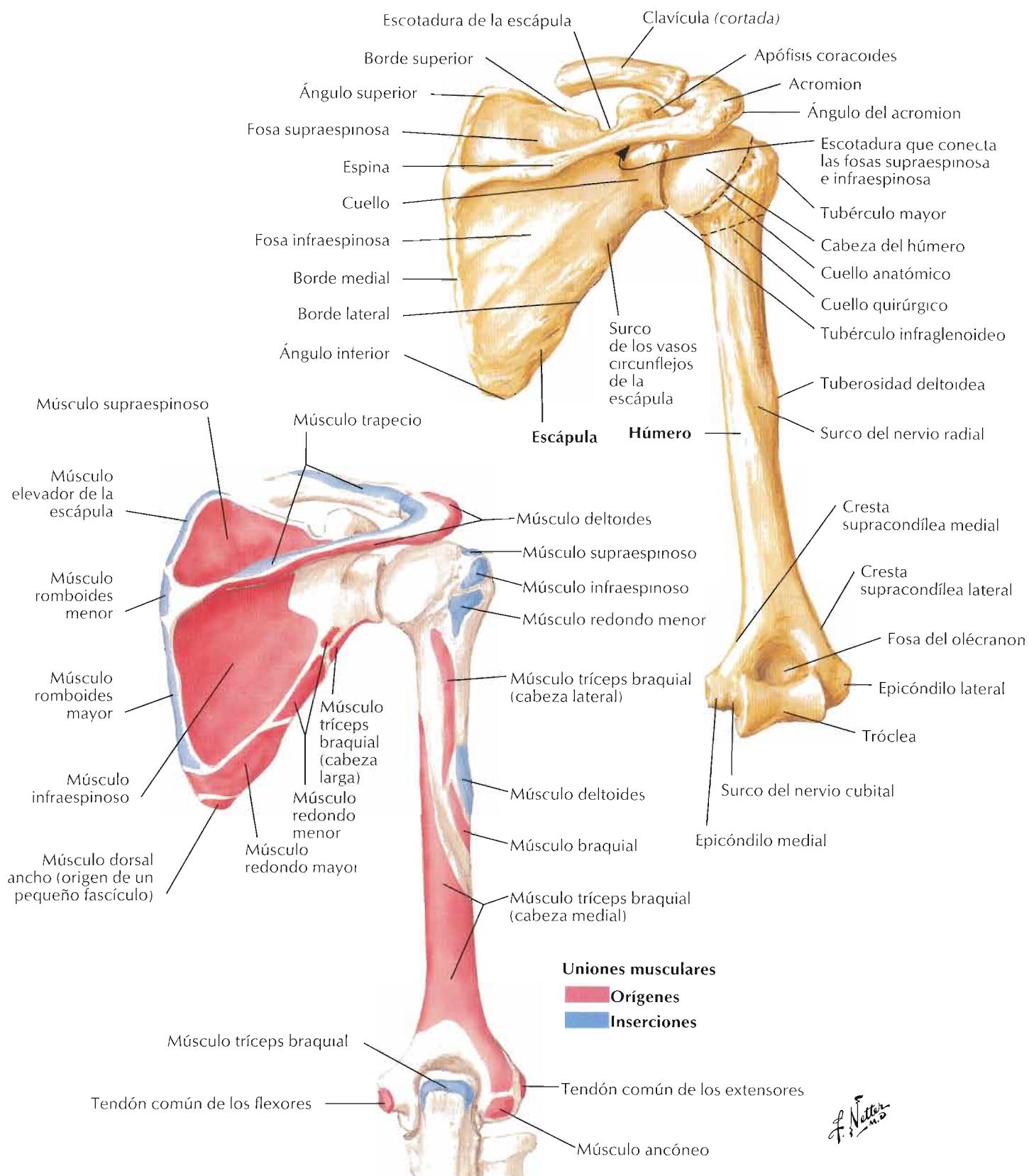
Clavícula derecha



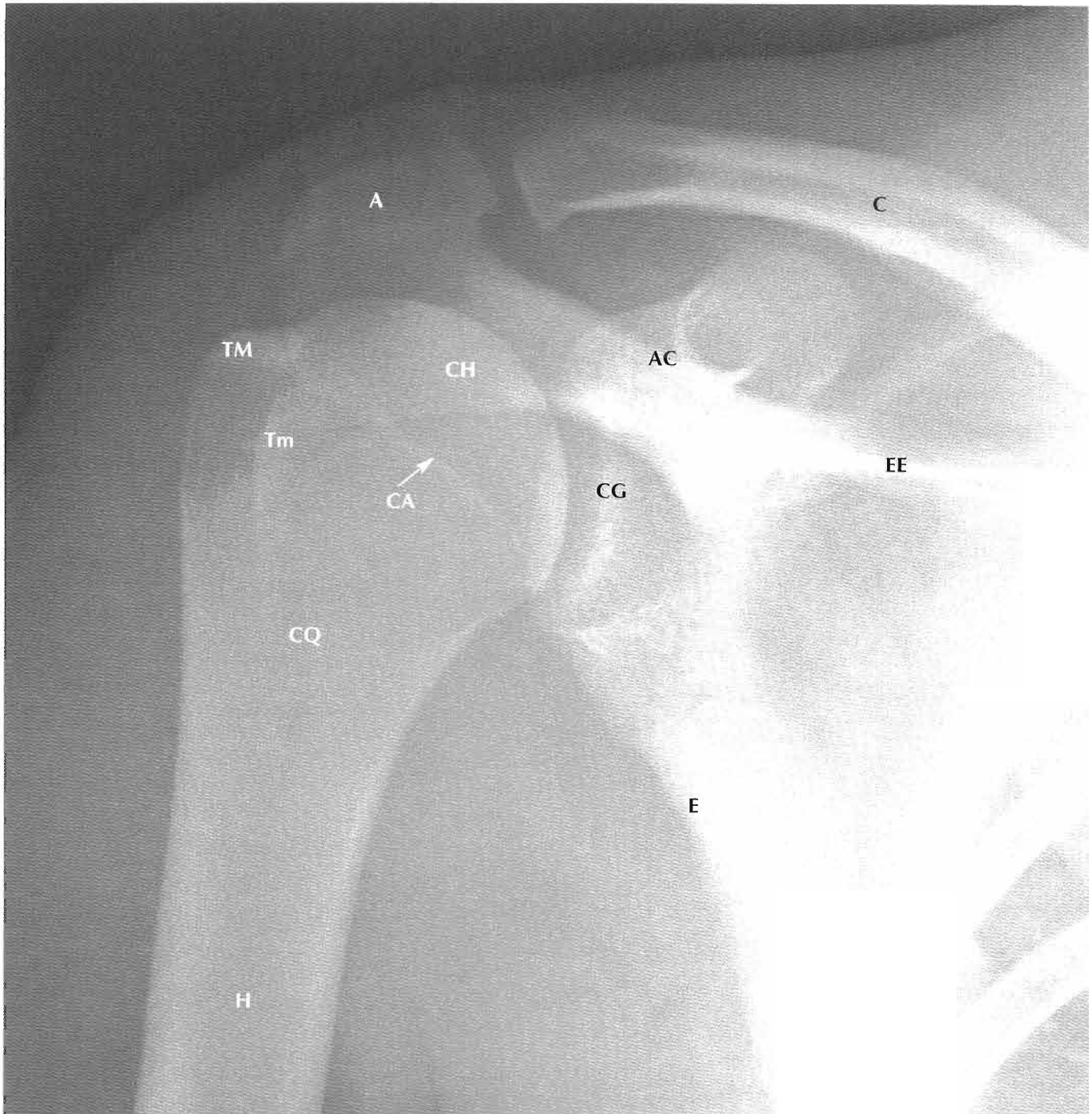


F. Netter M.D.

Véase también lámina 185



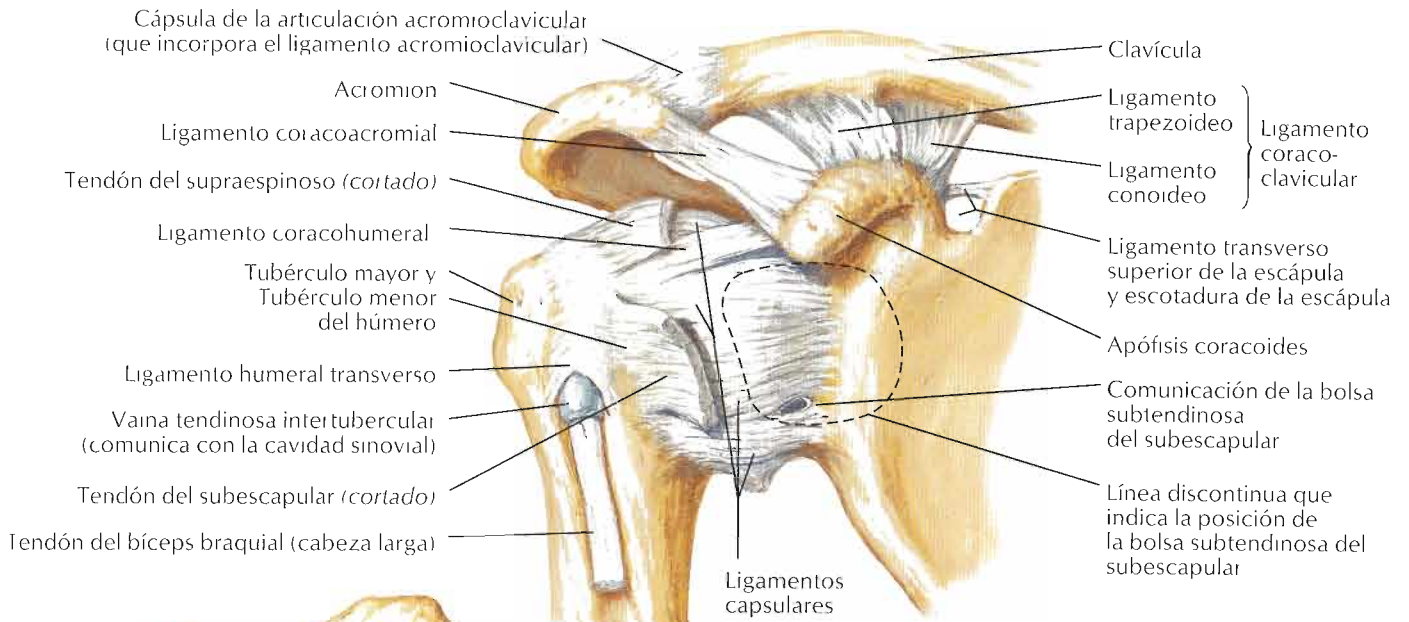
F. Netter
M.D.



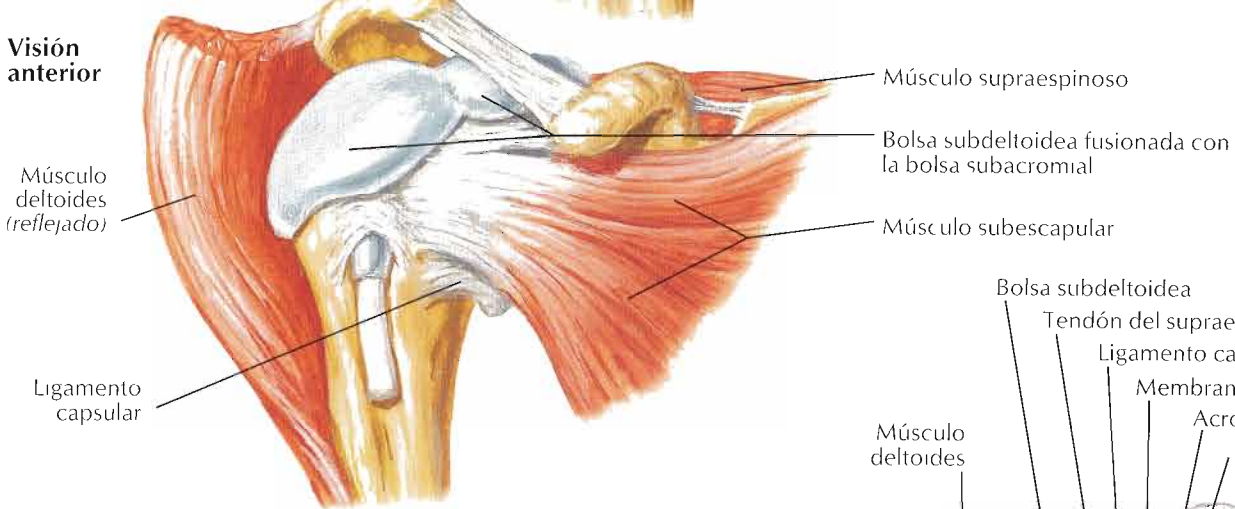
- A Acromion
- AC Apófisis coracoides
- C Clavícula
- CA Cuello anatómico del húmero
- CG Cavidad glenoidea de la escápula
- CH Cabeza del húmero
- CQ Cuello quirúrgico del húmero
- E Escápula (borde lateral)
- EE Espina de la escápula
- H Húmero
- Tm Tubérculo menor
- TM Tubérculo mayor

Articulación del hombro (glenohumeral)

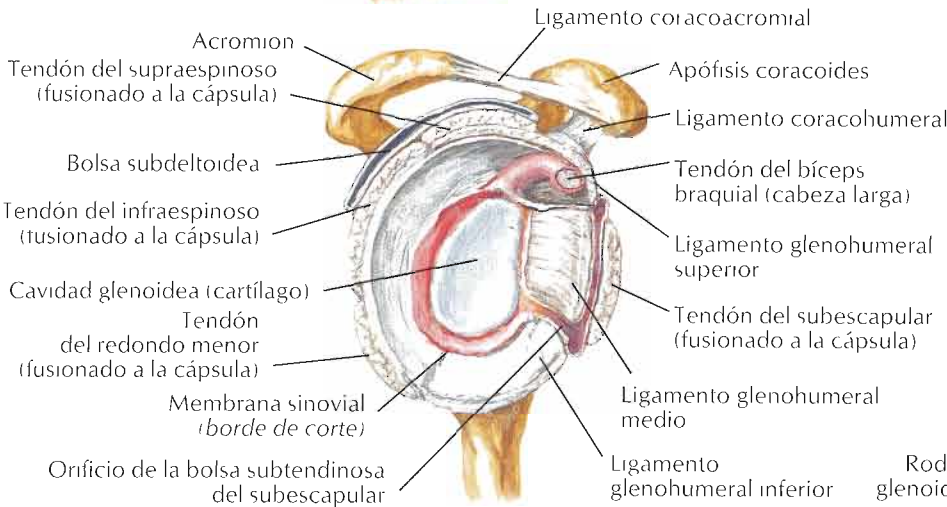
Visión anterior



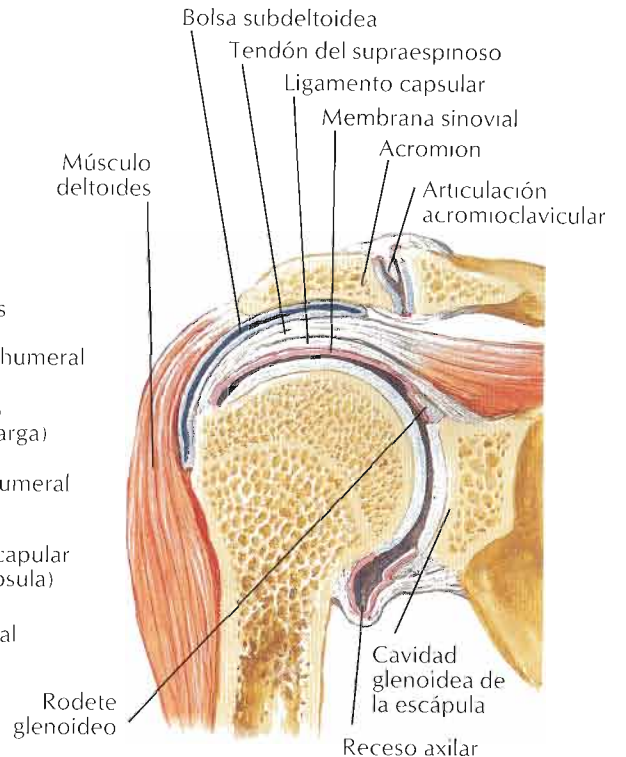
Visión anterior



F. Netter M.D.



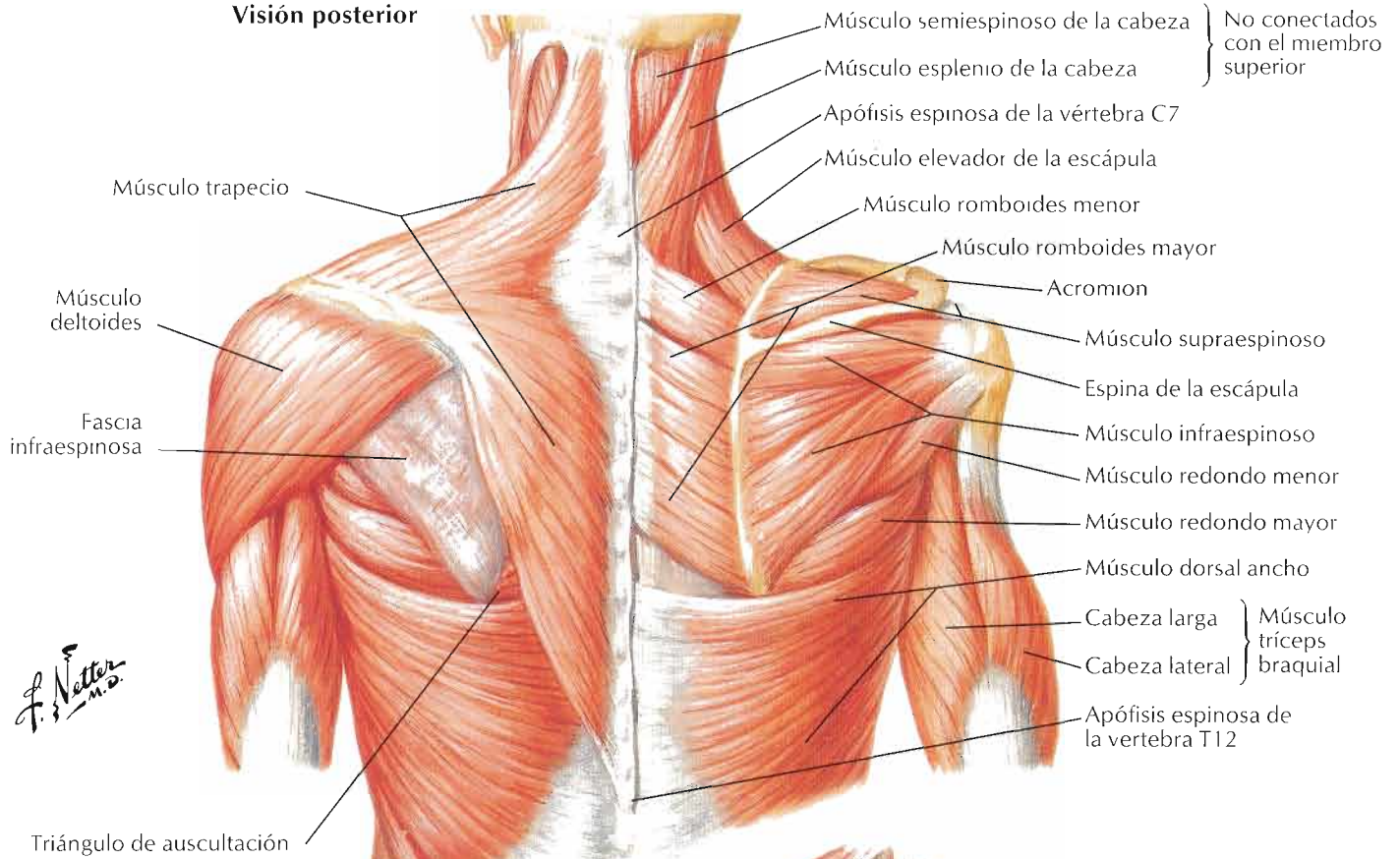
Articulación abierta: visión lateral



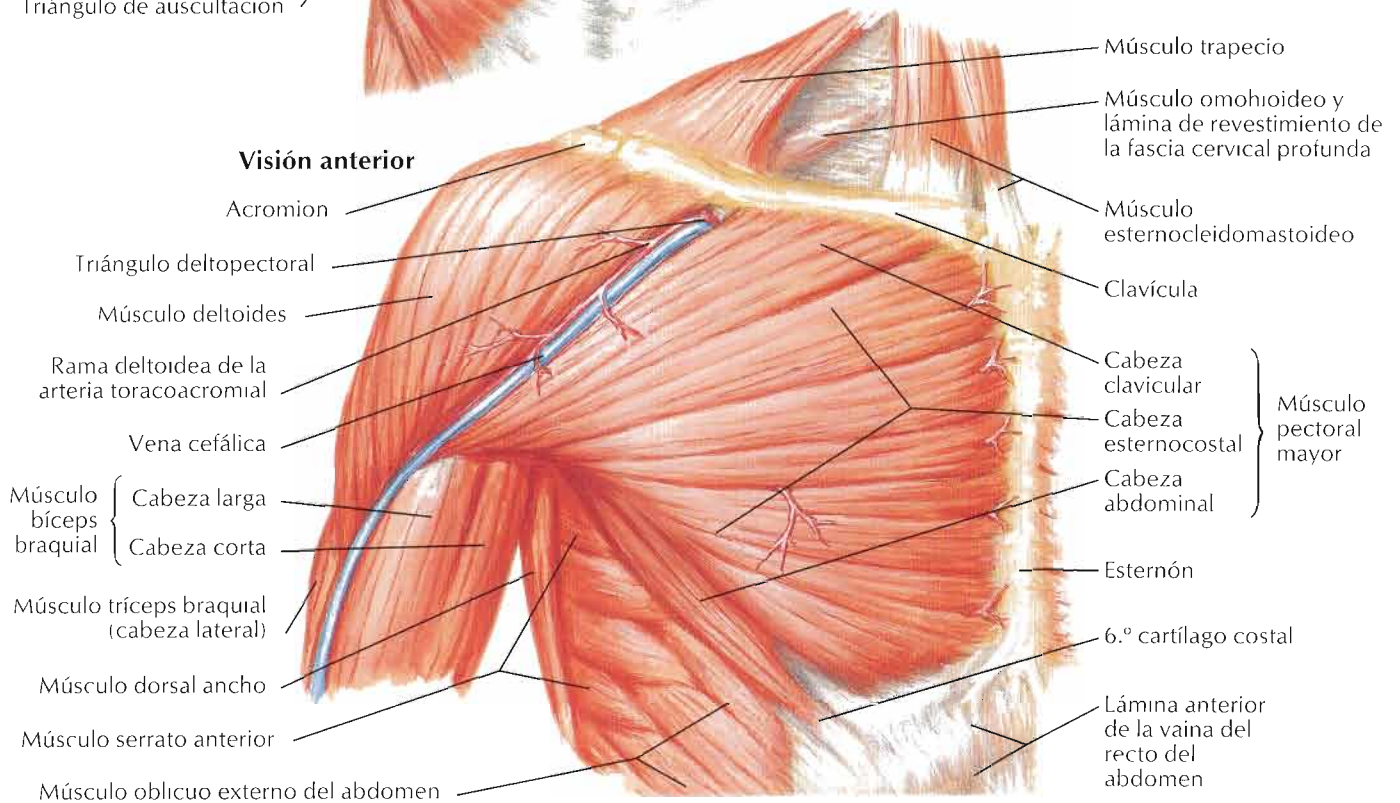
Sección coronal a través de la articulación

Véanse también láminas 27, 174, 188, 189

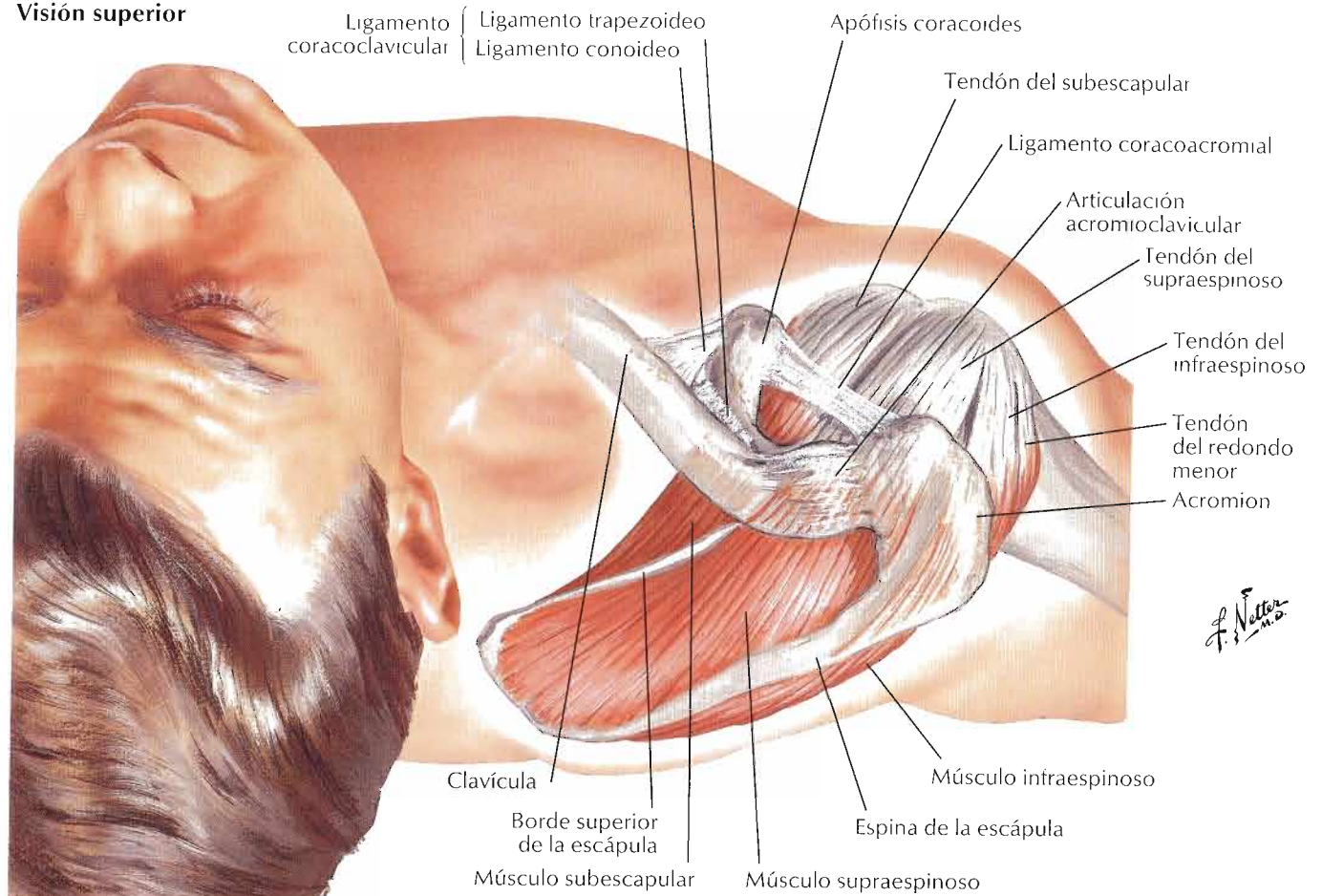
Visión posterior



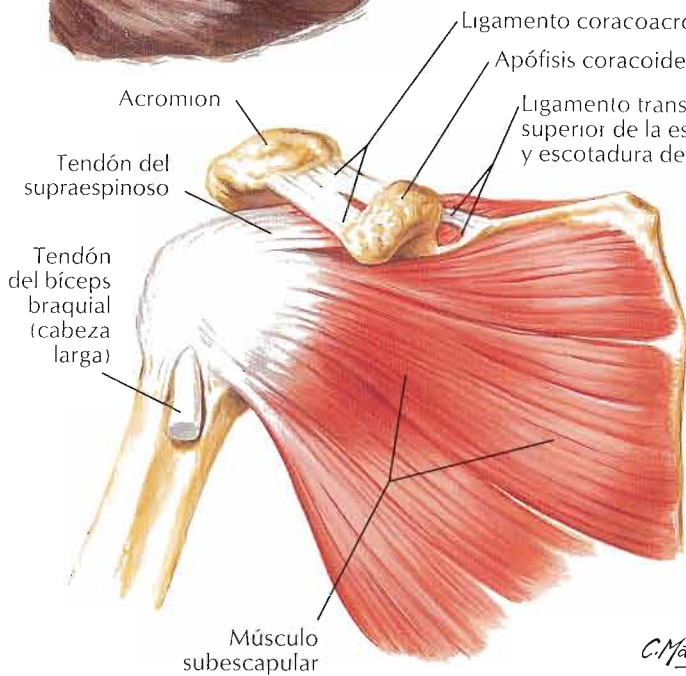
Visión anterior



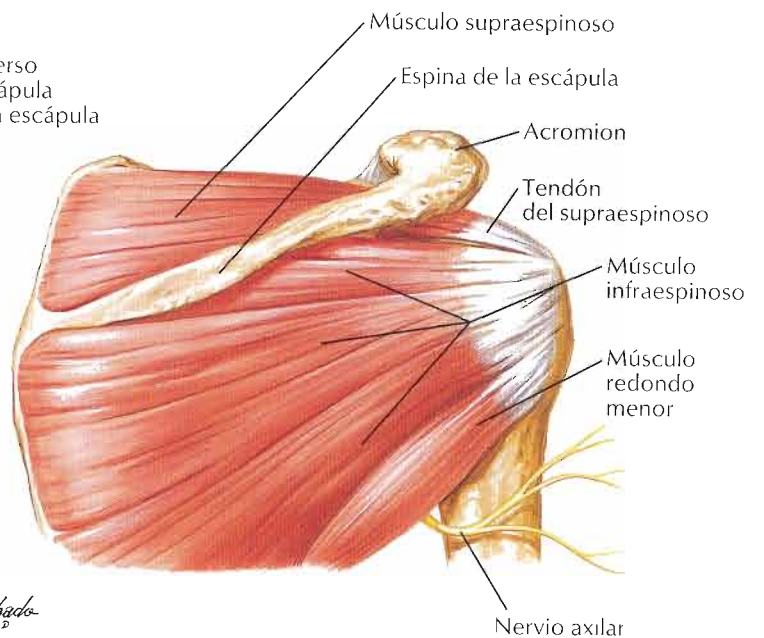
Visión superior



F. Netto

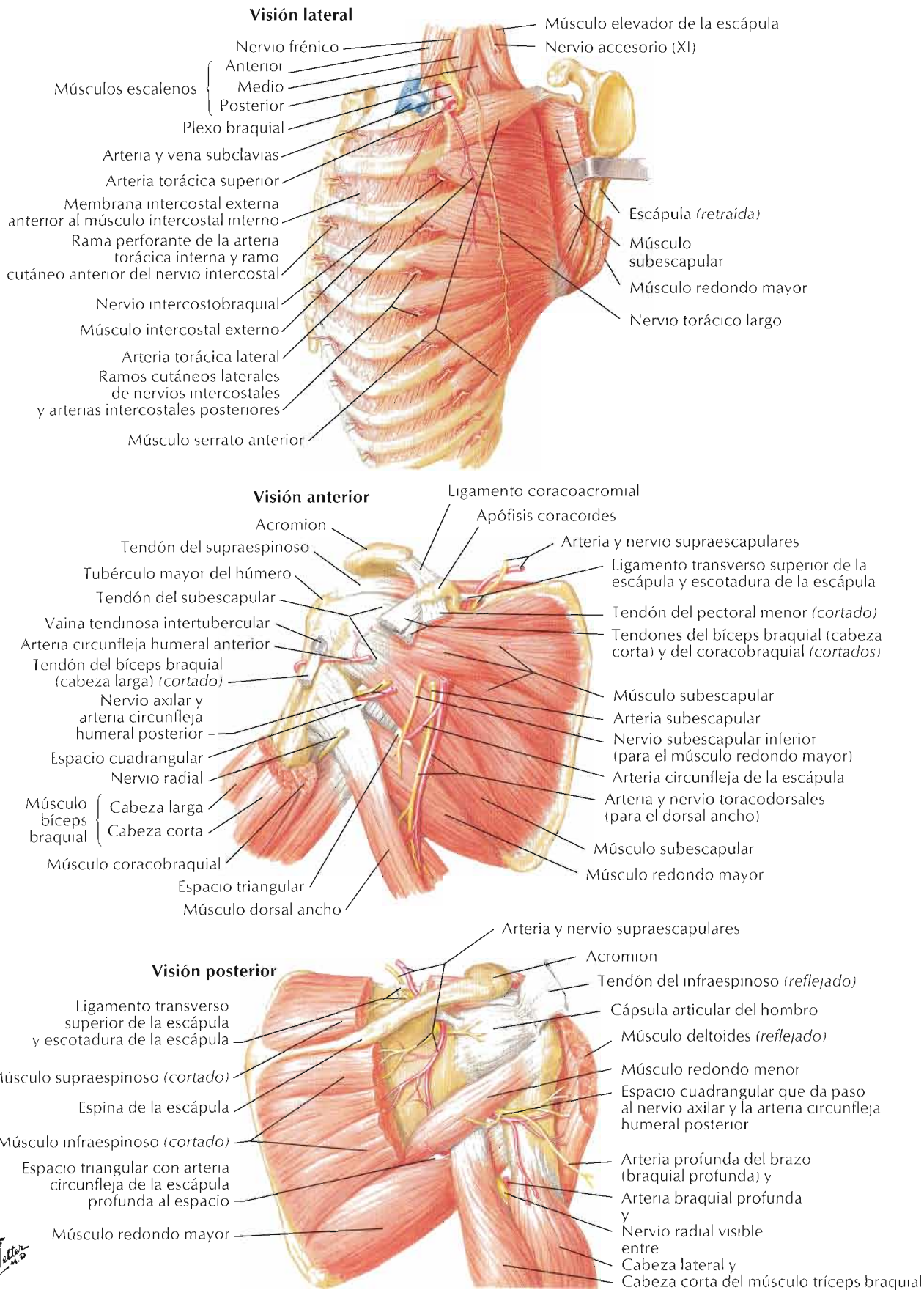


Visión anterior



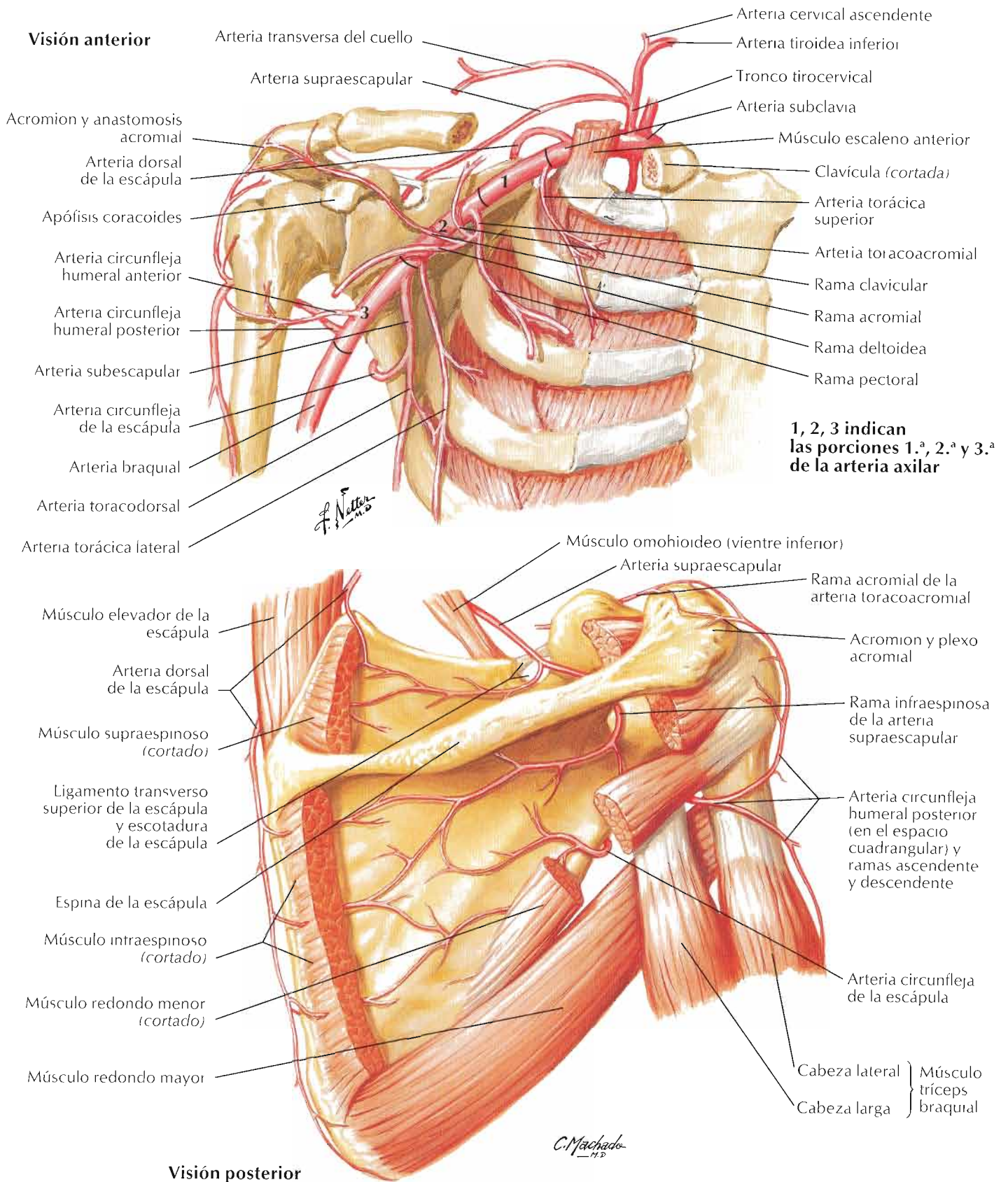
Visión posterior

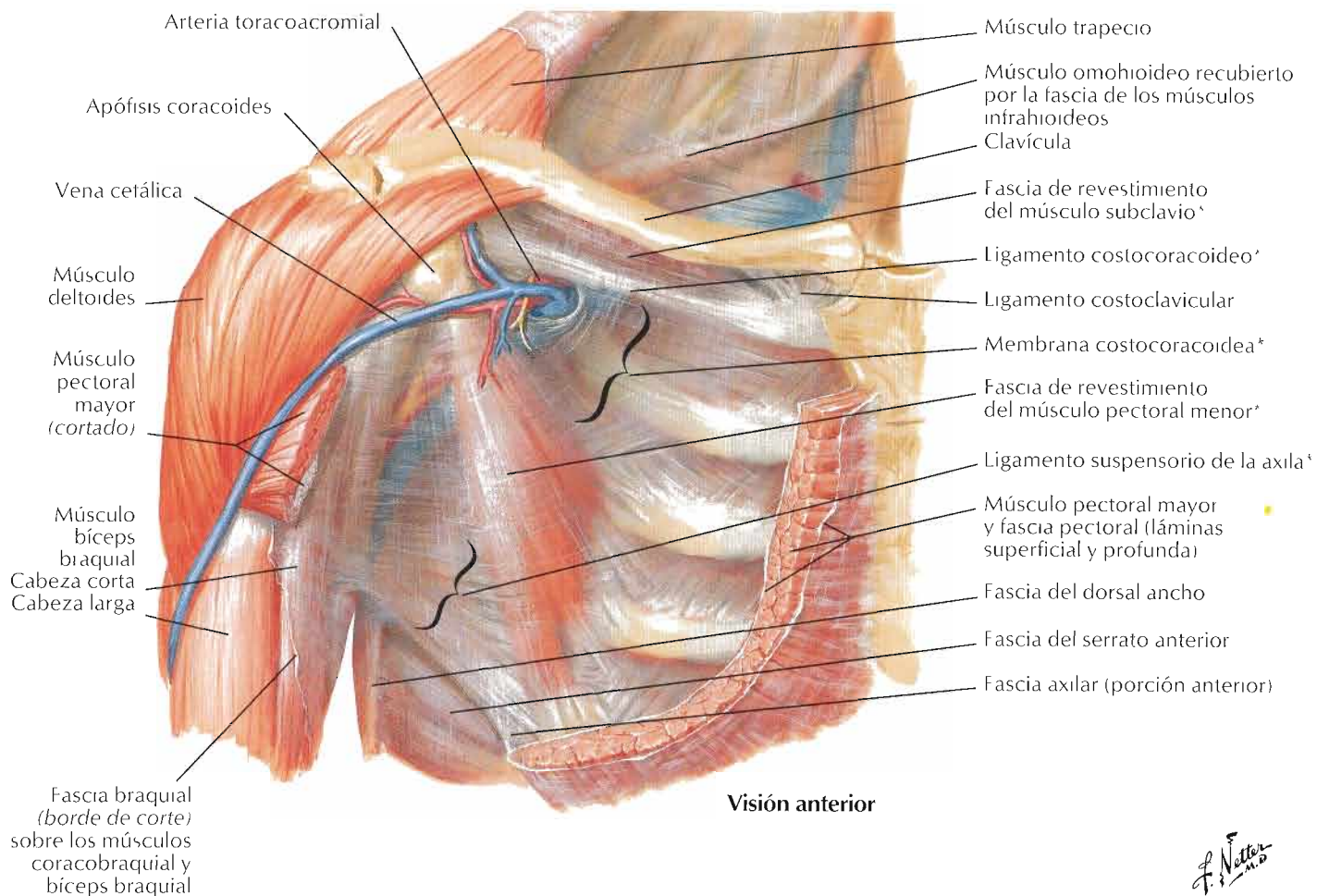
C. Machado



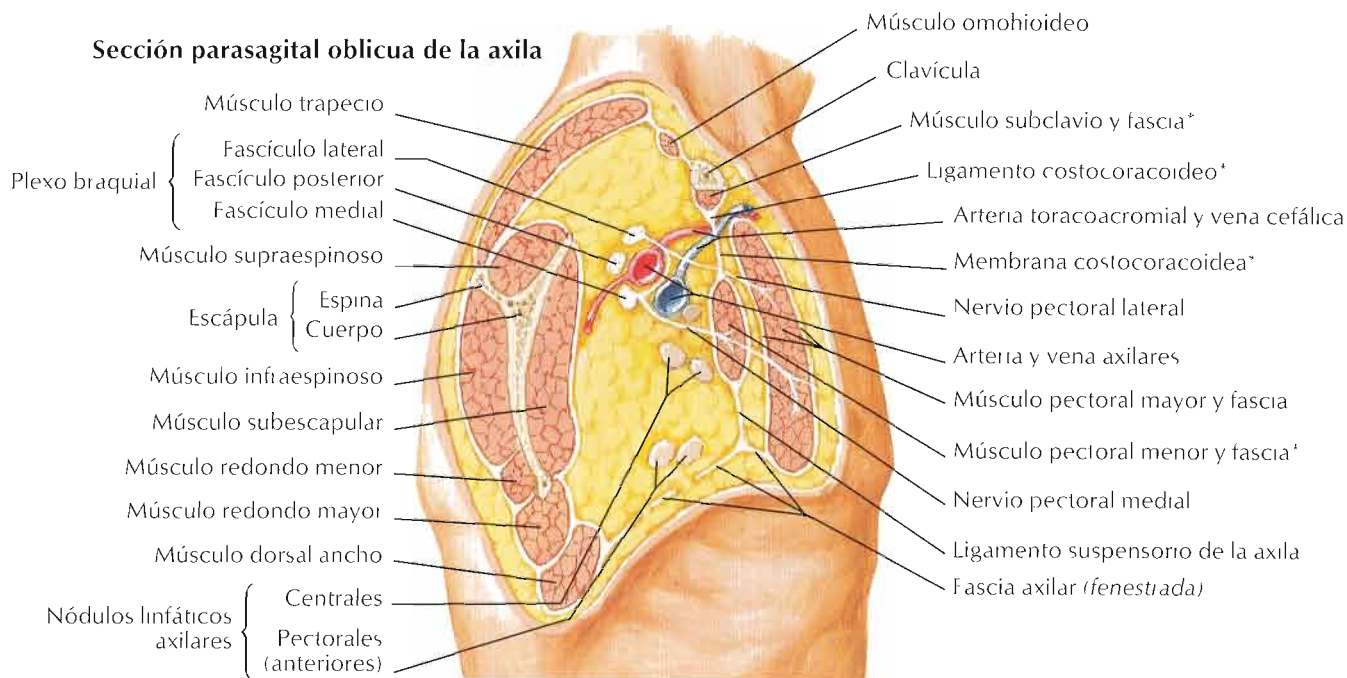
Arteria axilar y anastomosis alrededor de la escápula

Véanse también láminas 33, 434



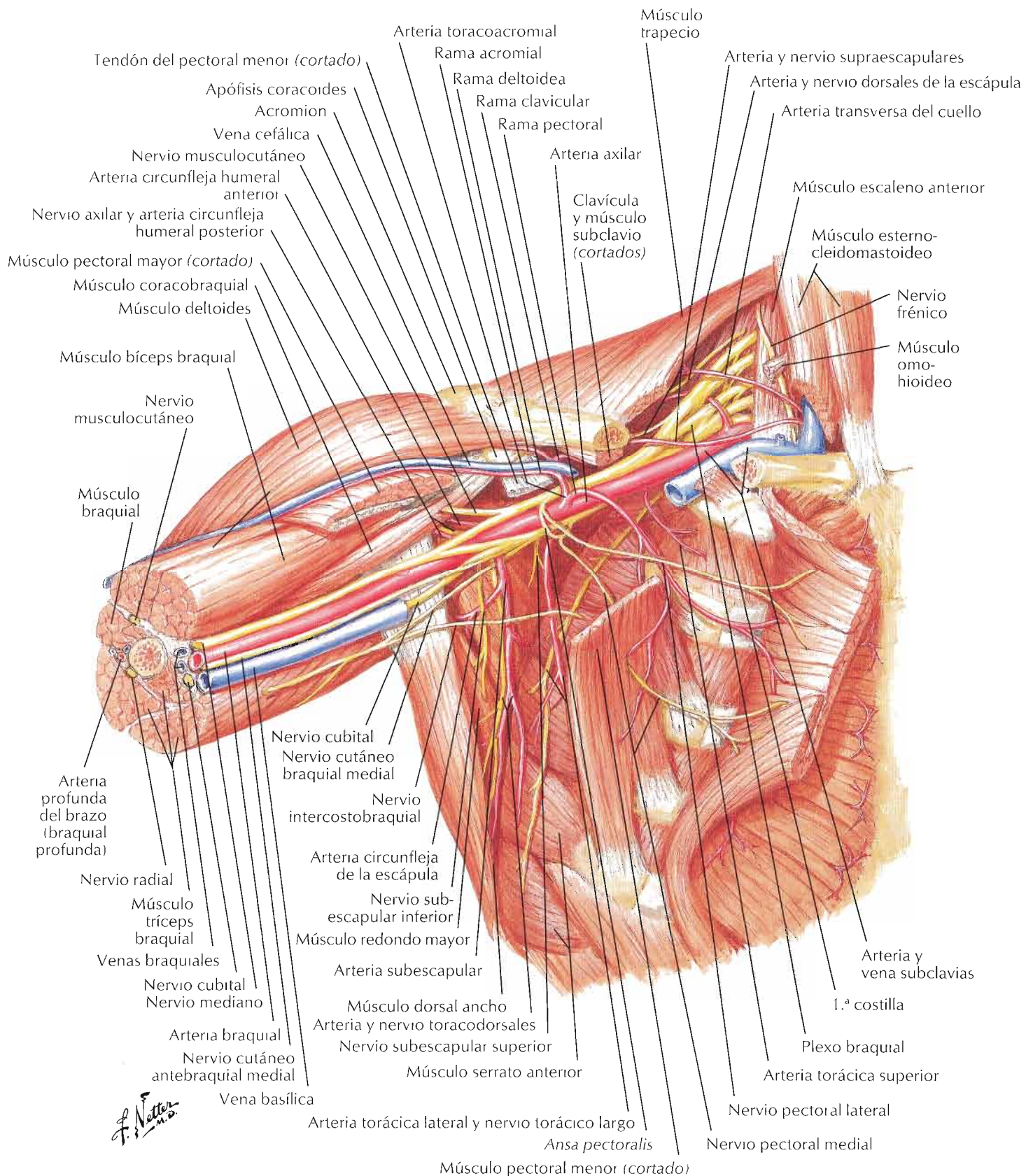


Sección parasagital oblicua de la axila

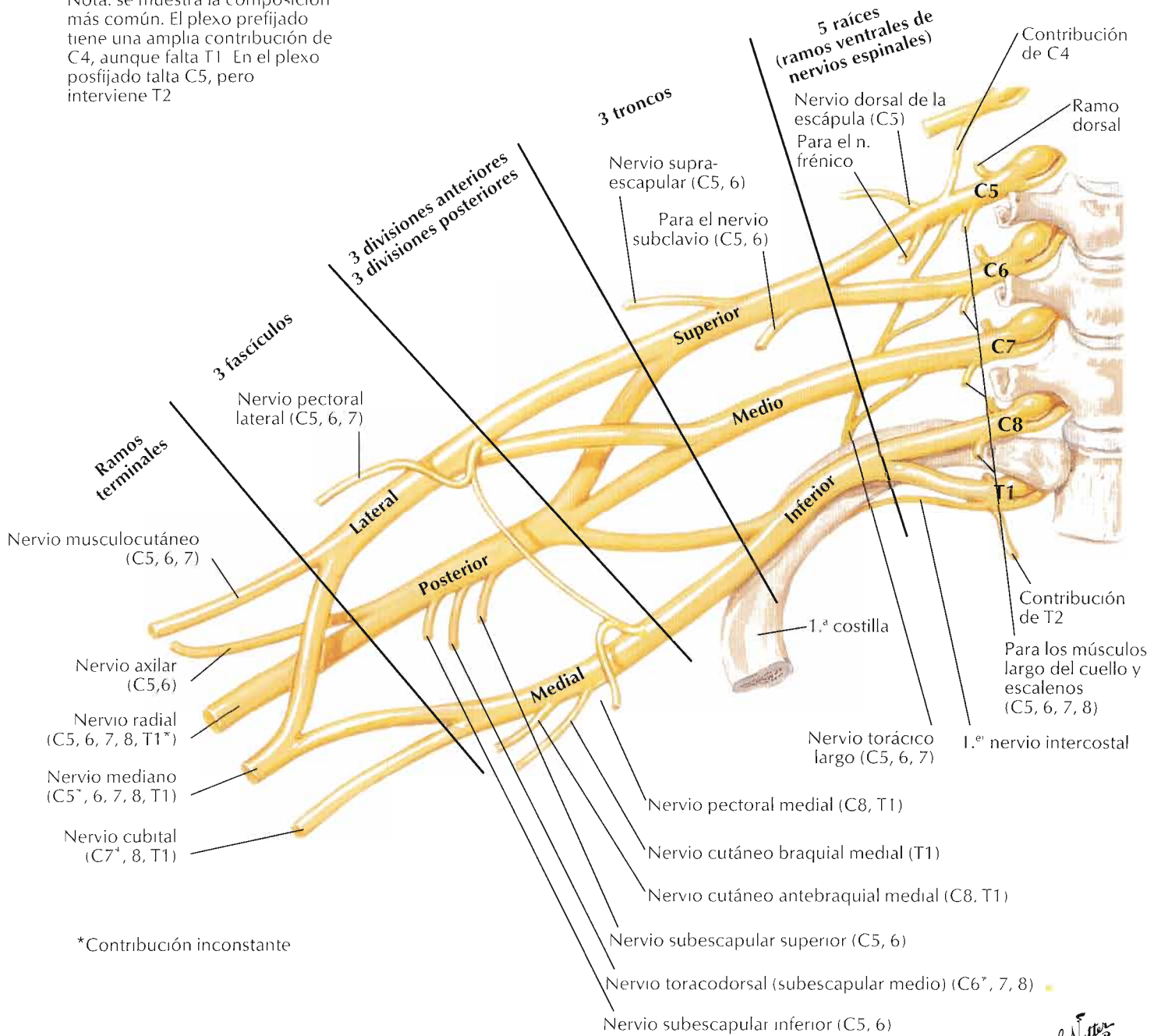


*Componentes de la fascia clavipectoral

Axila (disección): visión anterior

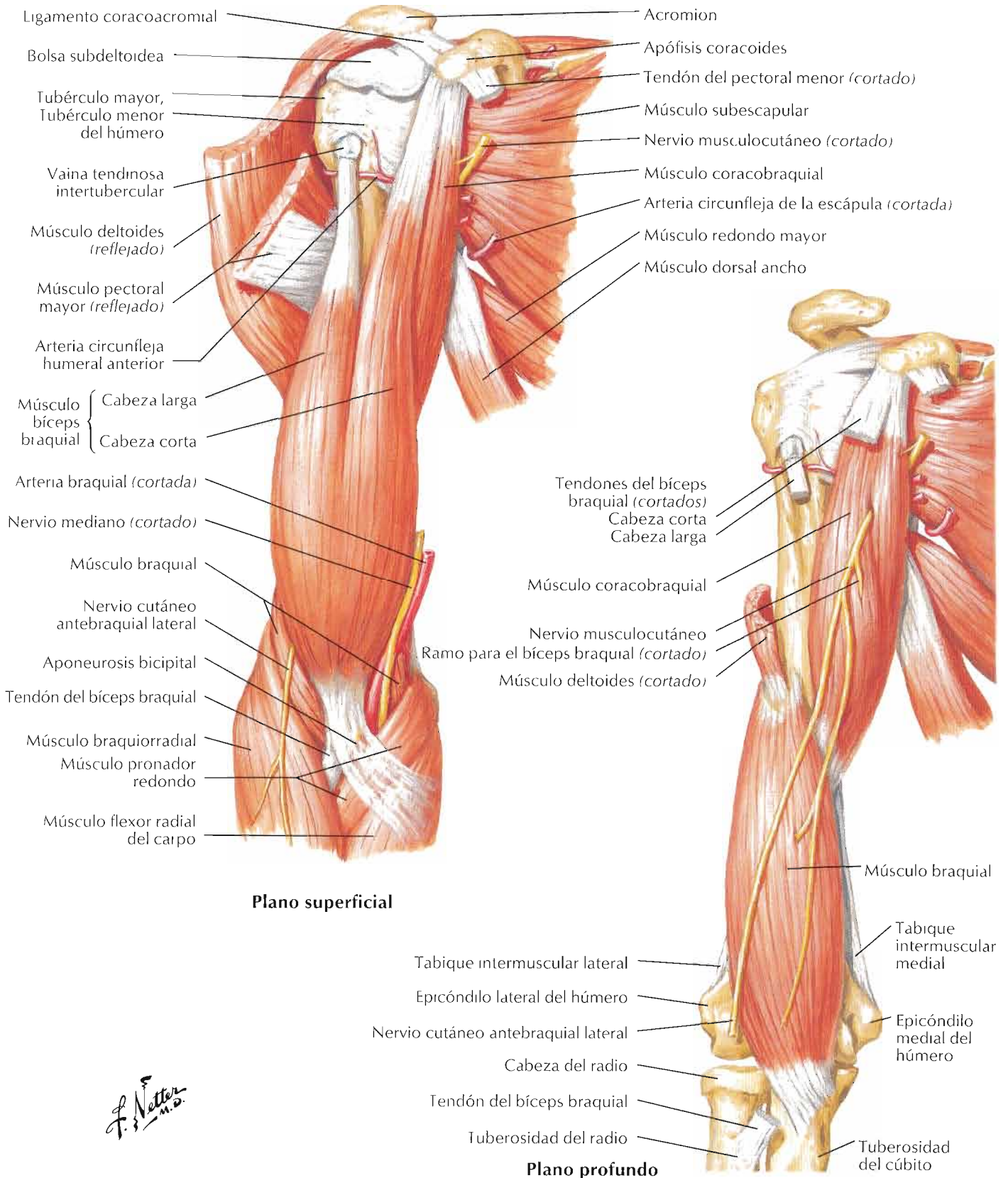


Nota: se muestra la composición más común. El plexo prefijado tiene una amplia contribución de C4, aunque falta T1. En el plexo posfijado falta C5, pero interviene T2.



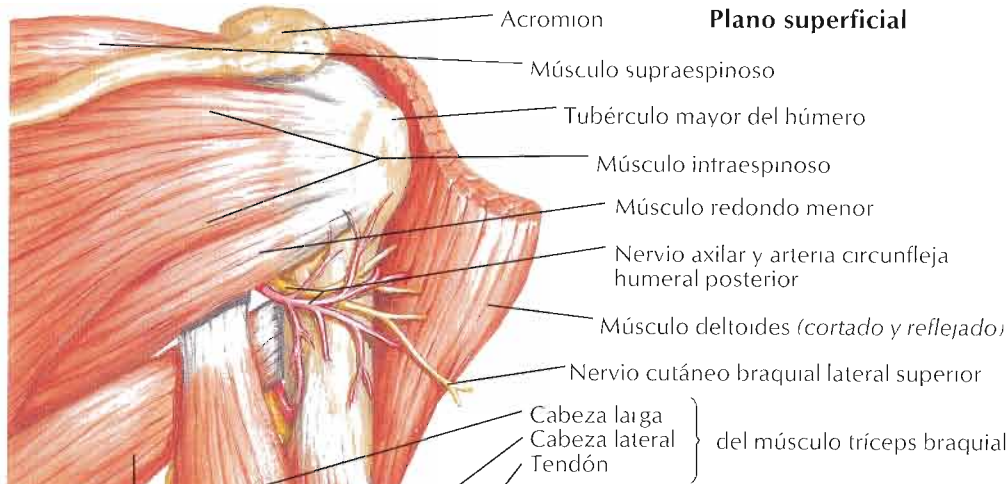
F. Netter M.D.

Véase también lámina 474

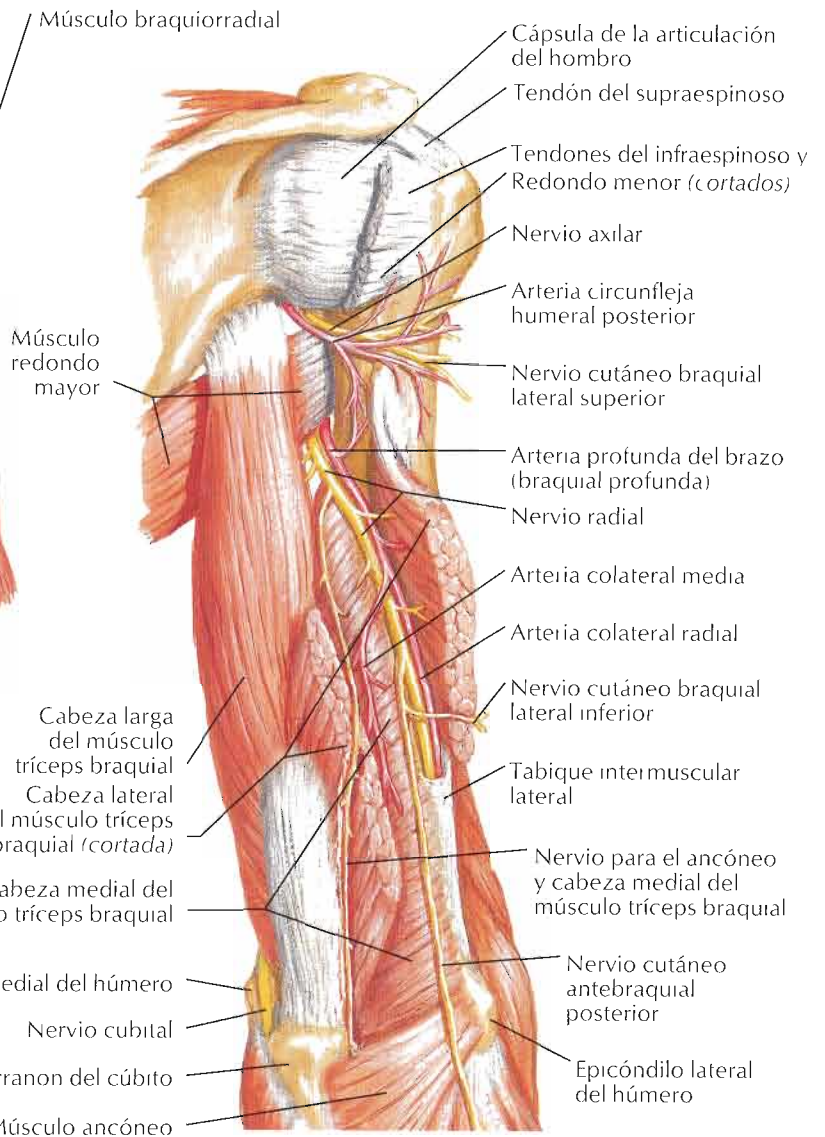


F. Netter M.D.

Plano superficial

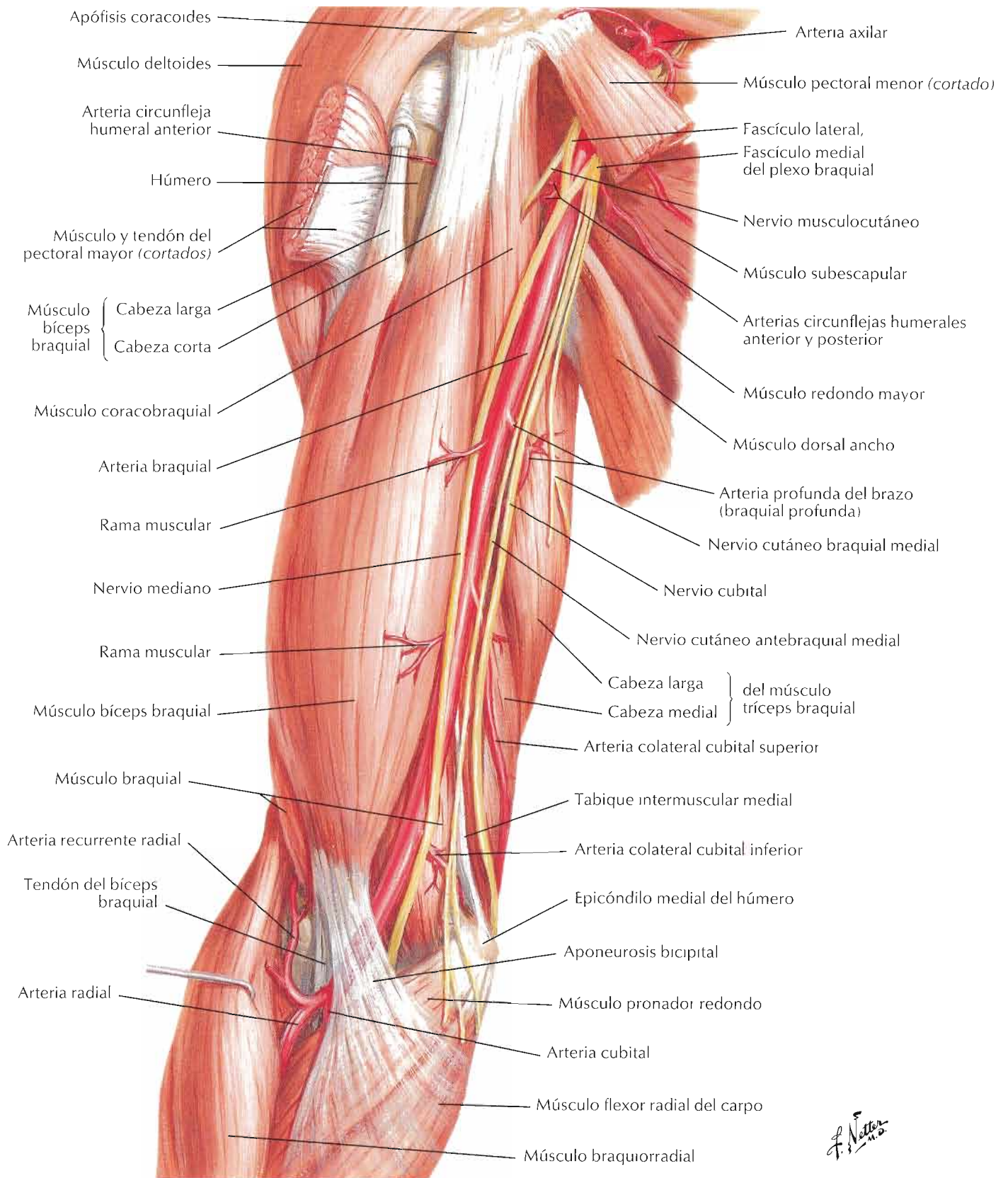


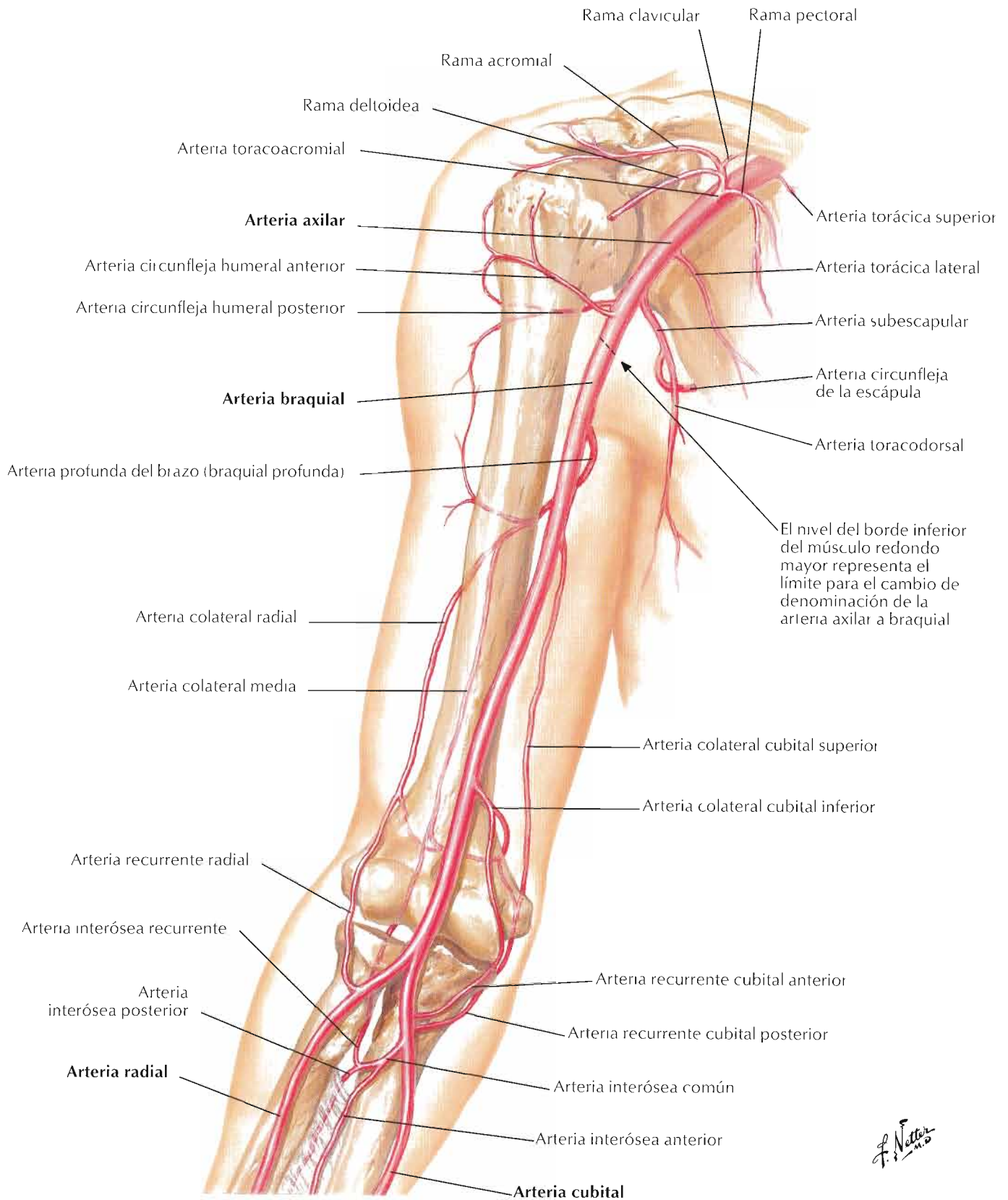
- Músculo redondo mayor
- Nervio cutáneo braquial posterior (del nervio radial)
- Tabique intermuscular medial
- Nervio cubital
- Epicóndilo medial del húmero
- Olécranon del cúbito
- Músculo flexor cubital del carpo
- Músculo ancóneo
- Músculo extensor radial largo del carpo
- Músculo extensor cubital del carpo
- Nervio cutáneo antebraquial posterior (del nervio radial)
- Músculo extensor de los dedos
- Músculo extensor radial corto del carpo

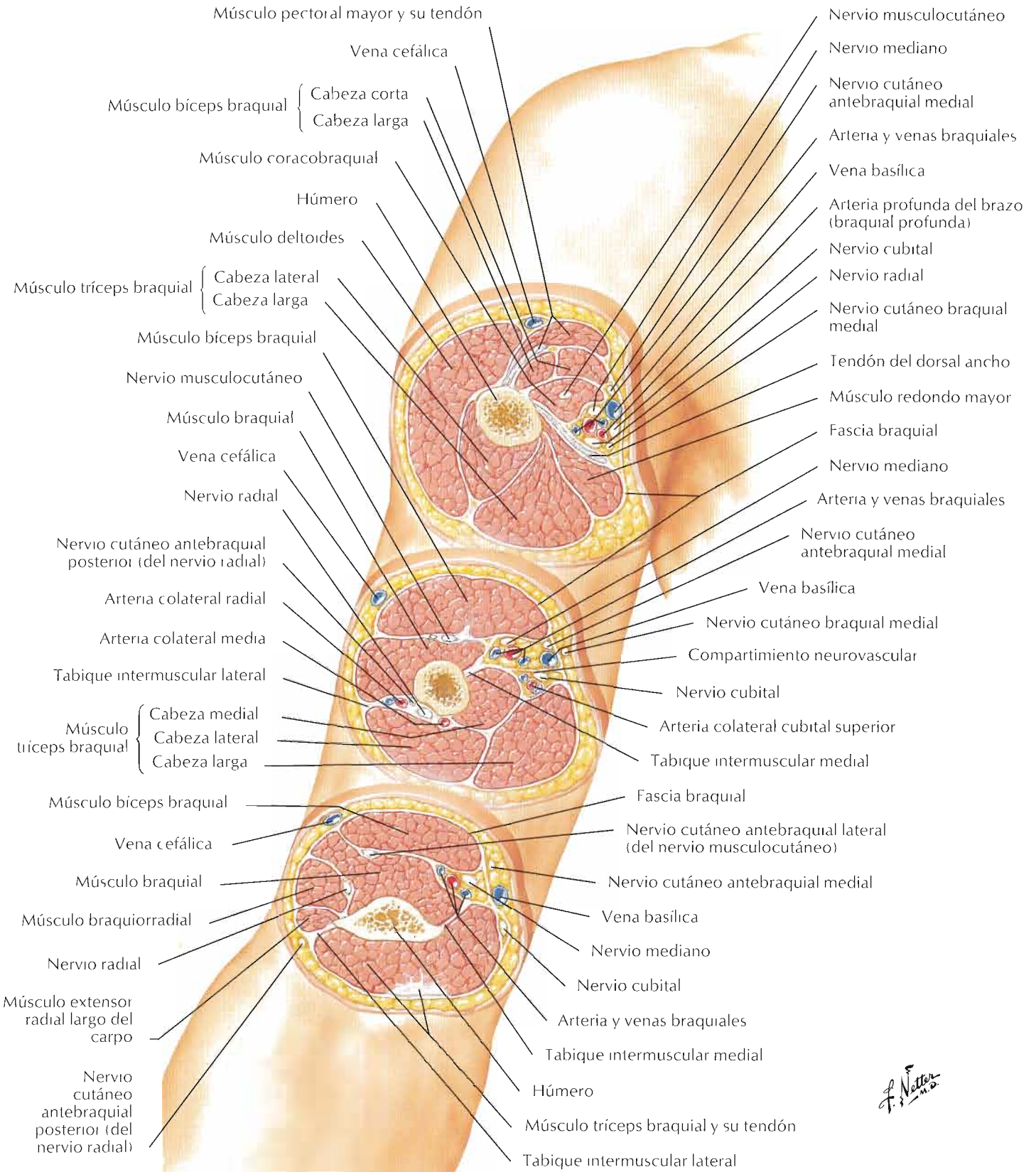


Plano profundo

F. Netter M.D.





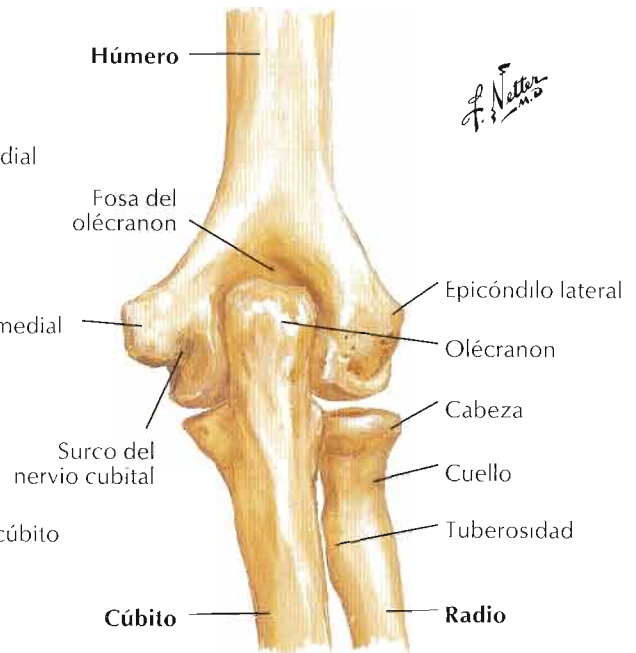


F. Netter M.D.

Codo derecho



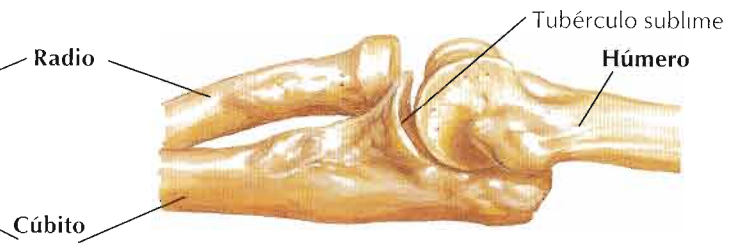
En extensión: visión anterior



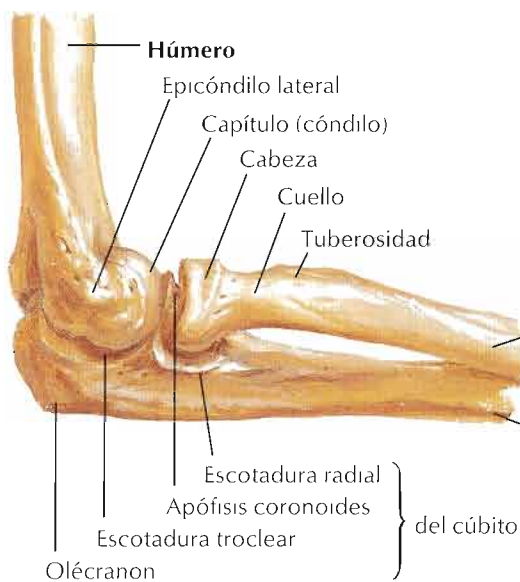
En extensión: visión posterior



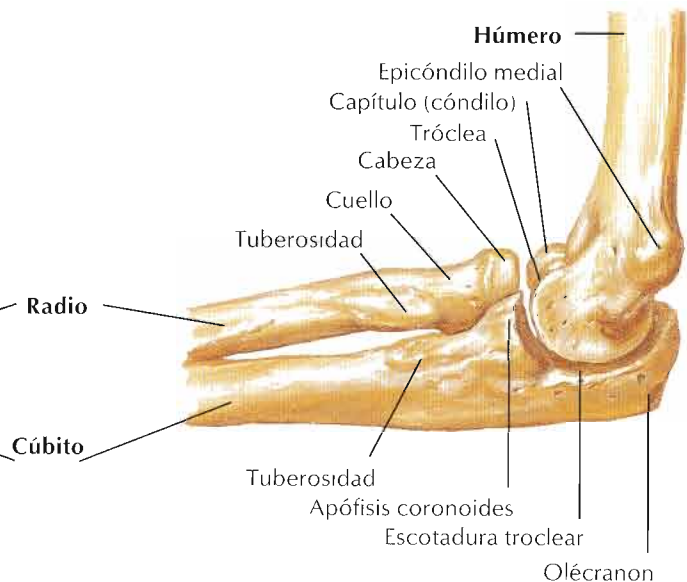
En extensión: visión lateral



En extensión: visión medial

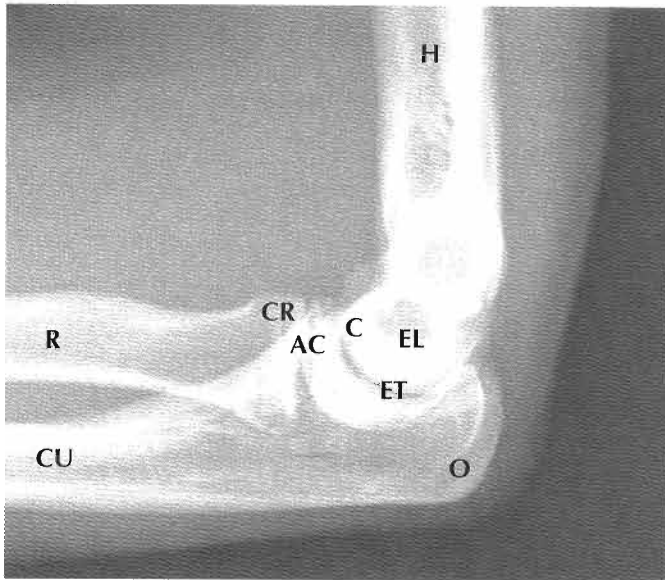


En flexión de 90°: visión lateral



En flexión de 90°: visión medial

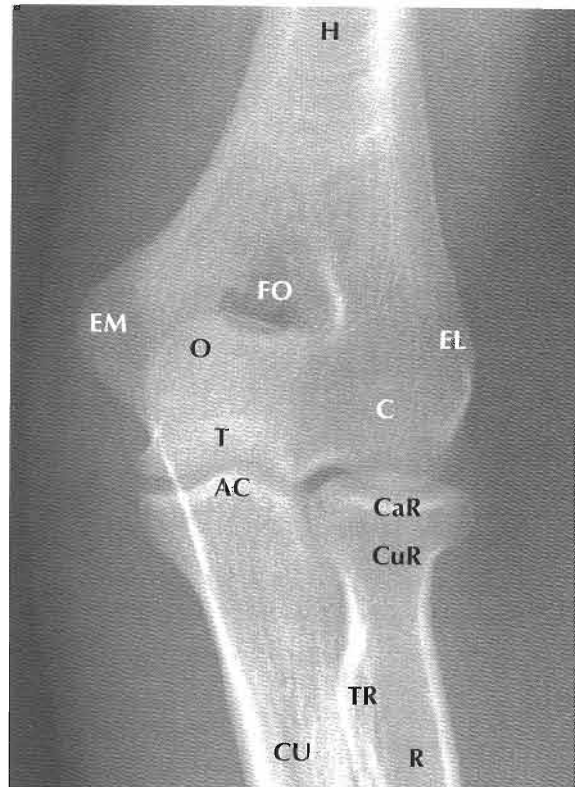
Véase también lámina 436

**Radiografía lateral**

- AC Apófisis coronoides del cúbito
- C Capítulo (cóndilo)
- CR Cabeza del radio
- CU Cúbito
- EL Epicóndilo lateral
- ET Escotadura troclear
- H Húmero
- O Olécranon
- R Radio

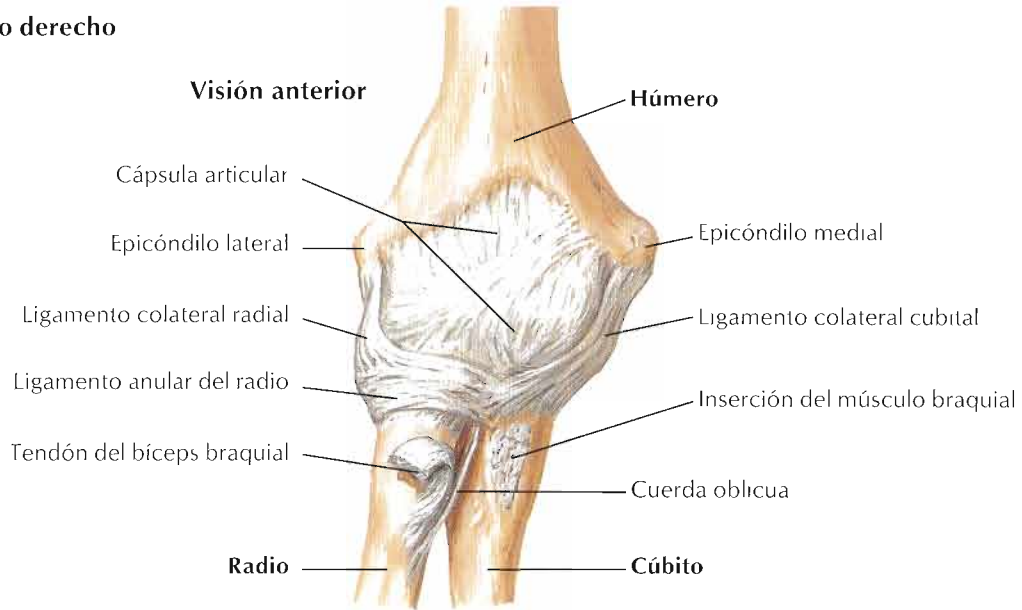
Radiografía anteroposterior

- AC Apófisis coronoides del cúbito
- C Capítulo (cóndilo)
- CaR Cabeza del radio
- CU Cúbito
- CuR Cuello del radio
- EL Epicóndilo lateral
- EM Epicóndilo medial
- FO Fosa del olécranon
- H Húmero
- O Olécranon
- R Radio
- T Tróclea del húmero
- TR Tuberosidad del radio

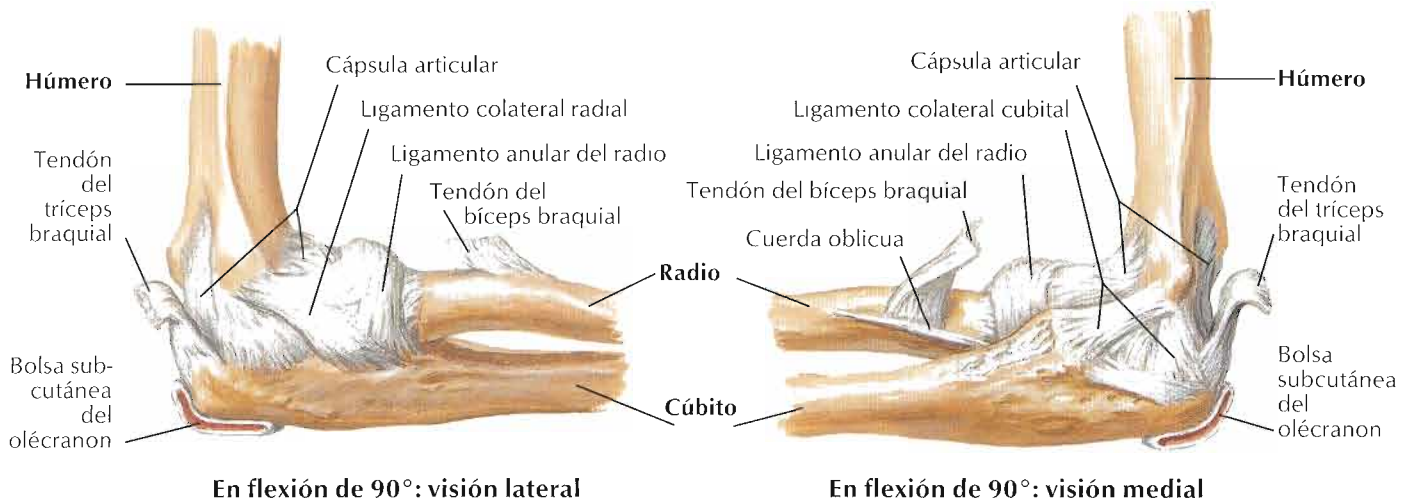


Codo derecho

Visión anterior

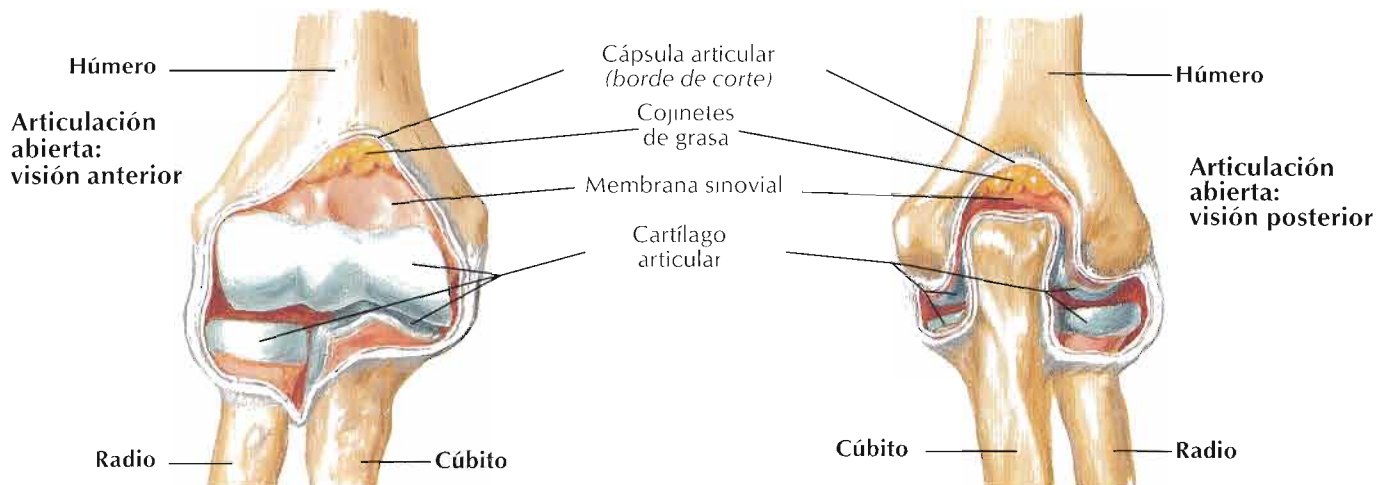


F. Natter



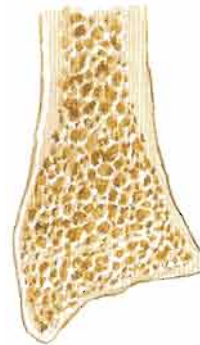
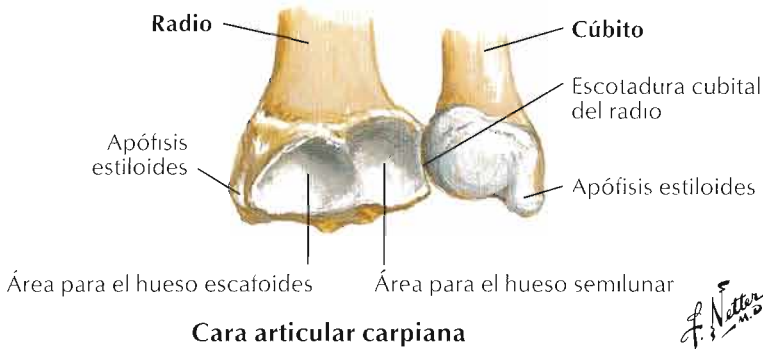
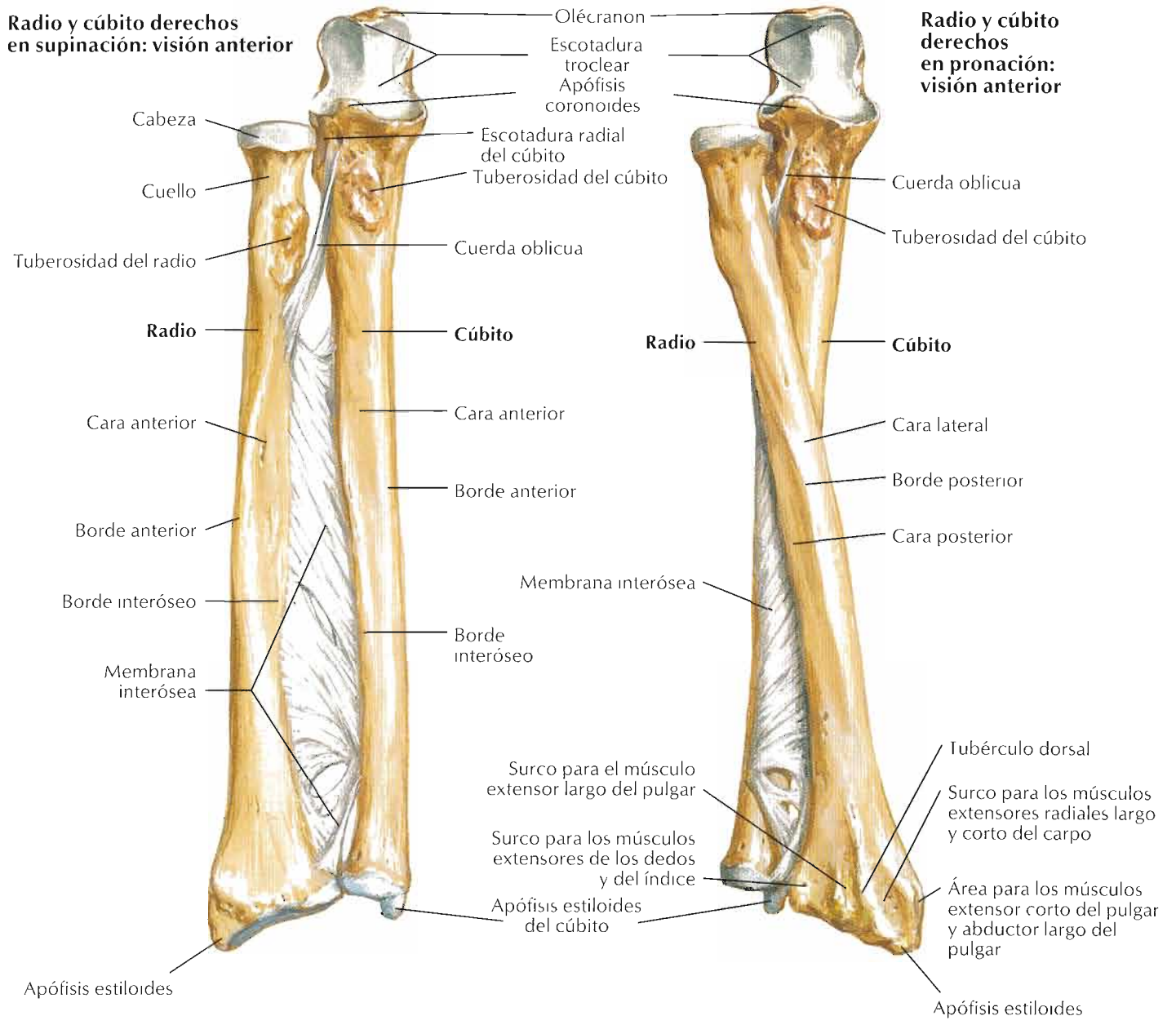
En flexión de 90°: visión lateral

En flexión de 90°: visión medial



Radio y cúbito derechos en supinación: visión anterior

Radio y cúbito derechos en pronación: visión anterior

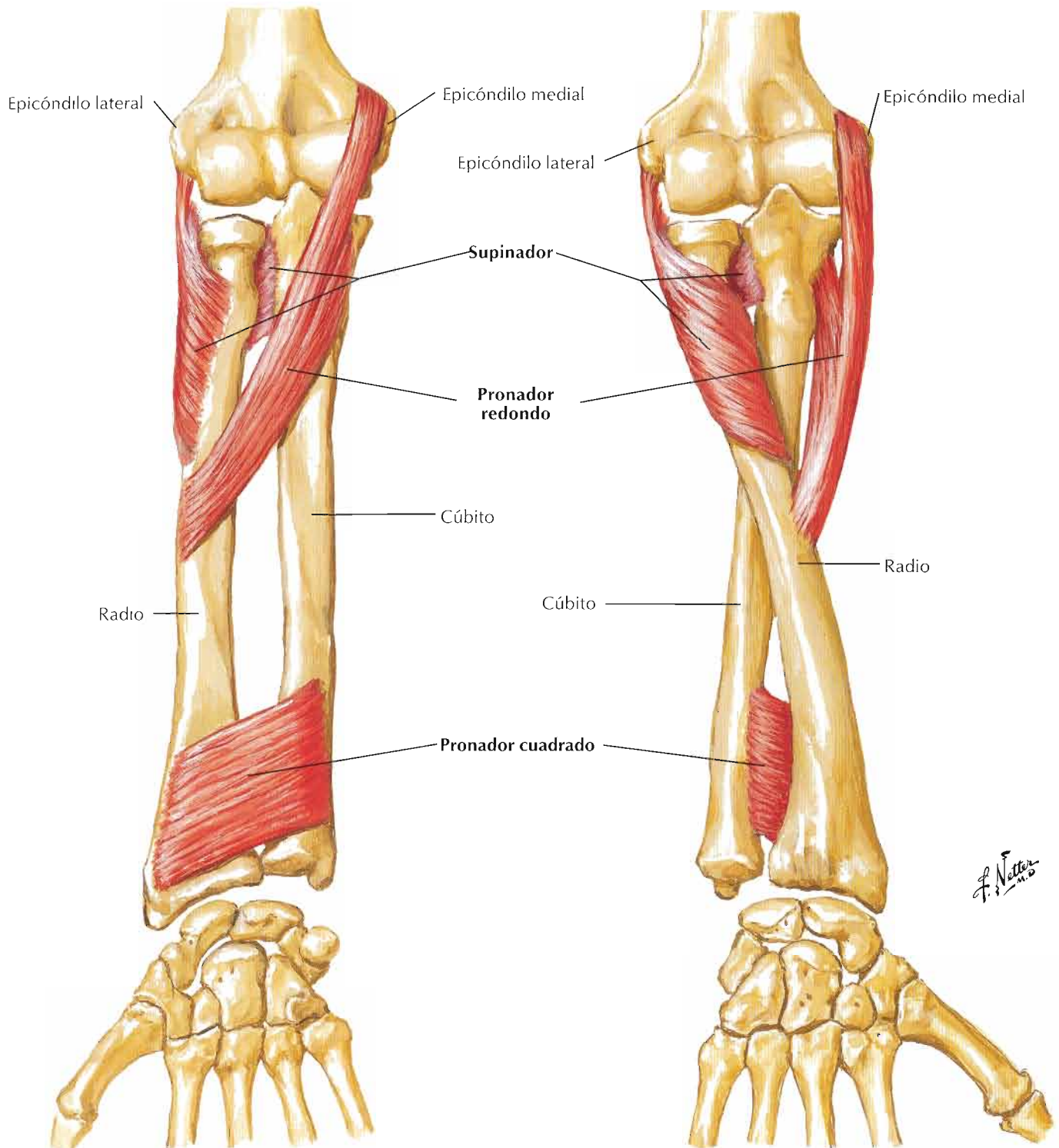


Sección coronal del radio que muestra cómo el espesor del hueso cortical del cuerpo se reduce a una delgada lámina sobre el hueso esponjoso del extremo distal

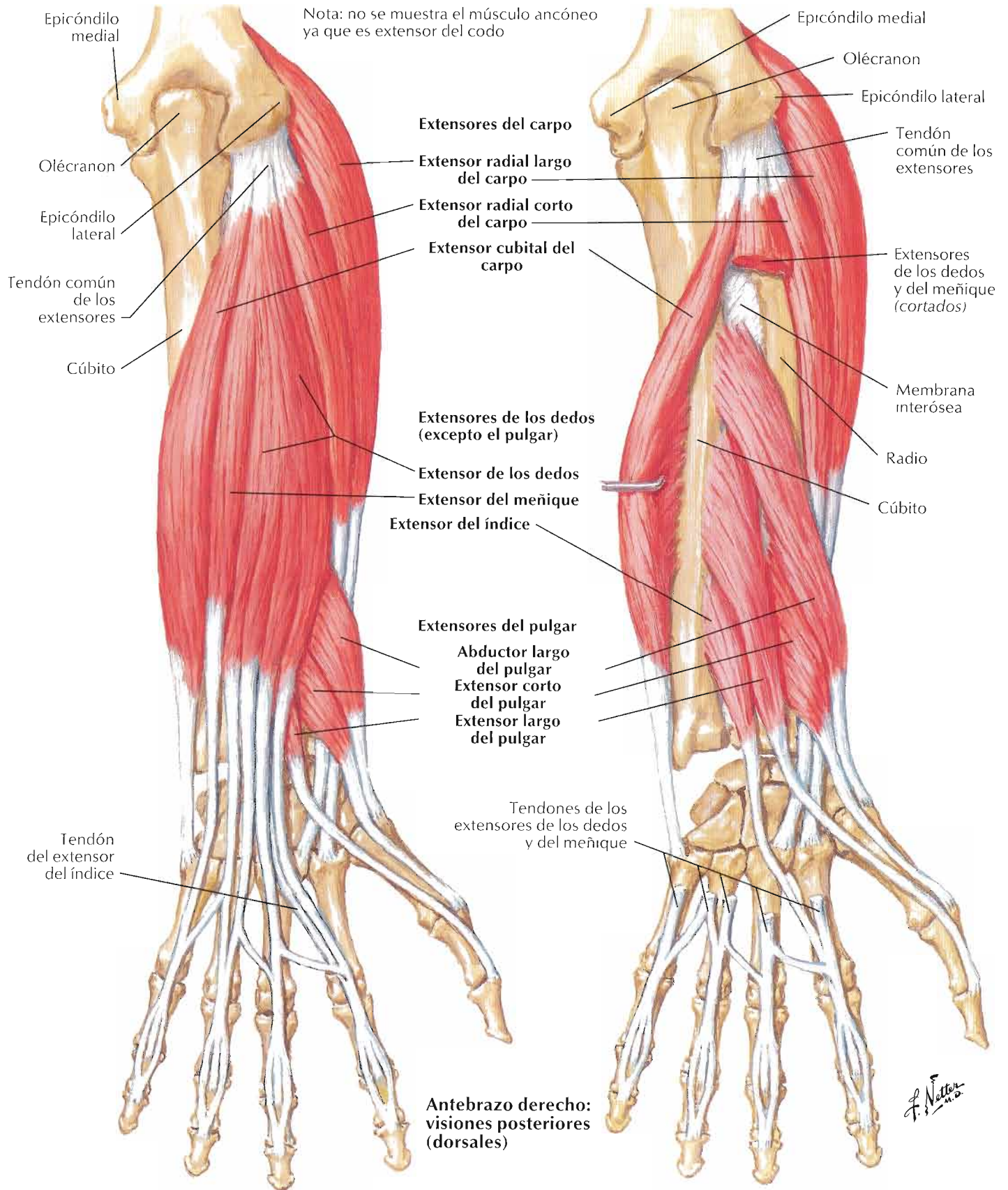
Antebrazo derecho: visión anterior

Posición de supinación

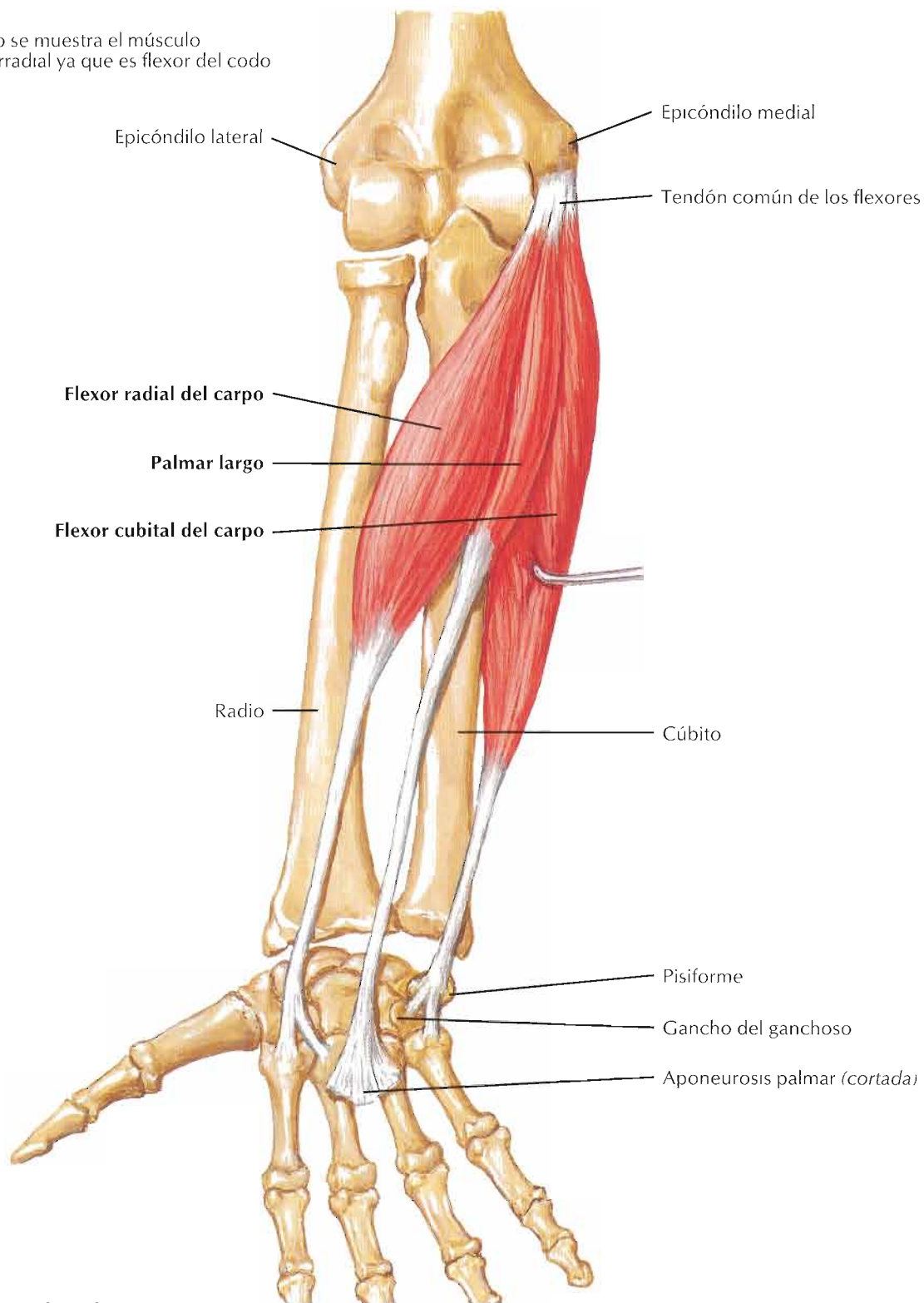
Posición de pronación



Mm. individualizados del antebrazo: extensores del carpo y dedos

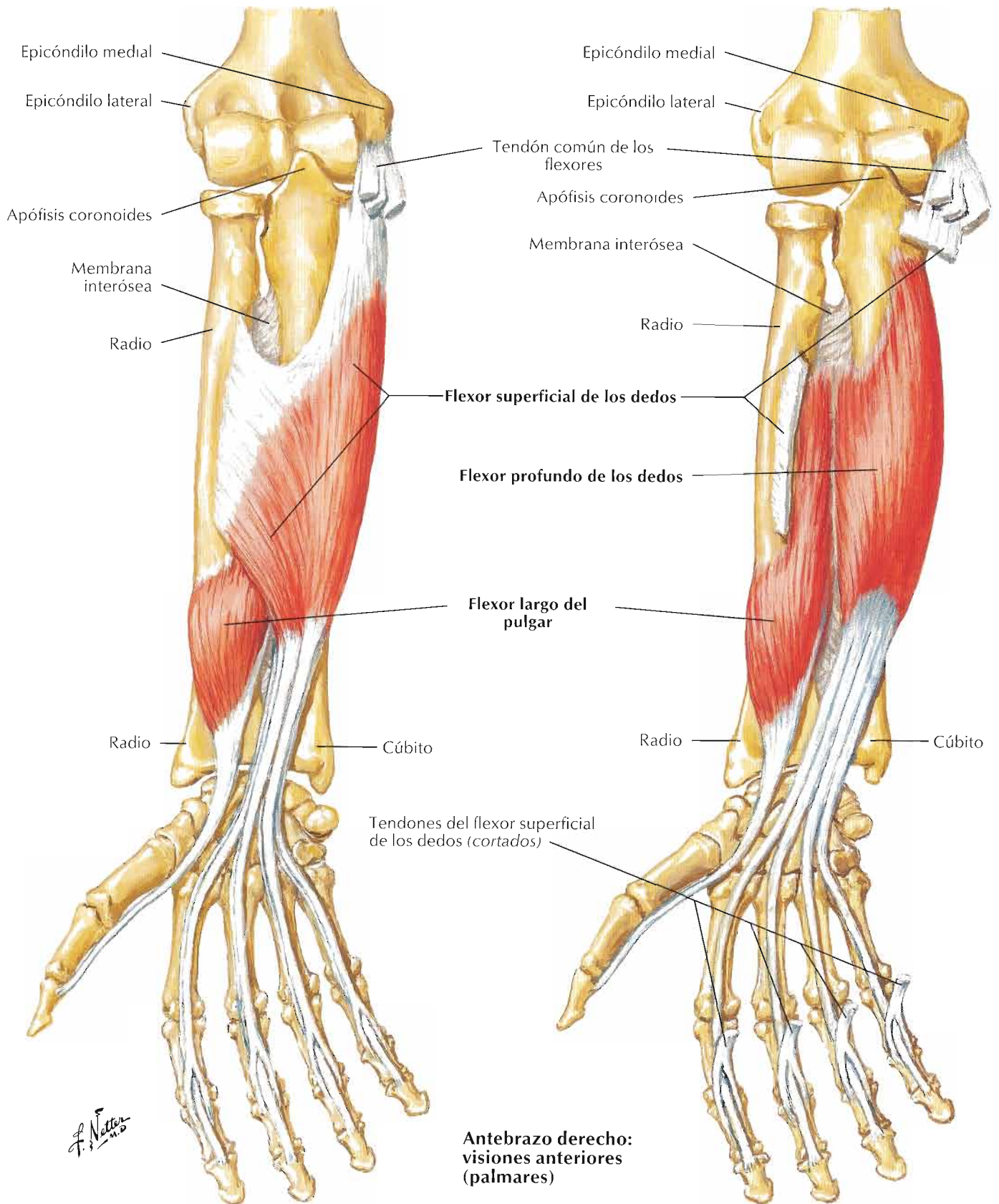


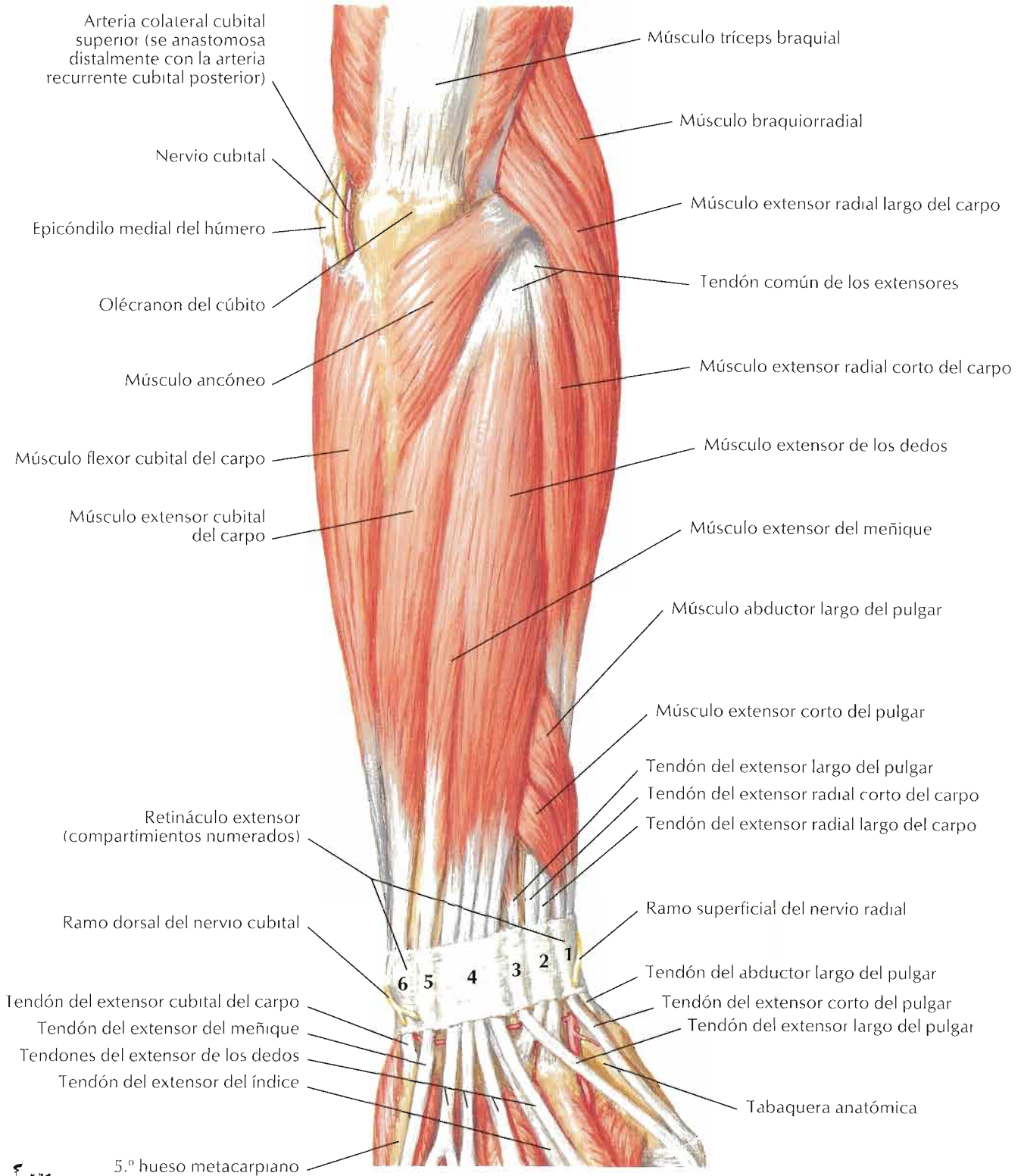
Nota: no se muestra el músculo braquiorradial ya que es flexor del codo



Antebrazo derecho:
visión anterior (palmar)

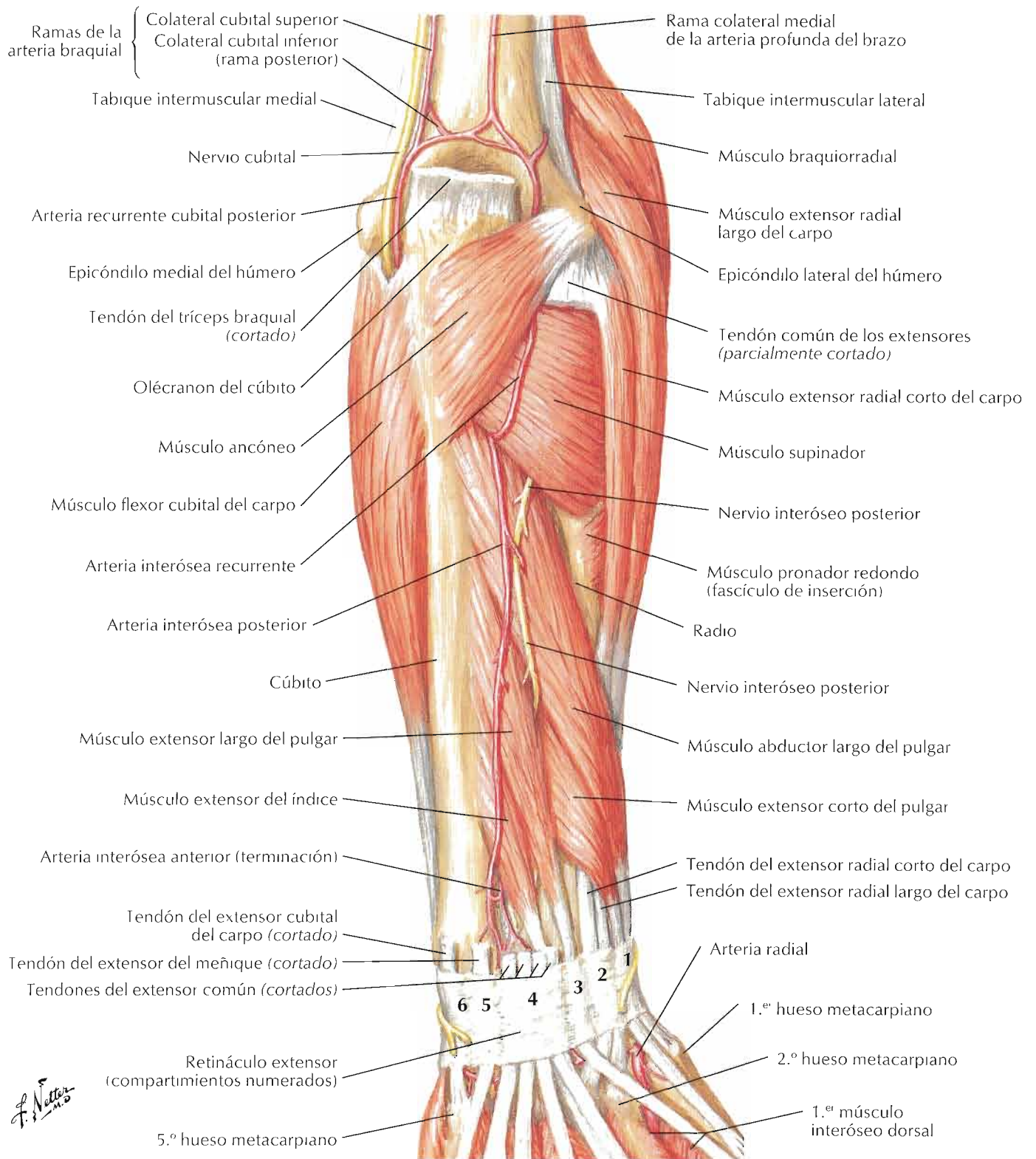
F. Netter M.D.

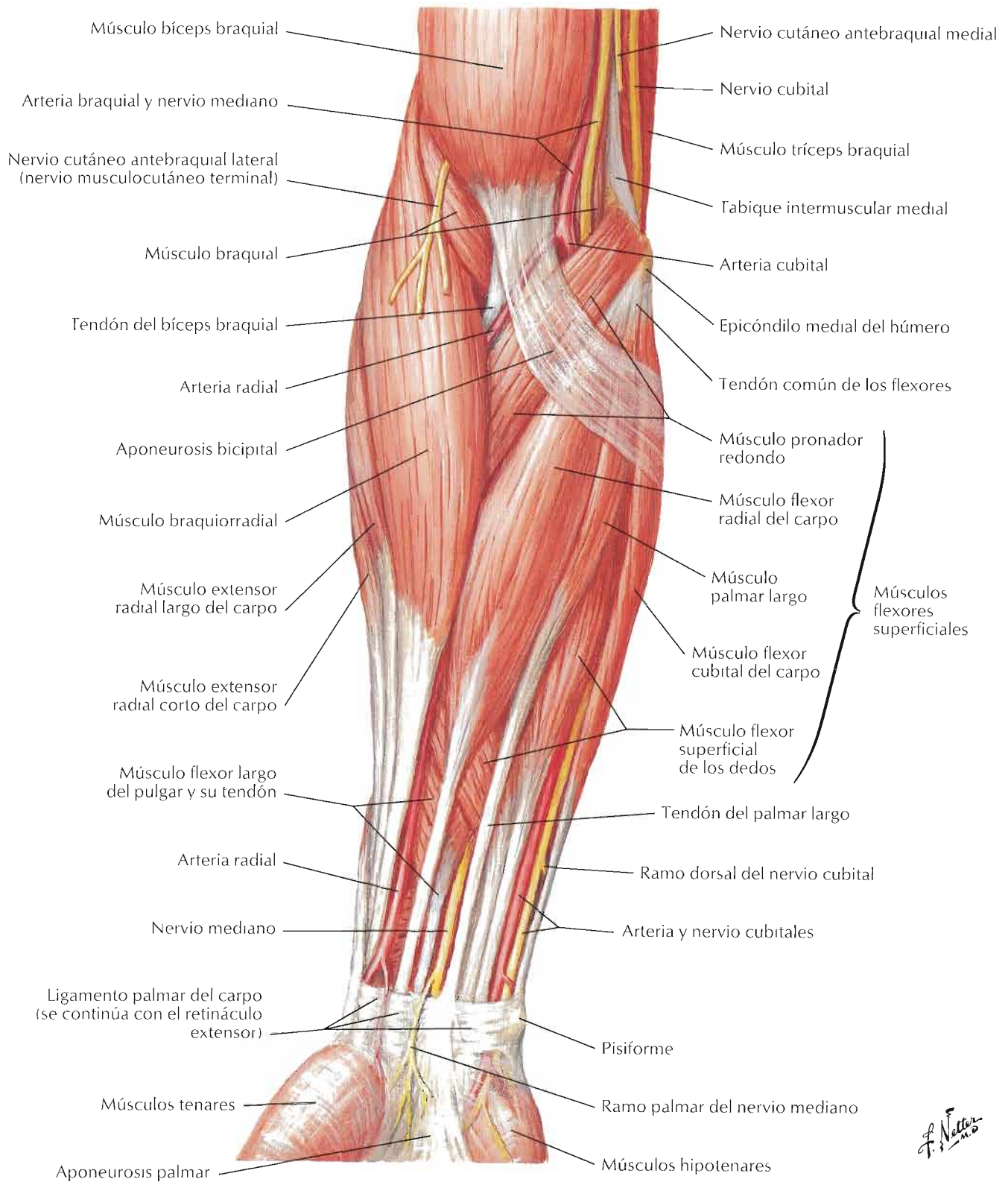




F. Netter M.D.

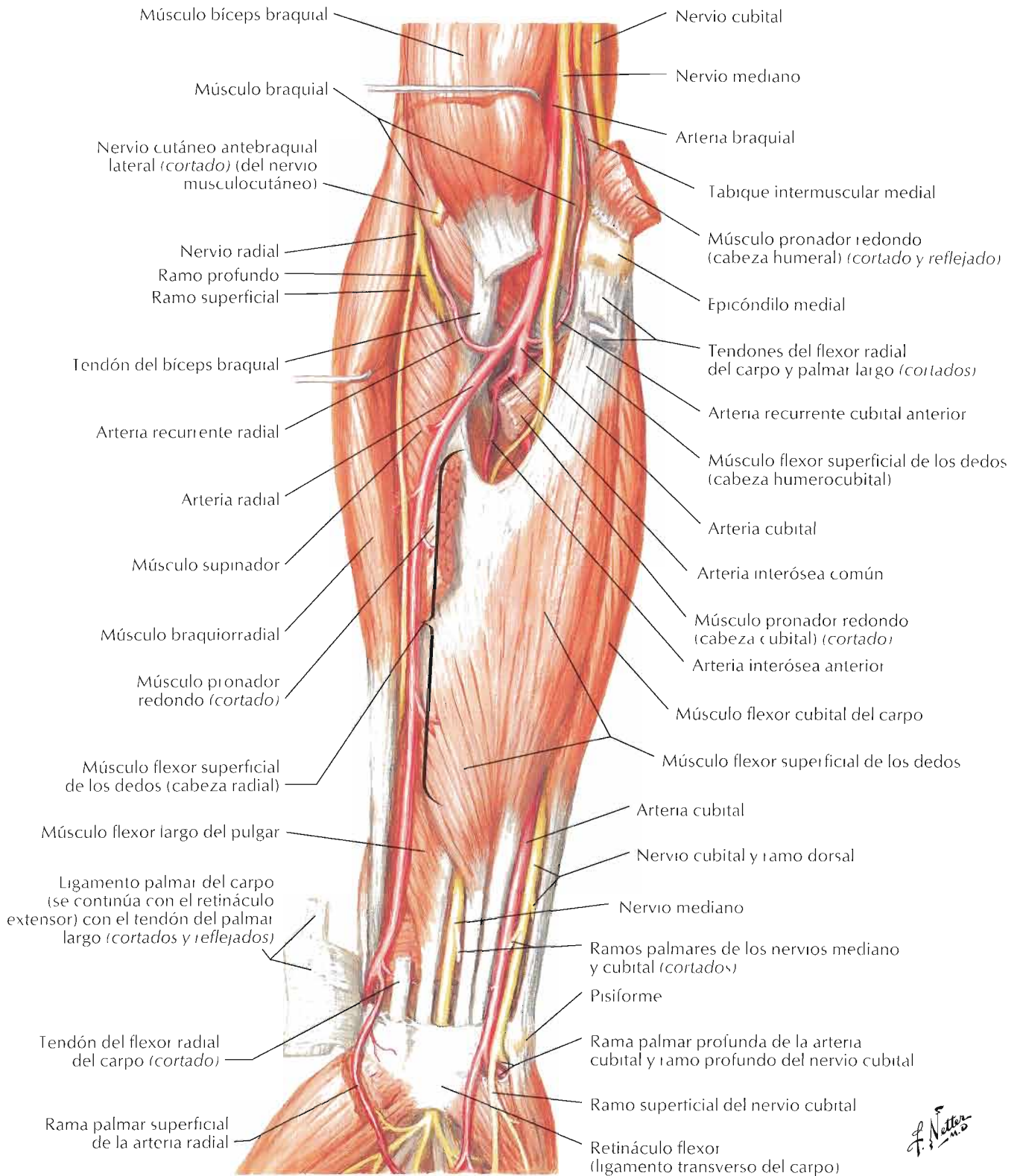
Véanse también láminas 470, 479



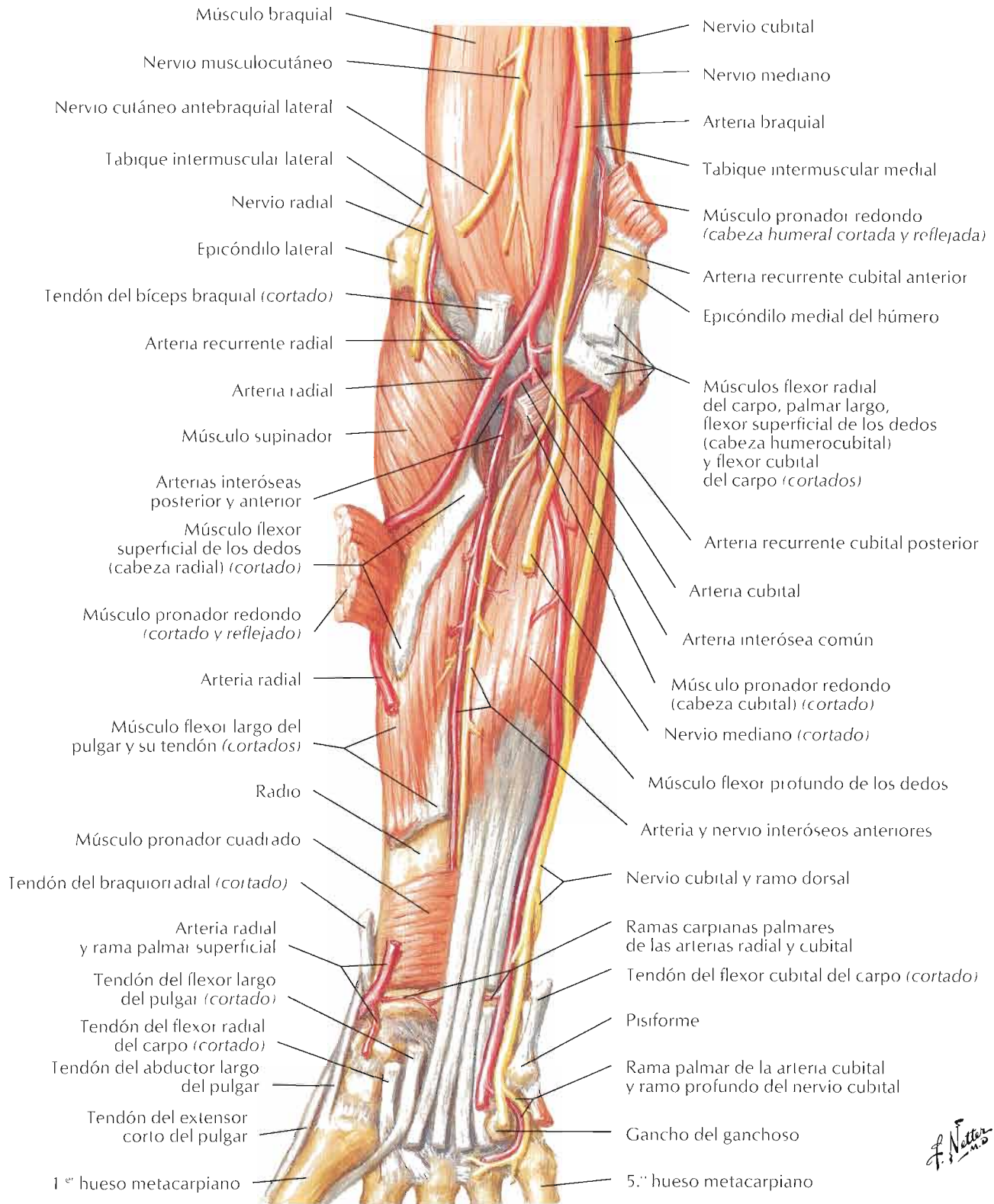


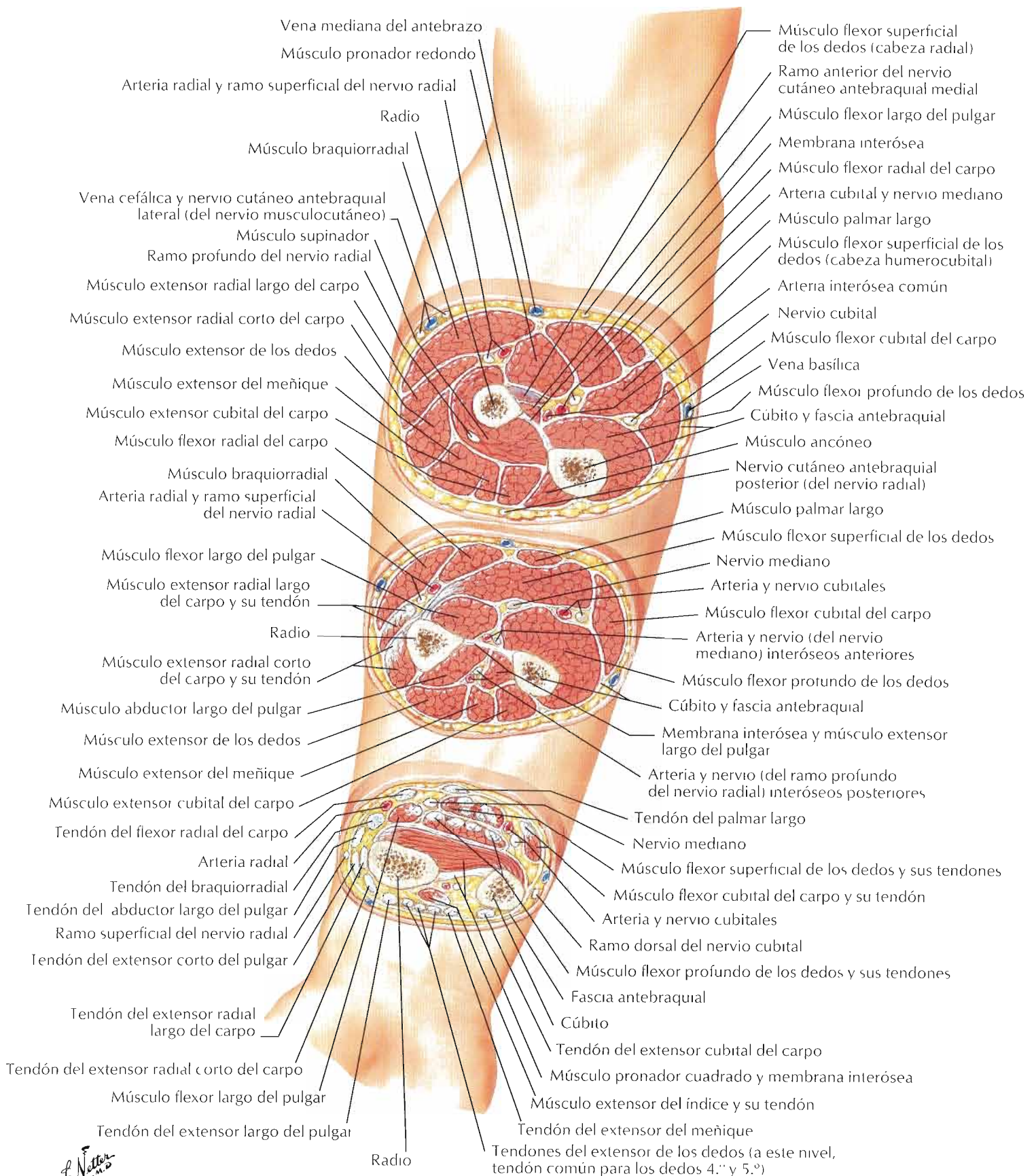
F. Netter M.D.

Véanse también láminas 475, 476



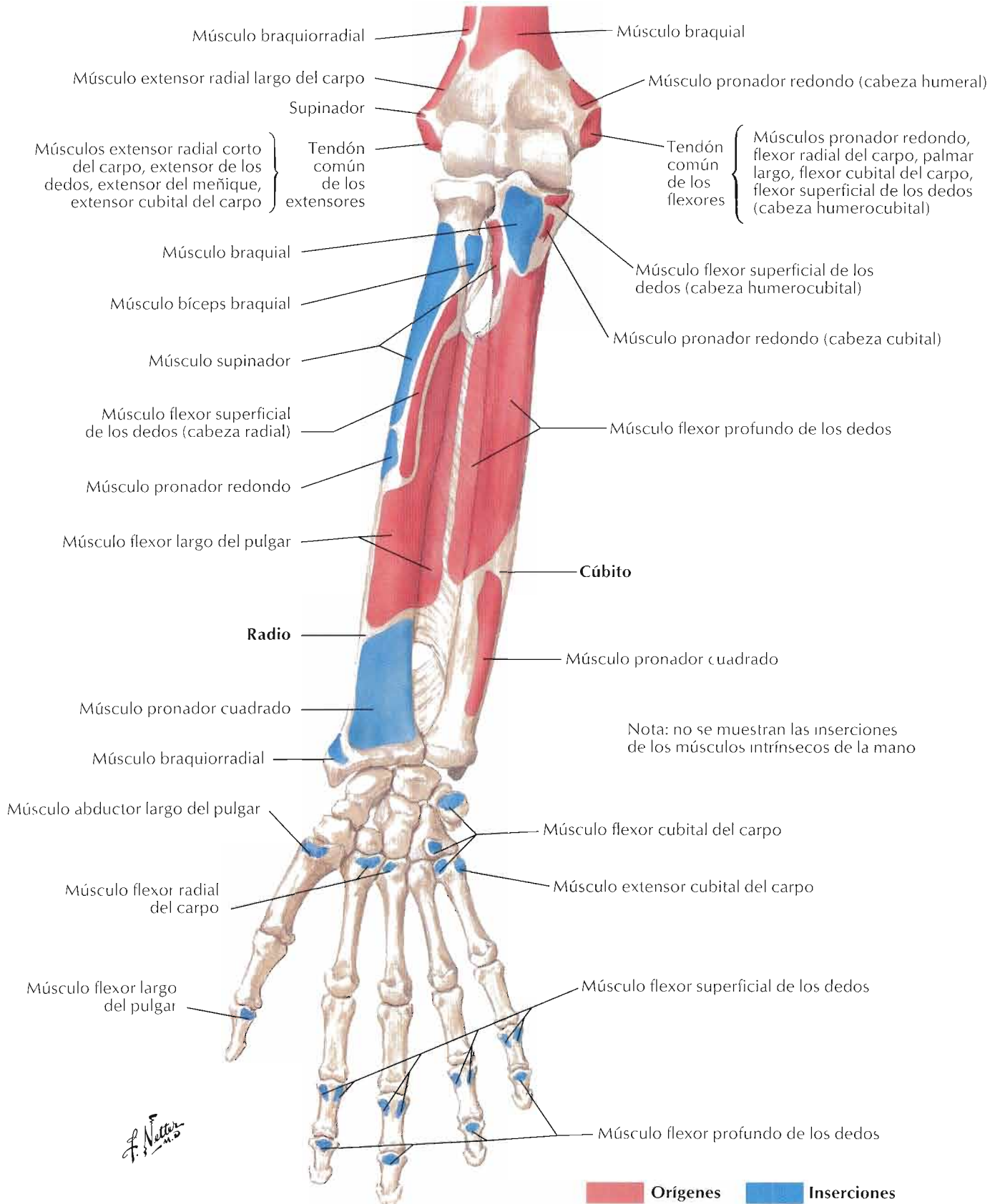
F. Netter M.D.



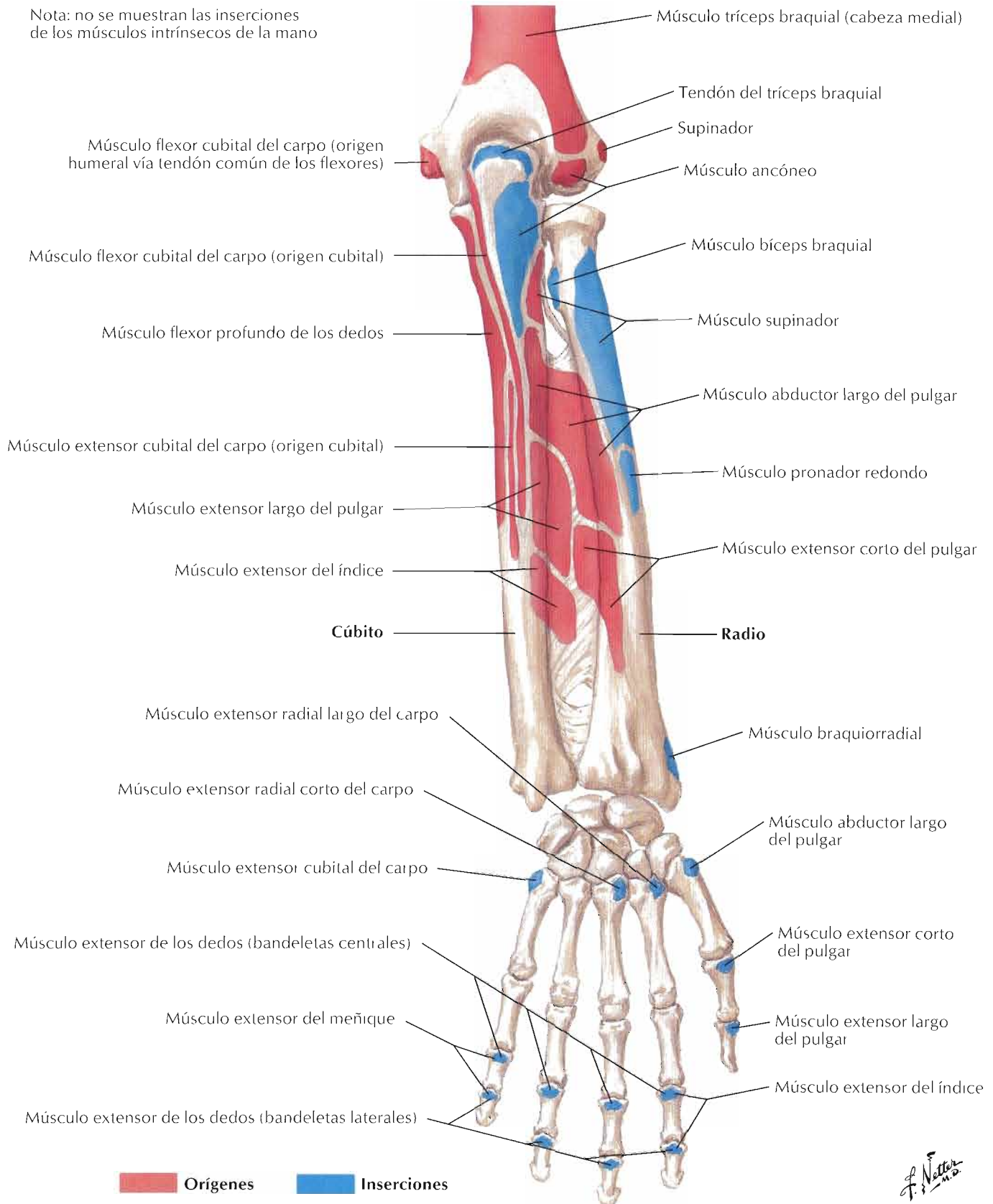


F. Netter

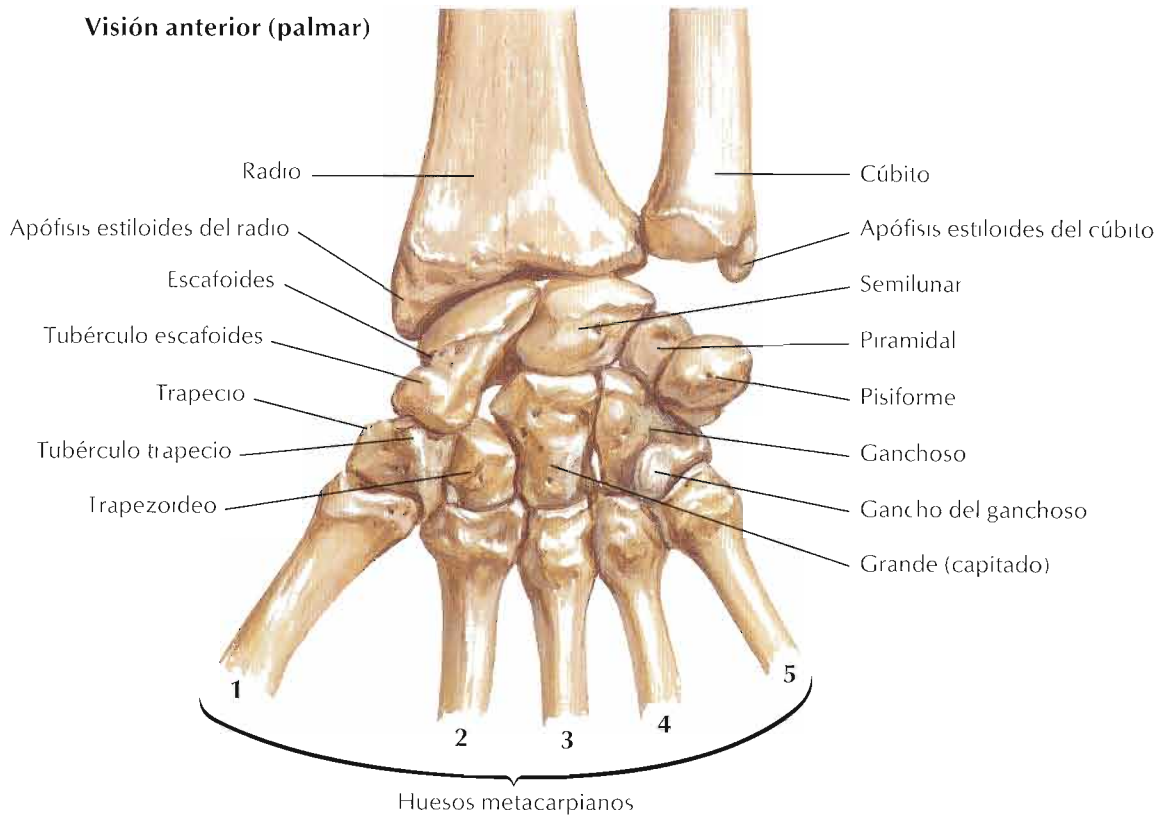
Inserciones de los músculos del antebrazo: visión anterior



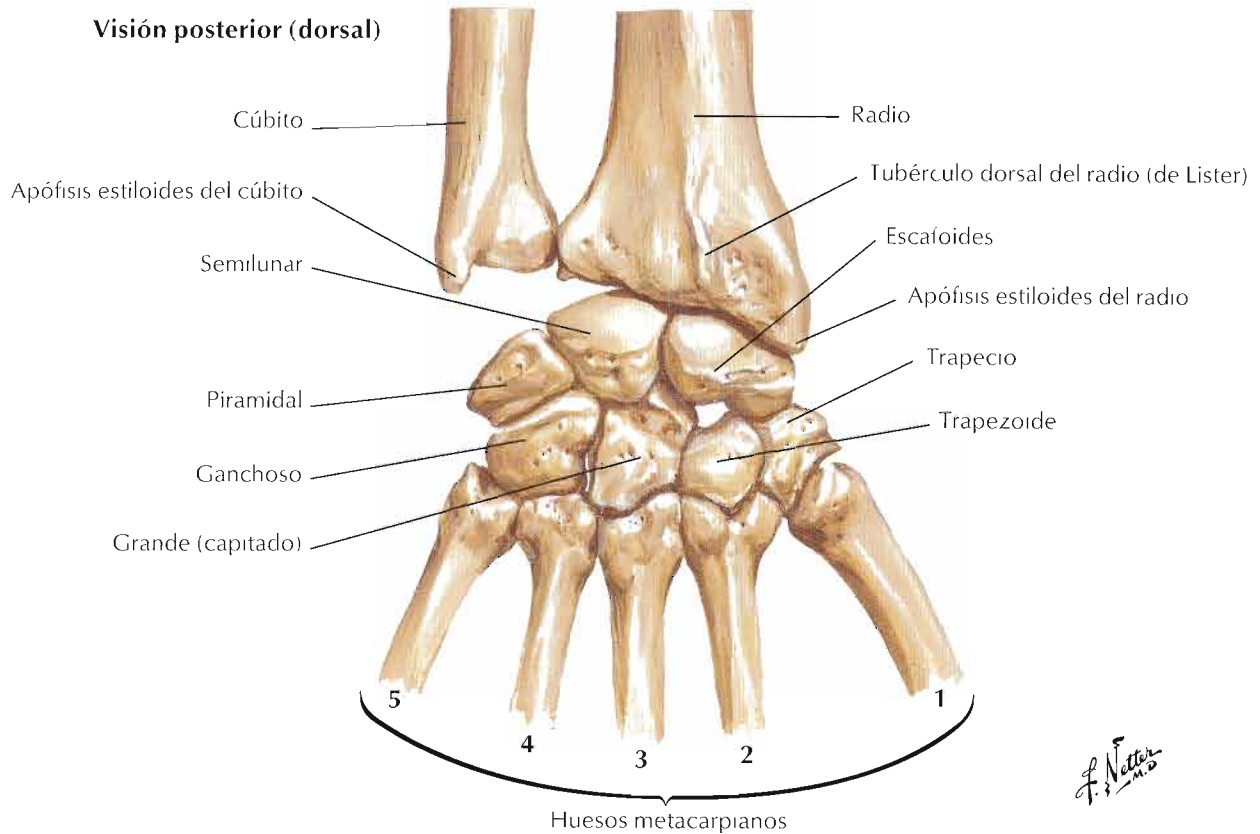
Nota: no se muestran las inserciones de los músculos intrínsecos de la mano



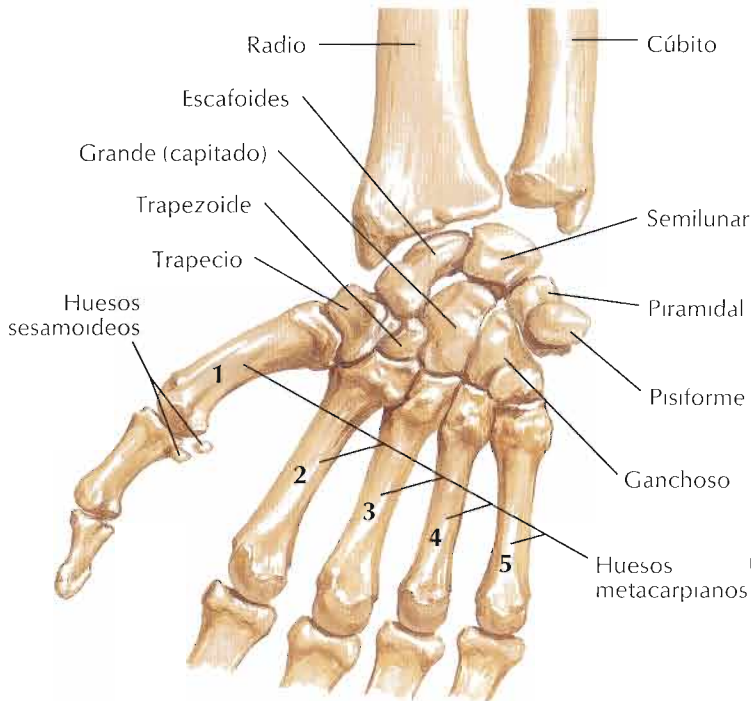
Visión anterior (palmar)



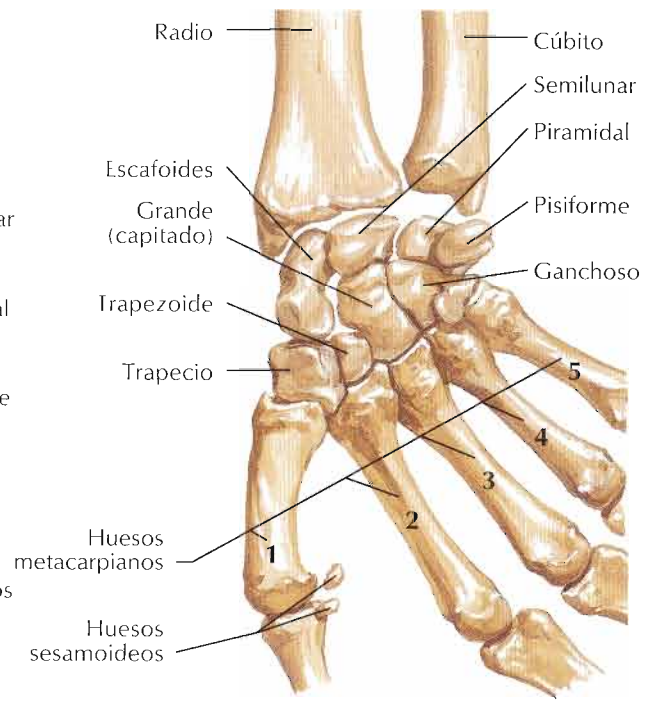
Visión posterior (dorsal)



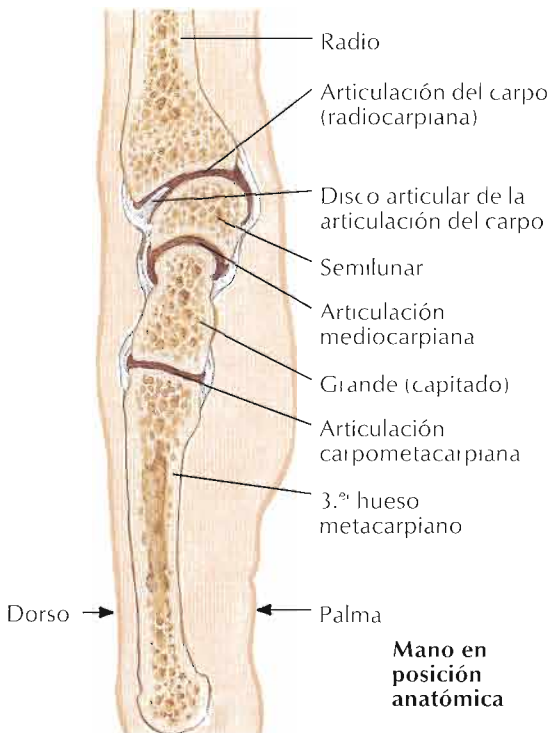
F. Netter M.D.



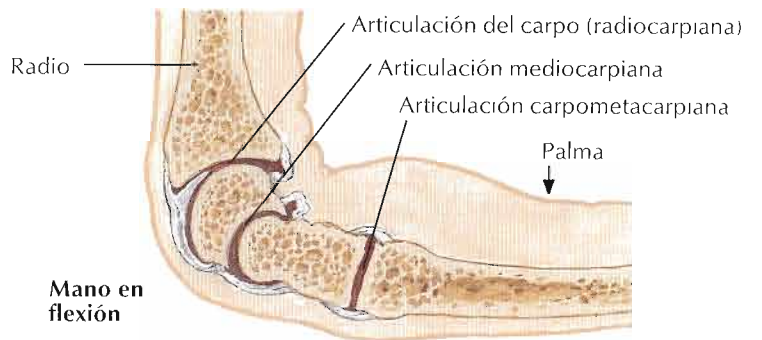
Posición de los huesos del carpo con la mano en abducción: visión anterior (palmar)



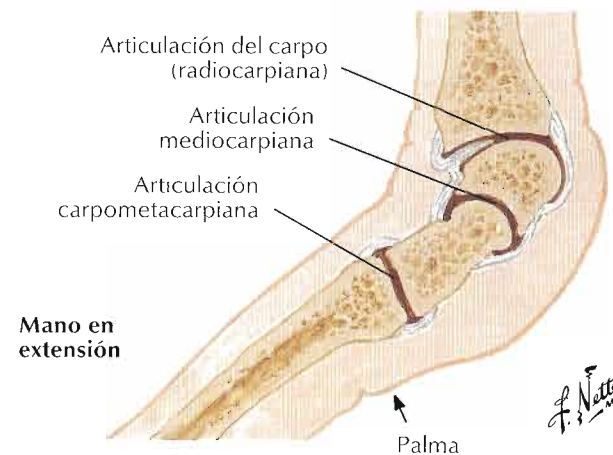
Posición de los huesos del carpo con la mano en aducción: visión anterior (palmar)



Secciones sagitales a través del carpo y dedo medio (índice)



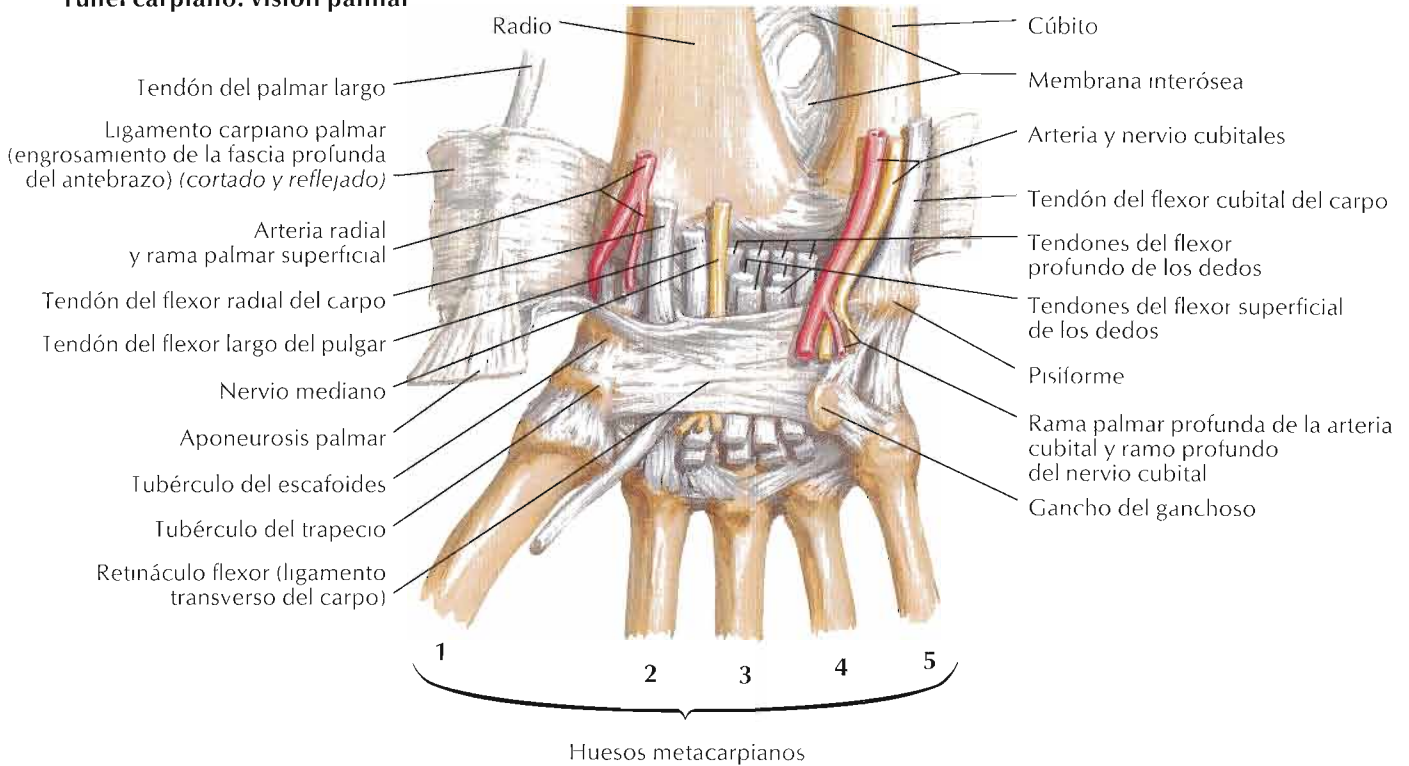
Mano en flexión



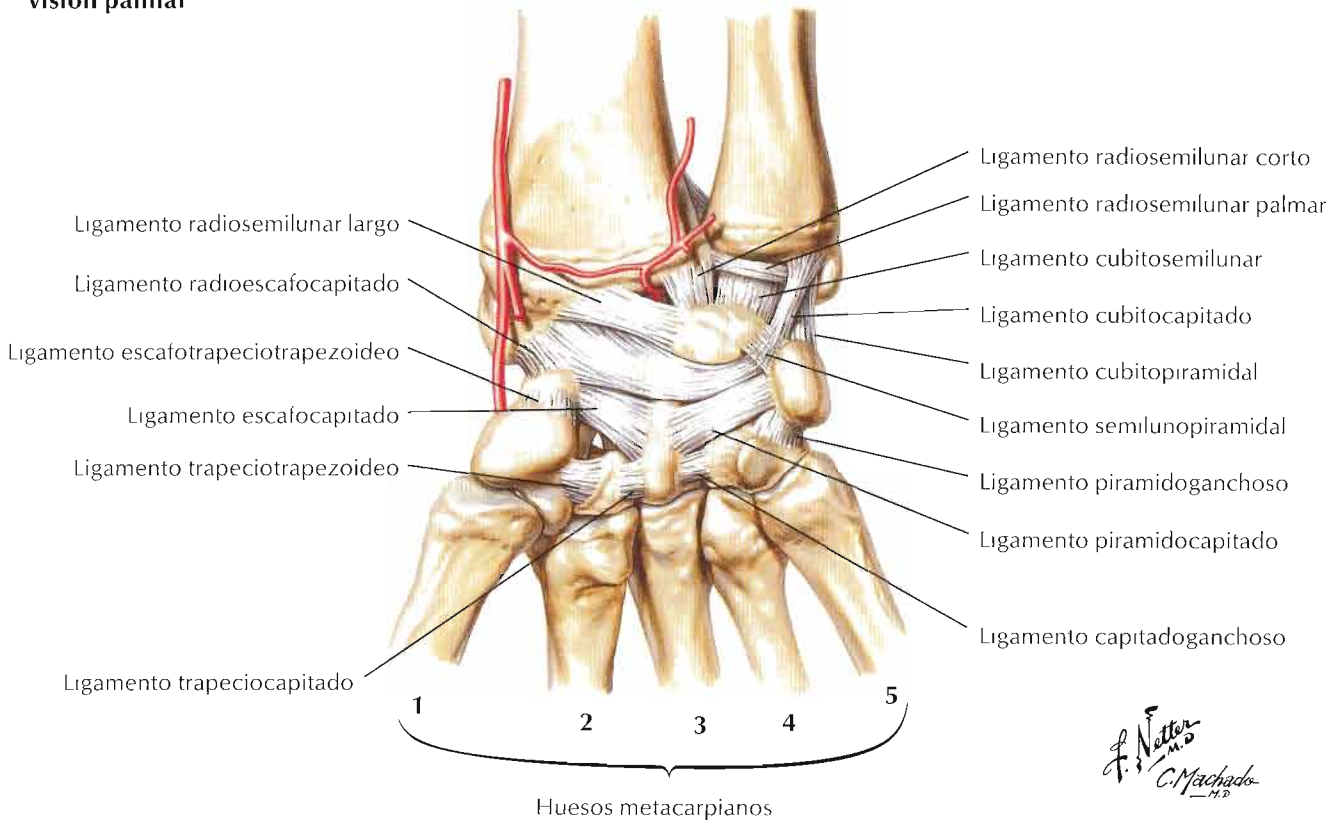
Mano en extensión

F. Netter M.D.

Túnel carpiano: visión palmar

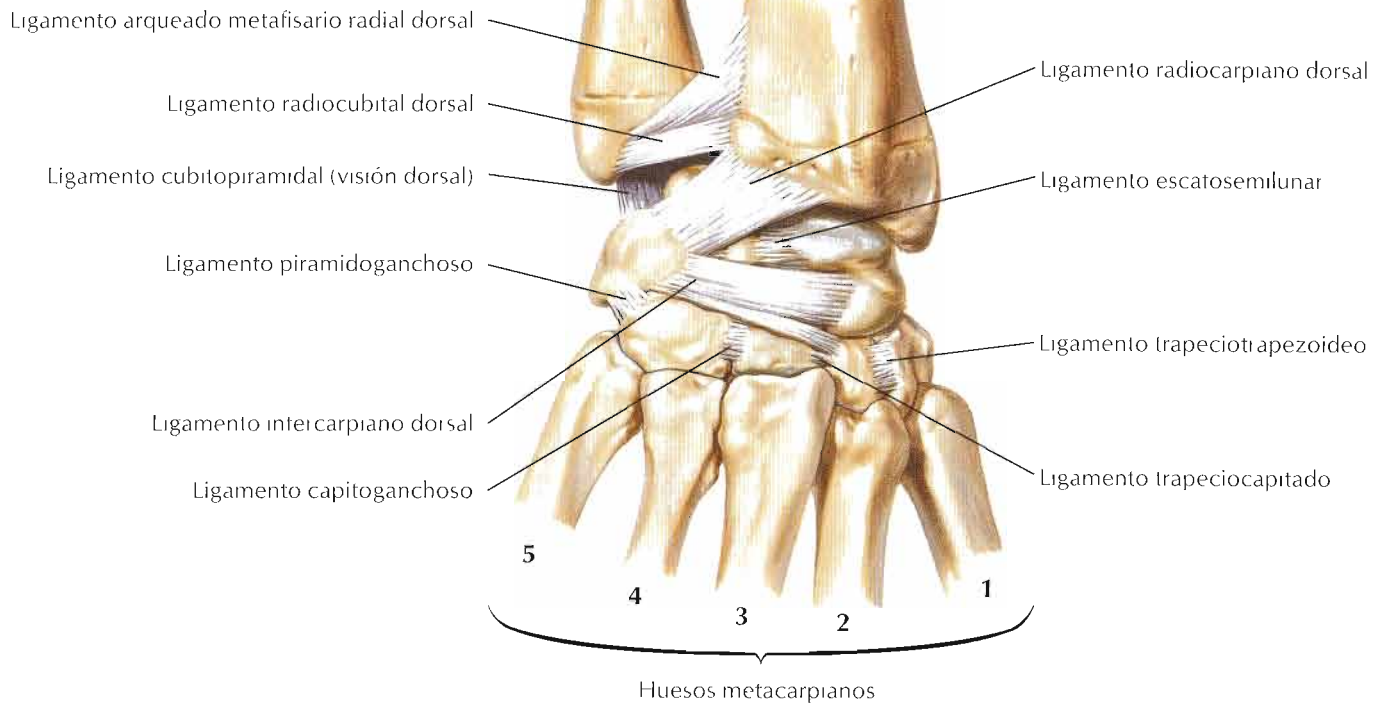


Retináculo flexor extirpado: visión palmar

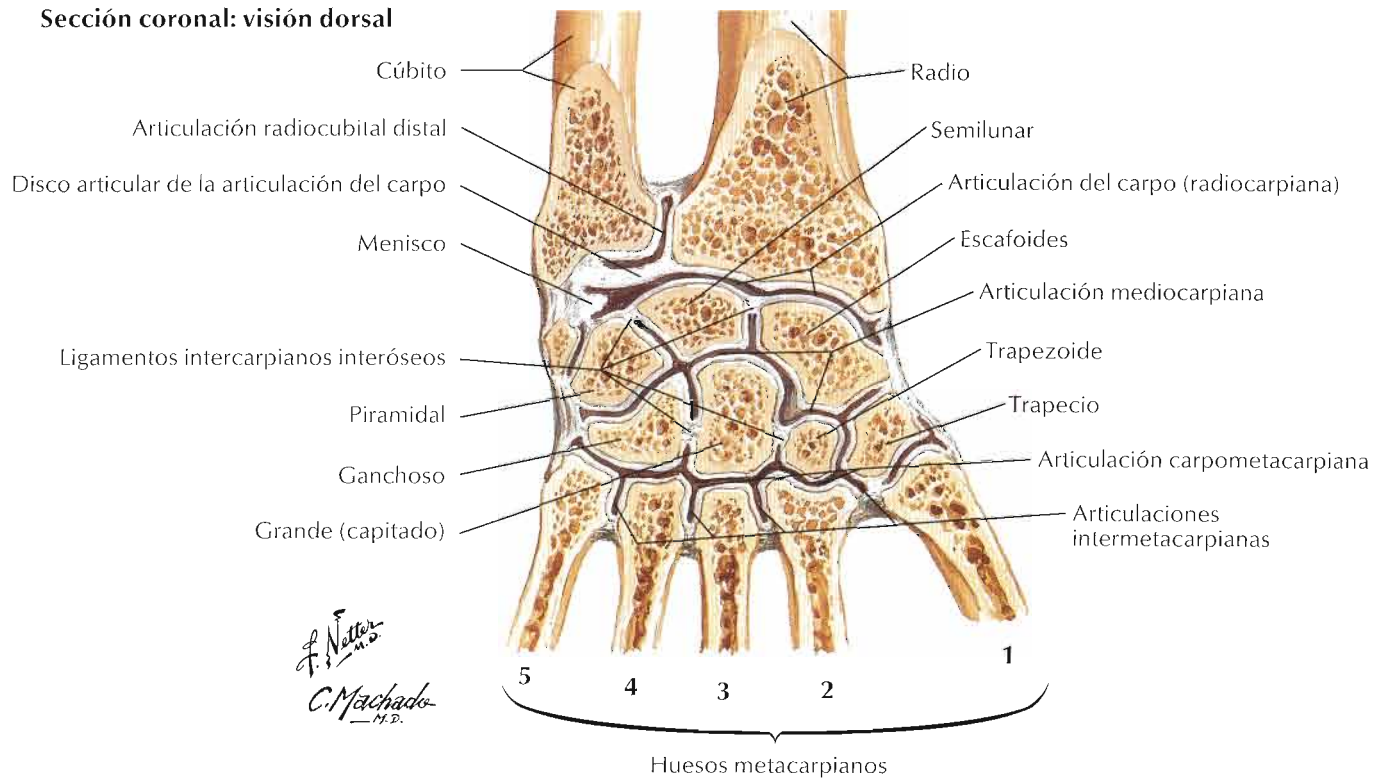


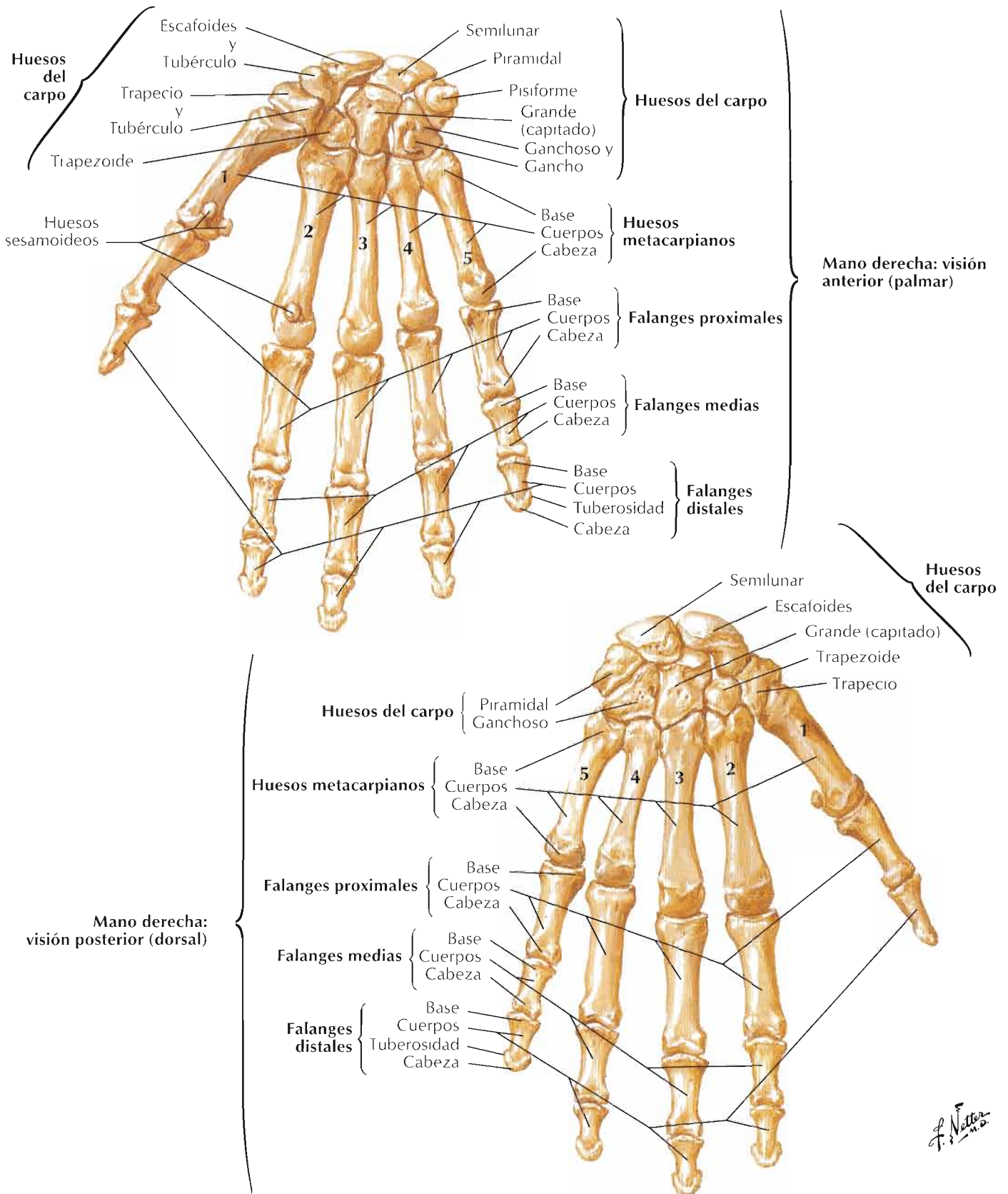
F. Netter M.D.
C. Machado M.D.

Visión posterior (dorsal)

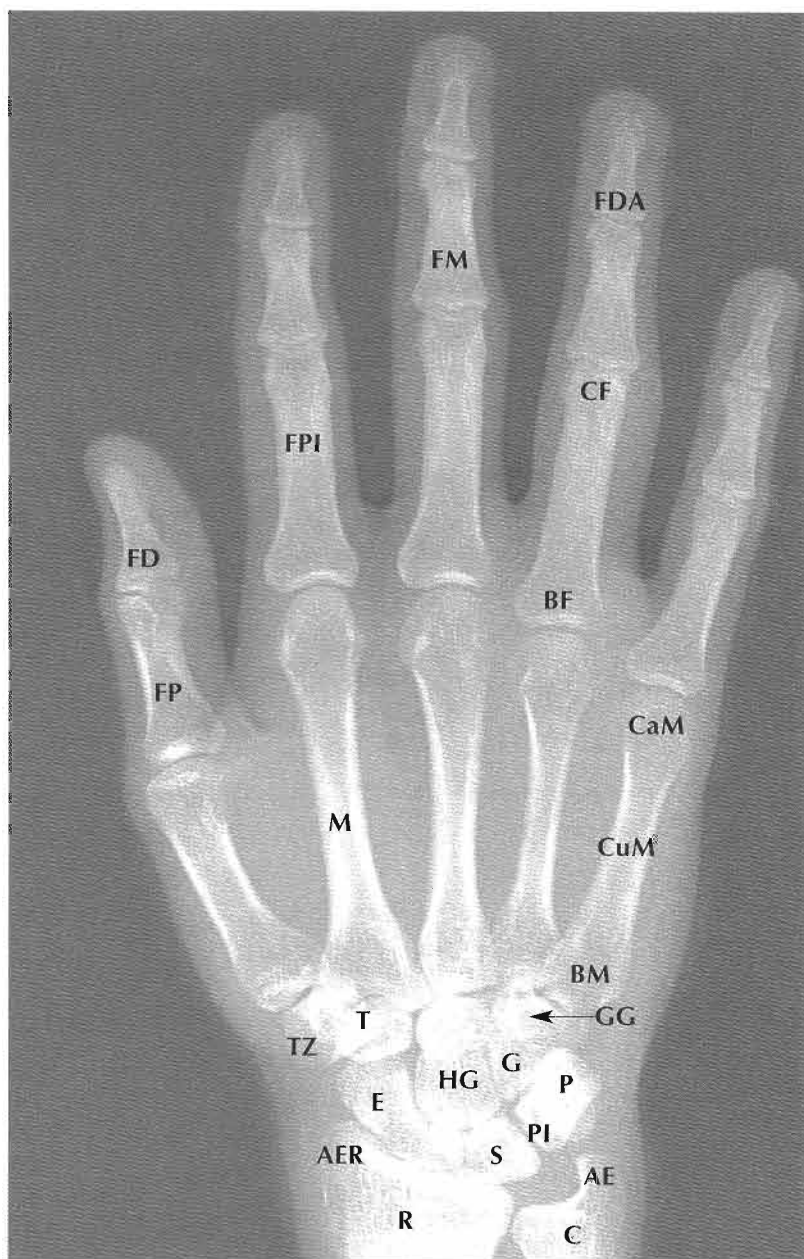


Sección coronal: visión dorsal

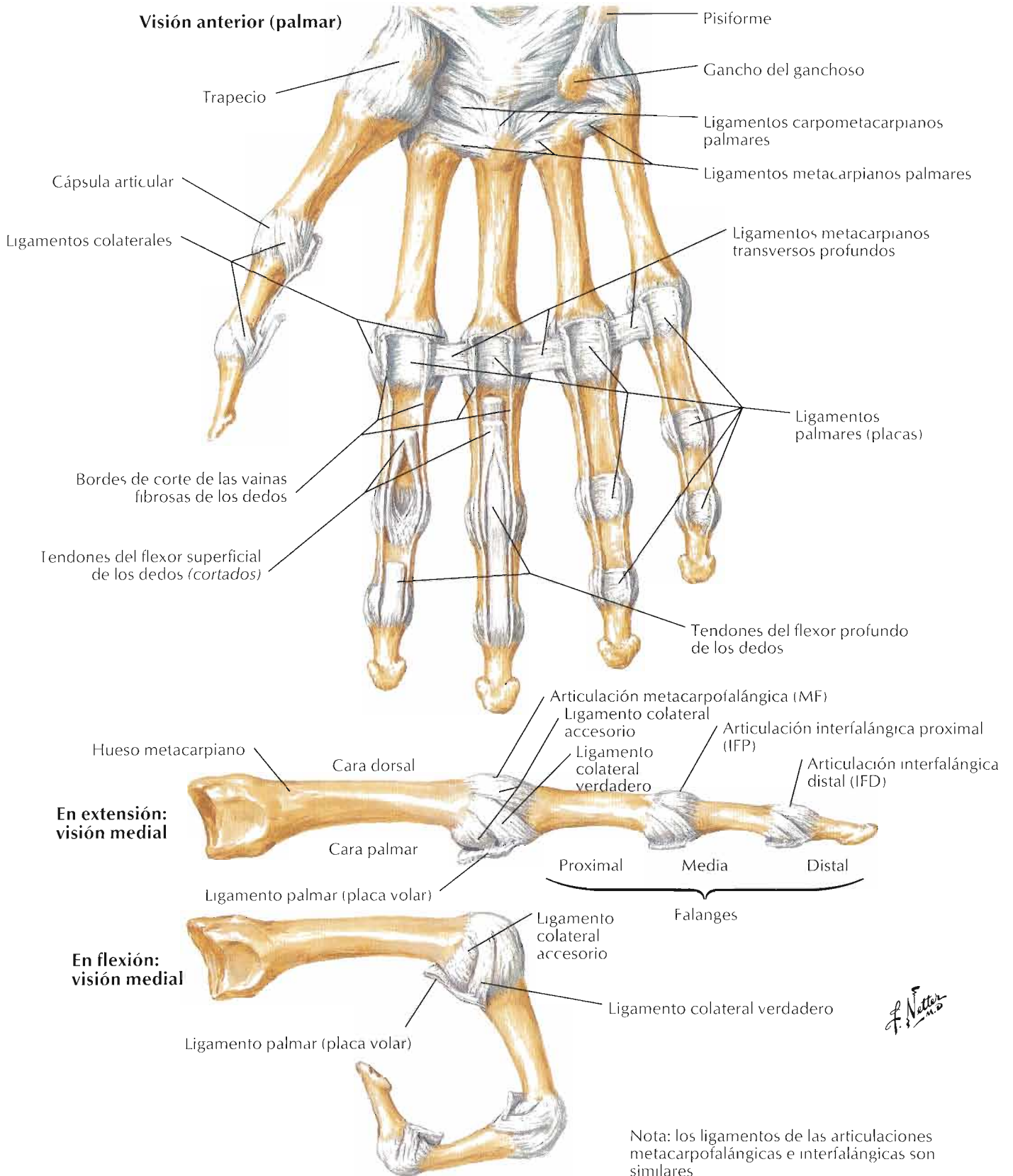


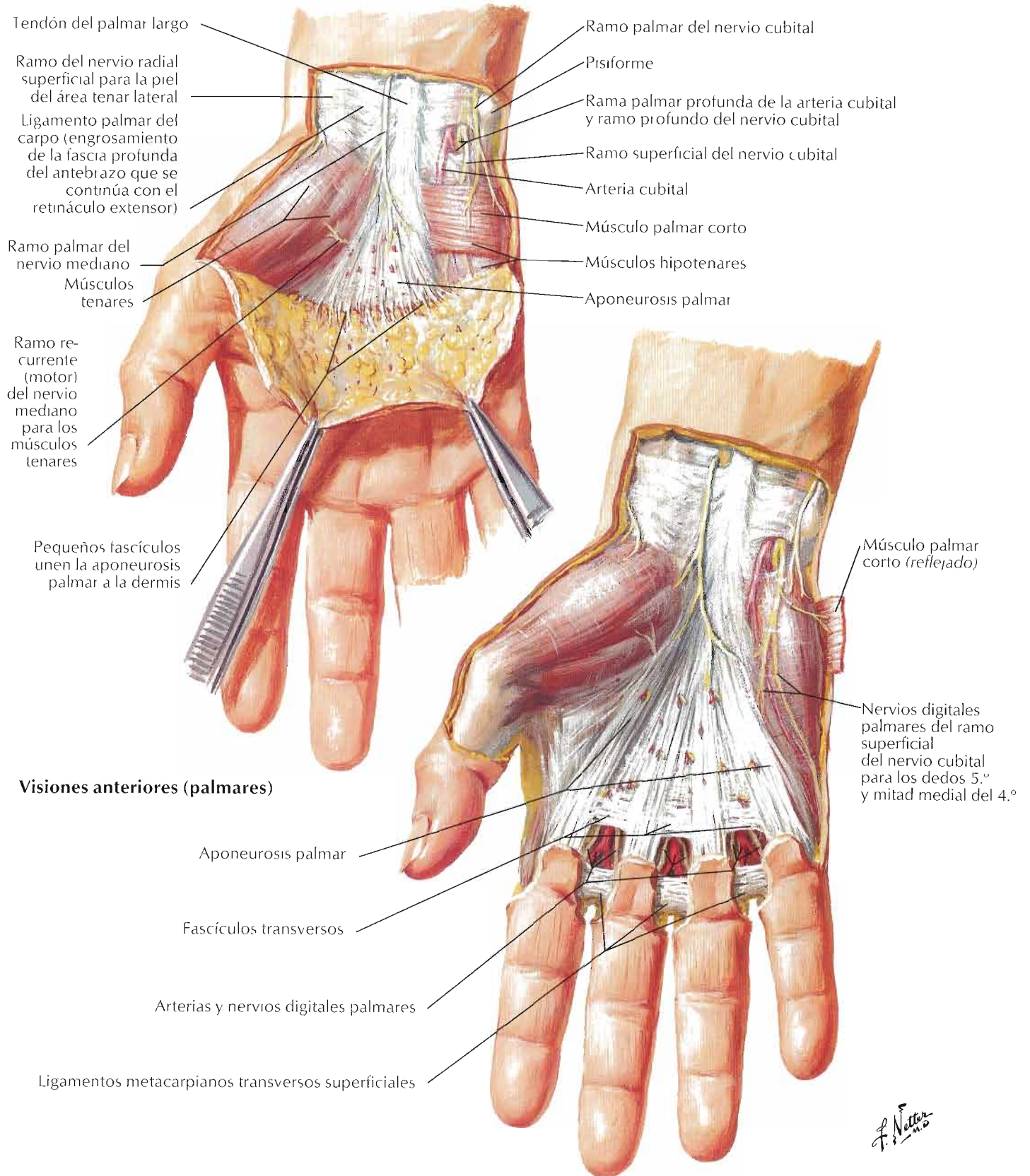


Véase también lámina 456

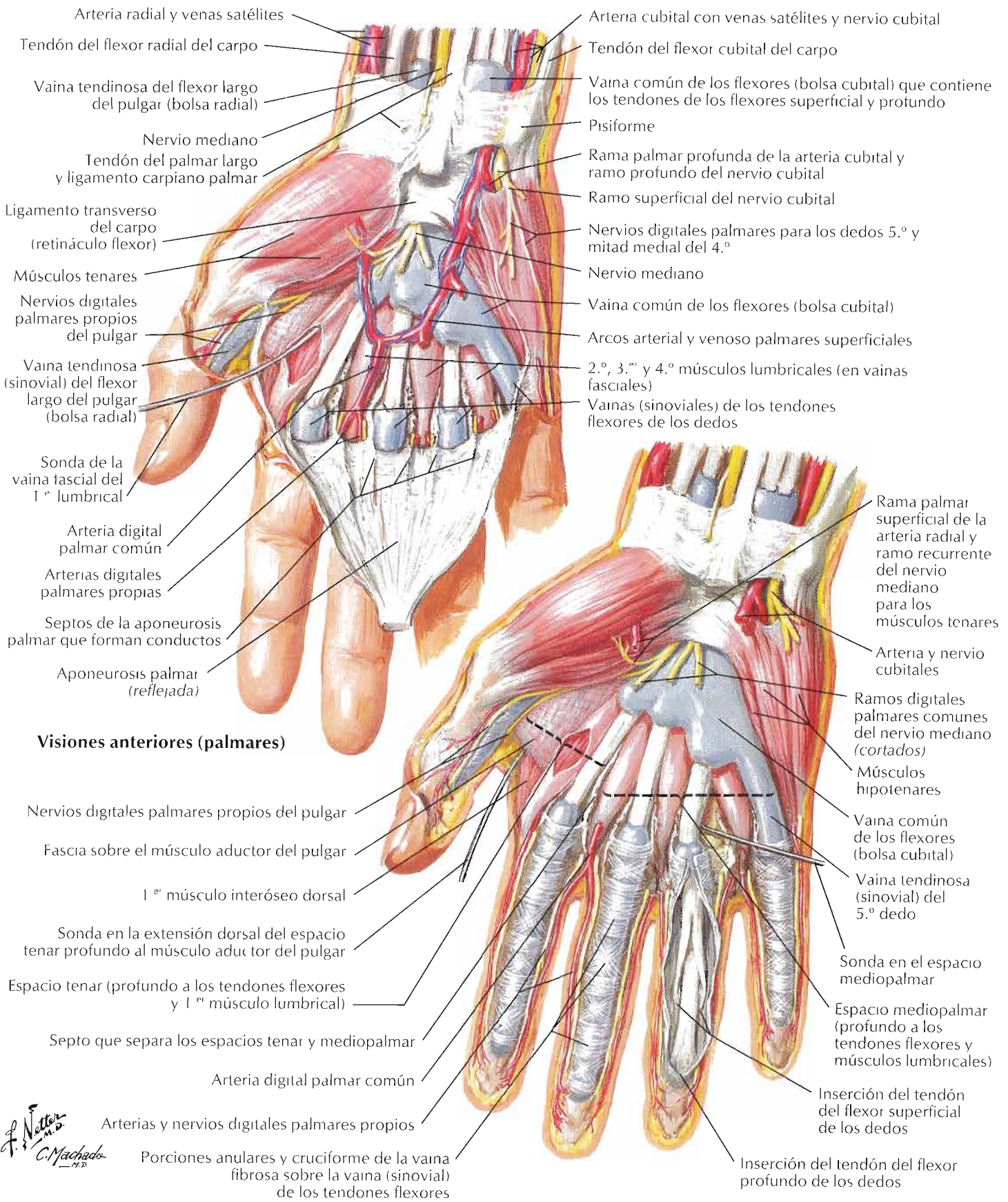


AE	Apófisis estiloides del cúbito	FP	Falange proximal del pulgar
AER	Apófisis estiloides del radio	FPI	Falange proximal del dedo índice
BF	Base de la falange proximal del 4.º dedo	G	Hueso ganchoso
BM	Base del 5.º metacarpiano	GG	Gancho del ganchoso
C	Cúbito	HG	Hueso grande (capitado)
CaM	Cabeza del 5.º metacarpiano	M	Metacarpiano del dedo índice
CF	Cabeza de la falange proximal	P	Pisiforme
CuM	Cuerpo del 5.º metacarpiano	PI	Piramidal
E	Escafoides	R	Radio
FD	Falange distal del pulgar	S	Semilunar
FDA	Falange distal del dedo anular	T	Trapezoide
FM	Falange media del dedo medio	TZ	Trapezio





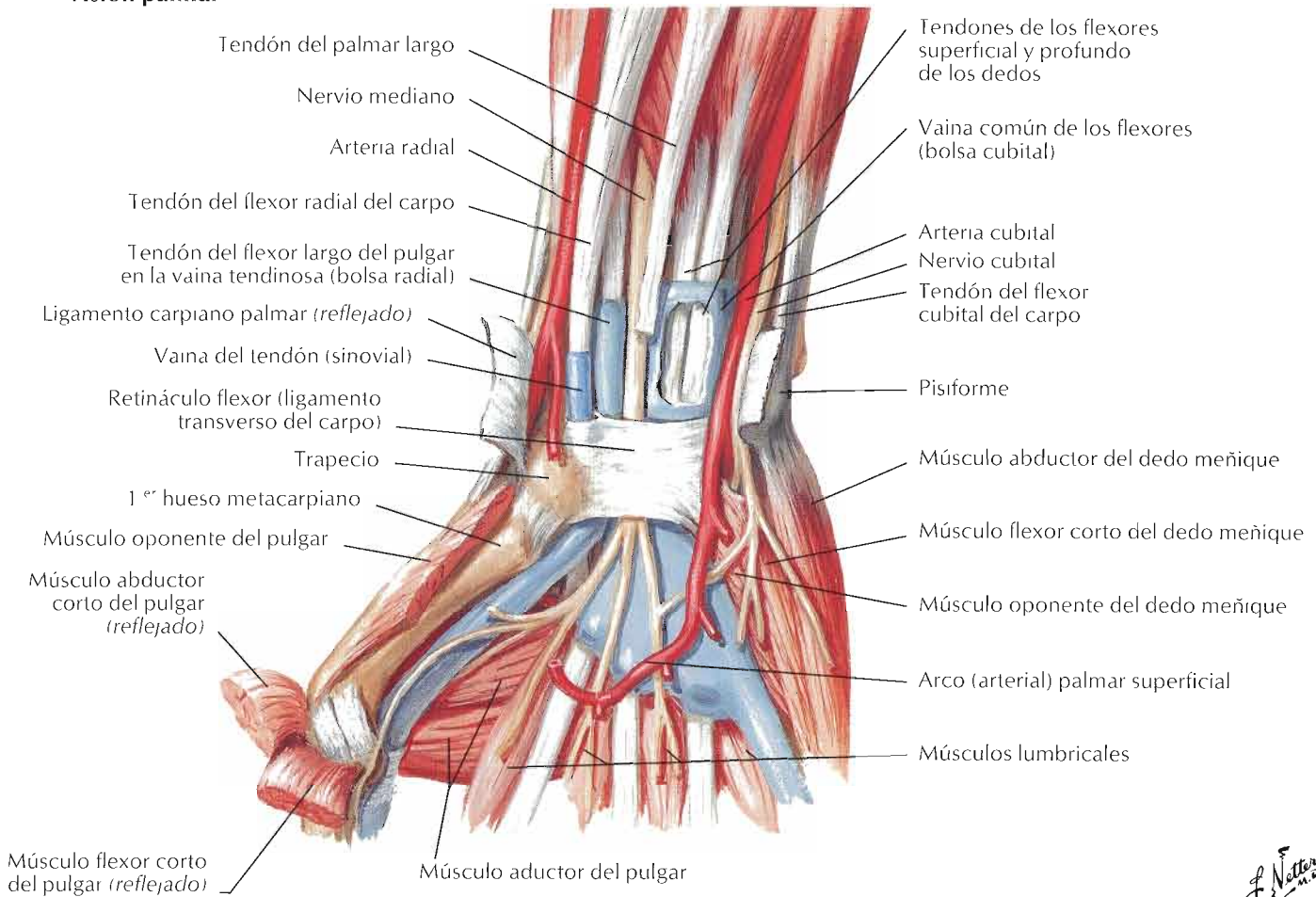
F. Netter M.D.



Visiones anteriores (palmares)

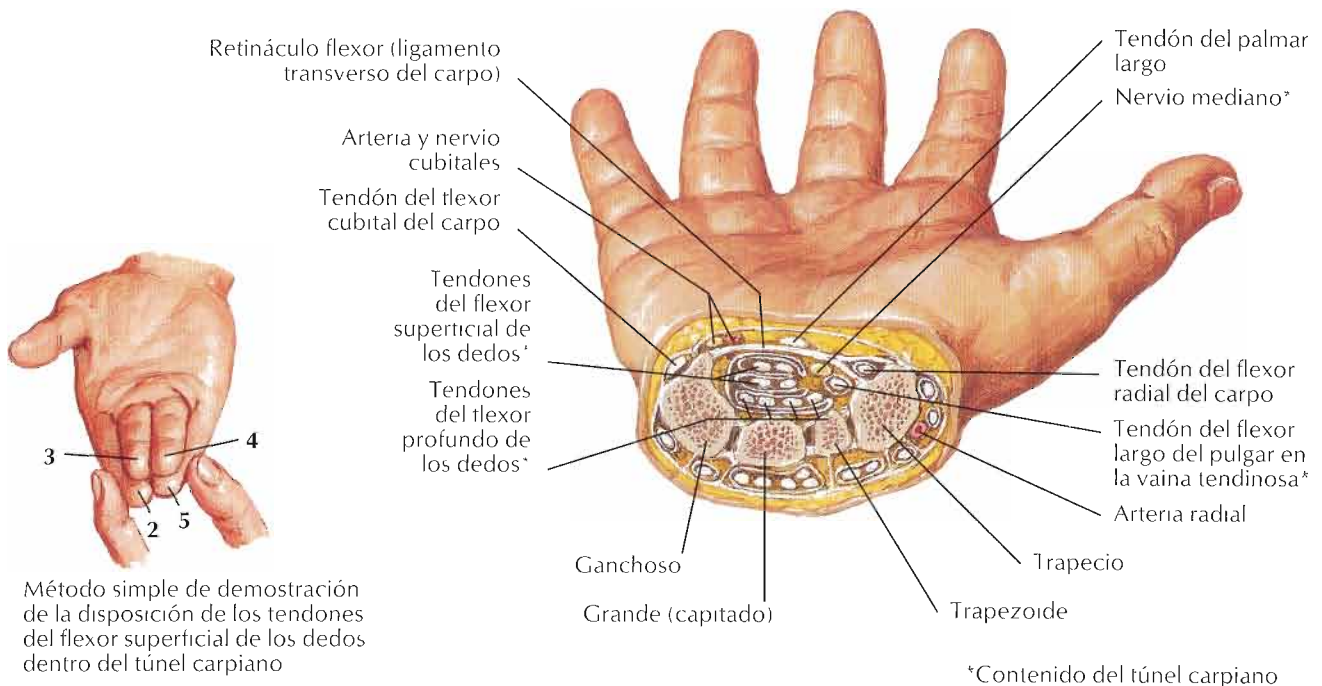
F. Netto
C. Machado
M.D.

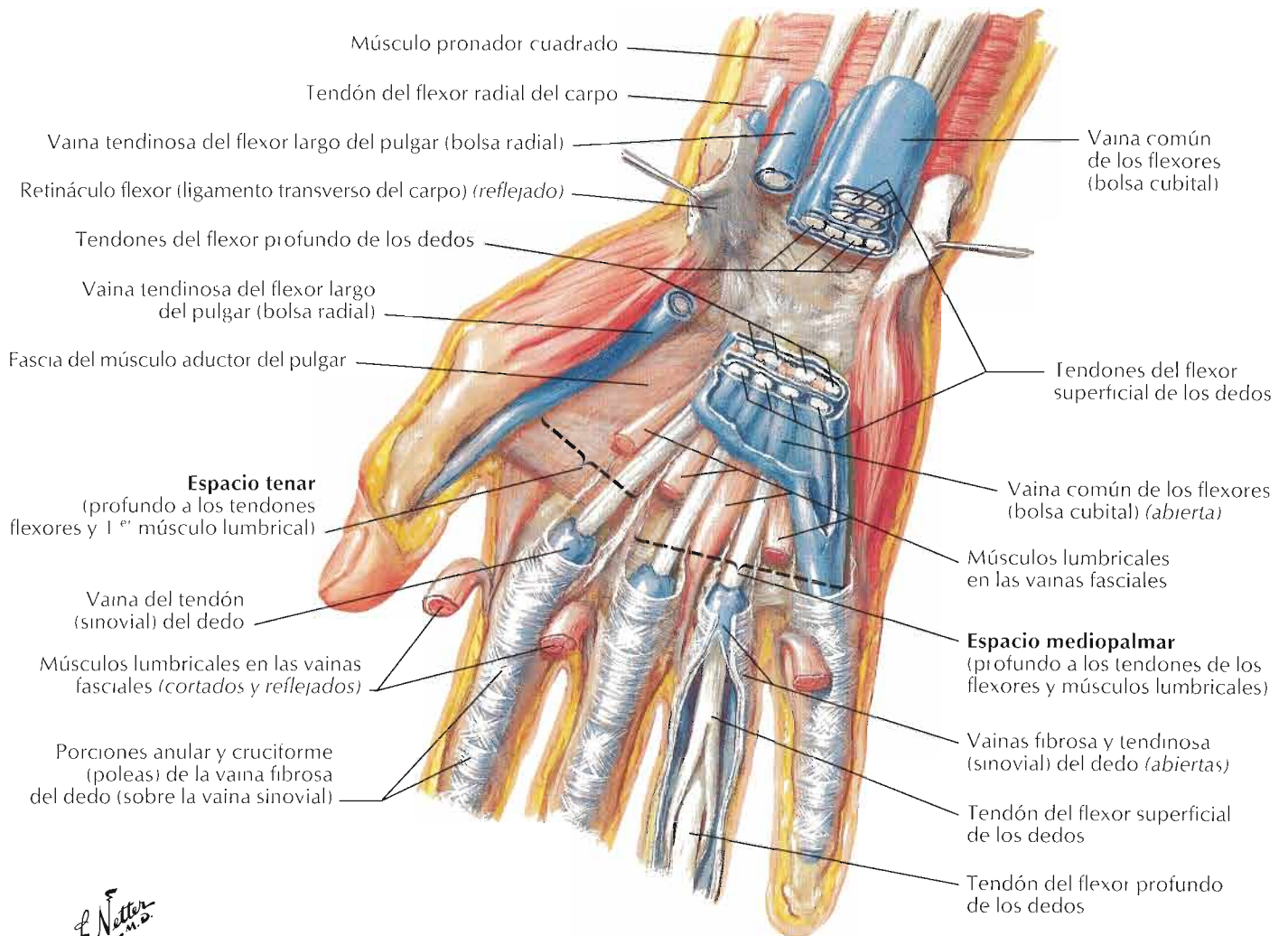
Visión palmar



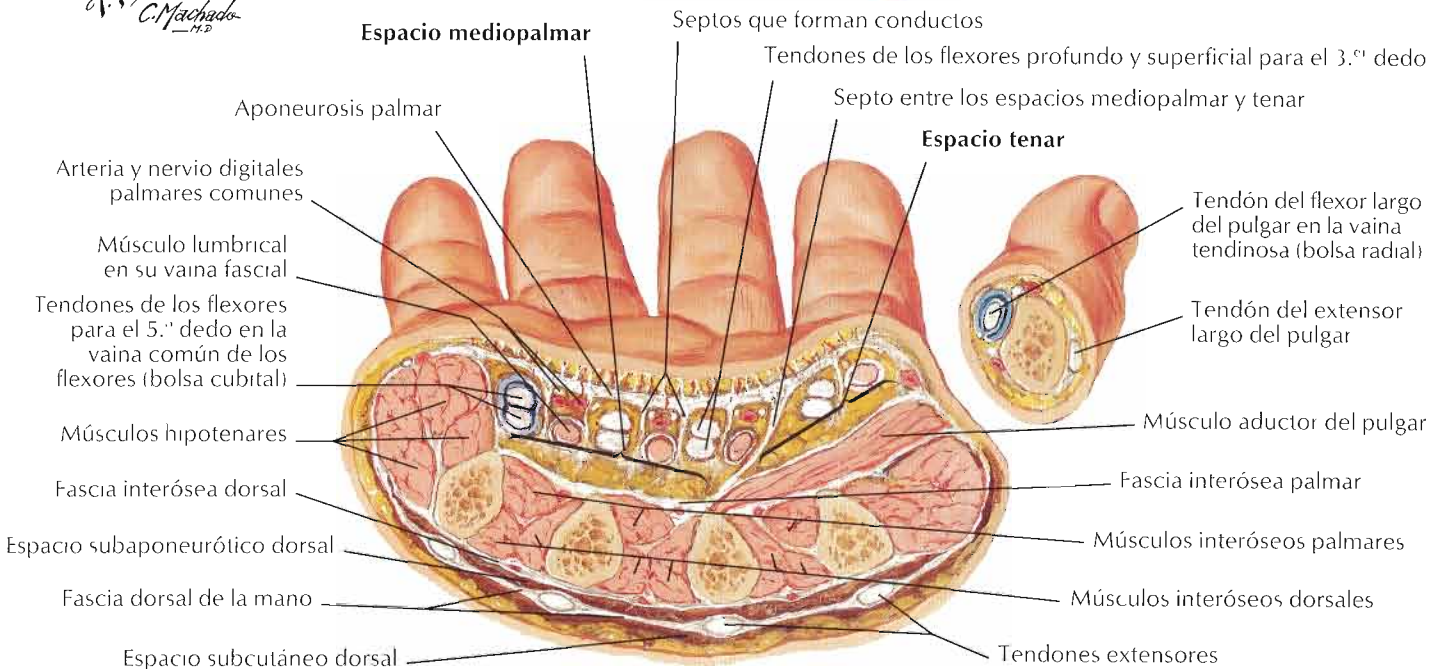
F. Netter M.D.

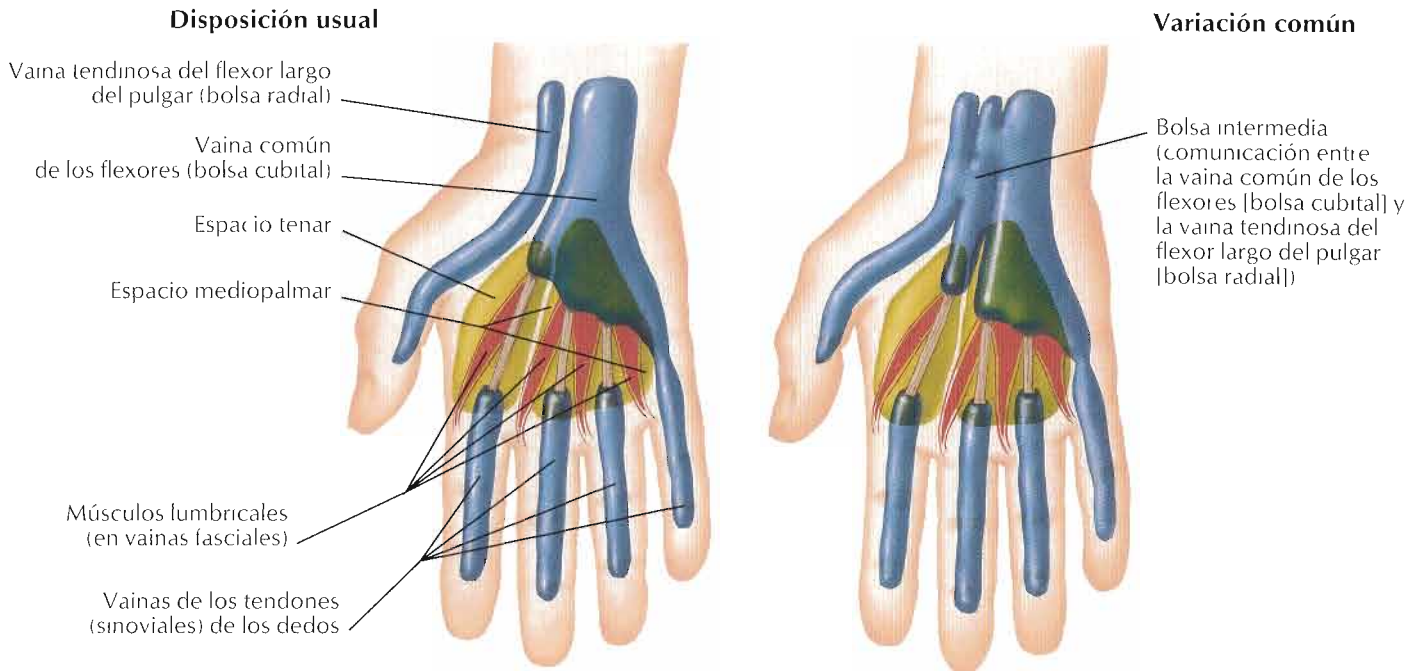
Sección transversal del carpo que muestra el túnel carpiano



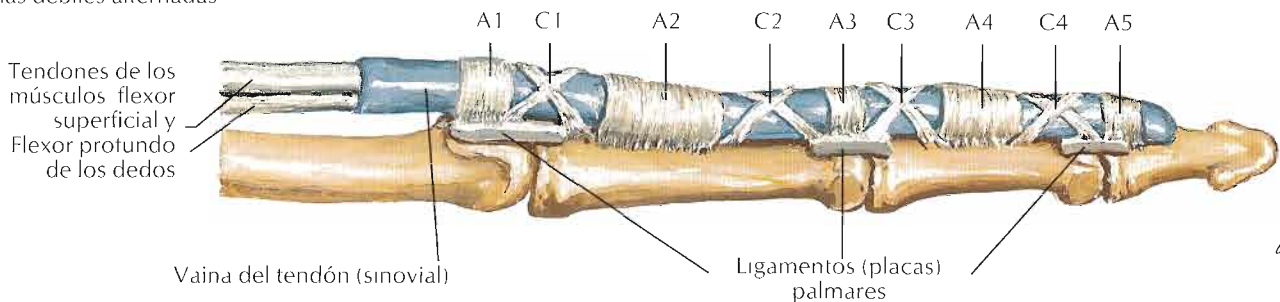
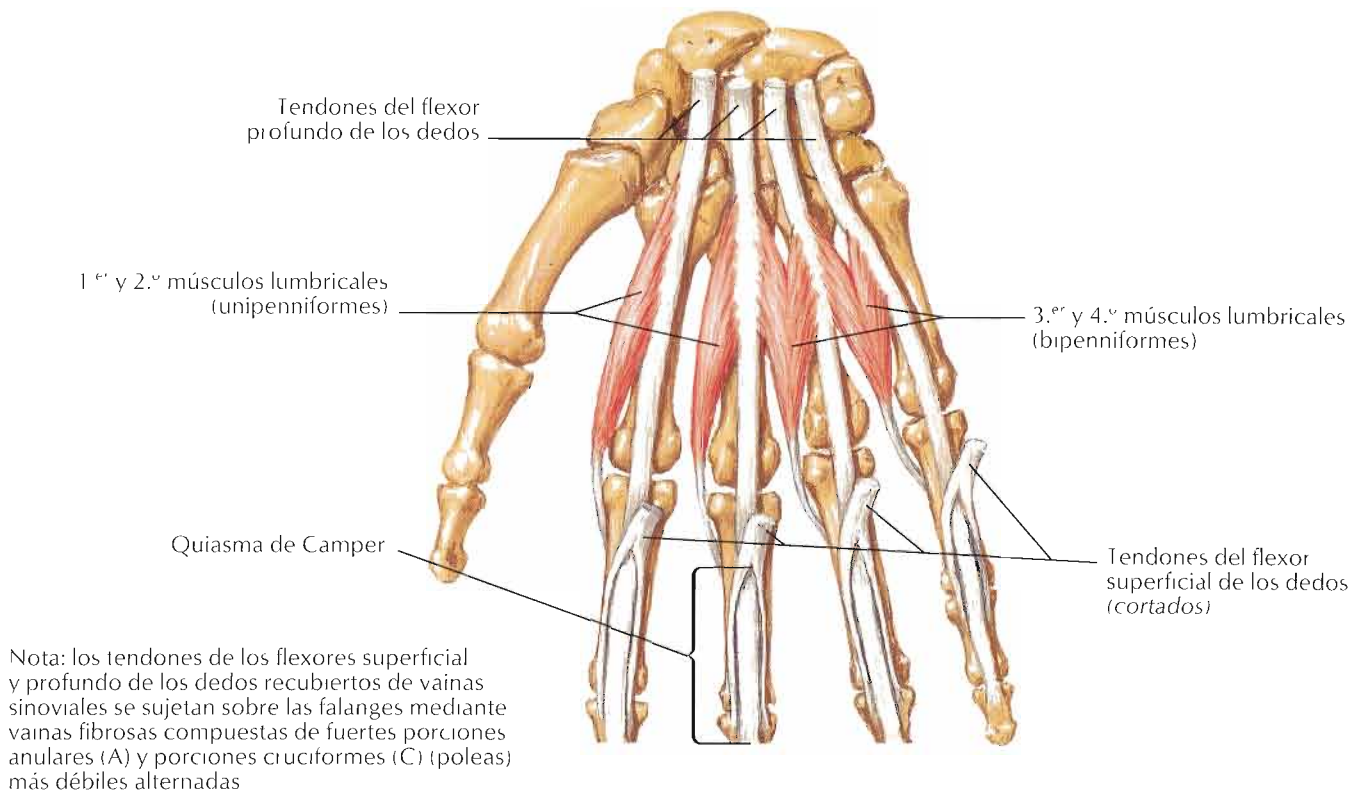


F. Netter M.D.
C. Machado M.D.

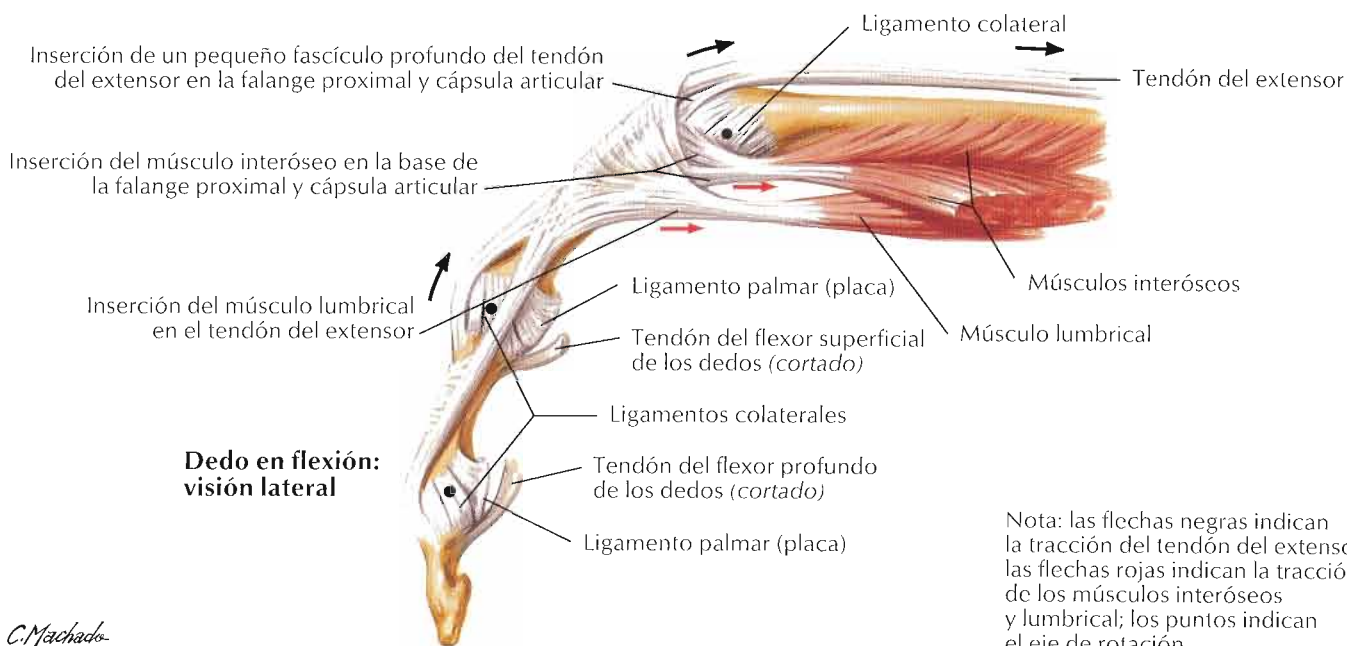
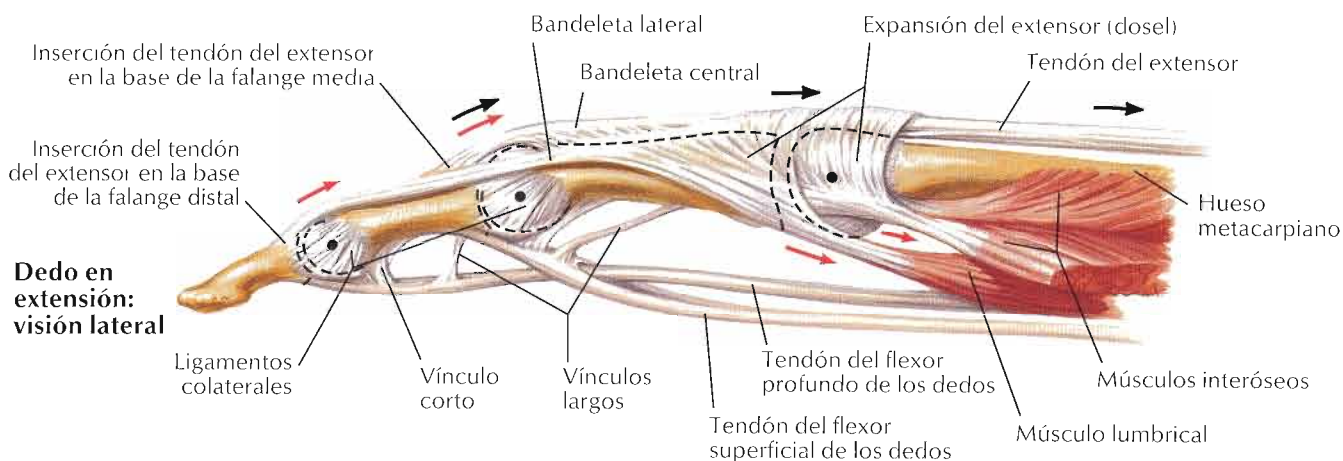
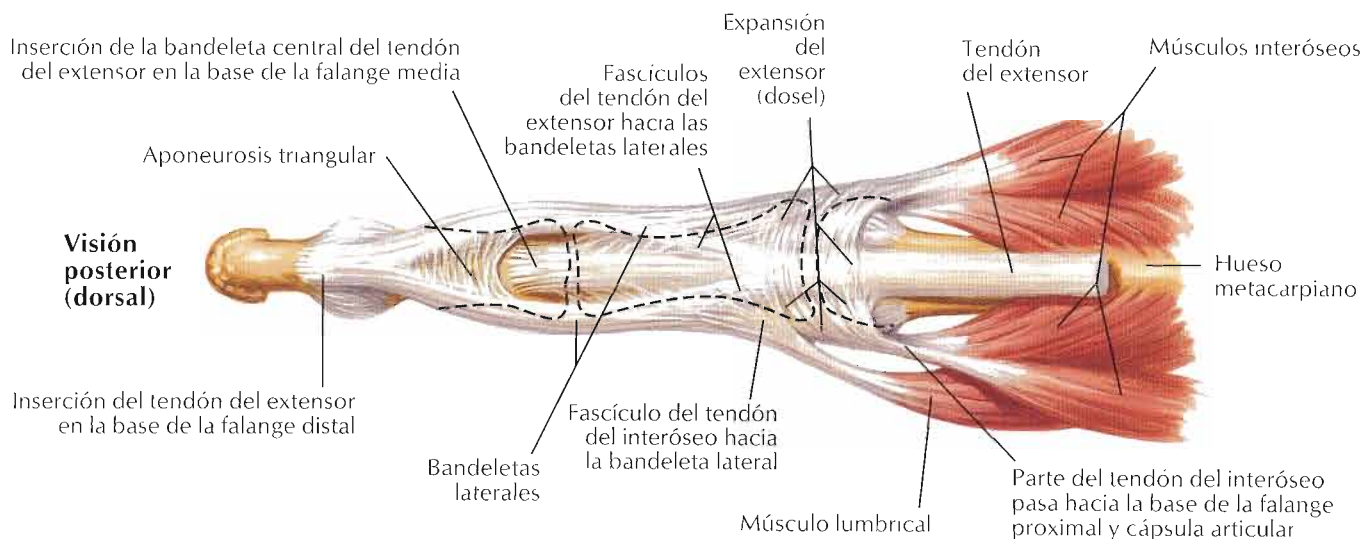




Músculos lumbricales: esquema



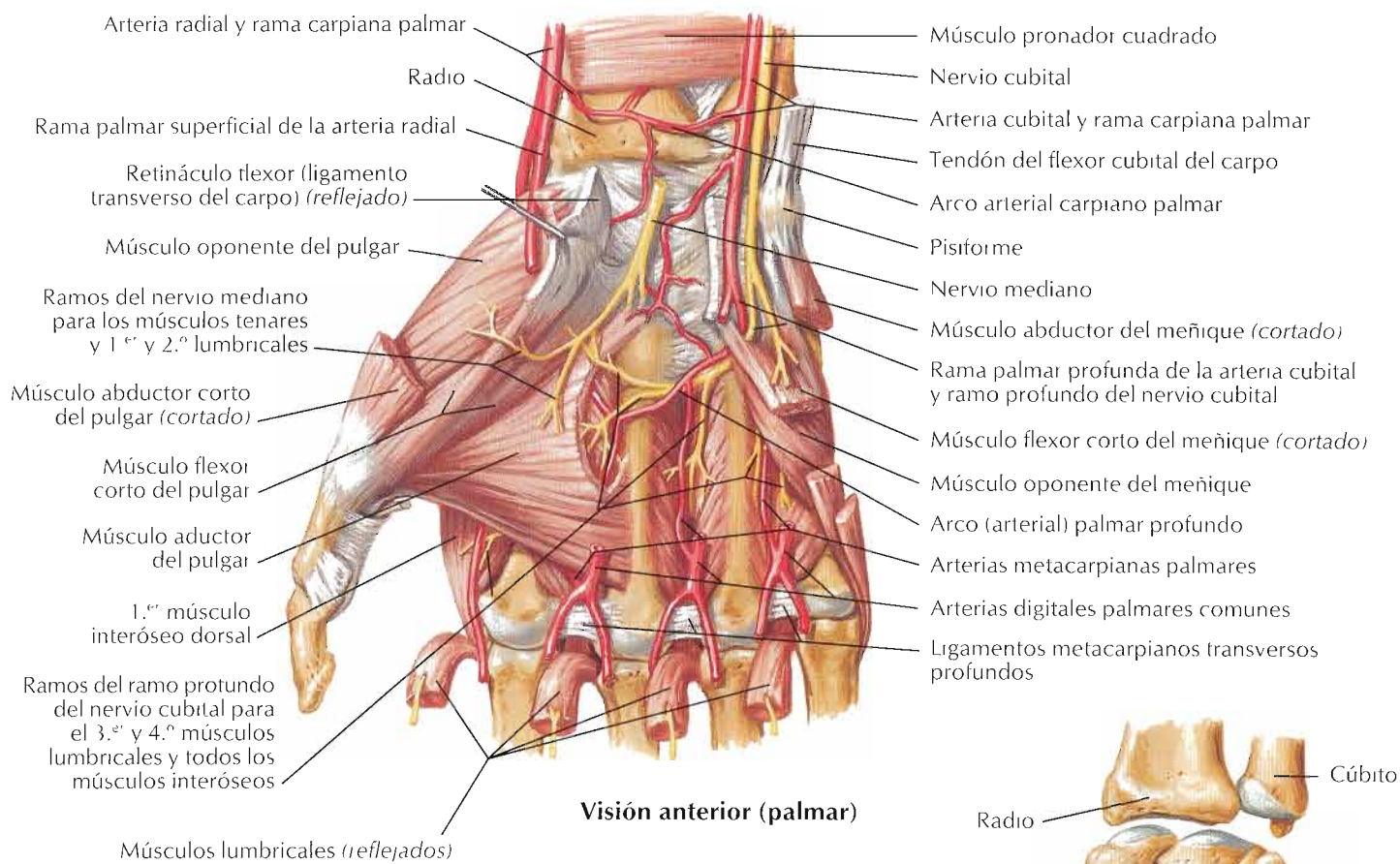
F. Netter



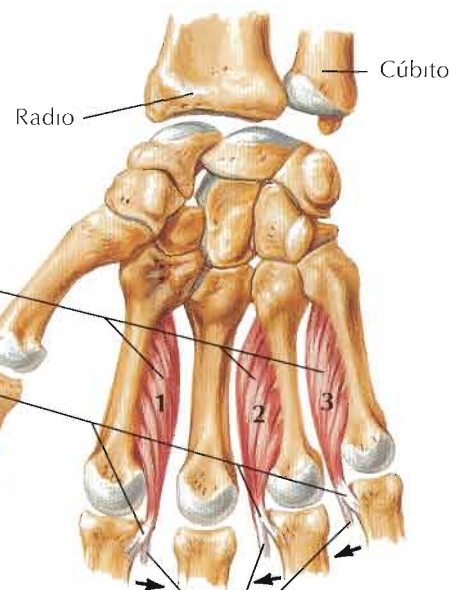
Nota: las flechas negras indican la tracción del tendón del extensor; las flechas rojas indican la tracción de los músculos interóseos y lumbrical; los puntos indican el eje de rotación de las articulaciones

C. Machado
—M.D.

Músculos intrínsecos de la mano

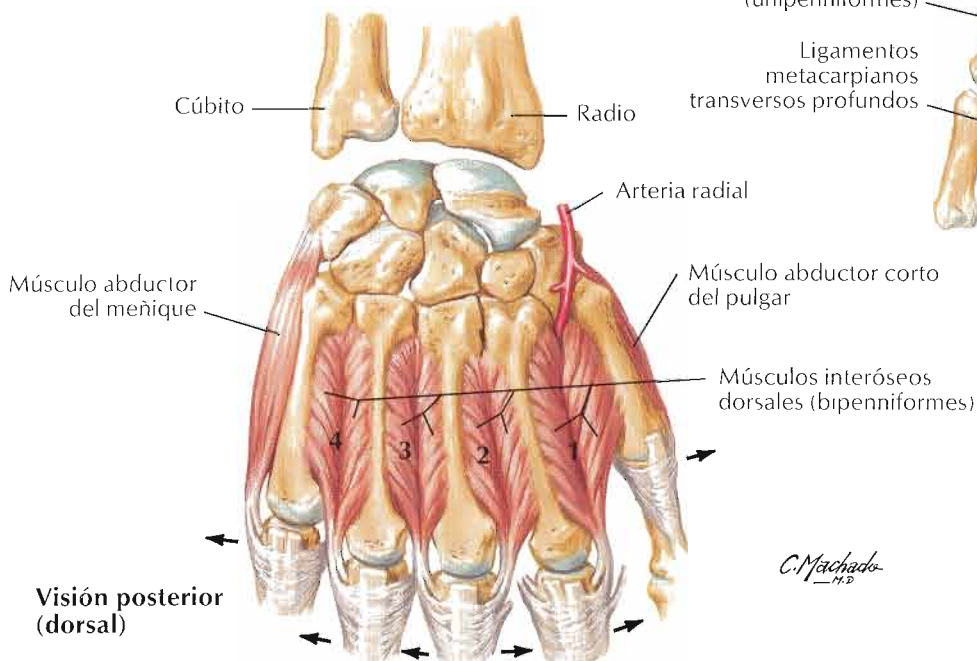


Visión anterior (palmar)



Visión anterior (palmar)

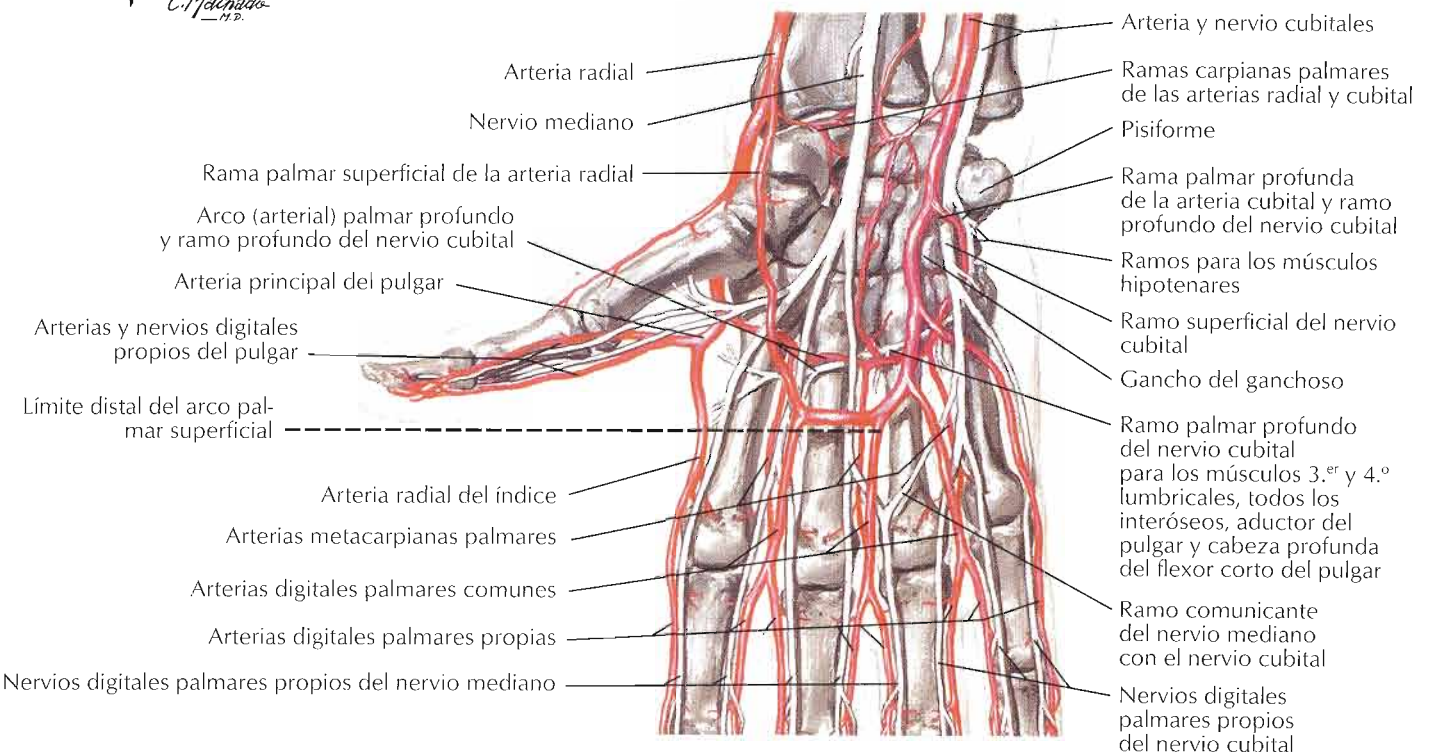
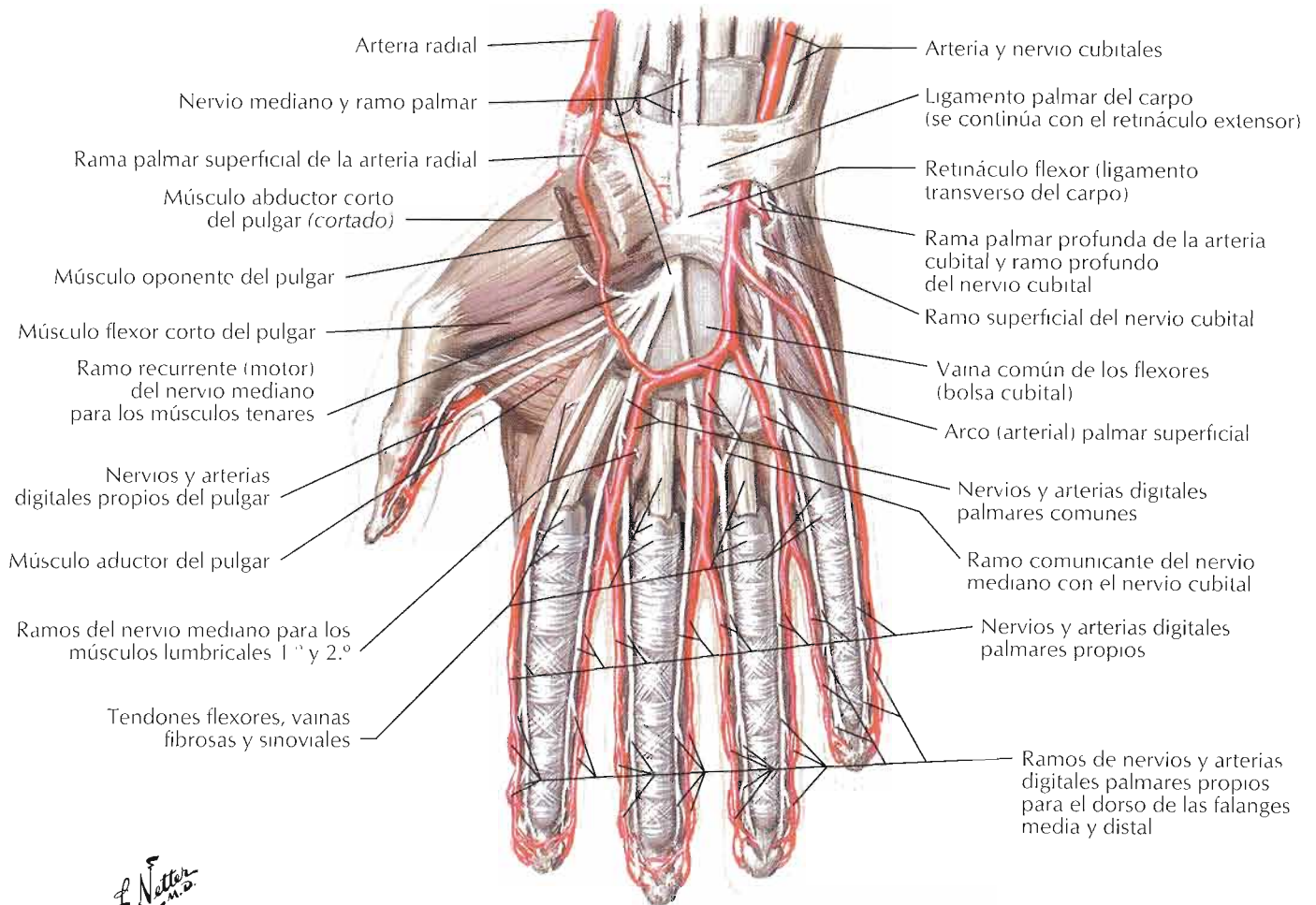
Fascículos tendinosos para las expansiones del extensor (doseles)



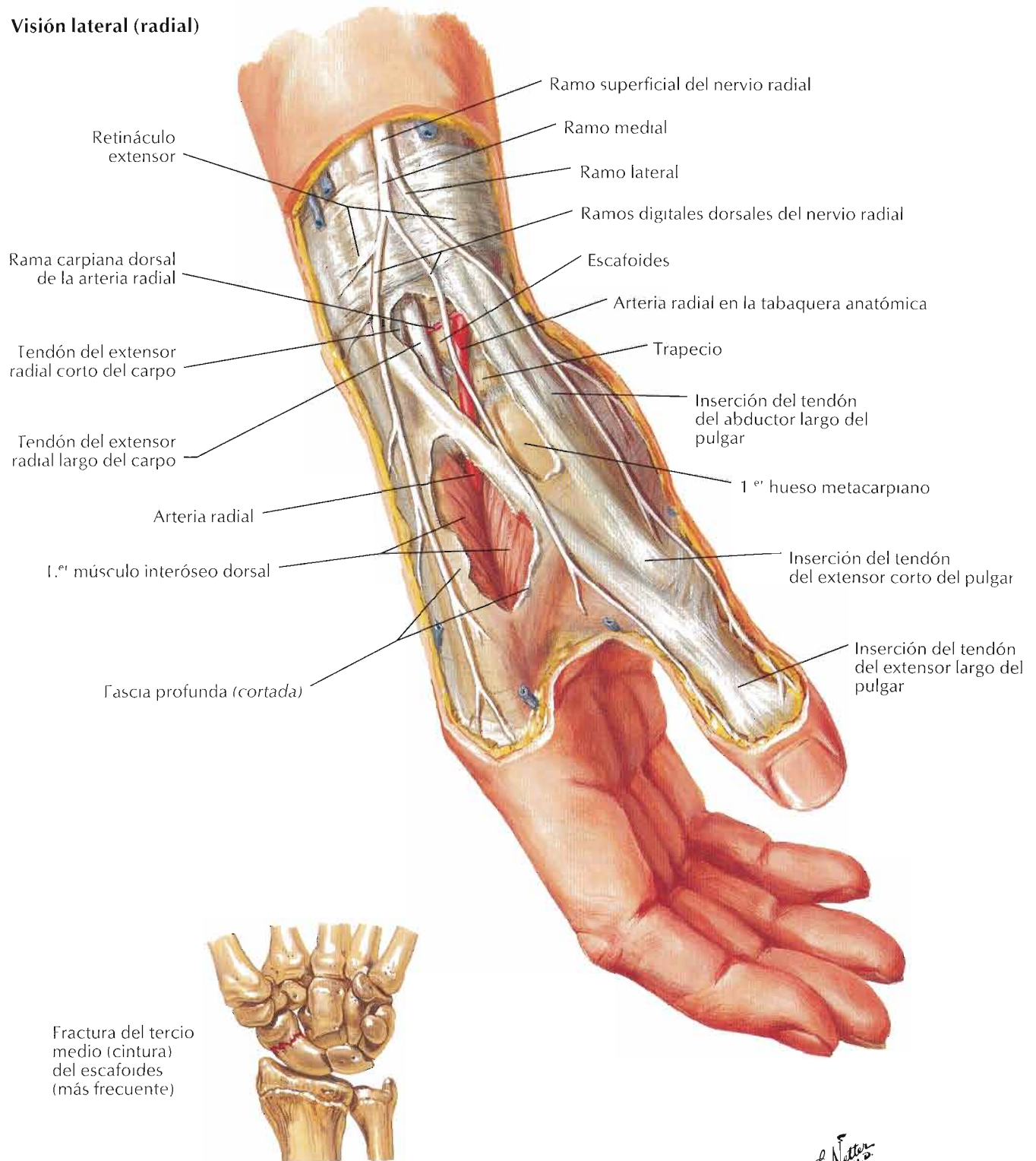
Visión posterior (dorsal)

C. Machado

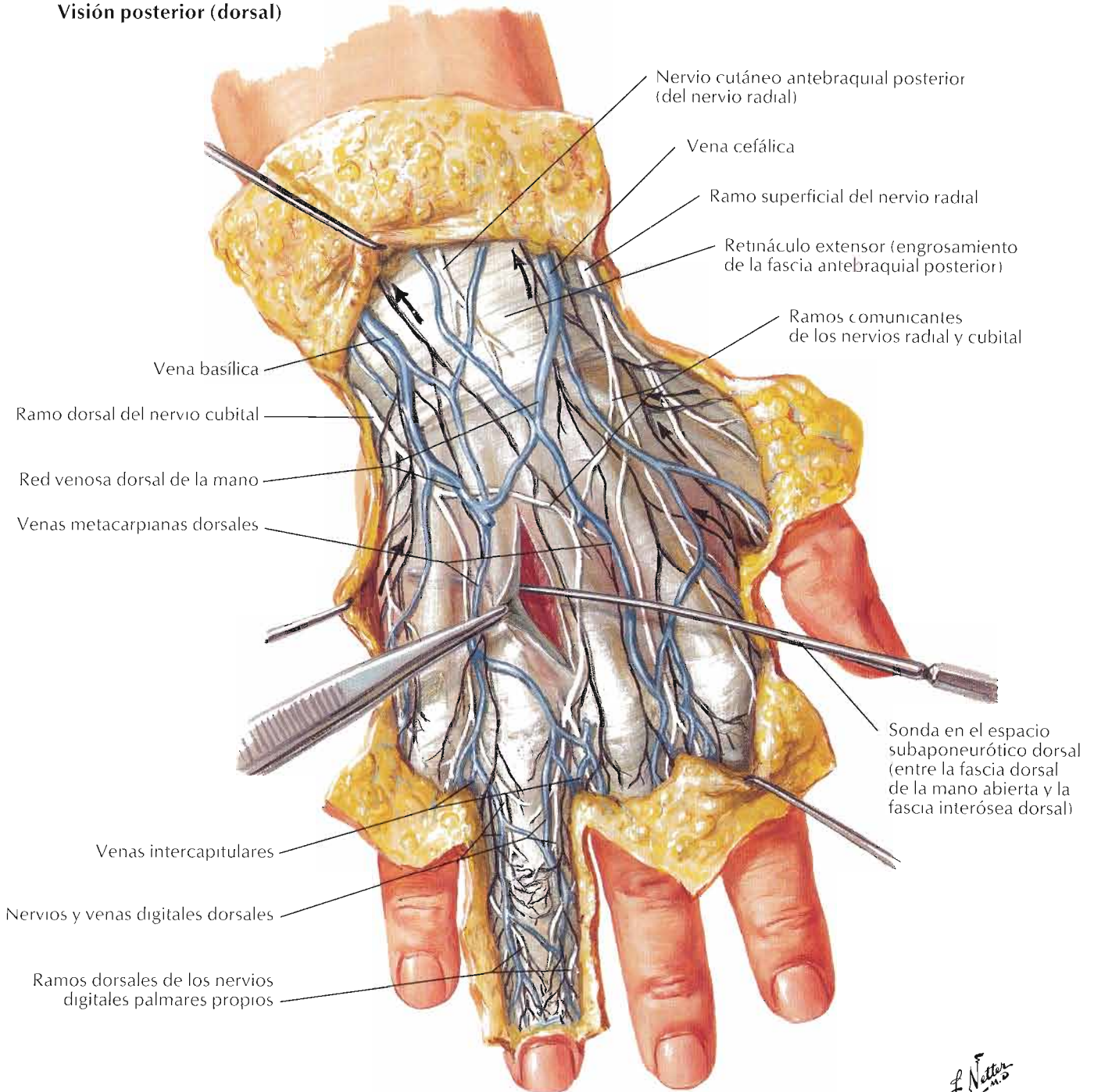
Nota: las flechas indican la acción de los músculos



Visión lateral (radial)

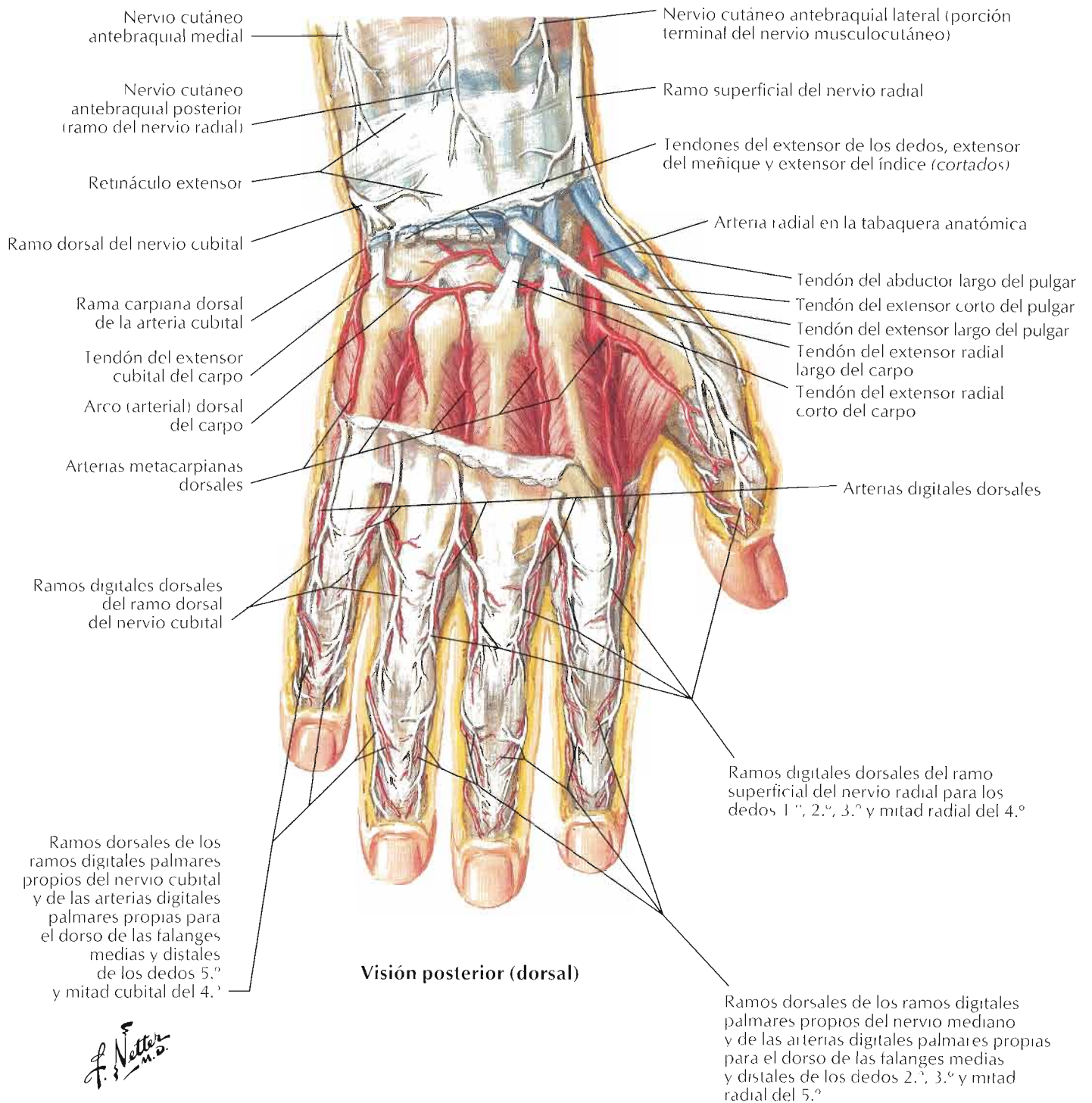


Visión posterior (dorsal)

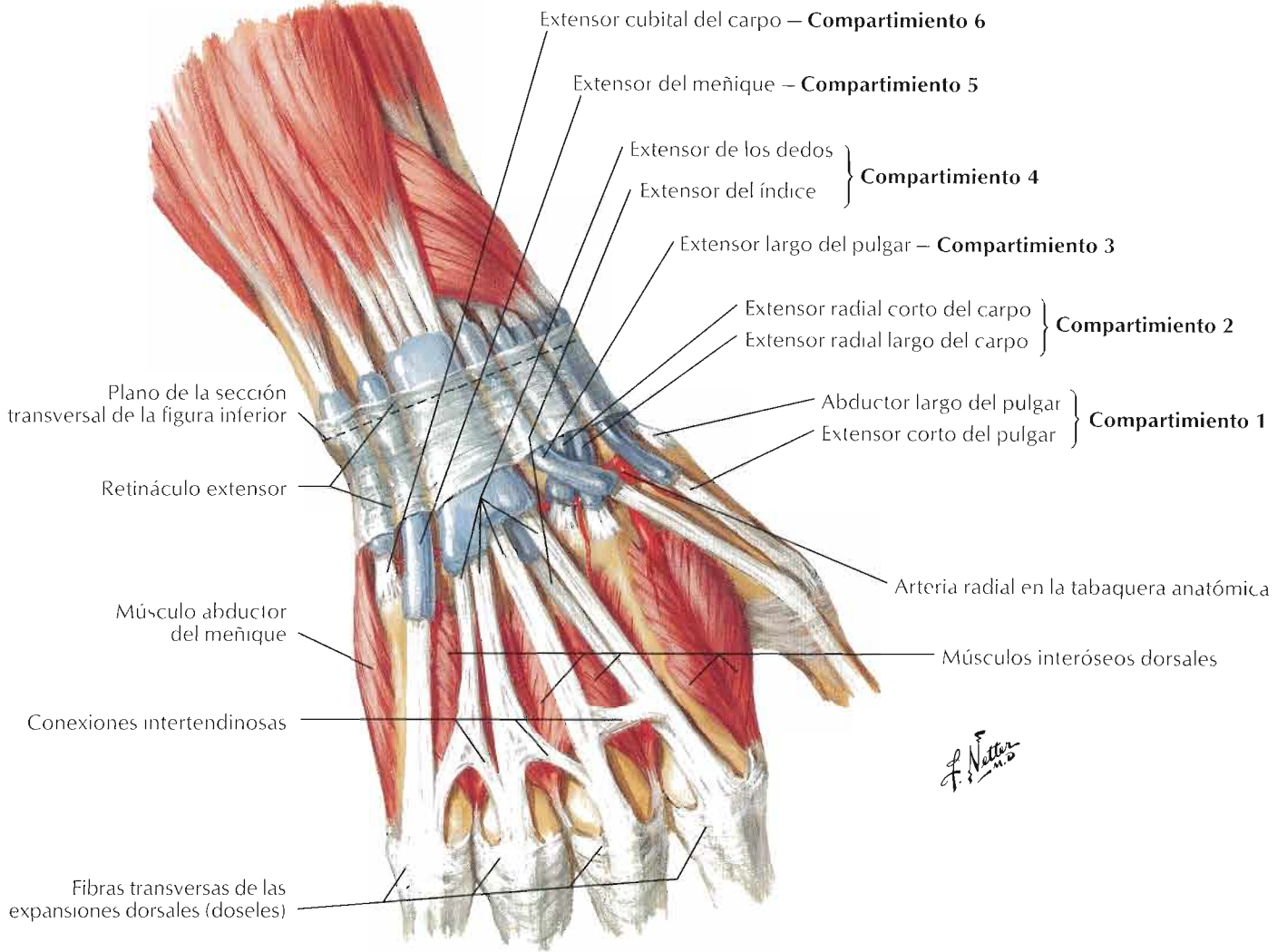


Nota: las vías linfáticas se muestran en negro; las flechas indican la dirección de drenaje

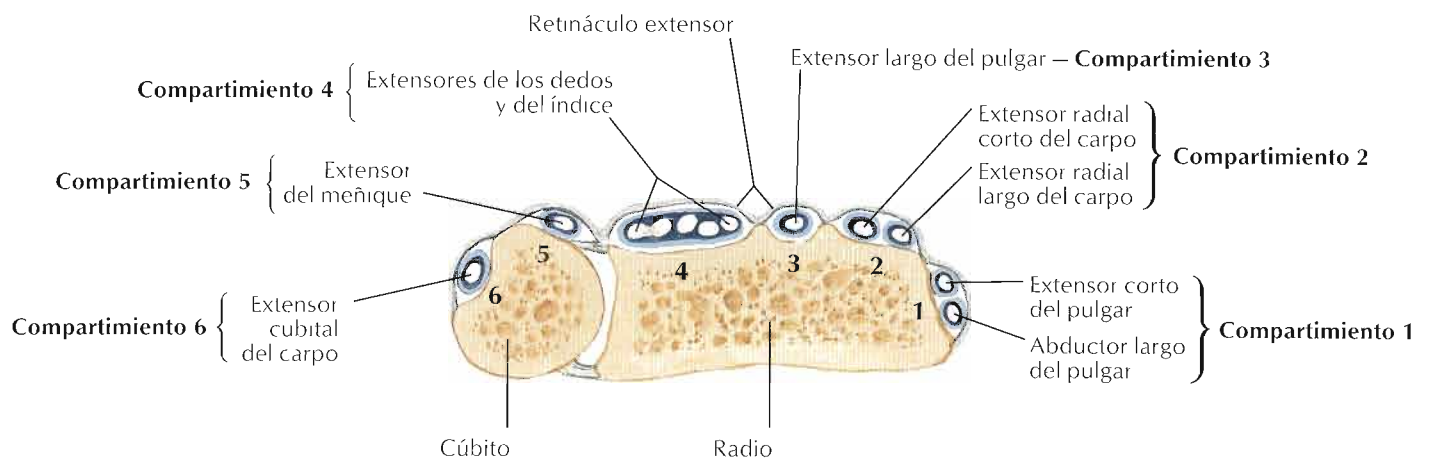
F. Netter M.D.

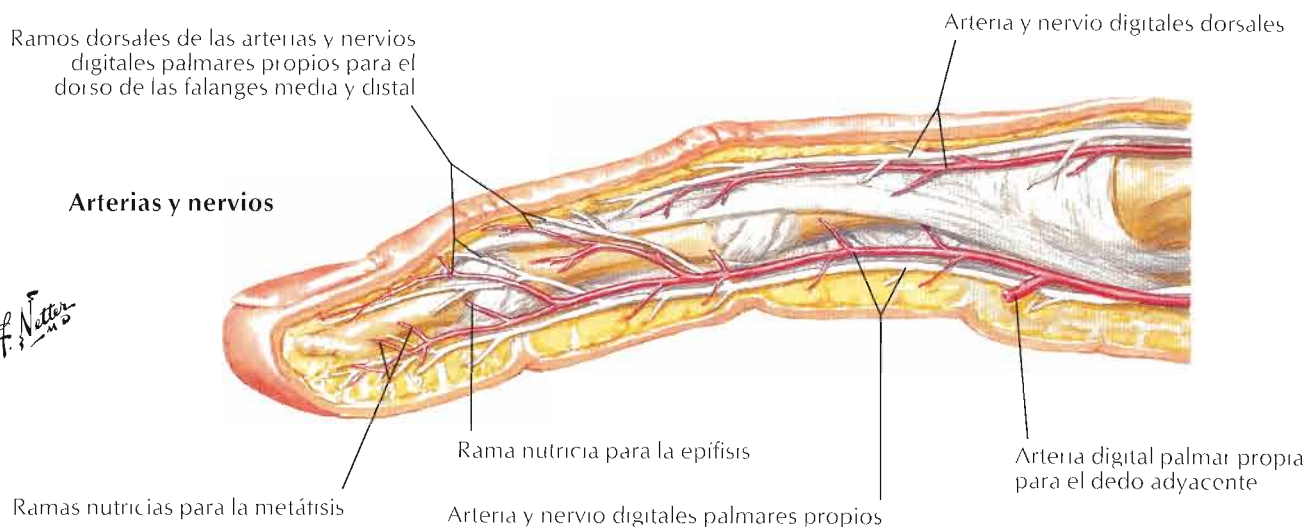
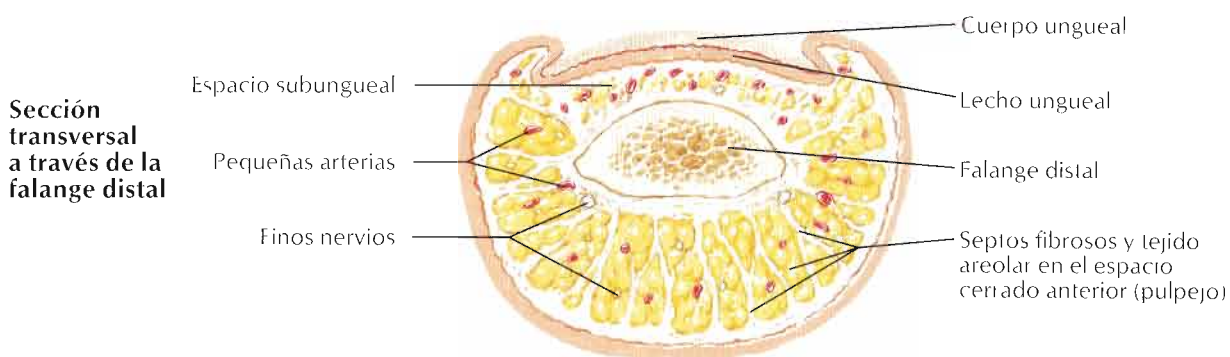
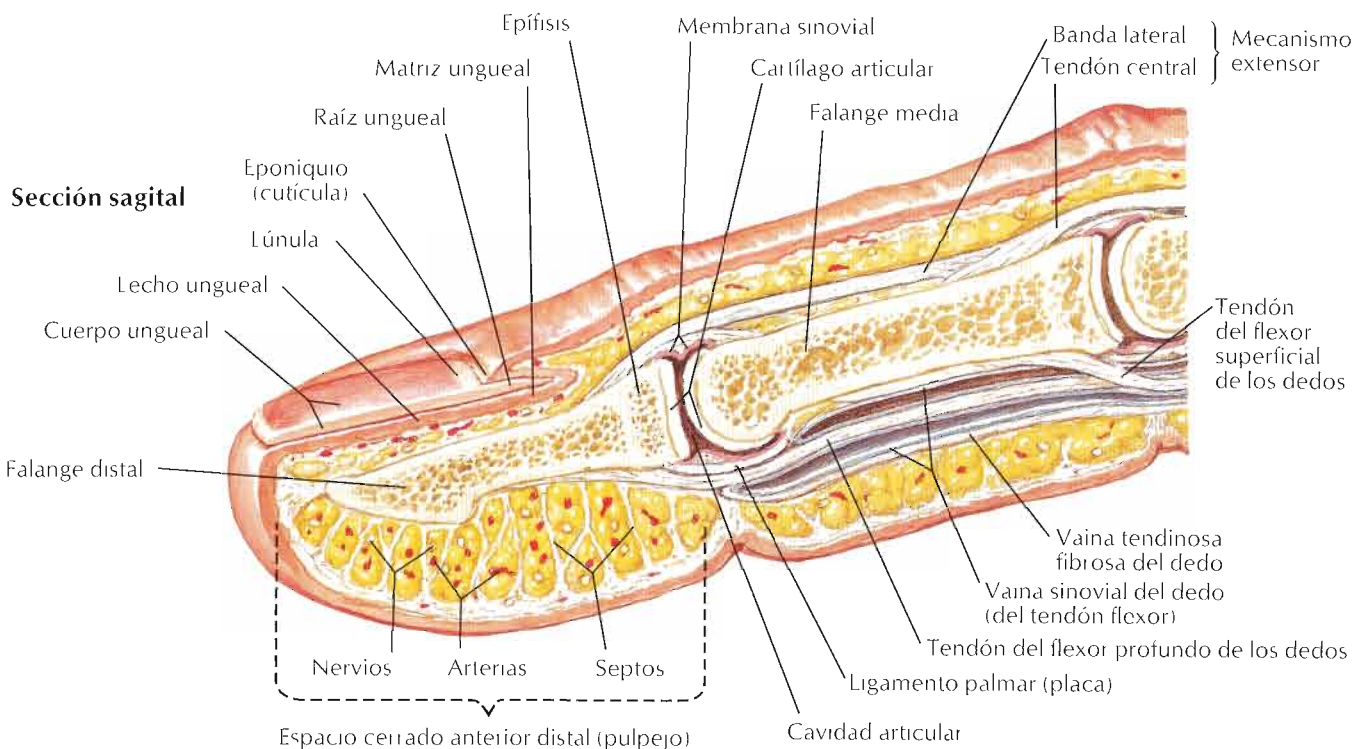


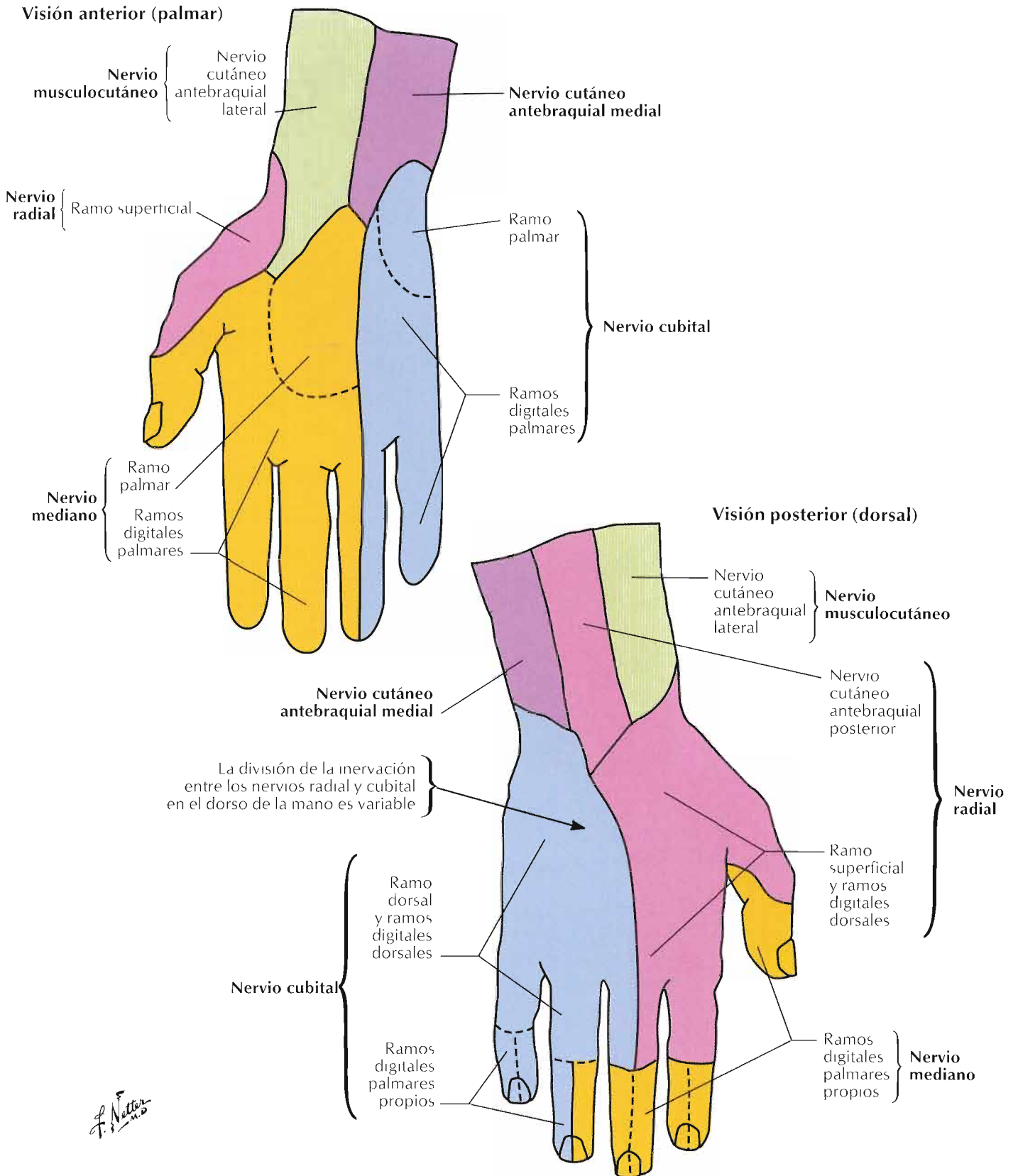
Visión posterior (dorsal)



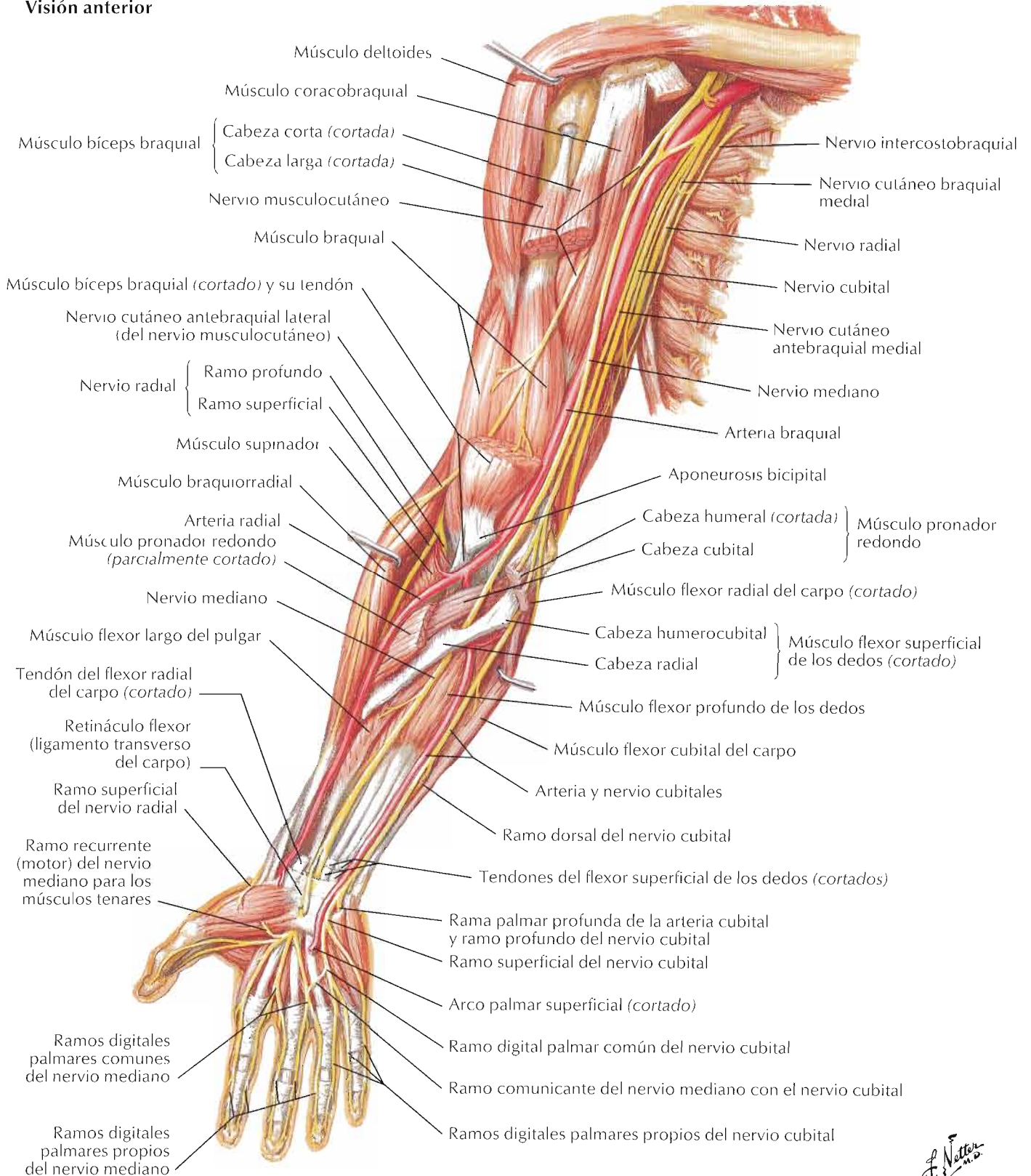
Sección transversal de la porción más distal del antebrazo







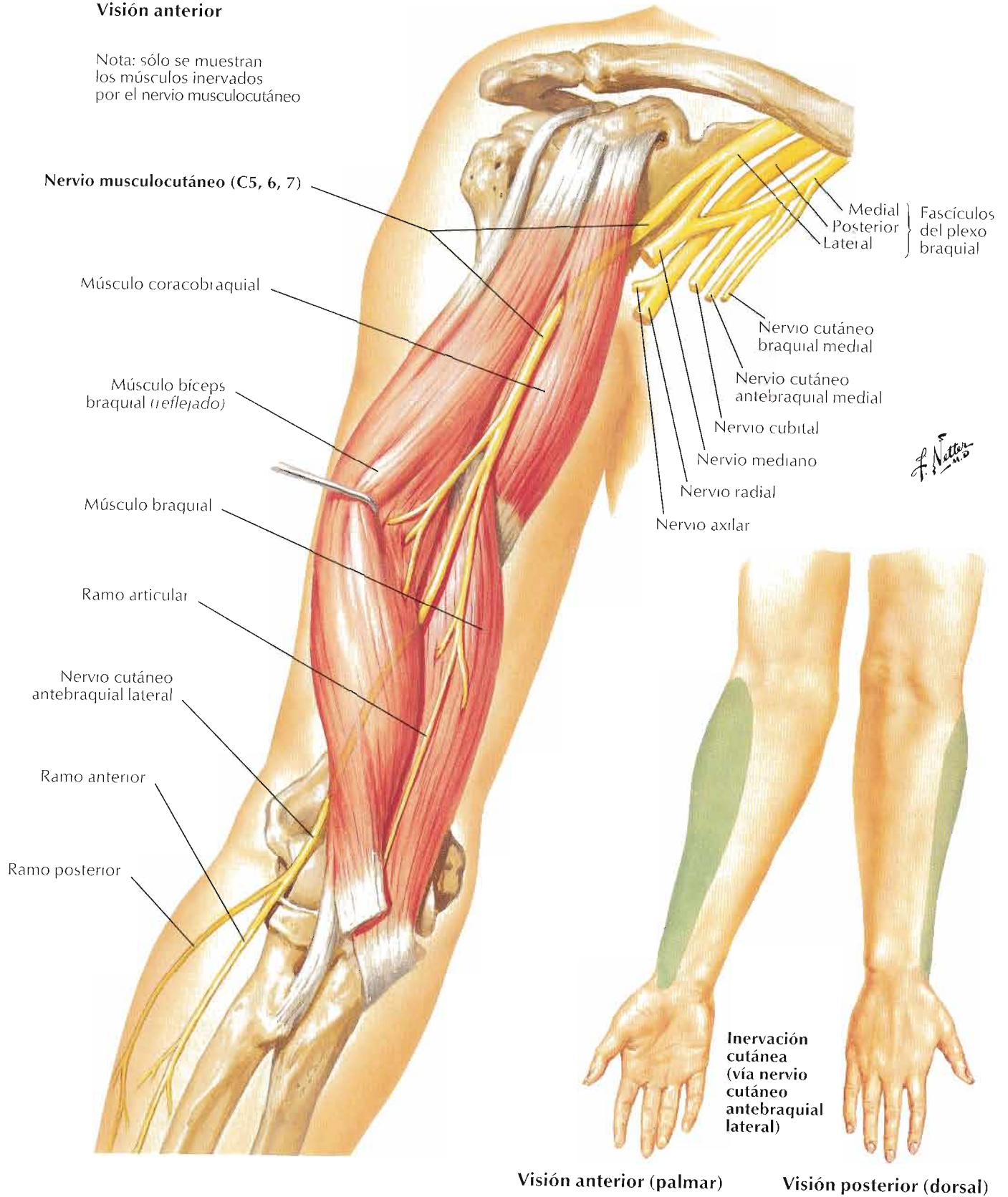
Visión anterior



F. Netter M.D.

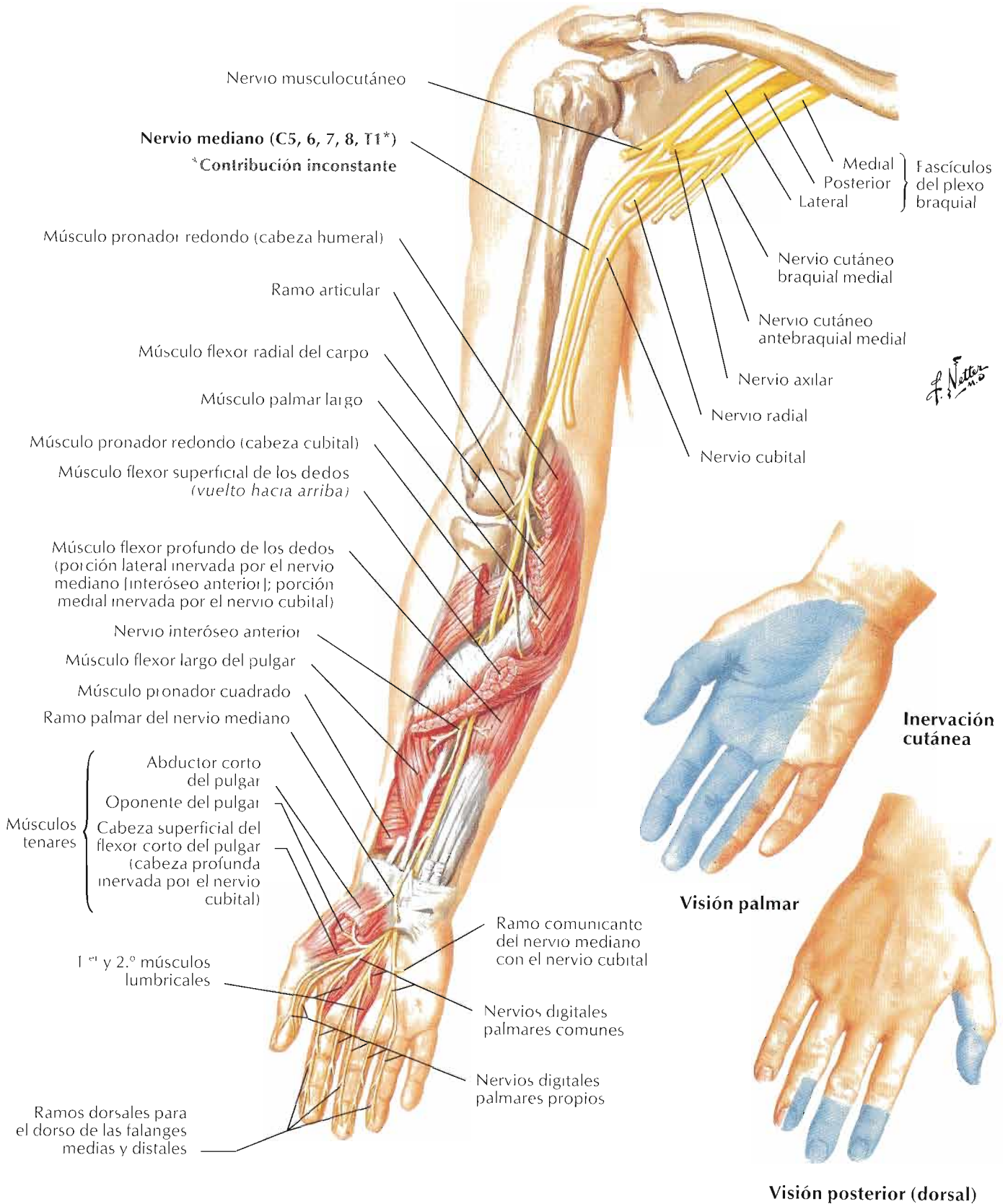
Visión anterior

Nota: sólo se muestran los músculos inervados por el nervio musculocutáneo



Visión anterior

Nota: sólo se muestran los músculos inervados por el nervio mediano



Visión anterior

Nota. sólo se muestran los músculos inervados por el nervio cubital

Nervio cubital (C7*, 8, T1)
(no da ramos por encima del codo)
*Contribución inconstante



Visión palmar

Visión posterior (dorsal)

Músculo flexor corto del pulgar (sólo la cabeza profunda; la cabeza superficial y los otros músculos tenares inervados por el nervio mediano)

Músculo aductor del pulgar

Epicóndilo medial

Ramo articular (detrás del cóndilo)

Músculo flexor profundo de los dedos (sólo la porción medial; la porción lateral inervada por el ramo interóseo anterior del nervio mediano)

Músculo flexor cubital del carpo (traccionado hacia un lado)

Ramo dorsal del nervio cubital

Ramo palmar

Ramo superficial

Ramo profundo

Palmar corto

Abductor del meñique

Flexor corto del meñique

Oponente del meñique

Músculos hipotenares

Nervio digital palmar común

Ramo comunicante del nervio mediano con el nervio cubital

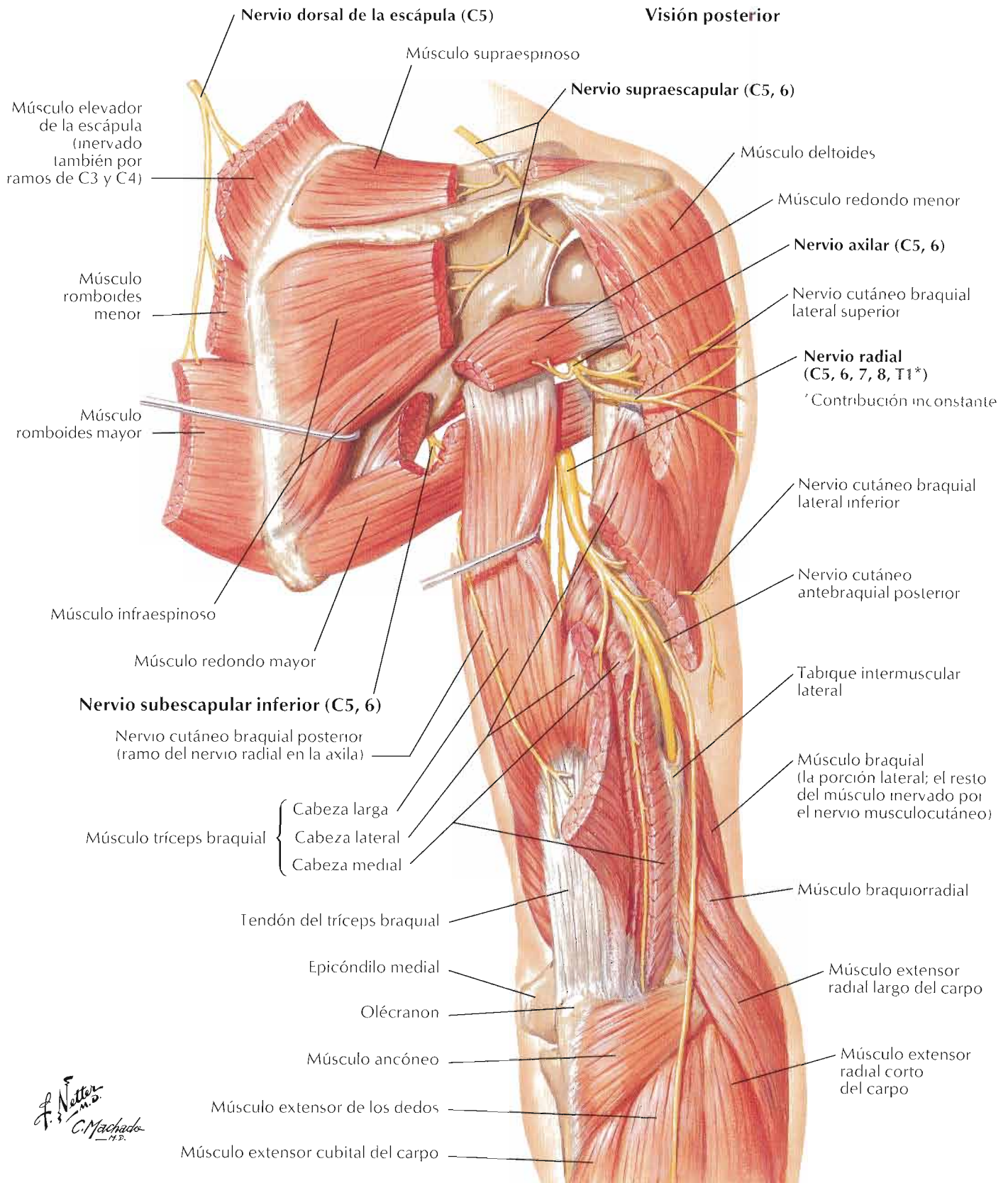
Músculos interóseos palmares y dorsales

3.º y 4.º músculos lumbricales (traccionados hacia abajo)

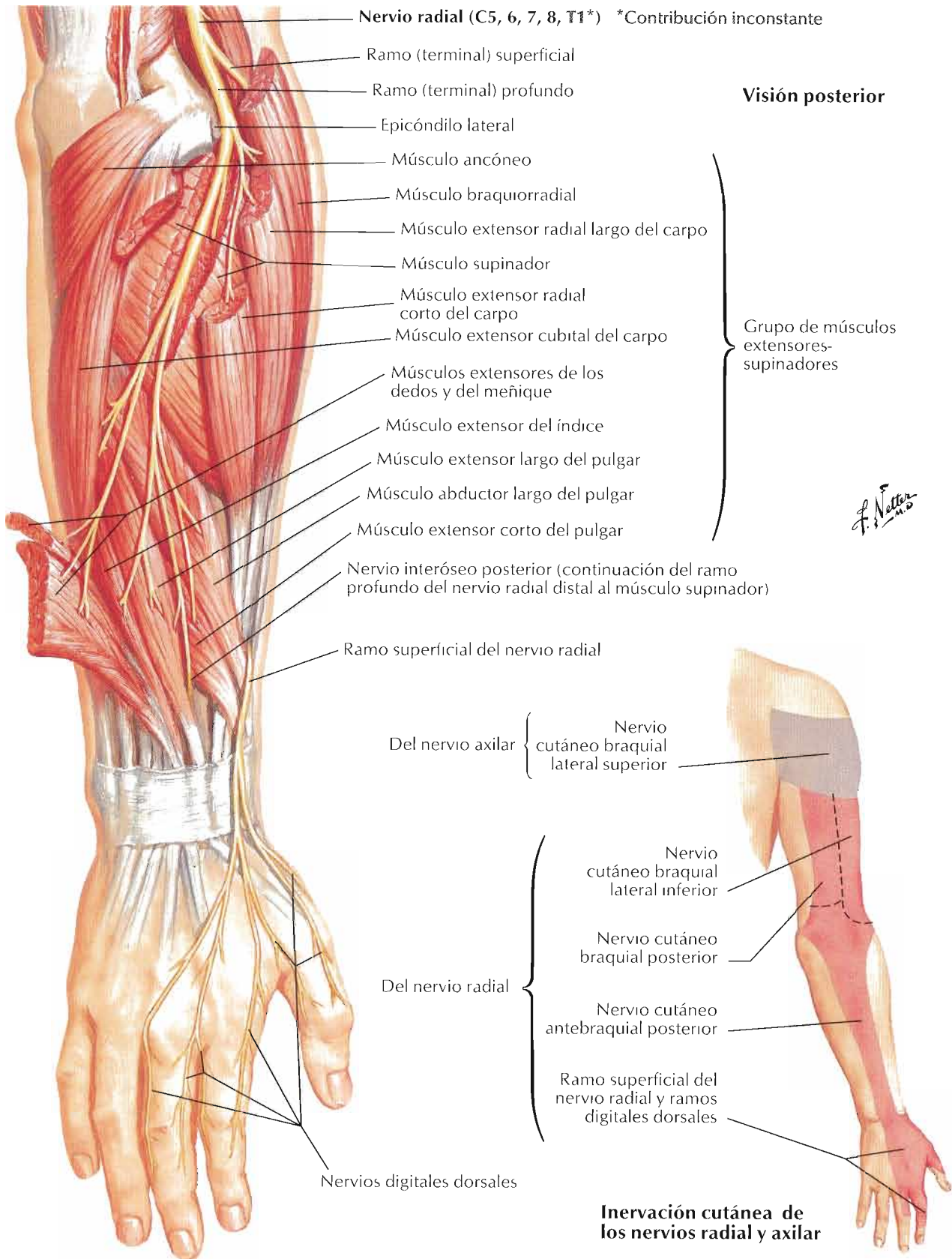
Nervios digitales palmares propios (los nervios digitales dorsales son del ramo dorsal)

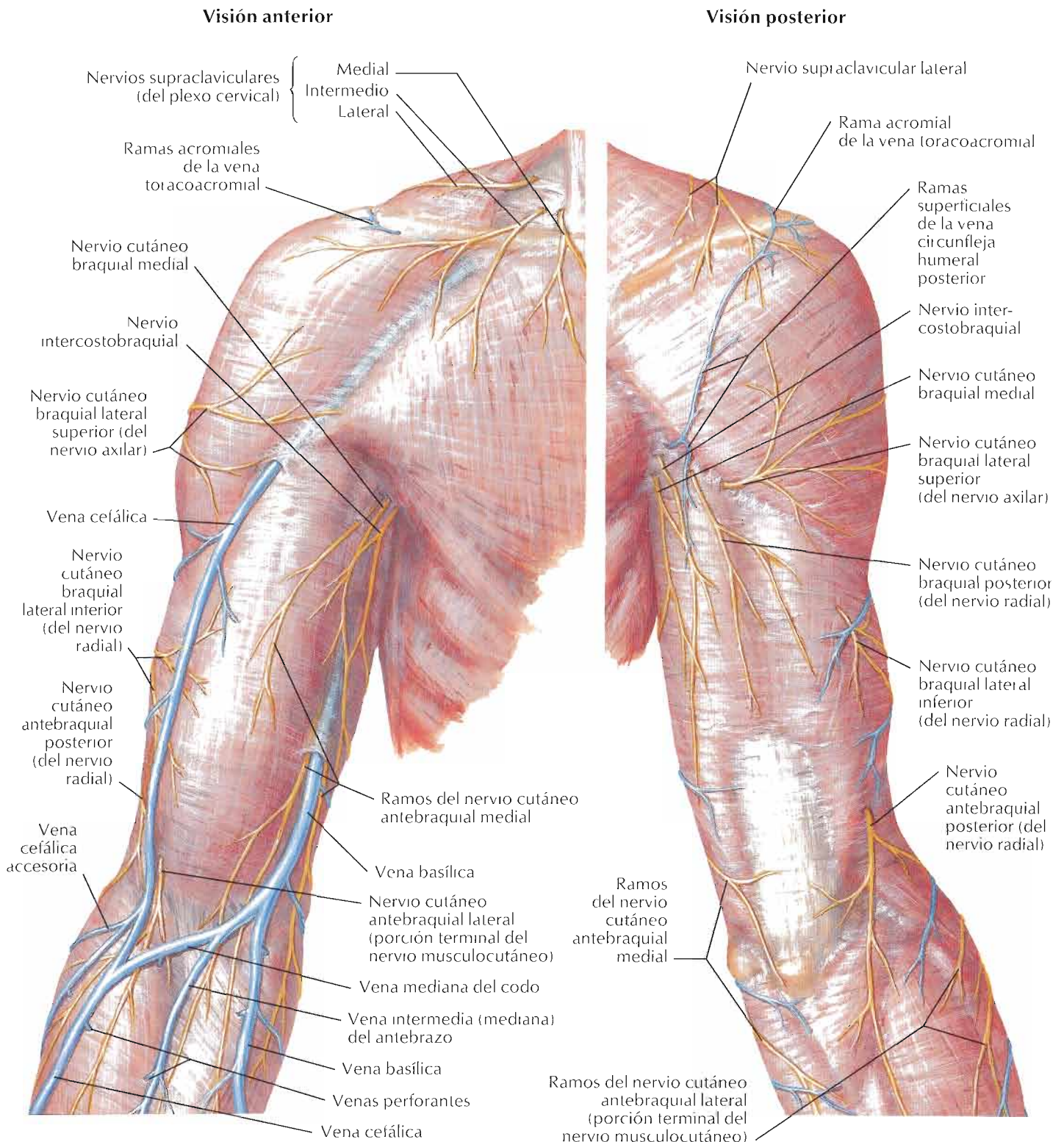
Ramos dorsales para el dorso de las falanges medias y distales

F. Netter M.D.



F. Netter M.D.
C. Machado M.D.

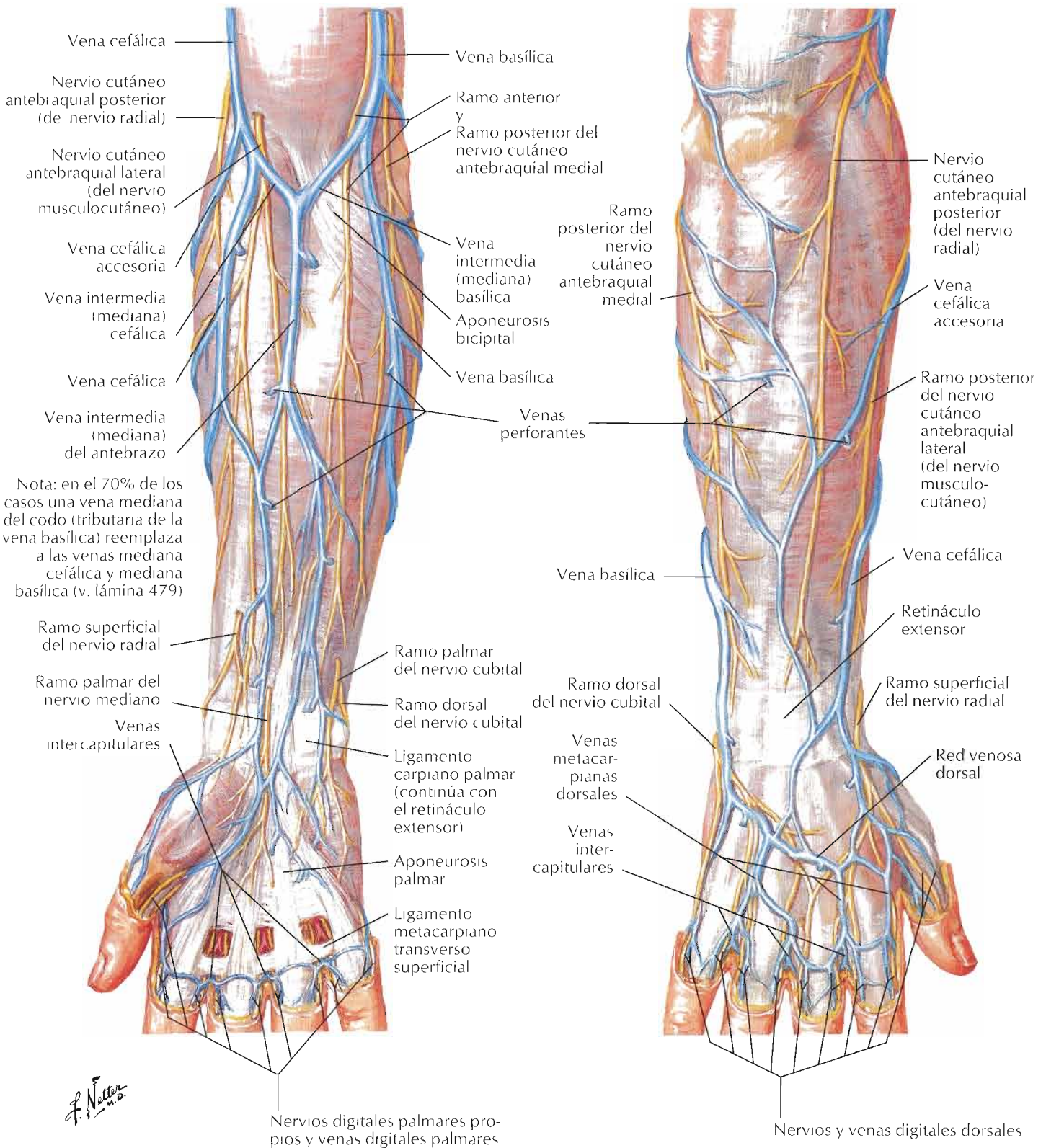


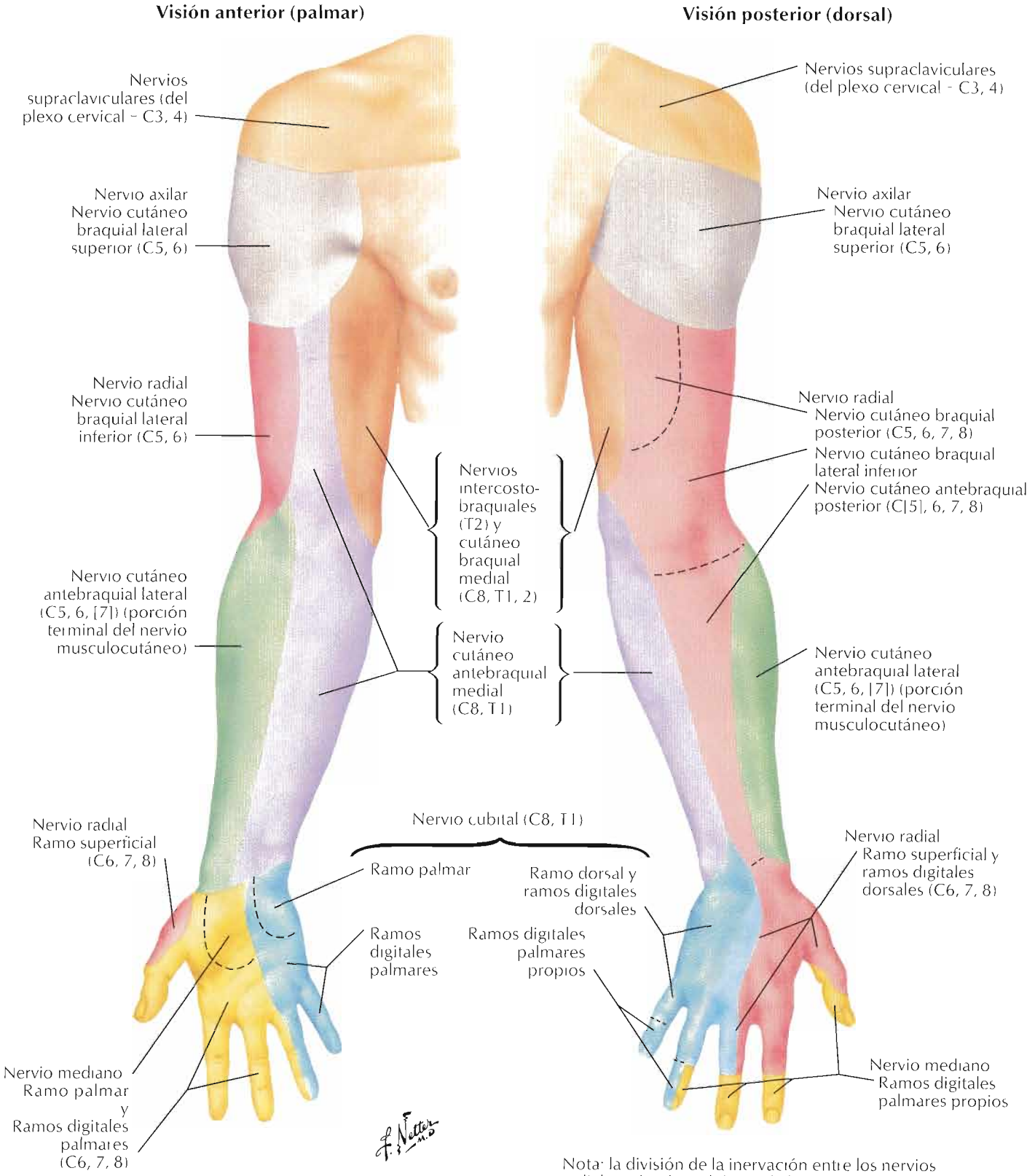


F. Netter M.D.

Visión anterior (palmar)

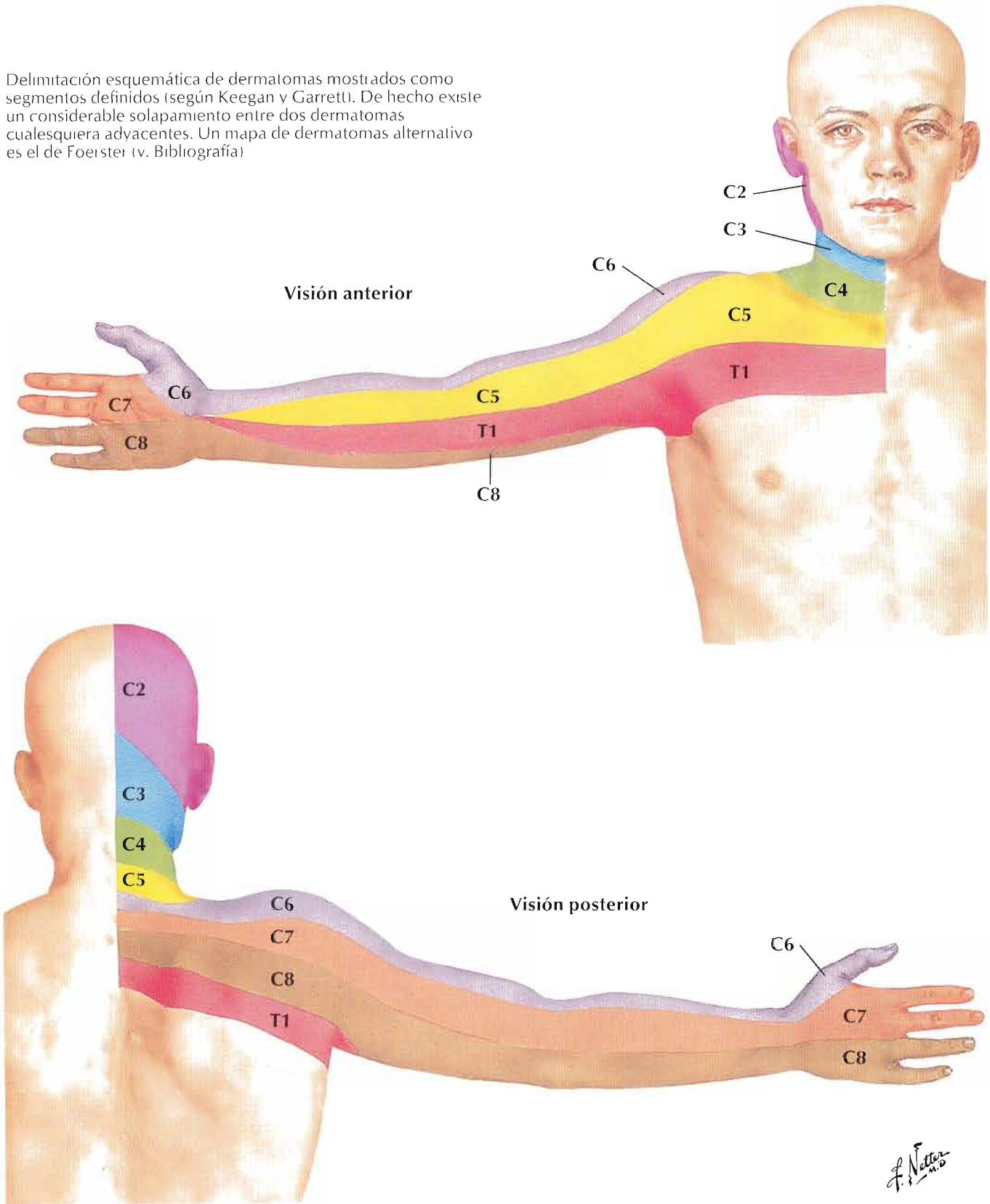
Visión posterior (dorsal)



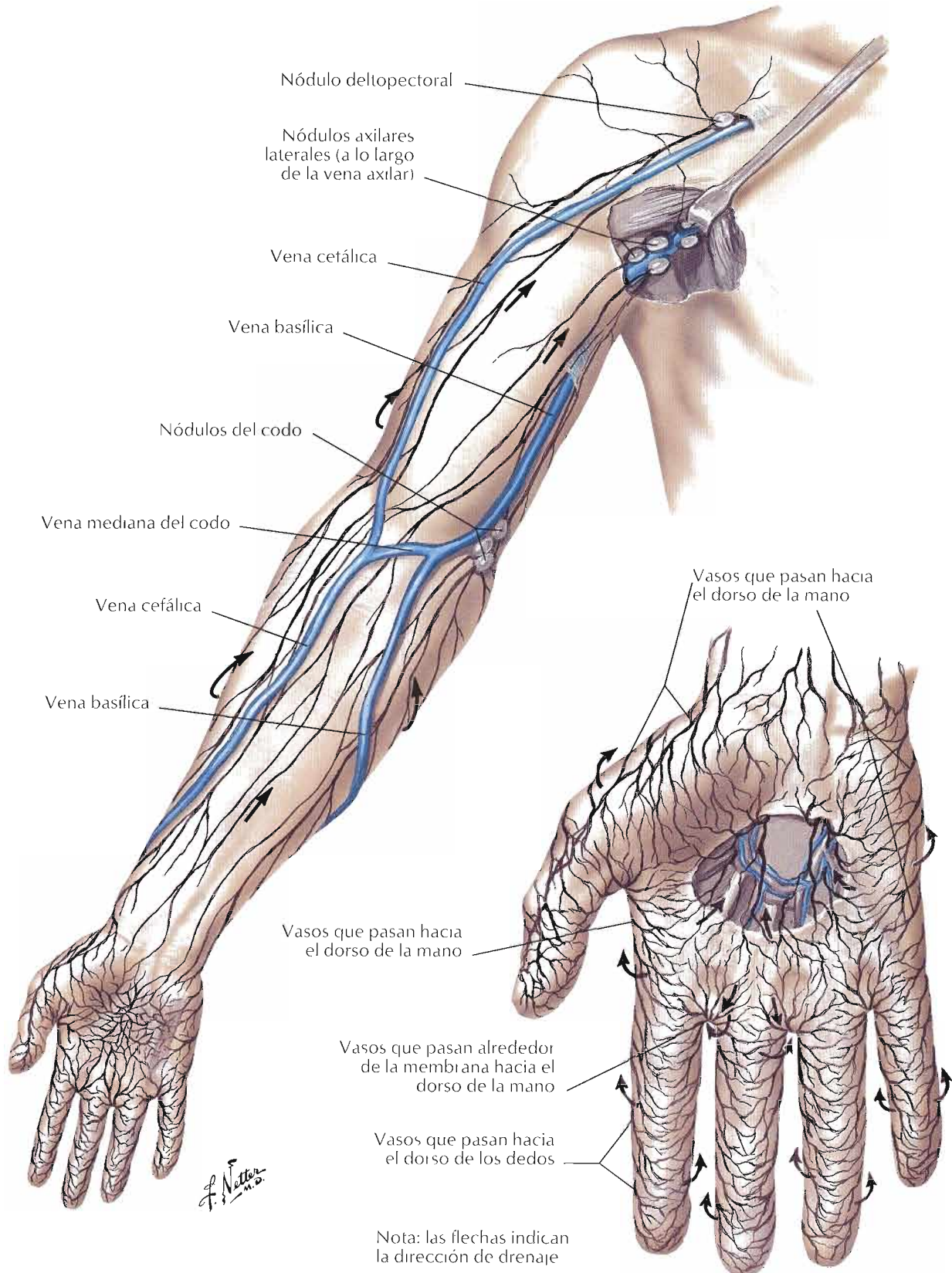


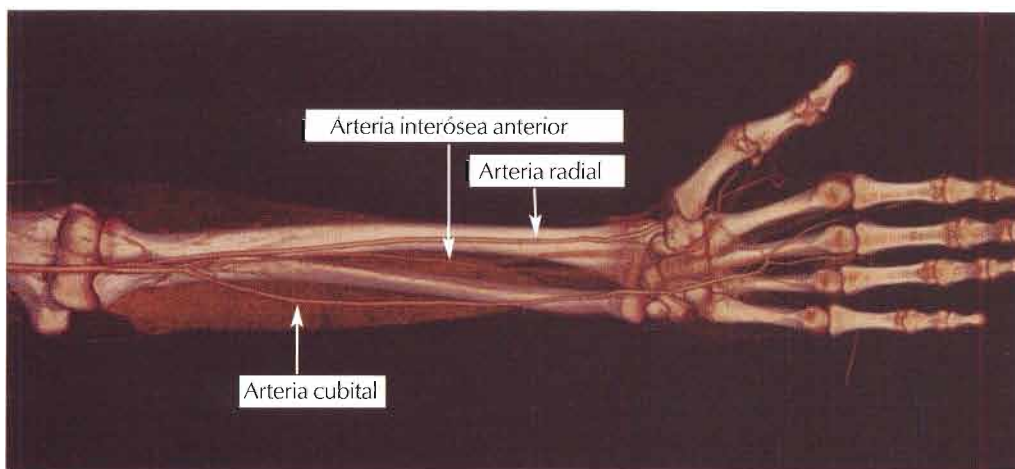
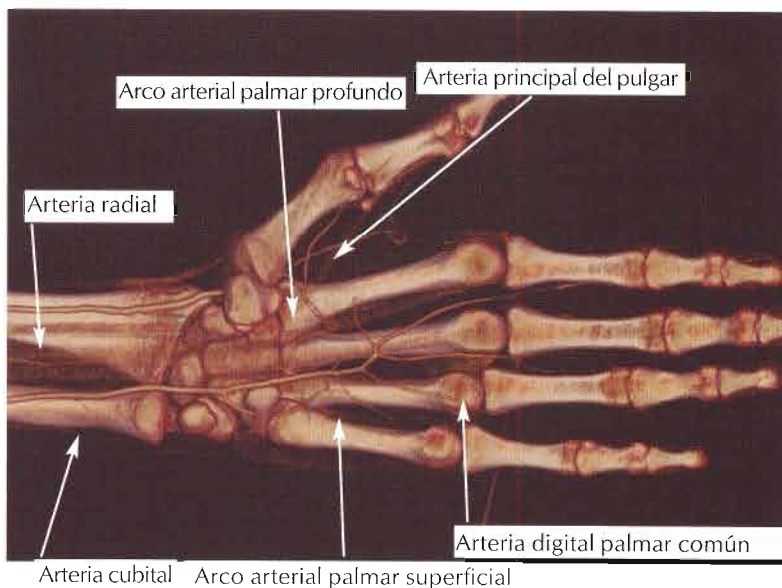
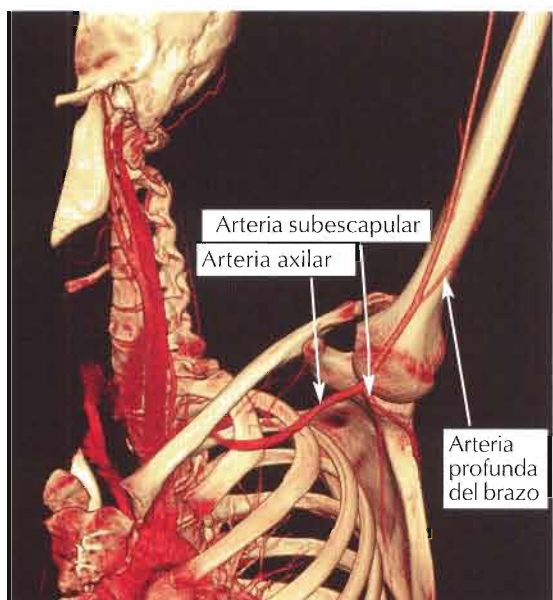
Nota: la división de la inervación entre los nervios radial y cubital en el dorso de la mano es variable.

Delimitación esquemática de dermatomas mostrados como segmentos definidos (según Keegan y Garrett). De hecho existe un considerable solapamiento entre dos dermatomas cualesquiera adyacentes. Un mapa de dermatomas alternativo es el de Foerster (v. Bibliografía)

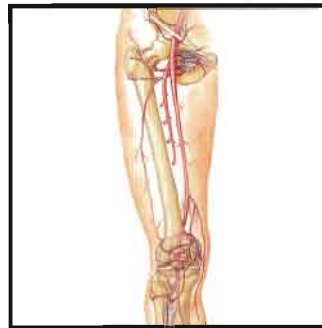
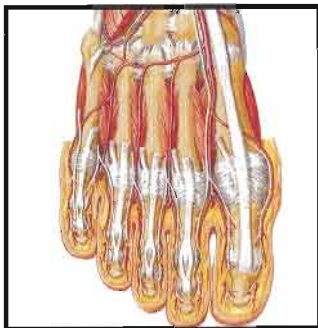
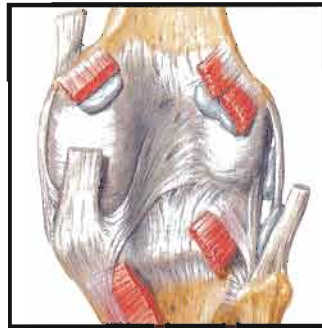
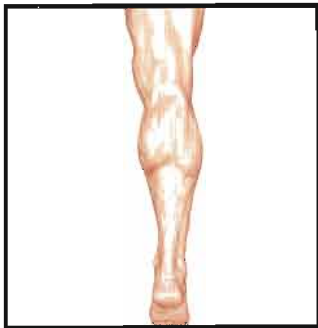


Véanse también láminas 184, 468





Sección 7 Miembro inferior



Anatomía de superficie

Lámina 485

485 Miembro inferior

Cadera y muslo

Láminas 486-505

486 Hueso coxal

487 Articulación de la cadera

488 Articulación de la cadera: radiografía anteroposterior

489 Fémur

490 Inserciones óseas de los músculos de cadera y muslo: visión anterior

491 Inserciones óseas de los músculos de cadera y muslo: visión posterior

492 Músculos del muslo: visiones anteriores

493 Músculos del muslo: visiones anteriores (*continuación*)

494 Músculos de la cadera y muslo: visión lateral

495 Músculos de la cadera y muslo: visiones posteriores

496 Músculos psoas e ilíaco

497 Plexos lumbosacro y coccígeo

498 Plexo lumbar

499 Plexos sacro y coccígeo

500 Arterias y nervios del muslo: visiones anteriores

501 Arterias y nervios del muslo: visiones anteriores (*continuación*)

502 Arterias y nervios del muslo: visión posterior

503 Nervios de la cadera y nalga

504 Arterias de la cabeza y cuello femorales

505 Muslo: secciones transversales seriadas

Miembro inferior

Rodilla

Láminas 506-512

- 506 Rodilla: visiones lateral y medial
- 507 Rodilla: visiones anteriores
- 508 Rodilla: interior
- 509 Rodilla: ligamentos cruzados y colaterales
- 510 Rodilla: radiografía anteroposterior
- 511 Rodilla: visiones posterior y sagital
- 512 Arterias del muslo y rodilla: esquema

Pierna

Láminas 513-522

- 513 Tibia y peroné
- 514 Tibia y peroné (*continuación*)
- 515 Inserciones de los músculos de la pierna
- 516 Músculos de la pierna (disección superficial): visión posterior
- 517 Músculos de la pierna (disección intermedia): visión posterior
- 518 Músculos de la pierna (disección profunda): visión posterior
- 519 Músculos de la pierna (disección superficial): visión anterior
- 520 Músculos de la pierna (disección profunda): visión anterior
- 521 Músculos de la pierna: visión lateral
- 522 Pierna: secciones transversales y compartimientos de la fascia

Tobillo y pie

Láminas 523-537

- 523 Huesos del pie
- 524 Huesos del pie (*continuación*)
- 525 Calcáneo
- 526 Tobillo: radiografías

- 527 Ligamentos y tendones del tobillo
- 528 Ligamentos y tendones del pie: visión plantar
- 529 Vainas tendinosas del tobillo
- 530 Músculos del dorso del pie: disección superficial
- 531 Dorso del pie: disección profunda
- 532 Planta del pie: disección superficial
- 533 Músculos de la planta del pie: primer plano
- 534 Músculos de la planta del pie: segundo plano
- 535 Músculos de la planta del pie: tercer plano
- 536 Músculos interóseos y arterias profundas del pie
- 537 Músculos interóseos del pie

Inervación y vasculatura

Láminas 538-546

- 538 Nervios femoral y cutáneo femoral lateral
- 539 Nervio obturador
- 540 Nervios ciático y cutáneo femoral posterior
- 541 Nervio tibial
- 542 Nervio peroneo común
- 543 Dermatomas del miembro inferior
- 544 Nervios y venas superficiales del miembro inferior: visión anterior
- 545 Nervios y venas superficiales del miembro inferior: visión posterior
- 546 Vasos y nódulos linfáticos del miembro inferior

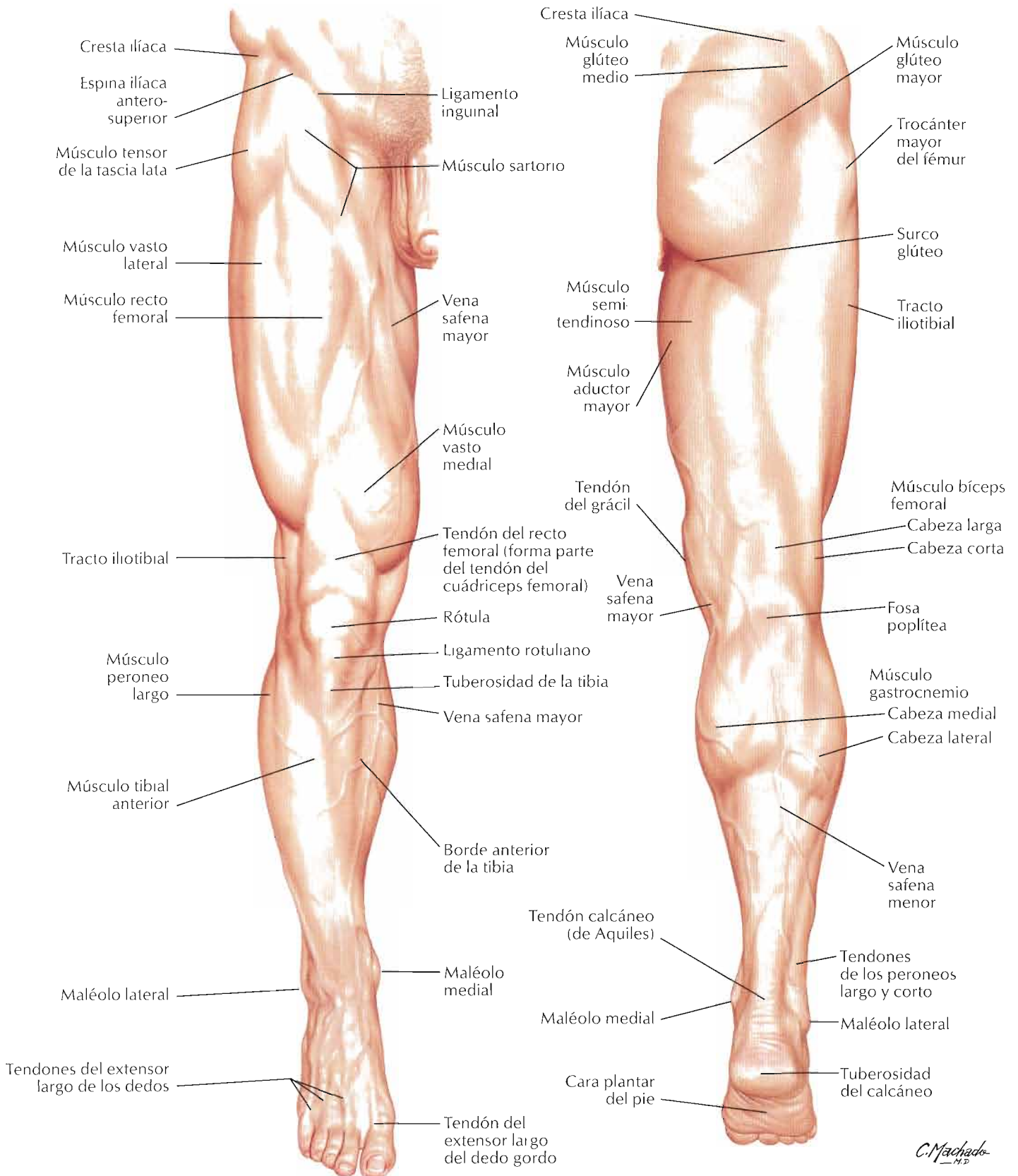
Exploraciones regionales

Lámina 547

- 547 TC de arteriografías del miembro inferior

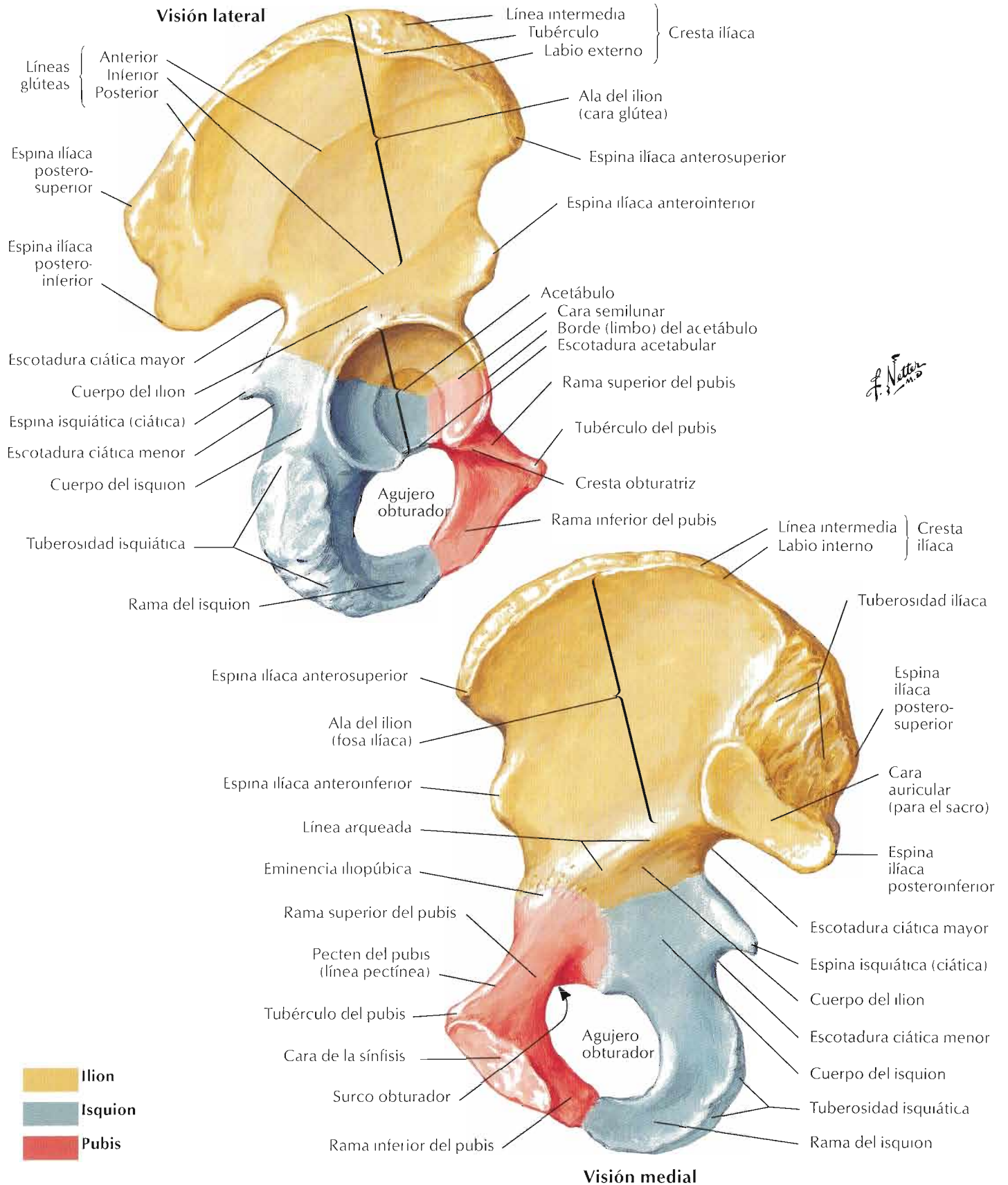
Visión anterior

Visión posterior

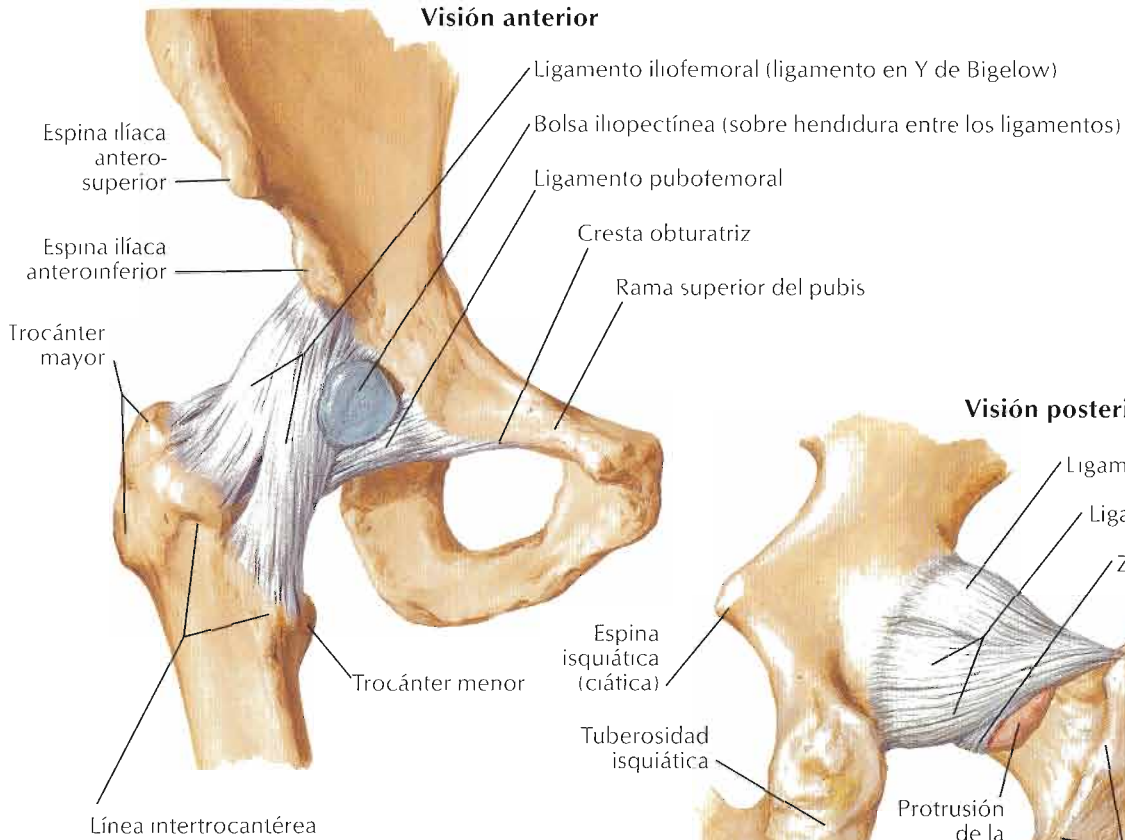


C. Machado
M.D.

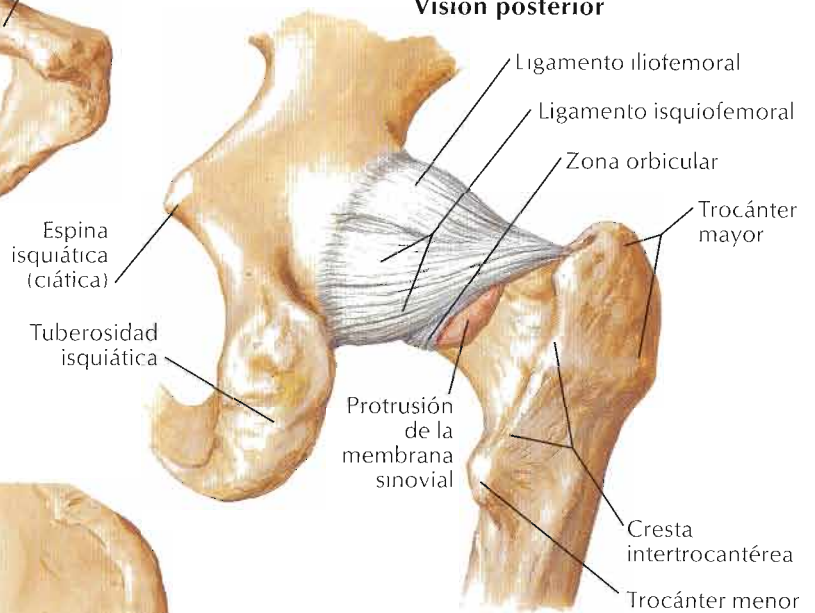
Véanse también láminas 248, 352, 353



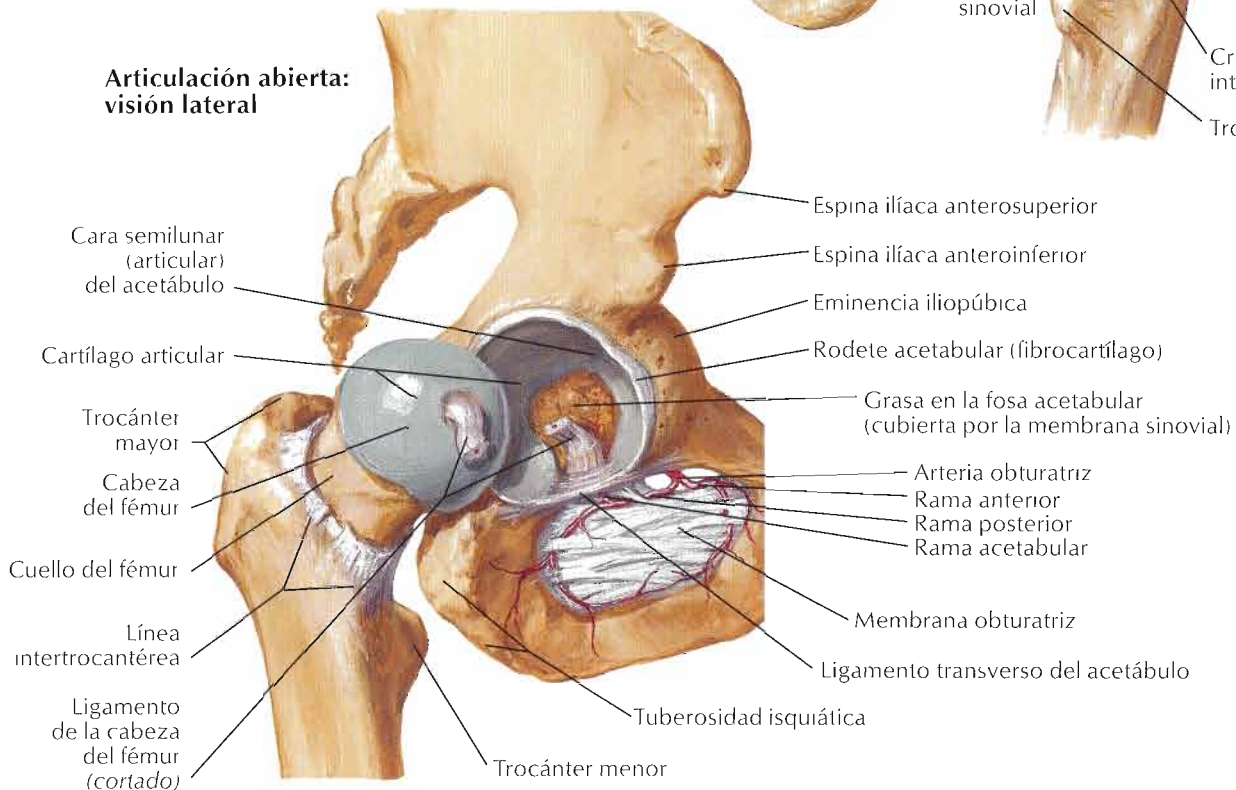
Visión anterior



Visión posterior

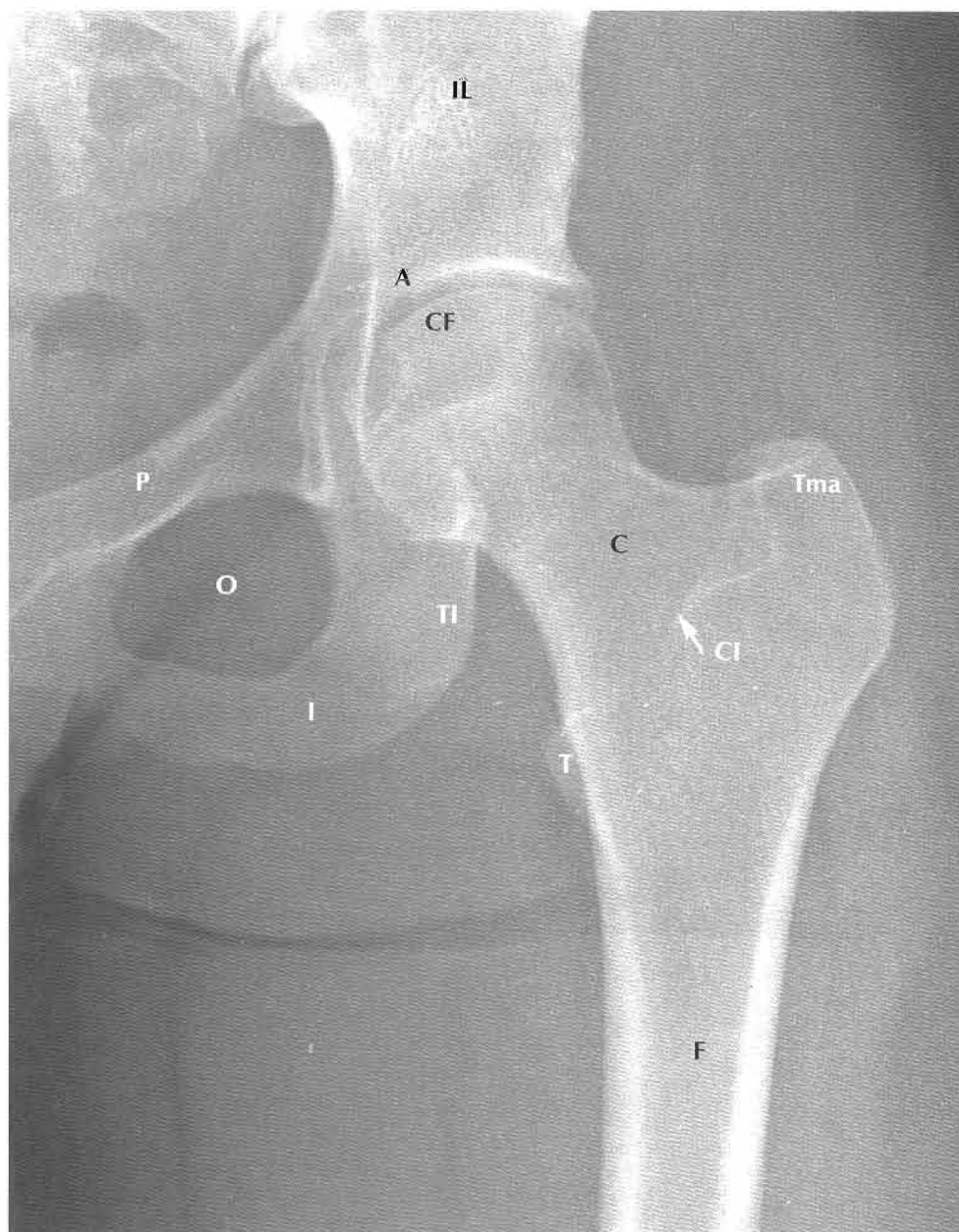


Articulación abierta: visión lateral

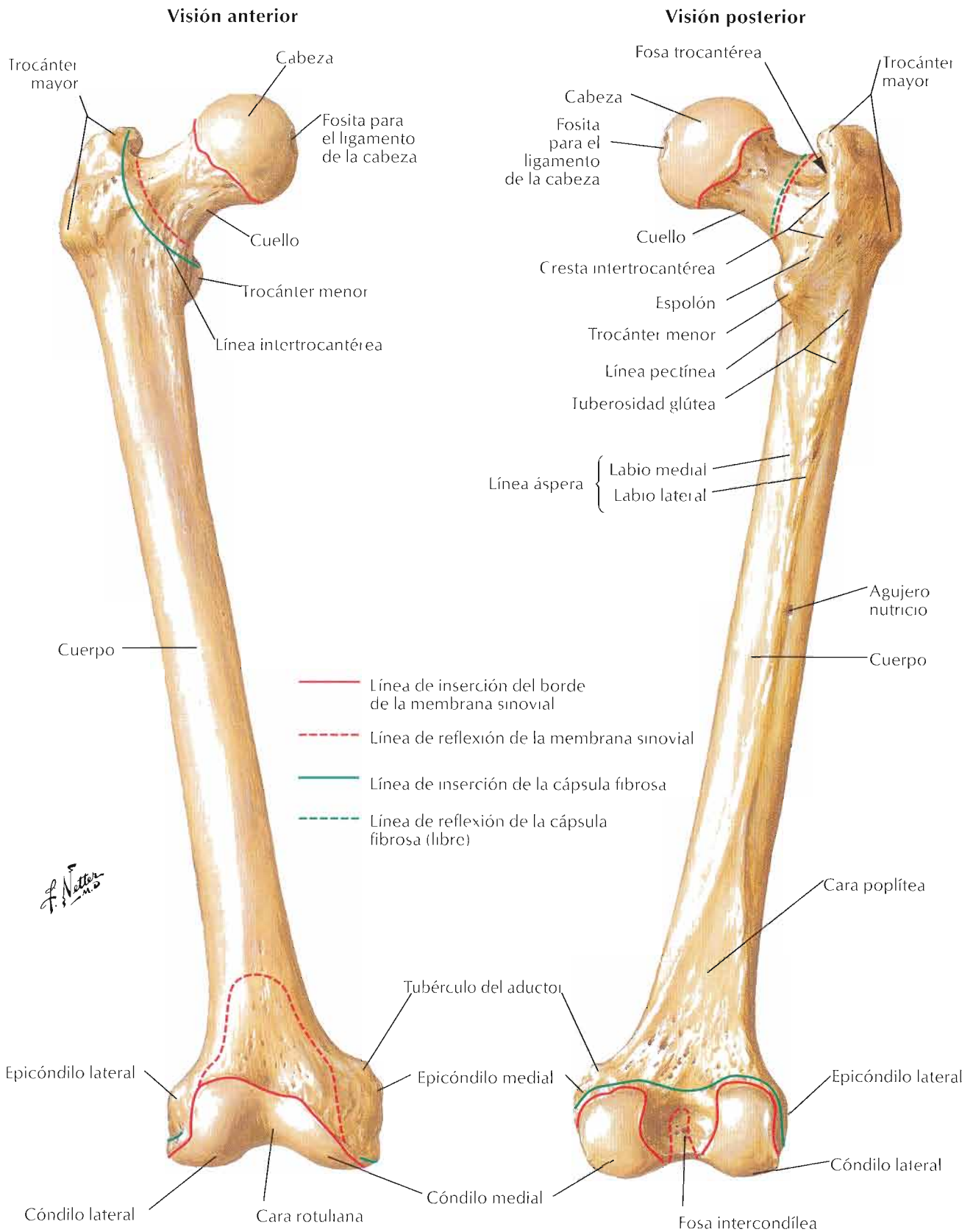


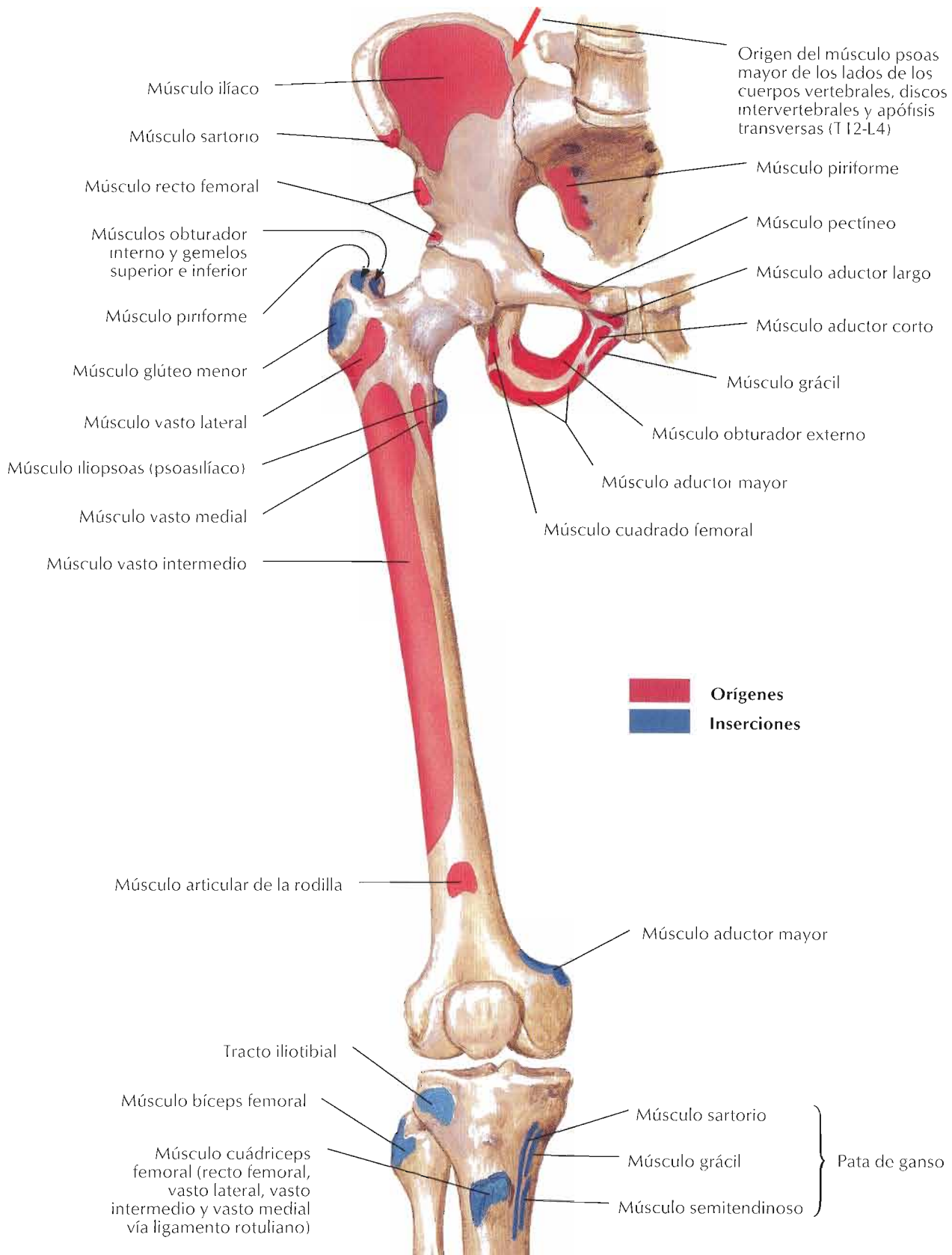
F. Netter M.D.

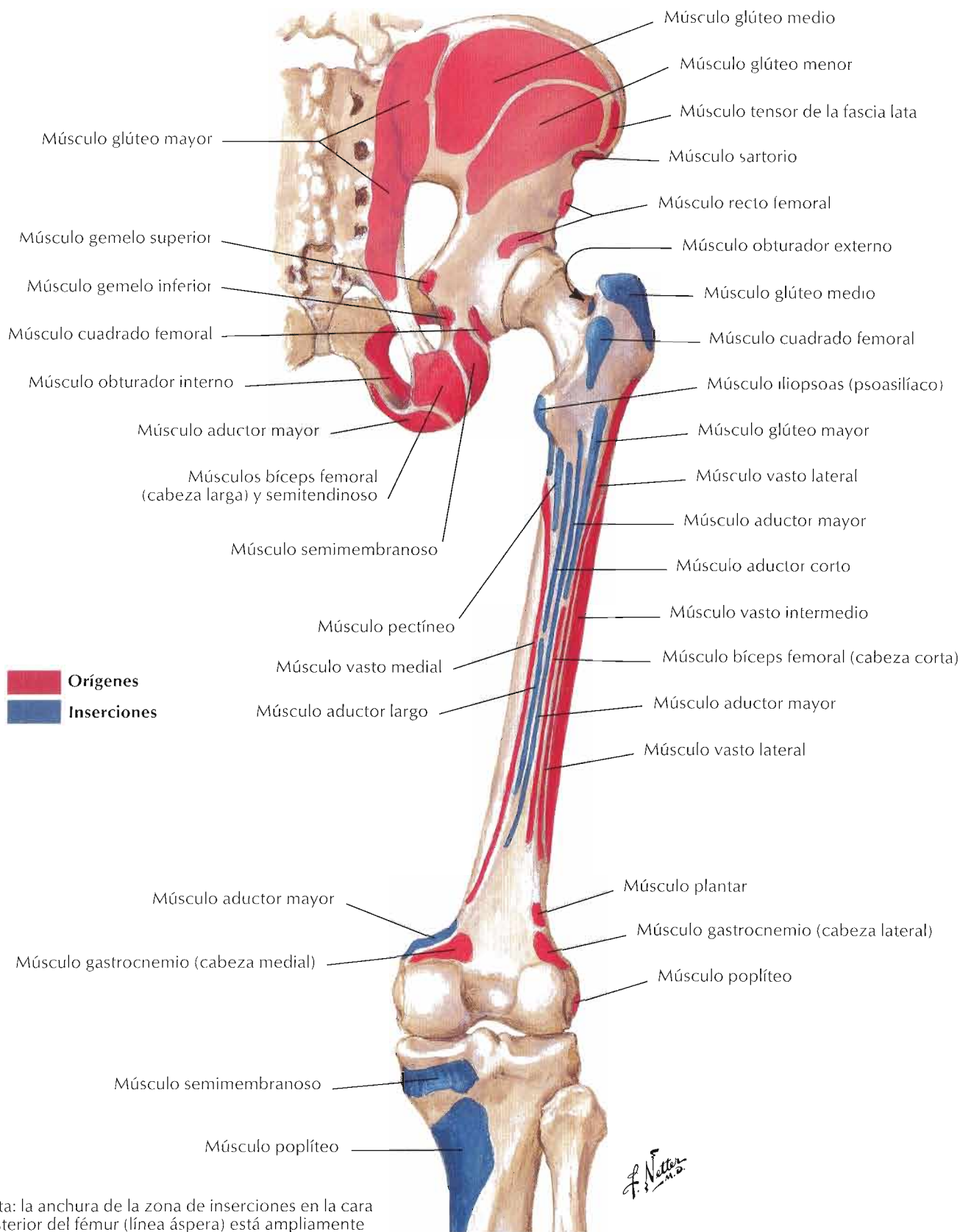
Véanse también láminas 487, 489



- A Acetábulo
- CF Cabeza del fémur
- CI Cresta intertrocantérea
- F Fémur
- I Isquion
- IL Ilión
- O Agujero obturado
- P Pubis (rama superior)
- T Trocánter menor
- C Cuello
- TI Tuberosidad isquiática
- TMa Trocánter mayor

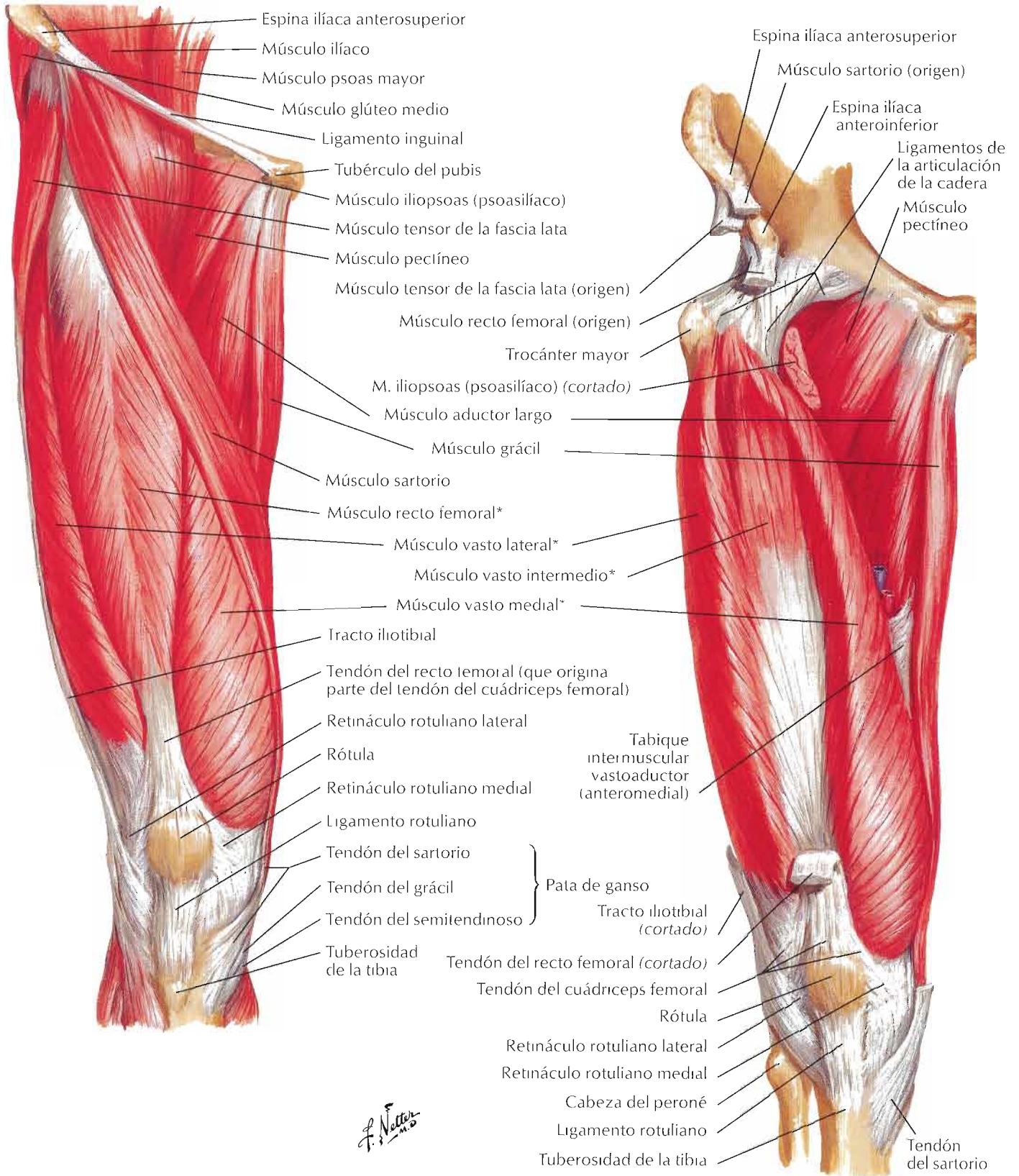






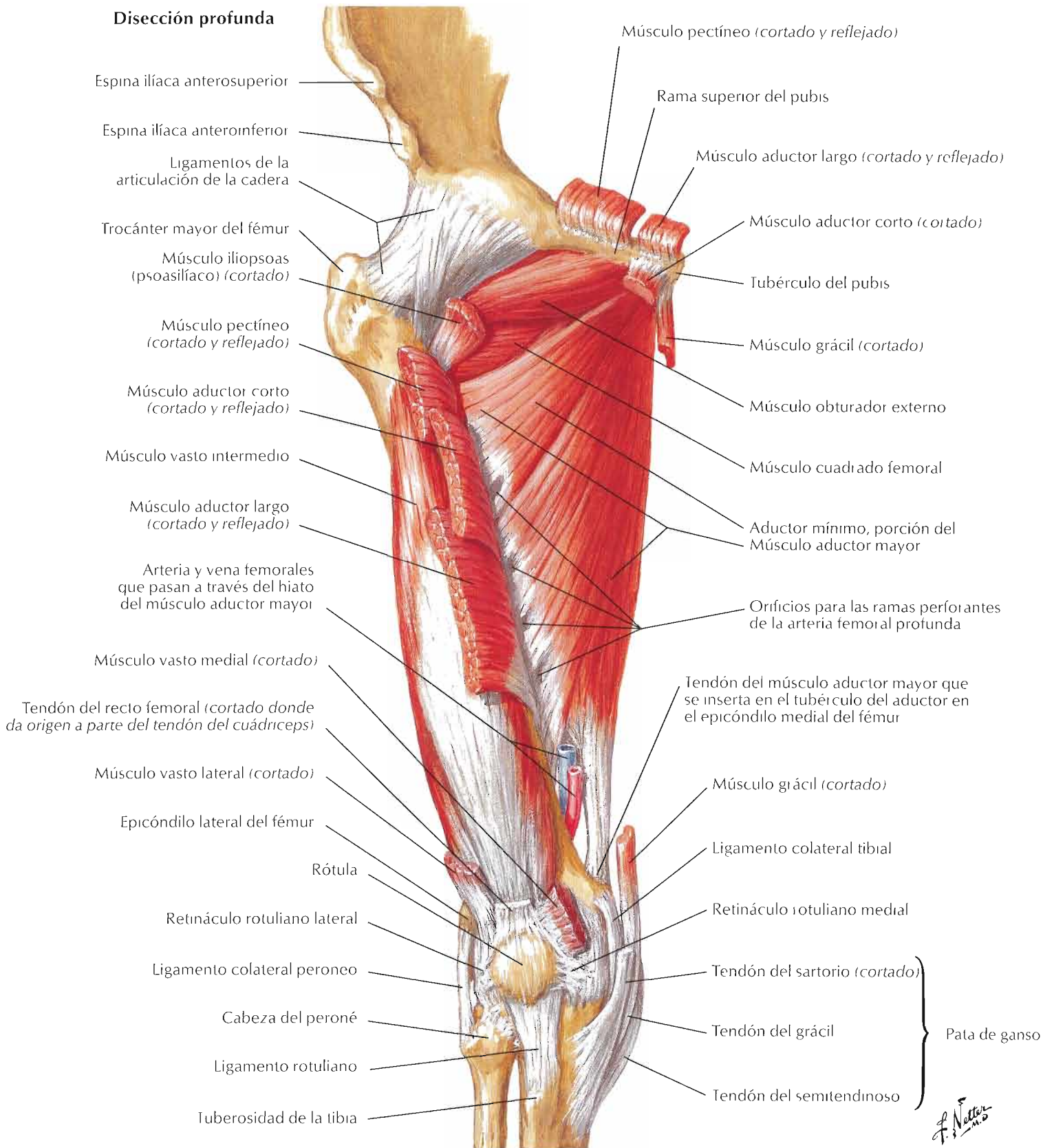
Nota: la anchura de la zona de inserciones en la cara posterior del fémur (línea áspera) está ampliamente exagerada

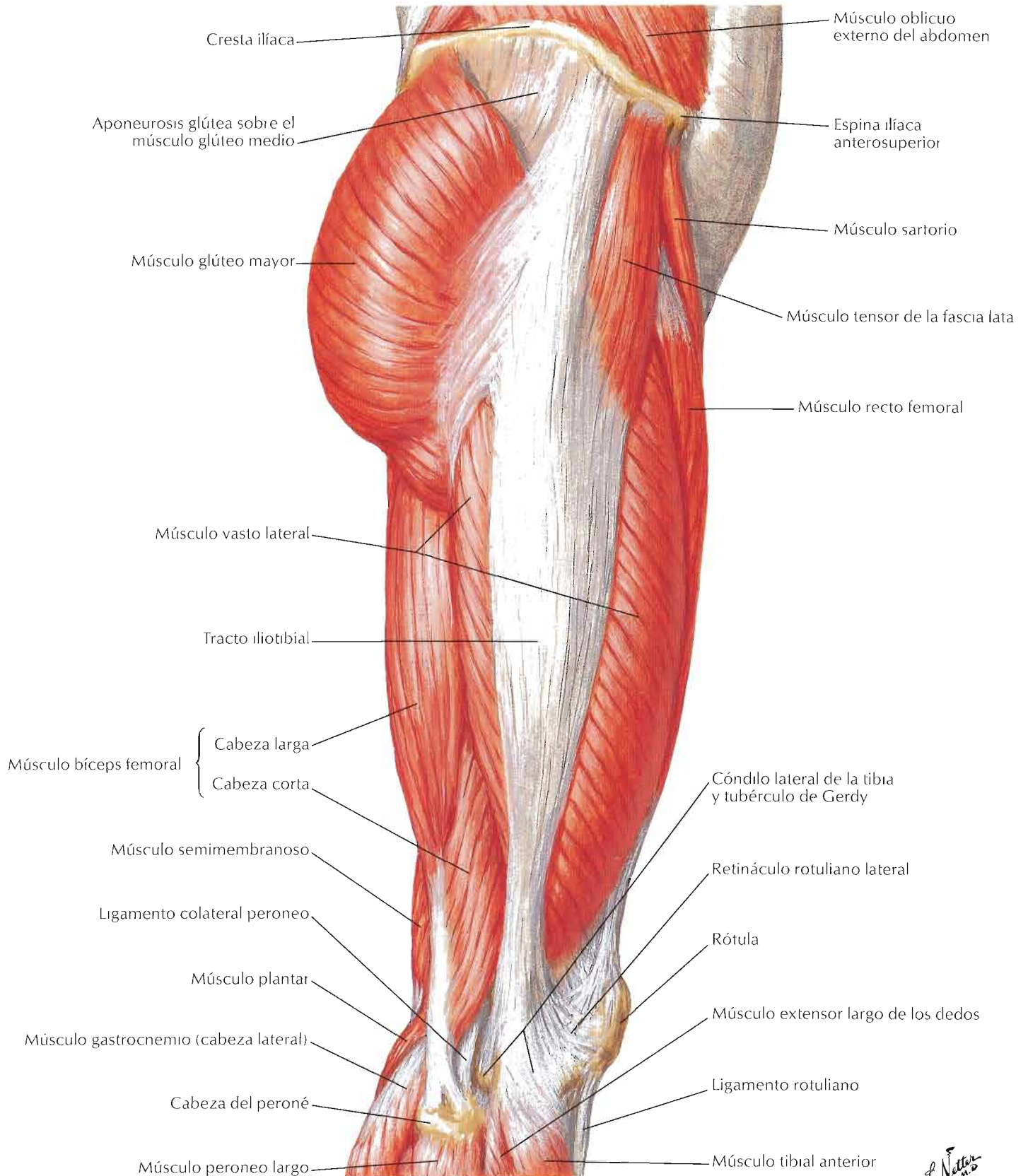
F. Netter M.D.



*Músculos del cuádriceps femoral

Disección profunda



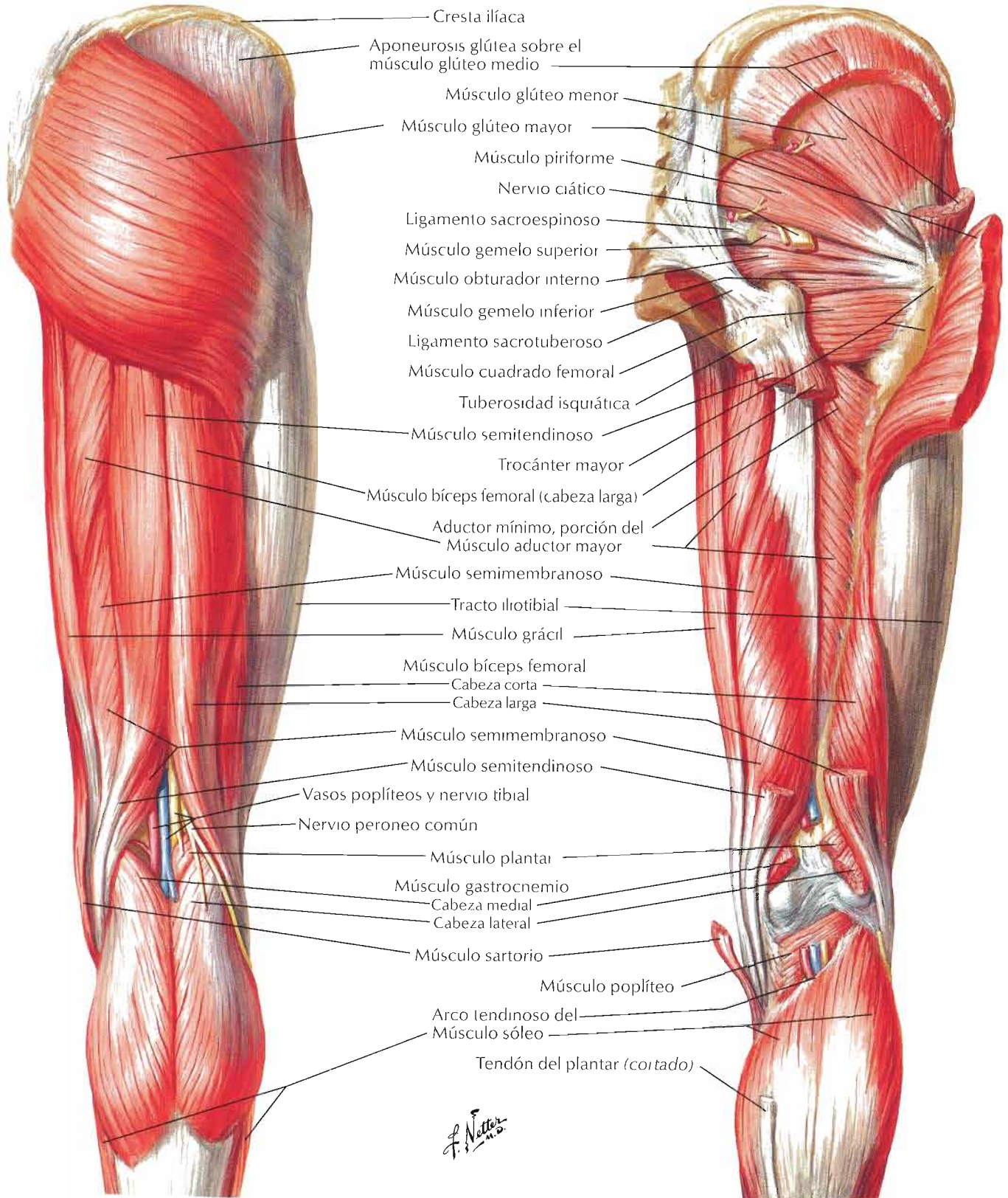


F. Netter

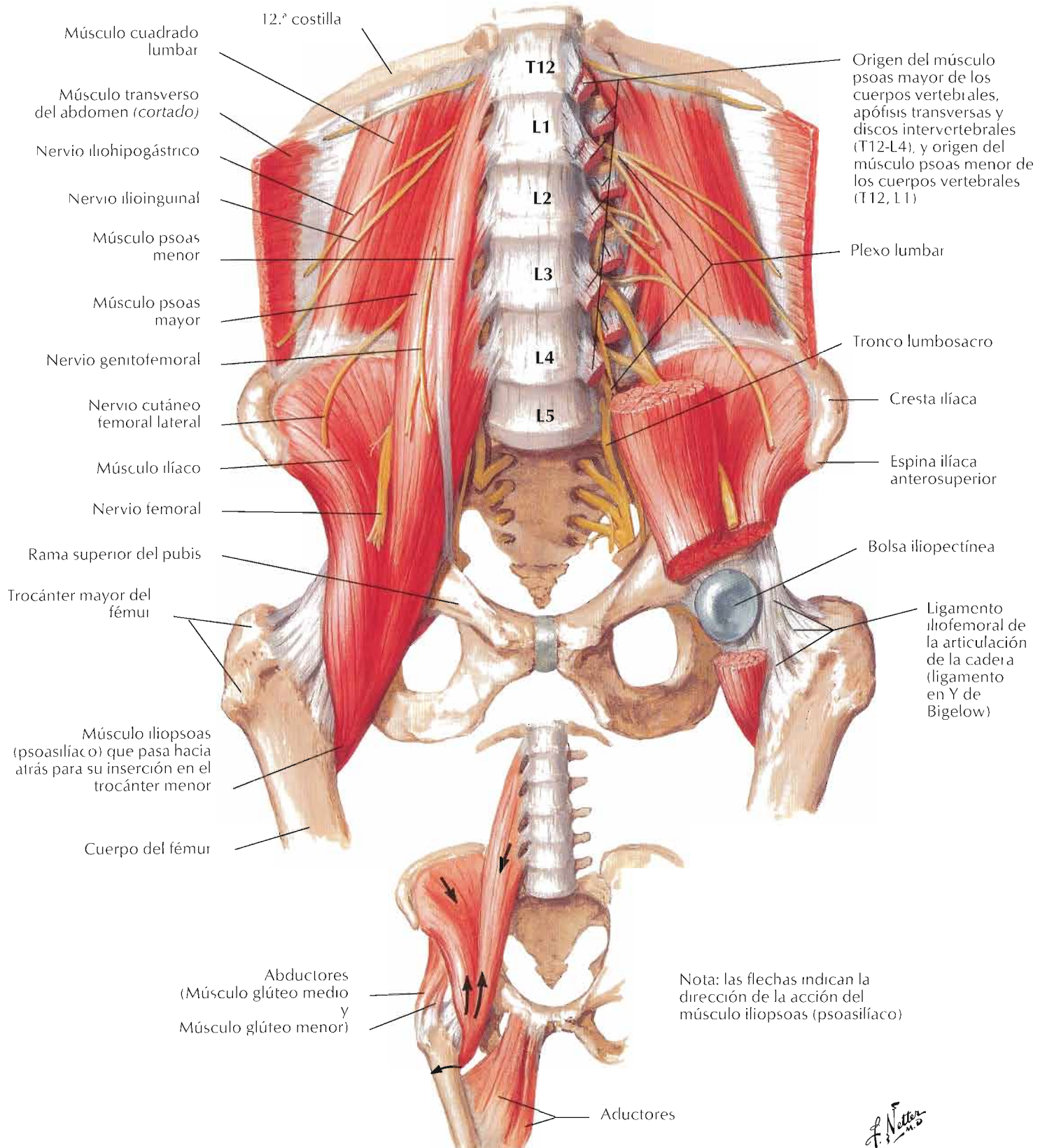
Para el piriforme y obturador interno véanse también láminas 356, 357; para el obturador externo véase lámina 501

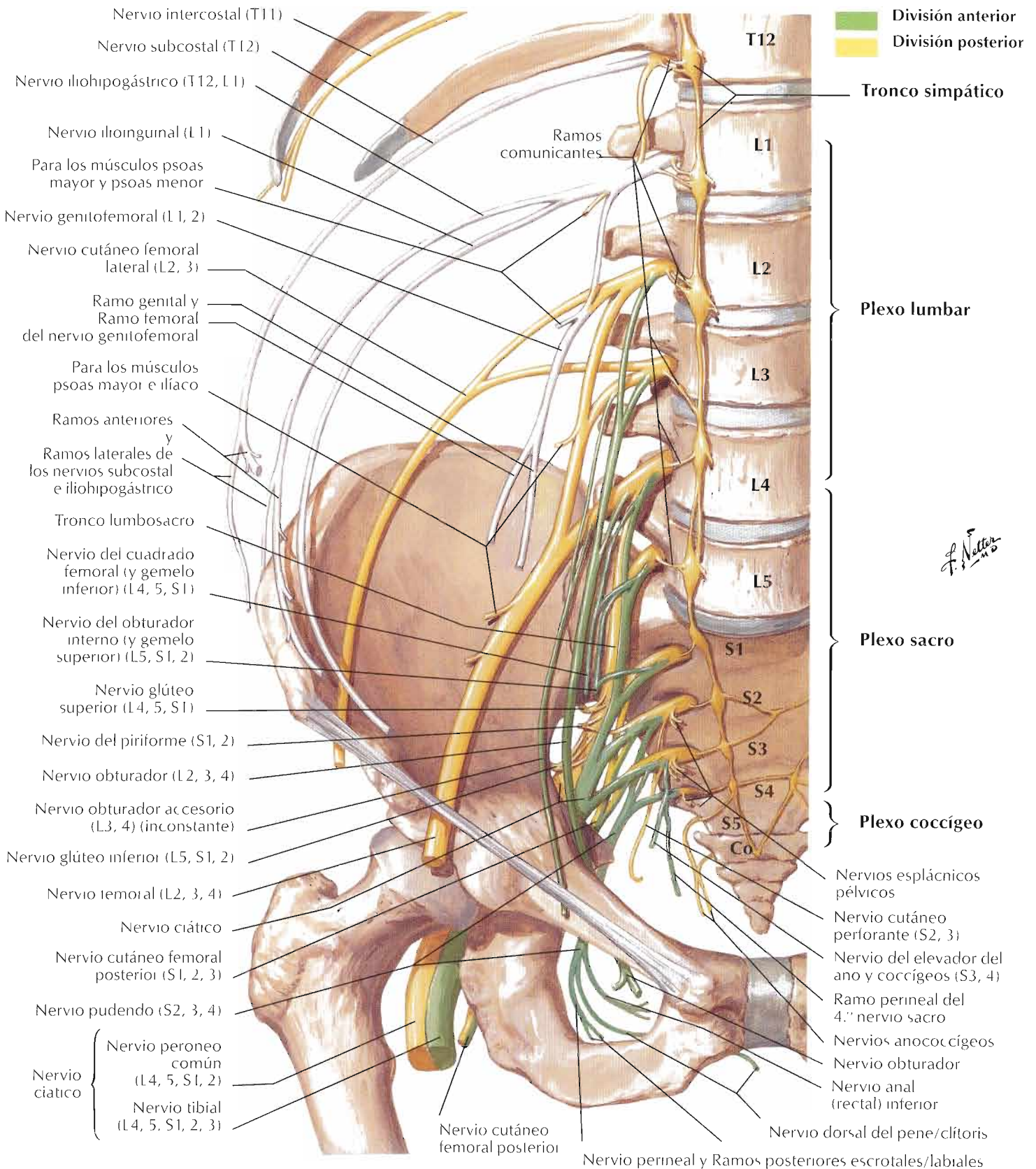
Disección superficial

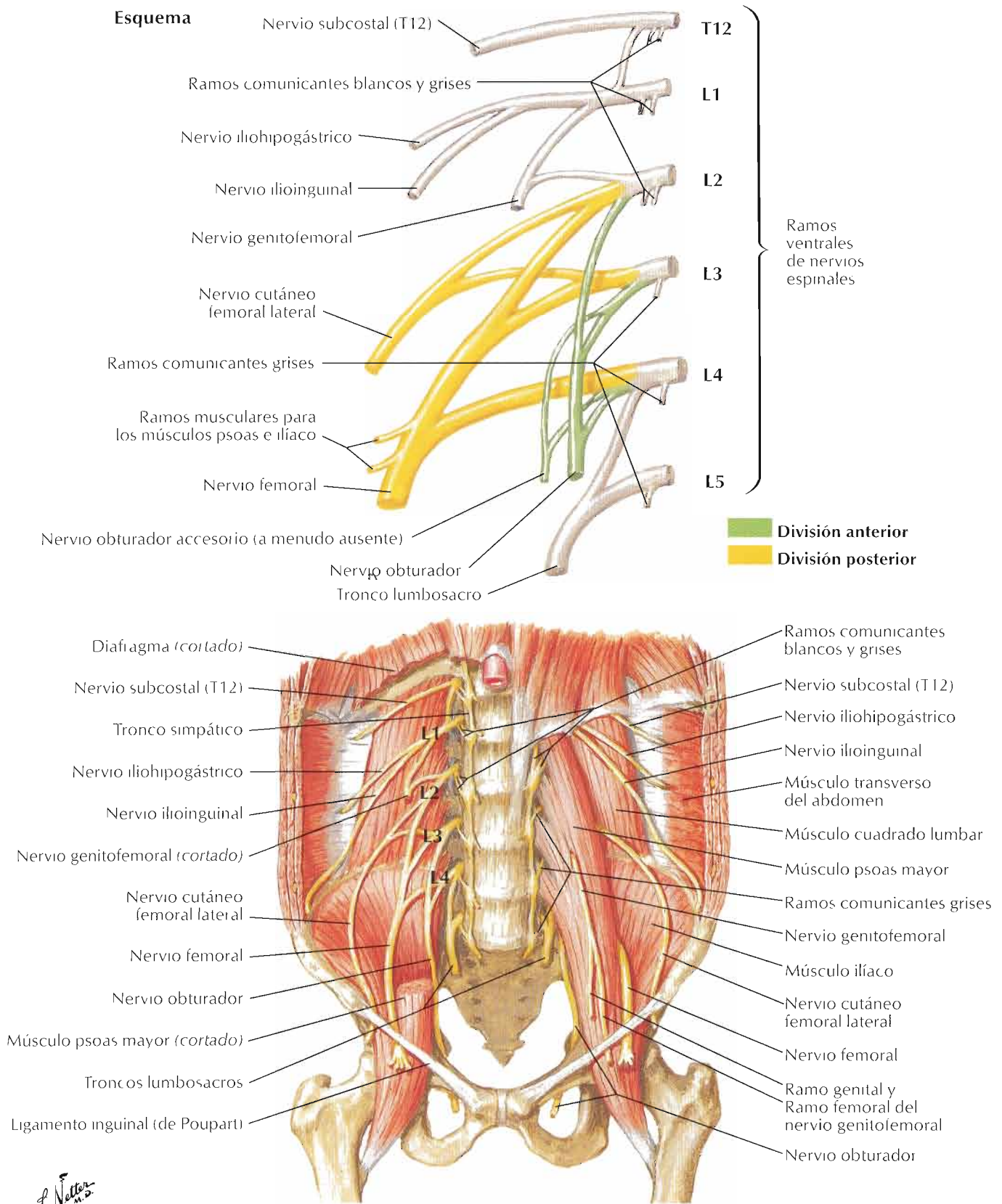
Disección profunda

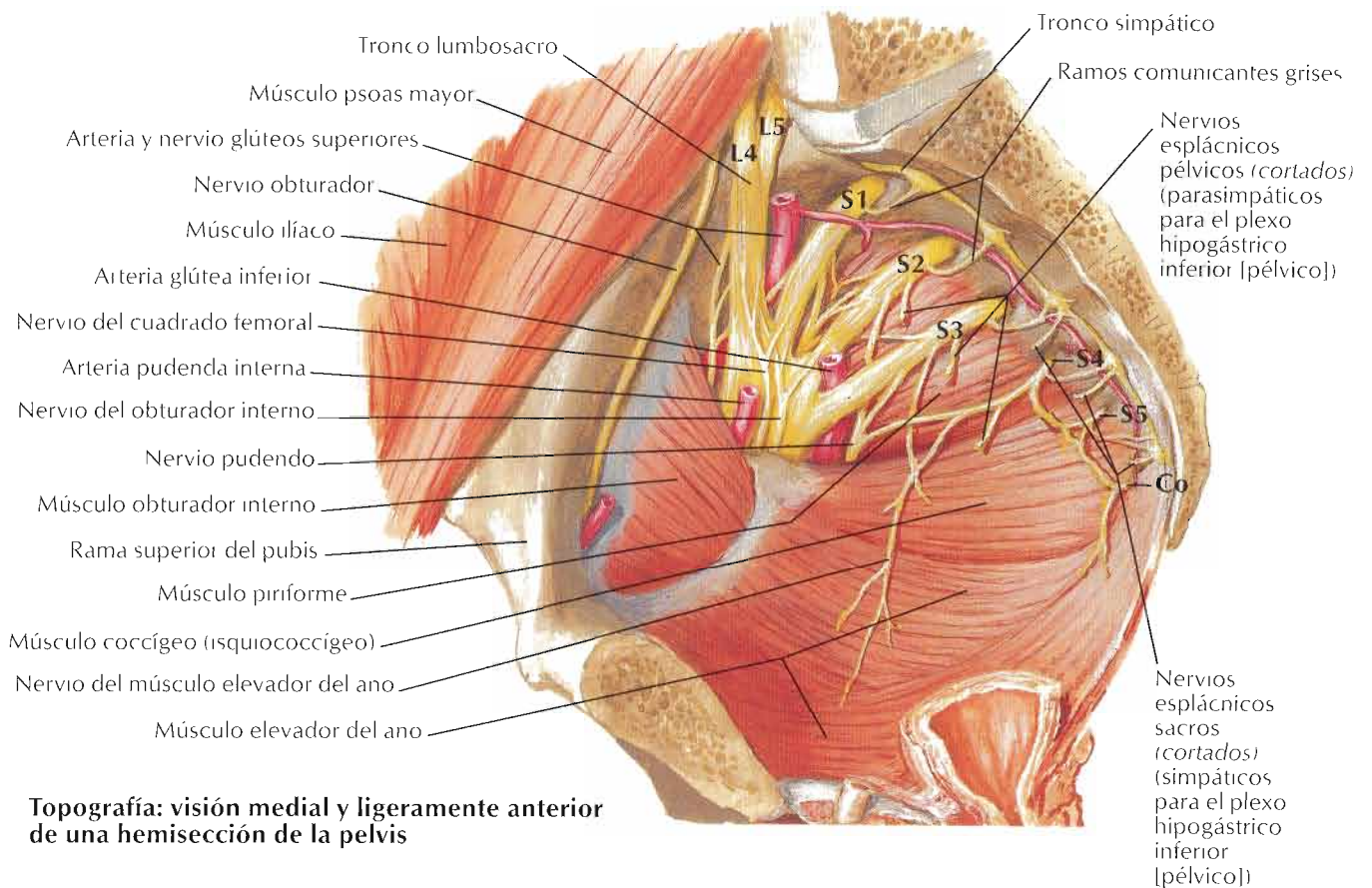
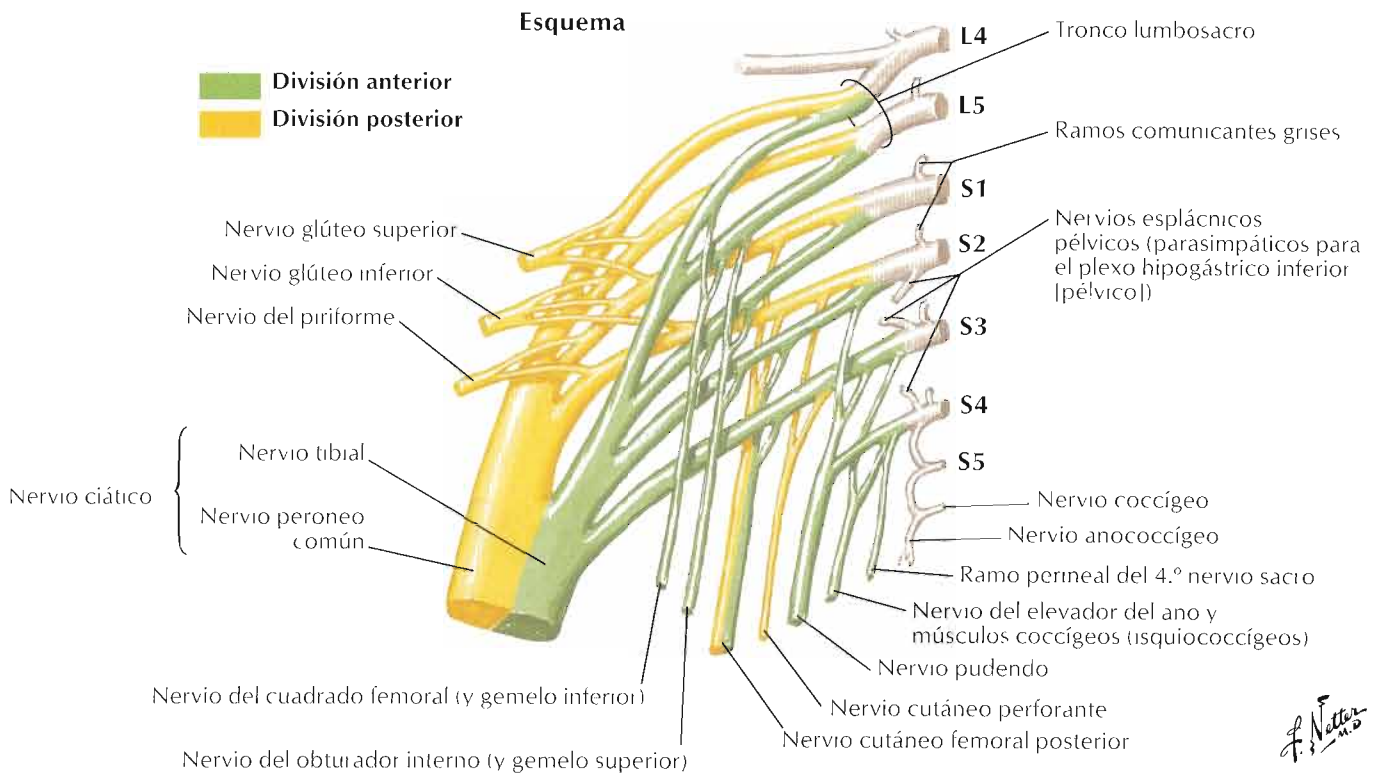


Véase también lámina 263

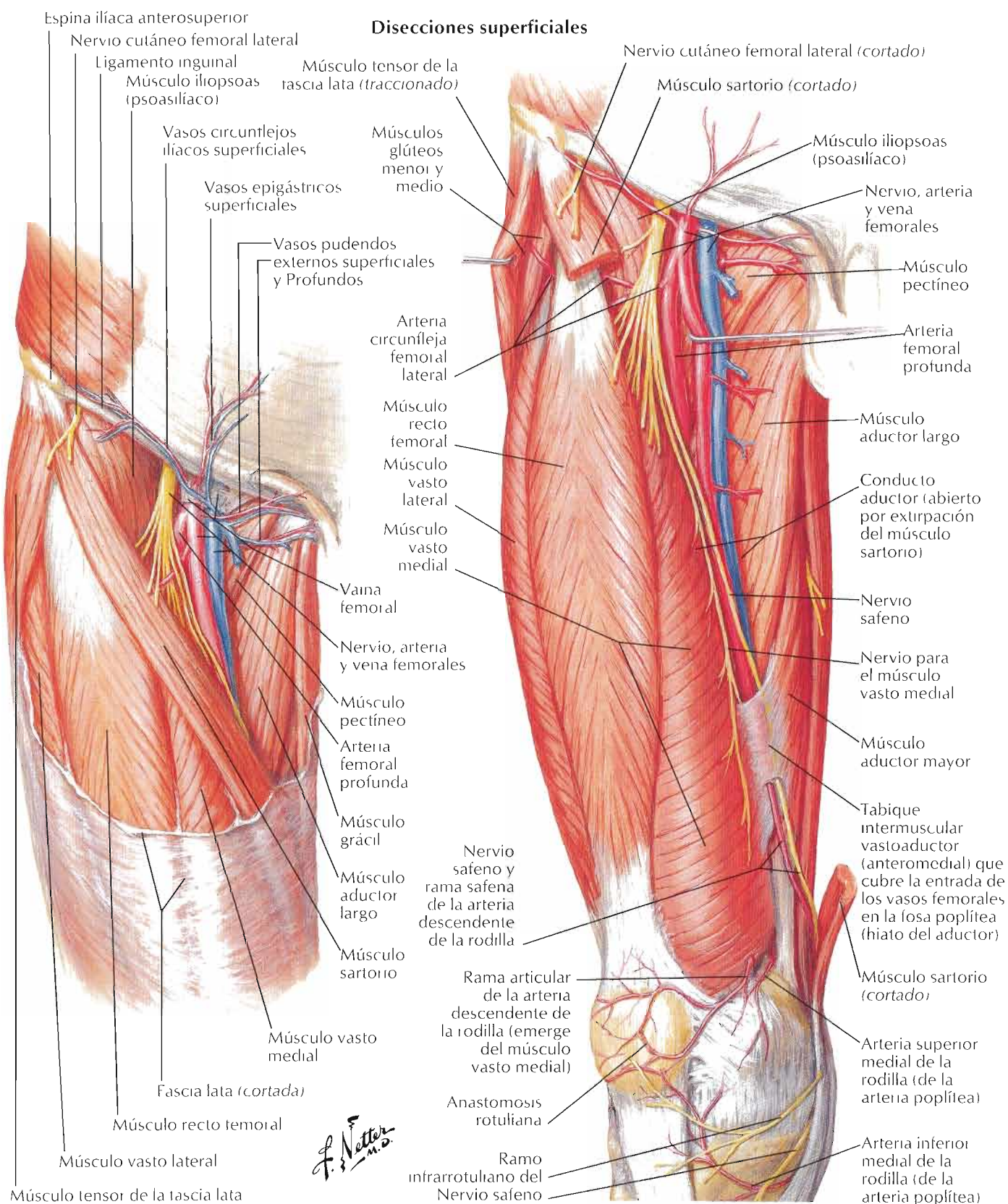




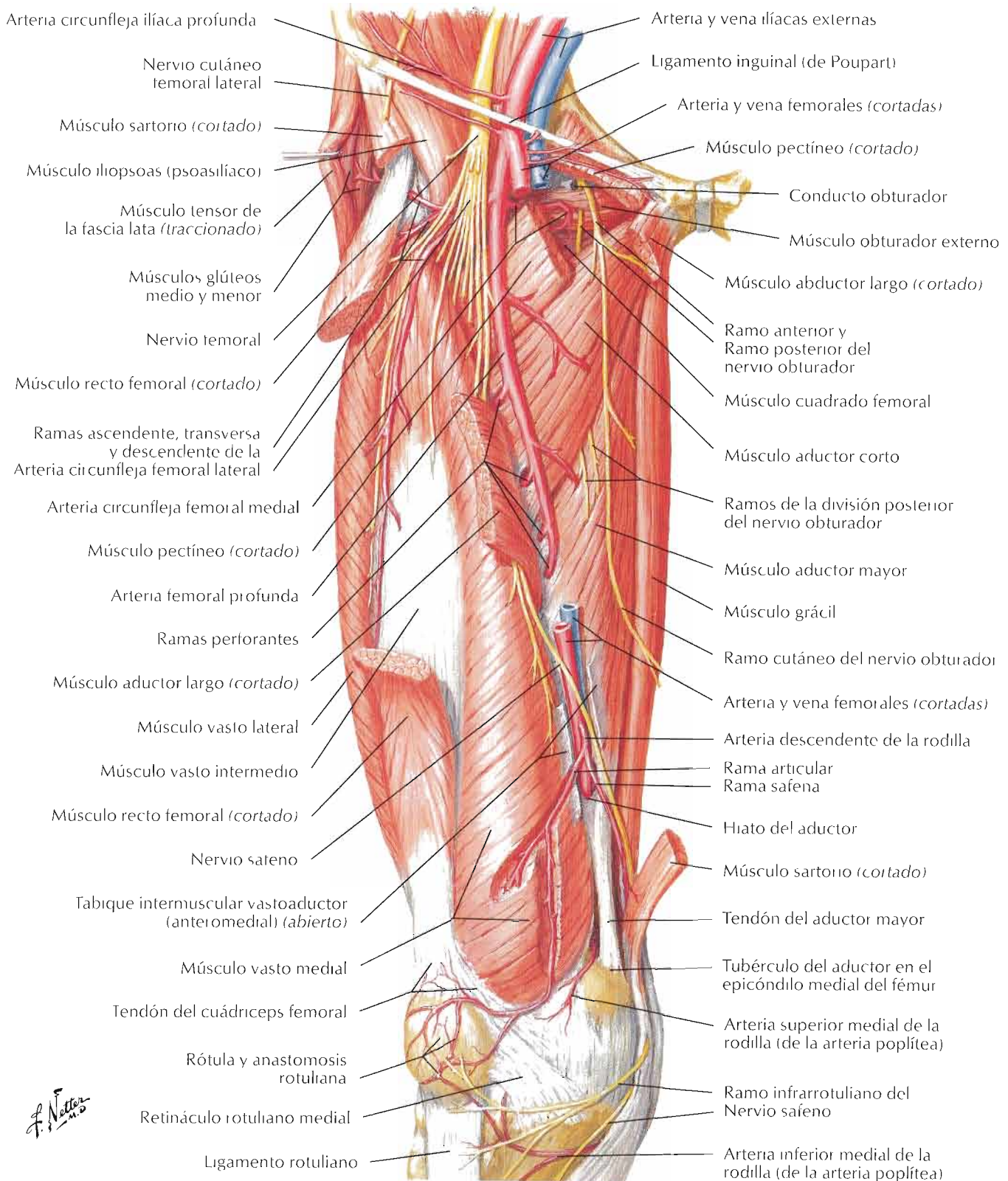




Véase también lámina 538

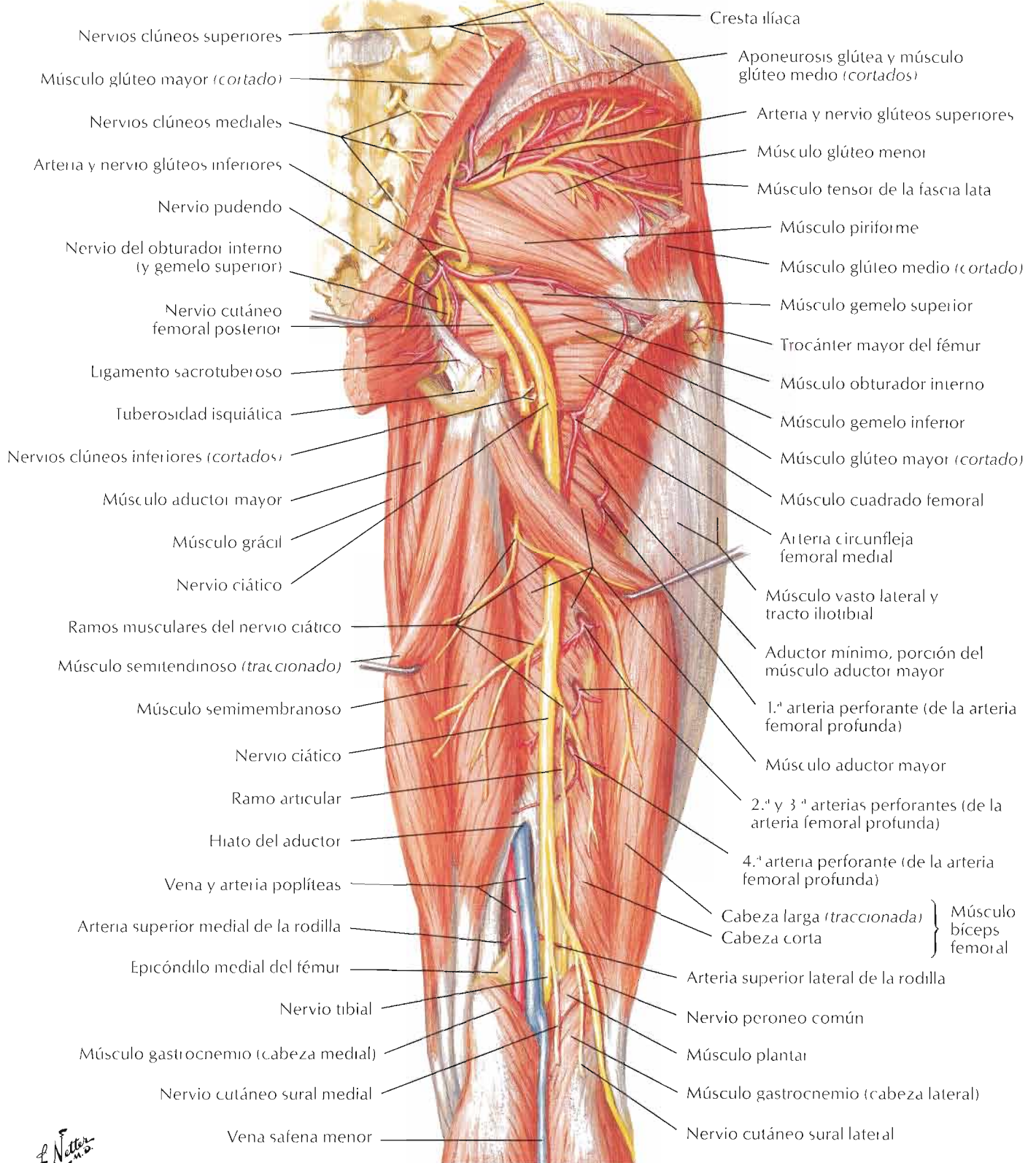


Disección profunda

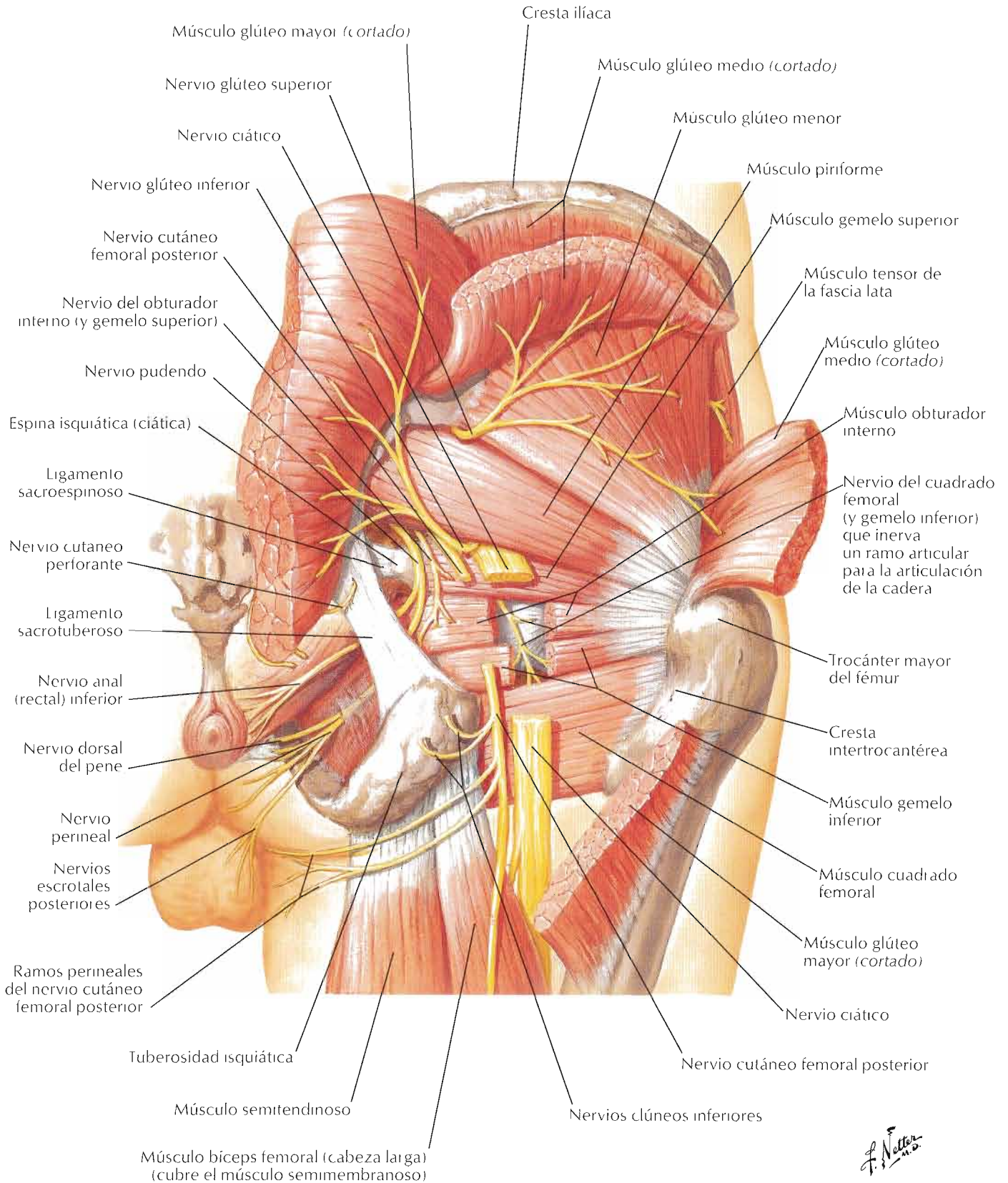


Véase también lámina 540

Disección profunda

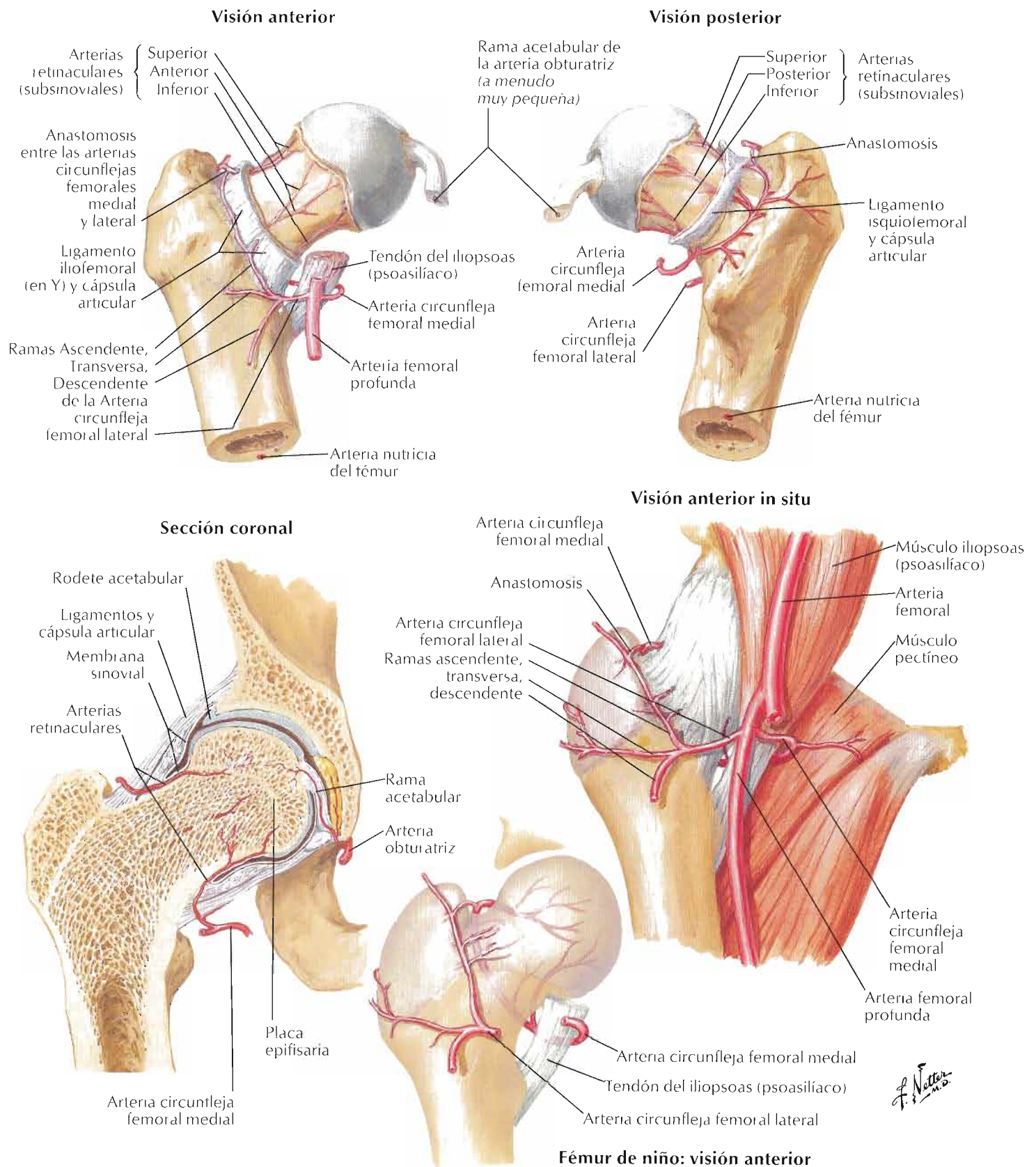


F. Netter M.D.

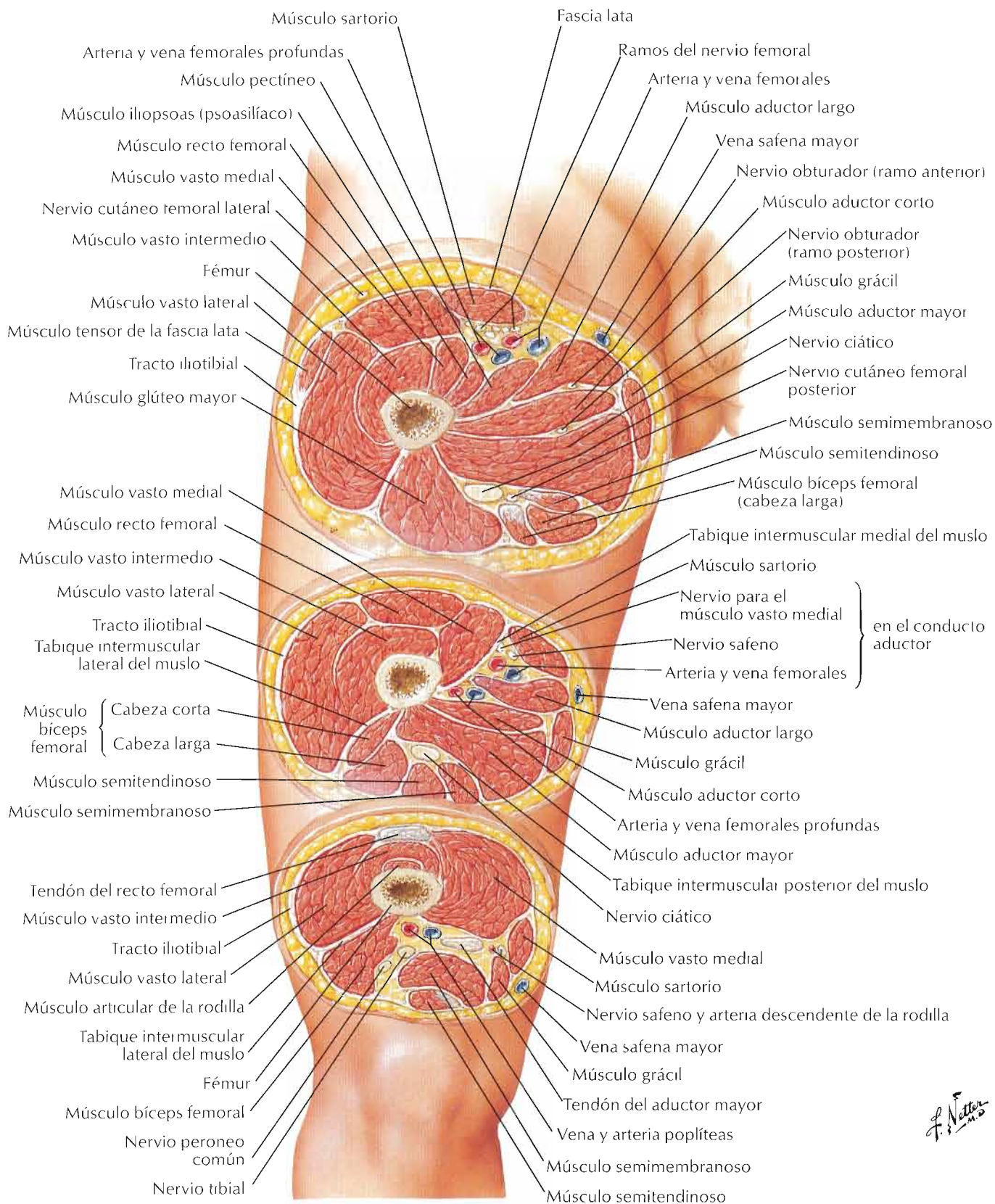


F. Netter M.D.

Véase también lámina 512

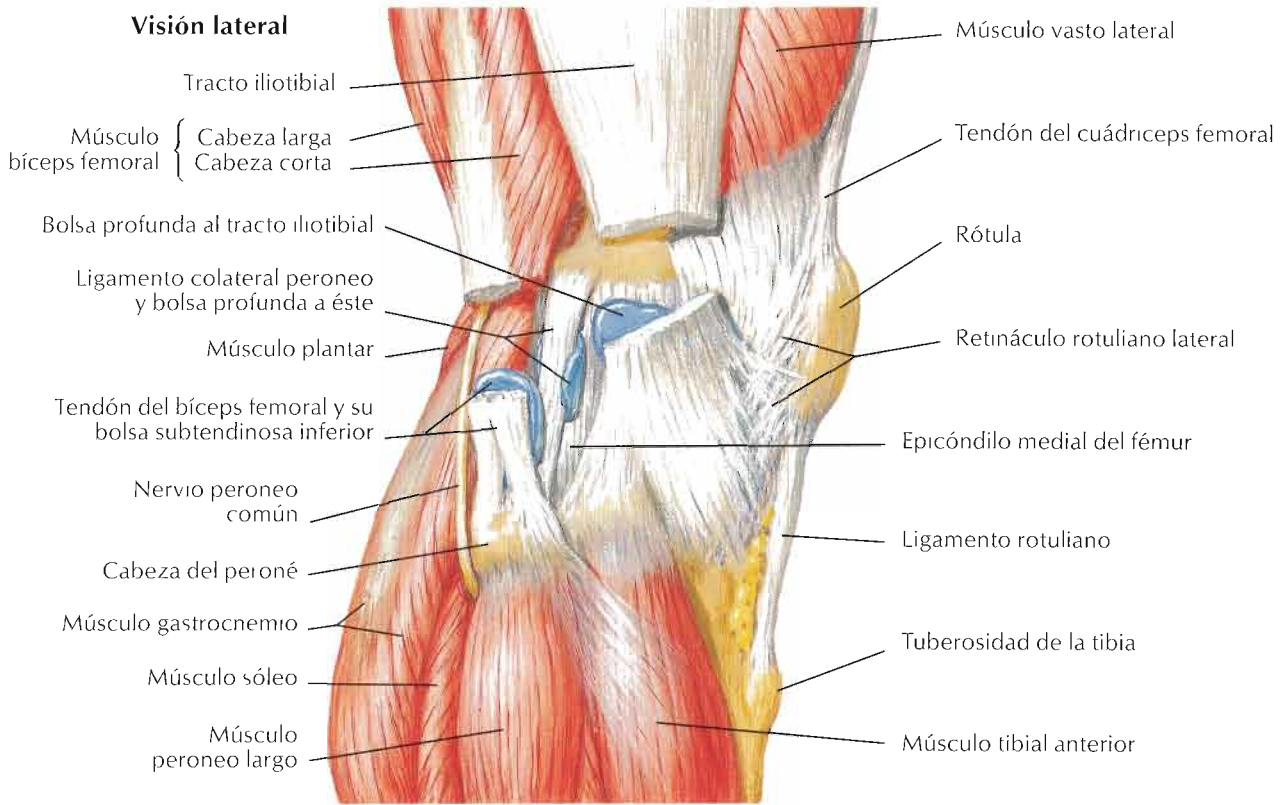


F. Netter M.D.

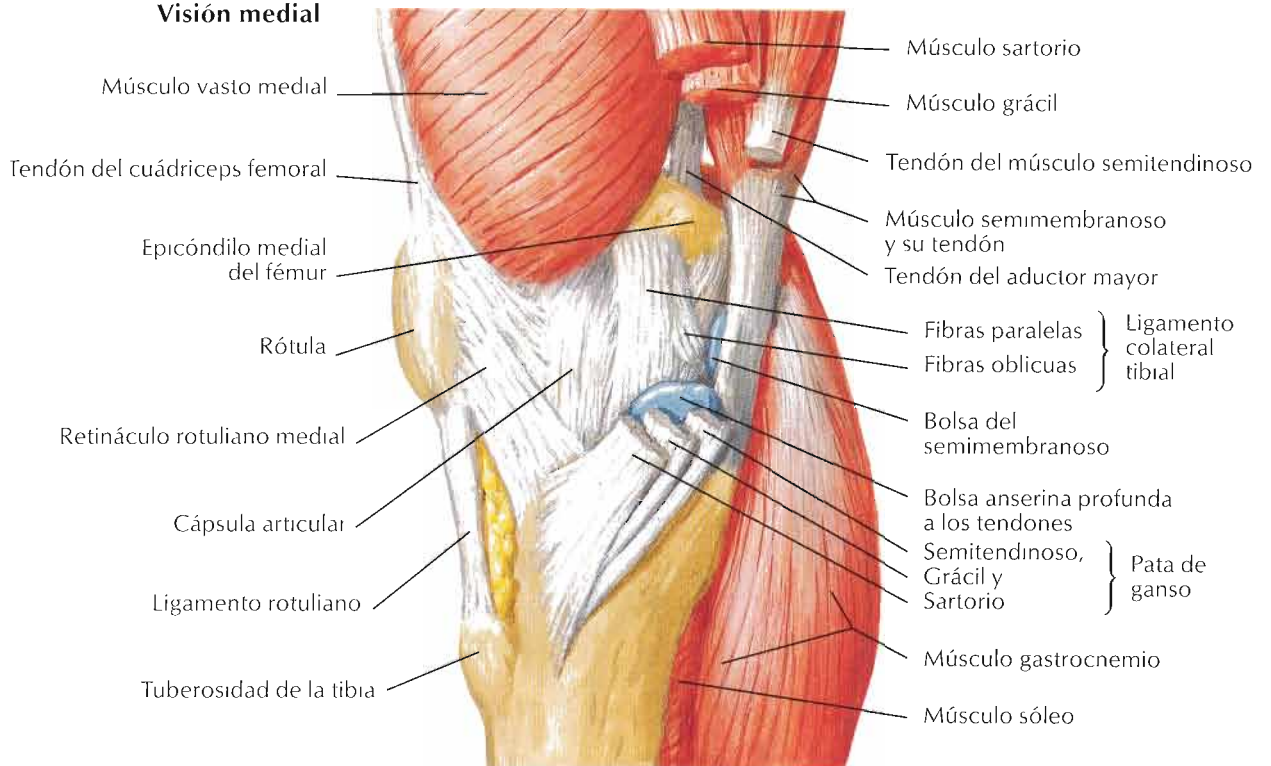


F. Netter M.D.

Visión lateral

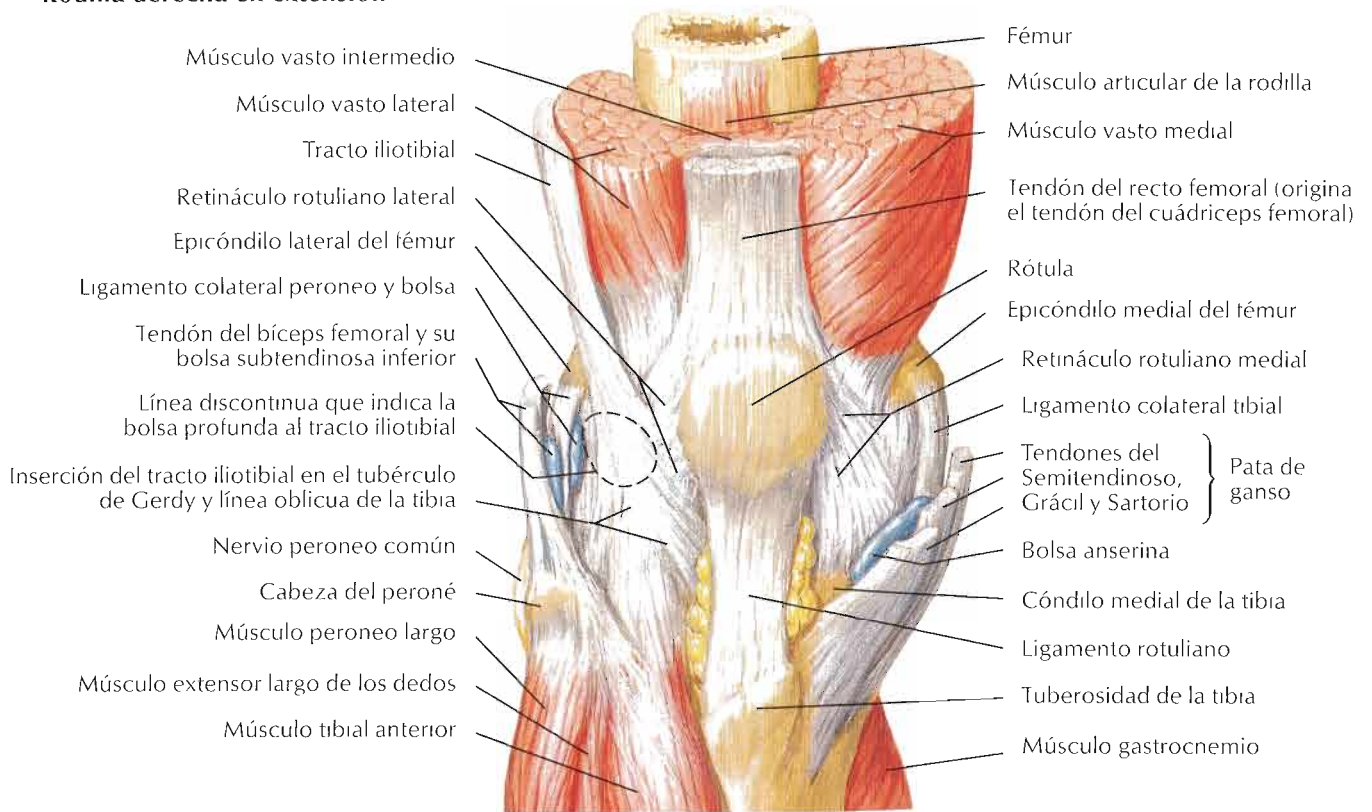


Visión medial

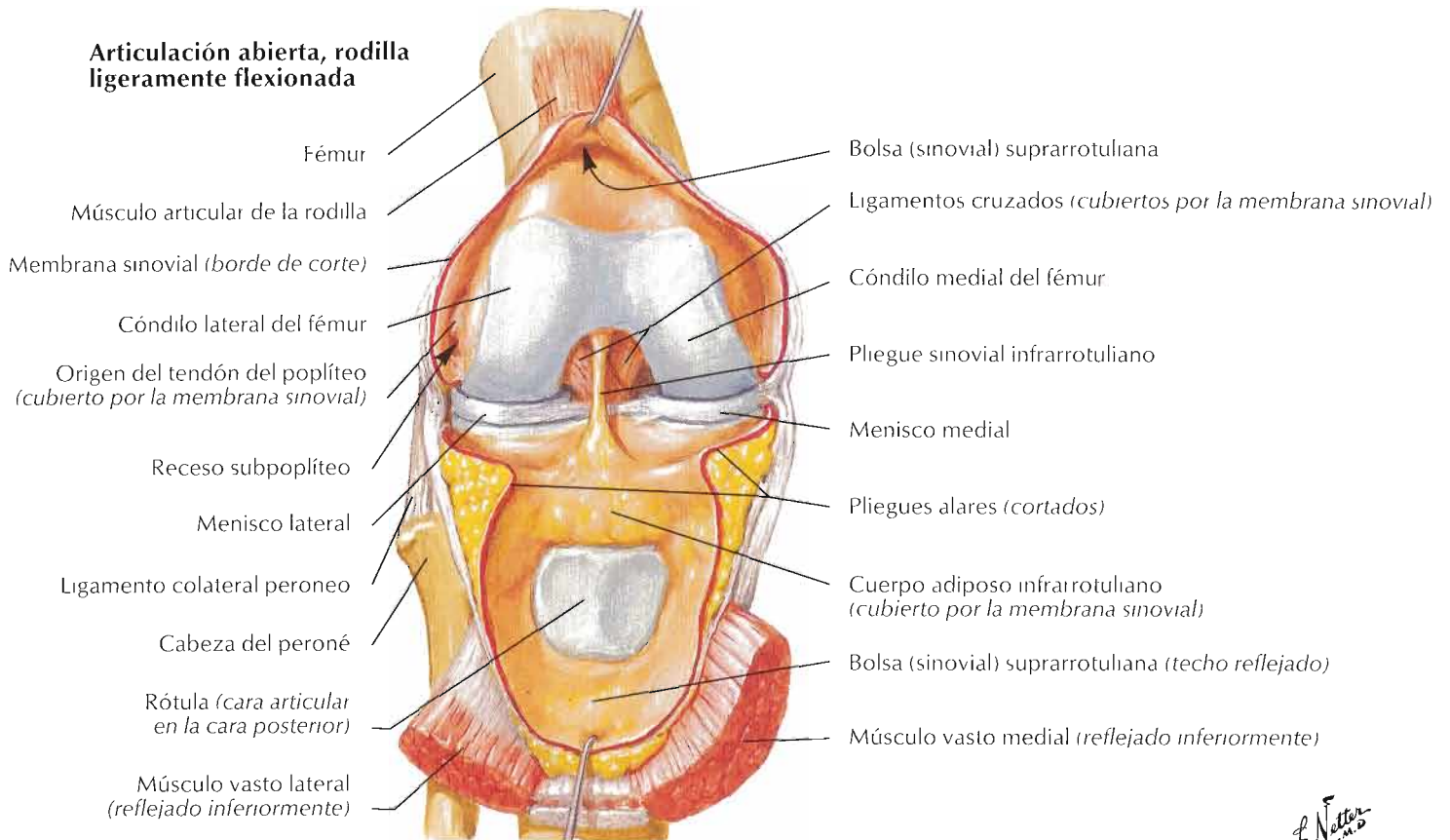


F. Netter

Rodilla derecha en extensión

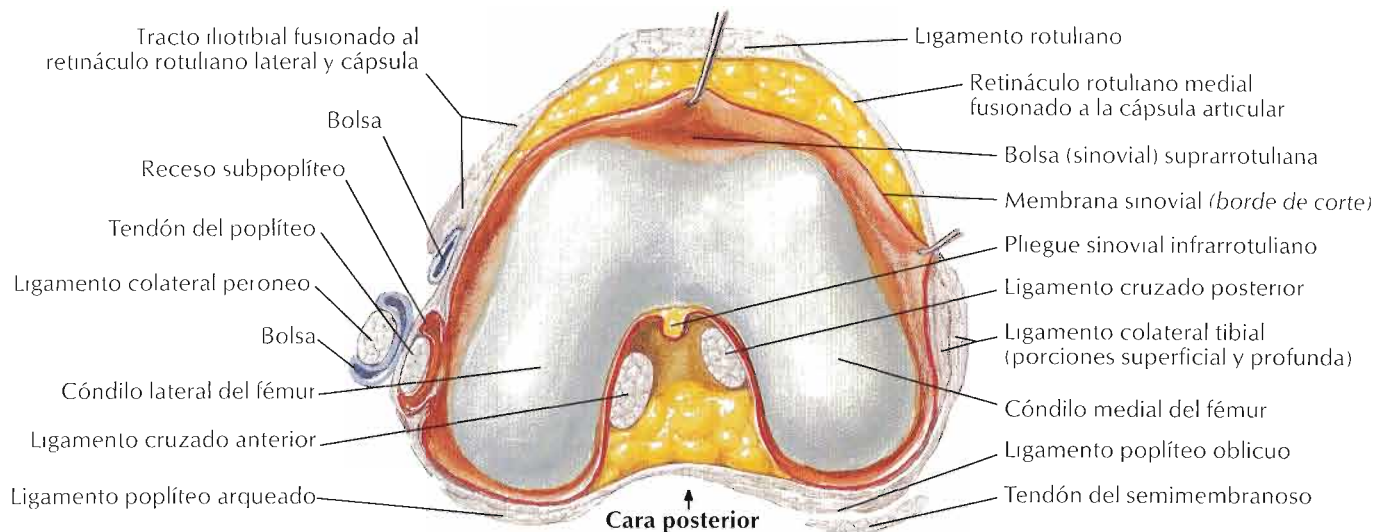


Articulación abierta, rodilla ligeramente flexionada

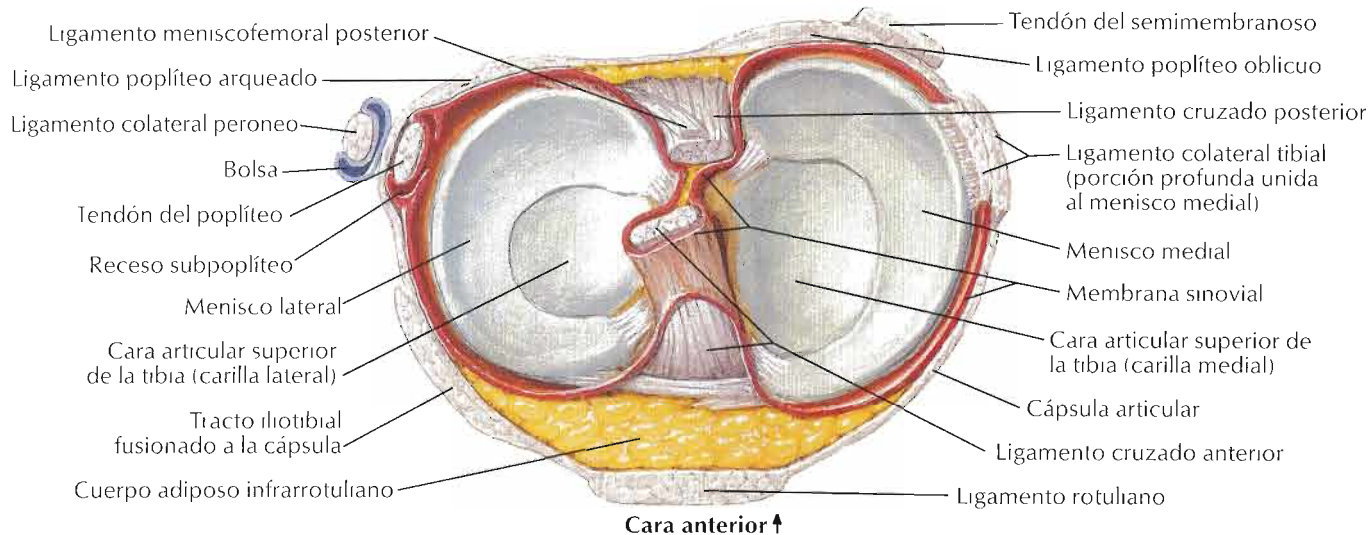


F. Netter M.D.

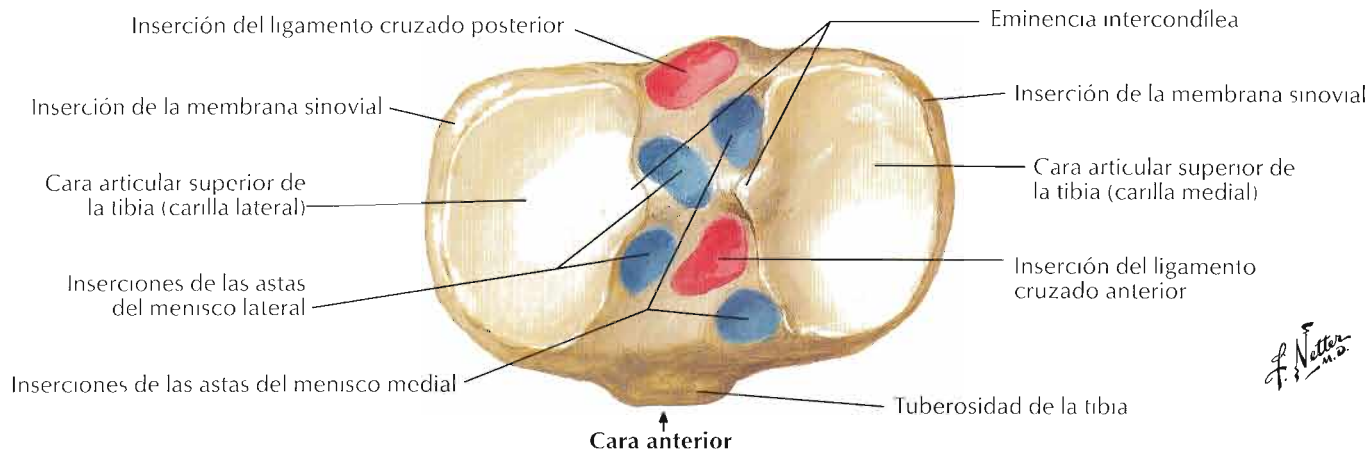
Visión inferior



Visión superior

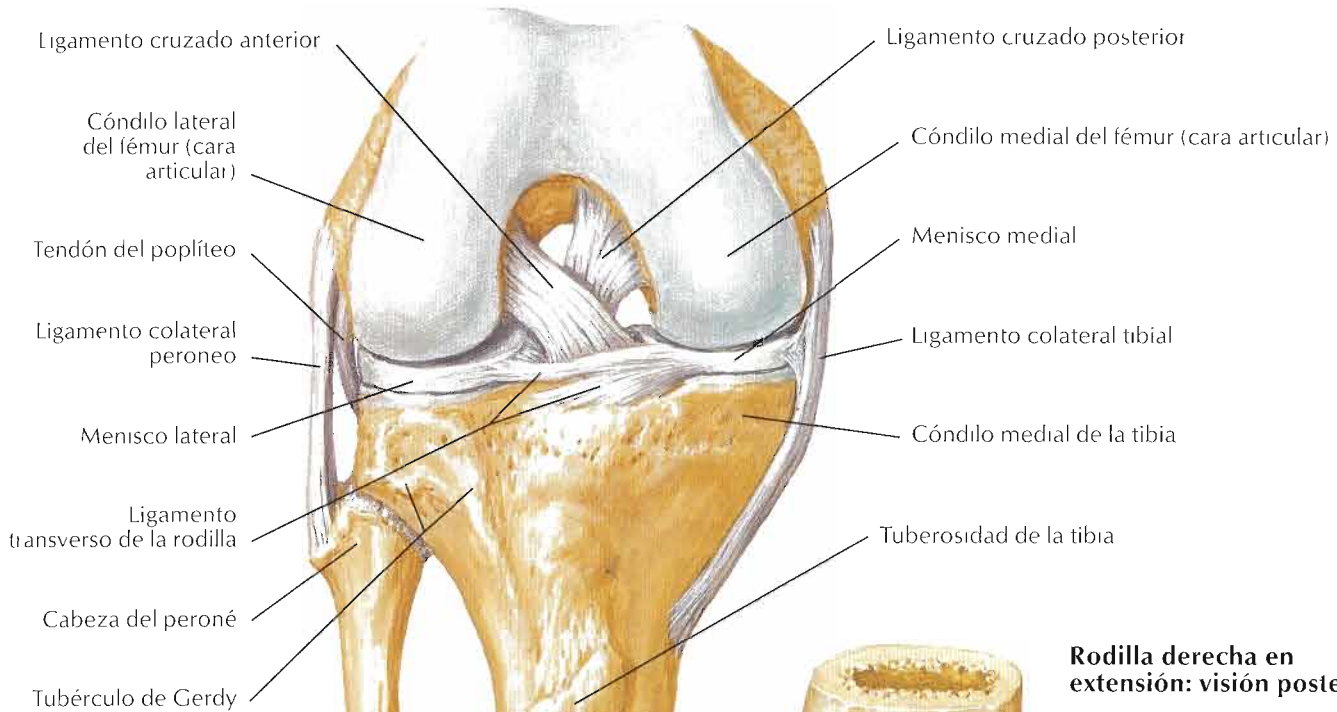


Visión superior: ligamentos y cartílago extirpados

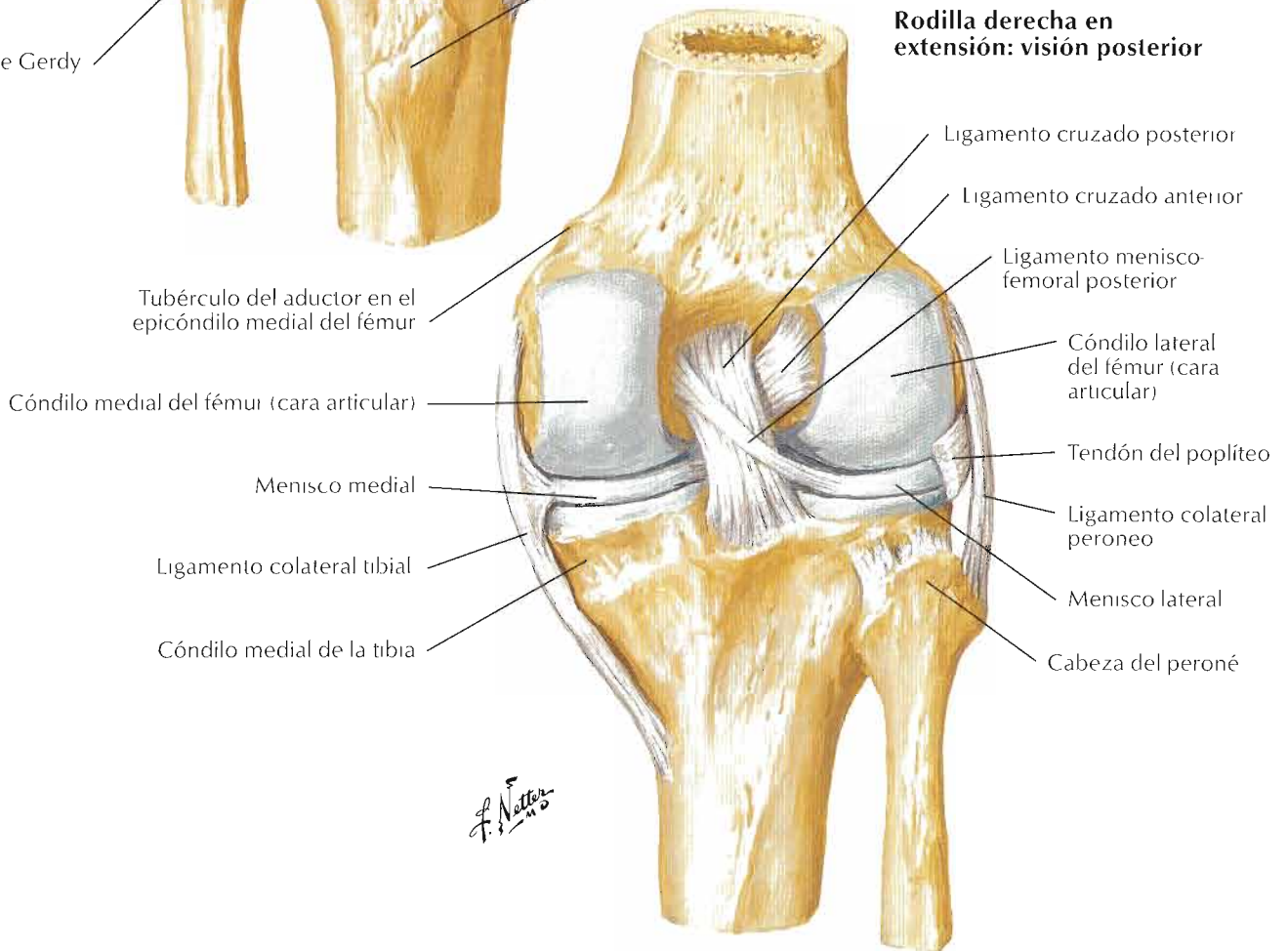


F. Natter
M.D.

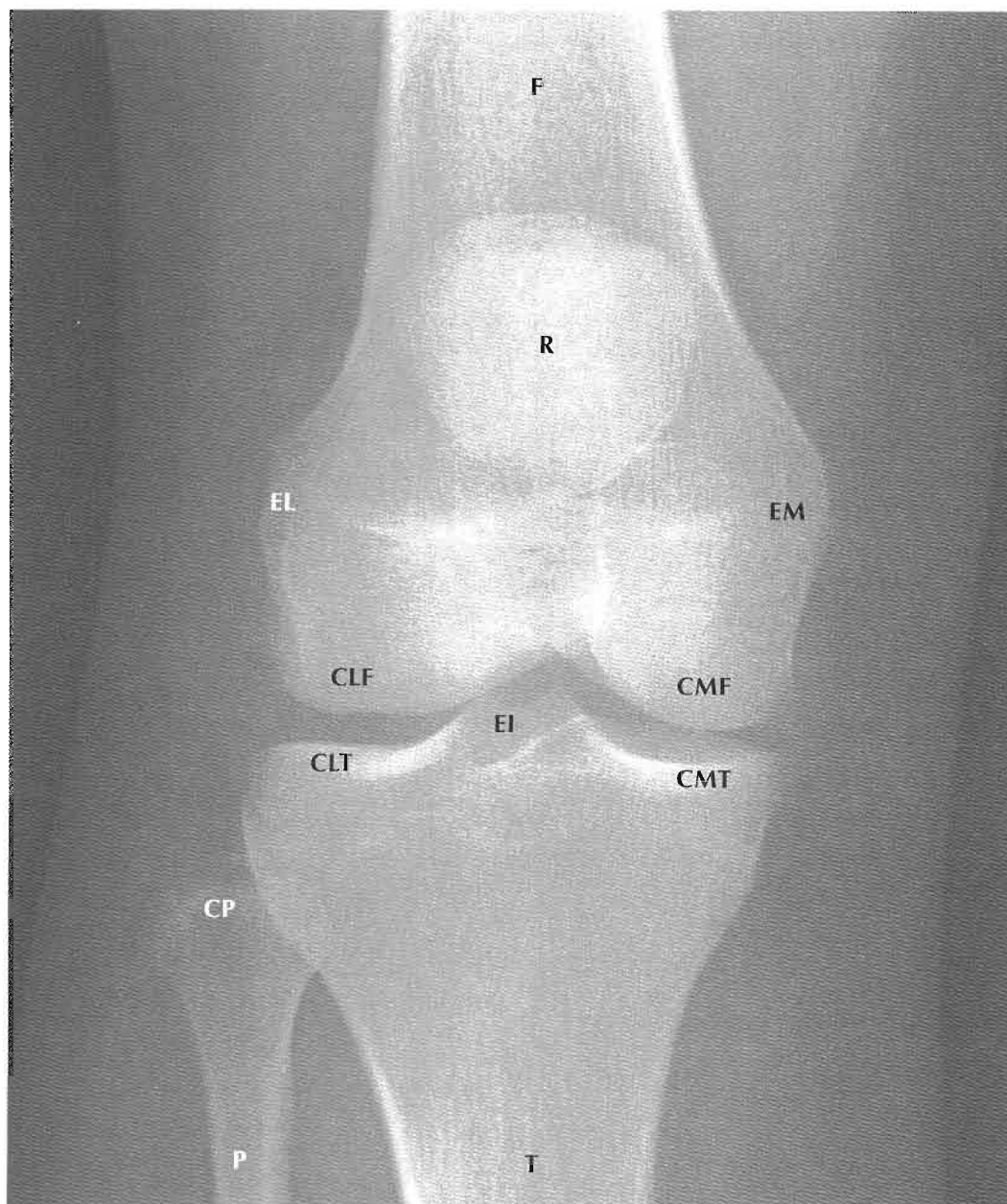
Rodilla derecha en flexión: visión anterior



Rodilla derecha en extensión: visión posterior

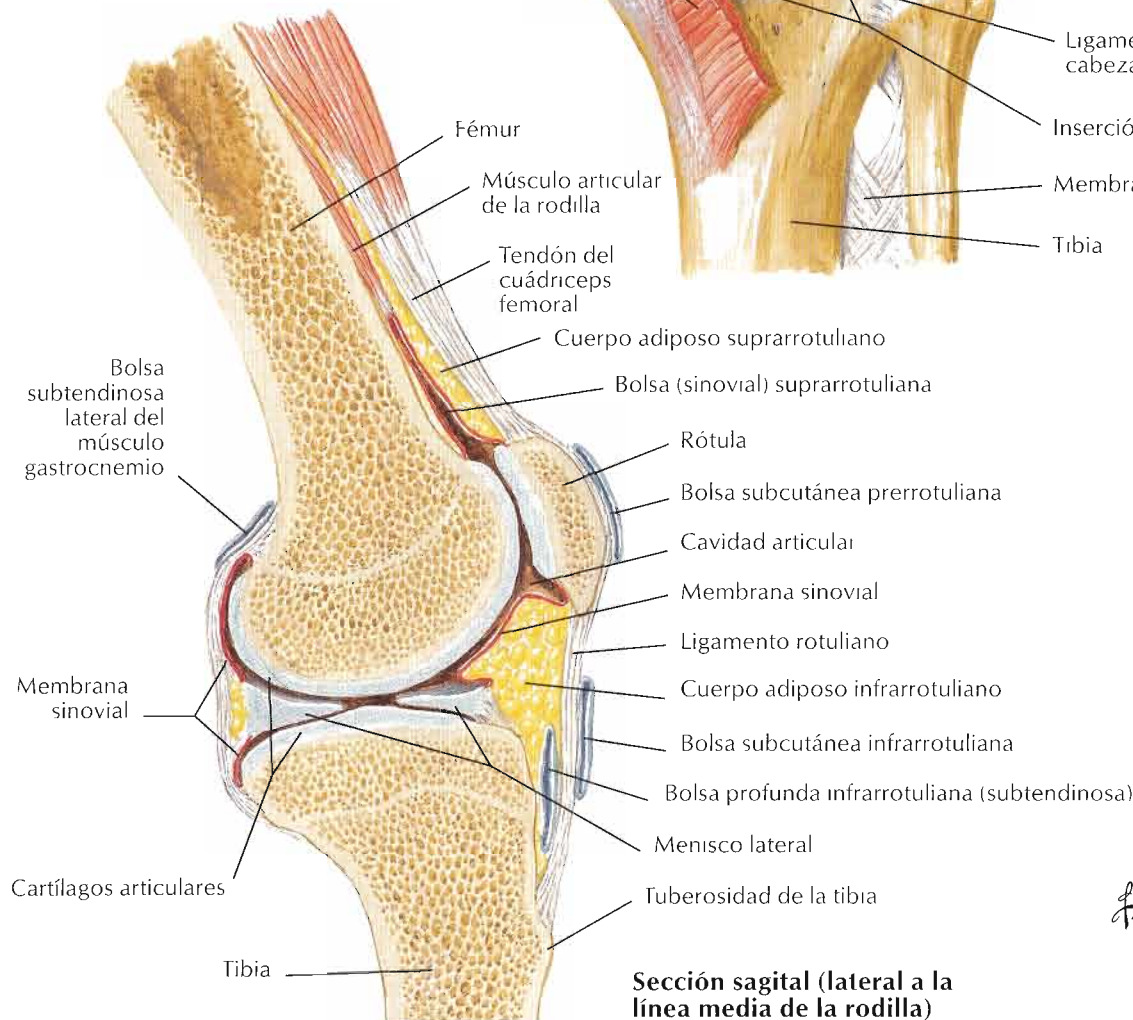
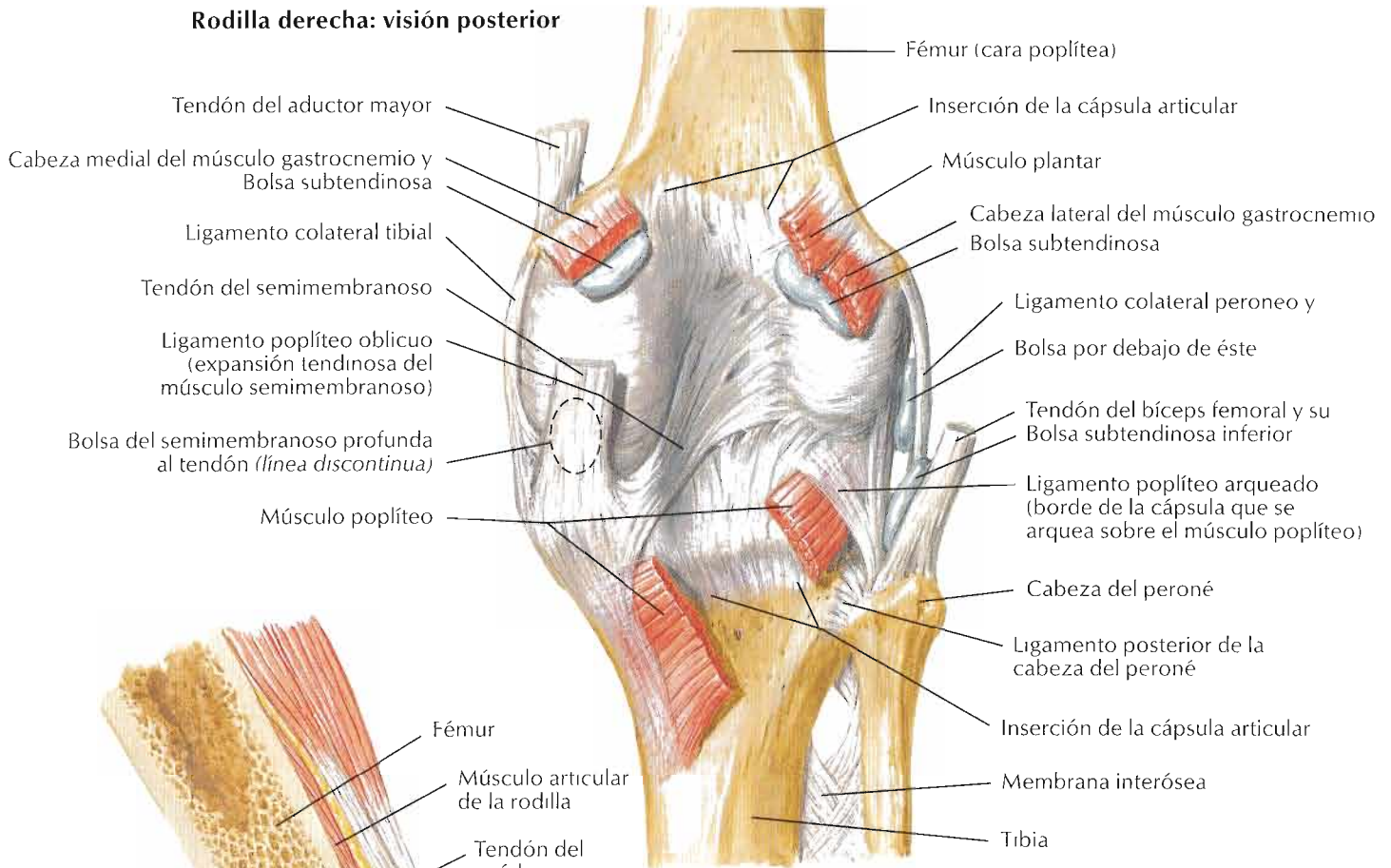


F. Netter



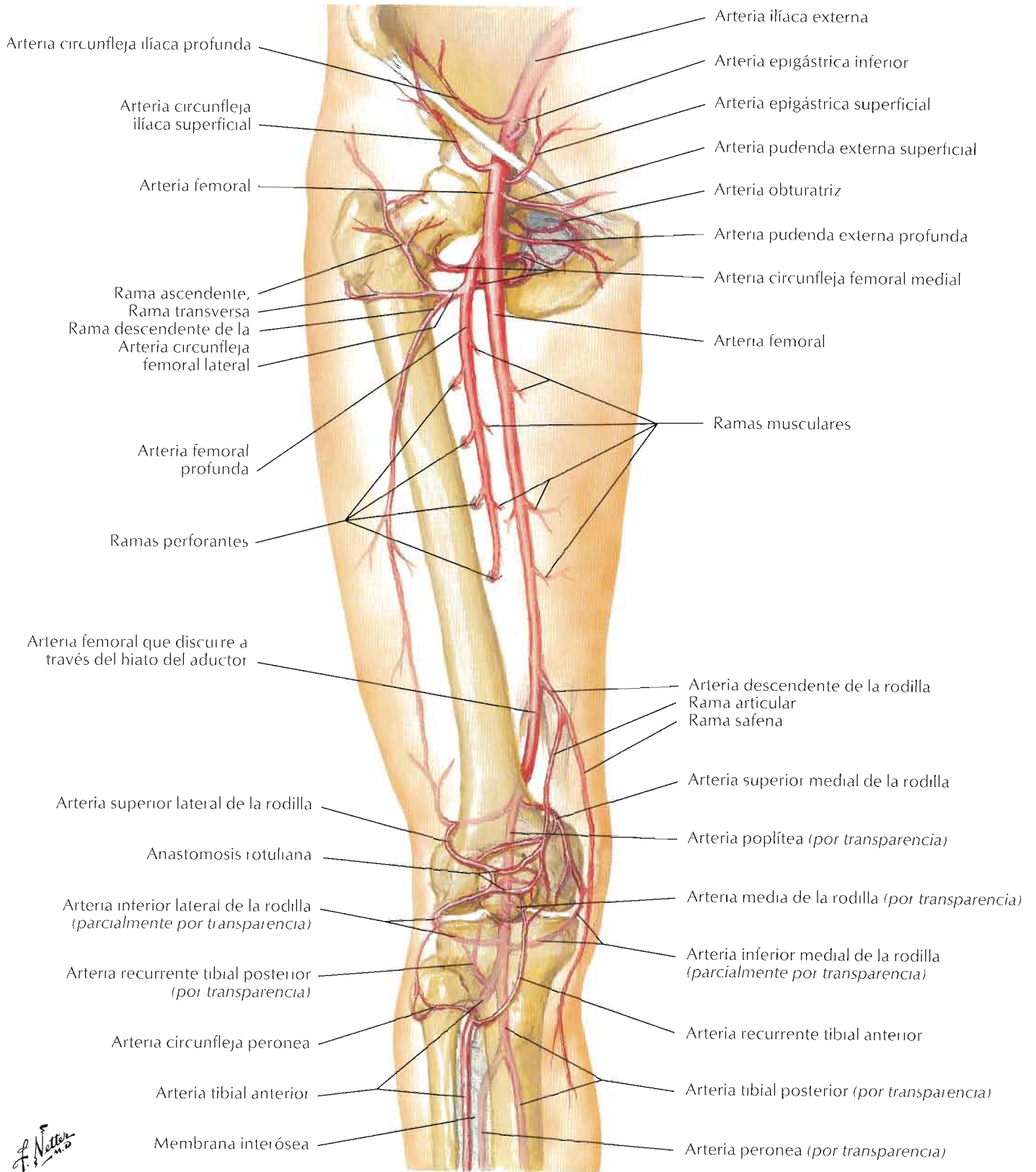
- CLF Cóndilo lateral del fémur
- CLT Cóndilo lateral de la tibia
- CMF Cóndilo medial del fémur
- CMT Cóndilo medial de la tibia
- CP Cabeza del peroné
- EI Eminencia intercondílea
- EL Epicóndilo lateral
- EM Epicóndilo medial
- F Fémur
- P Peroné
- R Rótula
- T Tibia

Rodilla derecha: visión posterior



Sección sagital (lateral a la línea media de la rodilla)

F. Netter M.D.

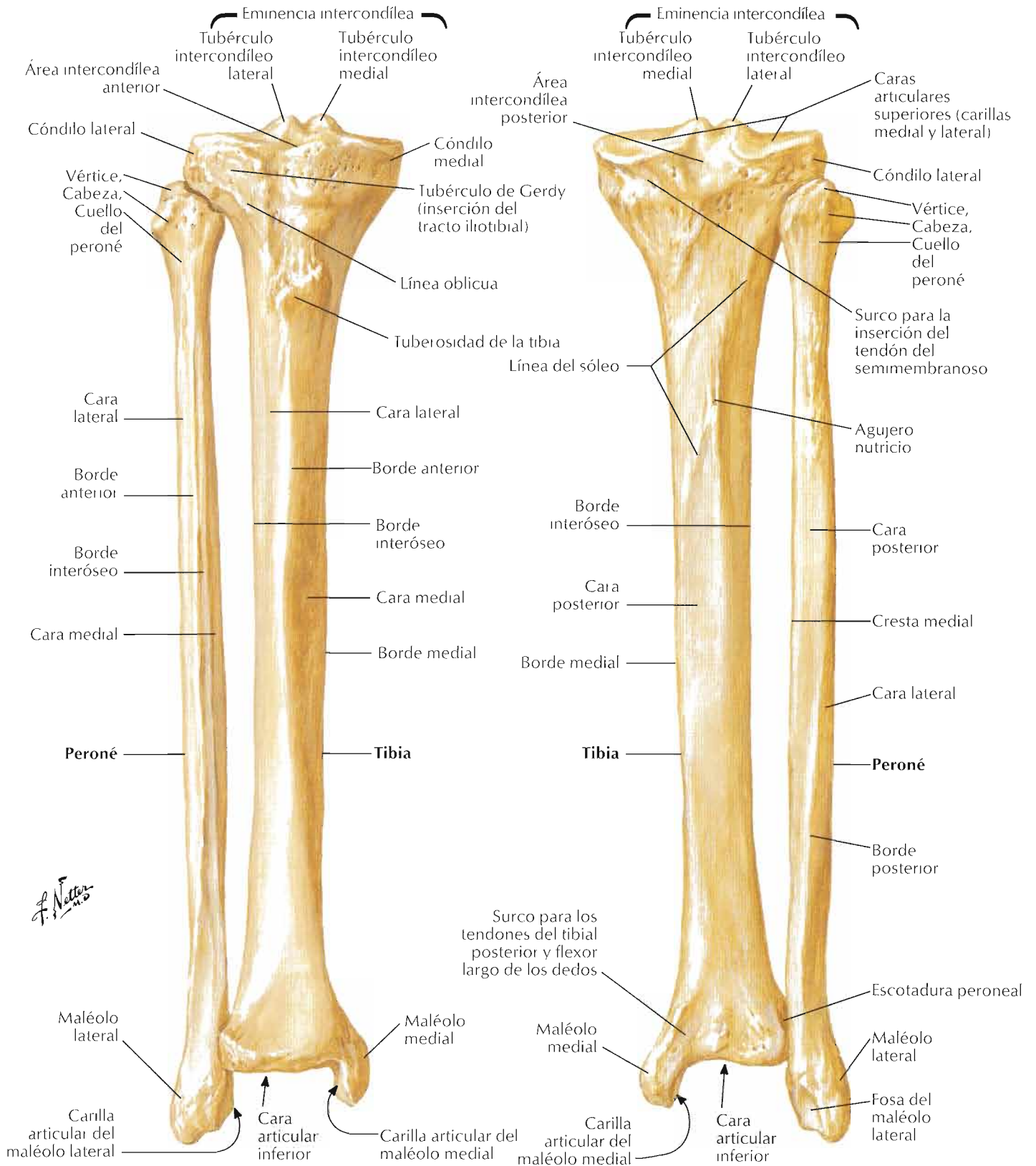


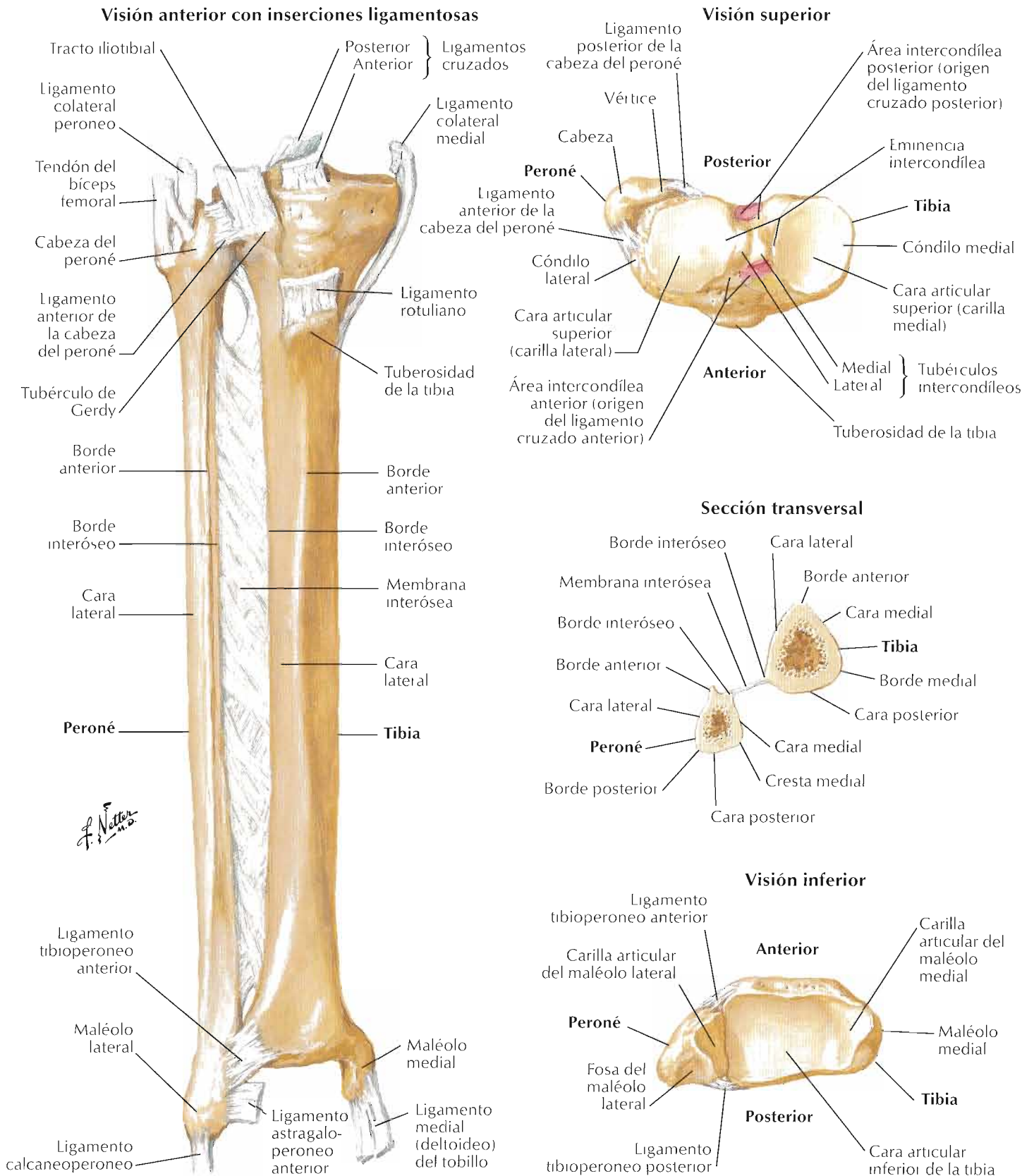
F. Netter M.D.

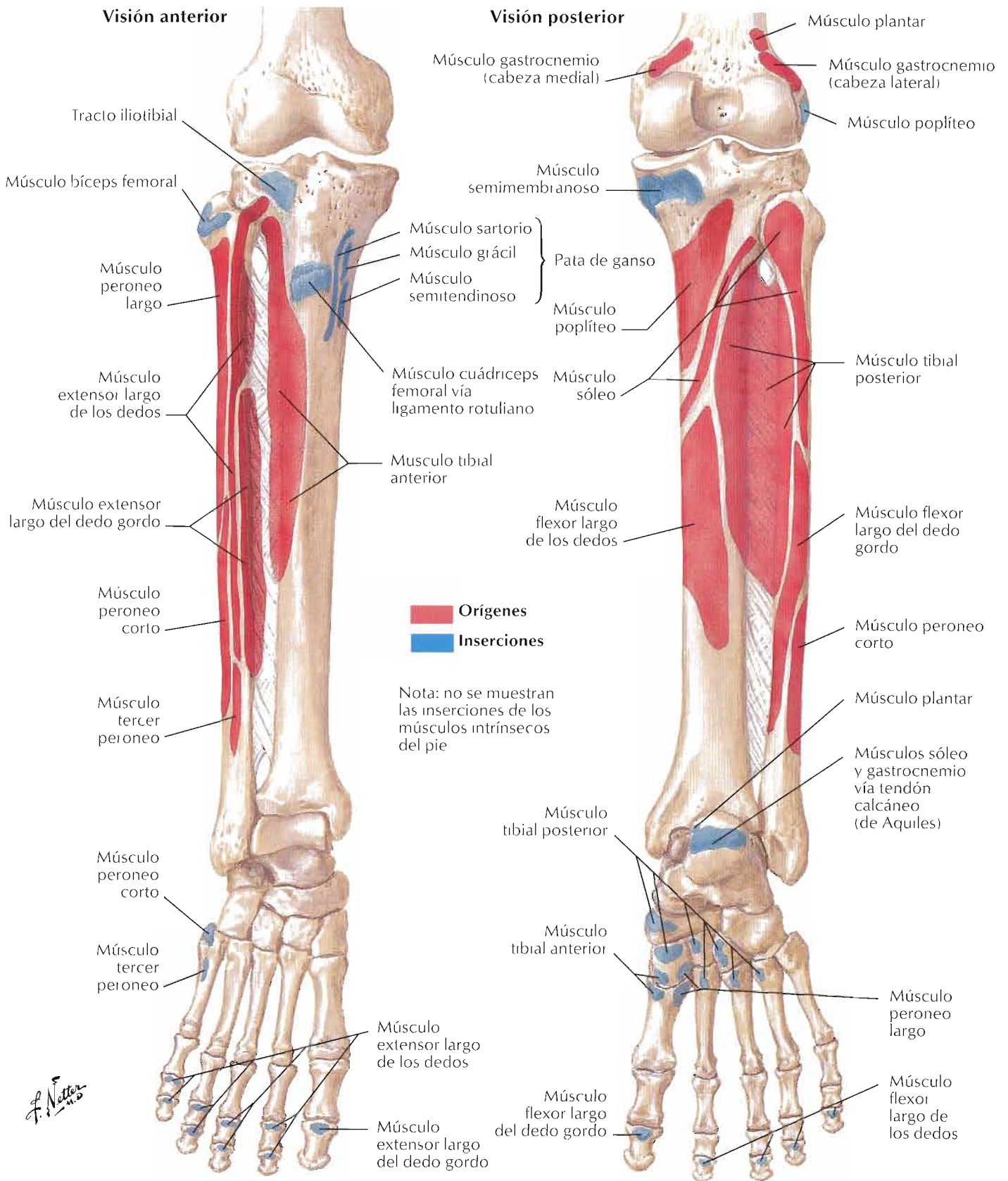
Huesos de la pierna derecha

Visión anterior

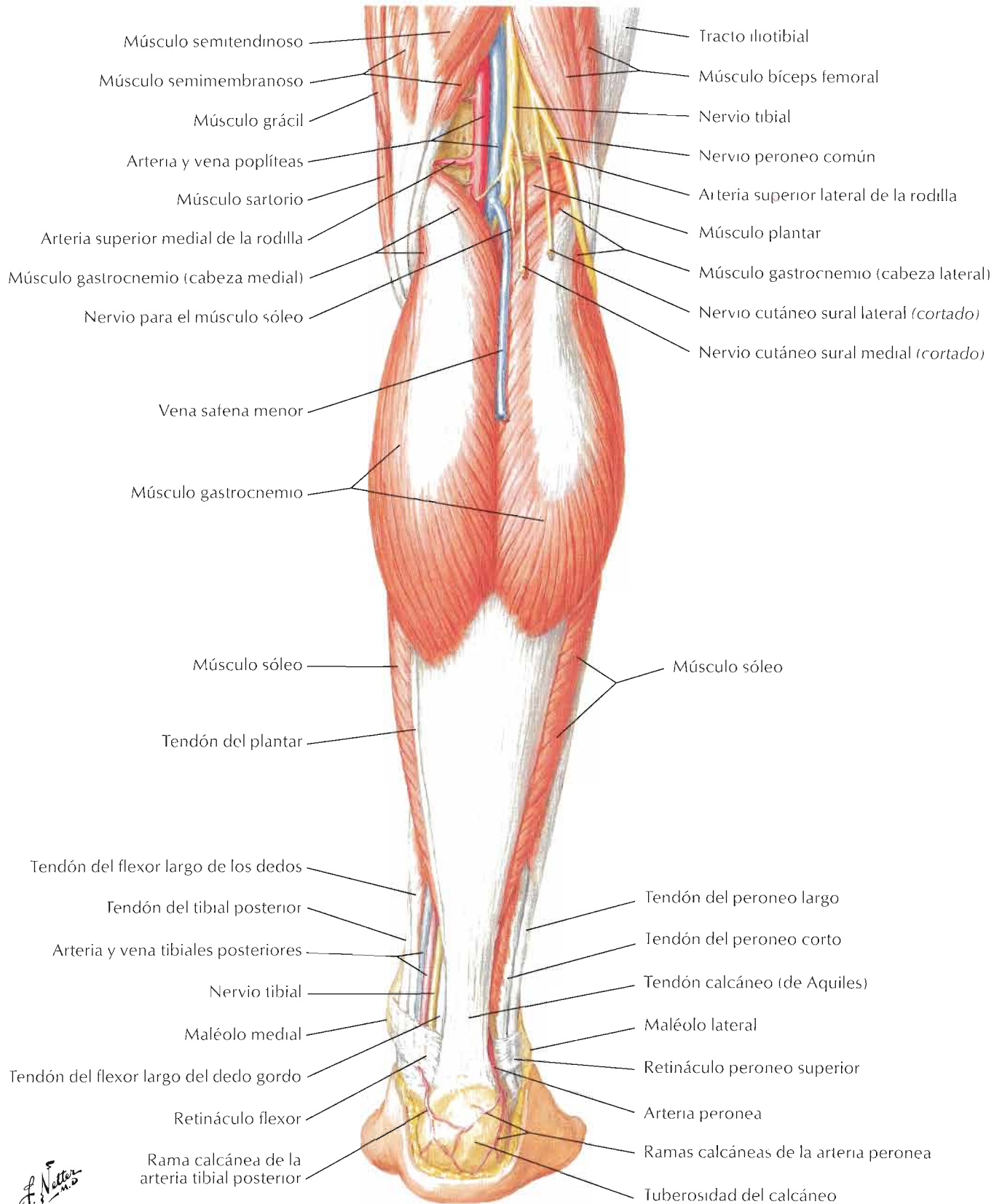
Visión posterior



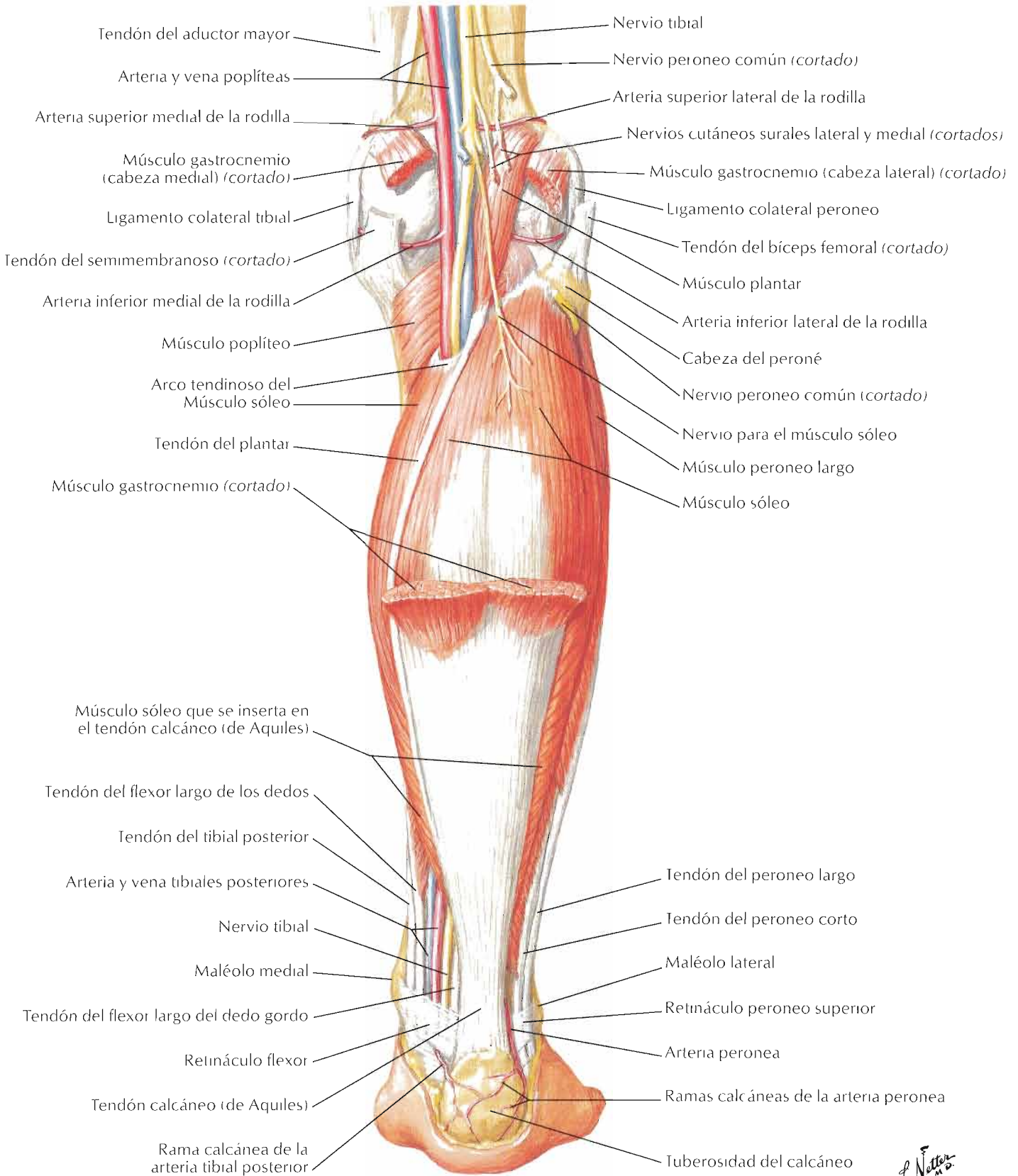




Véase también lámina 540

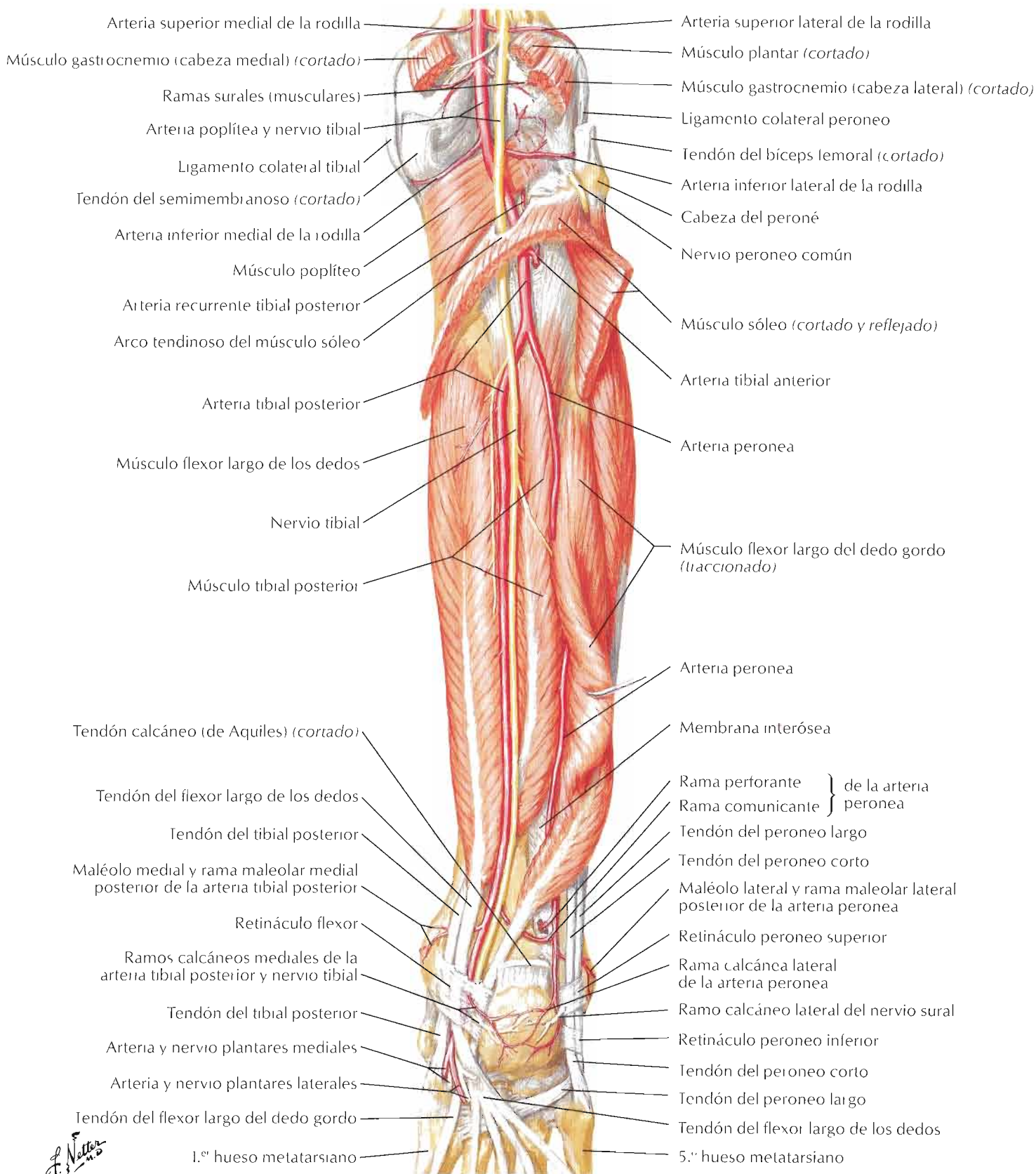


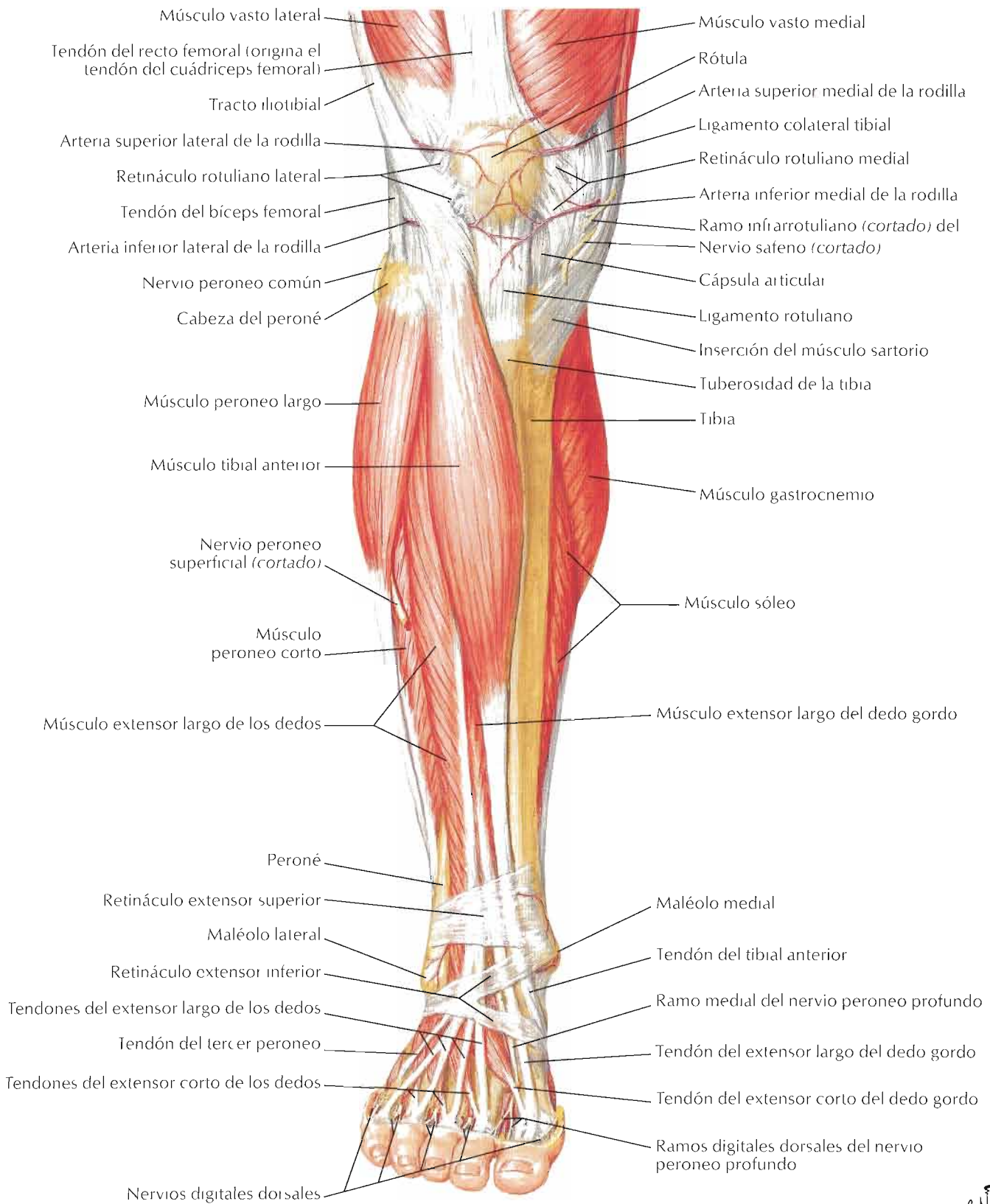
F. Netter



F. Netter
M.D.

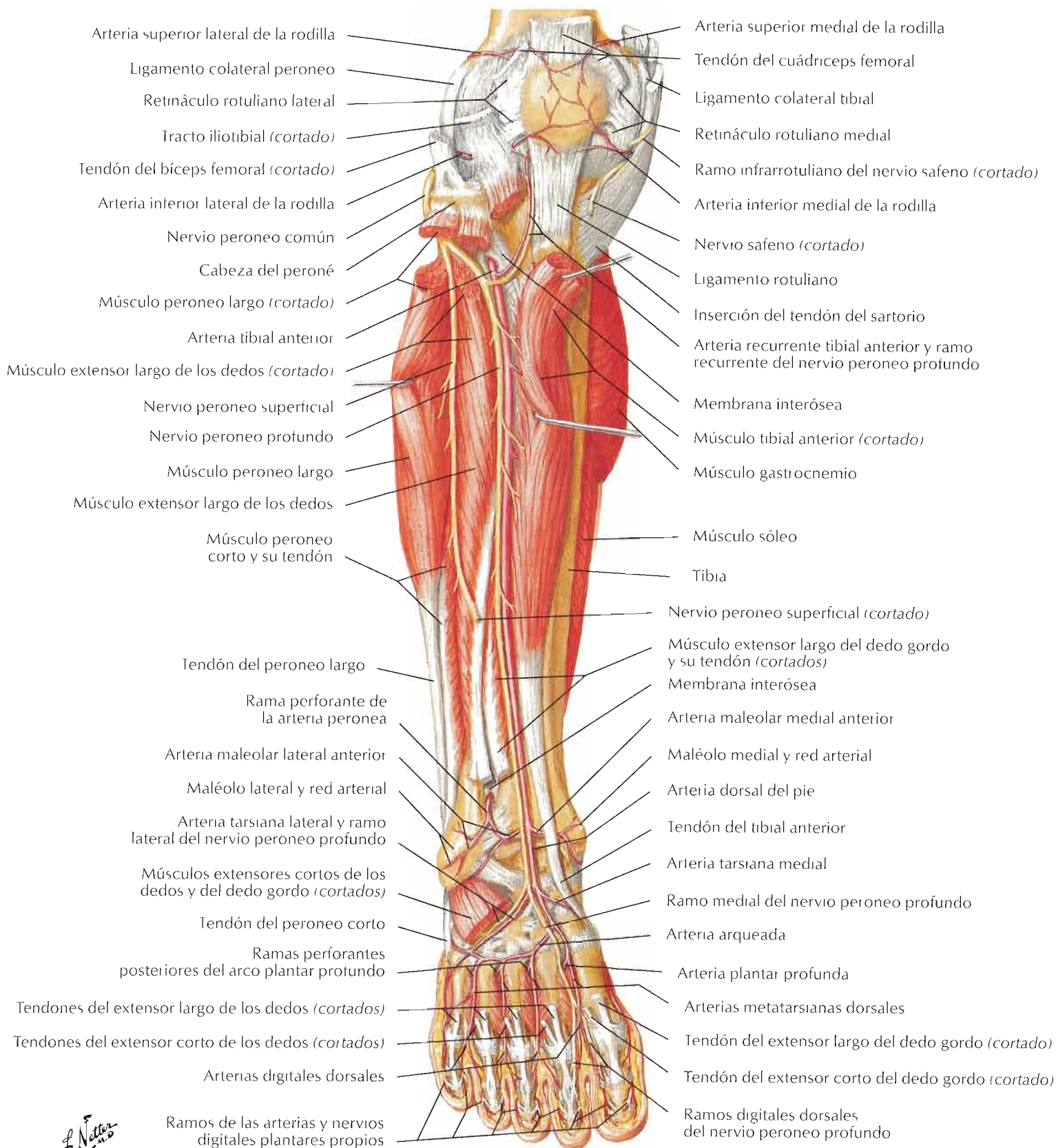
Véase también lámina 541



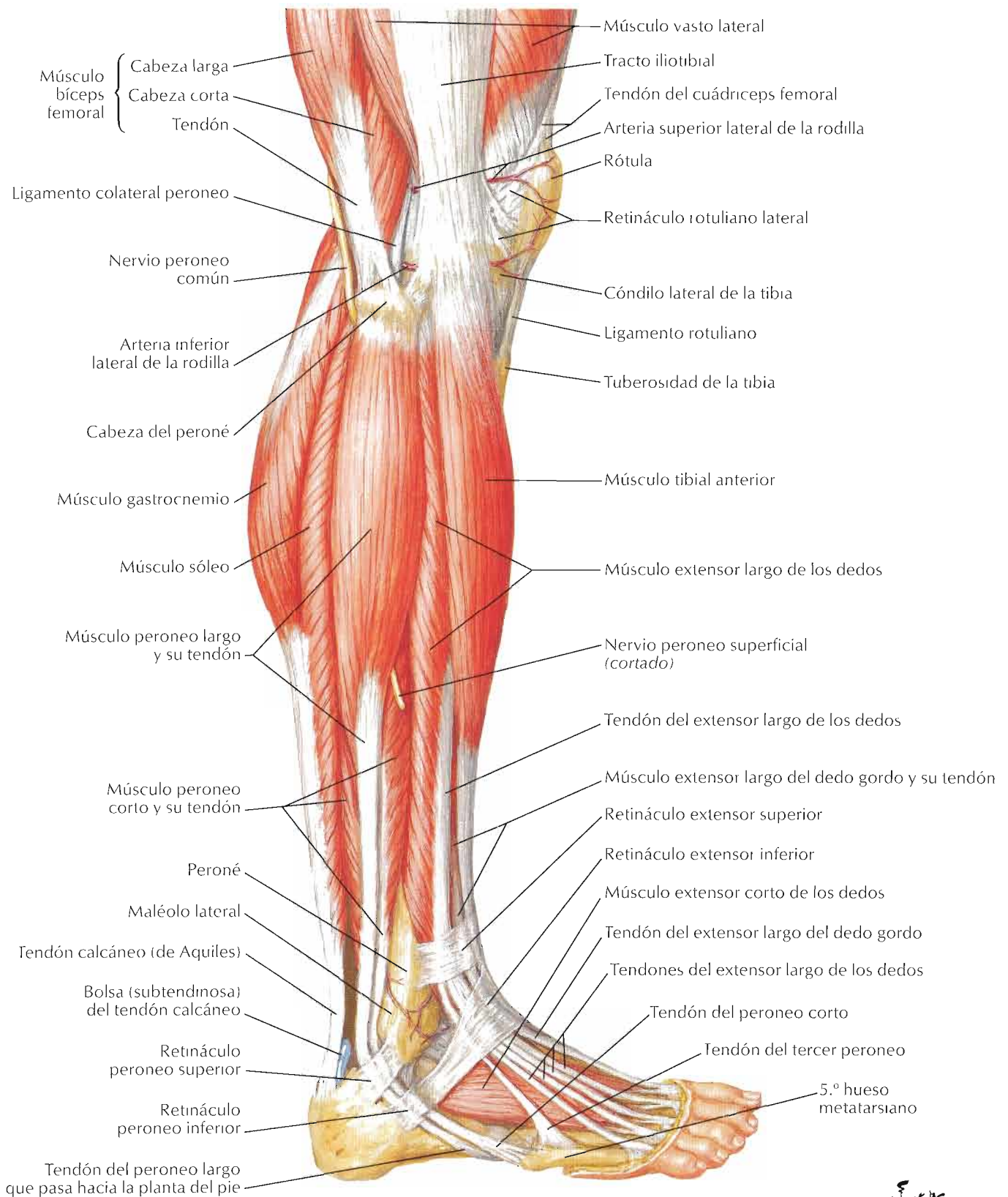


F. Netter M.D.

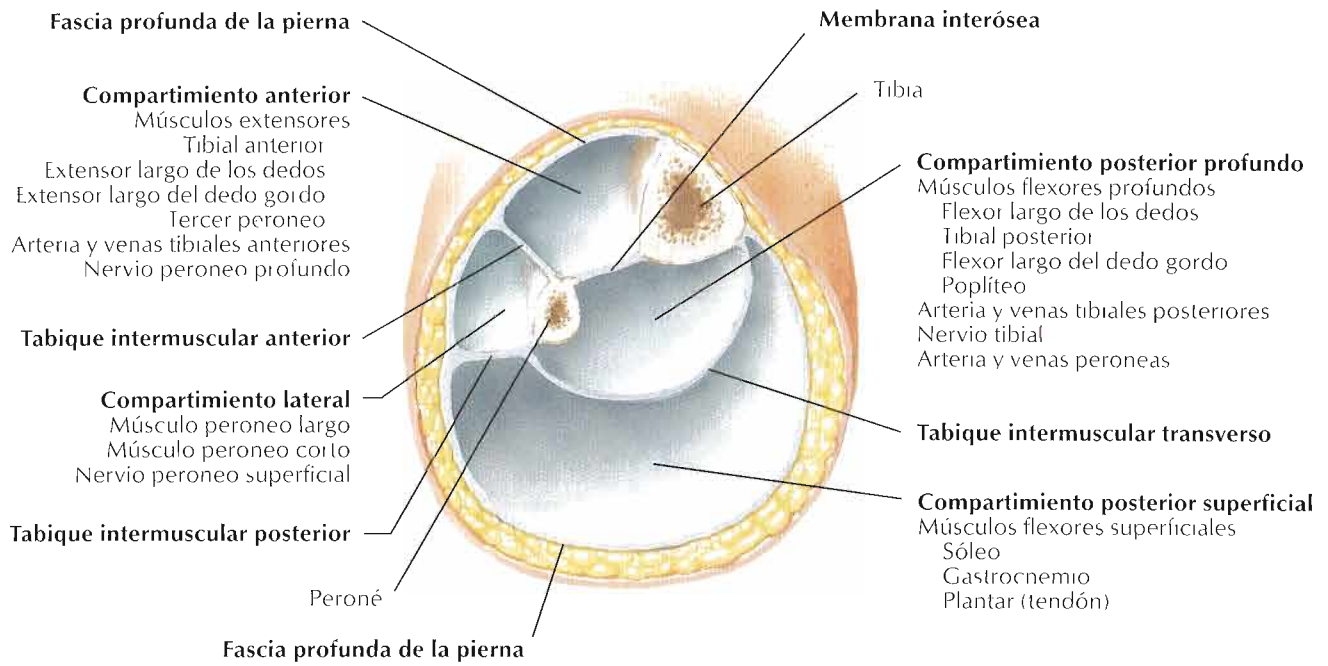
Véase también lámina 542



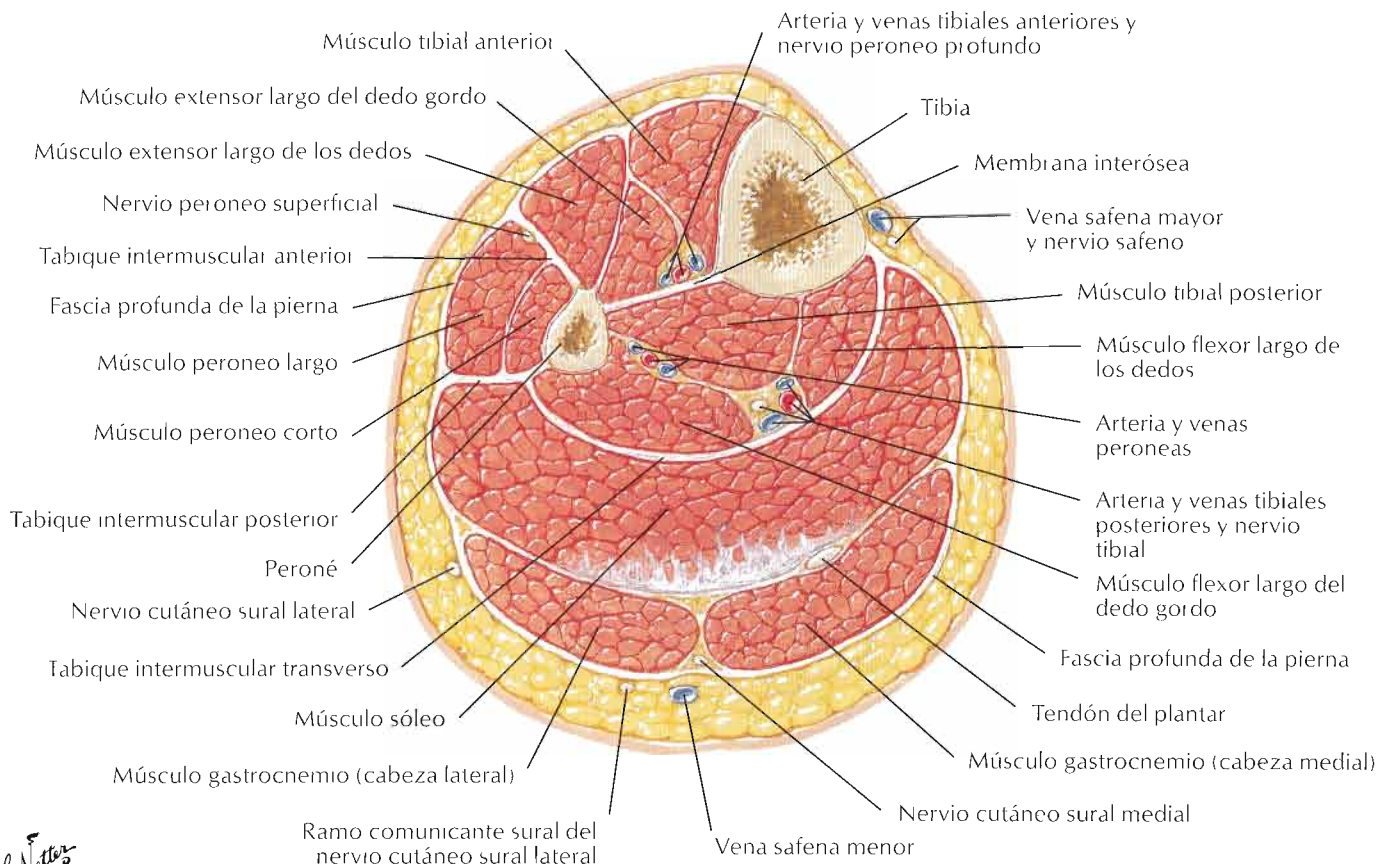
F. Netter M.D.



F. Netter M.D.

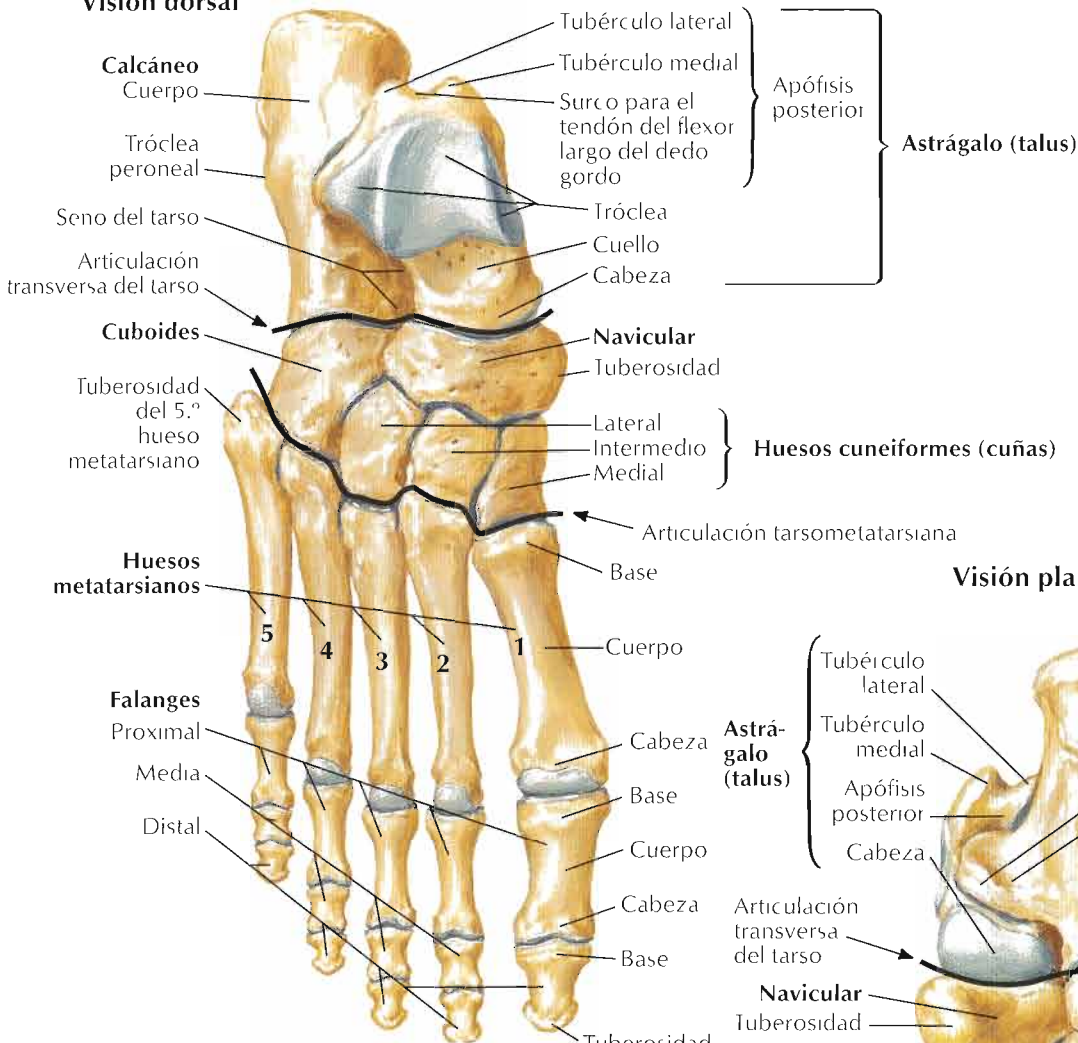


Sección transversal justo por encima de la mitad de la pierna

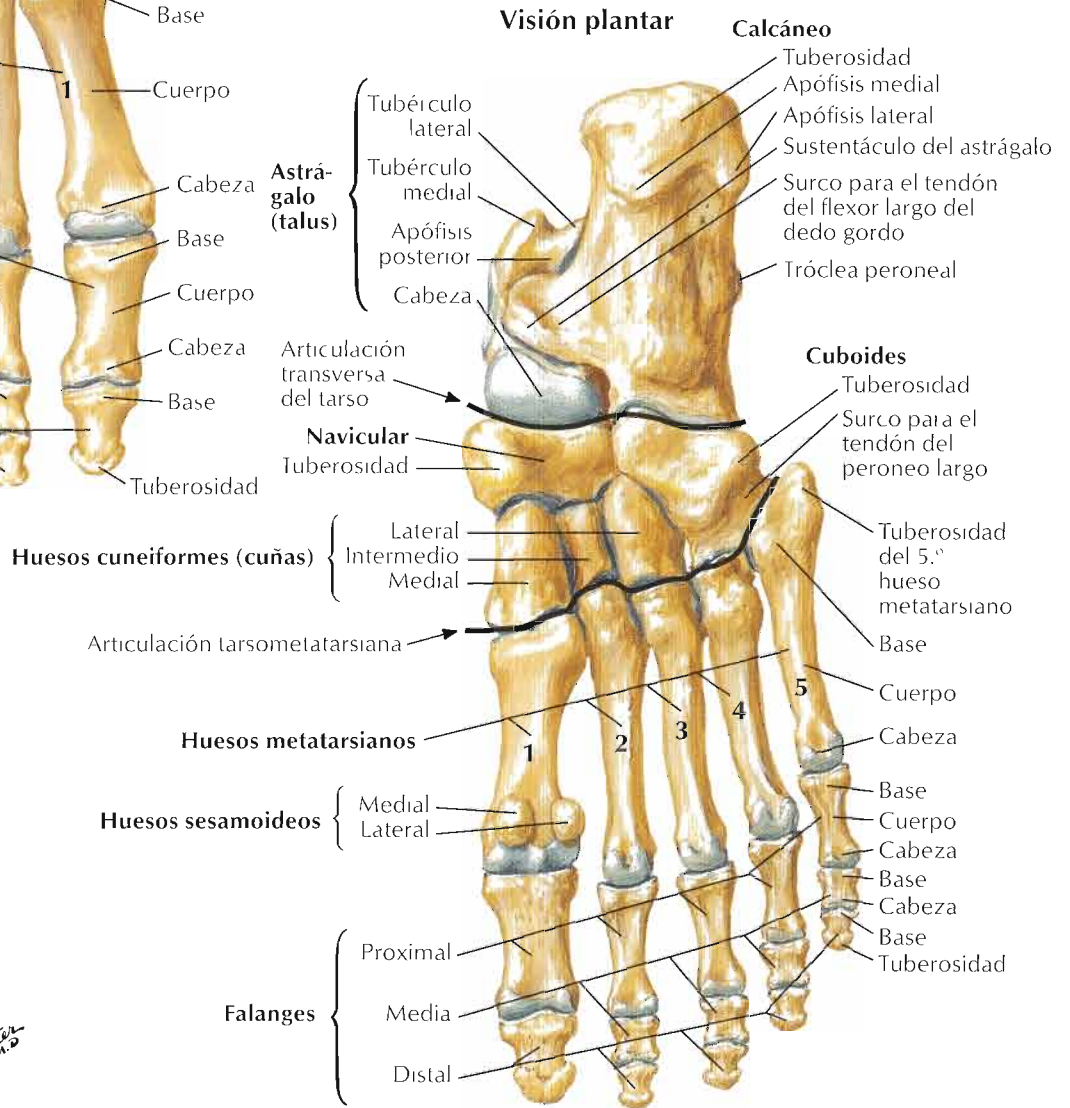


F. Netter M.D.

Visión dorsal



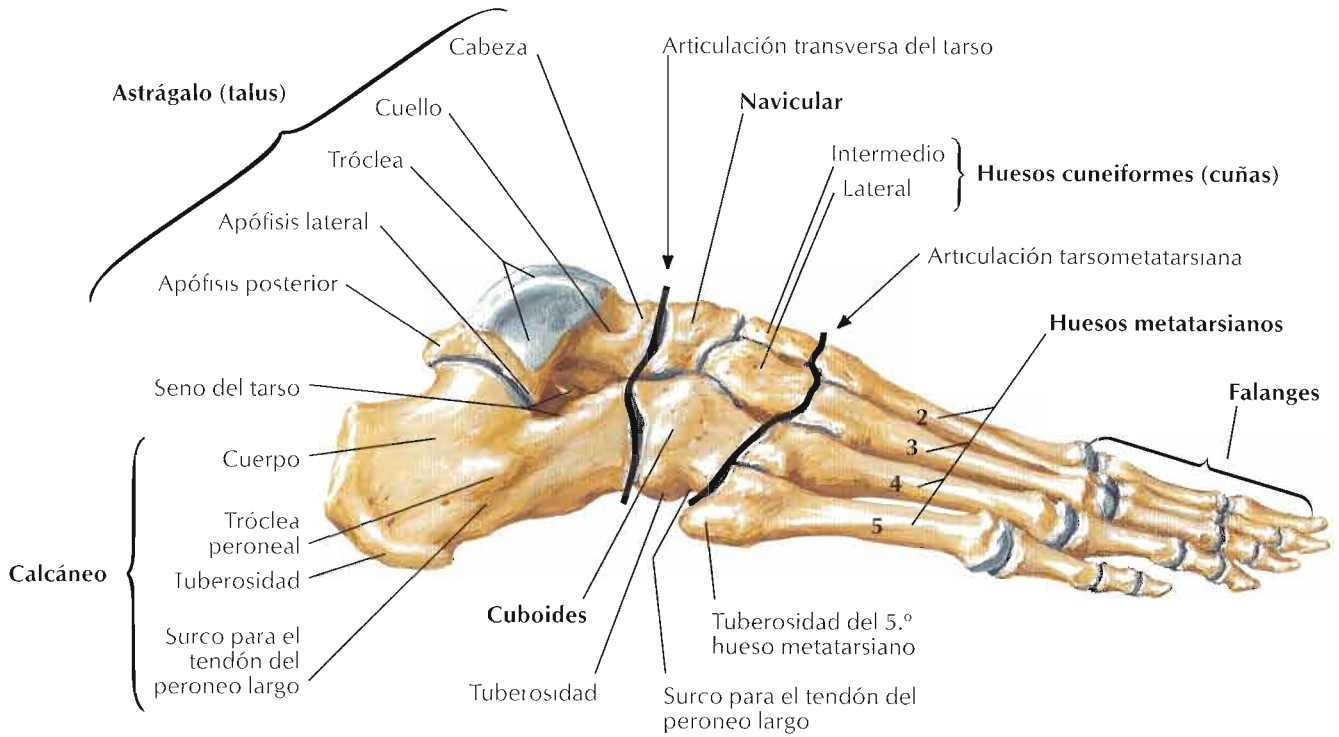
Visión plantar



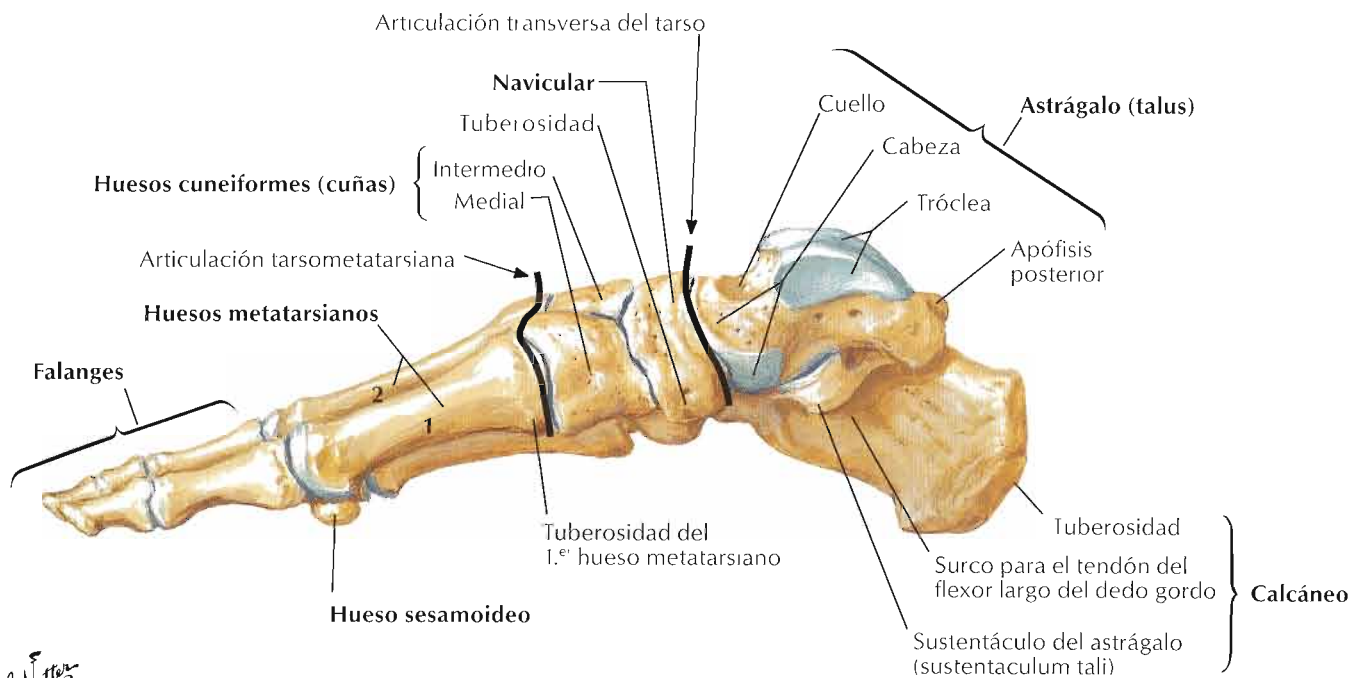
F. Netter M.D.

7 Huesos del pie (continuación)

Visión lateral

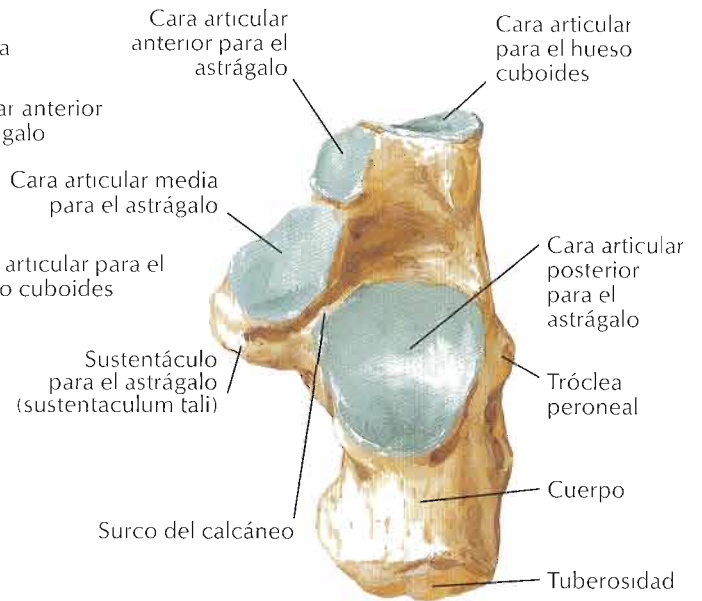
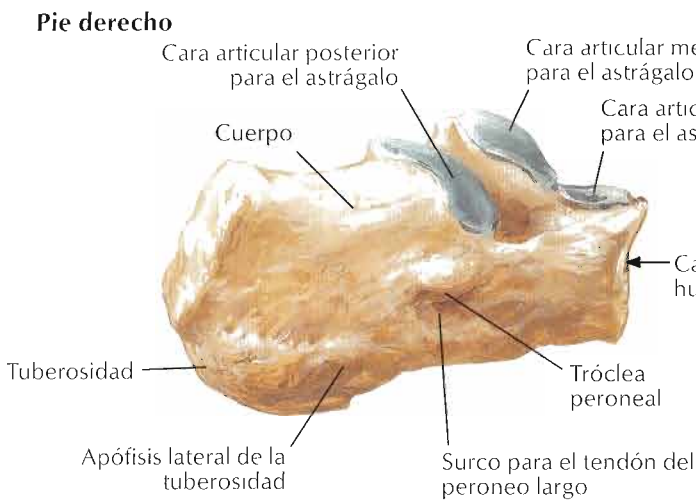


Visión medial

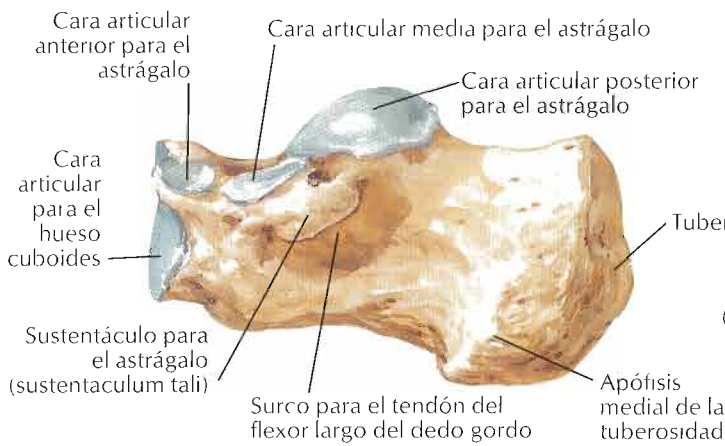


F. Netter M.D.

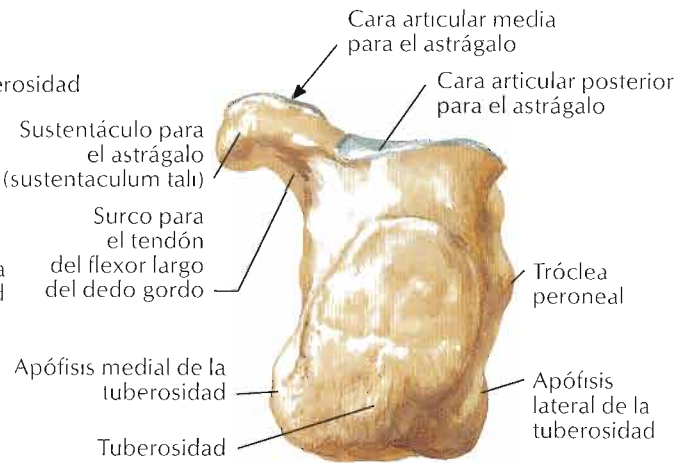
Pie derecho



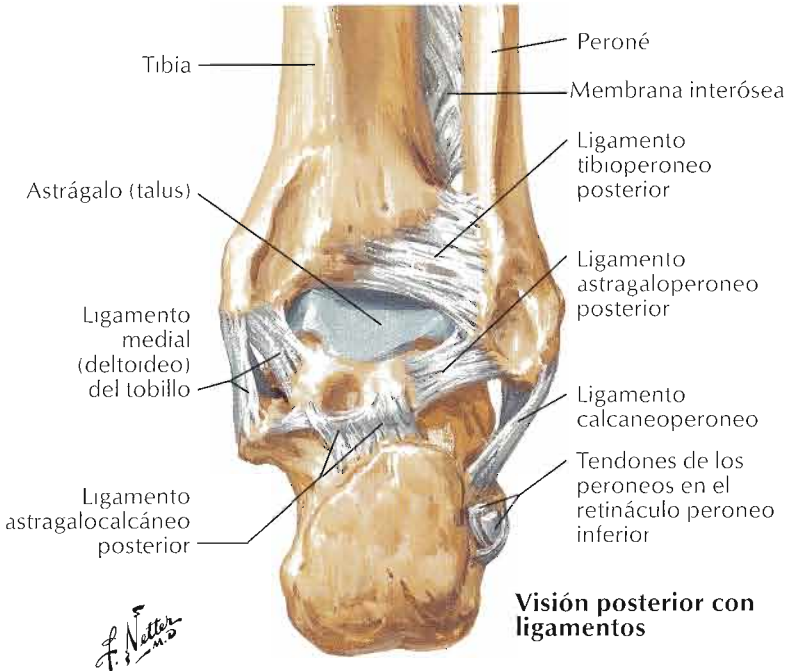
Visión lateral



Visión superior

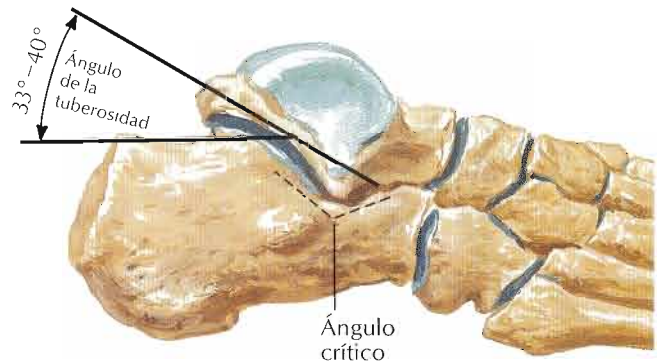


Visión medial



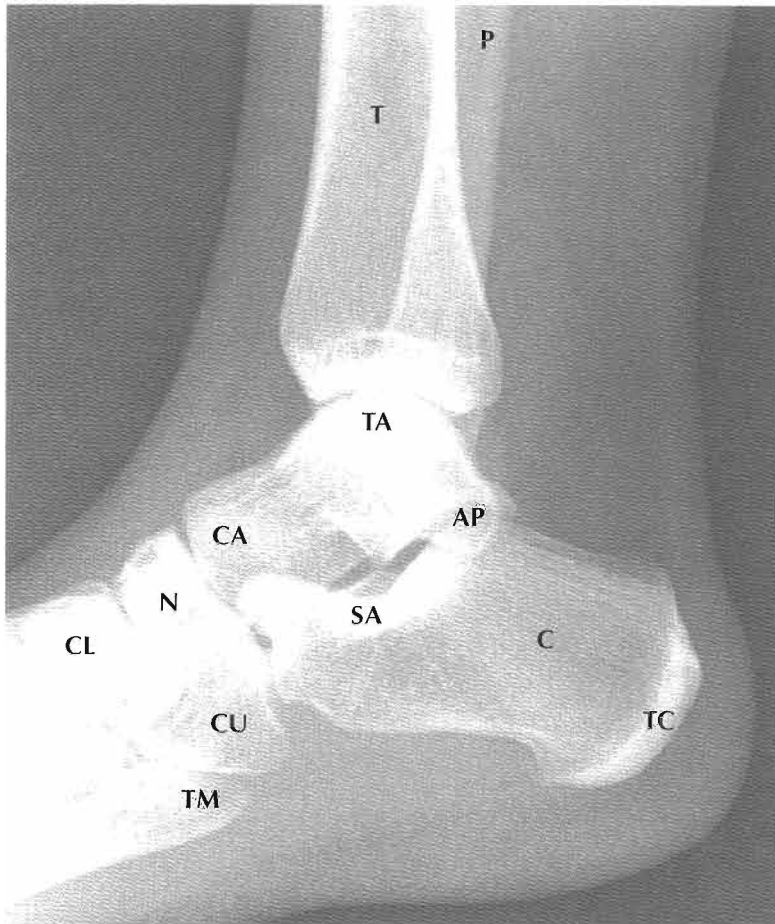
Visión posterior con ligamentos

Visión posterior



Relaciones funcionales del calcáneo

F. Netter

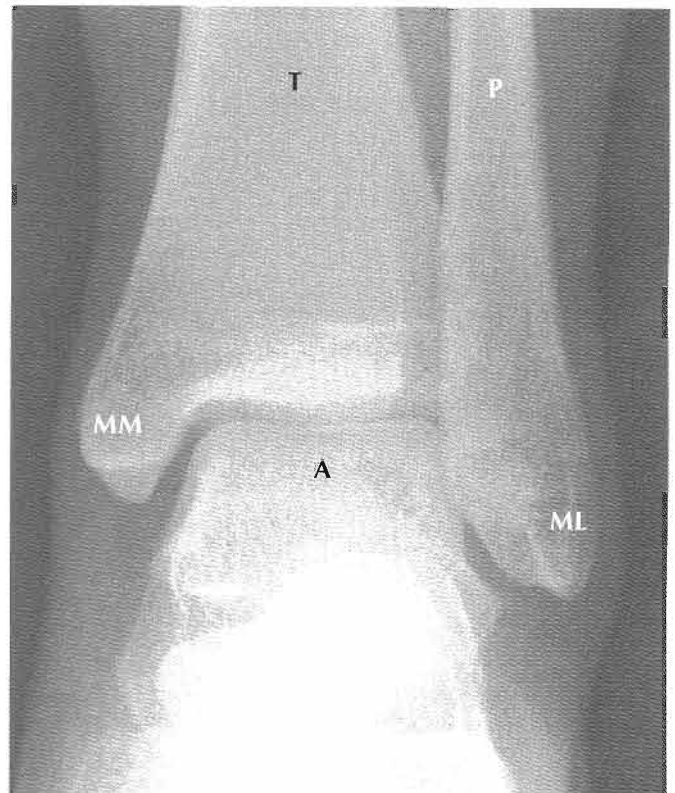


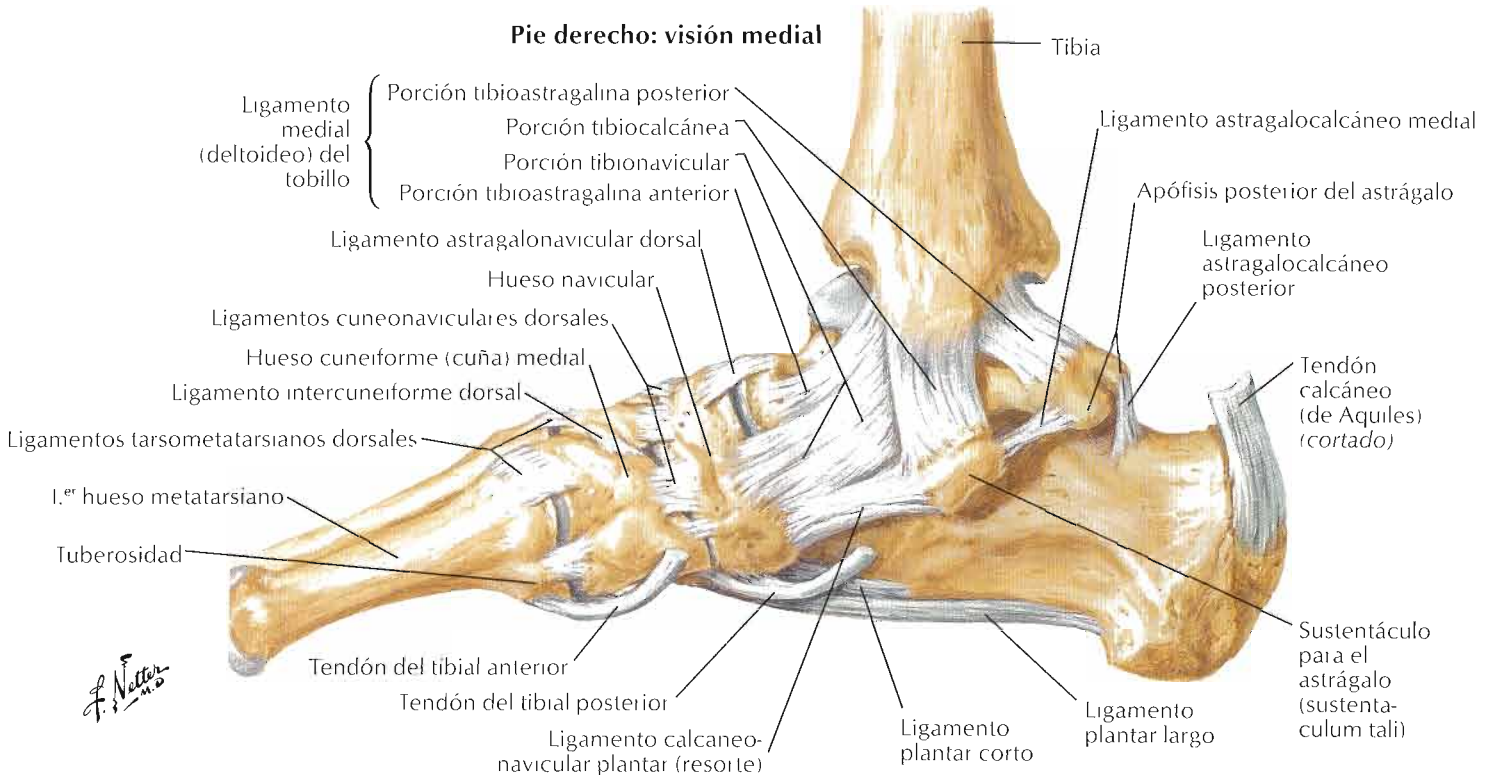
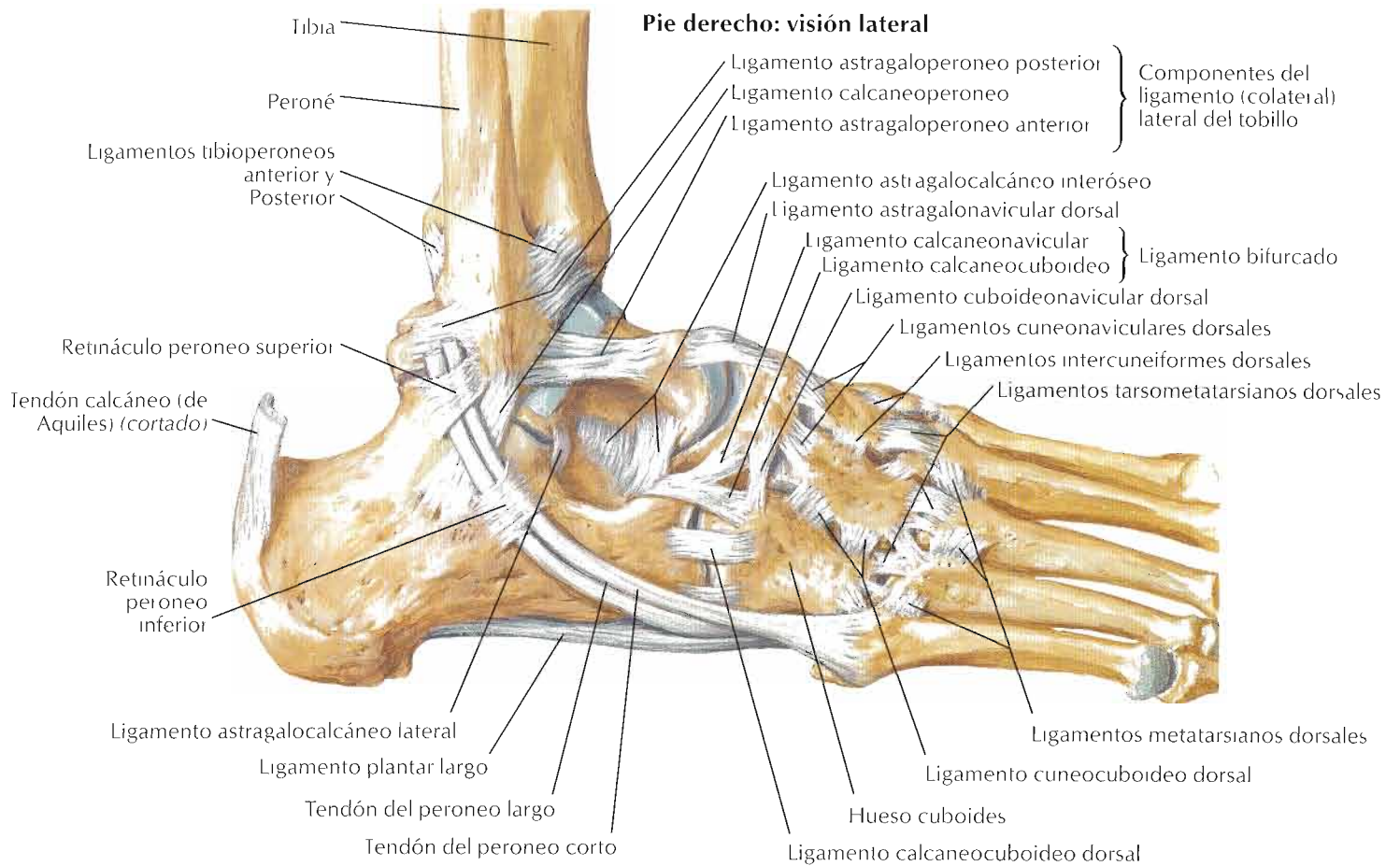
Visión lateral

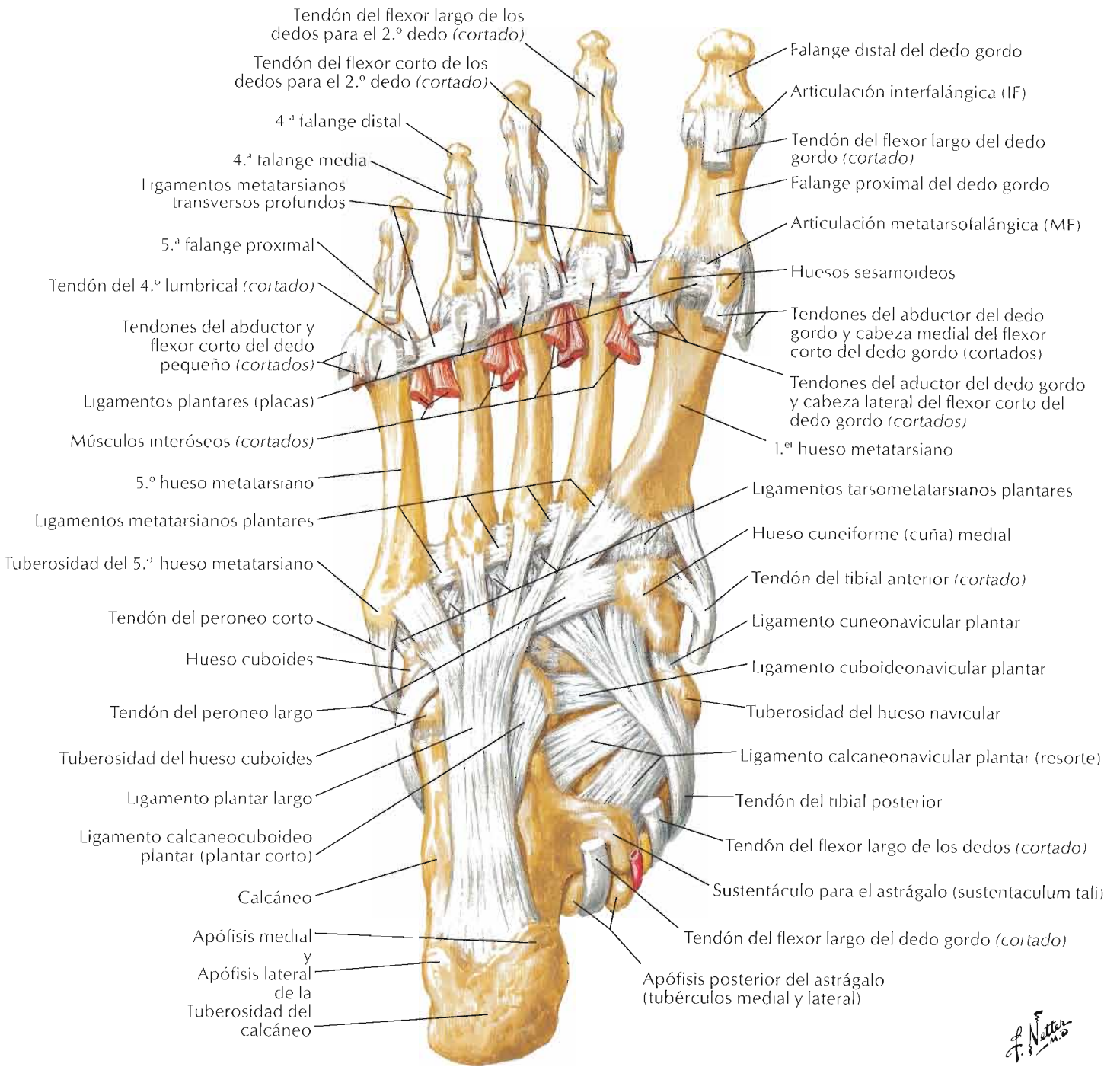
- AP Apófisis posterior del astrágalo
- C Calcáneo
- CA Cabeza del astrágalo
- CL Cuneiforme (cuña) lateral
- CU Cuboides
- N Navicular
- P Peroné
- SA Sustentáculo para el astrágalo del calcáneo
- T Tibia
- TA Tróclea del astrágalo
- TC Tuberosidad del calcáneo
- TM Tuberosidad del 5.º metatarsiano

Visión anterior

- A Astrágalo
- ML Maléolo lateral
- MM Maléolo medial
- P Peroné
- T Tibia

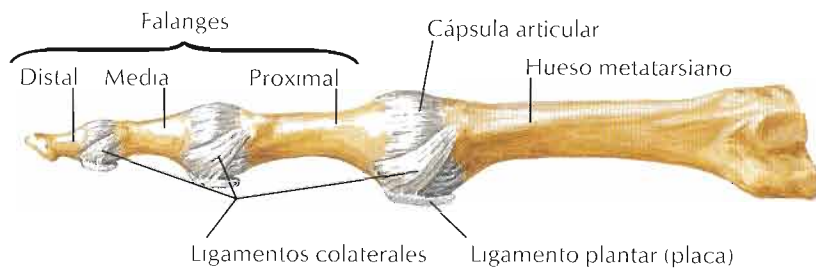




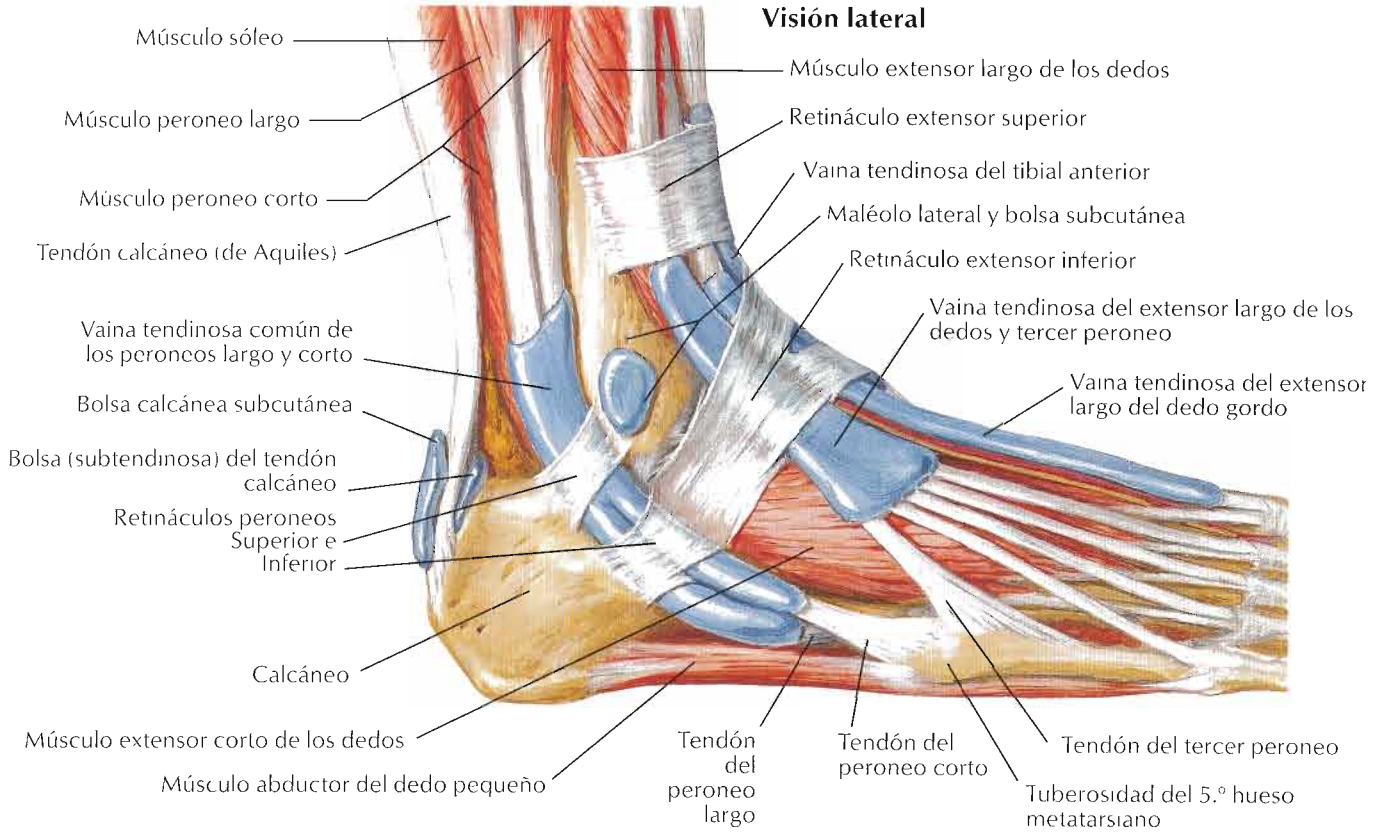


F. Netter M.D.

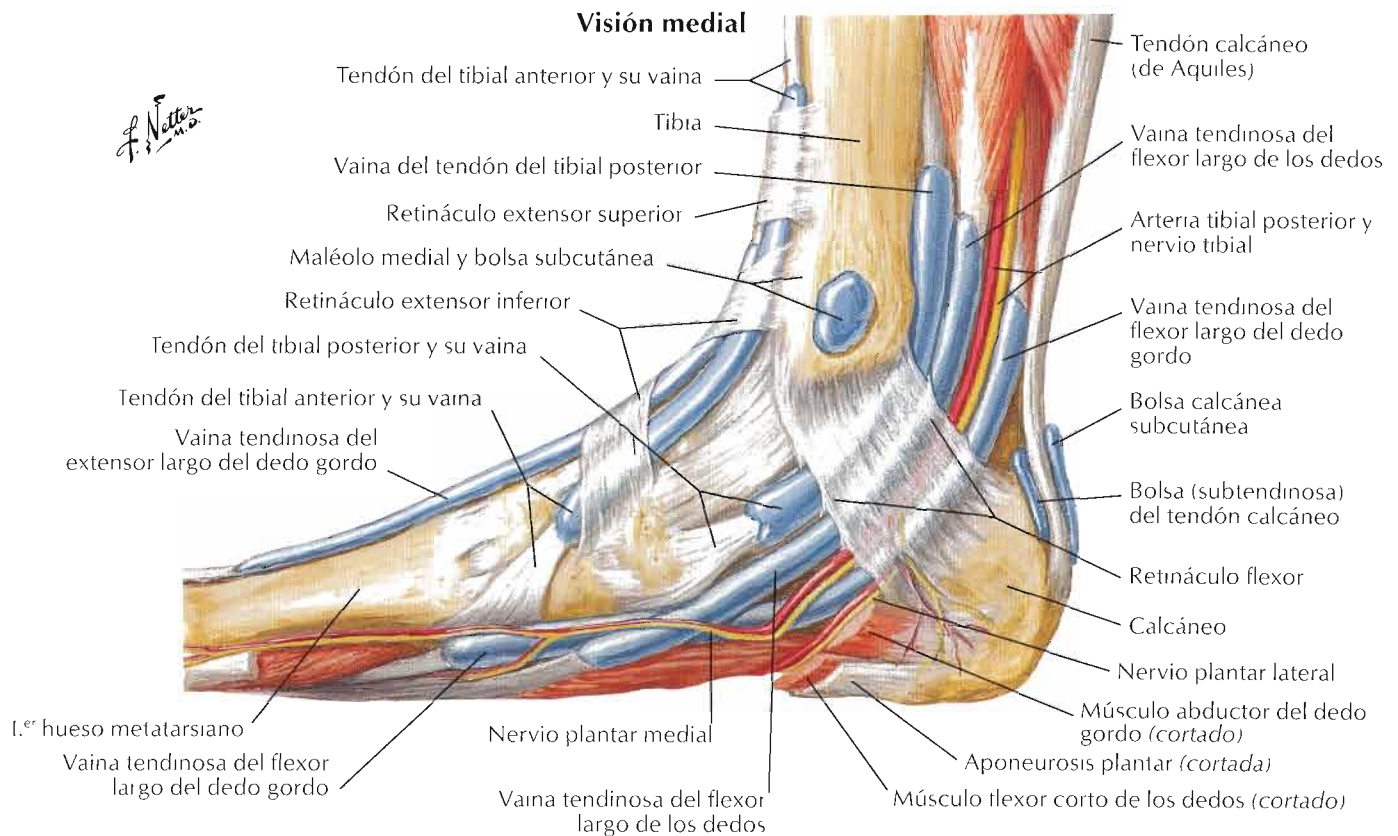
Cápsulas y ligamentos de las articulaciones metatarsofalángicas e interfalángicas: visión lateral



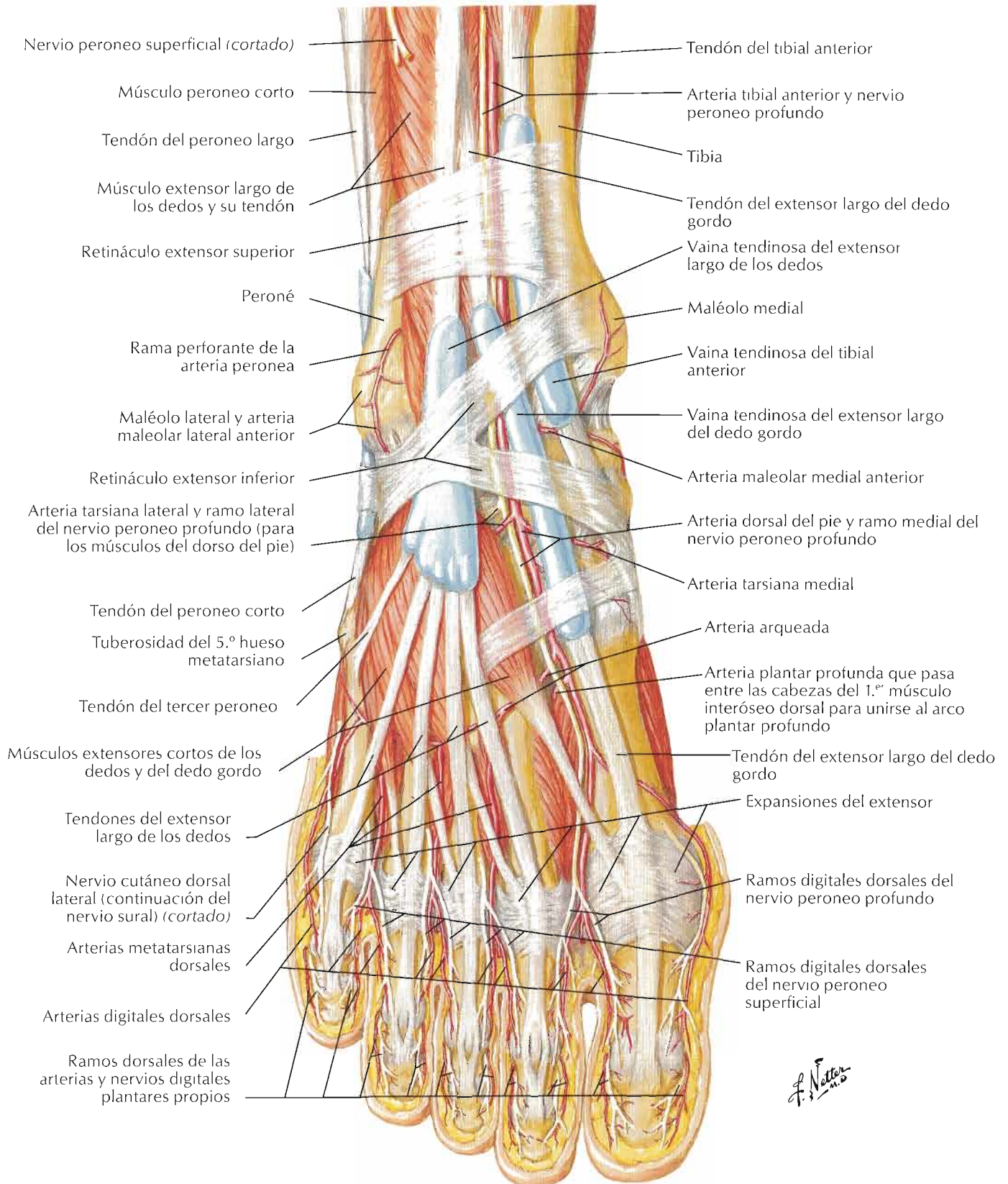
Visión lateral

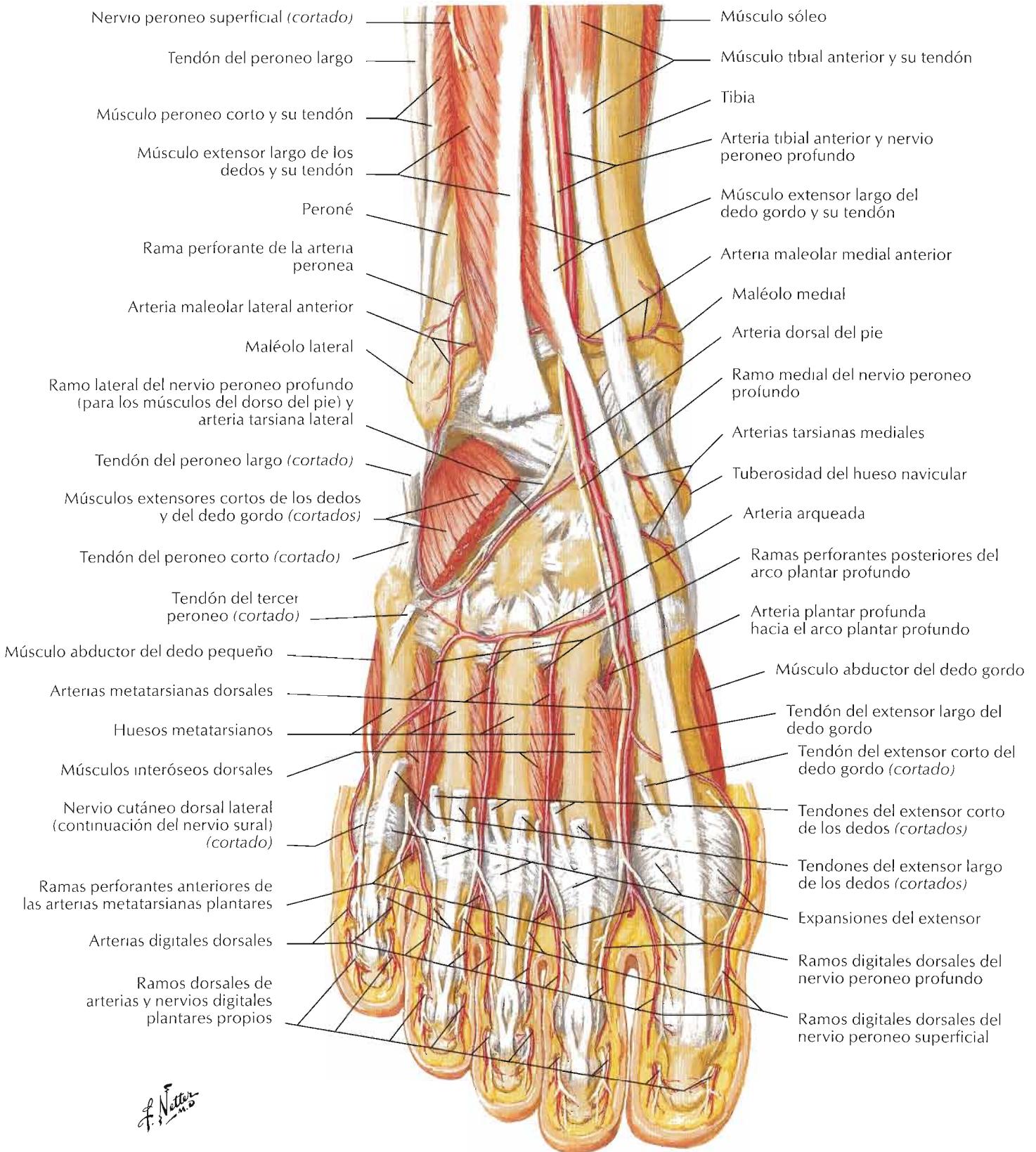


Visión medial



Músculos del dorso del pie: disección superficial





Nervio peroneo superficial (*cortado*)

Tendón del peroneo largo

Músculo peroneo corto y su tendón

Músculo extensor largo de los dedos y su tendón

Peroné

Rama perforante de la arteria peronea

Arteria maleolar lateral anterior

Maléolo lateral

Ramo lateral del nervio peroneo profundo (para los músculos del dorso del pie) y arteria tarsiana lateral

Tendón del peroneo largo (*cortado*)

Músculos extensores cortos de los dedos y del dedo gordo (*cortados*)

Tendón del peroneo corto (*cortado*)

Tendón del tercer peroneo (*cortado*)

Músculo abductor del dedo pequeño

Arterias metatarsianas dorsales

Huesos metatarsianos

Músculos interóseos dorsales

Nervio cutáneo dorsal lateral (continuación del nervio sural) (*cortado*)

Ramas perforantes anteriores de las arterias metatarsianas plantares

Arterias digitales dorsales

Ramos dorsales de arterias y nervios digitales plantares propios

Músculo sóleo

Músculo tibial anterior y su tendón

Tibia

Arteria tibial anterior y nervio peroneo profundo

Músculo extensor largo del dedo gordo y su tendón

Arteria maleolar medial anterior

Maléolo medial

Arteria dorsal del pie

Ramo medial del nervio peroneo profundo

Arterias tarsianas mediales

Tuberosidad del hueso navicular

Arteria arqueada

Ramas perforantes posteriores del arco plantar profundo

Arteria plantar profunda hacia el arco plantar profundo

Músculo abductor del dedo gordo

Tendón del extensor largo del dedo gordo

Tendón del extensor corto del dedo gordo (*cortado*)

Tendones del extensor corto de los dedos (*cortados*)

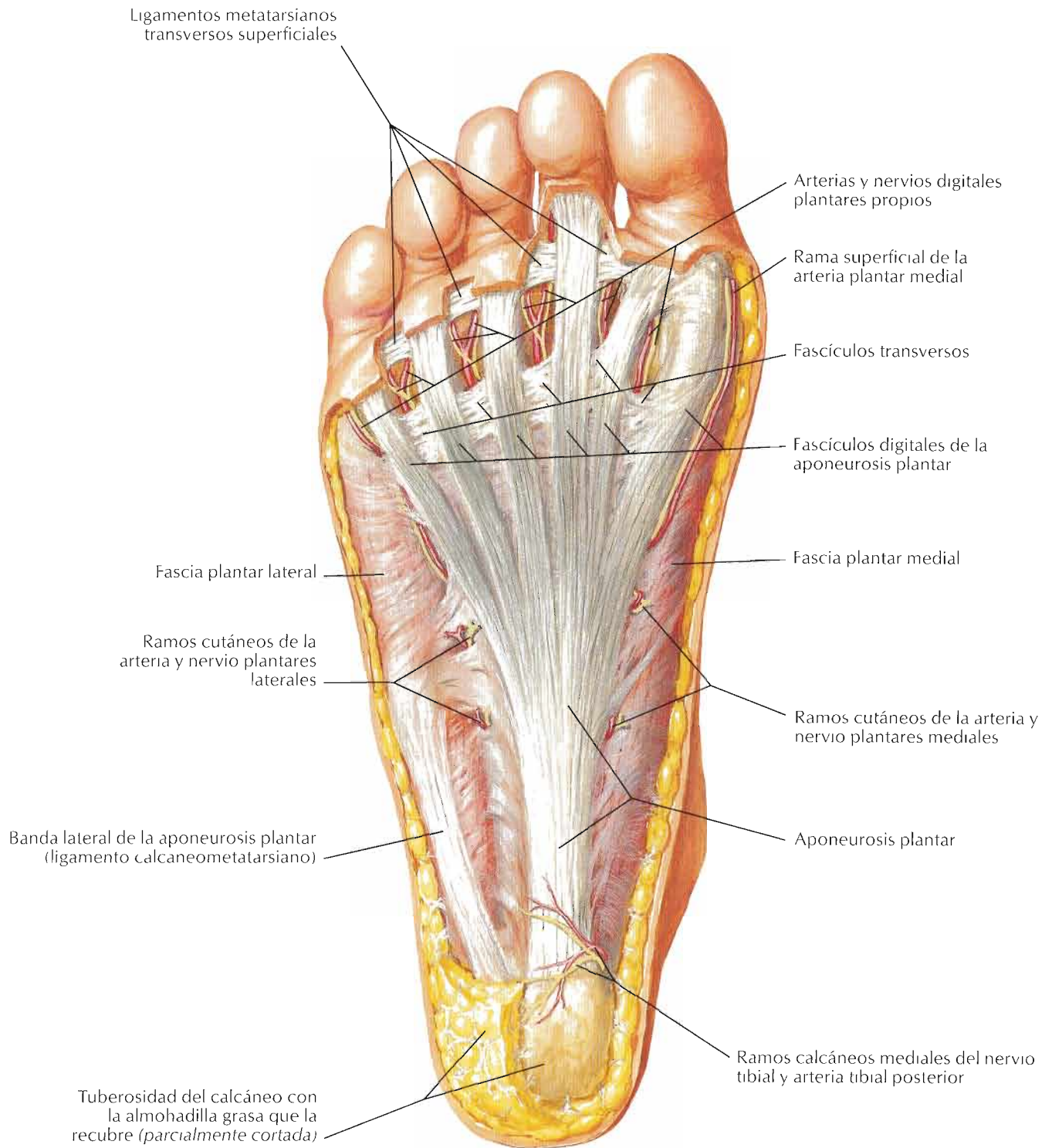
Tendones del extensor largo de los dedos (*cortados*)

Expansiones del extensor

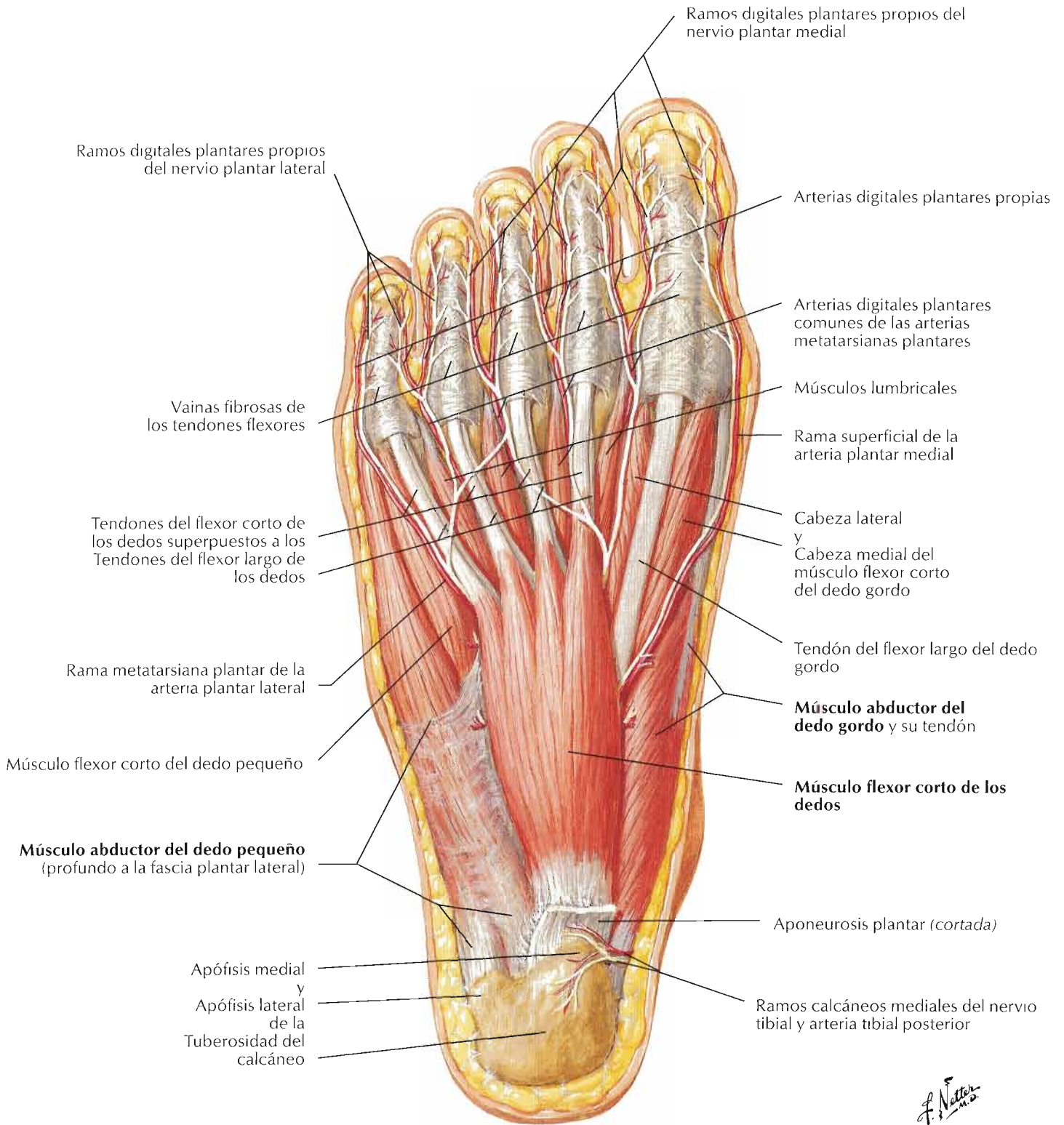
Ramos digitales dorsales del nervio peroneo profundo

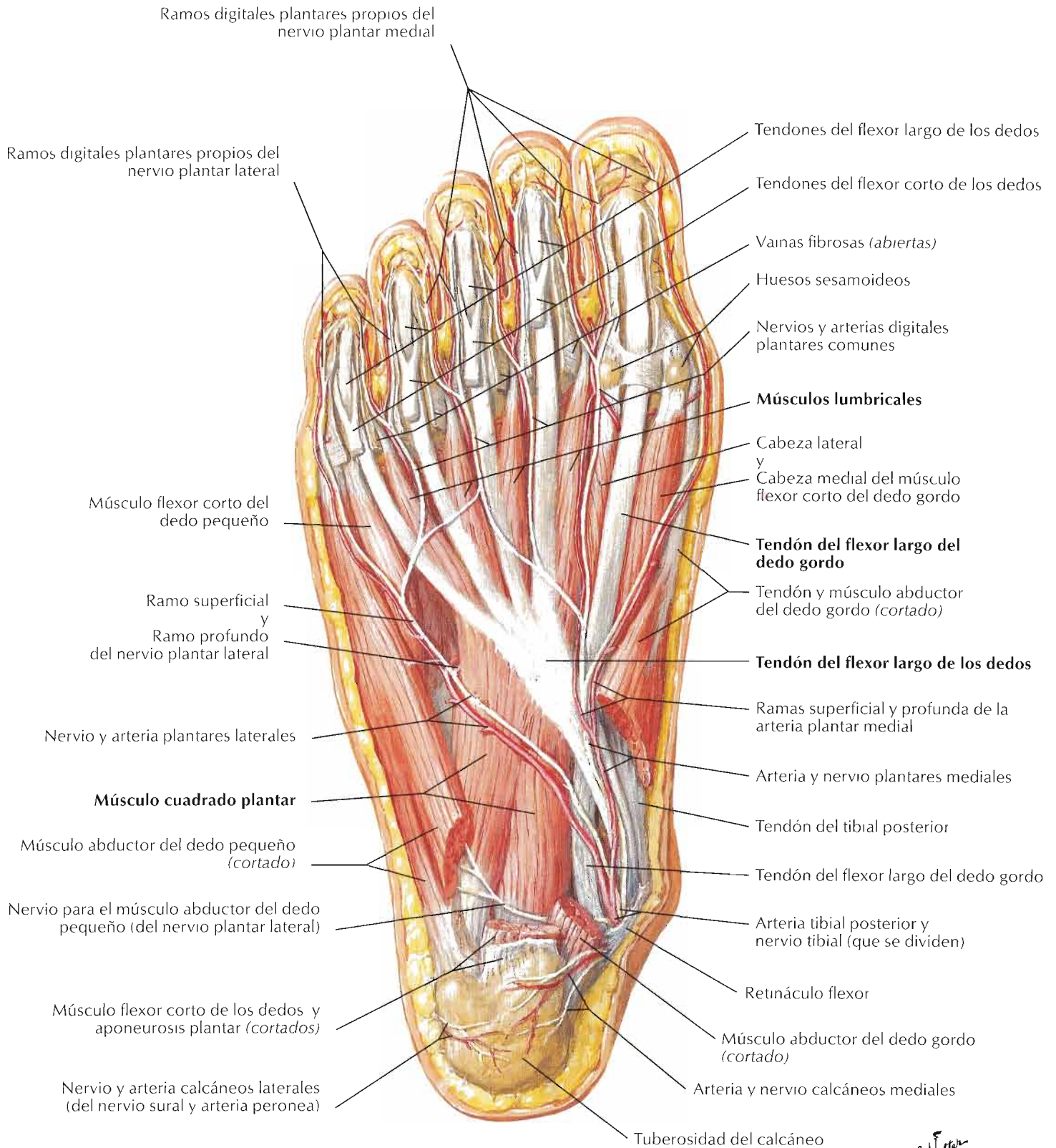
Ramos digitales dorsales del nervio peroneo superficial

F. Netter M.D.

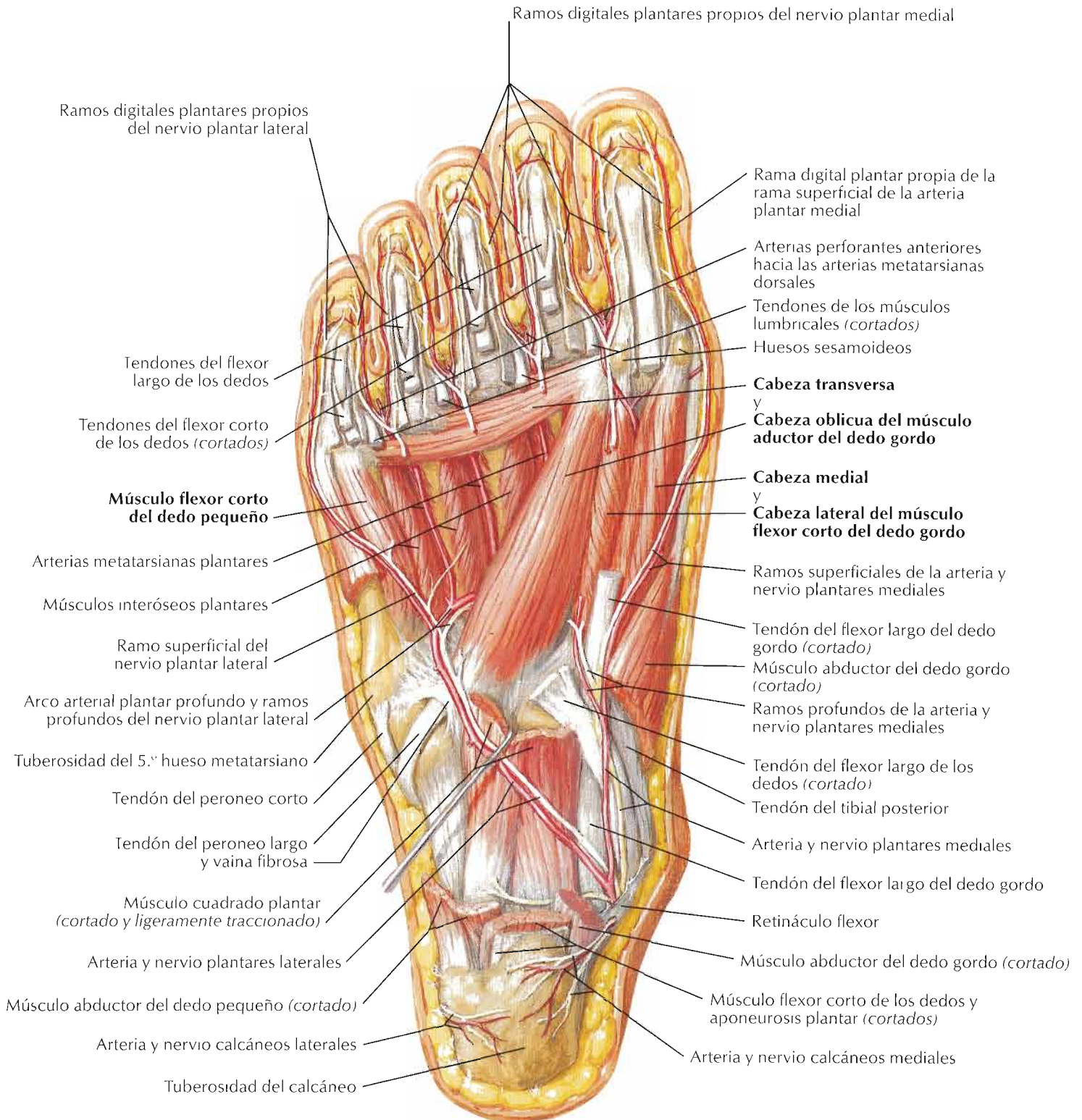


F. Netter M.D.



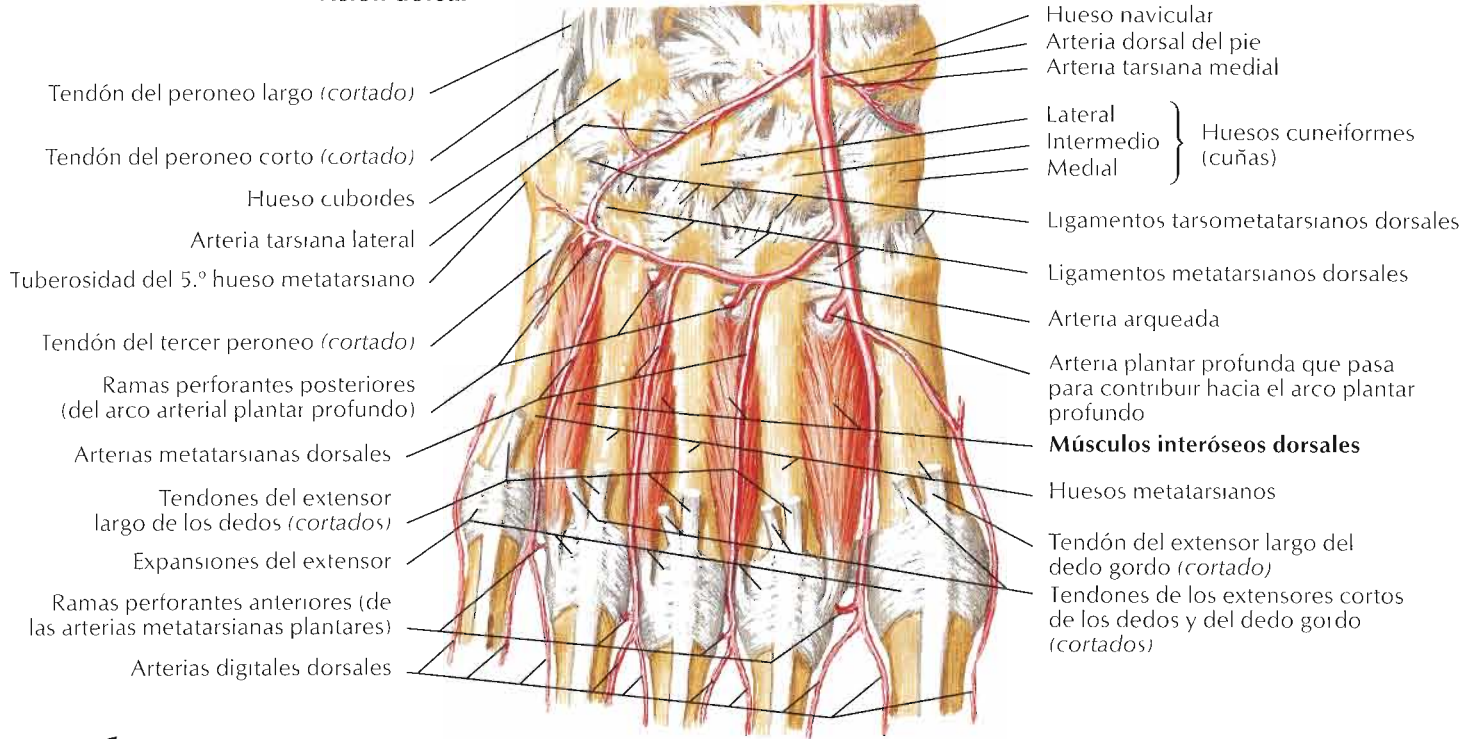


F. Netter
1920



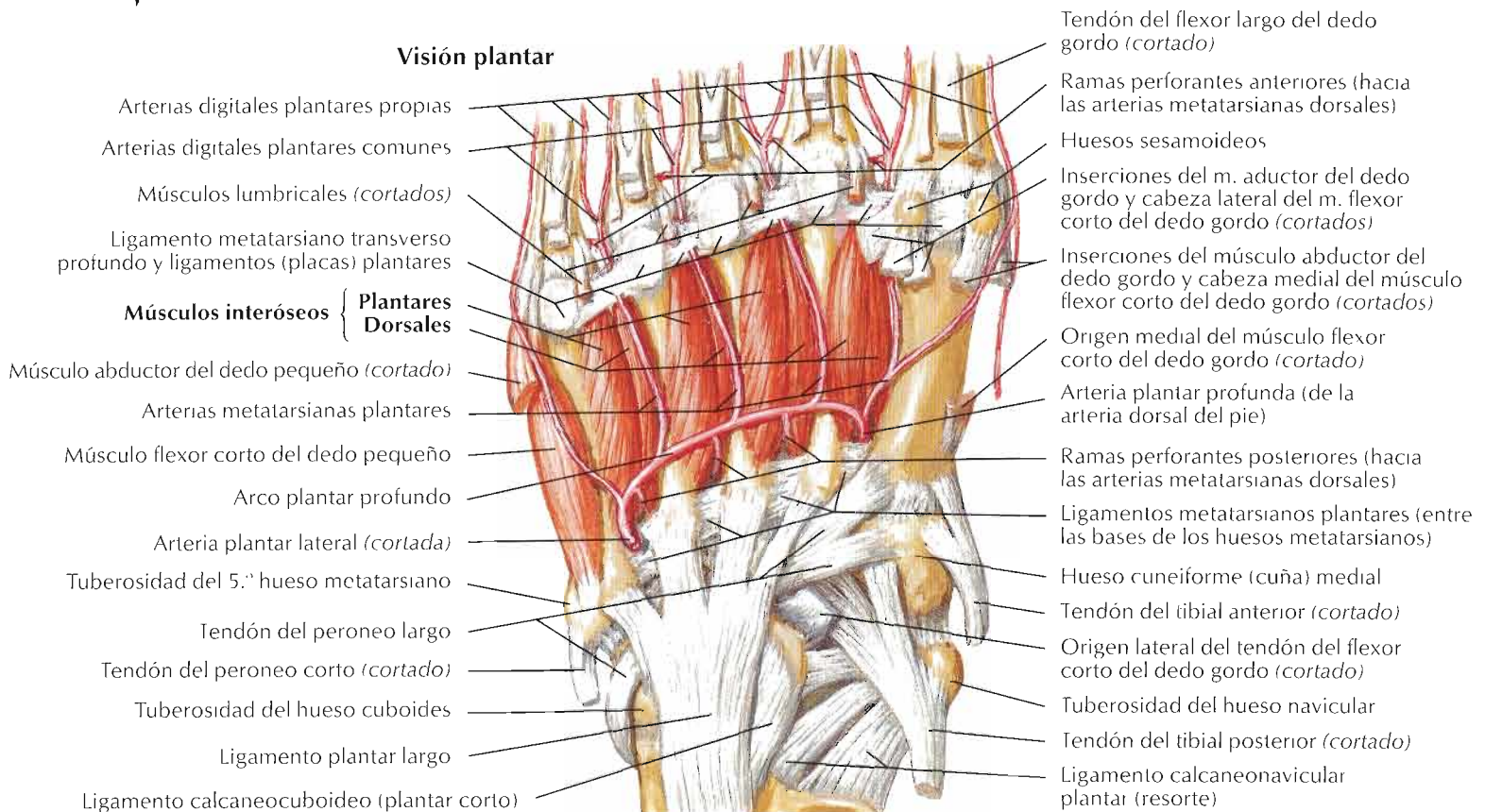
F. Netter

Visión dorsal

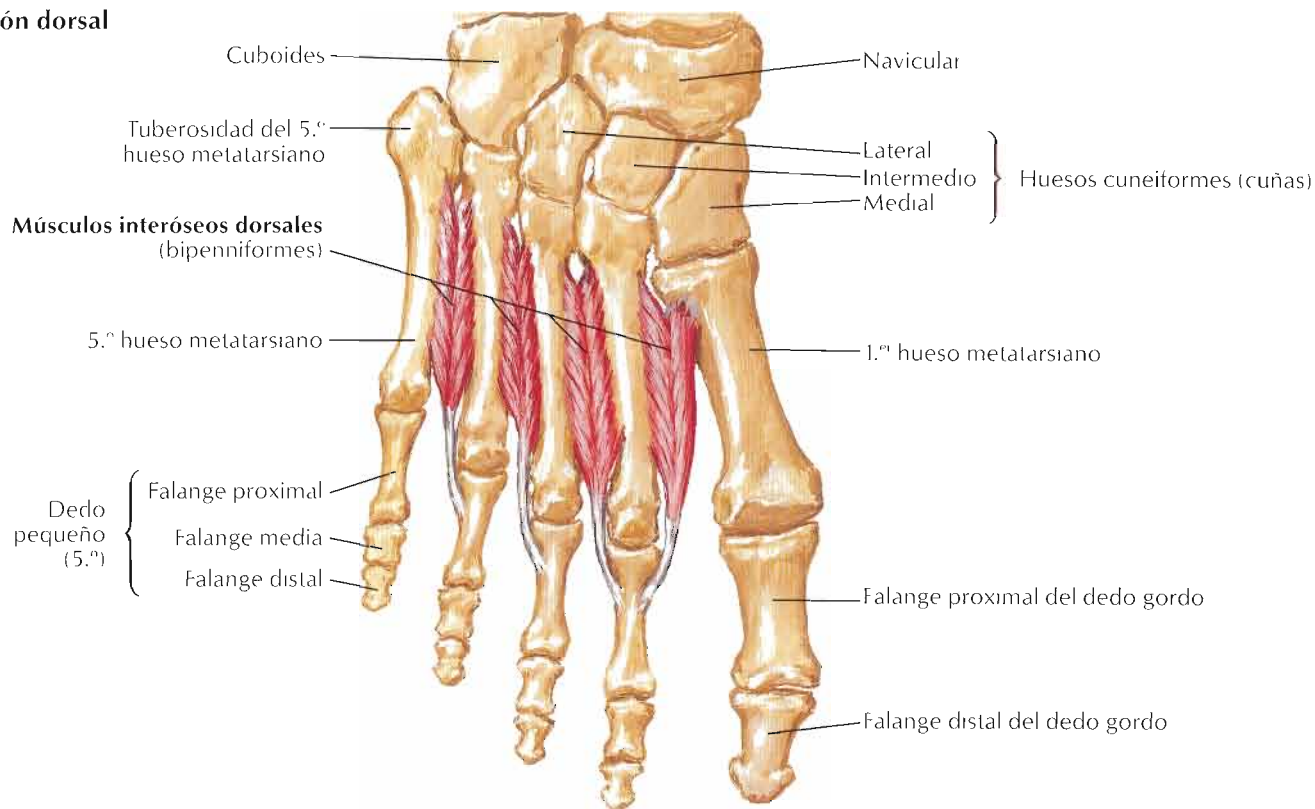


F. Netter M.D.

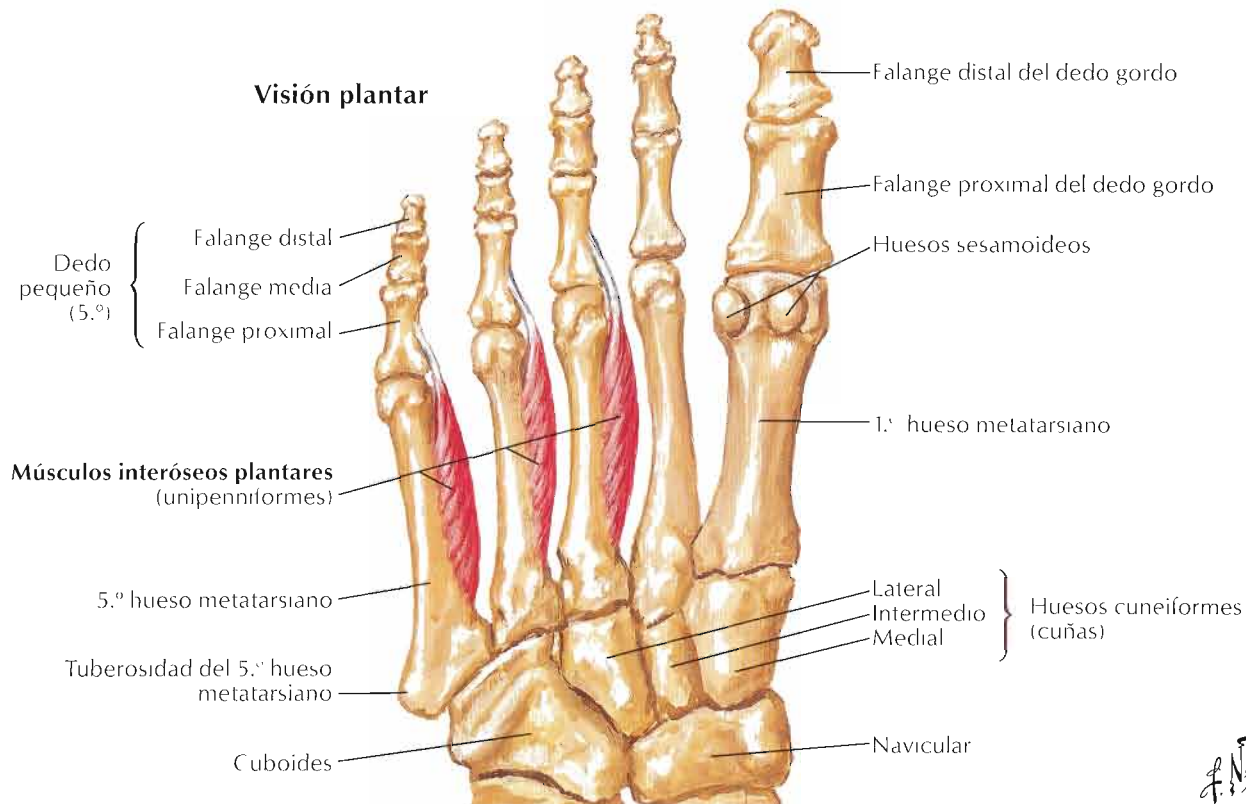
Visión plantar



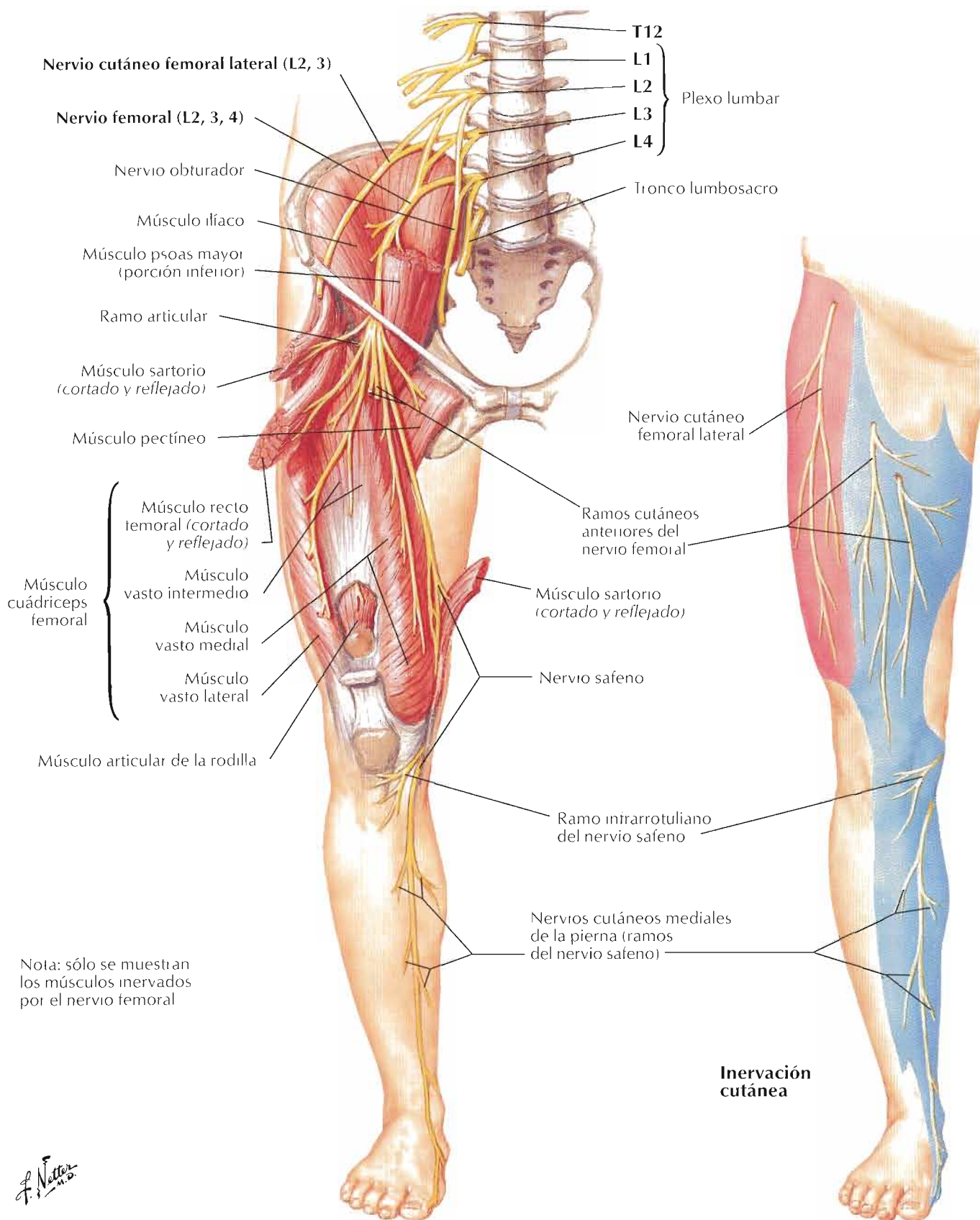
Visión dorsal

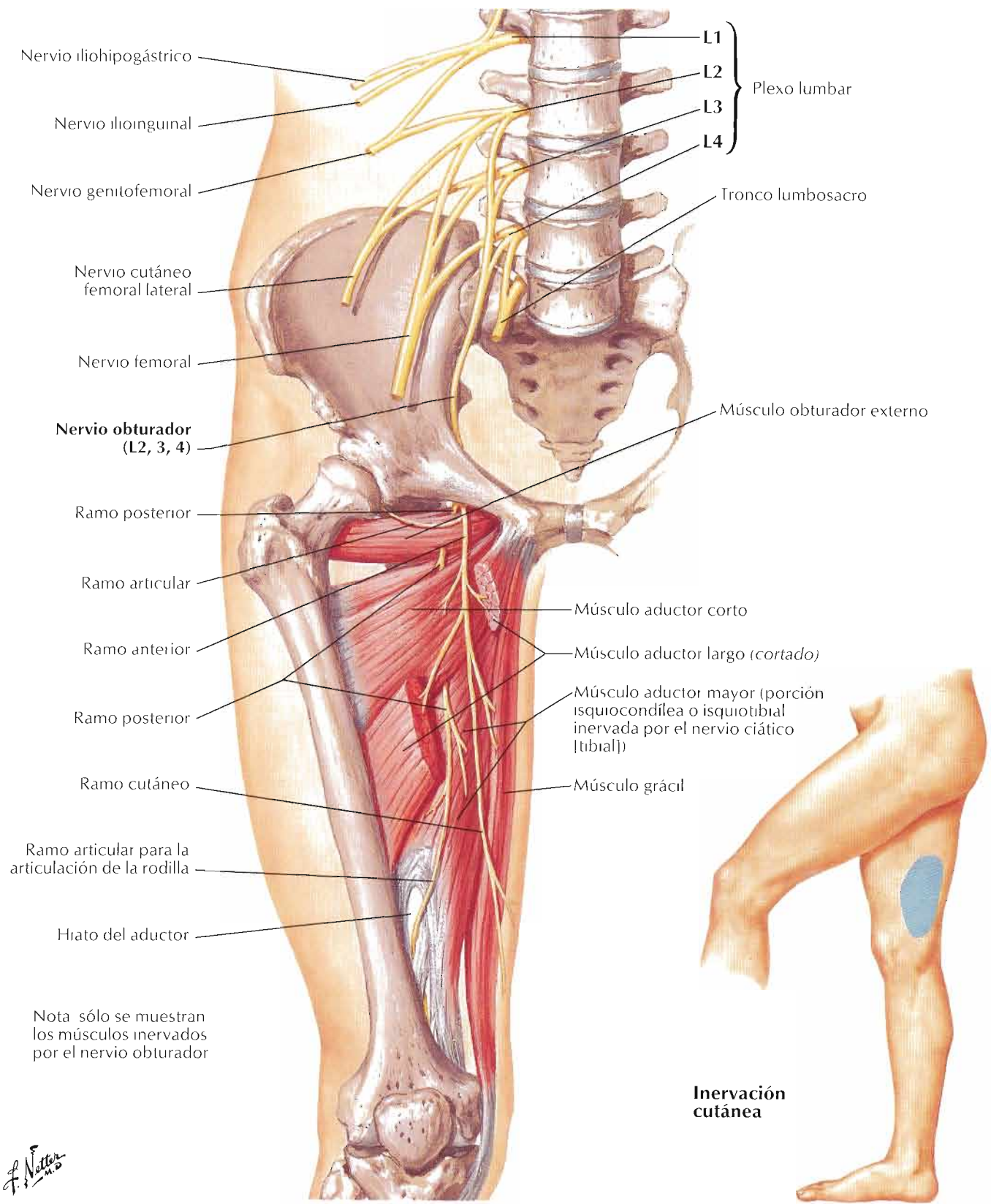


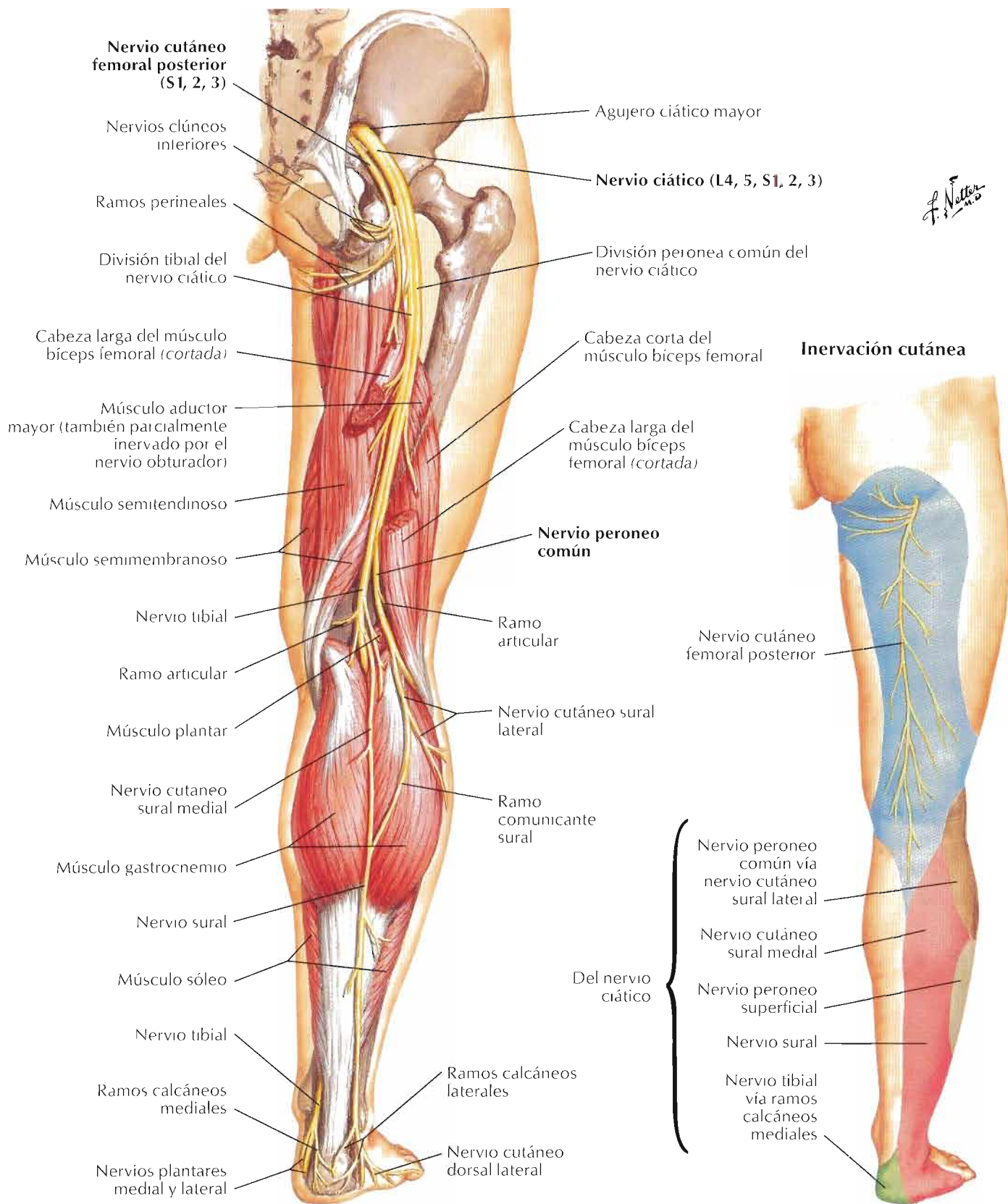
Visión plantar



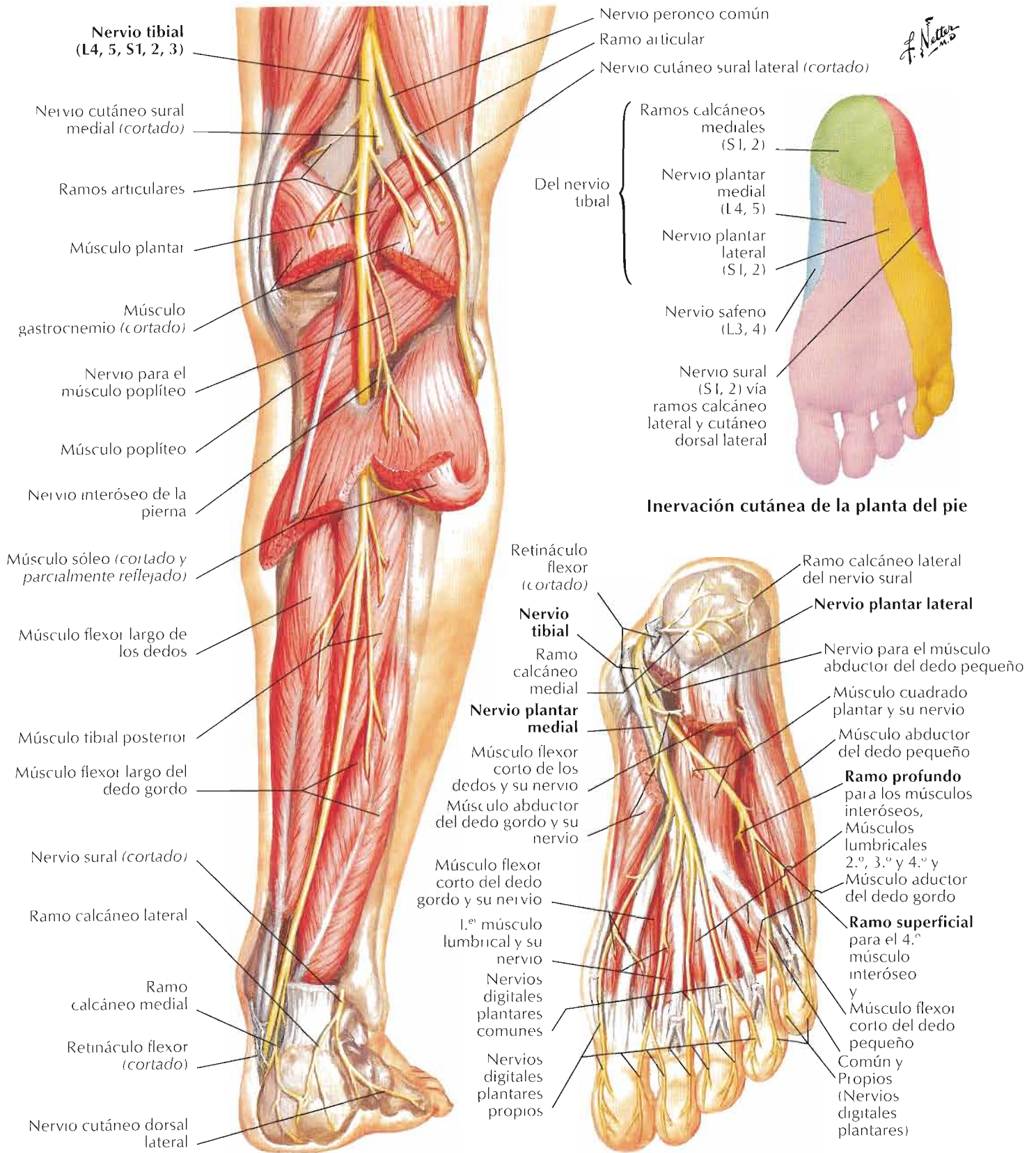
F. Netter M.D.







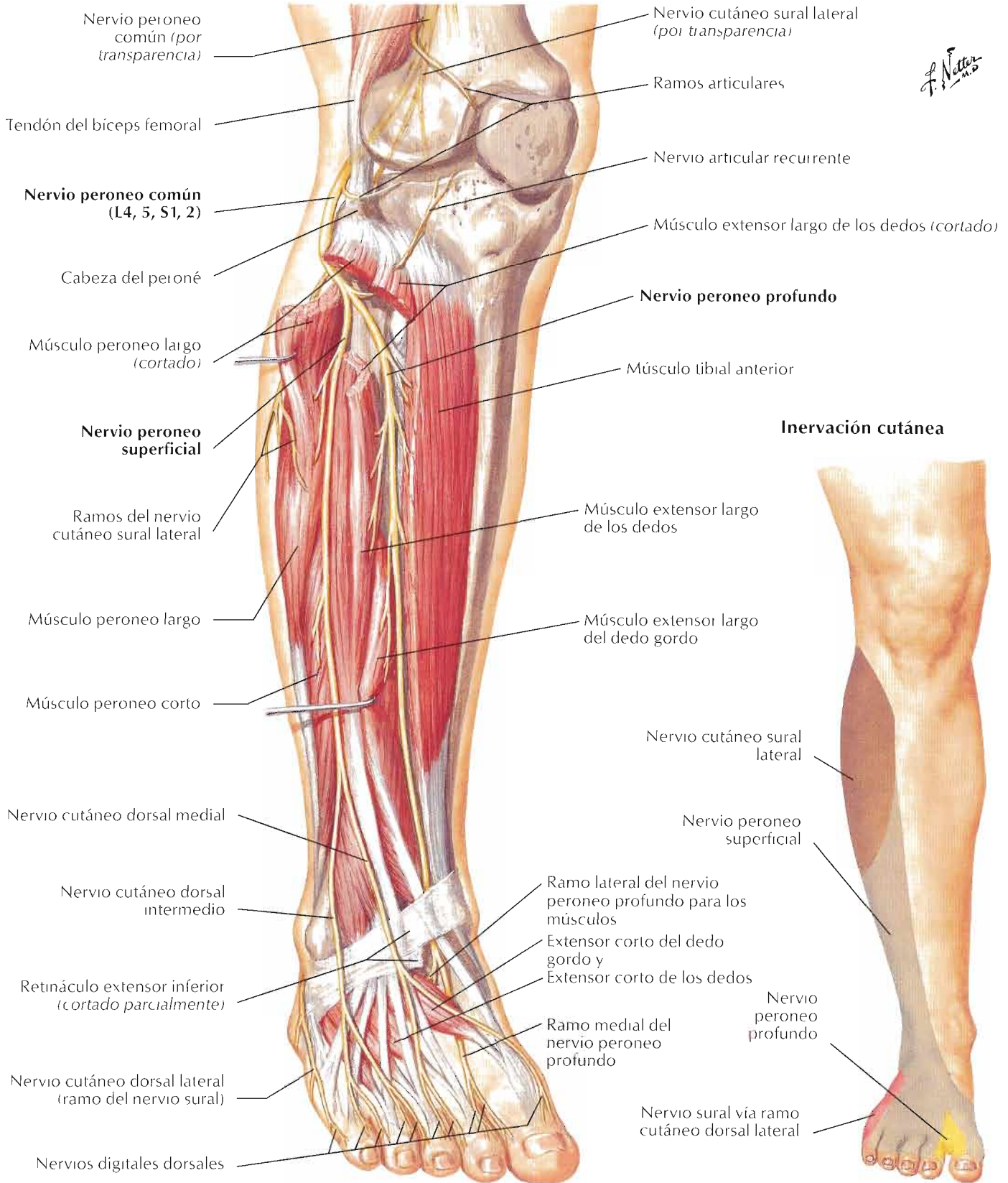
F. Natta



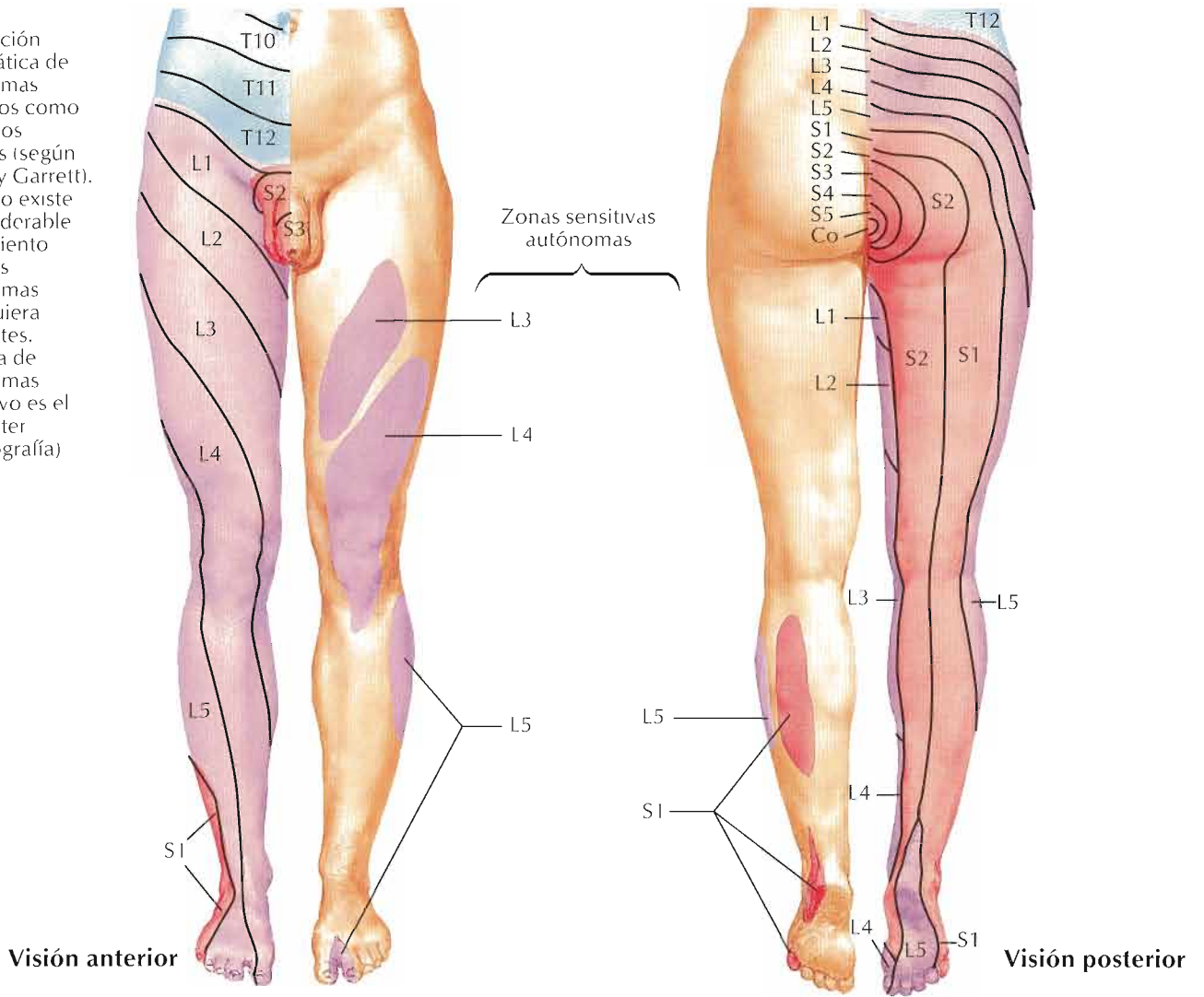
Nota: no se muestran los ramos articulares

Véanse también láminas 520, 521

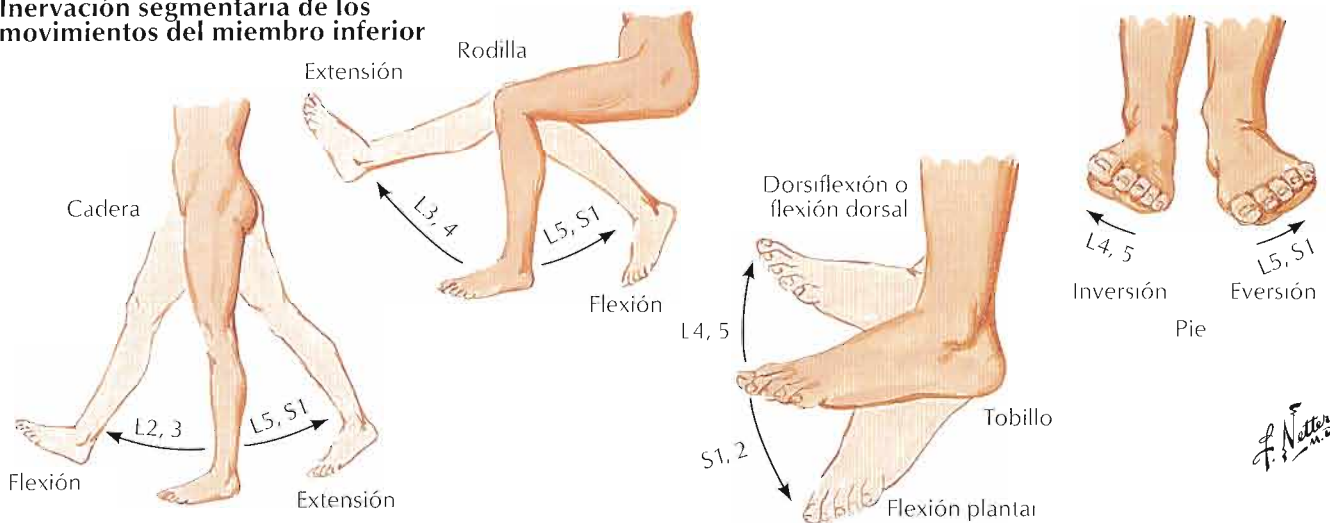
F. Netter M.D.

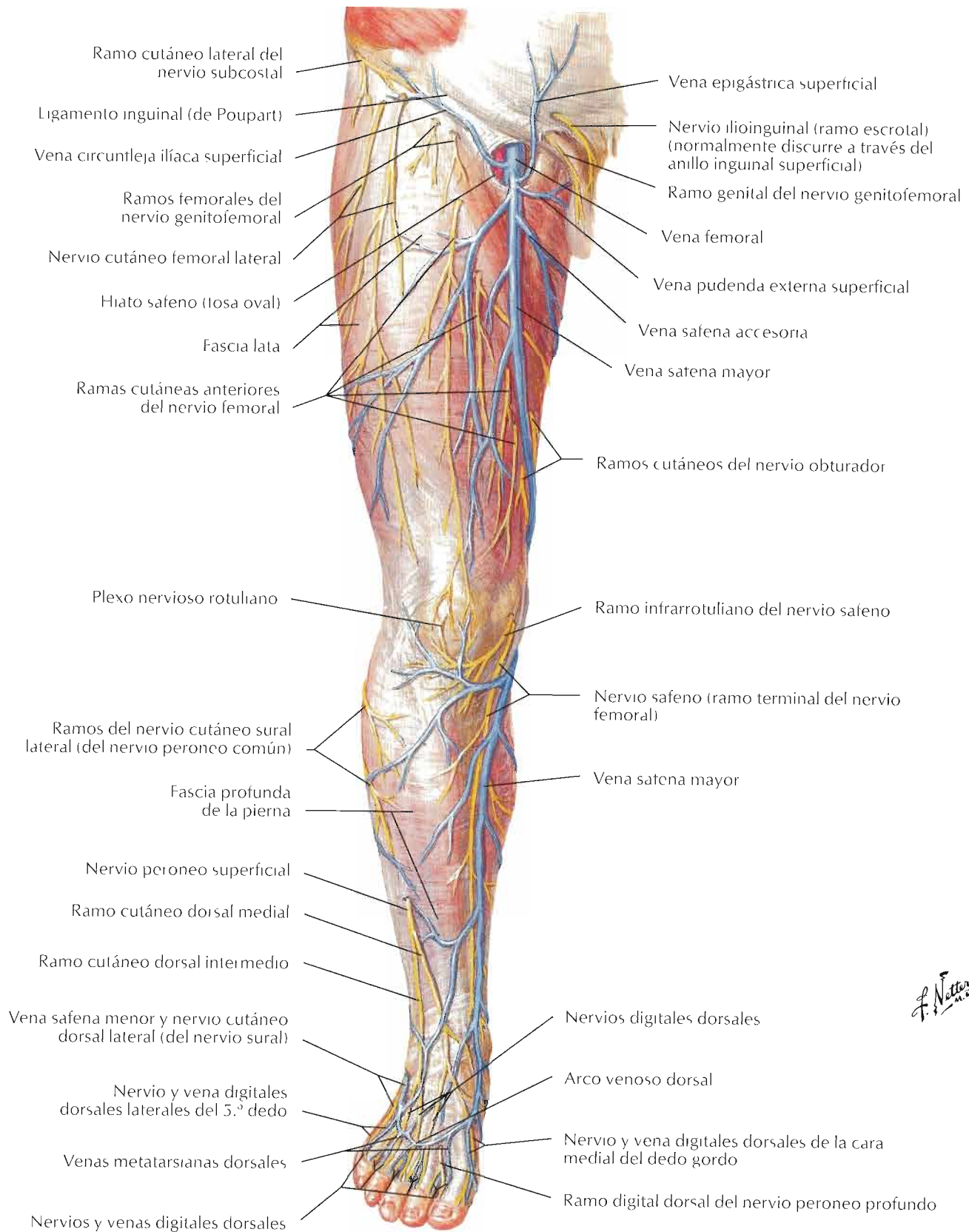


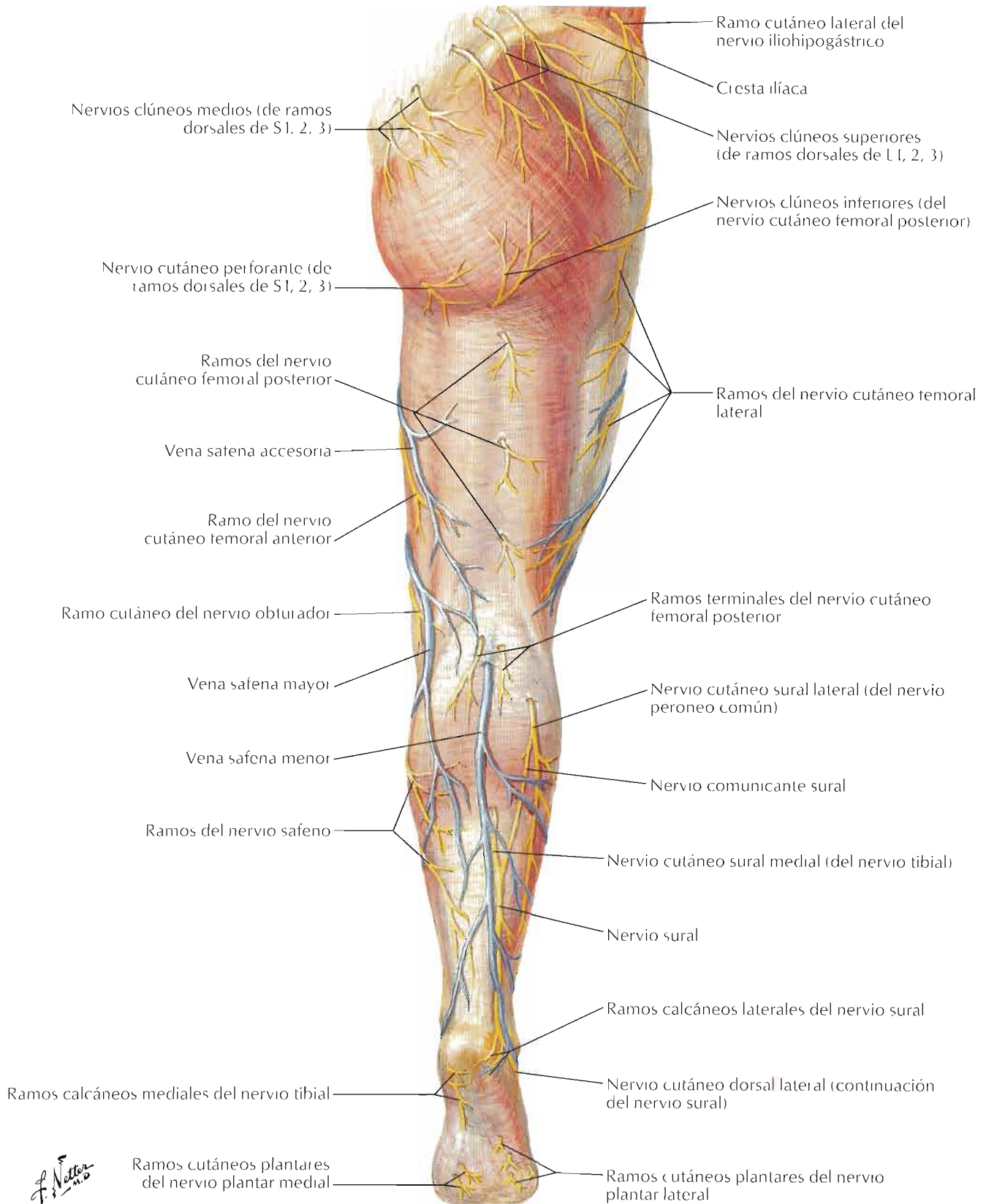
Delimitación esquemática de dermatomas mostrados como segmentos definidos (según Keegan y Garrett). De hecho existe un considerable solapamiento entre dos dermatomas cualesquiera adyacentes. Un mapa de dermatomas alternativo es el de Foerster (v. Bibliografía)



Inervación segmentaria de los movimientos del miembro inferior

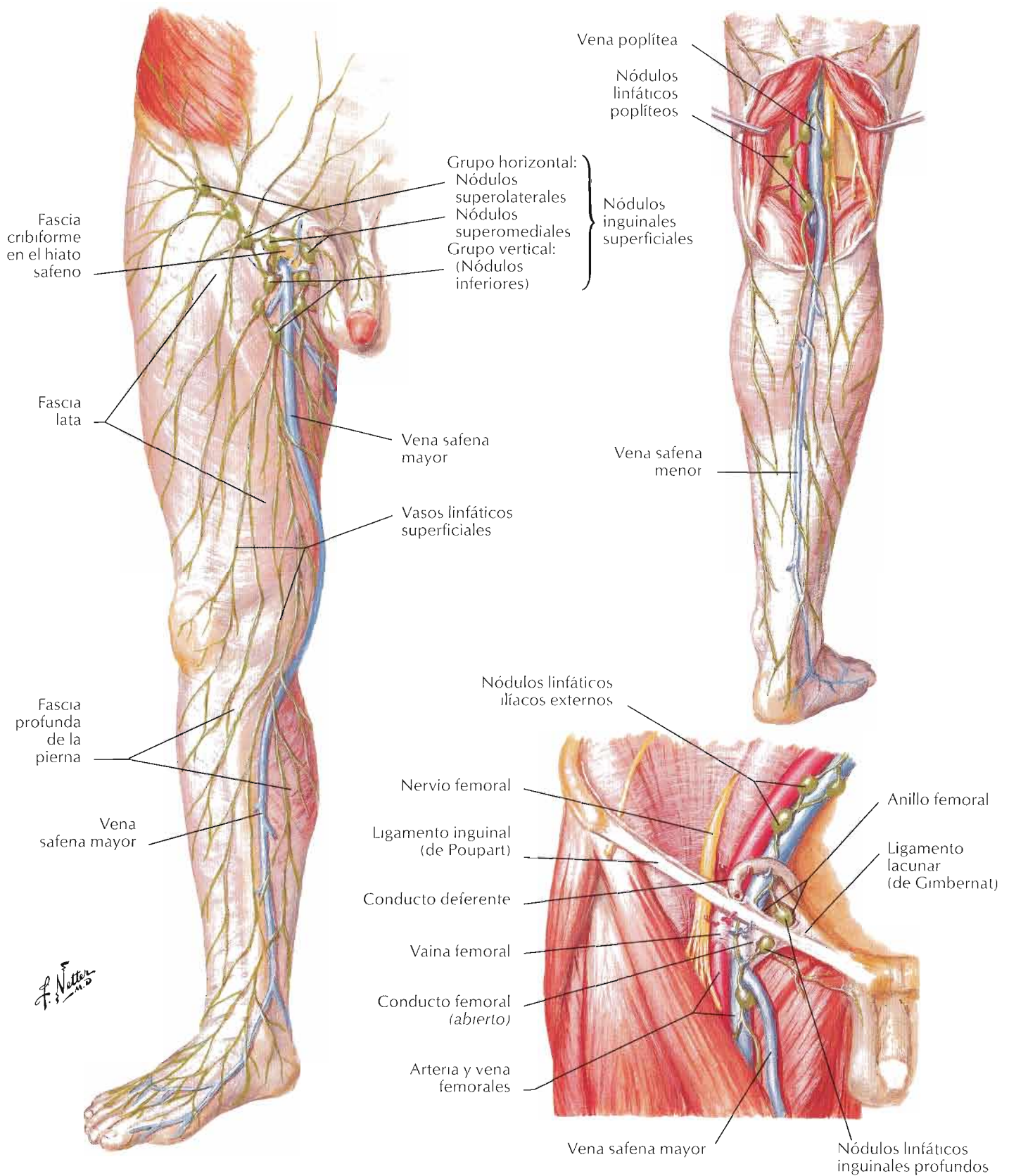


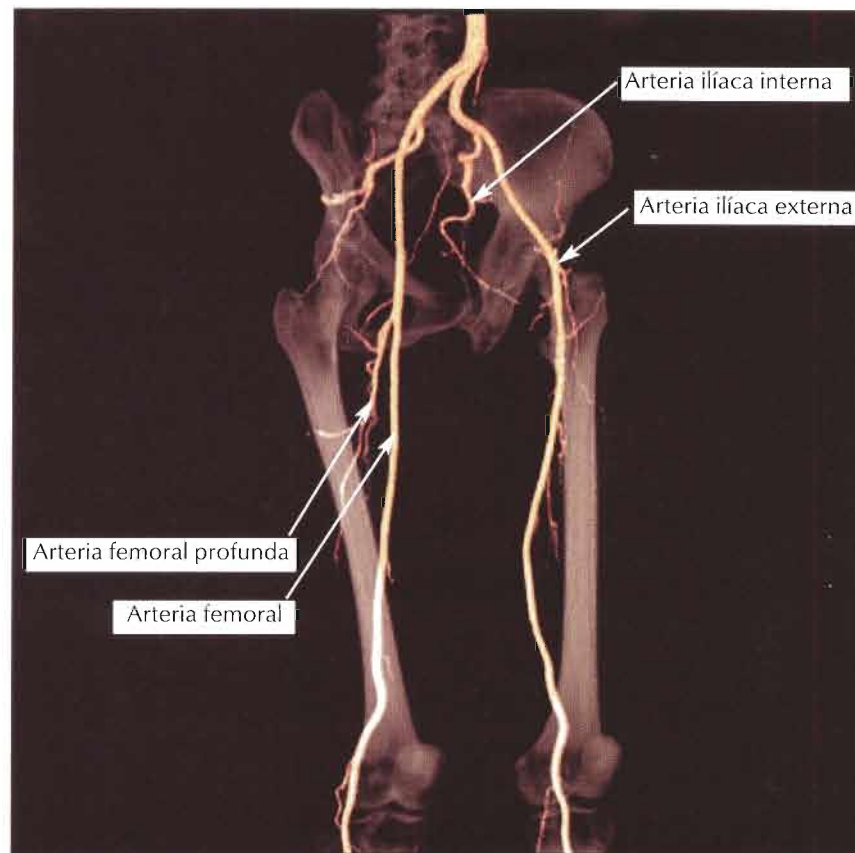
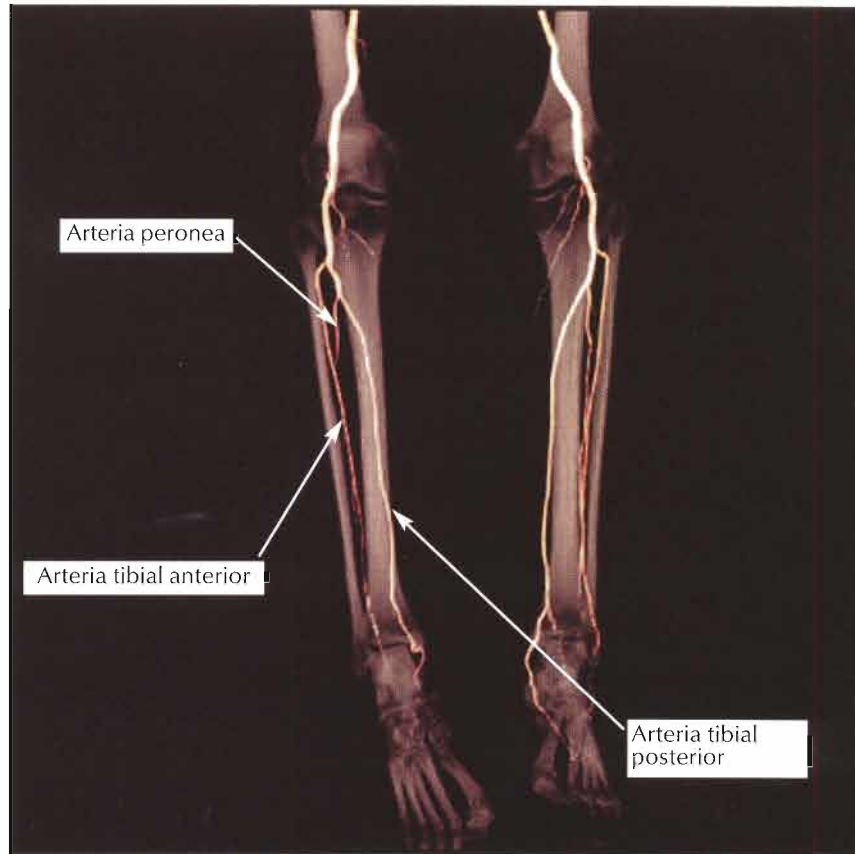




F. Netter M.D.

Véanse también láminas 407, 408





Sección 8 Anatomía seccional

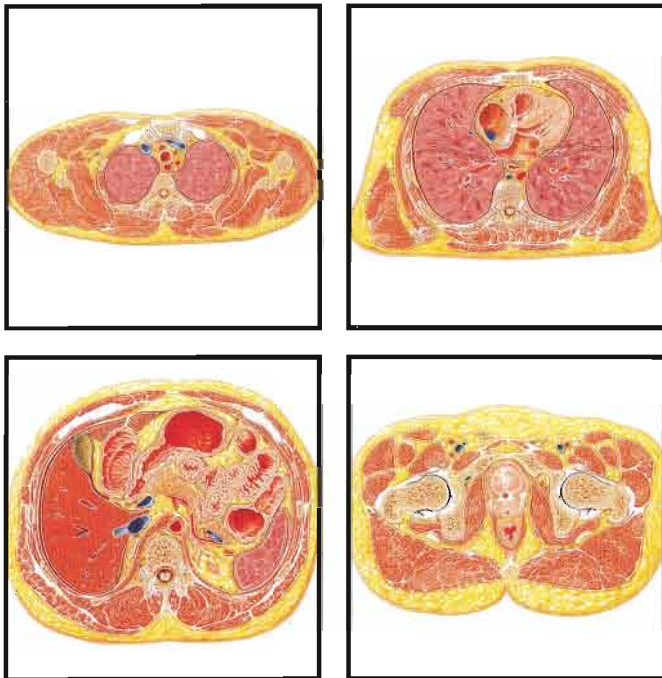
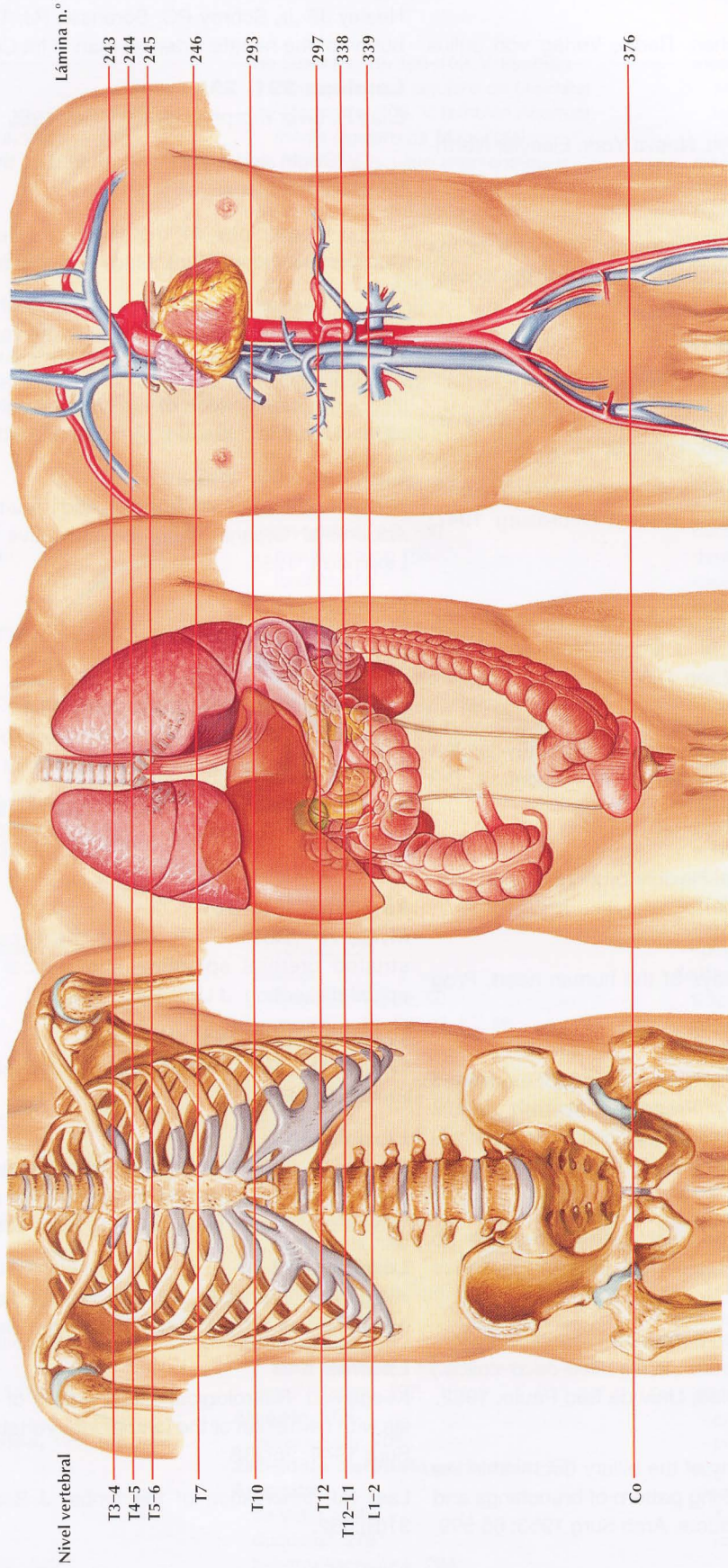


Lámina 548

548 Figuras clave para las secciones transversales



C. Machado
H.B.

Bibliografía

Lámina 58

Braus H. Anatomie des Menschen. Berlin, Verlag von Julius Springer, 1924.

Lámina 89

Nishida S. The Structure of the Eye. Nueva York, Elsevier North-Holland, 1982.

Láminas 116, 117, 127

Lachman N, Acland RD, Rosse C. Anatomical evidence for the absence of morphologically distinct cranial root of the accessory nerve in man. *Clin Anat* 2002; 15:4.

Láminas 164, 482, 525, 543

Foerster O. The dermatomes in man. *Brain* 1933; 56:1.

Garrett FD. The segmental distribution of the cutaneous nerves in the limbs of man. *Anat Rec* 1948; 102:409.

Keegan JJ. Dermatome hypalgesia with posterolateral herniation of lower cervical intervertebral disc. *J Neurosurg* 1947; 4:115.

Lámina 172

Turnball IM. Bloody supply of the spinal cord. In Vinken PJ, Bruyn GW (eds): *Handbook of Clinical Neurology*, XII. Amsterdam, North-Holland, 1972, pp 478-491.

Láminas 200, 201

Jackson CL, Huber JF. Correlated applied anatomy of the bronchial tree and lungs with a system of nomenclature. *Dis Chest* 1943; 9:319.

Lámina 203

Ikeda S, Ono Y, Miyazawa S, et al. Flexible broncho-fiberscope. *Otolaryngology (Tokio)* 1970; 42:855.

Lámina 225

James TN. The internodal pathways of the human heart. *Prog Cardiovas Dis* 2001; 43:495.

Láminas 253, 366, 370, 383

Myers RP, King BF, Cahill DR. Deep perineal "space" as defined by magnetic resonance imaging. Presented at 14th Annual Scientific Session of the American Association of Clinical Anatomists, Honolulu, HI, 1997. [Abstract: *Clin Anat* 1998;11].

Lámina 282

DiDio LJA. Anatomia-Fisiologia do Píloro ileo-ceco-colica no homem. *Actas das Primeiras Jornadas Interuniversitárias Argentinas de Gastroenterologia*, Rosario, 1954.

_____. Dados anatomicos sobre o "piloro" ileo-ceco-colico. (Com observacao direta in vivo de "papila" ileo-ceco-colico.) [English summary]. Thesis, Fac Med, Univ de São Paulo, 1952.

Lámina 290

Healey JE Jr, Schroy PC. Anatomy of the biliary duct within the human liver: analysis of the prevailing pattern of branchings and the major variations of the biliary ducts. *Arch Surg* 1953; 66:599.

Healey JE Jr, Schroy PC, Sørensen RJ. The intrahepatic distribution of the hepatic artery in man. *J Int Coll Surg* 1953; 20:133.

Láminas 291, 292

Elias H. Liver morphology. *Biol Rev* 1955; 30:263.

_____. Origin and early development of the liver in various vertebrates. *Act Hepat* 1955; 3:1.

_____. Morphology of the liver. In *Liver Injury*, Trans 11th Conference. Nueva York, Macy Foundation, 1953.

_____. A re-examination of the structure of the mammalian liver: the hepatic lobule and its relation to the vascular and biliary system. *Am J Anat* 1949; 85:379.

_____. A re-examination of the structure of the mammalian liver: parenchymal architecture. *Am J Anat* 1949; 84:311.

Láminas 305, 308

Michels NA. *Blood Supply and Anatomy of the Upper Abdominal Organs, With a Descriptive Atlas*. Filadelfia, JB Lippincott, 1955.

Lámina 326

Thomas MD. In *The Ciba Collection of Medical Illustrations*, Vol 3, Part II. Summit, NJ, CIBA, p 78.

Láminas 348, 361, 384, 396, 414

Stormont TJ, Cahill DR, King BF, Myers RP. Fascias of the male external genitalia and perineum. *Clin Anat* 1994; 7:115.

Láminas 356, 360, 365, 370, 378, 379

Oelrich TM. The striated urogenital sphincter muscle in the female. *Anat Rec* 1983; 205:223.

Láminas 359, 361

Myers RP, Goellner JR, Cahill DR. Prostate shape, external striated urethral sphincter and radical prostatectomy: the apical dissection. *J Urol* 1987; 138:543.

Láminas 359, 361, 383, 384

Oelrich TM. The urethral sphincter muscle in the male. *Am J Anat* 1980; 158:229.

Lámina 403

Flocks RH, Kerr HD, Elkins HB, et al. Treatment of carcinoma of the prostate by interstitial radiation with radio-active gold (Au 198): a preliminary report. *J Urol* 1952; 68(2):510.

Lámina 482

Keegan JJ, Garrett FD. The segmental distribution of the cutaneous nerves in the limbs of man. *Anat Rec* 1948; 102:409.

Lámina 543

Keegan JJ. Neurological interpretation of dermatome hypalgesia with herniation of the lumbar intervertebral disc. *J Bone Joint Surg* 1944; 26:238.

Last RJ. Innervation of the limbs. *J Bone Joint Surg* 1949; 31(B):452.

- A**
- Abdomen**, 268
anatomía de superficie, 247
cuadrante
inferior
derecho, 268
izquierdo, 268
superior izquierdo, 268
esqueleto óseo, 248
imágenes axiales de TC, 350
inervación, 318
nervios y ganglios autónomos, 318
regiones y planos, 268
secciones transversales, nivel
L1-2, 349
L3, 349
L3-4, 349
T10, 293
T12, 297, 331, 338
tejido subcutáneo, 249
visceras, 269
- Abertura**
conducto auditivo interno, 97
inferior pelvis
diámetro
anteroposterior, 354
transverso, 354
mujer, 354
laringea, 63, 66, 235
lateral (agujero de Luschka), 109
media (agujero de Magendie), 109
superior pelvis, diámetros, 354
mujer, 354
radiografía, 355
varón, 354
- Abombamiento tabique**, 37
- Acetábulo**, 352, 486
borde, 352, 353, 486
cara
articular, 376
semilunar, 486
radiografía, 355
anteroposterior, 488
- Ácino**, 204
- Acromion**, 27, 185, 188, 418, 420, 423-425, 427, 429, 432
radiografía anteroposterior, 422
- Acueducto**
cerebral, 106, 107, 108, 109, 146
coclear, 96
vestibular
conducto endolinfático, 96
orificio externo, 97
- Adenohipófisis**, 140, 147-148
hendidura, 148
- Adhesión intertalámica**, 196, 108, 110, 111, 146
- Agujero**
apical, 53
ciático
mayor, 352, 353, 357, 540
menor, 352, 353, 357
- de Luschka, 19, 108-109. V. también *Abertura lateral (agujero de Luschka)*
de Magendie, 108. V. también *Abertura media (agujero de Magendie)*
de Monro. V. *Agujero interventricular (de Monro)*
de Winslow. V. *Orificio omental (de Winslow)*
emisario esfenoides, 11
esfenopalatino, 4, 6, 13, 14, 38, 40, 42
espinoso, 11, 14, 46
estilomastoideo, 25, 123, 125
etmoidal
anterior, 2, 11, 12
posterior, 2, 11
infraorbitario, 12, 36
interventricular (de Monro), 106, 109, 111, 115, 145-146
izquierdo, 108
intervertebral, 19, 180
borde inferior, 154
lumbar, 155
radiografía, 156
magno, 8, 9, 11, 14, 58, 123, 127
mandibular, 15
nervio alveolar inferior, 46
mastoideo, 10
mentoniano, 15
nasolagrimal, nacimiento, 50
nutricio, 489, 513
obturado, 248
radiografía, 355
anteroposterior, 488
oval, 4, 8, 11, 14, 45-46
obliterado, 229
prenatal, 229
válvula, 221
palatino
mayor, 8, 11, 38, 56
menor, 8, 11, 38, 39, 52, 56
parietal, 7
rasgado, 8, 10
nervios petrosos, 10
redondo, 11, 45
sacro
anterior, 157, 353, 358
cuarto posterior, 357
posterior, 157, 353
radiografía, 156
transverso, 19
yugular, 103, 125, 126, 127
- Ala**, 8
ilion, varón, 354
vena circunfleja iliaca superficial, 544
porción lateral, 157
- Alvéolo**, 204
lecho capilar, 205
- Amígdala cerebelosa, hernia**, 101
- Ampolla**
de Vater, 294
duodenal, 279
hepatopancreática, 294
esfínter, 295, 327
- membranosa
anterior, 95
lateral, 95
posterior, 95
oído, 95-96
semicircular, 92
trompa uterina, 372
- Anastomosis**
acromial, 427
arterias
carótida-vertebral, 138
esfenopalatina septal-palatina mayor, 41, 138
gastrointestinal, 272
obturatriz-púbica, 259
subclavia-carótida, 138
subclavia-vertebral, 138
braquial, codo, 433
codo, 434
conducto incisivo, 40
derecha-izquierda, 138
escápula, 427
paravertebral, 172
portocava, 312
prevertebral, 172
rotuliana, 500, 512
venas suprarrenal-frénica, 265
- Anestesia epidural, punción lumbar**, 162
- Anexos**, 371
- Ángulo**
acromion, 420, 421
esternón, 245
iridocorneal, 87-88, 90
red y espacios trabeculares, 88
mastoideo, 9
subpúbico, radiografía, 355
- Anillo**
adiposo subhiatal, 236
femoral, 259, 262, 363, 364, 546
fibroso, 19, 155
inguinal
profundo, 251, 259, 261, 362-363, 369, 386
localización, 274
superficial, 249, 259, 261, 386, 544
pilar lateral y medial, 259
- Ano**, 360, 377, 380, 382, 388, 395
fetal, 388
tabique fibroso, 394
transverso, 393
- Antebrazo**
distal, sección transversal, 470
huesos, 439
inserciones musculares, visión
anterior, 450
posterior, 451
ligamentos, 438
medial, 429-430, 433, 446, 469, 473-475, 479, 481
ramo
anterior, 449, 480
posterior, 480

Antebrazo (cont.)

- músculos, 440-442, 444, 446-447
 - plano profundo, visión anterior, 448
 - superficiales, visión
 - anterior, 446
 - posterior, 444
- nervios cutáneos, 480
 - laterales, 435, 446-449, 469, 473, 481
 - ramo posterior, 480
 - ramos, 479
- plano muscular
 - intermedio, visión anterior, 447
 - profundo, visión
 - anterior, 447
 - posterior, 445
- posterior, 432, 435, 449, 468, 469, 477, 479, 480, 481
- pronado, 440
- secciones transversales seriadas, 449
- supinado, 440
- venas superficiales, 480

Antihélix, 1, 93

- rama, 1, 93

Antitrago, 1, 93**Antro**

- mastoideo, 94
- pilórico, 275
 - radiografía bario, 279

Aorta, 207, 263, 324, 330, 342

- abdominal, 27, 179, 195, 207, 225, 232, 270, 273-274, 278, 298, 300-301, 324, 327, 329-332, 339, 341-342, 369, 398, 400-401, 403, 412
 - sección transversal, 338
- arco, 237, 244
- ascendente, 138, 215, 220, 223, 224, 225, 242, 245
- descendente, 237, 242, 245-246
 - torácica, 194, 242
- imágenes axiales de TC, 242, 350
- prenatal, 229
- torácica, 172, 297
 - descendente, 172, 231, 241
 - rama ureteral, 341
 - ramas esofágicas, 237
 - sección transversal, 297

Aparato lagrimal, 82**Apéndice(s)**, 126

- epiploicos. *V. Apéndices omentales*
- epitelial, 388
- fibroso, 287
- omentales, 272, 284
- vermiforme, 271, 281, 283-284, 362-363
 - músculo circular, 283
 - nodulillos linfáticos agregados, 283
 - orificio, 282
 - radiografía bario, 283
 - retrocecal fijado, 283
 - serosa, 283
 - submucosa, 283
 - variaciones posición, 283
- vesiculoso (hidátide de Morgagni), 371, 389

Apófisis

- articular
 - inferior, lumbar, 155
 - superior, lumbar, 155
- clinoides
 - anterior, 9

- imágenes coronales de TC, 151
 - posterior, 9
- coracoides, 185, 189, 420-421, 423, 425, 427-429, 433
 - radiografía anteroposterior, 422
- coronoides, 15, 436, 443
 - radiografía, 422
- espinosa
 - lumbar, 155
 - radiografía, 156
 - torácica, 154
- estiloides, 14, 27, 29-30, 34, 53, 59
 - cúbito, 439, 452
 - radio, 439, 452
- mamilar lumbar, 155
- mastoides, 14, 25, 27, 28, 29, 30, 34, 53, 59, 176
- palatina, 14, 38, 52, 56
- piramidal, 8, 12
- pterigoides, 6, 8
 - gancho, 12, 13, 14
 - hueso palatino, 13
 - lámina
 - lateral, 4, 12, 13, 14, 38, 39, 50
 - medial, 12, 13, 14, 38, 39, 50
 - láminas, 6
- transversa
 - C6, 136
 - lumbar, 155
- unciforme, 19, 37, 38, 339
- xifoides, 185, 191, 196, 198, 247-249, 285-286, 293, 297-298
 - sección transversal, 297

Aponeurosis

- bicipital, 430, 433, 446, 480
- epicraneal, 26, 178
- faringea, 235
- glútea, 330, 494-495
 - glúteo medio, 174
- oblicuo, 261
 - externo abdomen, 250, 251, 260, 261, 349
 - interno abdomen, 253, 257
- palatina, 52
- palmar, 442, 446, 454, 462, 480
 - reflejada, 460
 - tabiques, 460
- plantar, 533-535
 - fascículo lateral, 535
 - fascículos digitales, 535
- transverso abdomen, 252, 330, 349

Aracnoides, 102, 109, 169

- granulación, 100, 102, 109
 - fosita granular, 99
 - indentación cráneo, 99
- lumbar, 170
- torácica, 170
- venas cerebrales, 102

Árbol traqueobronquial, inervación, 210**Arco**

- aorta, 74-75, 80, 138, 206, 210-215, 221, 232-233
 - radiografía, 213
 - surco, 199
- arterial
 - carotideo dorsal, 469
 - carpiano
 - dorsal, 469

- palmar, 465
- omental, 305
- palmar
 - profundo, 465
 - superficial, 460
- palpebral, 85
- plantar profundo, 531, 536
 - ramos posteriores, 520, 536
- cigomático, 14, 54, 151
- de Riolo, 308
- palatofaríngeo, 51, 58, 64, 66
- palatogloso, 51, 58
- palmar profundo, 465
- púbico, 248
 - mujer, 354
 - varón, 354
- superciliar, 1
- tendinoso fascias pelvis, 372
- venoso
 - dorsal, 544
 - palmar, superficial, 460

Área

- en V (de Laimer), 234, 235
- hipotalámica lateral, 135
- intercondilea
 - anterior, 513
 - posterior, 513
 - radiografía, 510
- paraolfatoria, 106
- pontina, gusto, 135
- subcallosa, 106, 119
- vestibular, 115

Areola, 182**Arteria(s)**

- lagrimal, 85
 - rama meníngea recurrente, 100
- alveolar
 - inferior, 40, 53, 60
 - rama
 - lingual, 69
 - mentoniana, 40, 69
 - superior
 - anterior, 40
 - media, 40
 - posterior, 40, 69
- amígdala cerebelosa, 143
- angular, 23, 36, 68, 85, 138
- apendicular, 281, 306, 307, 322, 323
- arqueada, 335, 337, 530-531, 536
 - arteriola glomerular aferente, 337
 - vasos linfáticos, 343
- auditiva interna. *V. Arteria laberíntica*
- auricular
 - anterior, 23
 - posterior, 23, 34, 40, 100, 136, 138, 178
 - profunda, 40
- axilar, 183, 189, 200, 255, 427-429, 433-434
 - rama
 - acromial, 434
 - clavicular, 434
 - deltoides, 434
 - pectoral, 434
 - tomografía computarizada, 484
 - visión
 - anterior, 434
 - posterior, 434
- basilar, 140-141, 143, 171

Arteria(s) (cont.)

- imagen axial de RM, 150
- bazo, 301
- braquial, 27, 30, 31, 183, 193, 198, 206, 211, 230, 427, 429, 447
 - in situ, 433, 434
 - lateral, fascículos, 428, 433
 - medial, 428, 433
 - posterior, 428
 - profunda, 429
 - tomografía computarizada, 484
 - ramas, 433-434
 - rama muscular, 433, 434
- brazo, 484
- bronquial, 204-205, 207
 - derecha, 199, 207, 230, 237
 - izquierda, 199, 231
 - inferior, 207, 237
 - rama esofágica, 237
 - superior, 207, 237
 - rama esofágica, 207
 - variaciones, 207
- bucal, 40, 69
- cabeza, 23
 - fémur, 504
 - y cuello fémur, 504
- cadera y muslo, 500-502
- calcánea
 - lateral, 534, 535
 - medial, 534, 535
- calcarina, 142, 143
- callosomarginal, 141, 142
- capsular, 335
- cara, 23
- carótida
 - común, 23, 29, 31-34, 71, 74-76, 100, 125, 128, 130, 133-134, 136-137, 198, 210, 232, 237
 - derecha, 30, 80, 137, 193
 - izquierda, 74, 80, 137, 193, 211, 214, 243
 - disección lateral derecha, 34
 - externa, 28, 32, 34, 40, 59, 75-76, 85-86, 121, 123, 128, 130-131
 - esquema, 34
 - interna, 10, 23, 28, 33-34, 44, 47, 69, 71, 75-76, 85-86, 100, 123, 125, 130-132, 134, 138-142
 - derecha, 142
 - izquierda, 142, 143
 - rama carotidotimpánica, 138
 - surco, 9
- carpo, 461
- cavidad nasal, 41
- cecal, 323
 - anterior, 281, 306, 307
 - posterior, 281, 307
- central
 - anterolateral, 140, 141, 143
 - anteromedial, 140
 - posteromedial, 140
 - precentral, 141
- cerebelosa
 - anterior, 140
 - inferior
 - anterior, 136, 138, 139, 140, 141, 143, 171
 - posterior, 141, 143, 171
 - posterior, 141, 143
 - superior, 136, 138, 139, 140, 141, 143, 171
- cerebral
 - anterior, 136, 138, 140-141, 143
 - derecha, 142
 - izquierda, 142
 - ramas, 141
 - terminales, 142
 - comunicante, 140
 - magna, cisterna cuadrigémina, 109
 - media, 136, 138, 140-141, 143
 - izquierda, 142
 - ramas, 141
 - temporales, 141
 - posterior, 136, 138, 140-141, 143, 171
 - derecha, 142, 143
 - ramas, 136, 138
 - temporales, 143
 - terminales, 142
 - ramas
 - temporales, 143
 - posterior y anterior, 142
 - terminales, 142
- cervical
 - ascendente, 33, 69, 71, 74, 75, 76, 136, 138, 171, 427
 - profunda, 33, 136, 138, 171
 - superficial, 74, 75
 - transversa, 32, 69, 74, 75, 76, 138, 177, 427, 429
- cigomaticofacial, 23
- cigomaticotemporal, 23
- ciliar
 - anterior, 90-91
 - rama recurrente, 91
 - posterior, 85
 - corta, 90, 91
 - larga, 90, 91
- cingular, 142
- circunfleja humeral
 - anterior, 427, 429, 433, 434
 - posterior, 427, 429, 432, 433, 434
- cística, 294, 300, 301, 305
- cola caballo, 171
- colateral
 - cubital
 - inferior, 433, 434
 - superior, 433, 434, 444
 - media, 432, 434, 435
 - radial, 434, 435
- cólica
 - arco de Riolo, arteria media e izquierda, 308
 - derecha, 306-308, 322-323, 340
 - ausencia, 308
 - izquierda, 264, 307, 318, 323, 324, 340, 398
 - media, 290, 298, 301, 306-307, 318, 322-323, 340, 348
 - ausencia, 308
 - rama
 - ascendente, 307, 398
 - descendente, 307, 398
 - variaciones, 308
- colon, 308
- comunicante
 - anterior, 136, 138, 139, 140, 141, 142
 - posterior, 104, 136, 139, 140, 141, 142, 143
- conjuntival posterior, 91
- coroidea
 - anterior, 139, 140, 141, 143
 - posterior
 - lateral, 139, 143
 - medial, 139, 143
- coronaria
 - cara
 - diafragmática, 216
 - esternocostal, 217
 - derecha, 217-218
 - orificio, 223
 - rama
 - atrial, 216, 217
 - interventricular posterior, 216, 217
 - marginal, 216, 217
 - ramas posterolaterales, 216
 - izquierda, 216-217, 219
 - rama
 - circunfleja, 216, 217, 219
 - interventricular anterior, 216, 217, 219
 - marginal, 216, 217, 219
 - orificio, 224
 - rama
 - circunfleja, 219
 - rama atrioventricular, 219
 - cono, 218
 - interventricular
 - anterior, 219
 - anterior, ramas diagonales, 219
 - posterior, 218
 - nódulo
 - atrioventricular, 218
 - sinoatrial, 216, 218
 - ventricular izquierda posterior, 217
 - ramas
 - posterolaterales, 218, 219
 - septo interventricular, 216, 217
 - variaciones, 217
 - visiones angiográficas, 218, 219
- cortical radiada, 335, 337
 - vasos linfáticos, 343
- cremastérica, 255
- cricotiroidea, 69
- cubital, 433-434, 446-447, 454, 460, 465
 - rama
 - carpiana
 - dorsal, 469
 - palmar, 465
 - palmar profunda, 447, 454, 460, 465
 - recurrente anterior, 447
 - tomografía computarizada, 484
 - venas satélites y nervio cubital, 460
- cuello, 504
- cuero cabelludo, 23
- de Adamkiewicz, 171
- dedos, 471
- digital
 - común, tomografía computarizada, 484
 - dorsal, 469, 471, 530, 536
 - palmar

Arteria(s) (cont.)

- común, 460, 462, 465
- propia, 460, 462, 471
- ramas dorsales, 471
- plantar
 - común, 534, 536
 - propia, 533, 535-536
 - ramas dorsales, 530
- ramas nutricias, 471
- distribución intrínseca médula espinal, 172
- dorsal pie, 520, 530, 536
- duodeno y cabeza páncreas, 301, 304
- encéfalo, 136-138, 141-142
 - visión frontal, 141
 - visiones lateral y medial, 142
- epiescleral, 90
- epigástrica
 - superficial, 211, 511
 - superior, 188, 189, 192
- escápula
 - circunfleja, 427, 429, 430, 434
 - dorsal, 32, 137, 427, 429
- escrotal posterior, 403, 406
- esfenopalatina, 40-41, 69
 - rama
 - nasal posterior lateral, 40
 - septal posterior, 40
- esofágica, 207
- esófago, 237
- espinal
 - anterior, 11, 141, 171-172
 - asas anastomóticas, 171
 - derecha, 172
 - izquierda, 143, 172
 - posterior, 11, 172
 - asas anastomóticas, 171
- esplénica, 237, 278, 297-301, 305-306, 318-321, 327-328
 - arteriografía, 303
 - izquierda, 264
 - origen, 302
 - páncreas, 274
 - ramas esplénicas, 300
- esternocleidomastoidea, 34
- estómago, hígado y bazo, 300
- estriada medial distal (arteria recurrente de Heubner), 140, 141, 142
- etmoidal
 - anterior, 11, 85
 - rama meníngea, 100
 - ramas meníngea y septal, 41
 - posterior, 11, 85, 100
 - ramas meníngea y septal, 41
- facial, 31-32, 34, 36, 40, 60, 75, 85, 131, 133, 136, 138
 - rama
 - alar nasal lateral, 41
 - labial superior, 41
 - tabique nasal, 41
 - tonsilar, 64
 - transversa, 23, 34, 36, 69, 85
- faringea, 40
 - ascendente, 11, 34, 40, 69, 136, 138
 - rama
 - faringea, 64
 - meníngea posterior, 136
 - tonsilar, 64
 - ramas meníngeas, 100
- femoral, 250, 493, 500, 512, 546
 - circunfleja
 - ascendente, 501, 512
 - descendente, 501, 512
 - lateral, 500, 512
 - medial, 501, 502, 504, 512
 - transversa, 501, 512
 - profunda, 493, 500, 512
 - ramas musculares, 512
- fosa craneal posterior, 142, 143
- frénica, inferior, 237, 305, 318, 333, 347
 - derecha, 300, 319, 320, 333, 346
 - izquierda, 272, 300, 319-320, 332-333
 - fibras simpáticas, 240
 - rama recurrente, 300
- frontal, 23
 - medial, 142
 - polar, 141, 142
- frontobasal
 - lateral, 141, 142
 - medial, 141, 142
- gástrica, 272, 300, 305, 318-321
 - arteriografía, 303
 - corta, 300, 301, 305, 321
 - derecha, 279, 294, 300, 305, 320-321, 331
 - arteriografía, 303
 - fibras simpáticas rama esofágica, 240
 - izquierda, 206, 237, 264, 300-301, 306, 318-321, 323, 331, 348-349, 410
 - rama esofágica, 237
 - rama esofágica, 300
 - fibras simpáticas, 240
 - unión omento menor, 274
- gastroduodenal, 279, 294, 301, 304-306, 321-322, 327
 - arteriografía, 303
 - plexo, 320
- gastroepiploica izquierda, 301
- gastrointestinal
 - derecha, 272, 300, 305-306, 321
 - origen, 302
 - izquierda, 300, 301, 305, 306, 321
 - plexo, 319, 320
- glándula mamaria, 183
- glútea
 - inferior, 341, 499
 - superior, 499
- hepática, 297, 337
 - común, 237, 264, 272, 279, 294, 300-301, 305-306, 318, 321, 327, 331, 349
 - arteriografía, 303
 - derecha, 294, 300-301, 305
 - accesoria, 302
 - origen, 302
 - efectos obstrucción, 305
 - intermedia, 301
 - izquierda, 294, 300, 301, 305
 - media, 305
 - origen, 302
 - propia, 273, 278-279, 288, 290, 294, 298, 301, 321, 330
 - arteriografía, 303
 - bifurcación, 331
 - omento menor, 348
 - ramas, 290, 291, 292
 - sección transversal, 297
- hígado, 301
 - páncreas, duodeno y bazo, 301, 305
 - y vesícula biliar, variaciones, 305
- hipofisaria
 - inferior, 140, 148
 - superior, 140, 148
- hipotalámica, 140
- hipotálamo e hipófisis, 148
- ileal, 306-307
 - asas anastomóticas, 280
- ileocólica, 281, 307, 322-323, 340
 - rama
 - cólica, 281, 306, 307
 - ileal, 281, 306, 307
- ilíaca
 - circunfleja
 - profunda, 501, 512
 - rama ascendente, 255, 264
 - superficial, 247, 512
 - común, 264, 274, 340-341, 398, 400, 412
 - derecha, 329
 - imágenes axiales de TC, 350
 - izquierda, 318
 - imágenes axiales de TC, 350
 - rama ureteral, 341
 - derecha, 323, 329
 - externa, 264, 274, 318, 329, 340, 398, 400, 402, 412, 501, 512
 - derecha, 329
 - interna, 264, 307, 318, 329, 340-341, 370, 398, 412
 - división anterior, 400
 - divisiones anterior y posterior, 402
- iliolumbar, 264, 341, 402
- infraorbitaria, 23, 36, 40, 81, 85
- intercostal, 183, 192, 305
 - anterior, 192
 - inferior, anastomosis, 255
 - posterior, 171-172, 188-189, 230-231
 - rama dorsal, 172
 - ramas cutánea y mamaria lateral, 183, 192
 - segunda, 33
 - tercera derecha, 207, 237
 - primera posterior, 33
 - suprema, 33, 136, 138
- interlobular, 335, 337
 - vasos linfáticos, 343
- interósea
 - anterior, 434, 437
 - tomografía computarizada, 484
 - común, 434, 447, 448, 449
 - posterior, 434, 445, 448, 449
 - recurrente, 434, 445
 - terminación, 445
- intestino grueso, 307
- intrarrenales, 335
- intrínseca, ojo, 90
- laberíntica, 140-141, 143
 - interna, 143
 - izquierda, 136
- labial
 - inferior, 69
 - posterior, 404
 - superior, 69
- laríngea
 - recurrente derecha, 126
 - superior, 34, 69, 74, 75, 136

Arteria(s) (cont.)

- lenticuloestriada, 140-141, 143
 - central anterolateral, 139
- lingual, 23, 32, 34, 59-60, 69, 75, 133, 136, 138
 - dorsal, 59
 - profunda, 51, 59
 - rama tonsilar, 64
- lumbar, 171
 - anastomosis inferior, 255
 - derecha, 264
 - quinta, 264
- maleolar
 - lateral anterior, 530
 - medial anterior, 530
- mano, visión palmar, 466
- marginal, 307, 323
 - intestino grueso, 307
 - izquierda, 216
- masetérica, 40, 54, 55
- maxilar, 16, 34, 40, 54, 71, 100, 131, 134
 - ramas, 40
- médula espinal, 171
- medular segmentaria
 - anterior, 171-172
 - mayor, 171
 - posterior, 171
- meníngea, 99-100
 - accesoria, 11, 40, 100
 - anterior, 85
 - media, 40, 55, 99-100, 102, 131, 138
 - izquierda, 136
 - posterior, 11
- meninges, 136
- mesentérica
 - inferior, 270, 278, 307, 308, 318, 323, 329, 332, 340, 341
 - superior, 179, 270, 281, 298, 301, 305-308, 319, 321-322, 328, 332, 339-340, 342
 - origen común, 302
 - raíz mesenterio, 270
 - relaciones, 310
- metacarpiana
 - dorsal, 469, 530
 - palmar, 465
- metatarsiana
 - dorsal, 530, 535-536
 - ramas perforantes
 - anteriores, 535
 - posteriores, 535
 - plantar, 535-536
 - ramas perforantes anteriores, 535
- miembro superior, 473
 - tomografía computarizada, 484
- mínimas dedo, 471
- muscular, 90, 91
- musculofrénica, 189, 198, 211, 215
- muslo, visión
 - anterior, 501
 - posterior, 502
- nasal
 - dorsal, 23, 36, 40, 81, 85
 - externa, 36
 - lateral, 36
- nódulo sinoatrial, 216, 218, 225
- nutricia, fémur, 504, 513
- obturatriz, 259, 264, 340, 369, 376, 398, 400, 402-403, 410, 504, 512
 - rama
 - acetabular, 487
 - anterior, 487
 - posterior, 487
- occipital, 23, 34, 100, 178
 - medial, 142
 - rama
 - descendente, 34
 - esternocleidomastoidea, 34
 - mastoidea, 100
 - meníngea, 23
 - ocasional, 11
- occipitotemporal, 142
- oftálmica, 11, 23, 40, 83, 86, 132, 140, 143
 - continuación, 85
 - rama
 - muscular, 85
 - supraorbitaria, 69
 - supratrocLEAR, 69
- omental, 305
- orbitofrontal, 141-142
 - lateral, 139
 - medial, 139
- órganos pelvis femenina, 400
- ovárica, 341, 412
 - derecha, 318, 322
 - izquierda, 329
 - rama ureteral, 341
- palatina
 - ascendente, 40
 - derecha, 40
 - izquierda, 40
 - descendente mayor, 40
 - izquierda, 40
 - mayor, 52
 - menor, 40
 - izquierda, 40
- palmar
 - profunda, tomografía computarizada, 484
 - superficial, tomografía computarizada, 484
- palpebral
 - lateral, 85
 - inferior, 85
 - superior, 85
 - medial, 85
 - inferior, 85
 - superior, 85
- pancreática
 - dorsal, 300, 301, 305, 306
 - inferior, 301, 305, 306
 - mayor, 301
- pancreatoduodenal
 - anastomosis, 306
- inferior, 302, 305, 307, 322
 - anterior, 306, 320, 321
 - plexo, 319, 320, 322
 - porción común, 306
 - posterior, 306, 320, 321
 - rama
 - anterior, 301
 - posterior, 301
- plexo, 319
- superior, 321
 - anterior, 272, 300, 301, 305, 306, 320, 321
 - posterior, 301, 305, 306, 320, 321
- transparencia, 301
- paracentral, 141, 142
- paramediana, 140
- pared abdominal
 - anterior, 255
 - posterior, 264
- parietal, 141
 - anterior, 141, 142
 - posterior, 141, 142
- parietooccipital, 142, 143
- pelvis
 - femenina, 403
 - masculina, 403
- perforante, 501
 - central anteromedial, 140
 - muslo, 512
 - posteromedial, 140
 - radiada, 335
- pericallosa, 141-142
 - posterior, 143
- pericardiofrénica, 194, 206, 211, 230, 241, 255
 - derecha, 193
 - izquierda, 193
- periné
 - femenino y útero, 405
 - masculino, 405
- perineal, 370, 403-405
 - transversa, 405
- peronea, 512, 516-518, 522, 534
 - circunfleja, 512
 - rama
 - comunicante, 518
 - maleolar lateral posterior, 518
 - perforante, 518, 520, 530, 531
 - ramas calcáneas, 516, 517
- pie, 536
- plantar
 - lateral, 535-536
 - ramas cutáneas, 535
 - medial, 534
 - rama superficial, 533, 534, 535
 - ramas
 - cutáneas, 534, 535
 - profundas, 534
 - profunda, 530, 535, 536
 - ramas perforantes posteriores, 536
- pontina, 140, 141, 143
- poplítea, 512
- precuña, 142
- prefrontal, 141
- principal pulgar, tomografía computarizada, 484
- profundas pie, 536
- pterigoidea
 - lateral, 40
 - medial, 40
- puñda
 - externa
 - profunda, 512
 - superficial, 512
 - interna, 341, 376, 499
- pulmonar, 213
 - derecha, 205, 210, 214, 220, 230, 245
 - prenatal, 229
 - imágenes axiales de TC, 242
 - izquierda, 206, 213-214, 231, 245
 - prenatal, 229
 - radiografía, 213
 - radiada perforante, 335

Arteria(s) (cont.)

radial, 433, 445-449, 454, 460-461, 465, 474
 rama
 carpiana palmar, 448, 465
 palmar superficial, 454, 460, 465
 tabaquera anatómica, 469, 470
 tomografía computarizada, 484
 radicular
 anterior, 172
 posterior, 172, 173
 recta, 307
 íleon, 280
 rama, 326
 yeyuno, 280
 rectal
 inferior, 307, 398, 402, 403, 404, 405
 media, 264, 307, 323, 341, 364, 398, 400, 402, 403
 superior, 264, 307, 318, 323-324, 340, 364, 398, 400, 410
 bifurcación, 307
 rama, 307
 rectas, 307
 recto y conducto anal, 398
 rectosigmoidea, 307, 323, 398
 recurrente
 cubital
 anterior, 434
 posterior, 434, 444
 de Heubner. *V. Arteria estriada medial distal (arteria recurrente de Heubner)*
 radial, 433, 434, 447
 regiones bucal y faríngea, 69
 renal, 35, 341, 345
 derecha, 318, 321, 329
 in situ, 332
 izquierda, 323, 329, 339, 347
 rama
 anterior, 335
 posterior, 335
 uretérica, 335, 336
 variaciones, 333
 renales, 335
 retina, 90
 central, 85, 87, 90, 91
 retinacular, 504
 subsinoival, 504
 retroperitoneal, 331
 rodilla
 descendente, 512
 rama
 articular, 500, 512
 safena, 500, 512
 inferior
 lateral, 512, 517, 518, 519, 520
 medial, 500, 512
 media, 512
 superior
 lateral, 502, 512, 516, 517, 519, 520, 521
 medial, 500, 501, 502, 512, 516, 518, 519, 520
 sacra
 lateral, 171, 264, 341, 398, 402, 403
 media, 307, 341, 364, 398, 402
 segmentaria
 inferior anterior, 335
 posterior, 335

superior, 335
 anterior, 335
 inferior, 335
 sigmoidea, 323, 340
 subclavia, 30, 32, 74, 76, 130, 171, 183, 189, 198, 206, 211, 237, 427
 anómala, 80
 derecha, 75, 126, 137, 193, 230
 disección anterior, 33
 visión oblicua, 33
 izquierda, 75, 80, 137, 193, 243
 surcos, 186
 subcostal, 264
 anastomosis inferior, 255
 subescapular, 427, 434
 tomografía computarizada, 484
 sublingual, 59, 61
 submentoniana, 40
 supinador, 447
 supraduodenal, 300, 301, 306
 supraescapular, 32, 74-76, 427, 429
 rama infraespinosa, 427
 suprahiodea, 59
 supraorbitaria, 23, 36, 40, 81, 85
 supratroclear, 23, 40, 81, 85
 surco, 141
 central, 141, 142
 de Rolando, 142
 poscentral, 142
 precentral, 141
 prefrontal, 142
 talamogénicula, 143
 talamoperforante, 140, 143
 talamotuberal, 140
 tarsiana
 lateral, 530, 536
 medial, 530, 536
 temporal
 media, 23, 99
 polar, 142
 profunda, 99
 anterior, 40
 posterior, 40
 rama parietal, 23
 superficial, 23, 34, 40, 99-100, 134
 rama frontal, 23, 85
 testicular, 387, 401, 403, 409, 416
 derecha, 332
 izquierda, 329, 332
 tibial
 anterior, 512, 530
 posterior, 512, 534
 rama
 calcánea medial, 533, 535
 maleolar medial posterior, 534
 timpánica anterior, 40
 tiroidea
 inferior, 32, 74, 76, 427
 rama esofágica, 237
 rama laríngea superior, 34
 superior, 31, 32, 34, 74, 75, 76
 tonsilar, 40
 torácica
 derecha, 193, 230
 inferior, 198, 206, 211, 305
 interna, 189, 237, 244-246
 arterias perforantes, 188
 izquierda, 193, 194
 lateral, 183, 188, 189, 427, 434

ramas
 intercostales anteriores, 189
 perforantes, 183
 superior, 189, 427, 429, 434
 toroacromial, 424, 427
 rama
 acromial, 424, 427, 429
 clavicular, 424, 427, 429
 deltoidea, 424, 427, 429
 pectoral, 424, 427, 429
 toracodorsal, 427, 434
 umbilical, 340-341, 396
 distal, 402
 obliterada, 372
 porción
 obliterada, 229, 362, 363, 364, 400, 403
 permeable, 400, 402, 403
 prenatal, 229
 uretral, 384, 405
 uterina, 340-341, 372
 ligamento cardinal, 364
 ramas vaginales, 404
 vaginal, 340
 vermis
 inferior, 143
 superior, 143
 vertebral, 10, 21, 32, 75-76, 100, 130, 140-141, 171, 178, 226, 237
 derecha, 143
 izquierda, 143
 plexo venoso, 137
 porción atlántica, 178
 rama meníngea
 anterior, 143
 posterior, 100, 143
 ramas meníngeas, 10
 vesical
 inferior, 340
 ramas uretéricas, 340
 superior, 340-341
 ramas uretéricas, 341
 yeyunal, 306-307
 asa anastomótica, 280
 plexo, 319
 primera, 302

Arteriografía celiaca, 303**Arteriola**

glomerular, 337
 aferente, 336
 eferente, 336
 intralobulillar, 291
 macular
 inferior, 90
 superior, 90
 nasal retina
 inferior, 90
 superior, 90
 periportal, 291
 portal, 291

Articulación(es)

acromioclavicular, 423, 425
 cápsula, 423
 atlantoaxial, 19
 lateral, 19
 cápsula, 21
 media, visión superior, 22
 radiografía, 17
 cadera

Articulación(es) (cont.)

- cápsula, 504
 - ligamento iliofemoral, 496
 - ligamentos, 492
 - radiografía anteroposterior, 488
 - visión
 - anterior, 487
 - lateral, 487
 - posterior, 487
 - carpometacarpiana, 455
 - cápsula
 - articular, 454
 - primera, 455
 - cigapofisaria, 246
 - C2-3, 19, 21-22
 - cápsula, 21, 22
 - C3-4, 21
 - costocondral, 186
 - costovertebral, 243
 - sección transversal, 187
 - visión
 - lateral izquierda, 187
 - posterolateral derecha, 187
 - cricotiroidea, 77
 - eje de giro, 79
 - esternoclavicular, 196
 - cavidades articulares, 419
 - disco articular, 419
 - sección transversal, 243
 - esternocostales, 186, 419
 - hombro, 423
 - intercondrales, 186
 - interfalángica, 418
 - cápsulas y ligamentos, 528
 - distal, localización, 418
 - proximal, 418
 - intermetacarpiana, 455
 - intervertebral, 18
 - manubrioesternal, 186
 - metacarpofalángica (MF), 458
 - radiocarpiana, 453, 455
 - radiocubital distal, 455
 - sacroilíaca, 358
 - mujer, 354
 - radiografía, 355
 - tarsometatarsiana, 523
 - temporomandibular
 - disco articular, 54, 55
 - ligamento lateral, 40
 - transversa tarso, 523
 - uncovertebrales, 19
- ## **Asa(s)**
- anastomótica
 - arterias
 - espinales posteriores, 171
 - ileales, 280
 - yeyunales, 280
 - intestino delgado, 306
 - venas intestino delgado, 310
 - cervical, 31-32, 128-129
 - raíz
 - inferior, 32, 34, 71, 74, 128, 129
 - superior, 32, 34, 71, 74, 128, 129
 - ramos ventrales, 128
 - de Galeno, 80
 - de Heiss, 367
 - de Henle, 337
 - rama
 - ascendente, 336
 - descendente, 336
 - segmento
 - delgado, 336
 - proximal, 336
 - intestinal, saco herniario, 261
 - subclavia, 130, 209, 226, 240

Asta

- cóccix, 157
- sacro, 157

Astrágalo

- apófisis posterior, 523
 - surco tendón flexor largo dedo gordo, 523
- tubérculo
 - lateral, 523
 - medial, 523
- cabeza, 524
- cueño, 523, 524
- tróclea, 523, 524
- tubérculo
 - lateral, 523
 - medial, 523
- visión
 - dorsal, 523
 - plantar, 523

Atlas (C1), 13, 17, 19, 22, 153, 160

- agujero transverso, 17
- anterior, 21
- apófisis
 - espinosa, 18
 - transversa, 17, 21, 30, 39, 176
- arco
 - anterior, 5, 17, 19, 37, 62, 137
 - posterior, 17, 18, 178
- cara articular superior, 17
- cóndilo occipital, 17
- diente, cara articular, 17
- masa lateral, 17
- posterior, 21
- tubérculo
 - anterior, 19
 - posterior, 17, 175, 176
- visión
 - inferior, 17
 - superior, 17

Atrio (aurícula), 224

- derecho, 24, 212-215, 220, 223, 241, 246
 - abierto, 220
 - radiografía, 213
- izquierdo, 214-215, 220-221, 224, 246
 - orejuela, 212
 - sección, 221
 - vena oblicua, 214, 215, 216
- vías conducción internodulares, 225

Axila

- disección, 181
 - visión anterior, 429
- ligamento suspensorio, 428
- músculos, 424
- sección parasagital oblicua, 428

Axis (C2), 13, 17, 19, 22, 153

- apófisis
 - articular inferior, 17
 - espinosa, 17, 174, 176
 - transversa, 30
- cara articular posterior, 17
- cuerpo, 17, 21
- diente, 5, 17, 37, 63

- pedículo, 17
- porción interarticular, 17
- tubérculo posterior apófisis transversa, 30
- visión
 - anterior, 153
 - lateral
 - izquierda, 153
 - posterior, 153
 - posterolateral, 17

B

Base cráneo

- huesos, 9
- orificios, 10-11
 - visión inferior, 10
- visión inferior, 8

Bastones, 120

- Bazo,** 196-197, 272-273, 288, 290, 293, 297, 331, 347, 349
 - área, 329
 - arterias, 300, 301
 - borde superior, 299
 - cápsula fibrosa, 299
 - cara
 - diafragmática, 299
 - visceral, 299
 - extremidad
 - anterior, 299
 - posterior, 299
 - hilio, 299
 - imágenes axiales de TC, 350
 - impresión
 - cólica, 299
 - gástrica, 299
 - renal, 299
 - in situ, 299, 347
 - pulpa, 299
 - sección transversal, 297, 299, 338
 - serosa, 299
 - venas, 309

Boca

- inervación aferente, 62
- nervios, 62
- suelo, 53
- techo, 52
- visión
 - anterior, 52
 - posterior, 52

Bolsa

- anserina, 506, 507
- colateral peronea, 507
- cubital, 460
- de Rathke, resto vestigial, 50
- iliopectinea, 496
- infrarrotuliana, 511
 - profunda, 511
 - subcutánea, 511
- mano, 462
- omental, 272, 331
 - estómago reflejado, 272
 - pared posterior, 349
 - peritoneo parietal, 331
 - receso superior, 272, 274, 287
 - sección transversal, 273
- prerrotuliana subcutánea, 511
- radial, 460, 462

Bolsa (*cont*)
 rotuliana, 508
 semimembranoso, 511
 sinovial suprarrotuliana, 511
 subacromial, 423
 subcutánea, 511
 olécranon, 438
 subdeltoidea, 423
 subtendinosa, 511

Borde
 externo ano, 393
 infraorbitario, 1

Botones gustativos, 58
 sección, 58

Brazo. V. también *Antebrazo*
 arteria profunda, 429, 432-435
 colateral media, 445
 arterias, 484
 compartimiento neurovascular, 435
 músculos, 432
 capa
 profunda, 430, 432
 superficial, 430, 432
 lateral superior, 432
 posterior, 432
 visión posterior, 432
 visiones anteriores, 430
 nervio radial, 477
 nervios cutáneos, 479, 481
 lateral
 inferior, 432, 477, 479, 481
 superior, 432, 477, 479, 481
 medial, 257, 429, 432, 435, 473, 474, 479
 posterior, 432, 477, 479, 481
 secciones transversales seriadas, 435
 venas superficiales, 480

Bregma, 7

Bronquio, 167, 202, 204, 234
 apicoposterior, 203
 basal
 anterior, 203
 anteromedial, 203
 lateral, 203
 medial, 203
 posterior, 203
 derecho, imágenes axiales de TC, 242
 extrapulmonar, 202
 fibras elásticas, 204
 intermedio, 202, 206
 intrapulmonar, 202, 204
 izquierdo, 203
 imágenes axiales de TC, 242
 lingular, 202
 lobular
 inferior, 202
 medio, 202, 203
 superior, 202, 203, 206
 músculo liso, 204
 nomenclatura, 203
 principal, 202
 ramos principales
 derechos, 207, 230, 245
 izquierdos, 199, 206, 232, 233, 241

Bronquiolo
 respiratorio, 204, 205
 terminal, 204, 205

Bulbo
 olfatorio, 107

células, 119
 contralateral, 119
 vestibulo, 366

Bulla etmoidal, 37, 38

C

Cabeza. V. también *Encéfalo*; *Cráneo*;
 porciones específicas de la cabeza
 anatomía de superficie, 1
 arterias, 40-41
 fauces, 64
 huesos y ligamentos, 4-16
 humerocubital, 447
 imagen
 axial
 de RM, 150
 de TC, 150
 sagital de RM, 149
 imágenes coronales de TC, 151
 músculos, 26
 masticación, 54-55
 nervios, 24
 autónomos, 131
 cutáneos, 24
 región
 bucal, 50-61
 nasal, 36-37, 46-47, 48-49
 vasos y nódulos linfáticos, 72-73

Cadera

arterias, 500-502
 flexión y extensión, 543
 inserciones óseas. visión
 anterior, 490
 posterior, 491
 músculos, 496
 visión
 lateral, 494
 posterior, 495
 nervios, 503
 radiografía anteroposterior, 488

Calcáneo

524, 527-528
 apófisis
 lateral, 523, 533
 medial, 523
 cara articular
 anterior astrágalo, 525
 media astrágalo, 525
 posterior astrágalo, 525
 cuerpo, 523, 524, 525
 peroneo, 524
 radiografía, 54
 relaciones funcionales, 525
 surco tendón flexor largo dedo gordo, 523
 sustentáculo astrágalo, 523
 tróclea, 524
 peronea, 523
 tuberosidad, 485, 488, 516-517, 523, 533-535
 radiografía, 54
 visión
 dorsal, 523
 lateral, 525
 medial, 525
 plantar, 523
 posterior, 525
 superior, 525

Calcar avis, 111, 112

Cáliz mayor, 339

Calvaria, 102

visión
 inferior, 7
 superior, 7

Cámara

anterior, 81, 87-90
 endotelio, 88
 posterior, 81, 87, 88, 90
 vítrea, 90
 imágenes coronales de TC, 151

Campos visuales, solapamiento, 120

Canal gástrico, 276

Capa

odontoblastos, 57
 tejido subcutáneo (adiposa) de Camper, 249, 361, 348, 378, 380

Capilar subpleural, 205

Capítulo (cóndilo), 420, 436, 437

Cápsula

articulación atlantooccipital, 21, 22
 de Bowman, 336
 de Glisson. V. *Cápsula fibrosa perivascular (de Glisson)*
 de Tenon. V. *Vaina fascial globo ocular (cápsula de Tenon)*
 fibrosa perivascular (de Glisson), 290
 interna, 108, 141
 hendidura, 110
 porción retrolenticular, 110
 rodilla, 110
 ótica, 96
 visión anterolateral, 95
 rotuliana. tracto ilirotibial, 508

Cara

arterias, 19
 y venas superficiales, 23
 articular
 carpo, 439
 lumbosacra, 157
 articulares, 246
 costal
 inferior, 187
 superior, 187
 músculos, 123
 nervios sensitivos, 123
 orbitaria, 2
 poplítea, 489

Cardias, nódulos, 314

Carpo

arterias, 461
 disco articular, 455
 disección
 dorsal
 profunda, 469
 superficial, 468
 palmar
 profunda, 460
 superficial, 459
 radial superficial, 467
 huesos, 456
 inervación cutánea, 472
 ligamentos, 454, 455
 movimientos, 453
 músculos
 extensores, 441
 flexores, 442

Carpo (cont.)

- nervios, 461
- radiografía anteroposterior, 457
- sección
 - coronal, 455
 - sagital, 453
 - transversal, 461
- tendones, 461
 - extensor, 470
 - flexores, arterias y nervios, 461
- visión
 - anterior (palmar), 460, 472
 - posterior (dorsal), 455, 470, 472

Cartilago

- accesorio nasal, 36
- alar
 - mayor, 36, 38, 39
 - menor, 36
 - pilar lateral y medial, 36
- aritenoides, 77-78
- apófisis
 - muscular, 78
 - vocal, 78
- articular
 - articulación cadera, 487
 - codo, 438
 - dedo, 471
 - rodilla, 511
- auricular, 47
- bronquial, 204
- corniculado, 77
- costal, 186, 248, 293, 419
 - octavo, 415
 - primera costilla, 243
 - quinto, 194
 - izquierdo, 241
 - sección transversal, 196
 - segundo, 245
 - séptimo, 198, 331
 - sexto, 424
- cricoides, 20, 28-29, 74, 77-78, 196, 233-234
 - arco, 77
 - cara posterolateral, 234
 - inserción haz muscular longitudinal, 234
 - lámina, 77, 78
 - prominencia lámina, 66
- iaríngeo, 77
- tabique nasal, 39
 - apófisis lateral, 38, 39
- tiroides, 28-29, 31, 74, 196, 202, 206, 233-235
 - asta superior, 77
 - lámina, 77, 78
 - línea oblicua, 29
- traqueal, 28, 202

Carúncula

- himeneal, 370, 377
- lagrimal, 81, 82
- sublingual, 51
 - orificios conductos submandibulares, 51

Cavidad(es)

- articular, 471
- dedo, 471
- bucal, 39, 48, 52-53, 63. V. también *Labio; Boca*; porciones específicas de la cavidad bucal

- imágenes coronales de TC, 151
- inspección, 51
- de Retzius, 348
- glenoidea, 185, 423
- nasal, 82-83
 - arterias, 41
 - crecimiento, 50
 - fibras posganglionares, vasos y glándulas, 44
 - huesos, nacimiento, 50
 - inervación autónoma, 44
 - pared
 - lateral, 37, 38
 - medial, 39
 - suelo, 37
 - visión espejudo, 37
- pleural, receso
 - costodiafragmático, 196-197, 330-331
 - derecho, 194
 - izquierdo, 104, 206
 - costomediastínico izquierdo, 194
- sinoviales, 22, 187
- timpánica, 92, 93, 96, 124, 125

Celdas

- etmoidales, 48-49, 83
 - anterior, 50
 - hiato semilunar, 37
 - orificio, 37, 38
 - media, 50
 - orificio, 37, 38
 - posterior, 37-38
 - orificio, 38
- mastoideas, 94
 - imagen axial de RM, 150

Célula(s)

- amacrinas, 120
- bastón, 94, 120
- bipolares, 120
- cimogénica, 276
- epitelial, estómago, 276
- ganglionares, 120
- granulosas, 119
- horizontales, 120
- mitral, 119
- mucosas estómago, 276
- neuroendocrina G, 276
- olfatorias, 119
- parénquima hígado, 290
- parietales, 9, 276
- penacho, 119
- periglomerulares, 119
- pigmentarias, 120
- pilar, 94, 120
- pilosas (cóclea)
 - externas, 96
 - internas, 96

Cerebelo, 106, 111, 115, 146

- amígdala, 107, 115
- cara
 - inferior, 113
 - superior, 113
- eminencia medial, 115
- fisura
 - horizontal, 113
 - posterolateral, 107
 - secundaria, 107
- flóculo, 114
- fosita
 - inferior, 115

- superior, 115
- imagen de RM
 - axial, 150
 - sagital, 149
- lobulillo digástrico, 113
- lóbulo
 - anterior, 113
 - floculonodular, 113
 - posterior, 113
- núcleo dentado, 115
- partes, 144
- receso lateral, 115
- sección sagital media, 115
- visión posterior, 115
- visiones laterales, 105

Cerebro

- cápsula interna, 110
- circunvoluciones, 107
- polo
 - frontal, 107
 - occipital, 107
 - temporal, 107
- secciones horizontales, 110
- surcos, 107
- visión(es)
 - inferior, 107
 - laterales, 105
 - mediales, 106

Cérvix o cuello uterino, 360, 364, 369-372

- orificio externo, 371
- imágenes sagitales de RM, 397

Ciego, 126, 269, 272, 281, 284, 362-363

- pliegue vascular, 281
- variaciones unión peritoneal posterior, 281

Circulación sanguínea

- intrapulmonar, 205
- posnatal, 229
- prenatal, 229

Círculo arterial cerebro (de Willis), 139, 140**Circunvolución**

- angular, 105
 - arteria cerebral, 141
 - ramas cerebrales, 141, 142
- cíngulo, 106
- istmo, 106, 107
- dentada, 106, 108, 111, 112, 119
- frontal
 - inferior, 105
 - media, 105
 - medial, 106
 - superior, 105
- lingual, 106
- occipitotemporal
 - lateral, 106, 107
 - medial, 106, 107
- orbitaria, 107
- parahipocámpal, 106, 107, 108, 119
- poscentral, 105
- precentral, 105
- recta, 107
- subcallosa, 106
- supramarginal, 105
- temporal
 - inferior, 105, 107
 - media, 105

Circunvolución (cont.)

superior, 105

Cisterna

cerebelomedular
posterior, 109
vena, 144
cuadrigémina, 109
interpeduncular, 109
prepontina, 109
quiasmática, 109
quilo, 266, 314, 318
tronco linfático lumbar, 343

Cistouretrógrafías, varón y mujer,
368**Claustro,** 110**Clavícula,** 1, 26-29, 31, 181-182, 184,
186, 188-189, 196-198, 213, 230-231,
243, 418, 420-425, 427-429

cara

acromial, 419
esternal, 419
inferior, 419
superior, 419

cuerpo, 419

derecha, 419

extremo

acromial, 419
esternal, 419

impresión ligamento costoclavicular, 419

línea trapezoidea, 419

radiografía, 422

anteroposterior, 422

surco subclavio, 419

tubérculo conoideo, 419

Clítoris

arteria

dorsal, 404
profunda, 404

cuerpo, 388

frenillo, 377

glande, 377, 388

ligamento suspensorio, 378, 379, 380

nervio dorsal, 267, 413, 414

pilar, 360, 366, 370

prepucio, 377

vena dorsal profunda, 356, 357, 360,
364, 365

Clivus, 9

superficie, 22

Coana, 8, 13, 14, 37, 38, 39, 52, 55, 66,
67**Cóccix,** 153, 157, 160-161, 248, 352-353,
357, 376, 379, 391

apófisis transversa, 157

nervios espinales, 161

vértice, 354, 357, 359, 376, 380, 382, 395

visión

inferior anterior, 157
superior posterior, 157

Cóclea, 92, 95, 97

helicotrema, 92, 96

ósea, 92, 96

sección, 92, 96

Codo

anastomosis, 434
huesos, 436
ligamentos, 438
músculos, 447-448
inserciones, 450, 451

radiografías

anteroposterior, 437

lateral, 437

Cola caballo, 160-161, 170, 179, 339
punción lumbar, 162**Colangiolo,** 292**Colículo**

brazos, 114

inferior, 106, 111

brazo, 111

izquierdo, 144

seminal, 366, 384

superior, 106-107, 111, 114-116, 132,
143-144

brazo, 111

izquierdo, 144

Colon

aire radiografía, 355

área, 329

ascendente, 126, 269, 272, 278, 284,
339, 349

imágenes axiales de TC, 350

localización, 274

sección transversal, 338

descendente, 167, 271, 278, 339,
342

área, 329

flexura cólica izquierda, 297

localización, 274

sección transversal, 338, 349

flexura cólica derecha, 297

sección transversal, 297

mucosa y musculatura, 284

músculo circular, 282

nervios, 410

sigmoide, 167-168, 269, 271, 284,
391-394, 412

asa lado derecho, 284

nervios, 410

reflejado, 271

variaciones posición, 285

transverso, 269-270, 273, 278, 284, 291,
294, 298-299, 339

flexura cólica derecha, 297

imágenes axiales de TC, 350

sección transversal, 338

tributarias, 309

tributarias, 311

Columna(s)

anales, 393

celular intermediolateral, 346

renal (de Bertin), 337

vertebral

venas, 137

visión

anterior, 153

lateral izquierda, 153

posterior, 153

Comisura

anterior, 106, 115, 146, 147

fórnix, 112

habénula, 106, 111, 115

posterior, 106, 111, 388

Compartimiento(s)

fasciales pierna, 522

superficial periné, 396

Concha

inferior, 14

nasal

imagen axial de RM, 150

inferior, 37-38, 82

apófisis etmoidal, 38

crecimiento, 50,

imagen sagital de RM, 149

imágenes coronales de TC, 151

media, 2, 6, 37-38, 48, 50, 82

crecimiento, 50

superior, 6, 37-38

borde inferior, 50

suprema, 38

Cóndilo

lateral, 489

medial, 489

occipital, 9, 30, 128

Conducción antidrómica, 167**Conductillo**

aberrante, 390

biliar, 290, 292

intralobulillar, 290

periportal, 290, 291, 292

eferente, 389, 390

lagrimal, 82

mastoideo, 10

timpánico, 10

Conducto

aductor, 500

alveolar, 204

orificio, 204

anal, 393

anatómico, 393

arterias, 398

imágenes sagitales de RM, 397

inicio, 376

sección transversal, 357, 521

muscular mucosa, 393, 394

músculo longitudinal, 356, 357

quirúrgico, 393

venas, 399

arterioso

obliterado, 229

prenatal, 229

auditivo

externo, 8, 13, 92-93

cartilaginoso y óseo, 93

imagen axial de RM, 150

imágenes axiales de TC, 150

ramo auricular nervio vago, 24

sección coronal oblicua, 93

interno, 92, 97, 123

carotídeo, 10

arteria carótida interna, 11

orificio externo, 8

plexo nervioso carotídeo interno, 9

cervical, 371

cístico, 331

pliegue espiral, 294

porción lisa, 294

variaciones, 296

colédoco, 126, 167, 273-274, 278-279,

288, 291-292, 294-295, 297-298,

300-301, 304

extrahepático, 294

sección transversal, 338

unión

conductos

hepáticos, 290

pancreáticos, 295

duodeno, 295

Conducto (cont.)

condileo, 11
 de Alcock. V. *Conducto pudendo* (de Alcock)
 de Gartner. V. *Conducto mesonéfrico craneal* (de Gartner)
 de Hering, 291, 292
 de Müller. V. *Conducto paramesonéfrico* (de Müller)
 de Schlemm. V. *Seno venoso escleral* (conducto de Schlemm)
 de Wolff. V. *Conducto mesonéfrico* (de Wolff)
 deferente, 259, 261, 340, 389-390, 409, 546
 ampolla, 384
 arteria, 255, 264, 340, 398, 401, 403
 endolinfático, 11, 95
 acueducto vestibular, 96
 orificio, 97
 epididimario, 390
 epoóforo, 389
 eyaculador, 376
 inicio, 384
 orificios, 316, 384, 385
 facial, 124
 prominencia, 93
 femoral, 546
 nódulos linfáticos, 546
 frontonasal, 37
 infundíbulo, 38
 orificio, 38
 galactóforo, 182
 hepático, 290
 aberrante, 294, 296
 accesorio, 296
 común, 287, 289, 290, 204, 301, 331
 derecho, 294
 izquierdo, 294
 variaciones, 294, 296
 hialoideo, 87
 hipogloso, 8, 10, 11
 incisivo, 37-39, 43, 63
 anastomosis, 40
 rama septal posterior arterias esfenopalatina y palatina mayor, 41
 infraorbitario, 45
 inguinal, 260, 262
 linfático, 208
 mandibular, 60
 mesonéfrico
 caudal, restos, 389
 craneal (de Gartner), 389 (de Wolff), 389
 nasolagrimal, 82
 nacimiento, 38
 orificio, 37, 82
 surco nasooptico, 50
 obturador, 352, 358, 364, 365, 369, 402, 501
 óptico, 2, 6, 11, 83
 pancreático, 294-295, 298
 accesorio, 279, 298
 esfínter, 295
 principal, 279
 unión colédoco, 295
 papilar, 336
 paramesonéfrico (de Müller), 389

parotídeo, 25, 54
 pilórico, 297
 sección transversal, 297
 prostático, orificios, 384, 385
 pterigoideo
 arteria, 40
 nervio, 122, 123, 125, 131, 133, 135
 pudendo (de Alcock), 392, 411
 arteria pudenda interna, 402, 404
 nervio pudendo, 413
 vena pudenda interna, 399
 izquierda, 311
reuniens, 96
 sacro, 157, 358
 semicircular
 membranoso, 92
 ampolla, 92, 124
 anterior, 95, 96
 lateral, 95, 97, 124
 posterior, 96, 97, 124
 superior, ampolla, 124
 óseo
 anterior, 95, 96, 97
 imagen axial de RM, 150
 lateral, 95, 96, 97
 plano, 97
 posterior, 95, 96, 97
 prominencia, 92
 sublingual, 51
 orificios, 61
 submandibular, 51, 53, 59, 60
 torácico, 189, 194, 198, 206, 209, 211, 244, 245, 246, 263, 266, 293, 318
 venoso
 obliterado, 229
 prenatal, 229
 vertebral, lumbar, 155

Conexión intertendinosa mano, 470**Conjuntiva**, 91

bulbar, 81, 83, 87, 88, 90
 palpebral, 81
 párpado
 inferior, 81
 superior, 81

Cono

arterioso, 212, 218, 220, 222, 224
 elástico, 78
 luz, 93
 medular, 160, 161, 170, 339

Constricción

diafragmática, 233
 torácica, 233

Corazón, 126, 233

atrios, ventrículos y septo
 interventricular, 224
 base
 superficie, 214
 visión posterior, 214
 borde
 derecho, 196
 inferior, 212
 izquierdo, 196
 cara diafragmática, 214
 diástole, 222
 esqueleto fibroso, 222
 in situ, 211
 inervación, 227
 esquema, 227
 lado

derecho, 225
 izquierdo, 225
 nervios, 226
 saco pericárdico, 282
 septo membranoso, 221, 222
 sistema conducción, 225
 sístole, 222
 válvulas, 222
 vértice, 212, 213, 214, 246
 visión anterior, 212

Corbata suiza, 236, 277**Cordón**

espermático, 260-261, 376
 conducto deferente, 255
 fascia
 cremastérica, 260
 espermática
 externa, 249, 257, 259, 405
 interna, 262
 músculo cremáster, 257
 genital, 389
 lateral, 115

Córnea, 81, 83, 87, 88, 90, 91**Cornete**. V. *Concha***Cornetes**, 37**Coroides**, 87, 89-90

disposición vascular, 91

Corpúsculo

de Malpighio, 336
 renal
 cortical, 336
 yuxtamedular, 336

Corteza

renal, 336, 337, 346
 sensorial, 135

Costillas, 186, 244-245

ángulo, 185, 186
 cabeza, 185, 186
 cuello, 185, 186, 194
 cuerpo, 185
 duodécima, 160, 174, 195, 342, 349
 proyección, 330
 falsa, 185
 flotante, 185
 imágenes axiales de TC, 242, 350
 ligamento interarticular, 187
 media, 186
 novena, 299
 octava, 241, 349
 primera, 94, 160, 186, 196-197, 211, 230, 419, 429
 cartilago costal, 243
 sincondrosis, 419
 surco, 199
 segunda, 182, 185, 419
 izquierda, 186
 séptima, cabeza, 246
 sexta, 182
 tubérculo, 185, 186
 undécima, 330
 verdadera, 185

Coxal

cartilago articular, 487
 visión
 lateral, 486
 medial, 486

Cráneo

base, 66, 160, 161
 fractura, 101

Cráneo (*cont.*)

- línea nugal superior, 174, 175, 176
- orientación laberinto, 97
- piel, 102
- radiografía anteroposterior, 3
- recién nacido, 12
- sección
 - horizontal, 104
 - sagital media, 6
- venas emisarias y diploicas, 99
- visión
 - anterior, 2
 - lateral, 4

Cresta

- buccinador, 68
- frontal, 9
- iliaca, 152, 174-177, 247-248, 254, 329-330, 342, 351, 485-486, 494-496, 502-503, 545
- labio
 - externo, 248, 352, 353, 486
 - interno, 248, 352, 353
 - superior, 486
- línea intermedia, 248, 352, 353, 486
- punción lumbar, 162
- tubérculo, 248, 352, 353, 486
- intertrocantérea, 487, 503
 - radiografía anteroposterior, 488
- interuretérica, 366
- obturatriz, 352, 486, 487
- occipital externa, 14
- Passavant. V. *Esfínter palatofaríngeo* (*cresta de Passavant*)
- pubis, 259, 376
- sacra
 - intermedia, 157
 - lateral, 157
 - media, 157, 352, 357
- supracondílea, 436
- supratrocLEAR, 220, 224
- terminal, 220, 225
- uretral, 384

Crietas de Lieberkühn, 283**Crista galli**, 3, 6, 9, 39

- imágenes coronales de TC, 151

Cúbito, 436, 438-443, 454, 465

- apófisis coronoideas, 437
- borde
 - anterior, 436
 - interóseo, 436
 - posterior, 436, 439
- cara
 - anterior, 436
 - lateral, 429, 436
 - posterior, 436, 439
- escotadura radial, 436
- olécranon, 418, 444
- radiografía, 437
- sección coronal, 455
- tubérculo dorsal, 436
- tuberosidad, 436, 439
- visión
 - anterior (palmar), 452
 - posterior (dorsal), 452

Cuello

- anatomía de superficie, 1
- arterias, 504
- esqueleto óseo, 185
- fascias, 28

- músculos, 27
 - visión
 - anterior, 28
 - posterior, 27
- nervios, 24
 - autónomos, 130
 - cutáneos, 24
- nódulos y vasos linfáticos, 72
- plexo cervical, 32
- triángulo posterior, 174, 188
- venas superficiales y nervios cutáneos, 31

Cuerda(s)

- oblicua, 438, 439
- tendinosas, 220, 221, 223

Cuero cabelludo

- aponeurosis epicraneal, 26
- arterias y venas superficiales, 23
- piel y tejido subcutáneo, 26

Cuerpo(s)

- adiposo
 - fosa isquioanal, 376
 - infrarrotuliano, 511
 - órbita, 83
 - suprarrotuliano, 511
- albicans*, 371
- amigdalino, 110, 112, 119
 - tálamo, 110
- anococcigeo, 380, 381, 395, 396
- calloso, 106-108, 111, 141, 143
 - anterior, 145
 - cisterna, 109
 - esplenio, 106, 107, 110, 112, 143, 144, 145, 146
 - imagen sagital de RM, 149
 - pico, 106, 141
 - rama dorsal derecha, 143
 - rodilla, 106, 107, 110, 112, 146
 - surco, 106
 - tronco, 106, 141
 - vena dorsal, 144, 146
- carotídeo, 34, 125, 130, 210
- cavernoso, 361, 382-383, 385
 - imágenes sagitales de RM, 371, 397
- célula simpática preganglionar, 44, 132
- ciliar, 87, 90
 - fibras, 88
 - orbículo ciliar, 89
 - vasos sanguíneos, 90
- cuadrigéminos, 107
- de Arancio, 223
- esponjoso, 361, 366, 381-383
 - imágenes sagitales de RM, 397
- estriado, 110, 141
- geniculado
 - lateral, 107, 110, 111, 114, 116, 120, 132, 143, 144, 145
 - medial, 107, 108, 110, 111, 114, 115, 139, 143, 144, 145
 - tálamo izquierdo, 143
- lúteo, 371
- mamilar, 106, 107, 112, 114, 147
- periné, 359, 361, 365, 378, 380, 381, 382, 383, 384, 391, 395, 403, 404, 405
- pineal, 106, 110, 111, 114
- uña, 471
- vertebral, 19
 - caras articulares, 186
 - cuarta vértebra torácica, 230

- lumbar, 155
- vítreo, 87
- Culmen**, 113, 115, 144
- Cuña**, 106
 - vértice, 107

Cúpula coclear, 95**Curvatura**

- cervical, 18, 153
- lumbar, 153
- sacra, 153

Cutícula, 471**Cymba**, 93**D****Declive**, 113**Dedos**

- de la mano, 418
 - anillo, falange distal, 457
 - arterias, 471
 - y nervios, 471
 - cuarto, nervios digitales palmares, 460
 - espacio cerrado anterior distal, 471
 - extensión, 464
 - falange media, 457
 - flexión, 464
 - flexores, 443
 - huesos, 452
 - índice, radiografía, metacarpiano, 457
 - inervación, 469
 - inserciones musculares, 450
 - mecanismo extensor, 471
 - músculos extensores, 441
 - nervios, 471
 - nombres comunes, 418
 - quinto
 - nervios digitales palmares, 460
 - vaina sinovial tendinosa, 460
- sección
 - sagital, 453, 471
 - media, 453
 - transversal, 471
- tabiques, 471
 - fibrosos, 471
- tendones
 - extensores, 464
 - flexores, 464
 - y extensores, 471
- vainas
 - sinoviales tendones flexores, 460
 - tendinosas, 462
 - fibrosas, 471
 - vasos linfáticos, 483
 - dorso, 483
- visión
 - lateral, 464
 - posterior (dorsal), 464
- del pie
 - dedo gordo
 - falange
 - distal, 537
 - proximal, 537
 - lado medial, 544
 - quinto
 - falanges proximal, media y distal, 537

- Dedos** (*cont.*)
vena, 544
- Dentina**, 57
- Dermatomas**
anterior, 482
demarcación esquema, 164
miembro
inferior, 543
superior, visiones anterior y posterior, 482
niveles, 164
posterior, 482
- Dermis anal**, 393
- Diafragma**
origen, 198, 206, 211, 215, 230, 233, 236-237, 272-273, 275, 286, 327, 329, 331, 342, 349, 498
área, 330
cara
abdominal, 195
torácica, 193
centro tendinoso, 263
hoja derecha, 194
cúpulas, 213
derecha, 196, 197
izquierda, 196, 197
nervios frénicos, 193
orificio vena cava, 195, 263, 267
pélvico, 361
fascia, 364
superior, 360, 364, 365, 369, 394
fascias inferior y superior, 392
mujer, 356, 357
varón, 358-359
pilares, 179, 293, 338, 342
derecho, 263, 270, 293, 297, 331, 339
izquierdo, 263, 270, 297, 339
porción
costal, 195, 258
esternal, 195
lumbar, 195
sección transversal, 338
visión lateral, 233
- Dientes**, 137
axis, 19, 37
caninos, 57
capa odontoblástica, 57
cara articular posterior, 22
cemento, 57
conductos raíz, 57
corona, 57
cuello, 57
deciduo, 56
dentina, 57
esmalte, 57
espacios
interglobulares, 57
interproximales, 57
incisivos, 56, 57, 233
ligamento apical, 63, 65
molares, 56-57
crecimiento, 50
primero, 56
segundo, 56
tercero, 56
nervios, 57
orificios apicales, 57
papila, 57
permanentes, 56-57
inferiores, 56
izquierdos, 57
superiores, 56
izquierdos, 57
premolares, 56, 57
raíces, 57
túbulos dentina, 57
visión labiobucal, 57
- Diploe**, 7
- Disco**
articular, 16, 243
intervertebral, 19, 155. V. también
vértebras específicas.
ángulo esternal, 245
anillo fibroso, 155
lumbar, 157, 339
lumbosacro, 352
núcleo pulposo, 155
óptico, 90
- Disección hombro, visión**
anterior, 426
lateral, 426
posterior, 426
- Dolor**
referido, áreas comunes, 327
vía, 325
- Dorso**
anatomía superficie, 152
huesos y ligamentos, 153-157
músculos
imágenes axiales de TC, 350
plano
intermedio, 175
profundo, 176
superficial, 174
nervios, 177, 179
región lumbar, sección transversal, 179
- Drenaje linfático, próstata**, 408
- Duodeno**, 126, 248, 273, 275, 278, 288, 329, 340, 342
arterias, 301, 304
ascendente, 270, 278, 279
descendente, 272, 279, 294
sección transversal, 179
in situ, 278
inervación, 321
ligamento suspensorio, 270
mucosa, 279
musculatura, 279
músculo
circular, 277, 295
longitudinal, 277
suspensorio, 270
nervios, 319, 320, 321
pliegue longitudinal, 279
porción
descendente, 270
inferior, 270
superior, 294
(primera), 297
porciones segunda-tercera, 338
unión, 339
radiografía bario, 279
raíz mesenterio, 278
superior, 276, 278
sección transversal, 297
unión colédoco, 295
venas, 309
- Duramadre**, 39, 91, 93, 96, 99-100, 102, 109, 119, 137, 169
arterias espinales, 172
capas meníngea y perióstica, 99
columna torácica, 170
espinal, 160, 179
laberintos óseo y membranoso, 96
lumbar, 170
venas cerebrales, 102
- E**
- Eferente parasimpático sacro**, 165
- Eminencia**
arqueada, 9
colateral, 111
hipotenar, 418
iliopúbica, 248, 352, 486-487
mujer, 354
intercondílea, 514
radiografía anteroposterior, 510
nasal, 37, 38
tenar, 418
- Encéfalo**, 48
arterias, 136, 141-142
esquema, 138
visiones
frontales, 141
inferiores, 139
lateral y medial, 142
sección
coronal, 108
sagital, in situ, 106
venas
profundas, 145
subependimarias, 146
ventrículos, 108
- Encía**, 57
epitelio, 57
lámina propia, 57
- Endometrio**, 371
- Epéndimo**, 108
- Epicóndilos**
lateral, 438, 440-443, 489
radiografía, 510
medial, 437, 440, 441, 442, 443, 447, 476, 489
- Epidídimo**, 390
apéndice, 389
cabeza, 390
cola, 390
cuerpo, 390
seno, 390
- Epíffisis**, 471
rama arterial nutricia, 471
- Epiglottis**, 13, 58, 63, 66, 67, 76, 77, 78, 135, 233, 235
- Epitelio escamoso estratificado, lengua**, 58
- Eponiquio**, 471
- Epoóforo**, 343
- Escafa**, 93
- Escápula**, 29, 180, 185, 192, 243-245
acromion, 185
anastomosis, 427
ángulo
inferior, 152, 246, 420
superior, 420

Escápula (cont.)

- apófisis coracoides, 213
- arteria axilar y anastomosis, 427
- borde
 - lateral, 420
 - radiografía anteroposterior, 422
 - medial, 152, 420
- cavidad glenoidea, 420
 - radiografía anteroposterior, 422
- cuello, 420
- cuerpo, 428
- escotadura escápula, 184
- espina, 152, 174, 177, 185, 197, 213, 424, 427-428
 - radiografía anteroposterior, 422
- fosa
 - infraespinosa, 185
 - subescapular, 185
 - supraespinosa, 421
- tubérculo infraglenoideo, 420
- visión
 - anterior, 420, 427
 - posterior, 421, 427

Esclera, 81, 83, 87-88, 91

- conjuntiva bulbar, 81
- lámina cribosa, 87

Escotadura

- acetabular, 352, 486
- cardíaca, 236, 275
- cerebelosa
 - anterior, 97
 - posterior, 97, 113
- ciática
 - mayor, 248, 486
 - menor, 248, 486
- escápula, 184, 185, 420, 421, 423, 427
- interarritenoidea, 66
- intertrágica, 93
- mandibular, 15
- pancreática, 298
- peronea, 513
- preoccipital, 105
- supraorbitaria, 1
 - agujero, 2
- tiroidea, superior, 77
- vertebral
 - inferior, lumbar, 155
 - superior, lumbar, 155
- yugular, 28, 181, 196

Escroto, 351, 388

- fascia superficial, 249
- piel, 390
- sección transversal, 390

Esfínter

- ampolla, variaciones, 295
- palatofaríngeo (cresta de Passavant), 65
- uretra, 396
- uretral, interno, 366, 367, 384, 385
- uretrovaginal, 367

Esófago, 63, 68, 76, 126, 194, 204,

- 206-207, 230-231, 233, 240-241, 243-246, 263-264, 270, 274, 323, 329, 332, 348
- área desnuda cara ventral, 234
- arterias, 237
 - variaciones comunes, 237
- capa muscular
 - circular, 234, 277
 - longitudinal, 234, 277

- masa lateral, 234
- curvatura mayor, 277
- engrosamiento muscular, 232
- in situ, 232
- mucosa, 235-236
 - unión mucosa gástrica, 276
- musculatura, 239
- nervios, 240
- porción
 - abdominal, 233, 237, 275
 - cervical, 237
 - pilórica, 277
 - torácica, 232, 237
- rama arterial recurrente, 195, 264
- submucosa, 235, 236
- surco, 199
- topografía y constricciones, 233
- visión
 - anterior, 240
 - lateral, 233
 - posterior, 240
 - abierta, 66
- zona pobre músculos, 234, 235

Espacio(s)

- costomediastínico, 331
 - lateral, 198
 - superior, 198
- cuadrangular, arteria circunfleja humeral posterior, 427
- de Retzius. V. *Espacio retroúbico (prevesical) (de Retzius)*
- disco intervertebral, 156
- epidural
 - grasa, 170
 - punción lumbar, 162
- epiescleral, 83, 87
- extraperitoneal, tejido fibroadiposo, 392
- interglobular, 57
- mediopalmar, 460, 462
- parotídeo, 34
- perianal, 392, 393, 396
- pericoroidal, 87, 88
- perineal
 - superficial, 361, 370, 378, 404, 405
 - varón, 383
- perineopélvicos, 396
- periportal, 291
- perisinusoidales, 291
- portal, lámina limitante, 291, 292
- postanal
 - profundo, 396
 - superficial, 396
- presacro, 364, 396
- rectocervical, 369
- rectovaginal, 364, 369
- rectovesical
 - prerrectal, 396
 - retroprostático, 396
 - retrovesical, 396
- retroúbico (prevesical) (de Retzius), 48, 348, 364, 396
 - grasa, 251
- subaponeurótico, 468
- subaracnoideo, 87, 99, 102, 109
 - punción lumbar, 162
 - torácico, 170
- subcutáneo dorsal mano, 462
- submucoso, 392
 - perianal, 396

- plexo venoso rectal interno, 393
- subungueal, 471
- supraesternal, 28
- tenar, 462
 - extensión dorsal, 460
- vesicocervical, 364
- vesicovaginal, 364

Espina

- ciática, 248, 263, 411, 486-487, 503
 - mujer, 354
 - radiografía, 355
- ilíaca
 - anterior, 247-248, 250, 486-487, 492
 - superior, 248, 249, 259, 263, 486, 487, 492, 493, 496, 500
 - posterior
 - inferior, 486
 - superior, 152, 352, 353, 486
- nasal
 - anterior, 39
 - posterior, 39

Esplenio cuerpo caloso, 143, 145**Espolón**, 489

- escleral, 87

Esternón, 26, 29, 180, 194, 233, 246, 424

- ángulo, 185
- apófisis xifoides, 181, 184, 185, 247
- cabeza, 181
- cuerpo, 181, 185, 247, 248
- escotadura yugular, 185
- imágenes axiales de TC, 242
- manubrio, 27, 28, 185

Estómago, 167, 215, 237, 269, 273, 276,

- 294, 297-298, 331

área, 329

arterias, 300

atónico, 275

capa muscular

circular, 236

longitudinal, 236, 277

oblicua, 236

cara posterior, 272

células

epiteliales, 276

musculares, 276

parietales, 276

cuerpo, 275, 279

curvatura

mayor, 275

menor, 275

ramo posterior vago, 240

escotadura angular, 275

folículo linfático, 276

fundus, 233, 236, 275, 293

radiografía bario, 279

ramo vago, 240

hipertónico, 275

hipotónico, 275

imágenes axiales de TC, 350

in situ, 275

inervación, 321

línea zig-zag, 236

mucosa, 276

musculatura, 236, 277

nervios, 319, 320

ortotónico, 275

porciones cardíacas, 233, 236, 277

reflejado, 272

sección transversal, 297

Estómago (cont.)

- submucosa, 276
- variaciones posición y contorno, 275
- vasos y nódulos linfáticos, 314
- venas, 309
- zona
 - cardíaca, 276
 - gástrica, 276

Estría

- medular, 106
- olfatoria
 - lateral, 119
 - medial, 119
- terminal, 108, 111, 112

Estriado, 110**Estríbo, 92-93**

- base, 92, 93
- cabeza, 93
- ramas, 92
 - anterior, 93
 - posterior, 93
- ventana oval, 96

Estroma intermuscular, 326**Expansión músculo recto lateral, 83****Expansiones extensor, 536**

- dosel, 465
- fibras transversas, 470

Exploraciones pelvis, 397**F****Falange, 524**

- cuarta, radiografía base, 457
- distal, 456, 471
 - dedo
 - anular, radiografía, 457
 - gordo, 537
 - pulgar, radiografía, 457
 - inervación nervio cubital, 476
 - sección transversal, 471
- dorso, 523
- media, 456, 471, 523
 - inervación nervio cubital, 476
 - radiografía, 457
- proximal, 456, 523
 - dedo gordo, 537
 - radiografía, 457
- tuberosidad, 523
- visión plantar, 523

Faringe

- arterias, 69
- drenaje linfático, 73
- inervación aferente, 62
- músculos
 - sección media (sagital), 65
 - visión
 - lateral, 68
 - posterior parcialmente abierta, 67
- nervios, 62
- nódulos y vasos linfáticos, 73
- pared posterior, 51
- sección media, 63
- venas, 71
- visión posterior, 75
 - abierta, 66

Fascia

- aductor pulgar, 460

antebraquial posterior, engrosamiento, 468

axilar, 428

fenestrada, 428

porción anterior, 428

braquial, 428

bucofaríngea, 60, 63, 65

cervical

lámina

pretraqueal, 28

revestimiento, 26, 28

músculos, 188

clavipectoral, 188, 428

músculo

pectoral menor, 188

subclavio, 188

cremastérica, 250, 261, 390

cribiforme, 546

hiato safeno, 249

cuadrado lumbar, 179

dartos, 390

de Buck. V. *Fascia profunda (de Buck)*.

de Camper, 348, 361, 378

de Colles. V. *Fascia perineal superficial (de Colles)*

de Denonvilliers. V. *Fascia*

rectoprostática (de Denonvilliers)

de Gerota. V. *Fascia renal de Gerota*

de Scarpa, 348, 361, 378

inserción, 380

de Sibson, 230

deltoides, 26

diafragmática, 342

inferior, 348, 349

dorsal ancho, 428

endopélvica, 364

paravesical, 366

escrotal, 249

superficial, 395

espermática, 249-250, 259, 261

externa, 249, 250, 251, 257, 259, 260,

261, 361, 380, 390, 405

interna, 251, 261, 390

origen, 260, 261

extraperitoneal, 252, 261, 412

faringobasilar, 52, 73

infradiafragmática, 236

infracapular, 174, 177, 424

infrahioidea, 28

infrahioideo, 428

interósea

dorsal, 462

palmar, 462

lata, 250, 500, 544

inserción lámina Scarpa, 249

obturador, 356, 369, 379, 402, 411

interno, 364, 392, 402, 411

obturador interno, 365

órbita y globo ocular, 83

parotídea, 26

pectoral, 182, 428

láminas superficial y profunda, 428

menor, 428

pélvica, 372

pene, 249

perineal, 356

profunda, 355, 361, 370, 378,

381-383, 391, 396, 404-405

transversa, 384

superficial (de Colles), 358, 361, 366,

370, 378, 380, 411

inserción, 380

pierna, 522, 546

plantar

lateral, 532

medial, 532

presacra, 348, 364, 396

pretraqueal, 63

lámina visceral, 202

prevertebral, 60, 63, 65

profunda (de Buck), 249-250, 253, 348,

380-383, 396, 401, 403, 405

tabique intercavernoso, 382, 385

psoas mayor, 342

pubocervical, 372

porción

distal, 372

horizontal, 372

rectal, 348, 364, 378, 384, 391, 392,

393, 394, 396

rectoprostática (de Denonvilliers), 348,

359, 361, 386, 391, 396

rectovesical, 384, 391, 396

renal (de Gerota), 339, 342, 347

lámina

anterior, 179

posterior, 179, 342

sección

sagital, 342

transversal, 342

revestimiento

pectoral menor, 428

subclavio, 428

serrato anterior, 428

subclavio, 428

subserosa, 412

superficial, 390

supradiafragmática, 236

temporal, 26, 54

lámina

profunda, 54

superficial, 54

toracolumbar, 174-177, 330

láminas, 179

anterior, 176, 179

media, 179

posterior, 176, 179, 330

transversal, 179, 252, 259, 261, 331

umbilical prevesical, 251, 252, 260, 348,

364, 365

uterina, 364

uterovaginal, 369, 370, 378

vaginal, 391

vesical, 348, 361, 366, 369, 391, 396

Fascículo

atrioventricular, 225

cuneiforme, 114

de His, 225

grácil, 114, 115

longitudinal

dorsal, 147

medial, 113

mamilotalámico, 147

Fauces, 64**Fémur, 489, 511**

agujero nutricio, 489

arteria nutricia, 504

cabeza, 376, 487, 489

Fémur (cont.)

- arterias, 504
- fosita ligamento, 489
- radiografía, 355
 - anteroposterior, 488
- cápsula fibrosa, 489
- cara
 - poplítea, 489, 511
 - rotuliana, 489
- cóndilo
 - lateral, 489, 493, 510
 - medial, 489
 - inserción músculo aductor mayor, 493
 - tubérculo aductor, 493
- cresta intertrocantérea, 489
- cuello, 376
- cuerpo, 489, 496
- epicóndilo lateral, 489
- espolón, 489
- fosa intercondílea, 489
- ligamento cabeza, 487, 489
- línea
 - áspera, 489
 - pectínea, 489
- niño, 504
- radiografía, 355, 510
 - anteroposterior, 488
- trocánter
 - mayor, 152, 489, 493
 - menor, 263, 489
- tubérculo aductor, 489
- tuberosidad glútea, 489
- visión
 - anterior, 489
 - posterior, 489

Fibras

- aferentes, bulbo olfatorio, 119
- eferentes, bulbo olfatorio, 119
- fasciales vesicocervicales, 364
- intercolumnares, 249, 259
- músculo prerrectal (de Luschka), 359
- parasimpáticas
 - posganglionares, 44
 - preganglionares, 44
- Purkinje, 225
- ramos subendocárdicos, 225
- simpáticas
 - posganglionares, 346
 - ganglio ciliar, 132
 - innervación
 - órgano reproductor femenino, 415
 - órgano reproductor masculino, 416
 - vejiga urinaria y uréter inferior, 417
 - preganglionares, 346
 - ganglio ciliar, 132
 - innervación
 - órgano reproductor femenino, 415
 - órgano reproductor masculino, 416
 - vejiga urinaria y uréter inferior, 417
- vagales, 126
- zonulares, 87, 88, 89, 90

Filtro, 1**Filum terminal**

- externo, 160, 161
- interno, 160, 161

Fimbria hipocampo, 119**Fisura**

- cerebral
 - anterior, 143
 - longitudinal, 107, 143, 145
- oblicua, 198
 - externa, 188, 331
 - interna, 188, 189
 - pulmón izquierdo, 244
- orbitaria
 - inferior, 14, 83
 - superior, 83
- petroescamosa, 12
- petrotimpánica, 11
- pterigomaxilar, 4
- retrotonsilar, 113
- secundaria, 113

Flanco

- derecho, 268
- izquierdo, 268

Flexura

- cólica
 - derecha, 269, 288, 297
 - izquierda, 126, 269, 270, 271, 272, 275, 278, 284, 288, 298, 347
- duodenal
 - inferior, 279
 - superior, 279
- duodenoyeyunal, 270, 279, 342
- esplénica. V. también *Flexura cólica izquierda*
- hepática. V. *Flexura cólica derecha*
- perineal, 376

Flóculo, 113**Folículo, 371**

- linfático, 58
- estómago, 276

Folium, 113, 115, 144**Fondo de saco**

- de Morison. V. *Receso hepatorenal (fondo de saco de Morison)*
- rectouterino (de Douglas), 360, 362, 369, 371, 391
- rectovaginal, 348, 361, 391
- uterovesical, 372
- vesicouterino, 372
- vesicovaginal, 362, 365, 391

Fontanela

- anterior, 12
- esfenoidal, 12
- mastoidea, 12
- posterior, 12

Fórnix, 106, 112, 147

- columnas, 106, 110, 111, 112, 145
- conjuntival, 81
 - inferior, 81
 - superior, 81
- cuerpo, 106, 108, 112
- esquema, 112
- pilares, 106, 110, 112, 143
- vaginal, 371
 - porción
 - anterior, 360
 - posterior, 360

Fosa

- acetabular, 376, 487

- grasa, 487
 - sección transversal, 376
- axilar, 243, 244, 245
- clavipectoral, 428
- codo, 418
- coronoidea, 420
- craneal
 - anterior, 9
 - media, 9
 - posterior, 9
 - arterias, 142, 143
 - venas, 144
 - venas posteriores, 144
- digástrica, 15
- duodenal
 - inferior, 270
 - superior, 270
- escafoidea, 93
- faringobasilar, 59
- hipofisaria, 5, 9
 - nacimiento, 50
- iliaca, 352, 353, 363, 486
- incisiva, 10, 14, 52, 56
- infratemporal, 4, 13
- isquioanal, 366, 392
 - comunicación
 - posterior derecha-izquierda, 396
 - preanal derecha-izquierda, 396
 - cuerpo adiposo, 376, 380, 392
 - pus, 396
 - receso
 - anterior, 366, 370, 396
 - posterior, 396
 - tabique fibroso transversal, 392, 394, 395
 - techo, 405
- mandibular, 12, 16
- navicular, 361, 385
- oval, 220, 544
 - limbo, 220
- paraduodenal, 270
- pararectal, 362-363, 369
 - suelo, 392
- paravesical, 369
- piriforme, 233
- poplítea, 512
- pterigoidea, visión posterior, 14
- pterigopalatina, 4, 13, 14, 40, 44, 49
- romboidea mayor, 114
- subescapular, 185
- sublingual, 15
- submandibular, 15
- temporal, hematoma, 101
- triangular, 93
- vestibular, 377
- yugular, 8, 11

Fosita

- anal, 388
- granular, 99, 102
- pterigoidea, 15

Fóvea central, 87, 90**Frenillo, 282**

- arteria, 59
- labio
 - inferior, 51
 - superior, 51
- lengua, 51, 61

Fundus estómago, 293

G

Galea aponeurótica, 26, 102, 178

Gancho, 8, 14, 38, 52

lámina espiral, 95

ptergoides, 4, 38, 46, 52, 55, 64-65, 68

nacimiento, 50

Ganchoso, 452, 455-456, 474

gancho, 442, 452, 454, 456

radiografía, 457

sección coronal, 455

visión

anterior (palmar), 452

posterior (dorsal), 452

Ganglio

aorticorenal, 165, 167, 267, 318, 320, 324, 344-346, 409, 321 322

celíaco, 267

derecho, 318, 320, 323

izquierdo, 318, 320, 323, 410, 415

mesentérico superior, 267

autónomo abdominal, 318

celíaco, 44, 126, 165, 167, 168,

219, 267, 318, 320, 321, 323,

324, 325, 327, 328, 331, 345, 346,

409

cervical

medio, 165

superior, 165, 167

cervicotorácico (estrellado), 13, 130,

165, 209, 226-227, 240

ramos esofágico y nervio recurrente, 240

ciliar, 45, 86, 121-122, 131-132,

165-166, 168

esquema, 132

raíces, 131

nasociliar, 86, 131, 132

oculomotora, 132

parasimpática, 86, 121

sensitiva, 86, 121, 122, 131

simpática, 86, 121, 132

coclear, 124

espinal dorsal, 170

espiral, 96

estrellado. V. *Ganglio cervicotorácico*

frénico, 320, 327

L2, 412

lumbar, 167, 318

mesentérico, 126

inferior, 165, 167, 318, 323, 409

superior, 165, 167, 168, 267, 298, 318,

320, 322, 323, 324, 325, 328, 344,

345, 346, 409

nodoso, 135

núcleos basales, 110

ótico, 55, 122-123, 125, 131, 133-135,

168

esquema, 134

petroso, 131, 135

ptergopalatino, 122-123, 125, 131, 133,

135, 166, 168

esquema, 133

fosa pterigopalatina, 44

ramos ganglionares, 45

renal, 344-345

derecho, 346

izquierdo, 346

sacro, 167, 318

sensitivo nervio espinal, 258, 321, 324, 327

simpático, 409

cervical

medio, 32, 60, 130, 131, 132, 133,

134, 167

superior, 130, 132

ganglio superior, 125, 128, 131,

133-134, 210, 226

torácico, 209

lumbar, 170

torácico, tercero, 240

submandibular, 59, 122-123, 131, 133,

166, 168

esquema, 133

torácico, 167

trigémico, 86, 116, 117, 132, 133, 134, 135

tronco simpático lumbar

inferior, 228

superior, 228

vertebral, 130, 226

vestibular, 95

Genitales, 388

externos, 167

femeninos, 377, 388

homólogos, 388

inervación, 168

masculinos, 388

indiferenciados, 388

internos

femeninos, 389

homólogos, 389

masculinos, 389

nódulos y vasos linfáticos, 406, 407, 408

Glándula(s)

anales, 393

areolar, 182

bulbouretral (de Cowper), 253, 361,

383-384, 389, 417

conducto, 383

orificio, 384, 385

membrana perineal, 348

primordio, 389

de Bartholin. V. *Glándula vestibular*

mayor

de Brunner. V. *Glándulas duodenales*.

de Cowper. V. *Glándula bulbouretral*

(*de Cowper*)

de Meibomio, 81

de Skene. V. *Glándulas parauretrales*

(*de Skene*)

duodenales, 279

gástricas, 276

intestinales, 326

lagrimal, 83, 85-86, 133, 166-168

conductos excretores, 82

porción

orbitaria, 82

palpebral, 82

linguales (glándulas serosas de von

Ebner), 58

mamaria

arterias, 183

capa tejido subcutáneo, 182

disección anterolateral, 182

ligamentos suspensorios, 182

lobulillos, 182

sección sagital, 182

vasos y nódulos linfáticos, 184

palatina, 52, 63, 64

paratiroides, 76

inferior, 75-76

visión lateral derecha, 75, 76

superior, 75, 76

visión superior, 75, 76

parauretrales (de Skene), 389

primordio, 389

parótida, 25-28, 31-32, 55, 125, 134,

166-167

accessoria, 61

sección horizontal, 25

sinapsis adrenérgicas y colinérgicas

serosa, 61

pilórica, 276

pituitaria. V. *Hipófisis*

prepucial, orificio, 382

salivares, 61

lingual, 51

molar, 52

sección

frontal, 51, 60

horizontal, 51, 60

sublingual, 51, 60

submandibular, 51, 60

sebácea, 81

serosas de von Ebner. V. *Glándulas*

linguales (glándulas serosas de von Ebner)

sublingual, 51, 53, 61, 123, 133, 167

mucosa, 61

submandibular, 27-28, 31-32, 53, 123,

133, 166-167

mucosa, 61

serosa, 61

submucosa, 326

sudorípara, 9, 167

suprarrenal, 197, 278, 298-299

arterias y venas, 332, 333

derecha, 197, 297, 329, 346

disección, 346

esquema, 346

disección, 346

in situ, 332

izquierda, 197, 272, 297, 329, 331,

338, 346

nervios, 344, 346

disección, 346

sección transversal, 347

tarsal, 81

orificios, 81

tiroides, 29, 31, 196, 198, 206

cápsula fibrosa, 76

cara articular, 78, 80

istmo, 74

lóbulo

derecho, 74, 75, 76

piramidal, 74

visión

anterior, 74

posterior, 75

uretral, 380, 385

lagunas y orificios, 379

vestibular, 389

mayor, 389, 404

orificio, 377

primordio, 389

Globo

- ocular, 81
- arterias y venas, 85
- coroides, disposición vascular, 91
- tarso, 83
- vascularización, 91
- pálido, 108, 110, 539

Glomérulo, 119, 136

Gónadas, 389

- masculinas, descenso, 386

Grasa

- codo, 438
- epidural, 137, 170
- glándula mamaria, 182
- infrarrotuliana, 507, 508, 511
- orbitaria, imagen axial de RM, 150
- pararrenal, 179, 339
- perirrenal, 179, 339, 342
- planta pie, 532
- retrobulbar, 83
- suprarrotuliana, 511

Gubernáculo, 389, 415

H

Habénula, 110

Haustra, 284

Haz muscular accesorio, 67

Helicotrema, 92, 95, 96

Hélix, 93

- rama, 93

Hematoma

- epidural, 101
- subdural, localización, 101

Hemisferio cerebral

- cara medial, 106
- imagen axial de RM, 150
- imágenes axiales de TC, 150

Hemotórax, tubo drenaje torácico, 190

Hendidura

- interglútea, 152
- nasal, 11
- vulvar, 377

Hernia

- deslizamiento, 236
- discal
 - L4-5, 162
- lumbar, 162
 - abordaje quirúrgico, 161
 - inferior izquierda, 161
 - manifestaciones clínicas, 161
 - nivel y características clínicas, 161
 - postura característica, 161
- S1-2, 162
- inguinal
 - indirecta, 261
 - localización, 261

Hiato

- aductor, 539
- arteria femoral, 512
- anorrectal, 358
- aórtico, 195
- esofágico, 195
- sacro, 157
- safeno, 250, 544
 - fascia cribiforme, 249
- semilunar, 37-38

- nacimiento, 50
- orificios celda etmoidal anterior, 38
- urogenital, 367

Hidátide de Morgagni. V. Apéndice vesiculoso (hidátide de Morgagni)

Hígado, 126, 196-197, 272, 278, 293-294, 297, 331, 339, 342, 347

apéndice fibroso, 287

área, 329

- desnuda, 329, 342

arterias, 300, 301

arteriola

- intrahepática, 291
- periportal, 291
- portal, 291

borde inferior, 268, 275

cápsula fibrosa perivasculosa, 290

cara, 287

- parietal, 289
- visceral, 287, 289

distribución

- conductos, 289
- venosa, 291

estructura, 291

in situ, 288

inervación, 168, 326

lecho, 287

ligamento

- coronario, 274
- falciforme, 255
- redondo, 229, 256, 275, 349
- triangular izquierdo, 274

ligamentos, 287, 312

lóbulo(s), 289

- anatómicos, 289
- caudado, 272, 288
- cuadrado, 275
- derecho, 269, 275, 288
 - imágenes axiales de TC, 350
- izquierdo, 269, 275, 288
- sublobulillares, 290

patrón lobulillar normal, 290

peritoneo visceral, 331

prenatal, 229

proceso papilar, 287

sección

- bajo aumento, 292
 - transversal, 297, 338
- #### segmento(s), 289
- lateral posterior, 289
 - quirúrgicos funcionales, 289

sistema

- vascular, 290
- vasos y conductos intrahepáticos, 290

topografía, 286

variaciones

- arteriales, 305
- forma, 288

venas, 291

centrales, 290

vénula, 291

vías linfáticas, 184

visión

- anterior, 287
- posterior, 287

Himen

- anular, 377
- cribiforme, 377
- tabicado, 377

Hipocampo, 110-112

- álveo, 112
- disección superior, 112
- fimbria, 106, 108, 111, 112

Hipocondrio

- derecho, 268
- izquierdo, 268

Hipófis, 106-107, 147

- arterias y venas, 148
- imagen sagital de RM, 149
- lóbulo

anterior, 140, 147, 148

posterior, 140, 147, 148

silla turca, 37

Hipotálamo, 108, 147, 324

arterias, 148

núcleo

- arqueado, 147
- dorsomedial, 147
- paraventricular, 147
- posterior, 147
- supraóptico, 147
- ventromedial, 147
- parasimpático, 324
- simpático, 324

Histerosalpingografía, útero, 373

Hombro

- articulación, 423
- cápsula, 432
- músculos, 424
- nervios, 429-430
 - cutáneos, 479
 - posterior, 477
- radiografía anteroposterior, 422
- sección coronal, 423
- venas superficiales, 479
- visión
 - anterior, 423, 474, 479
 - lateral, 423
 - posterior, 479

Hoz

- cerebelo, 144
- cerebro 39, 48, 102, 103, 141, 144
- inguinal, 250
 - tendón conjunto, 250, 253, 259, 263

Huesecillos oído, 93

Hueso. V. también huesos específicos

- abdomen, 248
- antebrazo, 439
- base craneo, 9
- cabeza, 2-16
- carpo, 452-453, 456
 - abducción, 453
 - aducción, 453
 - visión
 - anterior (palmar), 452
 - posterior (dorsal), 452
- cavidades nasal y paranasal, nacimiento, 50
- cigomático, 81
- codo, 436
- cuboides, 523-524, 527, 536-537
 - base, 523
 - cara articular, 525
 - cuerpo, 523
 - radiografía, 54
 - surco tendón inserción peroneo largo, 523
 - tuberosidad, 523, 524, 528, 536

Hueso (cont.)

- visión
 - dorsal, 523
 - plantar, 523
 - cuneiforme
 - intermedio, 523, 536
 - lateral, 523, 536
 - radiografía, 54
 - medial, 523, 524, 527, 536
 - visión plantar, 523
 - escafoides, 456
 - área, 439
 - sección coronal, 455
 - tubérculo, 452, 454, 456
 - visión
 - anterior (palmar), 452
 - posterior (dorsal), 452
 - esfenoides, 9, 38
 - agujero
 - espinoso, 8
 - oval, 9
 - ala
 - mayor, 2-5, 8-9, 151
 - cara orbitaria, 2
 - menor, 2-3, 6, 9
 - cara orbitaria, 2
 - apófisis pterigoides, 4, 8, 12, 38
 - lámina
 - lateral, 39
 - medial, 39
 - clivus, 9
 - cresta infratemporal, 4
 - cuerpo, 6, 9, 50
 - espina, 14
 - gancho pterigoides, 6
 - seno esfenoidal, 38
 - surco carotídeo, 9
 - etmoides, 4, 6, 9, 38
 - agujero etmoidal anterior, 12
 - apófisis unciforme, 38
 - concha nasal, 38
 - media, 2
 - crista galli*, 39
 - lámina
 - cribiforme, 37, 38, 39, 119
 - orbitaria, 2, 4, 12
 - perpendicular, 2, 6, 39
 - frontal, 9, 36, 38, 81-82
 - escotadura supraorbitaria, 4, 12
 - espina nasal, 38, 39
 - glabella, 4
 - porción
 - escamosa, 38, 39
 - orbitaria, 2, 9
 - seno, 38, 39
 - grande o capitado, 452-453, 455, 461
 - radiografía, 457
 - sección coronal, 455
 - visión
 - anterior (palmar), 452
 - posterior (dorsal), 452
 - hioides, 27-29, 34, 59-61, 63, 65, 68, 74, 76-77
 - asta
 - mayor, 13, 53, 75
 - menor, 13, 53
 - cuerpo, 13, 53
 - vértice asta mayor, 67, 75
 - lagrimal, 2, 4, 6, 12, 38
 - nacimiento, 46
 - mano, 474
 - maxilar, 47
 - metacarpiano, 456
 - base, 456
 - cabeza, 456
 - cuerpo, 456
 - quinto, 444
 - base, radiografía, 457
 - segundo, 445
 - tercero, 456
 - visión
 - anterior (palmar), 452
 - posterior (dorsal), 452
 - metatarsiano, 523-524, 536
 - base, 523
 - cabeza, 523
 - cuarto, 523
 - cuerpo, 523
 - primero, 523, 524, 537
 - quinto, 523
 - tuberosidad, 523, 530, 535, 536, 537
 - segundo, 523
 - tercero, 523
 - tuberosidad, 523, 524, 537
 - visión plantar, 523
 - miembro inferior, 513, 524
 - nasal, 1-2, 4, 6, 12, 36, 38-39
 - nacimiento, 50
 - navicular, 536-537
 - tuberosidad, 523, 524, 536
 - visión plantar, 523
 - occipital, 4, 7-9, 12
 - agujero
 - magno, 6
 - yugular, 6
 - apófisis yugular, 30
 - clivus, 22
 - cóndilo, 9, 30, 128
 - conducto hipogloso, 6
 - cresta occipital
 - externa, 8
 - interna, 9
 - fosa y conducto condíleos, 8
 - línea nucal
 - inferior, 8
 - superior, 83
 - porción basilar, 6, 8, 9, 22, 30, 37, 38, 39, 52, 65, 66, 67
 - protuberancia occipital
 - externa, 4, 6, 8
 - interna, 9
 - surco seno
 - petroso inferior, 6
 - transverso, 6
 - tubérculo faríngeo, 8, 63
- palatino, 39
 - agujero palatino menor, 39
 - apófisis
 - esfenoidal, 38
 - orbitaria, 2, 38
 - piramidal, 14
 - cresta nasal, 39
 - posterior, 39
 - espina nasal posterior, 38
 - lámina
 - horizontal, 14, 37, 38, 39, 52, 56
 - perpendicular, 38, 39
- mayor, 71
- menor, 71
- nacimiento, 488
- parietal, 2, 4, 6, 8-9
 - eminencia o tuberosidad, 12
- pelvis, 352-353
- pie, 523, 524
- pierna derecha, 513
- piramidal, 456
 - visión
 - anterior (palmar), 452
 - posterior (dorsal), 452
- sesamoideo, 456, 524, 534-537
 - lateral, 523
 - medial, 523
 - visión plantar, 523
- temporal, 9
 - porción
 - escamosa, 9, 97
 - petrosa, 9, 97
- tórax, 185
- trapezoide, 456
 - sección coronal, 455
 - visión
 - anterior (palmar), 452
 - posterior (dorsal), 452

Húmero, 433, 436, 438

- cabeza, 420
 - radiografía anteroposterior, 422
- capítulo, 420, 436
- cóndilos, 420, 436
- cresta supracondílea
 - lateral, 420
 - medial, 420
- cuello
 - anatómico, 420-421
 - radiografía anteroposterior, 422
 - quirúrgico, 420
 - radiografía anteroposterior, 422
- cuerpo, 244, 245
- derecho, cuello quirúrgico, 423
- epicóndilo
 - lateral, 420, 421, 436, 437, 438, 441, 442, 444, 448
 - medial, 420, 421, 432, 433, 437, 440, 442, 444, 445, 446, 447, 476, 477
- fosa
 - coronoidea, 420
 - olécranon, 421, 436, 437
 - radial, 420
- olécranon, 437
- radiografías, 437
 - anteroposterior, 422
- surco
 - intertubercular, 420
 - nervio cubital, 421
 - radial, 421
- tendón común
 - extensor, 421
 - flexor, 421
- tróclea, 420, 437
- tubérculo
 - infraglenoideo, 421
 - intertubercular, 420
 - mayor, 420-421, 423, 432
 - cresta, 420
 - menor, 420, 423
- visión

Húmero (cont.)

anterior, 420
posterior, 421

Íleon, 269, 282, 284, 339, 349

capa muscular
circular, 280, 282
longitudinal, 280, 282
fibras musculares, 282
mucosa, 280
musculatura, 280
nodulillos linfáticos, 280
radiografía bario, 280
serosa, 280
submucosa, 280
terminal, 271, 281, 282, 362, 363

I**Ilión**

ala, 248, 352, 358, 486
cara
articular, 486
glútea, 352
cuerpo, 352, 486
imágenes axiales de TC, 350
línea arqueada, 356
radiografía, 355
anteroposterior, 488

Impresión

cólica, 287
costal, 287
duodenal, 287
esofágica, 287
gástrica, 286
suprarrenal, 287
trigeminal, 9

Infundíbulo, 114, 140, 147, 294

cuello, 114
cuerpo, 114
fondo, 114
trompa uterina, 372

Ingle

derecha, 268
izquierda, 268

Ínsula, 105, 110, 141

circunvoluciones corta y larga, 105

Ínsula

limen, 105, 141
surcos central y circular, 105

Interfase

aracnoides-duramadre, 102
duramadre-cráneo, 102

Intersección tendinosa, 83, 84, 86, 121, 181, 247**Intestino**, 167. V. también *Colon*;

Duodeno; *Mesocolon*; *Visceras*;
Yeyuno

delgado, 126, 269, 322
área, 329
arterias, 306
inervación, 324
mesenterio, 348
mucosa y musculatura, 280
nervios, 322
esquema, 324
nódulos linfáticos, 316
submucosa, 326
vasos linfáticos, 316

venas, 310
grueso
arterias, 307
inervación, 324
mucosa y musculatura, 284
nervios, 323-324
esquema, 324
vasos y nódulos linfáticos, 317
venas, 311
luz, 326
mucosa, 326
músculo
circular, 326
longitudinal, 326
plexo entérico, 325
plexos autónomos intrínsecos, 326
prenatal, 229
relaciones mesenterio, 270, 271

Intumescencia

cervical, 161
lumbar, 161

Iris, 81, 87, 89-90

arterias, 91
círculo arterial
mayor, 88, 90, 91
menor, 88, 90, 91
pliegues, 88
venas, 91

Islotes de Langerhans, 298**Isquion**

cuerpo, 486
radiografía, 355
anteroposterior, 488
rama, 486

L**Laberinto**

membranoso, 95-96
derecho, 95
esquema, 96
orientación craneo, 97
óseo, 95-96
derecho, 95
esquema, 96
proyección superior derecha, 97
ramas comunes, 95
rama membranosa común, 95

Labio

filtro, 51
frenillo, 51
ileocecales, 282
inferior, 51
mayor, 360, 365, 388
menor, 360, 365, 388
superior, 51
tubérculo, 1

Lago lagrimal, 81, 82**Laguna**

lateral (venosa), 99, 100
magna, 385
uretral, 385

Lambda, 7**Lámina**

affixa, 111
cartilago tiroides, 77
borde posterior, 67
cribiforme, 6, 9, 37, 39, 119

orificios, 11
cribosa, 87
cuadrigémina, 115
de Scarpa (membranosa), 249, 380
unión fascia lata, 249
espiral
gancho, 95
ósea, 95, 96
limitante posterior (membrana de Descemet), 88
lumbar, 155
medular
externa, 111
interna, 111
pterigoides
lateral, 13, 47, 55, 68
medial, 52, 55, 64-65
gancho, 13
tectal, 106
terminal, 106, 107, 147
Laringe, 135, 167-168, 210
cartilago, 77
dissección lateral, 78
inervación, 168
músculos intrínsecos, 78
acción, 79
nervios, 80
ramos sensitivos, 80
visión
lateral derecha, 77, 78
media, 77
posterior, 77, 78
superior, 80

Laringofaringe, 63

visión posterior abierta, 66

Lecho ungueal, 471**Lengua**, 37, 39, 59, 125

cripta, 58
cuerpo, 58
dorso, 58
drenaje linfático, 73
estereograma, 58
frenillo, 51
glándulas salivares, 60
gusto anterior, 125
imagen sagital de RM, 149
músculo longitudinal
inferior, 128
superior, 128
músculos, 59-60
intrínsecos, 128
vertical y transverso, 60
posterior, 125
raíz, 58, 235
sección
frontal, 60
horizontal, 60
vasos y nódulos linfáticos, 73
vértice, 58
visión lateral, 59

Lente, 81, 88, 90

cápsula, 87, 88
córtex, 87, 88
ecuador, 87, 88
eje, 88, 89
estructuras soporte, 88, 89
imagen axial de RM, 150
ligamento suspensorio, 87, 88
núcleo, 88, 89

Leptomeninges, 170**Ligamento(s)**

- acromioclavicular, 423
- alar, 22
- amarillo, punción lumbar, 162
- amarillos, 21
- ancho, 389
 - lámina
 - anterior, 372
 - posterior, 372
 - mesometrio, 371
 - mesosálpinx, 369
 - subdivisiones y contenido, 372
 - uréter femenino, 340
 - útero, 360, 362
- anular
 - radio, 438
 - tráquea, 202
- apical diente, 63, 65
- arqueado
 - lateral, 195, 263
 - medial, 195, 263
 - medio, 195, 263
 - metafisario, 455
 - radial dorsal, 455
- arterioso, 206, 212, 221, 229, 231
 - nódulo, 208
 - prenatal, 229
- astragalocalcáneo interóseo, 527
- astragaloperoneo
 - anterior, 514
 - posterior, 514
- bifurcado, 527
- calcaneocuboideo, 527, 536
 - dorsal, 527
 - plantar, 528
- calcaneometatarsiano, 532
- calcaneonavicular, 527
 - plantar, 527, 528, 536
- calcaneoperoneo, 514, 525, 527
- capitoganchoso, 454, 455
- capsular, 423
 - hombro, 423
- cardinal, 360, 364, 370, 371, 372, 373
- carpiano palmar, 446, 447, 454, 460
- carpo, 454, 455
- carpometa carpiano
 - dorsal, 455
 - palmar, 454
- carpopiramidal, 454
- coccigeo, 160, 161
- codo, 438
- colateral, 509
 - cubital, 438
 - peroneo, 493, 499, 506-507
 - bolsa subtendinosa inferior, 511
 - radial, 438, 454, 455
 - tibial, 493, 514, 511
- conoideo, 423, 425
 - inserción, 419
- coracoacromial, 423, 425, 426, 430
- coracoclavicular, 423
- coracohumeral, 423
- coronario
 - área desnuda hígado, 348
 - hígado, 287
 - porción hepatorenal, 287
- costoclavicular, 186, 419
 - inserción, 419
- costocoracoideo, 188, 428
- craneocervicales
 - externos, visión
 - anterior, 21
 - lateral derecha, 21
 - posterior, 21
 - internos, 22
- cricotiroideo
 - lateral, 77
 - medio, 74, 77, 202
- cruzado, 22, 507, 509
 - anterior, 508-509, 514
 - inserción, 508
 - origen, 514
- banda longitudinal
 - inferior, 22
 - superior, 22
 - posterior, 514
 - inserción, 514
 - transverso, 22
- cubitocapitado, 454
- cubitopiramidal, 40, 454
- cuboideonavicular plantar, 528
- cuneocuboideo dorsal, 527
- cuneonavicular
 - dorsal, 527
 - plantar, 528
- de Bigelow, ligamento en Y, 487, 496
- de Cooper. V. *Ligamento pectíneo (de Cooper)*
- de Gimbernat. V. *Ligamento lagunar (de Gimbernat)*
- de Marshall, 221
- de Poupert. V. *Ligamento inguinal (de Poupert)*
- de Treitz, 270
- dentado, 169, 170
- diafragmático, 389
- escafocapitado, 454
- escafolunar, 455
- escafortrapeciotrapezoideo, 454
- escrotal, 389
- esfenomandibular, 40, 55
- espiral, 96
- esplenorrenal, 272, 299, 329
 - vasos esplénicos, 331
- esternoclavicular, anterior, 419
- esternocostal, 186
 - intraarticular, 186
 - radiado, 186, 419
- estilohioideo, 13, 59, 64, 65, 68
- estilomandibular, 15
- falciforme, 252, 269, 274-275, 305, 312, 331, 349
 - hígado, 305
 - rama, 255
- frenocólico, 272
- frenoesofágico, 236
- fundiforme, 249
 - pene, 361
- gastrocólico, 272
- gastroesplénico, 272-273, 299, 331
 - vasos gástricos cortos, 299
- gastrofrénico, 272, 329
- glenohumeral
 - inferior, 423
 - superior, 423
- hepatoduodenal, 272, 275, 278, 297
- hepatogástrico, 302
- hioepiglótico, 63, 77
- humeral transverso, 423
- iliofemoral, 487, 496
- iliolumbar, 330, 353
- inguinal (de Poupert), 247, 249-250, 259, 263, 351, 356, 378, 380-381, 407, 485, 492, 498, 500-501, 544, 546
 - reflejado, 250, 251, 259
- interarticular, 187
- intercarpiano, 455
 - interóseo, 455
- interclavicular, 186, 419
- intercuneiforme dorsal, 527
- interespinoso
 - lumbar, 176
 - lumbosacro, 177
- interfalángicos, 458
- intertransverso, 187
- intraarticular, 187
- isquiofemoral, 487
- lagunar (de Gimbernat), 250, 251, 259, 263, 546
- longitudinal
 - anterior, 63, 65, 179, 187, 263, 331, 348, 349, 353, 362, 363
 - posterior, 22
- lumbocostal, 330
- lunopiramidal, 454
- meniscofemoral posterior, 508, 509
- metacarpiano
 - dorsal, 455
 - palmar, 465
 - transverso
 - profundo, 465
 - superficial, 480
- metacarpofalángico, 458
- metatarsiano
 - dorsal, 536
 - plantar, 528, 536
 - transverso
 - profundo, 536
 - superficial, 532
- nucal, 21, 152
- palmar, 471
- palpebral
 - lateral, 81
 - medial, 81, 83
- pectíneo (de Cooper), 88, 188, 250, 251, 259, 262, 263
- pelvis, 352-353, 372
- pie, visión plantar, 528
- piramidocapitado, 454,
- piramidoganchoso, 454, 455
- plantar, 536
 - corto, 527
 - largo, 528, 536
- poplíteo
 - arqueado, 508, 511
 - oblicuo, 508, 511
- púbico, inferior, 248, 356, 359, 360, 364, 365, 378, 383
- pubofemoral, 487
- puboprostático, lateral, 366
- pubovesical
 - lateral, 364, 365
 - medial, 364, 365
- pulmonar, 199, 208, 230, 231

Ligamento(s) (cont.)

radiado, 187
 esternocostal, 186
 radiocapitado, 454
 radiocarpiano
 dorsal, 455
 palmar, 454
 porción
 radiocapitada, 454
 radioescafolunar, 454
 radiocubital
 dorsal, 455
 palmar, 454
 radioescafofocapitado, 454
 radiolunar
 corto, 454
 largo, 454
 palmar, 454
 rectoanal, 259
 rectouterino (uterosacro), 360, 369, 371, 372, 373
 redondo, 229, 288, 349, 372
 fisura, 287
 hígado, 288, 312
 prenatal, 229
 útero, 389
 rotuliano, 485, 489, 492, 493, 494, 508, 509, 511, 514, 520, 521
 sacroespinoso, 352, 353, 357, 359, 410, 495, 503
 sacrotuberoso, 357, 376, 379, 395, 402, 410, 411, 495, 502, 503
 sacrouterino, 364
 supraespinoso, 179
 tarsometatarsiano, dorsal, 536
 tibioperoneo
 anterior, 514
 posterior, 514
 tiroepiglótico, 77
 tobillo, 527
 transverso
 acetábulo, 352, 487
 carpo. V. *Retináculo flexor*
 periné, 356, 358, 361, 364, 380, 383, 405
 superior escápula, 423, 425, 427
 trapeciocapitado, 454, 455
 trapeciotrapezoideo, 455
 trapezoidal, 423
 umbilical
 medial, 229, 259, 341, 401, 402, 403
 medio, 340, 364, 365, 400, 403, 409
 venoso, 229
 fisura, 287
 prenatal, 229
 vísceras y pared abdominal, 348
 vocal, 77-78
 abducción, 79
 acortamiento, 79
 aducción, 79
 alargamiento, 79

Limbo corneal, 81

Limen
 insula, 141
 nasi, 37

Línea
 alba, 181, 188, 247, 249-250, 258-259, 331

imágenes axiales de TC, 350
 anocutánea, 392, 393, 394
 anorrectal, 393
 arqueada, 248, 251, 255, 259, 279, 348, 352, 353, 356, 486
 áspera, 489
 glútea
 anterior, 352, 486
 inferior derecha, 352, 486
 superior, 265, 311
 iliopectínea, 353, 392
 porción
 ilíaca, 358
 púbica, 358
 intertrocantérea, 487, 489
 medioclavicular, 268
 derecha, 268
 izquierda, 268
 milohioidea, 15
 nugal
 craneo, 174, 175, 176
 inferior, 14
 pectínea, 248, 263, 352, 353, 393, 486, 489, 505, 538
 semilunar, 247
 derecha, 268
 izquierda, 268
 sóleo, 513
 terminal, 157, 353, 364, 370
 zig-zag (Z), 236

Linfáticos, vasos colectores

apicales, 73
 basales, 73
 centrales, 73
 marginales, 73

Língula, 15, 113, 115, 144, 199

bronquios, 202

Líquido cefalorraquídeo o

cerebroespinal, circulación, 109

Lobulillo

cuadrangular, 113
 oreja, 1
 paracentral, 106
 parietal
 inferior, 105
 superior, 105
 semilunar
 inferior, 113
 posterior, 113

Lóbulo

floculonodular, 113
 frontal, 105
 occipital, 105
 proyección, 120
 parietal, 105
 piriforme, 119
 temporal, 105, 107, 141
 hematoma, 101
 hernia, 101
 imagen axial de RM, 150

Locus ceruleus, 115**Lúnula**, 223**Luz**, 326**M****Mácula**, 90

fóvea central, 90

Maléolo, 92

lateral, 485, 513-514, 520-521, 530-531
 cara articular, 513, 514
 radiografía, 54
 medial, 485, 513-514, 517-519, 530-531
 cara articular, 514
 radiografía, 526
 red arterial, 520

Mandíbula, 15

adulto, visión
 posterior izquierda, 15
 superior anterolateral, 15
 ángulo, 15
 apófisis
 condilar, 15
 coronoides, 15
 inserción músculo temporal, 54
 base, 15
 cabeza, 15
 cerrada, 16
 cuello, 15
 cuerpo, 15, 27
 espinas mentonianas, 15
 fosita pterigoidea, 15
 lactante, 15
 ligeramente abierta, 16
 línea oblicua, 15
 língula, 15
 muy abierta, 16
 niño, 15
 persona anciana, 15
 porción alveolar, 15
 protuberancia mentoniana, 15
 rama, 15, 25, 27
 tubérculo mentoniano, 15

Mano

abducción, 453
 aducción, 453
 anatomía superficie, 418
 arterias y nervios. visión palmar, 466, 484
 bolsas, 462
 disECCIÓN
 dorsal
 profunda, 469
 superficial, 468
 palmar
 profunda, 460
 superficial, 459-460
 radial, superficial, 467
 dorso, 483
 vasos linfáticos, 483
 espacios, 462
 y vainas, 462
 extensión, 453
 fascia dorsal, 462
 flexión, 453
 huesos, 456
 inervación cutánea, 472, 476
 músculos, 465
 intrínsecos, 465
 nervios, visión palmar, 466
 palma, 453
 posición anatómica, 453
 radiografía anteroposterior, 457
 red venosa dorsal, 468, 483
 surco
 digital, 418
 medio, 418

- Mano** (*cont.*)
 proximal, 418
 longitudinal radial, 418
 palmar proximal, 418
 tabique entre espacios, 462
 vainas tendinosas, 462
 vasos linfáticos
 dorso, 483
 red, 483
 vía linfática, 468
 visión
 anterior, 460
 (palmar), 459, 465, 472
 posterior (dorsal), 465, 472
- Manubrio**, 186, 198, 243, 244, 419
- Martillo**, 96
 apófisis
 anterior, 93
 lateral, 93
 cabeza, 92, 93, 124
 cuello, 93
 ligamento superior, 93
 manubrio, 93
 visión lateral, 93
- Matriz ungueal**, 471
- Maxilar**, 2, 6, 38
 agujero infraorbitario, 2, 4, 12
 apófisis
 alveolar, 2, 4, 6, 13, 38, 48
 cigomática, 2, 8
 frontal, 2, 4, 36, 38, 81
 palatina, 5, 6, 8, 14, 37, 38, 52, 56
 cara
 infratemporal, 4
 nasal, 6
 orbitaria, 2
 conducto incisivo, 6, 38, 40
 espina nasal anterior, 2, 4, 6, 36, 38
 fosa incisiva, 8
 nacimiento, 50
 seno maxilar, 50
 sutura palatina media, 8
 tuberosidad, 4, 14
- Meato nasal**
 atrio medio, 37
 inferior, 37, 82
 abierto, 50
 medio, 37
 abierto, 49
 atrio, 37
 superior, 37, 50
- Mediastino**
 área pulmón anterior, 194
 cuerpo adiposo, 231
 sección transversal, 241
 superior, grandes vasos, 206
 visión lateral
 derecha, 230
 izquierda, 231
- Médula**
 espinal, 243-244
 arterias, 171
 distribución intrínseca, 172
 conducto central, 108, 109
 esquema, 167, 346
 fibras
 ascendentes, 416
 descendentes, 416
 imágenes
 axiales de TC, 242
 sagital de RM, 149
 in situ, 160
 porción torácica, 132
 sacra, 324
 torácica, 134, 210, 327, 328
 toracolumbar, 324
 tractos descendentes, 108
 venas, 173
 oblongada, 11, 106, 124, 134-135, 168, 324, 345
 capa nuclear, 113,
 imagen
 axial de RM, 150
 sagital de RM, 149
 porción inferior, 135
 sección transversal, 124
 renal, 336-337
 fibras preganglionares, 346
- Membrana**
 basilar, 96
 costocoracoidea, 428
 de Descemet. V. *Lámina limitante posterior (membrana de Descemet)*
 espinales, 169
 fibroelásticas, 234
 intercostal
 externa, 180, 189, 192, 258
 interna, 180, 192, 230, 258
 interósea, 439, 441, 443, 444, 454, 455, 511, 512, 517, 518, 520, 522, 525
 obturatriz, 263, 352, 370, 487
 perineal, 263, 358, 365-366, 380-381, 383, 391, 404-405, 411, 413
 izquierda, 354
 sinovial, 423, 471
 articulación cadera, 487
 inserción fémur, 511
 suprapleural, 230
 cervical, 231
 tectoria, 22, 96
 porción profunda, 22
 timpánica, 92-93, 96
 derecha, 93
 tirohioidea, 29, 74, 77, 235
 vestibular, 96
- Meninges**, 10, 136
 arterias, 99, 136
 espinales, 102, 324, 325
 inervación, 325
 venas, 99
 superficiales, 102
- Menisco**, 455
 lateral, 507-509, 511
 cuernos o astas, 508
 medial, 507-509
 cuernos o astas, 508
- Mesencéfalo**, imagen
 axial de RM, 150
 sagital de RM, 149
- Mesenterio**
 íleon, 280
 intestino delgado, 349
 láminas peritoneales, 326
 raíz, 270, 274, 278, 296, 298, 310, 340, 362-363
 vena mesentérica superior, 310
 yeyuno, 280
- Mesoapéndice**, 281, 283, 322
- Mesocolon**
 sigmoide, 271, 284, 307, 329, 340
 unión, 274
 transverso, 269-273, 278, 284, 307
 unión, 298, 299
- Mesometrio**, 371
- Mesoovario**, 370
 láminas, 372
- Mesosálpinx**, 369
 láminas, 372
- Metáfisis, rama arteria nutricia**, 471
- Mielencéfalo**, 423. V. también *Médula oblongada*
- Miembro**
 inferior. V. también *Pierna*
 anatomía de superficie, 485
 arterias, 500-502, 504
 dermatomas, 543
 inervación
 cutánea, 487-489
 segmentaria, movimientos, 543
 músculos, 490-503
 nervios y venas superficiales, 544
 visión
 anterior, 545
 posterior, 545
 neurovasculatura, 538-546
 nódulos y vasos linfáticos, 546
 superior. V. también *Brazo*
 anatomía de superficie, 418
 arterias, 473
 tomografía computarizada, 484
 nervios, 473
 nódulos linfáticos, 483
 vasos linfáticos, 483
 visión
 anterior, 418, 473
 posterior, 418
- Miometrio**, 371
- Modiolo cóclea**, 96
- Mucosa**
 intestinal, 279, 280
 olfatoria, 119
- Muscular mucosa**, 276
 recto y conducto anal, 394
- Musculatura anorrectal**, 394
- Músculo(s)**
 abdomen
 aponeurosis, 255, 330
 recto, 181, 188-189, 192, 247, 250-251, 258, 293, 349, 351, 378
 imagen axial de TC, 350
 rama
 capsular, 355
 pélvica, 335
 sección transversal, 252
 vaina, 189
 transverso, 25, 94, 96, 179, 189, 255, 257-258, 263, 267, 329, 363, 498
 aponeurosis, 252, 330, 349
 tendón origen, 175, 176, 179
 abdutor
 corto pulgar, 461, 465
 dedo
 gordo, 533-535, 541
 inserción, 534, 536
 meñique o dedo pequeño, 465, 470, 476, 533-534, 536, 541
 nervio, 534

Músculo(s) (cont.)

- tendón, 533
- largo pulgar, 441, 444, 449, 451
 - área, 439
- acintado, 118
- aductor
 - corto, 489, 493, 539
 - inserciones, 489, 491
 - del dedo gordo, 541
 - cabeza
 - oblicua, 535
 - transversa, 535
 - inserción, 536
 - ramo profundo nervio tibial, 541
 - largo, 376, 489, 492-493, 500, 505, 539
 - inervación, 540
 - inserciones, 489, 491
 - sección transversal, 521
 - mayor, 485, 489, 495, 500, 502, 505, 540
 - aductor mínimo, 493
 - hiato, 493
 - inervación, 540
 - inserciones, 489, 491
 - tendón, 493
 - pulgar, 462, 465, 476, 535
 - fascia, 460, 462
- aductores muslo, 496
- ancóneo, 432, 444-445, 477
 - nervio, 432
 - origen, 421
- anorrectal, 394
- antebrazo, 440, 441, 446, 447, 448
- apéndice vermiforme, 283
- aritenopiglotico, 78, 80
- aritenoides
 - oblicuo, 67, 78, 79, 80, 235
 - transverso, 63, 78-80, 235
 - acción, 79
- articular rodilla, 505, 507, 511, 538
 - inserción, 489
- auricular
 - anterior, 26
 - posterior, 26
 - ramos nervio facial, 123
 - superior, 26
- biceps
 - braquial, 181, 418, 420, 429
 - cabeza
 - corta, 424, 428, 430, 433, 434, 435, 474
 - corta, combinación, 244
 - corta, origen, 420
 - larga, 424, 426, 428, 433, 435, 474
 - larga, origen, 420
 - larga, tendón, 243, 244, 245
 - fascia, 428
 - inserción, 420
 - tendón, 425, 432-433, 438, 446-447
 - cabeza corta, 430
 - cabeza larga, 423, 425, 430
 - femoral, 485, 489, 495, 503, 515
 - cabeza
 - corta, 488, 494, 495, 540
 - corta, inserciones, 491
 - larga, 485, 494, 495, 540
 - larga, inserciones, 491
 - inserciones, 489, 515
 - nervio, 499, 503
 - lumbar, 176, 179, 263, 267, 329, 342, 496, 498
 - área, 330
 - fascia, 179
 - plantar, 534, 535, 541
- cuádriceps femoral, 538
 - inserción, 490
 - ligamento rotuliano, 515
- cuello
 - nervios, 129
 - visión
 - anterior, 28
 - lateral, 27
- deltoides, 152, 174, 177, 188-189, 243-245, 423, 428-429
 - inserción, 420, 421
 - origen, 419, 420
- depresor
 - ángulo boca, 54
 - labio inferior, 26, 54, 123
 - tabique nasal, 36, 123
- digástrico, 29, 123
 - tendón intermedio, 59
 - asa fibrosa, 59
 - transparencia, 34
 - vientre
 - anterior, 27, 28, 29, 31, 32, 34, 46, 53, 61, 68
 - posterior, 27-29, 32, 34, 40, 59, 73
 - nervio, 25
- dilatador pupila, 88, 121
- dorsal ancho, 152, 174, 177, 179-181, 188, 246, 249-250, 258, 293, 424, 428, 433
 - fascia, 428
 - fascículo origen, 421
 - inserción, 420
 - origen costal, digitaciones, 254
- dorso, 174-176
 - pie, 530
 - plano
 - intermedio, 175
 - profundo, 176
 - superficial, 174
- duodeno, 279
- elevador
 - ángulo boca, 54, 123
 - ano, 263, 284, 312
 - arco tendinoso, 263, 356, 357, 358, 359, 364, 365, 370, 379, 392
 - borde medial, 359
 - extensiones fibromusculares, 359
 - fibras músculo longitudinal
 - conducto anal, 358
 - izquierdo, 356
 - lámina elevador, 356, 357
 - músculos prerrectales, 359
 - nervios, 267, 499
 - porción puborrectal, 391
 - costillas, 176
 - corto, 176
 - largo, 176
 - escápula, 27, 32, 174, 177, 189, 424, 427, 477
 - inserción, 421
 - nervios, 129
 - labio superior, 26, 54, 123
- larga, inserciones, 491
- inserciones, 489, 515
- tendón, 506, 511, 514, 517, 520, 542
 - bolsa, 511
 - cabeza larga, 353
 - subtendinoso inferior, 506, 507
- braquial, 420, 429-430, 433, 435, 446-448
 - inserción, 420, 438
 - origen, 420, 421
- braquiorradial, 418, 433, 444, 446, 447
- brazo, visión
 - anterior, 430
 - posterior, 432
- buccinador, 15, 26, 48, 52, 54, 55, 60, 65, 68, 123
- bulboespajoso, 358, 366, 370, 380, 381, 383, 404, 405, 417
- cadera y muslo, 492-493
 - visión
 - lateral, 494
 - posterior, 495
- cara, 123
- cigomático
 - mayor, 26, 54, 123
 - menor, 26, 54, 123
- ciliar, 87, 118, 121, 132
 - fibras
 - circulares, 88
 - meridionales, 88
- circular, 326
- coccígeo (isquiococcígeo), 263, 358, 359, 398, 402, 410, 411, 412
- compresor uretra, 367, 370, 404
 - femenina, 356,
- constrictor faringe
 - inferior, 27, 75-76, 80, 126, 233-234
 - porción cricofaríngea, 233, 234
 - medio, 27, 59, 75, 126, 235
 - porción glosofaríngea, 59
 - superior, 40, 52, 55, 59, 69, 75, 126, 235
 - porción glosofaríngea, 59, 65
- coracobraquial, 244-245, 429-430, 433, 435, 474
 - fascia, 428
 - inserción, 420
 - origen, 420
- corrugador
 - ceja, 25, 36, 123
 - piel ano, 393
- cremáster, 250-251, 259, 261, 390
 - origen
 - lateral, 259
 - medial, 259
- cricoaritenoides
 - lateral, 78, 80
 - acción, 78, 79
 - posterior, 78, 80, 235
 - acción, 79
- cricofaríngeo, 75, 76, 80, 233, 234, 235
- cricotiroideo, 126
 - acción, 79
 - porción
 - oblicua, 79
 - recta, 79
- cuadrado
 - femoral, 492-493, 495, 503, 511, 538

Músculo(s) (cont.)

- y ala nariz, 26, 54, 123
- párpado superior, 81, 83-84, 86, 121
 - imágenes coronales de TC, 151
 - inserción, 81
 - vaina fascial, 83
- velo paladar, 47, 51, 55, 64-65, 67-68, 93, 126
 - fibras interdigitadas, 52
- epicraneano, vientre
 - frontal, 26
 - occipital, 26
- erector
 - columna, 152, 174, 175, 179, 180, 192, 243, 258, 293, 330, 331, 349
 - fóliculo piloso, 167
- escaleno
 - anterior, 27, 30, 32, 74, 186, 189, 193, 198, 206, 211, 230, 427, 429
 - fascículos origen, 30
 - medio, 27, 30, 32, 69-70, 186, 189
 - nervios, 129
 - posterior, 27, 30, 186, 189, 232
 - fascículos origen, 30
- esfínter
 - ano
 - externo, 356, 358, 360, 365
 - porción profunda, 394, 395, 396
 - porción superficial, 391, 393, 395, 396
 - subcutáneo, 391, 393, 395, 396
 - visión periférica, 395
 - interno, 393, 394
 - externo, 367
 - interno, 367
 - pupila, 132
 - uretra, 356, 359, 361, 365, 366, 378, 379, 383, 384, 385, 403, 416
 - uretrovaginal, 366, 370, 378, 379
- esofágico, 202
 - circular, 75, 235, 236
 - longitudinal, 75, 235-236
 - tendón cricoesofágico, 235
- espinoso, 175, 331
 - cuello, 175
 - tórax, 175
- esplenio, 27
 - cabeza, 174-175, 178, 424
 - triángulo posterior cuello, 178
 - cuello, 175, 178
- estapedio
 - nervio, 123
 - tendón, 93
- esternal, inconstante, 188
- esternocleidomastoideo, 27, 31-32, 34, 73-74, 127, 129, 174, 178, 188, 198, 247, 419, 424, 429
 - borde medial, 74
 - cabeza
 - clavicular, 27, 28, 181, 247
 - esternal, 27, 28, 181, 247
 - nervio accesorio, 127
 - origen, 419
- esternohioideo, 27-29, 31-32, 53, 128-129, 189, 198
 - fascia cervical, 188
 - nervio, 71
 - origen, 419
- esternotiroideo, 27-29, 31, 128-129, 198
 - nervio, 71
- estilofaríngeo, 59, 65, 68, 125, 126, 235
- estilogloso, 27, 32, 59, 60, 128
- estiloideo, 27-29, 34, 40, 59-61, 67-68, 123
 - nervio, 25
- estómago, 277
- extensor
 - corto
 - dedo gordo, 520, 530, 542
 - inervación, 542
 - tendón, 519, 531, 536
 - dedos, 520-521, 530-531, 542
 - inervación, 542
 - tendón, 519, 520, 531, 536
 - pulgar, 441, 443-445, 451
 - área, 439
 - tendón, 444, 469
 - cubital carpo, 418, 420, 432, 441, 444, 449, 451, 477
 - origen cubital, 451, 470
 - tendón, 444, 469, 470
 - dedo meñique, 420, 441, 444, 450-451
 - tendón, 420, 441, 444, 449, 470
 - dedos, 432, 441, 449-450, 477
 - bandas
 - centrales, 451
 - laterales, 451
 - surco, 439
 - tendón, 418, 441, 444, 445, 449, 469, 470, 471
 - índice, 441, 445, 449
 - surco, 439
 - tendón, 418, 441, 444, 469, 470
 - largo
 - dedo gordo, 519-522, 531
 - inervación, 542
 - inserciones, 515
 - tendón, 519, 520, 521, 530, 531, 536
 - tendón, vaina, 530
 - dedos, 494, 519-520, 522, 530-531, 542
 - inserciones, 515
 - tendón, 519, 520, 521, 530, 531, 536, 537
 - tendón, vaina, 530
 - pulgar, 418, 441, 444, 449
 - surco, 439
 - tendón, 418, 444, 462, 468, 469
- radial
 - corto carpo, 418, 420, 444, 477
 - surco, 439
 - tendón, 444, 445, 469, 470
 - tendón, inserción, 420
 - largo carpo, 432, 435, 441, 444-446, 451, 477
 - origen, 439
 - surco, 439
 - tendón, 444, 469, 470
- extraoculares, imagen sagital de RM, 149
- extrínsecos ojo, 84
- faciales, 26, 60, 123
 - visión lateral, 26
- faringe, 65, 67-68
 - visión lateral, 68
- flexor
 - corto
 - dedo gordo, 541
 - cabeza lateral, 533, 535
 - cabeza lateral, inserción, 536
 - cabeza medial, 533, 534, 535
 - cabeza medial, inserción, 536
 - inserción, 536
 - origen medial, 536
 - tendón, cabeza lateral y aductor dedo gordo, 528
 - tendón, origen lateral, 536
 - tendón, origen medial, 528
 - dedos, 533-535
 - tendón, 533, 534, 535
 - meñique o dedo pequeño, 465, 476, 533-534, 536, 541
 - ramo superficial nervio tibial, 541
 - tendón, 528
 - pulgar, 465, 706
 - cabeza profunda, 476
 - cabeza superficial, 476
 - cubital carpo, 418, 420, 444, 446-447, 476
 - origen
 - cubital, 451
 - humeral, 451
 - tendón, 418, 420, 448, 449, 454, 461, 465
 - largo
 - dedo gordo, 541
 - inervación, 541
 - inserción, 515
 - tendón, 516, 517, 518, 528, 533, 534, 535, 536
 - tendón, astrágalo, 523
 - tendón, surco, 523, 524, 525
 - dedos, 515, 535, 541
 - inervación, 541
 - tendón, 513, 516, 517, 528, 533, 534, 535
 - pulgar, 444, 446-450, 474
 - cabeza cubital, origen, 420
 - cabeza superficial, 443, 446
 - tendón, 446, 448, 449, 454
 - tendón, vaina tendinosa, 461, 462
 - vaina sinovial tendinosa, 460
 - vaina tendinosa, 460, 462
 - profundo dedos, 476
 - porción medial, 476
 - tendón, 460
 - radial carpo, 420, 433, 442, 446
 - tendón, 418, 420, 447, 448, 454, 460, 461
 - superficial dedos, 420, 433, 444, 446-451, 474-476
 - cabeza
 - humero-cubital, 420
 - humero-cubital, origen, 420
 - radial, 447, 448, 449, 450, 474
 - tendón, 418, 420, 446, 449, 454, 461, 462, 474
- flexores
 - antebrazo, superficiales, 446
 - carpo, 442
 - dedos, 444
 - pierna

Músculo(s) (cont.)

- profundos, 522
 - superficiales, 522
 - frontal, 36
 - gastrocnemio, 506-507, 516, 519-522, 540-541
 - bolsa
 - subcutánea, 511
 - subtendinosa lateral, 511
 - cabeza
 - lateral, 485, 495, 511, 515-518
 - inserciones, 491, 515
 - medial, 485, 491, 495, 502, 511, 517-518, 522
 - inserciones, 491, 515
 - inervación, 541
 - gemelo
 - inferior, 376, 495, 503
 - inserciones, 489, 491
 - nervio, 503
 - superior, 495, 499, 503
 - inserciones, 489, 491
 - genihioideo, 29, 53, 59, 128, 129
 - geniogloso, 29, 32, 59-60, 128-129
 - origen espina mentoniana superior, 52
 - glúteo
 - mayor, 152, 174, 177, 254, 330, 376, 381-382, 395-396, 410-411, 413, 485, 494-495, 502-504
 - inserciones, 491
 - medio, 152, 376, 492, 496, 500-503
 - aponeurosis glútea, 330, 494, 495
 - inserciones, 491
 - menor, 489, 495-496, 500-503
 - inserciones, 489, 491
 - tendón, 376
 - grácil, 489, 492-493, 495, 500-502, 505-506, 516
 - inervación, 540
 - inserciones, 489, 515
- hiogloso, 27, 34, 53, 60, 74, 77, 128
 - medial vena lingual dorsal, 70
 - hipotenar, 444, 446, 462, 476
 - hombro, 424
 - iliaco, 263, 329, 376, 490, 496, 498-499, 538
 - inserción, 490
 - ramo muscular, 498
 - iliococcígeo, 356, 357, 358, 359, 395
 - iliocostal, 175, 331
 - cuello, 175
 - lumbar, 175
 - tórax, 175
 - iliopsoas, 259, 376, 489, 492-493, 500
 - inserciones, 489, 491, 496
- inervados por nervio
 - femoral, 538
 - obturador, 540
 - infraespinoso, 152, 180, 244-245, 424-425, 427-428, 432
 - fascia, 174
 - inserción, 421
 - origen, 421
 - infrahioideo, 29
 - acción, 29
 - fascia, 28, 428
 - intercostal, 198, 243-245, 331
 - anterior membrana intercostal externa, 189
 - externo, 176, 188, 189, 192, 250, 258
 - interno, 189, 192, 230, 231, 255, 258
 - íntimo, 180, 192, 258
 - ramo
 - cutáneo anterior, 180
 - lateral, 188
 - medial, 188
 - intercostobraquial, 189
 - interespinoso
 - cervical, 176
 - cuello, 176
 - lumbar, 176
 - interóseo, 528
 - dorsal, 462, 465, 470, 476, 531, 536-537
 - primero, 445, 460, 465, 530
 - nervio tibial, 541
 - palmar, 465, 476
 - pie, 536-537
 - dorsal, 536
 - plantar, 535, 537
 - ramo nervio tibial superficial, 541
 - intertransverso lateral, 176
 - intestino
 - delgado, 280
 - grueso, 284
 - intrínseco
 - acción, 79
 - laringe, 78
 - lengua, 128
 - isquiocavernoso, 360-361, 370, 378-379, 381-383, 391, 395, 404-405
 - pilar, 366
 - isquiococcígeo, 263, 356-357, 398, 402, 411-412, 499
 - nervio, 499
 - isquiocondileo, 540
 - largo
 - cabeza, 27, 30
 - nervios, 129
 - cuello, 30
 - laringe, 78
 - lengua, 59, 60
 - longísimo, 175, 331
 - cabeza, 175, 178
 - cuello, 175
 - erector columna, 349
 - tórax, 175
 - longitudinal
 - esófago, inserción cricoidea, 65, 67
 - faringe, 235
 - intestino, 326
 - lengua
 - inferior, 60
 - superior, 60
 - rectal, 393
 - unión, 392, 394
 - rectal, 393
 - lumbrical, 465, 533-534, 536
 - cuarto, 460, 476
 - vaina fascial, 460
 - esquema, 463
 - inervación, 465, 541
 - primero, 541
 - ramo profundo nervio tibial, 541
 - segundo, 460, 541
 - vaina fascial, 460
 - tendones, 535
 - tercero, 460, 476
 - vaina fascial, 460
 - y cuarto, 476, 541
 - vainas fasciales, 460
 - manguito rotador, 425
 - mano, 465
 - masetero, 25, 27-28, 47, 60-61
 - imagen axial
 - de RM, 150
 - de TC, 150
 - inserción, 54
 - porción
 - profunda, 54
 - superficial, 54
 - masticación, 54, 55
 - mentoniano, 26, 54, 123
 - miembro inferior, 485
 - milohioideo, 27-29, 31-32, 34, 53, 59-60
 - nervio, 55, 60
 - rafe medio, 53
 - multífido, 176
 - muslo, 492-495
 - nasal, 123
 - porción
 - alar, 26, 76
 - transversa, 26, 36
 - oblicuo
 - externo abdomen, 174-175, 177, 179, 182, 192, 247, 249-250, 259, 263, 330, 424, 492
 - aponeurosis, 250, 252, 259, 349
 - digitaciones, 254
 - porción
 - aponeurótica, 249
 - muscular, 249
 - sección transversal, 338
 - inferior, 121
 - cabeza, 175, 176, 178
 - interno abdomen
 - aponeurosis, 175, 179, 250, 252, 259, 261, 263, 330, 349
 - tendón origen, 179
 - triángulo lumbar, 174
 - superior, 83-84, 86, 118, 121
 - cabeza, 175, 176, 178
 - obturador
 - externo, 489, 493, 539
 - inserciones, 491
 - interno, 263, 376, 398, 411, 495, 499, 503
 - fascia obturador, 364, 392, 402, 411
 - inserciones, 489, 491
 - nervio, 499, 503
 - occipitofrontal, vientre frontal, 123
 - occipital, 123, 178
 - omohioideo, 29, 31, 34-35, 53, 189, 198, 420, 424, 428-429
 - fascia
 - cervical, 188
 - músculos infrahioideos, 428
 - nervio, 32, 71
 - origen, 420
 - vientre
 - inferior, 1, 27, 29, 31, 32, 128, 129, 427
 - superior, 27, 28, 29, 31, 32, 128
- oponente

Músculo(s) (cont.)

- meñique, 465, 476
- pulgar, 461, 465, 475
- orbicular
 - boca, 26, 36, 54, 81, 123
 - ojo, 123
 - porción
 - orbitaria, 26
 - palpebral, 26
- órbita, 48
- palatofaríngeo, 52, 58, 59, 126, 235
- palatogloso, 52, 58-59, 64, 126
 - arco palatogloso, 60
- palmar
 - corto, 476
 - largo, 442, 446, 448, 450, 475
- papilar
 - anterior, 220, 223-225
 - derecho, 224
 - izquierdo, 224
 - posterior, 220, 223, 225
 - derecho, 224
 - izquierdo, 224
 - septal, 220, 223, 224
- pectinado, 220
- pectíneo, 376, 489, 492-493, 500, 538
 - inserciones, 489, 491
- pectoral, 189
 - mayor, 27-28, 181-182, 188, 192, 198, 243-247, 249-250, 418-419, 428
 - cabeza
 - clavicular, 181
 - esternocostal, 424
 - fascia, 26, 428
 - pectoral, 182
 - inserción, 420
 - origen, 419
 - porción abdominal, 424
 - tendón, 433
 - menor, 198, 243-245, 420, 428, 433
 - fascia, 428
 - clavipectoral, 188
 - inserción, 420
- periné
 - fascia profunda, 356
 - transverso
 - profundo, 356, 360, 361, 381, 383, 404
 - superficial, 356, 380, 381, 382, 391, 404, 405
- peroneo
 - corto, 530-531, 542
 - inervación, 542
 - inserciones, 515
 - tendón, 485, 516, 517, 518, 520, 521, 527, 528, 530, 536
 - largo, 485, 494, 515, 517, 519, 521-522, 542
 - inervación, 542
 - inserciones, 515
 - tendón, 485, 516-518, 520-521, 527-528, 530-531, 536
 - planta pie, 521
 - surco, 524
- pie, 536
- pierna
 - disección
 - intermedia, 517
 - profunda, 516, 520
 - visión posterior, 518
 - superficial, visión
 - anterior, 518, 519
 - posterior, 516
 - inserciones, 515
 - visión
 - anterior, 520
 - lateral, 521
 - posterior, 517
- piramidal, 250, 260
- piriforme, 263, 411, 489-490, 495, 503
 - nervio, 499
- planta pie, capa muscular
 - primera, 533
 - segunda, 534
 - tercera, 535
- plantar, 494-495, 511, 515, 540-541
 - inervación, 541
 - inserciones, 491, 515
- platisma, 26, 28, 60, 124
- poplíteo, 491, 511, 515, 541
 - inserciones, 515, 541
 - nervio, 541
- prevertebral, 30
- prócer, 26, 36, 123
- pronador
 - cuadrado, 40, 448, 449, 450, 465, 475
 - redondo, 420, 433, 440, 446-447
 - cabeza
 - cubital, 350, 420, 447, 448, 475
 - cubital, origen, 420
 - humeral, 420, 447, 450, 474, 475
 - humeral, origen, 420
- psoas, 376, 496
 - imágenes axiales de TC, 350
 - mayor, 179, 267, 278, 329, 339, 342, 492, 498-499
 - área, 330
 - fascia, 179, 342
 - origen, 489, 496
 - porción inferior, 538
 - ramo articular, 538
 - menor, 263, 496
 - origen, 496
 - ramo muscular, 498
- pteroideo
 - lateral, 40, 54-55
 - imagen axial de RM, 150
 - medial, 15, 25, 40, 52, 55
 - nervio, 71
- pubococcígeo, 357, 358, 359, 360
- puborrectal, 356-359, 376, 398
 - izquierdo, 356
- pupila
 - dilatador, 121
 - esfínter, 121
- recto
 - abdomen, 189, 331
 - imágenes sagitales de RM, 397
 - cabeza
 - anterior, 32, 47, 73
 - lateral, 30, 32
 - nervio lateral, 129
 - nervios anterior y lateral, 129
 - posterior
 - mayor, 175, 176, 178
 - menor, 175, 176, 178
- femoral, 376, 485, 489, 491-492, 494, 500, 538
 - inserciones, 490, 491
 - origen, 492
- inferior, 83, 84, 121, 151
- lateral, 83-84, 84, 86, 121, 151
 - imagen axial de RM, 150
 - tendón, 87
- medial, 83
 - imagen axial de RM, 150
- posterior
 - mayor cabeza, 175, 176, 178
 - menor cabeza, 175, 176, 178
 - superior, 83-84, 86, 91, 121
 - tendón, 91
- rectococcígeo, 263
- rectoperineal, 262
- rectouretral superior, 359
- redondo
 - mayor, 152, 174, 177, 180, 244-245, 424, 427-428, 433
 - borde inferior, 434
 - inserción, 420
 - menor, 174, 177, 243, 244, 245, 423, 424, 425, 427, 428
- risorio, 26, 123
- romboides, 244
 - mayor, 174, 177, 180, 192, 243, 245, 424
 - inserción, 421
 - menor, 174, 177, 424, 477
 - inserción, 421
- rotadores cuello
 - corto, 176
 - largo, 176
- salpingofaríngeo, 125
- sartorio, 376, 485, 492, 495, 499-500, 538
 - inserciones, 490, 491, 515
- semiespinoso
 - cabeza, 174-176, 178, 424
 - triángulo posterior cuello, 178
 - cuello, 178
 - tórax, 176
- semimembranoso, 494-495, 540
 - expansión tendinosa, 511
 - inserciones, 491
- semitendinoso, 489, 495, 503, 515, 540
 - inserciones, 489, 491
- serrato
 - anterior, 174, 180-182, 186, 192, 243, 245-247, 249-250, 258, 418, 420, 424
 - digitaciones, 186, 188, 189
 - fascia, 428
 - inserción, 420
 - posterior, 174
 - inferior, 175, 179, 254, 330
 - superior, 174, 175
- sóleo, 506, 516-517, 520-522, 540
 - arco tendinoso, 495, 517
 - inervación, 541
 - inserciones, 515, 517
 - nervio, 516, 517
- subclavio, 186, 189, 230, 419, 428-429
 - fascia, 428
 - clavipectoral, 188
 - inserción, 419
 - nervio, 430
- subcostal, 258

Músculo(s) (cont.)

subescapular, 180, 192, 243-245, 425, 428, 433
 bolsa subtendinosa, 423
 inserción, 420
 origen, 420
 supinador, 420, 440
 inserción, 420
 origen, 420
 supraespinoso, 177, 423, 427-428
 inserción, 420
 origen, 420
 suprahioides, acción, 29
 temporal, 54
 imagen axial de RM, 150
 inserción, 15, 54
 nervios, 122
 tenar, 446, 460
 inervación, 460
 nervio mediano, 476
 tensor
 fascia lata, 485, 492, 494, 503
 inserciones, 491
 origen, 492
 tímpano, 93
 tendón, 93
 velo paladar, 52, 93, 122
 tendón, 52
 tercer peroneo, 530
 inserciones, 515
 tendón, 519, 521, 530, 531, 536
 tibial posterior, 534, 541
 inserción, 515
 tendón, 535, 536
 tiroaritenoides, 78, 79, 80
 tiroepiglótico, 80
 tirohioides, 27, 28, 29, 31, 32, 53, 128, 129
 transverso
 abdomen, 180, 192, 261, 362
 tórax, 180, 189, 192, 194
 transversoespinoso, 243
 trapecio, 27, 29, 127, 129, 152, 174, 177, 180, 188, 192, 244, 246-247, 418-420, 428-429
 inserción, 420
 traqueal, 202
 tríceps braquial, 152, 429, 444, 446
 cabeza
 larga, 152, 243, 244, 418, 420, 424, 427, 433
 lateral, 152, 181, 245, 418, 424, 427
 tendón, 152, 438
 úvula, 52
 vasto
 intermedio, 489, 493, 507, 538
 inserciones, 489, 491
 lateral, 485, 489, 491-494, 500, 507, 538
 inserciones, 489, 491
 medial, 485, 489, 492-493, 500, 538
 inserciones, 489, 491, 538
 nervio, 500
 vocal, 78, 80
 acción, 79
 yugulodigástrico, 73

Muslo

arterias, 500, 501, 512
 inervación cutánea, 538, 540

inserciones óseas, visión
 anterior, 490
 posterior, 491
 músculos, visiones
 anteriores, 491, 493
 laterales, 494
 posteriores, 495
 nervio(s), 500-501, 538, 540
 cutáneo
 anterior, 545
 lateral, 538
 visión
 anterior, 501
 posterior, 502
 secciones transversales seriadas, 505

N**Narina,** 1

anterior, 1
 posterior. V. *Coana*

Nariz. V. también *Cavidad nasal*

ala, 1
 anatomía de superficie, 1
 pilar
 lateral, 36
 medial, 36
 sección transversal, 47
 visión
 anterolateral, 36
 inferior, 36

Nasofaringe, 92

imagen sagital de RM, 149
 vía aérea, 37

Nefrona

asa de Henle, 337
 esquema, 336

Nervio(s)

abdominal, 258
 abducens (VI), 83-84, 86, 114, 117-118, 121
 distribución, 118
 esquema, 118
 abductor dedo gordo, 541
 accesorio (XI), 34, 114, 116
 esquema, 118, 127
 núcleo espinal, 116, 117
 raíces espinales, 10, 118, 127
 raíz craneal, 126, 127
 aferentes
 boca y faringe, 62
 estómago y duodeno, 321
 nariz y senos, 210
 alveolar, 53, 55, 122, 131, 134
 inferior, 16, 40, 53, 55, 60, 131, 134
 agujero mandibular, 46
 ramo, 40
 superior, 62, 71
 anterior, 45
 ramo nasal, 42
 medio, 45
 posterior, 44, 45
 anal inferior, 410, 411, 414, 496, 503
 anococcígeo, 411, 412, 499
 antebrazo, 480
 aórtico, 228
 árbol traqueobronquial, 210
 articular

mayor, 32
 recurrente, 542
 auricular, 122
 anterior, 122
 mayor, 21, 22, 24, 31, 32, 129, 177, 178
 posterior, 25, 123
 ramo occipital, 123
 ramo articular, 122
 auriculotemporal, 16, 24, 40, 55, 71, 122, 125, 134
 autónomos
 abdomen, 318
 cabeza, 131
 cavidad nasal, 44
 cuello, 24
 tórax, 209
 axilar, 177, 425, 427, 429, 432, 476-477, 481
 nervio cutáneo braquial lateral superior, 479
 boca, 62
 bucal, 24, 40, 46, 62, 71, 122
 ramos, 25
 cabeza y cuello, 224
 cadera y nalga, 503
 calcáneo
 lateral, 534, 535
 medial, 534, 535
 cardíaco
 cervical, 165-166, 209
 inferior, 165, 226
 medio, 165, 226
 simpático y vagal, 226
 superior, 69, 71, 165, 226
 simpático cervical
 inferior, 130, 226, 227
 medio, 33, 130, 165, 226, 227
 superior, 32, 60, 128, 130, 132, 133, 134, 165, 226, 227, 240
 torácico, 193, 209
 vagal cervical
 inferior, 227
 superior, 227
 vago, 130
 carotídeo (IX), 71
 externo, 165, 167
 interno, 130, 131, 133, 165, 167
 carotidotimpánico, 123, 125
 carpo, 461, 472
 y mano, 473
 cavernoso, 166, 410, 412
 cavidad nasal, 42-44
 cervical, 130-133, 134-135, 161
 ramos, 25
 superficial, 177
 transverso, 24, 31, 71, 129
 vértebras, 127, 161
 cervicofacial, 25
 ciático, 160, 495, 499, 503, 539-540
 derecho, 376
 división
 peronea común, 499, 540
 tibial, 499, 540
 izquierdo, 376
 músculos, 540
 ramo articular, 502
 ramos, 540
 cigomático, 121

Nervio(s) (cont.)

- cigomaticofacial, 24, 122
- cigomaticotemporal, 24, 122
- ciliar
 - corto, 86, 121, 122, 131, 132
 - largo, 86, 121, 122, 131, 132
- clúneo
 - inferior, 177, 411, 413, 503, 540, 545
 - medio, 177, 502, 545
 - superior, 177, 254, 502, 545
- coccígeo, 160-161, 499
- vértebras, 161
- colear, 92, 95-97
 - distribución, 118
 - visión posteromedial, 95
- columna vertebral y médula espinal, 173
- corazón, 226, 227
- craneal, 116, 130-133, 134-135
 - distribución motora y sensitiva, 118
- núcleos
 - disección medial, 117
 - esquema, 116
 - visión posterior transparencia, 116
- parálisis, 101
- ramo comunicante, 45
- vaina carotídea, 60
- cuadrado plantar, 541
- cubital, 429, 433, 444, 446-447, 454, 460, 465, 476
 - contribución inconstante, 476
 - inervación cutánea, 46
 - músculos inervados, 476
- ramo
 - articular, 476
 - comunicante, 468
 - nervio mediano, 476
 - dorsal, 444, 446, 468-469
 - ramos digitales dorsales, 469
 - palmar, 447, 476
 - profundo, 447, 454, 465, 476
 - superficial, 447, 460, 476
- ramos
 - digitales palmares propios, 469
 - dorsales, dorso falanges distal y media, 476
- surco, 436
- visión
 - anterior, 476
 - palmar, 476
 - posterior (dorsal), 476
- cuello, 130
- cuerda tímpano, 62, 71, 93, 94, 122, 123, 124, 131, 133, 134, 135, 165
- cutáneo
 - antebraquial
 - lateral, 447, 469
 - medial, 429, 432, 469
 - posterior, 469
 - braquial lateral superior, 177
 - cabeza, 24
 - cuello, 24, 31
 - dorsal
 - lateral, 544
 - miembro inferior
 - intermedio, 540, 541, 542
 - lateral, 542, 545
 - medial, 541, 542
 - femoral
 - lateral, 329, 409, 499, 538, 539
 - posterior, 411
 - hombro y brazo, 479
 - perforante, 411, 413, 499
 - cadena, 503
 - miembro inferior, 545
 - sacro, 499
 - sural
 - lateral, 540-542, 545
 - ramo comunicante, 545
 - ramos, 544
 - medial, 540, 541, 545
 - ramo comunicante, 540
 - ramos articulares, 541, 542
- dedos, 471
- digital
 - palmar
 - común, 476
 - propio, 476
 - plantar común, 534, 541
 - digitales
 - dorsales, 468, 471, 475, 542, 544
 - laterales, 544
 - palmares
 - comunes, 476
 - cuarto y quinto dedos, 460
 - propios, 460, 471, 476
 - pulgar, 460
 - ramos dorsales, 468
 - plantares
 - comunes, 476, 541
 - propios, 535, 541
- dorsal escápula, 429
- dorso, 177
- escrotal
 - anterior, 409
 - posterior, 411, 503
- esófago, 240
- espinal, 258
 - agujero intervertebral, 18
 - C1, 127, 133
 - raíces
 - dorsales, 114
 - ventrales, 114
 - ramo
 - dorsal, 178
 - ventral, 71
 - salida, 161
 - C2, 127, 133
 - ramo
 - dorsal, 177, 178
 - ventral, 32, 71, 177
 - C3, 19, 127
 - ramo
 - dorsal, 177, 178
 - ventral, 32, 71, 177, 178
 - C4, 127
 - C5, ramo ventral, 32
 - C8, 160
 - salida, 161
 - cervical, 127, 160
 - fibras
 - ascendentes, 345
 - descendentes, 345
 - L1, 160
 - ramo ventral, 177
 - L5, 160, 412
 - ramo anterior, 410
 - lumbar, 161, 179
 - origen, 170
 - raíces dorsal y ventral, 170
 - ramos dorsales, 177
 - origen, 170, 258
 - piel, vasos y glándulas, 325
 - raíz
 - dorsal, 180, 325, 327, 328, 345
 - ventral, 258
 - ramo
 - colateral, 258
 - comunicante, 258
 - cutáneo
 - anterior, 180
 - lateral, 258
 - dorsal, 169, 170, 258
 - meníngeo, 258, 325
 - ventral, 169, 258
 - ramos
 - cutáneos anteriores, 258
 - medulares segmentarios, 170
 - meníngeos recurrentes, 170
 - S1, 160, 410
 - ramo anterior, 414
 - S2, 160
 - S5, 160
 - surco, 19
 - T1, 132, 133, 134, 160
 - T10, 410
 - T11, 414
 - T12, 133, 160
 - ramo ventral, 254
 - T7, 414
 - ramo cutáneo
 - lateral, 254
 - medial, 254
 - torácico, 133, 180, 258
 - raíz
 - dorsal, 133
 - ventral, 133
 - espinales
 - cervicales, 160
 - C1, 160
 - salida, 161
 - C2, ramo dorsal, 177
 - C3, ramo dorsal, 177
 - C4, ramo dorsal, 177
 - C8, 160
 - salida, 160
 - ramos dorsales, 24, 32, 177
 - ramos cutáneos posteriores, 178
 - ramos mediales, 24
 - L1-3, ramos dorsales, 254
 - esplácnico
 - abdominopélvico, 228, 324, 325
 - cardiopulmonar, 228
 - lumbar, 160, 165, 318, 345, 409, 412
 - cuarto, 318
 - primero, 323
 - derecho, 346
 - izquierdo, 346
 - segundo, 344
 - superior, 415
 - pélvico, 166, 168, 323, 344, 345, 412, 499
 - sacro, 165, 273, 344, 412, 499
 - torácico, 346
 - imo, 209, 263, 267, 320, 322-325, 344-345, 409
 - derecho, 318, 320, 346

Nervio(s) (cont.)

- izquierdo, 323, 346
 - mayor, 167, 209, 230, 240, 258, 263, 267, 320, 324, 327, 409
 - derecho, 194, 240, 318, 320, 321, 327, 328, 346
 - izquierdo, 194, 318, 321, 323, 327, 328, 346
 - menor, 165, 167, 209, 258, 263, 267, 318, 320-322, 324-325, 345, 409
 - derecho, 346
 - izquierdo, 318, 319, 323, 346
 - estómago y duodeno, 319, 320
 - etmoidal
 - anterior, 11, 43, 86, 121-122
 - ramos nasales
 - externos, 24, 122
 - internos laterales, 42, 43
 - internos mediales, 42
 - posterior, 11, 45, 86, 121, 122
 - facial (VII), 11, 34, 40, 62, 71, 92, 104, 114, 116-117, 122, 131, 133-135, 165-166
 - agujero estilomastoideo, 94
 - comunicaciones, 123, 125
 - distribución, 118
 - esquema, 118, 123, 124
 - intermedio, 133
 - núcleo motor, 123
 - raíz motora, 124
 - ramo marginal mandibular, 30
 - ramos, 25, 168
 - bucales, 123
 - cervicales, 123
 - cigomáticos, 123
 - temporales, 123
 - rodilla
 - (ganglio geniculado), 97, 123, 124, 125
 - interna, 117
 - tronco principal, 25
 - faringeo, 133
 - femoral, 160, 259, 267, 376, 409, 496, 498, 500, 538, 546
 - cutáneo, 545
 - anterior, 538, 544
 - lateral, 267, 329, 496, 498, 500, 544, 565
 - posterior, 160, 177, 503, 540, 545, 546
 - ramo terminal, 544
 - ramos, 545
 - cutáneos anteriores, 409
 - fibras cocleares, 96
 - flexor corto dedos, 541
 - frénico, 30, 32, 74, 129-130, 189, 193, 198, 206, 210-211, 226, 230, 243, 429
 - anterior, 195, 321
 - derecho, 193, 194, 215, 244, 318, 327, 346
 - fibras aferentes y eferentes, 193
 - izquierdo, 193, 194, 215, 346
 - ramo pericárdico, 193
 - ramos frenicoabdominales, 193
 - frontal, 83, 86, 121, 122, 131
 - genitales externos, 409
 - masculinos, 409
 - genitofemoral, 329, 340, 409, 496, 498, 539
 - ramo
 - femoral, 267, 409, 498, 544
 - genital, 259, 261, 267, 409, 544
 - vasos testiculares y ramo genital, 259, 261
 - glándulas suprarrenales, 345, 346
 - glosofaríngeo, 34, 114, 116-118, 123, 125-126, 130-131, 133, 135-136
 - esquema, 118, 125, 134
 - ganglio inferior, 125, 135
 - ramo, 168
 - carotídeo, 34, 125, 126, 130, 131
 - timpánico, 10
 - ramos faríngeo, tonsilar y lingual, 125
 - glúteo
 - inferior, 160, 499, 503
 - superior, 160, 499, 503
 - hígado y tracto biliar, 327
 - hipogástrico, 165, 218, 324, 344-345, 409-410, 414-416
 - derecho, 318, 323, 412
 - inferior, 324
 - izquierdo, 318, 323, 412
 - pélvico, 414
 - superior, 345, 415
 - hipogloso, 10, 32, 34, 114, 117, 129, 344
 - distribución, 118
 - esquema, 118, 128
 - ramo meníngeo, 128
 - vena satélite, 59, 60, 70
 - hombro, 477
 - iliohipogástrico, 160, 177, 267, 329, 409, 496, 498, 539
 - esquema, 498
 - ramo
 - anterior, 257
 - cutáneo
 - anterior, 257, 267, 410
 - lateral, 545
 - genital, 409
 - ilioinguinal, 160, 257, 260, 267, 329-330, 340, 409, 414, 496, 498, 539-540, 544
 - esquema, 498
 - ramo labial anterior, 413
 - ramos escrotales, 267, 409, 544
 - anteriores, 267, 409
 - infraorbitario (V2), 24, 36, 44, 81, 83, 121-122
 - conducto infraorbitario, 45
 - ramos
 - alveolares superiores, 122
 - nasales internos, 122
 - infratroclear, 24, 36, 56, 81, 86, 122
 - nervio nasociliar, 45
 - intercostal, 160, 170, 180, 189, 192, 231
 - anterior, 258
 - octavo, 209
 - porciones abdominales, 188
 - posterior, 192, 230
 - primero, 227, 430
 - ramo ventral, 180
 - ramos cutáneos
 - anteriores, 177, 188, 192, 257
 - laterales, 177, 188, 189, 192, 257
 - séptimo derecho, 321
 - sexto, 165, 209
 - tercero, 240
 - unión ramo colateral, 258
 - intercostobraquial, 189, 257, 429, 474, 479, 481
 - intermedio, 104, 114, 118, 123, 124, 133, 135
 - interóseo
 - anterior, 448, 449, 475
 - pierna, 541
 - plantar, 537
 - posterior, 445, 449
 - intestino
 - delgado, 322, 324
 - grueso, 323, 324
 - intrínseco, páncreas, 328
 - labial, posterior, 413, 414
 - lagrimal, 83, 86, 121-122, 131
 - ramo
 - cutáneo, 45
 - palpebral, 82
 - laríngeo (X), 80
 - inferior
 - derecho anómalo, 80
 - izquierdo, 80
 - ramos anterior y posterior, 80
 - izquierdo, ramos anterior y posterior, 80
 - ramo
 - externo, 74
 - interno, 75, 235
 - recurrente, 33, 71, 76, 130, 206, 209-212, 226, 231-232, 240
 - derecho, 74, 75, 80, 226, 235, 240
 - izquierdo, 74, 75, 76, 126, 193, 210, 211, 243, 244
 - superior, 75-76, 80, 130-131, 235
 - ramo
 - externo, 75, 80, 126
 - interno, agujero, 78
 - interno, pliegue, 66
 - ramos internos, 62, 65, 71, 74, 75, 76, 78, 80, 126
- lingual, 23, 40, 53, 55, 59-60, 122-123, 131, 133-135
 - profundo, 51
- lumbar, 161
- mandibular (V3), 11, 24, 46, 86, 122, 125, 131, 133-135
 - división
 - anterior, 46
 - posterior, 46
 - marginal, 25, 31
 - raíz
 - motora, 46
 - sensitiva, 46
- ramo meníngeo, 10, 86
- visión
 - lateral, 46
 - medial, 46
- mano, 472
 - visión palmar, 466
- masetérico, 40, 54, 55, 122
- maxilar (V2), 45, 86, 121-122, 131, 133-135
- ramo
 - faríngeo, 122
 - meníngeo, 86, 122
 - nasal, 122

Nervio(s) (cont.)

- lateral superior posterior, 42, 43
- ramos gingivales y dentarios, 45
- mediano, 429, 433, 446-447, 454, 460, 465, 474-475
- comunicante nervio cubital, 475
- inervación cutánea, 475
- porción interósea anterior, 476
- ramo
 - articular, 475
 - comunicante nervio cubital, 476
 - palmar, 446, 447, 475, 481
 - recurrente, 474
 - músculos tenares, 460
- ramos
 - digitales palmares, 473, 481
 - comunes, 460
 - propios, 469
 - músculos tenares y lumbricales, 465
- túnel carpiano, 461
- visión
 - anterior, 475
 - palmar, 475
 - posterior, 475
- meningeo, 45
- mentoniano, 24, 46, 71, 122
- miembro
 - inferior, 544, 545
 - superior, 473, 479, 481
- milohioideo, 16, 40, 46, 53, 122
- musculocutáneo, 429-430, 433, 435, 447, 449, 474-475, 480
- porción terminal, 446, 469, 479, 482
- muslo, 500, 501, 540
- nalga, 503
- nasal
 - externo, 36
 - lateral inferior, 131
 - posterior, 131, 133
 - superior posterior, 131
- nasociliar (V1), 83, 86, 121-122, 131-132
- nervio infratroclear, 45
- nasopalatino (V2), 10, 42-44, 62
 - comunicante nervio palatino mayor, 42
 - tabique, 43
- obturador, 267, 340, 376, 498-499, 538-540
 - accesorio, 267, 498
 - articulación rodilla, 539
 - ramo
 - articular, 539
 - cutáneo, 539
 - posterior, 539
 - ramos cutáneos, 501, 544, 545
- occipital
 - mayor, 24, 177-178
 - ramo dorsal C2, 129
 - menor, 32, 129, 177, 178
 - tercero, 24, 177, 178
- oculomotor (III), 84, 86, 101, 114, 116-117, 166
 - distribución, 118
 - división
 - inferior, 118, 121
 - superior, 118, 121
 - esquema, 118
 - ramo, 168
 - inferior, 83, 86
 - superior, 83, 86
- oftálmico (V1), 24, 45, 121-123, 133-135
 - ramo tentorial, 86, 122
 - ramos
 - lagrimal, frontal y nasociliar, 11
 - nasales
 - externos, 122
 - internos, 122
- olfatorio (I), 119
 - distribución, 118
 - esquema, 118, 119
 - fibras, 118, 119
 - haces, 11
- óptico (II), 83, 86-87, 90, 106-107, 113, 132, 143-144
 - distribución, 118
 - imagen sagital de RM, 149
 - imágenes coronales de TC, 151
 - vaina
 - externa, 91
 - interna, 91
 - vasos, 91
 - vía visual, 120
- palatino
 - comunicante nervio nasopalatino, 42
 - descendente, 133
 - mayor, 11, 42, 43, 44, 45, 52, 62, 122, 131, 133
 - menor, 42, 43, 45, 52, 62, 122, 131, 133
 - ramo nasal posterior inferior lateral, 42, 43
- palpebral, 24
- páncreas, 328
- parasimpático, árbol traqueobronquial, 210
- pared abdominal, 267
- pectoral
 - lateral, 188, 428, 430
 - medial, 188, 428, 429, 430
 - medio, 428
- periné
 - masculino, 411
 - y genitales externos femeninos, 413
- perineal, 410-411, 413, 503
 - conducto pudendo, 392
 - profundo, 411, 413, 530
 - ramo lateral, 530, 531
 - ramos
 - labiales y escrotales posteriores, 499
 - profundos, 411
 - superficiales, 411
 - superficial, 411, 413
 - varón, 411
- peroneo
 - común, 495, 499, 505-508, 518-521, 540-542, 544-545
 - músculos inervados, 542
 - profundo, 520, 522, 530, 542
 - ramo
 - digital dorsal, 544
 - lateral, 520, 542
 - medial, 519, 520, 530, 531, 542
 - ramos digitales dorsales, 520, 530, 531, 544
 - ramo articular, 540, 541
 - superficial, 519-521, 530-531, 542
 - ramo cutáneo dorsal
 - intermedio, 544
 - medial, 544
 - ramos digitales dorsales, 530
- petroso
 - mayor, 86, 123-125, 131, 133, 135
 - hiato, 11
 - surco, 9, 97
 - menor, 86, 93, 122-123, 125, 134
 - hiato, 11
 - surco, 9
 - profundo, 123, 125, 131, 133
- plantar
 - lateral, 534-535, 540-541
 - ramo superficial, 535
 - ramos
 - cutáneos, 535
 - cutáneos plantares, 545
 - digitales plantares propios, 533, 534, 535
 - profundos, 535
 - medial, 534, 540
 - ramo
 - profundo, 534, 535
 - superficial, 534
 - ramos
 - cutáneos plantares, 535, 545
 - digitales plantares propios, 533, 534, 535
- ptergoideo
 - lateral, 46, 122
 - medial, 46, 122
- pudendo, 160, 267, 410-412, 415-417, 499-500, 503
 - bloqueo, 413
 - interno, 392
- radial, 429-430, 432, 435, 447-448, 474-475, 477
 - brazo, 477
 - cutáneo posterior, 469, 473, 481
 - lateral inferior, 481
 - ramo, 469
 - comunicante, 468
 - digital dorsal, 473, 481
 - profundo, 445, 447, 449, 474
 - superficial, 444, 447, 449, 468-469, 473-474, 480-481
 - ramo digital dorsal, 469
- rectal
 - inferior, 411, 503
 - superior, 503
- riñones y uréteres, 344, 345
- sacro, 161
 - ramo perineal, 499
 - vértebras, 161
- safeno, 500, 538, 544
 - ramo infrarrotuliano, 500, 538
 - ramos, 538, 545
- simpáticos torácicos, 130
- subcostal, 160, 267, 409, 498
 - derecho, 329
 - ramo cutáneo
 - femoral lateral, 544
 - lateral, 267
- subescapular
 - inferior, 429, 430, 477
 - superior, 429, 430
- sublingual, 46
- suboccipital, 21, 178
- supraclavicular, 24, 31

Nervio(s) (cont.)

- intermedio, 129, 479
 - lateral, 129, 479
 - medial, 129, 479
 - supraescapular, 429
 - supraorbitario, 24, 36, 81, 122
 - ramos, 86
 - medial y lateral, 86
 - supratrocLEAR, 81, 122
 - sural, 534, 540-541, 545
 - ramo calcáneo
 - lateral, 541
 - medial, 541
 - ramos calcáneo lateral y cutáneo
 - dorsal lateral, 541
 - temporal
 - esquema, 122
 - profundo, 122
 - anterior, 40
 - posterior, 40
 - ramos, 122
 - tensor
 - tímpano, 122
 - velo paladar, 55
 - tibial, 495, 540-541
 - músculos inervados, 541
 - plantar
 - lateral, 541
 - medial, 541
 - posterior, 534
 - ramo calcáneo medial, 533, 535, 540, 541, 545
 - ramos articulares, 540
 - timpánico, 93, 123, 125, 134
 - torácico, 161
 - largo, 188, 189, 192
 - ramo dorsal, 192
 - toracoabdominal, ramo cutáneo, 188
 - trigémino, 24, 97, 114, 116-117, 122, 133-135, 144
 - división
 - maxilar, 24
 - oftálmica, 24
 - esquema, 122
 - ganglio, 131
 - núcleo
 - espinal, 116, 117, 122, 125, 126
 - mesencefálico, 116, 117
 - motor, 116, 117, 122, 135
 - sensitivo, 117
 - principal, 116, 122
 - raíz
 - motora, 131
 - sensitiva, 118, 131
 - ramos
 - parotídeos, 122
 - superficiales, 122
 - tracto espinal, 117, 126
 - trocLEAR (IV), 83-84, 86, 114, 116, 121
 - esquema, 186
 - uretérico medio, 344
 - vago (X), 3, 34, 74-76, 114, 116-118, 125-127, 130-131, 135, 206, 209-211, 325, 345
 - colinérgico, 210
 - comunicación, 32
 - derecho, 75, 80, 193, 226, 230
 - distribución, 118
 - esquema, 118, 126
 - ganglio
 - inferior, 126, 127, 128, 135
 - superior, 126, 127
 - izquierdo, 243, 244
 - núcleo, 324
 - posterior, 116, 117, 126, 324, 345
 - ramo
 - auricular, 10, 24, 126
 - cardíaco, 209
 - cervical inferior, 126
 - cervical superior, 126, 130, 131
 - torácico, 126, 226
 - celíaco, 321
 - comunicante, 126
 - faringeo, 125, 126, 130
 - meníngeo, 126
 - plexo pulmonar, 209
 - vasos sanguíneos, 228
 - vejiga urinaria, 344
 - vestibular, 95, 97, 124
 - inferior, 95, 97, 124
 - superior, 95, 124
 - vestibulococLEAR (VIII), 92, 95, 97, 114, 116-117, 131
 - esquema, 116, 118, 124
 - vidiano, 122
 - visceral torácico, 165
 - vísceras pélvicas
 - femeninas, 412
 - masculinas, 410
- Neumotórax, tubo drenaje,** 190
- Neurohipófisis,** 140, 147, 148
- Neurovasculatura**
- brazo, 435
 - miembro inferior, 538-546
- Nodulillo**
- fibroso (de Albini), 223
 - linfático
 - agregado, 283
 - íleon, 280
 - yeyuno, 280
- Nódulo(s)**
- apendiculares, 317
 - atrioventricular, 22, 218, 225
 - cerebelo, 144
 - cístico (de Calot), 315
 - codo, 483
 - de Albini. V. *Nodulillo fibroso (de Albini)*
 - de Cloquet, 266, 408
 - de Rosenmüller, 266
 - deltopectoral, 483
 - epicólicos, 317
 - presinfisario, 408
 - subparotídeo, 72
 - vermis inferior, 113
 - yuguloomohioideo, 73
- Nódulo(s) linfático(s)**
- aórtico, 266
 - lateral, 266, 343, 406
 - axilares, 428
 - apicales, 184
 - braquiales, 184
 - centrales, 184, 428
 - laterales, 483
 - vena axilar, 483
 - pectorales, 184, 428
 - sección parasagital, 428
 - subescapulares, 184
 - vena axilar, 484
 - broncopolmonares, 199, 208, 230, 231
 - buccinador, 72
 - cabeza y cuello, 72
 - celíaco, 266, 314, 315
 - cervical, 72-73, 208
 - cadena transversa, 72
 - lateral
 - profundo, 73
 - inferior, 72
 - superior, 72
 - superior, 72
 - profundo
 - anterior, 72
 - inferior, 72, 208
 - superficial
 - anterior, 72
 - lateral posterior, 72
 - codo, 483, 484
 - cólicos
 - derechos, 317
 - izquierdos, 317
 - medios, 317
 - deltopectoral, 483, 484
 - epigástricos inferiores, 266
 - esplénicos, 314, 315
 - esternocleidomastoideo, 72
 - estómago, 314
 - facial, 72
 - faringe y lengua, 73
 - frénicos inferiores, 184, 266
 - gástricos, 314, 315
 - gastromentales
 - derechos, 314
 - izquierdos, 314
 - glándula mamaria, 184
 - hepáticos, 314, 315
 - ileocólicos, 317
 - iliacos
 - comunes, 266, 317, 343, 408
 - externos, 266, 317, 343, 408, 546
 - mediales, 406
 - vías linfáticas, 408
 - internos, 266, 317, 343, 408
 - laterales, 406
 - inguinales
 - horizontales, 266
 - inferiores, 266
 - superficiales, 407
 - profundos, 266, 406, 407, 408, 546
 - superficiales, 266, 317, 406, 407, 408, 546
 - superolaterales, 407
 - superomediales, 407
 - intercalado, 73
 - intercostales, 266
 - interpectorales (de Rotter), 184
 - intestino
 - delgado, 316
 - grueso, 317
 - lumbares, 266
 - mandibular, 72
 - mediastínico, 184, 243
 - posterior, 266
 - vía anterior, 184
 - mesentéricos, 315
 - inferior, 266, 317
 - superior, 266, 314, 317, 321
 - miembro

Nódulo(s) linfático(s) (*cont.*)

inferior, 546
superior, 483
nasolabial, 72
obturador, 406
occipital, 72
pancreáticos, superiores. 314
derecho, 314
izquierdo, 314
pancreatoduodenales, 315
paracólicos, 317
paraesternales, 184
paratraqueales
derechos, 208
izquierdos, 208
pared abdominal posterior, 266
parotídeos
profundos, 72
superficiales, 72
pelvis y genitales, 408
femeninos, 406
masculinos, 408
perianal, 317
periné femenino, 407
pilóricos, 315
poplíteos, 546
poscava, laterales, 343
preaórticos, 317, 408
precava, lateral, 343
prececales, 317
pretraqueal, 74
prevesical lateral, 343
promontorio, 343, 408
pulmonares, 208
rectales. 317
medio, 317
superior, 317
retrofaríngeos, 73
retropilóricos, 314
riñones y vejiga urinaria, 343
sacros
lateral. 266, 408
medio, 266, 408
sigmoideos, 317
sinoatriales, 225
subclavio, 184
submandibulares, 60, 73
submentoniano, 73
subpilóricos, 314
suprapilóricos, 314
traqueobronquiales, 244, 266
inferior, 245
superior, 244
viscerales
celíaco, 266
mesentérico
inferior, 266
superior, 266

Núcleo

abducens, 116, 117, 121
accesorio oculomotor, 116, 117, 121, 132
ambiguo, 117, 126
arqueado, 147
basal, organización, 110
caudado, 141
cabeza, 110, 111, 112, 145
cola, 108, 110, 112
cuerpo, 108, 110

tálamo, 110
vena
anterior, 145, 146
posterior, 145
terminal, 146
venas transversas, 145, 146
cerebeloso, 113
dentado, 113
emboliforme, 113
fastigio, 113
globoso, 113
coclear, anterior y posterior, 116, 117, 124
craneales tronco encéfalo, esquema, 117
de Edinger-Westphal, 116, 117, 132
dentado, 108, 112, 119
dorsal vago, 116
dorsomedial, 147
facial, 116, 117
geniculado, lateral dorsal
derecho, 120
izquierdo, 120
hipogloso, 116, 128
trígono hipogloso, 115
infundibular, 147
intermediolateral, 133-134
cuerpos células simpáticas
preganglionares, 132
intralaminares, 111
lentiforme, 108, 141
globo pálido, 110
putamen, 110
tálamo, 110
oculomotor, 116-117, 121, 437-438, 441, 444
accesorio, 132
olfatorio anterior, 119
paraventricular, 147
pulposo, 155, 162
lumbar, 19
hernia, 161
reticular, 111
rojo, 107, 116, 117
salivatorio
inferior, 116, 117, 125, 134
superior, 116, 117, 123, 133
supraóptico, 147
tracto solitario, 116, 117, 123, 125, 126, 135, 345
trigémico, 122
troclear, 117
ventromedial, 147
vestibular, 116, 124
esquema, 124

O**Óbex**, 115**Oído**, 93

externo
sección coronal oblicua, 93
visión superolateral, 93
laberintos óseo y membranoso, 95
sección coronal oblicua media, 93

Ojo, 168

arteria y vena muscular, 90
arterias y venas intrínsecas, 90

cámaras anterior y posterior, 88
imágenes

axial de RM, 150
axiales de TC, 150
coronales de TC, 151

músculos
externos, 90
extrínsecos, 84, 90
vascularización, 91

Olécranon, 436**Oliva**, 114, 117**Omligo**, 247, 305, 312

membrana tímpano, 93, 96

Omento

mayor, 269, 271, 273, 284, 288, 339
láminas
anteriores, 294, 319
posteriores, 319
unión vasos gastrointestinales, 274
menor, 273, 275, 288
borde libre derecho, 278, 279, 298
lámina
anterior, 319
posterior, 319
unión arteria gástrica. 274
vasos sanguíneos borde derecho, 348

Opérculo

frontal, 105
orbitario, 105
parietal, 105

Ora serrata, 87, 89, 90**Orbículo ciliar**, 89**Órbita**

arterias y venas, 85
crecimiento, 50
disección lateral, 49
fascia, 85
grasa, 48, 83
imagen axial de RM, 150
inserciones musculares, vasos y nervios, 83
nervios, 86
pared medial, 48
visión lateral, frontal derecha, 2

Oreja, 92, 97

anatomía de superficie, 1
cara posteromedial, 24
concha, 93
lobulillo. 1, 93

Orejuela, atrio

derecho, 93, 212, 214, 219, 220, 224
izquierdo, 212, 213, 215, 216, 224, 225

Órgano

espiral (de Corti), 92, 96
pelvis femenina, arterias y venas, 400
reproductores
femeninos, inervación, 415
masculinos, inervación, 415

Orificio

cardíaco, 276
epiploico, 331. V. también *Orificio omental*
ileal, 284
fibras musculares, 282
papilar, 282
omental (de Winslow), 272-273, 275, 288, 331
sonda, 272

Orificio (*cont.*)

- pelvis, radiografía, 355
- píloro, 276, 279
- ureteral, 384
 - derecho, 366
 - izquierdo, 366
- uretral, 388
 - externo, 360-361, 377, 379, 382, 385, 388
 - femenino, 395
- útero, 371
- vaginal, 388

Orofaringe, 233

- visión posterior abierta, 66

Ovario, 340, 360, 362, 369-370, 389, 410, 412, 415

- derecho, 372
- ligamento, 360, 362, 369-371
- suspensorio, 360, 362, 369-372, 389, 400
- vasos ováricos, 364

P**Paladar**

- blando, 37, 39, 51, 63, 64, 66
- crecimiento, 50
- duro, 48, 63, 64
- fibras postsinápticas, vasos y glándulas, 44

Páncreas, 126, 167, 179, 273, 290, 297, 347

- ácinos, 298
- áreas comunes dolor, 328
- arterias, 301
- cabeza, 272, 278-279, 294, 298, 304, 338
 - arterias, 304
- cola, 272, 298-299, 329
 - arteria, 301
- cuello, 298
- cuerpo, 272
- in situ, 347
- inervación, 168, 328
- proceso unciforme, 298, 339
- sección transversal, 297
- vasos y nódulos linfáticos, 315
- venas, 309
- visión
 - anterior, 315
 - posterior, 304, 315

Papila(s)

- circunvaladas, 58, 135
- dientes, 57
- duodenal
 - mayor (de Vater), 279, 294, 295
 - menor, 279
- fibras musculares, 282
- filiformes, 58
- foliadas, 58, 135
- fungiforme, 58, 135
- ileal, 282
- incisiva, 52
- lagrimal
 - inferior, 81, 82
 - superior, 81, 82
- parotídea, 51
- renal, 336

Paradidimo, 389**Pared**

- abdominal
 - anterior, 249, 265
 - arterias, 255, 263
 - nervios, 267
 - peritoneo, 274
 - vasos y nódulos linfáticos, 263
 - venas, 265
 - visión interna, 263
 - disección
 - intermedia, 251
 - superficial, 249
 - nervios, 257
 - posterior
 - arterias, 264
 - nervios, 267
 - peritoneo, 274
 - vasos y nódulos linfáticos, 266
 - venas, 265
 - visión interna, 263
 - posterolateral, 254
 - sección (sagital) media, 348
 - venas, 255
 - visión interna, 253
- duodeno
- capa muscular
 - circular, 279
 - longitudinal, 279
 - submucosa, 279
 - torácica, anterior, 188-189
 - vagina, 370, 373

Parénquima

- renal, 334
- vasos sanguíneos, 337

Párpados, 81

- arterias y venas, 85
- tarso, 83

Pata ganso, 489, 492-493

- inserciones, 489, 515

Pecten, 393

- pubis, 248, 486

Pedículo lumbar, 155**Pedúnculo**

- cerebeloso
 - inferior, 113, 144
 - medio, 113, 114, 144
 - plano superior, 113
 - superior, 113-115, 144
 - decusación, 113
- cerebral, 106, 115

Pelvis, 351

- diferencias sexo, 354
- falsa, 351, 362
- fascias arco tendinoso, 372
- femenina, 356
 - arterias y venas, 402
 - contenido, 360
 - estructuras, 370-375
 - imágenes sagitales de RM, 397
 - nódulos y vasos linfáticos, 407
 - radiografía, 355
- huesos y ligamentos, 352-353
- línea terminal, 362, 364
- masculina, 354
 - anatomía de superficie, 351
 - arterias y venas, 401, 403, 405
 - contenido, 363, 387
 - estructuras, 380-387

- imágenes sagitales de RM, 397
- nódulos y vasos linfáticos, 408
- radiografía, 355

- renal, 339
- sección medial, 352
- verdadera, 352
- vísceras, nervios, 412
- visión
 - anterior, 352
 - lateral, 352
 - posterior, 352

Pene

- arterias
 - dorsales, 381, 383, 401
 - profundas, 381, 383, 385, 404
 - puenda interna, 383
 - bulbo, 382-383, 385
 - arteria, 383, 405
 - cuerpo, 351, 388
 - desarrollo fetal, 388
 - fascia
 - profunda, 361, 380, 381, 382, 385, 387, 401, 403, 405
 - superficial, 249, 250, 381, 382, 387
 - frenillo, 382
 - glándula, 351, 361, 382, 385, 388
 - corona, 382
 - cuello, 382
 - imágenes sagitales de RM, 397
 - ligamento
 - fundiforme, 259, 361
 - suspensorio, 250, 361
 - nervio dorsal, 411
 - nervios
 - cavernosos, 410, 412
 - dorsales, 381, 383, 405, 409, 410, 411, 416, 503
 - piel, 380, 381, 382, 387
 - pilar, 360, 366, 385
 - rafe, 388
 - sección cuerpo, 381
 - vena
 - dorsal profunda, 249
 - lateral superficial, 381
 - venas dorsales
 - profundas, 359, 361, 381, 383, 401, 403, 405
 - hiato, 358
 - superficiales, 351, 381, 403
- Pericardio**, 211, 215, 233
- área desnuda, 196
 - fibroso, 198, 230
 - atrio derecho, 230
 - línea fusión diafragma, 211
 - porción
 - diafragmática, 215
 - esternocostal, 215
 - mediastínica, 194
 - reflexión, 214, 220-221
 - grandes vasos, 212
- Pericráneo**, 102
- Periné**, 347
- absceso, 396
 - femenino, 360, 377, 395
 - arterias y venas, 404
 - disección superficial, 378
 - estructuras, 371-375
 - nervios, 413
 - profundo, 379

Periné (*cont.*)

- vasos y nódulos linfáticos, 407
- fibras interdigitadas, 357
- masculino, 361
 - anatomía de superficie, 351
 - arterias y venas, 405
 - disección
 - profunda, 381
 - superficial, 380
 - estructuras, 380-387
 - nervios, 411
 - sección frontal, visión anterior, 383

Periodonto, 57**Periórbita**, 83**Periostio**

- alveolar, 57
- mandibular o maxilar, 57

Peritoneo, 179, 236, 252, 261, 284, 322,

- 329, 342, 412
- mujer, 365-366, 378, 400, 412
- espacios potenciales, 364
- inferior, 415
- pared abdominal posterior, 274
- parietal, 271, 273, 331, 348, 362-363, 373
- nervio frénico, 327
- pared
 - abdominal anterior, 348
 - posterior bolsa omental, 331
- suelo fosa pararectal, 392
- varón, 361, 366
- inferior, 415
- visceral, 273, 326

Peroné, 513, 517, 530

- borde
 - anterior, 513
 - interóseo, 513, 514
- cabeza, 492-494, 511, 513-515, 518, 520-521, 542
- ligamento
 - anterior, 514
 - posterior, 514
- radiografía, 510
- anteroposterior, 510
- cara
 - articular superior, 513
 - lateral, 413, 514
 - medial, 513
- cóndilo lateral, 514
- cresta medial, 514
- cuello, 513
- intercondileo anterior, 514
- radiografía, 510
- sección transversal, 514
- tobillo, 525, 527, 531
- tróclea, 522
- vértice, 513, 514
- visión
 - anterior, 513-514
 - inserciones ligamentosas, 514
 - posterior, 513
 - superior, 513

Pestañas, 81**Pezón**, 181-182

- derecho, 196
- izquierdo, 196

Piamadre, 91, 99, 102

- médula espinal, 169
- torácica, 170

Piamadre-aracnoides, 91**Pie**

- arterias, 536
 - profundas, 536
- cara plantar, 485
- derecho, visión
 - lateral, 527
 - medial, 527
- dorso
 - disección profunda, 530, 531
 - músculos, 530
- hipocampo, 111, 112
- huesos, 523, 524, 525
- inversión y eversión, 543
- ligamentos y tendones, 527
 - visión plantar 528
- músculos interóseos, 530, 536
- nervio cutáneo dorsal lateral, 530
- pedúnculo cerebral, 107, 113, 114, 139, 145
- planta
 - disección superficial, 532
 - músculos, 533, 534, 535
- tendón largo fibroso, 521
- tendones, visión plantar, 528
- visión
 - dorsal, 536
 - plantar, 485

Piel

- perianal, 393-394
- glándulas sudoríparas y pelo, 393
- vaina recto, 252

Pierna

- anatomía de superficie, 485
- compartimientos fasciales, 522
 - anterior, 522
 - lateral, 522
 - posterior superior, 522
- derecha, huesos, 513
- fascia profunda, 522, 544, 546
 - compartimiento posterior, 522
- inervación, 538, 539
- membrana interósea, 522
- músculos
 - disección
 - profunda, 518, 520
 - superficial, 516
 - inserciones, 515
 - visión
 - anterior, 519, 520
 - lateral, 521
 - posterior, 516, 517
- nervio interóseo, 541
- nervios cutáneos mediales, 538
- sección transversal, 522
- tabique intermuscular
 - anterior, 522
 - posterior, 522
 - transverso, 522

Piloro, 275-276, 278-279

- radiografía bario, 279
- sección transversal, 297

Pirámide

- decusación, 114, 144
- vermis
 - cerebelo, 115
 - inferior, 113

Pisiforme, 442, 446-447, 454, 456, 460, 465

radiografía, 457

Placa epifisaria, 504**Placas de Peyer**, 280**Plano**

- interespinoso, 268
- intertubercular, 268
- lateral recto, 268
 - derecho, 268
 - izquierdo, 268
- semilunar, 286
- subcostal, 268
- transpilórico, 268

Planta (pie)

- inervación cutánea, 541
- planos musculares, 532, 533, 535

Pleura, 331

- abdominal, 349
- costal, 231, 232
- cúpula, 74
- mediastínica, 194
- nervios espinales, 170
- parietal, 206
 - cervical, 196, 197, 230
 - costal, 194, 198, 206, 211, 230
 - borde
 - derecho, 197
 - izquierdo, 197
 - porción
 - diafragmática, 193, 194, 198, 206, 211
 - mediastínica, 193, 194, 198, 206, 211, 215, 230
 - torácica, 170
 - visceral, 205

Plexo

- acromial, 427
- aórtico, 321-322, 412
 - abdominal. V. *Plexo intermesentérico*
 - torácico, 209
- apendicular, 322, 323
- autónomo carotídeo, 10
- braquial, 27, 30-32, 129, 160, 183, 189, 193, 198, 206, 211, 228, 230-232, 428-429
 - comunicación, 129
 - divisiones anterior y posterior, 430
 - esquema, 430
 - fascículos
 - lateral, 428, 433
 - medial, 428
 - posterior, 428
 - medial, 428, 433
 - posterior, 428
 - raíces, 430
 - ramos terminales, 430
 - troncos, 430
- capilar, 148, 205
 - cortical, 337
 - medular, 337
- cardíaco, 126, 165, 209, 226, 227, 240
- carotídeo, 86, 121, 131, 209, 226
 - común, 130, 131
 - externo, 130, 133, 167
 - interno, 86, 123, 132, 165, 167
- cavernoso, 121
- cecal, 323
- celíaco, 126, 165-166, 240, 319-320, 322-323, 344-346, 410, 415
 - ramo vagal, 240

Plexo (cont.)

- tronco vagal posterior, 240
- cervical, 160, 177-178, 481
 - asa cervical, 32, 128
 - esquema, 32, 129
 - in situ, 32
 - nervios supraclaviculares, 479
 - ramos, 24
- coccígeo, 499
 - esquema, 499
- cólico
 - derecho, 275, 322, 323
 - izquierdo, 278, 284, 318, 323
 - medio, 322, 323
- conducto deferente, 409, 415
- coroideo, 111-112, 145
 - cuarto ventrículo, 106, 108, 109, 114, 115
 - tercer ventrículo, 106, 108, 109
 - ventrículo lateral, 108, 109, 110, 143, 145
- de Auerbach. V. *Plexo mientérico* (de Auerbach)
- de Meissner. V. *Plexo submucoso* (de Meissner)
- dentario
 - inferior, 122
 - superior, 122
- esofágico, 126, 165-166, 206, 209, 230-232, 241, 321
 - anterior, 240
 - porción posterior, 240
 - ramos simpáticos, 209, 240
- esplénico, 318, 319, 320
- facial, 131
- faringeo, 62, 71, 125, 126, 130, 131
- frénico, 410
 - inferior, 318
 - derecho, 319, 320, 323, 346
 - izquierdo, 319, 320, 323, 346
- gástrico, 410
 - derecho, 319, 320, 322
 - izquierdo, 318, 319, 320, 322, 323
- gastroduodenal, 320, 322, 327
- hepático, 126, 319-320, 322
 - anterior, 327
 - común, 318
 - posterior, 327
 - ramos, 319
 - cardias, 320
 - pilóricos, 126
 - vago, 319
- hipogástrico
 - asas periureterales, 344
 - derecho, 323
 - inferior, 165, 166, 168, 323, 324, 344, 345, 409, 412, 499
 - ramo parasimpático, 165
 - superior, 165, 318, 323, 324, 345, 409, 412
- ileocólico, 322, 323
- ilíaco
 - común, 412
 - izquierdo, 317
 - externo, 318, 412
 - interno, 318, 412
 - derecho, 323
- intermesentérico, 267, 318, 322-324, 344-345, 412
 - ramos renal y uretérico superior, 344
- intramuscular longitudinal, 326
- linfático
 - prevesical, 408
 - subpleural, 208
- lumbar, 160, 496, 498, 538-539
- ramos musculares, 267
- marginal, 323
- maxilar, 131
- meníngeo medio, 131
- mesentérico
 - inferior, 165, 318, 323
 - superior, 165, 166, 318, 319, 320, 322, 328
- mientérico (de Auerbach), 326
- nervioso
 - hepático, 349
 - rotuliano, 544
- ovárico, 344, 412, 415
 - derecho, 318
- pampiniforme, 256
 - venoso, 401, 403
- pancreatoduodenal inferior, 322, 323
- pélvico, 412
- periglandular, 326
- perivascular nervio espinal, 322
- pial, 171
 - arterial, 173
 - ramas periféricas, 173
 - venoso, 173
- prevesical, 408
- prostático, 165, 344, 416
- pteroideo, 70, 85
 - nervio facial profundo, 23
- pulmonar, 126, 165-166, 168, 210
 - anterior, 209
 - posterior, 209
- rectal, 323, 344, 412
 - comunicación perimuscular e interno, 399
 - medio, 323
 - superior, 318, 323
- rectosigmoideo, 323
- renal, 344-345
 - derecho, 318, 346
 - izquierdo, 323, 346
- sacro, 160, 177, 267, 344-345, 415-416, 499
 - derecho, 323
 - izquierdo, 318
- sigmoideo, 323
- submucoso (de Meissner), 326
- subseroso, 326
- subtrapecio, 177
- suprarrenal
 - derecho, 318
 - izquierdo, 323
- testicular, 409, 416
 - derecho, 318
- timpánico, 93, 123, 125, 132, 134
 - ramo tubárico, 125
- uretérico, 410
 - derecho, 318
- venoso, 372
 - areolar, 256
 - basilar, 103
 - perianal
 - externo, 392
 - interno, 392
- prostático, 403
- rectal, 399
 - comunicación externa e interna, 399
 - externo, 311, 393, 394, 399
 - interno, 393, 394, 399
 - perimuscular, 311, 399
- retropúbico, 365
- uterino, 399
- uterovaginal, 412
- vaginal, 398
- vertebral, 10, 137
 - externo, 173
 - interno, 170, 173
 - vesical, 366, 403
 - espacio retropúbico, 361
- vertebral, 130
- vesical, 323, 344, 412

Pliegue(s)

- alar, 507
- aritenopiglótico, 66, 67, 78
- axilar, 181
 - anterior, 181
 - posterior, 181
- cecal, 281, 362, 363
- digitales, 418
- duodenal
 - inferior, 278
 - superior, 270
- faringoepiglótico, 235
 - fibras, 65
- fimbriado, 51
- gástricos, 236, 276
- gastropancreático, 272
- glosoepiglótico
 - lateral, 58
 - medio, 58
- glúteo, 152
- ileal, 311, 313
- ileocecal, 281
- inguinal, 389
- maleolar
 - anterior, 93
 - posterior, 93
- palatinos transversos, 52
- peritoneal
 - arteria hepática, 272
 - vasos testiculares, 363
- rectouterino (uterosacro), 362, 392, 369
- sacrogenital, 340
- semilunar, 81, 82, 284
- sinovial infrarrotuliano, 507, 508
- sublingual, 51
 - orificios sublinguales, 51
- uretérico, 362, 363, 369
- uretral, 388
 - parcialmente fusionado, 388
- urogenital, 388
- vesical transverso, 372
- vesicosacro, 363

Polo

- frontal, 105
- imagen sagital de RM, 149
- occipital, 105
- imagen sagital de RM, 149

Porción

- distal, 147
- fláccida, 93
- interarticular, 155

Porción (*cont.*)
intermedia, 147
tensa, 93
tuberal, 147

Poros de Kohn, 204

Porta hepático, 287

Precuña, 106

Premolares, 56, 57

Prepucio, 388
clítoris, 388
localización, 388
futuro origen, 388
pene, 361

Proceso
axilar (de Spence), 182, 183
ciliar, 87, 88, 89
infundibular, 147
plexo capilar, 148

Prominencia
esofágica pericardial, 215
laríngea, 77

Promontorio, 92-93
sacro, 248, 412

Próstata, 167, 384
aporte arterial, 403
banda músculo esquelético, 384
cápsula, 361, 366, 384
drenaje linfático, 408
estroma fibromuscular, 384
imágenes sagitales de RM, 397
inervación, 168
lóbulo
inferolateral, 384
inferoposterior, 384
istmo, 384
lateral hiperplásico, 403
medio, 384
hiperplásico, 403
músculo esfínter uretra, visión anterior, 359
primordio, 389
uretra prostática, 376

Protrusión disco lumbar, 161

Protuberancia
mentoniana, 1
occipital
externa, 14, 152
interna, 9

Pterión, 4

Pubis, 348, 357, 383
cara sinfisaria, 412
cuerpo, 376
radiografía, 355
anteroposterior, 488
rama superior, 488, 493

Puente, 106, 114, 134-135
imagen
axial de RM, 150
sagital de RM, 149

Pulgar
falange distal, 457
inervación, 460
nervios digitales palmares propios, 460

Pulmones, 167-168, 170, 342
área
esófago, 196
tráquea, 196
borde
anterior, 196

inferior, 196
cara diafragmática, 196
derecho, 193, 196-198, 211, 243-245
lóbulo
inferior, 201, 293
medio, 201
superior, 201
segmentos broncopulmonares, 200, 201
visión medial, 199
escotadura cardíaca, 196, 198
fisura
horizontal, 196, 197, 198
oblicua, 196, 197
grandes vasos, 206
hilio, 196
impresión cardíaca, 196
in situ, visión anterior, 198
izquierdo, 197, 211, 215, 243, 245
fisura oblicua, 244
lóbulo
inferior, 201, 293
superior, 201, 242
segmentos broncopulmonares, 200, 201
visión medial, 199
língrula lóbulo superior, 198
lóbulo
inferior, 198, 200
visión medial, 199
medio, 198, 200
superior, 198, 200, 242
medial izquierdo, 198
nervios espinales, 170
nódulos linfáticos, 208
raíz, 193
segmentos broncopulmonares, 200, 201
surco esófago, 196
topografía, visión
anterior, 196
posterior, 197
vasos
linfáticos, 208
y nódulos linfáticos, 208
vértice, 196, 197
visión
anterior, 200
medial, 198, 199

Pulpa
dentaria, 57
esplénica, 299

Pulvinar, 110-111, 143-145
derecho, 144
izquierdo, 144
tálamo, 114

Punción lumbar, 162

Punto de McBurney, 283

Pupila, 81
músculo
dilatador, 88, 121, 132
esfínter, 88, 121, 132

Putamen, 108

Q

Quiasma
de Camper, 461
óptico, 48, 104, 106, 107, 114, 140, 141, 145, 146, 147

R

Radiación óptica, 120

Radio, 436, 438-440, 442-443, 465
borde interóseo, 439
cabeza, 439
derecha, 439
cara anterior, 439
cuello, 437, 439
escotadura cubital, 439
ligamento anular, 438
nervios cutáneo posterior y cutáneo lateral inferior del brazo, 479
radiografía, 437
rama anterior, 439
rotadores, 440
sección coronal, 439, 455
tubérculo dorsal, 452
tuberosidad, 437, 439
visión
anterior (palmar), 452
posterior (dorsal), 452

Radiografía
articulación cadera, 488
bario
apéndice vermiforme, 283
estómago, duodeno y yeyuno proximal, 279
íleon, 279
yeyuno, 279
carpo y mano, 457
codo, 437
colon, aire, 355
hombro, 422
lateral cráneo, 5
mano, 457
pelvis masculina y femenina, 355
rodilla, 510
tobillo, 526
tórax, 213
vértebras
cervicales, 21
lumbares
anteroposterior, 156
lateral, 156

Rafe
faríngeo, 37, 60, 63, 65, 67, 75, 76, 234
palatino, 52
perineal, 388
pterigomandibular, 15, 40, 52, 55, 65, 68
uretral, 388

Raíces
nervios espinales
anterior, 321
dorsal, 114, 169
filamentos, 160
relación vértebras, 161
ventral, 114, 170, 180, 321
visión
anterior, 169
posterior, 169
ungueal, 471

Rama
anastomótica, 301
isquiopubiana, 359, 361, 378, 379, 380, 382, 383, 384, 395
parietal, 220

Rama (cont.)

- pubis
 - inferior, 248, 486
 - superior, 248, 486, 496, 499

Ramo

- arteriales septales, 40
- comunicantes
 - blanco, 130, 132, 133, 134, 165, 167, 169, 180, 196, 209, 230, 240, 258, 267, 318, 324, 325, 345, 398, 412, 499
 - gris, 130, 132, 133, 134, 165, 167, 169, 170, 180, 196, 209, 230, 240, 258, 267, 318, 324, 325, 327, 344, 412, 498, 499
- espinal dorsal, 170, 258, 430
 - nervios
 - clúneos mediales, 545
 - cutáneos perforantes, 545
- simpático laringofaríngeo, 130
- subendocárdico, 225
- ventral, 170, 193
 - in situ, 160
 - T10, 345, 410

Rampa

- timpánica, 91, 95, 96
- vestibular, 91, 95, 96

Reborde pelvis, 370

- porción sacra, 157

Recepción sonido, vía, 92**Receptores**

- distensión, 210
- irritantes, 210
- tos, 210

Receso

- axilar, 423
- coclear, 95
- costodiafragmático, 198, 230-231, 293, 330, 332, 342, 349
 - derecho, 206
- epitimpánico, 92, 93
- esfenoetmoidal, 37, 38
- faríngeo, 37, 47, 64, 66
- hepatorrenal (fondo de saco de Morison), 331
- ileocecal
 - inferior, 281
 - superior, 281
- infundibular, 108
- intersigmoideo, 271, 340
- mesentericopericárdico, 179, 270, 271
- pineal, 108
- retrocecal, 271, 281
- subpoplíteo, 507, 508
- supraóptico, 106, 108
- suprapineal, 108

Recto, 263, 271, 284, 329, 356-357,

- 361, 363-365, 378, 384, 391, 393, 400, 412
- arterias, 398
 - marginal, 398
- capa muscular
 - circular, 393, 394
 - longitudinal, 393, 394
- conducto anal, 393
- fosas isquioanales, 392
- imágenes sagitales de RM, 397
- in situ, 391
 - mujer, 328, 396

- varón, 328, 396
- inervación, 168
- muscular mucosa, 394
- pliegues transversos, 393
- terminación, 376
- venas, 399
- vía linfática, 408

Red testicular, área, 390**Reflejo de Hering-Breuer, receptores**, 210**Reflejos aéreos, nervios inicio**, 210**Reflexión**

- pericárdica, 214, 220
- pleural, 196

Región

- epigástrica, 268
- faríngea
 - arterias, 69
 - nervios, 71
 - venas, 70
- hipogástrica o púbrica, 268
- ileocecal, 281, 282
- inguinal, 259
 - visión
 - anterior, 259
 - posterior, 259
- lumbar, 268
- oral
 - arterias, 69
 - nervios, 71
 - venas, 70
- umbilical, 268

Relieve labioescrotal, 388**Resonancia magnética (RM)**

- cabeza, 149, 150
- pelvis, 397

Retina, 91

- áreas
 - no pigmentadas, 91
 - pigmentadas, 91
- estructura, 120
- porción
 - ciliar, 87, 88
 - irídea, 88
 - óptica, 87, 89
- proyección, 120

Retináculo

- extensor, 444, 446, 468-470, 530, 542
 - inferior, 530, 542
 - superior, 519, 521, 530
- flexor, 447, 460-462, 465, 474, 516-517, 534-535, 541
 - extirpado, 454
 - transverso, 465
- peroneo
 - inferior, 518, 521, 525, 527
 - superior, 516, 517, 521, 527
- rotuliano
 - lateral, 492, 493, 507, 508, 519, 520
 - medial, 492, 493, 501, 506, 508, 519, 520
 - tracto iliotibial, 508

Riñón, 167, 179, 272, 278, 338

- arterias
 - interlobulares, 335
 - radiadas corticales, 335
 - radiada perforante, 335
- base pirámide, 334
- borde

- lateral, 334
- medial, 334
- cálices
 - mayores, 334
 - menores, 334
- cápsula fibrosa, 334
- cara
 - anterior, 335
 - posterior, 335
- columna renal, 334
- corteza, 334, 336-337
 - renal, 338
- derecho, 197, 275, 298, 329, 330, 340, 342, 347
- hilio, 334
- imágenes axiales de TC, 350
- in situ
 - posterior, 330
 - visiones anteriores, 329
- inervación, 345
- izquierdo, 98, 197, 273, 329, 331, 340, 347
- médula, 334
- nervios, 334
- papila renal, 334
- polo
 - inferior, 334
 - superior, 272, 297, 334
 - sección transversal, 338
- prenatal, 229
- retroperitoneal, 288
- sección frontal, 329
- vasos
 - sanguíneos, 332-333, 347
 - parénquima, 334, 337
 - y nódulos linfáticos, 343
- zona
 - externa, 336, 345
 - interna, 336
 - subcapsular, 336, 337,

Rodete

- acetabular, 352, 487
- glenoideo, 423
- tubárico, 37, 39

Rodilla

- arterias, 507
- cápsula articular, 506, 508, 519
- cavidad articular, 511
- cuerpo calloso, 146
- derecha
 - extensión, 507, 509
 - flexión, 509
- extensión, 507
- flexión, 509, 543
- ganglio geniculado, 116, 131, 135
 - localización, 124
 - nervio facial, 97, 116, 125
- inserción, 511
- interior, 508
- ligamentos, 508-509
 - colaterales, 509
 - cruzados, 509
- ligera flexión, 507
- radiografía anteroposterior, 510
- visión(es)
 - anteriores, 507, 508
 - lateral, 506
 - medial, 506
 - posterior, 511

Rodilla (*cont.*)

sagital, 511

Rótula, 485, 492-494, 501, 507, 511, 519, 521

radiografía, 510

anteroposterior, 510

S**Saco**

alveolar, 204

de Hartmann. *V. Infundibulo (saco de Hartmann)*

dural

imágenes sagitales de RM, 397

punción lumbar, 162

terminación, 160, 161

endolinfático, 96

herniario, 261

cuello, 261

lagrimal, 81-82

fosa, 2, 4

pericárdico, visión

anterior, 215

lateral izquierda, 215

tecal, imágenes sagitales de RM, 397

Sacro (S1-5), 152, 160

ala, radiografía, 355

apófisis articular superior, 157

arterias, 171

base, 157

cara

articular, 157, 486

auricular, 155

dorsal, 157

pélvica, 157

caras articulares apófisis articular

superior, 157

cresta sacro, 157

crestas trasversas, 157

imágenes sagitales de RM, 397

nervios espinales, 161

promontorio, 157

radiografía, 355

sección

coronal, 157

sagital media, 157

tuberosidad sacra, 157

vértice, 157

visión

anterior, 153, 171

lateral izquierda, 153

posterior, 153

Sáculo, 92, 95, 96, 124**Sección transversal**

abdomen

L1-2, 339, 349

L3, 349

L3-4, 349

T10, 293

T12, 297, 331, 338

antebrazo, seriado, 449

duodeno descendente, 179

escroto, 390

testículo, 390

vesícula biliar, 297

Segmentos

broncopulmonares, 200-201

nomenclatura, 203

visión

anterior, 200

lateral, 201

medial, 201

posterior, 200

renal

arterias, 335

vascular, 335

Semilunar, 376, 456, 487

área, 439

radiografía, 457

sección coronal, 455

visión

anterior (palmar), 452

posterior (dorsal), 452

Seno

anal, 393

aórtico, 223, 224

carotídeo, 125, 130, 131, 210

cavernoso, 85, 100, 104, 136, 140

sección coronal, 104

vena

emisaria comunicante, 70

hipofisaria eferente, 148

visión superior, 104

confluencia, 144-145

imagen axial de RM, 150

coronario, 214-216, 221, 233, 241

orificio, 220, 223

válvula, 220

esfenoidal, 6, 37-39, 48-49, 63-64, 83

cubierta ósea, 50

imagen

axial de RM, 150

sagital de RM, 149

imágenes coronales de TC, 151

orificio, 6, 37, 38, 49

esfenoparietal, 103, 145

etmoidal

imagen axial de RM, 150

imágenes coronales de TC, 151

frontal, 3, 5, 37-39, 48, 63

crecimiento, 50

hueso frontal, 50

galactóforo, 182

intercavernoso

anterior, 103

superior, 103

maxilar, 3, 5, 44, 47-49

abertura hiato semilunar, 50

crecimiento, 50

fibras posganglionares vasos y

glándulas, 44

imagen

axial de RM, 150

sagital de RM, 149

imágenes coronales de TC, 151

mucosa, 45

orificios, 37, 38, 48, 49, 50

receso

alveolar, 48

cigomático, 48

infraorbitario, 48

occipital, 103, 144

surco, 9

paranasal, 47-50

cambios edad, 50

dissección lateral, 49

huesos nacimiento, 50

sección

coronal, 48

horizontal, 48

sagital, 49

transversal, 47

pericardio

oblicuo, 215, 246

transverso, 215, 220

petroso

inferior, 11, 103

surco, 6, 9

superior, 97, 103

surco, 9

prostático, 384, 385

recto, 144, 146

tienda cerebelo, 103

renal, 337

grasa, 334

perirrenal, 337

sagital

inferior, 103, 144, 156

superior, 99-100, 102-103, 106, 109,

144-145

imagen axial de RM, 150

sigmoideo, 11, 97, 103

surco, 6, 9

tarso, 523, 524

transverso, 97, 103, 145

izquierdo, 144

pericardio, 212

surco, 9

urogenital, 389

venoso escleral (conducto de Schlemm),

87-88, 90-91

venas, 91

venosos duramadre, 104

sección

coronal, 104

sagital, 103

visión superior, 104

Septo(s)

interalveolares, 15

interatrial, 220, 246

interventricular, 216, 220

porción muscular, 220, 223, 224,

225

membranoso, porción

atrioventricular, 222, 223, 225

interventricular, 223, 225

mesotelial, 169

tabique, 205

pelúcido, 106, 108, 110-112, 141, 143,

145, 147

vena anterior, 145, 146

venas posteriores, 146

Serosa

apéndice vermiforme, 283

bazo, 299

íleon, 280

yeyuno, 280

Signo de Babinsky, 101**Silla turca**, 6, 9, 39

hipófisis, 37

Sincondrosis

esfenoccipital, 63

manubrioesternal, 419

Sínfisis pubis, 247, 259, 263

imágenes sagitales de RM, 397

Sínfisis pubis (cont.)

- mujer, 354
- porción superior, 376
- radiografía, 355
- varón, 354

Sinusoide, 290, 291, 292**Sistema**

- biliar intrahepático, esquema, 292
- conducción, 225
- nervioso
 - autónomo
 - esquema, 187
 - topografía, 167
 - parasimpático
 - esquema, 168
 - topografía, 166
- porta hipofisario, plexo
 - primario, 148
 - secundario, 148

Submucosa

- apéndice vermiforme, 283
- estómago, 277
- intestino, 326

Suelo pelvis

- contenido, 354-356
- femenina, 356

Surco

- calcarino, 105, 106, 107, 111
- carotídeo, 9
- central, 106
- cingular, 106
- colateral, 106
- coronal, 246, 385, 388
- coronario, 214
- costal, 186
- de Rolando, 105, 106
- de Silvio, 141
- frontal
 - inferior, 105
 - superior, 105
- gingival, 57
- hipocampo, 112
- hipotalámico, 106, 147
- infraorbitario, 2
- interesfinteriano, 392, 393, 394
- interventricular
 - anterior, 246
 - posterior, 214, 215
- intraparietal, 105
- lateral, 107
 - cerebro, 141
 - ramos anterior, ascendente, posterior, 105
- limitante, 115
- línea media, 58
- marginal, 106
- medio dorsal, 115
 - tabique mesoepitelial, 169
- milohioideo, 326
- nasolabial, 1
- nasoóptico, 50
- obturador, 486
- occipital transverso, 105
- occipitotemporal, 106-107
- olfatorio, 107
- orbitario, 107
- palmar proximal, 418
- paracentral, 106
- paracólico

- derecho, 271, 281, 362, 363
- izquierdo, 271, 362, 363
- parietooccipital, 105, 106, 143
- poscentral, 105
- precentral, 105
- prequiasmático, 9
- rinal, 106, 107
- semilunar, 105
- temporal, inferior, 107
- terminal, 58, 214
- urogenital, 388
- vasos meníngeos
 - anterior, 9
 - medio, 6, 7, 9
 - posterior, 9
- vómer, 39

Sustancia

- blanca espinal, 169
- gris, 169
 - asta lateral, 170, 325, 346
 - cuerpos celulares simpáticos
 - preganglionares, 132
 - espinal, 169
 - núcleo intermediolateral, 44, 132, 134
- negra, 107
- perforada, 114
 - anterior, 107, 114, 119
 - posterior, 107, 114

Sustentáculo astrágalo, 523, 524**Sutura**

- coronal, 2, 5
- escamosa, 12
- intermaxilar, 36
- palatina
 - media, 8
 - transversa, 8
- sagital, 7, 12

T**Tabaquera anatómica**, 444

- arteria radial, 469, 470

Tabique

- intercavernoso, 382, 385
- fascia profunda, 381
- intermuscular
 - anterior, 522
 - anteromedial, 492, 500, 501
 - lateral, 430, 432, 435, 445, 448
 - brazo, 477
 - medial, 430, 432, 433, 445, 446, 447, 448
 - posterior, 522
 - transverso, 522
- nasal, 39, 41-42, 47-48, 63, 66
- cartílago, proceso lateral, 38
- crecimiento, 48
- imagen
 - axial de RM, 150
 - coronal de TC, 151
- orbitario, 81

Tálamo, 106, 108, 110, 112, 114, 145,

- 147, 324
- esquema, 111
- estría
 - medular, 106
 - terminal, 111

- imagen sagital de RM, 149
- izquierdo, 144
 - cuerpos geniculados, 143
 - núcleo ventral posteromedial, 135
 - núcleos, 111
 - pulvinares, 107, 111, 143, 145

Tallo

- hipofisario, 147
- infundibular, 147

Tarso

- inferior, 81
- párpados, 81
- superior, 81

Techo tímpano, 92, 93**Tejido(s)**

- areolar, 179, 251, 361, 471
- conectivo
 - hígado, 291
 - subseroso, 326
- fibroadiposo alar, 36, 38
- perianales, 388
- subcutáneo
 - abdomen, 249, 252
 - glándula mamaria, 182
 - lámina adiposa, 348, 361, 378
 - de Camper y de Scarpa, 249
 - superficial, 380
 - membranoso, 348, 361, 378
 - profundo, 380, 381
 - vaina recto, 252

Tela coroidea, 108, 111, 145**Tendón**

- abductor largo pulgar, 444, 469, 470
- aductor mayor, 501, 506, 510, 511
- braquiorradial, 448, 449
- calcáneo, 485, 515-518, 521, 527
 - inserción músculo sóleo, 515, 517
- cuádriceps, 493
 - femoral, 485, 492, 501, 506, 511, 520, 521
- de Aquiles. V. *Tendón calcáneo*
- dorsal ancho, 244-245
 - izquierdo, 244
- extensor, 420, 441, 444
 - carpo, 470
 - común, antebrazo, 420, 441, 444
 - dedos, 464
 - largo pulgar, 444, 469, 470
 - mano, 445
- flexor
 - cubital carpo, 418, 454, 460, 465
 - largo pulgar, 454
 - profundo, vaina flexora común, 460
 - radial carpo, 447, 454
 - superficial
 - dedos, 418, 454, 460, 471
 - vaina tendinosa común, 460
- flexores
 - carpo, 461
 - comunes, antebrazo, 443, 446
 - dedos, 443
 - profundo y superficial, 462
- grácil, 485, 492, 493, 506, 507
- iliopsoas, 504
- infraespinoso, 423, 425
- intermedio digástrico, 60
 - asa fibrosa, 28, 29, 53
- músculo

Tendón (cont.)

- extensor dedo meñique, 469
- subescapular
 - orificios, 423
 - posición, 423
- obturador interno, 359
- palmar largo, 418, 420, 446, 450, 475
- pectoral menor, 429, 430
- peroneo, 525
 - corto, 530, 535
 - largo, 535-536
 - vaina fibrosa, 535
- plantar, 495, 516, 517, 522
- poplíteo, 508, 510
- psoas, 376
- recto femoral, 485, 492-493, 505, 507, 519
 - origen, 492
- sartorio, 492, 493
- semimembranoso, 506, 508, 511, 518
 - surco inserción, 513
- semitendinoso, 492, 493, 506, 507
- supraespinoso, 423, 425
- tibial anterior, 485, 494, 536, 542
 - inserción, 515
 - tendón, 530
 - vaina tendinosa, 530

Tenia

- libre, 271, 281, 282
- mesocólica, 281, 282, 284
- omental, 281, 284

Testículo, 361, 386, 389-390, 416

- apéndice, 387, 389
- arterias y venas, 401
- descenso, 386
- esquema, 390
- fascia espermática externa, 405
- imágenes sagitales de RM, 397
- lámina visceral, 387
- lobulillos, 390
- sección transversal, 390
- septos, 390
- túnica albugínea, 390
- vías linfáticas, 408

Tibia, 511, 530

- borde
 - anterior, 485, 513, 514
 - interóseo, 513, 514
 - medial, 513, 514
- cara
 - articular
 - inferior, 513, 514
 - superior, 514
 - lateral, 513, 514
 - medial, 513, 514
 - posterior, 514
- cóndilo
 - lateral, 494, 510, 513
 - medial, 513, 514
- línea oblicua, 513
- radiografía, 510
- sección transversal, 514
- tuberosidad, 492, 493, 511, 513, 514
- visión
 - anterior, 513
 - inserciones ligamento posterior, 513
 - posterior, 513
 - superior, 514

Tienda cerebello, 86, 101, 103, 144-145

- imagen sagital de RM, 149
- seno recto, 106

Timo, 211, 230, 244**Tobillo**

- dorsiflexión y flexión plantar, 543
- ligamento
 - lateral, 514
 - medial, 514
- ligamentos, 527
 - y tendones, 514
- radiografía, 526
- tendones, 527

Tomografía computarizada (TC)

- abdominal, 350
- arterias
 - brazo, 484
 - miembro superior, 484
- cabeza, 150
 - imágenes coronales, 151
- tórax, 242

Tonsila

- faríngea, 37, 63, 64, 66, 67
- lingual, 58
- palatina, 51, 52, 58

Toracocentesis, 190**Tórax**

- anatomía de superficie, 181
- esqueleto óseo, 185
- imágenes axiales de TC, 242
- nervios autónomos, 209
- radiografía, 213
- secciones transversales, 246
 - nivel
 - T3-4, 244
 - T4-5, 245
 - T7, 246
 - inferior T3, 243

Trabécula, 148

- arteria, 148
- carnosas, 220
- esplénicas, 299
- fibrosa, 147
- septomarginal, banda moderadora, 220, 224, 225

Tracto

- biliar
 - inervación, 327
 - intrahepático, 292
- espinal, 125-126
 - nervio trigémino, 116, 117
- hipotalamohipofisario, 147
- iliopúbico, 259, 362, 363, 364
- iliotibial, 485, 492, 494-495, 502, 506-507, 514-515, 519-520
- bolsa profunda, 506, 507
- inserciones, 515
 - retináculo rotuliano lateral y cápsula, 508
- mamilotálámico, 147
- olfatorio, 106-107, 114
 - núcleo lateral, 119
- óptico, 107, 108, 112, 114, 144
- supraopticohipofisario, 147
- tectoespinal, 132
- tuberohipofisario, 147

Trapezio, 456

- sección coronal, 455
- tubérculo, 452, 454, 456

- visión
 - anterior (palmar), 452
 - posterior (dorsal), 452

Tráquea, 29, 74-75, 77, 126, 168, 196, 198, 202, 211, 213, 230, 234, 237, 243-244

- arterias, 202
- bifurcación, imágenes axiales de TC, 242
- cartílago, 28, 202
- epitelio, 202
- fibras elásticas, 202
- mucosa pared posterior, 202
- nervio, 202
- sección transversal, 202

Tríada portal, 273, 278, 290, 297-298

- sección transversal, 273

Triángulo

- anal, 380
- auscultación, 152, 246, 424
- de Calot, 301
- de Hesselbach. V. *Triángulo inguinal (de Hesselbach)*
- de Petit. V. *Triángulo lumbar (de Petit)*
- deltopectoral, 247, 424
- esternocostal, 195
- hepatocístico, 301
- inguinal (de Hesselbach), 259
- lumbar (de Petit), 152, 254
 - músculo oblicuo interno abdomen, 174
- lumbocostal, 195
- suboccipital, 178
- urogenital, 380

Trígono

- colateral, 111
- fibroso
 - derecho, 222
 - izquierdo, 222
- habénula, 111, 115
- olfatorio, 119
- vejiga urinaria, 361, 365, 366, 385

Trocánter

- mayor, 248, 376, 485, 487, 489, 492, 495-496, 503
 - radiografía, 355
 - anteroposterior, 488
- menor, radiografía, 355

Tróclea, 420**Trompa**

- auditiva (faringotimpánica, de Eustaquio), 92-93, 96, 125-126
 - cartílago, 47
 - faríngeo, 63, 64, 66, 125
 - porción cartilaginosa, 52, 55, 64, 65, 67
 - surco, 8
- de Eustaquio. V. *Trompa auditiva (faringotimpánica, de Eustaquio)*
- de Falopio. V. *Trompa uterina (de Falopio)*
- faringotimpánica. V. *Trompa auditiva (faringotimpánica, de Eustaquio)*
- uterina (de Falopio), 360, 362, 369-370, 389, 400, 412, 415
 - ampolla, 371, 372
 - fimbrias o franjas, 371, 372
 - infundíbulo, 371, 372
 - istmo, 371

Trompa (cont.)

- orificio abdominal, 371
- pliegues, 371
- porción uterina, 371

Tronco

- braquiocefálico, 33, 74, 75, 76, 136, 193, 206, 211, 212, 214, 232, 237, 243, 420
- celíaco, 165, 195, 206, 278, 298, 300, 305, 321, 324, 328-329, 333
 - arteriografía, 303
 - bifurcación, 297
 - origen común, 302
 - prenatal, 229
 - sección transversal, 338
 - variaciones, 302
- costocervical, 33, 69, 136, 137, 138
- encéfalo
 - núcleos nervios craneales, 116-117
 - disección medial, 117
 - esquema, 117
 - visión posterior por transparencia, 116
 - seccionado, 107
 - visión anterior, 114
- esplenogástrico, 302
- esplenomesentérico, 302
- hepatogástrico, 302
- intestinal, 266
- linfático, 316
 - broncomediastínico, 208
 - derecho, 266
 - izquierdo, 266
 - intestinal, 316
 - lumbar
 - cisterna quilo y conducto torácico, 343
 - derecho e izquierdo, 316
 - subclavio, 208
 - yugular, 208
- lumbar
 - ascendente, 195, 263, 265, 332
 - derecho, 266
 - izquierdo, 266
- lumbosacro, 267, 496, 498, 499, 538, 539
- meningohipofisario, 100
- nervio espinal, 258
- pulmonar, 206, 212, 215, 220, 224-225
 - bifurcación, 215
 - infundíbulo, 224
 - prenatal, 229
- simpático, 125, 133, 192, 210, 230, 258, 263, 267, 290, 324-325, 327, 344, 409, 412, 499
- cervical, 131, 165, 240
 - ganglio vertebral, 240
- derecho, 194, 318, 328, 331, 346
- ganglio, primero torácico, 132
- ganglios, 321, 325, 344-345
 - torácicos, 321
- izquierdo, 194, 318, 324, 346
- lumbar izquierdo, 323
- sacro, 323
 - derecho, 412
 - izquierdo, 412
- torácico, 240
- subclavio
 - derecho, 266

- izquierdo, 266
- tirocervical, 32, 74-76, 237, 427
 - derecho, 137
- vago, 263, 321-323, 328
 - anterior, 126, 166, 209, 318-321, 327, 344, 346
 - ramo
 - celíaco, 319, 320, 321, 322
 - gástrico anterior, 319
 - hepático, 126, 319, 320, 323, 327
 - ramos gástricos, 126
 - posterior, 166, 318, 320-323, 327-328, 344, 346
 - ramo
 - gástrico posterior, 320, 328
 - plexo celíaco, 240
 - ramos celíacos, 216, 319, 320, 321, 322
 - yugular, 72
 - derecho, 266
 - izquierdo, 266

Tuber cinereum, 106-107, 114

- eminencia media, 147

Tubérculo

- aductor, 489
- anal, 388
- articular, 55
- auricular (de Darwin), 93
- corniculado, 77
- cuneiforme, 66, 67, 78, 114
- de Gerdy, 494, 513
- de Lister: V. *Tubérculo dorsal radio (de Lister)*
- dorsal radio (de Lister), 452
- faríngeo, 64, 65, 67
- genital
 - apéndice epitelial, 388
 - área glande, 388
 - porción lateral, 388
- grácil, 114, 115
- ilíaco, 353
- infraglenoideo, 420, 421
- olfatorio, 119
- pubis, 247, 250, 263, 486, 492, 493
- silla, 9
- supraglenoideo, 420

Tuberosidad

- deltoidea, 420
- glútea, 489
- ilíaca, 248
- isquiática, 248, 352-353, 359, 378-379, 381, 390, 395, 398, 486-487, 502-503
 - mujer, 354
- radiografía, 355
 - anteroposterior, 488
- varón, 354

Tubos drenaje torácico, situación, 190**Túbulo**

- colector, 336-337
- esquema, 337
- contorneado
 - distal, 336
 - proximal, 336
- dentinarios, 57
- mesonéfrico
 - craneal, 389
 - vestigial, 390

- paramesonéfrico, 389
- seminífero, 390

Túnel carpiano, 461

- sección transversal, 461
- visión palmar, 454

Túnica

- albugínea, 390
- vaginal, lámina
 - parietal, 390
 - visceral, 390

U**Uncus**, 106, 107, 119**Unidad osteomeatal**, 37**Unión**

- anorrectal, capa muscular circular, 359
- duodenoyeyunal, 179
- esclerocorneal, 81
- esofágica, 236
- esofagogástrica, 236
 - sección transversal, 293
- faringoesofágica, 235
- ileocecal, fibras musculares, 282
- manubrioesternal, 245
- mucosa gastroesofágica, 276
- rectosigmoidea, 284, 391, 393, 394
- ureteropélvica, 339
- U-V, 372
- vesicoprostática, 376

Uña

- cuerpo, 471
- lecho ungueal, 471
- lúnula, 471

Ureter, 02, 271, 334, 341, 362-366, 391, 400, 403, 410, 412

- arterias, 341
- derecho, 318, 329, 340, 372
- izquierdo, 340
- mujer, 340
- nervios, 344, 345
- recorrido diagonal, 340
- retroperitoneal, 340
- superior, inervación, 345
- varón, 340

Uretra, 263, 367, 372, 389

- cavernosa, 368, 385
 - porción
 - bulbar, 371
 - péndula, 371
- esponjosa, porción bulbar, 366
- extensiones musculofasciales, 357
- femenina, 356-357, 360-361, 389
 - reconstrucción esquema, 379
 - sección frontal, visión anterior, 379
- inicio, 376
- masculina, 381, 383
 - hiato, 358
 - suelo, 385
 - techo, 385
- membranosa, 368, 385, 408
 - vía linfática, 408
- niño, 368
- prostática, 366, 368, 376, 384, 385

Útero, 370, 380, 388-389, 400, 412

- anteflexión, 377
- arterias y venas, 404
- cambios edad y patrón muscular, 373

Útero (cont.)

- cuello o cérvix, 360, 364, 369, 370, 371
- cuerpo, 360, 371
- fondo, 360, 362, 365, 369, 371
- grados de retroversión, 377
- imágenes sagitales de RM, 397
- ligamento redondo, 340, 389
- orificio
 - externo, 371
 - interno, 371
- retraído, 412
- sección frontal, 371

- Utrículo**, 92, 95-96, 124
- prostático, 389

Úvula, 51

- vejiga urinaria, 366, 385

V

Vagina, 367

- cuatro quintos superiores, 389
- estructuras soporte, 370
- extensiones musculofasciales, 356
- imágenes sagitales de RM, 397
- porción
 - horizontal, 372
 - vertical, 372
- vestíbulo, 370, 377

Vaina

- carotídea, 28, 32
- nervios craneales, 60
- fascial
 - globo ocular (cápsula de Tenon), 83, 87
 - lumbosacra, 462
 - lumbrical, 460
- femoral, 250, 251, 262, 500, 546
- fibrosa planta pie, 534
- flexores, común, 460
- hipogástrica, 364
- recto, 83, 189, 249-250, 349
- lámina
 - anterior, 188, 250, 252, 259, 424
 - posterior, 251, 252, 257, 259
- sección transversal, 252
- tejido conectivo, 202
- tendinosa
 - común flexores, 460
 - cubital común, 462
 - dedo, 471
 - fibrosa, planta pie, 533
 - vaina fibrosa, porciones anular y cruciforme, 460
 - intertubercular, 423

Valécula, 58

Valva semilunar, nodulillo, 223

Válvula

- anal, 393
- aórtica
 - anatomía, 23
 - valvas semilunares, 221-225
 - izquierda, 224
- atrioventricular
 - derecha. V. *Válvula tricúspide*
 - izquierda. V. *Válvula mitral*
- mitral, 213, 225
 - anatomía, 223
 - anillo fibroso, 222
 - izquierdo, 222
 - valva, 246
 - anterior, 222, 223, 224
 - posterior, 222, 223, 224
- pulmonar, 213, 220, 222, 225
- valva semilunar, 220, 222
- tricúspide
 - anatomía, 223
 - anillo fibroso derecho, 222, 225
 - orificio, 246
 - posterior, 222, 223, 224
 - valva
 - anterior, 222, 223, 224
 - septal, 222, 223, 224

Válvulas

- de Houston, 393
- de Kerckring, 279, 280

Vasculatura cerebral, 136-138, 139-141, 143-144, 145-146

Vasos

- conjuntivales, 90, 91
- cremastéricos, 260, 401
- epigástricos
 - inferior, 251, 259, 261, 349, 362, 363, 401, 403
 - superficial, 249, 500
 - superior, 331, 500
- esfenopalatinos, 11
- esplénicos, 274, 348, 349
- femorales, 260, 401, 407
 - orificios, 263, 500
- gástricos cortos, 331
- gastromentales
 - izquierdos, 299
 - unión omento mayor, 274
- hipotalámicos, 148
- ilíacos
 - circunflejos
 - profundos, 364, 403
 - superficiales, 249, 500
 - comunes, 271, 401, 412
 - externos, 259, 260, 281, 311, 360, 361, 362, 364, 372, 392, 401, 403
 - internos, 311
- intercostales, 331
- linfáticos
 - cabeza y cuello, 72
 - estómago, 314
 - glándula mamaria, 184
 - hígado, 291
 - interlobulares, 208
 - intestino
 - delgado, 316
 - grueso, 317
 - medulares (riñón), 343
 - miembro
 - inferior, 546
 - superior, 483
 - pared abdominal posterior, 266
 - pelvis y genitales, 408
 - masculinos, 408
 - periné femenino, 407
 - perineales, 317
 - pulmón, 208
 - riñones y vejiga urinaria, 343
 - tráquea, 202
 - vías drenaje, 204
- meníngeos medios, 10
- mesentéricos superiores, 278, 349

- obturadores, 259
 - anastomóticos, 262, 263
 - derecho, 403
- ováricos, 332, 340, 362, 364, 404
 - derechos, 311
 - izquierdos, 311
 - ramas tubáricas, 404
- palatinos, mayores, 10
- pericardiofrénicos, 215
- poplíteos, 495
- pudendos
 - externos
 - profundos, 401, superficiales, 401
 - internos, 392
 - superficiales, 249, 500
- rectales superiores, 274
- rectos
 - falsos, 337
 - verdaderos, 337
- retina, derecha, 90
- sanguíneos, inervación, 228
- sigmoideos, unión, 274
- testiculares, 340, 363
 - cordón espermático, 401
 - izquierdos, 332
 - vías linfáticas, 408
- uterinos, 360-361, 371
 - ramas ováricas, 372
- vesicales, vía linfática, 408

Vejiga urinaria, 167, 269, 323, 329, 340, 367, 412

- arterias, 341
- cistouretrografía, 368
- cuello, 362, 365, 366
- cuerpo, 361, 365, 366
- fascia, 361, 364
- fondo, 361, 365, 366
- imágenes sagitales de RM, 397
- inervación, 168, 417
- interior, 376
- ligamento lateral, 364
- mucosa, 340
- mujer, 366
- nervios, 344
- orientación y soporte, 365
- orificio ureteral, 366
- trígono, 361, 365, 366, 385
- úvula, 366, 385
- varón, 366
- vasos y nódulos linfáticos, 343
- vértice, 361, 365

Velo medular

- inferior, 106, 113
- superior, 106, 113, 114, 115

Vena(s)

- hemisférica cerebelosa, inferior, 144
- ácigos, 17, 21, 153, 194, 206-207, 209, 230, 241, 245-246, 293, 331, 349
- arco, 230, 232, 244
- imágenes axiales de TC, 242
- surco, 199
- alveolar
 - inferior, 60, 70
 - superior posterior, 60, 70
- anastomótica
 - inferior (de Labbé), 102, 145
 - superior, 102

Vena(s) (*cont.*)

- angular, 23, 70, 85
- antebrazo, 480
 - intermedia, 418, 479
 - mediana, 449
- apendicular, 311, 312
- arqueada, 337
- auricular posterior, 23, 70
- axilar, 189, 198, 256, 428
 - nódulos linfáticos, 483
 - tributarias intercostales, 256
- basal, 144, 145, 146
- basílica, 418, 429, 449, 468, 480, 483-484
 - intermedia, 480
- basivertebral, 137, 173
- bazo, 309
- braquial, 429, 435
- braquiocefálica, 74, 208
 - derecha, 75, 137, 206, 210, 211, 212, 230, 243
 - izquierda, 70, 75, 137, 206, 211, 212, 230, 231, 243
 - surco, 199
- bronquial
 - derecha, 207
 - izquierda, 207
- capsular, 337
- cardíaca
 - anterior, 216
 - cara
 - diafragmática, 216
 - esternocostal, 216
 - magna, 216
 - media, 216
 - menor, 216
- cava
 - inferior, 179, 194, 206, 209, 213, 215, 220, 225, 230, 272-273, 278, 293, 297-298, 330-331, 333, 339, 342, 347, 412
 - imágenes axiales de TC, 242, 350
 - izquierda persistente, 333
 - orificio, 223
 - sección transversal, 297, 338
 - válvula, 220
 - vena renal derecha, 339
 - superior, 74-75, 206, 211, 213, 215, 220, 224-225, 230, 244-246
 - imágenes axiales de TC, 242
 - prenatal, 229
- cecal
 - anterior, 311, 312
 - posterior, 311, 312
- cefálica, 181, 188-189, 256, 418, 424, 428-429, 449, 468, 479-480, 483-484
 - accesoria, 479, 480
 - intermedia, 480
- central, 290-291
 - hígado, 290, 291
- cerebelosa
 - hemisférica inferior, 151
 - precentral, 144
 - superior, 144
- cerebral magna (de Galeno), 103, 104, 106, 144, 145, 146
- cerebrales
 - anterior, 144, 145, 146
- espacio subdural, 99
- inferior, 102, 104, 145
- interna, 99, 108, 111, 144, 145, 146
- lateral directa, 146
- magna, 103-104, 106, 115, 144-146
 - cisterna cuadrigémina, 109
- media
 - profunda, 144, 145, 146
 - superficial, 145
- profunda, 99
 - media, 144, 145
- superficial, 99, 102
 - media, 99, 102, 104
 - superior, 102
 - orificio, 101
- cervical
 - derecha, profunda, 137
 - profunda, 137
 - derecha, 137
 - izquierda, 137
 - superficial, 177
 - transversa, 70, 177
- cigomaticofacial, 23
- cigomaticotemporal, 23
- ciliar anterior, 88, 90, 91
- circunfleja humeral, 479
- cística, disposición típica, 313
- codo
 - intermedia, 480
 - mediana, 418, 479, 483, 484
- cólica
 - derecha, 311, 312, 313
 - izquierda, 311, 312, 313
 - media, 298, 303, 311, 312
- comunicante, 31, 137
- conjuntival posterior, 91
- coroidea, 91
 - bulbo, 91
 - superior, 99, 145, 146
- coronaria, variaciones, 217
- cortical radiada, 337
- de Galeno. V. *Vena cerebral magna (de Galeno)*
- de Labbé. V. *Vena anastomótica inferior (de Labbé)*
- de Rosenthal, 144, 145, 146
- digital dorsal, 468, 480, 544
- diploica, 102
 - disección coronal, 99
 - frontal, 99
 - occipital, 99
 - temporal
 - anterior, 99
 - posterior, 99
- directa lateral, 145, 146
- emisaria, 99, 102
 - agujero parietal, 7
 - comunicante seno cavernoso, 70
- condilea, 137
- cráneo, 99
- disección coronal, 99, 102
- mastoidea, 23, 99, 137
- occipital, 99
- parietal, 23, 94, 99
- seno sagital superior, 7
- encéfalo, 146
- epiescleral, 90-91
 - segmento, 91
- epigástrica
 - inferior, 251, 256, 265, 400
 - superficial, 247, 256, 265, 544
 - superior, 189, 256
- escrotal anterior, 256
- esofágica, 312, 313
- espinal
 - anterior, 144, 173
 - posterior, 144, 173
- esplénica, 273, 297, 299, 303, 306, 311-313, 315
 - sección transversal, 338
- estrelladas, 334
- etmoidal
 - anterior, 122
 - posterior, 122
- facial, 23, 30, 32, 59-60, 85
 - profunda, 23, 85
 - transversa, 23, 70
 - tronco común, 23
- femoral, 250, 256, 376, 380, 493, 500, 505, 544, 546
- fosa craneal posterior, 144
- frénica, inferior, 320
 - izquierda, 320
- gástrica
 - corta, 309, 311, 312, 313
 - derecha, 309, 310, 311, 312, 313
 - izquierda, 309-313
 - tributaria esofágica, 309
- gastrointestinal, 312
 - derecha, 309, 311, 312, 313
 - izquierda, 309, 311, 312, 313, 314
- glándulas suprarrenales, 347
- glútea
 - inferior, 311
 - superior, 311
- hemiácigos, 236, 245
 - accesoria, 194, 207
- hepática, 194, 232, 265, 274, 287, 290, 309
- prenatal, 229
- hipofisaria eferente, 140
 - seno cavernoso, 148
- hipotálamo, 148
- ileocólica, 311, 312, 313
- iliolumbar, 30, 353
- infraorbitaria, 23, 70
- intercapitular, 468, 480
- intercostal
 - anterior, 256
 - posterior, 230, 231
 - superior
 - derecha, 230
 - izquierda, 231
- intervertebral, 137, 173
- intestinal
 - delgado, 309
 - grueso, 311, 313
- intraculmen, 144
- intrínseca, ojo, 90
- labial
 - inferior, 70
 - superior, 70
- laríngea superior, 235
- lingual
 - dorsal, 59
 - profunda, 59, 70
 - tronco común, 59
- lumbar ascendente, 332
- maxilar, 85

Vena(s) (cont.)

- medular
 - anteromediana, 144
 - posterior, 173
 - segmentaria, 173
 - segmento anterior, 173
- menígea media, 102
- mesencefálica
 - lateral, 144
 - posterior, 144, 146
- mesentérica
 - inferior, 270, 298, 311, 312, 313, 315
 - superior, 179, 279, 306, 311-313, 338-339, 342
 - relaciones, 310
 - sección transversal, 338
- metacarpiana dorsal, 468
- metatarsiana dorsal, 544
- muscular, 90
- musculofrénica, 189, 256
- nasal
 - dorsal, 23
 - externa, 70
- nasofrontal, 23, 85
- oblicua atrio izquierdo, 214, 215, 221
- obturatriz, 311, 376
 - anastomótica, 265
- occipital, 23
 - interna, 146
- oftálmica
 - inferior, 85, 91
 - superior, 83, 85, 91
- ovárica
 - derecha, 311, 332
 - izquierda, 311, 329, 332
- palatina, 70
 - externa, 70
- pancreática, 309, 311, 313
 - dorsal o superior, 313
 - mayor, 313
- pancreatoduodenal
 - anterior, 312
 - inferior, 313
 - anterior, 311
 - posterior, 311
 - posterior, 312, 313
 - superior, 312
 - anterior, 311
- paraumbilical, 312
 - ligamento redondo hígado, 256
 - tributarias, 256
- perforante, 337
 - antebrazo, 480
 - brazo, 479
- pericardiofrénica, 194, 206, 211, 212, 230, 231, 241
- perineal, 405
- peronea, 522
- petrosa, 144
 - seno petroso, 144
- pontina
 - lateral, 144
 - transversa, 144
- pontomesencefálica anterior, 144
- poplítea, 546
- porta
 - hepática, 273, 278-279, 288, 294, 297-298, 300-301, 311-312, 315, 331, 349
 - disposición típica, 313
 - omento menor, 348
 - prenatal, 229
 - rama, 291, 292
 - sección transversal, 297, 338
 - tributarias, 312
 - variaciones, 313
- hipofisaria
 - corta, 148
 - larga, 140, 148
- preculmen, 144
- prepilórica, 311
- prostática, derecha, 311
- púbica, 265
- pudenda
 - externa, 256, 265
 - superficial, 544
- interna, 376
 - derecha, 311
 - izquierda, 311
- pulmonar
 - derecha, 206, 215, 225, 230
 - inferior, 214, 220, 246
 - prenatal, 229
 - superior, 212, 214, 220, 224
 - izquierda, 205-206, 215, 221, 224, 231
 - inferior, 214, 241
 - prenatal, 229
 - superior, 214
- radicular, 173
- rectal
 - derecha, tributarias, 311
 - inferior, 312
 - derecha, 311
 - izquierda, tributarias, 311
 - media, 312
 - derecha, 311
 - izquierda, 311
 - superior, 311
 - bifurcación, 399
 - derecha, 312
 - izquierda, 312
- rectosigmoidea, 311, 312, 399
- renal, 341
 - derecha, 265, 329, 332, 339
 - in situ, 332
 - izquierda, 329, 333
 - doble, 333
 - vena cava inferior, 339
 - múltiple, 333
- retina, 90
 - central, 87, 91
- retromandibular, 23, 31, 59, 85
 - anterior, 61, 70
 - posterior, 61, 70
 - tronco común, 59, 61, 70
- retrotonsilar
 - inferior, 144
 - superior, 144
- sacra media, 311
- safena
 - accessoria, 544, 546
 - mayor, 250, 485, 544, 545, 546
 - menor, 485, 544, 545
- sagital inferior, 144
- satélites, 59, 60, 460
- sigmoidea, 311, 312
- subclavia, 30, 32, 74, 189, 198, 206, 211
- derecha, 75, 137, 230
- izquierda, 75, 137, 186
- surcos, 186
- subcostal, 498
- subependimaria, 146
- sublobulillar, 290, 291
- submentoniana, 70
- superficial, miembro inferior, 545
- supraescapular, 70
- supraorbitaria, 23, 70, 85
- suprarrenal, 333, 347
 - derecha, 332, 338
 - inferior, 347
 - media, 347
- supratrocLEAR, 23, 24, 85
- surco
 - anterior, 173
 - posterior, 173
- talámica superior, 146
- talamoestriada
 - inferior, 144, 146
 - porción posterior, 146
 - superior, 108, 111, 145, 146
- temporal
 - media, 23, 99
 - profunda, 99
 - superficial, 99
 - ramas, 23, 99
 - frontal y parietal, 99
 - tributaria, 102
- testicular, 311, 329, 332
 - derecha, 311, 322
- tiroidea
 - inferior, 74, 75, 198
 - media, 74
 - superior, 31, 74
- torácica
 - derecha, 194
 - interna, 189, 198, 244, 245, 246
 - izquierda, 194
- toracoepigástrica, 249
- umbilical, obliterada, 288
- uncus, 145
- uterina, 404
 - superior, 399
- vaginal, 398
- ventricular
 - hipocampal, 146
 - inferior, 146
- vermis
 - superior, 144, 146
 - inferior, 144
- vertebral, 137
 - anterior, 137
- vesical
 - derecha, 311
 - superior, 265, 399
- vesicular, inferior, 399
- vorticosa, 85, 90-91
 - bulbo, 91
 - tributarias
 - anteriores, 91
 - posteriores, 91
 - supracoroideas, 91
- yeyunal, 311, 313
- yugular, 1, 10
 - anterior, 30, 74, 256
 - comunicación, 70
 - terminación, 70

Vena(s) (*cont.*)

- externa, 23, 31, 74, 198, 206, 211, 256
- interna, 23, 28-32, 34, 59, 74-76, 97, 128, 189, 198, 206, 211, 232, 256
- bulbo inferior, 75
- derecha, 137
- izquierda, 137

Ventana

- coclear. V. *Ventana redonda (coclear)*
- oval, 12, 95
 - base estribo, 92
 - estribo, 93, 96
 - fosa, 94
- redonda (coclear), 92, 95
 - cerrada membrana timpánica secundaria, 96
 - fosa, 93
- vestibular
 - oval, 95

Ventrículo

(cerebral)

- cuarto, 113, 115, 144, 146
 - aberturas lateral y media, 146
 - contorno, 143
 - fosa romboidea, 114
 - imagen
 - axial de RM, 150
 - sagital de RM, 149
 - plexo coroideo, 106, 114
 - sección sagital media, 114, 115
 - vena receso lateral, 144
 - visión posterior, 115
- lateral, 108, 110, 146
 - asta
 - occipital, 110, 111, 146
 - temporal, 108, 111, 146
 - derecho, 108
 - asta occipital, 143
 - imagen sagital de RM, 149
 - izquierdo, 108
 - abertura, 108
 - asta frontal, 108
 - asta occipital, 108
 - asta temporal, 108
 - porción central, 108
 - visión transparencia, 108
 - plexo coroideo, 99, 108, 109, 110, 143, 145
 - vena lateral, 146
 - venas, 146
 - plexo coroideo, 109
 - tercero, 106, 108, 110-111, 146
 - plexo coroideo, 106, 108
 - tela coroidea, 108, 111, 145
- (corazón)
 - derecho, 214-215, 224, 246
 - abierto, 220
 - imágenes axiales de TC, 242
 - izquierdo, 213-214, 221, 224, 246
 - imágenes axiales de TC, 242
 - pared posterior, 221
 - vena posterior, 216

Vénula

- nasal retina
 - inferior, 90
 - superior, 90
- rectas, 337

Vermis, 113

- inferior, 113
 - nódulo, 113
 - pirámide, 113
 - túber, 113
 - úvula, 113
- superior, 113
 - culmen, 113
 - declive, 113
 - folium, 113
 - línula, 113
 - lobulillo central, 113
- tuber, 115
- úvula, 115

Vertebra(s). V. también *Atlas (C1)*; *Axis (C2)*, vértebras específicas

- apófisis espinosa, imágenes axiales de TC, 242
- C1. V. *Atlas (C1)*
- C2. V. *Axis (C2)*
- C3, 13
 - cara articular inferior, 19
 - tubérculos apófisis transversa
 - anterior, 26, 30
 - posterior, 26, 30
- C4
 - apófisis articular superior, 18
 - cuerpo, 18
 - lámina, 18
 - tubérculo
 - anterior, 18
 - posterior, 18
 - visión posterosuperior, 17, 18
- C7, 13, 153, 160
 - apófisis espinosa, 18, 152, 174, 175, 176, 424
 - tubérculo posterior apófisis transversa, 30
 - visión superior, 18
- cervicales
 - arterias, 171
 - caras costales, 21
 - ligamentos craneocervicales externos, 21
 - número, 161
 - pilar articular, 21
 - radiografía lateral, 21
 - superior, 17
 - visión
 - anterior, 17, 171
 - inferior, 18
 - lateral derecha, 21
 - superior, 18
- cuerpo, imágenes axiales de TC, 242, 350
- L1, 153, 160
 - apófisis
 - articular
 - inferior, 156
 - superior, 156
 - espinosa, 179
 - transversa, 338
 - cuerpo, 273
- L2
 - cuerpo, 179
 - visión superior, 155
- L3
 - apófisis
 - espinosa, 156
 - transversa, 156

- cuerpo, 156, 336, 337
- pedículo, 156
- visión posterior, 155

L4

- apófisis espinosa, 156
- cuerpo, 352
- escotadura vertebral inferior, 156
- lámina, 156
- visión posterior, 155

L5, 153, 160

- cuerpo, 352
- escotadura vertebral superior, 156

lumbar, 155

- agujero, 155
- apófisis
 - articular
 - inferior, 155
 - superior, 155
 - espinosa, 155
 - mamilar, 155
 - transversa, 248

arterias, 171

- cuerpo, 153
- disco intervertebral, 155
- duramadre, 162

escotadura vertebral

- inferior, 155
- superior, 155
- fusionada, 153
- lámina, 155
- músculos, 179
- pedículo seccionado, 179

radiografías, 156

- sección transversal, 170
- visión
 - anterior, 171
 - lateral izquierda, 155
 - posterior, 153
 - superior, 155

lumbosacras

- agujero intervertebral, 159
- apófisis
 - articular
 - inferior, 159
 - superior, 159
 - espinosa, 159
 - transversa, 159
- lámina, 159
- ligamento amarillo, 159
- ligamentos, 159
- pedículo, 159
- prominente, 19, 21
- relación nervios espinales, 161

T1, 13, 153, 160

- apófisis espinosa, 197

T10, 241

- T12, 153, 160
 - apófisis espinosa, 152, 174, 175, 177
 - cuerpo, 349
 - visión lateral, 154

T4, 230

T6, visión

- lateral, 154
- superior, 154

T8, 241

torácicas, 21, 154

- arterias, 171
- sección transversal, 170
- visión anterior, 171

Vértice cuña, 107**Vesícula**

- biliar, 126, 167, 196, 269, 272, 275, 294, 301, 331
- cuello, 294
- cuerpo, 294
- fondo, 294
- inervación, 168
- infundíbulo, 294
- orificios glandulares, 294
- sección transversal, 297
- unión conducto hepático, 294, 296
- variaciones arteriales y colaterales, 305
- seminal, 361, 363, 384, 389, 391

Vestíbulo, 95, 389

- nasal, 37, 39
- receso
 - coclear, 92, 95
 - elíptico, 95
 - esférico, 95
- vaginal, 389
 - arteria, 404
 - bulbo, 370
 - bulbo, 370, 404

Vía(s)

- aérea
 - intrapulmonar, 204

- nasofaringe, 37
- drenaje linfático gástrico, 314
- gustativas, 135
- intrapulmonar, esquema, 204
- linfática, mano, 468
- nervios parto, 414, 415
- reflejas
 - autónomas, 326
 - distensión, 325
- visual, 120

Visceras

- abdominales, 269
- pelvis
 - femenina, 360, 369
 - nervios, 412
 - masculina, 361
 - nervios, 410
 - nervios, 412
- sección sagital media, 348
- vasculatura, 300-315

Vómer, 39**Vulva, 377****Y****Yeyuno, 269-271, 278-279, 297-298**

- capa muscular
 - circular, 280
 - longitudinal, 280
- mucosa, 280
- musculatura, 280
- nodulillo linfático, 280
- radiografía bario, 279, 280
- sección transversal, 297, 338
- submucosa, 280

Yugo, 9**Yunque, 89, 93, 96, 124**

- cara articular, 93
- cuerpo, 93
- ligamento
 - posterior, 94
 - superior, 94
- rama
 - corta, 93
 - larga, 93
- visión lateral, 93

Z**Zona**

- macular, 120
- orbicular, 487

